PALEOTIME
archéologie préventive

Les occupations paléolithiques du site de « Bois-clair » à Montguyon (Charente-Maritime)

Poitou-Charentes, Charente Maritime (17)
Opération d'archéologie préventive du 14 novembre 2011 au 27 avril 2012
Opération archéologique n° : 5919
N° de site archéologique : 17 241 0502
Arrêté de prescription : AF/11/221





Rapport Final d'Opération

Volume 1 / 3 : texte

Responsable d'Opération : Sébastien BERNARD-GUELLE
Avec la collaboration de :
A. Taylor, M. Rué, A. Ajas, P. Fernandes, A. Coudenneau, P. Tallet, M. Hernandez

Villard-de-Lans, avril 2014

Avertissement

Les rapports de fouille constituent des documents administratifs communicables au public dès leur remise au Service régional de l'archéologie, suivant les prescriptions de la loi n° 78-753 du 17 juillet 1978 modifiée, relative à l'amélioration des relations entre l'administration et le public. Aux termes de la circulaire du 26 mars 1993, ils pourront être consultés ; les agents des Services régionaux de l'archéologie rappelleront à tout demandeur les droits de propriété littéraire et artistique possédés par les auteurs et les contraintes qui en résultent pour tout consultant. Les prises de notes et les photocopies sont utilisées pour un usage exclusivement privé et non destiné à une utilisation collective (article L122-5 du code de la propriété intellectuelle). Toute reproduction du texte accompagnée ou non de photographies, cartes ou schémas, n'est possible que dans le cadre du droit de courte utilisation, avec les références exactes et complètes de l'auteur et de l'ouvrage. Par ailleurs, l'exercice du droit à la communication exclut, pour ses bénéficiaires ou pour les tiers, la possibilité de reproduire, de diffuser ou d'utiliser à des fins commerciales les documents communiqués (Loi n° 78-753 du 17 juillet 1978, art. 10).

Le non respect de ces règles constitue un délit de contrefaçon puni par l'article 425 du code pénal.

Légende Couverture : Vue du site de «Bois-Clair» un matin de mars 2012 et pointe pseudo-Levallois

SOMMAIRE

Section 1 - Données administratives, techniques et scientifiques

9 Fiche signalétique
10 Mots-clés du Thésaurus
11 Générique de l'opération
12 Remerciements
13 Notice Scientifique
15 Fiche d'état du site
19 Arrêté de prescription du cahier des charges
27 Autorisation de fouille
30 Projet scientifique et technique d'intervention

Section 2 - L'opération et ses résultats

41 1. Cadre de l'intervention
41 1.1. Localisation du site
41 1.2. Circonstances de l'intervention
41 1.3. Connaissances avant l'opération
41 1.3.1. Les acquis du diagnostic
42 1.3.2. Contexte archéologique
43 1.4. Rappel du cahier des charges et des objectifs scientifiques de la fouille
44 1.5. Méthodologie de terrain
44 1.5.1. Les tranchées géoarchéologiques
44 1.5.2. Le décapage mécanique
44 1.5.3. Méthodes de fouille
45 1.5.4. Méthodes d'enregistrement
45 1.5.5. Mesures des fabriques
45 1.5.6. Tamisage
45 1.5.7. Les Prélèvements
45 1.6. Déroulement effectif de l'opération
48 1.7. Bilan des moyens mécaniques et humains
49 1.8. Bilan des fouilles mécaniques et manuelles

53 2. Contexte stratigraphique
53 2.1.1. Contexte géologique
53 2.1.2. Contexte pédologique
54 2.1.3. Contexte topographique
54 2.2. Objectifs et méthodologie
55 2.3. Organisation stratigraphique verticale
58 2.4. Organisation stratigraphique latérale
58 2.5. Figures affectant les nappes de mobilier
58 2.5.1. Figures syn-sédimentaires
58 2.5.2. Figures diagénétiques
58 2.6. Résultats analytiques
58 2.6.1. Coupes échantillonnées
59 2.6.2. Examen des lames minces
60 2.6.3. Susceptibilité magnétique
60 2.6.4. Granulométrie
61 2.7. Conclusion

65 3. Datations par luminescence stimulée optiquement
65 3.1. Introduction
65 3.2. Bref exposé du principe des méthodes de datation par luminescence
65 3.3. Détermination des débits de dose
65 3.3.1. Procédure
66 3.3.2. Résultats
66 3.4. Détermination des paléodoses
66 3.4.1. Préparation des échantillons
66 3.4.2. Protocoles
67 3.4.3. Résultats
67 3.5. Bilan chronostratigraphique

71 4. Étude taphonomique du mobilier
71 4.1. Introduction
71 4.2. Analyse spatiale du mobilier
72 4.3. Remontages
74 4.4. Fabriques
75 4.5. Granulométrie
75 4.6. États de surface
75 4.7. Conclusion

79 5. Étude des vestiges archéologiques
79 5.1 Méthodologie d'étude
79 5.2. Présentation et décompte général
80 5.3. Étude pétroarchéologique des objets en silex
80 5.3.1. Le cadre géologique et les ressources potentielles en silex
81 5.3.1.1 La zone régionale de 20 à 100 km
85 5.3.1.2. La zone voisine de 6 à 20 km
86 5.3.1.3. La zone locale de 0 à 6 km
86 5.3.2. Diagnose des types de silex présents dans la série étudiée
86 5.3.2.1. Les types du complexe moustérien
89 5.3.2.2. Les types du complexe magdalénien
89 5.3.2.3. Les types du locus épipaléolithique
89 5.3.2.4. Les types attribués au Néolithique
90 5.3.2.5. Les types sans attribution chrono-culturelle
91 5.3.3. Conclusion
91 5.4. Le mobilier paléolithique moyen – vue d'ensemble
91 5.4.1. Types de produits et séquences opératoires
93 5.4.2. L'outillage retouché
94 5.5. Le mobilier paléolithique moyen - approche par « niveaux »
94 5.5.1 Les nappes de mobiliers moustériens de l'UPS4
97 5.5.2. Les nappes de mobiliers moustériens à l'interface des UPS4 et 5 et au sommet de l'UPS5
98 5.5.3. Le mobilier moustérien présent à la base de la séquence
100 5.6. La production de pointes pseudo-Levallois à Bois Clair
100 5.6.1. Définition et description
101 5.6.2. Mode de production
104 5.6.3. Débitage discoïde et pointes pseudo-Levallois : un Moustérien récent (IOS4-3) ?
105 5.7. Le mobilier paléolithique supérieur/épipaléolithique : présentation et distribution spatiale
105 5.7.1. Une occupation du Paléolithique supérieur très réduite dans l'espace ? L'extension des locus 0, 9, 11 et 7.
107 5.7.2. Distribution spatiale du mobilier et des remontages
108 5.8. Étude des industries lithiques « paléolithique supérieur »
108 5.8.1. Présentation des ensembles lithiques
109 5.8.2. Approche qualitative : remontages et chaînes opératoires
113 5.8.3. Outillage retouché, objectifs et économie du débitage
115 5.9. Analyse fonctionnelle
115 5.9.1. État de conservation général des pièces

115 5.9.2. Analyse fonctionnelle
115 5.9.2.1. Les niveaux récents
116 5.9.2.2. Les niveaux du Paléolithique moyen
117 5.10. Synthèse chrono-culturelle, techno-économique et fonction du site
117 5.10.1. Le Paléolithique moyen
119 5.10.2. Le Paléolithique supérieur : les locus 0, 9, 11 et 7
121 5.10.3. Des occupations tardiglaciaires plus récentes ?
121 5.10.4. L'inconnue du locus 8 : une occupation à l'Holocène ?
122 5.11. Comparaisons et insertion régionale

127 6. Synthèse et discussion générale

131 Bibliographie
140 Liste des figures

Section 3 - Inventaires techniques officiels et annexes

414 **1** – Inventaire des unités pédo-sédimentaires
415 **2** – Inventaire de la documentation graphique
417 **3** – Inventaire des structures
418 **4** – Inventaire des prélèvements
420 **5** – Inventaire de la documentation photographique
506 **6** – Inventaire de la documentation écrite
507 **7** – Inventaire du mobilier individualisé
569 **8** – Inventaire du mobilier issu du tamisage
576 **9** – Inventaire du mobilier non individualisé à la fouille
581 **10** – Inventaire des archives
582 **11** – Inventaire des caisses
586 **Annexe 1** – Inventaire des logs
587 **Annexe 2** – Remontages lithiques, tableau synthétique
590 **Annexe 3** – Liste des abréviations
592 **Annexe 4** – Code des illustrations en tracéologie
593 **Annexe 5** – Inventaire des locus de fouille
591 **Annexes 6** – Planches des types pétrographiques
621 **Annexe 7** – Mesures de la susceptibilité magnétique
622 **Annexes 8** – Données granulométriques

625 Liste des inventaires et annexes

SECTION 1

Données administratives, techniques et scientifiques

Fiche signalétique

Numéro INSEE du site : 17241
N° de site archéologique : 17 241 0502
Arrêté de prescription : AF/11/221 du 04/07/2011
Opération archéologique n° : 5919

Identité du site

Région	Poitou Charente	
Département	Charente Maritime	
Commune	Montguyon	
Lieu-dit cadastral	Bois-Clair	
Coordonnées Lambert 2 étendu	**X :** 402621	**Y :** 2025861
Altitude NGF :	83 m	
Références cadastrales	Section D	parcelles 490 et 491
Propriétaires du terrain	Jean-Pierre PEYNAUD, « Rippe », 17270 Montguyon	**Statut du terrain** : privé
Protection juridique au titre des monuments et sites	néant	

Références de l'opération archéologique

Arrêté d'autorisation de fouille préventive	AA/11/383 du 07/11/2011
Responsable scientifique de l'opération	Sébastien Bernard-Guelle
Opérateur archéologique	SARL Paléotime
Maître d'ouvrage des travaux	LISEA-COSEA, Rue Caroline Aigle, BP90505, 86012 Poitiers Cedex
Raison de l'urgence	Ligne Grande Vitesse Sud Europe Atlantique entre Tours et Bordeaux
Dates d'intervention	du 14 novembre 2011 au 26 avril 2012
Surface prescrite	5200 m² (3765 m² : tranche ferme et 1430 m² : tranche conditionnelle)
Surface fouillée	3950 m² (3740 m² : tranche ferme et 210 m² : tranche conditionnelle)

Mots-clés du Thésaurus

Mots clés des thésaurus

Chronologie

- [x] Préhistoire
  - [x] Paléolithique
    - [ ] Paléolithique inférieur
    - [ ] Paléolithique inférieur/moyen
    - [x] Paléolithique moyen
    - [x] Paléolithique supérieur
    - [ ] Épipaléolithique et Mésolithique
      - [ ] Épipaléolithique
      - [ ] Mésolithique
  - [ ] Néolithique
    - [ ] Néolithique ancien
    - [ ] Néolithique moyen
    - [ ] Néolithique récent
    - [ ] Néolithique final
- [ ] Antiquité
  - [ ] Protohistoire
    - [ ] Transition néo/chalco
    - [ ] Chalcolithique
    - [ ] Âge du bronze
      - [ ] Bronze ancien
      - [ ] Bronze moyen
      - [ ] Bronze final
    - [ ] Âge du fer
      - [ ] Premier âge du fer
        - [ ] Hallstatt
      - [ ] Second âge du fer
        - [ ] La Tène
  - [ ] Antiquité romaine
    - [ ] République romaine
    - [ ] Empire romain
      - [ ] Haut-Empire
      - [ ] Bas-Empire
    - [ ] Antiquité tardive
- [ ] Époque médiévale
  - [ ] Haut Moyen Age
  - [ ] Moyen Age
  - [ ] Bas Moyen Age
- [ ] Temps Modernes
- [ ] Époque contemporaine

Vestiges mobiliers

- [x] lindustrie lithique
- [ ] Céramique
- [ ] Parure
- [ ] Objet métallique
- [ ] Faune
- [ ] Industrie osseuse
- [ ] Reste végétaux
- [ ] Autre

Vestiges immobiliers

- [ ] Foyer
- [ ] Four
- [ ] Empierrement
- [ ] Fosse
- [ ] Fossé
- [ ] Silo
- [ ] Trou de poteau
- [ ] cabane
- [ ] maison
- [ ] ensemble funéraire
  - [ ] alignement de menhirs
  - [ ] cromlech
  - [ ] ossuaire
- [ ] monument
  - [ ] mégalithe
    - [ ] allée couverte
    - [ ] dolmen
    - [ ] menhir
  - [ ] tumulus
    - [ ] cairn
- [ ] camp
- [ ] enceinte
- [ ] puits
- [ ] citerne
- [ ] oppidum
- [ ] village
- [ ] Autre

Étude et analyses

- [x] Étude de mobilier lithique
  - [x] Typo technologique lithique
  - [x] Tracéologie
  - [x] Pétro archéologique
- [ ] Étude de mobilier céramique
  - [ ] Céramologie
  - [ ] Analyse des pâtes céramique
- [ ] Anthropologie
- [ ] Archéozoologie
- [ ] Archéobotanique
  - [ ] Palynologie
  - [ ] Carpologie
  - [ ] Anthracologie
- [ ] Analyse de métaux
- [ ] Restauration
- [x] Géoarchéologie
  - [x] Géomorphologie
  - [x] Micromorphologie
  - [x] Sédimentologie
- [x] Datation
  - [ ] Radiocarbone
  - [ ] Thermoluminescence
  - [x] OSL
- [ ] Autre

Générique de l'opération

Maître d'ouvrage

Nom de l'entreprise : LISEA-COSEA
Adresse : Rue Caroline Aigle, BP90505, 86012 Poitiers Cedex
Conducteur des travaux : Sébastien Joly

Opérateur

SARL Paléotime
6173, rue Jean Séraphin Achard Picard
38250 Villard-de-Lans

Suivi administratif : Alexandre Morin, Jean-Louis Schuh et Sophie Chamberlan
Suivi technique : Arnaud Roy

Prescripteur

Service Régional de l'Archéologie de Poitou Charente
Thierry Bonin, Conservateur régional
Jérôme Primault, suivi du dossier

Terrassement

Vinci Construction Terrassement, Agence du Châteauneuf sur Sarthe, Rue Juvardeil, BP 80025, 49330 Chateauneuf-sur-Sarthe
Ahmid Gorinat (VCT, suivi du terrassement)
Conducteur d'engin : Patrick Lampson (STC)

Équipe technique et scientifique de terrain (par ordre alphabétique)

Responsable d'opération : Sébastien Bernard-Guelle
Responsable adjoint : Alexis Taylor
Géoarchéologue : Mathieu Rué
Topographe : Jean-Baptiste Caverne
Technicien - assistant géoarchéologie : Aurélie Ajas
Technicien - assistant topographie : Gilles Gazagnol
Techniciens : Marie-Claire Dawson, Briagell Huet, Thibault Morala, Simona Muratori
Stagiaire : Lucille Brevet

Équipe technique et scientifique pour l'étude et la rédaction du rapport

Gilles Gazagnol, Briagell Huet, Lucille Brevet : traitement du mobilier, mise au net des inventaires, DAO…
Sébastien Bernard-Guelle : étude du mobilier lithique du Paléolithique moyen, photographie de mobilier
Alexis Taylor : étude du mobilier lithique du Paléolithique supérieur, photographie de mobilier
Paul Fernandes (Paléotime) : pétrographie des silex
Aude Coudenneau (UMR7269 - LAMPEA, Aix en Provence) : étude fonctionnelle de l'industrie en silex
Aurélie Ajas et Mathieu Rué (Paléotime : géoarchéologie, micromorphologie)
Jean-Baptiste Caverne (Paléotime) : Topographie et DAO
Marion Dousse (Paléotime) : DAO
Régis Picavet (Paléotime) : dessin du mobilier lithique
Marion Hernandes (IRAMAT-CRPAA) : datation OSL
Sébastien Bernard-Guelle : PAO

Visites sur le site

Jérôme Primault (SRA Poitou Charente)
Sébastien Joly (COSEA)
Bernard Bordelais (Association pour la sauvegarde et la valorisation du patrimoine de Montguyon)
Jacques Jaubert (PACEA, UMR 5199)
David Cochard (PACEA, UMR 5199)
François Bachellerie (PACEA, UMR 5199)
Arnaud Lenoble (PACEA, UMR 5199)
Cédric Beauval (Archeosphère)
Norbert Mercier et Marion Hernandez (IRAMAT-CRPAA, de l'Archéologie, Esplanade des Antilles 33607 Pessac)
Alexandre Morin et Jean-Louis Schuh (Paléotime)

Lieu du dépôt du mobilier archéologique temporaire : Paléotime, 6169 rue Jean Séraphin Achard Picard, 38250 Villard de Lans

Lieu du dépôt du mobilier archéologique définitif : dépôt de fouilles archéologiques, 21 rue Denis Papin, 16000 Angoulême

Remerciements

Il nous est agréable de remercier COSEA, maître d'ouvrage du projet et de la fouille, en particulier Sébastien Joly pour son intérêt. Nos remerciements vont également au Service Régional de l'Archéologie, particulièrement à Jérôme Primault pour le suivi scientifique de l'opération et ses visites régulières sur le terrain. Merci évidemment au conducteur de pelle, Patrick Lampson, pour sa gentillesse, son efficacité et son « œil plus qu'averti ». Nous avons particulièrement apprécié la visite et les discussions entretenues avec Arnaud Lenoble. Merci également à Messieurs Léger, père et fils, pour l'approvisionnement en eau de notre citerne et pour leur accueil dans leur distillerie. Nous tenons enfin à témoigner notre gratitude à toute l'équipe de fouille qui a su restée motivée et compétitive durant toute cette longue campagne de terrain, et ce malgré les aléas climatiques.

Notice Scientifique

Le site préhistorique de plein air de « Bois Clair » est situé sur la commune de Montguyon (Charente-Maritime), à 80 m d'altitude. Découvert dans le cadre des travaux de la ligne à grande vitesse Bordeaux-Tours, le site est se trouve sur une éminence du relief développée sur des alluvions éocènes. L'emprise ferme a été fouillée sur environ 3700 m² de novembre 2011 à avril 2012. Le décapage mécanique a permis de mettre en évidence plusieurs niveaux d'occupations humaines dont le degré de conservation varie en fonction de leur localisation stratigraphique et/ou spatiale. Les secteurs de plus fortes densités ont ainsi été fouillés à la main de manière classique (env. 156 m²) ou de façon plus rapide (60 m²) alors que le reste de l'emprise fût décapé mécaniquement.

Les vestiges découverts sont uniquement constitués de matériaux non périssables. Le mobilier côté à la fouille s'élève à plus de 3500 pièces pour une masse totale légèrement supérieure à 230 kg, hors fraction fine. À cela s'ajoutent 4395 pièces non côtées mais issues de la fouille et du tamisage par ¼ de m² portant la série à près de 8000 pièces.

La répartition spatiale du mobilier fait ressortir plusieurs zones de petites concentrations lithiques, essentiellement localisées sur les points hauts du site. Elles s'intercalent dans des dépôts colluviaux et éoliens, chronologiquement cadrés par six datations OSL, et au sein desquels subsistent deux paléosols argiliques. Les fourchettes d'âge obtenues montrent que la séquence stratigraphique couvre une grande partie du dernier cycle glaciaire et confirment les très faibles taux de sédimentation sur le site.

Les résultats de l'étude taphonomique, basée sur la répartition des vestiges, les remontages, l'analyse des fabriques, la granulométrie et l'observation des états de surface des silex, tendent à montrer que les différentes perturbations affectant le mobilier (résidualisation, bioturbations, cryoturbation…) n'ont eu qu'un impact relativement limité sur son organisation spatiale, du moins pour les niveaux contenus au sommet de la séquence (UPS4). Les assemblages de mobilier inclus dans les unités sous-jacentes, en particulier au sein des colluvions graveleuses (UPS5) sont nettement moins bien conservés.

Le niveau le plus ancien, moustérien, a été identifié à la base de la séquence (base UPS6 - sommet UPS7). Il s'agit d'une petite concentration, probablement préservé de l'érosion grâce à la présence d'une petite dépression. D'après les données pédostratigraphiques, cette première phase de fréquentation du site serait antérieure au stade isotopique 5. À cette époque, l'occupation devait être située sur un point haut, dominant de quelques mètres une doline.

Le second niveau d'occupation paléolithique moyen s'inscrit au sein de l'unité 5, en position majoritairement sommitale. Il s'agit de mobilier réparti de manière diffuse sur l'ensemble de l'emprise avec la présence néanmoins avérée de rares concentrations généralement peu denses et/ou assez lâche. La dilatation verticale du mobilier, les caractéristiques des remontages (incomplets, souvent dispersés en plan et dilatés en vertical, fortement inclinés au sein des concentrations) et la faible représentativité de la fraction fine vont dans le sens d'ensembles dont l'intégrité n'est pas préservée, probablement affectés par divers processus de colluvionnement. Ce niveau d'occupation reflète des activités de production dominantes, basées sur des schémas de débitage Levallois ou discoïdes. Les dates OSL placent ces occupations entre environ 50 et 60 ka (début de l'IOS3).

Le niveau moustérien principal s'inscrit à la base de l'UPS4, majoritairement conservé dans la partie haute de l'emprise. Il se caractérise essentiellement par la présence de petits ensembles spatialement bien circonscrits correspondant à des aires de débitage. Les modes de production mis en œuvre sont généralement de conception discoïde avec pour objectif commun l'obtention de pointes pseudo-Levallois, notamment via une modalité de débitage spécifique et bien documentée par les remontages. La cohérence techno-économique de la plupart de ces ensembles permet de les rattacher au même techno-complexe, voire à un même groupe. Comme l'ensemble sous-jacent, ce niveau est rapporté au stade isotopique 3 sur la base d'une date

OSL. Il se démarque néanmoins du précédant par des ensembles localement plus abondants présentant des remontages plus complets (jusqu'à 63 %), spatialement peu étendus et sub-horizontaux. Ces ensembles sont néanmoins affectés par des mouvements verticaux de pièces jusqu'en UPS5 et par un télescopage avec des occupations plus récentes dans les secteurs où la séquence stratigraphique est la plus condensée.

Le quatrième niveau d'occupation est rapporté sur des critères techno-typologiques à la fin du Paléolithique supérieur. Il correspond à une occupation particulièrement bien délimitée dans la partie centrale-ouest de l'emprise où son extension semble réduite à une petite butte dominant encore actuellement le paysage environnant. La zone de fouille concernée illustre la présence de deux principaux pôles de production de lames sur silex local. Cinq grands blocs ont pu être presqu'entièrement remontés et montrent un débitage de longues lames relativement étroites et légèrement courbes, de section triangulaire ou trapézoïdale. L'outillage retouché est rare et essentiellement composé de grattoirs en bout de lames, de burins et de lames retouchées. Il est majoritairement réalisé sur supports laminaires allochtones comparables en tous points aux productions *in situ*. L'analyse tracéologique menée sur plusieurs de ces outils suggère le travail de matières tendres (raclage de peau ?) et semi-dures couplé à des activités de boucherie. La fracturation fréquente et probablement volontaire de certains outils suggère le recyclage éventuel d'une partie des supports, notamment parmi ceux importés. Le positionnement chronologique de cet assemblage, basé sur l'analyse des schémas de débitage et des procédés techniques, évoque le Magdalénien supérieur mais la présence d'une pointe à dos courbe élancée façonnée sur petite lame tend à rajeunir l'occupation et la placer au cours d'une phase finale du Magdalénien ou au tout début de l'aziliniation.

Le cinquième niveau d'occupation a été reconnu un peu plus au nord des secteurs précédents. Distants dans l'espace, ils le sont probablement également dans le temps, l'analyse technologique indiquant plutôt des façons de faire post-Paléolithique : percussion tendre minérale, soin accordé à la préparation des talons des supports, rectitude et raccourcissement des supports laminaires. En l'absence de véritables marqueurs typo-chronologiques, cette industrie à lames légères et lamelles encore soignées est rapportée à l'Epipaléolithique, peut-être à une phase ancienne de l'Azilien. L'extension très réduite et le caractère très limité des activités de débitage de ces ensembles évoquent de manière plus aiguë encore que pour le Magdalénien la brièveté de la ou des occupations dont ils témoignent.

Enfin, un probable dernier niveau est représenté par la découverte de quelques pièces situées à l'écart des autres ensembles fouillés, dans l'angle sud-est de l'emprise. À l'inverse des autres secteurs, l'activité de débitage y est exceptionnelle. Le mobilier est essentiellement représenté par de l'outillage retouché importé, dominé par les burins sur lame ou éclat. Cet ensemble se démarque par une variété pétrographique forte et, à l'inverse des niveaux sous-jacents, par l'absence d'utilisation du silex campanien local. Avec réserve, cet assemblage atypique est rapporté à une occupation holocène placée entre le Néolithique moyen et la Protohistoire.

Le site de « Bois-Clair » illustre ainsi une récurrence de petites occupations humaines spécialisées dans les activités de débitage et étalées sur plusieurs millénaires. Il constitue un nouveau site référence au niveau régional et ouvre de réelles perspectives de comparaisons notamment avec les sites sous abris charentais.

Fiche d'état du site

A l'issue de la fouille, l'emprise ferme de 3765 m² a été entièrement fouillée à l'exception d'une berme d'environ 2 mètres de large conservée en raison de la présence d'une canalisation d'eau traversant l'emprise dans sa partie sud-ouest au niveau de la délimitation entre les parcelles D490 et D491.

La fouille de l'emprise ferme a donc été réalisée sur 3740 m² de manière mécanique et/ou manuelle. Le décapage mécanique a permis la mise en évidence de divers secteurs où les densités de mobilier archéologique justifiaient le passage à une fouille manuelle. En fonction des premiers tests manuels et de la densité de vestiges repérée, ces locus de fouilles ont été traités de deux façons différents :

- des secteurs avec mise en place d'un carroyage, décapages successifs manuels par ¼ de m² et tamisage à l'eau des sédiments. En fonction des secteurs et de la concentration en mobilier, entre deux et sept décapages de quatre à cinq centimètres d'épaisseur ont été réalisées par ¼ de m². Un peu plus de 156 m² ont été fouillés de cette manière classique. Avec 94,5 m² (60 %), ce type de fouille a prioritairement concerné le(s) niveau(x) paléolithique(s) supérieur(s) ; le Paléolithique moyen compte 62 m² (40 %) traités de cette façon, avec néanmoins un degré d'exploration verticale moindre, souvent limitée à deux décapages contre une moyenne de quatre pour les niveaux plus récents.
- des zones d'exploration manuelle à la truelle ou à la rasette, sans carroyage au préalable, ponctuellement extensives en plan mais jamais en verticale (limitées à une ou deux passes). En fonction des premiers tests ces zones ont pu ensuite passer en secteurs de fouille classique avec carroyage. Ce type d'exploration rapide mais néanmoins manuelle a concerné un peu plus de 60 m² dont une dizaine sur des niveaux moustériens, le reste touchant à des occupations plus récentes voire indéterminées lors de la fouille.

L'emprise conditionnelle forte de 1430 m² a été explorée par le biais d'une tranchée effectuée dans son plus grand axe (sud-est/nord-ouest) à la pelle mécanique. Cette emprise se caractérise par une légère pente en direction du nord/nord-ouest pouvant expliquer en partie le faible développement pédosédimentaire observé dans les 2/3 de cette zone. L'absence de concentration lithique et la configuration paléotopographique particulière de cette zone, n'a pas justifié le déclenchement de la tranche conditionnelle. Néanmoins, une fenêtre a été ouverte au niveau du premier tiers est de la tranchée afin d'atteindre par le biais d'un sondage profond la base d'une séquence pédosédimentaire, très dilatée dans cette partie. Ce phénomène semble en relation avec l'existence d'une probable dépression ayant permis cette conservation différentielle et le piégeage des dépôts à cet endroit. Au total, 210 m² (env. 15 % de l'emprise conditionnelle) ont été décapés lors de cette phase exploratrice. En fin d'opération, nous sommes de nouveau intervenus dans l'extrémité sud de cette zone afin de pouvoir faire le raccord stratigraphique entre les unités de la zone ferme et celles repérées au fond du sondage profond réalisé en début de campagne.

La stratigraphie, relativement homogène, est d'une puissance moyenne de 2 m d'épaisseur avec sept unités stratigraphiques principales. La séquence stratigraphique débute par le sol holocène et se développe jusqu'à des alluvions éocènes (tertiaire) et comprend deux paléosols argiliques. Des variations latérales de ces dépôts s'expriment par une stratigraphie condensée à l'ouest de l'emprise ferme, en bord de versant, particulièrement sensible à l'érosion et une forte dilatation à l'est et au nord du site. Ce phénomène est à mettre en relation avec l'existence d'une probable « dépression » ayant permis cette conservation différentielle et le piégeage des dépôts. Ce remplissage stratigraphique livre plusieurs niveaux d'occupations humaines relativement peu denses, essentiellement représentés par de petits postes de débitage. L'occupation magdalénienne est uniquement circonscrite au niveau du point haut actuel et ancien de l'emprise de fouille, au sein de l'UPS4. Les niveaux moustériens, montrent un degré de préservation variable et sont répartis sur l'ensemble de l'emprise depuis l'UPS4 jusqu'à la base de la séquence,

L'emprise prescrite a semble-t-il permis la fouille de la majeure partie du site, probablement le cœur des occupations paléolithiques. Toutefois, la présence continue mais souvent ténue de mobilier, notamment moustérien, sur l'ensemble de l'emprise atteste d'une extension des niveaux archéologiques hors emprise, particulièrement au sud et au nord de l'emprise ferme.

Enfin, les terres ont été stockées aux abords de l'emprise en séparant les terres végétales du reste suite à la demande de l'aménageur. Le terrain a été laissé en l'état à l'aménageur après rebouchage de l'intégralité des sondages profonds.



Figure 01 – Montguyon (17), « Bois Clair », carte de localisation du site au 1/250000ème (© INTERCARTO 2006)

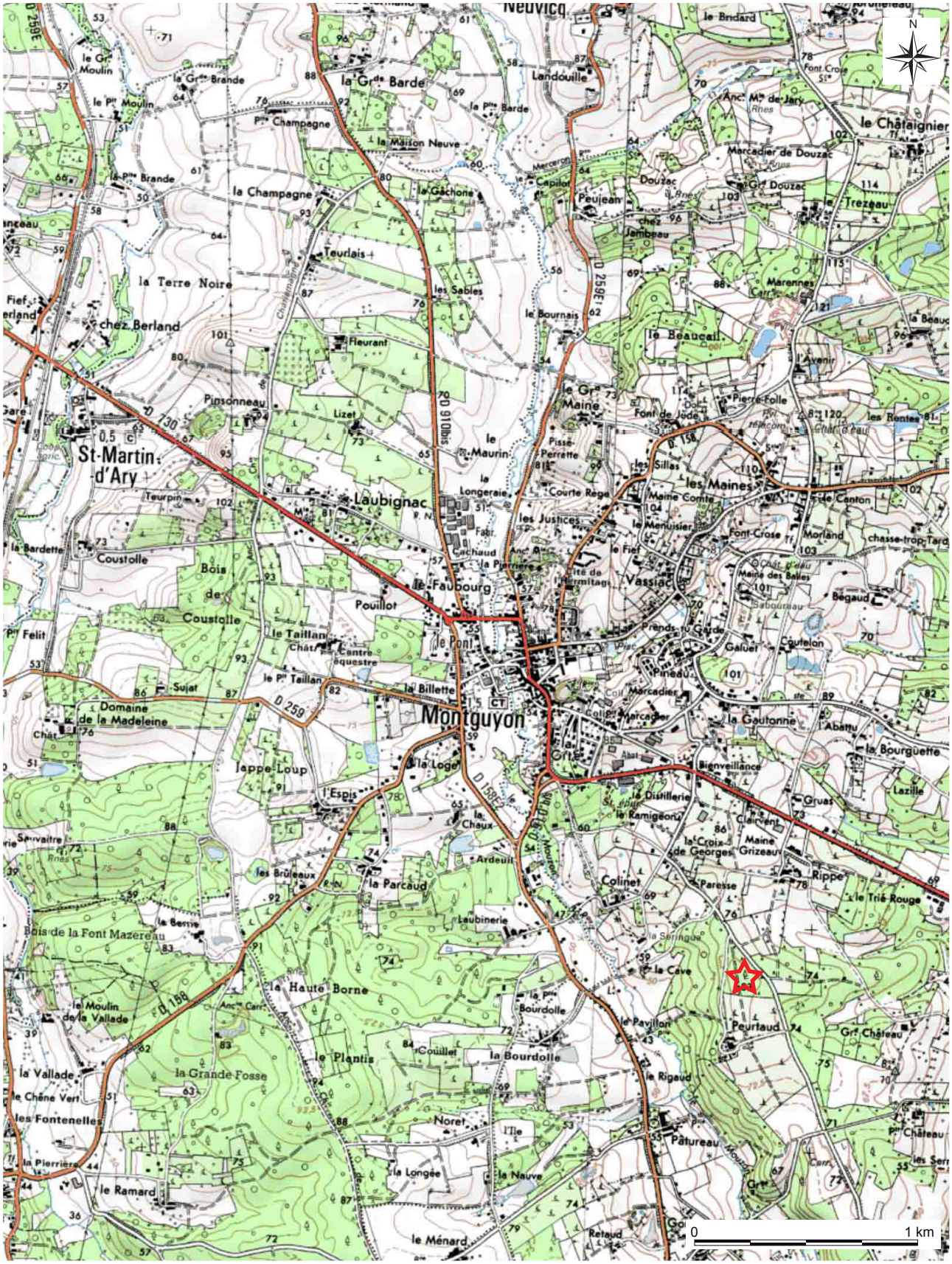


Figure 02 – Montguyon (17), « Bois Clair », carte de localisation du site au 1/25000ème (IGN, www.geoportail.com)

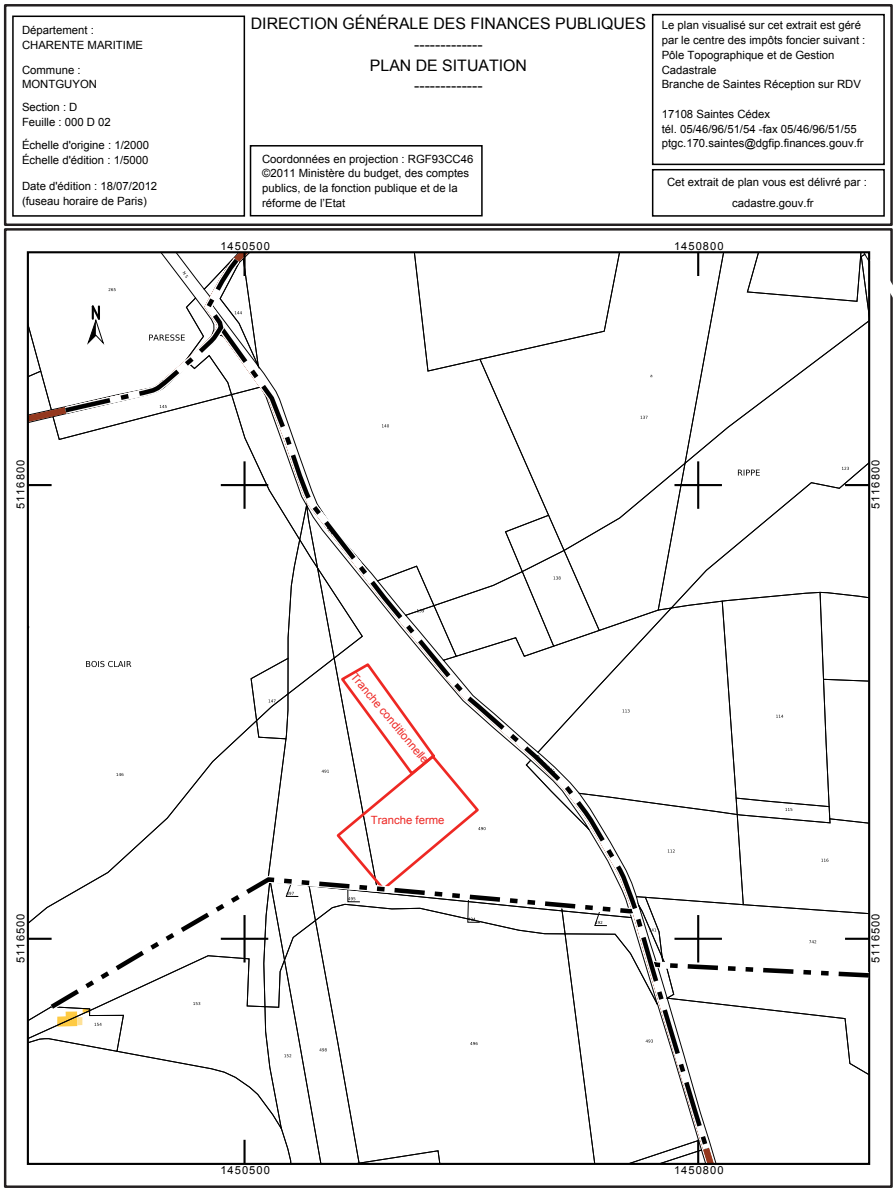


Figure 03 – Montguyon (17), « Bois Clair », emprise sur fond cadastral (www.cadastre.gouv.fr)

Arrêté de prescription du cahier des charges

Liberté • Égalité • Fraternité
RÉPUBLIQUE FRANÇAISE

CAHIER DES CHARGES SCIENTIFIQUES POUR UNE OPÉRATION DE FOUILLE ARCHÉOLOGIQUE PRÉVENTIVE

AF/11/221

1 - Données administratives du diagnostic archéologique :

Région : POITOU-CHARENTES
Département : Charente-Maritime
Communes : Montguyon, Saint-Martin-d'Ary
Opération : LGV Sud-Europe-Atlantique – Phase 15, PK 76,6 – PK 82
Emprise du diagnostic : 315 359 m²

Propriétaire : Réseau Ferré de France
Maître d'ouvrage : Réseau Ferré de France
Nature du projet : Ligne à Grande Vitesse Sud-Europe-Atlantique Tours – Bordeaux

Diagnostic archéologique n°**AD/10/120** du 3 Mai 2010

Responsable d'opération : Sylvie REDAIS (INRAP)

2 - Localisation et données techniques de la fouille préventive :

Région : POITOU-CHARENTES
Département : Charente-Maritime
Commune : Montguyon
Lieu-dit : Bois Clair
Cadastre : D 490
Propriétaire : LISEA-COSEA
Maître d'ouvrage : LISEA-COSEA
Emprise : 7 300 m² (0,73 ha)

Période (s) : Paléolithique moyen et supérieur (Moustérien et Magdalénien)
Profondeur des vestiges : 0,40 à 2 m.
Epaisseur des vestiges : 0,20 à 0,40 m.

Données techniques particulières : 2 niveaux moustériens et 1 niveau magdalénien (?) partiellement superposés.

3 - Données scientifiques

3.1 - Contexte archéologique :

Contexte général

Le projet de construction d'une nouvelle ligne ferroviaire à grande vitesse entre Tours et Bordeaux va créer 302 km de voie nouvelle entre le sud de la Touraine, le Poitou-Charentes et le nord de la Gironde. Dans l'attente du démarrage des travaux de terrassement prévus dès le début de l'année 2012, ce sont un peu plus de 2000 hectares qui sont soumis au diagnostic depuis septembre 2009 jusqu'à la fin de l'année 2011. Le choix a été fait de travailler par phases de 25 à 60 hectares menées en parallèle.

La phase 15 du diagnostic de cette ligne à grande vitesse couvre un peu plus de 31 hectares sur les communes de *Montguyon* et *Saint-Martin-d'Ary* en Charente-Maritime. Elle comprend un peu plus de 5 km de la section courante du tracé ferroviaire ainsi que l'ensemble des raccordements routiers.

Eléments acquis lors du diagnostic

Le diagnostic s'est déroulé du 13 décembre 2010 au 14 janvier 2011. Au final, 295 tranchées ont été ouvertes, représentant un peu plus de 5 km linéaires.

Cette phase du diagnostic de la LGV SEA a permis de détecter deux sites archéologiques jusqu'alors inconnus : un site regroupant trois niveaux du Paléolithique moyen et supérieur sur la commune de Montguyon et un vaste enclos fossoyé de la fin du Second Âge du Fer sur la commune de Saint-Martin-d'Ary.

Au lieu-dit le *Bois Clair*, sur la commune de Montguyon, trois occupations paléolithiques partiellement superposées ont été détectées, comprenant deux niveaux du Paléolithique moyen et un du Paléolithique supérieur. Le niveau le plus ancien, le *niveau 3*, n'a été observé que dans une seule tranchée de diagnostic. Il apparaît à 1,90 mètre de profondeur, au sein de colluvions remaniant les formations tertiaires locales. Il n'a livré que trois pièces, un nucléus et deux éclats qui se rapprochent certainement d'un moustérien ancien antérieur au stade 7 (entre 235 et 190 ka). Le niveau intermédiaire, le *niveau 2*, apparaît entre 0,60 et 1,10 mètres de profondeur, dans des formations d'origine éolienne. Épais d'une vingtaine de centimètres, il semble s'étendre sur plus de 1000 m², avec une concentration notable autour de la tranchée n°100. L'industrie lithique bien que patinée reste fraîche et comprend un débitage Levallois. Un unique racloir à retouche couvrante en matériau exogène compose l'outillage. Le niveau supérieur, *le niveau 1*, apparaît entre 40 et 60 cm de profondeur et s'étend sur 1200 à 1500 m², centré sur la tranchée n°108. Il se développe sur une faible épaisseur au sein de formations éoliennes. Le mobilier lithique qu'il livre appartient au Magdalénien inférieur, avec un débitage de lames d'assez grande dimension. Les remontages effectués sur le seul m² testé lors du diagnostic confirment une bonne conservation de l'organisation spatial ainsi qu'un possible effet de paroi qui pourrait indiquer la présence d'une aire d'habitat organisée. En l'absence d'outillage, l'attribution au Magdalénien inférieur doit être considérée comme une hypothèse de travail.

Ce type de séquence pléistocène est inconnue en plein air dans la région Poitou-Charentes,

d'autant moins en contexte éolien. Le niveau inférieur, rapproché d'un Moustérien ancien, est très discret et limité spatialement. Le niveau intermédiaire, lui aussi Moustérien, est plus étendu et éventuellement structuré. C'est certainement le niveau supérieur, possiblement magdalénien ancien, le mieux conservé, avec une organisation spatiale certaine et la présence d'un paléosol structuré.

3.2 - Documentation disponible :

REDAIS S. (2011) – *Montguyon, Saint-Martin-d'Ary, Poitou-Charentes, Charente-Maritime, LGV SEA1 – Phase 15 PK 76,6 – PK 82,* Rapport de diagnostic, INRAP, 130 p.

4 - Objectifs scientifiques et principes méthodologiques

La fouille préventive envisagée a pour objectif principal de statuer sur la **fonction** des trois occupations paléolithiques repérées lors du diagnostic en caractérisant les objectifs techniques des productions lithiques et leur organisation spatiale au sein des espaces fouillés. Il s'agira de replacer ces occupations dans un contexte chrono-culturel régional et extra-régional.

4-1 : Principes méthodologiques généraux :

La fouille envisagée s'organise autours de deux transects perpendiculaires et d'une zone de décapage de 5 225 m² au sud. Une seconde zone de décapage de 2 000 m² pourra être ouverte en fonction de l'étude du transect NW-SE.

Compte tenu de l'incertitude qui persiste quant au nombre de structures archéologiques à prendre en compte, l'opération devra donc se dérouler en deux temps, avec une **tranche ferme** et une **tranche conditionnelle**.

Tranche ferme :

Dans un premier temps, **deux tranchées perpendiculaires** seront ouvertes dans les deux grands axes de la surface de fouille, NW-SE et SW-NE, de façon à disposer d'une étude géoarchéologique de la séquence pléistocène. L'objectif de cette première étape est de caractériser la nature et l'origine des sédiments et, le cas échéant, d'évaluer l'impact des phénomènes post-dépositionnels les ayant remanié. Les coupes stratigraphiques seront relevées et photographiées. Le mobilier archéologique découvert lors de l'ouverture de ces tranchées sera spatialisé. Des tests de tamisage seront effectués dans les zones de concentration de mobilier.

Dans un second temps, l'ensemble de la surface de fouille (5 225 m²) située de part et d'autre du transect SW-NE devra faire l'objet d'un **décapage mécanique** de façon à atteindre le premier niveau (magdalénien ?) qui apparaît entre 40 et 60 cm sous le sol actuel. Les nappes de vestiges et les éventuelles structures (foyers...) seront fouillées manuellement. Les objets seront relevés individuellement dans les trois dimensions de façon à faciliter la phase de post-fouille et l'étude de l'organisation spatiale des activités. Le sédiment des zones de concertation de mobilier sera tamisé à l'eau de façon à récolter les plus petits éléments laissés par la fouille manuelle.

Dans un second temps, lorsque le premier niveau aura été traité, un **second décapage mécanique** sera réalisé pour atteindre le niveau moustérien intermédiaire apparaissant entre 0,60 et 1,10 m. sous le sol actuel. Comme pour le niveau supérieur, les nappes de vestiges et les éventuelles structures (foyers...) seront fouillées manuellement. Les objets seront relevés individuellement dans les trois dimensions de façon à faciliter la phase de post-fouille et l'étude de l'organisation spatiale des activités. Le sédiment des zones de concertation de mobilier sera tamisé à l'eau de façon à récolter les plus petits éléments laissés par la fouille manuelle.

Enfin, en fonction des données recueillies dans le transect d'axe SW-NE et notamment de l'état de conservation du niveau de base et de la présence d'éventuelles concentrations de mobilier, des **fenêtres d'élargissement** devront être décapées de façon à atteindre le niveau moustérien à la base de la séquence, vers 1,90 m de profondeur. Comme pour les autres niveaux, les nappes de vestiges seront fouillées manuellement. Les objets seront relevés individuellement dans les trois dimensions de façon à faciliter la phase de post-fouille et l'étude de l'organisation spatiale des activités. Le sédiment des zones de concertation de mobilier sera tamisé à l'eau de façon à récolter les plus petits éléments laissés par la fouille manuelle.

A tout moment de l'ouverture des transects ou des différents décapages, une **réunion** sera organisée entre le maître d'ouvrage de la fouille, l'opérateur et un représentant du Service Régional de l'Archéologie de Poitou-Charentes afin de dresser un premier bilan des découvertes et plus particulièrement de la nature et du nombre de structures archéologiques à finalement traiter. Sera alors décidé par le représentant de l'Etat l'engagement, ou non, de la tranche conditionnelle.

Tranche conditionnelle :

L'objectif de la tranche conditionnelle est, en fonction des observations recueillies notamment lors de l'ouverture du transect NW-SE, d'ouvrir des fenêtres ponctuelles de décapage permettant de disposer d'une vision en plan des éventuelles nappes de vestiges observées dans les coupes.

***

Lors de la tranche ferme comme de la tranche conditionnelle, toutes les structures repérées seront relevées en plans géoréférencés et en coupes. Il en sera réalisé un descriptif détaillé accompagné d'une iconographie adaptée (relevés, dessins, photographies...).

En parallèle, une étude détaillée des processus de formation et de conservation du site devra être développée. Dans ce cadre, des coupes nécessaires à la compréhension de l'origine et de la taphonomie des dépôts naturels et anthropiques seront réalisées. Ces coupes stratigraphiques seront relevées et photographiées.

En préalable au début de l'opération, le responsable scientifique prendra contact avec la personne en charge du dossier au service régional de l'archéologie. Il rendra compte régulièrement de l'avancement de la fouille, notamment en cas de découverte archéologique majeure, afin d'adapter au mieux le déroulement de l'opération.

Le projet d'intervention comprendra :

- les modalités de décapage, le détail de leur mise en œuvre et le type d'engins utilisés ;
- la méthodologie adoptée pour la fouille ;
- le mode d'enregistrement des données ;
- les modalités d'étude et de conservation du mobilier archéologique.

5 - Qualification du responsable d'opération et de l'équipe ; durée d'intervention

5.1 - Responsable d'opération :

Le Préfet de région désignera comme responsable un **archéologue** spécialisé sur la **période paléolithique,** qui devra disposer d'excellentes connaissances sur les problématiques actuelles concernant le Paléolithique moyen et le Paléolithique supérieur récent et justifier de publications sur le sujet.

Dans son projet, l'opérateur devra proposer le nom du responsable scientifique de l'opération et fournir son *curriculum vitae*.

5.2 - Equipe de fouille :

Les effectifs prévus dans le projet d'opération seront définis en fonction de la durée de l'intervention et des objectifs scientifiques émis par le Préfet de région.

Le projet devra en outre indiquer :

- le nombre de responsables de secteurs et leurs compétences respectives, le schéma d'organisation dans lequel ils interviendront ;
- le nombre et les qualifications des spécialistes : technologue lithicien, géomorphologue, sédimentologue, archéozoologue, palynologue, carpologue, anthropologue... ;
- le nombre d'analyses radiométriques envisagées ;
- le nombre de techniciens de fouille et, dans la mesure du possible, leurs compétences particulières.

5.3 - Durée d'intervention :

La fouille aura une durée minimum de **120 jours pour la tranche ferme** et de **20 jours pour la tranche conditionnelle.**

6 - Mise en forme des données

La phase de mise en forme des données consistera à traiter, inventorier, analyser puis mettre

en forme les données de terrain afin de rédiger un **rapport final d'opération**. Il sera rédigé en français.

Le délai limite pour la remise du rapport final est fixé à **24 mois** après la date d'achèvement de la phase terrain.

Le rapport final sera remis en **7 exemplaires**, dont un exemplaire non relié. Deux de ces rapports au moins, comporteront des tirages photographiques argentiques pour des questions d'archivage pérenne ; les autres pourront contenir des photocopies couleur.

L'inventaire détaillé du mobilier issu de l'opération sera joint en annexe des rapports destinés à l'Etat et au propriétaire des terrains.

Le rapport final d'opération sera organisé en **trois sections** :

La première section comprendra :
- **Fiche technique de l'opération** : référence du site, du projet et de l'opération.
- **Générique de l'opération préventive** : liste détaillée des intervenants scientifiques, techniques et administratifs.
- **Eléments de rappel de la prescription** : décision de prescription émise par le Préfet de région, DRAC, SRA.

La deuxième section comprendra dans le corps du rapport :
- **Introduction** : circonstances de l'opération, cadre environnemental et contexte archéologique, données d'archives.
- **Déroulement de l'opération** : modalités techniques, méthodologie, stratégie et objectifs de l'opération. Le rapport indiquera les aspects de la prescription qui n'ont pas pu être pris en compte et / ou qui n'ont pas fourni de résultats, ainsi que les difficultés éventuelles rencontrées lors de la mise en oeuvre de l'opération.
- **Résultats scientifiques** : analyse de la stratigraphie, des structures et du mobilier ; description des résultats.
- **Synthèse scientifique** : diagrammes stratigraphiques de mises en phase et période, conclusions par période chronologique qui renvoient aux plans par phase en regard de l'argumentation archéologique, apport de l'étude topographique et des recherches en archives, comparaisons avec d'autres sites régionaux connus.
- **Documentation iconographique** : carte de localisation (département, commune, site), contexte géologique et topographique, localisation cadastrale, plan général des vestiges dans la parcelle cadastrale et son environnement, plans par phase, planches de mobilier, vues argentiques significatives et tout document susceptible d'éclairer les résultats (archives, restitutions, plans de synthèse...). Les plans devront tous être orientés selon le même axe avec une échelle graphique courante.
- **Bibliographie**

La troisième section regroupera les inventaires :

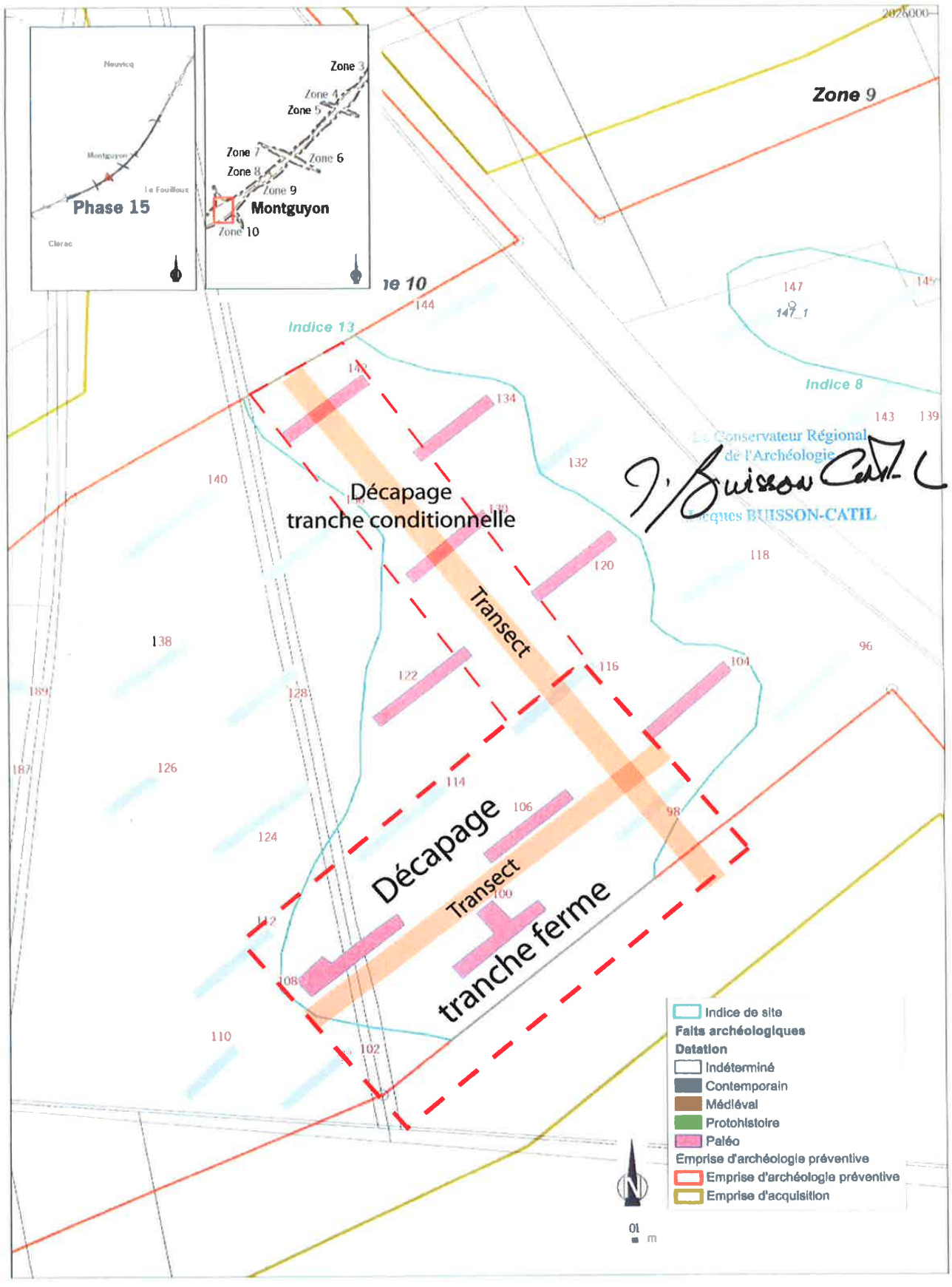
Inventaire de la documentation de terrain, inventaire du mobilier archéologique avec mode d'enregistrement, de stockage et lieu de dépôt provisoire, listing des documents photographiques et du mobilier. Il est impératif que l'inventaire de ce mobilier soit effectué à la parcelle et que le responsable d'opération soit en mesure de fournir la date de sa mise au jour, le propriété étant établie au jour de la découverte.

Le mobilier archéologique devra être conditionné dans le respect des mesures de conservation

préventive adaptées à chaque matériau. Le matériel céramique et lithique, toutes périodes confondues, fera l'objet d'un inventaire et de caractérisations typologiques détaillées. Chaque contenant portera, de manière lisible, et pérenne, le numéro d'opération archéologique ainsi que le numéro de l'arrêté de l'autorisation de fouille.

Les archives de fouille et le mobilier devront être remis à la fin de l'opération selon les normes définies par le SRA de Poitou-Charentes, que le responsable d'opération aura pris soin de connaître avant la phase de mise en forme des données. La remise s'effectuera sur rendez-vous en présence d'un membre du service régional et du responsable d'opération afin de vérifier la conformité du mobilier avec la liste d'inventaire.

7/7


Phase 15
Montguyon
Zone 3
Zone 4
Zone 5
Zone 6
Zone 7
Zone 8
Zone 9
Zone 10
Zone 9
Indice 13
Indice 8
Décapage
tranche conditionnelle
Transect
Décapage
Transect
tranche ferme
Le Conservateur Régional
de l'Archéologie
Jacques BUISSON-CATIL
Indice de site
Faits archéologiques
Datation
Indéterminé
Contemporain
Médiéval
Protohistoire
Paléo
Emprise d'archéologie préventive
Emprise d'archéologie préventive
Emprise d'acquisition
0 m

Autorisation de fouille

COSEA DOP
Courrier reçu le
19 NOV. 2011
N° dymadoc :
Diffusion :

Liberté • Égalité • Fraternité
RÉPUBLIQUE FRANÇAISE

PRÉFET DE LA RÉGION POITOU-CHARENTES

Direction régionale
des affaires culturelles

Service Régional
de l'Archéologie

Affaire suivie par
Jérôme PRIMAULT
Tél. 05.49.36.30.64
Fax 05.49.36.30.65
jerome.primault@culture.gouv.fr

Référence :
JP/CP/A11/2563

POITIERS, le 07 NOV. 2011

BORDEREAU D'ENVOI

Le Conservateur régional de l'archéologie

à

Monsieur Sébastien JOLY
Directeur de secteur
LISEA-COSEA SAS
rue Caroline Aigle BP 90505
86012 POITIERS Cedex

DESIGNATION	NOMBRE	OBSERVATION
LGV SEA Charente-Maritime MONTGUYON Le Bois Clair Arrêté d'autorisation de fouille archéologique préventive n° AA/11/383	1	Transmis pour attribution. Le Conservateur Régional de l'Archéologie par intérim Didier DELHOUME

Hôtel de Rochefort - 102, Grand'Rue - B.P. 553 - 86020 POITIERS CEDEX - Téléphone : 05 49 36 30 30 - Télécopie : 05 49 88 32 02
drac.poitou-charentes@culture.gouv.fr - www.poitou-charentes.culture.gouv.fr

Liberté • Égalité • Fraternité
RÉPUBLIQUE FRANÇAISE

AA/11/383

LE PREFET DE LA REGION POITOU-CHARENTES,
PREFET DU DEPARTEMENT DE LA VIENNE,
OFFICIER DE LA LEGION D'HONNEUR,
OFFICIER DE L'ORDRE NATIONAL DU MERITE

VU le code du patrimoine, et notamment son livre V et sa partie réglementaire, articles R. 522-1 à R.523-68 ;

VU l'arrêté du 16 septembre 2004 portant définition des normes d'identification, d'inventaire, de classement et de conditionnement de la documentation scientifique issu des diagnostics et fouilles archéologiques ;

VU l'arrêté du 27 septembre 2004 portant définition des normes de contenu et de présentation des rapports d'opérations archéologiques ;

VU le décret n° 2004-374 du 29 avril 2004 relatif aux pouvoirs des Préfets, à l'organisation et à l'action des services de l'Etat dans les régions et les départements ;

VU le décret du 22 juillet 2011, portant nomination de M. Yves DASSONVILLE aux fonctions de Préfet de la région Poitou-Charentes, Préfet de la Vienne ;

VU l'arrêté du préfet de la région Poitou-Charentes, préfet de la Vienne, n° 224/SGAR/2011, en date du 30 septembre 2011, portant délégation de signature à Mme Claudine TROUGNOU, directeur régional des affaires culturelles de Poitou-Charentes par intérim (administration générale) ;

VU l'arrêté de prescription de fouille archéologique n° AF/11/221 du 04 juillet 2011 et son cahier des charges ;

VU l'avis favorable de la CIRA Sud-Ouest pour la prescription d'une fouille préventive sur le site paléolithique du Bois Clair à MONTGUYON (Charente-Maritime) ; reçu le 15 septembre 2011 ;

VU le contrat conclu pour la réalisation de la fouille prescrite reçu le 4 novembre 2011 et l'ensemble des autres pièces du dossier de demande d'autorisation ;

CONSIDERANT que le contrat, et notamment le projet d'intervention de l'opérateur, sont conformes au cahier des charges prescrit ;

.../...

ARRETE

Article 1er : LISEA-COSEA, l'aménageur, est autorisé à faire réaliser par PALEOTIME, opérateur, sous la direction scientifique de Sébastien BERNARD-GUELLE, la fouille archéologique préventive portant sur le terrain sis en :

région : Poitou-Charentes
département : Charente-Maritime
commune : MONTGUYON
lieu-dit : Le Bois Clair
cadastré : D 490
Numéro du site archéologique : 17 365 0007
propriété de : LISEA-COSEA

Article 2 : L'aménageur et l'opérateur notifieront au service régional d'archéologie les dates de début et de fin de la fouille au moins cinq jours ouvrables avant le début de l'opération et faciliteront par tous moyens aux représentants de l'Etat l'exercice de leur mission de contrôle. Avec le responsable scientifique, ils veilleront, chacun pour ce qui le concerne, à la mise en œuvre des observations et des instructions formulées par le représentant de l'Etat lors de visites ou de réunions de chantier.

Article 3 : Aux fins de son étude scientifique, le mobilier archéologique issu de la fouille est placé sous la garde de l'opérateur, qui en dresse l'inventaire, prend les dispositions nécessaires à sa sécurité et, en tant que de besoin, à sa mise en état pour étude.
A l'expiration de la période de garde, qui ne peut excéder deux ans à compter de la date de délivrance de l'attestation de libération de terrain visée à l'article 5, l'opérateur remet le mobilier à l'Etat avec la documentation scientifique constituée au cours de l'opération.

Article 4 : Lorsqu'il n'est pas lui-même propriétaire du terrain, l'aménageur communique au service régional d'archéologie le nom et l'adresse du ou des propriétaires afin que ceux-ci puissent, le cas échéant, exercer leurs droits sur le mobilier dont l'inventaire leur sera transmis par l'Etat.

Article 5 : L'aménageur notifie l'achèvement de l'opération de fouille sur le terrain. Dans les quinze jours suivant la réception de cette notification, une attestation de libération du terrain lui est délivrée. Faute de délivrance de l'attestation dans ce délai, celle-ci est réputée acquise.

Article 6 : Le directeur régional des affaires culturelles est chargé de l'exécution du présent arrêté, qui sera notifié à l'aménageur et à l'opérateur.

Fait à Poitiers, le 07 NOV. 2011

Le Préfet de Région et par délégation
P/Le Directeur Régional des Affaires Culturelles,
Le Secrétaire Général
Stéphanie LIORTOLARY

Copie à :

. L'opérateur
. Gendarmerie ou Police urbaine
. Service départemental de l'architecture et du patrimoine
. Préfecture(s) de département(s)
. Mairie(s)
. Direction régionale des affaires culturelles (service régional de l'archéologie)
. Préfecture de région (archivage)
. Personne qui projette les travaux
. Autorité compétente pour instruire la demande d'autorisation

Projet scientifique et technique d'intervention

PROJET SCIENTIFIQUE ET TECHNIQUE D'INTERVENTION

Réalisation d'une fouille archéologique préventive

Site archéologique :
« Bois Clair »
Commune de MONTGUYON
Département de la CHARENTE-MARITIME (17)

Maître d'ouvrage

LISEA-COSEA
Rue Caroline Aigle
BP 90505
86012 Poitiers cedex

Opérateur archéologique

SARL PALEOTIME
272, rue du Lycée polonais
38250 Villard de Lans
Agrément du Ministère de la Culture : arrêté du 31 août 2007

9 septembre 2011

Dossier déposé au titre de :

La loi n° 2001-44 du 17 janvier 2001 relative à l'archéologie préventive, texte consolidé avec la loi n° 2003-707 (NOR: MCCX9900003L) ;

L'ordonnance n° 2004-178 du 20 février 2004, relative au code du patrimoine ;

Du décret n° 2004-490 du 3 juin 2004 relatif aux procédures administratives et financières en matière d'archéologie préventive (NOR : MCCX0400056D) ;

La loi n° 2004-804 du 9 août 2004 relative au soutien à la consommation et à l'investissement ;

Des arrêtés du 25 août 2004, du 8 juillet 2004, du 16 septembre 2004, du 27 septembre 2004 précisant le décret n° 2004-490 ;

L'arrêté du 31 août 2007, portant agrément en qualité d'opérateur d'archéologie préventive de la société PALEOTIME SARL (publication au Journal Officiel de la République Française du 21 septembre 2007) ;

L'arrêté de prescription archéologique N°AF/11/221, DRAC Poitou-Charentes.

SOMMAIRE

1. PRÉSENTATION GÉNÉRALE DU SITE **p. 5**

1.1 État des connaissances au terme du diagnostic archéologique p. 5
1.2 La prescription de fouille – arrêté n° AF/11/221 p. 6
Plan de l'emprise de fouille *p. 7*
Clichés du site *p. 8*

2. PROPOSITION DU PROTOCOLE D'INTERVENTION POUR LA FOUILLE **p.9**

2.1 Calendrier prévisionnel p.9
2.2 Suivi de l'opération p.10
2.3 Installation p.10
2.3.1 Administratif p.10
2.3.2 Réseaux p.10
2.3.3 Parking, base-vie, station de tamisage p.11
2.3.4 Moyens mécaniques mis en œuvre p.11
2.3.5 Sécurité p.12
2.3.6 Topographie p.12
2.3.7 Personnel affecté p.13
Plan avec éléments techniques *p.14*

2.4 Décapage mécanique p.15
2.4.1 Gestion des terres p.15
2.4.2 Déroulement p.15
2.4.3 Moyens mécaniques mis en œuvre p.17
2.4.4 Personnel affecté p.18

2.5 Fouille du site p.18
2.5.1 Méthode p.18
2.5.2 Personnel affecté p.20
Schéma d'organisation de l'équipe de fouille p.21
2.5.3 Matériels mis en œuvre p.21
2.5.4 Traitement des mobiliers p.22

2.6 Repliement et restitution du terrain p.22
2.6.1 Procès-verbal de fin de travaux p.22
2.6.2 Matériels p.23
2.6.3 Personnel affecté p.23
2.6.4 Remise en état du terrain p.23
2.6.5 Plan de récolement p.23

3. ÉTUDES ET POST-FOUILLE **p.24**

3.1 Personnel affecté p.24
3.2 Inventaire et traitement des mobiliers p.26
3.3 Rédaction et remise du Rapport Final d'Opération p.26

4. QUANTITATIF PRÉVISIONNEL DES MOYENS ARCHÉOLOGIQUES **p.27**

5. OPÉRATION DE DIFFUSION DES RÉSULTATS DE LA FOUILLE **p.32**

ANNEXES **p.33**

Annexe 1. Liste des intervenants scientifiques.

Annexe 2. *Curriculum vitae* du responsable d'opération : Sébastien BERNARD-GUELLE.

Annexe 3. *Curriculum vitae* du spécialiste lithique fouille et post-fouille : Alexis TAYLOR.

Annexe 4. *Curriculum vitae* du géoarchéologue : Mathieu RUÉ.

Annexe 5. Fiche de liaison hebdomadaire Paléotime.

Annexe 6. Agrément du Ministère de la Culture en tant qu'opérateur d'archéologie préventive.

Annexe 7. Liste des opérations de fouilles préventives réalisées par PALEOTIME, depuis 2008 - éléments de l'expérience du candidat qui justifient de sa capacité à réaliser les prestations.

Annexe 8. Attestation d'assurance souscrite auprès d'AXA.

1. PRÉSENTATION GÉNÉRALE DU SITE

1.1 État des connaissances au terme du diagnostic archéologique

La phase 15 du diagnostic de la ligne à grande vitesse, reliant Tours à Bordeaux, couvre un peu plus de 31 hectares sur les communes de Montguyon et Saint-Martin-d'Ary, en Charente-Maritime.

Le diagnostic s'est déroulé du 13 décembre 2010 au 14 janvier 2011. Au final, 295 tranchées ont été ouvertes, représentant un peu plus de 5 km linéaires.
Cette phase du diagnostic de la LGV SEA a permis de découvrir deux sites archéologiques, dont un sur la commune de Montguyon, au lieu-dit le *Bois Clair*, regroupant trois niveaux du Paléolithique moyen et supérieur.

Le niveau le plus ancien (niveau 3), n'a été observé que dans une seule tranchée du diagnostic (tr. 106). Il apparaît à 1,90 m de profondeur, au sein de colluvions remaniant les formations tertiaires locales. Il n'a livré que trois pièces qui pourraient se rapprocher d'un Moustérien ancien, antérieur au stade 7 (entre 235 et 190 ka).

Le niveau intermédiaire (niveau 2), apparaît entre 0,60 et 1,10 m de profondeur, dans des formations d'origine éolienne. D'une épaisseur d'environ vingt centimètres, il pourrait s'étendre sur plus de 1000 m^2, avec une concentration autour de la tranchée n° 100. L'industrie lithique bien que patinée reste fraîche et comprend un débitage Levallois. A noter la présence d'un racloir à retouche couvrante en matériau exogène.

Le niveau supérieur (niveau 1), apparaît entre 40 et 60 cm de profondeur. Sa superficie pourrait être de 1200 à 1500 m^2, autour de la tranchée n° 108. Il se développe sur une épaisseur d'environ vingt centimètres au sein de formations éoliennes. L'industrie lithique pourrait être rattachée à titre d'hypothèse au Magdalénien inférieur. Le débitage est orienté vers la production de lames d'assez grande dimension. Les remontages effectués sur le seul m^2 testé lors du diagnostic (tr. 108), montrent une bonne conservation de l'organisation spatiale, ainsi qu'un possible effet de paroi pouvant indiquer la présence d'une aire d'habitat organisée.

Ce type de séquence pléistocène est inconnu en plein air dans la région Poitou-Charentes. Le niveau inférieur, rapproché d'un Moustérien ancien, est très discret et limité spatialement. Le niveau intermédiaire, lui aussi Moustérien, est plus étendu et éventuellement structuré. Le niveau supérieur, peut-être du Magdalénien ancien, présente un bon état de conservation avec une organisation spatiale et la présence d'un paléosol structuré.

Bibliographie

Cahier des Charges scientifiques de l'arrêté préfectoral de prescription de fouille n° AF/11/221.

REDAIS S. (2011) – *Montguyon, Saint-Martin-d'Ary, Poitou-Charentes, Charente-Maritime, LGV SEA1 – Phase 15 PK 76,6 – PK 82,* Rapport de diagnostic, INRAP, 130 p.

1.2 La prescription de fouille : arrêté n° AF/11/221

L'arrêté préfectoral de prescription de fouille n°AF/11/221 est accompagné d'un Cahier des Charges scientifiques du Service Régional de l'Archéologie Poitou-Charentes, qui précise notamment : l'emprise de fouille, les objectifs scientifiques et principes méthodologiques, et la durée d'intervention.

L'emprise de fouille

L'emprise de fouille s'organise autour de deux transects perpendiculaires, avec une zone de 5 225 m^2 au sud et une zone de 2 000 m^2 au nord-ouest. Cette dernière pourra être traitée en fonction des résultats obtenus après l'étude de son transect (figure 1).

Objectifs scientifiques et principes méthodologiques

La fouille préventive envisagée a pour objectif principal de statuer sur la fonction des trois occupations paléolithiques, en caractérisant les objectifs techniques des productions lithiques et leur organisation spatiale. Il s'agira de replacer ces occupations dans un contexte chrono-culturel régional et extra-régional.

L'opération devra se dérouler en deux temps, avec **une tranche ferme** et **une tranche conditionnelle**. L'objectif de la tranche conditionnelle est, en fonction des observations recueillies, notamment lors de l'ouverture du transect NW-SE, d'ouvrir des fenêtres ponctuelles de décapage permettant de disposer d'une vision en plan des éventuelles nappes de vestiges observées dans les coupes.

Durée de l'intervention

Cette fouille aura **une durée minimum de 120 jours pour la tranche ferme et de 20 jours pour la tranche conditionnelle.**

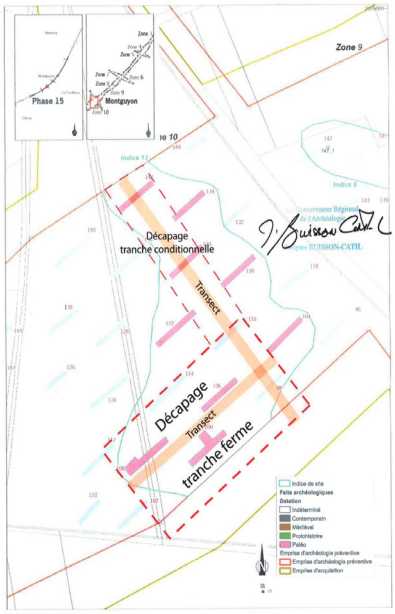


Figure 1. Emprise de fouille (cahier des charges de la DRAC, SRA Poitou-Charentes).





Vues générales du site (*Clichés Paléotime).*

2. PROPOSITION DU PROTOCOLE D'INTERVENTION POUR LA FOUILLE

2.1 Calendrier prévisionnel

Proposition de calendrier prévisionnel pour l'opération

Sous réserve de la réception par l'Opérateur de la notification du marché et de l'arrêté d'autorisation préfectoral de fouille au plus tard le 26 septembre 2011.

1. => Durée de la phase de préparation : **15 jours ouvrés**

Calendrier prévisionnel : 26 septembre au 14 octobre 2011.

2. => Durée de la phase de déplacement de l'équipe technique et installation du chantier :

4 jours ouvrés

Calendrier prévisionnel : 11 au 14 octobre 2011.

3. => Durée de la phase terrain

3.1 Tranche ferme (les deux transects et fouille zone sud)

Transects stratigraphiques et décapage jusqu'au niveau 1 **15 jours ouvrés**

Calendrier prévisionnel : 17 octobre au 4 novembre 2011

Fouille des niveaux 1, 2 et 3 avec décapages **105 jours ouvrés**

Calendrier prévisionnel : 7 novembre 2011 au 30 mars 2012 hors report des jours d'intempéries.

3.2 Tranche conditionnelle (fouille zone nord)

Décapage et fouille de fenêtres ponctuelles **20 jours ouvrés**

Calendrier prévisionnel : pendant la tranche ferme.

4. => Durée de la phase étude : **24 mois** maximum après la fin de la phase terrain

2.2 Suivi de l'opération

En préalable au début de la fouille, le responsable d'opération élaborera en collaboration avec les différents partenaires, un calendrier de réunions de chantier :
- Maîtrise d'ouvrage ;
- Service Régional de l'Archéologie Poitou-Charentes ;
- intervenants ponctuels.

Durant la phase de terrain, le Maître d'ouvrage et le Service Régional de l'Archéologie seront hebdomadairement informés du déroulement des travaux archéologiques par le biais d'une fiche de « bilan hebdomadaire-Paléotime », qui sera transmise par le responsable d'opération chaque fin de semaine (*cf.* annexe 5).

Le responsable d'opération ou l'Opérateur informera immédiatement l'Aménageur et le Service Régional de l'Archéologie de toute difficulté ou de tout incident.

2.3 Installation

2.3.1 Administratif

Obtention de l'autorisation de fouilles nominative délivrée par le Service Régional de l'Archéologie Poitou-Charentes, au responsable de l'opération : **monsieur Sébastien BERNARD-GUELLE** (CV : *cf.* annexe 2).

Élaboration et envoi des DICT (déclaration d'intention de commencement de travaux) par l'Opérateur qui en fait son affaire personnelle préalablement à son intervention sur site.

Élaboration du PPSPS (plan particulier de sécurité et de protection de la santé).

Envoi à la mairie de Montguyon (17) de la déclaration d'ouverture de chantier.

Assurance : souscrite auprès d'AXA (*cf.* annexe 8).

Agrément du Ministère de la Culture et de la Communication en tant qu'Opérateur d'archéologie préventive, arrêté publié au J.O. du 21 septembre 2007. (*cf.* Annexe 6).

2.3.2 Réseaux

L'alimentation électrique est à la charge de l'Opérateur. Celle-ci sera assurée par une alimentation autonome (groupe électrogène de 10 Kva).

L'alimentation en eau est à la charge de l'Opérateur. L'opérateur mettra en place une réserve souple, installée sur une plateforme, qui sera utilisée uniquement pour les besoins des travaux archéologiques (tamisage, nettoyage des outils, etc.).

2.3.3 Parking, base-vie, station de tamisage

Parking, base-vie

Le parking et la base-vie seront installés à proximité immédiate de la route (figure 2). Il sera procédé à un nivellement d'une zone d'environ 300 m² pour accueillir les véhicules et les installations.

La base-vie sera composée de :
- un bungalow vestiaire ;
- un bungalow bureau/salle de réunion ;
- un bungalow pour la salle de réfectoire ;
- deux cabines WC autonomes (Homme et Femme).

Deux containers, dans lesquels se trouvera l'ensemble du matériel de chantier seront implantés à proximité immédiate de l'emprise de fouille.

Station de tamisage

Pour le traitement des sédiments, il sera aménagé à proximité de l'emprise de fouille un poste de tamisage à l'eau, sur 10 m² et 0,60 m de profondeur, avec évacuation en puits perdu. Une plateforme en terre sera réalisée pour la poche d'eau. Cette poche sera alimentée autant de fois que nécessaire.
Le tamisage sera réalisé uniquement à l'eau, sans aucun additif de quelque nature que ce soit.

2.3.4 Moyens mécaniques mis en œuvre

Le coût des moyens mécanique est à la charge de l'Aménageur :

- nivellement du parking et base-vie ;
- creusement de la station de tamisage ;
- plateforme poche d'eau.

Soit 1/2 jour de pelle mécanique 25t minimum avec chauffeur.

2.3.5 Sécurité

Barrière

Une barrière souple de sécurité de 1,20 m de hauteur sera installée autour de l'emprise de fouille, du dépôt des terres, des containers et de la station de tamisage, soit environ 500 m linéaires, durant toute la durée du chantier.

Signalétique

Signalétique obligatoire légale en matière d'accès, de circulation et du port du matériel de sécurité des personnes en relation avec le type d'activité (précisé dans le PPSPS).

Équipement individuel

L'équipement de protection individuelle est composé de casques de chantier, casques anti-bruits, lunettes de protection, gilets de sécurité, gants, genouillères et chaussures de sécurité.

Sécurité incendie, trousse d'urgence, affichage légal

Dans les bungalows, matériel de sécurité incendie adapté et affichage légal obligatoire et présence d'une trousse de première urgence.

Une attention particulière sera portée aux éléments et aux consignes de sécurités liées à l'évolution du personnel dans les rayons d'action des machines.

Secouriste du travail

Sur le chantier, présence permanente d'un secouriste du travail qualifié et d'une personne formée à la sécurité sur les chantiers archéologiques en la présence du responsable d'opération monsieur Sébastien BERNARD-GUELLE qui a la qualification SST (Sauveteur Secouriste du Travail).

Gardiennage du site archéologique et des installations

Les besoins éventuels de gardiennage du site de fouille sont de la responsabilité de l'Opérateur.

2.3.6 Topographie

Le raccordement topographique devra être réalisé par l'Opérateur, à sa charge, en concertation avec l'Aménageur pour le nombre et l'emplacement des points de références. Le balisage devra être réalisé impérativement par un géomètre expert avant le début de la fouille.

Le piquetage de l'emprise de la zone de fouille sera réalisé par l'Opérateur, en coordonnées Lambert II étendu et basé sur le niveau NGF.

L'Opérateur prend à sa charge le levé de l'état des lieux et tous les travaux de topographie liés aux recherches archéologiques.

2.3.7 Personnel affecté

Soit personnel affecté à l'installation :

1 responsable technique	4 jours/h
1 topographe	4 jours/h



Voie d'accès pour la livraison des bungalows, des containers, des engins et de l'équipe de fouille au quotidien *(Cliché Paléotime)*.

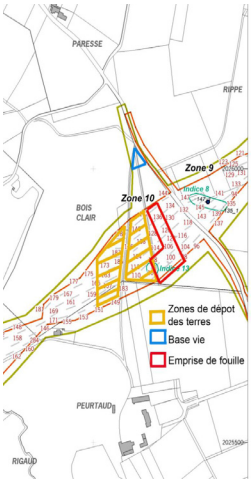


Figure 2. Plan avec localisation des données techniques *(Rapport de diagnostic ; compléments Paléotime)*.

2.4 Décapage mécanique

2.4.1 Gestion des terres

Les matériaux seront décapés et stockés en distinguant les différents horizons.

Ils seront déposés en périphérie immédiate de la zone de fouille (figure 2), et de façon à ce que cela ne fasse pas obstacle à l'écoulement normal des eaux en cas de pluie.

L'Aménageur mettra à disposition une surface minimum de 10 000 m² à proximité immédiate de la zone de fouille, pour le dépôt d'environ 10 000 à 13000 m^3 de matériaux (figure 2).

Le cubage global de matériaux à extraire de la fouille demeure approximatif car le projet comporte une tranche conditionnelle (zone nord), comme stipulée dans le cahier des charges du SRA.
Celui-ci mentionne l'ouverture de fenêtres ponctuelles qui seront guidées par la présence/absence de vestiges archéologiques. Il est donc impossible de donner une estimation précise du cubage pour cette éventuelle tranche conditionnelle. Il est donc proposé de prévoir l'extraction de 1000 à 3000 m^3 de matériaux dans cette zone nord.
Au vu des dimensions de l'emprise dans la zone nord, une partie des matériaux pourront être déposés directement par la pelle mécanique, en limites d'emprise et/ou sur les secteurs stériles.

2.4.2 Déroulement

A tout moment de l'ouverture des transects ou des différents décapages une réunion sera organisée entre l'Aménageur, l'Opérateur et un représentant du Service Régional de l'Archéologie, afin de dresser un premier bilan des découvertes et plus particulièrement de la nature et du nombre de structures archéologiques à traiter. Sera alors décidé par le représentant de l'Etat l'engagement, ou non, de la tranche conditionnelle.

1. **Tranche ferme : les deux transects et la fouille de la zone sud**

Tranchées stratigraphiques, approche géoarchéologique

Dans un premier temps, deux tranchées perpendiculaires seront ouvertes dans les deux grands axes de la surface de fouille, NW-SE (140 m) et SW-NE (120 m).

Le géoarchéologue, monsieur Mathieu RUÉ (CV. *cf.* Annexe 4), sera présent pour diriger l'étude et les relevés des coupes stratigraphiques, références pour la

durée de l'opération.
Ces deux coupes serviront :

- au séquençage rapide du sol en unités pédosédimentaires ;
- à la compréhension de la géométrie d'ensemble des dépôts ;
- à préciser où et comment s'insèrent les vestiges (niveau d'apparition, épaisseur des nappes d'objets, etc.) supports aux projections ;
- à la définition des lieux de prélèvements (micromorphologie, granulométrie, radiométrie).

Le géoarchéologue réalisera des mesures *in situ* de la susceptibilité magnétique. Le susceptibilomètre sera à disposition pour l'ensemble de la fouille.

Le mobilier archéologique découvert lors de l'ouverture de ces tranchées sera spatialisé. Des tests de tamisage seront effectués dans les zones de concentration de mobilier. La fouille manuelle des concentrations lithiques situées contre ou à proximité des coupes de référence permettra d'apporter des données sur les modalités de mise en place des dépôts et sur la taphonomie des vestiges.

La mise au propre de ces informations sera réalisée par le responsable topographe, monsieur Jean-Baptiste CAVERNE, afin de disposer d'un plan de répartition du mobilier.

Ces deux tranchées auront une largeur de 2 à 4 m et une profondeur d'environ 2 m. Des paliers de sécurité seront mis en place le temps de poursuivre le décapage sur le reste de l'emprise.

Décapages jusqu'aux trois niveaux archéologiques

L'ensemble de la surface de fouille restante dans la zone nord (4 525 m^2), située de part et d'autre du transect SW-NE fera l'objet d'un décapage mécanique par passes successives à l'aide d'un godet lisse de curage, de façon à atteindre le premier niveau du Paléolithique supérieur, qui apparaît entre 40 et 60 cm sous le sol actuel. La fouille des vestiges sera alors engagée.

Une fois le premier niveau fouillé, un deuxième décapage mécanique sera réalisé pour atteindre le niveau moustérien intermédiaire qui apparait entre 0,60 et 1,10 m sous le sol actuel.

Enfin, en fonction des données recueillies dans le transect d'axe SW-NE , notamment sur l'état de conservation du niveau de base et de la présence d'éventuelles concentrations de mobilier, des fenêtres d'élargissement devront être décapées de façon à atteindre le niveau moustérien à la base de la séquence, vers 1,90 m de profondeur.

Si nécessaire, des bermes témoins conservant l'ensemble de la séquence pourront être conservées, pour permettre des recoupements entre les vestiges archéologiques et le contexte stratigraphique. En effet, le problème des tranchées stratigraphiques situées au centre des emprises est leur élimination progressive lors des décapages mécaniques successifs.

2. Tranche conditionnelle (fouille de la zone nord)

L'engagement, ou non, de la tranche conditionnelle sera décidée par le représentant de l'État, après réunion.

En fonction des observations réalisées sur le transect stratigraphique NW-SE, des fenêtres ponctuelles de décapage concernant d'éventuelles nappes de vestiges pourront être réalisées.

En cas d'application, cette tranche sera engagée en parallèle à la tranche ferme, à un moment jugé opportun par le responsable d'opération.

2.4.3 Moyens mécaniques mis en œuvre

Le coût des moyens mécanique est à la charge de l'Aménageur :

Tranche ferme - tranchées stratigraphiques et décapages :

Cubage estimé hors foisonnement : environ 10 000 m^3.

Durée/types d'engins :

- 35 jours de pelle mécanique chenillée 25 tonnes, équipée d'un godet lisse de curage de 2 m et d'un godet lisse de taille inférieure au mètre (avec chauffeur), avec trois transferts ;

- 47 jours de dumpers (avec chauffeurs), avec trois transferts ;

- 2 jours de bulldozer (avec chauffeur), pour compactage des terres sur l'aire de dépôt.

Tranche conditionnelle – fenêtres ponctuelles de décapage :

Cubage approximatif estimé hors foisonnement : 1000 à 3000 m^3;

- 10 jours de pelle mécanique chenillée de 25 tonnes équipée d'un godet lisse de curage de 2 m et d'un godet lisse de taille inférieure au mètre (avec chauffeur) ;

2.4.4 Personnel affecté

Les trois premières semaines seront consacrées à la réalisation et l'étude des deux tranchées stratigraphiques, à la fouille de leurs vestiges et au décapage archéologique jusqu'au niveau 1 du Paléolithique supérieur.

Une équipe de six personnes sera présente. Elle sera constituée par le responsable d'opération, le géoarchéologue, un responsable de secteur (lithicien - Paléolithique supérieur), un topographe et deux techniciens.

Un responsable technique assurera, en collaboration avec le responsable d'opération, la gestion des moyens mécaniques, s'assurera du bon fonctionnement du poste de tamisage et réalisera si besoin les derniers aménagements.

Soit personnel affecté (semaine n°1 à 3) :

1 responsable d'opération - lithicien	15 jours/h
1 responsable de secteur - lithicien	15 jours/h
1 topographe	15 jours/h
2 techniciens	30 jours/h
Interventions de spécialistes :	
1 géoarchéologue	10 jours/h
1 responsable technique	5 jours/h

2.5 Fouille du site

2.5.1 Méthode

La réalisation des deux tranchées stratigraphiques, aura permis de séquencer la couverture sédimentaire, de préciser la puissance des niveaux archéologiques, d'obtenir les premières données sur les conditions taphonomiques du site et d'orienter le décapage sur le reste de l'emprise.

Le responsable d'opération, monsieur Sébastien BERNARD-GUELLE, sera assisté par un responsable de secteur, monsieur Alexis TAYLOR (CV *cf.* Annexe 3) spécialiste des industries magdaléniennes.

Conformément au cahier des charges scientifiques du Service Régional de

l'Archéologie, la fouille des trois niveaux archéologiques sera réalisée selon les principes méthodologiques suivants :

- les nappes de vestiges et les éventuelles structures seront fouillées manuellement ;
- les objets seront relevés individuellement dans les trois dimensions de façon à faciliter la phase de post-fouille et l'étude de l'organisation spatiale des activités ;
- le sédiment des zones de concentrations de mobilier sera tamisé à l'eau sur tamis à maille fine, de façon à récolter les plus petits éléments laissés par la fouille manuelle;
- un ou deux techniciens interviendront sur ce poste de travail primordial pour l'opération, afin d'assurer un rythme synchrone à la fouille, à « flux tendu », et éviter d'avoir des volumes à traiter en post-fouille ;
- des prises de mesures pour des tests de fabriques sur les éléments allongés seront réalisées et le prélèvement des silex taillés sera adapté afin de conserver leur potentiel tracéologique ;
- toutes les structures repérées seront relevées en plans géoréférencés et en coupes. Il en sera réalisé un descriptif détaillé accompagné d'une iconographie adaptée.

Géoarchéologie, microstratigraphie

Le géoarchéologue interviendra également ponctuellement durant la phase de fouille.

Sur des portions des coupes de référence (séquences types), seront concentrés les principaux prélèvements pour les analyses : granulométrie et pétrographie de la fraction > 2 mm, microgranulométrie de la fraction fine, microstratigraphie (lames minces), datations radiométrique et OSL.

Dans le cadre de l'étude taphonomique du niveau archéologique, les prélèvements destinés au tamisage pour la granulométrie seront de préférence réalisés dans les mêmes zones que les tests de fabriques.

Datations

Conformément au cahier des charges, des datations sont envisagées. Lors de la fouille pourront être réalisés :

- des carottes sédimentaires pour trois datations OSL ;
- des prélèvements d'artefacts siliceux chauffés pour trois datations par thermoluminescence ;
- des échantillons pour la réalisation d'une datation radiocarbone.

Les relevés graphiques minimum prévus

- raccordement au cadastre, au système Lambert II étendu et niveau NGF;
- plan de masse de l'ensemble du terrain, implantation de la fouille ;
- relevés de détails au 1/20ème, éventuellement au 1/10ème ;

- relevés spatiaux de mobiliers au théodolite laser ;
- relevés et photographies zénithales, photomontages éventuels ;
- relevés des coupes stratigraphiques générales et des détails le cas échéant.

2.5.2 Personnel affecté

En quatrième semaine l'équipe sera renforcée avec l'arrivée de deux techniciens supplémentaires. Un technicien assistant topographe prendra le relai pour les relevés de terrain. L'équipe sera alors constituée de sept archéologues jusqu'à la fin de la fouille (figure 3).

Présent dès le début du décapage, le géoarchéologue interviendra également ponctuellement pendant la fouille.

Un topographe réalisera le traitement des données et les rendus des coupes et plans et se rendra si nécessaire ponctuellement sur le terrain.

En cas d'application de la tranche conditionnelle, celle-ci sera engagée en parallèle à la tranche ferme, avec un effectif supplémentaire constitué d'un second responsable de secteur et de quatre techniciens.

Tranche ferme – fouille - personnel archéologique affecté (semaines n° 4 à 24) :

1 responsable d'opération - lithicien	105 jours/h
1 responsable de secteur – lithicien	105 jours/h
1 technicien – assistant topo	105 jours/h
4 techniciens	420 jours/h
Interventions de spécialistes :	
1 géoarchéologue	10 jours/h
1 topographe	10 jours/h
1 responsable technique	10 jours/h
Interventions ponctuelles de spécialistes	5 jours/h

…/…

Tranche conditionnelle – personnel archéologique affecté :

1 responsable de secteur	20 jours/h
4 techniciens	80 jours/h

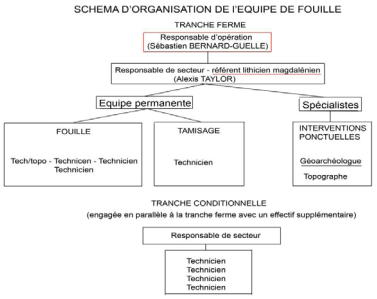


Figure 3. Schéma d'organisation de l'équipe de fouille.

2.5.3 Matériels mis en œuvre

Le coût des moyens mécaniques est à la charge de l'Opérateur.

Afin de circonscrire au mieux les zones positives, de pallier à la variabilité d'apparition des vestiges, de réaliser les vérifications de fin de fouille pour chaque niveau, il est nécessaire de prévoir la présence ponctuelle d'une mini-pelle.

Moyens mécaniques – phase fouille :

Durée : 5 jours.

Type d'engin : une mini-pelle pelle chenillée de 5-8 tonnes, équipée d'un godet lisse de curage, de 2 m et d'un godet lisse inférieur au mètre (avec chauffeur), avec deux transferts.

Au minimum trois abris de type serre (25 m²) sont prévus pour la durée du chantier afin d'assurer la protection des secteurs de fouille manuelle.

L'équipement technique courant qui sera utilisé se compose d'un groupe électrogène, d'une pompe de refoulement, de matériel photographique numérique, de matériel informatique et tout le matériel nécessaire aux travaux de fouille manuelle.

Une station théodolite laser sera présente en permanence sur la fouille. En cas d'engagement de la tranche conditionnelle en parallèle à la tranche ferme, une seconde station sera mise à disposition.

2.5.4 Traitement des mobiliers

Le mobilier archéologique sera inventorié et conditionné dans des boîtes standardisées, sécurisées dans des caisses plastiques normalisées et étiquetées et mis en sécurité hors site.

2.6 Repliement et restitution du terrain

2.6.1 Procès verbal de fin de travaux

A la fin de l'opération de terrain, un procès verbal contradictoire de fin de travaux sera dressé entre l'Opérateur et l'Aménageur. L'Aménageur communiquera ce procès-verbal au Préfet afin qu'il lui délivre l'attestation de libération de terrain visée par l'article 53 du décret n°2004-490 du 3 juin 2004.

2.6.2 Matériels

L'Opérateur procédera à :

- la récupération de l'ensemble des barrières ;
- l'enlèvement des bungalows, containers, et des constructions annexes (tamisage) ;
- nettoyage du site.

2.6.3 Personnel affecté

1 responsable technique	3 jours/h
1 technicien	3 jours/h

2.6.4 Remise en état du terrain

La remise en état du terrain sera assurée et prise en charge par l'Aménageur.

2.6.5 Plan de récolement

L'Opérateur transmettra à l'Aménageur dans le délai maximum de quinze jours après la signature du procès-verbal précité, un plan de récolement faisant apparaître:

- les accès utilisés ;
- la position exacte du périmètre de fouilles, ainsi que l'emplacement précis des terres stockées ;
- les différentes profondeurs des fouilles réalisées.

Le plan de récolement sera remis au format papier (2ex) et au format numérique natif (dwg).

3. ÉTUDES ET POST-FOUILLE

3.1 Personnel affecté

Le responsable d'opération assurera l'organisation et la répartition des travaux et analyses, leur suivi et contrôle, de la réalisation jusqu'aux rendus des résultats de ses collaborateurs et des laboratoires concernés (*cf.* annexe 1), qu'il devra valider. Il rédigera les parties du Rapport Final d'Opération lui afférents.

Un ou deux techniciens / RS seront en charge du traitement du matériel (lavage, marquage, conditionnement), du tamisage des prélèvements sédimentaires le cas échéant, d'une partie des inventaires et de l'archivage de la documentation réalisée lors de la fouille.

Un infographe assurera la mise au net des relevés de terrain, la réalisation et le traitement des photos et des figures (DAO).

Un topographe réalisera les plans et les projections du mobilier archéologique, ainsi que le plan de récolement à remettre à l'Aménageur.

Un dessinateur, également lithicien, réalisera la représentation graphique du mobilier, donc essentiellement de l'industrie lithique.

Un infographiste mettra en page l'ensemble des données validées par le responsable d'opération, afin de constituer le Rapport Final d'Opération.

Plusieurs spécialistes seront en charge des études scientifiques :

- un géoarchéologue : stratigraphie, micromorphologie (lames minces), étude de la distribution de la fraction granulométrique de l'assemblage lithique, étude des tests de fabriques, suivi et interprétation des datations OSL ;

- un pétroarchéologue réalisera la caractérisation et la provenance des silex ; si possible l'étude concernera également l'évolution des textures et de la morphologie des surfaces (facteurs mécaniques et chimiques) ; ce complément d'information permet de reconstituer l'histoire post-génétique des roches, avant (pré-dépositionnelle) et après (post-dépositionnelle) leur utilisation par l'homme ;

- un malacologue étudiera les mollusques si présents ;

- un tracéologue fera l'analyse fonctionnelle des silex taillés ;

- deux lithiciens spécialistes des industries du Paléolithique moyen et supérieur réaliseront les études technologiques et typologiques avec propositions d'interprétations chronoculturelles.

L'étude taphonomique du mobilier (granulomètrie, fabriques, remontages, analyse spatiale, état de surface) nécessitera une approche croisée entre le géoarchéologue, les lithiciens, le pétrographe et le tracéologue.

L'ensemble des résultats des différentes études seront intégrés dans le cadre des connaissances locales, régionales et si possible nationales.

Les principaux spécialistes participeront, en collaboration avec le responsable d'opération, aux synthèses rédactionnelles du Rapport Final d'Opération, afin d'assurer un croisement des résultats issus des différentes approches.

Liste des intervenants pour les travaux et études de la post-fouille :

1 responsable d'opération

1 responsable de secteur

2 technicien(s)

1 infographe – DAO et photos de mobilier

1 topographe

1 dessinateur

1 infographe - mise en forme du RFO

1 géoarchéologue

1 anthracologue

1 malacologue

1 pétroarchéologue - matières premières siliceuses

1 lithicien – Paléolithique supérieur

1 lithicien – Paléolithique moyen

1 spécialiste taphonomie lithique - granulométrie du mobilier et fabriques

1 tracéologue

3.2 Inventaire et traitement des mobiliers

Conformément aux arrêtés du 16 septembre 2004 (JO du 28 septembre 2004) et du 27 septembre 2004 (JO du 14 octobre 2004) du Ministère de la Culture et de la Communication, un inventaire exhaustif de l'ensemble du mobilier sera rendu sous forme papier et numérique.

Le conditionnement du mobilier sera conforme au protocole en vigueur.

Les mobiliers et la documentation scientifique constitués au cours de l'opération seront remis à l'État, conformément au cahier de charges, dans le respect des mesures de conservation préventive adaptées à chaque matériau.

3.3 Rédaction et remise du Rapport Final d'Opération

La mise en forme des données et la transmission du rapport final d'opération se feront selon les modalités définies par le décret n° 2004-490 du 3 juin 2004 relatif aux procédures administratives et financières en matière d'archéologie préventive et à l'arrêté interministériel du 27 septembre 2004 portant définition des normes de contenu et de présentation des rapports d'opérations archéologiques.

Le rapport final d'opération sera organisé en trois sections conformément à l'arrêté interministériel du 27 septembre 2004 (titres I, II et III).

Conformément au Cahier des Charges du Service Régional de l'Archéologie, le délai maximal pour la remise du Rapport Final d'Opération est fixé à 24 mois après la date d'achèvement de la phase terrain.

4. QUANTITATIF PRÉVISIONNEL DES MOYENS ARCHÉOLOGIQUES

Le quantitatif prévisionnel proposé a été élaboré sur la prise en compte des données de l'opération de diagnostic préalable, avec la réalisation de projections statistiques, et avec l'expérience acquise sur d'autres opérations de fouilles préventives assez similaires.

La représentativité statistique est susceptible dans certains cas d'être remise en cause lors de la fouille exhaustive de l'emprise. Il est en effet possible que les caractéristiques réelles du gisement fouillé diffèrent des hypothèses élaborées dans le cadre du PSTI : type de vestiges différents, nombres différents, présences de vestiges non identifiés par le diagnostic, etc.

Le quantitatif prévisionnel total de l'opération de fouille pourrait alors, tout en respectant l'enveloppe des jours/homme initiale, montrer une répartition détaillée par poste qui diverge des valeurs quantitatives initialement attendues.

Dans ce cas, l'opérateur se réserve le droit de procéder aux ajustements nécessaires des jours/homme dans le respect du budget prévisionnel total, sans que ces modifications ne remettent en cause la validité du contrat signé par les parties.

TRANCHE FERME

Phase préparatoire (11 jours/homme) :

1 responsable d'opération	4 jours/h
1 responsable technique	5 jours/h
1 géoarchéologue	1 jour/h
1 topographe	1 jour/h

Phase terrain (874 jours/homme) :

Phase installation du chantier (8 jours/homme) :

1 responsable technique	4 jours/h
1 topographe	4 jours/h

Phase de tranchées stratigraphiques, décapage jusqu'au niveau 1 – semaines n° 1 à 3 (90 jours/homme) :

1 responsable d'opération	15 jours/h
1 responsable de secteur	15 jours/h
1 topographe	15 jours/h
2 techniciens	30 jours/h

…/…

Interventions de spécialistes :

1 géoarchéologue	10 jours/h
1 responsable technique	5 jours/h

Fouille et décapages - niveaux 1, 2, et 3 – semaines n° 4 à 24 (770 jours/homme) :

1 responsable d'opération	105 jours/h
1 responsable de secteur	105 jours/h
1 technicien assistant-topo	105 jours/h
4 techniciens	420 jours/h

Interventions de spécialistes :

1 géoarchéologue	10 jours/h
1 topographe	10 jours/h
1 responsable technique	10 jours/h
Interventions ponctuelles spécialistes	5 jours/h

Phase désinstallation du chantier (6 jours/homme) :

1 responsable technique	3 jours/h
1 topographe	3 jours/h

Phase post-fouille (366 jours/homme) :

1 responsable d'opération	100 jours/h
1 responsable de secteur	20 jours/h
2 techniciens – lavage, marquage, tamisage, inventaires	30 jours/h
1 technicien – inventaire et conditionnement du mobilier et des archives de fouille pour dépôt au SRA	10 jours/h
1 infographe – DAO et photos de mobilier	20 jours/h
1 topographe	5 jours/h
1 dessinateur	20 jours/h
1 infographe (mise en forme du rapport)	8 jours/h
1 géoarchéologue	20 jours/h

.../...	
1 anthracologue	5 jours/h
1 malacologue	1 jour/h
1 pétroarchéologue - matières premières	20 jours/h
1 lithicien – Paléolithique supérieur	40 jours/h
1 lithicien – Paléolithique moyen	40 jours/h
1 spécialiste taphonomie lithique - granulométrie du mobilier et fabriques	7 jours/h
1 tracéologue	20 jours/h

TRANCHE CONDITIONNELLE

Phase terrain (100 jours/homme) :

Décapage et fouille de fenêtres ponctuelles - engagée en parallèle à la tranche ferme (80 jours/homme) :

1 responsable de secteur	20 jours/h
4 techniciens	80 jours/h

Phase post-fouille (65 jours/homme) :

1 responsable d'opération	10 jours/h
1 responsable de secteur	10 jours/h
1 technicien - lavage, marquage, tamisage, inventaires, conditonnement et archives de fouille pour dépôt au SRA	10 jours/h
1 infographe – DAO et photos de mobilier	5 jours/h
1 lithicien – Paléolithique supérieur	15 jours/h
1 lithicien – Paléolithique moyen	15 jours/h

Pour information, un montant forfaitaire de 5100,00 € HT est inclus dans le post-fouille, comprenant :

Datations :
- trois datations OSL (1800,00 € HT) ;
- trois datations TL (1800,00 € HT) ;
- une datation radiocarbone (300,00 € HT) ;

Micromorphologie :
Dix lames minces de grand format (6x13 cm) (1000,00 € HT) ;

Granulométrie :
Tamisage manuel et granulométrie par diffraction laser le long d'une colonne, tri pétrographique de la fraction > 2 mm (200,00 € HT) ;

Susceptibilité magnétique :
Mesures *in situ* de la susceptibilité magnétique.

5. OPÉRATION DE DIFFUSION DES RÉSULTATS DE LA FOUILLE

Paléotime propose la réalisation d'une conférence sur les résultats scientifiques de l'opération de fouille, par le Responsable d'opération.

La date et le lieu de cette intervention seront à définir avec l'Aménageur. Elle peut avoir lieu pendant ou après la fouille.

Afin de s'adresser à un public aussi large que possible, il est proposé une diffusion de type « grand public ».
Cependant, le discours est adaptable selon le public qui sera concerné.

L'ensemble des modalités de cette opération seront définies en collaboration avec l'Aménageur.

Cette intervention est proposée à titre gratuit.

SECTION 2

L'opération et ses résultats

Chapitre 1

1. Cadre de l'intervention

S. Bernard-Guelle

1.1. Localisation du site

Le site archéologique de Bois Clair est situé au sud du département de la Charente Maritime (17), en territoire de Haute Saintonge, à une cinquantaine de km à mi-chemin entre Bordeaux, au sud-ouest, et Angoulême, au nord-est (fig. 01). Il est localisé sur la commune de Montguyon, au sud-est de la ville, à proximité de la zone industrielle de Clairevent, sur les parcelles D491 et surtout D490. Ces parcelles sont bordées à l'est par une voie communale (route de Colinet) et à l'ouest par un chemin communal (fig. 02 et 1-01). Les limites nord et sud sont définies par les limites cadastrales. L'appellation « Bois Clair » fait référence au couvert forestier de pins maritimes qui s'étendait sur l'ensemble de la zone. D'une altitude comprise entre 79.90 et 83.78 mètres NGF (nivellement général de la France), le site est implanté sur le point haut du paysage et domine la rivière Mouzon d'une quarantaine de mètres.

1.2. Circonstances de l'intervention

La fouille préventive du site de Bois Clair s'inscrit dans le cadre du projet de construction de la ligne à grande vitesse Sud Europe Atlantique (LGV SEA). Celle-ci a pour but de prolonger la branche sud-ouest de la LGV Atlantique jusqu'à Bordeaux afin de pouvoir rejoindre Toulouse et l'Espagne. La saturation des lignes de trains entre régions (TER) et la réduction du temps de transport, notamment en direction de Paris, sont à l'origine de ce projet. La LGV SEA se divise en deux sections : la LGV SEA1 qui concerne le tracé entre Angoulême et Bordeaux et la LGV SEA 2 reliant Tours à Angoulême. Le projet de construction a été déclaré d'utilité publique en 2006 pour la section Angoulême Bordeaux et en 2009 pour la section Angoulême Tours. Un appel d'offres a été lancé en 2007, les travaux ont débuté début 2012 et la mise en service est prévue pour 2017. Trois régions, six départements, 126 communes sont concernés par les 302 kilomètres de lignes ferroviaires. En amont des travaux, le directeur de projet LISEA-COSEA a fait une demande de réalisation de diagnostic aux services du Ministère de la Culture pour la réalisation de diagnostics archéologiques sur les communes de Charente et de Charente Maritime.

1.3. Connaissances avant l'opération

1.3.1. Les acquis du diagnostic

La campagne de diagnostic réalisée par l'Inrap sur les communes de Saint Martin d'Ary et de Montguyon s'est déroulée du 13 décembre 2010 au 14 janvier 2011 (Redais dir., 2010). Cette phase 15 du diagnostic concernait 31 hectares dont cinq pour cent ont pu être sondés. Au final, 58 sondages sur 295 se sont révélés positifs. Plusieurs concentrations de mobilier céramique ou lithique et quelques structures (notamment des puits d'extraction de l'argile) ont ainsi été localisées. Deux sites principaux ont été repérés et prescrits : un vaste enclos fossoyé de la fin du second âge du Fer et le site paléolithique stratifié de Bois Clair. Ce dernier a livré trois niveaux d'occupations paléolithiques dont deux rattachés au Moustérien et un au Magdalénien. Le niveau le plus ancien (niveau 3), n'a été observé que dans une seule tranchée de diagnostic (Tr.106). Il apparaît à 1,90 mètre de profondeur, au sein de colluvions remaniant les formations tertiaires locales. Il n'a livré que trois pièces qui pourraient se rapprocher d'un Moustérien ancien antérieur au stade 7. Le niveau intermédiaire (niveau 2) apparaît entre 0,60 et 1,10 mètre de profondeur, dans des formations d'origine éolienne. Épais d'une vingtaine de centimètres, il semble s'étendre sur plus de 1000 m^2, avec une concentration notable autour de la tranchée 100. L'industrie lithique atteste d'un débitage Levallois et l'outillage est composé d'un unique racloir à retouche couvrante en matériau exogène. Le niveau supérieur (niveau 1) apparaît entre 40 et 60 cm de profondeur et s'étend sur 1200 à 1500 m^2, centré sur la tranchée 108. Il se développe sur une faible épaisseur au sein de formations éoliennes. Le mobilier lithique qu'il livre est rattaché au Magdalénien inférieur, avec un débitage de lames d'assez grande dimension. Les remontages effectués sur le seul m^2 testé lors du diagnostic confirment une bonne conservation de l'organisation spatiale ainsi qu'un possible effet de paroi qui pourrait indiquer la présence d'une aire d'habitat organisée. En l'absence d'outillage, l'attribution au Magdalénien inférieur doit être considérée avec prudence. Ce type de séquence pléistocène est inconnu

en plein air dans la région Poitou-Charentes, d'autant moins en contexte éolien. Le niveau inférieur, rapproché d'un Moustérien ancien, est très discret et limité spatialement. Le niveau intermédiaire, lui aussi Moustérien, est plus étendu et éventuellement structuré. C'est certainement le niveau supérieur, possiblement magdalénien (ancien), qui est le mieux conservé, avec une organisation spatiale certaine et la présence d'un paléosol structuré.

1.3.2. Contexte archéologique

L'indice archéologique le plus ancien connu sur la commune de Montguyon est un dolmen nommé Pierre Folle (carte archéologique - fig. 1-02). Daté du Néolithique moyen, il se trouve à trois kilomètres au nord de la fouille. Les témoignages d'une occupation humaine plus récente sont fournis par la présence d'un « puits sacrificiel » gallo romain et d'un sarcophage alto médiéval, découverts dans les années 70 et 80 (Maurin, 1999, p. 195). Un four médiéval, un château fort qui apparaît dans les textes à partir de 1032 et l'église Saint Vincent à Vaissac, faubourg de Montguyon, datée des XII et XVème siècles complètent nos connaissances archéologiques sur la commune (Redais dir., 2010, p. 34). Le contexte archéologique local est donc particulièrement indigent, qui plus est pour les périodes de la Préhistoire ce qui donne au gisement paléolithique de Bois Clair son caractère inédit.

Les indices archéologiques les plus proches se trouvent sur les communes voisines de Fouilloux et de Clérac. À Fouilloux, il s'agit du gisement paléolithique de plein air du Signal (Duchadeau-Kervazo, 1982) qui a anciennement livré une abondante série lithique de surface contenant, entre autres, du Moustérien et du Magdalénien. À Clérac, Le canton des Bergauds (Cavalin, 2010) est un site daté du Magdalénien final/azilien découvert dans le cadre de la LGV SEA et fouillé quelques mois avant Bois Clair (Fourloubey, 2013).

Au niveau régional (fig. 1-03), on constate une forte densité archéologique et un grand nombre de sites paléolithiques. Cet état de fait relève d'une longue tradition de recherche qui a toujours été très dynamique dans la région, enrichissant régulièrement le corpus de données. En raison de la position du site de Bois Clair à l'extrémité sud de la région Poitou Charente, nous élargirons également le contexte régional au nord de la Dordogne et de la Gironde.

En Poitou-Charentes, les sites paléolithiques se concentrent principalement à l'ouest et au sud-ouest d'Angoulême, dans les vallées de la Charente, de la Tardoire et du Bandiat et sont essentiellement implantés sous abris (sous roches ou porches de grottes). La présence de gîtes de matières premières associée à celle de refuges naturels a très probablement influencé l'implantation des groupes paléolithiques de la région (Delagnes, 2010a et b). Le Poitou-Charentes constitue ainsi une région phare participant activement au débat sur la définition et l'interprétation de la variabilité industrielle du Paléolithique moyen, sur la circulation de matières premières siliceuses ou encore sur l'émergence du Paléolithique supérieur comme, par exemple, aux sites des Cottés (Soressi dir., 2010) et de Quinçay (Roussel et Soressi, 2010) dans la Vienne ou à St. Césaire (Lévèque *et al.*, 1993) en Charente-Maritime et Les Rois en Charente (Michel *et al.*, 2008 ; d'Errico dir., 2010). Les gisements d'Artenac (Delagnes *et al.*, 1999), de Marillac (Maureille, 2003 ; Maureille dir., 2010) et de Jonzac (Jaubert *et al.*, 2008 ; Jaubert, 2010a) ont récemment participé à une meilleure compréhension des séquences du Paléolithique moyen pour l'ensemble de la région. Les toutes premières installations moustériennes régionales se situent autour de 250 ka, soit au début de l'OIS 8 à l'Abri Suard où les productions lithiques sont axées autour d'un débitage Levallois associé à un outillage moustérien à rares bifaces (Delagnes, 2010a). J. Jaubert (2010b et sous presse) a récemment révisé la séquence Paléolithique moyen de la région qui, bien qu'elle corresponde globalement à celle documentée dans le bassin Aquitain (Mellars, 1996), est unique en son genre concernant ses phases ultimes. Les assemblages associés à un Moustérien de tradition acheuléenne (MTA) sont généralement considérés comme les dernières manifestations des Néandertaliens, ce qui n'est pas le cas en Poitou-Charentes. Ils sont plutôt surmontés par un Moustérien à denticulé de débitage Discoïde, comme à La Quina (Park, 2007) et à St. Césaire (niveau Egpf au sommet de la séquence Paléolithique moyen, Thiébaut, 2005 ; Thiébaut *et al.*, 2009). Ces industries sont elles-mêmes remplacées par un Moustérien à grands racloirs associés à un débitage Levallois, reconnu pour l'instant uniquement aux Rochers de Villeneuve (Beauval *et al.*, 2006) et peut-être au gisement des Plumettes (Primault, 2003). Plusieurs programmes de prospections sur la diversité et la disponibilité des matières premières siliceuses (*i.e.* Delagnes *et al.*, 2004, 2005, 2006 ; Park, 2007) ont récemment apporté des don-

nées complémentaires aux analyses technologiques et chrono-culturelles. Dans le bassin Aquitain, ces études montrent une dominance de matière première locale au sein des assemblages moustériens (Artenac, Abri Suard, Abri Bourgeois-Delauney et Marillac), comme le souligne A. Delagnes (2010a), où 86 à 98 % du matériel exploité correspondent à des silex jurassiques accessibles localement. La même tendance est également observée à La Roche-à-Pierrot, à St. Césaire (couche Egpf, Thiébaut, 2005) où environ 95 % du matériel introduits dans le site (silex santonien) proviennent du plateau qui surmonte directement le site.

Les sites sous abris ayant livré des séquences rattachées au Paléolithique supérieur sont également nombreux, essentiellement localisés dans les départements de la Charente et de la Vienne : il s'agit par exemple des sites des Vachons (Bouyssonie, 1948), de Chez les Rois (Mouton et Joffroy, 1958) ou de Marcel Clouet (Matilla et Debénath, 2003) pour l'Aurignacien et/ou le Gravettien, de la grotte du Placard (Mortillet, 1912) pour le Solutréen, ou encore de ceux du Taillis des Coteaux (Primault *et al.*, 2007), du Bois-Ragot (Chollet et Dujardin, 2005) et du Chaffaud (Dujardin, 2003) pour le Magdalénien.

Parallèlement à cette forte activité de recherche en contexte sous abris contenant de riches séquences stratigraphiques, les sites de plein air connus sont encore peu nombreux et les données sont essentiellement fournies par l'archéologie préventive. Il s'agit par exemple, pour la région, des sites moustériens de la Folie (Bourguignon *et al.*, 2002 et 2006a) à Poitiers (Vienne) et du Chêne Vert (Dawson *et al.*, 2011) à Dirac (Charente). Le site de la Folie se caractérise par une petite occupation moustérienne, de tradition acheuléenne, concentrée dans une zone sub-circulaire d'environ dix mètres de diamètre interprétée comme une structure de type palissade (Bourguignon dir., 2010). Son industrie est composée de quelques bifaces associés à un débitage Levallois et un outillage dominé par des couteaux à dos, et est datée du stade isotopique 3 (Bourguignon *et al.*, 2006a ; Veillevigne *et al.*, 2008). Le site du Chêne Vert à Dirac se distingue par des occupations Quina et Levallois en contexte d'atelier à la charnière entre les stades isotopiques 4 et 3 (Dawson *et al.*, 2013). Dans les départements proches, les découvertes de sites de plein air se sont multipliées ces dernières années, notamment le long des vallées de la Dordogne (déviation de Bergerac, par exemple) ou de l'Isle. Signalons, entre autres, les sites moustériens du Champs de Bossuet (Bourguignon et Turq, 2003) à Saint Denis de Pile (Gironde), de Petit Bost (Bourguignon *et al.*, 2008) à Neuvic sur l'Isle (Dordogne) ou de La Mouline (Folgado et Brenet, 2010) à Saint-Astier (Dordogne) où une organisation de l'espace autour de blocs en arc de cercle est avancée. Celui de la Croix de Canard (Detrain, 2005) à Neuvic sur l'Isle (Dordogne) réunit quant à lui des niveaux datés du Moustérien et du Magdalénien. C'est également le cas sur la commune de Camiac (Gironde) où deux sites de plein air sont ici anciennement connus : celui des Artigaux (Lenoir, 1977) pour le Gravettien et celui de Camiac et Saint-Denis (Lenoir, 1990) pour le Moustérien. À Chinchon (Sireix et Bordes, 1972), sur la commune de Castillon (Dordogne), des industries rattachées au Moustérien de type Quina et au Magdalénien sont également connues de longue date. Enfin, Le gisement paléolithique « de plein air » découvert lors de la construction « du Lycée » (Lassarade *et al.*, 1969), à Pons (Charente-Maritime) a livré plusieurs niveaux d'occupations paléolithiques, essentiellement moustériens, probablement en liaison avec la présence d'un abri en pied de falaise.

1.4. Rappel du cahier des charges et des objectifs scientifiques de la fouille

L'arrêté préfectoral de prescription de fouille n° AF/11/221 est accompagné d'un Cahier des Charges scientifiques du Service Régional de l'Archéologie Poitou-Charentes, qui précise notamment : l'emprise de fouille, les objectifs scientifiques et principes méthodologiques, et la durée d'intervention.

La fouille préventive envisagée a pour objectif principal de statuer sur la fonction des trois occupations paléolithiques, en caractérisant les objectifs techniques des productions lithiques et leur organisation spatiale. Il s'agira de replacer ces occupations dans un contexte chrono-culturel régional et extra-régional.

L'opération devra se dérouler en deux temps, avec une tranche ferme et une tranche conditionnelle. L'emprise de fouille s'organise autour de deux transects perpendiculaires, le premier implanté sur une zone ferme de 5 225 m^2 au sud de l'emprise, le second, en zone conditionnelle, large de 2 000 m^2, au nord-ouest. Ces transects devront permettre de disposer d'une étude géoarchéologique de la séquence pléistocène et de guider le décapage mécanique jusqu'aux différents niveaux archéologiques. Ceux-ci

devront ensuite faire l'objet d'une fouille manuelle suivie de tamisage en cas de nappes de vestiges bien conservées et d'éventuelles structures. En fonction des observations recueillies grâce au transect réalisé sur l'emprise conditionnelle, il s'agira d'ouvrir des fenêtres ponctuelles de décapage permettant de disposer d'une vision en plan des éventuelles nappes de vestiges observées dans les coupes.

Cette fouille aura une durée minimum de 120 jours pour la tranche ferme et de 20 jours pour la tranche conditionnelle.

1.5. Méthodologie de terrain

1.5.1. Les tranchées géoarchéologiques

La première phase du travail a concerné la réalisation de grands transects géoarchéologiques en différents points du site afin de caractériser les différentes couches stratigraphiques, reconnaitre leur configuration géométrique et repérer comment s'inséraient les différentes nappes d'objets archéologiques dans ces dépôts.

Pour différentes raisons, l'option de réaliser deux grands transects perpendiculaires au centre des emprises ferme et conditionnelle n'a pas été retenue. Cette option aurait posé un certain nombre de contraintes liées à la circulation des engins et l'évacuation des déblais ou encore à la présence d'une canalisation d'eau de direction nord-sud traversant l'emprise. En outre, la position centrale de la tranchée risquait d'entraîner l'entame du cœur présumé de l'occupation magdalénienne, ce qui nous aurait empêchés, entre autres, de traverser le niveau et de disposer rapidement de l'ensemble de la séquence pédosédimentaire. Nous avons donc opté pour plusieurs grandes tranchées implantées en bordures d'emprise ferme et d'une placée au centre de l'emprise conditionnelle (fig. 1-04). La tranchée 1, localisée en bordure sud de l'emprise, devait nous permettre d'avoir une vision stratigraphique du plus grand axe de l'emprise. Les tranchées 2 et 3, implantées perpendiculairement à la première, sur les deux petits côtés du rectangle d'emprise, devaient compléter ces informations. L'intégralité des coupes de référence ainsi dégagées a été enregistrée en combinant des relevés dessinés sur le terrain (logs stratigraphiques) et une couverture photographique complète, avec l'implantation de repères tridimensionnels pour le redressement des photographies, l'assemblage et le dessin en phase post-fouille.

1.5.2. Le décapage mécanique

Grâce à ce travail de repérage, une fouille mécanisée extensive a été entreprise. La méthodologie d'approche est ainsi basée sur un décapage mécanique très lent, fin et méticuleux afin de récolter un maximum de mobilier et de déterminer les futurs secteurs de fouille manuelle. L'emprise de fouille ferme a été divisée en quatre zones numérotées de A à D et séparées par des bermes témoins permettant un suivi stratigraphique permanent et le plus de raccords possibles entre zones. Au total, 30 coupes ont ainsi été relevées et interprétées sur le terrain. Le décapage mécanique a été mené de façon à localiser, au sein de chaque niveau d'occupation, les secteurs à traiter manuellement par le biais d'une fouille traditionnelle avec carroyage et tamisage (cf. *infra*.). En l'absence de concentration de mobilier, celui-ci est immédiatement prélevé au théodolite Laser.

1.5.3. Méthodes de fouille

La localisation des secteurs de fouille manuelle a été conditionnée par la densité de mobilier repérée au décapage mécanique. Ces zones de fouille manuelle ont été définies sous le terme de « locus de fouille » et numérotées de 0 à 20, généralement dans l'ordre de leur découverte.

Le carroyage général, calqué sur le nord géographique (fig. 1-05), est constitué de blocs de 100 m² (carrés de 10 m x 10 m). La référence de chaque « bloc » a été notée au marqueur indélébile sur des piquets bois. Une subdivision a ensuite été établie sur la base du mètre carré dont la numérotation se développe en ligne de l'ouest vers l'est et du nord vers le sud. Ainsi, chaque carré a une double numérotation : celle du bloc (K4 par exemple) et celle du carré (12 par exemple), séparées par un point et à laquelle vient s'ajouter le numéro de quart de mètre carré (K4.12.a). Les quarts de mètre carré sont numérotés de a à d selon le schéma présenté en figure ?. Les décapages artificiels de +/- 5 cm ont été conduits par quart de mètre carré et de façon à avoir une vision planimétrique la plus large possible. En fonction des secteurs et de la concentration en mobilier, entre deux et sept décapages de quatre à cinq centimètres d'épaisseur ont été réalisés par ¼ de m². Selon les circonstances (tests après un décapage mécanique, par exemple), cette approche manuelle classique est remplacée par une méthode moins rigoureuse associant de larges portions de surfaces explorées manuellement à la truelle ou à la rasette, parfois accompa-

gnées de test de tamisage, mais sans pose au préalable de carroyage. En fonction des premiers tests ces zones ont pu ensuite passer en secteurs de fouille classique avec carroyage.

1.5.4. Méthodes d'enregistrement

Après chaque décapage manuel, la surface mise à jour est photographiée par le biais de clichés généraux obliques et de détails. Les carrés sont ensuite photographiés zénithalement, dans l'optique d'un redressement pour photomontage. La photographie zénithale est aussi utilisée pour le démontage dans le cas d'amas ou de forte concentration, et devient ainsi une minute de terrain.

La position des artefacts est relevée au théodolite et un point topographique est attribué à chaque objet puis reporté sur la fiche d'enregistrement du mobilier à la fois par le fouilleur et le topographe. Le topographe est ainsi garant de la continuité des séries numériques et en assure la gestion.

Un premier conditionnement est réalisé dans un sac plastique numéroté. Outre le numéro d'inventaire, les autres informations recueillies avant prélèvement de l'objet concernent la localisation (bloc, carré, sous-carré), le numéro de décapage, l'UPS, la position (horizontal, oblique, vertical, sur tranche), la face reposante, la matière première, la nature du produit, son état d'altération, sa fragmentation et si possible les mesures de fabrique.

Ces informations ont pour objectif d'une part, de pouvoir retrouver les pièces plus facilement en cas de litige et d'autre part, de collecter des informations susceptibles d'éclairer les caractères d'ordre taphonomique (position, fragmentation, surface).

1.5.5. Mesures des fabriques

Afin d'aborder les processus de formation des niveaux archéologiques, nous avons opté pour la prise de mesures sur le terrain de l'orientation et de l'inclinaison du grand axe des objets dans l'optique de réaliser des analyses de fabriques. Ces prises de mesures dépendent de deux facteurs essentiels : la présence de produits allongés conjugée à la certitude qu'ils n'ont pas été déplacés pendant la fouille. De fait, les mesures de fabriques ont essentiellement été prises lors de la fouille manuelle, notamment sur les niveaux du Paléolithique supérieur, les mesures se rapportant aux zones décapées mécaniquement se révélant malheureusement trop rares pour être statistiquement représentatives.

1.5.6. Tamisage

Comme stipulé dans le cahier des charges du Service Régional de l'Archéologie, le tamisage des sédiments a été mis en œuvre dans les secteurs de fouille manuelle, en particulier dans les niveaux présentant des concentrations lithiques. À chaque décapage, l'ensemble du volume de sédiment recueilli par ¼ de carré a fait l'objet d'un tamisage à l'eau, les tests à vocation granulométrique étant eux basés sur un volume équivalent de deux seaux par décapage. Le tamisage a été effectué au nettoyeur haute pression réglé en position douce selon un système de plusieurs tamis à maille fine superposés (2,5 mm pour le tamis inférieur).

1.5.7. Les Prélèvements

Plus de 130 prélèvements de tous types (sédimentologie, granulométrie, microstratigraphie, OSL, C14…) ont été effectués au cours de l'opération de terrain (inventaire n°4).

1.6. Déroulement effectif de l'opération

Le chantier archéologique a débuté en novembre 2011 pour une durée de 6 mois avec une équipe de 7 à 8 archéologues.

- Période 1 du 14/11/2011 au 02/12/2011

Suite à l'installation de la base vie et au piquetage de l'emprise de fouille, nous avons nettoyé la surface de l'emprise (nombreuses souches encore présentes ainsi que de petits châtaigner - fig. 1-22a) et localisé la canalisation d'eau signalée dans la partie ouest de l'emprise afin de la délimiter.

La première phase archéologique a consisté en une exploration géoarchéologique du site par le biais de grandes tranchées réalisées en bord d'emprise ferme et au centre de l'emprise conditionnelle (fig. 1-07). Ce travail a été réalisé par une pelle mécanique chenillée de 25 tonnes, équipée d'un godet de curage de 2,20 m, et suivie par un archéologue et un géoarchéologue. Les déblais ont été stockés aux abords de l'emprise, en séparant les terres végétales du reste suivant la demande de l'aménageur, le mobilier a été relevé au théodolite laser et les coupes photographiées et relevées. Ces tranchées ont fait l'objet d'un décapage très fin (passes centimétriques)

mais intégral jusqu'au substrat. Aucune concentration lithique ni niveau rattachable au Paléolithique supérieur n'ont été observés lors de cette première exploration. Le mobilier moustérien est présent mais de façon très diffuse et se retrouve sur au moins deux horizons stratigraphiques. Le premier est dilaté sur 20-30 cm entre la base du premier horizon BT (défini comme UPS4) et le niveau graveleux (défini comme UPS5) présent au sommet du second horizon BT (défini comme UPS6). Le second, plus discret, est enfoui à la base de l'UPS6 rouge (BT2). Ces transects ont également permis de mettre en évidence l'indigence archéologique dans la partie est de l'emprise (Tr.3 et Tr.1 amont), la faiblesse du remplissage stratigraphique dans la partie ouest (Tr.2) et de statuer sur le potentiel archéologique de l'emprise conditionnelle (Tr.4).

Cette dernière, d'une surface de 1430 m², a été explorée par le biais d'une tranchée effectuée à la pelle mécanique dans son plus grand axe (sud-est/nord-ouest) (fig. 1-04 et 1-07). Cette emprise se caractérise par une légère pente en direction du nord/nord-ouest pouvant expliquer en partie le faible développement pédosédimentaire observé dans les 2/3 de cette zone. Sa configuration paléotopographique, combinée à l'absence de concentration lithique, n'a pas justifié le déclenchement de la tranche conditionnelle. Néanmoins, une fenêtre a été ouverte au niveau du premier tiers est de la tranchée afin d'atteindre, par le biais d'un sondage profond, la base de la séquence pédosédimentaire. Celle-ci montre, à l'amorce de la tranchée 4, l'existence possible d'un vallon dans lequel le second horizon BT2 (rouge) est bien développé et au sein duquel on retrouve quelques pièces moustériennes. La couverture sablo-limoneuse (BT1 jaune + BT2 rouge) atteint à cet endroit près de 3 m.

Fort de ces premiers résultats, une stratégie d'approche de l'emprise ferme fut mise en place, combinant une fouille manuelle au niveau des secteurs riches en mobilier et un décapage mécanique intégral par grandes zones. Celles-ci sont séparées par des bermes témoins (bandes d'au moins 5 m de large pour pouvoir faire revenir les engins) permettant de garder le plus possible de contrôle stratigraphique entre zones. La localisation des secteurs de fouille manuelle (ou locus de fouille) a été conditionnée par la densité de mobilier repéré au décapage mécanique. Ces locus ont été numérotés dans l'ordre de leur découverte ou de leur fouille.

Le décapage mécanique a débuté par la zone A, de part et d'autre de la berme contenant la canalisation d'eau (fig. 1-08, temps 5 et 6). Il s'est d'abord concentré sur la partie ouest, là où la tranchée 2 avait permis de mettre en évidence une séquence stratigraphique condensée, en bord de versant. Les objectifs étaient de traiter rapidement cette zone à priori peu « sensible » tout en disposant d'une nouvelle coupe à proximité du secteur ayant livré le niveau magdalénien et de statuer sur l'extension possible de ce niveau vers le sud-ouest. Cette dernière n'étant pas avérée, nous avons procédé au débouchage de la Tr.108 du diagnostic afin d'étendre la fouille manuelle autour de ce pôle. Après décapage mécanique des 30-40 premiers centimètres, un carroyage de 50 m² à cheval sur les blocs K3 et L3 a été posé. Un premier décapage avec test de tamisage a été rapidement réalisé sur deux quarts de m² proches de la Tr.108 et a permis de récolter quelques pièces « typées » paléolithiques supérieures. Les secteurs proches de ce locus de fouille (n°00) ont été ensuite décapés sur 40 cm et mis en attente.

Très rapidement, la coactivité entre engins mécaniques et personnel piéton a nécessité la mise en place d'un plan de circulation précis (fig. 1-06) permettant à la fois de limiter les risques d'accidents liés au passage des engins, de préserver au mieux les niveaux archéologiques et de faciliter l'évacuation par le tracto-benne des déblais en dehors de l'emprise de la fouille.

- Période 2 du 05/12/2011 au 03/02/2012

La phase 2 correspond à l'arrivée de nouveaux fouilleurs et à la mise en place de la fouille manuelle couplée à un tamisage systématique selon la méthode décrite au chapitre 1.5.6. En parallèle du principal secteur de fouille manuelle, la poursuite du décapage mécanique sur le reste de l'emprise devait permettre de repérer d'éventuelles nouvelles zones de densités archéologiques et de traiter mécaniquement le reste de l'emprise.

Chaque nouvelle zone est abordée par le biais de tranchées nord-sud et/ou est-ouest afin d'observer au mieux les variations latérales des dépôts et de disposer d'un maximum de repères stratigraphiques pouvant, entre autres, guider le décapage sur le reste de la zone.

La première tranchée (Tr.7) a été réalisée à l'extrémité nord de la zone B, au niveau de la Tr.100 du diagnostic (fig. 1-09) qui avait livré la majorité du mobilier rapporté au Paléolithique moyen. Quatre

autres tranchées ont par la suite été décapées (Tr.8 à 11) permettant ainsi d'avoir une vision assez complète de la configuration stratigraphique et paléotopographique de l'emprise. Le mobilier est présent de manière diffuse, sur toute la séquence depuis la base de l'UPS4 (BT1) jusqu'au sommet du pavage (UPS7). Le décapage mécanique a néanmoins été stoppé à la base de l'UPS4 dans plusieurs secteurs ayant livré de petites « concentrations lithiques » potentiellement exploitables manuellement (locus 1 et 2 en Tr.10 et locus 4 en 11) (fig. 1-10). Ces secteurs ont fait l'objet d'un premier nettoyage de surface avec photo et relevé du mobilier, en attendant de pouvoir être carroyés et fouillés. Seul le locus 3, en bordure de Tr.8 et qui a été identifié sur moins d'un m^2 au sommet de l'UPS7, a été exploré manuellement sans pose au préalable de carroyage.

Le décapage mécanique s'est ensuite concentré sur la zone B où la présence ponctuelle de petits pôles de densité lithique, localisés dans la partie inférieure de l'UPS4 ou à son interface avec l'UPS5, a été confirmée : locus 5 et 7 (fig. 1-10). Le locus 7 se distingue des précédents par des éléments comparables à ceux découverts au diagnostic en Tr.108 (débitage de type magdalénien). D'autre part, nous avons la confirmation du caractère très limité tant verticalement qu'en plan de ces « concentrations ». Ceci, ajouté à la dispersion verticale du mobilier sur toute l'épaisseur de la séquence stratigraphique, rend le décapage mécanique très lent et délicat.

Dans le locus 00, alors ouvert sur une dizaine de m^2, la densité moyenne d'objets côtés par m^2 et par décapage est très faible montrant que l'on est en périphérie de l'amas découvert au diagnostic. Face à ce constat, nous avons décidé de faire venir la pelle mécanique sur la portion de berme à l'est du locus afin d'étendre le secteur de fouille (fig. 1-10, temps 13). Ce nouveau secteur, décapé mécaniquement puis nettoyé manuellement, nous livra un épandage de pièces stratigraphiquement rattachable au locus 00 mais aucun amas de débitage, le locus 6 ne correspondant qu'à un bloc entier de silex fragmenté sur place par le gel.

L'exploration mécanique de la zone D (angle est de l'emprise - fig. 1-10, temps 14) fut la moins prolifique en termes de découvertes de mobilier paléolithique. Un épandage de mobilier lithique fut toutefois repéré au sommet de la séquence stratigraphique, au contact des UPS2 et 4. Ce niveau, repéré à nul autre endroit de l'emprise, est notamment marqué par des matières premières variées et de nombreuses pièces retouchées (racloirs circulaires, burins sur lames souvent larges, pièces esquillées, lames retouchées) que nous avons de prime abord rattachées à un Néolithique final voire à une période plus récente, malgré la présence bien (trop ?) affirmée des burins. Ce locus (n° 8) a été traité par décapages manuels successifs et extensifs sans carroyage.

Les temps 15 et 16 (fig. 1-11) ont concerné la poursuite de l'exploration mécanique à proximité du locus de fouille manuelle principal (n° 00). Si la partie nord ne donna rien, le décapage mécanique fut rapidement arrêté (sommet UPS4) dans le secteur se trouvant dans le prolongement est de la tranchée 108. La découverte de densités de mobilier supérieures à la moyenne et technologiquement cohérentes avec ce qui avait été identifié au diagnostic déclencha un passage en mode manuel avec pose du carroyage (locus 9 et 11).

En parallèle, le décapage de la zone C (fig. 1-11, temps 17) permis la découverte et la fouille manuelle d'un petit amas lithique localisé sur moins de 2 m^2 à la base de l'UPS4 (locus 10). L'extension de la fouille manuelle des locus 1 et 2 montre une fois encore le caractère très ténu de ces nappes d'objets tant en plan qu'en vertical.

La suite du décapage concerna la partie nord de la berme comprise entre les zones A et C (fig. 1-12, temps 18). Plusieurs secteurs furent préservés pour de futures fouilles et/ou tests manuels : la bande la plus proche du locus 11, par prudence et en attendant d'avoir les résultats de la fouille de ce dernier ; ainsi que plusieurs secteurs livrant du mobilier remarquable (locus 12 en UPS5, 12bis et 15 en UPS4). D'autres petites concentrations présumées ont été testées manuellement mais n'ont pas déclenché de fouille manuelle (locus 17 en UPS4, locus 18 en UPS4/UPS5 et locus 19 au sommet de l'UPS5).

Le décapage s'est poursuivi dans la partie nord de la zone C, en bord d'emprise (fig. 1-12, temps 19). Deux locus de fouille furent établis, sur des ensembles repérés dans la partie haute de l'UPS4 : le locus 14, entre le nord de l'extrémité est de la Tr.114 du diagnostic et la limite d'emprise et le locus 13, un peu plus à l'est. Le premier, au final peu dense et probablement tronqué par le creusement de la tranchée de diagnostic, livra quelques pièces typiquement magdaléniennes attestant de la présence possible de ce niveau en dehors de l'emprise. Quant au locus 13, spatialement plus étendu, il fit l'objet de

plusieurs explorations manuelles extensives permettant de mettre en évidence le débitage d'au moins un petit bloc de silex noir se rattachant à une phase d'occupation probablement plus tardive.

- Période 3 du 06/02/2012 au 24/02/2012

Cette troisième phase est une période sans pelle mécanique et pendant laquelle la fouille manuelle a été particulièrement ralentie par les intempéries (froid, gel profond, neige, dégel - fig. 1-21)

- Période 4 du 27/02/2012 au 23/03/2012

Cette phase marque le retour des engins mécaniques (une pelle et un tombereau) afin de terminer le décapage d'anciens secteurs de fouille manuelle localisés dans les zones A (fin de la fouille du locus 00) et B de l'emprise (fig. 1-13, temps 20 à 22).

Il s'agissait ensuite de traiter les bermes témoins en parallèle de la poursuite des fouilles manuelles en locus 9, 11, 12 et 15. Le décapage mécanique se focalisa alors sur les bermes A/B sud, B/C et B/D sud (fig. 1-14, temps 23 à 25). Sur chacune d'elle, un petit îlot de quelques mètres carrés a été conservé pour la réalisation de futurs prélèvements (OSL, micromorphologie…). Seul le décapage de la berme centrale (B/C) a donné lieu à un nouveau secteur de fouille manuelle centré sur du mobilier moustérien bien inscrit dans la partie inférieure de l'UPS4 (locus 16). Le locus 20 n'a été testé que sur un peu plus d'un m^2 avant reprise du décapage mécanique.

Avant la reprise de la fouille mécanique de la grande berme B/D, la pelle est revenue en zone C afin de finir de traiter les petites bermes laissées notamment en locus 10 et 13 (fig. 1-14, temps 23 à 25). La fouille mécanique s'est ensuite concentrée sur l'angle nord-est de l'emprise ferme (fig. 1-15, temps 28 à 30). Dans cette zone à plus forte dilatation stratigraphique, un quatrième îlot a été conservé entre la berme C/D et les locus 1-2 afin d'effectuer de nouveaux prélèvements.

En simultané du décapage mécanique, la fouille manuelle des locus 9 et 11 permit de circonscrire dans l'espace le niveau magdalénien. Celui-ci est essentiellement localisé sur le point haut actuel (et ancien) de l'emprise et correspond à de petits postes de débitage dont les produits de première intention semblent avoir été exportés et où l'outillage est très rare. Un peu plus au nord, au niveau des locus 12bis et 15, nous pourrions avoir plusieurs niveaux chrono-culturels (magdalénien et moustérien) stratigraphiquement très proches au sein de l'UPS4, voire en contact. Le niveau moustérien en locus 16 étant quant à lui très peu dilaté, le secteur est mis en attente.

- Période 5 du 26/03/2012 au 27/04/2012

Cette dernière phase de terrain concerne la poursuite et la fin de la fouille manuelle du niveau magdalénien sur le point haut de l'emprise (particulièrement le locus 9) ainsi que différentes études à vocation géoarchéologique (sondages profonds et divers prélèvements).

En accord avec le Service Régional de l'Archéologie, nous sommes de nouveau intervenus dans l'extrémité sud de la zone conditionnelle afin de pouvoir faire le raccord stratigraphique entre les unités de la zone ferme et celles repérées au fond du sondage profond réalisé en début de campagne (fig. 1-16, temps 31). Après réalisation des prélèvements nécessaires, toutes les bermes restantes ont été décapées mécaniquement ainsi que les derniers secteurs de fouilles manuelles (fig. 1-16, temps 32 à 38). De nombreux sondages profonds (fig. 1-17, temps 39) ont également été réalisés au sein de l'emprise afin d'explorer la géologie du site et sa paléotopographie. Le terrain a été rendu en l'état à l'aménageur après rebouchage de l'intégralité des sondages profonds.

- Période 6 : Post-fouille

Cette dernière phase de travail s'est déroulée dans les locaux de Paléotime à Villard de Lans. Elle s'est déroulée en discontinu de mai 2012 à avril 2014 et il est impossible de fournir des phases temporelles précises.

1.7. Bilan des moyens mécaniques et humains

Les moyens mécaniques devisés en fonction des objectifs définis dans le cahier des charges étaient, pour la tranche ferme, de 35 jours de pelles mécaniques, 47 jours de dumpers, 5 jours de minipelle et 2 jours de bulldozer. Selon le phasage prévisionnel, ces moyens mécaniques devaient se répartir sur 3 temps opérationnels : 1/réalisation des deux transects géoarchéologiques et du décapage de l'emprise jusqu'au premier niveau archéologique (Magdalénien), 2/ décapage de l'emprise jusqu'au deuxième niveau archéologique (Moustérien) 3/ décapage de l'emprise jusqu'au troisième niveau archéologique (Moustérien). En fonction des premiers résultats issus des transects stratigraphiques et du primo-décapage

de l'emprise, la méthodologie générale d'approche fut modifiée en accord avec le SRA. Il fut décidé de travailler par grandes zones raccordées entre elles par de longues bermes stratigraphiques (cf. *infra*) ; en l'absence de concentrations de mobilier, ces zones furent traitées en décapage intégral de leur séquence stratigraphique. La lenteur du décapage mécanique, problème majeur auquel l'équipe de fouille fut rapidement confrontée, était liée à plusieurs contraintes :

1/ une dilatation stratigraphique plus développée que prévue ;

2/ une dispersion verticale du mobilier sur toute l'épaisseur de la séquence stratigraphique, n'offrant pas la possibilité d'accélérer le décapage mécanique selon le niveau décapé ;

3/ la particularité des concentrations lithiques, peu denses et très localisées en plan et en vertical, donc difficiles à repérer.

Une demande de moyens mécaniques supplémentaires fut ainsi réalisée et acceptée à la mi-janvier 2012. Elle permit de doubler le nombre de jours de pelles, tout en économisant les jours alloués aux autres engins mécaniques (tombereau, minipelle, bulldozer). Au total, 70 jours de pelle ont été utilisés contre seulement 41 jours de tombereaux ou de tracto-benne et aucun pour les autres engins.

L'équipe de fouille fut composée d'une moyenne de 7,5 personnes sur le terrain pendant 23 semaines, de mi-novembre 2011 à fin avril 2012. Préalablement à l'arrivée de l'équipe de fouille, la mise en place du chantier fut organisée par le responsable technique et le responsable adjoint. L'équipe permanente comprenait le responsable d'opération et son responsable adjoint, un assistant topographe-technicien, trois techniciens et un assistant-géoarchéologue. Cette équipe fut renforcée à plusieurs reprises par la venue du géoarchéologue.

En dépit du fait que la campagne de fouille se soit déroulée en plein cœur de la période hivernale, les conditions climatiques furent globalement assez clémentes. Toutefois, deux semaines de très grands froids début février (T° < à – 5°C en journée) furent particulièrement difficiles pour l'équipe et la présence d'un couvert neigeux ne permit aucune intervention sur le terrain du 6 au 10 février.

1.8. Bilan des fouilles mécaniques et manuelles

Au terme de l'opération, l'emprise ferme de 3765 m² a été entièrement fouillée à l'exception d'une berme d'environ 2 mètres de large conservée en raison de la présence d'une canalisation d'eau traversant l'emprise dans sa partie sud-ouest au niveau de la délimitation entre les parcelles D490 et D491.

La fouille de l'emprise ferme a donc été réalisée sur 3740 m² de manière mécanique et/ou manuelle. Un peu plus de 156 m² ont été fouillés manuellement par ¼ de m². 60 % (94,5 m²) de ces 156 m² ont concerné la fouille de(s) niveau(x) paléolithique(s) supérieur(s), le Paléolithique moyen étant représenté par 62 m² (40 %), avec néanmoins un degré d'exploration verticale moindre, souvent limité à deux décapages contre une moyenne de quatre pour les niveaux plus récents.

D'autres secteurs ont fait l'objet d'une exploration manuelle sans mise en place de carroyage. Ce type d'approche (test) peut être ponctuellement extensif en plan mais jamais en vertical (limitées à une ou deux passes). En fonction des premiers résultats, ces zones ont pu ensuite passer en secteurs de fouille classique avec carroyage. Ce type d'exploration rapide, mais néanmoins manuelle, a concerné un peu plus de 60 m² dont une dizaine sur des niveaux moustériens, le reste touchant à des occupations plus récentes voire indéterminées lors de la fouille.

Enfin, l'emprise conditionnelle, forte de 1430 m², a été explorée par le biais d'une tranchée réalisée à la pelle mécanique dans son plus grand axe (sud-est/nord-ouest). Au total, 210 m² (env. 15 % de l'emprise conditionnelle) ont été décapés lors de cette phase exploratrice.

SECTION 2

L'opération et ses résultats

Chapitre 2

2. Contexte stratigraphique

M. Rué et A. Ajas

2.1. Cadre environnemental

Le site paléolithique du Bois Clair se situe sur la commune de Montguyon (Charente-Maritime), en Haute Saintonge. Ce territoire correspond à un plateau calcaire incisé par des vallées plus ou moins encaissées dégageant un relief de collines. Le site se trouve sur l'un de ces reliefs, à une altitude de 83 m. Il est localisé à la limite entre les bassins versants du Mouzon (à l'ouest) et du Palais (à l'est), deux sous-affluents de l'Isle et de la Dordogne qui drainent la région du Petit Angoumois au sud-ouest d'Angoulême (fig. 2-1).

2.1.1. Contexte géologique

Dans les environs du site, le substrat correspond à des calcaires campaniens. Ces dépôts d'âge crétacé supérieur sont en grande partie recouverts par des matériaux détritiques, anciennement regroupés sous le terme de « sidérolithique », et composés de sables, d'argiles et de graviers attribués à des périodes allant du Sparnacien au Pléistocène (fig. 2-2).

D'après la carte géologique au 1/50 000 de Montguyon (Dubreuilh, 1980), le site du Bois Clair est implanté sur les dépôts détritiques de la formation de Guizengeard supérieur (Lutétien, e5). Cette formation, d'une épaisseur de 15 à 25 m, se caractérise par des masses importantes de sables, de graviers et de gros galets principalement représentés par des quartzites blancs et des quartz agathoïdes. De nombreux troncs fossilisés peuvent y être observés. Le sommet de la formation est constitué d'argiles silteuses vert pâle, à larges marmorisations rougeâtres, localement indurées et fracturées. L'extension de cette formation est importante et directement liée au développement du réseau hydrographique. Les analyses de bois fossilisés font état d'un environnement de type mangrove à la transition Yprésien supérieur / Lutétien (Daniou, 1978).

Ces épandages détritiques, considérés comme typiques des Charentes, ont fait l'objet de plusieurs études. Les faciès rencontrés divergent d'un secteur à l'autre puisqu'il s'agit de formations alluviales qui ont enregistré différentes phases d'altération. Ces formations sont présentes dans trois principales régions en amont du site, du nord-est au sud-ouest (fig. 2-2) :

- le Pays du Bois de la Nizonne ;
- les Landes ou Champagnes du Montmorélien ;
- le Petit Angoumois, dans lequel est localisé le site.

L'étude menée par P. Daniou (1978) montre que le substrat du site correspond à des sables fluviatiles ayant subi une intense altération chimique (avant ou après leurs dépôts). Les faciès évoquent une sédimentation deltaïque à chenaux anastomosés. Les arbres lignifiés découverts dans le secteur de Guizengeard, à 13 km au nord-est du site, témoignent d'un climat d'affinité tropicale à saison sèche prononcée (Dubreuilh, 1980).

2.1.2. Contexte pédologique

Le site du Bois Clair se situe dans la Saintonge boisée ou Double saintongeaise (prolongement de la forêt de la Double en Dordogne). La Saintonge boisée fait la transition entre les paysages vallonnés et boisés du Périgord et les paysages viticoles plus ouverts de la Champagne charentaise. Les sols de la Double saintongeaise sont constitués en grande majorité par ce que l'on appelle les « Terres de doucins », sols limoneux par opposition aux sols pierreux qui constituent les « Terres de groies » typiques du pays d'Aunis en Nord Saintonge.

D'après la carte pédologique de Charente-Maritime établie par le GIS Sol, la zone de fouille se situe à la jonction entre l'unité des « doucins sableux sains », principalement présents sur les plateaux et les replats sableux (UC 80, fig. 2-3), et l'unité des « doucins hydromorphes » présents sur les bords de plateau en descendant vers le Mouzon (UC 79, fig. 2-3).

Les « doucins sableux sains » correspondent à des sols acides sablo-limoneux moyennement profonds (40 à 50 cm), qui se développent sur argile sableuse à charge en galets de quartz irrégulière (10 à 30 %). Ils sont peu hydromorphes. D'après le référentiel pédologique de 2008, ils se rattachent aux brunisols oligosaturés (80 %) ou aux alocrisols (20 %).

Les « doucins hydromorphes » correspondent également à des sols acides sablo-limoneux moyen-

nement profonds (30 à 50 cm) mais ils se développent sur argile sableuse compacte et imperméable à graviers de quartz et silex (> 25 %). Ils sont hydromorphes et se rattachent aux planosols typiques sédimorphes.

D'après nos observations dans les environs du site, les horizons superficiels évoquent plutôt un profil d'alocrisol (ancien « sol brun ocreux »). Les alocrisols correspondent à un stade intermédiaire entre les sols brunifiés et les sols podzolisés. Ils se caractérisent par un horizon A peu développé et mixte, c'est-à-dire contenant un mélange de matière organique (moins de 30 %) et de matière minérale, et, au contraire, un horizon B brun à structure polyédrique, épais. Le turnover de la matière organique étant rapide, elle ne s'accumule pas. La formation de ce type de profil s'explique en partie par l'épaisse couverture détritique sous-jacente. Elle a pu également être favorisée par les plantations de pins maritimes.

2.1.3. Contexte topographique

Le site est localisé sur la bordure du plateau formant l'interfluve entre les vallées du Mouzon et du Palais, plus exactement sur la ligne de partage des eaux entre ces deux réseaux. Dans la moitié ouest de l'emprise, cette bordure est caractérisée par la présence d'une éminence peu prononcée marquée par la courbe 83,6 m. Elle domine de 43 m les fonds de vallée actuels. Sa forme est légèrement allongée selon la bordure du plateau, c'est-à-dire selon l'axe nord-ouest sud-est. Depuis ce point haut, dont le replat sommital couvre à peine 1500 m², la surface du sol évolue en pente régulière d'environ 3 à 4 % vers les versants ouest et est (fig. 2-7a).

2.2. Objectifs et méthodologie

L'étude menée par P. Bertran dans le cadre des sondages d'évaluation a apporté les compléments suivants sur le contexte stratigraphique du site (Redais *et al.*, 2011) :

- Sur les plateaux, les matériaux alluviaux lutétiens qui constituent le substrat du site sont recouverts par un niveau discordant de graviers (10 à 30 cm d'épaisseur), interprété comme un pavage d'érosion, puis par une couverture limono-sableuse d'épaisseur variable (30 à 160 cm), résultant probablement d'apports éoliens.

- Ces dépôts ont enregistré différentes structures d'origine périglaciaire : un réseau de cryodessication marqué par un maillage semi-métrique de petites fentes blanchies (glosses) ; des ondulations plus ou moins régulières à la base du pavage provoquées par cryoturbation ainsi que des coins à remplissage sableux massif ou à litage vertical interprétés comme des témoins de la présence d'un pergélisol.

Comme spécifié par le cahier des charges scientifique de la fouille, l'étude du contexte stratigraphique avait pour objectif d'étudier les dépôts pléistocènes afin de mieux cerner 1) le cadre chronostratigraphique du site et 2) les processus naturels ayant pu intervenir dans la formation des différents niveaux paléolithiques, ceci sur la base de données exclusivement pédosédimentaires (ce chapitre). Les interprétations proposées ont ensuite été confrontées aux résultats des datations radiométriques (chap. 3) et à l'étude taphonomique du mobilier (chap. 4).

Sur le terrain, les moyens ont permis de disposer d'un assistant géoarchéologue pendant toute la durée de l'opération (A. Ajas) et de la présence ponctuelle d'un géoarchéologue (M. Rué). Cette organisation adaptée à la problématique de fouille (cf. chap. 1), a permis un enregistrement continu et régulier des différentes sections stratigraphiques ainsi qu'une harmonisation des descripteurs, notamment pour l'attribution stratigraphique du mobilier.

L'approche de terrain a consisté dans un premier temps à ouvrir plusieurs tranchées afin d'obtenir une vision générale de l'organisation des dépôts et de positionner les principaux niveaux paléolithiques, préalablement au décapage archéologique (chap. 1). Dans un second temps, au cours du décapage, la préservation de bermes témoins réparties au cœur de l'emprise a permis de compléter les enregistrements et de procéder à des observations et prélèvements au plus près des concentrations de mobilier.

Toutes les coupes ont été nettoyées et enregistrées dans leur intégralité, générant ainsi une importante base de données stratigraphiques. Le protocole d'enregistrement comprenait les étapes suivantes : 1) nettoyage de la coupe, 2) séquençage en unités pédosédimentaires et marquage des principales limites, 3) positionnement de clous étiquetés avec un numéro de point topographique, généralement tous les 2 m, 4) couverture photographique, 5) topographie des principales limites stratigraphiques, 6) enregistre-

ment ponctuel de logs sous forme de photographie commentée archivée en « minute » (liste des quarante huit logs levés en annexe 1). Les coupes, au nombre de trente, ont été numérotées au fur et à mesure de leur traitement (ex. CP01) et enregistrées sous forme de fiche. Les logs ont été référencés par le numéro de la coupe muni d'un indice (ex. CP01.1).

Les prélèvements de sédiment ont été principalement concentrés sur trois coupes types (CP08.1, CP09.2 et CP10.3 ; liste des prélèvements en inventaire 4). Les prélèvements et mesures radiométriques ont été réalisés par M. Hernandez et N. Mercier (IRAMAT-CRP2A, UMR5060, Bordeaux) le 28/03/12 (chap. 3). Des mesures de la susceptibilité magnétique ont été effectuées sur ces coupes à l'aide d'un capteur Bartington MS2K (M. Rué, inventaire des mesures en annexe 7). Enfin, le 15/02/12, une visite d'A. Lenoble et E. Andrieux (PACEA, UMR5199, Bordeaux) a permis d'échanger sur les premières interprétations de terrain.

En laboratoire, différents traitements analytiques ont été mis en œuvre :

- fabrication de quinze lames minces couvertes de format 13 x 6 cm (B. Martin, EPOC Bordeaux) ;
- granulométrie de la fraction > 2 mm par tamisage manuel, en complément des tamisages à haute pression réalisés sur le terrain (A. Ajas) ;
- microgranulométrie par diffraction laser de la fraction < 2 mm (M. Rué, ESIREM Dijon).

Seuls les principaux résultats sont présentés dans ce rapport.

La restitution des coupes stratigraphiques a été effectuée en procédant, dans la plupart des cas, à des regroupements de plusieurs sections enregistrées sur le terrain (localisation des axes sur la figure 2-4), soit un total de treize coupes restituées et présentées au format A3 (fig. 2-12 à 2-18) :

CP01
CP04 = CP03-27-04-29
CP05 = CP05
CP08 = CP01-08-20-30-22-19
CP09 = CP01-13-09-05-06
CP10 = CP10-12
CP11
CP12
CP16 = CP06-05-21-16-03
CP19 = CP19-26-24-27
CP20 = CP20 + carrés K4.98 à L4.58
CP22 = CP05-22
CP31 = carrés K4.99 à K3.96

La coupe 31 correspond à une coupe virtuelle à travers les locus 0-9-11, donc sans support stratigraphique relevé. Les projections sur les coupes englobent l'ensemble des objets localisés sur une largeur de 2 m (3 m pour CP11 et 1 m pour CP31). Enfin, le dessin de la stratigraphie a été réalisé à partir des levés de terrain et des photomontages redressés via QGis (A. Ajas, G. Gazagnol, J.-B. Caverne).

2.3. Organisation stratigraphique verticale

Onze principales unités pédosédimentaires (UPS) ont été identifiées (inventaire 1), numérotées de haut en bas, depuis l'horizon de surface du sol actuel (UPS1) jusqu'au substrat éocène (UPS8). Le log 9.2, de part sa position centrale au sein de l'emprise, donne une image représentative de la stratigraphie générale du site et de la position des industries (fig. 2-4). La séquence pléistocène, épaisse d'environ 1,20 m au centre de l'emprise, se caractérise par des matériaux mal triés d'origine colluviale, à dominante limono-sableuse. Elle intègre trois principales limites sédimentaires qui ont servi de niveaux repères pendant la fouille. Ces limites sont présentes en tout point du site, sauf sur l'éminence du terrain où les dépôts se condensent et où elles deviennent presque imperceptibles. On trouve ainsi, de haut en bas :

- Au contact entre les unités 4a et 4b, une première limite marquée par un lit quasiment continu de graviers, sur 1 à 2 cm d'épaisseur environ. La grande extension et le caractère isopaque de ce lit, en particulier dans les points bas du site, nous conduisent à l'interpréter comme un niveau résiduel (ou pavage) formé par accumulation d'éléments grossiers sur une même surface suite à l'évacuation progressive de la fraction fine du sédiment (par la bioturbation, le ruissellement ou la déflation). De fait, les concentrations de mobilier situées sur cette surface ont potentiellement pu subir une forte ségrégation de leurs fractions granulométriques.

- Au contact entre les unités 4 et 5, une seconde limite marquée par un contraste textural et colorimétrique assez net entre un ensemble sablo-limoneux au sommet (unités 1 à 4) et un ensemble graveleux à la base (unités 5 et 6). Comme pour le lit de graviers 4a/4b, l'unité 5 peut aussi être interprétée comme un niveau résiduel, avec les mêmes implications sur l'intégrité des locus associés à cette couche. Dans cette unité, la compétence des agents de trans-

port a de plus permis la mobilisation de particules plus volumineuses (graviers et petits galets), et donc potentiellement de pièces lithiques plus grandes.

- Au contact entre les unités 6 et 7, une troisième limite également soulignée par un contraste textural net, ici entre l'ensemble graveleux précédent (unités 5 et 6) et une couche de graviers et galets (unité 7 = couche discordante du diagnostic). Cette unité 7 correspond également à un pavage d'érosion puisqu'elle comprime sur une grande surface et sur une épaisseur sensiblement identique en tout point du site (environ 30 cm) des matériaux grossiers au toit du substrat éocène. Contrairement aux deux premières surfaces, cette limite est souvent irrégulière, en particulier le long du versant nord du site, où des ondulations d'origine cryogénique ont été relevées (CP04, fig. 2-13).

Toutes les autres limites correspondent à des limites d'altération des dépôts. Elles résultent de processus post-dépositionnels induits par les différentes phases de pédogenèse qui ont affectés les sédiments. Elles permettent de distinguer trois ensembles pédologiques, de haut en bas (fig. 2-4) :

- A-S : le sol actuel et son horizon d'altération jaune brun sur limons sableux (unités 1 et 2) ;
- 1BTg : un horizon argilique brun jaune, glossique, sur limons sableux, renfermant le mobilier paléolithique supérieur et moyen (unités 3 et 4) ;
- 2BTg : un horizon argilique rouge, sur sables limoneux à graviers (unités 5 et 6), dérubéfié à son sommet (unité 5), et incluant uniquement du mobilier paléolithique moyen.

Ces limites sédimentaires et pédologiques permettent de décomposer la séquence en différentes unités ou sous-unités dont nous donnons ci-après les principales caractéristiques macroscopiques (observées sur sédiment frais à humide), de haut en bas :

UPS 1 – horizon A sur colluvions limono -sableuses

UPS 1a
Limon sableux organo-minéral brun (7,5YR4/3), meuble, à quelques éléments grossiers siliceux. Présence de racines et de débris végétaux (humus). Limite inférieure diffuse.

UPS 1b
Limon sableux brun gris (10YR5/2), relativement meuble, à quelques graviers. Structure massive (i.e. sans stratification interne). Présence de racines. Limite inférieure diffuse.

UPS 10
Limon sableux gris brun (7,5YR5/4), meuble, à quelques graviers (environ 5 %), formant un horizon continu s'intercalant entre les sous-unités 1a et 1b dans la zone sud ouest du site (CP06). Présence de racines. Traits rédoxiques sous forme de taches orangées. Limites supérieures et inférieures diffuses.

UPS 2 – horizon S sur colluvions limono -sableuses

Limon sableux jaune (7,5YR6/6), à fraction grossière répartie de manière homogène et composée de graviers et, plus rarement, de galets de taille centimétrique. Présence de racines. Structure massive. Limite supérieure diffuse, limite inférieure plus ou moins nette correspondant à l'ouverture des fentes de cryodessication.

UPS 3 – cryosol sur colluvions limono -sableuses

Limon sableux brun gris clair (10YR6/6), à fraction grossière légèrement plus importante que dans l'UPS 2 et composée de graviers. Structure massive. Présence d'une structure lamellaire d'origine périglaciaire plus ou moins bien exprimée (fig. 2-6f). Première unité affectée par les fentes de cryodessication qui s'organisent selon un réseau semi-métrique (fig. 2-6a). Bien que présente de manière discontinue sur la presque totalité du site, cette unité, qui constitue le sommet de l'horizon argilique jaune, est difficile à distinguer en coupe ou en plan. Ses limites inférieures et supérieures sont souvent diffuses et, de fait, elle se confond avec l'unité 4, surtout lorsque la séquence se condense. Elle apparaît plus distinctement après séchage du sol (fig. 2-6e). Sur la coupe 1.3, un lit graveleux souligne sa base.

UPS 4 – horizon argilique jaune sur colluvions limono-sableuses

Limon sableux brun jaune (10YR5/4), à fraction grossière graveleuse. Texture plus sableuse sur le point haut du site. Structure massive. Limite inférieure nette. Le lit de graviers d'épaisseur centimétrique situé dans le tiers inférieur de cette unité a permis, lorsqu'il était bien apparent, de distinguer deux sous-unités (4a au sommet, 4b à la base). Les fentes qui affectent l'unité 4 présentent un remplissage limono-sableux massif de teinte grise. Un

réseau horizontal de glosses se développe également dans cette unité, il souligne bien souvent la limite 4a/4b. Les glosses sont plus intensément développées sur substrat argileux (développement maximal dans la partie sud-est de l'emprise, fig. 2-5c et 2-6c). Elles sont en revanche peu exprimées sur substrat détritique et localement remplacées par des bandes d'illuviation.

UPS 5 – horizon argilique brun rouge sur colluvions limono-graveleuses

Sable limoneux brun jaune (10YR5/6) à brun rouge (5YR5/8), à éléments grossiers nombreux constitués de graviers et petits galets. Structure massive. Limite inférieure diffuse. En raison de la texture plus grossière de cette unité, les glosses apparaissent moins intensément développées et se réduisent parfois à de simples tâches grises. Dans l'angle sud du site, cette unité se condense et s'appauvrie en fraction grossière, rendant l'interface avec l'unité 4 diffuse (CP08.2). Localement, le sommet de l'unité 5 se marque par un niveau plus graveleux et induré (CP23).

UPS 6 – horizon argilique rouge sur colluvions limono-sableuses

Sable argileux brun rouge (5YR5/8), à éléments grossiers nombreux (moins nombreux que dans l'unité 5), constitués de graviers et petits galets. Texture généralement plus sableuse à la base. Structure massive. Limite inférieure diffuse sur l'UPS11, nette sur l'UPS7. La plupart des fentes grises s'interrompent au sein de cette unité (fig. 2-6b).

UPS 11 – colluvions limono-sableuses

Sable limoneux brun jaune (10YR6/6), à éléments grossiers nombreux (graviers et petits galets). Présence d'un lit de graviers d'épaisseur centimétrique scindant l'unité en deux (CP9 et 10, fig. 2-8d). Limite inférieure nette. L'unité 11 est la dernière unité affectée par les fentes. Ces fentes se terminent fréquemment par une forme globulaire. Unité absente de la zone nord-ouest de l'emprise.

UPS 7 – pavage d'érosion

Graviers et galets à matrice argilo-sableuse brun rouge (2,5YR4/6). Structure clastique. Clastes arrondies pouvant atteindre une dizaine de cm. Limites inférieures et supérieures généralement nettes. Des fentes étroites à remplissage graveleux massif s'ouvrent à partir de la base de cette couche et évoluent dans le substrat éocène (unité 8). En raison des faibles ouvertures pratiquées sous ce pavage, il est difficile de préciser comment s'organisent ces fentes en plan. Elles semblent relayer un réseau de fentes de tension préexistantes dans les sables argileux rouges éocènes (fig. 2-8b). L'unité 7 présente différents faciès :

UPS 7.1 : faciès typique décrit ci-dessus, à galets (fig. 2-5a) ou graviers dominants (fig. 2-5b).

UPS 7.2 (sommet)

Graviers et galets à matrice argilo-sableuse rouge jaune (5YR5/8) compacte.

UPS 7.3 (base)

Graviers et galets à matrice argilo-sableuse jaune rouge (7,5YR6/8) compacte. Matrice argileuse plus abondante que dans les faciès précédents.

UPS 12

Limon sableux brun clair (7,5 YR 5/8) à graviers, s'intercalant entre les sous-unités 7.2 et 7.3 et correspondant peut-être à une extension latérale de l'unité 13 (CP28).

UPS 9 – dépôts de décantation (sommet)

Limon argileux brun jaune (10YR6/6) compact à quelques graviers. Présence de glosses grises (10YR6/1) qui s'élargissent vers la base. Limite supérieure nette. Cette unité, présente sur une grande moitié nord-est de l'emprise, passe progressivement à l'UPS 13 en profondeur. Toutes deux appartiennent à un même système morpho-sédimentaire (dépression fermée, chenal ?), d'âge inconnu.

UPS 13 – dépôts de décantation (base)

Argile gris clair (2,5Y7/1), très compacte, à rares graviers, à taches brun jaune (10YR5/6). Limite inférieure nette, limite supérieure progressive. Unité se développant au fond d'une dépression recoupée en CP28 (fig. 2-5g et h), au toit du substrat sableux éocène.

UPS 8 – sables alluviaux éocènes

Sable graveleux à matrice rouge (2,5YR4/8), à stratification rudimentaire. Affecté par un réseau de fentes de tension rectilignes, à remplissage sableux, brun jaune à blanc (fig. 2-5b et 2-8b). Limite supérieure nette.

2.4. Organisation stratigraphique latérale

La séquence de dépôts du site du Bois Clair est dans l'ensemble relativement homogène d'un point de vue lithologique. Le développement latéral important de la plupart des unités a facilité les corrélations archéostratigraphiques. Les dépôts s'organisent selon une toposéquence d'érosion qui a conduit progressivement à l'aplanissement du relief situé dans la moitié ouest de l'emprise (fig. 2-7).

La base de la séquence présente des variations importantes d'épaisseur provoquées par une dépression circulaire mise en évidence au nord du site, lors du creusement de la tranchée 4 (CP04 fig. 2-13, localisation fig. 2-7c). Le fond de ce piège sédimentaire n'a pas été atteint. L'épaisseur observée du remplissage depuis la surface du sol actuel est d'au moins 3 m. Ce comblement se poursuit sans doute sur plusieurs mètres de profondeur en dessous de l'unité 7. La géométrie des dépôts, la présence de fentes de tension au sein des sables éocènes et le substrat calcaire sous-jacent évoquent un soutirage d'origine karstique (doline).

L'emprise de fouille peut-être scindée en deux grands domaines d'altération pédologique. Sur le point haut du site et les versants nord et ouest, le substrat détritique a favorisé le drainage, limitant la dégradation des matériaux limoneux (caractère glossique moins prononcé). Sur le versant est et dans la moitié nord-est de l'emprise, la présence d'un substrat imperméable représenté par les unités 9, 12 et 13 a en revanche provoqué une intense dégradation des sédiments par hydromorphie (fig. 2-5c).

2.5. Figures affectant les nappes de mobilier

2.5.1. Figures syn-sédimentaires

Mises à part les pièces lithiques posées sur les trois principales limites sédimentaires du site (4a/4b, 4/5 et sommet UPS7), le mobilier s'interstratifie sans discontinuité sédimentaire au sein des deux horizons argiliques. Les décapages manuels et sections stratigraphiques n'ont pas rencontré d'organisation particulière (*e.g.* accumulations d'éléments grossiers) ayant pu contribuer à l'aggradation sédimentaire. De même, les locus ne présentent pas de réorganisations significatives des pièces lithiques (*e.g.* concentration de mobilier dans des dépressions, chenaux ou fronts de coulées). Seuls les témoins du locus 15, répartis selon l'axe de la plus grande pente, évoquent une dynamique de redistribution des pièces par reptation ou ruissellement (fig. 2-6f).

2.5.2. Figures diagénétiques

Les figures post-dépositionnelles les plus évidentes correspondent aux fentes de cryodessication qui affectent toute l'épaisseur de la séquence argilique et s'organisent selon un même réseau polygonal semi-métrique (fig. 2-6a). Leur largeur initiale est généralement peu importante (de l'ordre du cm). Elles n'ont donc qu'un impact généralement limité et localisé sur la distribution du mobilier : descente des petites pièces ou réorganisation des éléments situés aux abords du réseau (fig. 2-6e). Ces fentes ont constitué des zones d'infiltration préférentielle de l'eau du sol, ce qui explique l'appauvrissement en oxydes et argiles de la matrice. Le volume appauvri et blanchi (glosse) ne correspond en aucun cas à la largeur de l'ouverture initiale, beaucoup plus faible.

Aucune fente en coin pouvant témoigner de la présence d'un pergélisol n'a été enregistrée sur le site. Par ailleurs, les limites sédimentaires 4a/4b et 4/5, toujours concordantes et rectilignes, ne présentent pas de déformation pouvant évoquer des déplacements en masse de matériaux.

2.6. Résultats analytiques

2.6.1. Coupes échantillonnées

Trois logs situés à proximité des concentrations de mobilier ont fait l'objet d'une série de prélèvements. Nous présentons ici les particularités macroscopiques des unités recoupées ainsi que l'insertion des niveaux archéologiques au sein de ces coupes de référence.

CP08.1 (photos fig. 2-8b et c)

Le log 8.1, situé dans la partie sud de l'éminence, recoupe les unités 1 à 8. Le cryosol de l'unité 3, peu perceptible, se confond avec l'unité 4. L'interface entre les unités 4a et 4b est ici discontinue et peu marquée, et n'a donc pas pu être localisée avec certitude. Les unités 4 et 5 sont affectées par des bandes d'illuviation. Un niveau sableux (type UPS12) s'intercale au centre de la couche de graviers.

Sur cette portion de coupe, l'unité 5 est clairement associée à des éléments paléolithiques moyens répartis de manière éparse. L'insertion de la principale nappe de mobilier du site regroupant des industries s'étageant du Paléolithique moyen à l'Epipaléolithique, et fouillé sur le point haut du terrain 10 m plus au nord, n'est en revanche pas définie précisément. La fouille manuelle a montré que cette nappe de mobilier se situe juste sous le niveau d'apparition du réseau de fentes de cryodessication soulignées par les glosses, soit à l'interface entre les unités 2 et 3. Toutefois, l'irrégularité et le faible contraste de cette interface, sa proximité avec la proche surface du sol (bioturbation plus intense) et la plus faible dilatation des dépôts dans ce secteur du site ne permettent pas d'assurer une position stratigraphique certaine à ce niveau. À cela, nous n'excluons pas non plus la possibilité d'une dégradation pédologique du sommet de l'unité 3, abaissant la position initiale de la limite entre les unités 2 et 3. Le calage de ce niveau supérieur sur le log 8.1 est donc approximatif. D'après la projection du mobilier sur la coupe 8 (fig. 2-14), nous proposons de le situer dans l'unité 3, autour du prélèvement OSL PR89 (fig. 2-8c).

CP09.2 (photo fig. 2-8a)

Le log 9.2, localisé sur le versant est de l'éminence, recoupe les unités 1 à 6 et 11. L'unité 3 est ici assez bien individualisée, avec un faciès gris typique à la base et un faciès brun au sommet (probable dégradation pédologique du faciès gris, fig. 2-4).

Le sommet de l'unité 5 livre une plus forte proportion d'éléments paléolithiques moyens. Le seul élément paléolithique supérieur situé à proximité de la coupe s'insère dans l'unité 3 (fig. 2-13).

CP10.3 (photos fig. 2-8d et e)

Le log 10.3, localisé plus à l'est du log 9.2, recoupe les unités 2 à 6, 11 et 7. L'unité 3 est peu perceptible mais une teinte légèrement plus grise et une densité de graviers plus importante attestent toutefois bien de sa présence. Les fentes blanchies s'expriment moins bien lorsqu'elles traversent le paléosol rouge (unité 6). L'unité 11 présente un lit de graviers en son centre. Enfin, le faciès graveleux du sommet de l'unité 7 est ici relativement peu développé, contrairement à l'intercalation sableuse sous-jacente (unité 12).

Ce log est localisé au cœur du locus paléolithique moyen 1 dont le mobilier s'intercale dans les derniers cm du sommet de l'unité 5 (fig. 2-10a et 2-16).

2.6.2. Examen des lames minces

Aux échelles microscopiques, les matrices sont composées par un assemblage mal trié de particules quartzeuses limoneuses et sableuses, à structure porphyrique, et comportant de fréquentes intercalations limoneuses. Cet assemblage est cohérent avec des apports colluviaux en contexte de faible aggradation sédimentaire. Les processus de surface (bioturbation, alternances de retrait-gonflement, etc.) ont provoqué l'homogénéisation des matériaux au fur et à mesure de leur accumulation.

Les traits illuviaux argileux qui se sont postérieurement inscrits sur ces apports colluviaux, pendant les phases climatiques tempérées, présentent des degrés de développement croissants vers le bas des profils, généralement marqués par un épaississement des revêtements argileux lités. Ces revêtements se retrouvent soit en position conforme avec la porosité, comme pour la plupart de ceux présents au sommet de l'horizon argilique, parfois bien développés (unité 3, fig. 2-9a), soit à l'état de fragments issus de l'érosion de luvisols et en voie d'intégration dans la matrice (fig. 2-9c et e). Cette micro-organisation est symptomatique des sols polyphasés du dernier cycle glaciaire (Pléistocène supérieur) sur lesquels s'est appliquée la pédogenèse holocène.

Les seuls revêtements illuviaux complexes, montrant plusieurs générations d'illuviations argileuses caractéristiques de rangs interglaciaires antérieurs, sont présents dans l'unité 11 ou les espaces intergranulaires de l'unité 7 (fig. 2-9f). Les traits micromorphologiques des deux horizons argiliques jaune et rouge (unités 3 à 6) sont donc cohérents avec un rattachement de cette séquence au dernier cycle glaciaire.

La teinte rouge à brun rouge des unités 5 et 6 est provoquée par la rubéfaction de certains revêtements argileux, parfois bien développés (2-9d) et localement enrichis en matière organique. Elle ne dérive pas de l'érosion de pédoreliques tertiaires et traduit donc une phase de pédogenèse illuviante plus poussée que pour le luvisol jaune, de type interglaciaire, avec début de fersialitisation. Ainsi, en accord avec le degré d'évolution de l'horizon argilique sus-

jacent et par comparaison avec les quelques références paléopédologiques du sud-est de la France (Bertran, 1989 ; Jarry *et al.,* 2007), le paléosol rouge a vraisemblabement enregistré la pédogenèse du stade 5. Un âge antérieur au stade 5e pour le dépôt des matériaux et pour les industries des unités 6 et inférieures est donc attendu.

Enfin, le sommet du luvisol jaune (unité 3) présente localement une structure lamellaire non triée induite par la ségrégation de glace en lentilles dans le sol (fig. 2-9b), qui témoigne du développement d'un gélisol profond ou d'un pergélisol (Van Vliet Lanoe, 1988).

2.6.3. Susceptibilité magnétique

Les mesures de la susceptibilité magnétique permettent d'estimer la quantité de particules magnétique du sol. Les signaux verticaux obtenus sur les trois coupes de référence ont été réalisés en effectuant deux séries de mesures éloignées d'une dizaine de cm, avec un pas de 5 cm. Ils montrent une évolution relativement similaire de ce paramètre (annexe 7, fig. 2-10a). Les valeurs les plus fortes sont obtenues dans l'horizon argilique rouge (unité 6) et dans l'unité 2, avec des valeurs oscillant entre 50 et 100 unités $CGSx10^{-6}$. Les valeurs sont plus faibles au sein des unités 4, 5 et 11 (autour de 20 unités $CGSx10^{-6}$), là où la dégradation pédologique est plus importante. On ne distingue pas de modification du signal dans les niveaux résiduels 4a/4b et 5. Les plus fortes valeurs obtenues dans le paléosol rouge tendent à confirmer que cet horizon a subi une altération pédogénétique plus poussée. La susceptibilité magnétique élevée des limons sableux de l'unité 2 couvrant le luvisol jaune est plus difficile à expliquer. Elle peut traduire une modification des sources sédimentaires (par apports éoliens ?) ou des transformations pédologiques liées au fonctionnement du sol holocène.

2.6.4. Granulométrie

Fraction > 2 mm

Les tamisages au jet d'eau à haute pression menés sur le terrain ont permis de traiter de grands volumes de sédiment et d'obtenir ainsi une bonne estimation de la granularité des dépôts. Les prélèvements ont été tamisés à 1,8 mm sur le terrain, sans séchage préalable du sédiment, puis à 2, 10 et 20 mm en laboratoire. Sur la coupe 10.3, les tamisages concernent six prélèvements espacés le long de la séquence alors qu'au sein des locus analysés (0 et 4), ils ont été menés de manière systématique au sein d'un même sous-carré situé au cœur des concentrations lithiques (localisation des sous-carrés traités fig. 2-4).

Les principaux résultats sont les suivants (fig. 2-10b) :

- Les proportions d'éléments grossiers sont inférieures à 5 % dans le sol actuel et l'horizon argilique jaune (unités 1 à 4). Conformément aux observations de terrain, elles sont en revanche plus importantes dans les unités sous-jacentes, de l'ordre de 10 %. Ces proportions augmentent sensiblement lorsque la séquence se condense sur le point haut du site. Sur la coupe 10.3, contrairement à ce qui a été perçu sur le terrain, ce n'est pas l'unité 5 qui renferme le plus d'éléments grossiers mais l'unité 6 (13,5 %).

- Les éléments grossiers sont en grande majorité représentés par la fraction 2-10 mm (graviers siliceux).

- Au sein des locus 0 et 4, les décomptes de la fraction lithique taillée montrent une forte distribution verticale des silex, au moins 80 cm pour le locus 0 (paléolithique moyen et supérieur), et autour de 50 cm pour le locus 4 (paléolithique moyen). Même si elle ne repose que sur deux points d'échantillonnage, la distribution verticale de cette fraction semble indépendante de la granularité du sédiment. Dans le locus 4, la fraction supérieure à 2 mm croit progressivement entre les unités 4 et 6 alors que le maximum de silex se situe au sommet de l'unité 5. Dans le locus 0, la densité maximale en silex est atteinte dans le décapage qui livre la plus faible quantité de graviers mais la variation est peu significative. De même, en plan, nous avons vérifié que la distribution de la fraction naturelle graveleuse ne se corrèle pas avec les plus fortes densités en silex. Elle traduit plutôt des variations liées aux irrégularités d'apparition du toit du substrat éocène.

Fraction < 2 mm

Dix-neuf prélèvements ont fait l'objet d'analyses microgranulométriques par diffraction laser au moyen d'un appareil Malvern Mastersizer 2000 capable de détecter des particules entre 0,2 µm et 2 mm de diamètre. Les prélèvements n'ont subi aucun traitement chimique. Quelques agrégats sont placés dans 700 mL d'eau non distillé jusqu'à atteindre une

obscuration d'environ 50 %. La solution est alors soumise à des ultrasons pendant deux minutes afin de bien dissocier les particules (intensité des ultrasons : 20, vitesse de la pompe : 2000). Les résultats correspondent à la moyenne de trois mesures. La variation entre ces trois mesures est insignifiante.

Les résultats montrent (fig. 2-11) :

- des variations peu significatives de la granularité inférieure à 2 mm le long de la séquence, illustrant ainsi la perdurance des sources de matériaux fins au cours du temps ;

- une distribution bimodale de l'ensemble des échantillons, donc composée d'au moins deux populations de particules, avec un mode principal autour de 20 µm (limite entre limons fins et grossiers) et un mode autour de 450 µm (sables grossiers), confirmant ainsi le caractère non trié des dépôts.

Les particules centrées autour de 20 µm dérivent vraisemblablement d'apports éoliens. La population sableuse est probablement héritée des formations alluviales tertiaires environnantes.

2.7. Conclusion

L'étude du contexte pédosédimentaire du site Bois Clair, basée sur de nombreux enregistrements stratigraphiques et une approche analytique classique (micromorphologie et granulométrie) a permis de documenter une toposéquence composée par la lente accumulation de colluvions dérivées de formations détritiques tertiaires. Comme pour la plupart des séquences de plein air sur versant à pente faible, elle condense un grand intervalle de temps sur de faibles épaisseurs sédimentaires, et ne constitue donc pas un contexte très favorable à la préservation du signal archéologique. Sur l'éminence du terrain, les taux de sédimentation sont encore plus faibles, ce qui implique potentiellement des mélanges d'industries issues d'occupations séparées dans le temps et une désorganisation des vestiges entre le moment de leur abandon par les hommes et leur enfouissement par les colluvions.

Même si les figures sédimentaires font défauts, comme souvent dans ce type de contexte où la pédoturbation prédomine et efface progressivement les organisations initiales, on peut suspecter des processus d'aggradation par écoulements superficiels (de type ruissellement) et/ou reptation, et donc des processus de remobilisation modéré des matériaux mais qui ont tendance a progressivement disperser le mobilier, ce que l'étude taphonomique cherchera à vérifier.

La séquence du Bois Clair présente toutefois quelques originalités. Elle enregistre au moins trois épisodes de résidualisation des dépôts par évacuation de leur fraction fine, et dont l'intensité diminue au cours du temps (unités 7, 5 et interface 4a/4b). L'extension importante de ces niveaux plaide en faveur d'évènements généralisés dont l'impact dépasse sans doute le cadre strictement local. D'un point de vue pédostratigraphique, la séquence a préservé deux horizons argiliques superposés. Le premier, qui supporte le sol actuel, présente à son sommet un cryosol qui se rattache probablement aux phases à gélisol profond du stade 2 ou du Tardiglaciaire. Le second horizon, rubéfié, pourrait renvoyer, de part ses caractéristiques micromorphologiques, à la pédogenèse illuviante du précédent interglaciaire. Enfin, le versant nord-est du site est affecté par une doline non perceptible dans le relief actuel, et dont les phases terminales de comblement sont contemporaines des premières fréquentations du site.

SECTION 2

L'opération et ses résultats

Chapitre 3

3. Datations par luminescence stimulée optiquement

M. Hernandez, M. Rué et S. Bernard-Guelle

3.1. Introduction

Sur le site paléolithique du Bois Clair, les grains de quartz constituent le seul support datable. Le 28/03/2012, six échantillons de sédiment ont été prélevés sur les coupes de référence CP10.3 et CP8.1 en vue d'une campagne de datation par luminescence stimulée optiquement (localisation en plan : fig. 2-4, localisation en coupe : fig. 2-8 et 2-10). Pour ce faire, des tubes opaques ont été insérés dans les coupes, puis scellés à leurs extrémités afin de conserver les grains de quartz à l'abri de la lumière. Une fraction supplémentaire de sédiment a été systématiquement prélevée pour la détermination de leurs teneurs en radioéléments. Des mesures de spectrométrie gamma *in situ* ont été réalisées à l'endroit exact de chacun des prélèvements (fig. 3-1).

Les échantillons suivants ont été extraits, du haut vers le bas de la séquence (les profondeurs sont données par rapport à la surface du sol actuel) :

PR88	CP08.1	UPS 2	0,39 m
PR89	CP08.1	UPS 3	0,68 m
PR84	CP10.3	UPS 4b	0,89 m
PR85	CP10.3	UPS 5	1,11 m
PR86	CP10.3	UPS 6	1,44 m
PR87	CP10.3	UPS 11	1,89 m

Les deux échantillons de la coupe 8.1 se situent à 10 m au sud du locus 9 (paléolithique moyen et supérieur), le prélèvement 89 se trouvant approximativement dans le prolongement du centre de la nappe d'objets (cf. partie 2.6.1). Les quatre échantillons de la coupe 10.3 proviennent du locus 1 (paléolithique moyen), la concentration d'objets étant encadrée par les prélèvements 84 et 85. Le prélèvement 85 se situe juste au dessus des derniers volumes préservés de l'horizon paléoargilique rouge. Enfin, le prélèvement 87 a été extrait sous la lentille de graviers qui marque le centre de l'unité 11.

3.2. Bref exposé du principe des méthodes de datation par luminescence

Les méthodes de datation par luminescence s'appuient sur la capacité des minéraux tels que le quartz à accumuler dans leurs défauts cristallins de l'énergie d'origine radioactive, sous forme d'électrons piégés, et de la restituer en émettant de la luminescence lorsqu'ils sont soumis à une stimulation optique (on parle alors d'OSL).

Les minéraux sont en effet constamment irradiés naturellement en raison de la présence en leur sein et/ou dans leur environnement des radioéléments des familles de l'uranium 238 (U-238) et du thorium 232 (Th-232), et de l'isotope radioactif du potassium (K-40). En se désintégrant, ces radioéléments et leurs descendants émettent des rayonnements bêta et gamma et des particules alpha. De plus, les rayonnements cosmiques participent à l'irradiation du matériau. En traversant le minéral, tous ces rayonnements ionisent les atomes et libèrent des électrons qui peuvent être capturés par les pièges liés aux défauts du réseau cristallin. Ainsi, au fil du temps, le nombre d'électrons piégés augmentera continument.

Étant donné que cette irradiation est, de manière générale, relativement constante au cours du temps, la relation entre temps écoulé et quantité d'électrons piégés est bien établie ; pour réaliser une datation, il est donc essentiel de connaître ce taux d'irradiation, communément appelé *Débit de dose*.

Par ailleurs, il est tout aussi essentiel de déterminer l'irradiation totale reçue par le minéral étudié (un grain de quartz, un silex…) c'est-à-dire la quantité d'énergie totale accumulée, ou Dose équivalente (ou *Paléodose*).

Le quotient de ces deux grandeurs (*Paléodose* sur *Débit de dose*) correspond alors au temps qui s'est écoulé depuis le dernier vidage des pièges, qui correspond à l'âge de l'échantillon.

3.3. Détermination des débits de dose

3.3.1. Procédure

Une fraction de chaque échantillon de sédiment a servi, dans un premier temps, de support à des mesures d'humidité (humidité au prélèvement, humi-

dité à saturation). Ils ont ensuite été séchés, puis broyés et mis en boîte. Celles-ci ont été scellées à la paraffine pour permettre au radon (gaz) de se régénérer afin de retrouver l'équilibre séculaire des chaînes de l'uranium. Les teneurs en radioéléments K, U, Th ont été déterminées à partir des mesures effectuées sur ces boîtes à l'aide d'un spectromètre gamma à bas bruit de fond au CRPAA. Afin d'en déduire les contributions alpha et beta externes, les tables de conversion « teneurs-doses » d'Adamiec et Aitken (1998) ont été utilisées. Des facteurs correctifs pour les doses alpha et beta externes ont été appliqués en fonction de la taille des grains de quartz mesurés en luminescence (41-60 µm) d'après les valeurs déterminées par Mejdhal (1979) et Brennan *et al.* (1991). Afin de pondérer la contribution des alpha dans la dose annuelle, un coefficient de 5µGy/10^3/cm^2 a été utilisé dans le calcul de débit dose d'après les valeurs publiées de Tribolo *et al.* (2001).

Les doses gamma ont été déduites des mesures réalisées *in situ* à l'aide d'un spectromètre gamma de terrain équipé d'une sonde $LaBr_3$ (méthode de calcul d'après Guérin et Mercier, 2011).

La teneur en eau moyenne des sédiments au cours du temps a été estimée à 12 ± 3 %. Cette valeur, proche de l'humidité au prélèvement, été prise en compte afin de pondérer les débits de dose alpha, beta et gamma.

Enfin, les doses annuelles cosmiques ont été déterminées en fonction de l'évaluation de la profondeur moyenne des échantillons au cours du temps et des valeurs tabulées de Prescott et Hutton (1994).

3.3.2. Résultats

Aucun déséquilibre dans les chaînes radioactives de l'uranium n'a été détecté, suggérant que l'énergie radiative délivrée par l'environnement a été constante au cours du temps. Les résultats obtenus affichent des valeurs très voisines entre les différents échantillons, ce qui tend à montrer une grande homogénéité des débits de dose sur l'ensemble des séquences échantillonnées.

3.4. Détermination des paléodoses

3.4.1. Préparation des échantillons

La préparation des échantillons en laboratoire à été réalisée dans des conditions d'éclairage contrôlées afin de conserver l'intégrité du signal de luminescence lors de cette étape. Dans un premier temps, les 2 cm externes de chaque tube de sédiments prélevés (les extrémités), susceptibles de contenir des grains ayant été exposés à la lumière lors de l'échantillonnage, ont été retirés.

En raison de son abondance dans les sédiments, la fraction granulométrique comprise entre 41 et 60 µm a été recueillie par un procédé de tamisage à l'eau. Un traitement chimique a ensuite été réalisé afin d'extraire et de « purifier » le quartz. La procédure est la suivante : attaques HCl, H_2O_2 et H_2SiF_6 pour éliminer, respectivement, les carbonates, les éventuelles matières organiques et les feldspaths. L'efficacité du traitement visant à éliminer les feldspaths a été vérifiée par la mesure du signal de luminescence d'une fraction de chaque échantillon stimulée en lumière infra rouge.

3.4.2. Protocoles

Les mesures de luminescence stimulée optiquement ont été réalisées à l'aide d'un appareil TL/OSL DA20 Risø équipé de diodes électroluminescentes émettant dans le bleu ou l'infrarouge. Les signaux de luminescence ont été détectés par un tube photomultiplicateur EMI 9235QB couplé à un filtre Hoya U-340 de 7.5 mm d'épaisseur. Les irradiations ont été réalisées à l'aide d'une source radioactive beta calibrée de $^{90}Sr/^{90}Y$.

Dans cette étude, deux types de protocole ont été employés en fonction du niveau de saturation en dose des échantillons.

Un protocole de *Single Aliquot Regenerative dose* (SAR) en multi-grains, basé sur la mesure de la composante rapide du signal OSL (Murray et Wintle, 2000), a été mis en œuvre pour l'échantillon MBC11-PR88. Celui-ci prévoit de réaliser l'ensemble des opérations visant à mesurer le signal naturel et les signaux de luminescence induits par des doses régénérées sur un seul et même aliquote (fig. 3-2). Dans cette étude, chaque aliquote est constitué d'une mono couche (5 mm de diamètre) de grains de quartz. Dans un premier temps, des tests dits de « *doses recovery* » ont été réalisés afin de déterminer les paramètres (températures de préchauffe, procédure de normalisation) les mieux adaptés à cet échantillon. Les tests de « *doses recovery* » consistent à administrer des doses d'irradiation connues, après avoir remis à zéro des fractions de grains de quartz à

l'aide d'un simulateur solaire, afin d'évaluer en fonction des différents paramètres testés la fiabilité des procédures employées. Par la suite, 20 aliquotes de « dose naturelle »ont été mesurés suivant le protocole établi et décrit dans la figure 3-3.

Pour tous les autres échantillons, des tests préliminaires ont permis de mettre en évidence la saturation en dose de la composante rapide du signal d'OSL. Dans ce cas, l'utilisation de ce signal est impropre à la détermination des paléodoses. Pour pallier cette limitation, une méthodologie basée sur l'exploitation du signal de transfert thermique OSL (TT-OSL), qui est caractérisé par une saturation en dose beaucoup plus élevée, a été mise en œuvre. L'obtention de ce signal est rendu possible par le procédé suivant : une préchauffe suivie d'une stimulation OSL permet une première vidange des pièges (« saturés » dans le cas de nos échantillons) - puis une chauffe à 260°C pendant 10s permet de transférer les charges des pièges plus profonds vers les pièges précédemment vidés (source de la composante rapide du signal d'OSL) - ainsi la stimulation suivant cette chauffe génère un signal appelé TT-OSL (Wang *et al.*, 2006). Le protocole de TT-OSL employé dans cette étude (fig. 3-4) est basé sur la construction d'une courbe de croissance en doses à partir de 24 aliquotes préalablement blanchies à l'aide d'un simulateur solaire (Hernandez *et al.*, 2012a et b). Bien qu'il ne s'agisse pas d'un protocole de SAR (tel que celui employé pour l'échantillon MBC11-PR88), il permet tout de même d'évaluer la dispersion des valeurs de doses équivalentes en interpolant sur la courbe de croissance construite pour chaque échantillon autant de valeurs intégrées de signaux naturels que d'aliquotes mesurées (fig. 3-5).

3.4.3. Résultats

Les pourcentages de dispersion associée aux courbes de croissance en dose mesurées en TT-OSL sont compris entre 6 et 13%, indiquant une bonne reproductibilité des signaux entre les différentes aliquotes mesurées.

Par ailleurs, pour chaque échantillon, la dispersion des valeurs de paléodoses obtenues est exprimée sous forme de pourcentage d'*overdispersion* (fig. 3-5). Cette grandeur tient compte de la dispersion des résultats au-delà de la variabilité « normale » liée à la statistique d'analyse, et, de ce fait permet d'apporter des informations notamment sur le blanchiment des grains et donc sur la représentativité des paléodoses (Galbraith *et al.*, 1999). Ces taux varient entre 8 ± 3 % et 25 ± 4 % en fonction des échantillons (fig. 3-5). Si pour les échantillons présentant les *overdispersion* les plus faibles (MBC11-PR88, PR84, PR86 et PR87) on peut faire l'hypothèse d'un blanchiment homogène, et probablement complet, des grains au moment de leur dépôt ; la question reste plus ouverte pour les échantillons MBC11-PR89 et PR85. Toutefois, étant donné que la distribution des paléodoses est dans tous les cas centrée autour d'une valeur moyenne décrivant une seule composante, un modèle d'âge central (Galbraith *et al.*, 1999) a été employé pour l'ensemble des échantillons. Celui-ci consiste à calculer une moyenne pondérée de la paléodose et donc de l'âge. Les âges obtenus sont cohérents d'un point de vue stratigraphique (croissants en fonction de la profondeur). L'analyse des résultats dans leur ensemble suggère que si l'hypothèse d'un blanchiment partiel des grains peut être émise pour certains échantillons, on peut égaler supposer que ce phénomène n'a qu'un faible impact sur les âges calculés.

3.5. Bilan chronostratigraphique

Les âges obtenus couvrent une grande partie du dernier cycle glaciaire et confirment les faibles taux moyens de sédimentation sur le site, de l'ordre de 1,9 cm par millénaire (fig. 3-6).

La date la plus récente situe la mise en place des colluvions limono-sableuses (unité 2) scellant le cryosol (unité 3) autour de 16 ± 1 ka, soit à la fin du Pléniglaciaire supérieur. D'après les données acquises régionalement, la formation d'un cryosol avant 16 ka pourrait renvoyer aux phases à pergélisol reconnues entre la fin du stade 3 et le début du stade 2 (Lenoble *et al.*, 2012). Cette date est toutefois trop ancienne au regard des données archéologiques du site puisque ces colluvions recouvrent les locus 0 et 9 rapportés au Magdalénien final, ou encore les locus 13 et 15 d'âge épipaléolithique. Tous sont suffisamment bien conservés pour que l'on puisse les utiliser comme repères archéostratigraphiques (chap. 4). Comme évoqué en 2.6.1, l'éloignement de la coupe 8.1 par rapport à ces locus pourrait expliquer ce décalage temporel. Dans ce cas, les concentrations du Paléolithique supérieur et de l'Epipaléolithique s'insèreraient au dessus de l'échantillon PR88 daté à 16 ± 1 ka. Cette éventualité est cependant peu

probable d'après les faciès pédosédimentaires relevés en fouille. De plus, si l'on observe la position des locus par rapport au niveau repère sous-jacent formé par les unités 4 et 5 - et non plus par rapport à la limite pédologique séparant les unités 2 et 3, moins fiable - on constate que, pour une même situation topographique par rapport à l'éminence du terrain, ils se localisent approximativement à la même distance verticale de cette limite. Sur la coupe 16, les locus 13 et 15 se situent entre 25 et 40 cm au dessus de cette limite, ce qui, sur la coupe 8, tombe autour du prélèvement 89, dans l'unité 3, et non pas au dessus du prélèvement 88. Pour le locus 0, localisé au cœur de la nappe paléolithique supérieur et dont l'âge archéologique peut être situé approximativement autour de 12 ka, l'épandage est plus rapproché de la limite entre les unités 4 et 5, a une vingtaine de cm sur la coupe 5, et ceci en raison du caractère condensé des dépôts au sommet du site. Pour le locus 9, le centre de la nappe oscille entre 25 et 30 cm au dessus de ce niveau repère (CP11), ce qui, globalement, assure une certaine cohérence stratigraphique aux épandages paléolithiques de cette partie du site.

Un âge de 41 ± 3 ka obtenu pour les colluvions sur lesquelles s'est formé le cryosol est cohérent avec les données géomorphologiques et archéologiques. L'intervalle chronologique obtenu est toutefois très ancien si l'on considère la position stratigraphique et l'âge des industries du Paléolithique supérieur final et de l'Epipaléolithique.

En dessous, les deux dates situées à l'interface entre les deux horizons argiliques 1BT et 2BT (UPS 4/5) couvrent le premier tiers du stade isotopique 3, soit entre 50 et 60 ka environ. Ces résultats sont en adéquation avec le mobilier paléolithique moyen découvert au voisinage de cette limite.

Les deux résultats issus du paléosol argilique rouge (unité 6) et des colluvions sableuses sous-jacentes (unité 11), donnant des âges respectivement autour de 73 ± 8 et 96 ± 7 ka, sont plus problématiques et apparaissent sous-estimés. D'après les caractéristiques pédologiques aux échelles macro- et microsopiques, le paléosol rouge résulte en effet d'une altération climatique de type interglaciaire. Des âges d'enfouissement des quartz antérieurs au stade 5 étaient donc attendus. Le fort développement de ce sol le rend par ailleurs difficilement compatible avec les pédogenèses connus au cours du stade 3, comme pourraient le suggérer les dates obtenues. Le paléosol argilique rubéfié du Bois Clair évoque en revanche les sols plus anciens étudiés sur les sites des Bosses à Lamagdelaine (Jarry *et al.*, 2007) ou de Combe Brune 2 à Creysse, ou encore, plus au sud, sur les sites paléolithiques découverts à l'occasion des travaux de l'A65. En suivant cette logique, l'âge du mobilier du locus 3, situé au sommet de l'unité 7, pourrait renvoyer à des occupations antérieures au stade 5. Les états de surface du mobilier (chap. 4.6) et le type d'industrie (chap. 5.5.3) n'apportent malheureusement pas d'éléments discriminants permettant de discuter ces deux dates (chap. 4.6 et 5.5.3).

SECTION 2

L'opération et ses résultats

Chapitre 4

4. Etude taphonomique du mobilier

S. Bernard-Guelle, M. Rué, A. Taylor, P. Fernandes, P. Tallet

4.1. Introduction (S. Bernard-Guelle)

Au cours de la fouille, il est rapidement apparu que le site avait connu de multiples occupations parfois difficilement distinguables en stratigraphie. Au niveau des locus 0,9,11 (UPS4, considérée dans cette partie du rapport au sens large, c'est-à-dire incluant le cryosol UPS3), l'occupation paléolithique supérieure mise en évidence par le diagnostic, bien que spatialement localisée, semblait notamment encadrée - et en contact, voire mélangée - par des indices d'occupations à la fois plus tardifs (un possible épipaléolithique : débitage bipolaire, rectitude des supports, débitage à la pierre, une pointe à dos courbe) et plus anciens (Moustérien). Dans d'autres secteurs, (*e.g.* locus 12bis et 15, UPS4) plusieurs ensembles archéologiques, spatialement et stratigraphiquement très proches, furent de fait d'abord associés avant d'être discriminés sur critères technologiques. D'autres petits ensembles fouillés en différents niveaux de l'UPS4 semblaient peu caractéristiques et difficilement rattachables à l'un des deux principaux technocomplexes présents sur site. Une petite série retrouvée à la base de l'UPS2 (locus 8) paraissait également se démarquer par sa position stratigraphique et d'autres particularités (spectre de matière première, forte proportion d'outils retouchés). Enfin, la majorité du mobilier récolté, manifestement moustérien, était réparti sur l'ensemble de la séquence stratigraphique, d'où l'émergence naturelle, dès la phase terrain, de questionnements quant à son homogénéité, intégrité et origine.

Le nombre effectif de niveaux archéologiques, leur degré de conservation en fonction de leur localisation stratigraphique et spatiale ainsi que leur caractérisation chronoculturelle constituaient dès lors les principaux enjeux de la post-fouille.

Dans cette optique, l'étude taphonomique est ici un outil indispensable. Elle permet notamment d'estimer le degré de conservation du site en déterminant l'impact des différents processus naturels sur la composition de l'assemblage lithique et sa répartition spatiale. Plusieurs paramètres peuvent être pris en compte : la répartition spatiale du mobilier et des remontages, la disposition des objets, leur granulométrie et leurs états de surface.

4.2. Analyse spatiale du mobilier (S. Bernard-Guelle et A. Taylor)

L'analyse spatiale du mobilier tend à établir l'état de conservation du site en testant la présence éventuelle de concentrations en comparant les densités et proportions relatives de mobilier.

L'emprise ferme a été fouillée sur 3740 m² de manière mécanique et/ou manuelle (cf. chap. 1.5). Le décapage mécanique a permis de mettre en évidence des secteurs de plus fortes densités qui ont été ensuite fouillés à la main de manière classique (env. 156 m²) ou de façon plus rapide (60 m²) entraînant de fait une hétérogénéité des données disponibles au niveau de l'emprise, notamment sur les proportions de fraction fine qui sont nettement sous-représentées dans le cadre d'une fouille mécanisée.

La répartition spatiale de l'ensemble du matériel côté fait néanmoins ressortir plusieurs zones de concentrations lithiques, essentiellement localisées sur les points hauts du site, dans la partie ouest de l'emprise (fig. 4-01). Ce phénomène est particulièrement net au sein de l'UPS4 (fig. 4-02) qui regroupe une grande partie du mobilier autour des locus 0,11 et surtout 9. Des secteurs de densités, certes moins marqués, sont également localisés un peu plus au nord (locus 12bis et 15) ou plus ponctuellement au sud et à l'est (locus 4, 7, 16…). Sur le reste de la séquence, la distribution du mobilier se fait de façon plus homogène sur une bande d'environ 45 m de large de direction sud-nord (fig. 4-03). On note cependant quelques points de concentrations relatives comme en locus 12 et 1, tous deux en UPS5, ainsi qu'en locus 3, restreint au sommet de l'UPS7.

Au regard des attributions chrono-culturelles (fig. 4-01 et aussi chap. 5), la distribution spatiale varie sensiblement entre les périodes mais les principaux pôles de densités demeurent en partie haute de l'emprise. En UPS4, le Paléolithique supérieur est particulièrement bien délimité dans la partie centrale-ouest de l'emprise où son extension semble réduite à une petite butte dominant encore actuellement le paysage environnant (cf. chap. 5.7 pour

les détails). On note toutefois la présence de deux petits pôles périphériques, l'un au sud-est (locus 7) et l'autre au nord (locus 14) (fig. 4-02) pouvant traduire une installation plus étendue. Toujours en UPS4, l'Epipaléolithique supposé est cantonné aux locus 15 et 13, dans la zone nord (fig. 4-02). Le Paléolithique moyen, plus dilaté verticalement, se répartit sur l'ensemble de l'emprise, avec quelques zones plus riches, notamment en UPS4, surtout au niveau des locus 12bis, 4 et 9 (fig. 4-02). Les locus 12, 1 et 3 illustrent également de petites concentrations en UPS5 ou au sommet de l'UPS7 (fig. 4-03). Enfin, dans l'angle est de l'emprise (fig. 4-01), plusieurs pièces d'âge incertain sont disséminées sur plusieurs m^2 au contact entre les UPS2 et 4.

Les projections par matériaux ne font ressortir aucune particularité, tout au plus pouvons nous constater que quartz, quartzites et grès sont fréquemment associés aux zones de densités (fig. 4-04).

Des projections par catégories techno-typologiques (fig. 4-05 et 4-06), nous retiendrons les observations suivantes qui seront développées dans de prochains chapitres (chap. 5.5 et suivants) : présence forte et manifeste de pièces retouchées en locus 8 (Néolithique ?) mais également en locus 9 (Paléolithique supérieur final) ; regroupement de produits allongés (lames-lamelles) en locus 9, 0 (Paléolithique supérieur final) et 15 (Epipaléolithique) ; regroupement de pointes pseudo-Levallois (Paléolithique moyen) en locus 12bis et de façon moins nette en locus 9 et 3 ; regroupement de produits Levallois en locus 12 (Paléolithique moyen) ; regroupement de nucléus et surtout de produits corticaux en locus 9, 0, 15 et 12bis. L'association aux mêmes endroits des nucléus, produits corticaux et produits de plein débitage (lames-lamelles au Paléolithique supérieur et pointes pseudo-Levallois pour le Paléolithique moyen) permet d'affirmer que ces quatre précédents locus constituent, si ce n'est les principaux centres de production fouillés, en tout cas les mieux préservés.

4.3. Remontages (S. Bernard-Guelle)

L'étude des remontages d'intérêt taphonomique vise à mettre en évidence d'éventuels déplacements d'objets, en distinguant les processus naturels des activités anthropiques, et à estimer l'état de conservation du site. Les résultats d'ordre techno-économique de cette étude seront présentés dans les chapitres relatifs à l'industrie lithique (chap. 5).

Suite aux travaux développés par E. Cziesla (1987, 1990), le terme de remontage est utilisé pour désigner l'ensemble des raccords entre pièces lithiques et peuvent ainsi être de trois types :

- raccords de débitage pour des produits remontés entre eux et/ou sur un nucléus ;
- raccords de cassure pour des pièces fracturées et réassemblées ;
- raccords de ravivage pour des séquences de retouche d'outils.

Nous avons également utilisé la nomenclature d'E. Cziesla (*ibid*) pour ordonner les distances mesurées entre pièces.

Les remontages comptent pour 150 unités (fig. 4-08) avec une moyenne de 5,3 pièces par remontage. Ils intègrent majoritairement 2 pièces (n = 78), parfois plus de 10 (n = 16) allant jusqu'à 50 pièces pour le remontage paléolithique supérieur le plus étoffé (R134) et 29 pour celui rapporté au Paléolithique moyen (R51). Avec 795 pièces raccordées sur un total de 3597 pièces récoltées (tamisage non compris), le taux de remontage moyen est de 22,1 %. Ce taux de remontage est cependant largement supérieur au sein des zones fouillées manuellement : 26 % en locus 0, 9, 11 (P.S.) (sous-évalué en raison de l'importante fraction fine), 35,2 % en locus 4 (P.M.), 38,4 % en locus 3 (P.M.), 41,3 % en locus 7 (P.S.), 40,7 % en locus 10 (P.M.), 42 % en locus 15 (EPI.), 53 % en locus 13 (EPI.) et 63 % en locus 12bis (P.M.).

Les 795 pièces intégrant un remontage composent 603 éléments lithiques dont 55 nucléus (9,1 %), 180 pièces corticales (29,9 %), 70 lames (11,6 %), 45 pointes pseudo-Levallois (7,5 %) et seulement 17 supports Levallois (2,8 %) (annexe 2). Ces remontages correspondent avant tout à des raccords de débitage (58 %) loin devant les fractures post-dépositionnelles (13,3 %) ou de débitage (2 %). Ils associent en outre fréquemment les deux types de raccords – débitage et fracture (26,7 %) (fig. 4-08).

Les raccords de fractures liés au gel ne montrent que de faibles déplacements, généralement de l'ordre de quelques centimètres ou décimètres ; les éclats ainsi produits sont parfois encore en contact avec leur support originel. Quelques exceptions présentent néanmoins des liaisons sur de longues à très longues distances (R6, 18 et 101 - fig. 4-07) illustrant des déplacements postérieurs à l'action du gel.

La dispersion spatiale des raccords de débitage est plus variable mais montre une forte tendance aux liaisons à distances courtes ou moyennes : 80 % des liaisons pour le Paléolithique supérieur *lato sensu* et 78 % pour le Paléolithique moyen (fig. 4-10). Les liaisons à très longues distances sont en revanche plus marquées au sein du Paléolithique moyen (12,16 % contre 3,34 % pour le Paléolithique supérieur). Il en est également ainsi des distances moyennes et maximum, plus élevées pour la période la plus ancienne (respectivement 1,74 m et 35,79 m contre 1,17 m et 8,09 m pour le Paléolithique supérieur). Les liaisons les plus longues concernent les zones décapées mécaniquement et les remontages du Paléolithique moyen (en vert – fig. 4-07). Les remontages 24, 29 et 30 marquent les liens les plus distants ; ils sont d'orientation globalement sud-nord et concernent des pièces recueillies en UPS5 pour le R24 et des liens entre la base de l'UPS4 ou l'interface UPS4/5 et le sommet de l'UPS5 pour les remontages 29 et 30 (cf. également le chap. 5.5).

Sans surprise, les remontages sont concentrés au niveau des zones de fouille manuelle, à la fois moins sélectives dans le mode de prélèvement et a priori mieux conservées (fig. 4-07). La comparaison des trois locus principaux (fig. 4-10) montre une certaine similitude entre les locus 12bis (P.M.) et 15 (Epi.) spatialement proches : la courbe de tendance est semblable avec des liaisons majoritairement courtes (respectivement 54 % et 64 %) bien que le locus 15 se démarque par aucune liaison très longue et moins de liaisons longues (4 % contre 14 % au locus 12 bis). Le locus 15 se démarque également du reste par la plus faible moyenne de liaisons (0,59 m) et une distance maximum seulement de 3 m. Le grand ensemble formé par les locus 0, 9 et 11 présente une courbe de tendance différente, que ce soit pour le niveau Paléolithique supérieur (UPS4) ou pour celui du Paléolithique moyen (UPS4, 4/5, 5). Les liaisons à courte distance ne sont plus majoritaires (autour de 30 % pour les deux niveaux) mais égales (P.M.) ou dominées (P.S.) par les liaisons moyennes. Les distances très longues sont également bien représentées, notamment pour le Paléolithique moyen (près de 18 % contre 5 % pour le Paléolithique supérieur). Les histogrammes circulaires des orientations (fig. 4-11) ne montrent pas d'orientation préférentielle des remontages ni de différences notables entre locus et périodes chrono-culturelles.

En accord avec les densités de mobilier (cf. *supra*), la majorité des raccords concerne des liaisons au sein de l'UPS4 (48,6 %) ou de l'UPS5 (14,9 %) (fig. 4-09). *A contrario* du Paléolithique supérieur limité à l'UPS4, les remontages du Paléolithique moyen ne sont pas cantonnés à une seule unité mais se retrouvent presque sur toute la séquence avec néanmoins deux grands ensembles nettement majoritaires (UPS4 et 5) pouvant illustrer la présence d'au moins deux niveaux distincts.

Dans 26,5 % des cas, les remontages illustrent des liens inter-unités, synonymes de perturbations post-dépositionnelles significatives. Ce phénomène concerne essentiellement des liaisons entre l'UPS4 et d'autres unités : notamment avec l'UPS5 (8,1 %), la transition UPS4/5 11 (8,1 %), voire les deux (3,4 %) (fig. 4-09., CP16 R56 - fig. 2-17, CP10 R43 - fig. 2-16). Elles attestent de déplacements verticaux mais aussi latéraux parfois sur de longues distances à l'image des remontages R4, 12, 29, 30, 35 et 56. En revanche, ces remontages inter-unités ne sont jamais attestés entre deux concentrations (ou locus), l'une localisée en UPS4, l'autre en UPS5, ne remettant ainsi pas en cause leur appartenance respective à deux niveaux bien distincts. Ceci est également confirmé par la position stratigraphique et l'absence de lien entre les mobiliers présents en locus 12bis (UPS4) et 12 (UPS5) (cf. CP22 - fig. 2-18). Enfin, des liaisons entre UPS4 et 5 peuvent également concerner quelques remontages du Paléolithique supérieur mais les déplacements sont limités à des migrations essentiellement verticales (locus 0/9/11).

Les projections en coupes montrent le caractère (sub)horizontal des principaux remontages, particulièrement au sein de l'UPS4 (CP5 - fig. 2-14, CP16 - fig. 2-17, CP20 - fig. 2-15, CP31 - fig. 2-18). Au niveau de l'ensemble locus 0/9/11, le contact des nappes d'objets rapportées au Paléolithique moyen et supérieur est bien visible sur les coupes 5, 20 et 31 (fig. 2-14/15 et 18). Si les points mobiliers du Paléolithique moyen sont globalement à la base de la nappe d'objet rapportée au Paléolithique supérieur, on remarque néanmoins parfois une superposition ou un entrelacement des remontages attribués à ces deux périodes, témoignant de migration verticale et du mélange des deux niveaux (CP5 - fig. 2-14 et 20 - fig. 2-15). La coupe 11 permet néanmoins de rendre compte du positionnement des objets rapportés au Paléolithique supérieur majoritairement au-dessus de la limite 4a/4b. Les projections sur la coupe 16 qui recoupent les locus 12bis, 15, 13 et 10 permettent de confirmer la position des différentes nappes d'objets fouillées en UPS4 : le Paléolithique supé-

rieur/Epipaléolithique des locus 15 et 13 est localisé juste au dessus du contact UPS4a/4b alors que le Paléolithique moyen des locus 12bis et 10 se situe dans la partie inférieure de l'UPS4b. En revanche, le mobilier contenu en UPS5 se caractérise par une plus forte dispersion verticale.

Les remontages mettent en évidence de sensibles variations dans le degré de conservation des assemblages archéologiques, mieux préservés au sein de l'UPS4 notamment lorsque les niveaux archéologiques sont localisés dans la partie ouest/nord-ouest de l'emprise. Une structuration spatiale du site semble encore visible au sein de certains locus (cf. chap. 5.5 et 5.7). L'hypothèse de perturbations post-dépositionnelles plus significatives peut être retenue pour le mobilier contenu dans la partie inférieure de la séquence.

4.4. Fabriques (S. Bernard-Guelle et P. Tallet)

Parmi les outils disponibles pour l'étude taphonomique d'un site, l'analyse des fabriques, c'est-à-dire l'analyse de l'orientation et de l'inclinaison des objets allongés au sein d'un niveau archéologique, a fait l'objet d'expérimentations nombreuses et d'avancées importantes au cours des années quatre-vingt-dix. L'interprétation des résultats est étayée par l'acquisition d'un nombre conséquent de données dans le milieu naturel (Bertran et Lenoble, 2002 ; Lenoble *et al.*, 2003). Le principe de départ est que les processus post-dépositionnels tendent à modifier la fabrique originelle des éléments archéologiques. La mesure de l'orientation et de l'inclinaison des objets est effectuée avec une boussole munie d'un clinomètre. L'orientation est mesurée dans le sens du pendage de la pièce (du point haut vers le point bas), sur 360°, par rapport au nord magnétique. Les mesures sont effectuées sur les pièces allongées (longueur supérieure à deux largeurs) de taille importante (supérieure à 4 cm de long, la mesure de l'inclinaison des pièces de taille inférieure étant, d'après nos expériences, trop hasardeuse).

Les données (orientations et inclinaisons) ont été exploitées à l'aide du logiciel libre OpenStereo (version 0.1.2, Grohmann et Campana, 2011), en utilisant les paramètres linear data, trend/plunge. Pour l'histogramme circulaire des orientations, les données d'orientations ont été ramenées sur 180° (en retranchant 180 à toutes les orientations comprises entre 181° et 359°). Sur le stéréogramme de Schmidt les orientations se lisent en périphérie, de 0° (Nord) à 359° et les inclinaisons sont indiquées à l'intérieur du cercle, de la périphérie (0°, pas de pendage) vers le centre du (90°, pièce verticale). Le diagramme de Benn (Benn, 1994) représente sous forme triangulaire les indices d'isotropie (IS) et d'élongation (EL) calculés à partir des valeurs propres normalisées du nuage de points (Watson, 1966). Aux augmentations des indices d'isotropie (axe de gauche, sens de lecture de bas en haut) et d'élongation (axe de droite, sens de lecture de haut en bas) correspondent les fabriques isotropes et linéaires, la fabrique planaire correspondant, à l'opposé, aux valeurs les plus faibles de ces deux indices. Les indices d'isotropie et d'élongation, ainsi que le paramètre K sont calculés à partir des valeurs propres normalisées données par le logiciel, l'intensité de l'orientation préférentielle (L) et la probabilité d'une distribution aléatoire des orientations (p) sont calculées selon la méthode de Curray (Curray, 1956).

Au total, seules 130 mesures de fabriques ont été prises, essentiellement localisées au niveau des locus de fouille manuelle et des concentrations rattachées au Paléolithique supérieur, les plus fournies en pièces allongées (fig. 4-12). En raison de la faiblesse des effectifs, les nappes d'objets du Paléolithique moyen ne peuvent être traitées dans ce chapitre. Ne seront donc présentées que les données issues des échantillons suivants (fig. 4-13) :

- le locus 9 (47 mesures au sein de l'UPS4) ;
- l'ensemble des locus 9 + 11 + 0 (65 mesures au sein de l'UPS4)
- le locus 15 (seulement 25 mesures mais concentrées sur 4 m^2)

Les échantillons sont statistiquement représentatifs pour le locus 9 et le secteur regroupant les locus 0, 9 et 11. Les histogrammes circulaires des orientations ne montrent pas d'orientations préférentielles (fig. 4-13). En effet, les calculs des paramètres de Curray présentent des valeurs d'intensité préférentielle très faibles (inférieures à 10 %), et les trois échantillons présentent la particularité d'avoir des probabilités d'une distribution aléatoire des orientations très élevées (fig. 4-13). Les stéréogrammes de Schmidt (fig. 4-13) montrent des fabriques de type planaire, avec des points qui se distribuent essentiellement dans la périphérie du stéréogramme, sans orientation marquée et avec des inclinaisons peu prononcées (peu de points vers le centre du stéréogramme). Les calculs des indices d'isotropie et d'élongations et leur report sur le diagramme de

Benn (fig. 4-13) confirment ces impressions. Les trois points sont du côté des fabriques planaires, en dehors de la zone non perturbée. Les points du locus 9 et du secteur 0/9/11 se trouvent à l'intersection de la zone d'argiliturbation et de la zone mixte ruissellement et bioturbation, tandis que le point du locus 15 se situe à l'intersection de la zone mixte et de la zone du ruissellement seul.

Les fabriques de ces trois échantillons présentent donc des caractéristiques similaires. Ce sont des fabriques planaires, sans orientations préférentielles. Il est confirmé que le mobilier issu de ces trois ensembles ait subi des remaniements post-dépositionnels dû au ruissellement et à des perturbations biologiques.

4.5. Granulométrie (S. Bernard-Guelle et M. Rué)

L'analyse granulométrique des pièces lithiques taillées constitue un outil efficace pour l'étude taphonomique des sites paléolithiques (Bertran *et al.*, 2006). Elle permet de préciser et d'interpréter les sur- ou sous-représentations de certaines classes granulométriques au sein de l'assemblage archéologique recueilli, de comparer objectivement les distributions obtenues en différents points du site et de les confronter avec d'autres résultats (autres sites ou productions expérimentales).

Cette approche a pu être menée sur deux locus : le locus 4 (carré K784c) rapporté au Paléolithique moyen et l'ensemble locus 0/9/11 pour le Paléolithique supérieur (carré K3100a en locus 0 et sur une sélection de ¼ de carrés au niveau des coupes 20 et 31 - fig. 2-15 et 2-18).

La fraction anthropique a été intégralement passée dans une colonne de cinq tamis calibrés à 2, 4, 5, 10 et 20 mm. Les effectifs des locus 4 et 0/9/11 sont respectivement de 137 et 751 éléments. Les données, présentées sur un diagramme des classes dimensionnelles (fig. 4-14), montrent que :

- le locus 0 se situe juste en marge de l'aire des débitages expérimentaux, du côté des premiers stades de résidualisation, ce résultat suggère donc une bonne intégrité de l'assemblage recueilli ;
- la sélection élargie aux locus 0, 9 et 11 est légèrement plus affectée par la résidualisation ;
- le locus 4 se situe dans un stade de résidualisation plus avancé, l'assemblage recueilli est donc ici déficitaire en petits éléments.

4.6. Etats de surface (P. Fernandes)

L'analyse des états de surface de 648 objets lithiques n'a pas livré de contraste manifeste entre les UPS ou même les locus (fig. 4-15 et 4-16). D'après les données altérologiques inscrites sur les silex, le mobilier dans son ensemble a subit les mêmes processus, seul le temps ressort comme un paramètre discriminant. Dans un premier temps, au cours de l'altération des calcaires campaniens présents à Montguyon, corrosion et corrasion modifient la morphologie des blocs. Par la suite, séparés de la roche encaissante, ils subissent une série de processus, en contexte périglaciaire. La gélifraction est le phénomène le plus marquant. Il touche la majorité des UPS et la moitié des locus étudiés. La fréquence des chocs bordiers et ceux localisés sur les arêtes varient peu d'une UPS ou d'un locus à l'autre. Seule l'intensité de la patine (plus forte dans les locus attribués au Paléolithique moyen) indique un léger contraste lié à l'âge entre les niveaux chrono-culturels. La présence de pièces polarisées et la corrosion sur les surfaces exposées des plus gros objets permettent de distinguer un autre stade d'altération lié à des cycles plus tempérés associant lessivage/dessiccation. Dans l'état actuel de notre réflexion et en comparant les différents aspects observés avec des examens fait sur un autre site (« Le Chêne Vert » à Dirac), l'état de conservation du mobilier présent en UPS4 témoigne d'un faible remaniement. La rareté des stigmates de frottements, le positionnement des fragments liés à la gélifraction (restés en connexion), le rôle réduit de l'usure, l'absence des stigmates associés au déplacement après la mise en place des sédiments forment un faisceau d'arguments qui conduisent à ce constat. Seuls les objets de l'UPS5 portent généralement des stigmates d'usure plus accentués qui indiquent une série de remaniements plus intenses.

4.7. Conclusion (M. Rué et S. Bernard-Guelle)

Les premiers résultats de l'étude taphonomique, basée sur la répartition des vestiges, les remontages, l'analyse des fabriques, la granulométrie et l'observation des états de surface des silex, permettent d'avancer les principaux points suivants :

- Le site est constitué par un complexe de différentes concentrations de mobilier imbriquées ou non entre elles. La présence de concentrations, de surcroît en sommet de relief, exclut une redistribu-

tion importante des témoins lithiques et, conformément à ce qui a été suspecté en début de fouille, l'organisation spatiale est localement bien préservée, en particulier pour les locus 0, 9, 12bis et 15, justifiant ainsi une analyse approfondie des productions lithiques.

- Toutefois, en raison des phénomènes de résidualisation qui ont affectés à plusieurs reprises le site (évacuation progressive de la fraction fine du sol, chap. 2), et du faible taux d'accumulation sédimentaire, en moyenne de l'ordre de 1 à 2 mm par siècle (chap. 3), l'étude du site du Bois Clair est rendue compliquée car le contexte a favorisé le panachage d'industries séparées dans le temps, en particulier sur les plus grandes concentrations du site (locus 0, 9, 11), et les états de surface n'ont pas permis d'opérer une sériation taphonomique de ces productions. La résidualisation a tendance à condenser les pièces lithiques sur une même surface (formation d'un pavage), et, dans ce cas, assez fréquent, la faible dilatation verticale d'un épandage de mobilier ne peut pas être retenue comme critère de non perturbation d'un site.

- Une fois abandonnés en surface du sol, les objets ont principalement subi des déplacements par les écoulements superficiels, la bioturbation et les alternances de retrait-gonflement, ce que confirme l'analyse des fabriques. Les pentes relativement faibles ont cependant limité la dispersion du mobilier, comme tendent à le montrer les remontages opérés. Ces processus de surface sont sans doute en grande partie responsables du bruit de fond paléolithique mis en évidence par les décapages. Comme l'ensevelissement des objets ne s'opère pas de manière continue dans le temps et dans l'espace, certaines pièces appartenant à un même assemblage ont en effet pu transiter à des vitesses très différentes le long de la pente.

- Une fois fossilisées dans le sol, les nappes d'objets ont subi différentes pédoturbations, expliquant localement la dilatation verticale du mobilier. Sur le site du Bois Clair, les résultats de l'étude taphonomique tendent à montrer que ces perturbations n'ont eu qu'un impact relativement limité sur l'organisation spatiale. Aucun déplacement en masse de matériaux n'a par exemple été mis en évidence. La cryoturbation, même si elle a affecté la plupart des locus, n'a provoqué que des réorganisations localisées d'objets.

- Enfin, d'un point de vue diachronique, les assemblages de mobilier inclus dans l'horizon argilique jaune (UPS4 et son sommet cryoturbé) apparaissent relativement mieux conservés que ceux insérés dans les unités sous-jacentes, en particulier au sein des colluvions graveleuses (UPS5) marquant le sommet du paléosol argilique rubéfié, et cela quel que soit le paramètre étudié. Ce point est toutefois à relativiser en raison des plus faibles effectifs traités et des moindres investigations dans les unités à la base de la séquence pléistocène.

SECTION 2

L'opération et ses résultats

Chapitre 5

5. Etude des vestiges archéologiques

S. Bernard-Guelle, A. Taylor, P. Fernandes, A. Coudenneau

5.1 Méthodologie d'étude (S. Bernard-Guelle)

En raison de son contexte particulier (site à occupations multiples, brèves et stratigraphiquement proches voire imbriquées) et de l'hétérogénéité des modes de prélèvements (fouille manuelle avec ou sans tamisage, fouille mécanisée) nous avons opté pour une approche du mobilier en deux temps : (1) une étude préliminaire globale puis (2) une analyse ciblée par ensemble cohérent (locus de fouille notamment).

Suite au lavage-marquage du mobilier, celui-ci a en premier lieu fait l'objet de tris réalisés selon plusieurs angles d'approches complémentaires et croisés :

- regroupements par catégories pétrographiques (caractérisation à l'œil nu : couleur, grain, présence de microfossiles, etc.) ;
- regroupements par classes technologiques et dimensionnelles (nucléus, éclats, lames, présence de cortex ou non, pièces à dos, à crête, etc.) ;
- regroupements par unités pédosédimentaires (UPS4, UPS 4/5, UPS5, UPS6…) ;
- regroupements par localisation spatiale (locus 1 à n, zones, tranchées, etc.).

Ce volet tri technologique-pétrographique-spatial, qui demande une longue observation du matériel, permet une première approche de l'ensemble de la série lithique et, ainsi, de bénéficier des meilleures conditions pour la pratique du remontage. Les remontages lithiques se sont avérés être ici les clés de lectures principales afin de discriminer les différents niveaux archéologiques (cf. chap. 4.3) et les caractériser chrono-culturellement. Dans cette optique, les données issues des remontages ont été complétées par l'observation et le tri de chacune des pièces de la série selon des critères techno-typologiques, pétrographiques, altérologiques et stratigraphiques. Dans la grande majorité des cas, une attribution chrono-culturelle a pu être ainsi proposée.

L'ensemble du mobilier a ensuite été intégré à une base de données générale où chaque numéro de pièce renvoie à ses données de localisation, caractéristiques pétrographiques-techniques-typologiques et culturelles, masse etc. (cf. inventaire 7).

Nous présenterons les principales caractéristiques du mobilier récolté tout en distinguant les grands ensembles chrono-culturels identifiés puis nous nous attacherons à décrire plus finement les ensembles les plus représentatifs.

5.2. Présentation et décompte général (S. Bernard-Guelle)

Outre les 134 pièces issues du diagnostic, les points de mobilier côtés à la fouille s'élèvent à 3593 auxquels s'ajoutent quelques pièces récoltées hors stratigraphie (fig. 5-01). La masse totale de ce matériel est légèrement supérieure à 230 kg, hors fraction fine. En effet, 4395 pièces non côtées mais issues de la fouille et du tamisage par ¼ de m^2 complètent la série qui atteint ainsi près de 8000 pièces.

Les modes de prélèvement dont ces dernières sont issues sont donc variables, depuis la fouille manuelle (env. 25% - fig. 5-03) et le tamisage (55%) jusqu'au décapage mécanique (env. 20%).

Outre 5 tessons de céramique historique, ce matériel est essentiellement composé de silex (95,7 % - fig. 5-02) accompagnés de rares quartzites (1,6 %), quartz (1,3 %), diverses variétés de grès (1,1 %) ou autres matériaux lithiques (0,1 %).

Sa distribution spatiale est en revanche forte (cf. chap. 2 et 4), s'étalant depuis le sommet de la séquence (2,5 %) jusqu'à sa base (3,8 %) (fig. 5-04), bien que la grande majorité du mobilier provienne des UPS4 (60,8 %) et 5 (24,5 %).

La position des pièces avant leur prélèvement (fig. 5-05) a été renseignée pour 2762 individus : sur l'ensemble du site, la position de plus de 50 % du mobilier est horizontale contre seulement 10,2 % verticale ou sur la tranche ; les pièces en position intermédiaire, donc oblique, forment environ 37 % du corpus déterminable. Les données issues du mobilier provenant uniquement de l'unité 4, celle qui a livré la plus grande partie du mobilier, montrent globalement les mêmes tendances, si ce n'est un taux de pièces obliques légèrement supérieur, peut-être en

lien avec le gel, par ailleurs attesté directemment sur le mobilier (cf. chap. 4.6).

L'attribution chrono-culturelle de ce mobilier, basée sur les différents types d'approches présentés plus haut, met en évidence la présence de plusieurs techno-complexes dont les principaux sont rattachables à un Paléolithique moyen (54 % - fig. 5-07), probablement récent (cf. chap. 3 et 5.6.3) et à un Paléolithique supérieur (25 %), vraisemblablement de type magdalénien final. Divers éléments sont vraisemblablement d'âge plus récent, a priori rapportables à l'Epipaléolithique (4,3 %) et peut-être à un Néolithique final (1,2 %). Environ 15 % du mobilier lithique recueilli, essentiellement dans les zones ou Paléolithiques moyen et supérieur sont en contact, n'a pu être rattaché de façon certaine à ces différentes phases d'occupation (fig. 5-24).

Enfin, environ 20 % (n = 721, fig. 5-08) du mobilier porte des traces macroscopiques d'altération, essentiellement d'origine thermique, notamment liées au gel (91,5 % de ce corpus).

5.3. Étude pétroarchéologique des objets en silex (P. Fernandes en collaboration avec J.P. Platel, P. Tallet, A. Morala et A. Turq)

Résumé

Le nord de l'Aquitaine a fait l'objet d'un grand nombre d'investigations sur la localisation des gîtes à silex et les modalités d'exploitation des milieux durant la préhistoire. Ce rapport bénéficie donc d'une riche documentation et contribue à mieux définir le potentiel gîtologique régional. Il s'inscrit à la suite de travaux universitaires, du lever des cartes géologiques et d'un programme collectif de recherche à l'origine de la constitution d'une lithothèque. Il s'intègre à un projet diachronique et interrégional sur les continuités et les différences dans les comportements humains face aux ressources minérales. L'inventaire des ressources locales a permis d'enrichir la carte des formations à silex. La présence de silex sous les niveaux archéologiques et les rives du Palais et du Mouzon pourrait expliquer en partie le choix de ce lieu et la pérennisation des occupations : plusieurs niveaux du Paléolithique moyen rattachés au complexe moustérien - un Paléolithique supérieur attribué à la culture magdalénienne - un locus Epipaléolithique - un niveau Néolithique. L'objectif fixé à Montguyon était d'examiner les différences comportementales entre ces occupations. La série rattachée au Paléolithique moyen livre un schéma territorial privilégiant la ressource locale et ouvert sur un axe principal sud-ouest nord-est vers le secteur au sud d'Angoulême et une orientation secondaire sud-est nord-ouest vers la Formation de Saintes. Les gîtes sources les plus éloignés se trouvent à une cinquantaine de kilomètres du site. La présence d'au minimum 12 faciès lithiques d'origine locale à régionale démontre une bonne connaissance du potentiel minéral disponible. À l'inverse le corpus attribué au Paléolithique supérieur indique une collecte quasi exclusive dans la zone locale. La série Epipaléolithique est insuffisante pour tenter de décrypter les comportements, mais à la différence des magdaléniens on note la présence de silex allochtones. La série Néolithique étudiée est trop faible pour tirer des conclusions précises. Notons tout de même, l'absence de silex campaniens d'origine locale.

Introduction

Depuis une cinquantaine d'années, la connaissance géologique de la bordure septentrionale du Bassin d'Aquitaine a nettement progressée tant par le lever des cartes au 1/50 000 du BRGM que par les travaux des géologues et des archéologues. Pour les terrains crétacés et tertiaires, cette région est actuellement l'une des mieux renseignée (Coquand, 1857 ; Arnaud, 1877 ; M. Seronie-Vivien, 1972 ; Platel, 1977, 1987, 1996 ; Neumann *et al.*, 1983 ; Séronie-Vivien et Séronie-Vivien, 1987 ; Dubreuilh et Platel, 1982). À partir des années 2000 les travaux sur les potentialités en ressources minérales prennent un véritable essor. La création en 2002 du PCR « Paléolithique moyen dans le bassin de la Charente » sous la responsabilité de Delagnes, les prospections de Delage (2006), la thèse de Park (2007) et la synthèse de Féblot-Augunstin et al (2010) ont fourni un référentiel robuste utile à l'usage des archéologues (http://www.alienor.org/ARTICLES/lithotheque:index.htm). L'assemblage de ces données a permis d'établir une carte précise et un tableau synthétique utiles à la visualisation et la caractérisation des différentes formations à silex de la bordure septentrionale du Bassin Aquitain.

5.3.1. Le cadre géologique et les ressources potentielles en silex

Le principe de précaution nous oblige à étendre le cadre de notre étude au-delà de la région sainton-

geaise. Nous avons fait le choix de reprendre une partie du secteur géologique décrit par Platel (1978, 1996) ; Séronie-Vivien et Séronie-Vivien (1987) : une bande nord-ouest/sud-est de Rochefort à Périgueux. Ce cadre livre une image satisfaisante de la variabilité des formations à silex (fig. 5-09). Il correspond à la bordure septentrionale du Bassin d'Aquitaine, comprenant les affleurements jurassiques, crétacés et tertiaires censés nous intéresser. La permanence de la sédimentation carbonatée au cours de certains étages a eu pour conséquence le développement de plusieurs niveaux à silex. Dans certaines parties du secteur sélectionné les dépôts n'ont subi que de faibles déformations tectoniques de telle sorte que l'on peut suivre sur de longues distances leur évolution latérale. La puissance des étages du Crétacé supérieur augmente vers le sud-ouest ou vers le sud.

Dans un premier temps, nous décrirons les formations à silex de la zone régionale, puis ceux de la zone voisine pour terminer avec le potentiel de la zone locale. La nomination, la localisation et les caractéristiques des silex présents en position primaire et secondaire sont synthétisées dans la figure n° 5-10.

5.3.1.1 La zone régionale de 20 à 100 km

Schématiquement d'est en ouest, on distingue six grands domaines géologiques. À l'est, le socle métamorphique et granitique. Discordant sur ce socle hercynien, les dépôts du Lias inférieur puis ceux du Dogger contiennent des silex en position primaire. La large bande du Jurassique supérieur qui occupe la zone centrale, n'en contient pas. Plus à l'ouest le Crétacé supérieur et certaines formations tertiaires renferment des silex et des silcrètes en position primaire et secondaire.

Au sud-est, le Trias correspond à des faciès variés de type lagune, qui se caractérisent souvent par des cortèges évaporitiques. Ces niveaux triasiques sont rares et ne comportent aucun silex.

Dans les formations liasiques, il faut distinguer les silicifications diagénétiques des silicifications épigénétiques contrôlées par des remontées minéralisantes. La silice épigénise alors les roches sédimentaires encaissantes. Ce sont surtout les couches carbonatées infraliasiques qui ont subi ce type de silicification tardive, que l'on appelle communément « jaspe ». On retrouve donc dans ces jaspes les caractères pétrographiques et paléontologiques des différents encaissants. Les principaux types de roches hypersiliceuses que l'on y rencontre sont caractéristiques des milieux carbonatés de plate-forme proximale. La silicification est massive est l'habitus se présente sous la forme de bancs épais plus ou moins démantelés. Ces jaspes se trouvent à 110 km du site (secteur Chantrezac), ils ont subi des infiltrations d'éléments colorants qui donnent à leur matrice des couleurs très variables et un aspect moucheté. Leur texture est *mudstone* à bioclastes roulés. On observe des spicules de spongiaires et quelques filaments. Ce type de silicification affecte aussi les niveaux du Pliensbachien. Ce phénomène d'épigenèse se superpose alors à un processus diagénétique plus ancien. Leur répartition se limite au secteur nord-est de la Charente, dans les secteurs de Confolens, vallée de la Bonnieure (Mazières) et de Montbron en relation avec les systèmes faillés. Ce sont des jaspes packstone à *wackestone* oolithiques et débris de bivalves et parfois des dolomies épigénisées. On trouve dès le Pliensbachien des niveaux de calcaires à silex. Ce sont soit des cordons de rognons thalassinoïdes soit des bancs continus décimétriques. On peut les observer à Alloue, Benest en rive gauche de la Charente, Nanteuil-en-Vallée et Suaux entre Charente et Tardoire et Montbron en rive droite de la Tardoire. Il s'agit de silex, déjà très évolués, *mudstone*s à *wackestone*s à pellets et gros spicules triaxones. Dans le secteur d'Ambernac leur texture clastique riche en entroques, fragments de brachiopodes et spicules indique la présence d'apports terrigènes conséquents type sables et graviers.

Les silex aaléniens sont absent du secteur nord-aquitain. À l'inverse on trouve un grand nombre de bancs de calcaire à silex dans la partie moyenne du Bajocien. Ce type de silex est fréquent entre Charente et Tardoire et notamment vers Chassiecq. Les silex sont le plus souvent thalassinoides. Ils sont gris, leur texture est *wackestone* à *mudstone* (pour les plus évolués). L'association des éléments figurés change, selon leur position par rapport à la zone de barrière de la plate-forme de l'époque. Plusieurs microfaciès ont été reconnus (Bocherens *et al.*, 2004) sur la base de la texture : un milieu plus interne proche de la barrière (microfaciès 1, 2, 3) et un milieu plus externe (microfaciès 4). Dans les milieux les plus externes, les intraclastes sont rares et les microfilaments dominent. Vers la barre, les microfilaments disparaissent et on trouve des spicules, des bivalves, des foraminifères benthiques, des agrégats, des bryo-

zoaires, de rares algues et des débris ligneux en plus grand nombre (Le Marmon, Chassiecq, Charente). Un certain nombre de constantes se retrouvent pourtant dans ces microfaciès. Ils sont caractéristiques d'un milieu marin dans la zone infralittorale de la plate-forme externe à peu de distance de la barrière récifale.

Pour le Bathonien on trouve les silex sur la plate-forme externe à partir de Saint-Maixent-Niort jusqu'à la côte atlantique. Dans le Callovien on trouve deux niveaux à silex de type différent. Ils affleurent sur plusieurs kilomètres entre les vallées de la Bonnieure et la vallée de la Charente (de Cellefrouin à Turgon et Chassiecq). À la base on trouve des rognons irréguliers thalassinoïdes de grandes dimensions (jusqu'à 50 cm). La structure est zonée, portant des auréoles de recristallisation. La texture est *wackestone* à *mudstone* (pour les plus évolués) avec des intraclastes arrondis, formes rhomboédriques, quartz détritiques, des spicules triaxones, des bivalves, des algues et de rares microfilaments (Champ Rigaud, Turgon, Charente) à plus de 90 kms du site. Cette association texturale est caractéristique du domaine de la plate-forme externe proche de la barrière. Dans la partie supérieure du Callovien (Champ Rigaud,Turgon) les silex prennent un aspect différent. On observe une texture *wackestone* très homogène riche en pellets, accompagnés d'algues, de microfilaments plus ou moins fréquents et de spicules de spongiaires en grand nombre. Ces différences semblent indiquer des fluctuations marines entre le Callovien inférieur et supérieur.

Les silex du Jurassique supérieur (Oxfordien) sont quasi absents dans toute cette bande centrale qui sépare deux domaines riche en silex : Lias et Dogger à l'est et Crétacé supérieur à l'ouest. Les seuls niveaux à silex se trouvent sur les rives de la Tardoire au nord de La Rochefoucauld. Ce sont des silex gris à beige riches en spongiaires.

Les silex du Cénomanien sont homogènes. Deux formations de cet étage contiennent des silex : Archingeay (17) et Sireuil à l'ouest d'Angoulême à 47 kms du site. Leur couleur d'origine est grise, leur aspect est opaque. Il s'agit de rognons branchus de grande taille. Leur texture est *packstone* à *mudstone* (pour les plus évolués). Les clastes sont arrondis et de petite taille (maximum 250 µm). Les quartz détritiques et les grains de glauconie sont fréquents. On note la présence d'Orbitolines coniques, de bivalves, bryozoaires, spicules et d'*incertae sedis* noirs. Ce type de silex s'observe dans le secteur de Sireuil (Cénomanien) au nord-ouest d'Angoulême et en Charente-Maritime près de Grandjean, Saint-Hilaire-de-Villefranche et Saint-Savinien. On note la présence d'un faciès partiellement silicifié lui aussi à Orbitolines dans le secteur de Cravans (17) à 60 kms du site.

Au Turonien on trouve plusieurs formations contenant des silex : le Turonien moyen de Saint-Vaize (depuis Claix jusqu'à Sers à l'est, à plus de 50 kms du site) – le Turonien moyen des Mauds entre Belluire et Jonzac et les deux niveaux turoniens de la formation de Châteauneuf au sud d'Agoulême. Les travaux du PCR « Paléolithique moyen dans le bassin de la Charente » (Féblot-Augustins *et al.*, 2010) ont mis en évidence une grande variabilité. Six catégories ont été définies, comprenant onze types au total. Ce classement a été effectué sur la base des trois critères suivants : l'habitus, la couleur et la taille du grain. Malgré cette variabilité, il est possible de dégager des caractères communs qui distinguent l'ensemble de ces types des silex coniaciens. Les clastes sont subanguleux et de taille moyenne (250 à 500 µm). Leur classement est bon. Les pellets sont le plus souvent nombreux. Les tubes d'annélides, les spicules monoaxones, les fragments de bryozoaires, les tests de bivalves, les Miliolidés et les Textularidés sont fréquents. Mais le caractère le plus discriminant est la présence d'*incertae sedis* en quantité variable. Organismes en tubes noirs ou clairs, que l'on ne retrouve plus dans les silex des formations plus récentes. Dans la zone au sud d'Angoulême (Claix, Torsac, Dirac) nous avons distingué au moins deux types de silex différents puisqu'ils ne contiennent pas d'*incertae sedis* :

- des nodules plats ou grandes lentilles, plus ou moins anastomosés à développement horizontal. Ces silicifications présentent parfois (notamment à Dirac) dans le tiers de la partie supérieure une cavité géodique horizontale tapissée de mégaquartz automorphes.

- des rognons réguliers plus ou moins ovoïdes intra-banc disposés parallèlement à la stratification. Ils peuvent atteindre une taille importante (métrique). En 1987 l'un d'entre nous (Séronie-Vivien) a décrit trois textures : *mudstone* à pellets rares, propre aux rognons ; *wackestone* à pellets abondants et clastes arrondis ; *packstone* à pellets et clastes arrondis. Ces deux derniers types de texture se rencontrent dans les nodules plats.

Les silex du Coniacien sont fréquents dans la formation appelée Cognac-Bourdeilles. Les affleurements les plus proches se trouvent à 45 km au nord-est du site dans le secteur d'Angoulême (Soyaux, Gardes-le-Pontaroux, Claix, Dirac, Puymoyen, Chadurie, Voulgézac, Mouthiers-sur-Boëme). Ces silex se présentent sous la forme de rognons à cortex grenu généralement épais. L'habitus thalassinoïdes, la structure bioturbée et la texture *packstone* à pyrite, quartz détritiques et glauconie des silex attestent d'un milieu moins diversifié à énergie assez élevée et communication avec le large. Leur couleur est noire ou brune à blonde pour les plus évolués. La texture est bioturbée et le plus souvent *wackestone*. On note la présence de clastes dont la taille dépasse ceux des silex turoniens. Leur classement est modéré et la majorité d'entre eux sont subanguleux à subarrondis. Les pellets sont rares. En résumé, la très riche faune, commune à tout l'étage, est composée essentiellement de Lamellibranches (Trigonies, Pecten, Huîtres), d'Echinodermes, de Brachiopodes et de Bryozoaires (les fragments, de grande taille, de bryozoaires sont abondants, Cheilostomes et Cyclostomes). L'aspect le plus caractéristique de ce type est la présence des grands fragments de Fenestrelles. Les tubes d'annélides et les spicules sont rares. Les entroques, les tests de Textularidés et Rotalidés, sont fréquents.

La Formation de Saintes (Santonien) entre Jonzac et Ozillac contient plusieurs types de silex. On les retrouve autour de Saintes (Bois de Diconche, Lucérat) à plus de 70 km au nord-ouest du site - au nord-ouest de Pons (Avy, Les Chauveaux) à approximativement 50km du site - au sud de Cognac (Merpins) à 50 kms du site - mais aussi au nord-est sur les communes de Villebois-la-Vallette, Mouthiers-sur-Boëme à 45 km du site. Plus proche du site (à 25 km) les silex du Santonien supérieur affleurent dans la formation de Saint-Laurent-des-Combes (dans les vallées de l'Auzance, du Neuillac et de la Sauvanie). Dans la formation de Saintes les nodules sont généralement thalassinoïdes. Les textures *packstone*s contiennent des clastes arrondis et de grande taille. Leur classement est faible. On observe de grands fragments de bryozoaires, d'échinodermes, et des débris d'algues et de spongiaires. Certains de ces bryozoaires possèdent une forme particulière, qui ressemble à une plume. On peut y rencontrer une majorité de foraminifères benthiques dont Rotalidés, Textularidés, *Lenticulina, Nummofallotia, Goupillaudina* et des *Cibicides*. On note la présence de tubes d'annélides, de polypiers et des bivalves (brachiopodes). Certains de ces silex sont très proches, à l'échelle macroscopique, des silex coniaciens de Soyaux. Les textures *wackestone*s à *mudstone*s sont caractérisées par la présence de clastes plutôt anguleux. Les pellets sont rares. On observe un nombre conséquent de grains de glauconie, quartz détritiques et de muscovite. Les organismes benthiques occupent les fonds d'une plate-forme épicontinentale en contact avec la mer ouverte et encore sous une influence terrigène, venant du Massif central. Les silex de la formation de Saint-Laurent-des-Combes sont caractérisés par une macrofaune abondante et diversifiée (bivalves, échinodermes et par niveaux des bryozoaires (cyclostomes). La plus grande partie des foraminifères sont benthiques, on retrouve *Goupillaudina, Rotalia, Sirtina, Nummofallotia.* Les foraminifères planctoniques sont moins fréquents, mais représentés par une grande variété de *Globotruncana*.

Par suite du pendage régional de la plate-forme c'est le puissant étage campanien qui affleure le plus largement. Son aspect monotone et son étendue a nécessité un découpage en unités cartographiques (Andrieff et Marionnaud, 1973 ; Platel, 1977). Cinq unités cartographiques correspondent à neuf biozones de foraminifères benthiques. Ce type de classement est très intéressant dans le cadre de notre étude puisque ce type de bioclaste résiste le plus souvent à la diagenèse siliceuse. Nous reprenons donc la conception stratigraphique de l'un d'entre nous (Platel, 1996, 1999) afin de tenter de déterminer l'encaissant des silex archéologiques. Au Campanien l'habitus et la texture des silex sont variables.

Tout dépend du mode de formation et du milieu de dépôt. Généralement, à la base du Campanien, les faciès deviennent moins riches en Bryozoaires. Dans la région concernée par cette étude, les silex des campaniens 1, 2 et 3 ne sont généralement pas propices à la taille.

La Formation de Gimeux c5Gi ou Campanien1 possède deux niveaux contenant des silicifications. Au mur de la formation on observe de gros rognons de silex gris opaques, à cœur parfois noir. La macrofaune benthique y est peu abondante (bivalves, gastropodes, échinodermes). Les foraminifères benthiques les plus courants sont : *Goupillaudina, Nummofallotia, Cibicides, Rosalina et Gavelinella*. On note la présence de différents *Globotruncana* (biozone CI). Au toit de la formation on collecte des nodules de silex gris dans les calcaires crayeux à argileux blancs (biozone CII). Ces niveaux affleurent au nord de

Chalais et de Ribérac le long des rives de l'Auzance, le Neuillac, la Tude la Lizonne et la Sauvanie

La Formation de Segonzac C5 Sg ou Campanien 2 porte au moins quatre niveaux à silicifications. Elle affleure dans les mêmes secteurs que l'unité précédente. Les silicifications se trouvent dans les calcaires *wackestone* crayeux blanc-jaune ; il s'agit de gros silex gris à cœur sombre quelques fois ferrugineux et à glauconie. Ils contiennent essentiellement des spicules et des bryozoaires. L'association des foraminifères est très proche de celle de la formation de Gimeux, on note seulement une plus grande abondance de *Gavelinopsis* de *Mississipina, Parrella,* et de *Rotalia* (biozone CIII).

La Formation de Biron C5 Bi ou Campanien 3 possède plusieurs niveaux à silicifications. Cette unité affleure sur une partie des interfluves entre Chalais et Ribérac, elle constitue la bordure du synclinal d'Aubeterre. On note la présence de deux types d'habitus : un premier à silex clairs et un second à silex gris dans des calcaires crayo-argileux à glauconie. On retrouve cette formation autour de Lusignac à plus de 40 km à l'est du site, de Chalais à moins de 20 km et autour de Saint-Quentin-en-Chalais à plus de 20 km à l'est. Elle supporte généralement des argiles verdâtres à silex, qui alimentent des colluvions de versant surtout à l'ouest. Le microfaciès est caractérisé par l'abondance des spongiaires et la présence de débris grossiers de bryozoaires et d'échinides et de glauconie (biozone CIVa). La microfaune est partiellement renouvelée avec l'apparition des grands foraminifères benthiques dont les *Pseudosidérolites*.

La Formation de Barbezieux - C5 Ba ou Campanien 4 contient moins de silex. Quelques rares nodules affleurent à Sainte-Lheurine et de Barbezieux à 40 km au nord-ouest du site, à la base de l'unité. Cette formation correspond à la biozone CVI reconnaissable par l'apparition des Orbitoïdes. La microfaune est riche et variée à bivalves, Trigonies, gastropodes, bryozoaires, échinides et polypiers.

La Formation d'Aubeterre (C5 Au) ou Campanien 5 est constituée de calcaires jaunâtres à rudistes juste sous les calcaires tuffoïdes. Cette unité est très présente sur les cartes de Ribérac et de Barbezieux. On note la présence de silex blonds ou jaspés au toit de l'unité (calcaires indurés) dans les carrières (Saint-Aulaye, Bazac, Médillac) à la confluence de la Dronne avec le Tude. On retrouve les mêmes silex au sud de Ribérac. Il s'agit de silex à forte évolution en position primaire. Cette formation correspond aux biozones CVII et CVIII dans laquelle on note entre autre l'apparition des *Siderolites* à bords ondulés.

La Formation de Montroux ou le e4G (Cuisien) est constituée de sables, graviers et argiles gris vert à marbrures rouges. Aucun des affleurements connus dans cette formation n'a livré de silex.

La Formation de Condéon ou de Beau-Repos e5Br (Lutétien) est constituée de sables feldspathiques graviers et galets. C'est elle qui transgresse largement sur les calcaires campaniens depuis Condéon jusqu'à Lamérac. A la base de l'unité, on note la présence de chailles brunes (10 à 15 cm de diamètre). On retrouve ces sables grossiers au nord de la Double, à Médillac et au nord d'Aubeterre. Par ailleurs se développent, au sein de cette unité, des niveaux silicifiés (les grisons) généralement gris à verdâtres. Leurs caractères pétrographiques sont très variés puisque cette cimentation a affecté aussi bien des sables que des argiles.

Les dalles silico-ferrugineuses du bassin de la Dronne, il s'agit de silicification en relation avec un réseau karstique (Gourdon, 1973 et Gourdon-Platel, 1977). Ces dalles paraissent résulter de silicification de sédiments piégés dans les cavités karstiques. Ce matériau de couleur brune à jaune est lité présente quelques affleurements au nord de Ribérac (les Coutoux, Paussac) à plus de 60 kms du site (Célerier *et al.*, 1990). Nous n'avons pas étudié ce type de silex.

Le complexe des Doucins, altérites et leurs colluvions (argiles verdâtres à brunes et argiles brun-rouge) sont très répandus notamment entre la vallée de la Dronne et celle de l'Auzonne. On trouve ces formations résiduelles (We-c, Ac et Acc) tertiaires et quaternaires sur les interfluves, mais elles sont le plus souvent colluvionnées sur les versants. Les silex sont surtout présents à la base de la formation, peu corrodés et souvent non fragmentés. Ils sont au moins pour la partie inférieure le produit de l'altération des calcaires campaniens sous-jacents.

Les hautes terrasses anté-Mindel (Ft, Fu) possèdent un matériel caractérisé par une altération très poussée. Les galets de quartz et de quartzites sont rubéfiés leur taille moyenne est de 5 cm jusqu'à 10 cm, les silex sont très rares à absents.

Les terrasses moyennes Mindel (Fw1 et Fw2) présentes dans toutes les vallées possèdent de rares galets de silex de 10 cm en moyenne associés à des fragments de cuirasses ferrugineuses. La granulométrie décroit rapidement vers l'aval. Entre Coux et Rouffignac (17) on observe localement des chailles (10 à 20 cm)

On retrouve des silex toujours plus évolués dans les basses et les très basses terrasses. Il s'agit pour l'essentiel de silex crétacés. Certains peuvent dépasser les 15 cm, notamment en Fx3.

5.3.1.2. La zone voisine de 6 à 20 km

Les calcaires crayo-marneux du Santonien inférieur et du Santonien supérieur de la zone Jonzac-Ozillac sont riches en silex à textures variées. Les silex dits « grain de Mil » présents dans les altérites de ce secteur d'Ozillac seraient issus des niveaux santoniens inférieurs (Caux, 2010-2011). L'ensemble de ces silex plus ou moins riches en foraminifères benthiques et débris de bryozoaires représentent un potentiel minéral conséquent à 20 km au nord-ouest du site.

Les calcaires crayo-marneux, blanchâtres et tendres, rattachés à la formation de Gimeux enrobent des silex gris de petite taille. Ces silex ont été signalés dans les communes de Vibrac (à 21 km du site) et Pommiers-Moulon (à 18 km du site), Chaunac (21 km) et au nord de Châtignac à 20 Km du site. Il s'agit de silex à spicules et bryozoaires. Les foraminifères benthiques sont représentés par *Goupillaudina, Nummofallotia et Gavelinella*. Ces derniers sont associés à des *Globotruncana*. Dans leur ensemble, ces accidents siliceux ne sont pas propices à la taille.

On trouve des silicifications grises dans les calcaires crayo-marneux blanchâtres à glauconie du Campanien 2 (biozone CIII). En microfaciès, il s'agit d'une biomicrite riche en spicules. On y trouve une association de foraminifères benthiques très proche de la biozone CII. On note leur présence dans la commune de Vibrac à Trignac (19 km du site), à Sousmoulin (17 km) et au nord-est près da Châtignac (cimetière et chez Bardon). Ces accidents siliceux ne sont pas propices à la taille.

Les calcaires crayo-marneux jaunâtres de la Formation de Biron (Platel, 1977) correspondent au Campanien 3 du secteur de Pouillac. On note la présence de silex gris d'assez petite taille, notamment, autour de Chatenet (12 Km du site) et Vibrac (21 km). Le cortège faunique variée et abondant comprend des radioles, des spicules, des fragments de bivalves et de bryozoaires. On note l'apparition des *Pseudosiderolites*. Ces accidents siliceux ne sont pas du tout propice à la taille.

La Formation de Maurens (24) affleure aussi près d'Aubeterre, au nord de Bellon et au sud de Saint-Privat. Les seuls affleurements de ce calcaire tuffoïde qui portent des silicifications se trouvent au niveau de La Clotte et dans la vallée du Lary (17) à 12 km du site. On note l'apparition de *Lepidorbitoides* de certains *Orbitoides* et de *Fallotia*.

La Formation de Touvérac e3, on observe des troncs de bois fossiles dans les sables gris. On observe des sables jaunâtres à galets de silex dans l'Éocène inférieur à moyen à l'ouest de Corignac (17) et au nord de Donnezac (33) à 16 et 20 km à l'ouest du site. Nous n'avons pas étudié ces types de silex.

La présence de galets de silex bruns dans la formation à galets de Condéon n'est pas confirmée.

À la surface des formations d'Oriolles et de Passirac pO-P (Pliocène) on observe localement des chailles (10 à 15 cm) emballées dans une matrice sableuse. Ces silex affleurent à Touvent (55 km du site), Chez le Maure et au nord d'Oriolles à moins de 20 km.

On observe des silex dans les argiles vertes et jaunes du complexe des Doucins. Cette formation superficielle recouvre, dans ce secteur, le Crétacé sous-jacent de l'anticlinal de Jonzac et de la remontée de Chalais à Saint-Felix à moins de 20 km du site.

Enfin, citons les grès silicifiés ou Grisons (formation de Beau-Repos e5Br, Lutétien) du plateau autour de Parcoul à 18 km à l'est du site. Cette formation se trouve au sommet de l'Éocène moyen (Guizengeard supérieur) et forme des entablements métriques. La silicification enrobe des sables plus ou moins grossiers légèrement argileux.

5.3.1.3. La zone locale de 0 à 6 km

On retrouve les calcaires crayo-marneux jaunâtres du Campanien 4 et du Campanien 5 à moins de 6 km de Montguyon en rive droite de Lary au niveau de Saint-Martin-d'Ary. Ils sont rattachés aux formations de Barbezieux et d'Aubeterre et représenteraient la source primaire locale même si la présence de silex en leur sein n'est pas mentionnée dans la notice de la carte de Montguyon (n° 756).

Les formations du Ramard et de Bernet ou le e4R-B forment la base fluviatile du Tertiaire (Yprésien inférieur). Ces unités ne contiennent pas de silex.

Le site se trouve sur la formation de Guizengeard supérieur (Lutétien) qui recouvre une formation fluviatile. Celles-ci sont censées ne contenir aucun silex (notice de la carte géologique de Montguyon). Pourtant au cours de la fouille, nous avons collecté dans l'unité pédo-sédimentaire n° 7 un des blocs plus ou moins gélifractés issus des calcaires crayo-marneux jaunâtres du Campanien 4 et du Campanien 5. Il s'agit du type F550 majoritaire au sein des séries étudiées sauf celle rattachée au Néolithique.

Les formations de Boisbreteau et d'Oriolles ne contiennent pas de silex exploitables.

Par contre on note la présence de galets de silex dans la formation de Passirac (Bois le Télégraphe) à 7 km et des blocs roulés parfois gélifractés sur les terrasses du Lary du Mouzon et du Palais à moins de 6 km du site.

5.3.2. Diagnose des types de silex présents dans la série étudiée

Nous présentons maintenant le catalogue ouvert de silex identifiés à Montguyon. Afin d'analyser les différences comportementales nous avons observé dans un premier temps les silex moustériens, puis les séries du Paléolithique supérieur et de l'Epipaléolithique, pour finir sur les quelques objets attribués au Néolithique. Ce classement est basé sur la reconnaissance de 38 paramètres minéralogiques, structuraux et texturaux de 558 pièces moustériennes, 426 magdaléniennes, 87 épipaléolithiques et seulement 25 néolithiques. Aucune lame mince n'a été réalisée à partir des objets archéologiques. Nous proposons donc des fiches de caractérisation encore partielles pour chacun d'entre eux. Les caractères pétrographiques, paléontologiques et minéralogiques les plus discriminants ont donc été regroupés dans quatre tableaux ((fig. 5-11/14). Ces tableaux synthétiques distinguent à la fois des groupes (associations d'objets possédant au moins un trait commun aisément rapportable à un domaine géologique), des types (échantillon qui fait autorité comme modèles pétrographique, construit sur un ensemble de caractères lithologiques similaires) et des faciès (détails qui renseignent sur l'histoire sédimentaire, minéralogique et taphonomique du silex lorsqu'une lettre en minuscule est ajoutée à la suite de l'identifiant). Afin d'alléger la présentation nous n'avons pas introduit dans ce paragraphe la description détaillée des types ; nous invitons le lecteur à se rapporter aux tableaux.

5.3.2.1. Les types du complexe moustérien

L'analyse des 547 pièces attribuées au complexe moustérien a permis de sérier douze types et faciès dont dix allochtones. Ils sont regroupés en cinq familles ayant chacune des origines géologiques et environnementales distinctes. Ce classement met en exergue un modèle territorial, récurrent dans le Paléolithique moyen, privilégiant les matériaux locaux et ouvert sur trois axes (nord-est, nord-ouest et est) de circulation à l'intérieur de la zone régionale. L'étude des matériaux allochtones met en évidence des circulations de matières premières de qualité sur des distances qui ne paraissent pas excéder 50 km.

Le groupe des silex coniaciens à santoniens

Cette catégorie regroupe des types et des faciès définis principalement sur la base de leurs convergences chromatique, texturale et minéralogique. Il s'agit de silex noirs à texture bioturbée dans laquelle on observe régulièrement la présence de glauconie et de pyrite. Leur contenu micropaléontologique n'a pas permis de confirmer l'étage.

Le type F555 (annexes 6.1 à 6.3) : ce type a déjà été décrit par M et M-R Séronie-Vivien (1987), Park Seong Jin (2007), Féblot-Augsutin et Park Seong Jin (2012). La série étudiée contient 47 objets de ce type. Ces derniers sont issus d'au moins deux blocs distincts. Leurs néocortex indiquent une collecte exclusive dans un ou différents réseaux hydrographiques. Au niveau minéralogique, il est caractérisé par la présence de rhomboèdres, de quartz détritiques, de glauconie et de pyrite. Au niveau micropaléontolo-

gique on note la présence de débris de bryozoaires branchus caractéristiques. Ces pièces archéologiques présentent des similitudes avec les silex issus de formations coniaciennes et/ou santoniennes de Charente. Les premières silicifications de ce genre se trouvent en position primaire et secondaire à 45 km au nord-est du site sur les communes de Claix, Mouthiers-sur-Boëme, Voulgezac ou Villebois-Lavalette. Mais il est possible d'envisager des collectes à des distances plus réduites le long de la Lizonne et de la Dronne capables de drainer ce type de silex.

Le type F564 (annexe 6.4) : des échantillons aux aspects proches de ce type ont déjà été décrits par M et M-R Séronie-Vivien (1987), Park Seong Jin (2007), Féblot-Augsutin et Park Seong Jin (2012). La série étudiée contient 22 objets de ce type. Ils sont tirés d'au moins deux blocs distincts. Leurs néo-cortex indiquent une collecte dans différents points au sein d'un ou plusieurs réseaux hydrographiques. Au niveau minéralogique ils présentent les mêmes phases que le F555. Le corpus micropaléontologique est proche des silex (type 7) trouvés sur l'atelier de taille moustérien du Chêne vert à Dirac. Il est caractérisé par la présence de grands fragments de bryozoaires branchus proches des Meliceritites, *Cyclostomata* connu dans la Coniacien. Les gîtes les plus proches se trouvent à 45 kms au nord-est du site sur les communes de Claix, Mouthiers-sur-Boëme, Voulgezac ou Villebois-Lavalette. Mais il est possible d'envisager des collectes à des distances plus réduites le long de la et de la Dronne capables de drainer ce type de silex.

Le type F556 (annexe 6.5) : des échantillons aux aspects proches de ce type ont déjà été décrits par M et M-R Séronie-Vivien (1987). La série étudiée contient 3 objets de ce type, issus du même galet. Il est caractérisé par la présence de géodes à macroquartz et de grains de pyrite. Spicules bryozoaires et échinides représentent la majorité des bioclastes. Cette association reste proche des microfaciès observés dans le Coniacien ou le Santonien. Les gîtes les plus proches se trouvent à 45 kms au nord-est du site sur les communes de Claix, Mouthiers-sur-Boëme, Voulgezac ou Villebois-Lavalette. Mais il est possible d'envisager des collectes à des distances plus réduites le long de la Lizonne et de la Dronne capables de drainer ce type de silex.

Le type F566 (annexe 6.6) : des échantillons aux aspects proches de ce type ont déjà été décrits par M et M-R Séronie-Vivien (1987), Park Seong Jin (2007), Féblot-Augsutin et Park Seong Jin (2012). La série étudiée contient 6 objets de ce type. Ils appartiennent à plusieurs blocs (au moins trois). Leurs néo-cortex indiquent une collecte au sein d'un ou plusieurs réseaux hydrographique. Il a été classé dans ce groupe car il présente de fortes similitudes (minéralogiques et micropaléontologiques) avec les types F555 et F564. Les gîtes les plus proches se trouvent à 45 kms au nord-est du site sur les communes de Claix, Mouthiers-sur-Boëme, Voulgezac ou Villebois-Lavalette. Mais il est possible d'envisager des collectes à des distances plus réduites le long de la Lizonne et de la Dronne capables de drainer ce type de silex.

Le groupe des silex santoniens

Cette catégorie regroupe des types de silex définis principalement sur la base de leurs convergences minéralogiques et texturales. Le contenu micropaléontologique semble valider l'hypothèse d'une origine santonienne même si *Nummofallotia* n'a pas été identifié avec certitude.

Le type F563 (annexe 6.7 et 6.8) : des échantillons de ce type ont déjà été décrits par M et M-R Séronie-Vivien (1987), Park Seong Jin (2007), Féblot-Augsutin et Park Seong Jin (2012), Caux (2010-2011). La série étudiée contient 23 objets. Ils sont issus de blocs roulés différents ; leur nombre n'a pas été déterminé. Leurs néo-cortex indiquent une collecte au sein d'un ou plusieurs réseaux hydrographique. Sa texture *packstone* riche foraminifères benthiques et débris de bryozoaires permet de le rattacher au groupe des silex santoniens dits « grains de Mil ». Les alluvions les plus proximales sensées contenir ce type de silex évolué se trouvent au nord-ouest le long de la Seugne (Fontaines-d'Ozillac) et probablement au nord-est dans les vallées de l'Auzance et du Neuillac sur la commune de Saint-Laurent-des-Combes. Ces deux secteurs se situent à égale distance du site (autour de 25 km).

Le type F563a (annexe 6.9) : des échantillons aux aspects proches de ce type ont déjà été décrits par M et M-R Séronie-Vivien (1987), Park Seong Jin (2007), Féblot-Augsutin et Park Seong Jin (2012), Caux (2010-2011). La série étudiée contient 17 objets. Ils sont issus de blocs roulés différents ; leur nombre n'a pas été déterminé. Leurs néo-cortex indiquent une collecte au sein d'un ou plusieurs

réseaux hydrographique. Sa texture grainstone à *packstone* à clastes émoussés et son contenu micropaléontologique permettent de le rattacher au groupe des silex santoniens dits « grain de Mil ». Les alluvions les plus proximales sensées contenir ce type de silex évolué se trouvent au nord-ouest le long de la Seugne (Fontaines-d'Ozillac) et probablement au nord-est dans les vallées de l'Auzance et du Neuillac sur la commune de Saint-Laurent-des-Combes. Ces deux secteurs se situent à égale distance du site (autour de 25 km)

Le groupe des silex campaniens

Cette catégorie regroupe des types et des faciès définis principalement sur la base de leurs convergences chromatique, texturale et micropaléontologique. Il s'agit de silex beiges à bruns, *packstones* à *Orbitoides* et autres grands benthiques.

Les types F550 et F550a (annexe 6.10 et 6.11) : des échantillons aux aspects proches de ce type ont déjà été décrits par M et M-R Séronie-Vivien (1987), Park Seong Jin (2007), Féblot-Augsutin et Park Seong Jin (2012). La série étudiée contient 335 objets. Ces pièces sont issues d'un nombre de blocs important (au minimum 35). Elles présentent deux types de néo-cortex : un type majoritaire à l'aspect légèrement roulés, altérés et parfois recouverts par des encroûtements ferrugineux indiquant une collecte au sein de formations altéritiques à alluviales proches du gîte primaire associé à un type minoritaire, témoin d'une collecte dans des alluvions anciennes à forte patine brune. Tout concorde, sa texture, la présence de foraminifères benthiques dont *Orbitoïdes* et *Sidérolites* pour le rattacher soit à la formation de Barbezieux (Campanien 4) soit à celle d'Aubeterre (Campanien 5). Seule la présence de spicules demeure un problème car leur disparition est censée se produire au début du Campanien supérieur. Ces deux formations se trouvent à proximité du site sur les rives du Palais à l'est et du Mouzon ou du Lary à l'ouest. La présence avérée de blocs roulés de silex campaniens sur les terrasses du Lary et du Palais, la découverte, lors de la fouille de blocs roulés dans les niveaux supérieurs de Guizengeard valident l'hypothèse d'une présence non négligeable de silex au sein même du site. Ce type stricto local représente la majorité du corpus attribué au complexe moustérien.

Le type F565 (annexe 6.12) : la série étudiée contient 56 objets de ce type, sa classification dans ce groupe n'est pas définitive. Ces pièces sont issues d'au moins 5 blocs différents. Leurs néo-cortex légèrement roulés, toujours altérés indiquent une collecte au sein d'une formation alluviale proche du gîte primaire ou sub-primaire. Seule la texture à l'origine *packstone* rappelle celle des silex du Campanien. Le classement de ce type n'est pas encore définitif et sa position reste à déterminer.

Le groupe des silicifications continentales

Il ne contient qu'un seul type, aux aspects macroscopiques et microscopiques marqués.

Le type F568 (annexe 6.16) : cette silicification est a été décrite par Dubreuilh (1989), Platel et al, (1999), Turq (2000). La série étudiée contient 14 objets de ce type. La texture et la composition minéralogique rappellent les grès quartzitiques dits des Grisons. Les affleurements les plus connus se trouvent sur les plateaux autour de Parcoul à 18 km à l'est du site.

Le groupe des silex d'origine indéterminée

Le type F562 (annexe 6.13) : des échantillons proches de ce type ont déjà été décrits par M et M-R Séronie-Vivien (1987), Park Seong Jin (2007), Féblot-Augsutin et Park Seong Jin (2012). On note la présence de trois objets dans la série. Ils sont issus de blocs différents. Le seul néo-cortex observé indique une collecte dans des alluvions proches du gîte primaire. La texture, la présence de pyrite et le contenu micropaléontologique, notamment la présence de grand nombre d'*incertea sedis* noirs rappellent certains microfaciès turoniens. La position exacte de ce type de ce silex noir reste à déterminer.

Le type F554 (annexe 6.14) : la série étudiée contient 6 objets de ce type. Ils sont issus de blocs différents. Les néo-cortex observés indiquent une collecte dans des alluvions. L'association filaments, spicules, *incertae sedis* rappelle certains microfaciès du Dogger. La position exacte de ce silex noir reste à déterminer.

Le type F567 (annexe 6.15) : la série étudiée contient 4 objets de ce type. Ils sont issus de blocs différents. Le seul néo-cortex observé indique une collecte dans des alluvions. Aucun élément vraiment discriminant ne permet de rattacher précisément ce type à une formation. La position exacte de ce silex noir reste à déterminer.

5.3.2.2. Les types du complexe magdalénien

L'analyse des 425 pièces attribuées au complexe magdalénien a permis de sérier quatre matériaux dont deux allochtones pour lesquels l'origine n'a pas été déterminée. L'essentiel provient de l'environnement immédiat (414 objets sur 425). Même si ce type d'occupation n'est qu'une partie du système économique, il reflète un comportement à faible mobilité très différent des modes d'exploitation pratiqués par tous les autres groupes qui se sont installés sur le site.

Le groupe des silex campaniens

Cette catégorie regroupe les mêmes types de silex locaux que ceux trouvés dans la série attribuée au complexe moustérien. Il s'agit de silex beiges à bruns, *packstone*s à *Orbitoides* et autres grands benthiques. La série contient 414 objets rattachés à ce groupe.

Le type F550b (annexe 6.17) : il s'agit d'un faciès à rattacher au groupe F550.

Le type F550c (annexe 6.18) : il s'agit d'un faciès à rattacher au groupe F550.

Le type F550d (annexe 6.19) : il s'agit d'un faciès à rattacher au groupe F550.

Les types F550 et F565 ont déjà été décrits (dans le chapitre 3.1.3).

Le groupe des silex d'origine indéterminée

Le type F552b (annexe 6.20) : des échantillons aux aspects proches de ce type ont déjà été décrits par M et M-R Séronie-Vivien (1987), Park Seong Jin (2007), Féblot-Augsutin et Park Seong Jin (2012). La série étudiée ne contient qu'un seul objet de ce type. Le néo-cortex indique une collecte au sein des alluvions anciennes. Sa texture très évoluée à spicules et débris de bivalves rappelle certains silex jurassiques présents dans les alluvions anciennes. Le lieu de collecte de ce type reste indéterminé.

Le type F554 a déjà été décrit dans le chapitre précédent. La série observée contient 9 objets possédant les mêmes caractères.

5.3.2.3. Les types du locus épipaléolithique

La caractérisation des 87 objets de ce locus donne des résultats insuffisants pour décrypter les comportements, seule la présence de silex d'origine allochtone fait la différence avec le comportement des magdaléniens.

Le groupe des silex coniaciens à santoniens

Le type F555 a déjà été décrit *supra* (chapitre 3.1.1). La série observée contient 31 objets ayant les mêmes aspects que ceux définis dans le Paléolithique moyen.

Le groupe des silex santoniens

Le type F563 a déjà été décrit *supra* (chapitre 3.1.2). La série ne contient qu'un seul objet de ce type

Le groupe des silex campaniens

Le type F550 a déjà été décrit *supra* (chapitre 3.1.3). La série observée contient 54 objets ayant les mêmes aspects que ceux définis dans le Paléolithique moyen.

Le groupe des silex bergeracois

Le type F300 : ce type de silex a été décrit à maintes reprises (Combaz, 1966 ; Demars, 1980 ; Morala, 1980 ; Geneste, 1985 ; Séronie-Vivien et Séronie-Vivien, 1987 ; Capdeville, 1989 ; Turq, 1992, 2000 ; Fernandes *et al.,* 2012) ses caractères et sa localisations sont désormais mieux définis. La série étudiée contient un seul objet. Sa détermination est basée sur des critères macroscopiques et microscopiques.

5.3.2.4. Les types attribués au Néolithique

Cette série est trop faible pour tirer des conclusions précises. Notons tout de même, l'absence de silex campaniens d'origine locale.

Le groupe des silex coniaciens

Il ne contient qu'un seul microfaciès, contenant un type de bryozoaire souvent rattaché au Coniacien.

Le type F561 (annexe 6.21) : des échantillons proches de ce type ont déjà été décrits par M et Séronie-Vivien et séronie-Vivien (1987), Park Seong Jin (2007), Féblot-Augsutin et Park Seong Jin (2012). La série étudiée contient trois objets de ce type. Ils proviennent de blocs différents ; leur nombre n'a pas été déterminé. L'absence de cortex n'a pas permis de déterminer le type de formation dans laquelle ces

objets ont été collectés. Leur minéralogie à rhomboèdres et glauconie, la présence de fragments d'échinides et de bryozoaires dont (*Fenestrella*) permet de rattacher ce microfaciès au groupe des silex coniaciens. Les gîtes les plus proches se trouvent à 45 km au nord-est du site sur les communes de Claix, Mouthiers-sur-Boëme, Voulgezac ou Villebois-Lavalette. Mais il est possible d'envisager des collectes à des distances plus réduites le long de la Lizonne et de la Dronne capables de drainer ce type de silex.

Le groupe des silex coniaciens à santoniens

Cette catégorie regroupe des types et des faciès définis principalement sur la base de leurs convergences chromatique, texturale et minéralogique. Il s'agit de silex noirs à texture bioturbée dans laquelle on observe régulièrement la présence de rhomboèdres. Leurs contenus micropaléontologiques variables ne sont pas suffisamment caractéristiques pour déterminer précisément l'étage auquel ils appartiennent.

Le type F556 a déjà été décrit *supra* (chapitre 3.1.1). La série observée contient quatre objets de ce type.

Le type F557 (annexe 6.22) : des échantillons proches de ce type ont déjà été décrits par M et Séronie-Vivien et Séronie-Vivien (1987), Park Seong Jin (2007), Féblot-Augsutin et Park Seong Jin (2012). La série étudiée contient dix objets de ce type. La majorité d'entre eux proviennent du même bloc. Le néo-cortex observé indique une collecte dans des alluvions. La texture et certaines formes minéralogiques rappellent des microfaciès observés dans le Coniacien ou le Santonien. Les gîtes les plus proches se trouvent sur les communes de Claix, Mouthiers-sur-Boëme, Voulgezac, Villebois-Lavalette à 45 km au nord-est du site. Comme pour les autres silex rattachés à ces formations, il est possible d'envisager des collectes à des distances plus réduites le long de la Lizonne et de la Dronne.

Le type F557b (annexe 6.23) : des échantillons proches de ce type ont déjà été décrits par M et Séronie-Vivien et Séronie-Vivien (1987), Park Seong Jin (2007), Féblot-Augsutin et Park Seong Jin (2012). La série étudiée contient un objet de ce type. L'absence de cortex n'a pas permis de déterminer le la formation dans laquelle il a été collecté. La texture et certaines formes minéralogiques rappellent des faciès observés dans le Coniacien ou le Santonien. Alors qu'une partie du contenu micropaléontologique rappelle certains microfaciès turoniens. Ce type de silex peut être rattaché aux formations au sud d'Angoulême.

Le groupe des silex santoniens

Le type F563b (annexe 6.24) : des échantillons proches de ce type ont déjà été décrits par M et Séronie-Vivien et Séronie-Vivien (1987), Park Seong Jin (2007), Féblot-Augsutin et Park Seong Jin (2012). La série étudiée contient dix objets de ce type. La majorité d'entre eux proviennent du même bloc. Le néo-cortex observé indique une collecte dans des alluvions. L'origine exacte reste indéterminée.

Le groupe des silex bergeracois

Le type F300 : ce type de silex a été décrit à maintes reprises (Combaz, 1966 ; Demars, 1980 ; Morala, 1980 ; Geneste, 1985 ; Séronie-Vivien et Séronie-Vivien, 1987 ; Capdeville, 1989 ; Turq, 1992, 2000 ; Fernandes *et al.*, 2012) ses caractères et sa localisation sont désormais mieux définis. La série étudiée contient trois objets. Sa détermination est basée sur des critères macroscopiques et microscopiques.

Le groupe des silex d'origine indéterminée

Le type F560 (annexe 6.25) : ce microfaciès évolué ne semble pas avoir été mentionné par les auteurs précédents. La série étudiée contient un seul objet de ce type. L'absence de cortex n'a pas permis de déterminer le la formation dans laquelle il a été collecté. Le lieu de collecte reste indéterminé.

5.3.2.5. Les types sans attribution chrono-culturelle

Le type F558 (annexe 6.26) : des échantillons proches de ce type ont déjà été décrits par Séronie-Vivien et Séronie-Vivien (1987), Park Seong Jin (2007), Féblot-Augsutin et Park Seong Jin (2012). La série étudiée contient un objet de ce type. Il présente des points communs avec certains silex santoniens. L'absence de cortex n'a pas permis de déterminer le la formation dans laquelle il a été collecté. Le lieu de collecte reste indéterminé.

Le type F552 (annexe 6.27) : des échantillons aux aspects proches de ce type ont déjà été décrits par Séronie-Vivien et Séronie-Vivien (1987), Park Seong Jin (2007), Féblot-Augsutin et Park Seong Jin

(2012). La série étudiée ne contient qu'un seul objet de ce type. Le néo-cortex indique une collecte au sein des alluvions. Sa texture très évoluée à spicules rappelle certains silex jurassiques présents dans les alluvions anciennes. Le lieu de collecte de ce type reste indéterminé.

5.3.3. Conclusion

L'inventaire des ressources locales a permis d'enrichir et d'harmoniser la carte des formations contenant des silicifications dans cette région. La présence de silex sous les niveaux archéologiques en UPS 7 (à l'interface substrat éocène et séquence pléistocène) et sur les terrasses du Palais et du Mouzon encadrant le site pourrait expliquer en partie le choix de ce lieu et la pérennisation des occupations : plusieurs niveaux du Paléolithique moyen rattachés au complexe moustérien - un Paléolithique supérieur attribué à la culture magdalénienne - un niveau épipaléolithique - un locus néolithique. L'objectif fixé à Montguyon était d'examiner les différences comportementales entre ces occupations. La série rattachée au Paléolithique moyen livre un schéma territorial privilégiant la ressource locale, ouvert sur un axe principal sud-ouest nord-est vers le secteur au sud d'Angoulême à 50 kms et une orientation secondaire sud-est nord-ouest vers la formation de Saintes à 25 kms. Pour les silex coniaciens à santoniens il est possible d'envisager des collectes à des distances plus courtes le long de la Lizonne et de la Dronne capables de drainer ces types de silex. La présence d'au minimum 12 faciès d'origine locale à régionale démontre une bonne connaissance du potentiel minéral disponible. À l'inverse le corpus attribué au Paléolithique supérieur indique une collecte quasi exclusive dans la zone locale. La série Epipaléolithique est insuffisante pour tenter de décrypter les comportements, mais à la différence des magdaléniens on note la présence de silex d'origine allochtone. La série Néolithique étudiée est trop faible pour tirer des conclusions précises. Notons tout de même, l'absence de silex campaniens d'origine locale.

5.4. Le mobilier paléolithique moyen – vue d'ensemble (S. Bernard-Guelle)

L'ensemble du mobilier rapporté au Paléolithique moyen est composé de 1756 silex, 51 quartz ou quartzites et 17 autres matériaux lithiques (fig. 5-15).

Avec 143 petits éléments (éclats < à 20 mm), 209 débris et fragments d'éclats indéterminables, 36 cupules thermiques et 7 cassons, le groupe de produits appelé « Divers » forme moins de 22 % de ce corpus lithique. La faiblesse relative de cet ensemble peut probablement en partie s'expliquer par le mode de prélèvement, essentiellement mécanisé, ne favorisant pas la découverte des petits éléments. Avec 62,4 % de l'industrie, les produits de débitage sont les mieux représentés. Ils sont composés de supports majoritairement non Levallois (n = 558, soit 30,6 % du corpus lithique), corticaux (n = 482, soit 26,4 %) et enfin Levallois (n = 98, soit 5,4 %). La série est complétée par 191 nucléus (10,5 %), 81 manuports et/ou galets/blocs utilisés (4,5 %) et 19 pièces (1 %) liées aux activités de transformation de supports.

Au sein de cet ensemble, seuls 88 supports sont transformés.

Ces premières données vont dans le sens de chaînes opératoires essentiellement réalisées sur le site.

5.4.1. Types de produits et séquences opératoires

Avec 81 pièces et 5,6 % des produits technologiquement porteurs d'informations* (fig. 5-16), la phase d'acquisition atteste de la collecte, au cours du séjour sur le site, de matériaux disponibles localement (cf. chap. 5.3). Elle est ainsi marquée par une forte présence (68 %) de matériaux autres que le silex parmi lesquels on trouve le quartz, le quartzite et différentes variétés de grès (siliceux ou ferrugineux). Ces matériaux ne sont d'ailleurs représentés que par des galets bruts (manuports) ou utilisés (percuteurs, retouchoirs, coins…), hormis pour le quartz dont la découverte de trois éclats (cf. *infra*) atteste d'un débitage occasionnel. Aucun façonnage sur quartz et quartzites n'est en revanche attesté. Les grès et grès ferrugineux sont uniquement présents sous forme de blocs bruts entiers ou fragmentés. Ces différentes variétés de grès proviennent probablement d'une même source dsiponible localement. L'origine locale des quartz et quartzites est également à rechercher au sein des formations alluviales présentes en contre-bas du site (Le Mouzon) ou sur le site même au sein des dépôts détritiques de la formation de Guizengeard supérieur (Lutétien, e5). Enfin, quelques blocs de silex bruts ou testés (F550), de qualité moyenne, confirment cette stratégie d'approvisionnement local, sur site ou à proximité immédiate. De rares blocs naturels de ce même type de silex ont d'ailleurs

*La catégorie des divers regroupe différents produits qui ne sont pas, ou très peu, porteurs d'informations technologiques. Les calculs seront effectués dans ce chapitre sans cet ensemble.

été repérés, à la fouille, au sein du niveau à graviers (UPS7) surmontant les alluvions éocènes.

Les produits de débitage forment le gros de l'ensemble rattaché au Moustérien (près de 80 % des éléments technologiquement déterminables) et attestent d'activités de production *in situ*. Les talons reconnaissables (fig. 5-17) sont surtout lisses (63,8 %) ou facettés (21,5 %), parfois punctiformes (10,6 %) ou corticaux (4,1 %). Ils présentent des angles d'éclatement majoritairement fermés avec talon généralement déversé sur la face inférieure (78,6 %). Les supports ont des sections fréquemment triangulaires (32,4 % - fig. 5-19) ou triangulaires-rectangles (36,6 %) voire trapézoïdales (23,9 %) en lien avec les modes de productions identifiés (cf. *infra*). Plus de 30 % de ces supports ne sont pas entiers (fig. 5-20).

Les produits portant du (néo)cortex sont bien représentés (n = 482, 33,7 %) et en accord avec un débitage en grande partie réalisé sur place. Cet ensemble est dominé par les supports à plage corticale résiduelle (n = 175/482) et les entames sont rares (n = 30/482). Deux éclats en quartz témoignent de l'exploitation ponctuelle de ce matériau.

Les supports non Levallois forment la catégorie la mieux représentée (n = 558) et composent 39,1% de la série hors divers. Cette dominance s'explique par des systèmes de production essentiellement de type discoïde, unipolaire voire alternant. L'ensemble du groupe est dominé par les éclats débordants à dos limités (nommés aussi pointes pseudo-Levallois - PPSL - 125/558 - cf. chap. 5.6) ou de type indifférencié (n = 110/558), souvent fracturés. Les formes quadrangulaires sont bien représentées avec 72 unités, le reste étant plus ou moins réparti au sein des morphologies ovalaires (n = 54), allongées (n = 35), à dos (n = 60)… Signalons également la présence de 30 lames et de 7 éclats de « type Kombewa » (avec une large portion de face d'éclatement visible sur leur face supérieure) associés à un débitage réalisé au dépend de faces inférieures d'éclats-supports.

La composante Levallois forme 6,8 % du corpus déterminable (n = 98). Ces produits illustrent des modes de production non majoritaires mais variés, dominés par les modalités récurrentes et notamment centripète.

La catégorie nucléus comporte 191 pièces, soit 13,4 % des produits technologiquement déterminables confirmant la part prépondérante des activités de production sur le site. La majorité des supports déterminables utilisés sont des éclats (57,3 % - fig. 5-21), devant les blocs (33,9 %) et plus rarement les rognons (4,7 %), galets (2,3 %) ou nodules (1,7 %). Les dimensions moyennes des nucléus sont de 7 cm pour la plus grande longueur et 3 cm pour l'épaisseur, en lien avec une utilisation fréquente d'éclats-supports et un fort degré d'exhaustion. Leurs morphologies sont très variées, là encore en relation avec les différents niveaux d'exploitation des nucléus mais également de la variabilité des modes opératoires utilisés.

Les principaux concepts de production identifiés sont Levallois et surtout discoïde (*lato sensu*) ; ils côtoient des débitages peu élaborés (unipolaire, centripète, multipolaire…) mis en place sur une ou plusieurs faces de blocs ou d'éclats menant à une grande variété de morpho-types dans la catégorie nucléus (fig. 5-15).

Les nucléus Levallois retrouvés (n = 26/191) ainsi que les remontages réalisés montrent la mise en œuvre de modalités de production variées : à éclat préférentiel (R57 - fig. 5-96., R88) ou récurrente centripète (R3, R26, R27, R58 - fig. 5-96), unipolaire (R59 - fig. 5-96, R75, R76 - fig. 5-95) voire bipolaire (R77 et R78 - fig. 5-93/94).

Les nucléus morphologiquement discoïdes (n = 39/191) sont à exploitation majoritairement unifaciale (n = 26) et particulièrement axés sur la production de pointes pseudo-Levallois (R15, R17, R28 - fig. 5-87/88). Plusieurs variantes de ce mode de débitage ont été identifiées dans le cadre d'une production spécialisée de ce type de supports (cf. chap. 5.6). C'est notamment le cas du débitage (modalité) alternant(e) sur surfaces adjacentes qui peut être conceptuellement rattaché à la sphère discoïde. Avec ce mode de production, les nucléus résiduels ne sont pourtant pas typologiquement conformes et peuvent avoir des morphologies variées (souvent incorporées aux nucléus divers - *e.g.* fig. 5-71/73).

Un schéma de production d'éclats peu élaboré est illustré par un débitage mené par une ou plusieurs séries successives d'enlèvements unipolaires généralement réalisées dans la plus grande largeur du support (bloc ou éclat) (R1, R21, R34, R80 - fig. 5-97), sans préparation au préalable. Le débitage peut se poursuivre sur la même face par une série d'enlèvements de direction opposée ou ortho-

gonale à la première (R13), ou se développer sur une autre surface adjacente (R79 - fig. 5-99., R91 - fig. 5-89.), voire opposée à la première, puis parfois se répéter sur une autre surface. Ce débitage alternant par séries unipolaires présente des similitudes avec le système par surface de débitage alternée (SSDA) décrit par H. Forestier (1993) notamment en ce qui concerne les supports qui sont souvent quadrangulaires, à négatifs unipolaires, en partie corticaux (parfois à dos) et qui présentent des talons lisses larges et inclinés. En revanche, l'algoryhtme de base qui gère ce système n'est ici pas respecté : « chaque surface débitée ou « plateforme » d'éclatement créée par un ou plusieurs négatifs d'enlèvements antérieurs sert à son tour de surface de plan de frappe à une nouvelle série d'éclats. » (Forestier *op. cit.*).

Enfin quelques nucléus sont de « type Kombewa » (R25 - fig. 5-83) ou montrent un débitage mené de façon frontal par séries unipolaires au dépend de faces étroites et de tranches d'éclats (R14 - fig. 5-100) menant à l'obtention d'éclats allongés, lamellaires ou de petites lames.

Enfin, la phase de transformation de support (n = 19, 1,3 %) qui atteste de la confection et/ou du réaffutage d'outils sur le site n'est représentée que par quelques éclats de retouche ou de façonnage et quelques supports à retouche intensive.

5.4.2. L'outillage retouché

Outre les deux outils appartenant à l'échantillon issu du diagnostic, l'ensemble retouché est composé de 88 pièces (fig. 5-23). Ce corpus forme 4,8 % de l'industrie lithique rattachée au Paléolithique moyen et 6,2 % du même ensemble sans la catégorie des divers.

Les supports sont uniquement composés de silex. Il s'agit essentiellement de produits de débitage, dominés par les éclats ordinaires (n = 20) ou corticaux (n = 30) accompagnés de 12 supports Levallois, de 4 pointes pseudo-Levallois, de 3 lames et d'un éclat de « type Kombewa », Cinq nucléus, un éclat de façonnage et 1 rognon ont également été transformés en outils. Enfin, 12 supports restent indéterminés.

Parmi ces outils, les silex allochtones sont bien représentés avec 43 unités sur 73 dont le type pétrographique a pu être déterminé. Les silex locaux campaniens comptent pour 30 unités.

Le façonnage bifacial est minoritaire. Il est essentiellement attesté par un biface amygdaloïde en silex santonien (fig. 5-103) mais 3 autres pièces complètent cet ensemble : une pièce bifaciale à base réservée dont la pointe a été cassée par la pelle mécanique, un fragment de pièce bifaciale probablement fracturée en cours de fabrication ainsi qu'une pièce bifaciale mixte (nucléus-outil ?), en silex coniacien, sur laquelle la base, épaisse et en partie corticale, montre des enlèvements dont la finalité est difficile à cerner (aménagement ou débitage ?) et ou la partie apicale est façonnée par enlèvements rasants dégageant deux bords rectilignes convergents vers une pointe.

Un rognon de silex montre également un façonnage bifacial : cet aménagement est réalisé sur son grand côté par le biais d'enlèvements bifaciaux de délinéation convexo-concave doublés de petits enlèvements unifaciaux donnant un angle de bord obtus (de type rabot).

Toutes les pièces façonnées sont issues de l'UPS4, y compris le biface retrouvé dans les déblais de la pelle mais qui avait conservé sur une face du sédiment caractéristique de cette unité.

Le groupe moustérien est le mieux représenté avec 52 éléments et une forte composante de racloirs latéraux simples (n = 24), parfois amincis (n = 7) et souvent de délinéation convexe (n = 18) (fig. 5-108). La seconde composante est constituée d'outils à retouche convergente (n = 18 - fig. 5-106/108) et comprend notamment des racloirs convergents (ou pointes moustériennes pour au moins deux exemplaires) et seulement 2 racloirs déjetés. Ces « outils convergents » sont majoritairement de délinéation convexe (n = 9) ou convexo-concave (n = 4), et 4 exemplaires sont amincis.

Le groupe moustérien est complété par 5 racloirs transversaux convexes ou fracturés et parfois amincis (n = 2) et par 4 racloirs doubles de délinéation majoritairement droite (n = 3/4) dont 2 sont amincis (fig. 5-106). Sur les racloirs « doubles », la retouche plus abrupte d'un des deux bords semble vraisemblablement correspondre à un aménagement de dos (préhension ?) opposé à un bord actif.

Le groupe denticulés/encoches (n = 8) est composé de quatre pièces denticulées dont une en position inverse et de 4 pièces à encoches dont une retouchée.

Le groupe des pièces à retouche limitée (n = 8) rassemble les outils qui n'ont subi qu'une modification très légère de l'acuité de leur tranchant ou

dont l'extension de la retouche sur le support est très circonscrite.

Le groupe des outils divers (n = 11), très hétéroclite, comprend deux grattoirs atypiques, une pièce tronquée, un burin, une pièce esquillée, un éclat retouché et plusieurs nucléus repris en différents types d'outils (racloir, rabot, outil lourd…).

Enfin, six fragments d'outils dont deux portent des traces encore visibles d'amincissement complètent le corpus retouché.

De position presque exclusivement directe (n = 74/87) et d'étendue variable mais fréquemment courte (36 contre 20 longues), la retouche est essentiellement de morphologie écailleuse (n = 62), parfois associée à une retouche sub-parallèle (n =2) mais rarement de type scalariforme (n = 2).

Les pièces amincies sont fréquentes avec 20 exemplaires sur les 90 outils reconnus. Cet amincissement est varié allant du type Kostienki (troncature inverse suivie d'enlèvements dorsaux ou inversement = 7) à la simple réalisation d'enlèvements inverses (« type Kombewa » = 4). L'amincissement concerne majoritairement la base de la pièce (n = 10), souvent associée à un ou plusieurs autres bords (n = 4). Les pièces concernées sont essentiellement des racloirs (n = 17/20).

5.5. Le mobilier paléolithique moyen - approche par « niveaux » (S. Bernard-Guelle)

5.5.1 Les nappes de mobiliers moustériens de l'UPS4

Un peu moins de 35 % du mobilier rapporté au Paléolithique moyen provient de l'UPS4, constituant ainsi le deuxième effectif au sein du corpus total. Plus de la moitié de ce mobilier a été recueillie dans le cadre d'une fouille manuelle. Il se présente essentiellement sous forme de petits ensembles lithiques bien individualisés dans la partie inférieure de l'UPS4.

Locus 0/9/11 :

Ce secteur constitue la zone de fouille principale en lien avec l'occupation du Paléolithique supérieur identifiée lors du diagnostic (cf. chap. 1.3). Néanmoins, les décapages réalisés dans la partie inférieure de l'UPS4 (décapages 5 à 7 en locus 0 et décapages 4 à 6 en locus 9) montrèrent la présence à priori discrète de mobilier moustérien au contact du Paléolithique supérieur (cf. chap. 5.7). Cette impression fut largement confirmée lors de l'étude du mobilier révélant une composante moustérienne non négligeable. L'analyse des remontages (fig. 5-51/53) et les projections verticales (CP5 - fig. 2-14, CP20 - fig. 2-15 et CP31 - fig. 2-18) sont venues ensuite confirmer la proximité des nappes d'objets, en contact et parfois entremêlées.

Bien que moins dense et sans véritable concentration évidente, le mobilier rapportable au Paléolithique moyen est bien représenté, illustré par plusieurs remontages assez étoffés et un nombre minimum de blocs exploités (NMB) égal à 10, tous en silex campanien local.

En locus 0, outre quelques courtes séquences de débitage d'éclats, un remontage illustre la reprise d'un éclat cortical dans l'objectif de débiter plusieurs éclats de type Levallois sur sa face supérieure à partir d'une troncature inverse proximale (R95 - fig. 5-95). Trois des éléments remontés proviennent de l'UPS4 contre un de l'UPS5.

Les autres principaux remontages se répartissent entre les locus 11 et 9, notamment dans ce dernier où leur dispersion spatiale est plus limitée (R102 et R110). Les remontages 88, 94 et 109, fortement orientés SE/NO, relient ces deux locus probablement par le biais de phénomènes naturels.

Nucléus et produits sont généralement issus de l'UPS4 (R103, R109, R102) bien que quelques liaisons soient attestées avec l'interface 4/5 (1 pièce sur 6 pour le R88) ou l'UPS 5 (1 sur 22 pour le R94 et 1 sur 19 pour le R110) refletant des phénomènes de migrations verticales (cf. chap. 4). A l'image de ce qui est constaté dans d'autres locus (cf. *infra*), les remontages illustrent essentiellement des séquences de débitage discoïde, parfois bien documentées : R94 (fig. 5-80/81), R102 (fig. 5-86), R103, R109, R110 (fig. 5-79).

Le remontage 88 semble en revanche correspondre à un débitage Levallois difficile à caractériser plus avant en raison de sa forte altération thermique. L'ensemble du mobilier de l'UPS4, toutes périodes confondues, est d'ailleurs ici particulièrement affecté par le gel.

Locus 12bis :

Ce locus est localisé à une quinzaine de mètres au nord de l'ensemble principal 0/9/11 (fig. 1-04 et 5-39) et fut fouillé en plusieurs temps et par diffé-

rentes méthodes. L'approche mécanisée fut stoppée suite à la découverte dans une zone proche de plusieurs éléments laminaires (futur locus 15) à partir desquels nous procédâmes à un razettage (nettoyage) sur une large surface alentour. C'est dans ce contexte que plusieurs petites concentrations de mobilier purent être identifiées et d'abord rapportées au Paléolithique supérieur au vu de leur position stratigraphique et de leur proximité avec les premiers éléments laminaires découverts (fig. 5-46).

Un second décapage extensif de la zone, au sud du locus 15, permit de confirmer la présence de petits pôles de densités dans la partie sud-ouest de ce secteur préservé par le décapage mécanique. Une vingtaine de m^2 fit alors l'objet d'une fouille manuelle avec tamisage sur un décapage. La très nette raréfaction du mobilier au-delà du décapage 1, la pauvreté du tamisage en dehors des petites concentrations et les impératifs temporels de la fouille entraînèrent l'arrêt de la fouille manuelle de ce locus qui fut par la suite décapé mécaniquement.

Au final, ce locus livra un mobilier incontestablement moustérien mais relativement peu abondant, pour la plupart localisé sur 4 m^2 (fig. 5-39/40) et relativement bien conservé (cf. chap. 4). Avec un peu plus de 120 pièces et 5 remontages parfois presque complets, ce locus présente le taux de remontage le plus élevé du site avec 63 % de pièces raccordées.

La dispersion horizontale des remontages est limitée (fig. 5-41/44) avec des liaisons majoritairement courtes (54 %) ou moyennes (32 %), sub-horizontales et sans orientation préférentielle (cf. chap. 4.3). La dispersion verticale (CP22 - fig. 2-18) est également faible (une dizaine de cm) avec néanmoins quelques raccords avec des pièces plus basses (sommet UPS5). Pour les remontages 47-48, 49, 50 et 51, la dispersion inter unités se limite respectivement à 3, 4, 2 et 1 pièces récoltées en UPS5 pour 23, 7, 15, 29 pièces issues de l'UPS4.

Ce locus regroupe essentiellement les produits issus du débitage sur place de quatre blocs de silex campanien local (fig. 5-69, 5-72/73) ainsi que deux percuteurs en quartz (fig. 5-101) et quartzite. Le remontage de deux éclats à dos (R38) atteste du débitage probable d'un autre bloc portant le NMB exploité à 5.

Ce locus peut ainsi être assimilé à un poste de débitage spécialisé, tourné vers la production de pointes pseudo-Levallois (cf. regroupement de ces produits - fig. 4-06 et 5-41). Cette production est particulièrement bien documentée par les remontages 47-48, 49, 50 et 51.

Le remontage 47-48 (fig. 5-41 et 5-74/76) illustre le débitage d'un bloc de dimension moyenne (15x14x11) dans l'objectif de produire prioritairement des pointes pseudo-Levallois. Cet objectif met en œuvre des processus de ramification par le recyclage d'un éclat issu de la première phase d'exploitation du bloc (fig. 5-76).

Le remontage 49 (fig. 5-43 et 5-73) est un petit rognon exploité dans le même but. Les remontages 50 et 51 (fig. 5-43/44 et 5-69/72) illustrent l'exploitation de rognons oblongs qui sont d'abord volontairement fragmentés en leur centre pour obtenir deux matrices sensiblement égales qui sont ensuite débitées afin d'obtenir un maximum de produits pseudo-Levallois.

Exceptée une partie d'un des quatre blocs (cf. R50 - fig. 5-72), ils ont été entièrement débités sur place, selon des méthodes rattachées à la sphère discoïde et fonctionnant essentiellement par débitage alternant sur surfaces adjacentes (cf. chap. 5.6). La production semble majoritairement être restée sur son lieu de fabrication même si certains déplacements ou emports semblent attestés par les quelques manques constatés au sein des remontages. Une seule pièce (PPSL), issue de l'ensemble R47-48, a été retrouvée éloignée du locus (à une dizaine de mètres au nord). Ce déplacement d'objet en dehors des concentrations est néanmoins trop isolé pour pouvoir plaider en faveur d'une intervention humaine et non de celle de processus sédimentaires.

Une pointe pseudo-Levallois (fig. 5-66 b) et un racloir transversal en silex coniacien complètent cet ensemble très cohérent technologiquement. Ils ont été fabriqués en dehors de ce poste de débitage et peut-être même importés tels quels.

Locus 16 :

Le locus 16 est représenté par une concentration très limitée de mobilier mise au jour dans la partie inférieur de l'UPS4 lors du décapage, en fin d'opération, d'une des grandes bermes localisées au centre de l'emprise (fig. 5-38).

Seule une trentaine de pièces ont été découvertes lors de la fouille manuelle d'environ 7 m^2. Le débitage sur place de deux blocs est attesté sur ce locus, l'un par le remontage de deux pièces dont une pointe pseudo-Levallois (silex campanien local F565 - R33 - fig. 5-84), l'autre par 11 pièces illustrant l'exploitation d'un galet de silex coniacien (F555) par débitage alternant sur surfaces adja-

centes et le recyclage d'un éclat cortical en nucléus (R81 - fig. 5-77, CP9- fig. 2-13 et CP10 - fig. 2-16). Ce dernier évoque une possible utilisation différée des produits obtenus (PPSL) qui sont absents du remontage.

Outre sa position stratigraphique, ce mobilier est en tout point semblable à celui découvert en locus 12 bis, à la fois par des objectifs et des modalités de production (PPSL) similaires, ainsi que par le recours à une chaîne opératoire secondaire régie par les mêmes principes.

À ce mobilier, on peut y ajouter les pièces du remontage 83, localisées à quelques mètres à l'est (locus 20) et au même niveau stratigraphique. Il s'agit d'un petit galet de silex, lui aussi coniacien, débité selon le même schéma opératoire que celui identifié plus haut.

Les petits remontages 39 et 40 concernent en revanche des pièces retrouvées plus haut en stratigraphie (UPS4a/4b) que l'on ne peut clairement rattacher à une phase chrono-culturelle.

Locus 2 :

Ce locus concerne un petit lot de pièces, très limité dans l'espace, retrouvé au décapage mécanique lors de la réalisation de la tranchée 10bis (fig. 5-25). La présence groupée de ces quelques pièces, toutes en silex coniacien noir, justifia un nettoyage de surface qui livra d'autres petits éléments lithiques en matériau identique (fig. 5-26). La zone fut carroyée sur 9 m^2 et fit l'objet d'un seul décapage permettant de confirmer le caractère très limité tant en plan qu'en vertical de cet ensemble. Celui-ci est représenté par seulement trois supports en partie corticaux et tous retouchés. Ces pièces sont issues de 2 blocs différents : l'un est représenté par un éclat cortical retouché en encoche, l'autre par deux racloirs simple ou convergent. Le racloir simple a la particularité d'avoir été recyclé en nucléus sur son lieu de découverte afin de fournir des produits de type pointes pseudo-Levallois au dépend de sa face inférieure (R. 84 - fig. 5-85).

Locus 10 :

Le locus 10 est un amas lithique, très circonscrit dans l'espace (sur un 1/4 de m^2 et deux décapages manuels), découvert en US4b (fig. 5-34).

En l'absence d'élément diagnostic, son attribution chronoculturelle pose problème car sa position stratigraphique semble le rattacher au niveau moustérien principal alors que la présence de petits éléments laminaires pourrait tirer vers le Paléolithique supérieur.

L'assemblage est caractérisé par une soixantaine de petits éléments (hors pièces issues du tamisage) dont la plupart intègre six remontages (R67 à 72) à la dispersion spatiale très limitée (fig. 5-34 et CP16 - fig. 2-17).

Tous les éléments sont en silex campanien local et semblent appartenir à un même bloc d'origine bien que l'analyse technologique met en évidence la présence de modes de production apparemment distincts (fig. 5-101) : un débitage de type laminaire (R71) et un débitage bipolaire/centripète à éclat (R72). Ces séquences peuvent néanmoins être mises en œuvre à partir du même bloc mais à différents moments mais nous n'avons pu assembler les différents remontages effectués pour le confirmer. Il semble qu'une partie de l'assemblage d'origine soit absente (amas incomplet).

Locus 4 :

Ce locus correspond à une petite concentration de pièces essentiellement localisée sur un peu plus de 1 m^2 au niveau de la coupe 12 (fig. 5-29/30). C'est suite à la découverte de plusieurs pièces regroupées à la base de l'UPS4 qu'une dizaine de m^2 fut carroyée dans l'axe de la tranchée 11. La zone fit ensuite l'objet d'un nettoyage général qui se révéla quasi stérile, seul le secteur contenant le mobilier découvert au décapage mécanique, en particulier le carré K6.83, fut fouillé sur plusieurs décapages.

Fouille et tamisage montrèrent que le mobilier était essentiellement présent dans les deux premiers décapages, à la base de l'UPS4 et à son contact avec l'UPS5 (CP10 et 12 - fig. 2-16). Une extension latérale du mobilier en direction de la coupe contiguë nous amena à ouvrir plusieurs sous-carrés lors du décapage de la berme. L'un d'entre eux fit l'objet d'une fouille et d'une colonne granulométrique sur 12 décapages (fig. 5-30 - cf. chap. 4.5) montrant une dilatation prononcée du mobilier, depuis la base de l'UPS4 (gros éléments surtout) jusqu'au sommet de l'UPS5 (fraction fine notamment). Le diagramme des classes dimensionnelles traduit un mobilier en voie de résidualisation.

Les remontages semblent confirmer un positionnement du niveau à la base de l'UPS4 : les remontages 57 et 59 ne concernent que du mobilier issu de cette unité et le remontage 58, plus étoffé, inclus 10 pièces issues de l'UPS4 contre 3 prélevées au contact entre les UPS4 et 5 (cf. CP10 et 12 - fig. 2-16).

Au total, cette concentration spatialement très limitée regroupe une cinquantaine de pièces dont trois remontages (R57 à 59 - fig. 5-96) illustrant l'exploitation partielle ou totale et *in situ* de deux ou trois blocs de silex campanien local.

Le premier est représenté par un nucléus Levallois à débitage récurrent unipolaire (R59), le second par un nucléus Levallois à éclat préférentiel (du moins dans sa phase finale, R57) et le dernier par un éclat cortical débité sur sa face inférieure via une exploitation récurrente centripète (R58). Celui-ci est peut-être repris de la phase de mise en forme du nucléus Levallois mais nous n'avons pu raccorder les deux ensembles. Le reste du mobilier caractéristique comprend deux éclats Levallois et un éclat présentant une fine retouche modifiant légèrement l'angle du tranchant. L'ensemble de ces critères techno-typologique le différencie des locus précédents.

Conclusion

Ces différents locus ont tous en commun d'être spatialement très limités (loc. 9/11 excepté) et d'être peu dilatés, verticalement bien inscrits à la base de l'UPS4. Ils ont tous fait l'objet d'une exploitation sur place de plusieurs blocs (sauf loc. 2 : 1 outil recyclé en nucléus), pour une production de conception discoïde et l'obtention de pointes pseudo-Levallois (sauf loc. 4 Levallois et 10 indéterminé). Ces productions sont toujours associées à la présence de rares éléments retouchés (sauf loc. 2 regroupant essentiellement des pièces retouchées). L'utilisation du silex coniacien, d'origine éloignée, est également un facteur commun aux locus 12bis, 16, 20 et 2.

Hormis entre les locus 9 et 11, contigus, aucune liaison directe entre ces locus n'est avérée mais l'homogénéité et la cohérence technologiques de la plupart de ces ensembles (locus 2, 9, 11, 12bis, 16 et 20) permettent de les rattacher au même techno-complexe, voire à un même groupe.

En dehors de ces concentrations, ce niveau semble plus affecté par des processus post-dépositionnels. En attestent des liaisons entre plusieurs pièces présentes à la base de l'UPS4 et au sommet de l'UPS5. C'est le cas par exemple d'un nucléus sur face inférieure d'éclat tourné vers la production de pointes pseudo-Levallois (R30 - fig. 5-78), de deux fragments d'une pointe Levallois cassée (R43 - fig. 5-104) et d'une séquence de débitage de type discoïde (R12 - fig. 5-84). Tous affichent en plan des liaisons moyennes à très longues.

5.5.2. Les nappes de mobiliers moustériens à l'interface des UPS4 et 5 et au sommet de l'UPS5

Avec plus de 50 % du mobilier rapporté au Paléolithique moyen, l'unité 5 et son interface avec l'unité 4 constitue la couche la plus fournie en vestiges lithiques. Contrairement au mobilier recueilli en UPS4, seul 20 % des vestiges sont ici issus d'une approche manuelle.

Locus 1 :

Ce locus, découvert lors de la réalisation de la tranchée 10 (fig. 5-25/26) a été fouillé manuellement sur environ 10 m^2 sur 1 à 2 décapages. Il concerne une concentration lâche de mobilier (une soixantaine de pièces) verticalement dispersée entre l'interface UPS4/5 et le sommet de l'unité 5 (CP10 - fig. 2-16).

Il s'agit de silex campanien local généralement patinés, dont un 1/3 environ incorpore cinq remontages, d'un outil à retouche convergente et d'un galet de quartz présentant des traces de percussion.

Les trois principaux remontages pourraient appartenir à un même bloc d'origine. Il s'agit d'une séquence de débitage peu élaboré probablement en lien avec la qualité médiocre de cette partie du matériau (R91 - fig. 5-89) et de deux séquences de production de type discoïde incluant deux nucléus, l'un sur bloc (R92 - fig. 5-89), l'autre sur éclat cortical (R46), tous deux pourvoyeurs notamment de produits de type pseudo-Levallois. Leur dispersion verticale montrent que les pièces sont majoritairement positionnées au sommet de l'unité 5 mais avec parfois des liaisons vers le haut et l'interface 4/5 ou exceptionnellement vers le bas et le sommet de l'UPS6.

Deux autres remontages pourraient illustrer le débitage sur place de deux autres blocs : un gros éclat cortical débité sur sa face inférieure puis repris en outil de type racloir (R34) et trois éclats issus d'une séquence de débitage discoïde avec produits à dos (R35 - fig. 5-86). Ces remontages relient des pièces prélevées en UPS5 avec d'autres recueillies en UPS4 ou à l'interface des deux. Leur dispersion en plan est en outre nettement plus forte que les trois remontages précédents.

La dispersion horizontale et verticale du mobilier et des remontages (qui plus est moins fournis) est supérieure à ce qui a été vu sur les locus identifiés à la base de l'UPS4, signes probables de remaniements plus prononcés. Les modes de production identifiés sont en revanche très proches ; ces diverses observa-

tions posent la question d'un éventuel mélange avec le niveau supérieur.

Locus 12 :

Ce locus est contigu au locus 12bis mais est positionné stratigraphiquement plus bas, majoritairement au sommet de l'UPS5 (fig. 5-39 et 5-45 et CP22 - fig. 2-18). Il correspond à environ 8 m² qui ont fait l'objet d'une fouille manuelle rapide et sans carroyage sur deux décapages suivis d'un décapage mécanique.

Le mobilier recueilli est d'environ 70 pièces dont un racloir en silex coniacien avec traces d'utilisation (cf. chap. 5.9.1 et fig. 5-200) et cinq remontages.

Ceux-ci semblent indiquer la présence de trois blocs débités sur place, selon un concept Levallois. Les remontages 73 et 74 concernent des phases de décorticage et/ou mise en place de plan de frappe pouvant probablement être associés au remontage 77, caractérisé par une séquence d'initialisation du débitage à partir de deux pôles opposés (fig. 5-94).

Il est probable que ce mobilier fonctionne avec le remontage 78 qui présente les dernières phases d'exploitation d'un nucléus Levallois récurrent bipolaire (fig. 5-93). Enfin le remontage 76 met en évidence un débitage Levallois récurrent unipolaire tourné vers l'obtention de produits laminaires (fig. 5-95).

La dispersion verticale de ces remontages touche essentiellement à l'unité 5 et à son sommet bien qu'une pièce indique une migration verticale plus forte (jusqu'à l'unité 6). Leur dispersion en plan montre que les liaisons les plus longues sont dans le sens de la pente. Les tests de tamisage ont permis de mettre en évidence une lacune en fraction fine pouvant, à l'image de la dispersion des remontages (CP22 - fig. 2-18), indiquer un état de conservation limité.

La composition technologique de cet ensemble, de conception Levallois, est bien dissociable de ce qui a été décrit précédemment (excepté le locus 4). Sa position stratigraphique nettement plus basse et séparée par une limite sédimentaire nette (CP22 - fig. 2-18), ajouté à l'absence de remontages avec le locus 12bis, concourrent à l'hypothèse de l'existence de deux niveaux biens distincts.

Les locus 5 et 19 (fig. 1-04) :

Ces petits secteurs correspondent à la présence de concentrations très limitées à la fois spatialement et en nombre d'éléments.

Le locus 5 est un regroupement de petits éléments lithiques repéré à l'interface UPS4/5. Un à deux décapages réalisés sur 4 m² ne permirent pas la découverte de pièces véritablement diagnostiques si ce n'est un petit éclat de type Levallois au sommet de l'UPS5.

Le locus 19 correspond à un regroupement de huit pièces intégrant deux remontages appartenant à un seul et même bloc de silex campanien local. Retrouvé sur environ 1 m² au sommet de l'UPS5, ce mobilier illustre des séquences de production d'éclats par débitage facial récurrent unipolaire (R80 - fig. 5-97) ou par débitage unipolaire alternant (R79 - fig. 5-99).

Conclusion

Les locus fouillés en UPS5 se démarquent des précédents par une plus faible densité de mobilier (ou a minima des zones de concentrations moins étendues), des remontages plus partiels et une distribution spatiale plus forte, tant en plan qu'en vertical.

Au sein de cette unité 5, l'activité de production est en revanche toujours dominante, parfois basée sur des schémas de débitage Levallois, polarisés comme en locus 12 ou centripète à l'image de plusieurs remontages (R3 et R27) mais plus fréquemment de type discoïde comme en unité 4 (locus 1 et R4, R10, R11, R15, R17 - fig. 5-87, R54, R55). On remarque également la présence ponctuelle de débitage frontal sur face étroite (R14 - fig. 5-100) ou encore de « type Kombewa » (R25 - fig. 5-83).

L'origine de ces nappes de mobilier semble hétérogène : il semble avéré qu'elles traduisent l'existence d'un véritable niveau au degré de conservation inférieur à celui du dessus, néanmoins, une partie de ce mobilier est probablement issu de ce même niveau supérieur, notamment par migrations verticales en lien avec le réseau de glosses.

5.5.3. Le mobilier moustérien présent à la base de la séquence (UPS5/7, 5/6, 6, 6/7, 7, 11)

Cet ensemble représente un peu plus de 12 % du mobilier moustérien recueilli, au sein duquel nous distinguerons le mobilier du locus 3, essentiellement prélevé manuellement. Le reste fut récolté via un décapage mécanique, hormis quelques exceptions près (rectification de coupe, test manuel ponctuel).

Locus 3 (base UPS5/sommet UPS7) :

Le locus 3 concerne une petite zone au sud-est du locus 9 (fig. 5-27). Il a fourni une concentration de mobilier répartie sur un peu plus de 1 m^2 à la base de l'unité 6 et à son contact avec le sommet de l'UPS7 (fig. 5-27/28 et CP11 - fig. 2-15).

Un peu plus de 80 pièces y ont été récoltées lors de la réalisation de quatre décapages successifs, avec tests de tamisage. Le mobilier, à patine blanche forte, montre une dispersion spatiale très localisée et se dilate sur une dizaine de cm entre l'interface UPS5/7 et le sommet du pavage, de topographie très irrégulière (fig. 5-28).

Sept remontages (R60 à 66) incluant 33 éléments ont pu être effectués. Ils attestent du débitage sur place de deux blocs de silex campanien local selon des schémas opératoires proches, rapportés au concept discoïde.

Les remontages 65 et 66 illustrent l'exploitation en deux temps d'un bloc selon une modalité discoïde unifaciale (fig. 5-90). Seule la dernière phase, après fracturation (volontaire ou accidentelle ?) du nucléus en deux parties, est représentée : les deux fragments sont repris et exploités par des enlèvements centripètes et cordaux unifaciaux.

Les remontages 60 à 64 appartiennent vraisemblablement au même bloc d'origine, bien documenté par le remontage 60, fort de 16 éléments. Les remontages 61 à 64 concernent des éléments partiellement corticaux rapportables aux premières phases d'exploitation du bloc mais qui n'ont pu être assemblés au reste. La première phase de production, bien visible sur le remontage 60, illustre un débitage discoïde par exploitation périphérique d'une face via des enlèvements de direction centripète et cordale (et des plans de détachement sécants) (fig. 5-91). Le débitage se poursuit ensuite sur l'autre face par le biais d'enlèvements plus polarisés et des plans de fracturation subparallèles (fig. 5-92). Le nucléus est retourné une nouvelle fois afin de détacher une série d'enlèvements à partir d'un pôle préférentiel. À ce stade, le nucléus à une morphologie « Levallois ». Le nucléus résiduel est ensuite aménagé par des enlèvements sécants, unifaciaux et latéraux, de sorte à créer des bords formés par de grandes encoches.

L'ensemble du mobilier et des remontages montrent une dispersion spatiale limitée tant en plan qu'en vertical, seule une pièce affiche une liaison sud-nord de plus de trois mètres mais sa position stratigraphique est cohérente avec le reste de l'assemblage (fig. 5-27 et CP11 - fig. 2-15).

Conclusion

Au final, le locus 3 semble correspondre à un reliquat de niveau d'occupation plus ancien, probablement conservé à la faveur d'une petite dépression.

Le reste du mobilier se compose de moins de 140 pièces réparties à différents niveaux du bas de la séquence stratigraphique.

Certains remontages illustrant des liaisons avec des pièces positionnées plus haut en stratigraphie attestent d'une position remaniée de ce mobilier et de son rattachement au second niveau moustérien (sommet UPS5). Le remontage 3 inclut ainsi deux éclats Levallois récurrents centripètes provenant respectivement de l'UP6 et du sommet de l'UPS5. Des liaisons entre les deux unités avaient déjà été évoquées pour le locus 12 (R78) ainsi que pour le locus 1 (R92). Le remontage 24 (fig. 5-98) incorpore quatre pièces à forte dispersion horizontale et positionnées à différents niveaux de l'UPS5, voire en UPS 6 pour une pièce.

Le remontage 36/37 (fig. 5-98) est formé par quatre pièces dont trois prélevées en UPS6, la position de la quatrième n'est pas précise car issue du diagnostic. À l'image du remontage 24 cité plus haut, il atteste d'un mode de production axé sur un débitage unipolaire semi-tournant. C'est aussi essentiellement à la base de la séquence que l'ont trouve les nucléus à éclats et lamelles débités sur leur face étroite (fig. 5-100)

En revanche, le remontage 28 concerne un nucléus discoïde prélevé à l'interface des UPS5 et 6 avec une pointe pseudo-Levallois issue de l'UPS4 ; cet ensemble peut probablement être rapporté au premier niveau moustérien (UPS4).

Hormis pour le locus 3, et au vu des fréquentes liaisons vers le haut de la stratigraphie, les pièces récoltées à la base de la séquence sont donc à mettre en relation avec les niveaux supérieurs.

5.6. La production de pointes pseudo-Levallois à Bois Clair (fig. 5-55 à 5-85) (S. Bernard-Guelle)

5.6.1. Définition et description

Selon la définition de F. Bordes (1961), les pointes pseudo-Levallois (PPSL) se caractérisent par une face supérieure qui présente le plus souvent une seule nervure, résultant de l'intersection de deux enlèvements antérieurs. Cette arête directrice part, en règle générale, de la partie proximo-latérale du dos de l'éclat triangulaire.

Les pointes pseudo-Levallois typiques sont de morphologie courte, triangulaire et de section dissymétrique. Elles sont composées d'un talon, préparé ou non, et de deux bords convergents minces et tranchants opposés à un dos épais. Ce dernier, naturel ou habituellement de débitage, est désaxé par rapport à l'axe de percussion de la pointe et correspond généralement au débordement partiel du plan de frappe dans le cadre d'un débitage Levallois ou d'une autre surface de débitage dans un système discoïde. Ces produits sont désignés dans la littérature sous diverses dénominations : pointes pseudo-Levallois (Bordes, 1961) ou éclats débordants à dos limité (Meignen, 1993).

Les formes atypiques sont nombreuses en raison de leurs morphologies variées (irrégulières, sub-ovalaires, allongées, polygonales…), de la présence d'une plage corticale souvent relictuelle (localisée sur leur face supérieure ou au niveau de leur dos) ou du nombre d'arêtes visibles sur leur face supérieure, voire encore d'une portion de face inférieure sur cette dernière.

Sur le site de Bois-Clair, nous avons classifié et hiérarchisé ces produits en fonction des critères d'observation suivants (cf. fig. 5-54) :

- Type de préparation visible sur la face supérieure, par le biais :

1 : d'enlèvements unipolaires
2 : d'enlèvements bipolaires
3 : d'enlèvements de « type Kombewa »

- Agencement/direction des négatifs visible la face supérieure :

1.1 : dans l'axe du dos (les négatifs correspondent à des enlèvements détachés depuis le futur dos de la pointe)
1.2 : dans l'axe de la pointe (les négatifs correspondent à des enlèvements détachés selon même axe que la future pointe)
2.1 : les enlèvements sont de directions orthogonales avec un négatif partant du dos
2.2 : les enlèvements sont de directions croisées
2.3 : les enlèvements sont de directions opposées
3.1 : reliquat de face inférieure et négatif(s) de direction orthogonale par rapport à l'axe de la pointe
3.2 : reliquat de face inférieure et négatif(s) de direction oblique par rapport à l'axe de la pointe
3.3 : reliquat de face inférieure et négatif(s) de même direction que la pointe
3.4 : autres cas de figure

- Nombre de négatifs visibles sur la face supérieure (enlèvements antérieurs au détachement de la pointe) :

0, 1, 2, 3, 4, 5 et plus

- **Morphologie du produit :**

1 : triangulaire (3 côtés, hors talon)
2 : sub-triangulaire ou à tendance ovalaire
3 : tetragonale (4 côtés, hors talon)
4 : pentagonale (5 côtés, hors talon)

- Présence d'un reliquat cortical :

0 : absence
1 : au niveau du dos
2 : en zone latérale
3 : en zone distale
4 : en zone proximale

- Étendue de la surface naturelle ou de la face d'éclatement de l'éclat support :

1 : relictuelle
2 : < à 50 % de la face supérieure
3 : > à 50 % de la face supérieure
4 : sur l'ensemble de la face supérieure

Selon ces critères, les pointes pseudo-Levallois portent un code à six chiffres correspondant à leur morpho-type ou typologie (*e.g.* 1/2/2/3/3/1 - cf. fig. 5-57/60).

Le nombre de produits décomptés ainsi est de 127 soit 7 % de la série rapportée au Paléolithique moyen, proportion qui passe à 10 % dans le niveau supérieur (UPS4) qui a permis de caractériser leurs modes de production.

La lecture de leurs faces supérieures attestent de préparation de type varié, essentiellement par le biais d'enlèvements unidirectionnels (n = 47, 37 %), bidirectionnels (n= 59, 46,4 %), ou encore au dépend d'une face inférieure d'éclat-support (préparation de « type Kombewa », n = 17, 13,4 %).

Dans le cas d'une préparation par enlèvements unipolaires, celle-ci se fait majoritairement dans l'axe du dos, les enlèvements étant détachés depuis le futur dos de la pointe (n = 38/47). Dans neuf cas seulement, les enlèvements ont la même orientation que l'axe technique de la future pointe. Dans le cadre d'une préparation bipolaire, l'orientation des enlèvements est majoritairement bidirectionnelle orthogonale ou croisée avec au moins un enlèvement partant du futur dos (52/59) ; plus rarement, les enlèvements sont de direction bipolaire opposée. Enfin, lorsqu'un reliquat de face inférieure est encore visible sur la pointe, le(s) négatif(s) d'enlèvement(s) qui lui sont associé(s) sont généralement dans le même axe de la pointe (débitage unipolaire superposé = 7/17), ou de direction orthogonale (5/17) ou oblique (3/17) par rapport à celui-ci.

Le nombre de négatifs visibles en face supérieure varie de 0 pour un exemplaire de « type Kombewa » (0,8 %) à plus de 5 (5 %). Néanmoins, la majorité des pointes ont recoupé deux négatifs d'enlèvements antérieurs (49,2 %), parfois 3 (27,5 %) ou plus rarement un seul (10 %) ou 4 (7,5 %).

La morphologie la plus fréquente correspond au groupe des pointes sub-triangulaires qui sont des produits irréguliers ou à tendance ovalaire (62,2 %) suivi, en proportion similaire, des formes triangulaires (16,8 %) et tetragonales (15,1 %), les pentagonales étant les plus rares (5,9 %).

Une portion corticale est parfois présente au niveau du dos de la pointe (7,3 %) ou sur un bord latéral du produit (4,9 %), plus fréquemment en partie distale (12,5 %). Dans 15 cas, il s'agit d'une infime portion corticale contre 6 cas où la plage corticale est plus prononcée, sans dépasser toutefois les 50 % de la surface du produit, sauf pour un exemplaire.

Le débitage des pointes pseudo-Levallois ne témoigne pas d'un soin particulier apporté à la préparation des plans de frappe. Quand ils sont reconnaissables, les talons sont majoritairement lisses (n = 79, 68,5 %), parfois facettés au sens large (n = 18, 15,8 %), punctiformes (n = 14, 12,3 %), exceptionnellement corticaux (n = 1) ou ôtés (n = 2). Ils sont à plus de 75 % déversés sur la face inférieure du support.

5.6.2. Mode de production

L'ensemble de ces caractéristiques morpho-techniques et, surtout, la présence de remontages quasi-complets permettent de replacer ces pointes pseudo-Levallois au cœur du système de production dont elles sont issues et d'identifier avec précision les différents schémas opératoires mis en œuvre. Ceux-ci reposent sur l'exploitation de volumes (épaisseur du bloc ou de l'éclat) dans lesquels s'inscrivent plusieurs surfaces de débitage adjacentes opposées. Les différentes modalités reconnues et décrites plus bas peuvent en ce sens être rattachées à un débitage de conception discoïde.

Le débitage discoïde se caractérise avant tout par l'exploitation de surfaces non nécessairement hiérarchisées mais qui peuvent successivement ou alternativement servir de plans de frappe ou de surfaces d'extraction des éclats, selon des plans de fracturation sécants ou sub-parallèles au plan d'intersection des deux surfaces, et surtout sans préparation préalable des surfaces débitées (Boëda, 1993, 1995). Les méthodes employées sont généralement centripètes/cordales ou multidirectionnelles, et les produits discoïdes sont le plus souvent de morphologie courte et assez épaisse, triangulaire ou quadrangulaire, présentant une section transversale dissymétrique. Les produits totalement ou partiellement débordants sont ainsi nombreux, notamment les pointes pseudo-Levallois ; leur détachement alterne avec celui d'éclats centripètes (centrés) présentant des négatifs souvent unidirectionnels convergents et parfois un « profil brisé » en raison de leur outrepassement nécessaire à l'auto-entretien de la table de débitage discoïde. Une importante diversité s'observe pour ce mode de production, d'un site à l'autre ou encore au sein d'un même assemblage lithique (*e.g.* Peresani dir., 2003). Elle s'exprime essentiellement dans le nombre de surfaces exploitées (une ou deux, avec ou non hiérarchisation) ou sur les plans de fracturation des enlèvements (sécants ou sub-parallèles) et reflète l'importante flexibilité des schémas opératoires de ce mode de débitage et la faiblesse de ses contraintes techniques.

Au Bois-Clair, quelques pointes pseudo-Levallois sont ainsi issues d'un débitage discoïde, *stricto sensu*, via une gestion périphérique d'une ou de deux surfaces hiérarchisées ou non et par le biais d'une succession d'enlèvements de direction centripète et cordale (**modalité 1**). Les produits obtenus sont « typés » mais diversifiés (R4, R10/11, R12, R15, R17,

R22, R28, R55, R65, R103 et R60 en locus 3), les pointes pseudo-Levallois n'étant pas le produit prioritairement recherché.

En revanche, ces produits sont clairement recherchés dans le cadre des modalités 2 et 3, principalement axées sur l'obtention, parfois en série, de pièces à dos et particulièrement de pointes. **La modalité 2** (fig. 5-55/56) se caractérise par un débitage alternant sur surfaces adjacentes non hiérarchisées qui s'inscrit dans le volume total du bloc et progresse dans l'épaisseur du support. Les différentes surfaces exploitées sont toutes pourvoyeuses de produits à dos et notamment de pointes pseudo-Levallois qui constituent le produit prioritairement recherché. Cette méthode est utilisée sur nodule de silex. La **modalité 3a** (fig. 5-55), qui est une variante de la précédente, se manifeste par un débitage alternant sur surfaces adjacentes cette fois-ci hiérarchisées car les pointes pseudo-Levallois et autres produits débordants sont préférentiellement obtenus au dépend d'une seule surface et d'un seul pôle. La face la plus «plane» est la plus productrice de pointes pseudo-Levallois et la surface opposée est utilisée comme surface de plan de frappe. Cette modalité est mise place sur support peu épais dont des éclats (**modalité 3b** de « type Kombewa » réalisée aux dépens de surface inférieure d'éclat-nucléus - fig. 5-61/62).

Les modalités 2 et 3 peuvent être mise en œuvre successivement sur le même nucléus en fonction du volume utilisable et de son stade d'exploitation.

Nous décrirons plus en détail ces deux modalités particulièrement bien attestées au Bois-Clair :

Modalité 2 (et 3a) : production de PPSL en séries sur blocs

Dans ce système de production, la préparation s'effectue par une alternance d'enlèvements réalisés sur deux surfaces adjacentes afin de créer à la fois une nervure guide et le triangle de base de la future pointe sur une surface (A) et son futur dos sur l'autre surface (B). Sur chaque surface, la tendance générale de l'orientation des ces enlèvements est unipolaire, unipolaire convergente (croisée) voire orthogonale. Les plans de fracturation sont généralement bi-sécants (angle de 70°). Ce type de mise en forme permet généralement une mise en place simultanée sur la surface B des futurs dos et talons de la pointe. Dans le cas où les critères techniques nécessaires au bon détachement de celle-ci n'ont pas été assurés par cette préparation, un ou deux enlèvements réalisés dans la continuité du futur dos permettent de finaliser la mise en place du plan de frappe et de décaler ainsi l'axe de débitage de la future pointe.

Après détachement de la première pointe, plusieurs cas de figures sont illustrés par les remontages :

(1) Le débitage de pointes se poursuit sur la surface A (R33, R35, R47-2, R49, R51-2, R51-3, R56, R81, R83, R92, R93, R110, R94).

- Reprise ou non du plan de frappe et détachement d'une seconde pointe sans réaménagement de la surface. Il faut pour cela que le détachement de la pointe précédente n'ait pas totalement oblitéré les critères de préparation antérieurs et/ou qu'il ait crée une nouvelle nervure guide. L'axe de détachement de la nouvelle pointe peut alors être superposé à celui de la première, dans le cas ou la nervure guide initiale est encore présente ; plus fréquemment, cet axe doit être décalé de façon oblique voire carrément orthogonale à celui de la première afin de profiter de la nervure guide nouvellement créée par celle-ci. La seconde pointe (dite récurrente) porte ainsi en face supérieure le négatif de la précédente pointe.

- Reprise ou non du plan de frappe et réaménagement de la surface 1 avant débitage d'une seconde pointe. La première pointe ayant totalement emporté le triangle de base nécessaire à son détachement, il convient de remettre en place ses critères de prédétermination ; ceux-ci sont effectués de la même façon que précédemment, par une alternance d'enlèvements sur les deux faces ou plus simplement par un seul enlèvement partant du future dos et permettant, grâce à son intersection avec le négatif de la première pointe, de rétablir une nervure guide.

(2) Le débitage de pointes s'étend sur la surface B puis est alternativement mené sur les deux surfaces (R48, R50, R51-1, R98, R102).

Le rôle des surfaces est alors interverti et le nouveau plan de frappe est installé de façon à ce que le négatif de la dernière pointe obtenue devienne une partie au moins du dos de la nouvelle pointe détachée et qu'inversement les enlèvements ayant permis la mise en place du dos et/ou du talon de la première servent maintenant au détachement de la prochaine pointe. Chaque pointe pseudo-Levallois est à la fois prédéterminée par la succession d'enlèvements précédant son détachement et prédéterminante dans la construction de la pointe suivante et de son future dos. Cette construction volumétrique basée sur une rythmicité et une alternance du débitage sur deux faces présente l'algorithme suivant :

1 - préparation de la nervure guide et du triangle de base (surface A)

2 - préparation du dos et simultanément ou successivement du talon (surface B)

2' ou 3 - préparation simultanée ou non du plan de frappe (surface B)

4 - détachement d'une PPSL (surface A)

4' - détachement d'une seconde PPSL (surface A) avec ou sans réaménagement des surfaces

5 - aménagement d'un nouveau plan de frappe (surface A)

6 - détachement d'une nouvelle PPSL (surface B)

7 - aménagement d'un nouveau plan de frappe (surface B)

8 - détachement d'une nouvelle PPSL (surface A)

Le procédé technique peut se répéter autant de fois que possible le long de la charnière du nucléus en progressant par surfaces adjacentes orthogonales. Grâce à cette alternance d'enlèvements ou de séquences d'enlèvements sur 2 surfaces au plan d'intersection sécant voire orthogonal, le débitage peut s'inscrire dans l'épaisseur du bloc ou rognon exploité et ainsi fournir un nombre important de pointes pseudo-Levallois et autres produits débordants.

En fin d'exploitation du bloc, lorsque le volume devient insuffisant pour ce type d'exploitation, le débitage est principalement menée sur une surface préférentielle selon les mêmes principes volumétriques du débitage mis en oeuvre aux dépens des éclats-nucléus (cf. **modalité 3b** *infra*) : le détachement de PPSL (surface A) est précédé et alterne avec des enlèvements d'aménagements de plan de frappe (surface B) et des enlèvements débordants ou parfois centrés sur la surface de débitage (surface A). Le rôle de ces derniers est de permettre la mise en place ou l'entretien des critères prédéterminant la morphologie des pointes. Les enlèvements débordants aménagent les convexités distales ou proximales alors que les enlèvements centrés améliorent les convexités latéro-proximales, voire accentue l'arête directrice.

Modalité 3b : production de PPSL de « type Kombewa » (R30, R46, R47-1, R54, R81-2, R84)

Cette modalité consiste à exploiter alternativement le volume inférieur et l'épaisseur de l'éclat pour produire des pointes pseudo-Levallois. Cette méthode a été identifiée par Laurence Bourguignon à partir du matériel archéologique du site de Champ de Bossuet (Bourguignon et Turq, 2003) et reconnue également par Jean-Philippe Faivre aux Fieux (Faivre, 2008). Nous reprendrons ici, en grande partie, les observations de Laurence Bourguignon.

L'exploitation est menée aux dépens de la surface inférieure de l'éclat-nucléus alors que sa surface supérieure assure essentiellement le rôle de surface de plan de frappe, même si occasionnellement elle produit quelques pointes. La méthode consiste à débiter en face inférieure de l'éclat-nucléus (naturellement convexe) un premier enlèvement débordant (et donc de « type Kombewa »). Le négatif de ce produit laisse sur le nucléus une arête qui servira de guide pour l'obtention de pointes et dessine également le triangle de base déjeté.

Le plan de frappe, réalisé ensuite aux dépens de la surface supérieure de l'éclat-nucléus, est aménagé au coup par coup, en fonction des besoins. Selon l'orientation et le positionnement de la future pointe pseudo-Levallois, le plan de frappe est préparé de sorte à accentuer la limitation du dos de la future pointe en créant une concavité latéro-distale. Une pointe pseudo-Levallois de « type Kombewa » et de première génération peut alors être détachée.

Dans certains cas, une seule nervure, donc un seul enlèvement débordant, prédétermine l'obtention de plusieurs pointes successives sans réaménagements intermédiaires (seconde et troisième génération : R30, R47, R81). Dans ce cas, chaque négatif de pointe pseudo-Levallois de « type Kombewa » s'inscrit totalement dans la future pointe de même type.

Si le premier éclat débordant ne permet pas l'obtention d'une série récurrente de pointes, l'intervention d'un second, voire d'un troisième éclat débordant, est alors nécessaire afin de recréer la nervure guide. Comme le signale L. Bourguignon « on obtient alors une alternance d'enchaînements de gestes identiques à plusieurs reprises durant la production : un débordant, une préparation du plan de frappe de la future pointe et une pointe pseudo-Levallois ». Ce système de production fourni également des éclats de « type Kombewa » qui sont centrés sur la surface du nucleus et qui servent essentiellement à l'aménagement des convexités latéro-proximales. D'autres enlèvements prédéterminants, souvent issus de la préparation des plans de frappe, ont parfois une morphologie de pointe pseudo-Levallois atypiques.

La gestion volumétrique et structurelle de ces modes de production sur blocs et éclats permet l'obtention rapide et planifiée de produits triangulaires à dos. Cette production de pointes s'intègre à une

chaîne opératoire spécifique qui présente une structure ramifiée mais des principes techniques communs. Certains supports issus des premières phases d'exploitation des blocs et, probablement sélectionnés sur critères dimensionnels, sont recyclés en nucléus aux objectifs techniques identiques à ceux réalisés sur blocs. Plus que l'économie de matière première, l'avantage de la modalité kombewa est de permettre une forte économie de débitage en réduisant les phases d'initialisation et de mise en forme. Ce raccourci technique vient en quelque sorte compenser la plus faible productivité de ce type de support. D'après les données archéologiques et surtout expérimentales (Bourguignon et Turq, 2003 ; Brenet *et al.*, 2009), les éclats-nucléus de dimensions moyennes (9 x 7 x 3 cm), fournissent un minimum de trois pointes pseudo-Levallois de « type Kombewa » contre six à sept pour un nucléus sur bloc. Au Bois-Clair, les éclats nucléus sont de dimensions moindres (7 cm de long en moyenne) et fournissent en moyenne deux PPSL et un éclat débordant ; les blocs sont également de dimensions réduites (moyenne approx. 12 x 10 x 9 cm) mais permettent des séquences de production plus longues et l'obtention de six à sept PPSL, souvent accompagnées de plusieurs éclats débordants.

Le remontage 51 illustre un optimum du débitage de pointes pseudo-Levallois (fig. 5-69/71) : l'exploitation d'un rognon oblong régulier d'environ 30 x 9 x 7 cm a en effet fourni un minimum de neuf pointes pseudo-Levallois remontées. Le premier fragment de nucléus, presqu'entièrement remonté, comprend sept de ces produits et le second fragment, incomplet, deux. On peut vraisemblablement envisager une production proche de la douzaine de pointes pseudo-Levallois pour ce bloc de dimension moyenne. Outre cette productivité, la récurrence et la rythmicité des gestes techniques montrent une recherche de standardisation de la production en assurant la mise en place de caractéristiques morpho-fonctionnelles communes : une section asymétrique opposant un dos à deux tranchants convergents. Ces critères semblent primer sur le reste et notamment sur l'aspect dimensionnel plus inféodé aux dimensions du support d'origine. La morphologie du produit peut ainsi sensiblement varier sans pour autant perdre ses caractéristiques premières (fig. 5-57/60, 5-64/68 et 5-105) : PPSL classique (triangulaire, 1 seule nervure en face supérieure), PPSL polygonales (sub-triangulaires, pentagonales, etc., 1 à 3 nervures en face supérieure), PPSL atypiques (avec plage corticale en face supérieure ou au niveau du dos, forme allongée…), PPSL de « type Kombewa » (à tranchant de section bi-convexe). Ces produits standardisés ne sont en outre pas destinés à être retouchés puisque seuls 5 exemplaires (4 %) portent un aménagement postérieur à leur débitage.

5.6.3. Débitage discoïde et pointes pseudo-Levallois : un Moustérien récent (IOS4-3) ?

Au regard des données bibliographiques disponibles, ce type de production est uniquement identifiée en contexte d'industrie discoïde comme à Asprochaliko en Grèce (Boëda, 1997), à Fumane en Italie (Peresani, 1998), à Beauvais (60) (Locht et Swinnen, 1994) ou plus près de nous aux champs de Bossuet (33) et à Combe Grenal (24) (Bourguignon et Turq, 2003) ou aux Fieux (46) (Faivre, 2008). Sur le site belge du Rissori (Adam, 2002), sont signalées plus de 200 pointes pseudo-Levallois mais réparties dans plusieurs niveaux tous rapportés à du Moustérien de faciès Levallois.

À l'échelle régionale, le débitage discoïde associé à une production d'éclats à dos est attesté dans l'abri sous roche de Saint Césaire (17) (Thiébaud *et al.*, 2009) et à La Quina (16) (Park, 2007) dans des niveaux rattachés au Moustérien à denticulés et datés du stade 3. Plusieurs sites de plein air ont également fourni des industries lithiques à débitage discoïde : Au Champ-de-Bossuet (33), daté du stade 4, plusieurs modalités de débitage discoïde sont orientées vers la production de pointes pseudo-Levallois (900 pointes pseudo-Levallois soit 19 % du mobilier) associées à un outillage riche en denticulés (Bourguignon et Turq, 2003). À Camiac (33), rapporté lui aussi au stade 3, l'industrie en silex est marquée par la présence de nucléus exploités selon une méthode discoïde (Lenoir, 1990) et d'un outillage varié. Sur le site de la Mouline, à St-Astier (24) (Folgado et Brenet, 2010), rapporté au stade 3 ou 4, le débitage de type discoïde et unipolaire convergent/sécant fournit une gamme d'outils tranchants variés, dont des pointes pseudo-Levallois. Tel est le cas également sur le site des Forêts, à St-Martin-de-Gurçon (24) daté du stade 5 (Brenet et Folgado, 2003).

5.7. Le mobilier paléolithique supérieur /épipaléolithique : présentation et distribution spatiale (A. Taylor)

5.7.1. Une occupation du Paléolithique supérieur très réduite dans l'espace ? L'extension des locus 0, 9, 11 et 7.

En complément des observations faites au cours du décapage mécanique et de la fouille manuelle des concentrations lithiques, des tests de tamisage ont été menés sur les carrés des trois principaux locus Paléolithique supérieur (fig. 5-126/128). Les tests ont été réalisés par ¼ de m², le choix des secteurs retenus s'effectuant le cas échéant en fonction de la densité du matériel lithique relevé en trois dimensions, soit dans le souci d'obtenir un échantillonnage spatial représentatif de la zone fouillée. L'objectif de ces tests était notamment de préciser l'extension dans l'espace des nappes de mobilier, ainsi que de préciser leur éventuelle dilatation verticale en complément des analyses taphonomiques menées sur les dépôts (étude granulométrique, cf. chap. 4.5).

Ces tests ont notamment concerné les carrés L3 et K3 du locus 0, ce dernier correspondant dans la zone fouillée manuellement à la tête de tranchée de diagnostic Inrap n° 108. La surface décapée manuellement, à raison de 7 à 8 décapages artificiels de 5 cm en moyenne, correspondait à 28 m² au terme de la fouille (altitude 83,20 à 82,80). Elle recouvrait la moitié nord-est de la tranchée 108 (carré K3) et s'étendait au sud (carré L3). Fouillée sur une épaisseur de 35 à 40 cm, la totalité de l'UPS4 a été explorée dans ce secteur, la fouille s'arrêtant au sommet de l'UPS5, en ayant traversé localement des poches d'UPS7 (pavage). Ces tests, bien que ponctuels, permettent cependant de dégager plusieurs tendances fortes dans la répartition spatiale du matériel lithique du locus 0.

Ils ont confirmé tout d'abord la représentation de la fraction fine du débitage dans ce locus, corroborant la bonne conservation relative du matériel déjà soulignée dans le rapport de diagnostic de l'Inrap (potentiel tracéologique et résultats des remontages) (fig. 5-116/122). Ils indiquent ensuite qu'en tête de tranchée 108, la fouille localisée des agents de l'Inrap n'avait pas atteint la fin du niveau d'occupation ou l'avait épargnée (carrés K3 99, K3 98, K3 89, K3 88), et que des densités de matériel lithique similaires restaient à fouiller (fig. 5-52 et 5-126). La fouille du carré L3 a révélé un secteur globalement pauvre en mobilier lithique, réparti en une nappe diffuse sans concentration particulière. On a pu noter à la fouille un fait particulier, probablement trop diffus pour parler de véritable structure (fig. 5-48/49) : la présence de plusieurs galets de grès ferrugineux proches les uns des autres (ainsi qu'un petit bloc de silex aux surfaces gélives, probablement un bloc testé).

Ce secteur de fouille évoquait alors une zone périphérique en relation avec l'espace plus riche en mobilier et plus structuré comprenant la tranchée de diagnostic n° 108. Dans le carré K3, la fouille a exploré en partie la tête de cette tranchée, la zone fouillée manuellement par l'Inrap à son extrémité nord-est. Dans cette partie de la tranchée, les agents avaient pu noter : une localisation préférentielle des nucléus, la présence de petits amas de produits de mise en forme et d'exploitation des volumes, un taux élevé de réussite des remontages de ces produits sur au moins un bloc de matière première (Fourloubey C. *in* Redais dir., 2011). Les tests de tamisage effectués sur 1 m², riches en esquilles et micro-esquilles, y révélaient une bonne conservation de la fraction fine du débitage. La fouille de ce fond de tranchée Inrap est resté globalement pauvre en mobilier lithique, hormis quelques carrés où l'on a pu constater des densités de matériel comparables, voire supérieures, à celles décrites dans le rapport de l'Inrap (carrés K3.89 et K3.99). Dans l'un de ces derniers (K3.99), un véritable petit amas d'éclats de mise en forme a été mis au jour, concentré sur un sous-carré en K3.99b (fig. 5-47 carré K3.99). Plus d'une trentaine d'objets relevés en 3D, auxquels il faut ajouter le matériel récupéré après tamisage, y ont été recueillis. La matière première et la position technologique de ces éléments évoquait l'exploitation d'un même bloc, peut-être à mettre en relation avec l'un des nucléus retrouvés par l'Inrap. L'un de ceux-ci a fait l'objet d'un remontage quasi exhaustif, le nucléus 63 (bloc B) avec un taux de réussite provisoire de 87 %. L'autre n'avait pas fait l'objet de tentative (bloc A, nucléus 64) et pouvait alors correspondre en partie à l'amas de produits de taille concentrés en K3.99b, localisé à proximité immédiate de ces 2 nucléus stockés en tête de tranchée 108 (ce que les remontages ont partiellement confirmé, plusieurs produits en K3.99b intégrant les remontages des blocs A et B de l'Inrap cf. chap. 5.7.2). Notons qu'en L3.16, L3.17, L3.06 et L3.07, K3.97, la fouille Inrap avait atteint ou traversé le niveau paléolithique supérieur, perturbant ainsi la vision globale de la densité réelle du mobilier dans ce secteur.

La dispersion verticale du matériel s'étend sur une bonne quinzaine de cm, correspondant globalement aux décapages 3, 4 et 5 en L3 et K3. Le décapage 2 du secteur de fouille manuelle de l'Inrap en tête de tranchée (sur 4 décapages au final), dont le relevé planimétrique est donné comme représentatif du sol d'occupation, doit correspondre peu ou prou à nos décapages 4 et 5 (les plus riches dans les tests de tamisage, fig. 5-126). En effet, lors de la fouille du carré K3, l'interface entre l'UPS4 et l'UPS5 apparaît à l'altitude 82,80 m environ, soit l'équivalent des décapages 7/8. La projection du mobilier relevé à proximité de ces coupes en K3 indique que l'essentiel du mobilier s'organise autour de la ligne d'altitude 83 m (plus ou moins 5 cm), soit autour de la fin du décapage 4 (cf. coupes 31 et 05 - fig. 2-14 et 2-18). En L3, c'est ce décapage qui a justifié une série de photos zénithales avant relevé du mobilier, et lors des tests de tamisage, c'est encore lui qui a fourni les résultats les plus conséquents (avec les décapages 3 et 5). En K3.99b, c'est encore dans ce décapage qu'est apparu le véritable premier amas de débitage du locus 00 (altitude 83,02 en moyenne en fin de décapage 4 (fig. 5-52). Dans la zone profonde de la fouille Inrap de la tranchée, c'est manifestement à cette altitude que le mobilier a été prélevé également (cf. altitude supérieure des carrés L3.17, L3.07, et K3.97), notamment les deux amas de débitage signalés dans le rapport de diagnostic.

À l'issue de la fouille du locus, les données de terrain évoquaient ainsi une concentration du mobilier lithique à l'extrémité nord-est de la tranchée 108, une possible zone d'activité centrale cernée d'un espace plus périphérique où se distribuait de façon plus lâche et moins structurée un mobilier plus diffus. En effet, sur la surface du carré L3 attenante à la tranchée 108 fouillée manuellement au sud, à laquelle il faut probablement ajouter la surface de la berme centrale (située entre la zone A Est et la zone B) et d'une partie de la zone B (nord-ouest), la succession de décapages mécaniques fins et de rasettages extensifs n'a révéler qu'un épandage plus ou moins diffus de mobilier lithique. Au nord de la tranchée 108, les décapages fins à la pelle mécanique menés au-delà des carrés fouillés manuellement en K3 se sont révélés très pauvres en mobilier, renforçant cette impression d'espace périphérique à la tranchée 108. Par la suite, la reprise à la pelle mécanique du décapage au sud des carrés L3 fouillées manuellement n'a quasiment livré aucun mobilier lithique en dépit de la prudence et de l'attention portées à cette tâche, soutenant encore l'hypothèse de l'extension réduite de l'occupation au sud et à l'est de la tranchée n° 108.

Deux locus supplémentaires ont été carroyés et explorés en fouille manuelle avec tests de tamisage ponctuels associés dans cet espace au nord-est de la tranchée 108 : le locus 6 et le locus 9 (fig. 1-04). Le premier s'est révélé être un amas constitué d'un bloc de silex fortement affecté par le gel (fig. 5-31) où les produits de taille semblent très rares ou absents. Ce bloc, de morphologie globalement quadrangulaire (28 x 25 x 16 cm), fait 7,7 kg et a été récolté en une cinquantaine de fragments. Il témoigne vraisemblablement d'une pratique de mise en réserve ou de mise à l'écart d'une matière impropre au débitage. La proximité relative de plusieurs objets dans cette zone a mené par la suite à l'ouverture du locus 9 (carrés L4.38 et L4.39 notamment), révélant un mobilier plus riche.

Ce locus a été exploré sur plus de 25 m² à raison de 6 décapages de 5 cm (altitude 83,10 à 82,80), sur toute l'épaisseur de l'UPS4. La fouille s'est déroulée autour des carrés L4.38, L4. 39, L4.48 et L4.49, plus denses en mobilier, avant de s'étendre vers le nord au-delà des carrés L4.28 et L4.29. Les tests de tamisage menés sur les carrés du locus, se révèlent dans l'ensemble positifs mais sont plus riches en L4.17 et 18, L4.27 et 28 et L4.38 (décapages 2, 3 et 4 notamment fig. 5-48 et 5-127). La distribution de la fraction fine correspond à celle de la fraction grossière, avec une dispersion verticale du mobilier sur une quinzaine ou vingtaine de cm (fig. 5-109/122). Dans l'ensemble le mobilier recueilli reste peu laminaire, probablement constitué essentiellement de produits de mise en forme et/ou d'entretien. Une exception notable est à signaler : la découverte d'une pointe à dos courbe (n° 2450 - fig. 5-149) au cœur du locus 9 (élancée, dos arquée, pas de retouche hormis le façonnage du dos, sur petite lame) lors des premiers rasettages de la zone. Légèrement plus haute (altitude 83,16 m), cette pièce dénote avec l'attribution chrono-culturelle avancée dans le rapport de diagnostic, à savoir une occupation du Magdalénien inférieur. Ces objets sont d'ordinaire associés à des industries de la fin du Magdalénien supérieur, voir post-magdaléniennes. Nous verrons plus loin qu'une fréquentation du site du Bois-Clair durant l'Epipaléolithique semble suggérée par quelques autres locus localisés plus au nord de l'emprise de fouille.

Au nord-ouest du locus 9, après un second rasettage extensif et un nouveau décapage fin à la pelle mécanique, le locus 11 a été carroyé sur 25 m². Ce dernier décapage mécanique avait notamment mis au jour au sein d'un épandage de mobilier très diffus un grand nucléus à lames accompagné de frag-

ments de produits laminaires (carrés K4.95 et K4.85 fig. 5-50), ainsi que deux autres petits secteurs qui semblaient plus riches en mobilier (intersection des carrés K4.82, K4.72, K4.83, K4.73 et des carrés K4.64, K4.54, K4.65 et K4.55). La fouille manuelle s'est alors concentrée sur ces secteurs, sur 4 décapages de pauvreté croissante (altitude 83,15 à 82, 95) avant d'être abandonnée (fig. 5-128 et fig. 5-109/115).

Enfin, au sud-est du locus 9, a été découvert un locus très réduit, le locus 7, ouvert sur 7 m² après un premier nettoyage (décapage 1). Une concentration relative de mobilier lithique était alors apparue, essentiellement sur un carré (M5.18). Ce dernier a alors été exploré par ¼ de m², les autres carrés environnants étant alors fouillés par m². Les tests de tamisage se sont essentiellement concentrés et de façon plus systématique sur le carré M5.18. On peut souligner la présence notable d'esquilles et micro-esquilles dans les deux premiers décapages, leur présence chutant brutalement dans le troisième et dernier décapage, pour lequel la fouille et les tests de tamisage n'ont concerné que le carré M5.18, l'absence de mobilier dans les carrés alentours ne le justifiant pas (fig. 5-129). Des éléments laminaires de type Paléolithique supérieur (lame courte corticale à talon lisse abrasé cf. fig. 5-184, n°1940 et 1931 notamment) y ont été retrouvés au sein de grands éclats semi-corticaux à talon lisse ou dièdre (percussion dure). Par la suite, la reprise à la pelle mécanique du locus 7 a livré notamment une belle lame remontant sur plusieurs produits laminaires semi-corticaux retrouvés lors de la fouille manuelle du locus. Ce remontage (remontage 112 : 6 produits - fig. 5-84) indiquent la présence d'une courte séquence de mise en forme d'un bloc à vocation laminaire.

La reprise à la pelle mécanique de la berme restante au sud du locus 9 (carrés L4.58 et L4.59 et au-delà) et au nord du locus 11 n'a pratiquement pas livré de mobilier lithique susceptible d'appartenir à une occupation du Paléolithique supérieur. Hormis la découverte du locus 7 (fig. 5-32), où plusieurs lames présentaient des caractéristiques Paléolithique supérieur, les résultats essentiellement négatifs des décapages mécaniques semblent soutenir l'hypothèse d'une extension réduite de ces occupations, concentrées sur une petite butte dominant encore actuellement le paysage environnant. Dans le cadre de cette hypothèse, il est alors impératif de préciser quelles peuvent être les relations entre les locus 0 et 9, bien plus riches que le locus 11 dont la cohérence technologique avec les premiers doit être discutée à la lumière de la distribution spatiale du mobilier, et notamment des remontages (indices de contact avec des industries du Paléolithique moyen et de l'Epipaléolithique).

5.7.2. Distribution spatiale du mobilier et des remontages

Circulation latérale du mobilier : extension et relation entre les locus paléolithique supérieur.

La projection en plan de plusieurs remontages nous éclaire sur les relations que pouvaient entretenir des locus proches, tels que les locus 0 et 9 (fig. 5-52). Ces derniers concentrent en effet la plupart des vestiges attribuables au Paléolithique supérieur, ainsi que les remontages de bloc les plus complets (remontages 126, 127, 134 et 137), tous à vocation laminaire.

Si les remontages 126 et 134 restent plus concentrés dans l'espace, respectivement au sein des locus 9 et 0, la dispersion des remontages 127 et 137 est plus importante, indiquant que certains contacts ont pu avoir lieu entre les locus 0, 9 et 11. On a ainsi pu retrouver quelques produits provenant de la mise en forme du bloc constituant le remontage 127 (éclats de mise en forme et d'entretien des convexités) dans le locus 9 (carré L4.08) alors que l'essentiel du remontage ainsi que le nucléus ont été abandonnés à plus de 7 mètres de là dans le locus 0 (carrés K3.89, K3.99 et K3.100 pour les plus riches). Le bloc représenté par le remontage 137 se disperse en marge du locus 9, du locus 11 (abandon du nucléus, carrés K4.85/95) au locus 9 (sous-produits et produits du débitage, carrés L4.27, L4.28 et L4.38 pour l'essentiel) sur une distance de 4-5 mètres dans un axe nord-ouest/sud-est. Une pièce a été retrouvée plus au nord du carroyage du locus 9, à une distance de plus de 7 mètres de la plupart des éclats et fragments de lames provenant de ce bloc (raccord de fracture).

Plusieurs séquences de remontages plus courtes ont pu être appariées, en prenant en compte la proximité de teintes, textures et patine de leurs matériaux. Ces premières impressions visuelles ont par la suite été confirmées par l'examen pétrographique de ces matériaux (cf. chap. 5.3). Ces remontages témoignent du débitage d'autres blocs qui indiquent également des liens supplémentaires entre ces locus, comme par exemple les séquences 140 et 143, provenant de deux blocs d'un silex similaire à celui du remontage 137 et mettant en relation les locus 0 et 11 avec le locus 9.

La projection des remontages indiquerait ainsi l'existence d'une occupation du Paléolithique supérieur s'étendant sur les locus 0, 9 et 11, sur une surface d'au moins 180 m².

Déplacement vertical du mobilier : intégrité des nappes de vestiges lithiques du Paléolithique supérieur.

La question du déplacement vertical du mobilier s'est rapidement posée en début de fouille du locus 0, des pièces moustériennes ayant été ponctuellement retrouvées sous le mobilier paléolithique supérieur, voir en contact avec lui.

Il s'agit notamment de deux racloirs sur éclat dont un en silex santonien proche du type grain de mil (n° 1547, L3.19 décapage 5, altitude 82,99 m ; n° 1907, K3.98b, décapage 5 équivalent 7, UPS4/ Pavage, altitude 83,1 m), d'un nucléus à éclats de type Levallois (n° 1873, K3.99c, décapage 3 équivalent 5, altitude 82,94 m, une pièce ovalaire sur champ donc plus basse à plat), ainsi que d'une lame moustérienne (n° 2109 en K3.87c, décapage 7 équivalent 5, altitude 82,98 m).

Rappelons que le sommet de l'UPS5 a été atteint sur toute la surface fouillée du locus 0 (décapages 6/7) et que des remontées du pavage graveleux de l'UPS7 sous forme de poches ont également été observées en fond de décapage. Un contact ponctuel entre les niveaux d'occupations paléolithique supérieur et moustérien à la base de l'UPS4 peut ainsi s'expliquer par ces remontées d'UPS inférieures. À ce titre il faut probablement réexaminer l'hypothèse du recyclage d'un casson moustérien comme support du nucléus n° 40 (bloc C) du rapport de diagnostic. Si son altitude correspond à celle de nos décapages 6/7, et qu'une double patine de la pièce n'est pas évidente, elle est probablement étrangère à l'occupation Paléolithique supérieure.

Les densités de mobilier restituées par décapage (fractions grossière et fine correspondant au mobilier topographié et aux résultats des tests de tamisage) indiquent une distribution verticale du mobilier entre 83,10 et 82,85 m pour l'essentiel (fig. 5-109/122), les décapages manuels les plus riches se situant entre 83,05 et 82,95 m (locus 0 et 9 notamment - fig. 5-123/125). Les densités en plan des fractions grossière et fine correspondent d'un décapage à l'autre, la nappe de vestiges apparaissant et disparaissant plus haut sur le locus 11 que sur les locus 0 et 9 de part et d'autre. Deux coupes ont fait l'objet d'une projection du matériel (CP31 - fig. 2-18 et CP05 - fig. 2-14), l'une située entre les locus 0 et 11 suivant l'axe nord-sud (CP05 - fig. 2-14), l'autre traversant les trois locus suivant un axe ouest-est (CP31 - fig. 2-18). Elles mettent en évidence le contact occasionnel du mobilier lithique Paléolithique moyen et supérieur, nous obligeant à conserver un ensemble de pièces attribuées à un paléolithique indéterminé notamment pour les décapages profonds. Les deux coupes permettent cependant de suivre une nappe de vestiges Paléolithique moyen plus diffuse, parfois en contact selon les secteurs avec une nappe d'objets Paléolithique supérieur plus dense (locus 0 et 9). La pauvreté relative du locus 11 est flagrante, ainsi que la position plus haute des nappes de vestiges dans ce secteur, la topographie évoquant une légère butte cernée par les locus 0 et 9 plus bas (CP31 - fig. 2-18).

5.8. Etude des industries lithiques « paléolithique supérieur » de l'UPS4 (A. Taylor)

5.8.1. Présentation des ensembles lithiques

Au cours d'un décapage mécanique soigneux et prudent puis d'une fouille en plan carroyé (maillage métrique), plusieurs concentrations d'éléments lithiques ou « locus » attribuables au Paléolithique supérieur ont ainsi été mis au jour (fig. 4-1 et 5-52).

Il s'agit notamment :

- du locus 0, organisé autour de l'extrémité nord-est de la tranchée de diagnostic Inrap n° 108 (Zone A, carrés L3 et K3) qui avait fourni l'essentiel du mobilier lithique attribuable à cette période (cf. Redais, 2011), ouvert et fouillé manuellement sur 28 m² sur toute l'épaisseur de l'UPS4 jusqu'au sommet de l'UPS5 (7 à 8 décapages de 5 cm) ;
- du locus 9, carroyé et fouillé sur plus de 25 m² (6 décapages) après qu'une succession de décapages mécaniques fins et de rasettages extensifs ait révélé la présence diffuse de mobilier lithique, dont notamment une pointe à dos arqué, en bordure de la zone B, au sud-ouest de la tranchée de diagnostic Inrap n° 100 (carré K4 et L4) ;
- du locus 11, situé entre ces deux précédents locus, prudemment exploré par décapages mécaniques fins et rasettages successifs avant d'être fouillé sur un peu plus de 25 m² (zone A, carré K4, 4 décapages).

Ces trois locus ont fourni l'essentiel du mobilier lithique attribuable au Paléolithique supérieur. Il

faut y ajouter le locus 7, petite concentration lithique explorée manuellement sur quelques décapages (2 à 3 selon la richesse des carrés) sur 7 m² environ, située au sud de la tranchée Inrap n° 100. Ces ensembles restent modestes, comptant moins d'un millier de pièces enregistrées à la fouille, auxquelles il faut ajouter quelques 3000 fragments d'éclats, esquilles (5 à 2 mm) et micro-esquilles (< 2 mm) récoltés au tamisage (fig. 5-130).

Surtout composées d'éclats et fragments d'éclats, les séries lithiques comprennent également des fragments de lames ainsi que de rares témoignages d'un débitage lamellaire (quelques fragments de lamelles - fig. 5-130). Une patine blanche à jaunâtre affectent la plupart des objets retrouvés, parfois nettement polarisée, tandis que leur tranchant reste dans l'essentiel relativement frais, en dépit des dégâts occasionnés par le gel dont témoigne l'indétermination d'un nombre important de fragments d'objets lithiques (31, 24 et 41 % des objets enregistrés à la fouille des locus 0, 9 et 11, fragments de supports indéterminés et éclats de gel confondus - fig. 5-131/132), ainsi que l'état de surface de nombreux objets (cf. la face exposée du nucléus laminaire retrouvé en locus 11 - fig. 5-50).

Trois autres locus seront concernés par cette étude, les locus 13, 14 et 15. Situées plus au nord des précédents locus, à divers degrés d'enfouissement au sein de l'UPS4, certaines de ces petites concentrations lithiques (respectivement fouillées sur 5, 2, et 4 m²) se démarquent cependant par leurs techniques de taille du silex et leurs objectifs, comme nous le verrons plus loin.

Nous présentons dans les tableaux ci-après un décompte général de ces différents ensembles lithiques, qui restent une fois encore d'effectifs très réduits, même augmentés du matériel récoltés à l'issue du tamisage (fig. 5-133). En apparence bien moins affectés par le gel (pas de surfaces d'éclatement gélives évidentes), les objets présentent une patine légère, blanche pour les locus 13 et 14, plutôt jaunâtre pour le locus 15, les bords des éclats restant très frais.

5.8.2. Approche qualitative : remontages et chaînes opératoires

On note une certaine proximité technologique entre locus voisins, les résultats très positifs obtenus lors des tests de remontage permettant de cerner les grands principes volumétriques communs, tout en suivant les variations de méthodes d'un bloc à l'autre. Cette proximité se vérifie notamment entre les locus 0, 9 et 11, où se développe essentiellement une activité de débitage laminaire sur grands rognons allongés d'affinité Paléolithique supérieur récent. Cinq grands blocs ont notamment pu être en grande partie remontés au sein de ces locus (cf. fig. 5-52).

Locus 0 :

Nos propres remontages sont venus compléter ceux déjà réalisés en partie dans le cadre de la rédaction du rapport de diagnostic de l'Inrap (cf. Fourloubey *in* Redais dir., 2011).

Deux grands rognons allongés de section ovalaire ont ainsi pu être reconstruits. Il s'agit d'un nucléus à grandes lames partiellement débité (remontages 127 à 133, bloc 64 de l'Inrap), et d'une ébauche qui a été rapidement abandonnée par le tailleur (remontages 134, bloc 63 de l'Inrap) (fig. 5-52). Les deux blocs ainsi que leurs produits respectifs ont été fortement affectés par le gel après leur abandon, alors qu'ils étaient probablement de mauvaise qualité et partiellement diaclasés à l'origine avant même d'être collectés (ayant déjà subis en partie le gel ?).

L'exploitation de ces deux blocs met en œuvre un débitage frontal unipolaire convergent de grandes lames étroites et courbes, détachées sur une table étroite au fort cintre latéral et resserrée en partie inférieure du bloc (aménagement d'une crête basale). Cette surface de débitage est installée dans sa plus grande dimension, à l'issue d'une mise en forme élaborée cintrant et carénant le volume au moyen de crêtes antérieure et postéro-latérales ou postérieures.

Le détachement des produits laminaires s'y effectue par percussion tendre organique suivant un mouvement tangentiel. Les lames présentent un talon lisse abrasé avec une lèvre développée, conséquence d'une gestuelle d'accroche de la corniche des nucléus par le percuteur provoquant l'arrachement de la matière, mais le soin accordé à leur préparation peut aller jusqu'au façonnage d'un éperon pour les produits de mise en forme ou d'entretien stratégiques (fig. 5-134).

Le débitage reste limité sur un de ces blocs (nucléus 64/matrice A, silex F550, bloc 2 de l'analyse pétrographique), probablement contraint par la mise en forme d'une crête antérieure délicate à mettre en œuvre et à entretenir sur une surface relativement large et partiellement néocorticale, que la mise en forme peine à rétrécir par l'amincissement

des flancs (remontage 127). L'aménagement d'une crête postérieure sur la surface dorsale corticale large, irrégulière, et constellée de dépressions profondes du nucléus, n'est manifestement pas parvenu à ménager suffisamment de solutions pour intervenir de façon efficace sur ses flancs également. L'exploitation de la surface de débitage se limite par la suite au détachement de quelques produits laminaires plus réguliers, mais sans doute relativement courts au vu de la longueur potentielle de la surface de débitage. Leur nombre reste probablement très limité, considérant le fait que les fragments de produits laminaires qui peuvent être associés à ce remontage sont essentiellement des produits de mise en forme et d'entretien de la surface de débitage (fig. 5-152/158 et 5-135).

Le second bloc (nucléus 63/matrice B, silex F550, bloc 5 de l'analyse pétrographique) a été quant à lui abandonné au simple stade d'ébauche ou d'un débitage très limité, en ce qui concerne la production de supports laminaires utiles en tout cas (remontage 134/remontage Matrice B Inrap).

On note une mise en forme laborieuse du volume, notamment dans le décorticage de la surface de débitage et l'implantation d'une crête antérieure suffisamment carénée sur toute la longueur potentielle du bloc sélectionné, qui reste très sommaire et peu effective quant à l'obtention des convexités souhaitées. Un important effort de mise en forme a alors été consacré à la réduction de la partie inférieure du volume pour obtenir le cintre et la carène voulus, notamment en intervenant sur le flanc droit, sans que l'amincissement du volume soit satisfaisant. Une partie importante de la base du nucléus, trop large et peu convexe, est volontairement supprimée, réduisant fortement la longueur potentielle de la table laminaire dans l'intention de refaçonner la crête antérieure et d'améliorer la carène. Là encore cependant la surface conserve une saillie anguleuse qui s'accroît avec une entame de surface de débitage qui tend à se redresser et se raccourcir, sans parvenir à ce que les premiers enlèvements laminaires puissent dépasser cette saillie et exploiter toute la longueur potentielle de la table. Plusieurs néocrêtes partielles, ainsi que des enlèvements de réfection obliques et convergents sont détachés en bordure de table, afin d'améliorer ses convexités.

Le nucléus est abandonné très vite après cette ébauche de surface de débitage laminaire qui reste courte, alors que le dos reste très plat et cortical, à peine modifié par des embryons de crêtes postéro-latérales très rudimentaires qui ne présageaient pas de possibilités d'interventions efficaces sur les flancs du nucléus. Ce sont d'ailleurs probablement les difficultés d'aménagement de ces crêtes qui ont motivé le long travail de mise en forme et de réfection de la crête antérieure, ainsi que de carénage/cintrage de la partie inférieure du volume (fig. 5-166/176 et 5-135).

Locus 9 :

Les remontages effectués dans ce secteur de fouille ont permis de reconstituer la préparation d'une grande préforme de nucléus de conception volumétrique similaire aux blocs du locus 0 (remontage 126, silex F550, bloc 7 de l'analyse pétrographique).

La section du bloc est plus triédrique cependant, avec l'aménagement d'une crête antérieure et de deux crêtes postéro-latérales. Le volume exploité est un grand rognon allongé de mauvaise qualité présentant de nombreuses diaclases et d'importantes inclusions plus grenues ou cristallisées. La préparation de ce bloc témoigne d'un investissement important sur la mise en place d'une carène régulière, avec le façonnage d'une crête antérieure se prolongeant jusqu'à la base du volume, orienté dans sa longueur, ainsi que de crêtes post-latérales permettant de décortiquer et d'amincir les flancs.

On note un important travail de mise en forme du dos du nucléus, lié à la présence de silex grenu et de vacuoles cristallisées sur le bloc. Plusieurs très grands éclats épais de cintrage/mise en forme, percutés à partir des flancs du nucléus, sont tentés à plusieurs reprises. Le dernier occasionne un accident rédhibitoire pour la poursuite du débitage, fracturant le bloc dans sa largeur. Il en résulte la perte de plus de la moitié de la longueur de la future surface de débitage, alors que la surface de plan de frappe n'était qu'à peine ébauchée. Encore une fois, le choix d'un mauvais matériau de départ, probablement local étant données les dimensions et la qualité du silex, est la cause d'une mise en forme ardue propice aux accidents remettant en cause ses objectifs initiaux : conserver une face longue et étroite à exploiter de façon unipolaire. Le bloc est abandonné sans avoir produit la moindre lame (fig. 5-159/165, 5-135 et 5-52).

Plusieurs courtes séquences de débitage sur table laminaire (remontages 139 à 142), ainsi que des produits laminaires isolés, notamment de larges voire de très larges lames épaisses (produits de mise en forme et d'entretien partiellement corticaux, 4 à 6 cm de largeur, 1 à 2 cm d'épaisseur), légèrement courbes, témoignent du débitage unipolaire conver-

gent ou bipolaire à plans de frappe hiérarchisés (courbure légère des produits) d'un second grand bloc allongé (silex F550, bloc 3b de l'analyse pétrographique). La matière première exploitée, de bien meilleure qualité est similaire à celle du beau nucléus retrouvé en locus 11 (remontage 137, silex F550, bloc 3a de l'analyse pétrographique). Le remontage de ce dernier se partage entre les deux locus, mais les dimensions des supports recherchés, en apparence plus réduites, s'opposent à celles de ces produits laminaires isolés qui pourraient alors appartenir à une phase moins avancée du plein débitage d'un autre bloc (fig. 5-140 et 5-52). En effet selon l'analyse pétrographique, deux, voire trois courtes séquences de ravivage de plan de frappe, qui ne sont pas compatibles avec le remontage du bloc du locus 11, doivent leur être associées, tout comme une séquence de décorticage/cintrage d'un flanc de nucléus (remontages 138 et 143 à 145, silex F550, bloc 3b de l'analyse pétrographique).

Le nucléus qui pourrait correspondre à ce second grand bloc est absent de la zone fouillée, tout comme les produits laminaires réguliers de première intention. Cette matière contraste fortement avec les matériaux de mauvaise voire très mauvaise qualité exploités par ailleurs (locus 0).

D'autres produits laminaires réguliers de plein débitage, manifestement importés, quoique fragmentés, sont également cohérents technologiquement avec le débitage laminaire du locus 0. La matière première de bonne qualité se prête alors à un débitage unipolaire de belles lames régulières, parfois très larges (silex F554, origine et formation encore inconnues). Ces produits sont tous retouchés (grattoirs et burins sur lame retouchées, lame tronquée, fortement fragmentés, fig. 5-151), ce qui est exceptionnel au sein des locus de type Paléolithique supérieur explorés à la fouille, un tel regroupement n'existant que dans le locus 9.

Locus 11 :

Un beau nucléus laminaire, exploitant un grand rognon allongé a pu y être remonté (fig. 5-177). Le bloc, d'un silex homogène de bonne qualité, y a été fortement affecté par le gel sur sa face exposée (patine et gélifraction polarisées), de nombreux cassons de gel n'ayant pas pu être replacés sur le bloc (remontage 137, silex F550, bloc 3a de l'analyse pétrographique).

La phase de décorticage/mise en forme a suffisamment pu être reconstruite pour apprécier la forme originelle du bloc, ainsi que les principes organisant la réduction du volume. Le débitage progresse de façon unipolaire, frontale et convergente, produisant de longues lames légères. Leur détachement s'opère par percussion tendre organique tangentielle. Les talons sont lisses et systématiquement abrasés, on note encore une préparation en éperon des talons des produits d'entretien stratégiques.

La mise en forme est élaborée, s'articulant autour de l'installation d'une première crête antérieure et d'une seconde crête postérieure. L'exploitation du bloc progresse sur une face étroite, dans la longueur du volume. Au cours du débitage, de strictement postérieure, la crête devient postéro-latérale (décalage vers le flanc droit) alors que le débitage, d'une entame de table et probablement d'une première phase de débitage/mise en forme frontale, devient frontal décalé, le débitage investissant fortement le flanc droit initial, alors que le flanc gauche reste en grande partie épargné. Cette première phase très frontale du débitage de la table et la ou les premières crêtes n'ont pu être remontées sur le bloc.

On peut également noter la quasi absence de produits de plein débitage réguliers au sein de ce remontage (une seule lame). Ce sont essentiellement quelques produits laminaires latéraux d'entretien encadrant la surface de débitage qui ont été retrouvés, empêchant de lire le rythme exacte du débitage des produits laminaires recherchés, ainsi que de cette progression latérale du débitage. L'exploitation du bloc s'interrompt sur une série d'enlèvements d'intention laminaire réfléchis, endommageant une table déjà raccourcie par un débitage de lames qui semble avoir été bien plus fructueux que celui des blocs retrouvés dans les locus 0 et 9. La qualité supérieure du silex n'y est certainement pas étrangère, participant indéniablement au succès de la mise en forme puis d'une exploitation poussée du volume (fig. 5-177/183 et 5-135).

Locus 7 :

Trois remontages, associés par l'analyse pétrographique, y sont particulièrement intéressants (remontages 111 à 113, silex F550, bloc 65 de l'analyse pétrographique).

Les remontages 111 et 112 mettent en effet en jeu plusieurs supports laminaires, provenant d'une table au cintre élargi et exploitée de façon unipolaire. Le premier d'entre eux témoigne vraisemblablement du début de la phase de plein débitage d'un bloc, avec l'association de deux fragments mésio-distaux de lames de flanc, dépourvue ou faiblement corticale. Le second, plus important, présente une série

de lames semi-corticales associées à une néocrête partielle (fig. 5-184). Les talons de ces lames témoignent de l'abrasion systématique de la corniche du nucléus, une lèvre développée et des préparations en éperon indiquant une percussion tendre organique tangentielle et l'appartenance probable de cet ensemble au Paléolithique supérieur.

Ces trois remontages ont été retrouvés associés au sein du même carré de fouille (M5.18), témoignant de l'exploitation d'un bloc à vocation laminaire (fig. 5-32). Ce locus de quelques mètres carrés reste totalement isolé à plusieurs dizaines de mètre au sud-est des précédents locus, et la relation exacte qu'il entretient avec eux reste malheureusement obscure. La présence à proximité de ces pièces d'éclats épais semi-corticaux ou non, et pour certain évoquant le Paléolithique moyen (éclat de type Levallois au sein de pièces isolées, remontages 114 à 116), contribue encore à isoler un peu plus ce locus.

Trois autres locus de fouille, spatialement réduits, témoignent de productions lamino-lamellaires (locus 13, 14 et 15). Ils ont été découverts dans une position stratigraphique proche de celle des locus examinés précédemment, au sein d'une séquence néanmoins plus dilatée (CP16 et 19 - fig. 2-17). Pourtant, on note des différences marquées dans les objectifs et procédés de débitage lamino-lamellaire dont ils témoignent.

Locus 13 :

Deux petits blocs de silex noir au cortex fin et roulé y ont été débités, documentés par trois remontages rapprochés sur des critères de proximité de texture, de nuance de la matière et d'aspect du cortex (silex F555 : bloc 10 cf. remontages 117 et 118 ; bloc 10b cf. remontage 119 - fig. 5-35 et 5-185/187).

Les remontages 117 et 118 se composent d'éclats laminaires semi-corticaux et de produits à crête ou sous-crête. Ils témoignent de la mise en forme et de l'entretien unipolaire convergent d'une table courte plutôt rectiligne. Ces remontages présentent donc une certaine cohérence technologique avec le remontage 119, un petit bloc à vocation lamellaire exploité de façon bipolaire par courtes séquences juxtaposées alternant rapidement d'un plan de frappe opposé à l'autre (auto-entretien des surfaces de débitage). Cette alternance entraîne la réorientation partielle ou totale des plans de frappe à la faveur de la création de nouvelles arêtes susceptibles de guider une nouvelle séquence lamellaire sur une table étroite, courte et rectiligne. Quelques fragments de produits lamellaires ont pu être remontés au sein de cet ensemble, mais ils restent en grande partie absents, malgré l'abandon de déchets de taille indiquant que la totalité de la chaîne de production s'est vraisemblablement déroulée sur place. Les talons de ces produits, plutôt épais, lisses et abrasés, présentent un bulbe réduit mais néanmoins toujours présent, suggérant l'utilisation d'un percuteur en pierre tendre, permettant le détachement de produits allongés relativement fins en dépit de la faible angulation entre le plan de frappe et une surface de débitage très faiblement carénée.

Plusieurs éclats et débris dans un matériau similaire sont vraisemblablement à associer aux séquences remontées précédentes. Il s'agit de fragments de petites lames courtes ou d'éclats laminaires, ainsi que de produits lamellaires, issus des phases de décorticage/mise en forme et de plein débitage/entretien du bloc.

Locus 14 :

Trois blocs au moins semblent y avoir été débités, testés et/ou ébauchés. Ce locus a livré notamment deux petites ébauches de nucléus, dont le remontage 120 (une ébauche de nucléus sur éclat de gel épais, elle-même fortement fragmentée par le gel, silex F550, bloc 67 de l'analyse pétrographique), auxquelles il faut ajouter une courte séquence d'entame de table vraisemblablement laminaire (remontage 121, silex F550, bloc 9 de l'analyse pétrographique). Il s'agit de deux lames sous-crêtes épaisses et outrepassées sans nucléus correspondant. Ces dernières évoquent l'exploitation d'une table étroite au fort cintre latéral, resserrée en partie inférieure (table triangulaire), et d'un débitage frontal uni ou bipolaire de petites lames étroites légèrement courbes ou rectilignes (remontages 120 et 121).

Découverts et fouillés en bord d'emprise le long de la coupe 19, ces quelques éléments lithiques disparates ne forment peut-être qu'une partie d'un ensemble plus riche, ou du moins plus complet d'un point de vue des chaînes opératoires, localisé en partie hors emprise. Cet ensemble reste donc dans l'état difficile à caractériser plus avant.

Locus 15 :

Deux remontages appariés illustrent les objectifs du débitage de ce locus (silex F550, bloc 16 de l'analyse pétrographique, remontages 123 et 124).

Le remontage 123 est un nucléus sur rognon de petites dimensions, au débitage semi-tournant sur table courte et large au cintre élargi peu marqué en début d'exploitation, le cintre latéral s'accroissant en cours d'exploitation (fig. 5-36/37, 5-135 et 5-188/190). La progression du débitage, légèrement convergent, est menée à partir de deux plans de frappe opposés hiérarchisés. La production se compose alors de petites lames rectilignes. La préparation des talons, lisses et abrasés, plutôt épais, ainsi que les stigmates de percussion évoquent l'emploi de la pierre tendre. Il manque quelques produits laminaires réguliers de plein débitage au cœur du bloc. Les séquences illustrant l'ouverture de la table laminaire n'ont pu être remontées, quelques éclats et fragments de lames partiellement corticaux évoquent les dernières phases de mise en forme ou d'entretien de la surface de débitage, tout comme le remontage 124 (deux produits de décorticage/mise en forme).

Le tailleur ne semble pas avoir eu recours à une crête antérieure pour mettre en forme la table et initier le plein débitage (pas de crêtes premières retrouvées), on note tout de même une néocrête partielle dans les produits de plein débitage isolés. Le dos cortical du nucléus est préservé tout au long du débitage, la convergence des enlèvements en bord de table laminaire suffisant manifestement à entretenir le cintre de la table. Les procédés opératoires mis en œuvre, les objectifs et la technique de percussion contribuent à distinguer cette production laminaire de celle des locus 0, 9 et 11. Ce locus pourrait alors être plus récent (Epipaléolithique ?).

Le locus a également livré de nombreux éclats et débris dans un matériau similaire à celui des remontages 123 et 124, ainsi que quelques fragments de produits lamellaires. Ces derniers ne correspondent vraisemblablement pas à la réduction du même nucléus, le débitage intercalé de lamelles y semble peu probable. Il s'agirait plutôt de l'exploitation de deux blocs distincts, l'un à vocation laminaire et l'autre lamellaire. Dix produits lamellaires dont une crête partielle évoquent alors un débitage uni ou bipolaire à plans de frappe opposés hiérarchisés convergent de lamelles rectilignes, peut-être initié sur bord d'éclat (cf. la section de la demi-crête). Quelques talons sont présents, ils sont lisses, larges mais minces, toujours fortement abrasés.

Le locus 15 est un amas très ramassé dans l'espace, concentrant les produits de l'exploitation d'au moins deux blocs débités sur place. Un fractionnement partiel des chaînes opératoires est probable, avec l'absence (emport ?) de quelques produits laminaires de plein débitage et l'absence d'un nucléus lamellaire correspondant.

5.8.3. Outillage retouché, objectifs et économie du débitage

L'outillage retouché est quasi exclusivement façonné sur lame, à l'exception d'une armature supposée sur lamelle : une lamelle à dos à retouche abrupte directe marginale (n° 2870, fig. 5-149). Il est en outre majoritairement localisé au cœur du locus 09, qui concentre 10 outils sur les 12 retrouvés, les deux autres provenant du locus 11.

Réalisé essentiellement sur lames régulières de plein débitage (9 supports sur les 12 retouchés, quelques-uns en silex gris allochtones), il est fortement fragmenté, avec des raccords retrouvés entre deux ou trois fragments d'une même lame (fig. 5-150/151). La présence d'un contre-bulbe marqué et d'une fissuration radiaire peut suggérer la fracturation volontaire de plusieurs de ces supports, probablement par une percussion appliquée sur la face supérieure en partie centrale (cf. aussi chap. 5.9). Cet outillage reste peu varié, composé de grattoirs en bout de lames, de burins et de lames retouchées essentiellement (fig. 5-136). Si les grattoirs semblent soignés (retouche directe semi-abrupte aménageant un front régulier), les burins sont bien plus expéditifs (burins sur cassure, enlèvements burinants courts). Fait notable, deux armatures s'y distinguent : une lamelle à dos et une pointe à dos courbe réalisée sur une petite lame régulière.

Cet outillage et la sélection des supports dont il témoigne est cohérent technologiquement avec le débitage laminaire décrit plus haut pour les locus 0, 9 et 11, un débitage soigné de longues lames relativement étroites et légèrement courbes, de section triangulaire ou trapézoïdale, suggérant une progression unipolaire sur une surface au cintre resserré (fig. 5-149/151). Ce débitage laminaire de longues lames étroites représente alors l'objectif principal des activités de taille de ces locus. Les distributions du gabarit des produits laminaires (largeur x épaisseur) sont comparables entre les locus 0 et les locus 09 et 11 (que la matière première débitée et le remontage 137 associent nettement). La distribution des supports les plus réguliers, une gamme de produits qui se rapprochent des lames de premier choix (bords et nervures parallèles à sub-parallèles, sans accidents

notoires en face supérieure) et proviennent majoritairement du locus 9, est relativement continue. L'essentiel des produits se distribue sur un intervalle compris entre 14 et 36 mm pour les largeurs, et entre 3 et 12 mm pour les largeurs. Quelques rares lames de plus fort module se distinguent (fig. 5-141/143). Les tests de normalité appliqués aux distributions des largeurs et épaisseurs sont positifs (p values respectivement égales à 0,08 et 0,418 : log-normalité et unimodalité des histogrammes), mais la faiblesse des effectifs testés et la relative faiblesse du résultat obtenu pour la distribution des largeurs engagent à la prudence.

En effet, la présence d'une armature lithique sur lamelle, ainsi que celle de rares fragments de produits lamellaires abandonnés (largeurs comprises entre 8 et 12 mm) pourraient également témoigner de l'existence d'un objectif lamellaire dans la production lithique du Paléolithique supérieur de Montguyon (fig. 5-149). Ce sont néanmoins des produits qui restent isolés, sans véritables nucléus qui pourraient en être rapprochés ou production d'outils qui permettrait d'en préciser l'économie. Les remontages effectués sur les trois locus ne permettent malheureusement pas de trancher entre productions lamellaires intercalées ou véritables chaînes opératoires strictement lamellaires et autonomes. Les cinq blocs remontés témoignent en apparence exclusivement d'un objectif laminaire, sans réduction progressive du volume permettant le débitage de lamelles en fin d'exploitation. Tout au plus peut-on alors qualifier cet objectif lamellaire de secondaire à Montguyon.

Les vestiges lithiques abandonnés sur les trois locus, essentiellement rapportables donc à la production de supports laminaires, témoignent, hormis pour les supports retouchés manifestement importés (silex gris allochtone F554), d'un déroulement sur place de toutes les phases des chaînes opératoires laminaires. Ils permettent de supposer la sélection et le transport sur des distances probablement courtes d'une matière première souvent de mauvaise qualité.

Ainsi, trois des cinq grands blocs ont été partiellement décortiqués, mis en forme et débités avec plus ou moins de succès sur place, faute d'un matériau suffisamment adapté aux exigences des objectifs des tailleurs. Leurs remontages respectifs comptent parmi les plus exhaustifs avec 37 éléments remontés et/ou raccordés, de l'éclat cortical au nucléus ébauché, pour le remontage 126 par exemple (locus 9), 27 pour le remontage 127 (bloc 64 du diagnostic Inrap, locus 0), ou bien encore 50 pour le remontage 134 (bloc 63 du diagnostic Inrap, locus 0), de l'éclat de décorticage au nucléus partiellement débité.

Deux autres grands blocs, de bien meilleure qualité, documentent un débitage laminaire de bonne qualité (remontages 137 et 138 à 145, locus 9 et 11) mais pour lesquels les lames de plein débitage les plus régulières font clairement défaut (bords et nervures parallèles, régularité du profil, équilibre de la section et minceur générale). Ils peuvent suggérer un fractionnement partiel dans l'espace et le temps de ces chaînes opératoires, avec un emport d'une sélection de belles lames, ou bien une utilisation et un abandon en dehors de l'emprise de fouille. En effet, quelques exemplaires de ces supports de plein débitage très réguliers ont été retrouvés au sein du locus 9, mais ils restent rares et ne semblent pas systématiquement investis par la retouche. Ils semblent alors représenter moins de la moitié des supports de l'outillage retouché.

La productivité des blocs ne semble pas très élevée, l'impression laissée par les remontages semble en partie confirmée par l'analyse des fragments de lames.

En effet, un décompte des fragments proximaux et distaux souligne le nombre réduit de lames abandonnées sur place (NMI) : 18 pour le locus 09, une partie de celles-ci ayant cependant été importées (au moins 4), 6 pour le locus 11, 13 pour le locus 00.

L'activité de débitage, tout comme celle de transformation des supports, parait donc la plus prolifique en locus 09, ce que semble souligner l'analyse factorielle des correspondances menées sur les distributions des pièces lithiques classées en fonction du type de support et de sa position technologique (éclats corticaux ou non, lames de plein débitage ou d'entretien, lame à crête etc.). Sur le graphique on note la forte attraction du locus 09 pour les productions laminaires et les éclats corticaux, témoignant à la fois d'un débitage laminaire plus fructueux, de l'abandon de lames produites hors du locus (hors de l'emprise de la fouille, en partie dans les locus voisins du locus 09, notamment le locus 11 ?) et d'une transformation/utilisation sur place pour certaines d'entre elles.

Les locus 0 et 11 s'en distinguent nettement sur le graphique, plus attirés par les éclats d'entretien non corticaux, trahissant les débitages laminaires rapidement avortés qui y ont été menés, pauvres en produits laminaires de choix (en locus 0), ou emporté hors du locus (locus 11) (fig. 5-137/38 et 144/145).

5.9. Analyse fonctionnelle (A. Coudenneau)

L'analyse fonctionnelle du matériel lithique du site de Montguyon « Bois-Clair » a été réalisée sur un échantillon de 95 pièces : 50 pièces issues des niveaux Paléolithique supérieur ou plus récent (locus 00, 7, 8, 9, 10, 11 et 15) et 45 pièces issues des niveaux du Paléolithique moyen.

L'examen des pièces a été réalisé au moyen d'une loupe binoculaire Olympus SZ-PT utilisée aux grossissements 10x à 50x. Les pièces les moins patinées ont fait l'objet d'une observation microscopique au moyen d'un microscope optique Leica à fond clair.

5.9.1. État de conservation général des pièces et résultats préliminaires

État de conservation général

Toutes les pièces observées, quel que soit le niveau archéologique, présentent soit un voile de patine, soit un lustré de sol, soit un voile de patine et un lustré de sol. Ces 2 types d'altérations n'ont pas permis la lecture de traces microscopiques, mais n'interviennent pas dans la lecture des traces macroscopiques. Pour cette raison, lorsque nous parlons de pièces « ayant subi des altérations post-dépositionnelles », nous entendons les pièces dont les altérations post-dépositionnelles excluent toute observation qu'elle soit micro ou macroscopique. Ces altérations sont principalement : les esquillements liés aux déplacements dans le sol (quelle qu'en soit la raison : cryoturbation, colluvionnement, alluvionnement...), le piétinement et les altérations récentes qui sont très facilement repérables ici grâce à la différence de patine observée (charrue, fouille...).

Résultats préliminaires pour les pièces des niveaux Paléolithique supérieur et Néolithique

Sur les 50 pièces observées pour les niveaux Paléolithique supérieur et Néolithique, 33 pièces n'ont pas livré de traces d'utilisation, 3 pièces ont subi des altérations post-dépositionnelles qui n'ont pas permis la lecture de traces d'utilisation, 7 pièces n'ont pu être interprétées (soit les traces sont contradictoires, soit elles sont trop peu caractéristiques, soit la zone active potentielle est trop restreinte) et 7 ont livré des traces attribuables à une utilisation.

L'ensemble des pièces ayant des traces attribuables à une utilisation sont issues des locus 8 et 9.

Résultats préliminaires pour les pièces des niveaux Paléolithique moyen

45 pièces issues des niveaux Paléolithique moyen ont fait l'objet d'un examen tracéologique. Sur ces 45 pièces, 27 ne présentent aucune trace d'utilisation, 6 pièces ont subi des altérations qui n'ont pas permis la lecture de traces d'utilisation éventuelles, 3 pièces n'ont pu être interprétées et 9 pièces ont livré des traces attribuables à une utilisation.

5.9.2. Analyse fonctionnelle

5.9.2.1. Les niveaux récents

Sur l'ensemble des pièces observées et issues de différents locus, seules les pièces issues des locus 8 et 9 ont livrées des traces d'utilisation. Ces deux locus ont livré des pièces rapportables à deux ensembles chrono-culturels distincts, aussi nous traiterons individuellement l'un et l'autre.

Le locus 8

Le locus 8 a livré un matériel dont l'attribution au Néolithique sur des critères technologiques et typologiques reste incertaine.

Parmi les 13 pièces que nous avons analysées pour ce locus, 5 pièces n'avaient pas de traces attribuables à une utilisation, 2 pièces portaient des altérations qui ont empêché la lecture de traces éventuelles, 2 pièces n'ont pu être interprétées et 4 ont livré des traces d'utilisation : 2 burins (n° 1463 et 2191), une lame tronquée retouchée (n° 2199) et une pièce esquillée (n° 2278).

Le burin n° 1463 montre une utilisation classique en burin sur matière dure (fig. 5-193). En revanche, le burin n° 2191 montre une utilisation plus surprenante. En effet, les traces observées témoignent d'une utilisation pour percer une matière semi-dure à dure (fig. 5-194). La lame tronquée et retouchée présente des traces d'utilisation en raclage sur une matière semi-dure telle que le bois (fig. 5-193). La pièce esquillée témoigne d'une utilisation classique sur une matière dure (fig. 5-195). Cette pièce est fracturée et il est très probable que cette fracture soit apparue au cours de l'utilisation.

La variété des utilisations observées et le faible nombre de pièces portant des traces d'utilisation, ne nous permet pas de pousser plus loin l'analyse fonctionnelle. Cependant, nous pouvons faire une

remarque : la présence d'un burin dont l'utilisation est «atypique» peut être un argument en faveur de l'appartenance de ces pièces à une phase plus récente de la Préhistoire, telle que le Néolithique. Ajoutons que le faible nombre de pièce portant des traces d'utilisation est probablement imputable à l'état de conservation, mais aussi au nombre restreint de pièces de l'échantillon.

Le locus 9

Le locus 9 a livré du matériel appartenant indubitablement au Paléolithique supérieur. Ce locus se caractérise par un grand nombre de fragments de lames.

L'analyse fonctionnelle de ce locus a porté sur 25 pièces : 19 n'ont pas révélé de traces attribuables à une utilisation, 1 pièce a subit des altérations post-dépositionnelles qui empêche la lecture d'éventuelles traces d'utilisation, 2 pièces n'ont pas pu être interprétées et 3 pièces ont livré des traces d'utilisation : un fragment mésial de lame (n° 2733), un grattoir en bout de lame (n° 4641) et un fragment mésial de lame retouché (n° 5791).

Le grattoir témoigne d'une utilisation assez « classique » en raclage de matière tendre qui a créé un émoussé type peau (fig. 5-196) et le fragment de lame retouché a été utilisée pour racler une matière semi-dure (fig. 5-196). Il apparaît que la lame a été fracturée après l'utilisation. Nous pouvons donc nous interroger sur le caractère volontaire des 2 fractures qui l'affectent. En effet, il semble qu'il s'agit dans les deux cas de troncatures. D'ailleurs, la fracture de la partie proximale est doublée d'une tentative de coup de burin qui n'a semble-t-il pas eu l'effet escompté.

Le fragment mésial de lame porte les traces d'une utilisation en action longitudinale sur une matière semi-dure (fig. 5-197). Ce sont des traces telles que celles que l'on obtient au cours d'une activité de boucherie. Une fois encore, l'une des fracture nous apporte quelques renseignements : il apparaît que la fracture est intervenue avant l'utilisation (fig. 5-197, A). La morphologie générale de cet outil, ses dimensions réduites et la présence de traces d'utilisation après la fracture, nous amènent à nous interroger. Peut-être s'agit-il d'un élément isolé qui appartenait à un outil plus complexe constitué d'un manche et de plusieurs éléments de ce type mis bout à bout. Malheureusement, en l'absence de données microscopiques et d'autres pièces de ce type, nous ne pouvons que fonder des hypothèses.

Par ailleurs, le taux inhabituellement élevé de fracturation amène à s'interroger sur le caractère volontaire de ces fractures. Nous l'avons effleuré lors de l'analyse de la lame retouchée (n° 5791) et du fragment mésial de lame (n° 2733), mais il semble que la plupart des fractures observées soient des fractures volontaires. L'observation de toutes les fractures nous a conduit à considérer cette question. En effet, d'une part, sur certaines d'entre elles, il est possible d'observer un point d'impact assez caractéristique d'un acte technique (fig. 5-198). D'autre part, les premiers remontages, on fait apparaître les stigmates d'une percussion sur la face supérieure de certaines lames (fig. 5-199, A). Enfin, la reconstitution des fractures a fait apparaître une forme particulière et récurrente dans le mode de fracturation en 3 ou 4 « morceaux » (fig. 5-199, B).

Au terme de ces observations, il nous semble qu'il y a eu une fracturation volontaire de ces lames. Mais quelle est l'intention cachée derrière cette fracturation ? L'analyse fonctionnelle, nous a amené deux réponses possibles. Tout d'abord, la lame retouchée n° 5791 a fait l'objet d'une troncature dans le but d'obtenir un burin. Cette pratique est courante dans le Paléolithique supérieur (Bordes, 1992 ; Tixier, *et al.*, 1980) et il ne nous paraît donc pas aberrant de trouver ce type de pratique au sein de la série de Montguyon. La question est plutôt, la lame a-t-elle été fracturée volontairement de manière à permettre la troncature ? Ensuite, le fragment de lame n° 2733, semble avoir été utilisé une fois les fractures réalisées et pourrait être une composante d'un outil plus complexe constitué de plusieurs éléments du même type. Y-a-t-il donc une fracturation volontaire dédiée à l'obtention de ce type de support ?

5.9.2.2. Les niveaux du Paléolithique moyen

Les 11 pièces issues des niveaux du Paléolithique moyen ayant révélées des traces d'utilisation se répartissent en deux catégories de traces : les outils ayant servi en action transversale sur une matière semi-dure (« type bois ») et les outils ayant servi en action longitudinale sur une matière semi-dure (« type boucherie »).Tous les outils portant des traces d'utilisation sont retouchés : 10 racloirs (simple ou double) et un éclat retouché.

5 pièces ont servi en action transversale sur une matière semi-dure (fig. 5-200/201). Ce sont 3 racloirs simples (n° 439, 409 et 3310), un éclat retou-

ché (n° 1822) et un racloir convergent (n° 4869). À l'exception du racloir convergent pour lequel l'utilisation s'est faite au niveau de la pointe, l'utilisation se concentre sur la partie mésiale du bord retouché qui constitue donc la partie active de l'outil.

4 pièces ont servi en action longitudinale sur une matière semi-dure (fig. 5-202/203). Ce sont tous des racloirs doubles : 2 racloirs doubles (n° 1547 et 1774) et 2 racloirs convergents (n° 4491 et 3261). Comme pour le racloir convergent ayant servi en action transversale, les bords sont utilisés préférentiellement vers la pointe lorsqu'il y a convergence des bords.

Il est intéressant de constater que parmi les 12 éclats bruts observés, aucun ne porte de traces d'utilisation macroscopique. Nous pouvons également remarquer que parmi les 33 outils retouchés analysés, 9 portent des traces d'utilisation, 9 sont fracturés ou semblent ne pas être « terminés », 3 sont altérés de telle manière que la lecture de traces d'utilisation éventuelles est impossible et 2 n'ont pu être interprétés. Il reste donc 10 outils retouchés dont l'absence de trace d'utilisation pose problème. Cela dit, même pour ceux-là, on peut envisager une absence de traces, mais pas une absence d'utilisation. Rappelons en effet que les altérations microscopiques empêchent la lecture de polis éventuels.

Au terme de l'analyse fonctionnelle des outils des niveaux Paléolithique moyen de Montguyon Bois-Clair, il apparaît donc que la production est tournée essentiellement vers des outils retouchés en vue de leur utilisation. L'absence de traces macroscopiques d'utilisation sur les supports bruts n'exclut cependant pas leur utilisation éventuelle et il est bien évident qu'en l'absence d'une revue exhaustive de cette série, nous ne pouvons pas tirer une telle conclusion.

5.10. Synthèse chrono-culturelle, techno-économique et fonction du site (S. Bernard-Guelle et A. Taylor)

5.10.1. Le Paléolithique moyen (S. Bernard-Guelle)

Pris comme un lot, le mobilier moustérien montre une certaine homogénéité aux niveaux technique et typologique. Le débitage est de conception majoritairement discoïde, tourné en grande partie vers la production de pointes pseudo-Levallois. L'outillage est largement dominé par la catégorie des racloirs, avec une présence discrète d'outils bifaciaux. Ce constat est néanmoins très affirmé pour le niveau supérieur (UPS4) alors que la composante Levallois semble plus forte au sein de l'UPS5, niveau par ailleurs sensiblement plus remanié et pollué par du mobilier issu du niveau sus-jacent.

Si à n'en pas douter, ce mobilier reflète plusieurs occupations moustériennes, il est plus délicat de statuer sur le nombre effectif de ces occupations, chaque niveau pouvant correspondre à plusieur passages humains. Les différentes approches effectuées jusque là montrent néanmoins une forte cohérence des assemblages récoltés dans le niveau moustérien principal, inscrit à la base de l'UPS4. et une probable contemporanéité de certains locus. Il en est autrement du mobilier recueilli en UPS5, assez semblable au premier, mais dont le degré de remaniements ne permet pas de telles suppositions. Les dates OSL obtenues sur ces deux niveaux (cf. chap. 3) montrent néanmoins une certaine proximité chronologique, plaçant ces assemblages au début du stade isotopique 3. Le mobilier du locus 3 semble en revanche témoigner d'une fréquentation plus ancienne du site au cours du stade isotopique 5.

Comme vu précédemment (cf. chap. 4.2), le taux de remontage (> 20 %) pouvant s'élever à plus de 50 % dans certains secteurs de fouille permet de développer, en appui de l'analyse pétrographique, une approche techno-économique fiable.

Ces remontages ainsi que les différents taux de produits retrouvés montrent que, pour le silex campanien local et exceptionnelement le silex coniacien allochtone, les chaînes opératoires sont entièrement réalisées sur le site et que les productions sont uniquement issues de séquences de débitage.

L'importance des nucléus au sein de la série (13,4 %) confirment la prépondérance des activités de production sur le site. Celles-ci sont réalisées par le biais de deux chaînes opératoires principales et indépendantes. La première, minoritaire et essentiellement attestée dans le second niveau, est de conception Levallois et dominée par les modalités récurrentes (centripète et polarisées). La seconde, de conception discoïde, présente une structure ramifiée régie par des principes techniques communs : blocs et éclats issus de leurs premières phases d'exploitation sont débités pour une production standardisée, rapide et planifiée de produits triangulaires à dos, exceptionnellement retouchés.

Ces chaînes opératoires sont entièrement mises en œuvre sur le site après introduction de blocs

depuis des zones d'approvisionnement locales et plus rarement éloignées, comme pour certains galet de silex coniacien. Le recyclage d'éclat en nucléus et l'exhaustion fréquente de ces derniers attestent d'un souci d'économie de ces matériaux, notamment pour le silex coniacien. A cette gestion des silex, s'ajoute une acquisition locale et complémentaire d'autres matériaux probablement disponibles au sein des mêmes formations : quartz, quartzites et différentes variétés de grès. Ceux-ci ont été utilisés comme percuteurs ou avaient des fonctions qui ne nous sont plus accessibles (aménagement de l'espace, relation directe ou indirecte avec les activités de débitage ou de nature différente ?). Le quartz a pu faire l'objet d'un débitage occasionnel, à l'image de certains silex de moindre qualité disponibles localement et collectés au cours du séjour sur le site.

L'association aux mêmes endroits des nucléus, produits corticaux et produits de plein débitage (essentiellement des pointes pseudo-Levallois) permet de confirmer la présence de plusieurs aires de débitage sur le site, notamment dans le niveau supérieur. Celles-ci ont fourni de nombreux supports potentiels d'outils, rarement retouchés et/ou déplacés en dehors de leurs aires de production, bien que certains locus (*e.g.* 12bis et 16) semblent attester de l'emport de pointes pseudo-Levallois. Il est ainsi envisageable qu'une partie au moins de la production ait été utilisée sur place, dans les mêmes secteurs ou en périphérie des aires de débitage, ce qui ne peut être malheureusement démontré sans une approche fonctionnelle complète.

En revanche, l'analyse d'un petit corpus de pièces a montré que plusieurs outils retouchés (essentiellement des racloirs en silex allochtones, santonien ou coniacien) avaient servi en action transversale ou longitudinale sur une matière semi-dure, pouvant ainsi révéler la pratique d'activités telles que le travail du bois ou la boucherie.

Les activités autres que le débitage semblent également attestées par un pourcentage de pièces retouchées s'élevant à un peu moins de 5 % de la série. Certains de ces outils sont même parfois isolés du reste comme les trois pièces en silex coniacien du locus 2, qu'il serait tentant d'interpréter comme le témoignage de la présence d'une éventuelle aire d'activité spécialisée ou de l'abandon, par un chasseur moustérien, d'une partie de son équipement personnel.

Il convient ainsi de signaler que le taux de pièces retouchées est en partie « sur-estimé » par la présence de plusieurs outils importés et abandonnés sur site (certains racloirs notamment en grain de mil, le biface amygdaloïde…) pouvant témoigner d'une utilisation antérieure au séjour sur le site.

Si des outils en matériaux exogènes (ou a minima produits dans d'autres secteurs du site) ont été introduits sur les aires de débitage, certains remontages montrent, par leurs « manques », une possible consommation différée et/ou délocalisée d'une partie de la production. À l'inverse, les données pétrographiques permettent de connaître la part importée sur le site, celle-ci s'élevant à près de 25 %, tout du moins parmi le corpus étudié.

Pour résumer les données pétrographiques obtenus sur l'ensemble des niveaux du Paléolithique moyen, la grande majorité des silex utilisés (> 70 %) ont été collectés dans des formations alluviales au sein d'un environnement local (bassin versant du Lary et du Palais, terrasses du Mouzon en contre bas du site), voire sur le site même. Il s'agit de silex campanien (F550 et F565) introduits sous forme de blocs décimétriques à pluridécimétriques (*e.g.* fig. 5-31, 5-69, 5-73, 5-79, 5-80) et débités sur site.

Les silex coniaciens (F555, 556, 564 et 566), plus rares (<15% des silex étudiés), ont été introduits depuis des zones plus éloignées (> à 40 km), probablement situées au nord-est du site (au sud d'Angoulême). Quelques galets décimétriques ont été importés et entièrement exploités sur site (*e.g.* en locus 16-20, fig. 5-77) mais l'essentiel du corpus semble représenté par des produits finis (de première intention ou retouchés, comme par exemple en locus 12 et 12bis - fig. 5-200 n° 3310, fig. 5-107 n° 4869 et HS98, fig. 5-108 n° 409 et 3238) et parfois redébités sur site (loc. 2, fig. 5-85). Un tiers voire, dans certains cas (F566), la moitié des pièces retrouvées sont des outils retouchés.

Les silex santoniens de type « grain de mil » (F563 et 563a), peu représentés (< 7 %), ont été importés depuis des zones voisines à éloignées située, au plus proche, à 25 km au nord-ouest du site (secteur de Jonzac-Ozillac) ou depuis les mêmes aires d'approvisionnement que le coniacien (au sud d'Angoulême). Ce type de silex est arrivé sur site sous la forme de produits finis et notamment d'outils retouchés (pour 30 % - *e.g.* fig. 5-107 et 5-202 n° 1547, fig. 5-108 n° 6033, fig. 5-200 n° 1822 et fig. 5-202 n° 1547) ou façonné (1 biface, fig. 5-103). L'absence de remontage confirme cette impression. Un débitage occasionnel a pu néanmoins être pratiqué sur place de façon ponctuelle peut-être à partir de petit bloc (présence de quelques produits corticaux) ou sur des outils ainsi recyclé (fig. 5-82, n° 2962).

Cette gestion est aussi valable pour les silex de faciès dits « évolués » (F562, 554, 567) pour lesquels près d'une pièce sur deux est retouchée (*e.g.* fig. 5-200 n°439) et dont aucun remontage n'a pu être réalisé. Si l'origine géographique de ces matériaux ne peut être déterminée, leur rareté (env. 2 %) et forme d'introduction plaident pour une origine éloignée.

Quelques silcrètes (F568) témoignent d'une collecte depuis une petite vingtaine de km à l'est du site (grès siliceux des Grisons) et de l'introduction de quelques éclats voire d'un ou deux blocs préparés.

Signalons enfin qu'il est possible d'envisager des collectes à des distances plus courtes pour les silex coniaciens à santoniens, le long de la Lizonne et de la Dronne capables de drainer ces types de silex.

Ces données mettent en évidence une importation de silex allochtones, essentiellement sous forme de produits finis, depuis deux axes diamétralement opposés (NE et NO), allant dans le sens de probables fréquentations multiples et de groupes différents.

L'ensemble de ces observations montre un fonctionnement complexe du site pouvant correspondre non seulement à plusieurs occupations, mais aussi à plusieurs fonctions du site. L'absence de faune conservée limite d'autant plus les interprétations sur la fonction du site.

En se basant sur la nature des vestiges retrouvés, leur densité et leur organisation spatiale, nous avons pu mettre en évidence la présence de plusieurs aires voire postes de débitage peut-être en relation avec la pratique d'autres activités de subsistance. Différents atouts naturels du site de Bois Clair pourraient expliquer la présence probablement répétées de groupes moustériens et plus tard du Paléolithique supérieur/final : position dominante dans le paysage, présence de silex campanien et d'eau proche, et peut-être un potentiel cynégétique favorisé par des voies naturelles de circulation. La possibilité de disposer de ressources lithiques locales est probablement un des facteurs principal ayant motivé les installations humaines et leur pérennisation au Bois Clair. Plusieurs groupes moustériens porteurs de tradition discoïde, et à un degré moindre Levallois, fréquentèrent donc le site de manière probablement récurrente depuis le stade isotopique 5 jusqu'au stade 3. Ces installations se firent dans le cadre de camps vraisemblablement de courte durée, sans doute intégrés à la fréquentation péridodique d'un territoire essentiellement étendu vers le nord-est et le nord-ouest, notamment pour le niveau moustérien principal (UPS4).

5.10.2. Le Paléolithique supérieur : les locus 0, 9, 11 et 7 (A. Taylor)

La contemporanéité des locus semble acquise au niveau du techno-complexe, les objectifs du débitage et les procédés techniques mis en œuvre se faisant écho d'un ensemble lithique à l'autre. Elle peut sans doute être établie à l'échelle de l'occupation même, compte-tenu des nombreux contacts soulignés par la distribution spatiale des remontages, notamment entre les locus 0, 9 et 11.

L'activité de taille s'organise autour de deux objectifs, la production de lames, pour partie retouchée en outillage de fond commun (grattoirs, burins et lames retouchées), et la production de lamelles, nettement secondaire. Les schémas de débitage laminaire mettent en œuvre une mise en forme et des procédés d'entretien élaborés (crêtes, convergence du débitage), tirant partie de la morphologie étroite et allongée des blocs sélectionnés, tout en visant à exploiter la surface la plus longue possible. La mauvaise qualité de la matière première vient contrecarrer ces objectifs, pourtant clairement discernables sur les produits provenant de blocs de meilleure qualité. C'est un silex local du Campanien 5 (type F550) qui compose la quasi-totalité de l'approvisionnement. Les dimensions et la qualité des blocs confirment ce type de comportement bien attesté pour la fin du Magdalénien. Il serait par ailleurs incompréhensible d'avoir transporté des blocs de mauvaise qualité sur de longues distances, surtout pour les abandonner ensuite car impropres à la taille.

Les activités de production laminaire se concentrent autour de deux pôles principaux :

- en tête de tranchée 108, au sein du locus 0 où se concentrent deux des trois blocs de mauvaise qualité, où la productivité et le succès des débitages se sont trouvés limités par le choix de ces matériaux (remontages 127 et 134) ;
- dans le locus 09 et ses abords immédiats, où l'exploitation de deux blocs de bien meilleure qualité s'est déroulée (choix des matériaux et productivité laminaire, remontage 137 et 138 à 145). Un autre bloc, documenté par un remontage bien plus réduit, doit y être ajouté (remontage 140, bloc 15).

Bien documentée, l'activité de taille semble cependant réduite, si l'on en juge d'après le nombre minimum de blocs exploités sur place que l'on peut proposer : au moins trois blocs pour le locus 00, et au moins quatre pour le locus 09 (le remontage 137 se

partageant entre les locus 09 et 11). Quelques blocs supplémentaires ou éclats ont pu produire quelques lamelles mais il reste difficile d'en juger. Dans certains cas, on peut penser qu'une partie des productions laminaires et lamellaire a été emportée ou abandonnée en dehors de l'emprise de fouille, voire certains nucléus (correspondant par exemple aux remontages 138 à 145, ou bien d'éventuels nucléus lamellaires).

C'est dans le locus 09 que se concentre l'outillage de type Paléolithique supérieur retrouvé à Montguyon. Façonné quasi-exclusivement sur supports laminaires réguliers de qualité, quelques outils ont vraisemblablement investi quelques-unes des lames régulières que nous n'avons pas pu remonter au sein des blocs (remontage 137 notamment), mais les tailleurs ont également investi une série de beaux produits laminaires manifestement importés (silex F554), dont l'origine reste à déterminer. L'ensemble typologique collecté est représentatif d'un outillage de transformation classique : grattoirs sur lames retouchées, burins et lames retouchées et/ou esquillées. L'analyse tracéologique menée sur plusieurs de ces outils suggère le travail de matières tendres (raclage de peau ?) et semi-dures ainsi que des activités de boucherie. Fréquente, la fracturation de certains outils peut avoir été volontaire, suggérant le recyclage éventuel d'une partie des supports, notamment parmi ceux qui semblent importés.

Deux armatures lithiques complètent cet outillage, une lamelle à dos marginal et une pointe à dos courbe élancée. Sans traces macroscopiques évidentes d'utilisation (fractures complexes et esquillement diagnostiques d'un impact de projectile), ces pièces ne permettent guère de se prononcer sur la place de la chasse au sein des autres activités du groupe humain présent à Montguyon. Si les macrotraces observables sur quelques outils de transformation (grattoir et lame) évoquent une probable exploitation des ressources animales, cette dernière reste néanmoins difficile à quantifier en l'absence de tout témoin faunique conservé.

L'extension et l'activité de taille limitée dont témoignent les locus paléolithique supérieur, plaident en faveur d'une ou plusieurs occupations brèves très circonscrites dans l'espace, avec une activité de débitage et de transformation réduite de supports laminaires essentiellement. Cette activité a tenté de composer avec la mauvaise qualité du silex local, la brièveté du séjour limitant peut-être les recherches d'un matériau plus apte à la taille. Les locus 0, 11 et notamment le locus 9, où l'on observe une importation de supports laminaires retouchés en matériaux exogènes comparables en tous points aux productions *in situ*, peuvent évoquer le passage d'un petit groupe humain transportant un équipement lithique déjà composé et prêt à l'emploi, dont quelques éléments peuvent avoir été remplacés par les productions laminaires réalisées sur le site au cours de son bref séjour. Une partie des bonnes lames a pu ensuite être emportée pour anticiper les besoins du prochain déplacement et/ou de la prochaine installation du groupe. L'absence de toutes structures de combustion évidentes (foyer construit, lentilles de sédiments charbonneux…) peut également s'expliquer par la courte durée de l'occupation ne nécessitant pas de structures foyères d'importance et/ou répétées, mais seulement quelques simples feux de camp dont toute trace a disparu ?

Si la lamelle à dos ainsi que le reste de l'outillage de transformation appartiennent au panel classique et ubiquiste propre au Paléolithique supérieur, les schémas de débitage et les procédés techniques mis en œuvre dans le débitage laminaire évoquent plutôt le Magdalénien supérieur (Bodu, 1993 ; Valentin, 1995 ; Morala, 1992 et 1999 ; Le Licon, 1997). On pourrait même avancer que l'on est en présence d'une industrie correspondant à la phase finale du Magdalénien ou les toutes premières phases de l'Azilien, si l'on considère que la pointe à dos courbe élancée façonnée sur petite lame peut y être associée en l'absence d'arguments contraires d'un point de vue pétrographique (états de surface et matériaux tout à fait comparables).

Il s'agit en effet d'une monopointe à base réservée rétrécie (extrémité proximale), plus proche en silhouette de certains bipointes des premiers temps de l'Azilien du Sud-Ouest, et pour laquelle le débitage du support est encore soigneux, le talon mince et abrasé. Il pourrait alors s'agir d'un de ces types de pointe qui apparaissent à la fin du Magdalénien supérieur, à la faveur du développement de la technologie de petites lames rectilignes réservées à leur fabrication, avant que l'azilianisation progressive de la technologie lithique ne la distingue nettement des procédés de débitage connus du Magdalénien moyen et supérieur : recul du débitage des grandes lames régulières et arquées à la percussion tendre organique puis abandon en faveur de petites lames plus rectilignes débitées à la percussion minérale tendre (Pelegrin, 2000 ; Valentin, 2000), abandon de la préparation extensive du volume par crêtes au profit d'une mise en forme simplifiée, raccourcissement et baisse de la laminarité de l'outillage, évolution des

silhouettes des pointes à dos courbes (des bipointes symétriques des premiers temps de l'Azilien aux monopointes asymétriques à dos et base aménagée de l'Azilien récent ou du Laborien) (Bordes et Sonneville-Bordes, 1979 ; Bodu, 2000 ; Bodu et Valentin, 1997 ; Dujardin et Pinçon, 2000 ; Célérier *et al.*, 1997 ; Chollet *et al.*, 1999 ; Le Licon, 2005 ; Valentin, 2005 et 2008)…

5.10.3. Des occupations tardiglaciaires plus récentes ? Les locus 13 et 15 (A. Taylor)

Le bilan est sensiblement différent pour ces deux locus. Dans les objectifs et procédés du débitage laminaire notamment (locus 15) : le tailleur recherche de petites lames courtes et rectilignes, détachées sur une table courte et rectiligne au cintre élargi, exploitée selon une progression bipolaire, par l'intermédiaire de deux plans de frappe opposés hiérarchisés. L'emploi d'un percuteur en pierre tendre est en outre probable. Aucun outillage n'est malheureusement associé, et la destination de ces lames, dont les plus régulières semblent absentes, emportées et/ou utilisées en dehors de l'emprise de fouille, ne peut être définie plus avant.

La place du débitage lamellaire semble plus importante, puisqu'il est bien présent au sein des locus 13 et 15, exclusif même dans le premier (remontages 117 à 119) qui présente tous les témoins d'un débitage *in situ*. Il n'est documenté que par des fragments de supports lamellaires dans le locus 15, suffisamment nombreux cependant pour suggérer l'exploitation d'au moins un autre bloc dévolu à ce type de production (nucléus correspondant absent). L'emploi d'un percuteur de pierre tendre semble également suggéré par les quelques talons conservés sur ces produits lamellaires. Le remontage 119 suggère l'exploitation d'une table lamellaire courte et rectiligne, par juxtaposition de courtes séquences progressant latéralement à la faveur de l'alternance rapide entre deux plans de frappes opposés.

Objectifs du débitage et techniques contribuent donc à distinguer nettement ces ensembles lithiques de ceux des locus 0, 9 et 11. Distants dans l'espace, ils le sont probablement également dans le temps, l'analyse technologique indiquant plutôt des façons de faire post-Paléolithique, en tout cas plus éloignées du Magdalénien que ne le sont celles de l'industrie des locus 0, 9 et 11. En effet, en l'absence d'éléments typologiques déterminants, ce sont la technique, le style et les objectifs du débitage, et dans une moindre mesure la position stratigraphique qui peuvent nous donner des indices de chronologie. Exclusive, la percussion tendre minérale, le soin accordé à la préparation des talons des supports, la rectitude et le raccourcissement des supports laminaires indiquent plutôt une industrie épipaléolithique à lames légères et lamelles encore soignées, plus à rapprocher de l'Azilien ancien que de sa phase récente. L'extension très réduite et la faible activité de débitage de ces deux locus évoquent de manière plus aigue encore que l'ensemble magdalénien la brièveté de la ou des occupations dont ils témoignent : simples haltes dévolues à la production de quelques supports laminaires et lamellaires de remplacement ?

5.10.4. L'inconnue du locus 8 : une occupation durant l'Holocène ? (S. Bernard-Guelle et A. Taylor)

Ce locus s'étend sur environ 35 m^2 et a fait l'objet de deux décapages/nettoyages manuels rapides et sans carroyage.

Il se démarque des autres secteurs de fouille à plusieurs niveaux :

- une localisation à l'écart du reste, dans l'angle sud-est de l'emprise où le mobilier est rare (fig. 4.01 et 5-33) ;
- une position stratigraphique haute, à la base de l'UPS2 et à son contact avec l'UPS4 ;
- une forte variété dans les types de silex représentés, au sein d'un assemblage numériquement réduit (n = 43) couplée à une absence de silex campaniens d'origine loacale (cf chap. 5.3) ;
- une forte représentation de pièces retouchées (à plus de 50 %) (fig. 5-146/147) ;
- un unique remontage de deux éléments (taux le plus faible du site avec moins de 7 %).

À l'inverse des autres locus, l'activité de débitage est ici minoritaire, voire exceptionnelle (un éclat remontant sur un nucléus globuleux). À contrario, l'outillage est abondant, varié pétrographiquement et très majoritairement importé. Il porte en outre de fréquentes traces d'utilisation (raclage de matériau semi-dur, perçage, pièce esquillée utilisée comme pièce intermédiaire de type coin - cf. chap. 5.9) et se distingue par de nombreux burins (n = 12), notamment dièdres sur éclats ou lames, parfois retouchées (fig. 5-192). Le reste est composé, entre autres, de deux racloirs circulaires inverses (fig. 5-191 n° 1460 et 6064), d'un perçoir (fig. 5-192 n° 2276), de deux grattoirs, d'un couteau à dos et de lames retouchées. Éclats bruts, lames (parfois larges) et fragments com-

plètent la série, accompagnée de deux gros blocs de grès (fig. 5-148).

Avec réserve, cet assemblage atypique pourrait être rapporté à une mouvance culturelle placée entre un Néolithique moyen et la Protohistoire. Quelques éléments, qui ne dénoteraient pas dans un assemblage du Paléolithique supérieur, à l'image de certains burins, pourraient être néanmoins intrusifs.

5.11. Comparaisons et insertion régionale (S. Bernard-Guelle et A. Taylor)

Au regard des dates OSL, les principales occupations moustériennes du Bois-Clair se placeraient au tout début du stade isotopique 3. Malgré la présence d'un biface cordiforme et de quelques « beaux » racloirs, l'outillage ne montre pas de traits particulièrement remarquables et assez spécifiques permettant de caractériser typologiquement ce moustérien. En revanche, nous avons vu au chapitre 5.6 que l'industrie se démarque par des modes de production de conception discoïde essentiellement axés sur l'obtention de pointes pseudo-Levallois.

Fort de ces éléments chronologiques et technologiques, les meilleurs points de comparaisons semblent essentiellement se trouver au sud du Bois-Clair, au sein de sites uniquement reconnus en plein air.

Au vu des données disponibles, aucun site moustérien n'est connu à moins de 40 km autour du site de Bois-Clair. Le plus proche, directement au sud, est également le site qui présente le plus d'affinités avec le Bois-Clair. Il s'agit du Champ-de-Bossuet (33) qui est daté du stade 4 mais dont l'industrie se caractérise, comme au Bois-Clair, par une production de pointes pseudo-Levallois via plusieurs modalités de débitage discoïde (Bourguignon et Turq, 2003) dont certaines sont identiques à celles reconnues à Montguyon. Un peu plus au sud, le site de Camiac (33) présente une industrie en silex à débitage discoïde et outillage varié datée du stade 3 (Lenoir, 1990). Au sud-est, le site de la Mouline (24) (Folgado et Brenet, 2010), rapporté au stade 3 ou 4, se distingue également par un débitage de type discoïde et de nombreuses pointes pseudo-Levallois.

En direction du nord, il faut regarder plus loin pour trouver certains points de comparaisons : à une cinquantaine de km au nord-est, à la Quina (16), et un peu plus loin encore au nord-ouest, à Saint-Césaire (17). Dans ces deux sites sous abris, un débitage discoïde associé à une production d'éclats à dos est signalé dans des niveaux rapportés au Moustérien à denticulés et datés du stade 3 (Thiébaud *et al.*, 2009 ; Park, 2007). Au final, les meilleurs points de comparaisons et éventuels liens de filiation pour les deux principaux niveaux moustériens du Bois-Clair (UPS4 et 5) sont à rechercher au sud, pour le Champ-de-Bossuet, mais surtout, au nord-est à la Quina, dont la position géographique est en adéquation avec les résultats de l'étude pétrographique qui atteste d'un axe principal de circulation depuis le nord-est.

Au niveau régional, deux importantes séquences stratigraphiques illustrent la transition technologique entre Magdalénien supérieur et Azilien, il s'agit de l'abri de Pont-d'Ambon (Bourdeilles, Dordogne) et de la grotte du Bois-Ragot (Gouex, Vienne). Les travaux récents menés sur les industries lithiques de ces derniers ont permis de sérier d'un point de vue technologique les changements s'opérant entre Magdalénien supérieur, Azilien ancien et Azilien récent (Célérier, 1993, 1994 et 1998 ; Célérier *et al.* 1997 ; Chollet *et al.* 1999 ; Chollet et Dujardin, 2005). Les industries lithiques des locus 0, 9 et 11 peuvent correspondre à un Magdalénien terminal en cours d'Azilianisation tel que décrit dans ces deux gisements de références, toutes proportions et prudence gardées. Il s'agit en effet de cavités témoignant d'accumulations importantes de riches occupations répétées, éloignées de la logique de passage des groupes humains qui ont fréquenté le Bois Clair, et de fait de la fugacité de leurs occupations.

Les sites de plein air auxquels le Bois Clair pourrait être comparés sont rares et l'archéologie préventive a récemment largement contribué à en augmenter l'effectif (Les Pinelles à Prigonrieux - Ihuel, 2012 ; des indices à Saint-Lizier à Creysse - Tallet, 2013). Le diagnostic puis la fouille menée par l'Inrap au Canton des Bergauds à Clérac, à quelques kilomètres de Montguyon, sont venus fournir un témoin supplémentaire des processus d'azilianisation des derniers magdaléniens charentais (Cavallin, 2010 ; Fourloubey, 2013). L'industrie lithique y est décrite comme hybride, partageant des traits technologiques et typologiques magdaléniens et Azilien ancien : un débitage laminaire simplifié, unipolaire mais peu cintré et sans crêtes latérales, ainsi qu'une retouche écailleuse rasante continue sur les bords de plusieurs outils évoquent l'Azilien ancien, tandis qu'un couple burins dièdres/lamelles à dos dominant l'outillage, et l'objectif lamellaire important – quoiqu'original car uniquement mené sur tranches d'éclat ou lame – rappellent les façons de faire magdaléniennes. Plus étendus et riches en outillage de

transformation (burins, grattoirs et lames appointées ou utilisées) et armatures (lamelles à dos), peut-être représentatifs d'un camp avancé situé entre camp de base et territoires d'approvisionnement en ressources minérales et animales, la possible complémentarité économique entre les secteurs de fouille les distinguent encore de la fugace occupation que pourraient représenter les locus 0, 9 et 11 du Bois Clair. Trois dates ont été effectuées par thermoluminescence à Clérac, révélant un âge estimé à 13 640 BP +/- 880 (14 520-12 760), un intervalle recouvrant la fin du Magdalénien supérieur et le début de l'Azilien récent régional (Dujardin et Tymula, 2005).

SECTION 2

L'opération et ses résultats

Chapitre 6

6. Synthèse et discussion générale

S. Bernard-Guelle, M. Rué et A. Taylor

Si l'étude du site du Bois Clair est rendue compliquée par un contexte ayant favorisé le panachage d'industries séparées dans le temps, en particulier sur le point haut du site, le degré de conservation du site reste malgré tout étonnamment bon, particulièrement pour le haut de la séquence, autorisant ainsi d'intéressantes interprétations comportementales (techno-économiques voire fonctionnelles et territoriales) des différents groupes culturels l'ayant fréquenté.

Sur la base des éléments présentés dans les précédents chapitres, nous pouvons ainsi conclure à la présence de plusieurs niveaux d'occupations inégalement préservés sur le site de Bois Clair :

Le plus ancien de ces niveaux est moustérien, illustré par le locus 3, sous-jacent au locus 9, et identifié à la base de la séquence (base UPS6 - sommet UPS7 - CP11). Il s'agit d'une concentration sur environ 1 m^2 d'une petite centaine de pièces correspondant au débitage de deux blocs de silex campaniens selon un mode de production de type discoïde. Elle constitue le seul reliquat identifié de ce niveau d'occupation, probablement préservé de l'érosion par la présence d'une petite dépression. D'après les données pédostratigraphiques, cette première phase de fréquentation du site serait antérieure au stade isotopique 5. À cette époque, l'occupation devait être située sur un point haut, dominant de quelques mètres une doline.

Le second niveau d'occupation paléolithique moyen s'inscrit au sein de l'unité 5, en position majoritairement sommitale. La plus grande partie du mobilier moustérien recueilli sur le site provient de cet ensemble pédo-sédimentaire. Il s'agit de mobilier réparti de manière diffuse sur l'ensemble de l'emprise avec la présence néanmoins avérée de rares concentrations généralement peu denses et/ou assez lâches (*e.g.* locus 1, 12, 19). La dilatation verticale du mobilier, les caractéristiques des remontages (incomplets, souvent dispersés en plan et dilatés en vertical, fortement inclinés au sein des concentrations) et la faible représentativité de la fraction fine vont dans le sens d'ensembles dont l'intégrité n'est pas préservée, probablement affectés par divers processus de colluvionnement. Une partie de ce corpus archéologique est « pollué » par du mobilier issu du niveau sus-jacent (UPS4), essentiellement par le biais de migrations verticales, probablement en lien avec le réseau de fentes de cryodessication. Ce phénomène est bien attesté par une série de remontages entre ces deux UPS. Ce mélange avéré d'industries limitent donc les interprétations d'ordre techno-culturel. Toutefois, en se basant sur les zones les moins perturbées et abordées de façon manuelle, ce niveau d'occupation reflète des activités de production dominantes, parfois basées sur des schémas de débitage Levallois polarisés (locus 12) ou centripètes, mais plus fréquemment de type discoïde. Ses caractéristiques sont assez similaires à celles reconnues dans le niveau sus-jacent, dont les dates OSL sont par ailleurs très proches, toutes deux situées entre environ 50 et 60 ka (début de l'IOS3).

Le niveau moustérien principal, en tout cas le moins perturbé, s'inscrit à la base de l'UPS4. Il se caractérise par la présence de petits ensembles spatialement bien circonscrits, couplés à du mobilier plus isolé et diffus. Ce niveau est majoritairement conservé dans la partie haute de l'emprise (locus 0, 9, 12bis), dans les mêmes secteurs que les occupations plus récentes, mais également présent plus à l'est avec, du sud vers le nord, les locus 4, 16, 10 et 2. Hormis pour le locus 2, regroupant essentiellement des pièces retouchées mais parfois recyclées en nucléus, tous ces secteurs montrent une activité de débitage dominante avec exploitation sur place de plusieurs blocs d'origine locale voire parfois éloignée. Les modes de production mis en œuvre sont généralement de conception discoïde avec pour objectif commun l'obtention de pointes pseudo-Levallois, notamment via une modalité de débitage spécifique et bien documentée par les remontages (débitage alternant sur surfaces adjacentes). La gestion volumétrique et structurelle mise en œuvre dans ces modes de production sur blocs et éclats permet l'obtention rapide et planifiée de produits triangulaires à dos au sein d'une chaîne opératoire à structure ramifiée. Les pointes pseudo-Levallois constituent ainsi environ 10% du mobilier recueilli dans ce niveau. Leur part est probablement sous évaluée, en lien avec une exportation probable d'une partie de ce corpus comme cela est suggéré en locus 16. Plusieurs de ces locus se rapprochent également par la présence, et donc de l'utilisation, de blocs conia-

ciens d'origine allochtone. Exceptés les locus 9 et 11, contigus, aucune liaison directe entre ces locus n'est avérée mais l'homogénéité et la cohérence technologique et économique de la plupart de ces ensembles (locus 2, 9, 11, 12bis, 16 et 20) permettent de les rattacher au même techno-complexe, voire à un même groupe. Les locus 4 et 10 se démarquent des précédents par respectivement une production Levallois ou mal définie. À ces postes de débitage, sont généralement associés de rares éléments retouchés souvent importés tels quels depuis des zones éloignées (silex santoniens et coniaciens), utilisés (activités de boucherie, travail du bois) puis abandonnés. Le biface amygdaloïde ainsi que les 3 pièces ou fragments de pièces bifaciales proviennent tous de ce niveau qui est, comme l'ensemble sous-jacent, rapporté au stade isotopique 3 sur la base d'une date OSL. Au point de vue de sa conservation, ce niveau se démarque du précédant par des ensembles localement plus abondants présentant des remontages plus complets (jusqu'à 63 % de remontage en locus 12bis), spatialement peu étendus et sub-horizontaux. Ces ensembles sont néanmoins affectés par des mouvements verticaux de pièces jusqu'en UPS5 (*e.g.* locus 4 et 12bis) et plus exceptionnellement de déplacements latéraux. Au niveau des locus 0 et 9, où la séquence stratigraphique est la plus condensée, le faible taux de sédimentation couplé aux phénomènes de résidualisation ont entrainé un télescopage de ces occupations avec celles sus-jacentes plus récentes.

Le quatrième niveau d'occupation est rapporté sur des critères techno-typologiques à la **fin du Paléolithique supérieur**. Rappelons que c'est la présence de ce niveau qui déclencha la fouille préventive du site. Cette occupation est particulièrement bien délimitée dans la partie centrale-ouest de l'emprise où son extension semble réduite à une petite butte dominant encore actuellement le paysage environnant. Les locus contigus 0, 9 et 11, décapés manuellement sur une surface d'une trentaine de m², ont fourni l'essentiel du mobilier lithique attribuable à cette période. La projection des remontages illustre majoritairement des liaisons sur des distances courtes ou moyennes (80 %) et suggère une extension de cette occupation sur au moins 180 m². La petite concentration lithique du locus 7, située quelques dizaines de mètres plus au sud, semble se rattacher à cette même phase d'occupation. Ces ensembles restent modestes, comptant moins d'un millier de pièces enregistrées à la fouille (et 3000 esquilles/fragments récoltés au tamisage). Leur dispersion verticale s'étend sur une bonne quinzaine de cm, dans la partie supérieure de l'UPS4 et parfois jusqu'au contact avec l'UPS5. En plan, la zone de fouille concernée illustre la présence de deux principaux pôles de production, l'un centré sur la tête de tranchée 108 du diagnostic (nord-est du locus 0), l'autre, plus dense, se répartit sur l'ensemble du locus 9. Un minimum de 7 blocs de silex campaniens locaux, souvent de mauvaise qualité, y ont été introduits et débités. Parmi eux, cinq grands blocs ont pu être presqu'entièrement remontés. Ils montrent que l'objectif principal des activités de taille est un débitage laminaire de longues lames relativement étroites et légèrement courbes, de section triangulaire ou trapézoïdale. La production de lamelles semble en revanche une activité nettement secondaire, d'autant que le faible nombre de témoins s'y rapportant permette d'en juger. En locus 0 et 11, l'exploitation laminaire des blocs a été rapidement avortée, les supports de plein débitage y sont rares (locus 0) ou peuvent avoir été emportés hors de la zone (locus 11). Le locus 09 se démarque de ce constat et atteste d'un débitage laminaire plus fructueux, de l'abandon de lames produites hors du locus et d'une transformation/utilisation sur place pour certaines d'entre elles. Cette concentration est associée à la présence de deux gros blocs de grès dans son extrémité sud. La contemporanéité de ces locus semble validée par la grande homogénéité technologique et comportementale ainsi que par des remontages inter-locus. L'outillage retouché est rare et essentiellement composé de grattoirs en bout de lames, de burins et de lames retouchées. Il est majoritairement localisé au cœur du locus 09, fabriqué sur des supports laminaires allochtones comparables en tous points aux productions *in situ*. Ces pièces importées depuis des zones encore indéterminées sont d'autant plus importantes qu'elles pourraient renseigner sur l'origine géographique des magdaléniens qui fréquentèrent le Bois Clair. L'analyse tracéologique menée sur plusieurs de ces outils suggère le travail de matières tendres (raclage de peau ?) et semi-dures couplé à des activités de boucherie. La fracturation fréquente et probablement volontaire de certains outils suggère le recyclage éventuel d'une partie des supports, notamment parmi ceux importés. Le positionnement chronologique de cet assemblage, basé sur l'analyse des schémas de débitage et des procédés techniques, évoque le Magdalénien supérieur mais la présence d'une pointe à dos courbe élancée façonnée sur petite lame tend à rajeunir l'occupation et la placer au cours d'une **phase finale du Magdalénien ou au tout début de l'aziliniation**, aux alentours de 12ka BP. Au final, ce mobilier évoque le passage d'un petit groupe humain trans-

portant un équipement lithique déjà composé et prêt à l'emploi, dont quelques éléments peuvent avoir été remplacés par les productions laminaires réalisées sur le site au cours de son bref séjour. Une partie des bonnes lames a pu ensuite être emportée pour anticiper les besoins du prochain déplacement et/ou de la prochaine installation du groupe.

Le cinquième niveau d'occupation a été reconnu, un peu plus au nord des secteurs précédents, au niveau des locus 13 et 15 et peut-être 14. Distants dans l'espace, ils le sont probablement également dans le temps, l'analyse technologique indiquant plutôt des façons de faire post-Paléolithique, en tout cas plus éloignées du Magdalénien que ne le sont celles de l'industrie des locus 0, 9 et 1 : percussion tendre minérale, soin accordé à la préparation des talons des supports, rectitude et raccourcissement des supports laminaires. En l'absence de véritables marqueurs typo-chronologiques, cette industrie à lames légères et lamelles encore soignées est rapportée à **l'Epipaléolithique**, peut-être à une phase ancienne de l'Azilien. Le positionnement stratigraphique de ces ensembles est clairement situé au dessus de la limite UPS4a/4b, bien visible dans ces zones. Les locus 13 et 15 sont des amas très ramassés dans l'espace, concentrant chacun les produits de l'exploitation d'au moins deux blocs de silex débités sur place (campanien local en locus 15 et santonien allochtone en locus 13) et dont une partie a vraisemblablement été exportée. Les taux de remontages élevés (42 % en locus 15 et 53 % en locus 13) constituent un argument solide (cf. chap. 4) attestant du bon degré de conservation de ce niveau. L'extension très réduite et le caractère très limité des activités de débitage de ces ensembles évoquent de manière plus aigue encore que pour le Magdalénien la brièveté de la ou des occupations dont ils témoignent.

Enfin, un probable **dernier niveau** est représenté par la découverte, à la base de l'UPS2, de quelques pièces situées à l'écart des autres ensembles fouillés, dans l'angle sud-est de l'emprise (locus 8). À l'inverse des autres secteurs, l'activité de débitage y est exceptionnelle. Le mobilier est essentiellement représenté par de l'outillage retouché importé, dominé par les burins sur lame ou éclat. Sur celui-ci, les traces d'utilisation sont fréquentes : raclage de matériau semi-dur, perçage, pièce esquillée utilisée comme pièce intermédiaire de type coin. Enfin, cet ensemble se démarque par une variété pétrographique forte et l'absence d'utilisation du silex campanien local. Avec réserve, cet assemblage atypique est rapporté à une occupation holocène placée entre le Néolithique moyen et la Protohistoire.

Une telle **superposition de niveaux archéologiques en plein air**, qui plus est, étalée sur plusieurs dizaines de millénaires dénote d'un fort attrait des populations préhistoriques pour ce site. La présence de silex, sur place, à l'interface entre le substrat éocène et la séquence pléistocène, et sur les terrasses du Palais et du Mouzon encadrant le site, pourrait expliquer en partie le choix de ce lieu et la pérennisation dans le temps des occupations humaines. Cette mise à profit des ressources lithiques disponibles au sein de l'environnement local est avérée par l'utilisation massive de silex campaniens et, de façon plus anecdotique mais récurrente, de quartzites, quartz et grès. Ce comportement est attesté tant au Paléolithique moyen qu'au Paléolithique supérieur et à l'Epipaléolithique mais ne semble plus valable pour le niveau plus récent, mal défini.

Au regard des vestiges retrouvés (nature, densité, organisation spatiale), nous avons pu mettre en évidence la présence de plusieurs aires de débitage fonctionnant depuis le Moustérien jusqu'au Tardiglaciaire et dont les productions, souvent spécialisées, étaient pour partie exportées. D'un autre côté, l'analyse fonctionnelle, basée sur un faible corpus de pièces, a permis de mettre en évidence la pratique d'autres activités, réalisées sur site et/ou avant installations (boucherie et travail sur peaux notamment). Ces traces d'utilisation sont essentiellement visibles sur pièces en matériaux siliceux allochtones. Ces derniers ont été introduits depuis des environnements éloignés (> 20 km), exclusivement sous forme de produits finis (lames retouchées ou non au Paléolithique supérieur) ou sous forme parfois plus variée (outils *lato sensu* et petits galets au Paléolithique moyen), traduisant un équipement personnel prêt à l'emploi, pouvant en partie être remplacé.

Au Moustérien, le territoire minéral fréquenté depuis le site ou, plus probablement avant les installations au Bois Clair, s'étend principalement vers le nord-est et, à un degré moindre, le nord ouest, depuis deux axes diamétralement opposés, suggérant des fréquentations multiples, probablement de groupes moustériens différents. Au Magdalénien, l'origine des lames allochtones n'a malheureusement pu être déterminée.

Au Bois Clair, la brièveté des occupations semble être un caractère commun aux différentes installations, y compris pour le Moustérien dont les données sont brouillées par des passages manifeste-

ment plus nombreux et parfois moins bien conservés. Au final, différents paramètres pourraient expliquer l'installation répétée de campements de courte durée, probablement dans le cadre de parcours ou circuits à vocation cynégétique : position dominante dans le paysage, présence de silex campanien et d'eau proche et proximité de voies naturelles de circulation.

L'ensemble de ces observations montre un fonctionnement complexe du site correspondant non seulement à plusieurs occupations au sein d'une même phase chrono-culturelle (en tout cas pour le Moustérien), mais aussi à plusieurs fonctions possibles du site. L'absence de faune conservée limite cependant fortement les interprétations sur la fonction et le statut du site au sein du territoire.

Le site de Bois Clair constitue ainsi un nouveau site référence au niveau régional et ouvre de réelles perspectives de comparaisons notamment avec les sites régionaux sous abris.

Bibliographie

ADAM A. (2002) – Les pointes pseudo-Levallois du gisement moustérien Le Rissori, à Masnuy-Saint-Jean (Hainaut, Belgique), *L'Anthropologie*, 106, 5, p. 695–730

ADAMIEC G., AITKEN M.J., (1998) – Dose rate conversion factors : update, *Ancient TL,* 16, (2), p. 37-49.

ANDRIEFF P., MARIONNAUD J.-M. (1973) – Le Sénonien supérieur des falaises de la Gironde. Exemple d'appui de la micropaléontologie à la cartographie géologique. *Bulletin du BRGM* (2), 1, p. 39-44.

ARNAUD H. (1877) – Mémoire sur le terrain crétacé du Sud-Ouest de la France. *Mém. Soc. géol. Fr* ; 2è série, t. 10, 14, 110 p.

BEAUVAL C., LACRAMPE-CUYAUBÈRE F., MAUREILLE B., TRINKAUS E. (2006) – Direct Radiocarbon Dating and Stable Isotopes of the Neandertal Femur from Les-Rochers-de-Villeneuve (Lussac-les-Chateaux, Vienne), *Bulletins et mémoires de la Société d'Anthropologie de* Paris, 18, 1-2, p. 35-42.

BENN D.I. (1994) − Fabric shape and the interpretation of sedimentary fabric data, *Journal of sedimentary research*, A64, 4, p. 910-915.

BERTRAN P., LENOBLE A. (2002) – Fabriques des niveaux archéologiques : méthode et premier bilan des apports à l'étude taphonomique des sites paléolithiques, *Paléo,* 14, p. 13-28.

BETRAN P., CLAUD É., DETRAIN L., LENOBLE A., MASSON B., VALLIN L. (2006) – Composition granulométrique des assemblages lithiques, application à l'étude taphonomique des sites paléolithiques, *Paléo*, 18, p. 7-36.

BOCHERENS H., DELAGNES A., FEBLOT-AUGSUTIN J., PARK S -J. (2004) – *Paléolithique moyen dans le bassin de la Charente*. Rapport de PCR, 2004, 42 p.

BODU P. (1993) – *Analyse typo-technologique du matériel lithique de quelques unités du site magdalénien de Pincevent (Seine-et-Marne). Applications spatiales, économiques et sociales.* Thèse de Doctorat, Université de Paris 1, 3 vol., 852 p.

BODU P. (2000) – Que sont devenus les Magdaléniens du Bassin parisien ? quelques éléments de réponse sur le gisement azilien du Closeau (Rueil-Malmaison, France). *In :* Valentin B., Bodu P., Christensen M. (dir.), 2000, *L'Europe Centrale et Septentrionale au Tardiglaciaire. Confrontation des modèles régionaux de peuplement. Actes de la Table-ronde internationale de Nemours – 14, 15, 16 Mai 1997.* Mémoire du Musée de Préhistoire d'Ile-de-France n° 7, Nemours, APRAIF, 1 vol., 361 p., p. 315-339.

BODU P., VALENTIN B. (1997) – Groupes à *Federmesser* ou aziliens dans le sud et l'ouest du Bassin parisien. Propositions pour un nouveau modèle d'évolution. *Bulletin de la Société Préhistorique Française*, t. 94, n° 3, p. 341-347.

BOËDA E. (1993) – Le débitage discoïde et le débitage Levallois récurrent centripète. *Bulletin de la Société Préhistorique Française*, 90, p. 392-404.

BOËDA E. (1995) – Caractéristiques techniques des chaînes opératoires lithiques des niveaux micoquiens de Külna (Tchécoslovaquie). Actes du colloque Les industries à pointes foliacées d'Europe Centrale, Miscolk 1991. *Paléo*, Suppl. 1, p. 57-72.

BOËDA E. (1997) – *Technogénèse des systèmes de production lithique au paléolithique inférieur et moyen en Europe occidentale et au Proche-Orient*, Thèse d'Habilitation à Diriger des Recherches (HDR), Université de Paris X Nanterre, France.

BORDES F. (1961) – *Typologie du Paléolithique ancien et moyen*. Bordeaux, Delmas, 2 vol., 85 p.

BORDES F. (1992) - *Leçon sur le Paléolithique : Paléolithique en Europe*. Presses du CNRS, Paris, 459 p.

BORDES F., SONNEVILLE-BORDES D. (de) (1979) – L'azilianisation dans la vallée de la Dordogne. Les données de la Gare de Couze (Dordogne) et de l'abri Morin (Gironde). *In :* Sonneville-Bordes D. (de) (ed.), *La fin des Temps glaciaires en Europe*, 1979, p. 449-460.

BOURGUIGNON L., SELLAMI F., DELOZE V., SELLIER-SEGARD N., BEYRIES S., EMERY-BARBIER A. (2002) – L'habitat moustérien de « La Folie » (Poitiers, Vienne) : synthèse des premiers résultats, *Paléo*, 14, p. 29-48.

BOURGUIGNON L., VIEILLEVIGNE P., GUIBERT P., BECHTEL F., BEYRIES S., EMERY-BARBIER A., DELOZE V., LAHAYE C., SELLAMI F., SELLIER-SEGARD N. (2006a) – Compléments d'informations chronologiques sur le campement moustérien de tradition acheuléenne du gisement de La Folie (Poitiers, Vienne), *Paléo*, 18, p. 37-44.

BOURGUIGNON L., DJEMA H., BERTRAN P., LAHAYE Ch., GUIBERT P. (2008) – Le gisement Saalien de Petit-Bost (Neuvic, Dordogne) : à l'origine du Moustérien d'Aquitaine ?, *In :* J. Jaubert, J.-G. Bordes et I. Ortega dir., *Les sociétés du Paléolithique dans un grand Sud-Ouest de la France : nouveaux gisements, nouveaux résultats, nouvelles méthodes*, Actes de la séance SPF, Université Bordeaux 1, Talence, 2006, Paris, Éd. Société préhistorique française (Mémoire 47), p. 41-55.

BOURGUIGNON L. dir. (2010) – Le campement moustérien de la Folie (Vienne). *In :* J. Buisson-Catil et J. Primault dir., *Préhistore entre Vienne et Charente : Hommes et sociétés Paléolithique,* Association des publications chauvinoises, mémoire n° 38, Chauvigny, p. 169-174.

BOURGUIGNON L., TURQ A. (2003) – Une chaîne opératoire de débitage discoïde sur éclat du Moustérien à denticulés aquitain, les exemples de Champ Bossuet et de Combe Grenal c.14. *In :* Peresani M. (éd.), *Discoid Lithic Technology : advances and implications*, Oxford, BAR International Series 1120, p. 131-152.

BOUYSSONIE J. (1948) – Un gisement aurignacien et périgordien : Les Vachons (Charente), *L'Anthropologie*, Paris, 52, p. 1-42.

BRACCO J.-P., MORALA A. CAZALS N., CRETIN C., FERULLO O., FOURLOUBEY C., LENOIR M. (2003) – Peux-t-on parler de débitage discoïde au Magdalénien ancien / Badegoulien ? Présentation d'un schéma opératoire de production d'éclats courts normalisés. *In* : Peresani M. (éd.), *Discoid lithic technology : advances and implications*, Oxford, BAR International Series, 1120, p. 83-116.

BRENET M., BOURGUIGNON L., FOLGADO M., ORTEGA I. (2009) – Élaboration d'un protocole d'expérimentation lithique pour la compréhension des comportements techniques et techno-économiques au Paléolithique moyen. *Les Nouvelles de l'archéologie*, vol. 118, p. 60-64.

BRENET M., FOLGADO M. (2003) – Le débitage discoïde du gisement des Forets à Saint Martin de Gurçon (Dordogne), *In* : Peresani M. (Éd.), *Discoid lithic technology : advances and implications*, Oxford, BAR International Series, 1120, p. 153-177.

BRENNAN B.J., LYONS R.G., PHILLIPS S.W. (1991) – Attenuation of alpha particle track dose for spherical grain, *Nuclear tracks and Radiation Measurements,* 18, p. 249-253.

CAPDEVILLE J.-P. (1989) – *Synthèse paléogéographique et structure des dépôts fluvio-lacustres tertiaires du nord du Bassin Aquitain entre Dordogne et Lot*. Documents du Bureau de la recherche géologique et minière, n° 175, éditions du BRGM Orléans, 295 p., ill.

CAUX S. (2010-2011) – *Le silex dit « Grain de Mil » bilan de sa caractérisation géologique ; traitement archéologique, l'exemple de la séquence aurignacienne de la Roche-a-Pierrot (Saint-Cesaire, Charente-Maritime)*. Mémoire de Master 2, PACEA, 55 p.

CAVALIN F. (2010) – *Clérac, Charente-Maritime, LGV SEA1, section Angoulème / Bordeaux, Phase 16, PK 82 – PK 86.5*. Rapport de diagnostic, INRAP, 164 p.

CÉLÉRIER G. (ed.) (1993) – L'abri sous roche de Pont-d'Ambon à Bourdeilles (Dordogne). I : Technologie de l'outillage lithique taillé ; II : Inventaire et typométrie des pointes aziliennes ; III : Analyse technologique du matériel de la couche 3B ; IV : Le matériel lithique non taillé. *Gallia Préhistoire*, t. 35, CNRS, p. 1-137.

CÉLÉRIER G. (ed.) (1994) - L'abri sous roche de Pont-d'Ambon à Bourdeilles (Dordogne). *Gallia Préhistoire*, t. 36, CNRS, p. 65-144.

CÉLÉRIER G. (1998) - L'abri-sous-roche de Pont-d'Ambon à Bourdeilles (Dordogne, France). Perspective synthétique. *Paléo*, n° 10, p. 233-264.

CÉLÉRIER G., CHOLLET A., HANTAÏ A.

(1997) – Nouvelles observations sur l'évolution de l'Azilien dans les gisements du Bois-Ragot (Vienne) et de Pont-d'Ambon (Dordogne). *Bulletin de la Société Préhistorique Française*, t. 94, 3, p. 331-336.

CÉLÉRIER G., DUCHADEAU-KERVAZO C., GOURDON-PLATEL N. (1990) – Les dalles silico-ferrugineuses du Bassin de la Dronne : origine, caractérisation et utilisation préhistorique ; *In : le silex de sa genèse à l'outil*, actes du V[e] colloque international sur le silex. Cahiers du Quaternaire, 17, p. 111-117.

CHOLLET A., FOUÉRÉ P., HANTAï A., LE LICON G. (1999) – L'évolution des choix techniques et économiques entre le Magalénien supérieur et l'Azilien : l'exemple de la grotte du Bois-Ragot (Vienne, France). *In :* Bintz P. et Thévenin A. (dir.), *L'Europe des derniers chasseurs. Epipaléolithique et Mésolithique. Actes du Ve congrès UISPP, commission XII, Grenoble (18-23 septembre, 1995).* CTHS, Paris, p. 275-286.

CHOLLET A., DUJARDIN V. (2005) − *La grotte du Bois-Ragot à Gouex (Vienne), Magdalénien et Azilien, essais sur les hommes et leurs environnements*, vol. 1, Société Préhistorique Française, Paris, (Mémoire de la Société Préhistorique, 2005, 427 p.

COMBAZ A. (1966) – *Recherches de microfossiles organiques dans les sables et grès du Périgord : compte rendu d'examen n° 189*. Bordeaux C.F.P., Exploration, Laboratoire Central.

COQUAND H. (1857) – Sur la craie supérieure de l'Aquitaine. *Bull. Soc. géol, Fr*. (2), 14, p. 841-903.

CURRAY J.R. (1956) − The analysis of two-dimensional orientation data*, Journal of Geology*, 64, 2, p. 117-131.

CZIESLA E. (1987) – L'analyse des raccords ou le concept du dynamisme en Préhistoire. *Bulletin de la Société Préhistorique Luxembourgeoise*, 9, p. 77-111.

CZIESLA E. (1990) – On reffitting of stone artefacts, *In* :*The Big Puzzle, Studies in Modern Archaeology*, vol. 1, Bonn, p. 9-44.

DAWSON M.-C., BERNARD-GUELLE S., RUÉ M., FERNANDES P. (2013) – « L'atelier de taille moustérien du Chêne Vert à Dirac (Charente) : nouvelles données sur l'exploitation des gîtes de silex au Paléolithique moyen », *Paléo,* 23, p. 55-84.

DAWSON M.-C., BERNARD-GUELLE S., FERNANDES P., RUÉ M., DOUSSE M., TALLET P., CAVERNE J.-B., GAZAGNOL G. (2011) – « Le site moustérien du Chêne Vert à Dirac (Charente, 16) », *Rapport final d'opération d'archéologie préventive*, Villard-de-Lans, Paléotime, SRA Poitou-Charentes, 3 vol., 557 p.

DEBÉNATH A., JELINEK A. (1999) – Nouvelles fouilles à La Quina (Charente) : résultats préliminaires, *Gallia Préhistoire*, 40, p. 29-74.

DELAGE C. (2006) – *Matières premières siliceuses*, *In :* C. DELAGE, D. SANTALLIER et N. PLATEL, projet de recherche, La Chaire-à-Calvin (Mouthier-sur-Boëme, Charente), Rapport d'activités.

DELAGNES A. (2010a) − *Systèmes techniques, subsistance et mobilité au Paléolithique moyen : interactions et implications diachroniques,* mémoire d'habilitation à diriger des recherches, Université Bordeaux 1, Talence, 323 p.

DELAGNES A. (2010b) – Du rôle structurant de la mobilité dans les systèmes techniques du Paléolithique moyen *In :* Conard N. J. & A. Delagnes (eds.), *Settement dynamics of the Middle Paleolithic and Middle Stone Age, vol. III*. Tübingen : Kerns Verlag, p. 373-396. (Tübingen Publications in Prehistory)

DELAGNES A., TOURNEPICHE J.-F., ARMAND D., DESCLAUX E., DIOT M.-F., FERRIER C., LE FILLÂTRE V., VANDERMEERSCH B., BAHAIN J.-J., BORDES J.-G., FALGUÈRES C., AYLIFFE L., FROGET L., MERCIER N., VALLADAS H. (1999) – Le gisement Pléistocène moyen et supérieur d'Artenac (Saint-Mary, Charente) : premier bilan interdisciplinaire, *Bulletin de la Société préhistorique française*, 96, 4, p. 469-496.

DELAGNES A., ARMAND D., AUGIER D., FEBLOT-AUGUSTINS J., MATILLA K., PARK S.-J., TOURNEPICHE J.-F. (2003) – *Rapport d'activités du Projet Collectif de Recherches « Paléolithique moyen dans le Bassin de la Charente »*, 52 p.

DELAGNES A., BOCHERENS H., FEBLOT-AUGUSTINS J., PARK S.-J. (2004) – *Rapport d'activités du Projet Collectif de Recherches « Paléolithique moyen dans le Bassin de la Charente »*, 42 p.

DELAGNES A., FEBLOT-AUGUSTINS J., MAZIÈRE G., MEIGNEN L., PARK S.-J. (2005) –

Rapport d'activités du Projet Collectif de Recherches « Paléolithique moyen dans le Bassin de la Charente », 48 p.

DELAGNES A., FÉBLOT-AUGUSTINS J., MEIGNEN L., PARK S.-J. (2006) – L'exploitation des silex au Paléolithique moyen dans le Bassin de la Charente : qu'est-ce qui circule, comment… et pourquoi ?, *Bulletin de liaison et d'information de l'Association des Archéologues de Poitou-Charentes*, 35, p. 15-24.

DEMARS P.-Y. (1980) – *Les matières premières siliceuses utilisées au Paléolithique supérieur dans le bassin de Brive*. Bordeaux, Thèse 3ème cycle, Université Bordeaux I, 173 p., 26 fig.

D'ERRICO F. dir. (2010) – Le site aurignacien de Chez les Rois (Mouthiers-sur-Boëme, Charente), *in* J. Buisson-Catil et J. Primault dir., *Préhistoire entre Vienne et Charente - Hommes et sociétés du Paléolithique*. Villefranche-de-Rouergue, Ministère de la Culture et de la Communication, p. 245-253.

DETRAIN L. (2005) – *Neuvic–sur-l'Isle « La Croix de Canard »*, DFS de fouille, Inrap Aquitaine. 123 p.

DUBREUILH J. (1989) - *Synthèse paléogéographique et structurale de dépôts fluviatiles et tertiaires du Nord du Bassin Aquitain, passage aux formations palustres, lacustres et marines*. Documents BRGM, 172, 426 p.

DUBREUILH J., PLATEL J.-P. (1982) – Stratigraphie et sédimentologie des formations continentales tertiaires à faciès sidérolithiques et sables du Périgord. *Bulletin du BRGM*, Fr (2), sect 1, 4, p. 269-280.

DUCHADEAU-KERVAZO Ch. (1982) – *Recherches sur l'occupation paléolithique du bassin de la Dronne*. Thèse de Doctorat en Géologie du Quaternaire et Préhistoire. Université de Bordeaux I., 2 tomes. 885 p.

DUJARDIN V. (2003) – *Les industries à outils spéciaux du Magdalénien final de la vallée de la Charente (Charente, Charente-Maritime) : première approche de séries peu connues. In* E. Ladier dir., *Les pointes à cran dans les industries lithiques du Paléolithique supérieur récent de l'oscillation de Lascaux à l'oscillation de Bölling*, Actes de la table ronde de Montauban (Tarn-et-Garonne), 26-27 avril 2002, 6e supplément à Préhistoire du Sud-Ouest, p. 85-90.

DUJARDIN V., TYMULA S. (2005) – Relecture chronologique des sites paléolithiques et épipaléolithiques anciennement fouillés en Poitou-Charentes. *Bulletin de la Société Préhistorique Française*, t. 102, 4, p. 771-788.

FAIVRE J.-P. (2008) – *Organisation techno-économique des systèmes de production dans le Paléolithique moyen récent du Nord-Est aquitain : Combe-Grenal et Les Fieux,* thèse de doctorat, Université de Bordeaux I, Talence, 555 p.

FEBLOT-AUGSUTIN J., PARK SEONG JIN. (2010) – Circulation des matières premières et modalités d'exploitation territoriale au Paléolithique moyen récent dans le bassin de la Charente, *In* : *Settlement Dynamics of the Middle Paleolithic and Middle Stone Age,* (Conard, N.J. & Delagnes, A., Eds.) Kerns-Verlag, Tübingen : p. 397-426. «Raw material circulation and territory exploitation modalities in the Charente Basin during the Middle Paleolithic».

FÉBLOT-AUGUSTINS J., PARK S.-J., DELAGNES A. (2010) – État des lieux de la lithothèque du basin de la Charente, *www.alienor.org/bibliotheque/lithotheque/lithotheque-charente-2010.pdf*, 72 p.

FOLGADO M., BRENET M. (2010) – Économie de débitage et organisation de l'espace technique sur le site du Paléolithique moyen de plein-air de La Mouline (Dordogne, France). *In* : Conard N. J. & Delagnes A. (eds.), *Settlement dynamics of the Middle Paleolithic and Middle Stone Age. Vol. III.* – Tübingen : Kerns Verlag, 2010, p. 427-454 (Tübingen Publications in Prehistory).

FORESTIER H. (1993) – Le Clactonien : mise en application d'une nouvelle méthode de débitage s'inscrivant dans la variabilité des systèmes de production lithique du Paléolithique ancien. *Paléo*, 5, p. 53-82.

FOURLOUBEY C. (2013)– Clérac Charentes Maritimes (17). LGV SEA - « Le Canton des Bergauds : un cas original d'azilianisation ». Rapport final d'opération, INRAP direction Grand Sud-Ouest.

GALBRAITH R.F., ROBERTS R.G., LASLETT G.M., YOSHIDA H., OLLEY J.M. (1999) – Optical dating of single and multiple grains of quartz from Jinmium rock shelter, northern Australia : Part I. Experimental design and statistical models, *Archaeometry,* 41, p. 339-364.

GENESTE J.-M. (1985) – *Analyse lithiques d'industries moustériennes du Périgord : une approche technologique du comportement des groupes humains au Paléolithique moyen,* thèse de doctorat, Université de Bordeaux 1, Talence.

GOURDON N. (1973) – Étude de quelques concentrations en oxydes de fer dans diverses formations continentales du Bassin Aquitain. Essai de Classification- Doctorat en géologie, Bordeaux 3, 189 p.

GOURDON - PLATEL N. (1977) – Hypothèses sur la formation des dalles silico-ferrugineuses de la bordure Nord-Aquitaine ; revue de géomorphologie dynamique, t XXVI, 2, p. 56-65, ill.

GUERIN G., MERCIER N. (2011) – Determining gamma dose rates by field gamma spectrometry media: Results of Monte Carlo simulations, *Radiation Measurements,* 46, (2), p. 190-195.

HERNANDEZ M., MAUZ B., MERCIER N., SHEN Z. (2012a) – Evaluating the efficiency of TT-OSL SAR protocols, *Radiation Measurements,* 47, p. 669-673.

HERNANDEZ M., MERCIER N., BERTRAN P., COLONGE D., LELOUVIER L.A. (2012b) – Premiers éléments de datation des industries du Pléistocène moyen (Acheuléen-Paléolithique moyen ancien) de la région pyrénéo-garonnaise : une approche géochronologique pluri-méthodes (TL, OSL et TT-OSL) des sites de Duclos et Romentères, *Paléo,* 23, p. 155-170.

IHUEL E. (2012) – Déviation Ouest de Bergerac, 2ème tranche phase 2 : Prigonrieux (L'Escauderie, Les Pinelles), Bergerac (Fontespine, La Mouline). Rapport de diagnostic archéologique, Conseil Général de la Dordogne, mars 2012.

JARRY M. (dir.), COLONGE D. (dir.), LELOUVIER L.-A. (dir.), MOURRE V. (dir.) (2007) – *Les Bosses (Lamagdelaine, Lot, France) : un gisement paléolithique moyen antérieur à l'avant-dernier Interglaciaire sur la moyenne terrasse du Lot*. Société Préhistorique Française, Travaux, n° 7, 158 p.

JAUBERT J. (2010a) – Le gisement paléolithique de Chez Pinaud à Jonzac (Charente-Maritime), *In :* J. Buisson-Catil et J. Primault dir., *Préhistoire entre Vienne et Charente - Hommes et sociétés du Paléolithique,* Villefranche-de-Rouergue, Ministère de la Culture et de la Communication, p. 117-121.

JAUBERT J. (2010b) – Les archéoséquences du Paléolithique moyen en Poitou-Charentes, *In :* J. Buisson-Catil et J. Primault dir., *Préhistoire entre Vienne et Charente - Hommes et sociétés du Paléolithique,* Villefranche-de-Rouergue, Ministère de la Culture et de la Communication, p. 51-55.

JAUBERT J. (Sous Presse) – Les archéoséquences du Paléolithique moyen du Sud-Ouest de la France : quel bilan un quart de siècle après François Bordes. *In* : Delpech F. et Jaubert J. (Dir.), *Hommes célèbres et illustres, colloque 3.2. Colloque international François Bordes*. Congrès National des Sociétés Savantes, Bordeaux, 22-24 avril 2009.

JAUBERT J., HUBLIN J.-J., McPHERRON S., SORESSI M., BORDES J.-G., CLAUD É., COCHARD D., DELAGNES A., MALLYE J.-B., MICHEL A., NICLOT M., NIVEN L., PARK S.-J., RENDU W., RICHARDS M., RICHTER D., ROUSSEL M., E. STEELE T., TEXIER J.-P., THIÉBAUT C. (2008) – Paléolithique moyen récent et Paléolithique supérieur ancien à Jonzac (Charente-Maritime) : premiers résultats des campagnes 2004-2006, *in* J. Jaubert J, J.-G. Bordes et I. Ortega dir., *Les sociétés du Paléolithique dans un Grand Sud-Ouest : nouveaux gisements, nouveaux résultats, nouvelles méthodes*, Actes de la séance SPF, Université Bordeaux 1, Talence, 2006, Paris, Éd. Société préhistorique française (Mémoire 47), p. 203-243.

LASSARADE L., ROUVREAU M., TEXIER A. (1969) – Le gisement paléolithique « du Lycée », à Pons (Charente-Maritime). *Bulletin de la Société préhistorique française. Études et travaux.*, 66, 1, p. 341-354.

LE LICON G. (1997) – Magdaléniens du bassin parisien : comparaisons entre les groupes du centre et des marges sud-ouest. *In* Fagnart J.-P. et Thévenin A. (dir.), *Le Tardiglaciaire en Europe du Nord-Ouest*, (Actes du 119° Congrès National des Sociétés Historiques et Scientifiques, Amiens, 1994), CTHS, 1997, 624 p, p. 187-198.

LE LICON-JULIEN G. (2005) - L'industrie lithique du niveau 5 du Bois-Ragot. *In* Chollet A., Dujardin V. (Ed.), *La grotte du Bois-Ragot à Gouex (Vienne). Magdalénien et Azilien : essais sur les hommes et leur environnement*. Paris, Ed. de la Société préhistorique

française, Mémoires de la SPF XXXVIII, 427 p., p. 67-88.

LENOBLE A., BERTRAN P., MERCIER N., SITZIA L. (2012) – Le site du Lac Bleu et la question de l'extension du pergélisol en France au Pléistocène supérieur. *Quaternaire continental d'Aquitaine : un point sur les travaux récents*. Livret-guide de l'excursion AFEQ-ASF, 2012, Université de Bordeaux, AFEQ, p. 107-121.

LENOBLE A., BETRAN P., LACRAMPE F., BOURGUIGNON L., DETRAIN L. (2003) – Impact de la solifluxion sur les niveaux archéologiques : simulation à partir d'une expérience en milieu actif et application à des sites paléolithiques aquitains. *Paléo,* 15, p. 105-122.

LENOIR M. (1977) – Un gisement de plein air du Périgordien supérieur en Gironde : les Artigaux à Camiac et Saint-Denis. *Bulletin de la Société préhistorique française. Études et travaux*, 74, 2, p. 518-530.

LENOIR M. (1990) – Le passage du Paléolithique moyen au Paléolithique supérieur dans les basses vallées de la Dordogne et de la Garonne. *In : Actes du Colloque International* de *Nemours 'Paléolithique moyen récent et Paléolithique supérieur ancien en Europe'*. Mémoires du Musée de Préhistoire d'Ile de France, 3, p. 215-221.

LÉVÊQUE F., BACKER A., GUILBAUD M. (1993) – *Context of a Late Neanderthal. Implications of Multidisciplinary Research for the Transition to Upper Paleolithic Adaptations at Saint-Césaire, Charente-Maritime, France.* Éd. Prehistory Press, Madison, Monographs in World Archaeology 16, 131 p.

LOCHT J.-L., SWINNEN C. (1994) – Le débitage discoïde du gisement de Beauvais (Oise) : aspects de la chaîne opératoire au travers de quelques remontages. *Paléo,* 6, p. 89-104.

MATILLA K., DEBENATH A. (2003) – La grotte Marcel Clouet à Cognac (Charente). *L'Anthropologie*, 107, 1, p. 49-115.

MAUREILLE B. (2003) – Nouvelles fouilles dans le gisement du Paléolithique moyen des Pradelles (commune de Marillac-le-Franc, Charente), *Anthropologica et Praehistorica*, 114, p. 160-161.

MAUREILLE B. dir. (2010) - Les Pradelles à Marillac-le-Franc (Charente). Fouilles 2001-2007 : nouveaux résultats et synthèse, *In* : J. Buisson-Catil et J. Primault dir., *Préhistoire entre Vienne et Charente - Hommes et sociétés du Paléolithique*. Villefranche-de-Rouergue, Ministère de la Culture et de la Communication, p. 145-162.

MAURIN L. (1999) – *Carte archéologique de Gaule, la Charente Maritime*, Paris : Éditions de la Maison des Sciences de l'Homme, 17, 1, 363 p.

MEIGNEN L. (1993) – *L'abri des Canalettes, un habitat moustérien sur les Grands Causses (Nant, Aveyron)*. Monographie du C.R.A. n° 10, C.N.R.S. édition, Paris, 359 p.

MEJDAHL V. (1979) - TL dating : beta dose attenuation in quartz grains, *Archaeometry,* 21, p. 61-72.

MELLARS P. (1996) – *The Neanderthal Legacy*. Ed. University of Princeton Press, Princeton. 471 p.

MICHEL A., D'ERRICO F., LENOBLE A., VANHAEREN M. RAMIREZ ROZZI F., GROOTES P., RENOU S., RENDU W., DAULNY L. VERNA C., GUY R. (2008) – Nouvelles fouilles sur le site aurignacien Chez les Rois (Mouthiers-sur-Boëme, Charente), *In :* J. Jaubert, J.-G. Bordes, et I. Ortega dir., *Les sociétés du Paléolithique dans un grand Sud-Ouest de la France : nouveaux gisements, nouveaux résultats, nouvelles méthodes*, Actes de la séance SPF, Université Bordeaux 1, Talence, 2006, Paris, Éd. Société préhistorique française (Mémoire 47), p. 289-299.

MORALA A. (1980) – *Observations sur le Périgordien, l'Aurignacien et leurs matières premières lithiques en Haut-Agenais,* Toulouse, Mémoire École des hautes études en sciences sociales, 191 p.

MORALA A. (1992) – Un site Magdalénien supérieur de plein air en Bergeracois : Usine Henry, Creysse (Dordogne). *In* (dir.), *Le peuplement magdalénien : actes du colloque de Chancelade, 10-15 oct. 1988*, Éditions du CNRS, p. 235-246.

MORALA A. (1999) – « Grandes pièces arquées du Magdalénien supérieur » : une nouvelle préforme de grand nucléus à lames découverte en Lot-et-Garonne. *Paléo* 11, p. 199-209.

MORTILLET A. de (1912) – Le solutréen inférieur de la grotte du Placard, *Revue anthropologique*, XXII, p. 409-419.

MOUTON P., JOFFROY R. (1958) – *Le* gisement aurignacien des Rois à Mouthiers (Charente), 9e supplément à *Gallia Préhistoire*, Paris, 140 p.

MURRAY A.S., WINTLE A.G. (2000) – Luminescence dating of quartz using an improved single-aliquot regenerative-dose protocol, *Radiation Measurements,* 35, p. 57-73.

NEUMANN M., PLATEL J.-P. *et al.* (1983) – Le Campanien stratotypique : étude lithologique et micropaléontologique. *Géol. Méditer.*, Marseille, 10/3-4, p. 41-57.

PARK S.-J. (2007) – *Systèmes de production lithique et circulation des matières premières au Paléolithique moyen récent et final. Une approche techno-économique à partir des industries lithiques de La Quina (Charente)*, thèse de Doctorat, Université Paris X, Nanterre, 336 p.

PELEGRIN J. (2000) – Les techniques de débitage laminaire au Tardiglaciaire : critères de diagnose et quelques réflexions. *In :* Valentin B., Bodu P., Christensen M. (dir.), *L'Europe Centrale et septentrionale au Tardiglaciaire : confrontation des modèles régionaux de peuplement : actes de la table ronde internationale de Nemours, 14-16 Mai 1997,* Nemours, APRAIF, Mémoires du Musée de Préhistoire d'Ile-de-France 7, 1 vol., 361 p., p. 73-86.

PERESANI M. dir. (2003) – *Discoid lithic technology - Advances and implications*, Oxford, B.A.R. International Series 1120, 275 p.

PERESANI M. (1998) – La variabilité du débitage discoïde dans la grotte de Fumane (Italie du Nord). *Paléo,* 10, p. 123-146.

PLATEL J.-P. (1977) – Le Campanien stratotypique dans le synclinal de Saintes (Charentes) : lithostratigraphie, géomorphologie et biozonation. Bulletin du BRGM Fr, (2), sect I, p. 261-275.

PLATEL J.-P. (1978) – L'anticlinal de Chalais Saint-Félix (Charente) : structure peu connue de la plate-forme nord-aquitaine mise en évidence par l'analyse lithostratigraphique. *Bulletin du BRGM*, Fr.(2), sect. I, 4, p. 371-378.

PLATEL J.-P. (1987) – *Le Crétacé supérieur de la plate-forme septentrionale du bassin d'Aquitaine. Stratigraphie et évolution géodynamique.* Thèse Doctorat d'Etat es-Sciences, Bordeaux III, 573 p. avec atlas. Documents BRGM, n° 164 (1989).

PLATEL J.-P. (1996) – Stratigraphie, sédimentologie et évolution géodynamique de la plate-forme carbonatée du Crétacé supérieur du Nord du bassin d'Aquitaine. *Géologie de la France*, 4, p. 33-58.

PLATEL J.P., CÉLÉRIER G., DUCHADEAU-KERVAZO C., CHEVILLOT C. CHARNET F. (1999) – *Notice explicative de la Feuille de Ribérac à 1 :50000*, 102 p.

PRESCOTT J.R., HUTTON J.T. (1988) – Cosmic ray and gamma ray dosimetry for TL and ESR, *Nuclear Tracks and Radiation Measurements,* 14, p. 223-227.

PRIMAULT J. (2003) – *Exploitation et diffusion des silex de la région du Grand-Pressigny au Paléolithique*, Thèse de doctorat, Université Paris X – Nanterre, 352 p.

PRIMAULT J., BROU L., GABILLEAU J., LANGLAIS M., GUÉRIN S., et coll. (2007) – La grotte du Taillis des Coteaux à Antigny (Vienne) : intérêts d'une séquence originale à la structuration des premiers temps du Magdalénien. *Bulletin de la Société préhistorique française,* 104, 4, p. 743-758.

REDAIS S. dir. (2011) – Montguyon*, Saint-Martin-d'Ary, Poitou-Charente, Charente-Maritime, LGV, SEA1 – Phase 15 PK 76,6 – PK82*, Rapport de diagnostic, INRAP, 130 p.

ROUSSEL M., SORESSI M. (2010) – La Grande Roche de la Plématrie à Quiçay (Vienne). L'évolution du Châtelperronien revisitée, *In :* J. Buisson-Catil et J. Primault dir., *Préhistoire entre Vienne et Charente - Hommes et sociétés du Paléolithique*. Villefranche-de-Rouergue, Ministère de la Culture et de la Communication, p. 203-220.

SÉRONIE-VIVIEN M. (1972) – *Contribution à l'étude du Sénonien en Aquitaine septentrionale, Les stratotypes français*, (Éd.) du CNRS, Paris, 65 p.

SÉRONIE-VIVIEN M. et SÉRONIE-VIVIEN M.-R. (1987) – *Les silex du Mésozoïque nord-aquitain : approche géologique de l'étude des silex pour servir à la recherche préhistorique*. Bordeaux, Société linnéenne de Bordeaux (Bulletin de la Société linnéenne de Bordeaux - Supplément au tome 15), 135 p.

SIREIX M., BORDES F. (1972) – Le moustérien de Chinchon (Gironde). *Bulletin de la Société Préhistorique Française,* 69, 1, p. 324-336.

SORESSI M. dir. (2010) – Les Cottés (Vienne). Nouveaux travaux sur l'un des gisements de référence pour la transition Paléolithique moyen/supérieur, *in* J. Buisson-Catil et J. Primault dir., *Préhistoire entre Vienne et Charente - Hommes et sociétés du Paléolithique*. Villefranche-de-Rouergue, Ministère de la Culture et de la Communication, p. 221-234

TALLET P. (2013) – *Les sites épipaléolithiques et mésolithiques de Saint-Lizier à Creysse, Dordogne*. Rapport final d'opération, Paléotime, août 2013.

THIÉBAUT C. (2005) – *Le Moustérien à denticulés : Variabilité ou diversité techno-economique*, Thèse de Doctorat, Université d'Aix-Marseille – Université de Provence, 643 p.

THIEBAUT C., MEIGNEN L., LÉVEQÛE F. (2009) – Les dernières occupations moustériennes de Saint-Césaire (Charente - Maritime, France) : diversité des techniques utilisées et comportements économiques pratiqués, *Bulletin de la Société Préhistorique Française*, 106, 4, p. 691-714.

TIXIER J., INIZAN M.-L., ROCHE H. (1980) – *Préhistoire de la pierre taillée I, Terminologie et technologie*. Cercle de recherches et d'études préhistoriques, Paris, 120 p.

TRIBOLO C., MERCIER N., VALLADAS H. (2001) – Alpha sensitivity determination in quartzite using an OSL single aliquot procedure, *Ancient TL,* 19, p. 47-50.

TURQ A. (1992) – L'approvisionnement en matières premières lithiques de Magdalénien du Quercy et du Haut-Agenais, *In* : *Le peuplement magdalénien Paléogéographie physique et humaine, Documents préhistoriques, Actes du colloque de Chancelade 10-1*, Paris, CTHS, p. 301-308.

TURQ A. (2000) – *Paléolithique inférieur et moyen entre Dordogne et Lot.* Supplément-Paléo, 2, 456 p.

TURQ A., FOURLOUBEY C., CAZALS N. (1995) – La Jaubertie, gisement magdalénien de plein air : Premiers bilans. *Paléo*., 7, p. 171-186.

VALENTIN B. (1995) – *Les groupes humains et leurs traditions au Tardiglaciaire dans le Bassin Parisien. Apports de la technologie lithique comparée*, thèse de l'université de Paris I, Panthéon Sorbonne, 3 vol.

VALENTIN B. (2000) – L'usage des percuteurs en pierre tendre pour le débitage des lames. Circonstances de quelques innovations au cours du Tardiglaiaire dans le Bassin Parisien. *In :* Pion G. (dir.) *Le Paléolithique supérieur récent : nouvelles données sur le peuplement et l'environnement. Actes de la table ronde de Chambéry (12-14 mars 1999)*. Mémoire de la SPF, XXVIII, p. 253-260.

VALENTIN B. (2005) – Transformations de l'industrie lithique pendant l'Azilien. Etude des niveaux 3 et 4 du Bois-Ragot. *In* : Chollet A., Dujardin V. (Ed.), *La grotte du Bois-Ragot à Gouex (Vienne). Magdalénien et Azilien : essais sur les hommes et leur environnement*. Paris, Ed. de la Société préhistorique française, Mémoires de la SPF XXXVIII, 427 p., p. 89-182.

VALENTIN B. (2008) – Productions lithiques magdaléniennes et aziliennes dans le Bassin parisien : disparition d'une économie programmée. *The Arkeotek Journal*, volume 2, n° 3.

VIELLEVIGNE E., BOURGUIGNON L., ORTEGA I., GUIBERT P. (2008) – Analyse croisée des données chronologiques et des industries lithiques dans le grand sud-ouest de la France (OIS 10 à 3), *Paléo*, 20, p. 145-166.

WATSON G.S. (1966) − The statistics of orientation data, *Journal of Geology*, 74, p. 786-792.

Liste des figures

157 **Figure 1-01 –** localisation aérienne du site sur le tracé de la LGV

158 **Figure 1-02 –** carte archéologique sur la commune de Montguyon

159 **Figure 1-03 –** contexte archéologique régional

160 **Figure 1-04 –** plan de masse avec bandes de projections des coupes restituées

1161 **Figure 1-05 –** principes du carroyage

162 **Figure 1-06 –** plan de circulation et organisation logistique du chantier

163 **Figure 1-07 –** phase 1 de l'opération archéologique - réalisation de tranchées stratigraphiques en bordures d'emprise ferme et au centre de l'emprise conditionnelle

164 **Figure 1-08 –** phase 2 de l'opération archéologique - décapage mécanique de la zone ouest (A) et début de fouille manuelle en locus 0

165 **Figure 1-09 –** phase 3 de l'opération archéologique – poursuite des tranchées stratigraphiques et début de sectorisation

166 **Figure 1-10 –** phase 4 de l'opération archéologique - décapage mécanique des zones sud (B) et est (D)

167 **Figure 1-11 –** phase 5 de l'opération archéologique – décapage mécanique de la zone C et reprise des zones A-est et du nord de la berme A/B

168 **Figure 1-12 –** phase 6 de l'opération archéologique - décapage mécanique du nord de la berme A/C et de la zone C

169 **Figure 1-13 –** phase 7 de l'opération archéologique – reprise mécanique de plusieurs petites bermes et/ou secteurs de fouille manuelle

170 **Figure 1-14 –** phase 8 de l'opération archéologique – décapage des grandes bermes (A/B, B/C et B/D)

171 **Figure 1-15 –** phase 9 de l'opération archéologique – fin du décapage mécanique de la berme C/D et de l'angle nord-est de l'emprise ferme

172 **Figure 1-16 –** phase 10 de l'opération archéologique – reprise mécanique des dernières bermes témoins ou locus de fouille manuelle et liaison stratigraphique avec la zone conditionnelle

173 **Figure 1-17 –** phase 11 de l'opération archéologique – derniers sondages profonds et relevés de coupes

174 **Figure 1-18 –** méthodologie d'approche de l'emprise conditionnelle

175 **Figure 1-19 –** méthodes de fouille

176 **Figure 1-20 –** ambiance et décapage mécanique

177 **Figure 1-21 –** fouille hivernale et aléas climatiques

178 **Figure 1-22 –** vues panoramiques du site en cours de fouille

179 **Figure 1-23 –** vues panoramiques du site en cours de fouille

180 **Figure 1-24 –** vues panoramiques générales du site

183 **Figure 2-01 –** les grands pays géologiques de Charente-Maritime

184 **Figure 2-02 –** extrait de la carte géologique de Montguyon au 1/50 000

185 **Figure 2-03 –** extrait de la carte pédologique de Charente-Maritime

186 **Figure 2-04 –** localisation des coupes restituées et séquence type du site

187 **Figure 2-05 –** aperçu photographique des unités pédosédimentaires en coupe

188 **Figure 2-06 –** aperçu photographique des unités pédosédimentaires en plan

189 **Figure 2-07 –** restitutions stratigraphiques d'après les points topographiés en coupe

190 **Figure 2-08 –** vues des coupes de référence échantillonnées

191 **Figure 2-09 –** aperçu des microfaciès

192 **Figure 2-10 –** résultats analytiques

193 **Figure 2-11 –** distribution granulométrique de la fraction inférieure à 2 mm par diffraction laser

359 **Figure 2-12 –** coupe stratigraphique 1 (format A3)

360 **Figure 2-13 –** coupes stratigraphiques 4 et 9 (format A3)

361 **Figure 2-14 –** coupes stratigraphiques 5 et 8 (format A3)

362 **Figure 2-15 –** coupes stratigraphiques 11 et 20 (format A3)

363 **Figure 2-16 –** coupes stratigraphiques 10 et 12 (format A3)

364 **Figure 2-17 –** coupes stratigraphiques 16 et 19 (format A3)

365 **Figure 2-18 –** coupes stratigraphiques 22 et 31 (format A3)

196 **Figure 3-01 –** distribution Prélèvements et mesures pour datations OSL sur les coupes 10.3 (gauche) et 8.1 (droite)

196 **Figure 3-02 –** représentations radiales des différentes valeurs de palédoses obtenues pour chaque échantillon

197 **Figure 3-03 –** description du protocole SAR employé pour l'échantillon MBC11-PR88

197 **Figure 3-04 –** Description du protocole de TT-OSL mis en œuvre pour les échantillons MBC11-PR89, PR84, PR86, PR87

198 **Figure 3-05 –** Synthèse des données intervenant dans le calcul des âges des échantillons de Montguyon Bois-Clair

199 **Figure 3-06 –** Distribution des âges obtenus

203 **Figure 4-01 –** projection du mobilier par attributions chrono-culturelles toutes UPS confondues

204 **Figure 4-02 –** projection du mobilier prélevé en UPS4 ; les cercles marquent les principales zones de densité

205 **Figure 4-03 –** projection du mobilier prélevé dans la partie inférieure de la séquence ; les cercles marquent les principales zones de densité alors que la zone grisée matérialise une bande large d'un peu moins de 50 m dans laquelle a été trouvée l'essentiel du mobilier

206 **Figure 4-04 –** projection par attributions pétrographiques toutes UPS confondues

207 **Figure 4-05 –** projection par catégories techno-typologiques toutes UPS confondues

208 **Figure 4-06 –** projections par catégories techno-typologiques – détails

209 **Figure 4-07 –** projections des remontages réalisés ; en jaune les locus pour lesquels une analyse plus détaillée des distances et orientations et disponibles

210 **Figure 4-08 –** répartition des différents types de raccords

210 **Figure 4-09 –** distribution verticale des raccords

211 **Figure 4-10 –** tableaux et graphiques illustrant les distances des liaisons pour l'ensemble des remontages du Paléolithique moyen et du Paléolithique supérieur ainsi qu'au sein des locus 12bis, 15 et 0/9/11

212 **Figure 4-11 –** graphiques en rose des orientations des liaisons pour l'ensemble des remontages du Paléolithique moyen et du Paléolithique supérieur ainsi que pour les locus 12bis, 15 et 0/9/11

213 **Figure 4-12 –** localisation des zones ayant fait l'objet de mesures de fabriques

214 **Figure 4-13 –** diagrammes en rose, de Schmidt et de Benn sur les mesures de fabriques réalisées en locus 9, 0/9/11 et 15

215 **Figure 4-14 –** granulométrie de la fraction anthropique des locus 4 et 0/9/11

216 **Figure 4-15 –** approche comparative des états de surface par locus de fouille

217 **Figure 4-16 –** approche comparative des états de surface par UPS

221 **Figure 5-01 –** effectif et masse du mobilier issu du diagnostic et de la fouille

221 **Figure 5-02 –** détail du mobilier récolté à la fouille

221 **Figure 5-03 –** modes de prélèvements du mobilier récolté

221 **Figure 5-04 –** distribution stratigraphique du mobilier récolté

222 **Figure 5-05 –** position du mobilier récolté

222 **Figure 5-06 –** polarité du mobilier récolté

222 **Figure 5-07 –** attribution chrono-culturelle du mobilier récolté

222 **Figure 5-08 –** types d'altérations subis par le mobilier récolté

366 **Figure 5-09 –** carte des formations à silex autour de Montguyon (format A3)

368 **Figure 5-10 –** tableau des formations à silex (format A3)

223 **Figure 5-11 –** tableau des types pétrographiques identifiés pour le Paléolithique moyen

224 **Figure 5-12 –** tableau des types pétrographiques identifiés pour le Paléolithique supérieur

225 **Figure 5-13 –** tableau des types pétrographiques identifiés pour l'Epipaléolithique

226 **Figure 5-14 –** tableau des types pétrographiques identifiés pour le Néolithique supposé

228 **Figure 5-15 –** Paléolithique moyen, répartition technologique du mobilier

229 **Figure 5-16 –** Paléolithique moyen, graphique circulaire illustrant la repré sentativité des différentes séquences opératoires identifiées

229 **Figure 5-17 –** Paléolithique moyen, types de talons des supports

229 **Figure 5-18 –** Paléolithique moyen, angles d'éclatement des supports

230 **Figure 5-19 –** Paléolithique moyen, section des supports

230 **Figure 5-20 –** Paléolithique moyen, accidents de débitage

230 **Figure 5-21 –** Paléolithique moyen, supports des nucléus

230 **Figure 5-22 –** Paléolithique moyen, dimensions des nucléus

231 **Figure 5-23 –** Paléolithique moyen, grandes catégories d'outils

231 **Figure 5-24 –** répartition du mobilier qui n'a pu être rapporté au Paléolithique moyen ou au Paléolithique supérieur

232 **Figure 5-25 –** plan des locus 1 et 2, photo du locus 1 en cours de fouille

233 **Figure 5-26 –** mobilier des locus 1 et 2 lors de leur découverte

234 **Figure 5-27 –** plan et photo du locus 3

235 **Figure 5-28 –** photos de détail de la position du mobilier retrouvé en locus 3

236 **Figure 5-29 –** plan et photo du locus 4

237 **Figure 5-30 –** mobilier et colonne granulométrique en locus 4

238 **Figure 5-31 –** bloc de silex gélifracté du locus 6

239 **Figure 5-32 –** plan et photos du locus 7

240 **Figure 5-33 –** plan et photo du locus 8

241 **Figure 5-34 –** plan et photos du locus 10

242 **Figure 5-35 –** plan et photos du locus 13

243 **Figure 5-36 –** plan et photos du locus 15

244 **Figure 5-37 –** détails du locus 15 en fin de décapage 1

245 **Figure 5-38 –** plan et photos du locus 16

246 **Figure 5-39 –** plan et photos des locus 12 et 12bis

247 **Figure 5-40 –** photos du locus 12bis tourné vers la production de pointes pseudo-Levallois (PPSL)

248 **Figure 5-41 –** plan du mobilier et des remontages du locus 12 bis

249 **Figure 5-42 –** locus 12 bis, détails du remontage 47-48

250 **Figure 5-43 –** locus 12 bis, détails des remontages 38, 49 et 50

251 **Figure 5-44 –** locus 12 bis, détails du remontage 51

252 **Figure 5-45 –** vues du mobilier du locus 12

253 **Figure 5-46 –** proximité géographique et stratigraphique des locus 12bis/15

254 **Figure 5-47 –** plan et photos de détails du mobilier en locus 0

255 **Figure 5-48 –** plan, mobilier et bloc micromorphologique du locus 9

256 **Figure 5-49 –** extrait de plan du locus 9, décapage 3

257 **Figure 5-50 –** plan et photos de détails du mobilier en locus 11

258 **Figure 5-51 –** détail des locus 0/9/11 et de l'imbrication des niveaux paléolithiques moyen et supérieur

259 **Figure 5-52 –** plan des locus 0/9/11 avec remontages et mobilier du Paléolithique supérieur

260 **Figure 5-53 –** plan des locus 0/9/11 avec remontages et mobilier du Paléothique moyen

261 **Figure 5-54 –** caractéristiques techno-morpologiques des pointes pseudo-Levallois

262 **Figure 5-55 –** production de pointes pseudo-Levallois : modalité 2 et 3a - débitage alternant sur surfaces adjacentes : schéma opératoire au niveau de la surface A

263 **Figure 5-56 –** production de pointes pseudo-Levallois : modalité 2 - débitage alternant sur surfaces adjacentes non hiérarchisées : schéma opératoire au niveau des surfaces A/B

264 **Figure 5-57 –** pointes pseudo-Levallois de morpho-type 1 (unipolaire) essentiellement obtenues via la modalité de production discoïde 2

265 **Figure 5-58 –** pointes pseudo-Levallois de morpho-types 1 (unipolaire) et 2 (bipolaire) obtenues via les modalités de production discoïdes 1, 2 et 3a

266 **Figure 5-59 –** pointes pseudo-Levallois de morpho-type 2 (bipolaire) obtenues via les modalités de production discoïdes 1, 2 et 3a

267 **Figure 5-60 –** pointes pseudo-Levallois de morpho-type 2 (bipolaire) obtenues via les modalités de production discoïdes 1 et 2

268 **Figure 5-61 –** production de pointes pseudo-Levallois : modalité 3b - débitage alternant sur surfaces adjacentes hiérarchisées à partir d'éclat-support : production récurrente décalée

269 **Figure 5-62 –** production de pointes pseudo-Levallois : modalité 3b - débitage alternant sur surfaces adjacentes hiérarchisées à partir d'éclat-support (en grisé) - production récurrente superposée

270 **Figure 5-63 –** pointes pseudo-Levallois de morpho-type 3 (kombewa) obtenues via la modalité de production discoïdes 3b

271 **Figure 5-64 –** R51 - pointes pseudo-Levallois issues du début (a.) et de la fin (c.) de l'exploitation de la première partie du bloc et du début (b.) de l'exploitation de la seconde partie du bloc - cf. aussi fig. 5-69 à 5-71

272 **Figure 5-65 –** pointes pseudo-Levallois issues des remontages 50 (a. et fig. 5-72), 49 (c. et fig. 5-73), 33 (d.) ou isolées (b. et e.)

273 **Figure 5-66 –** R51 - pointes pseudo-Levallois issues du remontage 94 (d. - cf. fig. 5-81) ou isolées (a.-c. et e.)

274 **Figure 5-67 –** pointes pseudo-Levallois atypiques issues du remontage 110 (a. - cf. fig. 5-79) ou isolées (b.-c.). La pièce b. est de type « Kombewa »

275 **Figure 5-68 –** R51 - produits à dos continu (a., b.) et limité (pointes pseudo Levallois : c. à f.) et éclat quadrangulaire (g.) composant une partie du remontage 47. Les pièces c. et d. sont de type « Kombewa » (R47)

369 **Figure 5-69 –** sélection d'un rognon oblong régulier d'environ 30x9x7 cm, fracturation volontaire puis exploitation des deux parties par débitage alternant sur surfaces adjacentes dans l'objectif de produire des pointes pseudo-Levallois en série (format A3)

370 **Figure 5-70 –** les deux parties du bloc sont exploitées de la même façon, par débitage alternant sur surfaces adjacentes non hiérarchisées. Vues des deux préparations identiques par enlèvements unidirectionnels alternants (b. et c.) qui permettront le détachement successif des deux premières pointes pseudo-Levallois (d. et e.) sur chacune des deux parties du bloc (format A3)

371 **Figure 5-71 –** le débitage alternant sur surfaces adjacentes non hiérarchisées se poursuit en s'inscrivant dans l'épaisseur du bloc (a. - c.) et se restreint à une surface préférentielle en fin d'exploitation (d. - h.) (format A3)

372 **Figure 5-72 –** sélection d'un rognon oblong régulier d'environ 25 x 9 x 8 cm et fracturation volontaire (a.) puis exploitation attestée sur site d'une des deux parties par débitage alternant sur surfaces adjacentes dans l'objectif de produire des pointes pseudo-Levallois en série (format A3)

276 **Figure 5-73 –** sélection d'un petit rognon irrégulier d'environ 11 x 8 x 7 cm (a.) exploité par débitage alternant sur surfaces adjacentes dans l'objectif de produire des pointes pseudo-Levallois (b.).

373 **Figure 5-74 –** sélection d'un bloc d'environ 15x14x11 cm exploité par débitage alternant sur surfaces adjacentes dans l'objectif de produire des pointes pseudo-Levallois. Au moins un éclat issu des premières phases d'exploitation est recyclé en nucléus aux objectifs identiques (format A3)

374 **Figure 5-75 –** autre vue montrant une préparation bipolaire opposée et le détachement d'éclats débordants précédant celui des éclats à dos limités (format A3)

375 **Figure 5-76 –** poursuite du débitage alternant sur surfaces adjacentes (a.- c.) et utilisation d'un éclat cortical pour une production de type « Kombewa »

277 **Figure 5-77 –** petit bloc exploité par débitage alternant sur surfaces adjacentes (a. - b. = pointes non remontées). Au moins un éclat issu des premières phases d'exploitation est recyclé en nucléus aux objectifs identiques

278 **Figure 5-78 –** nucléus sur éclat : production récurrente superposée de pointes pseudo-Levallois (modalité 3b)

376 **Figure 5-79 –** débitage discoïde : seule la surface A est pourvoyeuse en éclats à dos (pointes pseudo-Levallois et éclats débordants) ; dernière phase et nucléus absents (format A3)

279 **Figure 5-80 –** Bloc-plaquette d'environ 22 x 21 x 7 cm et de qualité moyenne - phase d'exploitation 1 : ouverture d'un plan de frappe dans l'épaisseur du bloc puis débitage unipolaire de gros éclats corticaux dont un au moins est recyclé en nucléus peu exploité

377 **Figure 5-81 –** le bloc est exploité dans son épaisseur et de façon quasi-périphérique par une alternance d'enlèvements partant des deux faces (format A3)

280 **Figure 5-82 –** n° 2962 et 2618 : nucléus à pointes pseudo-Levallois sur face inférieure d'éclat (modalité kombewa) et n° 1423 sur bloc

281 **Figure 5-83 –** n° 930 : nucléus à pointes pseudo-Levallois sur face inférieure d'éclat (modalité 3b) ; R25 : débitage de type Kombewa

282 **Figure 5-84 –** exemples de débitage de pointes pseudo-Levallois et de patines polarisées

283 **Figure 5-85 –** Eclat à dos cortical outrepassé (1) retouché en racloir (2) puis débité sur sa face inférieure avec production de plusieurs éclats à dos limité

284 **Figure 5-86 –** R35 et 102 : débitage de type discoïde

285 **Figure 5-87 –** débitage discoïde unifacial

286 **Figure 5-88 –** nucléus discoïdes bifaciaux

287 **Figure 5-89 –** deux nucléus appartenant probablement au même bloc d'origine: le remontage 91 illustre un débitage peu élaboré et opportuniste (adapté à la piètre qualité et aux plans de fractures du bloc) ; le remontage 92 illustre un débitage de type discoïde bifacial

288 **Figure 5-90 –** débitage discoïde unifacial - nucléus exploité puis fracturé, les deux fragments seront de nouveau débités de manière identique (les remontages illustrent cette seconde phase de production)

378 **Figure 5-91 –** débitage discoïde stricto sensu par exploitation périphérique et enlèvements de direction centripète et cordale (et plans de détachement sécants) - phase 1 (format A3)

379 **Figure 5-92 –** produits centrés et débordants issus de la phase 1 d'exploitation du nucléus (a.) suivis d'une seconde phase de production sur la surface opposée depuis un pôle plus limité et des plans de fracturation sub-parrallèles (b.). Le nucléus est ensuite retourné une nouvelle fois pour détacher une série unidirectionnelle de 3 enlèvements (c.) puis le nucléus fait l'objet d'un aménagement par retouches (outil encoché-denticulé) (d.) (format A3)

289 **Figure 5-93 –** débitage Levallois récurrent bipolaire

290 **Figure 5-94 –** débitage Levallois récurrent bipolaire

291 **Figure 5-95 –** débitage de lames Levallois avec reconfiguration distale des convexités ; R95 : débitage Levallois sur face supérieure d'éclat cortical

292 **Figure 5-96 –** débitage Levallois à éclat préférentiel ; R58 : débitage récurrent centripète, sur face inférieure d'éclat cortical repris du nucléus Levallois précédent ? R59 : débitage Levallois récurrent unipolaire

293 **Figure 5-97 –** débitage facial unipolaire

294 **Figure 5-98 –** R24 : débitage unipolaire semi-tournant ; R36-37 : nucléus à débitage unipolaire semi-tournant et gestion bipolaire ; en fin d'exploitation, la table de débitage a été réorientée

295 **Figure 5-99 –** R79 : débitage unipolaire alternant

296 **Figure 5-100 –** nucléus sur face étroite (dont tranche d'éclat) ; R14 : débitage unipolaire initialisé sur face étroite et se développant sur face large

297 **Figure 5-101 –** n° 5730, 4071, 3372 : percuteurs ; R71 : mise en forme d'une crête et débitage bipolaire de petites lames ; R72 : débitage bipolaire/centripète (sur éclat support ?)

298 **Figure 5-102 –** percuteurs

299 **Figure 5-103 –** biface cordiforme à patine polarisée

300 **Figure 5-104 –** R43 : pointe Levallois ; n° 665 : racloir déjeté double en dent de requin ; n° 2354 : éclat retouché/débité sur ses deux faces, à double patine

301 **Figure 5-105 –** Pointes pseudo-Levallois (dessins : R. Picavet)

302 **Figure 5-106 –** n° 5005 : racloir convergent convexe à dos aminci, retouche scalariforme et double patine ; n° 2267 : racloir double aminci aux deux extrémités (dessins : R. Picavet)

303 **Figure 5-107 –** racloirs convergents convexes ; hs98 : pointe moustérienne (dessins : R. Picavet)

304 **Figure 5-108 –** n° 409 et 3238 : racloirs simples convexes (à base amincie pour le 3238) ; n° 6033 : racloir convergent convexe (dessins : R. Picavet)

305 **Figure 5-109 –** plan des iso-densités de la fraction grossière, locus 00/09/11, altitude 82,80

306 **Figure 5-110 –** plan des iso-densités de la fraction grossière, locus 00/09/11, altitude 82,85

307 **Figure 5-111 –** plan des iso-densités de la fraction grossière, locus 00/09/11, altitude 82,90

308 **Figure 5-112 –** plan des iso-densités de la fraction grossière, locus 00/09/11, altitude 82,95

309 **Figure 5-113 –** plan des iso-densités de la fraction grossière, locus 00/09/11, altitude 83,00

310 **Figure 5-114 –** plan des iso-densités de la fraction grossière, locus 00/09/11, altitude 83,05

311 **Figure 5-115 –** plan des iso-densités de la fraction grossière, locus 00/09/11, altitude 85,10

312 **Figure 5-116 –** plan des iso-densités de la fraction fine, locus 00 décapage 8 et locus 09 décapage 6

313 **Figure 5-117 –** plan des iso-densités de la fraction fine, locus 00 décapage 7 et locus 09 décapage 5

314 **Figure 5-118 –** plan des iso-densités de la fraction fine, locus 00 décapage 6 et locus 09 décapage 4

315 **Figure 5-119 –** plan des iso-densités de la fraction fine, locus 00 décapage 5, locus 09 décapage 3 et locus 11 décapage 4

316 **Figure 5-120 –** plan des iso-densités de la fraction fine, locus 00 décapage 4, locus 09 décapage 2 et locus 11 décapage 3

317 **Figure 5-121 –** plan des iso-densités de la fraction fine, locus 00 décapage 3, locus 09 décapage 1 et locus 11 décapage 2

318 **Figure 5-122 –** plan des iso-densités de la fraction fine, locus 00 décapage 2 et locus 11 décapage 1

319 **Figure 5-123 –** locus 00/09/11, tamisage, décompte par décapage

319 **Figure 5-124 –** locus 00/09/11, non côtés à la fouille, décompte par décapage

320 **Figure 5-125 –** locus 00/09/11, totalité du mobilier, décompte par décapage

320 **Figure 5-126 –** tests tamis locus 00 par carrés

321 **Figure 5-127 –** tests tamis locus 09 par carrés

321 **Figure 5-128 –** tests tamis locus 11 par carrés

321 **Figure 5-129 –** tamisage locus 07

322 **Figure 5-130 –** décomptes du mobilier du Paléolithique supérieur

322 **Figure 5-131 –** locus 00/09/11, décomptes en % du mobilier du Paléolithique supérieur

323 **Figure 5-132 –** locus 00/09/11, graphiques circulaires de la répartition du mobilier

324 **Figure 5-133 –** décomptes du mobilier de l'Epipaléolithique

324 **Figure 5-134 –** locus 00/09/11, talons et types de percussion

326 **Figure 5-135 –** remontages

327 **Figure 5-136 –** outils du Paléolithique supérieur

327 **Figure 5-137 –** locus 00/09/11, décomptes pour AFC

327 **Figure 5-138 –** locus 00/09/11, décomptes pour graphique circulaire sur les composantes technologiques

327 **Figure 5-139 –** gabarits des productions lamino-lamellaires du Paléolithique supérieur

328 **Figure 5-140 –** gabarits des productions lamino-lamellaires régulières et outillages du Paléolithique supérieur

328 **Figure 5-141 –** gabarits des productions lamino-lamellaires régulières de l'Epipaléolithique

328 **Figure 5-142 –** mensurations des produits lamino-lamellaires réguliers

330 **Figure 5-143 –** mensurations des supports retouchés

331 **Figure 5-144 –** AFC

332 **Figure 5-145 –** locus 00/09/11, graphiques circulaires des composantes technologiques

333 **Figure 5-146 –** décomptes du mobilier en locus 08

333 **Figure 5-147 –** outils du locus 08

334 **Figure 5-148 –** bloc de grès du locus 9

335 **Figure 5-149 –** locus 9, sauf n° 4705, 4816 et 41 89 : locus 15 et n° 5626 : locus 11 (dessins : R. Picavet)

336 **Figure 5-150 –** locus 9, lames (dessins : R. Picavet)

337 **Figure 5-151 –** locus 9 (dessins : R. Picavet)

338 **Figure 5-152 –** remontage 127 (locus 00/tranchée 108)

380 **Figure 5-153 –** remontage 127 (locus 00/tranchée 108) (format A3)

381 **Figure 5-154 –** remontage 127 (locus 00/tranchée 108) (75 %) (format A3)

382 **Figure 5-155 –** remontage 127 (locus 00/tranchée 108) (format A3)

383 **Figure 5-156 –** remontage 127 (locus 00/tranchée 108) (75 %) (format A3)

384 **Figure 5-157 –** remontage 127 (locus 00/tranchée 108) (75 %) (format A3)

385 **Figure 5-158 –** remontage 127 (locus 00/tranchée 108) (format A3)

386 **Figure 5-159 –** remontage 126 (locus 9) (format A3)

387 **Figure 5-160 –** remontage 126 (locus 9) (format A3)

388 **Figure 5-161 –** remontage 126 (locus 9) (format A3)
389 **Figure 5-162 –** remontage 126 (locus 9) (format A3)
390 **Figure 5-163 –** remontage 126 (locus 9) (format A3)
391 **Figure 5-164 –** remontage 126 (locus 9) (format A3)
392 **Figure 5-165 –** remontage 126 (locus 9) (format A3)
393 **Figure 5-166 –** remontage 134 (locus 00/tranchée 108) (75 %) (format A3)
394 **Figure 5-167 –** remontage 134 (locus 00/tranchée 108) (75 %) (format A3)
395 **Figure 5-168 –** remontage 134 (locus 00/tranchée 108) (50 %) (format A3)
396 **Figure 5-169 –** remontage 134 (locus 00/tranchée 108) (75 %) (format A3)
397 **Figure 5-170 –** remontage 134 (locus 00/tranchée 108) (format A3)
398 **Figure 5-171 –** remontage 134 (locus 00/tranchée 108) (format A3)
399 **Figure 5-172 –** remontage 134 (locus 00/tranchée 108) (format A3)
400 **Figure 5-173 –** remontage 134 (locus 00/tranchée 108) (format A3)
401 **Figure 5-174 –** remontage 134 (locus 00/tranchée 108) (format A3)
402 **Figure 5-175 –** remontage 134 (locus 00/tranchée 108) (format A3)
403 **Figure 5-176 –** remontage 134 (locus 00/tranchée 108) (format A3)
404 **Figure 5-177 –** remontage 137 (locus 09 et 11) (format A3)
405 **Figure 5-178 –** remontage 137 (locus 09 et 11) (format A3)
406 **Figure 5-179 –** remontage 137 (locus 09 et 11) (75 %) (format A3)
407 **Figure 5-180 –** remontage 137 (locus 09 et 11) (format A3)
408 **Figure 5-181 –** remontage 137 (locus 09 et 11) (75 %) (format A3)
409 **Figure 5-182 –** remontage 137 (locus 09 et 11) (format A3)
410 **Figure 5-183 –** remontage 123 (locus 15) (format A3)
339 **Figure 5-184 –** remontage 112, locus 7
340 **Figure 5-185 –** remontage 119 (locus 13)
341 **Figure 5-186 –** remontage 119 (locus 13)
341 **Figure 5-187 –** remontage 119 (locus 13)
342 **Figure 5-188 –** remontage 123 (locus 15)
343 **Figure 5-189 –** remontage 123 (locus 15)
344 **Figure 5-190 –** remontage 123 (locus 15)
345 **Figure 5-191 –** outils du locus 8 (dessins : R. Picavet)
346 **Figure 5-192 –** outils du locus 8 (dessins : R. Picavet)

347 **Figure 5-193 –** locus 8, burin n° 1463, lame tronquée retouchée n° 2199 et détails des traces d'utilisation

348 **Figure 5-194 –** locus 8, burin n° 2191 et détails des traces d'utilisation observées

349 **Figure 5-195 –** locus 8, pièce esquillée n° 2278 et détail des traces d'utilisation observées

350 **Figure 5-196 –** locus 9, outils avec des traces d'utilisation

351 **Figure 5-197 –** locus 9, outils avec des traces d'utilisation

352 **Figure 5-198 –** locus 9, détails des points d'impact visibles sur certaines fractures qui montrent qu'il s'agit de fractures volontaires

353 **Figure 5-199 –** locus 9, remontage de lames fracturées

354 **Figure 5-200 –** Paléolithique moyen, outils ayant servi à racler une matière semi-dure type bois et détails des traces observées

355 **Figure 5-201 –** Paléolithique moyen, outils ayant servi à racler une matière semi-dure type bois et détails des traces observées

356 **Figure 5-202 –** Paléolithique moyen, outils ayant servi en action longitudinale sur une matière semi-dure et détails des traces observées : esquillements types boucherie légère

357 **Figure 5-203 –** Paléolithique moyen, outils ayant servi en action longitudinale sur une matière semi-dure et détails des traces observées : esquillements types boucherie

PALEOTIME
archéologie préventive

Les occupations paléolithiques du site de « Bois-clair » à Montguyon (Charente-Maritime)

Poitou-Charentes, Charente Maritime (17)
Opération d'archéologie préventive du 14 novembre 2011 au 27 avril 2012
Opération archéologique n° : 5919
N° de site archéologique : 17 241 0502
Arrêté de prescription : AF/11/221





Rapport Final d'Opération

Volume 2/ 3 : figures

Responsable d'Opération : Sébastien BERNARD-GUELLE
Avec la collaboration de :
A. Taylor, M. Rué, A. Ajas, P. Fernandes, A. Coudenneau, P. Tallet, M. Hernandez

Villard-de-Lans, avril 2014

Avertissement

Les rapports de fouille constituent des documents administratifs communicables au public dès leur remise au Service régional de l'archéologie, suivant les prescriptions de la loi n° 78-753 du 17 juillet 1978 modifiée, relative à l'amélioration des relations entre l'administration et le public. Aux termes de la circulaire du 26 mars 1993, ils pourront être consultés ; les agents des Services régionaux de l'archéologie rappelleront à tout demandeur les droits de propriété littéraire et artistique possédés par les auteurs et les contraintes qui en résultent pour tout consultant. Les prises de notes et les photocopies sont utilisées pour un usage exclusivement privé et non destiné à une utilisation collective (article L122-5 du code de la propriété intellectuelle). Toute reproduction du texte accompagnée ou non de photographies, cartes ou schémas, n'est possible que dans le cadre du droit de courte utilisation, avec les références exactes et complètes de l'auteur et de l'ouvrage. Par ailleurs, l'exercice du droit à la communication exclut, pour ses bénéficiaires ou pour les tiers, la possibilité de reproduire, de diffuser ou d'utiliser à des fins commerciales les documents communiqués (Loi n° 78-753 du 17 juillet 1978, art. 10).

Le non respect de ces règles constitue un délit de contrefaçon puni par l'article 425 du code pénal.

Remarque liminaire :

Pour des commodités d'impression et de mise en page, toutes les figures au format A3 ont été regroupées en fin de ce volume mais portent encore leur numérotation d'origine (cf. liste des figures en fin du tome 1)

SECTION 2

L’opération et ses résultats

Chapitre 1

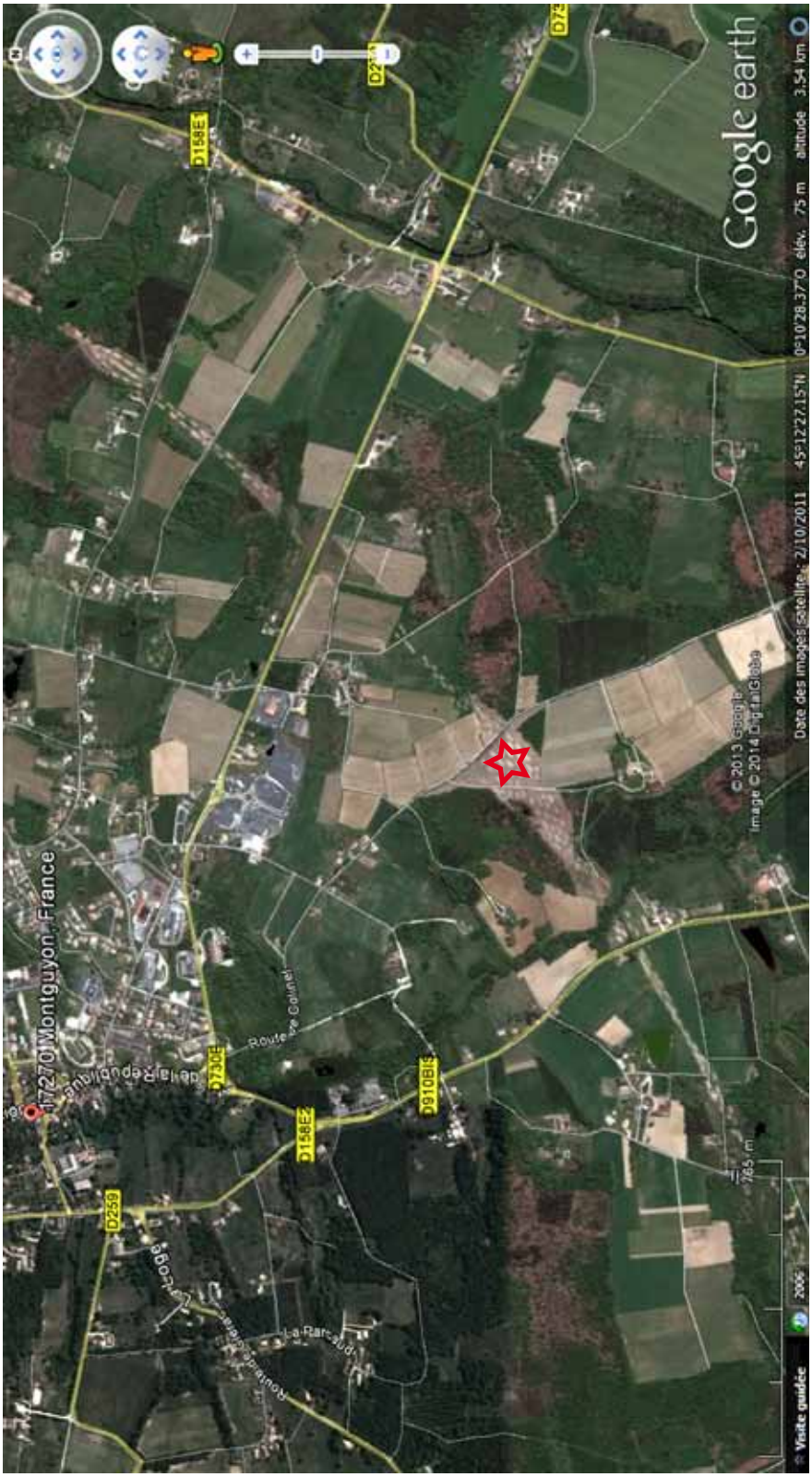


Figure 1-01 – Montguyon (17), « Bois Clair », localisation aérienne du site sur le tracé de la LGV (Google Earth)

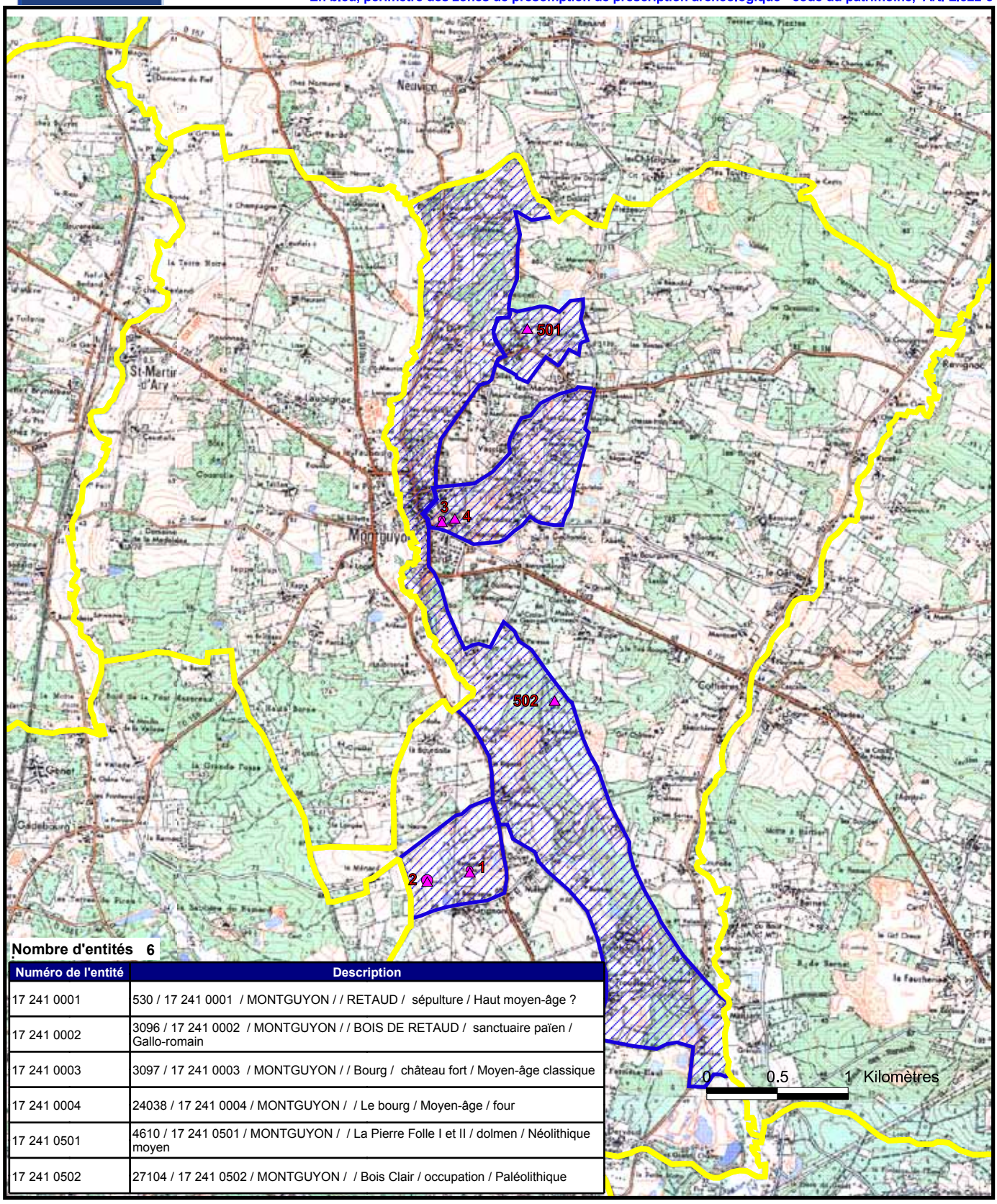
Liberté • Égalité • Fraternité
RÉPUBLIQUE FRANÇAISE

Ministère Culture Communication

Département de la Charente-Maritime
Commune de Montguyon

Extrait de la carte des entités archéologiques recensées
(03/12/2012)

En bleu, périmètre des zones de présomption de prescription archéologique - code du patrimoine, Art. L.522-5



Nombre d'entités 6

Numéro de l'entité	Description
17 241 0001	530 / 17 241 0001 / MONTGUYON / / RETAUD / sépulture / Haut moyen-âge ?
17 241 0002	3096 / 17 241 0002 / MONTGUYON / / BOIS DE RETAUD / sanctuaire païen / Gallo-romain
17 241 0003	3097 / 17 241 0003 / MONTGUYON / / Bourg / château fort / Moyen-âge classique
17 241 0004	24038 / 17 241 0004 / MONTGUYON / / Le bourg / Moyen-âge / four
17 241 0501	4610 / 17 241 0501 / MONTGUYON / / La Pierre Folle I et II / dolmen / Néolithique moyen
17 241 0502	27104 / 17 241 0502 / MONTGUYON / / Bois Clair / occupation / Paléolithique

Données sources : DRAC/SRA Poitou-Charentes (BD Patriarche) - Fonds cartographique : © IGN Paris -Carto ® 2001, Scan 25 ® 2000

Figure 1-02 – Montguyon (17), « Bois Clair », carte archéologique sur la commune de Montguyon

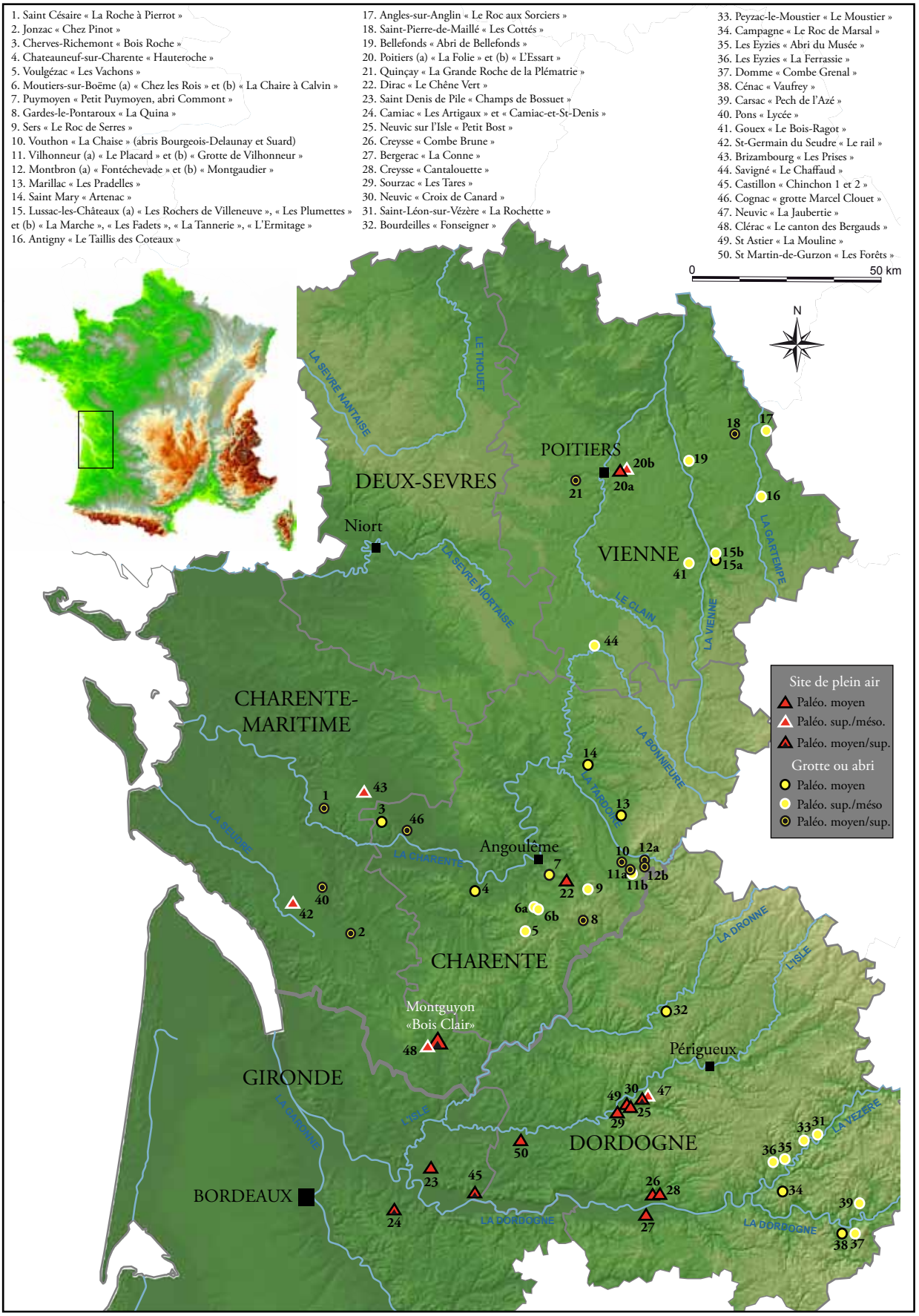


Figure 1-03 – Montguyon (17), « Bois Clair », contexte archéologique régional (fond de carte INTERCARTO)

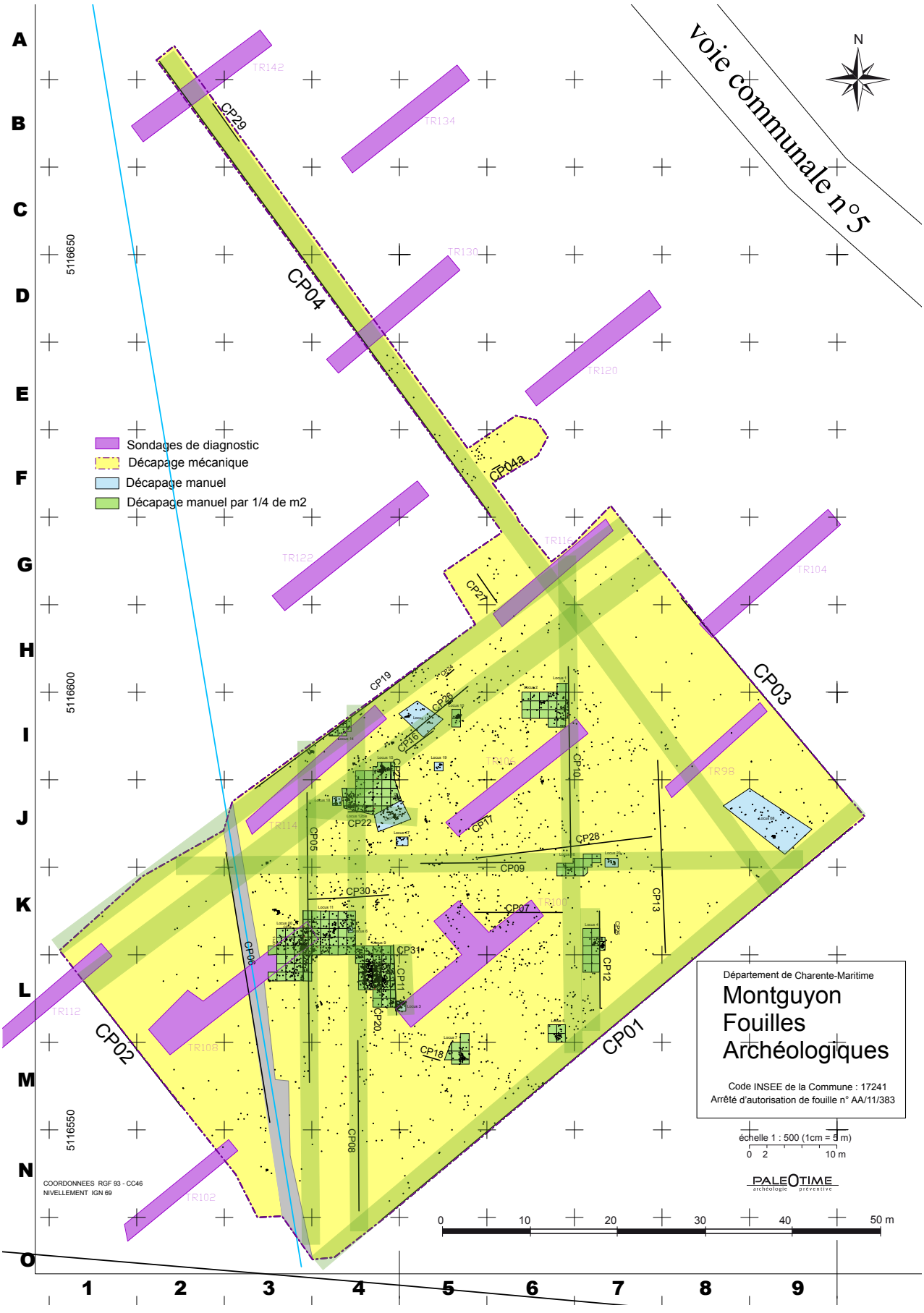


Figure 1-04 – Montguyon (17), « Bois Clair », plan de masse avec bandes de projections des coupes restituées

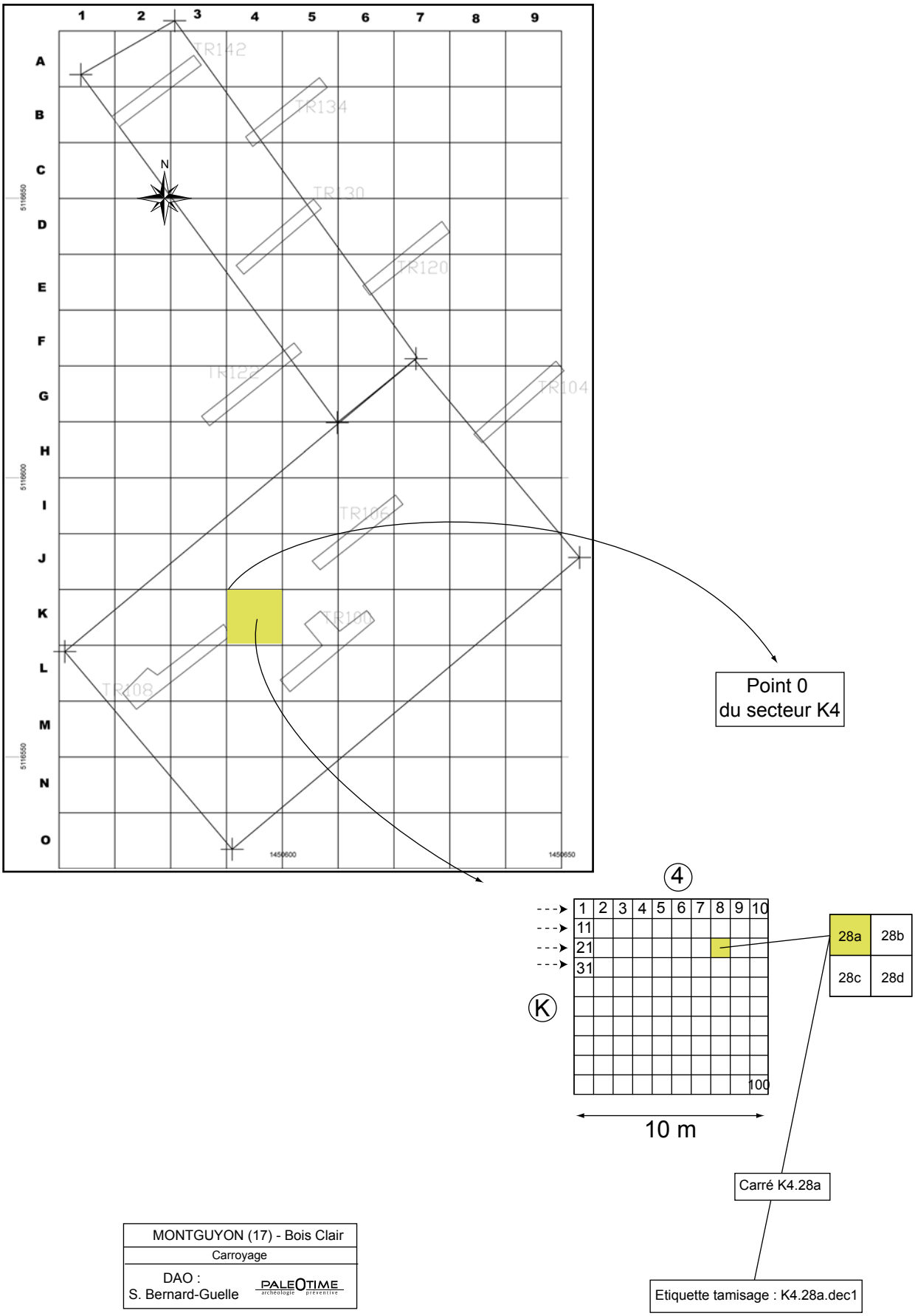


Figure 1-05 – Montguyon (17), « Bois Clair », principes du carroyage

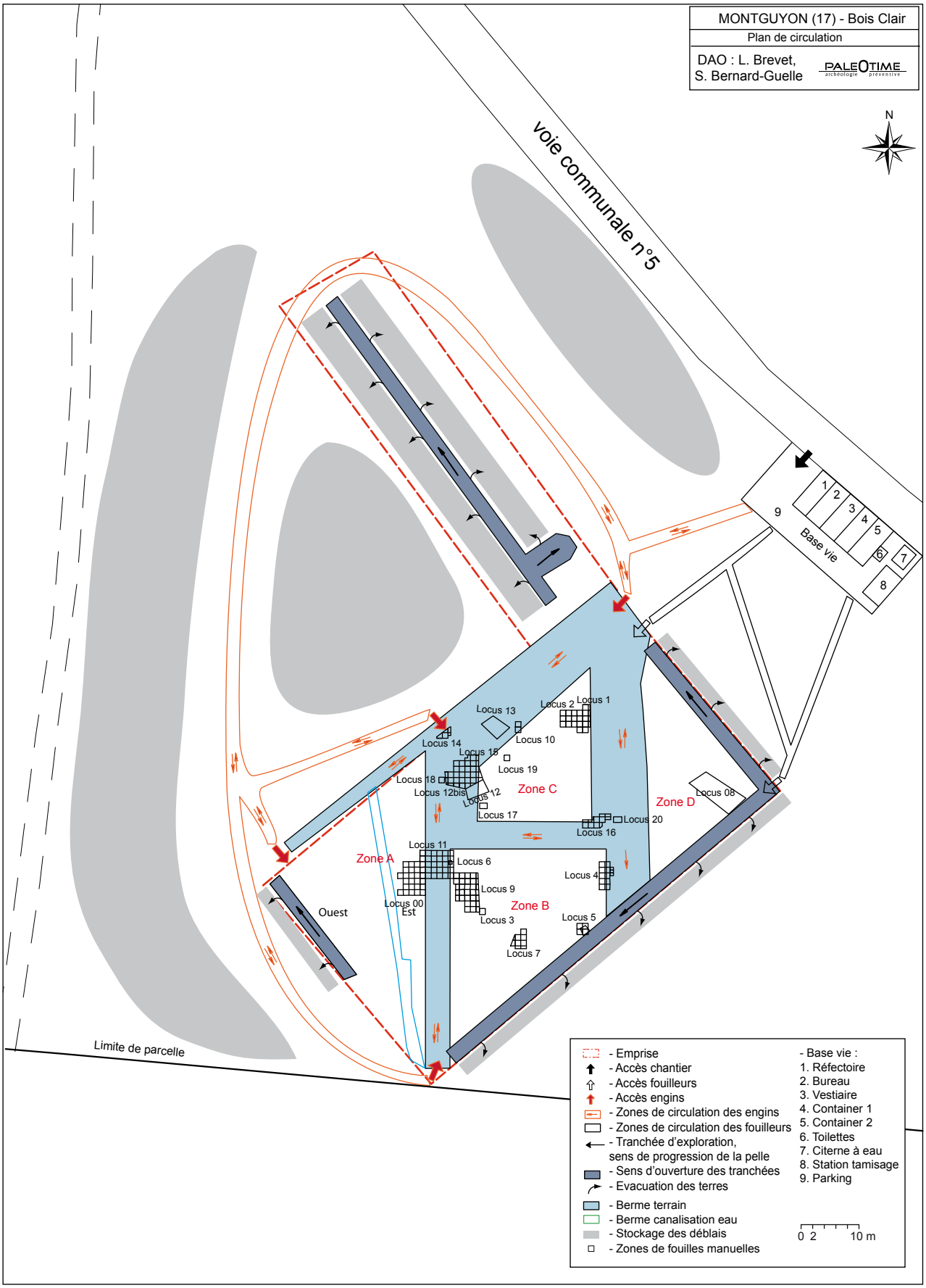


Figure 1-06 – Montguyon (17), « Bois Clair », plan de circulation et organisation logistique du chantier

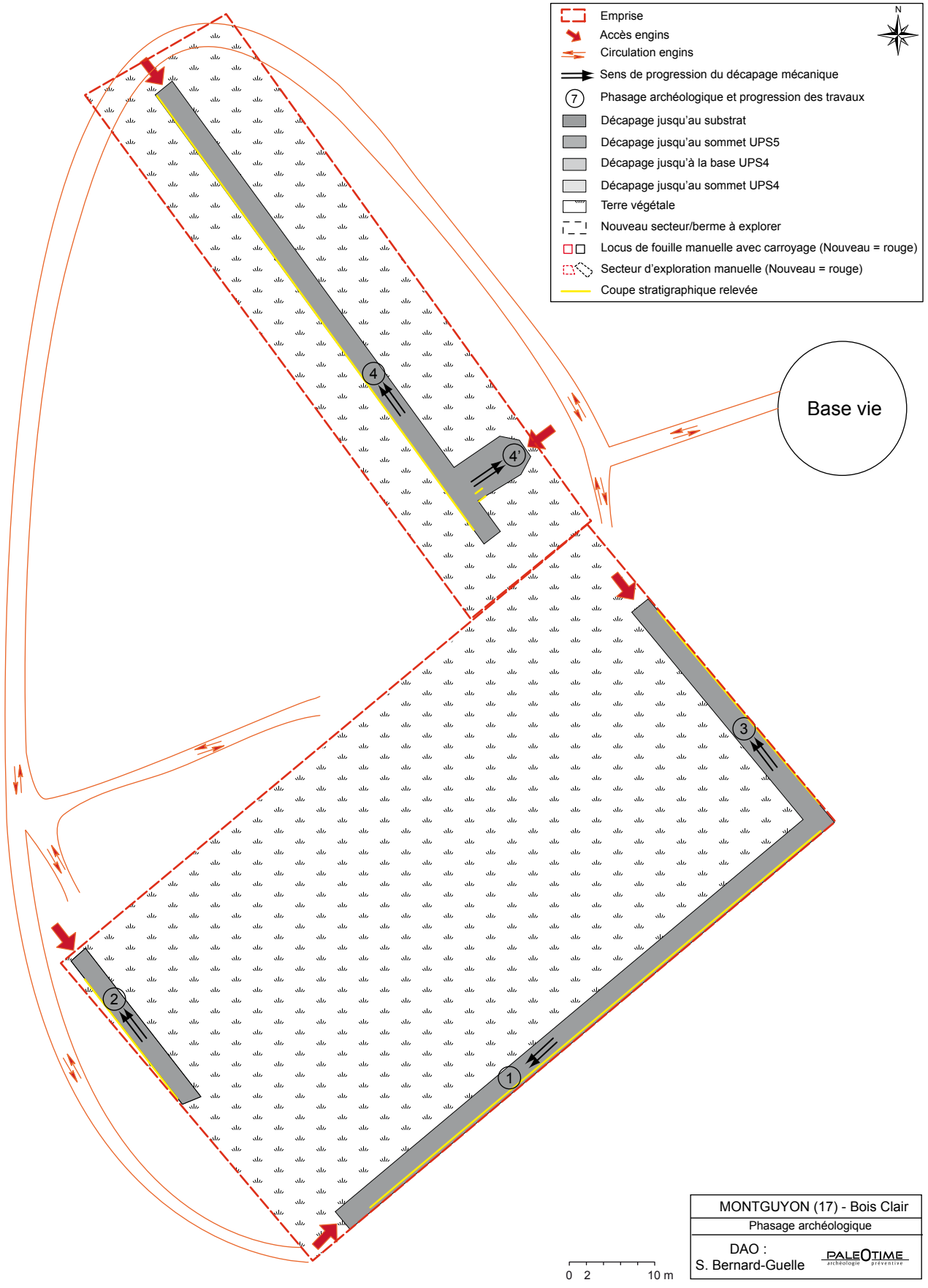


Figure 1-07 – Montguyon (17), « Bois Clair », phase 1 de l'opération archéologique - réalisation de tranchées stratigraphiques en bordures d'emprise ferme et au centre de l'emprise conditionnelle

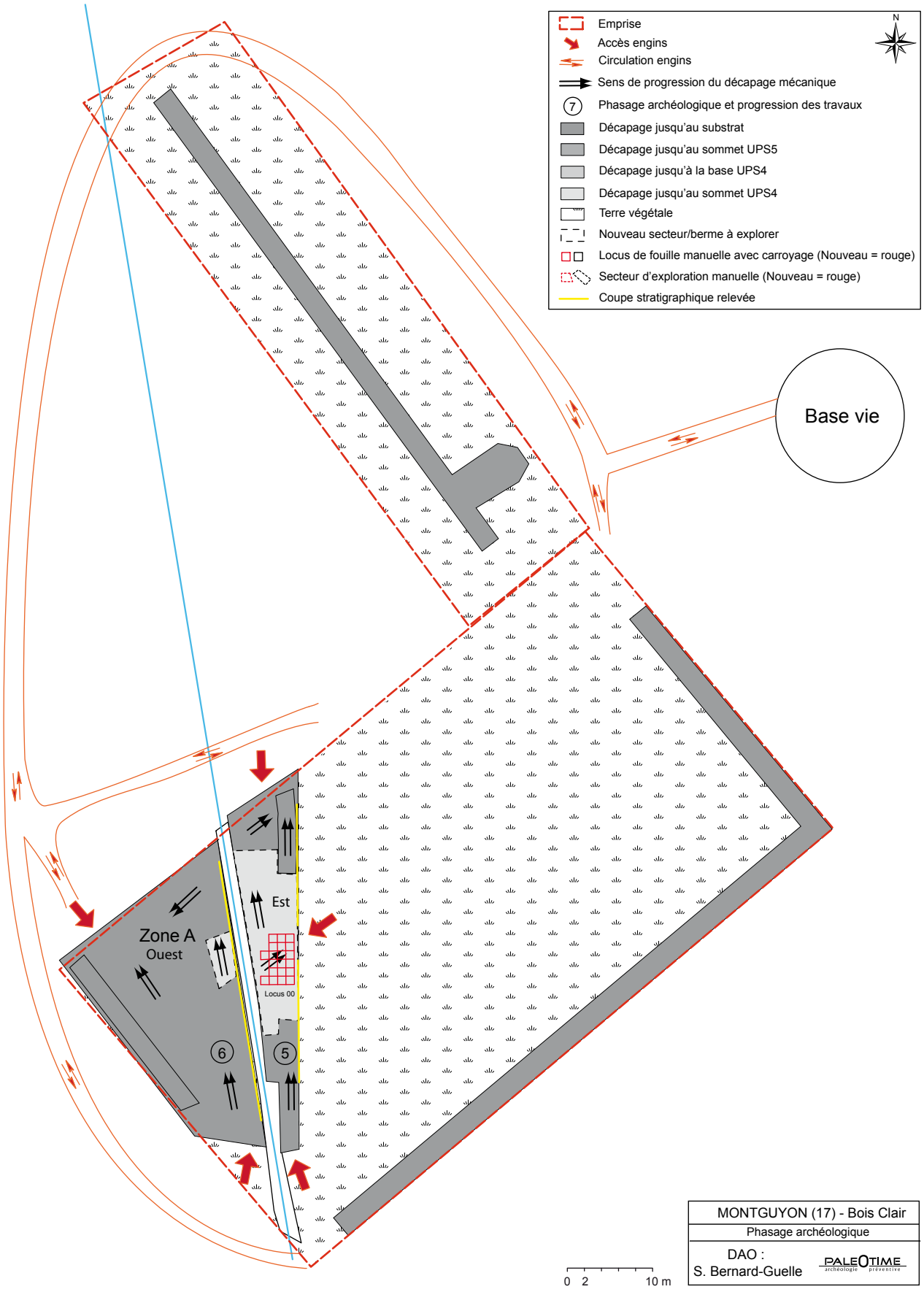


Figure 1-08 – Montguyon (17), « Bois Clair », phase 2 de l'opération archéologique - décapage mécanique de la zone ouest (A) et début de fouille manuelle en locus 0

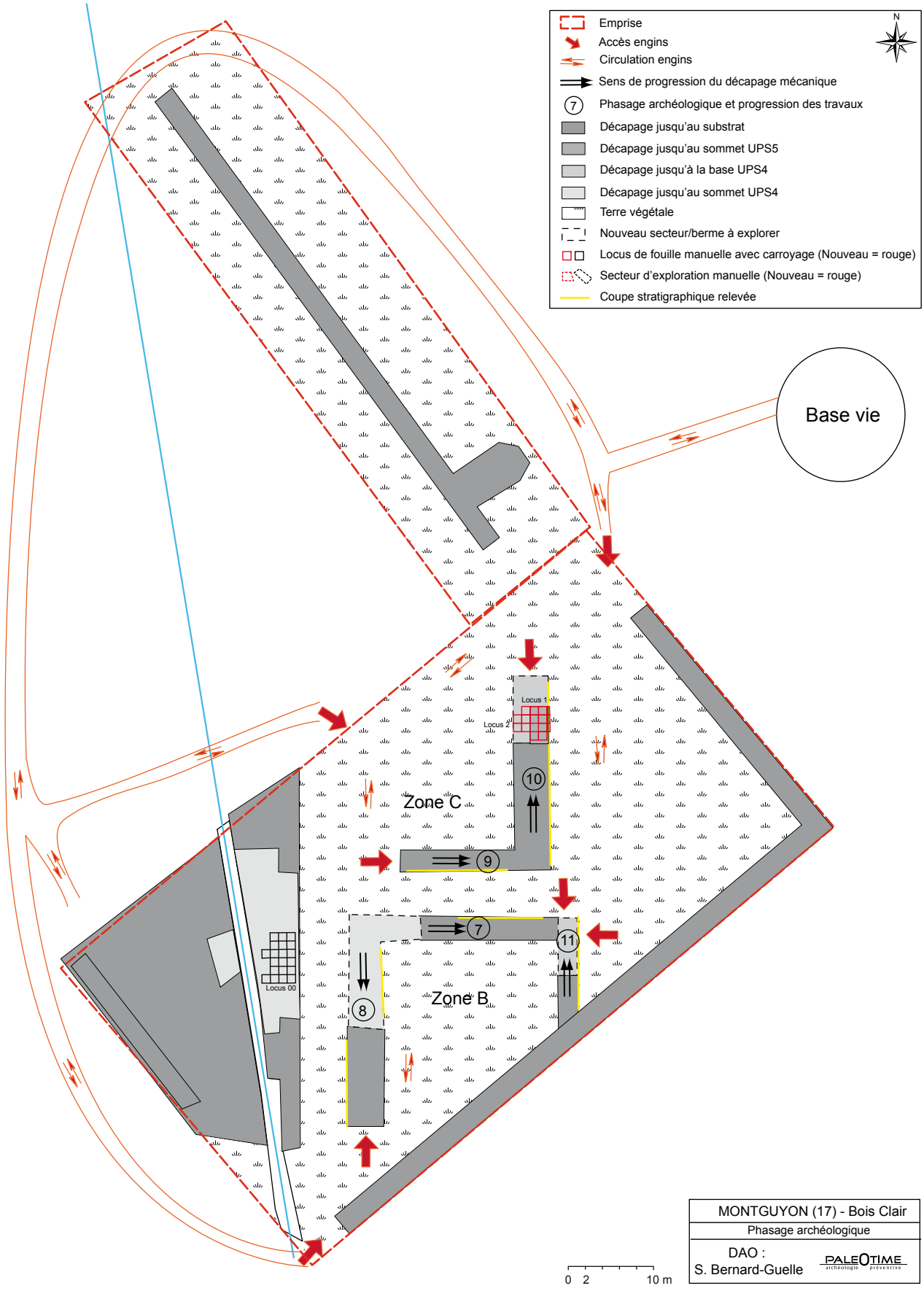


Figure 1-09 – Montguyon (17), « Bois Clair », phase 3 de l'opération archéologique – poursuite des tranchées stratigraphiques et début de sectorisation

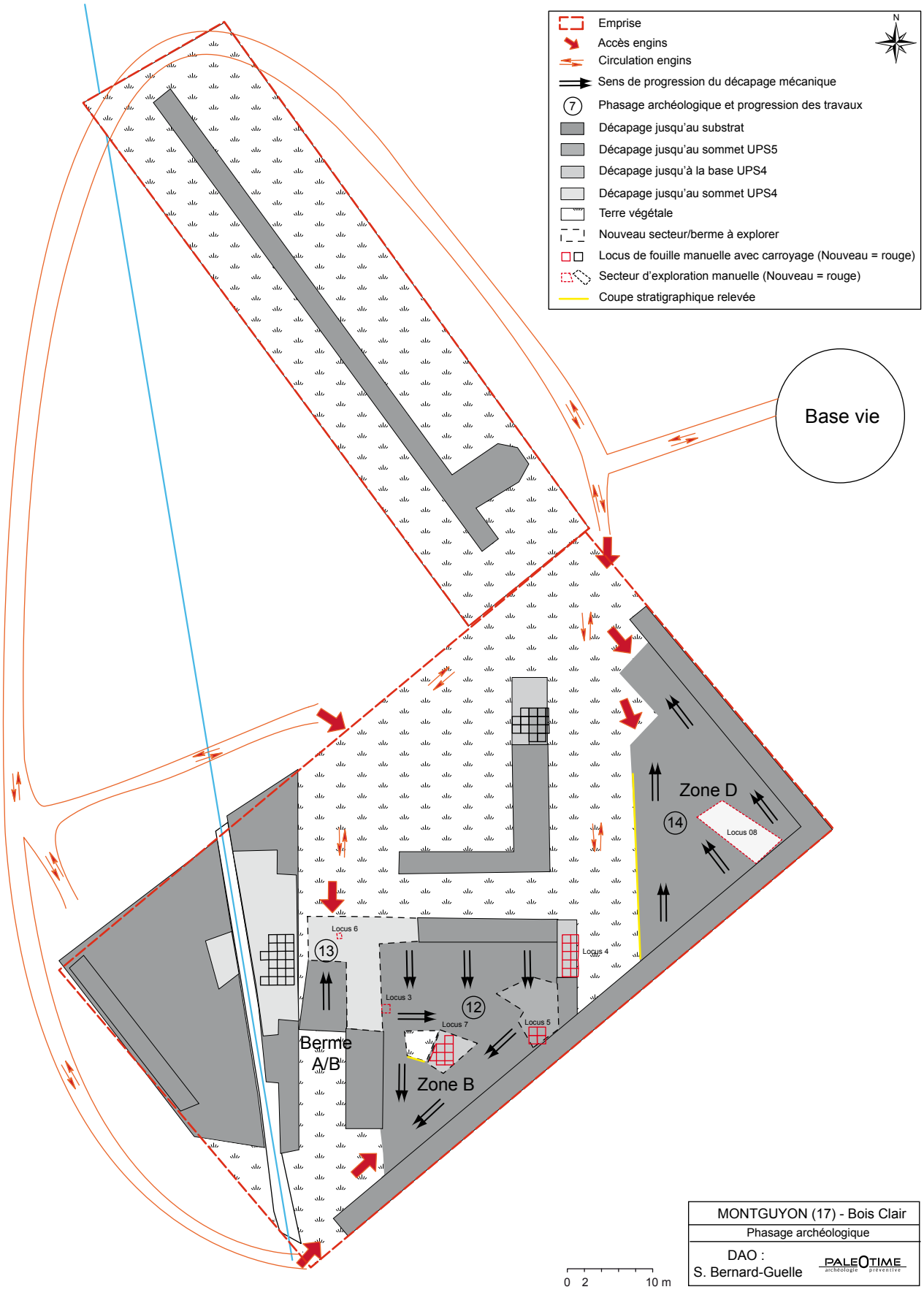


Figure 1-10 – Montguyon (17), « Bois Clair », phase 4 de l'opération archéologique - décapage mécanique des zones sud (B) et est (D)

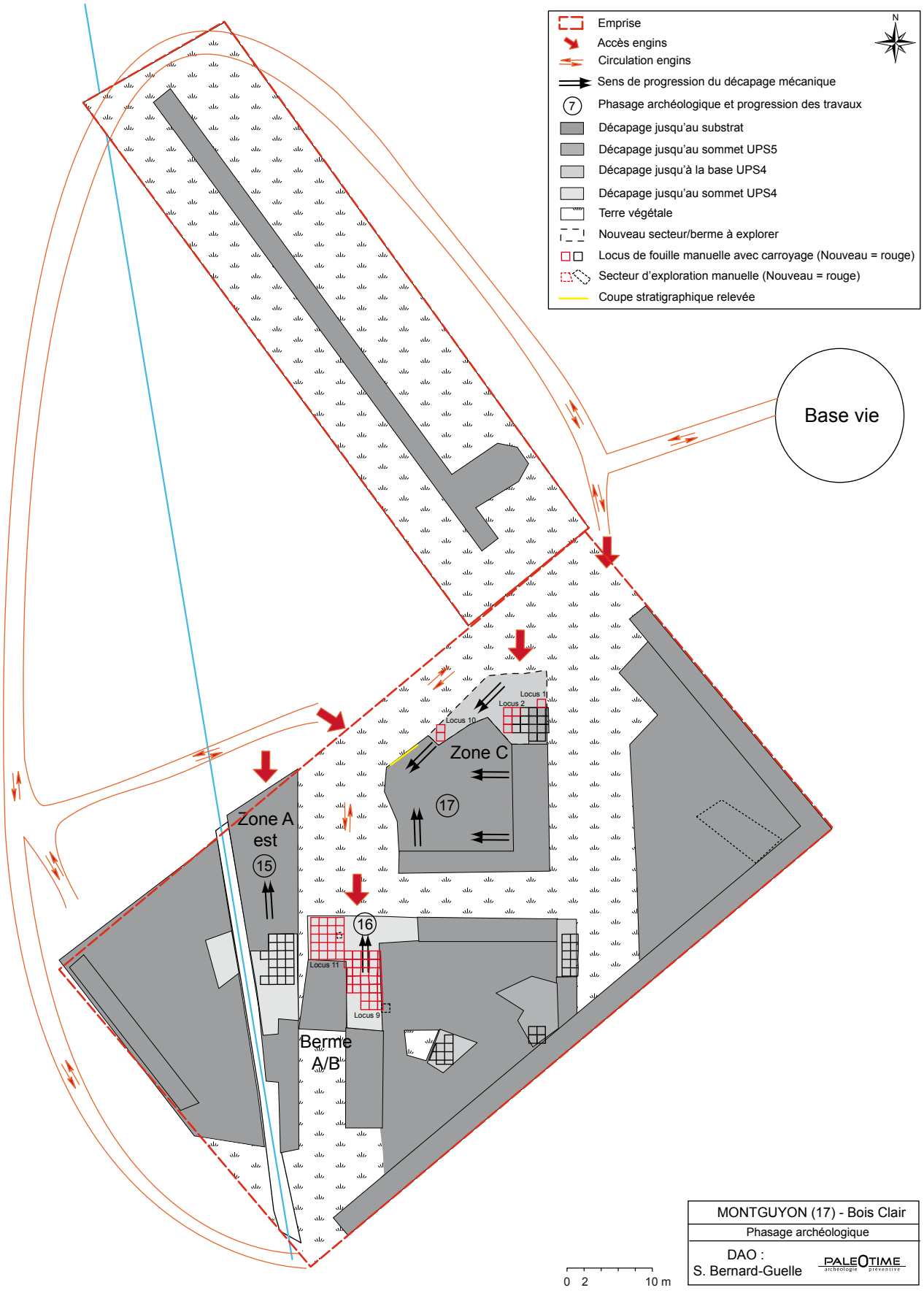


Figure 1-11 – Montguyon (17), « Bois Clair », phase 5 de l'opération archéologique – décapage mécanique de la zone C et reprise des zones A-est et du nord de la berme A/B

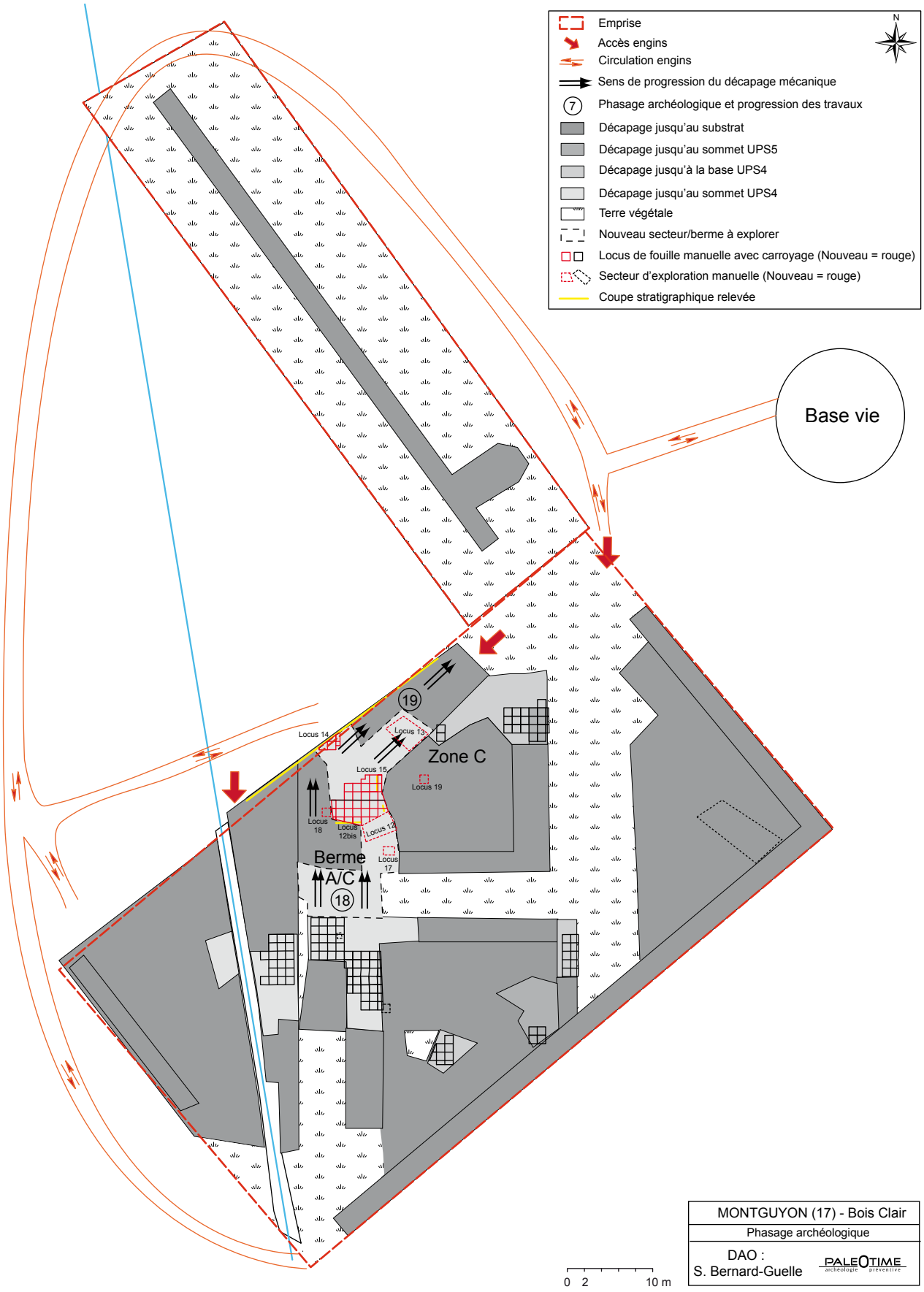


Figure 1-12 – Montguyon (17), « Bois Clair », phase 6 de l'opération archéologique - décapage mécanique du nord de la berme A/C et de la zone C

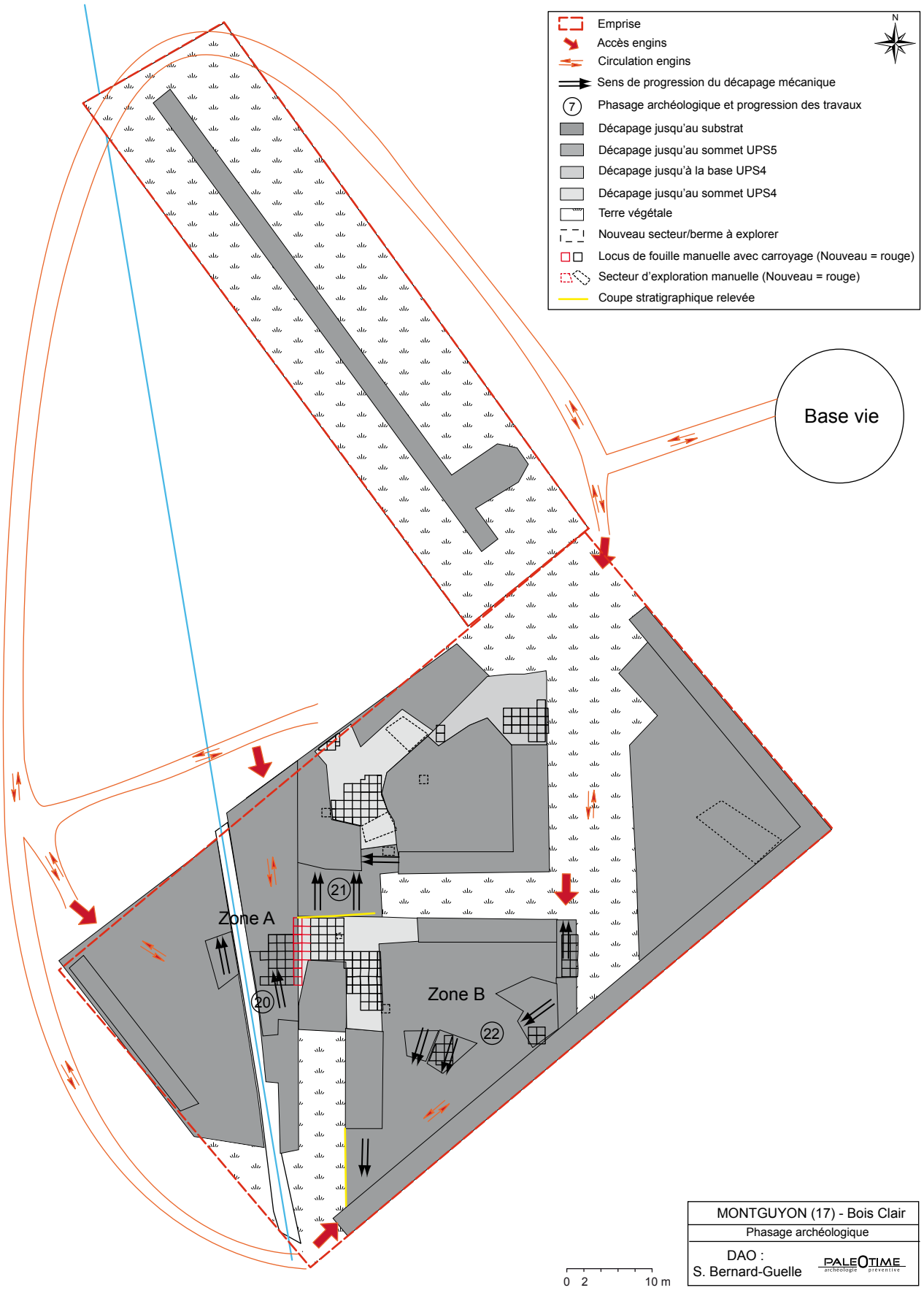


Figure 1-13 – Montguyon (17), « Bois Clair », phase 7 de l'opération archéologique – reprise mécanique de plusieurs petites bermes et/ou secteurs de fouille manuelle

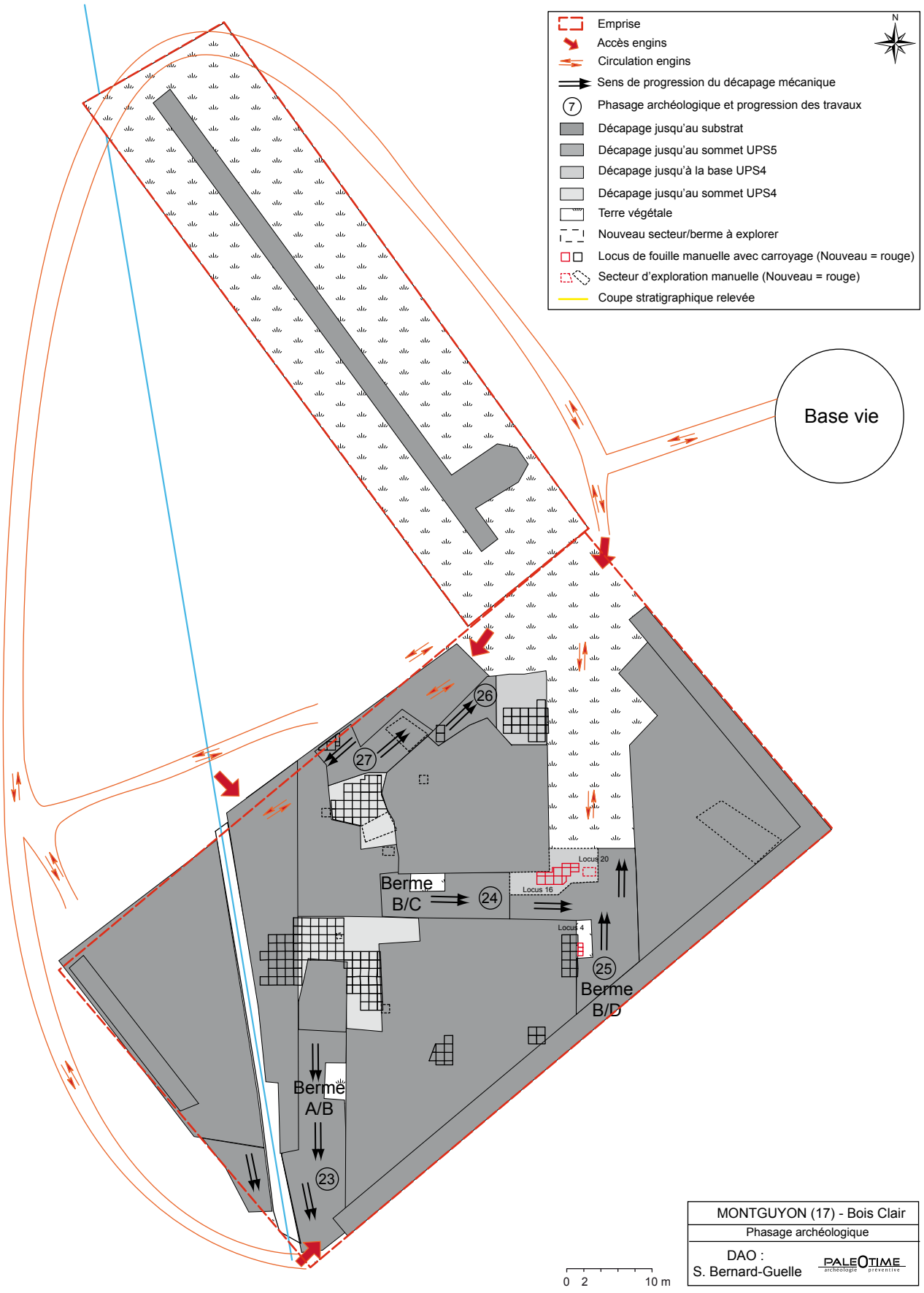


Figure 1-14 – Montguyon (17), « Bois Clair », phase 8 de l'opération archéologique – décapage des grandes bermes (A/B, B/C et B/D)

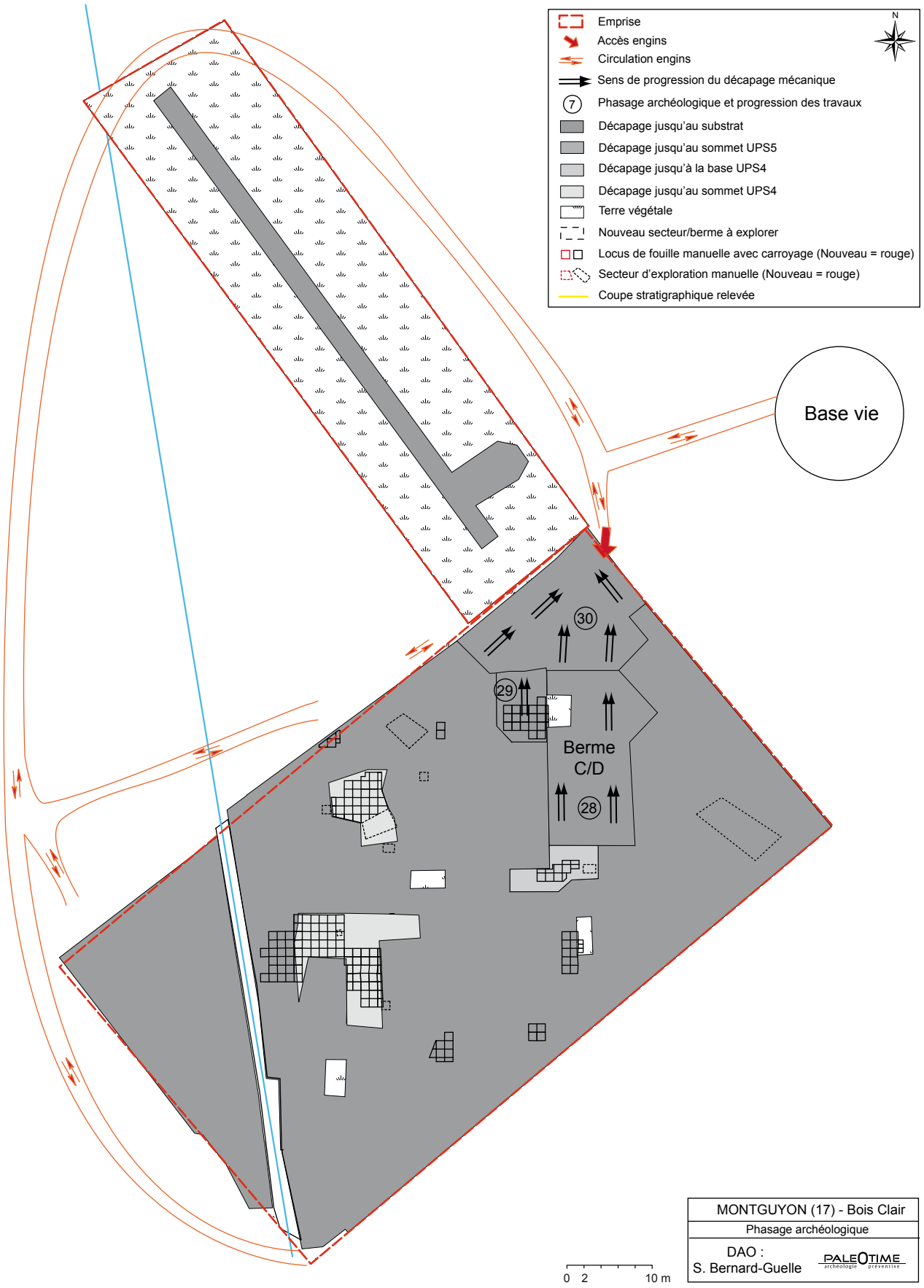


Figure 1-15 – Montguyon (17), « Bois Clair », phase 9 de l'opération archéologique – fin du décapage mécanique de la berme C/D et de l'angle nord-est de l'emprise ferme

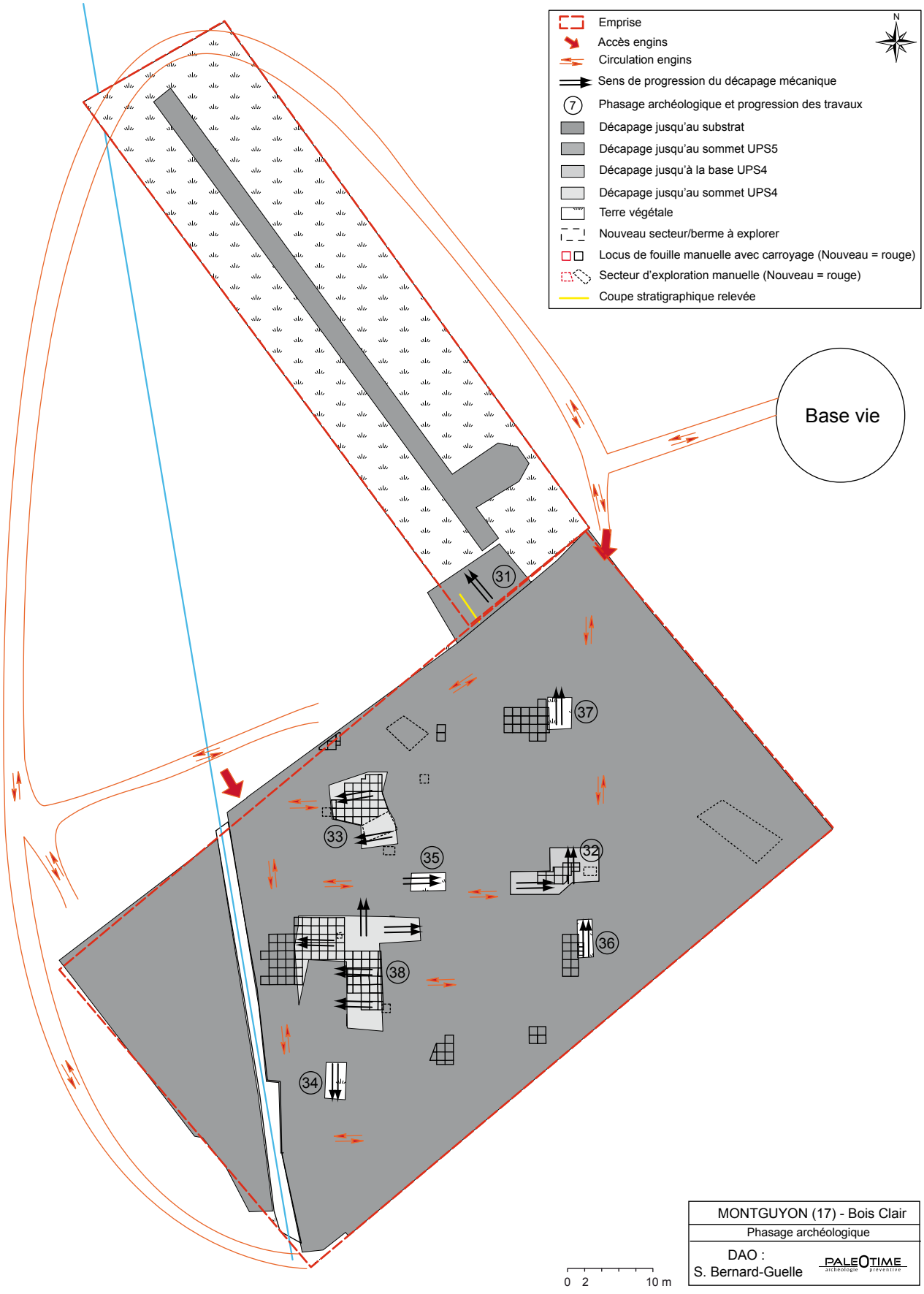


Figure 1-16 – Montguyon (17), « Bois Clair », phase 10 de l'opération archéologique – reprise mécanique des dernières bermes témoins ou locus de fouille manuelle et liaison stratigraphique avec la zone conditionnelle

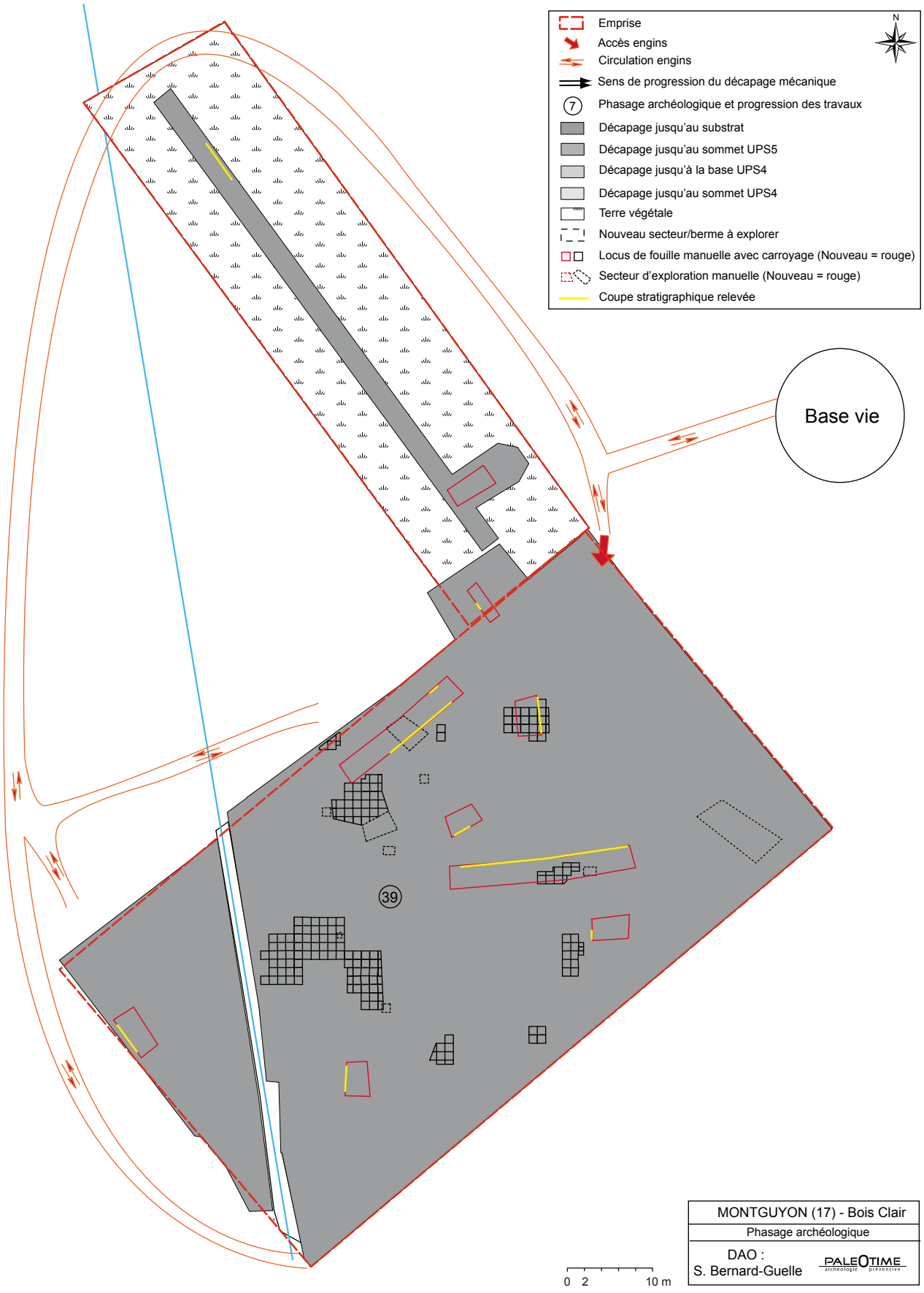


Figure 1-17 – Montguyon (17), « Bois Clair », phase 11 de l'opération archéologique – derniers sondages profonds et relevés de coupes



Figure 1-18 – Montguyon (17), « Bois Clair », méthodologie d'approche de l'emprise conditionnelle

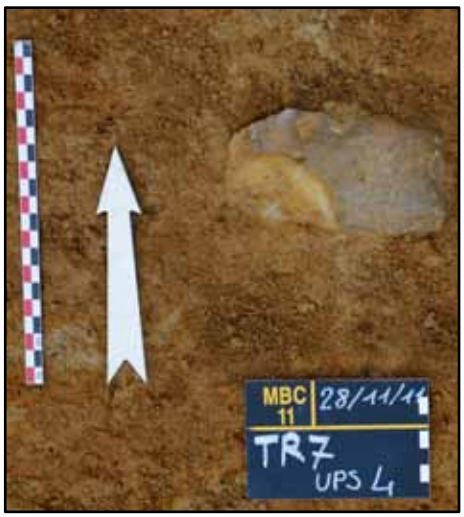


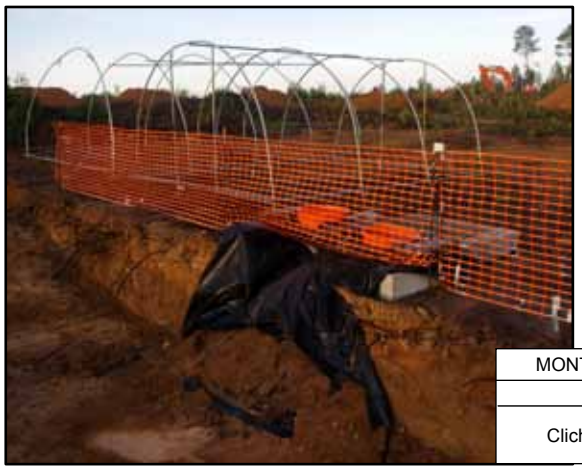
a : tranchées stratigraphiques - décapage mécanique à plat, au godet lisse, par passes fines



b : fin des transects stratigraphiques et du nettoyage de l'emprise ferme

c : photo du mobilier recueilli au décapage mécanique





d : station de tamisage

MONTGUYON (17) - Bois Clair
Méthodologie
Clichés PALEOTIME archéologie préventive

Figure 1-19 – Montguyon (17), « Bois Clair », méthodes de fouille



Figure 1-20 – Montguyon (17), « Bois Clair », ambiance et décapage mécanique





Figure 1-21 – Montguyon (17), « Bois Clair », fouille hivernale et aléas climatiques

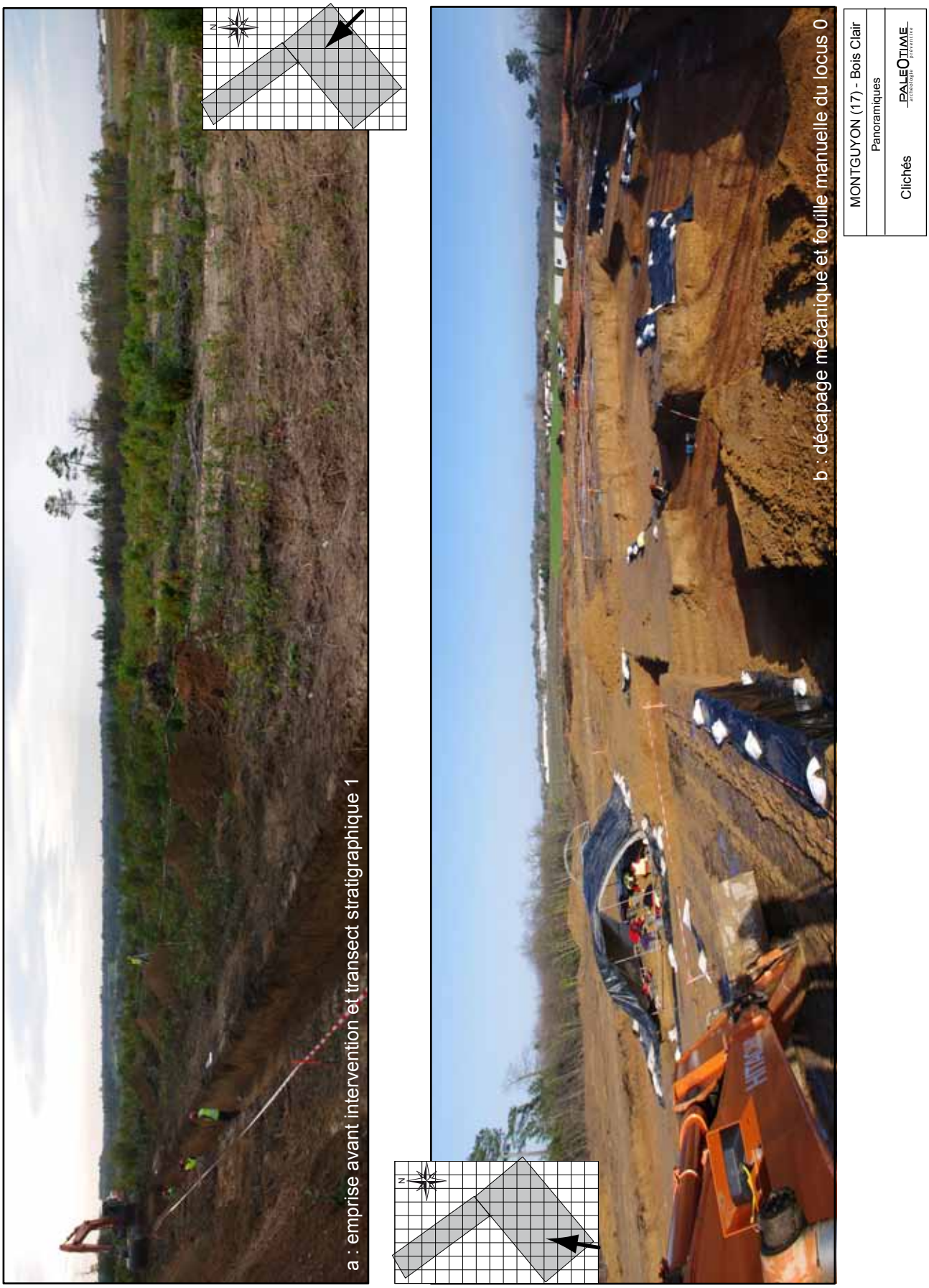


Figure 1-22 – Montguyon (17), « Bois Clair », vues panoramiques du site en cours de fouille



Figure 1-23 – Montguyon (17), « Bois Clair », vues panoramiques du site en cours de fouille

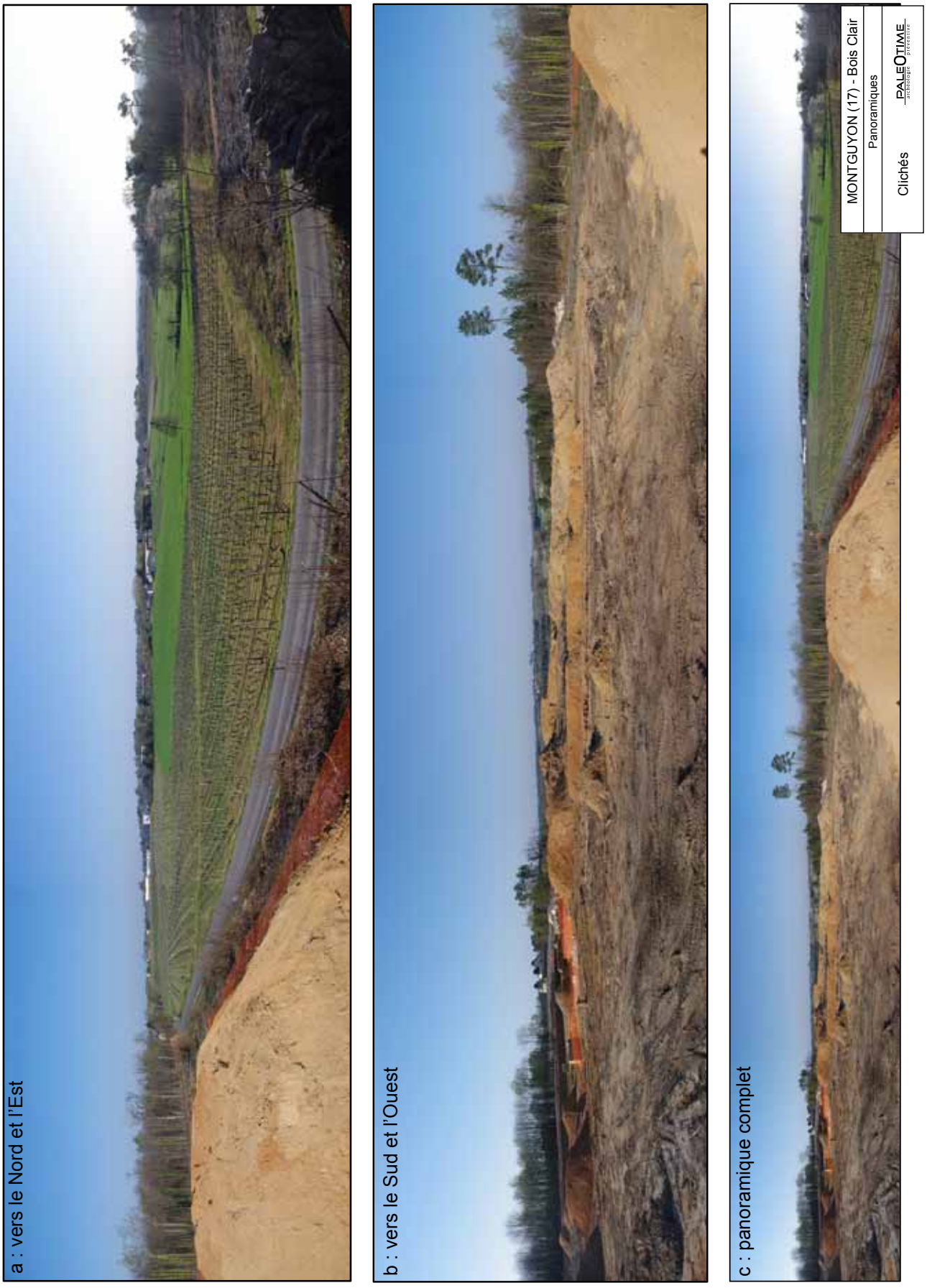


Figure 1-24 – Montguyon (17), « Bois Clair », vues panoramiques générales du site

SECTION 2

L’opération et ses résultats

Chapitre 2

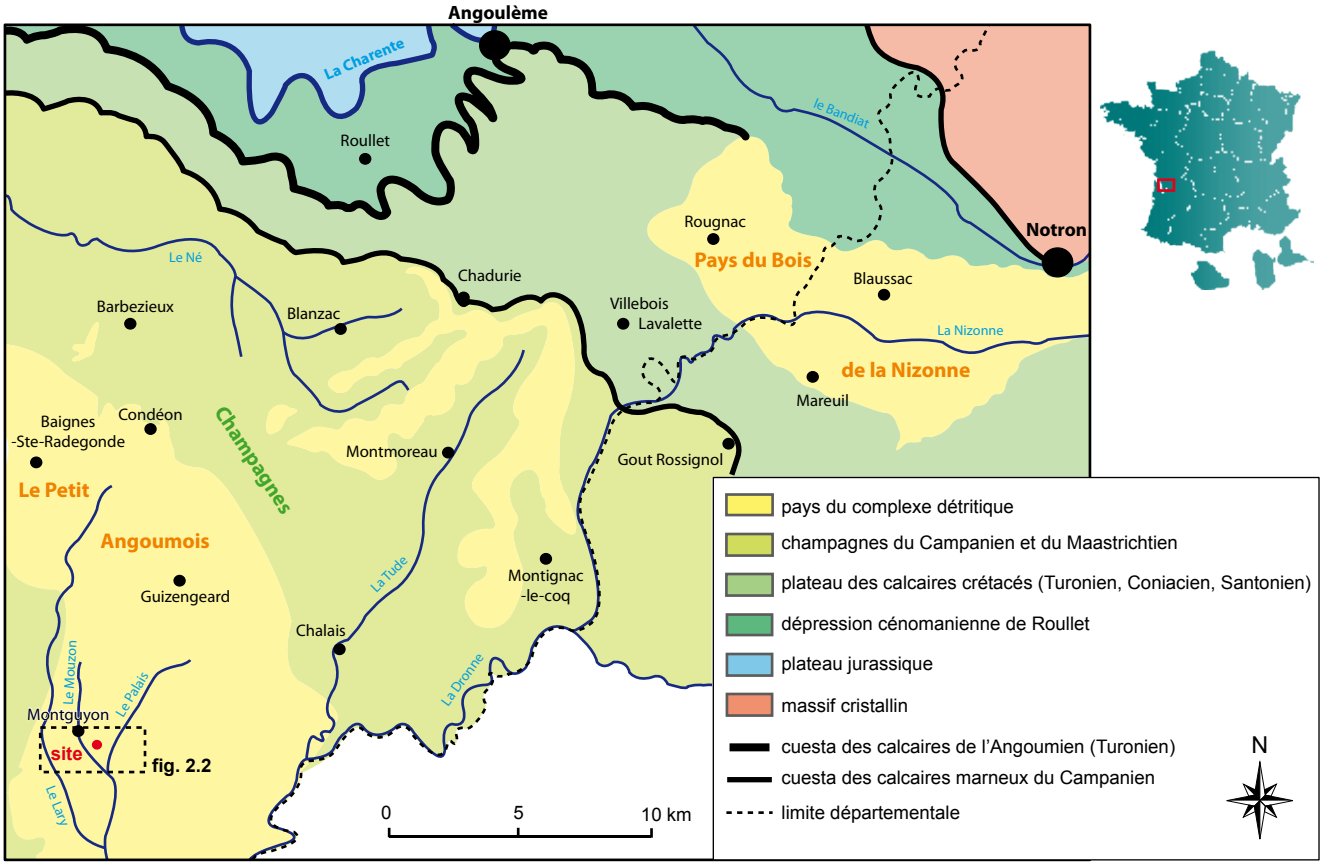


Figure 2-01 – Montguyon (17), « Bois Clair », les grands pays géologiques de Charente-Maritime (A. Ajas d'après Daniou, 1978)

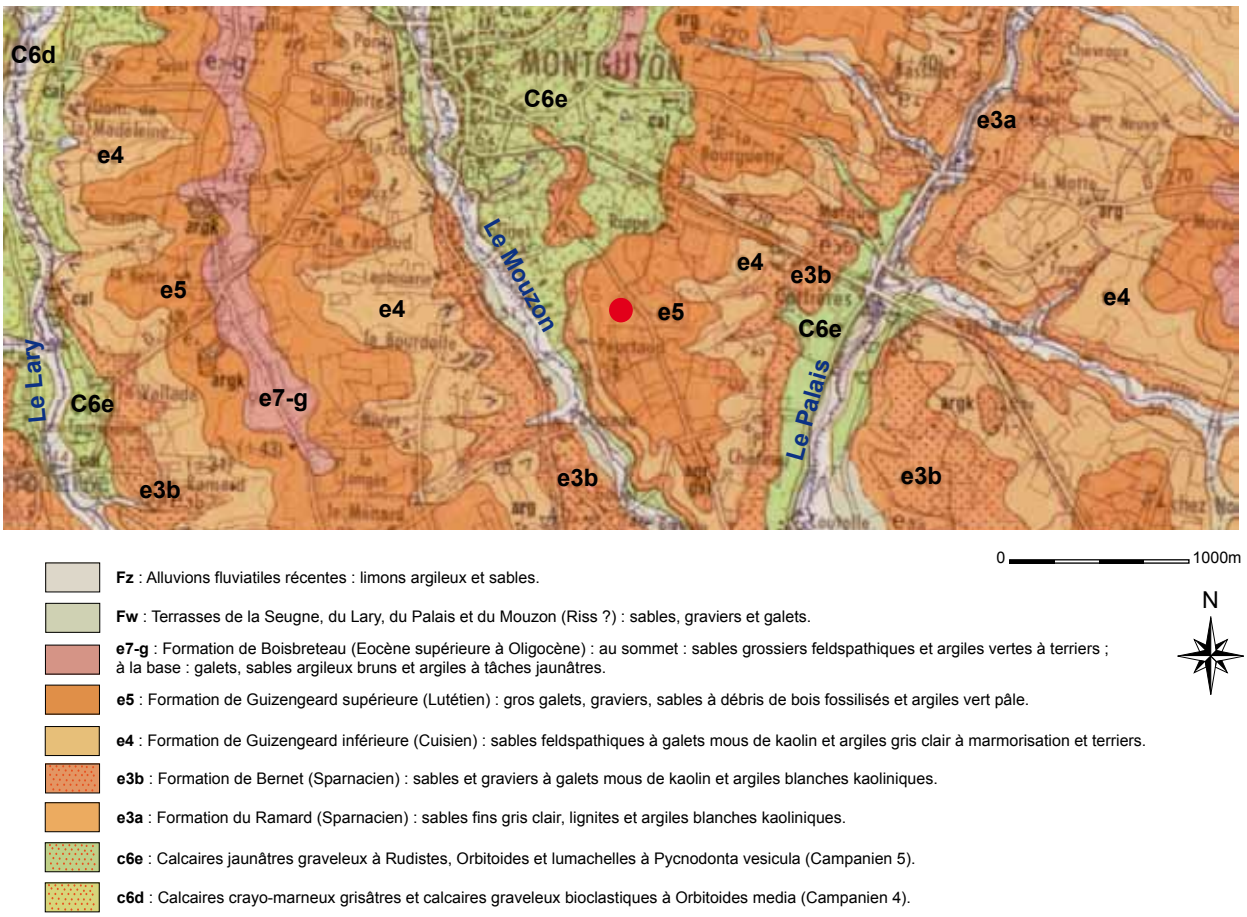


Figure 2-02 – Montguyon (17), « Bois Clair », extrait de la carte géologique de Montguyon au 1/50 000 (Dubreuilh, 1980)

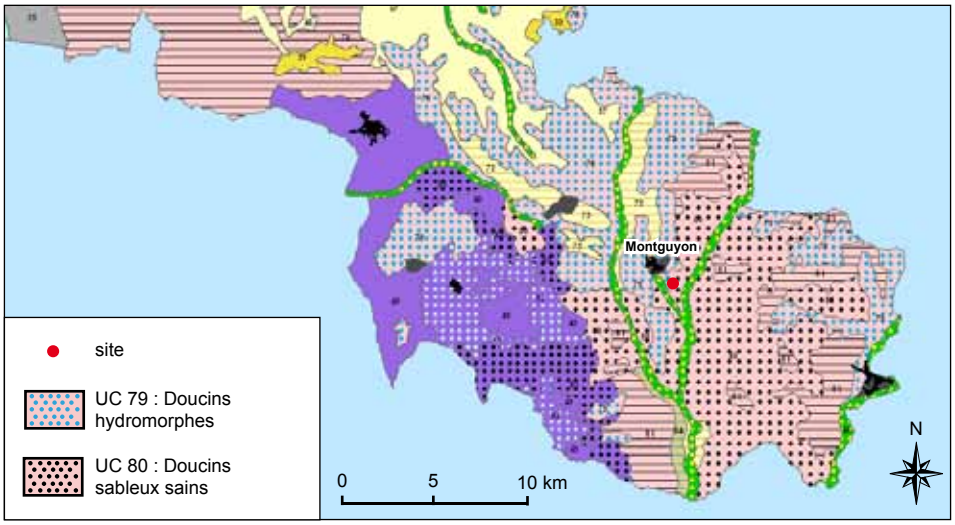


Figure 2-03 – Montguyon (17), « Bois Clair », extrait de la carte pédologique de Charente-Maritime (Chambre régionale d'agriculture de Poitou-Charente et INRA, 2012)

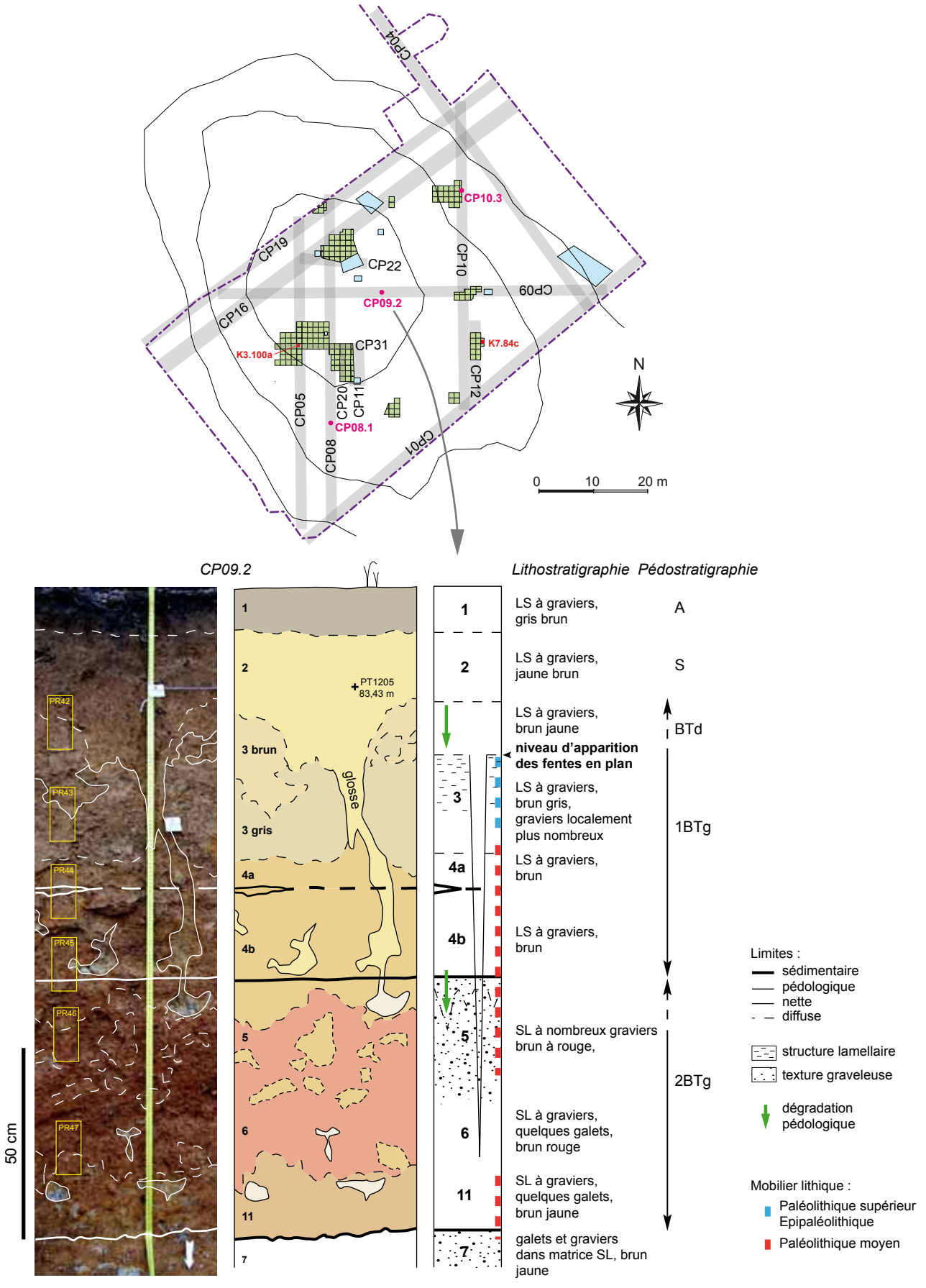


Figure 2-04 – Montguyon (17), « Bois Clair », localisation des coupes restituées et séquence type du site (M. Rué)

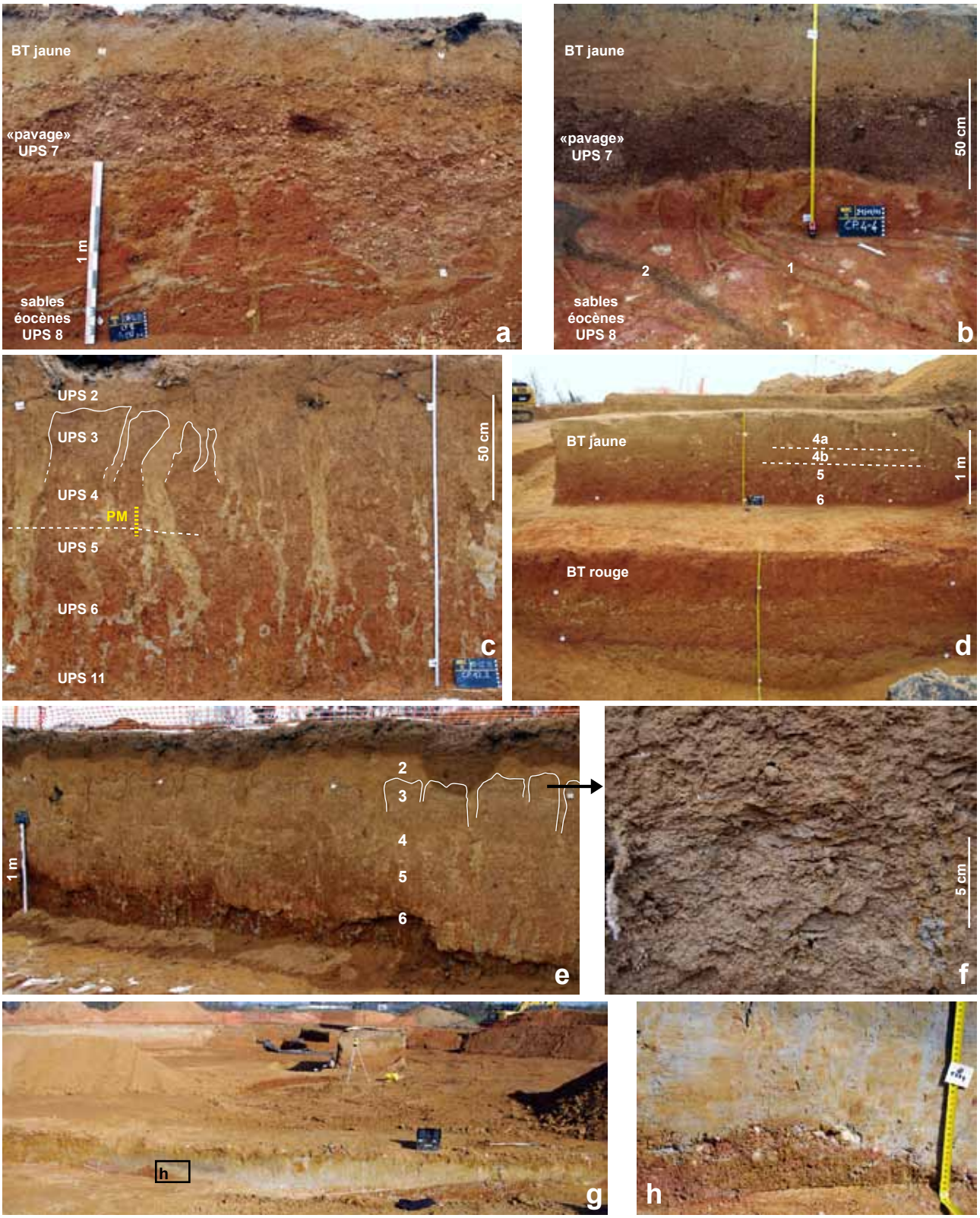


Figure 2-05 – Montguyon (17), « Bois Clair », aperçu photographique des unités pédosédimentaires en coupe (M. Rué)
a : Séquence condensée (CP02). L'unité 7 (faciès à galets) est affectée par une déformation en fosse (thermokarst ?). b : Séquence condensée (CP04.4). Le substrat éocène présente deux générations de fentes, la seconde est comblée par l'unité 7 (faciès graveleux). c : Séquence type à fort développement des glosses (CP12.2). PM : mobilier paléolithique moyen du locus 4. d : Séquence dilatée de comblement de la doline (CP27). e : Apparition de l'unité 3 (cryosol) après séchage de la coupe (CP10). f : structure lamellaire d'origine périglaciaire (CP10). g : Unité 13 argileuse couvrant les sables éocènes sur le versant est (CP28). h : Détail de la vue précédente.

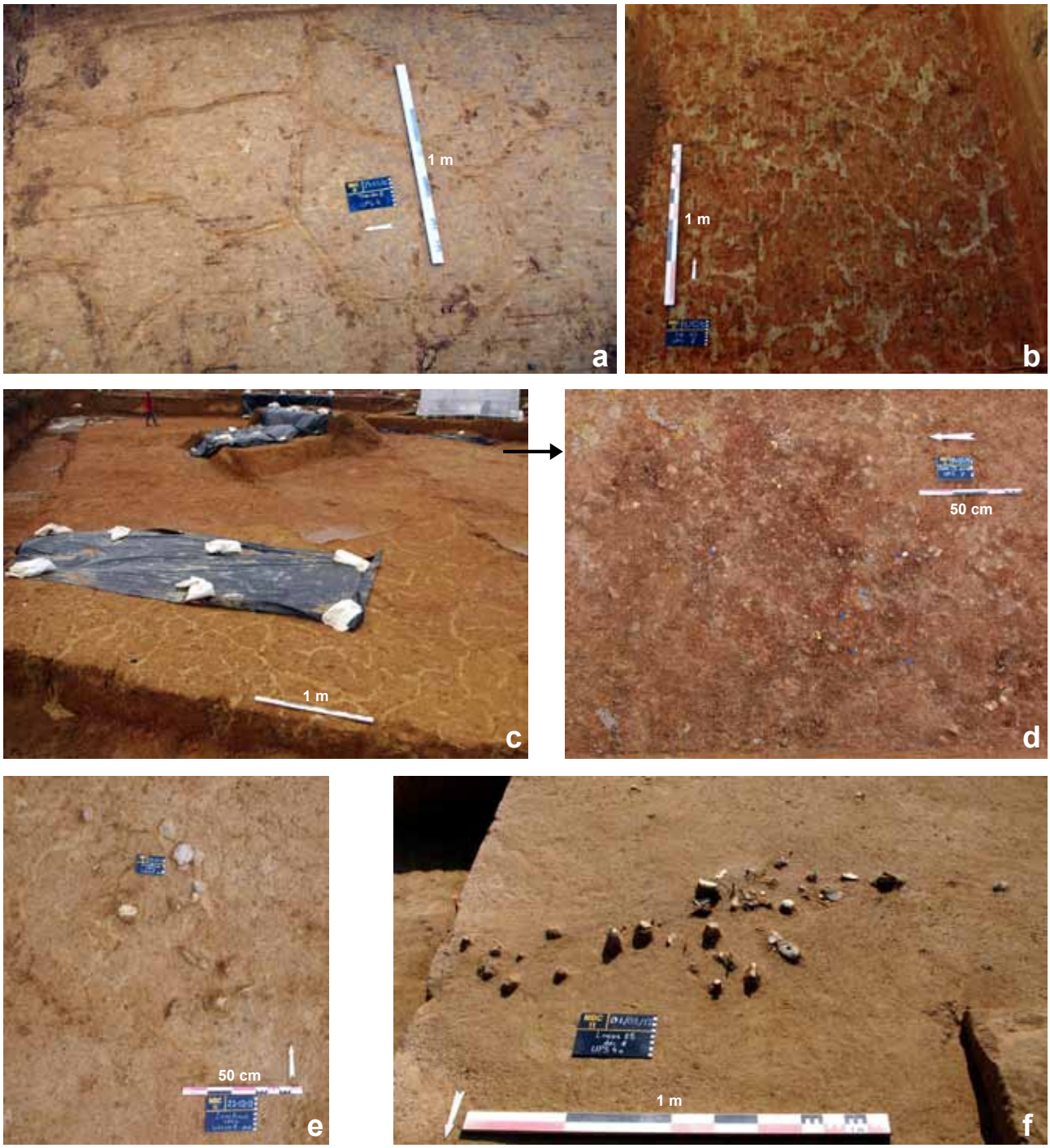


Figure 2-06 – Montguyon (17), « Bois Clair », aperçu photographique des unités pédosédimentaires en plan (M. Rué)
a. Réseau polygonal de cryodessication bien exprimé au sommet de l'horizon jaune 1BT (TR8). b : Base du réseau dans l'horizon rouge 2BT (TR10). c : Réseau souligné par de larges glosses sur substrat argileux (locus 5, base 1BT). d : Surface du « pavage » UPS7 livrant du mobilier paléolithique moyen (locus 3). e : Concentration de mobilier paléolithique moyen/supérieur affectée par un réseau de glosses mal exprimé (locus 7). Notez la position verticale des pièces au sud. f : Concentration de mobilier épipaléolithique allongée dans le sens de la pente (locus 15). Les glosses apparaissent sous forme de tâches peu contrastées.

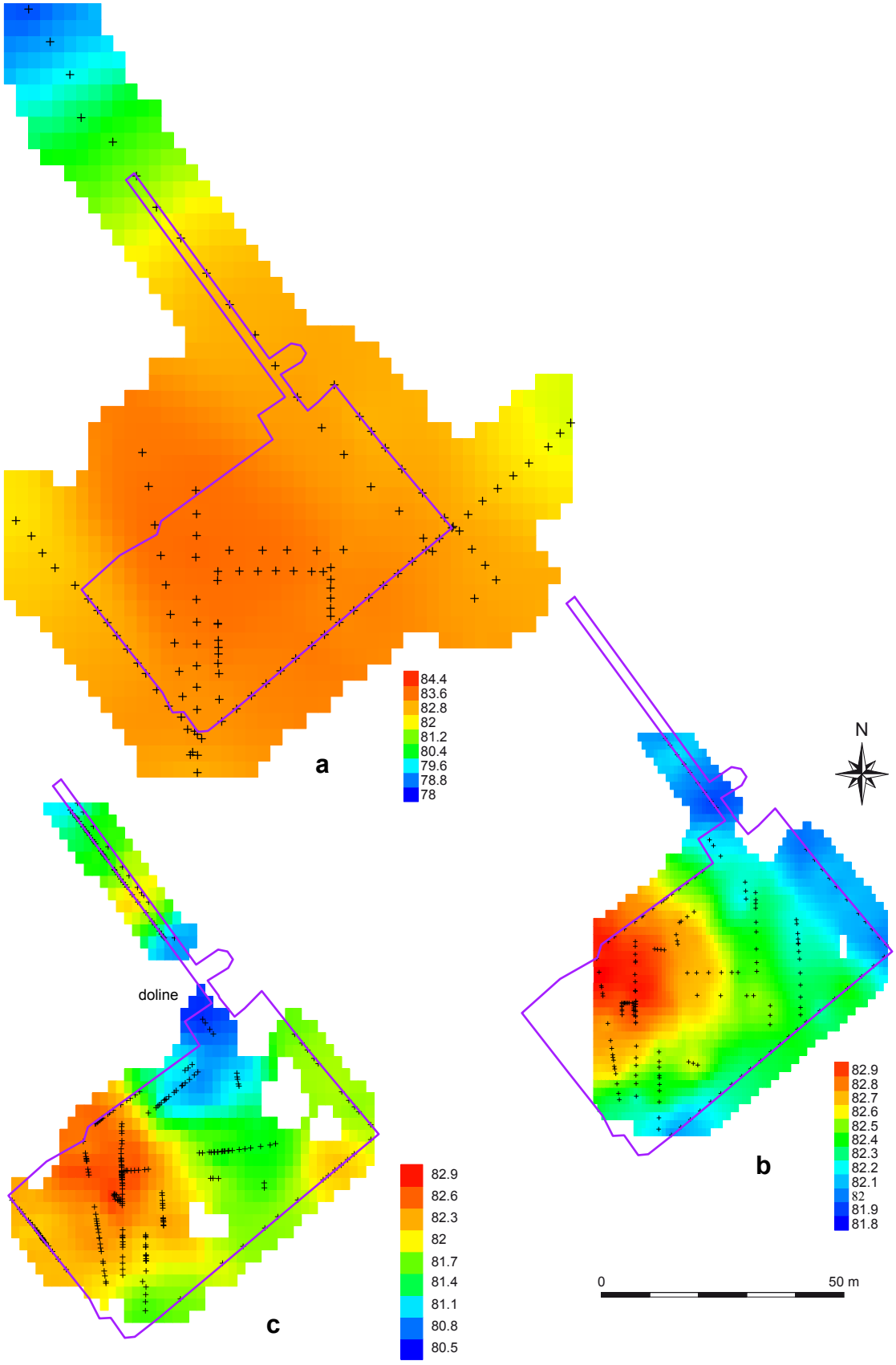


Figure 2-07 – Montguyon (17), « Bois Clair », restitutions stratigraphiques d'après les points topographiés en coupe (J.-B. Caverne, M. Rué)
a. Surface du sol actuel. b. Interface entre les unités 4 et 5. c. Sommet de l'unité 7 (« pavage »). Altitudes en m NGF. Les croix noires localisent les points topographiés

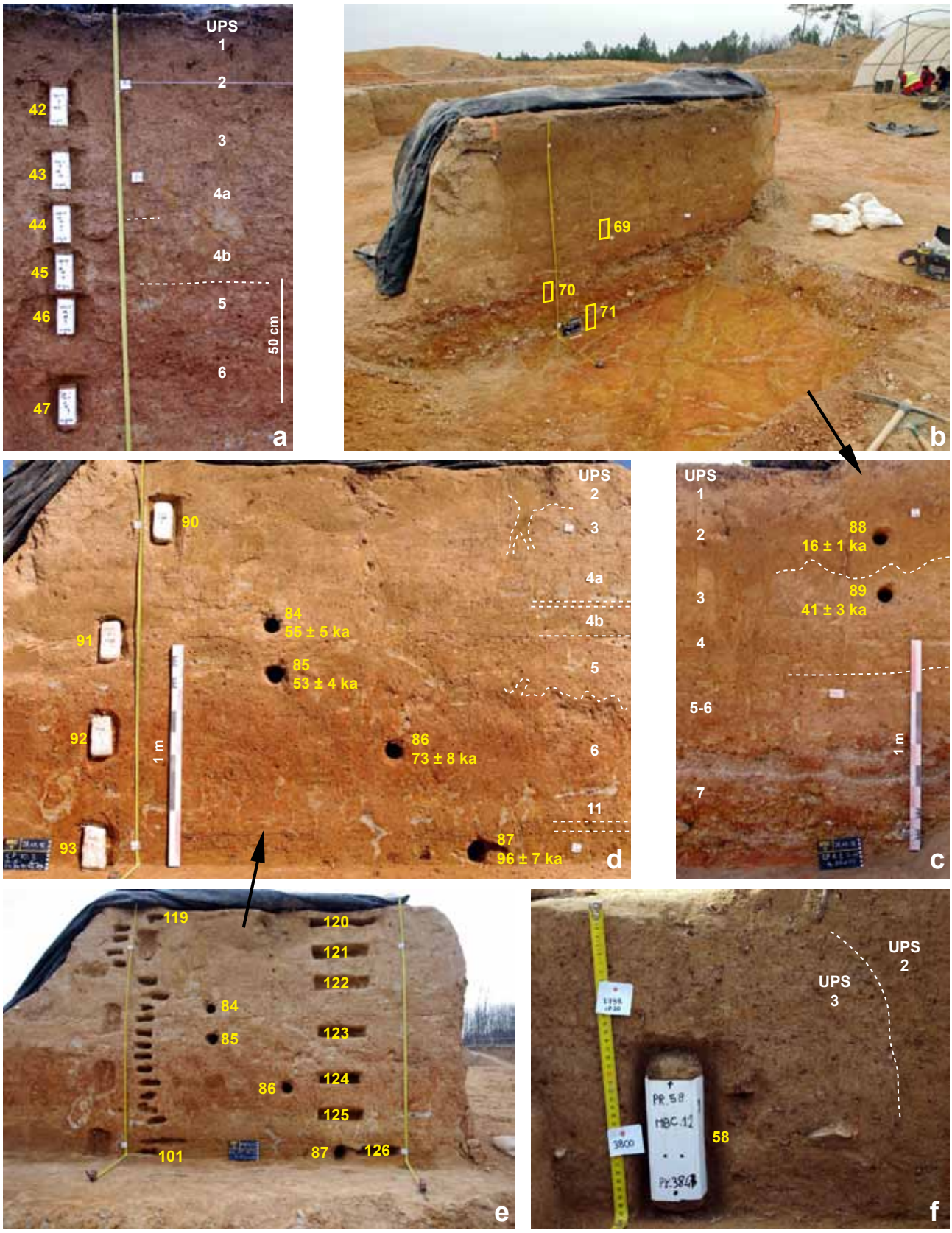


Figure 2-08 – Montguyon (17), « Bois Clair », vues des coupes de référence échantillonnées (M. Rué)
Numéro des prélèvements en jaune. a : CP09.2. b et c : CP08.1. d et e : CP10.3. f : prélèvement situé au cœur de la nappe de mobilier paléolithique moyen et supérieur du locus 9, incluse dans le cryosol (UPS 3, CP20)

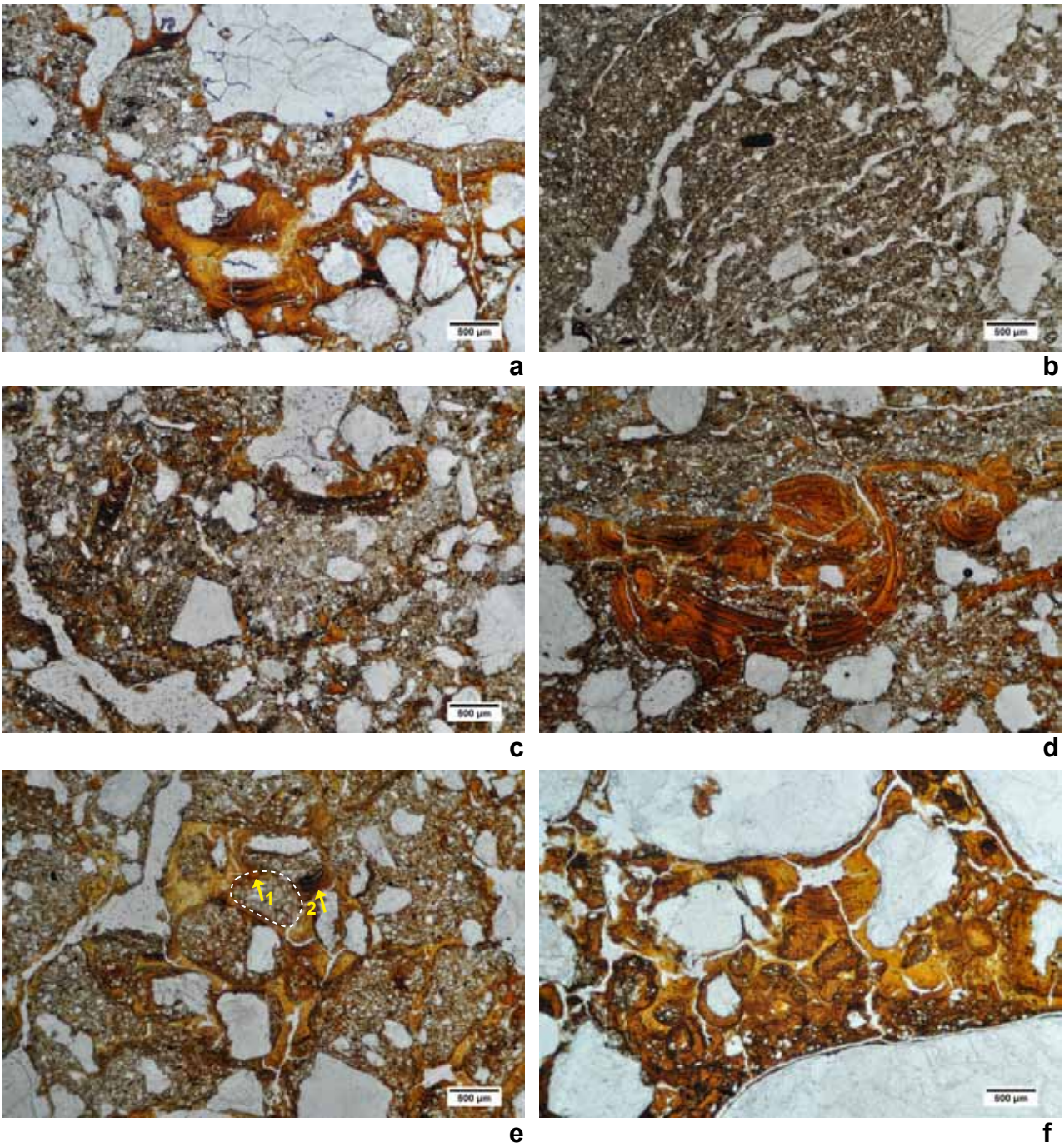
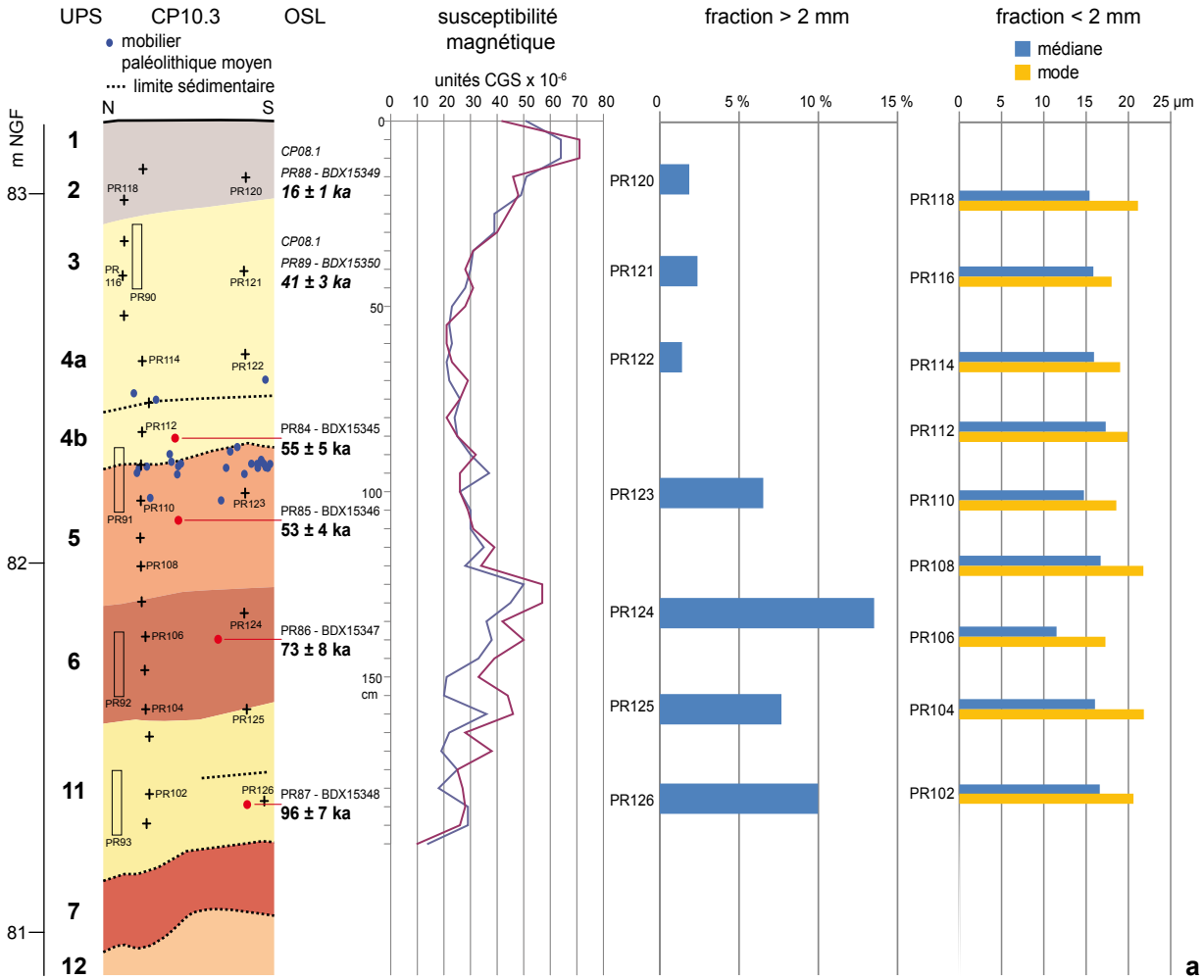


Figure 2-09 – Montguyon (17), « Bois Clair », aperçu des microfaciès (M. Rué)
Lumière analysée non polarisée, grossissement x 25. a : Nappe de mobilier paléolithique moyen et supérieur du locus 9 (cryosol UPS 3, lame PR58). Revêtements illuviaux lités bien développés et en conformité avec la porosité. b : Structure lamellaire (cryosol UPS 3, CP10.3, lame PR90). c : Interface entre les unités 4 et 5 (CP10.3, lame PR91). Faciès à intercalations et revêtements illuviaux en voie d'intégration dans la matrice. d : Revêtements illuviaux lités du paléosol rouge (UPS6, CP10.3, lame PR92). e : Enregistrement de deux phases de pédogenèse illuviante (1 et 2) séparés par un épisode de colluvionnement marqué par des agrégats arrondis (UPS6, CP10.3, lame PR92). f : Matrice polyphasée du « pavage » (UPS7, CP08.1, PR70).



locus 1 - CP10.3 - Paléolithique moyen - volume tamisé 4 L

prélèvement	point topographique	z (m NGF)	UPS	z (cm)	masse initiale (kg)	masse 2-10 mm (g)	*masse 2-10 mm (%)*	masse 10-20 mm (g)	*masse 10-20 mm (%)*	masse > 20 mm (g)	*masse > 20 mm (%)*	total > 2 mm (g)	*total > 2 mm (%)*	total < 2 mm (g)
120	5835	83,05	2	-10	5100	80,20	*1,6%*	14,35	*0,3%*	0,00	*0,0%*	94,55	*1,9%*	5005,45
121	5836	82,80	3	-40	5800	135,18	*2,3%*	2,50	*0,0%*	0,00	*0,0%*	137,68	*2,4%*	5662,32
122	5837	82,57	4a	-60	4500	60,56	*1,3%*	2,39	*0,1%*	0,00	*0,0%*	62,95	*1,4%*	4437,05
123	5838	82,20	5	-100	5100	319,68	*6,3%*	12,96	*0,3%*	0,00	*0,0%*	332,64	*6,5%*	4767,36
124	5839	81,87	6	-130	5300	651,01	*12,3%*	52,14	*1,0%*	13,58	*0,3%*	716,73	*13,5%*	4583,27
125	5840	81,61	5/6	-150	4500	329,80	*7,3%*	15,23	*0,3%*	0,00	*0,0%*	345,03	*7,7%*	4154,97
126	5841	81,36	11	-185	4800	310,44	*6,5%*	104,33	*2,2%*	64,29	*1,3%*	479,06	*10,0%*	4320,94

locus 0 - K3.100a - CP05 - Paléolithique moyen et supérieur - volume tamisé 20 L

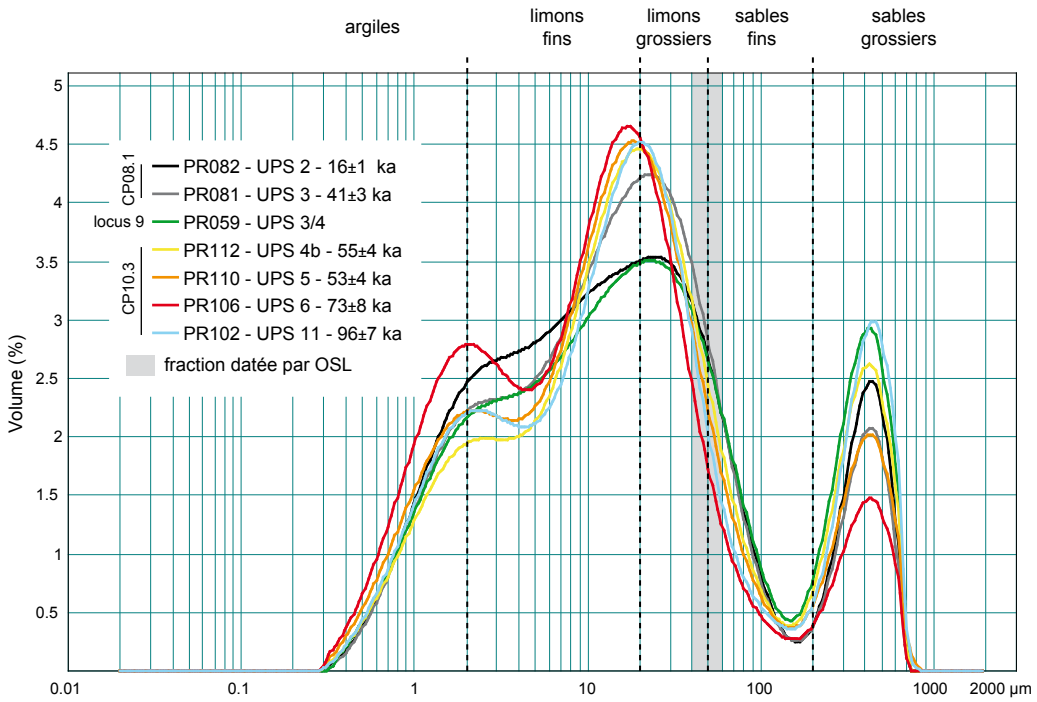
décapage	UPS	z (m NGF)	masse initiale (g)	masse 2-10 mm (g)	masse 10-20 mm (g)	masse > 20 mm (g)	total masse > 2 mm (g)	% masse > 2 mm	**total silex > 2 mm**
1	3/4	83,05	25000	1040,46	146,76	80,48	1267,7	5,1%	**52**
2	3/4	83,01	25000	1391,85	178,24	0	1570,09	6,3%	**16**
3	3/4	82,96	25000	1009,2	143,65	67,74	1220,59	4,9%	**119**
4	3/4	82,92	25000	1565,04	611,32	64,08	2240,44	9,0%	**23**
5	3/4	82,86	25000	2119,02	512,44	90,96	2722,42	10,9%	**6**

locus 4 - K7.84c - CP12.2 - Paléolithique moyen - volume tamisé 20 L

décapage	UPS	z (m NGF)	masse initiale (g)	masse 2-10 mm (g)	masse 10-20 mm (g)	masse > 20 mm (g)	total masse > 2 mm (g)	% masse > 2 mm	**total silex > 2 mm**
1	4a	82,68	25000	282,07	42,47	0	324,54	1,3%	**1**
2	4a	82,63	25000	512,08	46,6	0	558,68	2,2%	**2**
3	4a/4b ?	82,58	25000	622,84	32,42	0	655,26	2,6%	**3**
4	4b	82,53	25000	878,35	38,4	0	916,75	3,7%	**6**
5	4/5	82,49	25000	1031,29	196,51	222,59	1450,39	5,8%	**45**
6	5	82,44	25000	2348,73	387,83	125,19	2861,75	11,4%	**19**
7	5	82,395	25000	2253,23	184,81	24,85	2462,89	9,9%	**2**
8	5	82,35	25000	2498,36	127,74	0	2626,1	10,5%	**3**
9	5	82,3	25000	4722,07	347,38	0	5069,45	20,3%	**2**
10	5	82,24	25000	4387,58	284,09	0	4671,67	18,7%	**0**
11	6	82,18	25000	2092,16	160,28	0	2252,44	9,0%	**0**
12	6	83,13	25000	2426,1	104,99	0	2531,09	10,1%	**1**

b

Figure 2-10 – Montguyon (17), « Bois Clair »,résultats analytiques (M. Rué, A. Ajas).
a : Datations, susceptibilité magnétique et granulométrie de la séquence pléistocène en CP10.3.
b : Répartition granulométrique verticale des fractions naturelle et anthropique en trois points du site.



prélèvement	localisation	unités	obscuration (%)	coefficient de variation (span)	D [4, 3] - diamètre moyen volumique (µm)	D [3, 2] - diamètre de Sauter (µm)	Uniformité	d (0,1) (µm)	d (0,5) (µm)	d (0,9) (µm)	mode (µm)	fraction argileuse (0,02-2 µm) %	limons fins (2-20 µm) %	limons grossiers (20-50 µm) %	sables fins (50-200 µm) %	sables grossiers (200-2000 µm) %
PR118	CP10.3	UPS 2	54,80	12,05	58,26	4,79	3,40	1,66	15,41	187,32	21,13	12,4	44,7	22,8	10,4	9,8
PR116	CP10.3	UPS 3/4	57,23	20,16	74,70	4,82	4,34	1,64	15,85	321,17	18,01	12,6	43,5	20,7	9,6	13,6
PR114	CP10.3	UPS 4a	57,30	19,51	72,76	4,75	4,19	1,60	15,93	312,43	19,02	12,9	43,4	21,5	8,9	13,3
PR112	CP10.3	UPS 4b	51,21	19,30	78,55	5,12	4,15	1,73	17,31	335,84	19,89	11,8	42,4	22,3	8,9	14,7
PR110	CP10.3	UPS 5	62,32	18,26	65,89	4,41	4,09	1,48	14,74	270,53	18,57	14,2	44,8	21,5	8,0	11,6
PR108	CP10.3	UPS 5	54,21	14,24	62,94	4,92	3,38	1,67	16,71	239,70	21,77	12,3	43,4	25,1	8,3	10,8
PR106	CP10.3	UPS 6	72,15	7,69	49,18	3,67	3,92	1,27	11,50	89,72	17,28	17,8	48,4	19,7	5,9	8,2
PR104	CP10.3	UPS 6/11	56,36	9,16	56,16	4,77	3,11	1,62	16,05	148,58	21,82	12,9	44,7	26,5	6,5	9,3
PR102	CP10.3	UPS 11	55,86	22,41	84,89	4,80	4,74	1,60	16,61	373,92	20,60	13,1	42,3	21,6	7,0	16,0
PR097	CP12.2	UPS 5 paleo moy	56,02	21,45	64,78	3,91	4,81	1,33	12,57	270,83	19,06	16,7	44,0	18,8	8,8	11,6
PR096	CP12.2	UPS 5 glosse	47,78	18,72	91,28	5,04	4,27	1,66	19,79	371,97	27,45	12,4	37,9	20,3	12,1	17,4
PR083	CP08.1	UPS 1	43,85	15,00	74,68	5,66	3,51	1,99	19,24	290,53	26,76	10,0	40,9	22,0	13,9	13,2
PR082	CP08.1	UPS 2	54,45	21,95	69,85	4,62	4,62	1,61	14,02	309,27	24,95	13,3	44,6	19,9	9,7	12,5
PR081	CP08.1	UPS 3	52,80	15,71	63,07	4,90	3,69	1,68	15,50	245,19	22,99	12,5	44,4	22,9	9,6	10,7
PR080	CP08.1	UPS 4	64,36	20,11	64,49	4,24	4,30	1,43	13,85	279,90	22,84	15,4	43,9	21,6	7,7	11,4
PR079	CP08.1	UPS 4	53,32	18,88	66,68	4,61	4,06	1,57	15,08	286,16	23,32	13,7	43,7	22,4	8,6	11,7
PR078	CP08.1	UPS 5	49,91	16,73	64,37	4,63	3,86	1,57	15,21	256,06	20,26	13,4	44,0	21,7	9,4	11,4
PR077	CP08.1	UPS 5	57,91	18,72	63,62	4,68	4,05	1,61	14,35	270,21	18,66	13,3	46,4	21,4	7,5	11,3
PR059	CP20	UPS3/4 - locus 9	42,36	20,79	86,16	4,93	4,64	1,66	17,25	360,37	23,39	12,5	40,8	19,6	10,6	16,5

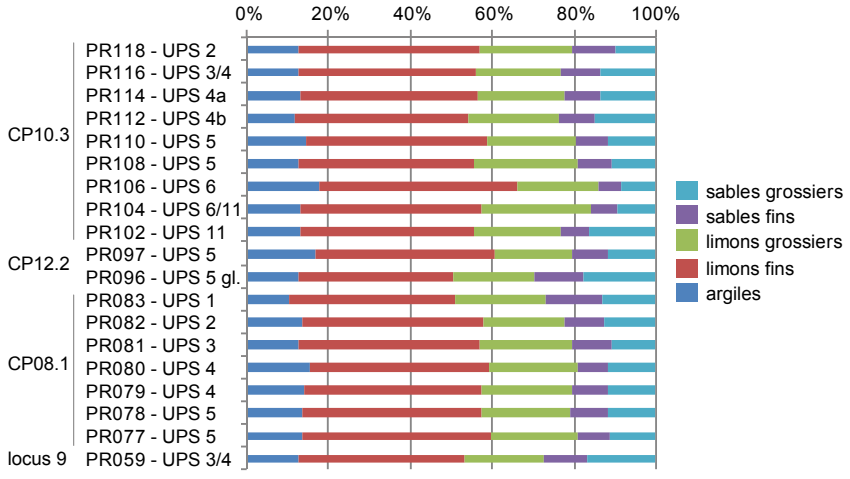


Figure 2-11 – Montguyon (17), « Bois Clair », distribution granulométrique de la fraction inférieure à 2 mm par diffraction laser (M. Rué)

Granulomètre laser Malvern Mastersizer 2000 (ESIREM, Dijon). Obscuration : perte de luminosité provoquée par l'introduction de l'échantillon dans l'analyseur. Span : coefficient de variation caractérisant l'étalement de la distribution, défini par [d(0,9)-d(0,1)]/d(0,5). Uniformité : facteur de déviation absolue par rapport à la médiane. d (0,1 0,5 0,9) : diamètre en dessous duquel se situe respectivement 10 %, 50 % (médiane) ou 90 % des particules.

SECTION 2

L’opération et ses résultats

Chapitre 3



Figure 3-01 – Montguyon (17), « Bois Clair », distribution Prélèvements et mesures pour datations OSL sur les coupes 10.3 (gauche) et 8.1 (droite) (M. Rué)

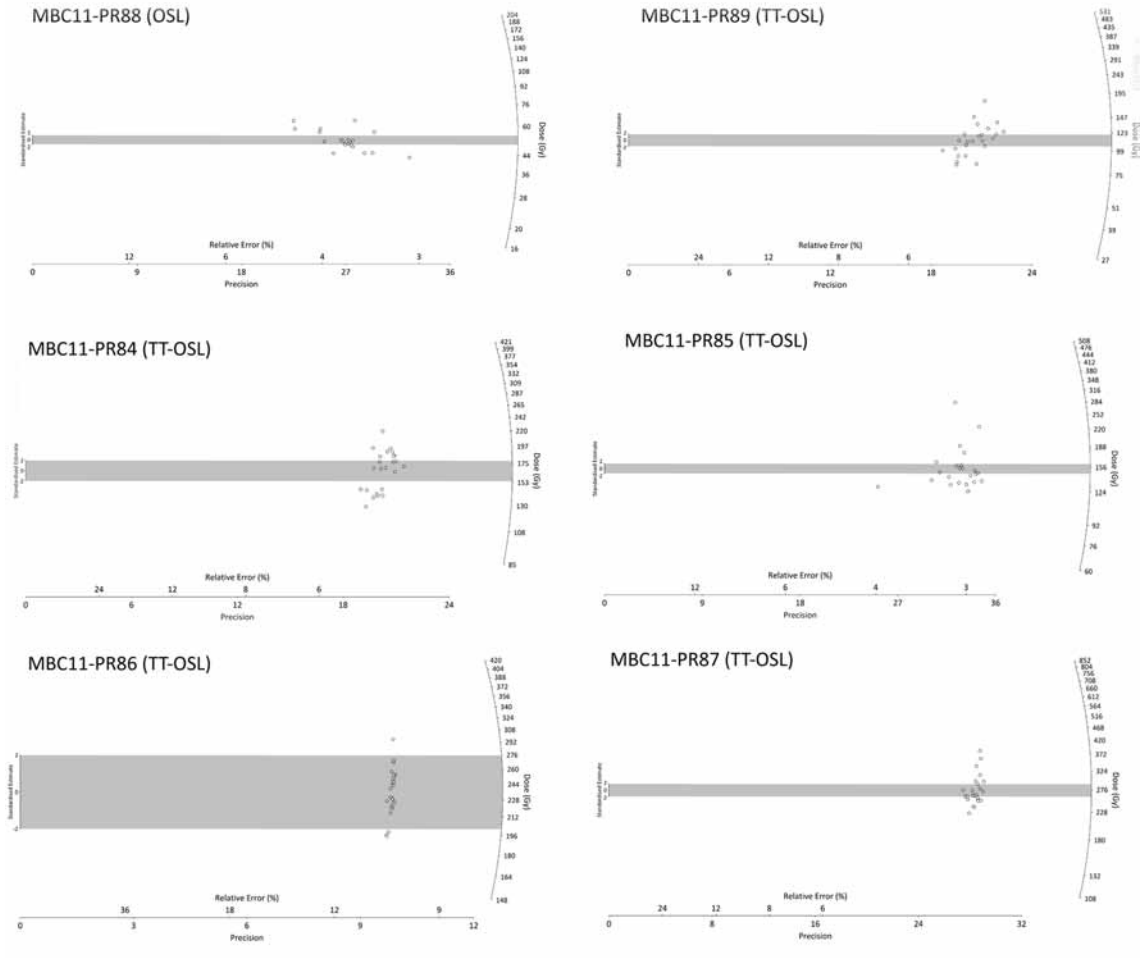


Figure 3-02 – Montguyon (17), « Bois Clair », représentations radiales des différentes valeurs de paléodoses obtenues pour chaque échantillon (M. Hernandez)

étape	séquence de paramètres	signal mesuré
1	dose d'irradiation (= 0 pour lecture signal naturel)	
2	Préchauffe (260°C, 10s)	
3	Stimulation OSL diodes bleues (90%) à 125°C, 40s	OSL induit par dose étape 1
4	dose d'irradiation test	
5	Préchauffe (160°C, 0s)	
6	Stimulation OSL diodes bleues (90%) à 125°C, 40s	OSL de normalisation
7	Stimulation OSL diodes bleues (90%) à 280°C, 100s	
8	retour à l'étape 1	

Figure 3-03 – Montguyon (17), « Bois Clair », description du protocole SAR employé pour l'échantillon MBC11-PR88 (M. Hernandez).

étape	séquence de paramètres	signal mesuré
1	dose d'irradiation (= 0 pour lecture signal naturel)	
2	Préchauffe (260°C, 10s)	
3	Stimulation OSL diodes bleues (90%) à 125°C, 300s	
4	Préchauffe (260°C, 10s)	
5	Stimulation OSL diodes bleues (90%) à 125°C, 100s	TT-OSL induit par dose étape 1
6	dose d'irradiation test	
7	Préchauffe (220°C, 10s)	
8	Stimulation OSL diodes bleues (90%) à 125°C, 100s	OSL de normalisation

Figure 3-04 – Montguyon (17), « Bois Clair », Description du protocole de TT-OSL mis en œuvre pour les échantillons MBC11-PR89, PR84, PR86, PR87 (M. Hernandez)

						débit de dose								paléodose					
échantillon	ref. labo.	coupe	unités	prof. (m)	teneur en eau (%)	K (%)	U (ppm)	Th (ppm)	cosmique (µGy a^{-1})	alpha (µGy a^{-1})	beta (µGy a^{-1})	gamma (µGy a^{-1})	**Total (µGy a^{-1})**	nombre d'aliquotes mesurées	signal	dispersion courbe de croissance (%)	over dispersion (%)	**paléodose (Gy)**	**Age (ka)**
MBC11-PR88	BDX 15349	8.1	2	0,39	12 ± 3	1.28 ± 0.02	4.15 ± 0.04	13.19 ± 0.13	205 ± 20	270 ± 57	1652 ± 16	1025 ± 24	3152 ± 64	20	OSL	/	17 ± 3	52 ± 2	**16 ± 1**
MBC11-PR89	BDX 15350	8.1	3	0,68	12 ± 3	1.07 ± 0.02	3.18 ± 0.03	11.48 ± 0.11	190 ± 18	222 ± 47	1358 ± 14	1003 ± 24	2773 ± 55	24	TT-OSL	8	24 ± 4	113 ± 7	**41 ± 3**
MBC11-PR84	BDX 15345	10.3	4b	0,89	12 ± 3	1.14 ± 0.02	3.98 ± 0.04	12.77 ± 0.12	183 ± 18	260 ± 55	1528 ± 16	1022 ± 24	2994 ± 63	24	TT-OSL	10	18 ± 3	166 ± 10	**55 ± 5**
MBC11-PR85	BDX 15346	10.3	5	1,11	12 ± 3	1.17 ± 0.02	3.45 ± 0.04	13.50 ± 0.12	177 ± 17	252 ± 54	1599 ± 14	964 ± 23	2892 ± 60	23	TT-OSL	6	25 ± 4	154 ± 9	**53 ± 4**
MBC11-PR86	BDX 15347	10.3	6	1,44	12 ± 3	1.25 ± 0.02	4.45 ± 0.05	15.09 ± 0.14	170 ± 17	300 ± 64	1714 ± 17	1050 ± 25	3234 ± 71	24	TT-OSL	13	8 ± 3	236 ± 24	**73 ± 8**
MBC11-PR87	BDX 15348	10.3	11	1,89	12 ± 3	0.81 ± 0.02	4.39 ± 0.04	16.36 ± 0.13	158 ± 15	312 ± 67	1433 ± 12	963 ± 23	2866 ± 72	24	TT-OSL	8	16 ± 2	275 ± 9	**96 ± 7**

Figure 3-05 – Montguyon (17), « Bois Clair », Synthèse des données intervenant dans le calcul des âges des échantillons de Montguyon Bois-Clair (M. Hernandez)

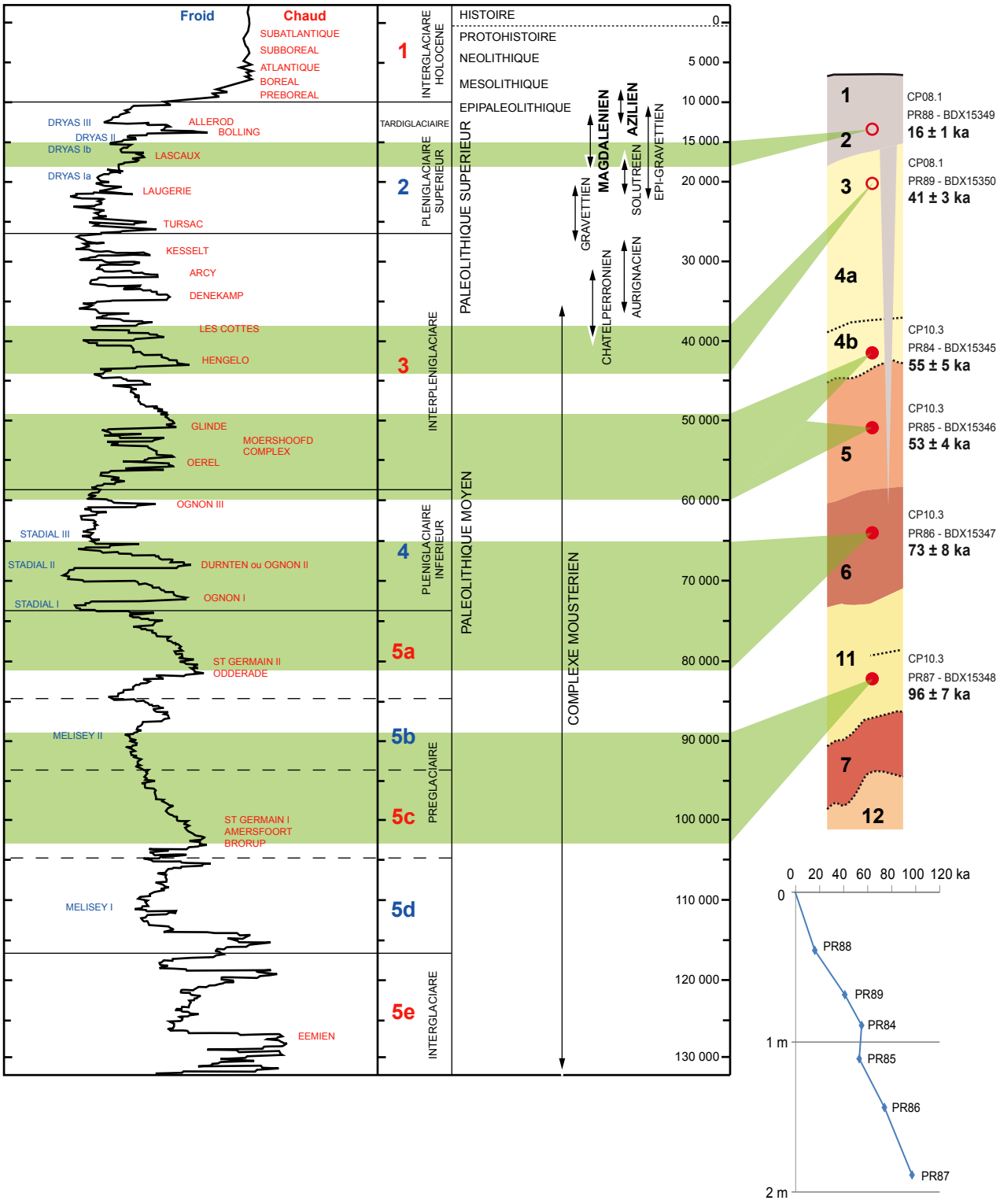


Figure 3-06 – Montguyon (17), « Bois Clair », Distribution des âges obtenus (M. Rué, S. Bernard-Guelle)

SECTION 2

L’opération et ses résultats

Chapitre 4

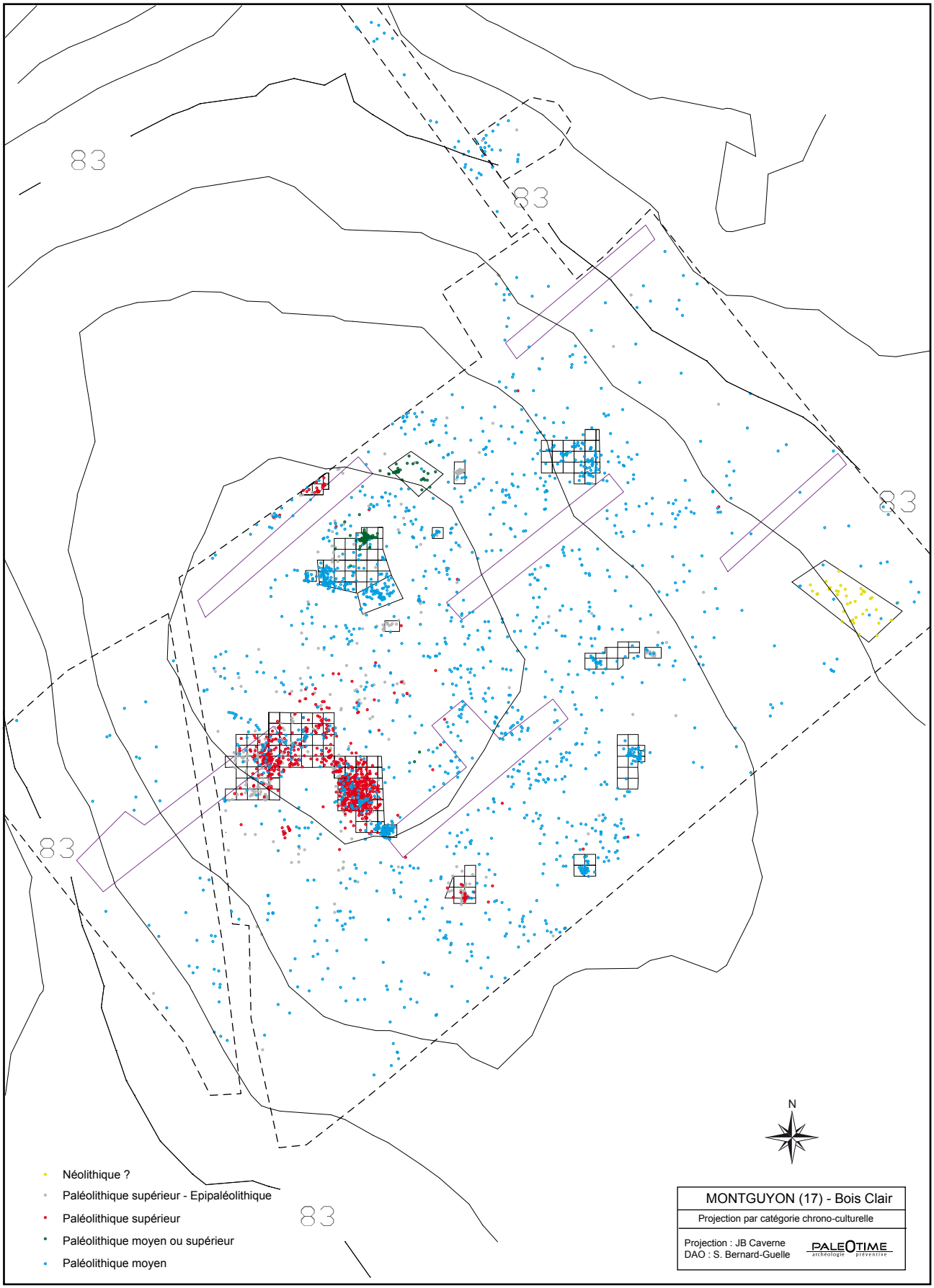


Figure 4-01 – Montguyon (17), « Bois Clair », projection du mobilier par attributions chrono-culturelles toutes UPS confondues

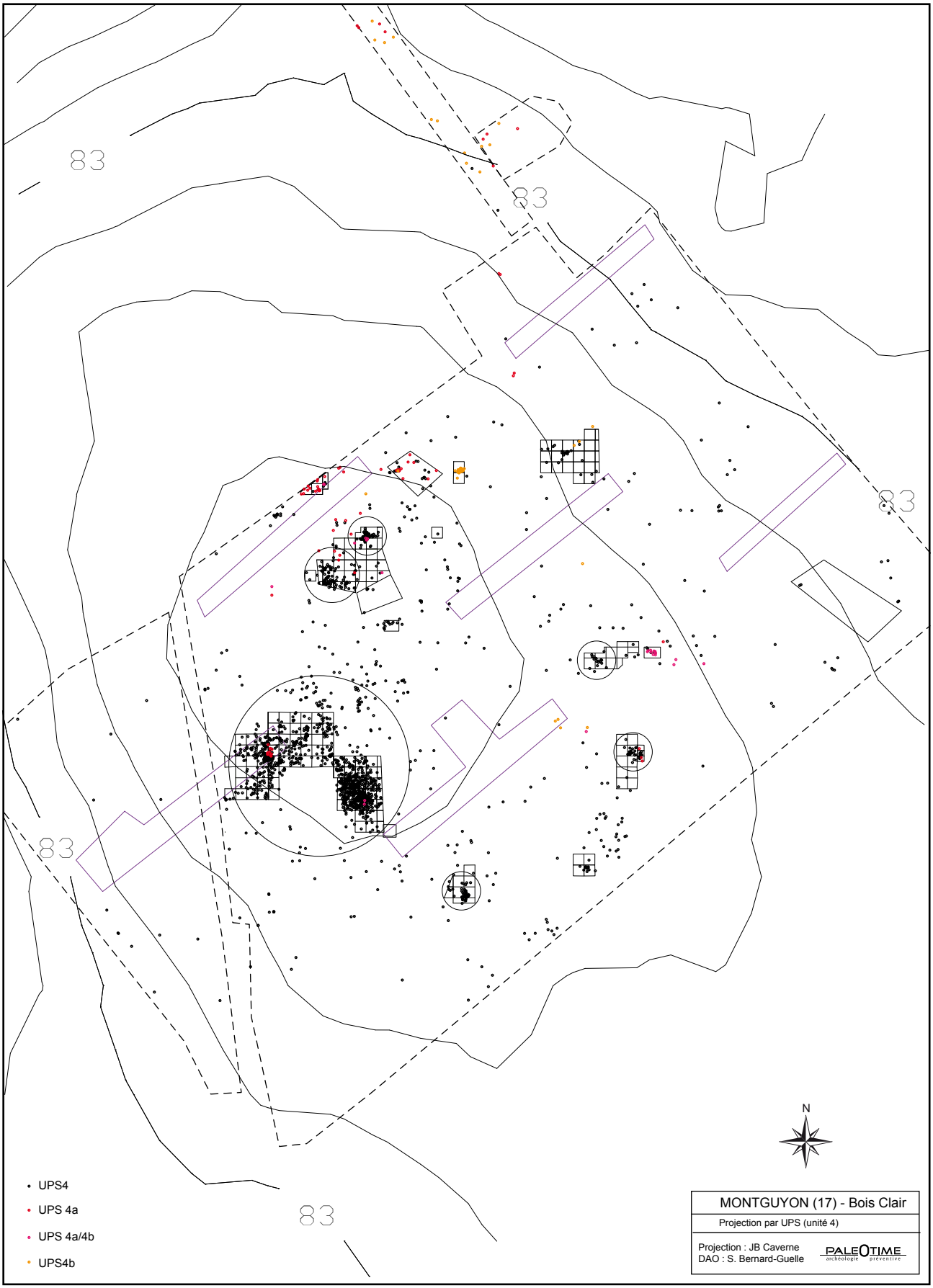


Figure 4-02 – Montguyon (17), « Bois Clair », projection du mobilier prélevé en UPS4 ; les cercles marquent les principales zones de densité

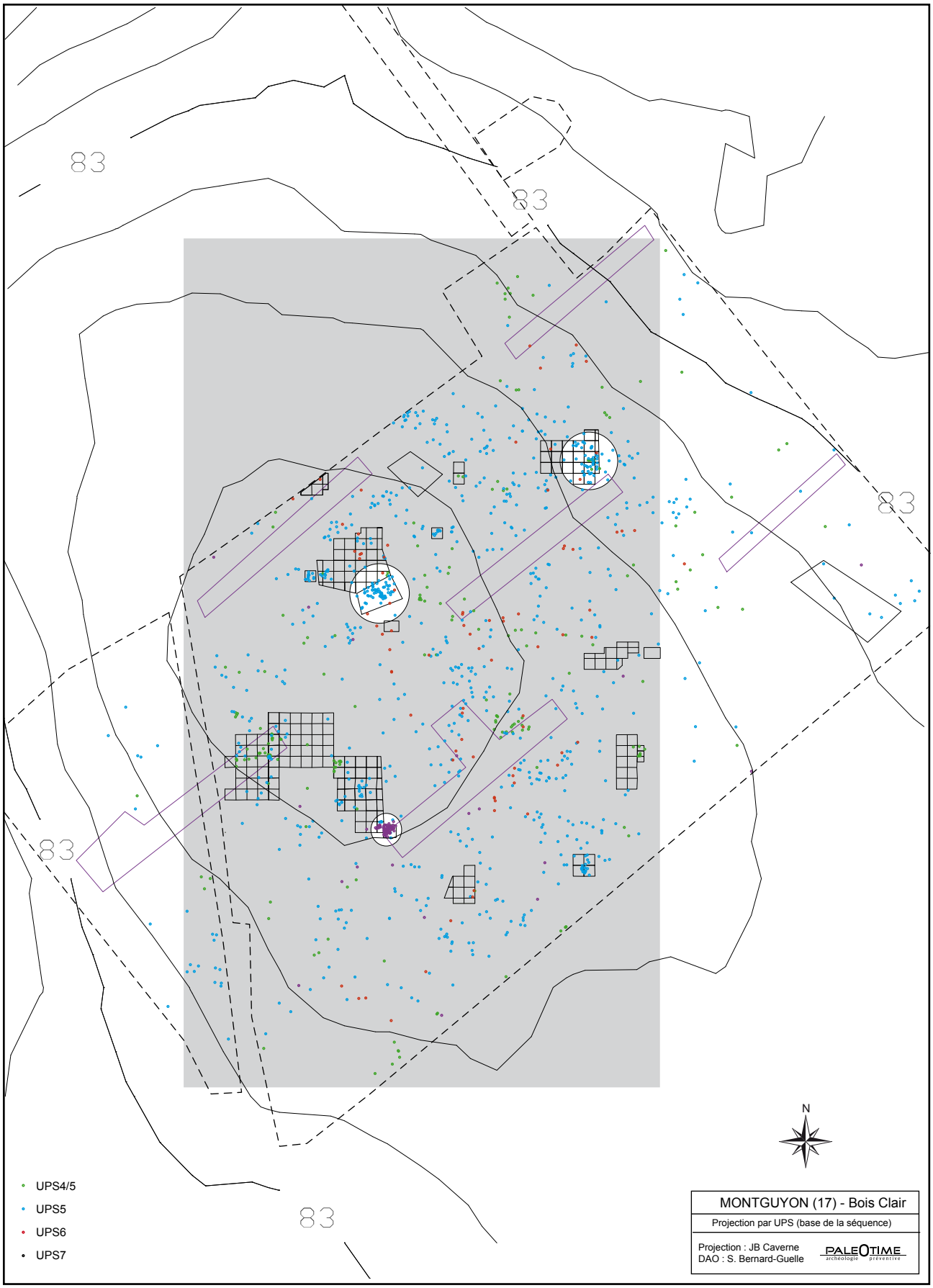


Figure 4-03 – Montguyon (17), « Bois Clair », projection du mobilier prélevé dans la partie inférieure de la séquence ; les cercles marquent les principales zones de densité alors que la zone grisée matérialise une bande large d'un peu moins de 50 m dans laquelle a été trouvée l'essentiel du mobilier

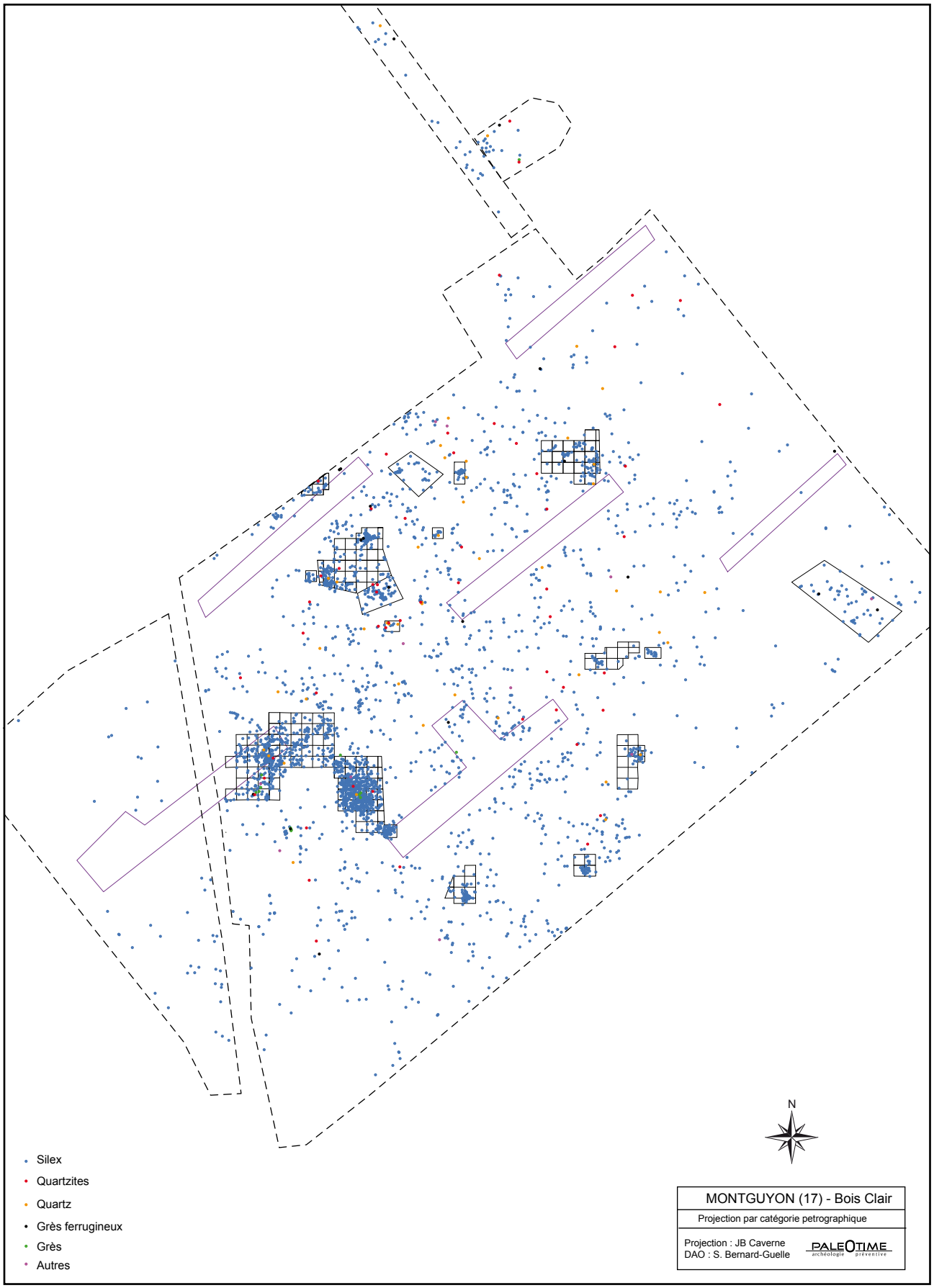


Figure 4-04 – Montguyon (17), « Bois Clair », projection par attributions pétrographiques toutes UPS confondues

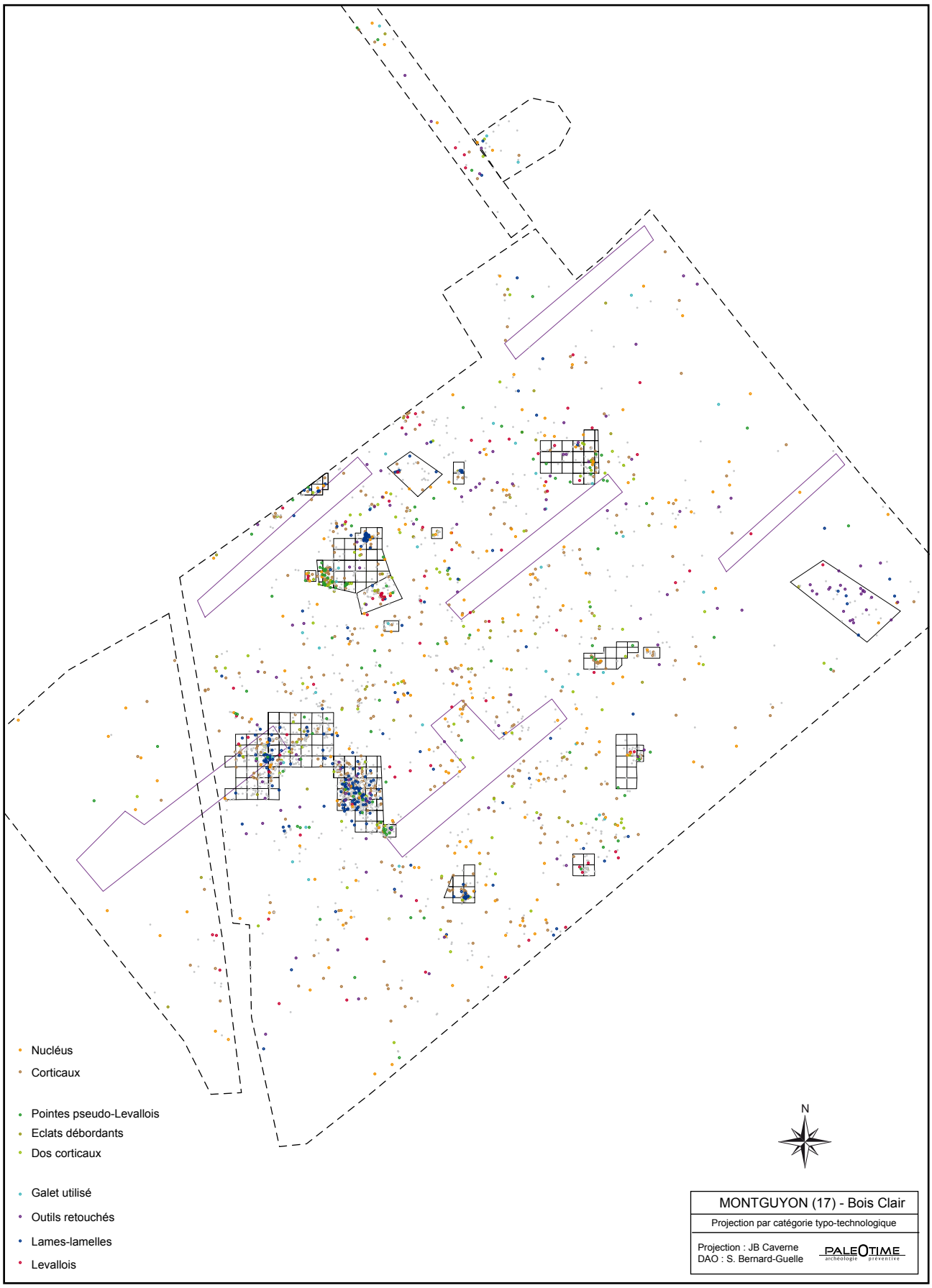


Figure 4-05 – Montguyon (17), « Bois Clair », projection par catégories techno-typologiques toutes UPS confondues

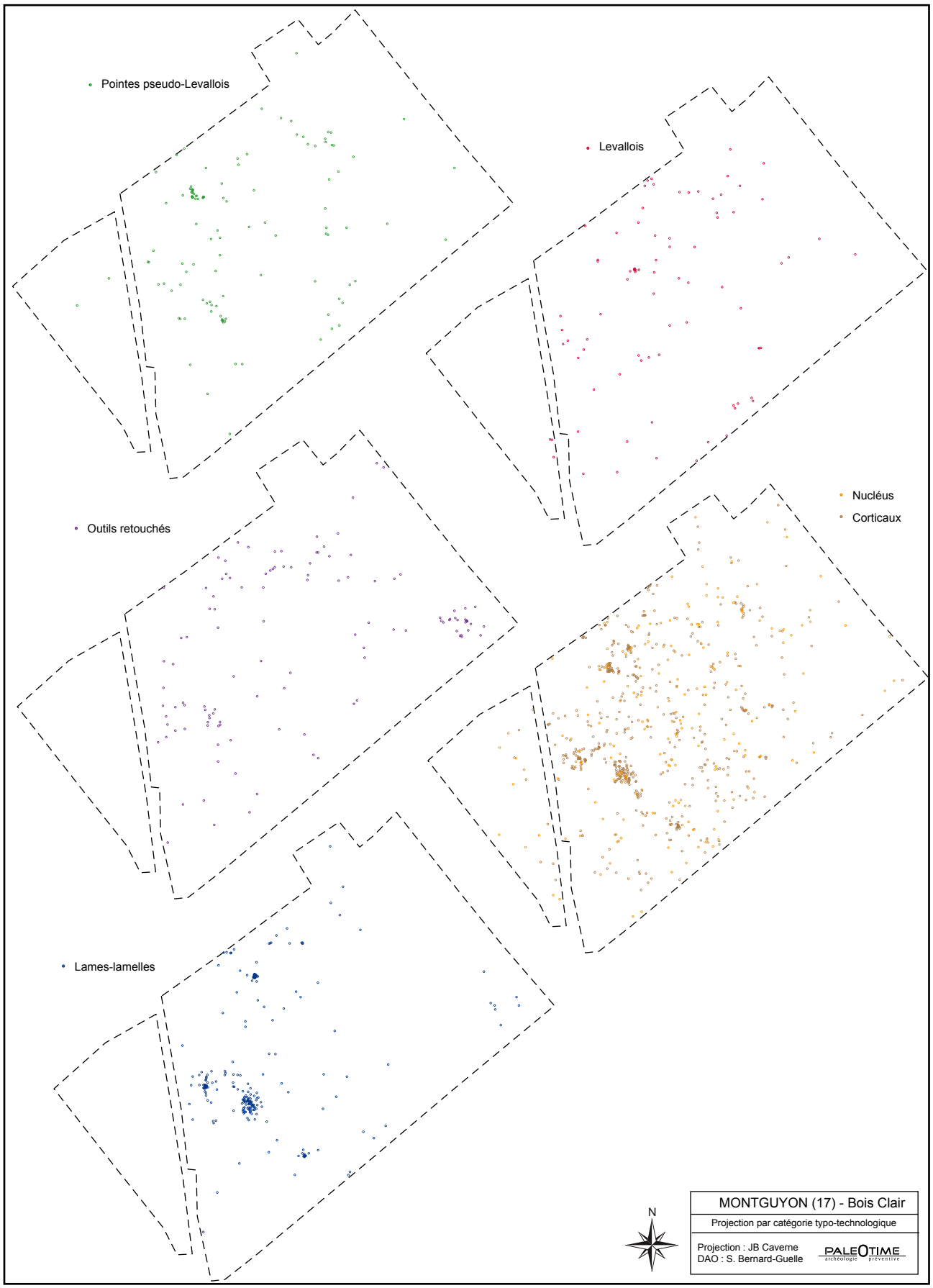


Figure 4-06 – Montguyon (17), « Bois Clair », projections par catégories techno-typologiques – détails

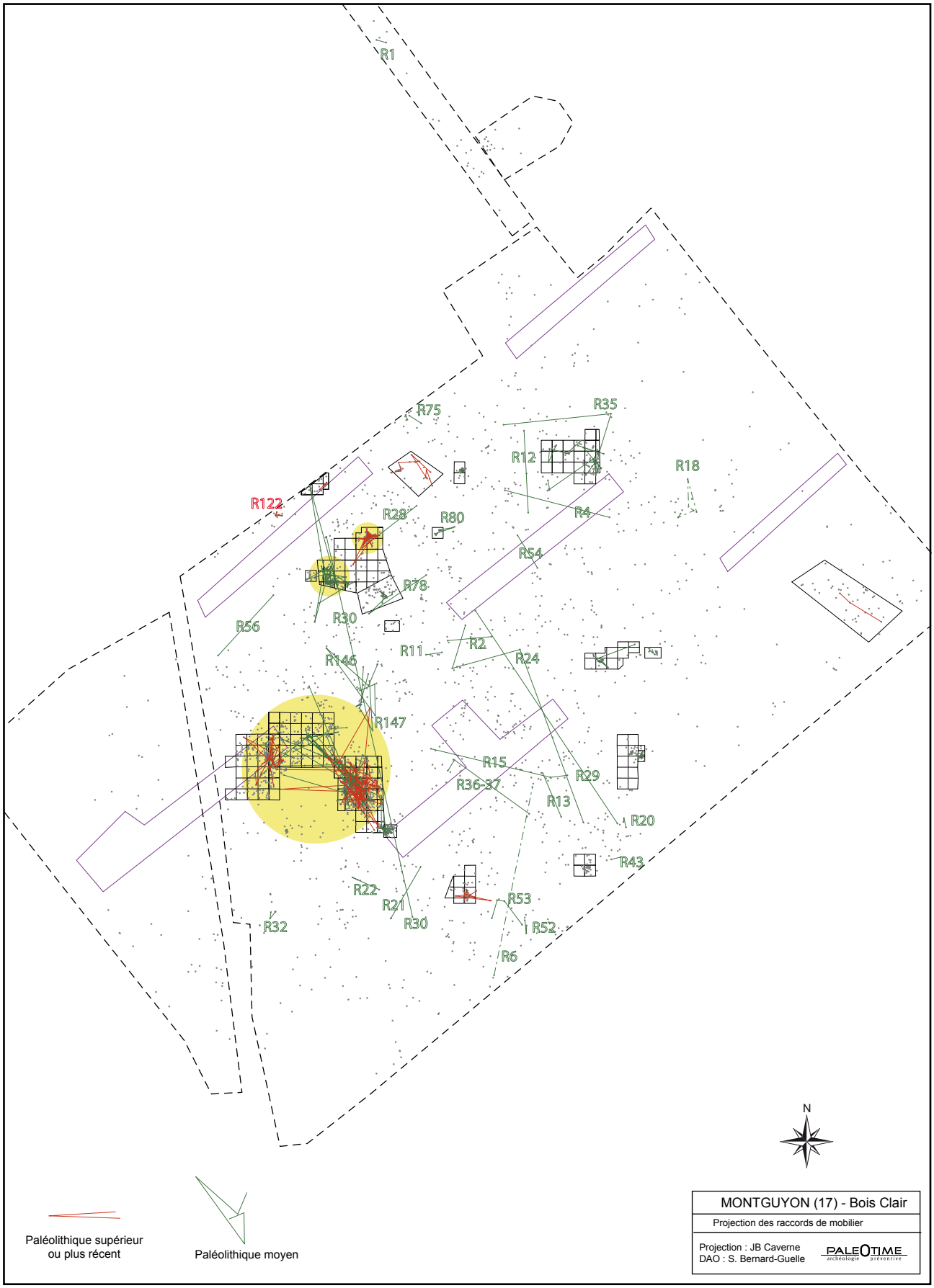


Figure 4-07 – Montguyon (17), « Bois Clair », projections des remontages réalisés ; en jaune les locus pour lesquels une analyse plus détaillée des distances et orientations et disponibles ; Pour les zones de densité cf. aussi détails des locus de fouille

Type de raccord	N	%
débitage	87	58
débitage/fracture postdépo.	40	26,7
fracture post-dep	6	4
fracture gel	14	9,3
fracture débitage	3	2
Total	*150*	*100*

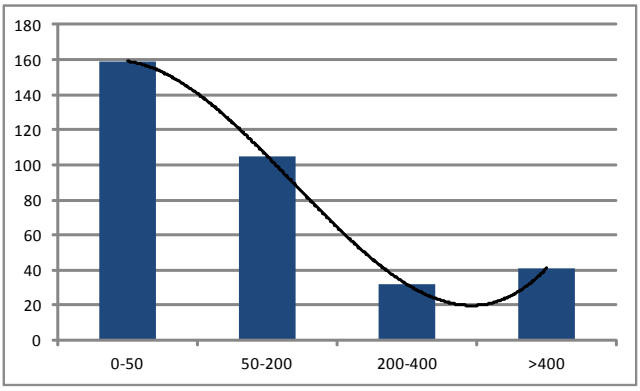
Figure 4-08 – Montguyon (17), « Bois Clair », répartition des différents types de raccords

Insertion stratigraphique et nombre de raccords	PM	PS	PM/PS	?	Totaux	%
UPS1/4	2		2		4	2,7
UPS2/4				1	1	0,7
UPS4	31	26	15		72	48,6
UPS4/5	2				2	1,3
UPS5	22				22	14,9
UPS5/6	1				1	0,7
UPS6	1				1	0,7
UPS6/7	1				1	0,7
UPS7	5				5	3,4
Liaison stratigraphique et nombre de raccords	**PM**	**PS**	**PM/PS**	**?**		
UPS4 UPS4/5	10	2			12	8,1
UPS4 UPS4/5 UPS5	1	4			5	3,4
UPS4/5 UPS5	3				3	2,0
UPS4 UPS5	12				12	8,1
UPS4 UPS4/5 UPS6	1				1	0,7
UPS4 UPS5/6	1				1	0,7
UPS4/5 UPS5 UPS6	1				1	0,7
UPS1? UPS4	1				1	0,7
UPS2?	1				1	0,7
UPS5 UPS6	1				1	0,7
UPS6/7 UPS7	1				1	0,7
Totaux	98	32	17	1	148	100

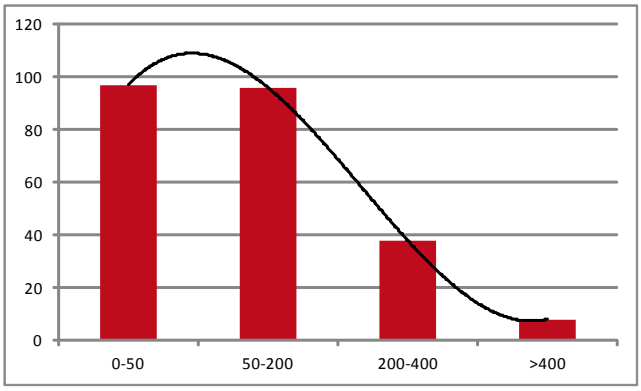
Figure 4-09 – Montguyon (17), « Bois Clair », distribution verticale des raccords

LIAISONS	Paléolithique moyen - Totalité	Paléolithique moyen - Locus 12bis (UPS4)	Paléolithique moyen - Locus 0/9/11 (UPS4)
nombre de liaisons	337	68	73
0-50 cm	47,20%	54,41%	34,24%
50-200 cm	31,15%	32,35%	34,24%
200-400 cm	9,49%	8,82%	13,69%
>400 cm	12,16%	4,41%	17,80%
distance moyenne	1,74	1,00	2,08
distance maximum	35,79	9,58	10,88
distance minimum	0,01	0,03	0,02

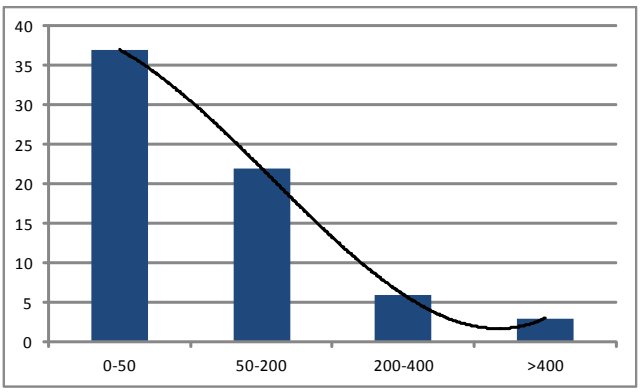
LIAISONS	Paléolithique supérieur - Totalité	Paléolithique supérieur - Locus 0/9/11 (UPS4)	Paléolithique supérieur/Epipaléolithique - Locus 15 (UPS4)
nombre de liaisons	239	151	47
0-50 cm	40,58%	29,80%	63,82%
50-200 cm	40,16%	43,70%	31,91%
200-400 cm	15,89%	21,19%	4,25%
>400 cm	3,34%	5,29%	0%
distance moyenne	1,17	1,46	0,59
distance maximum	8,09	8,09	3,25
distance minimum	0,00	0,00	0,04



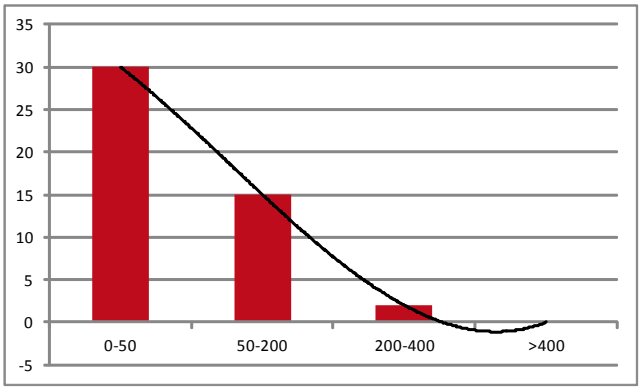
Paléolithique moyen
Totalité



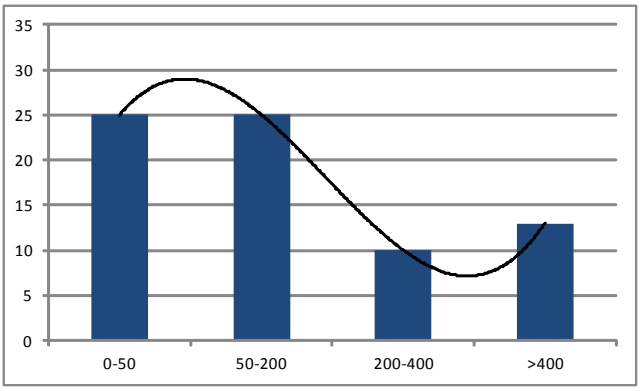
Paléolithique supérieur
Totalité



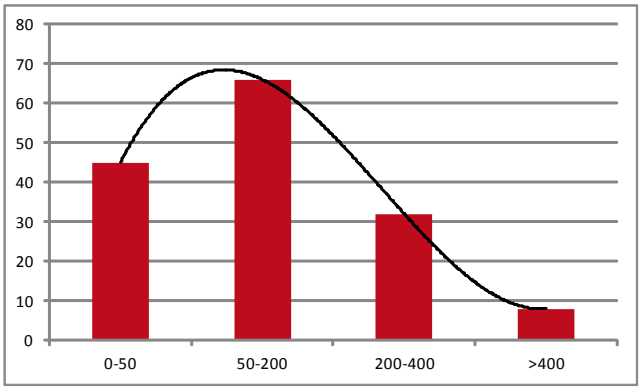
Paléolithique moyen
Locus 12bis



Paléolithique supérieur
Locus 15



Paléolithique moyen
Locus 0/9/11



Paléolithique supérieur
Locus 0/9/11

Figure 4-10 – Montguyon (17), « Bois Clair », tableaux et graphiques illustrant les distances des liaisons pour l'ensemble des remontages du Paléolithique moyen et du Paléolithique supérieur ainsi qu'au sein des locus 12bis, 15 et 0/9/11

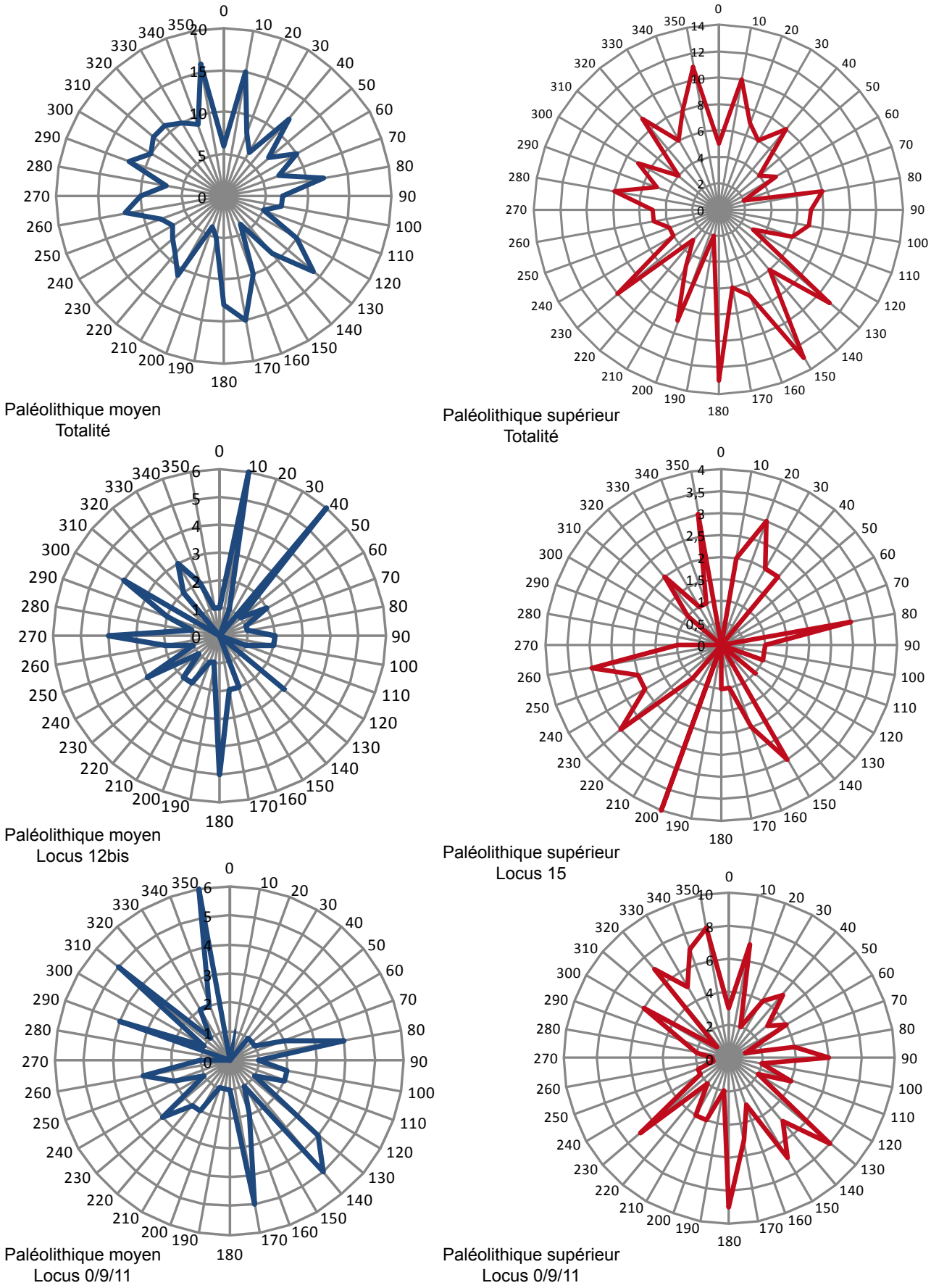


Figure 4-11 – Montguyon (17), « Bois Clair », graphiques en rose des orientations des liaisons pour l'ensemble des remontages du Paléolithique moyen et du Paléolithique supérieur ainsi que pour les locus 12bis, 15 et 0/9/11

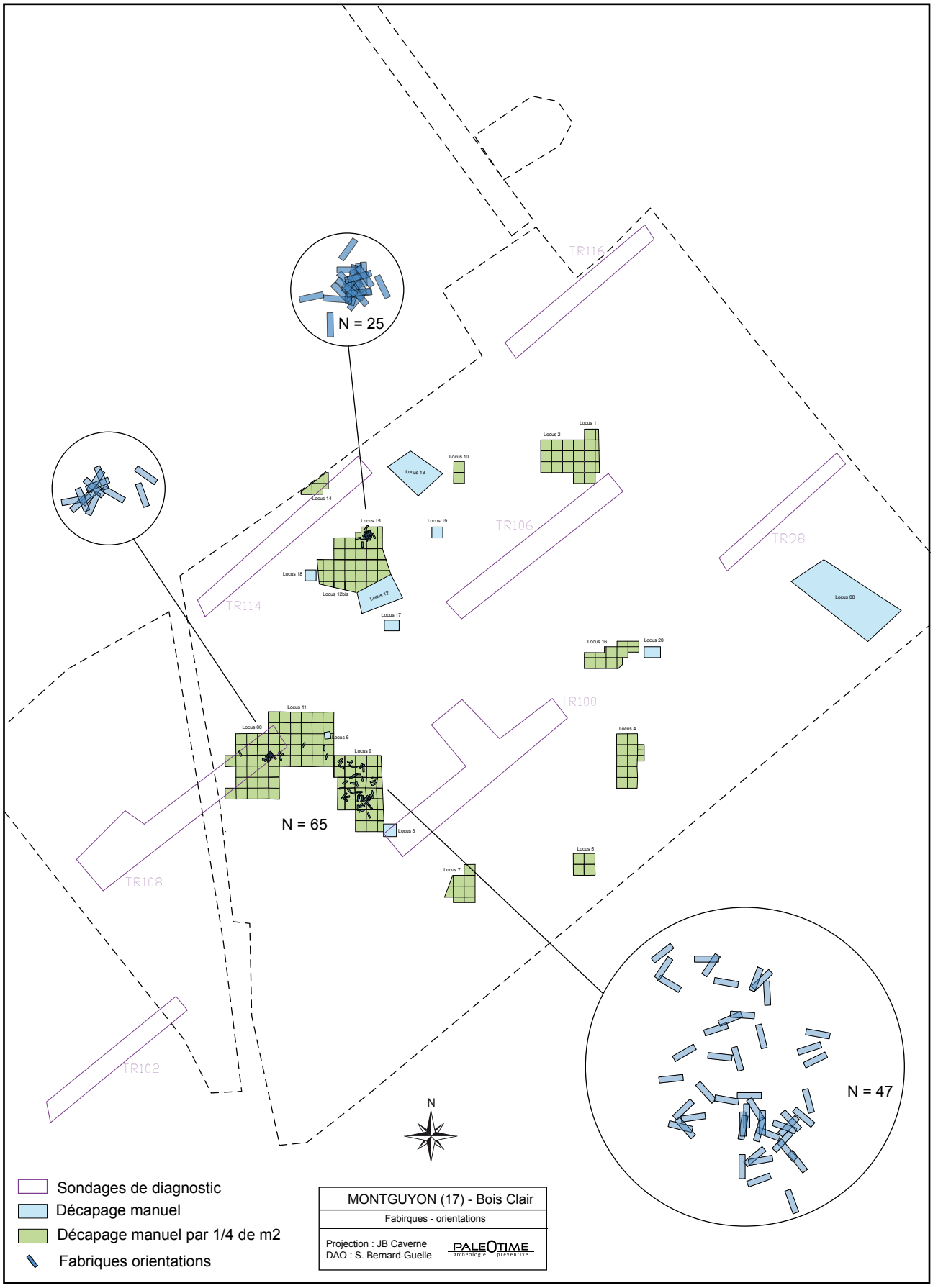
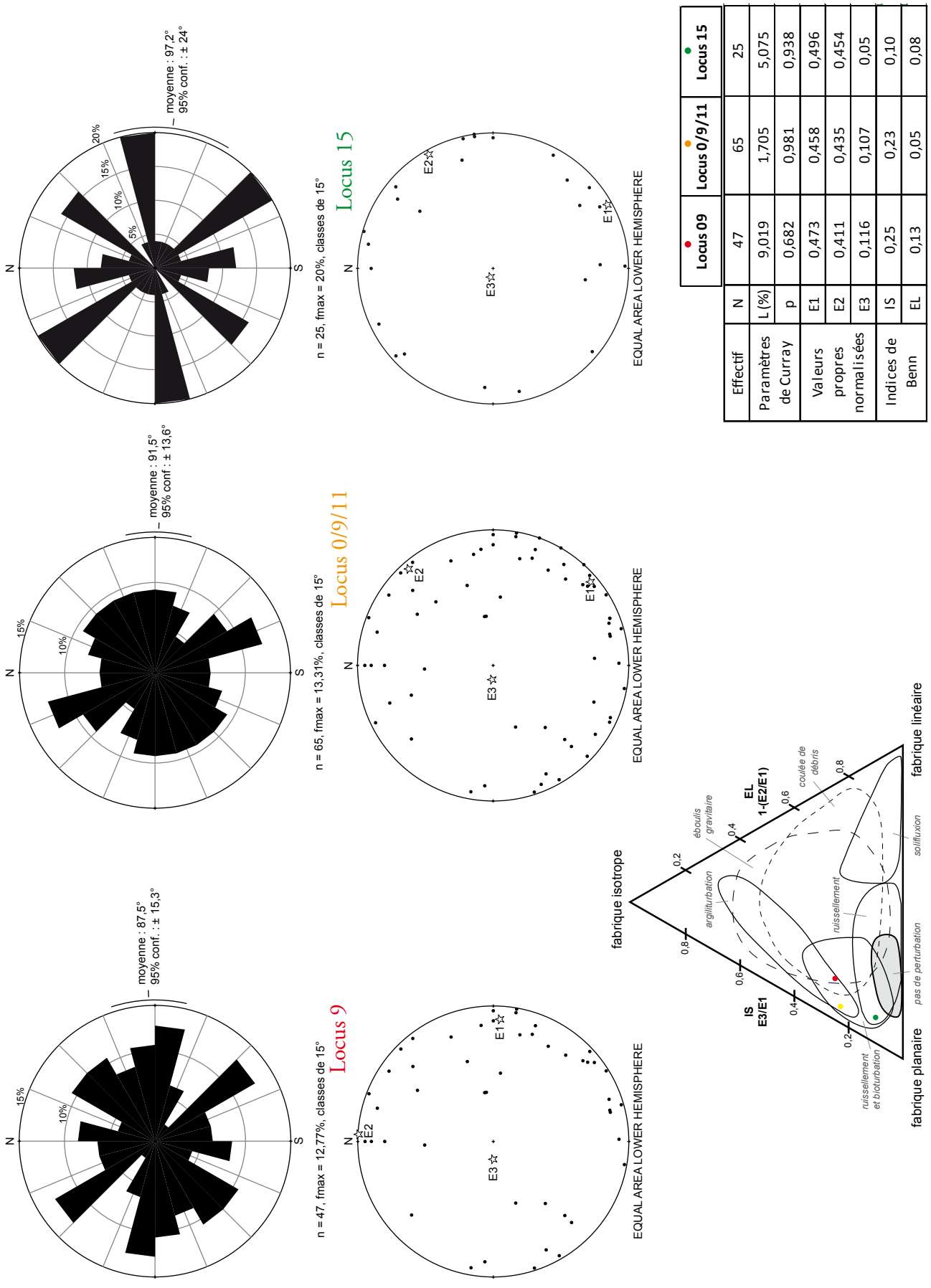


Figure 4-12 – Montguyon (17), « Bois Clair », localisation des zones ayant fait l'objet de mesures de fabriques



		Locus 09	Locus 0/9/11	Locus 15
Effectif	N	47	65	25
Paramètres de Curray	L (%)	9,019	1,705	5,075
	p	0,682	0,981	0,938
Valeurs propres normalisées	E1	0,473	0,458	0,496
	E2	0,411	0,435	0,454
	E3	0,116	0,107	0,05
Indices de Benn	IS	0,25	0,23	0,10
	EL	0,13	0,05	0,08

Figure 4-13 – Montguyon (17), « Bois Clair », diagrammes en rose, de Schmidt et de Benn sur les mesures de fabriques réalisées en locus 9, 0/9/11 et 15

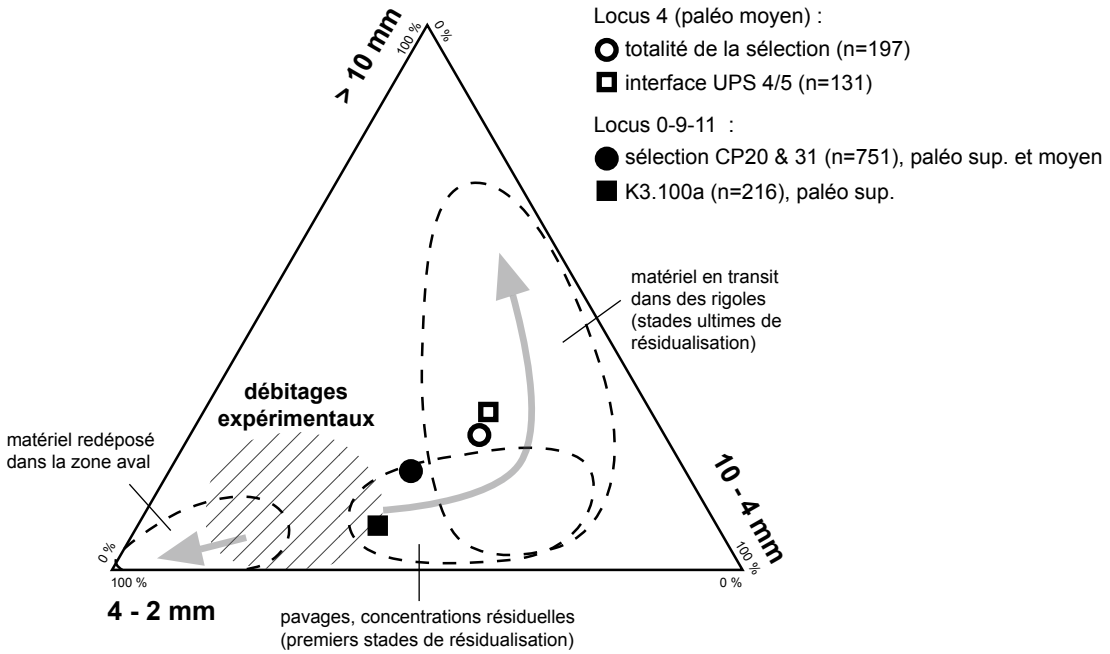


Figure 4-14 – Montguyon (17), « Bois Clair », granulométrie de la fraction anthropique des locus 4 et 0/9/11 (diagramme des classes dimensionnelles d'après A. Lenoble)

locus	locus 3 Paléolithique moyen	locus 12bis Paléolithique moyen	locus 12 Paléolithique moyen	locus 10 Paléolithique moyen	locus 4 Paléolithique moyen	locus 1 Paléolithique moyen	locus 9 Paléolithique moyen	locus 9 Paléolithique supérieur	locus 11 Paléolithique supérieur	locus 15 Epipaléolithique
types	F550	F550	F550	F550	F550	F550	F550-F550d	F550-F550a-F550c	F550-F550b-F550c	F550
habitus	gélifract et bloc alluvial	bloc indéterminé et bloc alluvial	bloc alluvial proche alios	indéterminable	bloc indéterminé et bloc alluvial	gélifract et bloc alluvial	gélifract et bloc alluvial	gélifract et bloc alluvial	gélifract et bloc alluvial	bloc alluvial
face sup arêtes	émoussé léger, chocs faibles à moyens, corrosion absente	émoussé très léger, chocs faibles à moyens, corrosion absente	émoussé très léger, chocs faibles, corrosion absente	émoussé absent, chocs faibles, corrosion absente	émoussé absent, chocs très faibles, corrosion absente	émoussé absent, chocs très faibles, corrosion faible sur 2 objets	émoussé absent, chocs très faibles, corrosion faible sur 2 objets	émoussé absent, chocs très faibles à faibles, corrosion forte sur 1 objet	émoussé absent, chocs très faibles à faibles, corrosion absente	émoussé absent, chocs très faibles, corrosion absente
face inf arêtes	émoussé léger, chocs moyens corrosion absente	absentes	absentes	émoussé absent, chocs faibles, corrosion absente	absentes	absentes	chocs très faibles, corrosion émoussé absents	chocs très faibles à faibles, corrosion émoussé absents	chocs très faibles à faibles, corrosion émoussé absents	chocs faibles, corrosion émoussé absents, chocs actuels
rebords face sup	esquillement fort, corrosion faible à moyenne, émoussé absent	esquillement faible, corrosion émoussé absents	esquillement faible, corrosion émoussé absents	esquillement faible, corrosion faible, émoussé absent	esquillement très faible, corrosion émoussé absents	esquillement très faible, corrosion émoussé absents	encoches rares, esquillement très faible, corrosion émoussé absents	encoches rares, esquillement très faible, corrosion émoussé absents	encoches rares, esquillement très faible à moyen, corrosion émoussé absents	esquillement très faible à moyen, corrosion émoussé absents
rebords face inf	esquillement faible, corrosion faible émoussé absents	esquillement très faible, corrosion émoussé absents	esquillement très faible, corrosion émoussé absents	esquillement faible, corrosion faible, émoussé absent	esquillement très faible, corrosion émoussé absents	esquillement très faible, corrosion émoussé absents	esquillement faible, corrosion émoussé absents	esquillement très faible, corrosion émoussé absents	encoches rares, esquillement très faible à moyen, corrosion émoussé absents	esquillement faible, corrosion émoussé absents
Face sup plane processus	chocs émoussé corrosion absente à faible	chocs émoussé corrosion absents	chocs émoussé corrosion absente à faible	chocs émoussé corrosion absente à faible	chocs émoussé corrosion absents	chocs émoussé corrosion absents	chocs émoussé corrosion absents	chocs émoussé corrosion absents	chocs émoussé corrosion absents	chocs émoussé corrosion absents
Face inf plane processus	stries, chocs émoussé corrosion absents	chocs émoussé corrosion absents	chocs émoussé corrosion absents	chocs émoussé corrosion absents	chocs émoussé corrosion absents	chocs émoussé corrosion absents	chocs émoussé corrosion absents	chocs émoussé corrosion absents	chocs émoussé corrosion absents	chocs émoussé corrosion absents
face naturelle processus mécaniques	indéterminable	émoussé faible, chocs absents	non observés	indéterminable	émoussé moyen, chocs absents	émoussé faible, chocs absents	émoussé faible, chocs absents	émoussé moyen, chocs absents	émoussé faible, chocs absents	émoussé faible, chocs absents
Face naturelle processus chimiques	indéterminable	corrosion moyenne parfois avec post-dépositionnelle	non observés	indéterminable	corrosion faible	corrosion moyenne parfois avec post-dépositionnelle	corrosion moyenne parfois avec post-dépositionnelle	corrosion faible à moyenne parfois avec post-dépositionnelle	corrosion faible à moyenne parfois avec post-dépositionnelle	corrosion faible à moyenne parfois avec post-dépositionnelle
processus dans les creux face sup	absents	absents	non observés	absents	non observés	non observés	non observés	absents	absents	absents
processus dans les creux face inf	absents	absents	non observés	absents	non observés	non observés	non observés	absents	absents	absents
couleur antérieure	absente	absente	absente	absente	absente	absente	absente	grise	grise	absente
couleur acquise par la matrice	beige à brune	brune	beige à brune	beige à brune	beige à brune	beige à brune	beige à brune	beige	beige à brune	beige
couleur acquise des clastes	blanche	blanche et brune	blanche et brune	blanche	blanche et brune	blanche et brune	brune	blanche et brune	blanche et brune	blanche et brune
patine prédépo	indéterminable	brun foncé bloc 28 et absente bloc 27	non observée	indéterminable	brune	blanche	brune	blanche à brune	blanche	blanche
patine post dépo	jaune moyenne parfois polarisée	jaune légère polarisée	jaune légère polarisée	jaune légère polarisée	jaune moyenne polarisée	jaune légère à forte polarisée	jaune moyenne	jaune légère parfois polarisée	jaune légère polarisée (bloc 3) et blanche moyenne polarisée (bloc 2)	jaune légère
disclase ancienne	absente	absente	absente	absente	absente	absente	probable	rare	rare	absente
gélifraction face naturelle	indéterminable	indéterminable	non observée	indéterminable	non observée	non observée	gélinuption essentielelément post-dépositionnelle	gélinuption essentielelément post-dépositionnelle	gélinuption essentielelément post-dépositionnelle (bloc 3)	non observée
gélifraction face taillée	gélinuption postdépositionnelle sur deux objets	absente	absente	absente	absente	absente	gélinuption post-dépositionnelle	gélinuption post-dépositionnelle	gélinuption post-dépositionnelle (bloc 3)	gélinuption post-dépositionnelle (bloc 3)
trace de chauffe	absente	absente	absente	absente	absente	absente	absente	absente	absente	absente
lustré prédépo	absent	absent	absent	indéterminable	absent	absent	absent	absent	absent	absent
lustré post dépo	léger couvrant polarisé	léger couvrant	léger couvrant	léger couvrant polarisé	moyen couvrant polarisé	léger couvrant	absent	léger couvrant	léger à moyen couvrant polarisé	léger couvrant
encroûtement	absent	absent	absent	absent	absent	ferrugineux	ferrugineux prédépositionnel	rare	ferrugineux prédépositionnel	ferrugineux
cassure	distale sur 1 objet	absente	non observée	non observée	non observée	distale sur 1 objet	non observée	distale sur 21 objets	distale sur 1 objet	distale sur plusieurs objets
pellicule	non observée	non observée	non observée	non observée	non observée	non observée	non observée	400µm d'épaisseur	non observée	400µm d'épaisseur
divers							imprégnation brune dans gélinuption postdépositionnelle			
Groupe	blocs 60 et 62	blocs 27 origine indéterminée et 28 alluvial ancien	blocs 56, 57, 59	indéterminable	blocs 53, 54, 58	blocs 22, 40, 70	blocs 6, 6b, 18, 20, 35	blocs 2,3, 5, 7, 15	blocs 2, 3,7	bloc 16
nombre d'objets observés	23 objets	55 objets	13 objets	6 objets	22 objets	14 objets	30 objets	212 objets	42 objets	49 objets

Figure 4-15– Montguyon (17), « Bois Clair », approche comparative des états de surface par locus de fouille

locus	UPS 4 Paléolithique moyen	UPS 4 Paléolithique supérieur	UPS 4-5 Paléolithique moyen	UPS 4-5 Paléolithique supérieur	UPS 5 paléolithique moyen	UPS 5 paléolithique supérieur
types	F550	F550, F550a, F550b, F550c	F550, F550d	F550, F550a, F550b, F550c	F550, F550c, F550d	F550, F550a, F550b, F550c
habitus	blocs alluvial, alluvial ancien sur bloc 28 et gélifract	blocs alluvial et gélifract	blocs alluvial et gélifract	blocs alluvial et gélifract	blocs alluvial et alluvial ancien sur bloc 28	blocs alluvial et gélifract
face sup aretes	émoussé très léger, chocs faibles, corrosion absente et chocs très faibles, corrosion émoussé absents	chocs très faibles à faibles, corrosion émoussé absents chocs faibles, émoussé très léger, corrosion faible sur 4 objets du bloc 5, frottements sur 3 objets du bloc 3	chocs très faibles, corrosion émoussé absents, émoussé très léger sur 1 objet du bloc 57, émoussé fort 1 objet	chocs faibles, corrosion émoussé absents	chocs faibles, corrosion émoussé absents, émoussé très léger sur objets des blocs 28, 56, 57, 59, émoussé moyen sur 1 objet, chocs moyens sur 1 objet	chocs faibles, corrosion émoussé absents
face inf aretes	chocs très faibles à faibles, corrosion émoussé absents	chocs très faibles à faibles, corrosion émoussé absents	chocs faibles, corrosion émoussé absents	chocs faibles, corrosion émoussé absents	chocs très faibles, corrosion émoussé absents, émoussé moyen 1 objet	chocs très faibles, corrosion émoussé absents
rebords face sup	esquillement très faible a fort, encoches rares, corrosion émoussé absents	esquillement très faible a fort, encoches rares, corrosion émoussé absents	esquillement très faible à faible, corrosion émoussé absents, esquillement moyen sur 2 objets, émoussé fort sur 1 objet	esquillement très faible, corrosion émoussé absents	esquillement faible à très faible, corrosion émoussé absents, esquillement moyen 6 objets, esquillement fort 2 objets	esquillement très faible à moyen, corrosion émoussé absents
rebords face inf	esquillement très faible à faible, corrosion émoussé absents	esquillement très faible à moyen, encoches rares - corrosion émoussé absents, corrosion faible sur 4 objets du bloc 5	esquillement très faible, corrosion émoussé absents, émoussé fort sur 1 objet	esquillement très faible, corrosion émoussé absents	esquillement très faible à faible, corrosion émoussé absents, esquillement moyen 3 objets, esquillement fort 1 objet	esquillement très faible à faible corrosion émoussé absents
Face sup plane processus	chocs émoussé corrosion absents	chocs émoussé corrosion absents	chocs émoussé corrosion absents	chocs émoussé corrosion absents	chocs, émoussé et corrosion absents, frottements sur 1 objet	chocs émoussé corrosion absents
Face inf plane processus	chocs émoussé corrosion absents	chocs émoussé corrosion absents	chocs émoussé corrosion absents	chocs émoussé corrosion absents	chocs, émoussé et corrosion absents	chocs émoussé corrosion absents
face naturelle processus mécaniques	émoussé moyen à fort, chocs absents ou racines de chocs sur bloc 33	émoussé moyen, chocs absents	émoussé fort, racines de chocs sur bloc 33	émoussé moyen, chocs absents sur bloc 3 - émoussé faible chocs absents sur bloc 2	émoussé faible à moyen, chocs absents sur blocs 22, 30 - émoussé moyen racines de chocs sur bloc 28	émoussé faible, chocs absents
Face naturelle processus chimiques	corrosion faible à moyenne	corrosion faible à moyenne	corrosion moyenne sur bloc 33	corrosion faible sur bloc 2	corrosion moyenne sur blocs 22, 28, 30, 70	corrosion faible sur blocs 2 et 3
processus dans les creux face sup	absents	absents	absents	absents	absents	absents
processus dans les creux face inf	absents	absents	absents	absents	absents	absents
couleur antérieure	grise sur 1 objet	grise sur 1 objet	absente	absente	absente	grise sur 1 objet
couleur acquise par la matrice	beige à brune	beige à brune	beige à brune	beige à brune	beige à brune	beige à brune
couleur acquise des clastes	blanche et brune	blanche et brune	blanche et brune	blanche	blanche et brune	blanche et brune
patine prédépo	brun foncé et blanche forte	blanche moyenne à forte, jaune, brune	brune blocs 33 et 58	brune bloc 2, blanche bloc 3	blanche forte bloc 50, blanche moyenne bloc 22 et 70, brune bloc 30, brun foncé bloc 28	blanche moyenne bloc 2, jaune moyen bloc 3
patine post dépo	jaune légère à moyenne polarisée, blanche moyenne à forte polarisée	jaune légère à moyenne - blanche légère à forte parfois polarisées,	jaune moyenne polarisée	jaune légère, blanche moyenne sur 1 objet	jaune légère à moyenne parfois polarisée, blanche sur 4 objets	blanche légère 2 objets, jaune légère polarisée 1 objet
diaclase ancienne	absente	absente	absente	sur un objet du bloc 2	absente	sur un objet du bloc 3
gélifraction face naturelle	non observée	gélifraction pré-dépositionnelle sur les blocs : 3,4,5,7,15	non observée	non observée	non observée	non observée
gelifraction face taillée	gélifraction post-dépositionnelle sur 13 objets	gélifraction post-dépositionnelle sur les blocs : 3,4,5,7,15	absente	gélifraction post-dépositionnelle sur le bloc : 2	gélifraction post-dépositionnelle sur 3 objets	gélifraction post-dépositionnelle sur 2 objets
trace de chauffe	absente	absente	absente	absente	sur 1 objet	absente
lustré prédépo	absent	absent	absent	absent	absent	absent
lustré post dépo	léger à moyen couvrant parfois polarisé	léger à moyen couvrant parfois polarisé	léger à moyen couvrant parfois polarisé	léger à moyen couvrant parfois polarisé	léger à moyen couvrant parfois polarisé	léger à moyen couvrant
encroûtement	absent et ferrugineux prédépositionnel sur bloc 18	absent et ferrugineux prédépositionnel sur bloc 3	absent	absent et ferrugineux prédépositionnel sur bloc 2	absent et ferrugineux prédépositionnel sur 2 objets	absent
cassure	absente	distale sur 29 objets	absente	absente	distale sur 3 objets	absente
pellicule	non observée	400µm d'épaisseur	non observée	non observée	non observée	non observée
Groupe	blocs : 1, 6, 6b, 18, 20, 21, 27, 28, 32, 33, 35, 38, 40, 41, 49, 53, 54, 58, 61, 65, 66	blocs : 2, 3, 4, 5, 7, 9, 15, 65, 67	blocs : 21, 22, 28, 33, 37, 40, 57, 58, 61	blocs : 2, 3, 5, 7	blocs : 6, 18, 22, 27, 28, 30, 35, 37, 38, 41, 46, 47, 50, 55, 56, 57, 59, 62, 70	blocs : 2, 3, 5, 7
nombre d'objets obserbvés	**182 objets**	**352 objets**	**20 objets**	**10 objets**	**77 objets**	**7 objets**

Figure 4-16– Montguyon (17), « Bois Clair », approche comparative des états de surface par UPS

SECTION 2

L’opération et ses résultats

Chapitre 5

Base de données FOUILLE	Nombre	Masse
Points côtés	3593	228116,49 g.
Hors stratigraphie	4	
Base de données DIAGNOSTIC		
Points côtés	134	2503 g.

Figure 5-01 – Montguyon (17), « Bois Clair », effectif et masse du mobilier issu du diagnostic et de la fouille

Détails base de données fouille	N. points	N. pièces	%
Tessons	5	5	0,1
Silex	3447	3284	95,7
Quartzites	55	54	1,6
Quartzites	46	46	1,3
Grès siliceux	7	7	0,2
Grès ferrugineux	19	17	0,5
Grès	14	14	0,4
Autres matériaux	4	4	0,1
Total	*3597*	*3431*	*100*

Figure 5-02 – Montguyon (17), « Bois Clair », détail du mobilier récolté à la fouille

Modes de prélèvement	Nombre	%
Décapage mécanique	1552	19,42
Décapage manuel (fouille classique)	1777	22,23
Décapage manuel (razettage)	222	2,78
Décapage manuel (piochon)	3	0,03
Décapage manuel (rectification coupe)	39	0,5
Hors stratigraphie	4	0,05
Sous-total	*3597*	*/*
Tamisage	4395	55
Total	*7992*	*100,01*

Figure 5-03 – Montguyon (17), « Bois Clair », modes de prélèvements du mobilier récolté

Unités pédo-sédimentaires	Nombre	%
Sommet séquence (UPS1, UPS2, UPS3)	88	2,5
UPS 4	2172	60,8
Interface 4/5	216	6
UPS 5	876	24,5
UPS 6	84	2,3
Base séquence (UPS11,UPS7 ou transitions UPS4/UPS7,UPS5/UPS7,UPS6/UPS7)	136	3,8
Total	*3572*	*99,9*

Figure 5-04 – Montguyon (17), « Bois Clair », distribution stratigraphique du mobilier récolté

Position du mobilier	Nombre	%	N (UPS4)	% (UPS4)
A plat (horizontal)	1460	52,9	945	51,3
Vertical (dans le sens de l'allongement)	179	6,5	116	6,3
Oblique	1020	36,9	724	39,3
Sur chant (ou tranche)	103	3,7	57	3,1
Total déterminable	*2762*	*100*	*1842*	*100*

Figure 5-05 – Montguyon (17), « Bois Clair », position du mobilier récolté

Polarité du mobilier	Nombre	%
Repose sur la face supérieure (produit de débitage)	900	48,9
Repose sur la face inférieure	928	50,5
Repose sur la surface de débitage (nucléus)	6	0,3
Repose sur la surface de PDF	5	0,3
Total déterminable	*1839*	*100*

Figure 5-06 – Montguyon (17), « Bois Clair », polarité du mobilier récolté

Attribution chronoculturelle	N. points	N. pièces	%
Paléolithique moyen	1859	1824	54
Paléolithique supérieur	949	844	25
Paléolithique moyen ou supérieur	524	514	15,2
Paléolithique supérieur ou Epipaléolithique	164	147	4,3
Néolithique ? (loc 8)	42	42	1,2
Historique	5	5	0,1
Sous-total	*3543*	*3376*	*99,8*
Indéterminé	3	3	
Non attribué*	51	51	
Total	3597	3430	

** non taillé ou non trouvé !*

Figure 5-07 – Montguyon (17), « Bois Clair », attribution chrono-culturelle du mobilier récolté

Etats de surface	Nombre	%
Altération thermique (feu)	45	6,2
Altération thermique (gel)	660	91,5
Altération chimique	14	1,9
Altération mécanique	2	0,3
Total déterminable	*721*	*99,9*

Figure 5-08 – Montguyon (17), « Bois Clair », types d'altérations subis par le mobilier récolté

Figure 5-11 – Montguyon (17), « Bois Clair », tableau des types pétrographiques identifiés pour le Paléolithique moyen

groupes du Paléolithique moyen	faciès coniaciens à santoniens				faciès santoniens		faciès campaniens		faciès évolués			silcrète
types	F555	F564	F556	F566	F563	F563a	F550	F565	F562	F554	F567	F568
milieu	plate forme continentale ouverte	plate forme continentale ouverte	plate forme continentale ouverte	plate forme continentale ouverte	plate forme épicontinentale ouverte	plate forme épicontinentale ouverte	plate forme continentale ouverte moyenne	plate forme continentale ouverte moyenne	indéterminé	indéterminé	indéterminé	mangroves
confère gîte	secteur au sud d'Angoulême?	secteur au sud d'Angoulême?	secteur au sud d'Angoulême?	secteur au sud d'Angoulême?	Jonzac-Ozillac?	indéterminé	local dans deux types d'alluvions	indéterminé	secteur au sud d'Angoulême?	indéterminé	indéterminé	Parcoul
nature	silex marin	silex marin	silex marin	silex marin	silex marin	silex marin	silex marin	silex marin	silex marin	silex marin	silex marin	grès quartzitiques
type d'encaissant	indéterminé	indéterminé	indéterminé	indéterminé	indéterminé	indéterminé	indéterminé	indéterminé	indéterminé	indéterminé	indéterminé	Grisons
habitus	galet	bloc roulé et galet	galet	bloc roulé et galet	bloc roulé	bloc roulé	bloc roulé	bloc roulé	bloc roulé	galet	galet	bloc roulé
néo-cortex	alluvial	alluvial	alluvial	alluvial	alluvial	alluvial	altérites, alluvial, alluvial ancien	alluvial	alluvial	alluvial	alluvial	alluvial
couleur d'origine	noire	noire	noire	noire	grise	absente	absente	grise	noire	grise	absente	indéterminée
couleur acquise	grise à brune	absente	grise	absente	brun total	brun à rouge	beige à brune	brun total	grise	grise à brune	brun à rouge	grise
porosité	boxworks rares<1%	pores fréquents et boxworks rares<1%	géodes à maccroquartz	fréquents et boxworks rares<1%	faible	interclastique	géodes à maccroquartz	boxworks	fréquents intraclastiques	faible	boxworks 100µm	géodes
structure apparente	bioturbée	bioturbée	bioturbée	bioturbée	microbréchique	peloïde	homogène à zonée	tachetée	bioturbée	bioturbée	homogène	bréchique
texture d'origine	*wackestone*	*packstone*	*wackestone*	*wackestone*	*packstone*	*grainstone*	*packstone*	*packstone*	*wackestone*	*wackestone*	*wackestone*	*packstone*
texture acquise	*wackestone*	*wackestone*	*wackestone*	*mudstone*	*packstone*	*grainstone*	*wackestone*	*mudstone*	*wackestone*	*wackestone*	*mudstone*	*packstone*
matrice	microcristalline	microcristalline	microcristalline	microcristalline	mésocristalline	mésocristalline	microcristalline à mésocristalline	microcristalline	mésocristalline	microcristalline	microcristalline	mésocristalline
minéralogie authigène majeure	calcédoine	calcédoine	calcédoine	calcédoine	calcédoine	calcédoine	calcédoine	calcédoine	calcédoine	calcédoine	calcédoine	calcédoine et macroquartz fréquents
minéralogie secondaire	rhomboèdres, pyrite, glauconie	rhomboèdres, pyrite, glauconie	pyrite < 1%	rhomboèdres 1%	non observés	non observés	non observés	rhomboèdres 10 à 20%	pyrite	glauconie	rhomboèdres 30%, glauconie	macroquartz
phases détritiques	quartz peu roulés et éléments noirs indéterminés 1% à 5%	quartz jaune, peu roulés 1%	noir indéterminés <1%	quartz jaune, peu roulés 1%	non observées	non observées	non observées	quartz et éléments noirs <1%	noir indéterminés <1%	quartz, peu roulés 1%	non observées	macroquartz
pellets	absents	absents	absents	absents	absents	abondants	absents	absents	absents	absents	absents	absents
éléments figurés abondance	40 à 20%	40 à 20%	20%	10%	50%	50%	50 à 5%	20 à 2%	30%	30 à 20%	20 à 5%	50%
clastes classement	faible	faible	modéré	faible	modéré	modéré	modéré à très bon	bon	modéré	bon	modéré	faible
clastes taille moyenne	50 µm	200 à 400µm	200µm	100 à 200µm	800µm	800µm	200µm	200 à 400µm	400µm	200 à 500µm	200 à 400µm	800µm
clastes forme sphéricité arrondi	0,7-0,3	0,7-0,1	0,7-0,1	0,7-0,1	0,7-0,3	0,7-0,9	0,7-0,3	non mesuré	0,7-0,1	0,7-0,3	0,7-0,1	0,9-0,1
débris de végétaux	algues rares : dasycladacées	non observés	non observés	non observés	algues rares : indéterminés	algues rares : indéterminés	dasycladacées, *polygonella*	non observés	non observés	non observés	non observés	absents
macrofaune	bivalves	ostracodes	indéterminée	bivalves	bivalves	bivalves	bivalves	non observée	bivalves rares, ostracodes	non observée	non observée	absente
spongiaires	fréquents	fréquents	abondants	fréquents	très rares	rares	fréquents	absents	fréquents	fréquents	grands débris de spongiaires	absents
Bryozoaires	fréquents taille moyenne	fréquents grande taille forme spécifique	fréquents grande taille forme spécifique	fréquents grande taille	grands débris >800µm	fréquents taille moyenne	absents	rares taille moyenne	probables	absents	rares grande taille	absents
foraminifères	benthiques majoritaires, *Lenticulina* sidérolites	planctoniques majoritaires (globigérinés) et planispiralés	benthiques majoritaires	benthiques majoritaires	benthiques majoritaires	benthiques majoritaires	orbitoïdes et autres grands benthiques	*nodosoria*	biseriés planispiralés indéterminés , 200µm	textularidés, Pithonelles	indéterminés	absents
divers	crinoïdes, échinidés	échinidés, *incertae sedis rares*	échinidés	annélides, débris coraliens, *incertae sedis rares*	crinoïdes,débris coraliens	crinoïdes,débris coraliens	débris indéterminés	débris indéterminés	incertae fréquents, échinides	filaments, incertae sedis	indéterminés	absents
âge	indéterminé	indéterminé	indéterminé	indéterminé	indéterminé	indéterminé	Campanien 4-5	indéterminé	Turonien ?	Dogger?	indéterminé	Éocène
silex observés en 2013 : 547 dont 11 indéterminés sur les 1879 de la série	**47 objets**	**22 objets**	**3 objets**	**6 objets**	**23 objets**	**17 objets**	**335 objets**	**56 objets**	**3 objets**	**6 objets**	**4 objets**	**14 objets**

groupes du Paléolithique supérieur	faciès évolués		faciès campaniens	
types	F552b	F554	F550, F550a, F550b, F550c, F550d	F565
milieu	indétermminé	indétermminé	plate forme continentale ouverte moyenne	indétermminé
confère gîte	indéterminé	indéterminé	local dans deux types d'alluvions	indéterminé
nature	chaille	silex marin	silex marin	silex marin
type d'encaissant	indétermminé	indétermminé	indétermminé	indétermminé
habitus	bloc roulé	indéterminable	bloc roulé	bloc roulé
néo-cortex	alluvial ancien	absent	altérites, alluvial	alluvial
couleur d'origine	absente	grise	absente	grise
couleur acquise	brun total	grise à brune	beige à brune	brun total
porosité	faible	faible	géodes à maccroquartz	boxworks
structure apparente	homogène évoluée	tachetée	homogène à zonée	tachetée
texture d'origine	*packstone*	*wackestone*	*packstone*	*packstone*
texture acquise	*mudstone*	*wackestone*	*wackestone*	*mudstone*
matrice	microcristalline	microcristalline	microcristalline à mésocristalline	microcristalline
minéralogie authigène majeure	calcédoine	calcédoine	calcédoine	calcédoine
minéralogie secondaire	non observés	glauconie	non observés	rhomboèdres 10 à 20%
phases détritiques	quartz 2%	quartz, peu roulés 1%	non observées	quartz et éléments noirs <1%
pellets	absents	absents	absents	absents
éléments figurés abondance	40 à 5%	30 à 20%	50 à 5%	20 à 2%
clastes classement	bon	bon	modéré à très bon	bon
clastes taille moyenne	200µm	200 à 500µm	200µm	200 à 400µm
clastes forme sphéricité arrondi	0,5-0,3	0,7-0,3	0,7-0,3	non mesuré
débris de végétaux	non observés	non observés	dasycladacées, *polygonella*	non observés
macrofaune	bivalves, ostracodes 5%	non observée	bivalves	non observée
spongiaires	abondants 30%	fréquents	fréquents	absents
Bryozoaires	absents	absents	absents	rares taille moyenne
foraminifères	benthique majoritaire	textularidés, Pithonelles	orbitoïdes et autres grands benthiques	*nodosoria*
divers	indéterminés	filaments, incertae sedis	indétermminés	indéterminés
âge	Jurassique?	indéterminé	Campanien 4-5	indétermminé
silex observés en 2013 : 425 dont 1 indéterminé sur les 961 de la série	**1 objet**	**9 objets**	**410 objets**	**4 objets**

Figure 5-12 – Montguyon (17), « Bois Clair », tableau des types pétrographiques identifiés pour le Paléolithique supérieur

groupes de L'Epipaléolithique	faciès coniacien	faciès santonien	Bergeracois	faciès campaniens
types	F555	F563	F300	F550
milieu	plate forme continentale ouverte	plate forme épicontinentale ouverte	plate forme continentale ouverte proximale	plate forme continentale ouverte moyenne
confère gîte	secteur au sud d'Angoulême?	Jonzac-Ozillac?	Bergerac	local
nature	silex marin	silex marin	silex marin	silex marin
type d'encaissant	indéterminé	indéterminé	indéterminé	indéterminé
habitus	galet	bloc roulé	bloc roulé	bloc roulé
néo-cortex	alluvial	alluvial	alluvial	altérites, alluvial
couleur d'origine	noire	grise	absente	absente
couleur acquise	grise à brune	brun total	beige à brune	beige à brune
porosité	boxworks rares<1%	faible	faible	géodes à maccroquartz
structure apparente	bioturbée	microbréchique	zonée	homogène à zonée
texture d'origine	*wackestone*	*packstone*	*wackestone*	*packstone*
texture acquise	*wackestone*	*packstone*	*mudstone*	*wackestone*
matrice	microcristalline	mésocristalline	microcristalline	microcristalline à mésocristalline
minéralogie authigène majeure	calcédoine	calcédoine	calcédoine et macroquartz	calcédoine
minéralogie secondaire	rhomboèdres, pyrite, glauconie	non observée	non observée	non observée
phases détritiques	quartz peu roulés et éléments noirs indéterminés 1% à 5%	non observées	non observées	non observées
pellets	absents	absents	absents	absents
éléments figurés abondance	30%	50%	10%	50 à 5%
clastes classement	faible	modéré	bon	modéré à très bon
clastes taille moyenne	50 µm	800µm	200µm	200µm
clastes forme sphéricité arrondi	0,7-0,3	0,7-0,3	0,7-0,5	0,7-0,3
débris de végétaux	algues rares : dasycladacées	algues rares : indéterminés	non observés	dasycladacées, *polygonella*
macrofaune	non observée	bivalves	non observée	bivalves
spongiaires	fréquents	très rares	non observés	fréquents
Bryozoaires	fréquents taille moyenne	grands débris >800µm	non observés	absents
foraminifères	benthiques majoritaires, *Lenticulina* sidérolites	benthiques majoritaires	indéterminés	orbitoïdes et autres grands benthiques
divers	crinoïdes, échinidés, *incertae sedis*	crinoïdes,débris coraliens	indéterminés	indétermminés
âge	indétermminé	indétermminé	Campanien 4-5	Campanien 4-5
silex observés en 2013 : 87 sur les 164 de la série	**31 objets**	**1 objet**	**1 objet**	**54 objets**

Figure 5-13 – Montguyon (17), « Bois Clair », tableau des types pétrographiques identifiés pour l'Epipaléolithique

groupes du Néolothique	faciès coniacien	faciès coniaciens à santoniens			faciès santonien	Bergeracois	faciès évolué
types	F561		F557	F557b	F563b	F300	F560
milieu	plate forme continentale ouverte proximale	plate forme continentale ouverte	indéterminé	indétermminé	plate forme épicontinentale ouverte	plate forme continentale ouverte proximale	indéterminé
confère gîte	secteur au sud d'Angoulême?	secteur au sud d'Angoulême?	secteur au sud d'Angoulême?	secteur au sud d'Angoulême?	indéterminé	Bergerac	indéterminé
nature	silex marin	silex marin	silex marin	silex marin	silex marin	silex marin	silex marin
type d'encaissant	indéterminé	indéterminé	indéterminé	indéterminé	indéterminé	indéterminé	indéterminé
habitus	indéterminable	galet	bloc roulé	indéterminable	indéterminable	bloc roulé	indéterminable
néo-cortex	absent	alluvial	alluvial	absent	absent	alluvial	absent
couleur d'origine	grise	noire	noire	noire	absente	absente	absente
couleur acquise	brune	grise	brune	grise	brun total	beige à brune	blanc rose
porosité	intraclastiques et boxworks abondants	géodes à maccroquartz	boxworks et géodes	boxworks	faible	faible	faible
structure apparente	homogène	bioturbée	homogène	homogène	peloïde	zonée	homogène
texture d'origine	*wackestone*	*wackestone*	*packstone*	*packstone*	*packstone*	*wackestone*	indéterminée
texture acquise	*wackestone*	*wackestone*	*wackestone*	*wackestone*	*packstone*	*mudstone*	*mudstone*
matrice	microcristalline	microcristalline	microcristalline	microcristalline	microcristalline	microcristalline	microcristalline
minéralogie authigène majeure	calcédoine	calcédoine	calcédoine	calcédoine	calcédoine	calcédoine et macroquartz	calcédoine
minéralogie secondaire	rhomboèdres, glauconie	pyrite < 1%	rhomboèdres	rhomboèdres	non observée	non observée	non observée
phases détritiques	quartz et élément noir indéterminé	noir indéterminés <1%	quartz jaunes et élément noir indéterminé	non observé	quartz 1%	non observées	non observées
pellets	absents	absents	absents	absents	abondants	absents	absents
éléments figurés abondance	40%	20%	30%	30%	50%	10%	5%
clastes classement	bon	modéré	modéré	faible	bon	bon	bon
clastes taille moyenne	200 à 400µm	200µm	100 à 200µm	100 à 200µm	400µm	200µm	400µm
clastes forme sphéricité arrondi	0,7-0,1	0,7-0,1	0,7-0,1	0,7-0,1	0,9-0,7	0,7-0,5	non mesuré
débris de végétaux	non observés	non observés	rares	rares	fréquents	non observés	absents
macrofaune	indéterminée	indétermminée	bivalves, ostracodes	bivalves	bivalves fréquents	non observée	absente
spongiaires	fréquents	abondants	fréquents	abondants	non observés	non observés	absents
Bryozoaires	fréquents grande taille : *Fenestrella*	fréquents grande taille forme spécifique	rares	rares	rares	non observés	absents
foraminifères	benthiques majoritaires	benthiques majoritaires	benthiques majoritaires : *Lenticulina*	divers dont textularidé	indétermminé	indéterminés	non observés
divers	échinides	échinidés	incertae sedis	débris coraliens	crinoïdes, annélides	indéterminés	indéterminés
âge	Coniacien	indétermminé	indétermminé	indétermminé	indétermminé	Campanien 4-5	indétermminé
silex observés en 2013 : 25 dont 1 indéterminé sur les 43 de la série	**3 objets**	**4 objets**	**10 objets**	**1objet**	**2 objets**	**3 objets**	**1 objet**

Figure 5-14 – Montguyon (17), « Bois Clair », tableau des types pétrographiques identifiés pour le Néolithique supposé

Mobilier paléolithique moyen	SILEX	QUARTZITE	QUARTZ	GRES/AUTRES	TOTAUX	% hors divers	%
ACQUISITION	**16**	**26**	**22**	**17**	**81**	**5,6**	**4,5**
bloc brut	**3**			**9**	**12**		
galet brut		**12**	**14**		**26**		
bloc testé	**5**				**5**		
bloc entamé	**6**				**6**		
rognon entamé	**1**				**1**		
galet fracturé			**1**		**1**		
galet avec traces d'utilisation (percuteurs…)		**13**	**7**		**20**		
fragment de bloc sans traces anthropiques	**1**			**7**	**8**		
fragment de galet sans traces anthropiques		**1**		**1**	**2**		
DEBITAGE - DECORTICAGE	**480**		**2**		**482**	**33,7**	**26,4**
Eclat totalement cortical	**30**				**30**		
dont surface néocorticale	*7*				*7*		
dont de type préparation de plan de frappe	*3*				*3*		
Eclat cortical (>50%)	**150**		**1**		**151**		
dont surface néocorticale	*32*		*1*		*33*		
dont de type préparation de plan de frappe	*9*				*9*		
Eclat cortical (<50%)	**175**				**175**		
dont surface néocorticale	*24*				*24*		
dont de type préparation de plan de frappe	*16*				*16*		
Eclat à dos cortical	**95**		**1**		**96**		
dont surface néocorticale	*2*		*1*		*3*		
Eclat à dos et bord distal corticaux	**1**				**1**		
Eclat à bord distal cortical	**2**				**2**		
Fragment d'éclat portant du cortex	**27**				**27**		
dont surface néocorticale	*4*		*1*		*5*		
DEBITAGE - NON LEVALLOIS	**558**				**558**	**39,1**	**30,6**
Eclat indifférencié	**110**				**110**		
dont de type préparation de plan de frappe	*1*				*1*		
Eclat quadrangulaire	**72**				**72**		
dont de type préparation de plan de frappe	*5*				*5*		
Eclat triangulaire	**38**				**38**		
dont de type préparation de plan de frappe					*0*		
Eclat ovalaire	**54**				**54**		
dont de type préparation de plan de frappe	*3*				*3*		
Eclat plus large que long	**26**				**26**		
dont de type préparation de plan de frappe	*5*				*5*		
Eclat débordant à dos limité	**125**				**125**		
Eclat débordant à dos continu	**60**				**60**		
Eclat allongé	**35**				**35**		
Eclat de type Kombewa	**7**				**7**		
Lame	**30**				**30**		
dont en partie corticale	*14*				*14*		
Lamelle	**1**				**1**		
DEBITAGE - LEVALLOIS	**98**				**98**	**6,8**	**5,4**
Eclat Levallois préférentiel	**6**				**6**		
Eclat Levallois récurrent centripète	**28**				**28**		
Eclat Levallois récurrent uni(bi)polaire	**12**				**12**		
Eclat Levallois débordant	**7**				**7**		
Eclat Levallois à cortex résiduel	**3**				**3**		
Eclat Levallois indéterminable	**31**				**31**		
Eclat Levallois récurrent diminutif	**2**				**2**		
Pointe Levallois	**2**				**2**		
Lame Levallois	**7**				**7**		

Mobilier paléolithique moyen	SILEX	QUARTZITE	QUARTZ	GRES/AUTRES	TOTAUX	% hors divers	%
DEBITAGE - NUCLEUS	**191**				**191**	**13,4**	**10,5**
Nucléus					**0**		
Levallois à éclat préférentiel	10				10		
Levallois récurrent uni/bipolaire	7				7		
Levallois récurrent centripète	7				7		
Levallois indéterminé	2				2		
discoide unifacial	26				26		
discoide bifacial	12				12		
facial unipolaire	16				16		
facial bipolaire	11				11		
facial centripète	8				8		
bifacial uni-bipolaire	6				6		
bifacial centripète	1				1		
semi-prismatique	2				2		
polyèdrique	5				5		
de type Kombewa	8				8		
sur face inférieure d'éclat à enlèvements non envahissants	8				8		
sur face supérieure d'éclat à enlèvements non envahissants	3				3		
sur 2 faces d'éclat à enlèvements non envahissants	3				3		
sur tranche d'éclat	9				9		
à dernier enlèv. outrepassé	4				4		
divers	8				8		
indéterminé	35				35		
dont sur éclat	*96*				*96*		
TRANSFORMATION	**19**				**19**	**1,3**	**1,0**
Eclat de retouche	**3**				**3**		
Eclat de façonnage	**6**				**6**		
Eclat indéterminé, retouche intensive	**5**				**5**		
Support indéterminé, façonnage ou retouche intensive	**5**				**5**		
Sous-total	***1362***	***26***	***24***	***17***	***1429***	***100***	
DIVERS	**394**		**1**		**395**		**21,6**
Eclat < 20 mm	**133**				**133**		
Eclat cortical < 20 mm	**9**		**1**		**10**		
Fragment d'éclat indéterminé	**113**				**113**		
Débris	**96**				**96**		
Cupule thermique	**36**				**36**		
Cassons	**7**				**7**		
Totalité du matériel prélevé	***1756***	***26***	***25***	***17***	***1824***		***100***

Figure 5-15 – Montguyon (17), « Bois Clair », Paléolithique moyen, répartition technologique du mobilier

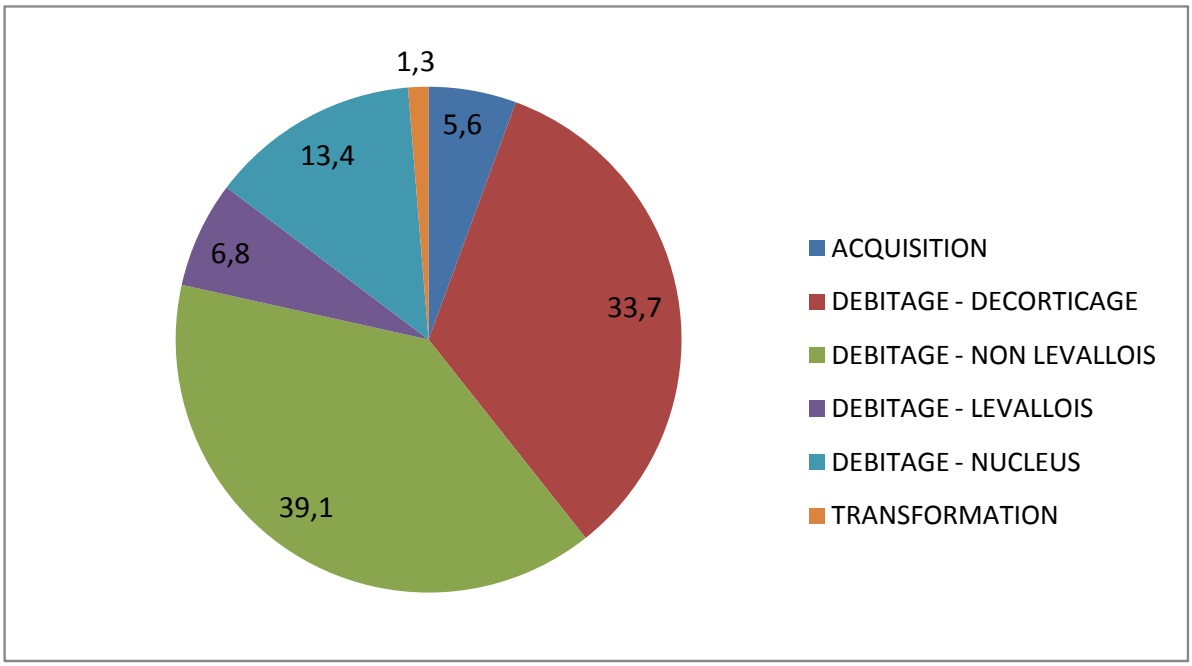


Figure 5-16 – Montguyon (17), « Bois Clair », Paléolithique moyen, graphique circulaire illustrant la représentativité des différentes séquences opératoires identifiées

Talons déterminables (PM)	N	%
Talon cortical ou néocortical	35	4,1
Talonl lisse	541	63,8
Talon punctiforme	90	10,6
Talon facetté (sens large)	182	21,5
Total déterminable	*848*	*100*

Figure 5-17 – Montguyon (17), « Bois Clair », Paléolithique moyen, types de talons des supports

Angles d'éclatement (PM)	N	%
deversé sur face inf.	588	78,6
Angle droit (proche 90°)	158	21,1
Angle ouvert (< 90°)	2	0,3
Total déterminable	*748*	*0*

Figure 5-18 – Montguyon (17), « Bois Clair », Paléolithique moyen, angles d'éclatement des supports

Sections des supports (PM)	N	%
Triangulaire	190	32,4
Trapézoidale	140	23,9
Plano-convexe	33	5,6
Triangle-rectangle (dos + tranchant)	215	36,6
Bi-convexe	5	0,8
Autre	4	0,7
Total déterminable	*587*	*100*

Figure 5-19 – Montguyon (17), « Bois Clair », Paléolithique moyen, section des supports

Accidents (PM)	N	% (sur n = 1824)
Fracturé	602	33
Outrepassé	25	1,4
Réfléchi	19	1
Siret	7	0,4
Total déterminable	*653*	

Figure 5-**20 –** Montguyon (17), « Bois Clair », Paléolithique moyen, accidents de débitage

Supports déterminables des nucléus	N	%
Eclat	98	57,3
Bloc	58	33,9
Galet	4	2,3
Nodule	3	1,7
Rognon	8	4,7
Totalité	171	99,9

Figure 5-21 – Montguyon (17), « Bois Clair », Paléolithique moyen, supports des nucléus

Dimensions des nucléus	Longueur	Epaisseur
Moyenne des éclats	70,1	30,2
Moyenne des blocs	70,6	30,6
Moyenne de la totalité	70,3	30,4
Dimension maximum	168	73
Dimension minimum	32	14

Figure 5-22 – Montguyon (17), « Bois Clair », Paléolithique moyen, dimensions des nucléus

Outils en silex du Paléolithique moyen	N
Bifaces et apparentés	4
Racloirs latéraux	24
Racloirs transversaux	5
Racloirs doubles	4
Outils à retouche convergente*	18
Outils divers	10
Pièces à retouche limitée**	8
Fragments d'outils	6
Encoches/denticulés	8
Outils sur galets	1
Total	*88*

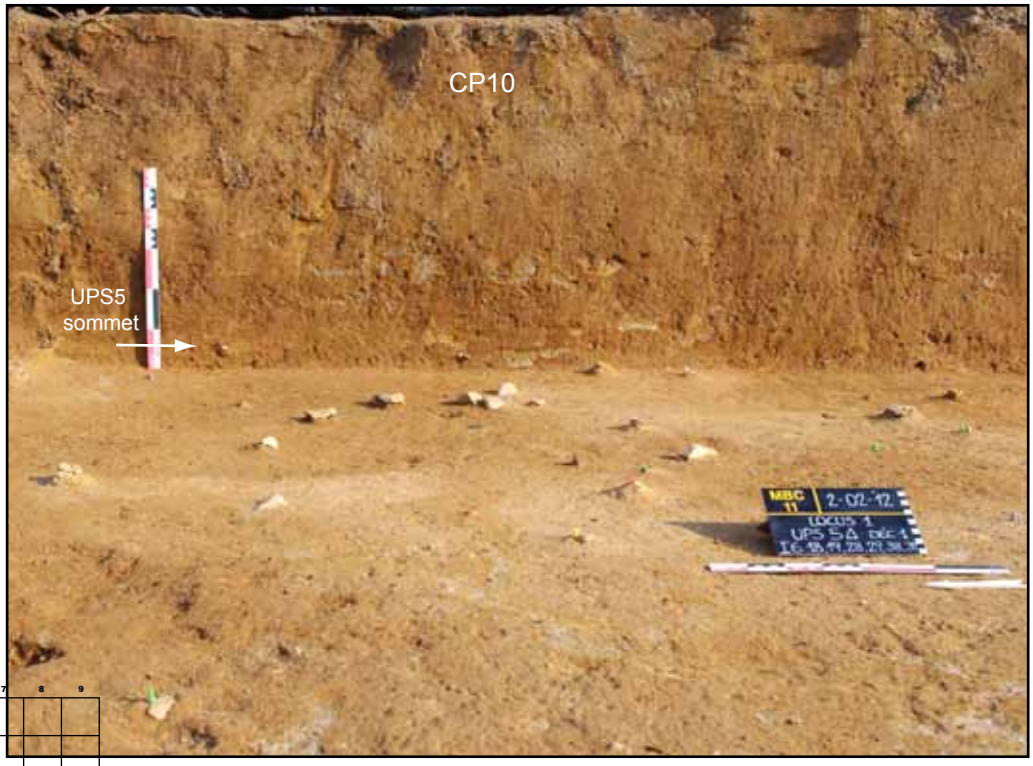
** pointe moustérienne, racloir convergent ou déjeté, limace*

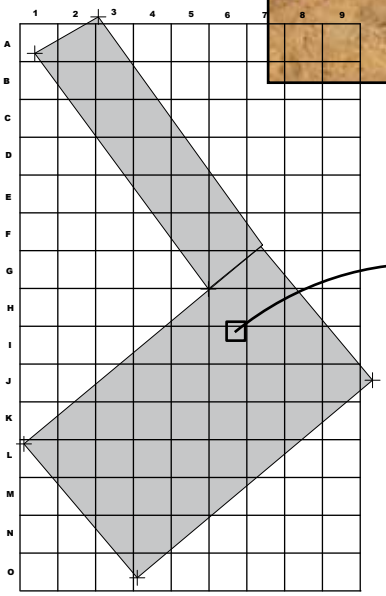
*** modification très légère de l'acuité du tranchant ou faible extension de la retouche*

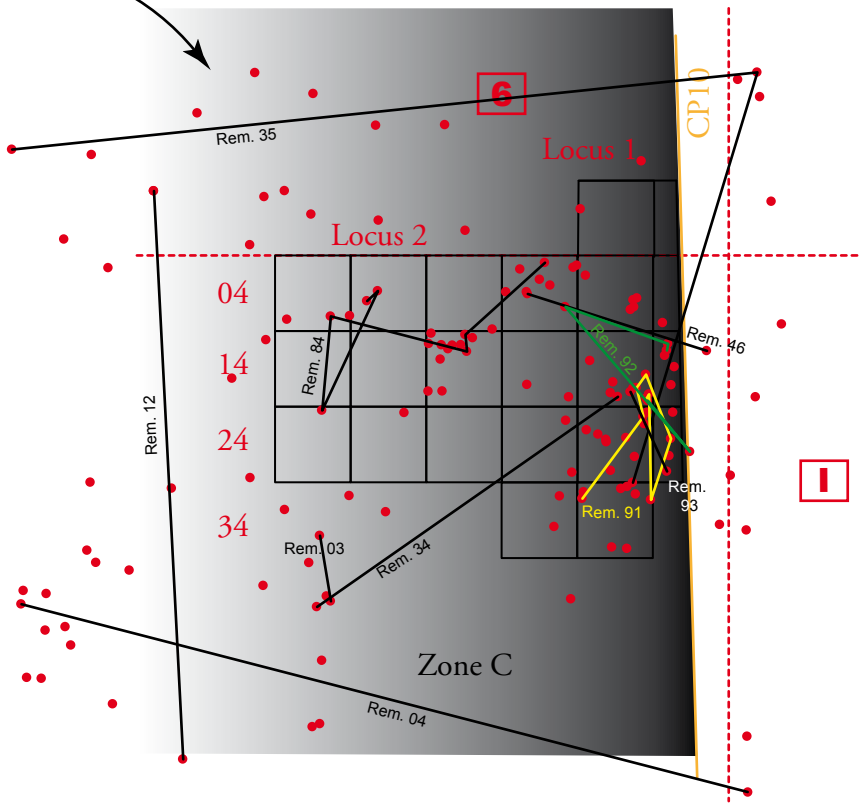
Figure 5-23 – Montguyon (17), « Bois Clair », Paléolithique moyen, grandes catégories d'outils

Mobilier paléolithique moyen ou supérieur	SILEX	QUARTZITE	QUARTZ	AUTRES	TOTAUX	% hors divers	%
ACQUISITION	**1**	**26**	**18**	**11**	**56**	**19,9**	**10,9**
bloc brut	**1**			**3**	**4**		
galet brut		**13**	**10**		**23**		
galet entamé		**1**			**1**		
galet fracturé		**1**			**1**		
galet avec traces d'utilisation (percuteurs…)		**10**	**8**		**18**		
fragment de bloc sans traces anthropiques				**8**	**8**		
fragment de galet sans traces anthropiques		**1**			**1**		
DEBITAGE - DECORTICAGE	**108**				**108**	**38,3**	**21,0**
DEBITAGE	**113**				**113**	**40,1**	**22,0**
Eclat	**97**				**97**		
Lame	**13**				**13**		
Lamelle	**3**				**3**		
DEBITAGE - NUCLEUS	**4**				**3**	**1,1**	**0,6**
Nucléus							
pyramidal	1				1		
indéterminé	3				2		
TRANSFORMATION	**1**				**1**	**0,4**	**0,2**
Eclat de retouche	**1**				**1**		
Sous-total	***227***	***26***	***18***	***11***	***282***	***100***	
DIVERS	**228**	**2**	**1**	**1**	**232**		**45,1**
Eclat < 20 mm	**75**				**75**		
Eclat cortical < 20 mm					**0**		
Fragment d'éclat indéterminé	**81**				**81**		
Débris	**40**				**40**		
Cupule thermique	**22**				**22**		
Cassons	**10**	**2**	**1**	**1**	**14**		
Totalité du matériel prélevé	***455***	***28***	***19***	***12***	***514***		***100***

Figure 5-24 – Montguyon (17), « Bois Clair », répartition du mobilier qui n'a pu être rapporté au Paléolithique moyen ou au Paléolithique supérieur









MONTGUYON (17) - Bois Clair
Locus 1 et 2
DAO :
S. Bernard-Guelle
PALEOTIME archéologie préventive

Figure 5-25 – Montguyon (17), « Bois Clair », plan des locus 1 et 2, photo du locus 1 en cours de fouille

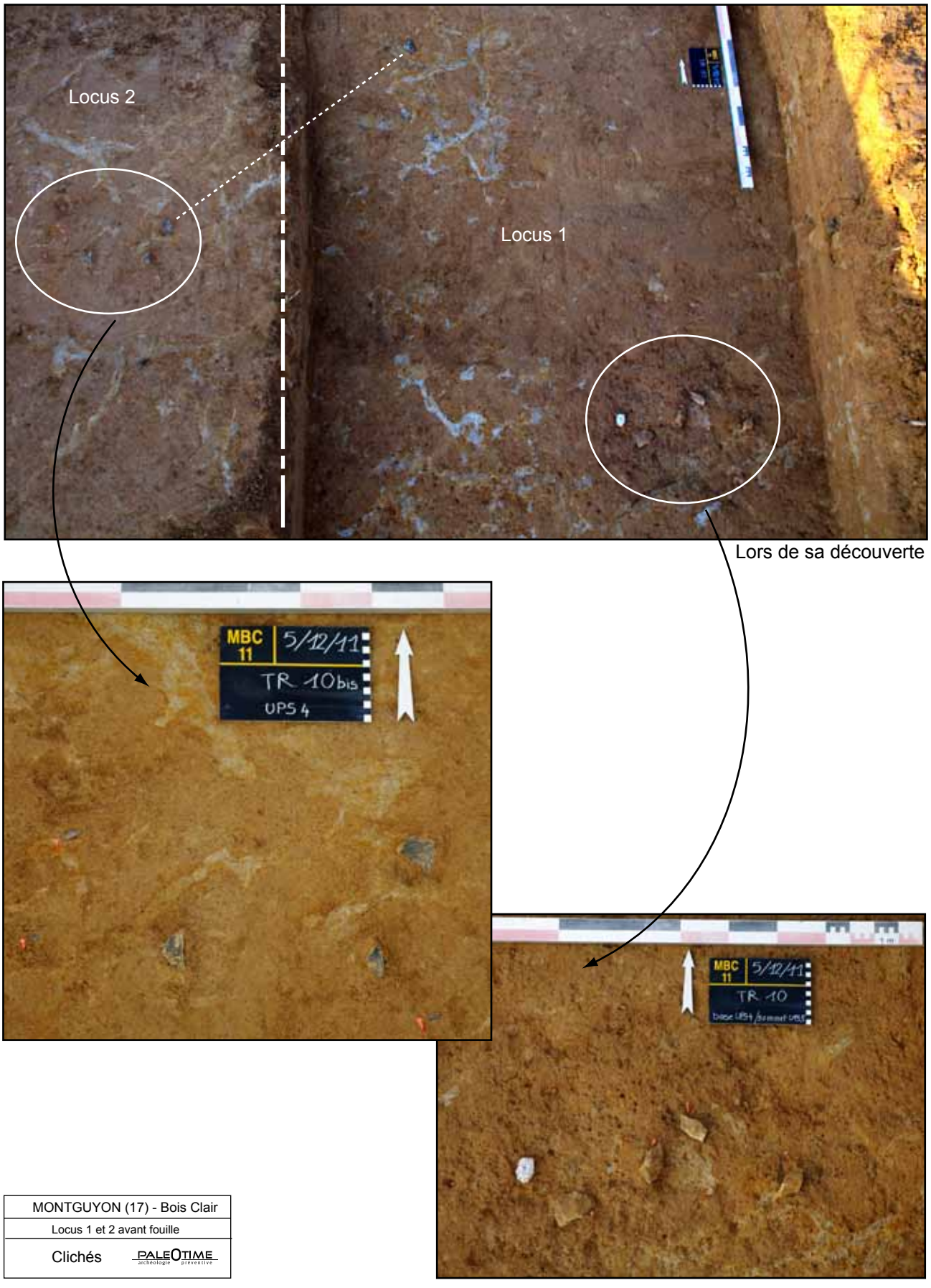
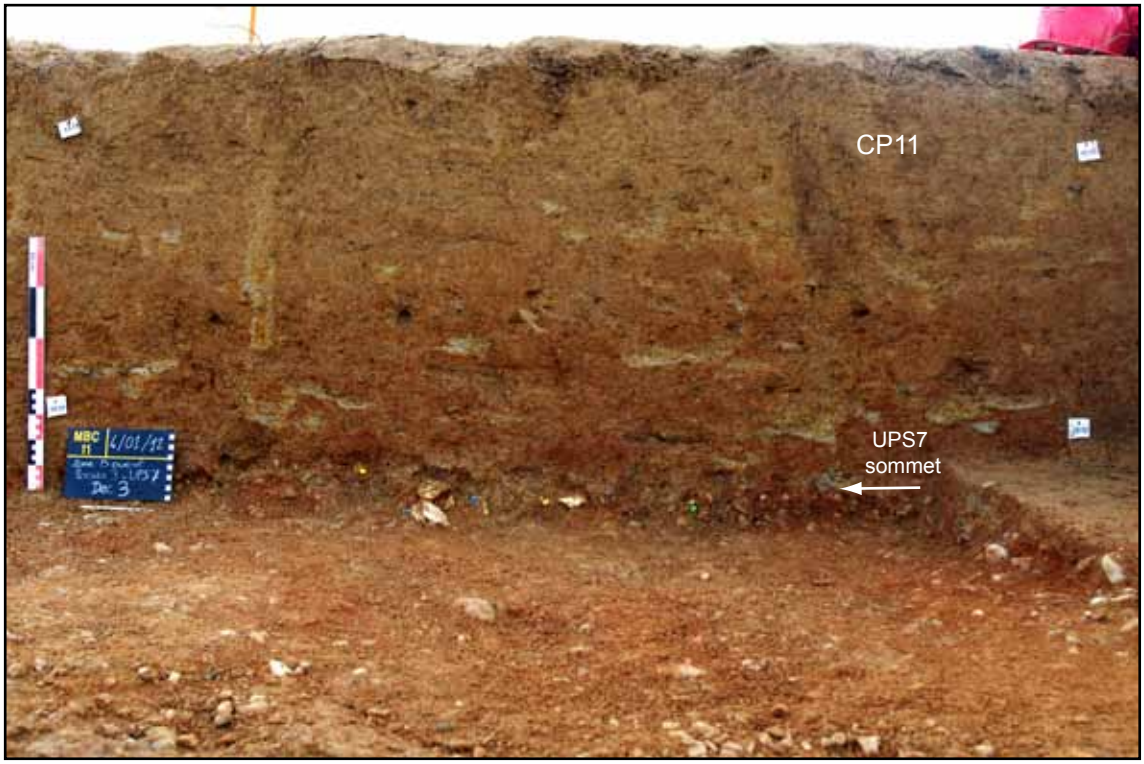


Figure 5-26 – Montguyon (17), « Bois Clair », mobilier des locus 1 et 2 lors de leur découverte



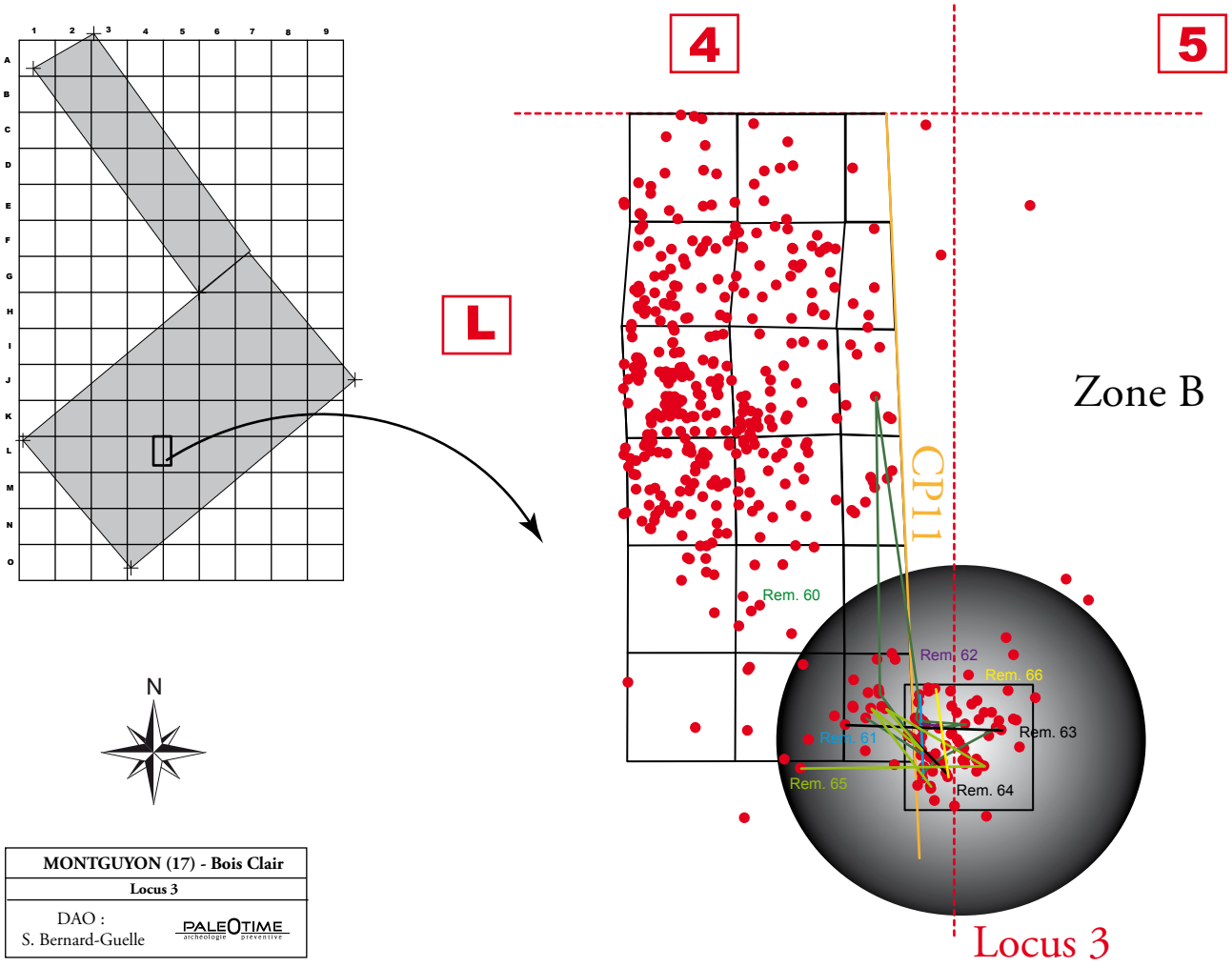


Figure 5-27 – Montguyon (17), « Bois Clair », plan et photo du locus 3





MONTGUYON (17) - Bois Clair
Locus 3
Clichés PALEOTIME archéologie préventive

Figure 5-28 – Montguyon (17), « Bois Clair », photos de détail de la position du mobilier retrouvé en locus 3

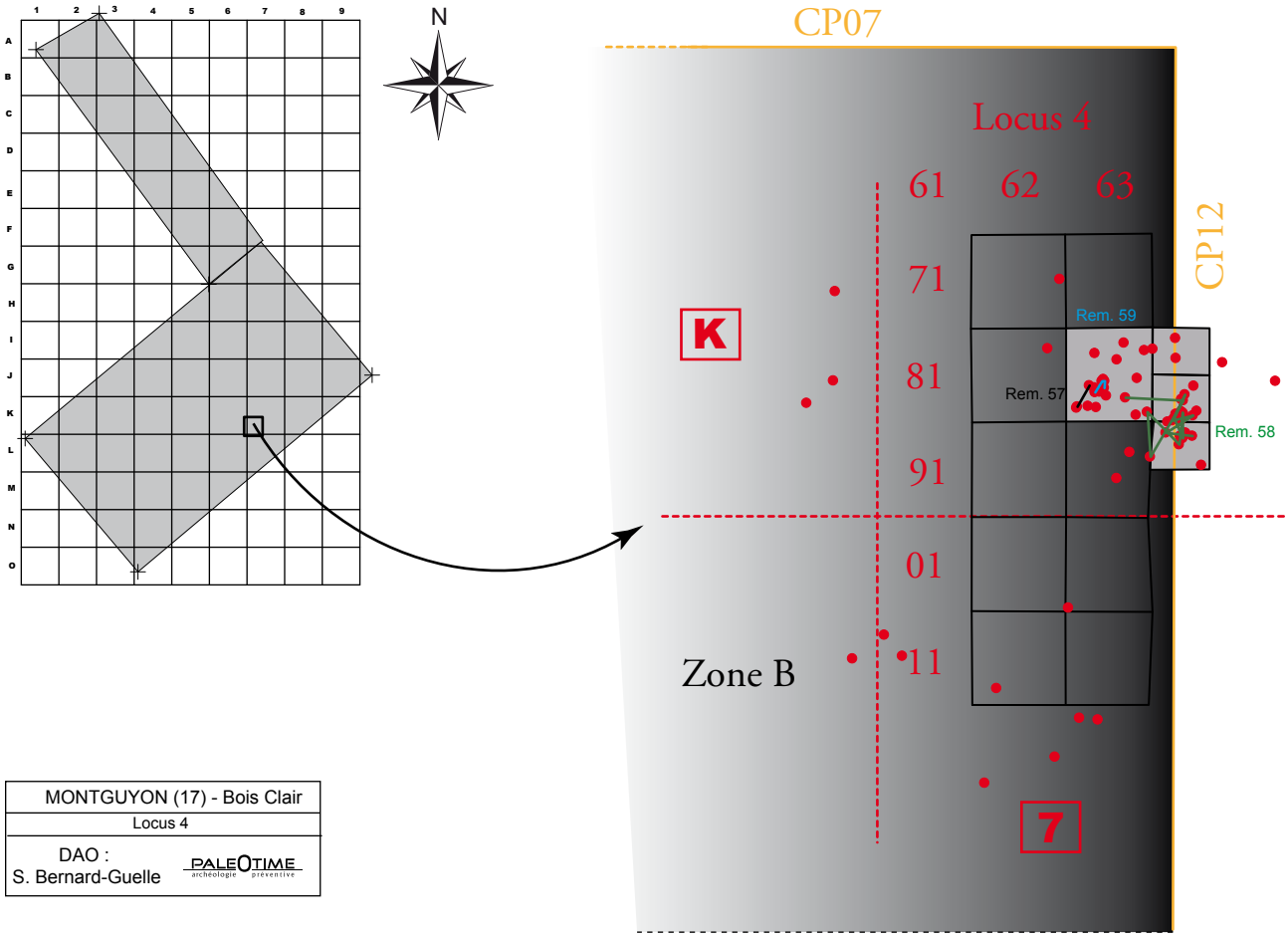




Figure 5-29 – Montguyon (17), « Bois Clair », plan et photo du locus 4



Lors de sa découverte



MONTGUYON (17) - Bois Clair
Locus 4
Clichés PALEOTIME archéologie préventive

Extension et log. granulométrique en CP12

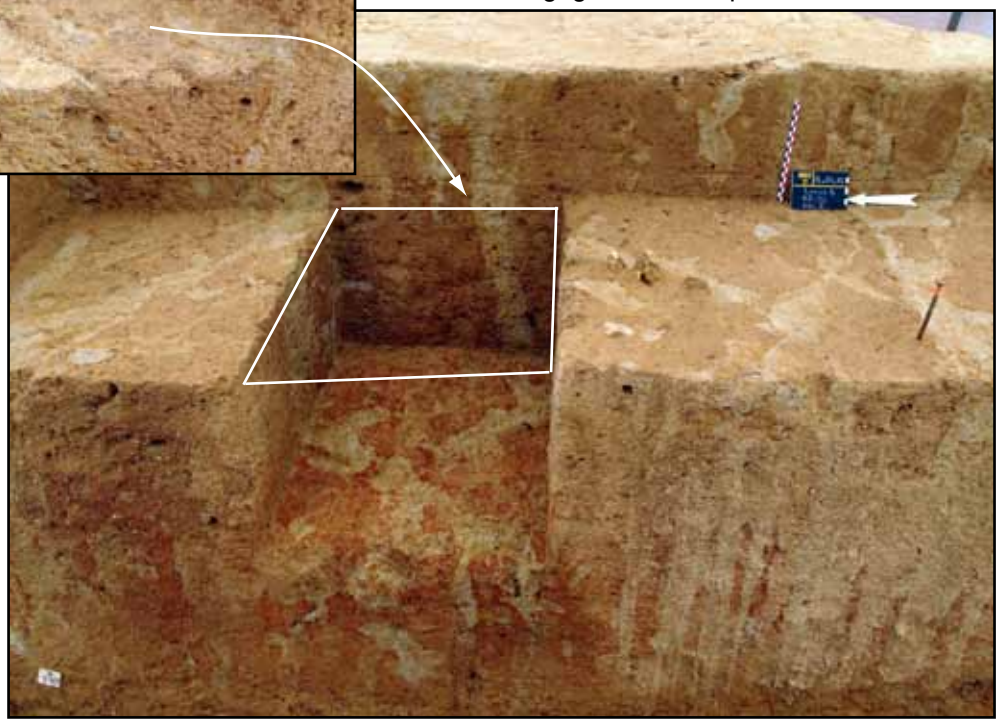
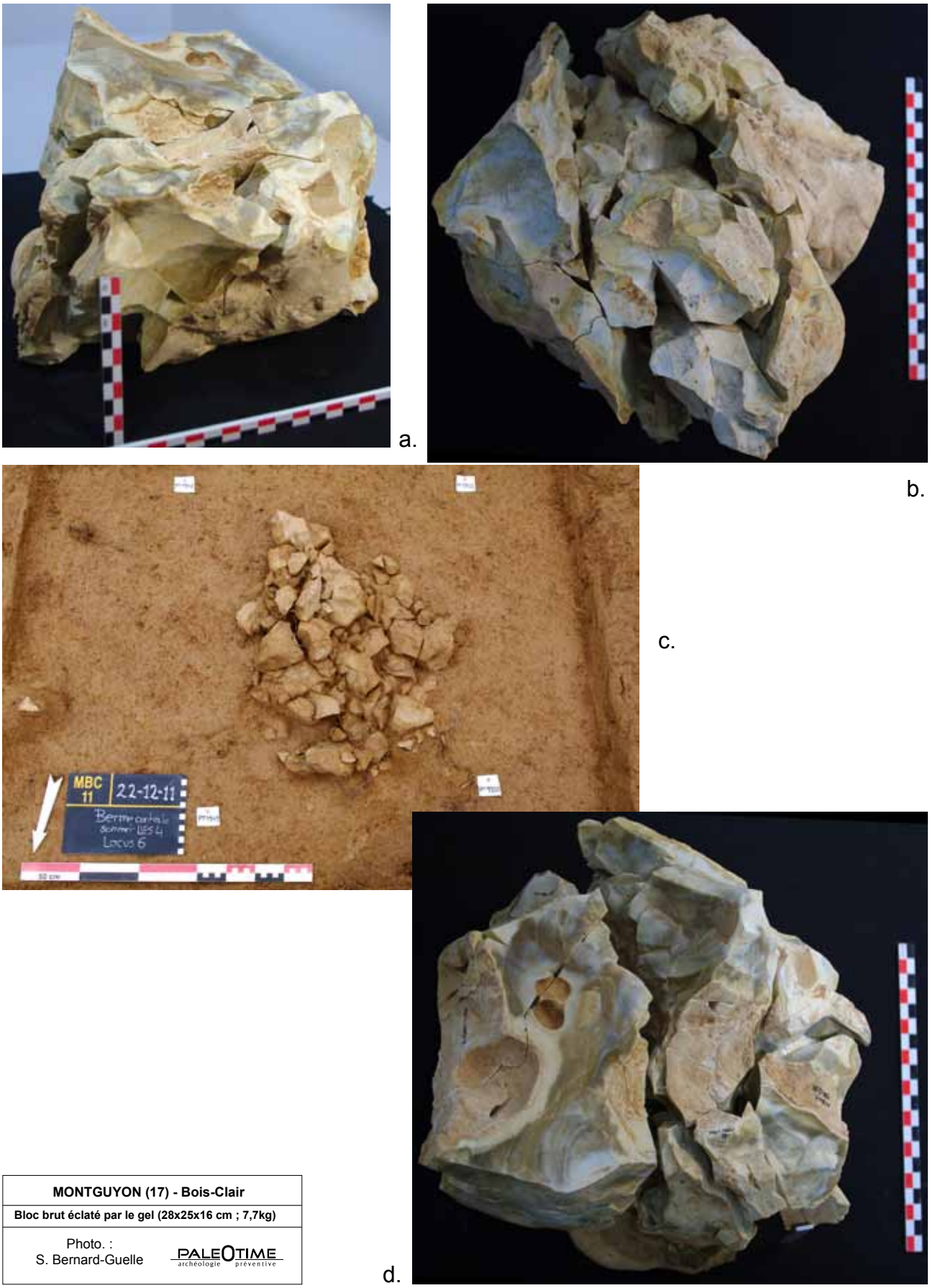


Figure 5-30 – Montguyon (17), « Bois Clair », mobilier et colonne granulométrique en locus 4



MONTGUYON (17) - Bois-Clair
Bloc brut éclaté par le gel (28x25x16 cm ; 7,7kg)
Photo. : S. Bernard-Guelle — PALEOTIME archéologie préventive

Figure 5-31 – Montguyon (17), « Bois Clair », bloc de silex gélifracté du locus 6

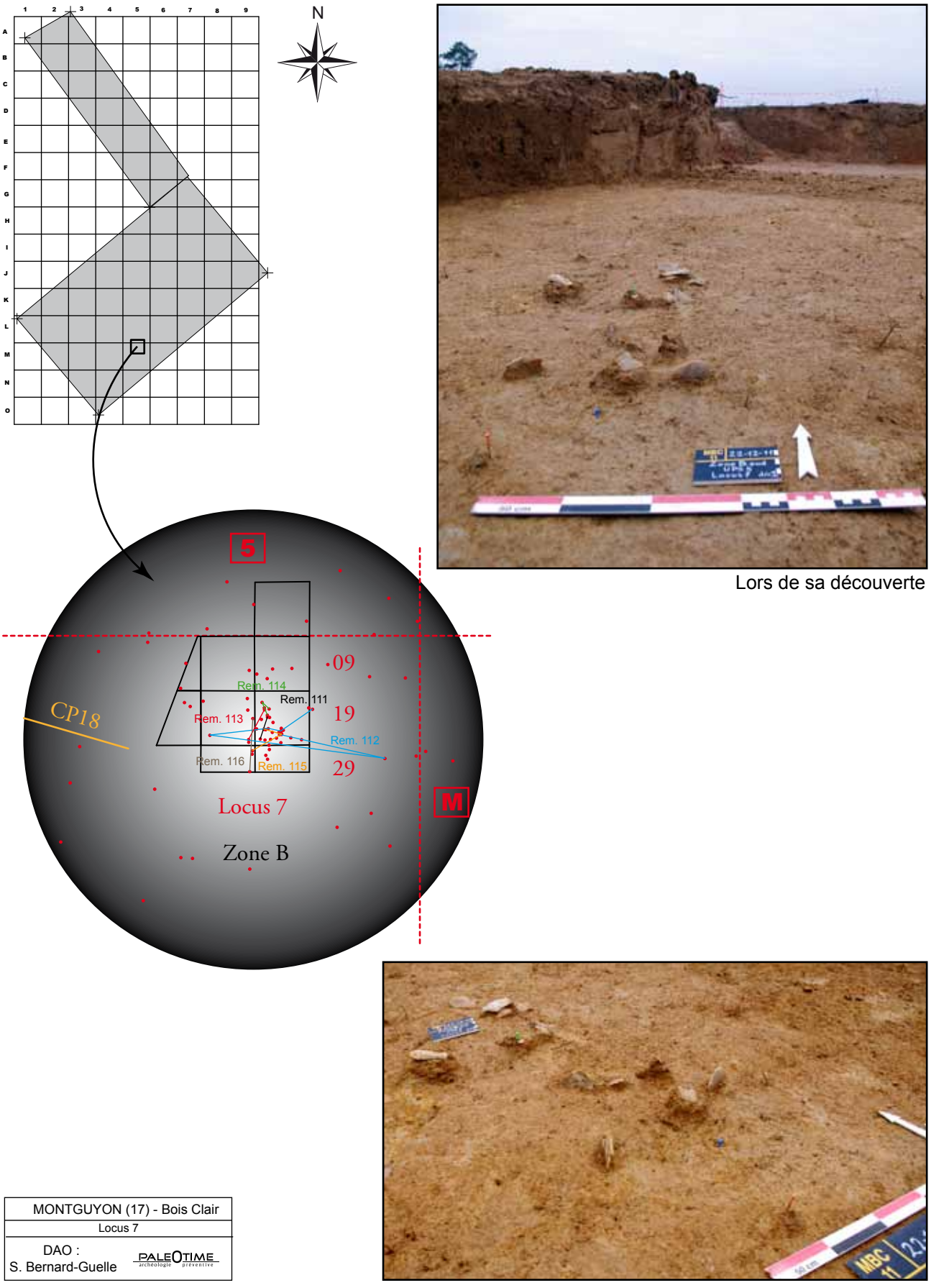


Figure 5-32 – Montguyon (17), « Bois Clair », plan et photos du locus 7



Lors de sa découverte

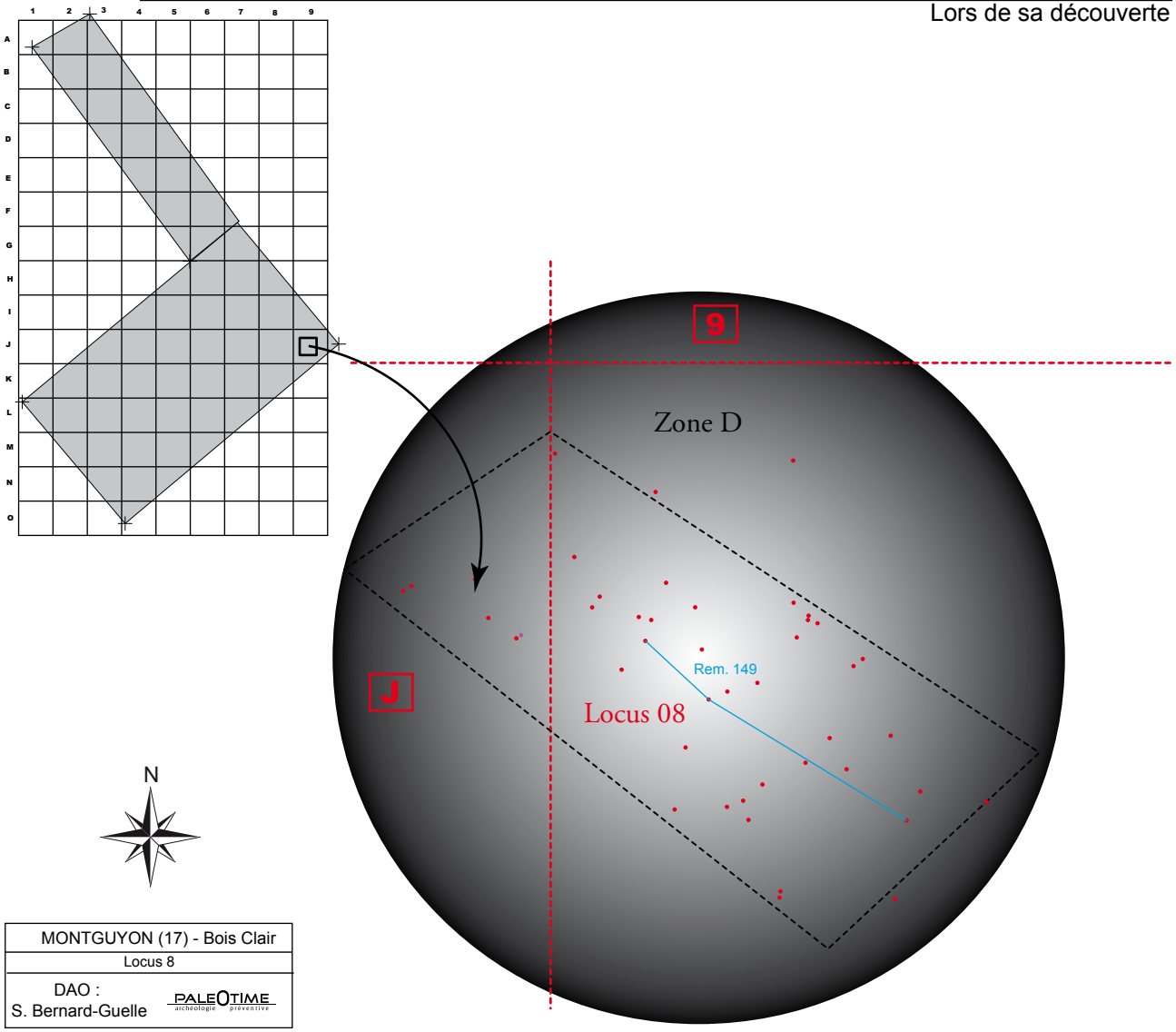
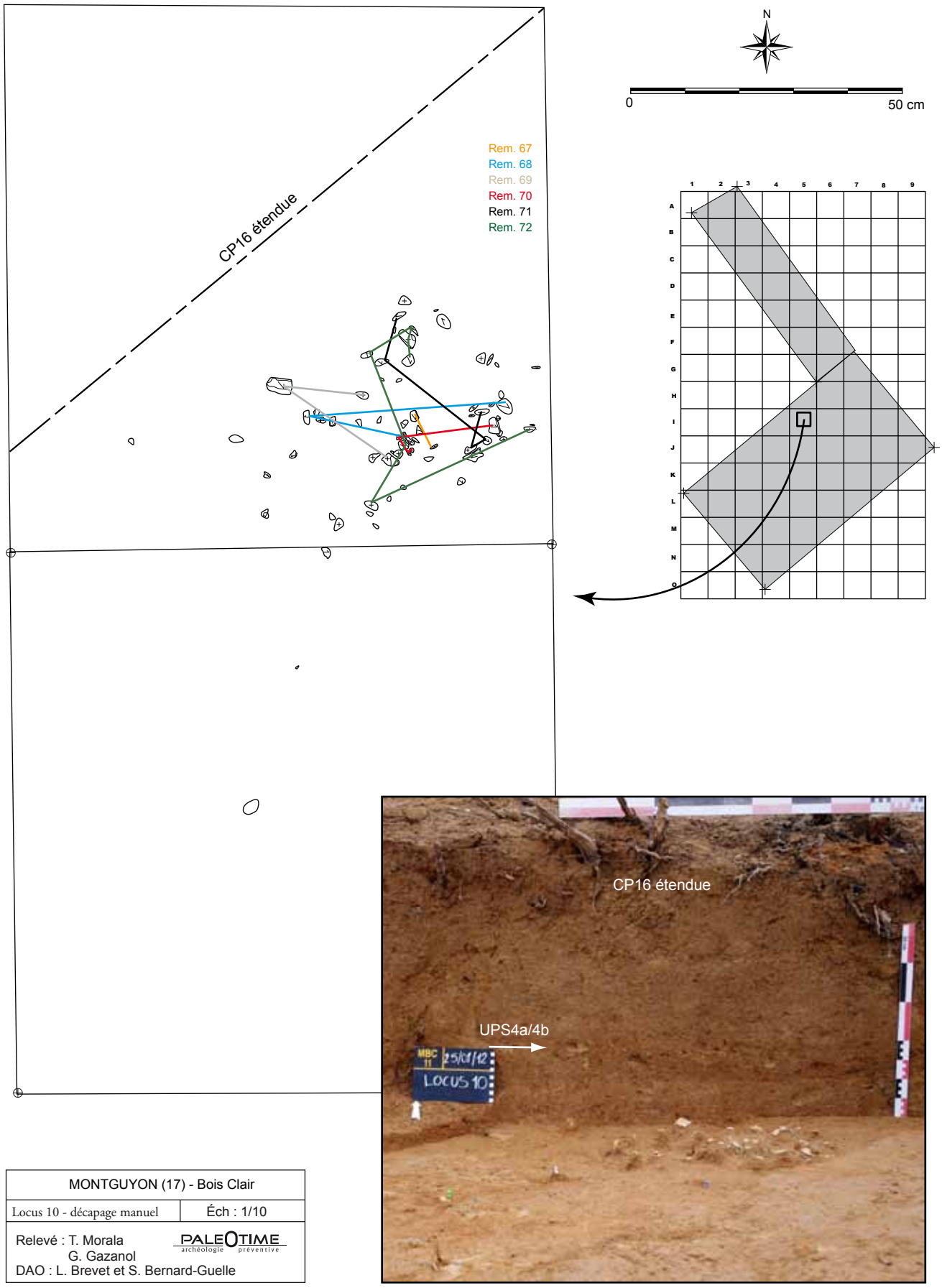


Figure 5-33 – Montguyon (17), « Bois Clair », plan et photo du locus 8



MONTGUYON (17) - Bois Clair	
Locus 10 - décapage manuel	Éch : 1/10
Relevé : T. Morala G. Gazanol DAO : L. Brevet et S. Bernard-Guelle	PALEOTIME archéologie préventive

Figure 5-34 – Montguyon (17), « Bois Clair », plan et photos du locus 10

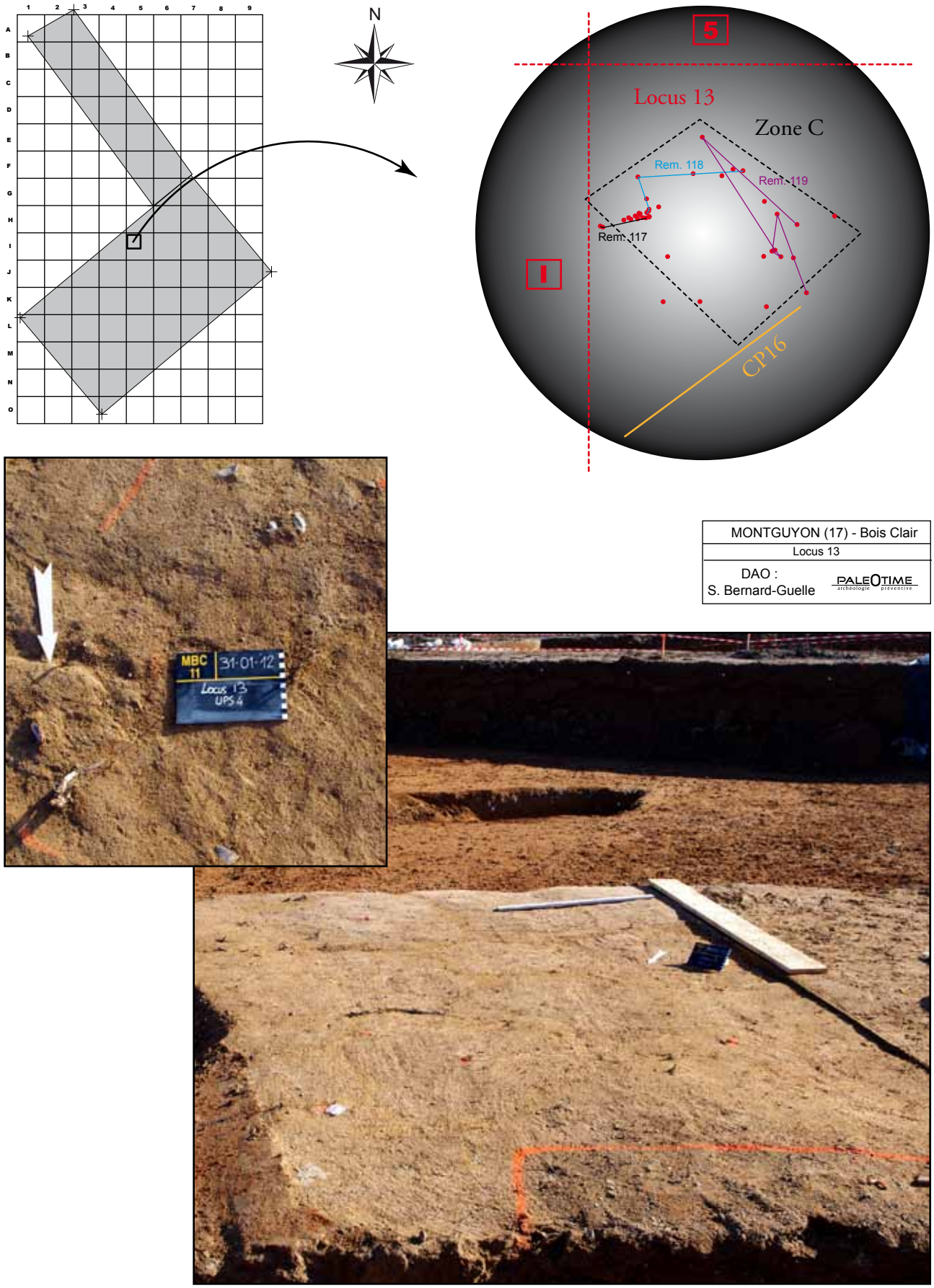


Figure 5-35 – Montguyon (17), « Bois Clair », plan et photos du locus 13

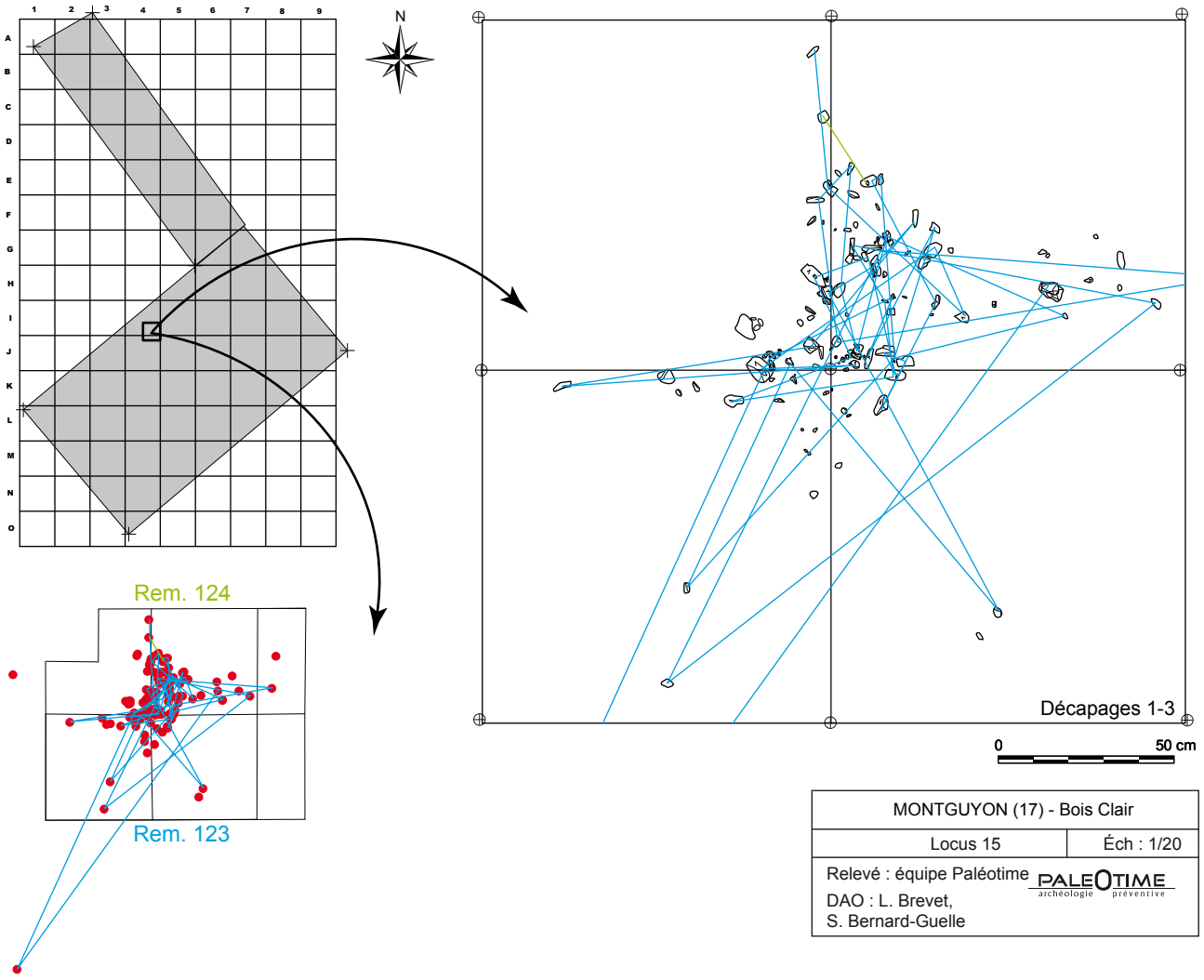
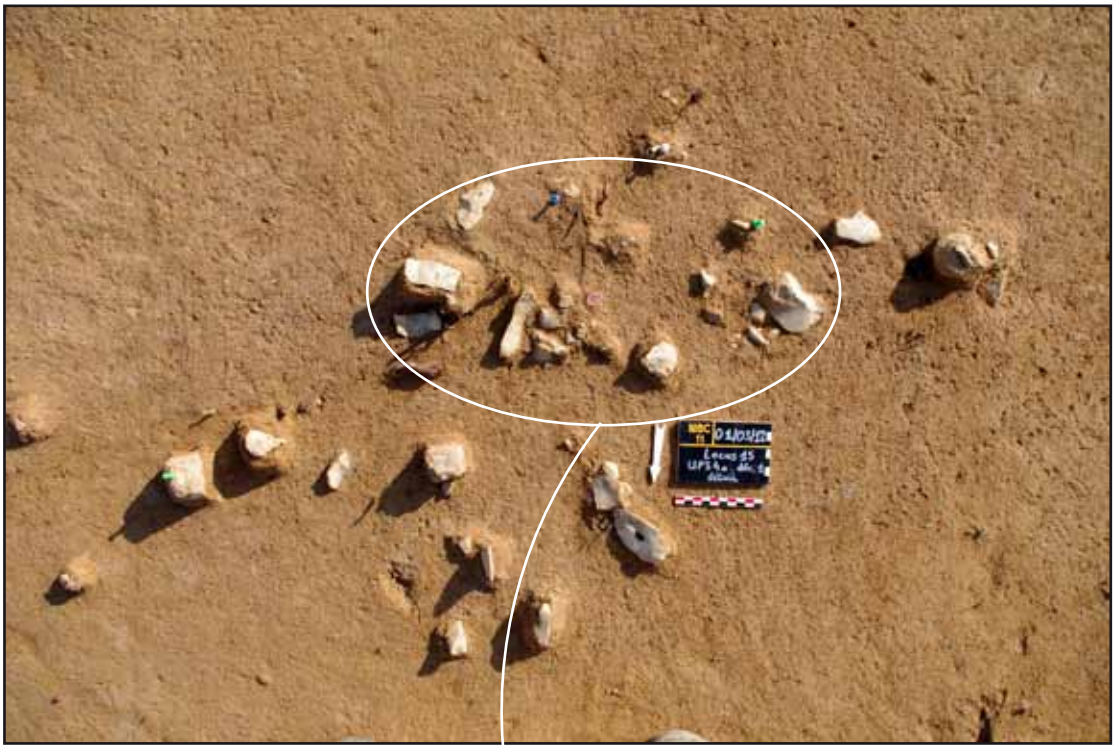




Figure 5-36 – Montguyon (17), « Bois Clair », plan et photos du locus 15



MONTGUYON (17) - Bois Clair	
Locus 15 - décap 1	Éch : 1/20
Relevé : équipe Paléotime DAO : L. Brevet, S. Bernard-Guelle	PALEOTIME archéologie préventive



Figure 5-37 – Montguyon (17), « Bois Clair », détails du locus 15 en fin de décapage 1

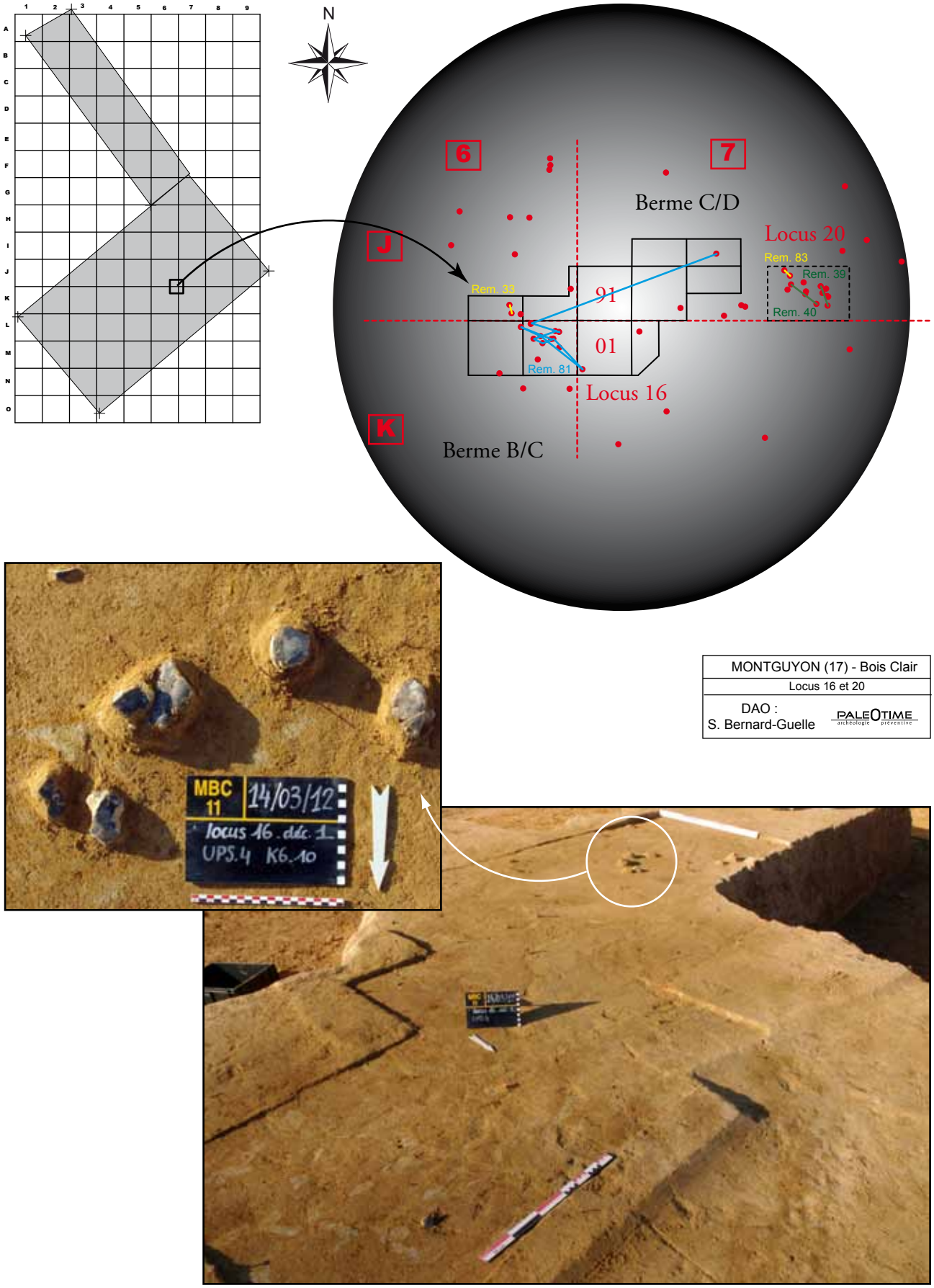


Figure 5-38 – Montguyon (17), « Bois Clair », plan et photos du locus 16

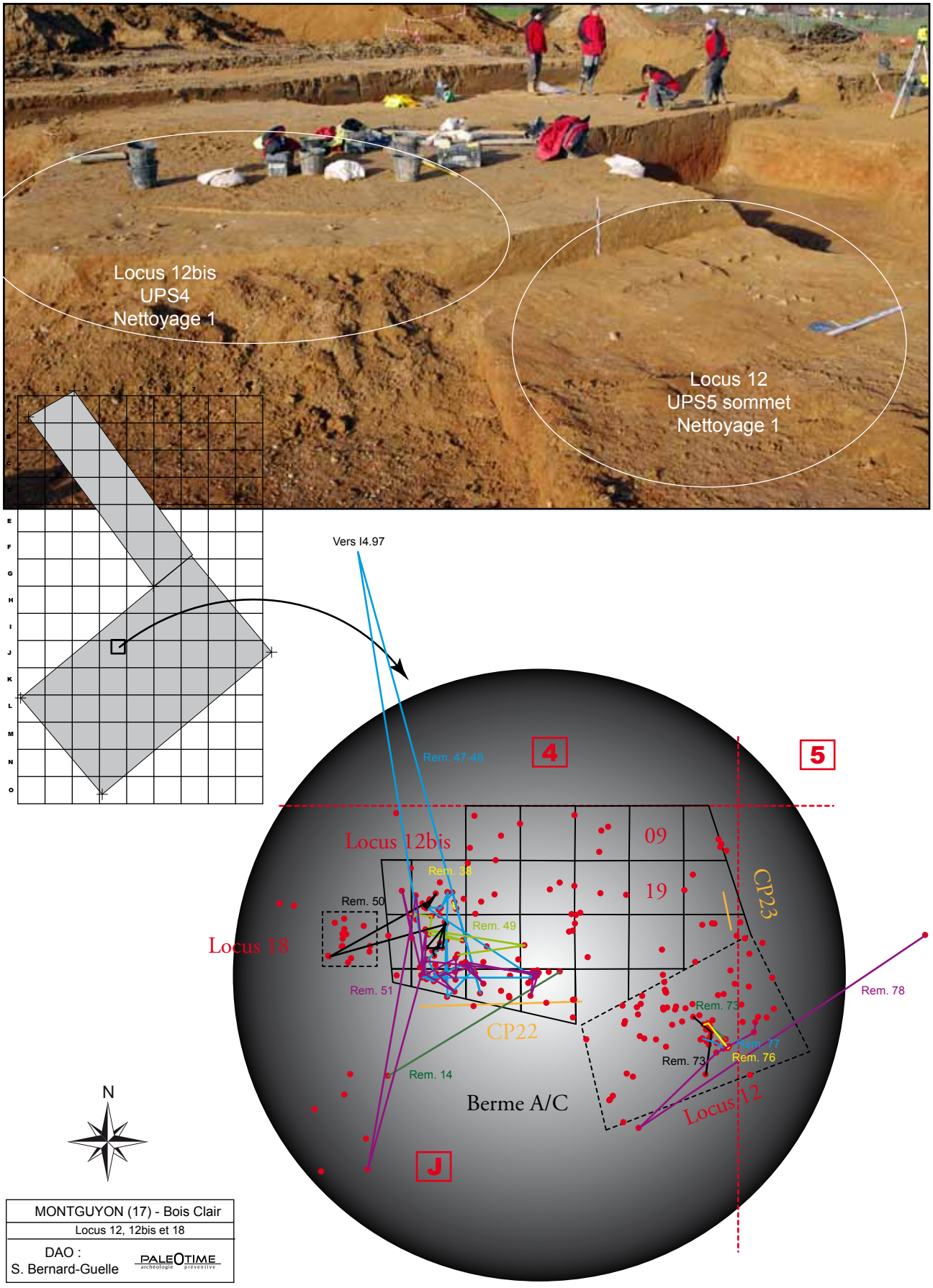


Figure 5-39 – Montguyon (17), « Bois Clair », plan et photos des locus 12 et 12bis



Figure 5-40 – Montguyon (17), « Bois Clair », photos du locus 12bis tourné vers la production de pointes pseudo-Levallois (PPSL)

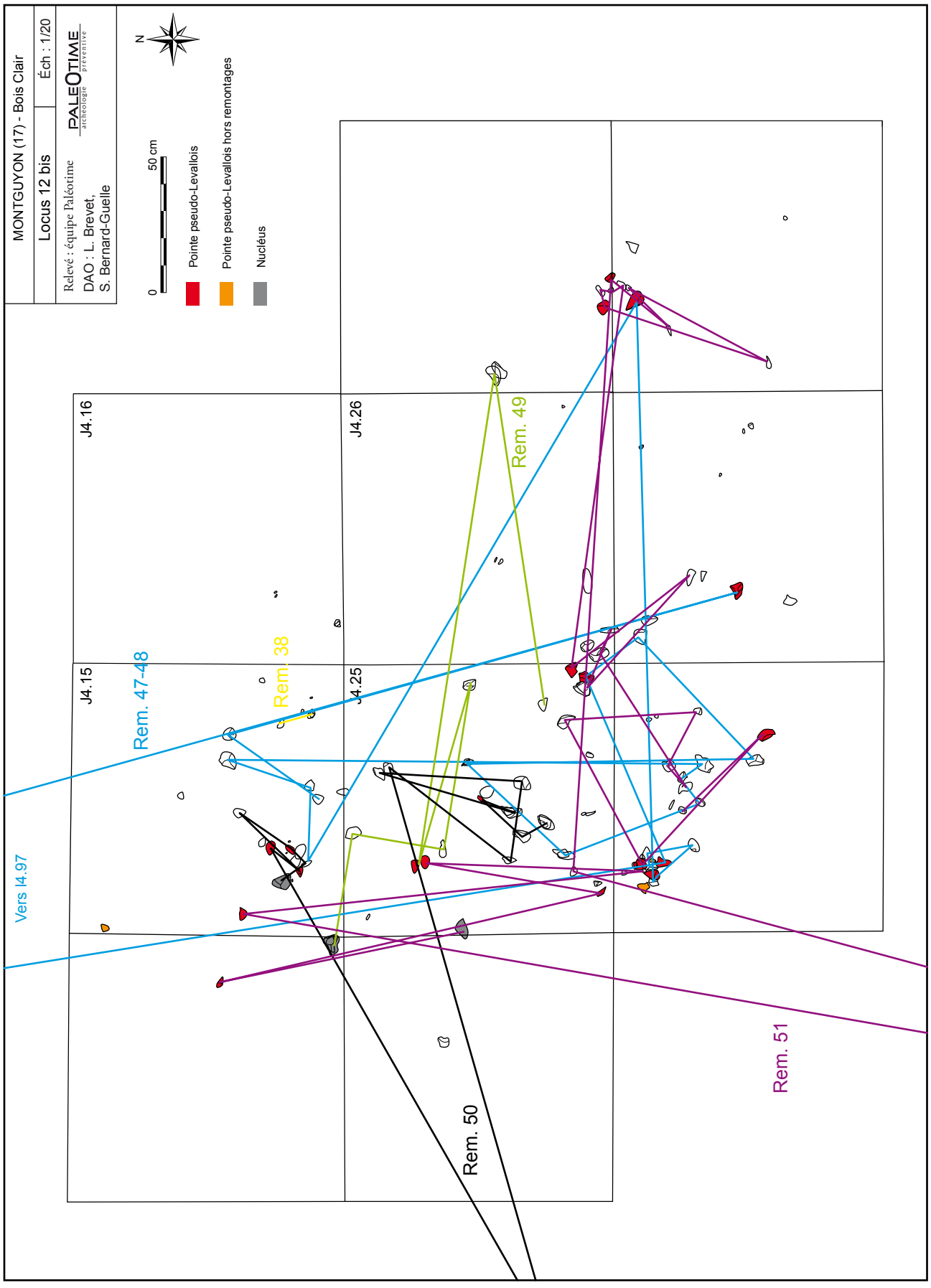


Figure 5-41 – Montguyon (17), « Bois Clair », plan du mobilier et des remontages du locus 12 bis

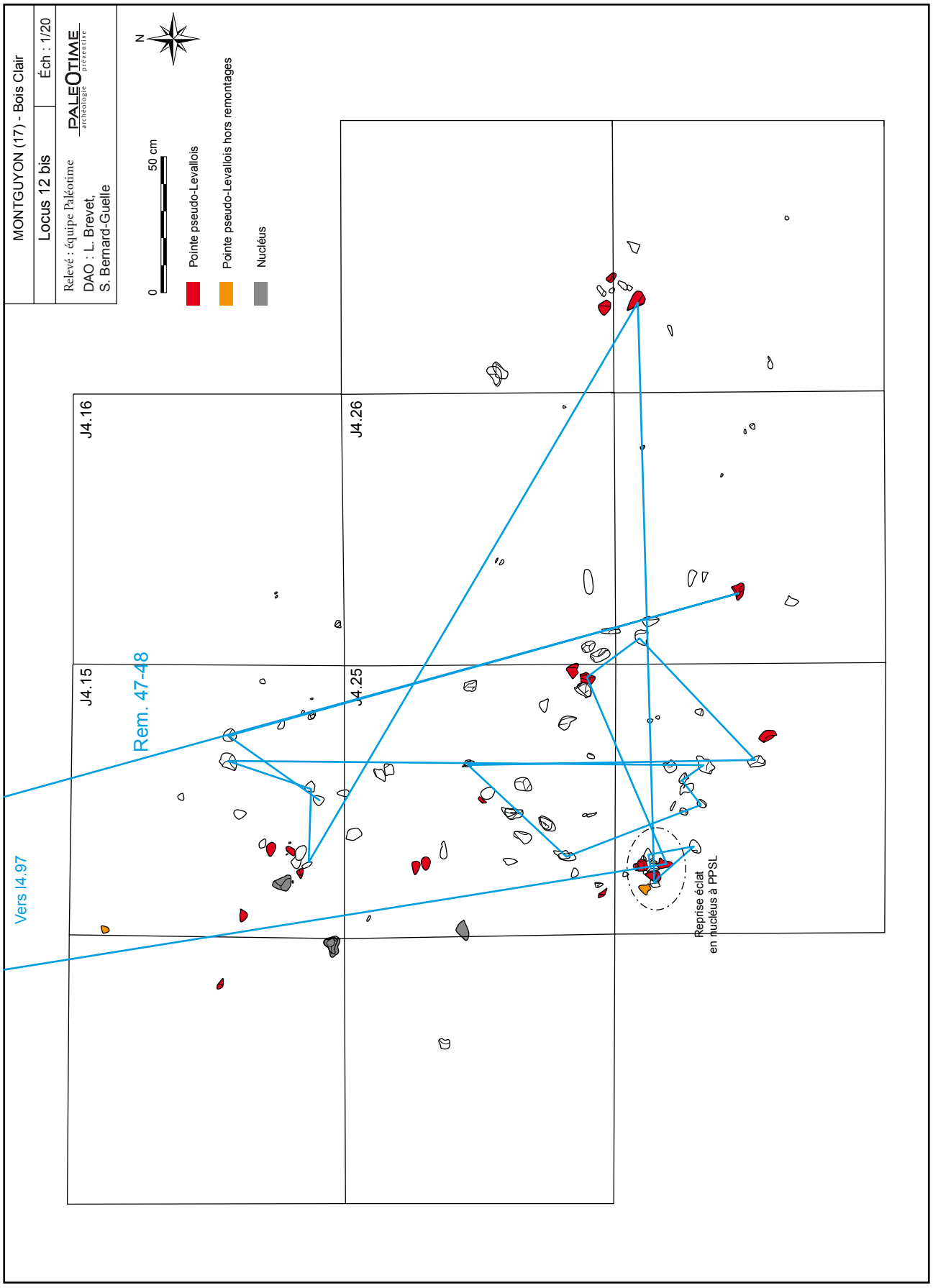


Figure 5-42 – Montguyon (17), « Bois Clair », locus 12 bis, détails du remontage 47-48

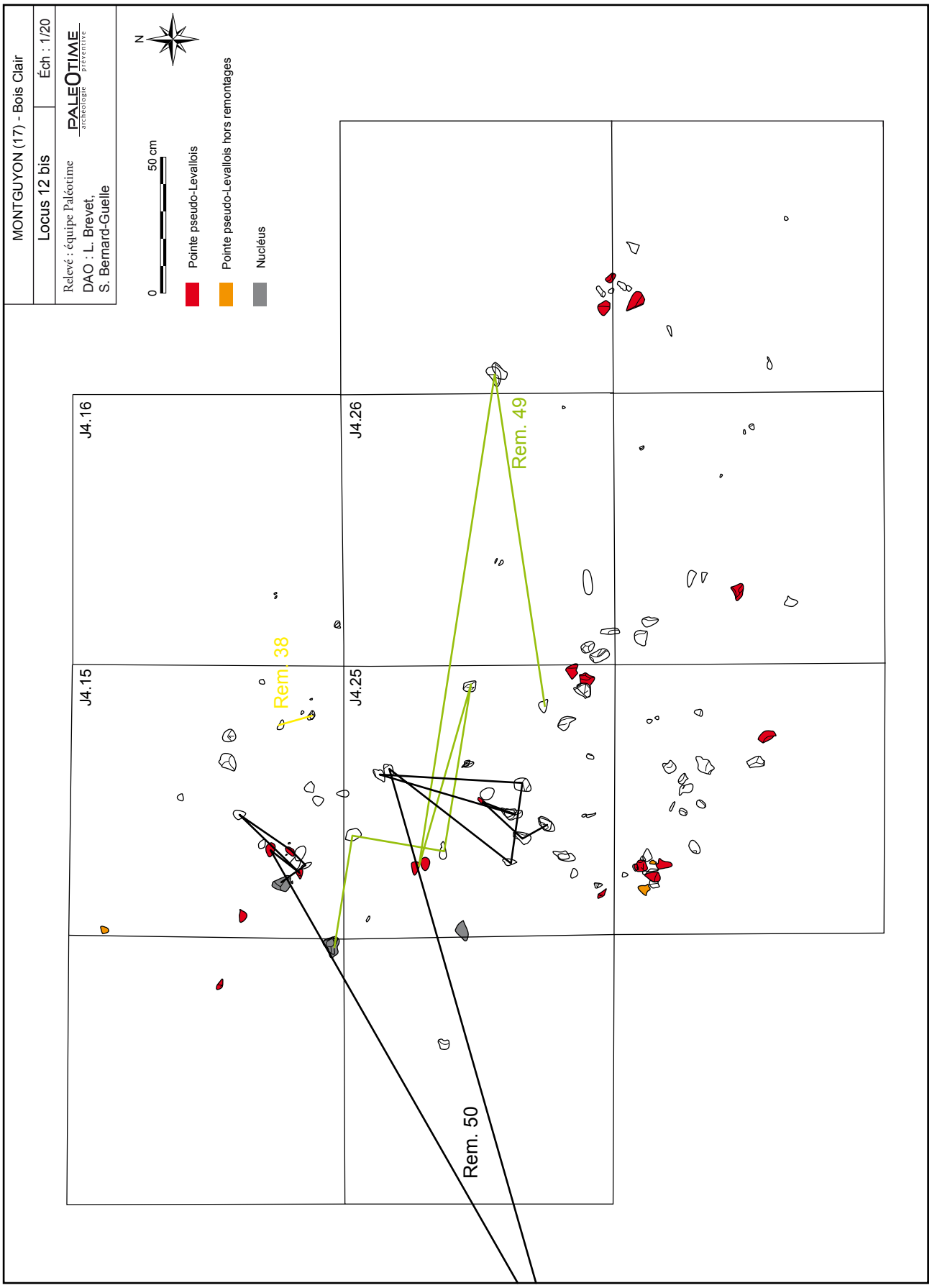


Figure 5-43 – Montguyon (17), « Bois Clair », locus 12 bis, détails des remontages 38, 49 et 50

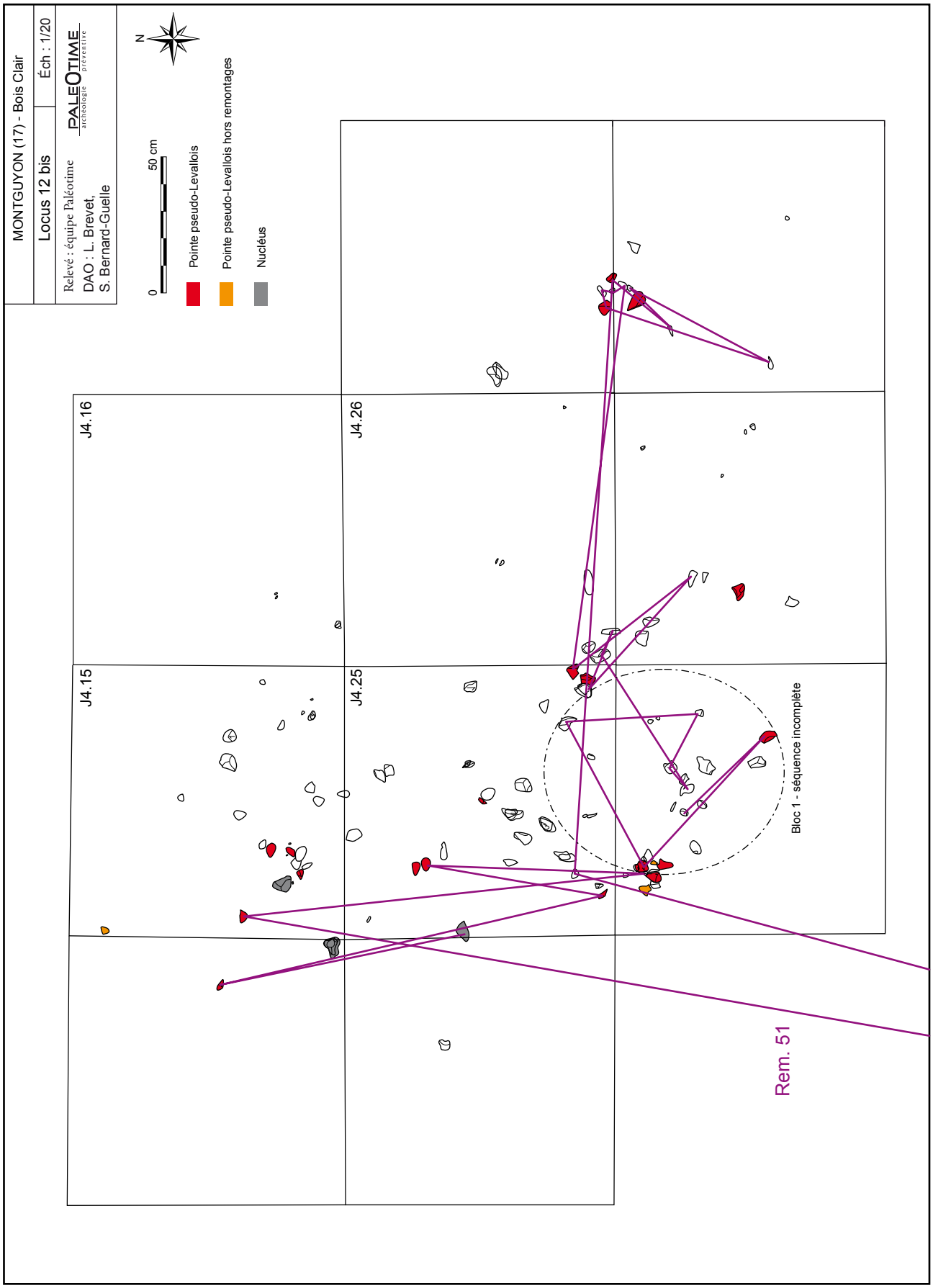


Figure 5-44 – Montguyon (17), « Bois Clair », locus 12 bis, détails du remontage 51



MONTGUYON (17) - Bois Clair
Locus 12 - décapage 1 équivalent 2
Clichés PALEOTIME archéologie préventive

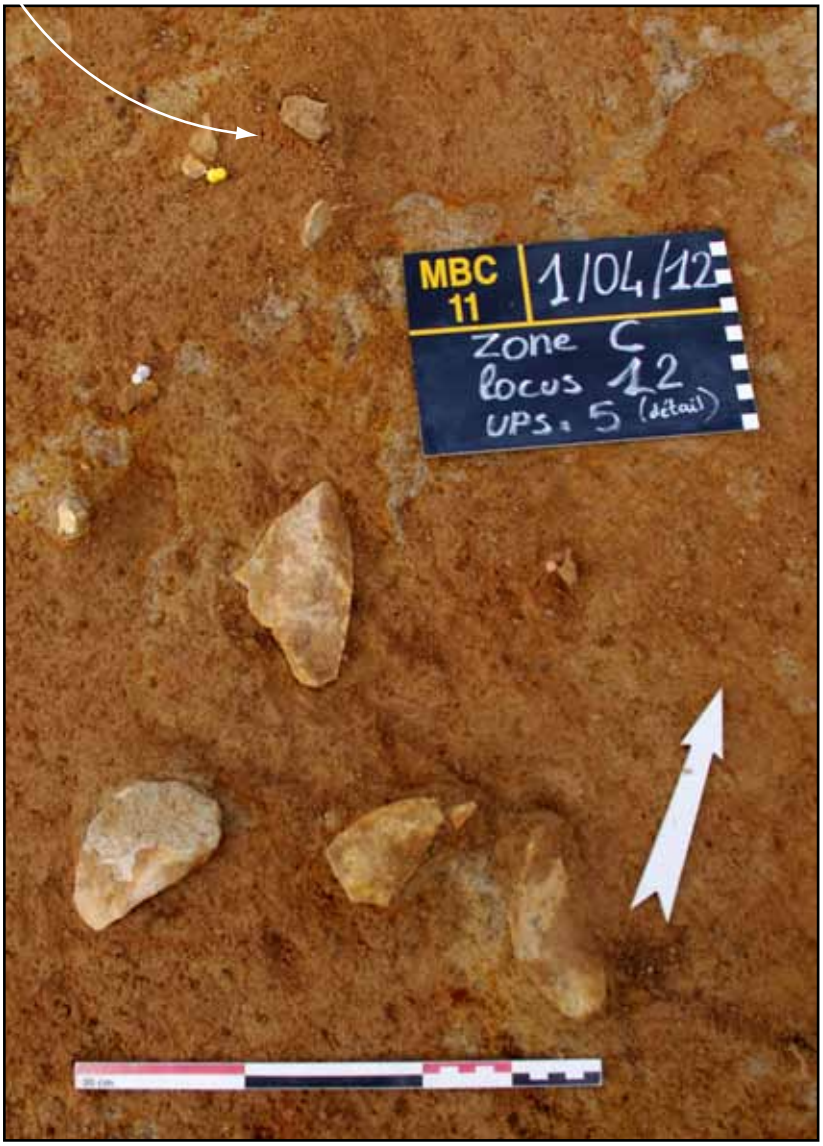


Figure 5-45 – Montguyon (17), « Bois Clair », Vues du mobilier du locus 12



Locus 12bis (Paléolithique moyen) et locus 15 (Paléolithique supérieur/Epipaléolithique)
en cours de fouille au sein de l'UPS4



MONTGUYON (17) - Bois Clair	
Locus 12bis et 15	
Clichés	PALEOTIME archéologie préventive

Figure 5-46 – Montguyon (17), « Bois Clair », proximité géographique et stratigraphique des locus 12bis et 15

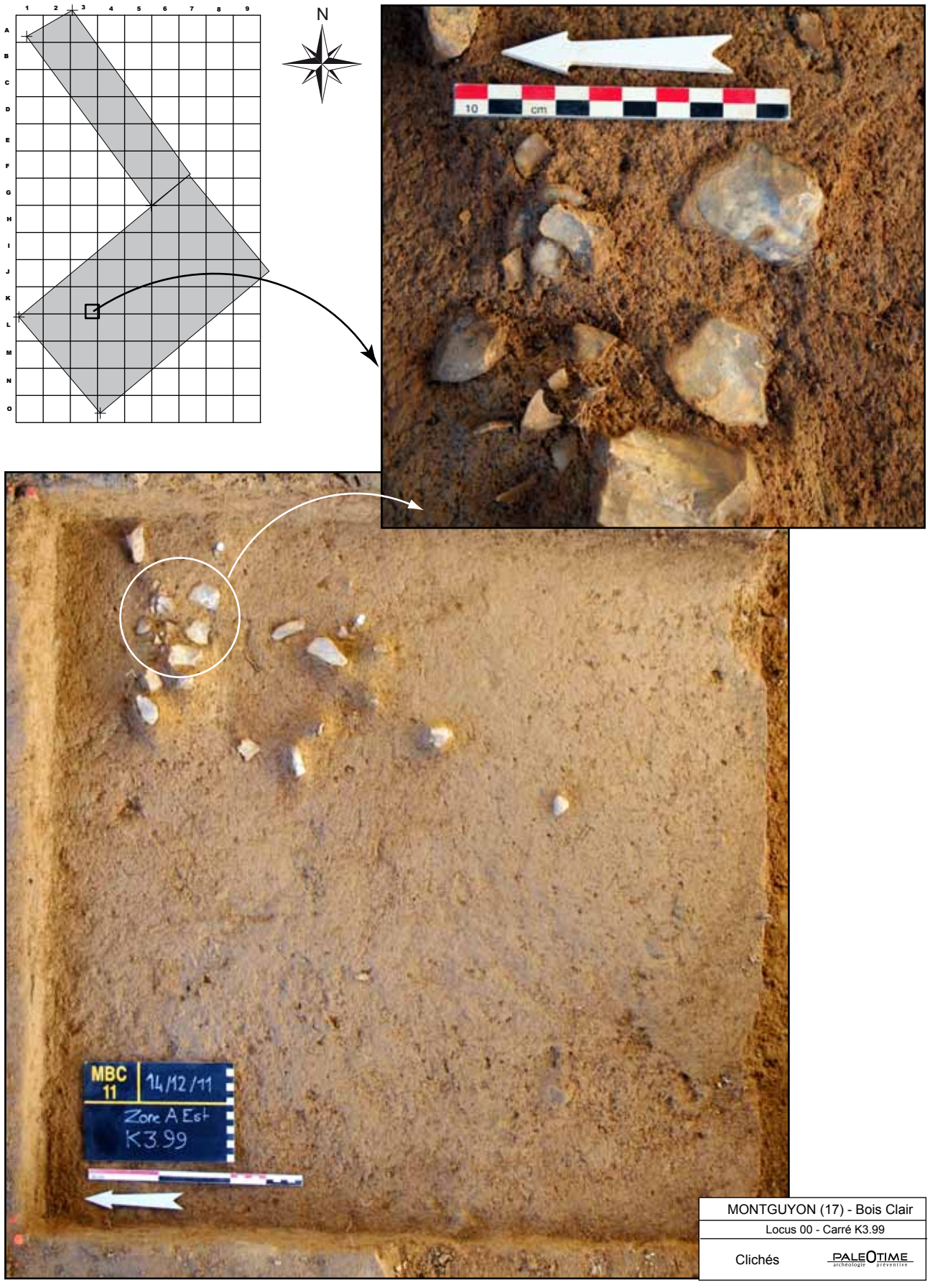
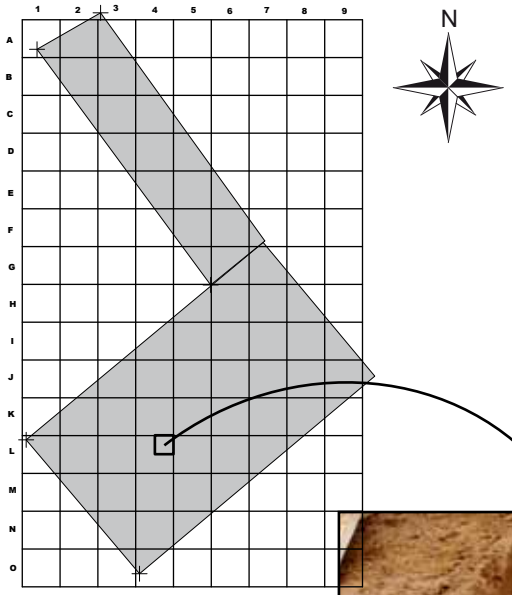


Figure 5-47 – Montguyon (17), « Bois Clair », plan et photos de détails du mobilier en locus 0



Décapage 3



CP20 - Bloc microstratigraphique



MONTGUYON (17) - Bois Clair	
Locus 09	
Clichés	PALEOTIME archéologie préventive

Figure 5-48 – Montguyon (17), « Bois Clair », plan, mobilier et bloc micromorphologique du locus 9

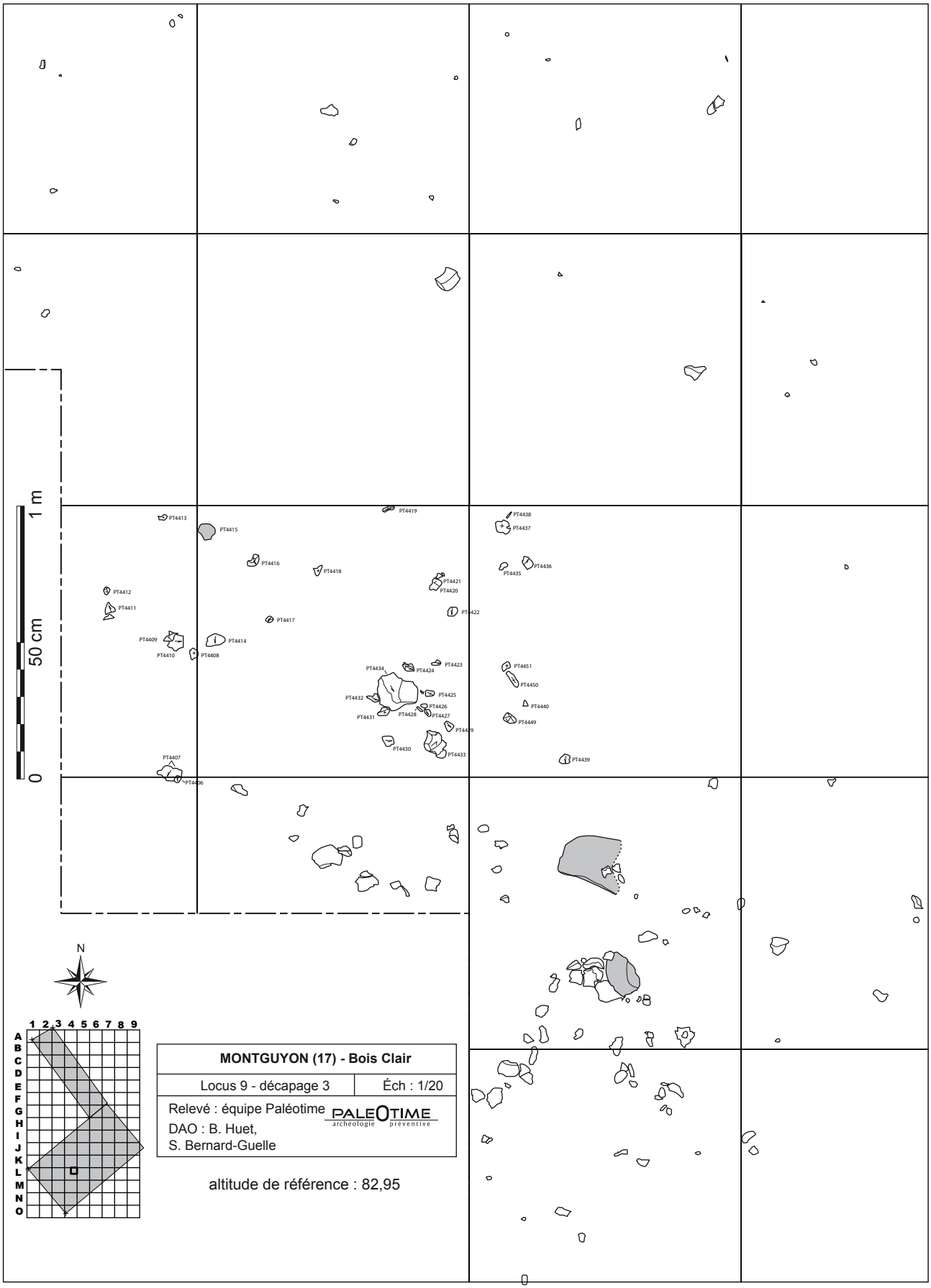
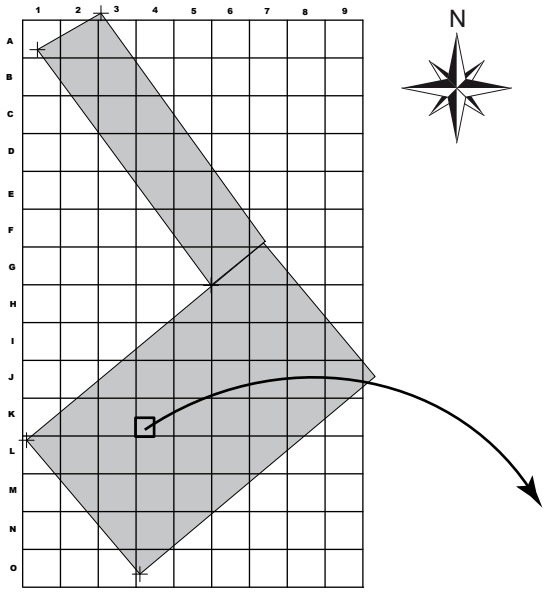
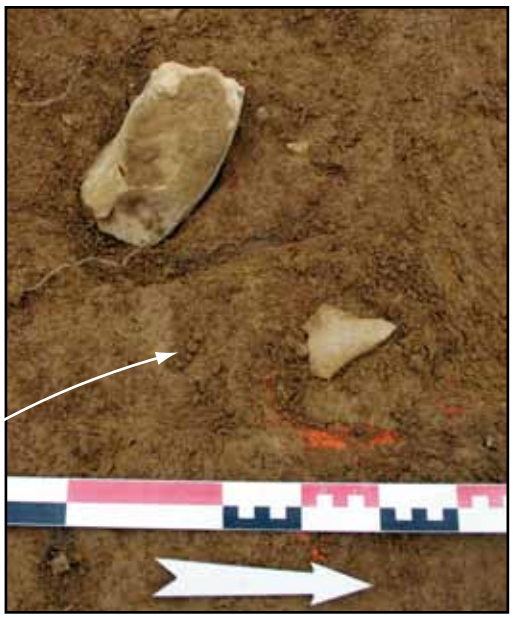


Figure 5-49 – Montguyon (17), « Bois Clair », extrait de plan du locus 9, décapage 3



MONTGUYON (17) - Bois Clair
Locus 11
Clichés PALEOTIME archéologie préventive

Nucléus laminaire



Locus 11 avant carroyage



Figure 5-50 – Montguyon (17), « Bois Clair », plan et photos de détails du mobilier en locus 11

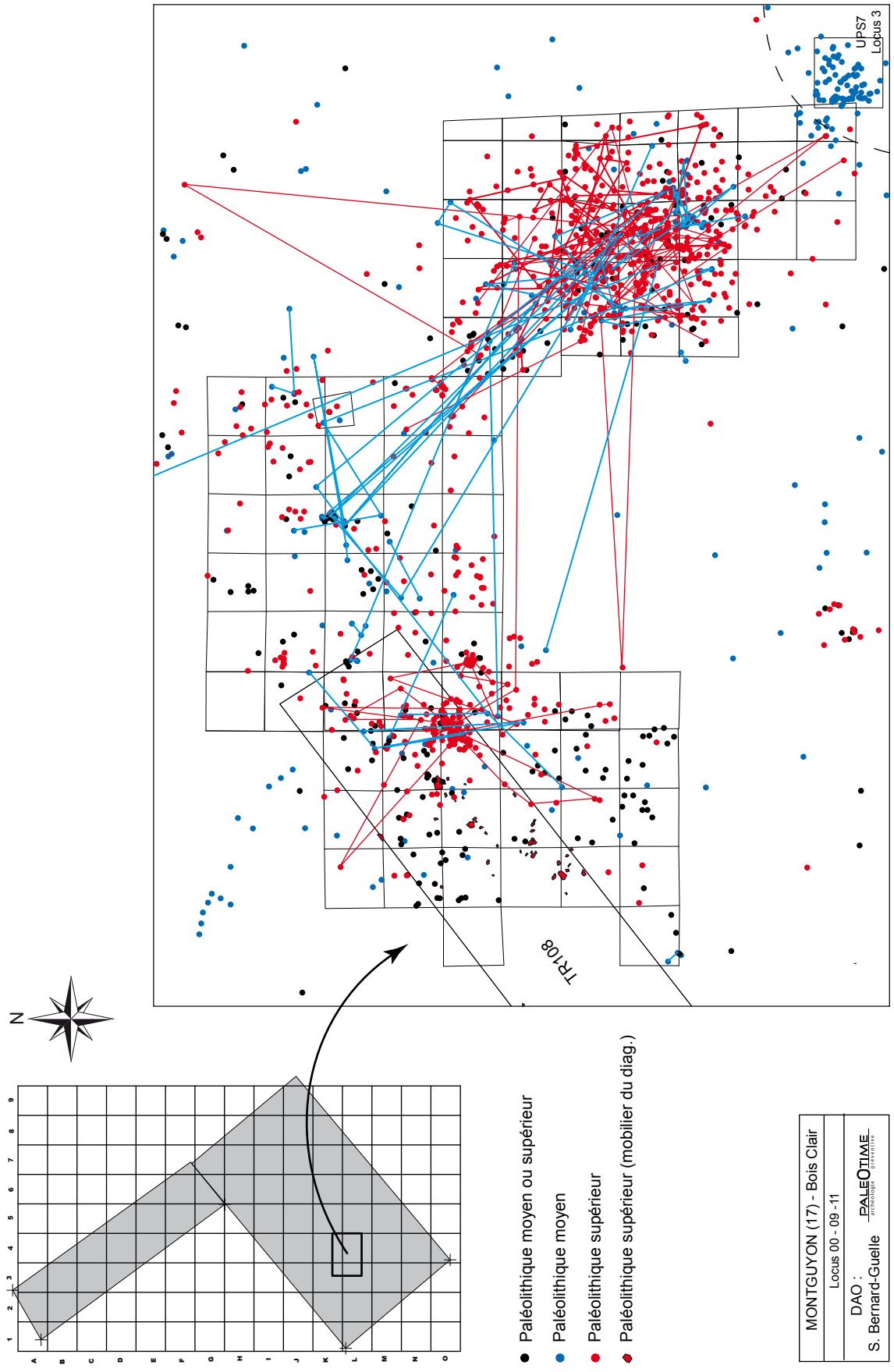


Figure 5-51 – Montguyon (17), « Bois Clair », détail des locus 0/9/11 et de l'imbrication des niveaux paléolithiques moyen et supérieur

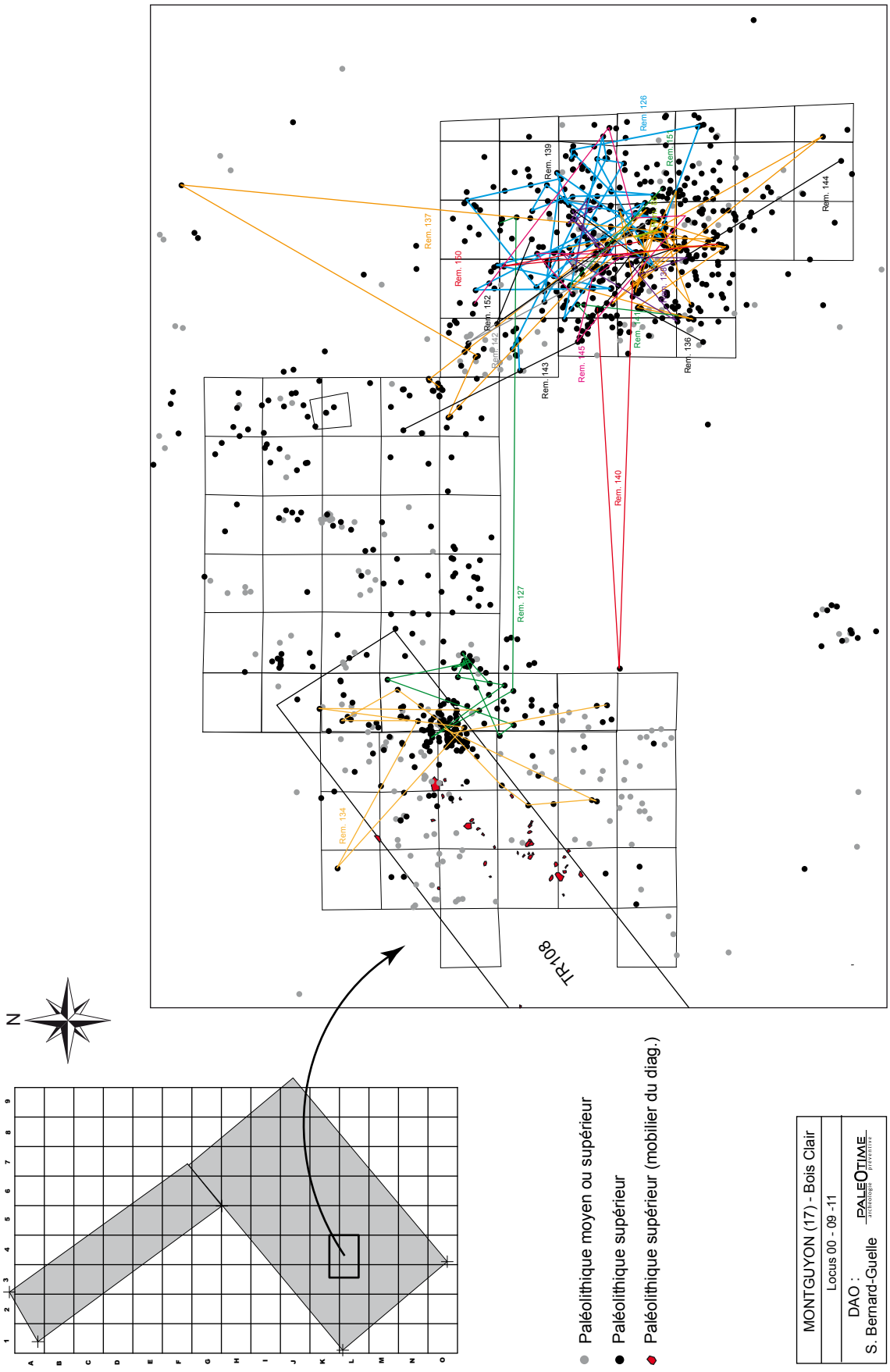


Figure 5-52 – Montguyon (17), « Bois Clair », plan des locus 0/9/11 avec remontages et mobilier du Paléolithique supérieur

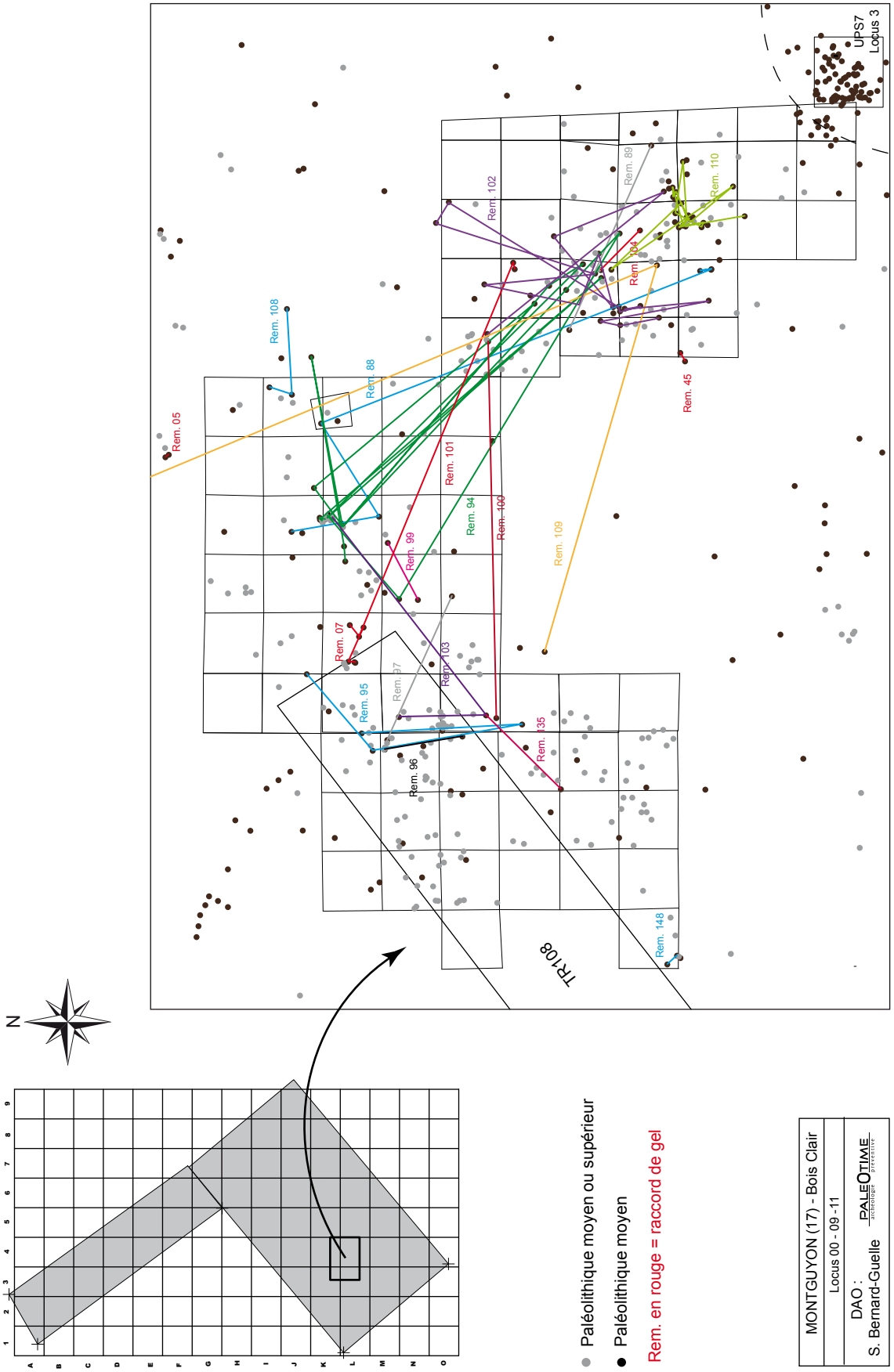


Figure 5-53 – Montguyon (17), « Bois Clair », plan des locus 0/9/11 avec remontages et mobilier du Paléolithique moyen

Type de préparation sur face supérieure	**1 : unipolaire**					**2 : bipolaire**				**3 : kombewa**			
Direction négatifs sur face supérieure	1 : partant du dos de la pointe		2 : superposés à l'axe de la pointe			1 : orthogonale (dt 1 part du dos)		2 : croisée	3 : opposée	1 : orthogonale	2 : oblique	3 : unipolaire superposée	4 : autres
Nbre de négatifs sur face supérieure	1	2	3	4	5 (et +)	2	3	4	5 (et +)	0	1	2	3
Morphologie	1 : triangulaire (3 côtés hors talon)	2 : sub-triangulaire (tendance ovalaire)	3 : tetragonale (4 côtés)	4 : pentagonale (5 côtés)		1: triangulaire (3 côtés hors talon)	2 : sub-triangulaire (tendance ovalaire)	3 : tetragonale (4 côtés)	4 : pentagonale (5 côtés)	1: triangulaire (3 côtés hors talon)	2 : sub-triangulaire (tendance ovalaire)	3 : tetragonale (4 côtés)	4 : pentagonale (5 côtés)
Reliquat cortical	1 : dos	2 : latéral	3 : distal	4 : proximal		1 : dos	2 : latéral	3 : distal	4 : proximal	1 : dos	2 : latéral	3 : distal	4 : proximal
Etendu (cortex ou face inférieure)	1 : relictuel	2 : < 50%	3 : > 50			1 : relictuel	2 : < 50%	3 : > 50		1 : relictuel	2 : < 50%	3 : > 50	4 : totale

Figure 5-54 – Montguyon (17), « Bois Clair », caractéristiques techno-morpologiques des pointes pseudo-Levallois

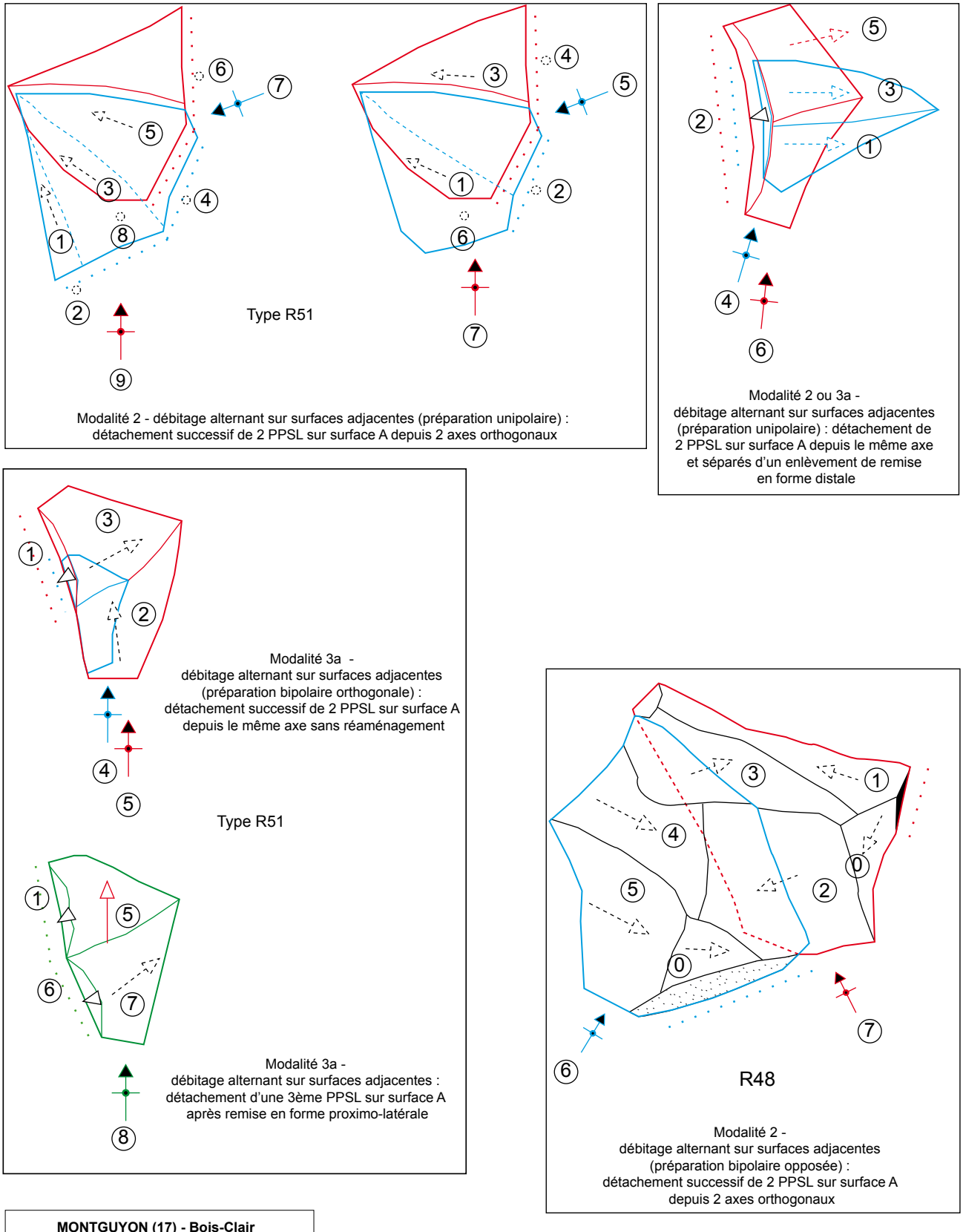
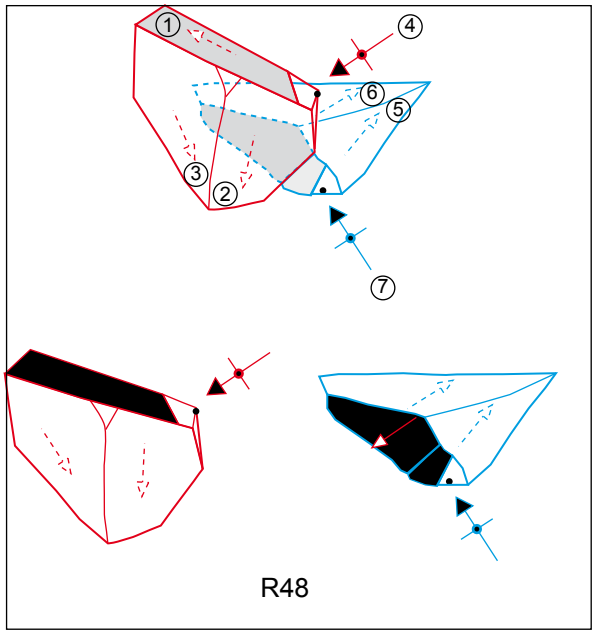
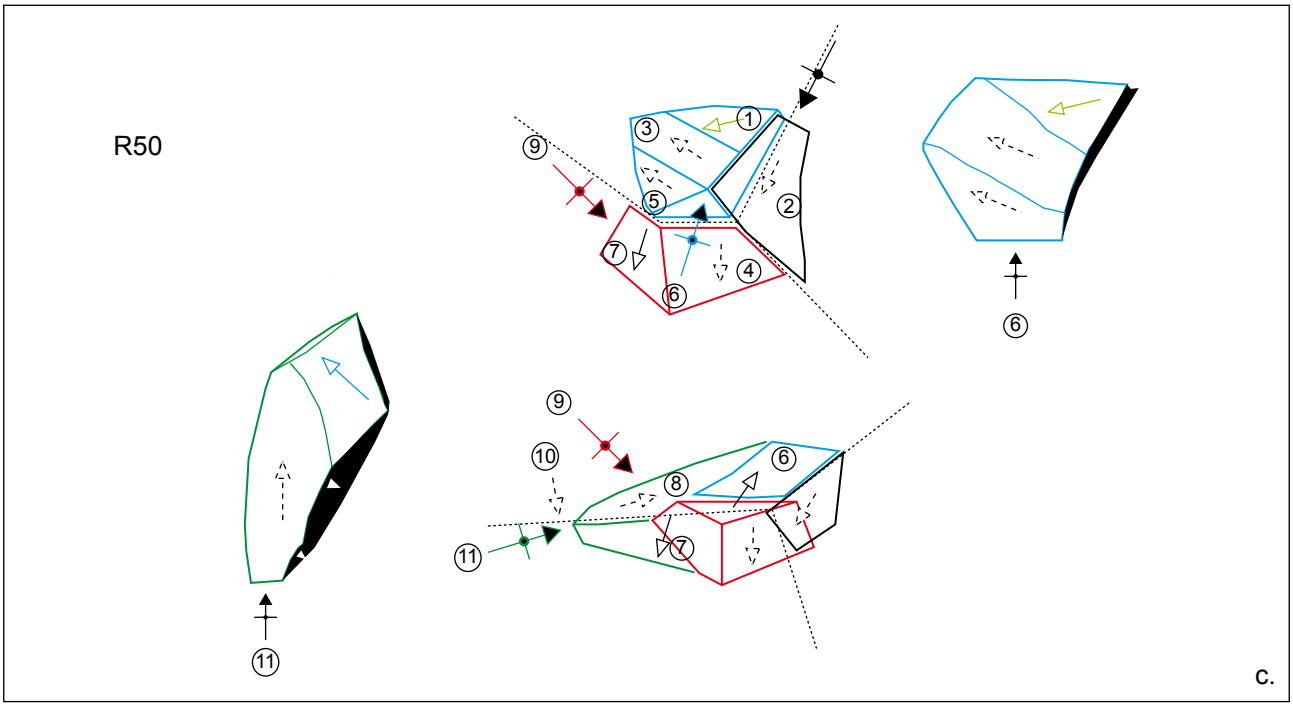


Figure 5-55 – Montguyon (17), « Bois Clair », production de pointes pseudo-Levallois : modalité 2 et 3a - débitage alternant sur surfaces adjacentes : schéma opératoire au niveau de la surface A



Modalité 2 - débitage alternant sur surfaces adjacentes (préparation unipolaire) : détachement de 2 PPSL à partir de 2 surfaces adjacentes



Modalité 2 - débitage alternant sur surfaces adjacentes : détachement de plusieurs pointes (1, 6, 9 et 11) à partir de surfaces adjacentes

MONTGUYON (17) - Bois-Clair	
Pointes Pseudo-Levallois	0 — 1 cm
DAO : S. Bernard-Guelle	PALEOTIME archéologie préventive

enlèvement prédéterminant

enlèvement prédéterminé/prédéterminant

Figure 5-56 – Montguyon (17), « Bois Clair », production de pointes pseudo-Levallois : modalité 2 - débitage alternant sur surfaces adjacentes non hiérarchisées : schéma opératoire au niveau des surfaces A/B

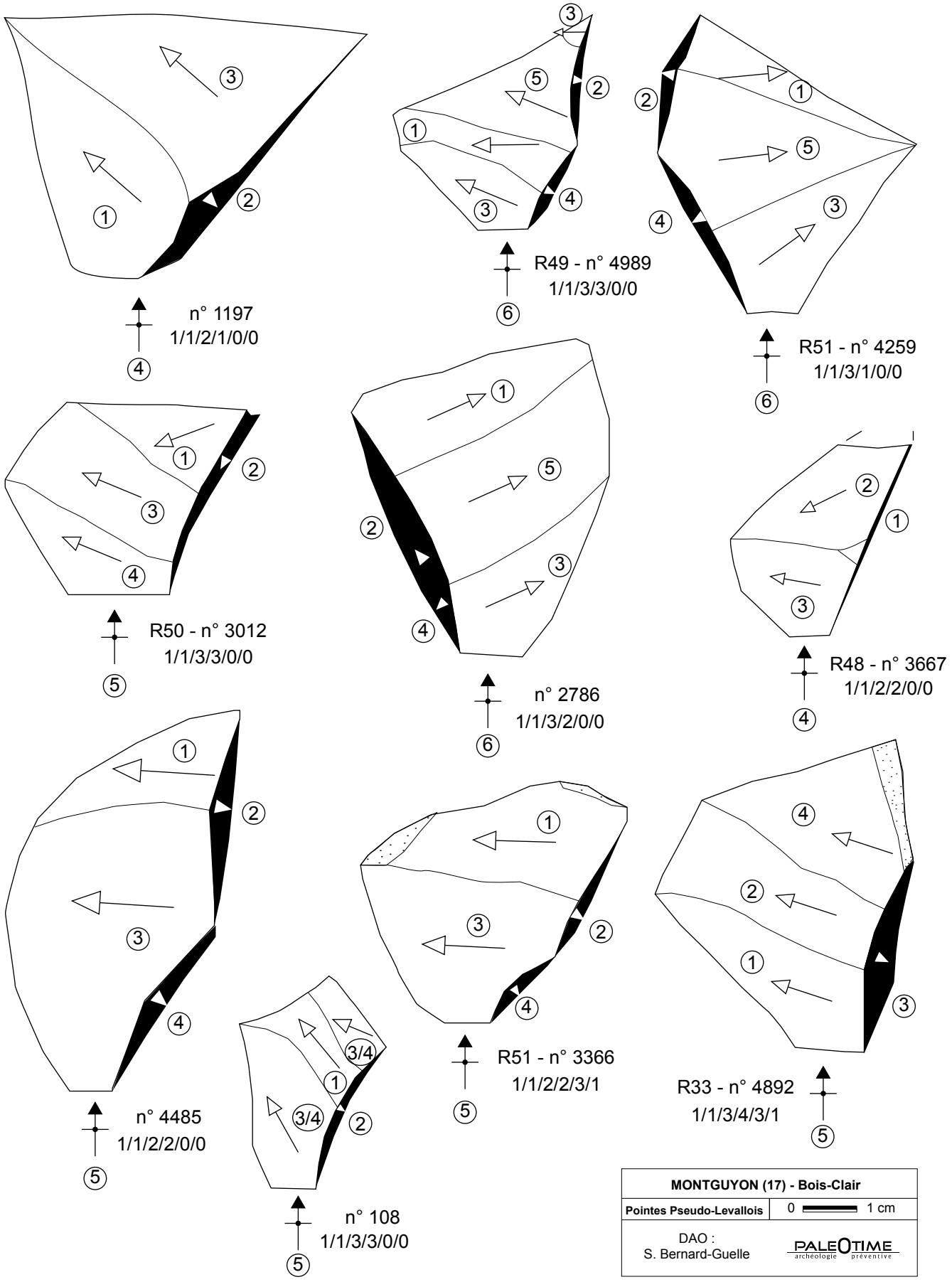


Figure 5-57 – Montguyon (17), « Bois Clair », pointes pseudo-Levallois de morpho-type 1 (unipolaire) essentiellement obtenues via la modalité de production discoïde 2

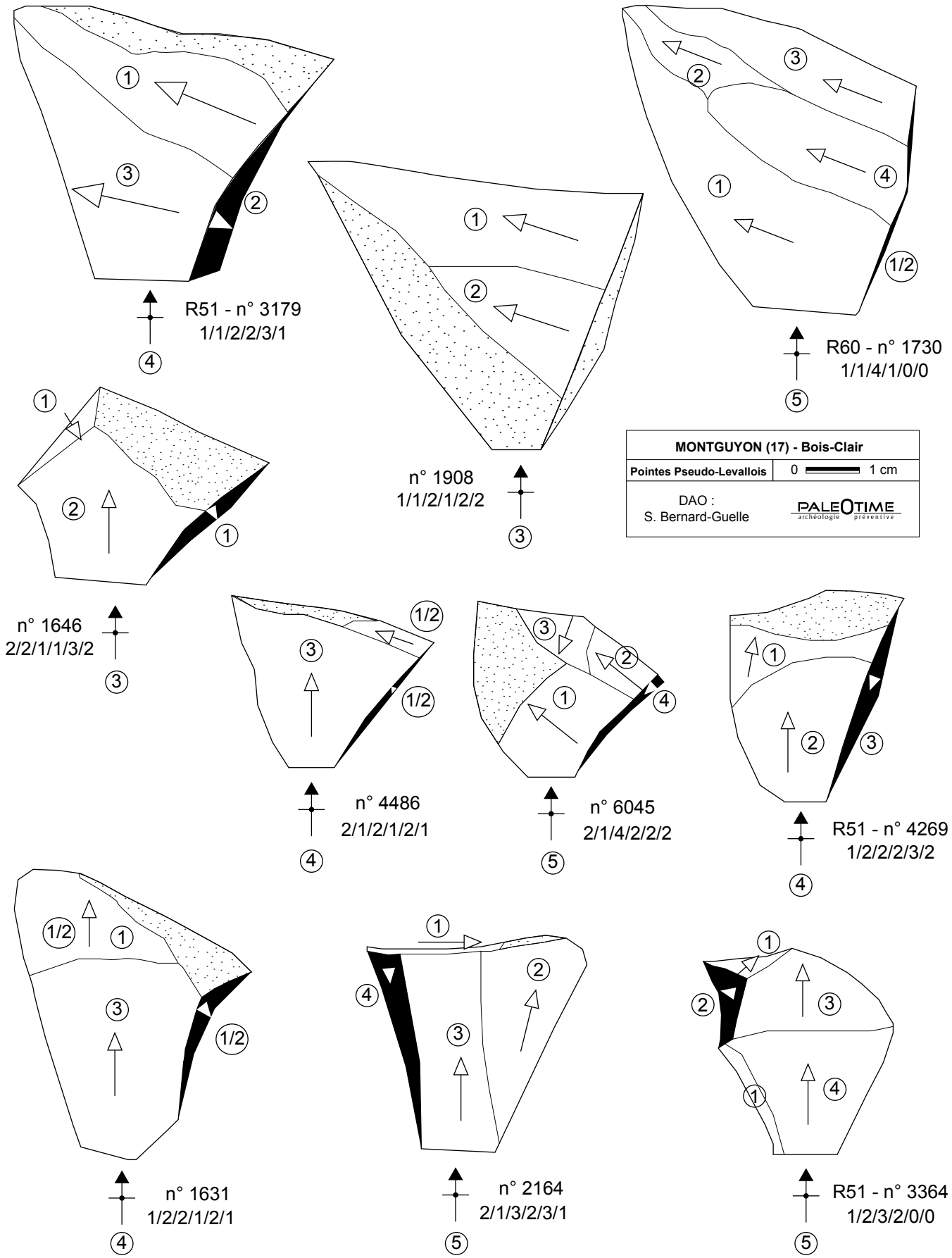


Figure 5-58 – Montguyon (17), « Bois Clair », pointes pseudo-Levallois de morpho-types 1 (unipolaire) et 2 (bipolaire) obtenues via les modalités de production discoïdes 1, 2 et 3a

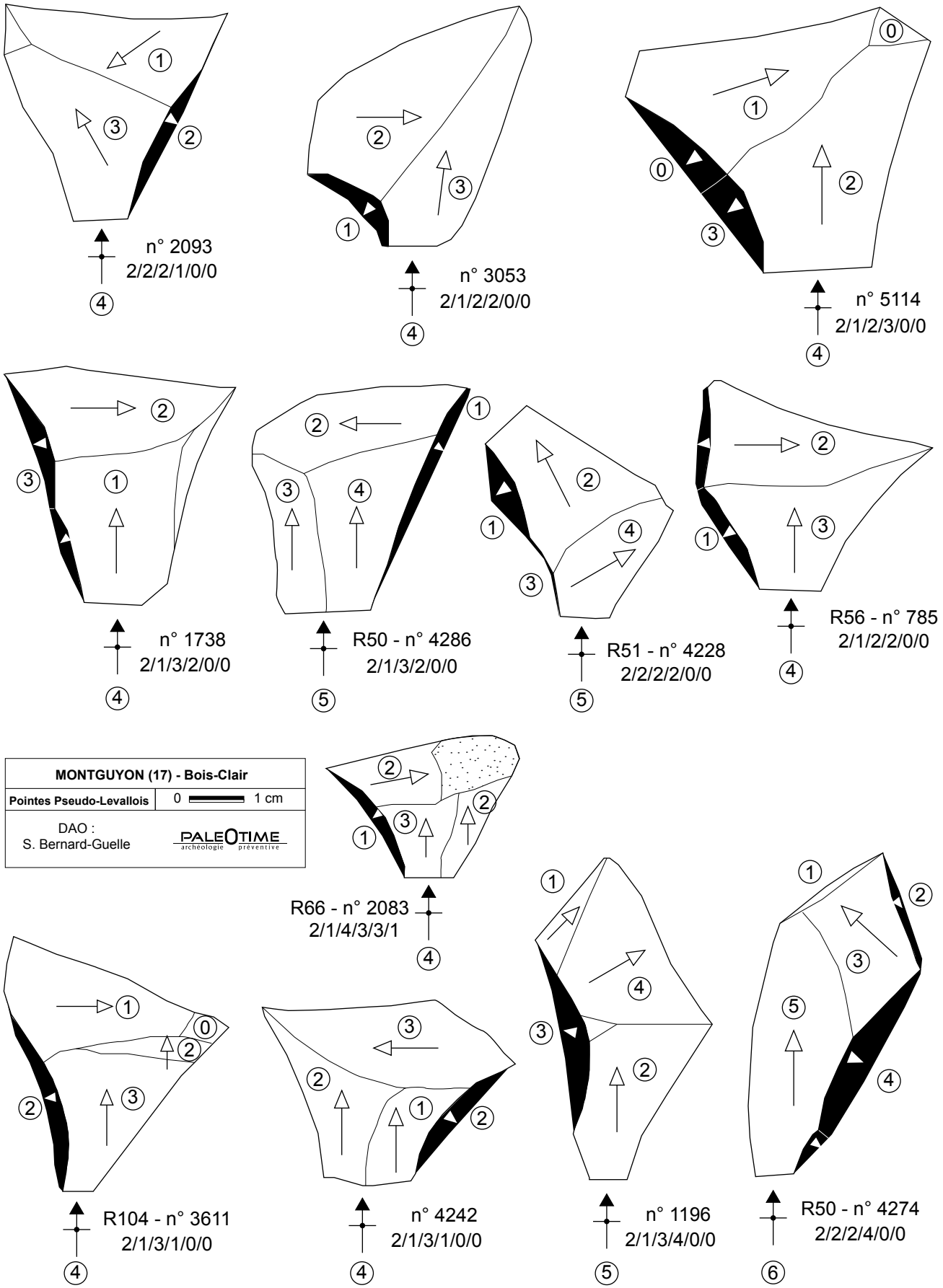


Figure 5-59 – Montguyon (17), « Bois Clair », pointes pseudo-Levallois de morpho-type 2 (bipolaire) obtenues via les modalités de production discoïdes 1, 2 et 3a

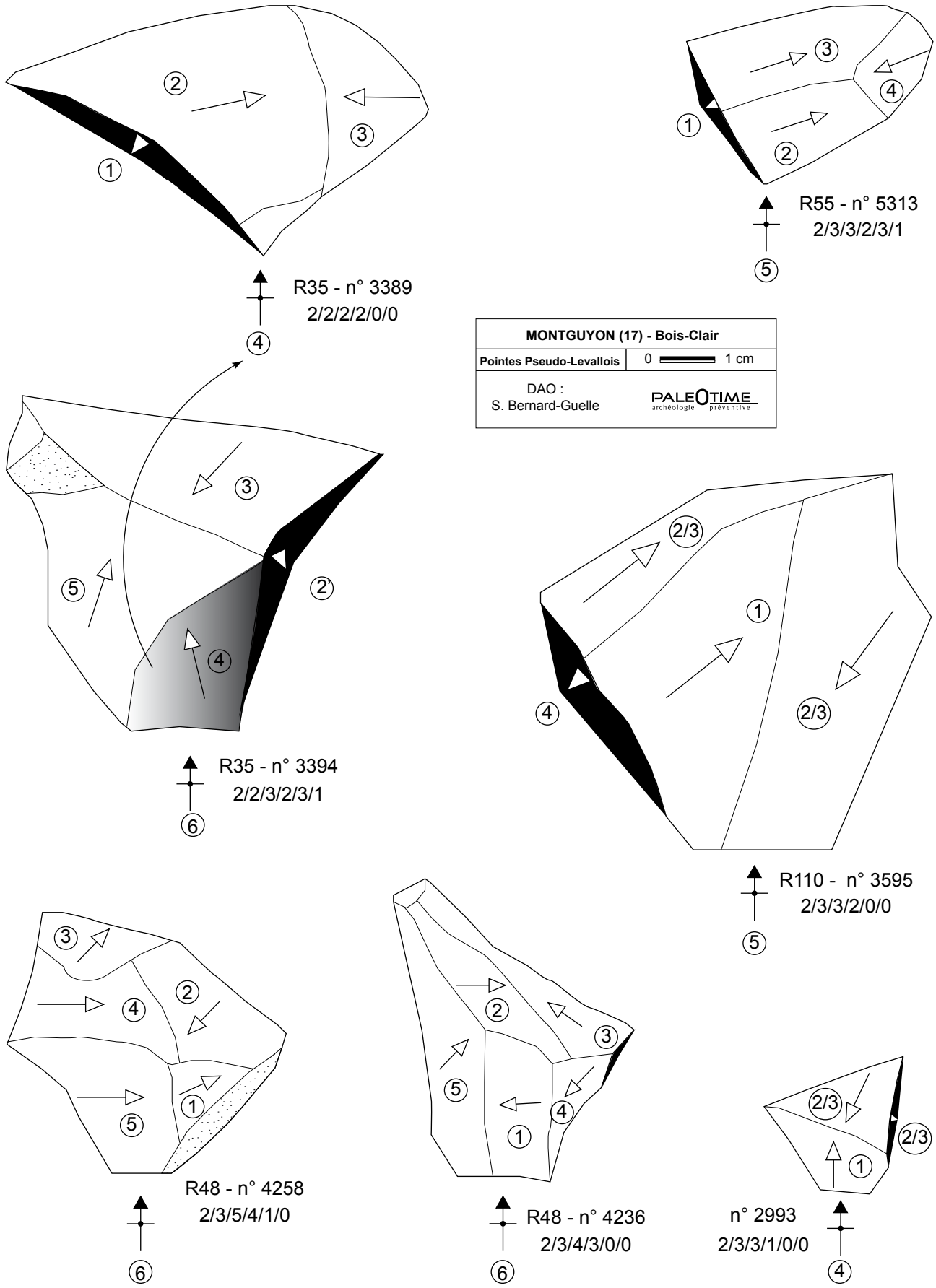
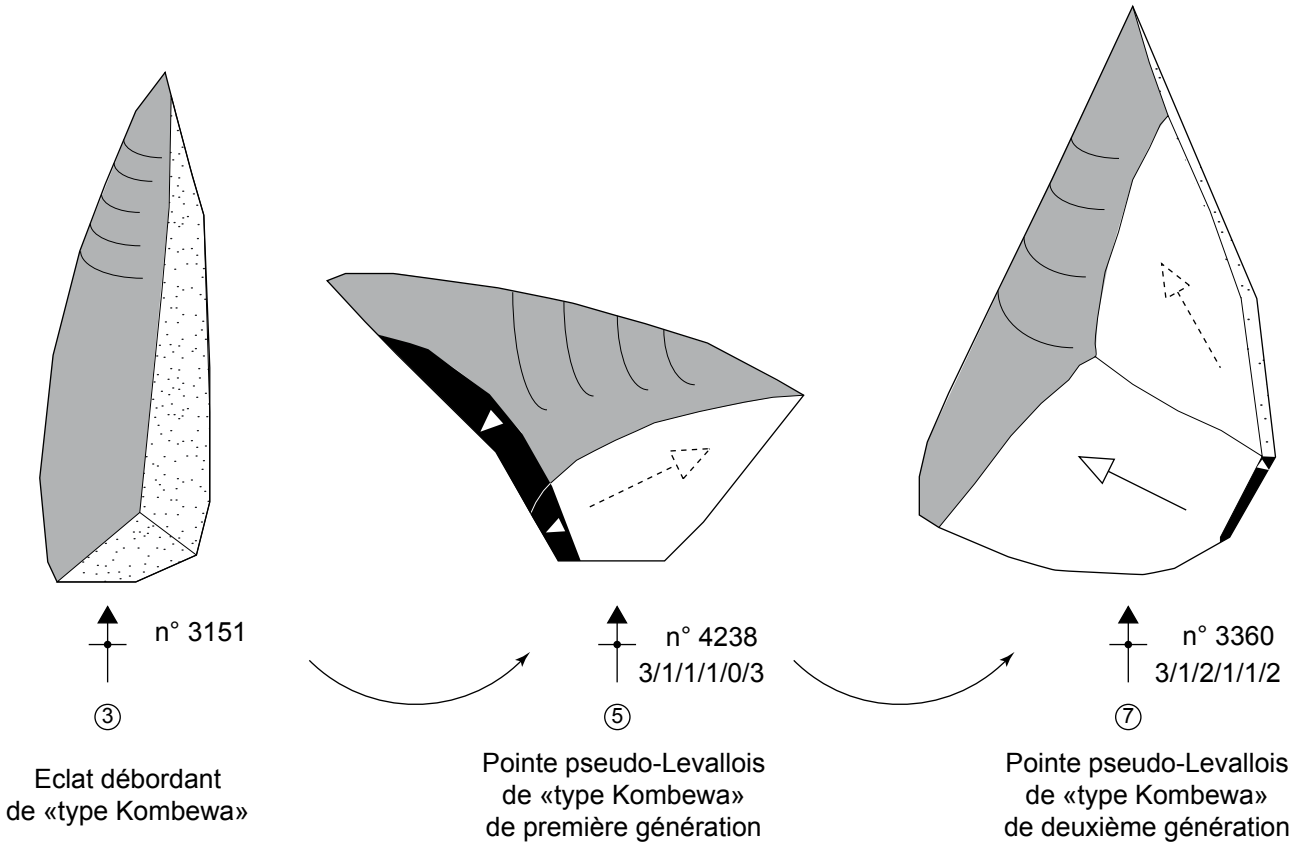


Figure 5-60 – Montguyon (17), « Bois Clair », pointes pseudo-Levallois de morpho-type 2 (bipolaire) obtenues via les modalités de production discoïdes 1 et 2



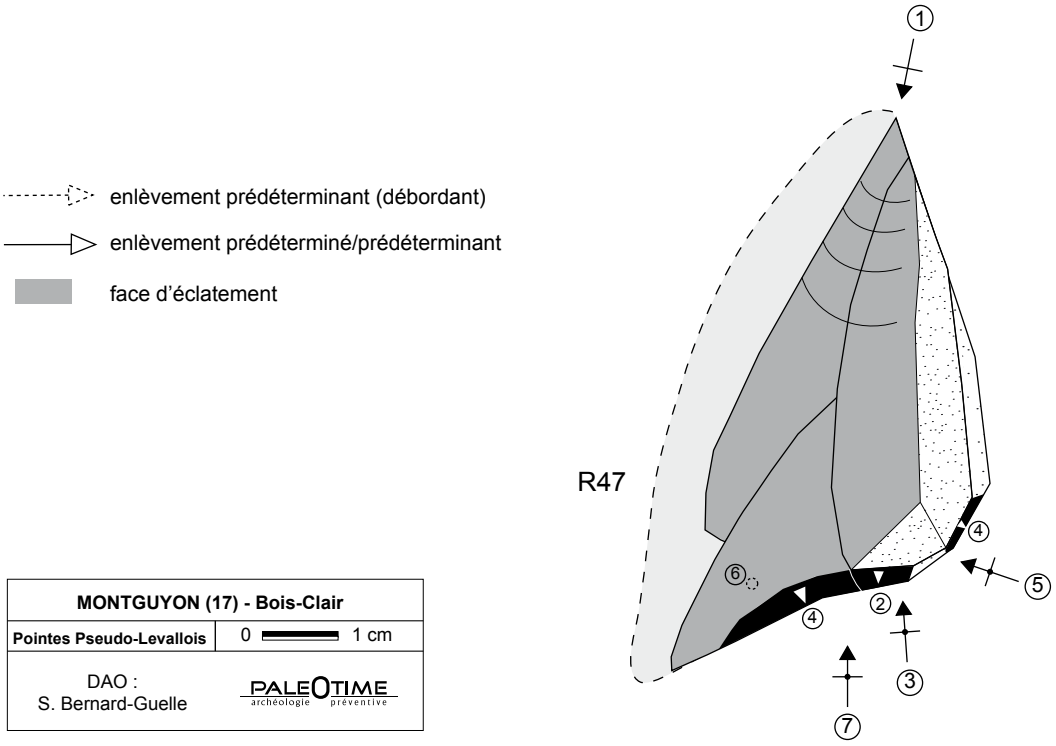


Figure 5-61 – Montguyon (17), « Bois Clair », production de pointes pseudo-Levallois : modalité 3b - débitage alternant sur surfaces adjacentes hiérarchisées à partir d'éclat-support (en grisé clair) : production récurrente décalée

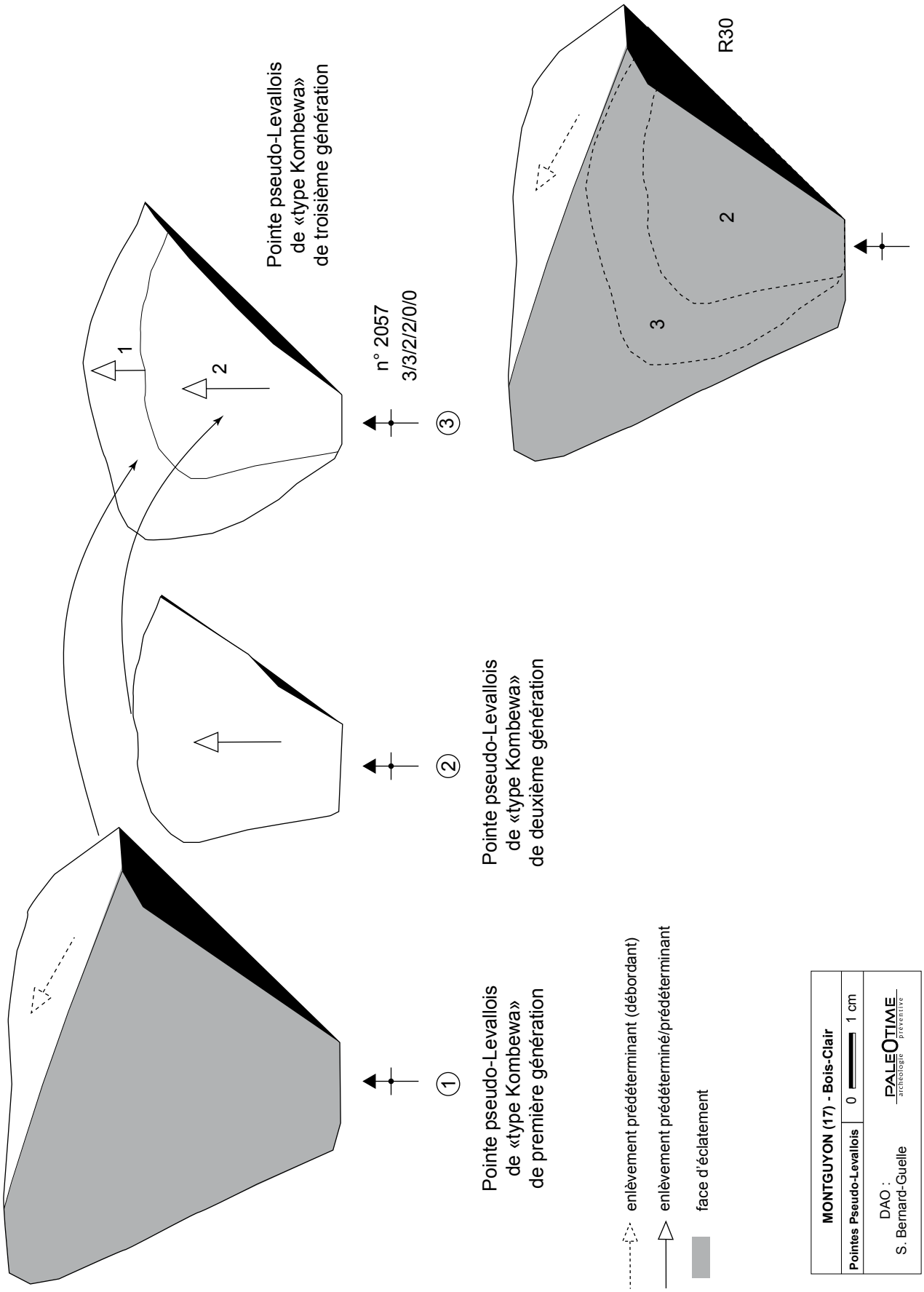


Figure 5-62 – Montguyon (17), « Bois Clair », production de pointes pseudo-Levallois : modalité 3b - débitage alternant sur surfaces adjacentes hiérarchisées à partir d'éclat-support (en grisé) - production récurrente superposée

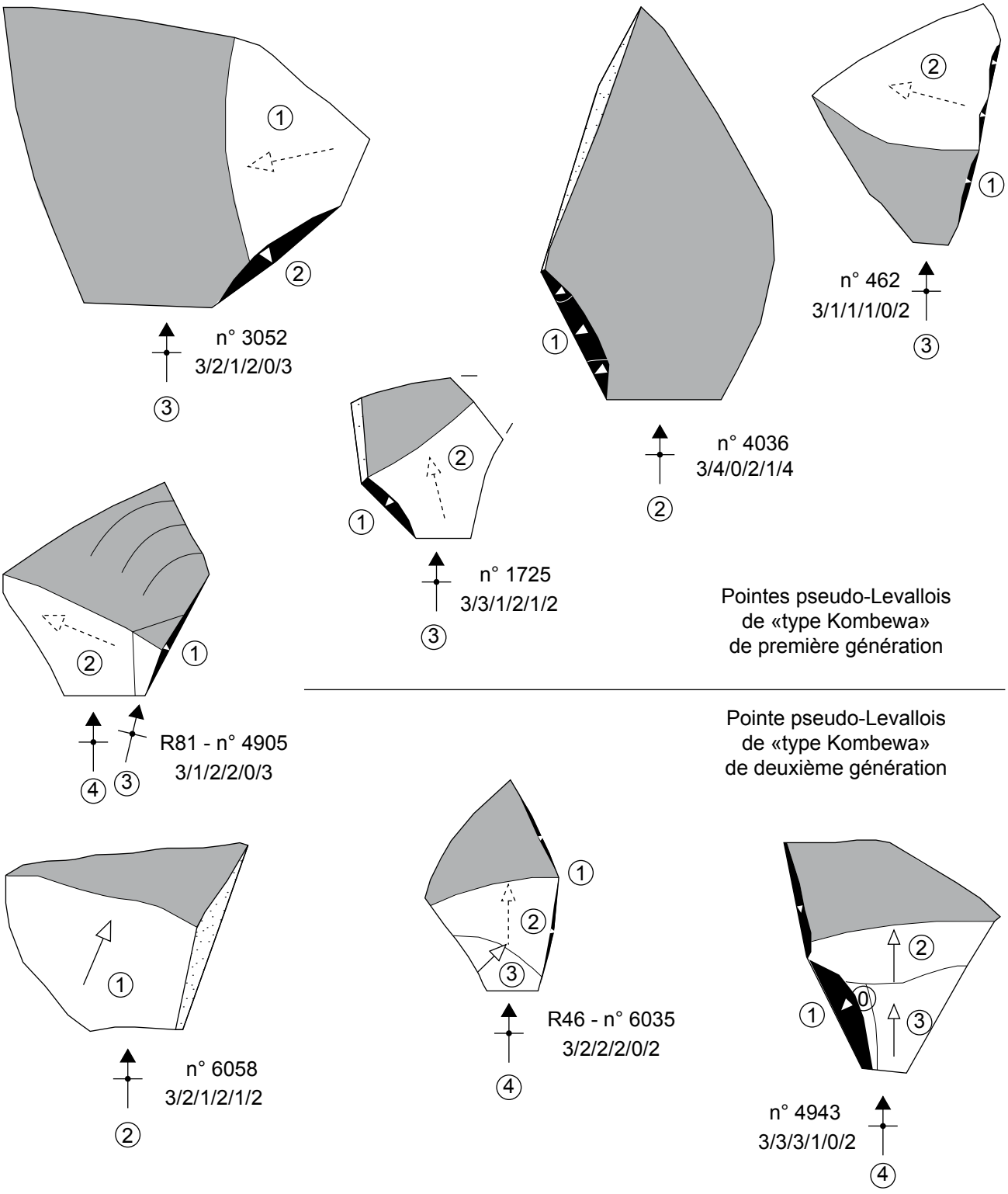


Figure 5-63 – Montguyon (17), « Bois Clair »,pointes pseudo-Levallois de morpho-type 3 (kombewa) obtenues via la modalité de production discoïdes 3b

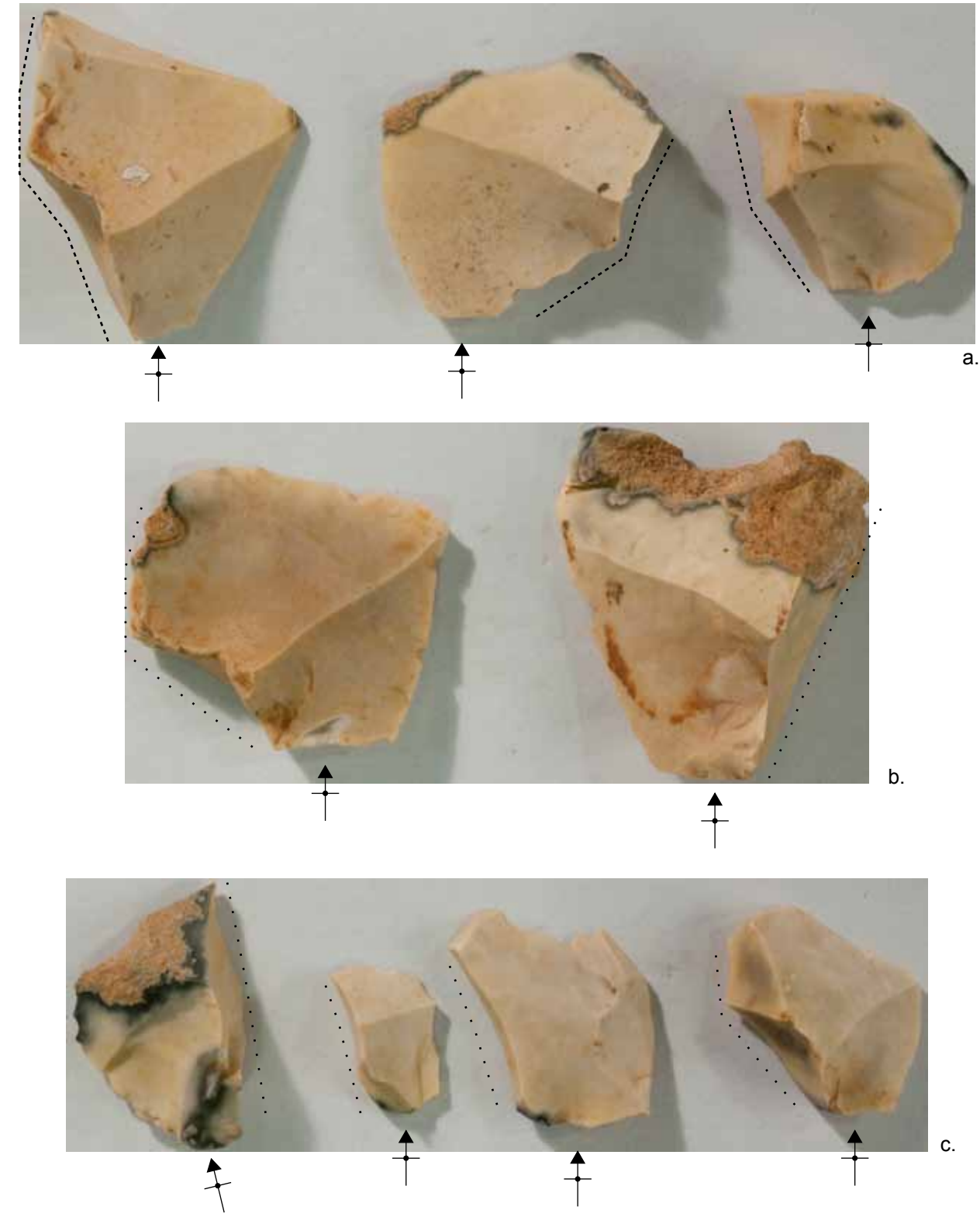


Figure 5-64 – Montguyon (17), « Bois Clair », R51 - pointes pseudo-Levallois issues du début (a.) et de la fin (c.) de l'exploitation de la première partie du bloc et du début (b.) de l'exploitation de la seconde partie du bloc - cf. aussi fig. 5-69 à 5-71

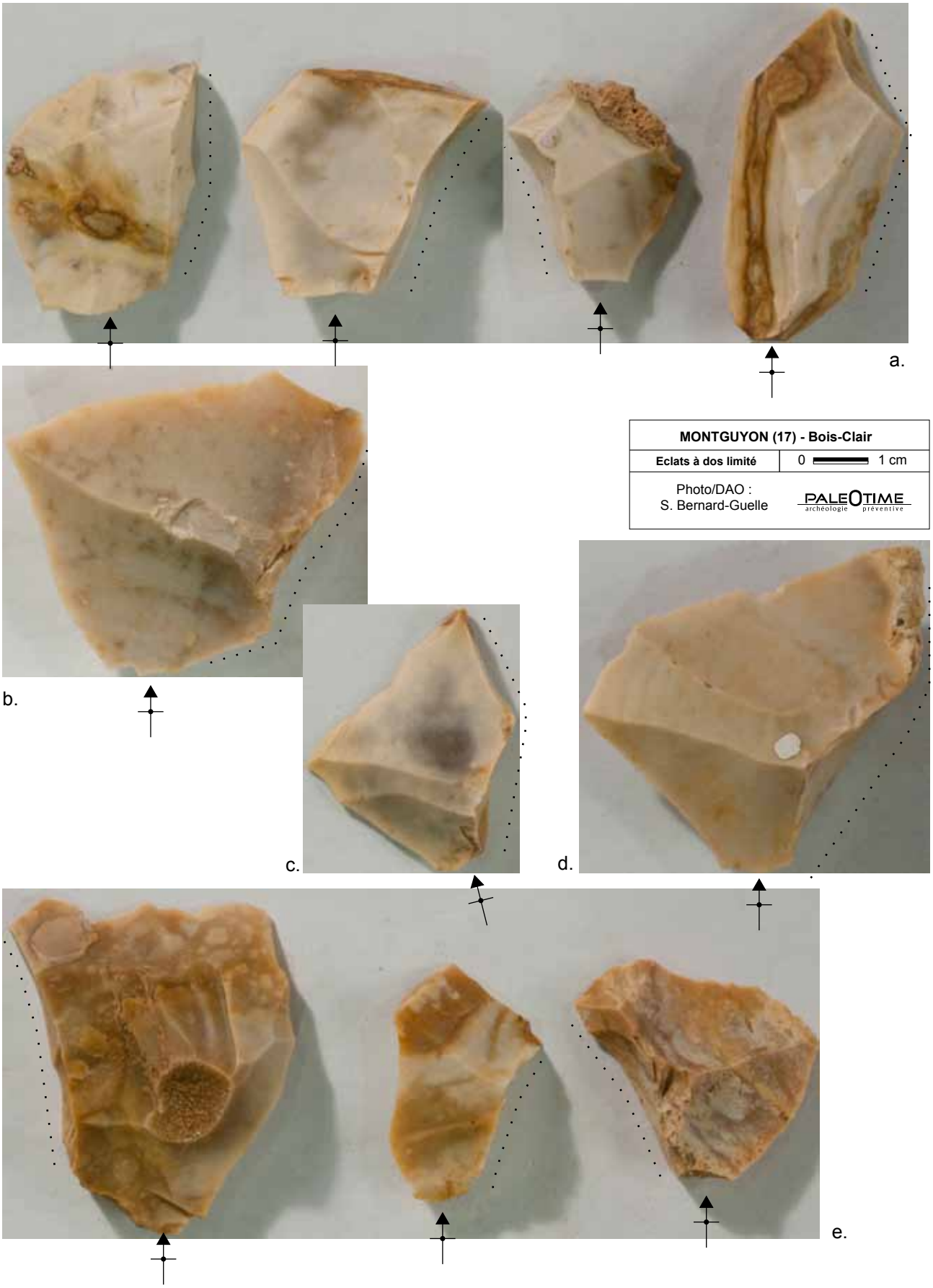


Figure 5-65 – Montguyon (17), « Bois Clair »,pointes pseudo-Levallois issues des remontages 50 (a. et fig. 5-72), 49 (c. et fig. 5-73), 33 (d.) ou isolées (b. et e.)

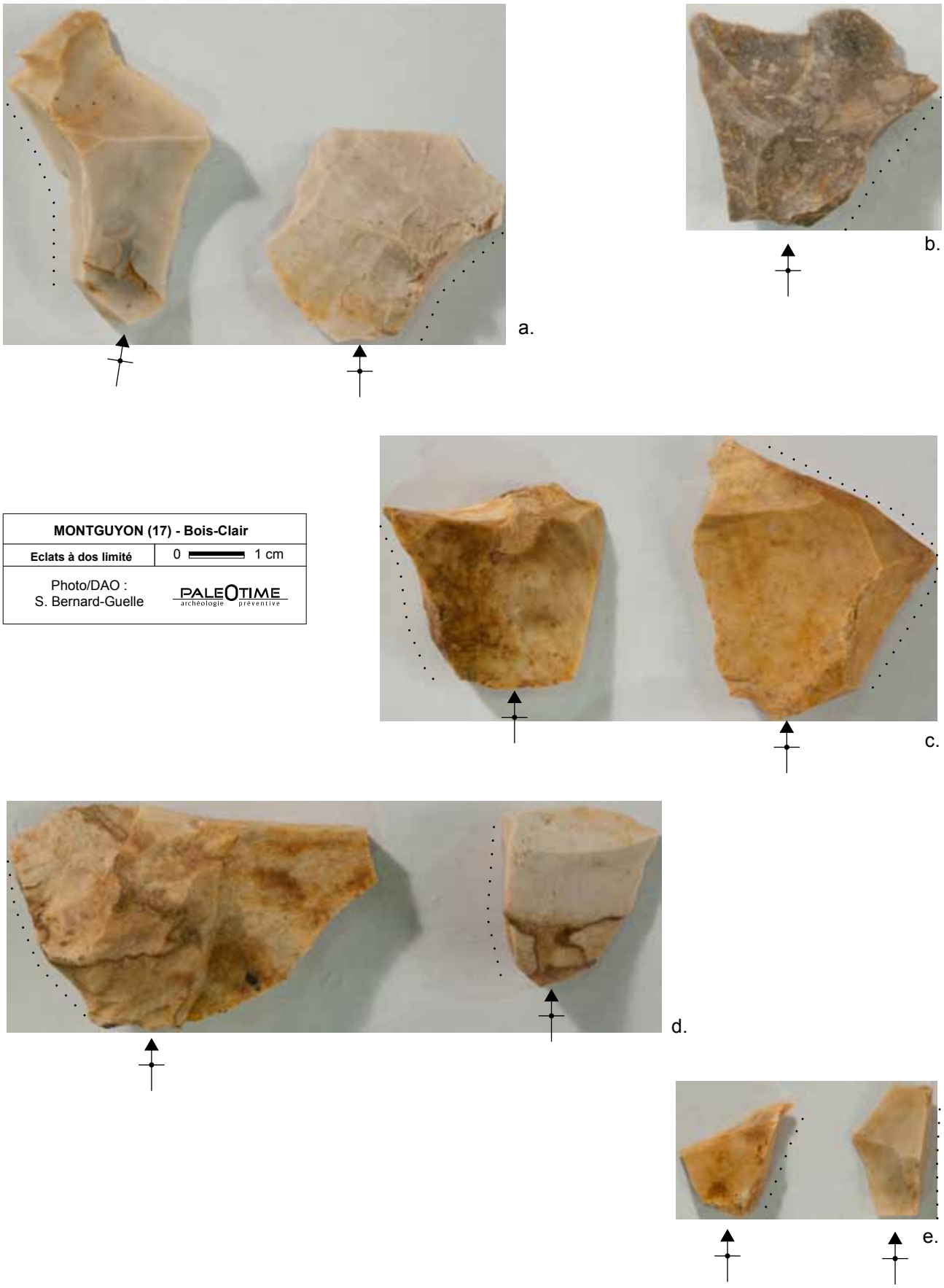


Figure 5-66 – Montguyon (17), « Bois Clair », R51 - pointes pseudo-Levallois issues du remontage 94 (d. - cf. fig. 5-81) ou isolées (a.-c. et e.)

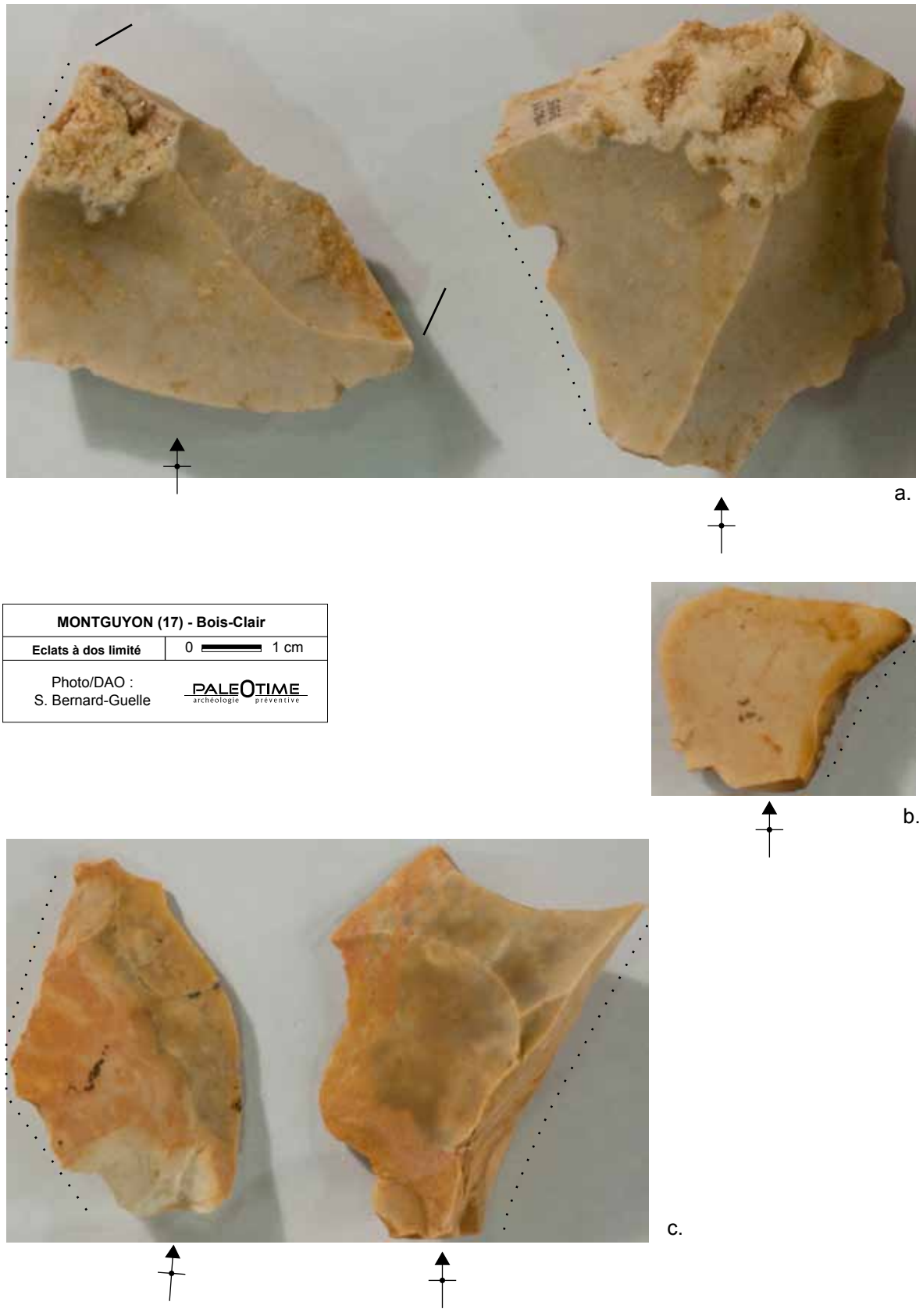


Figure 5-67 – Montguyon (17), « Bois Clair »,pointes pseudo-Levallois atypiques issues du remontage 110 (a. - cf. fig. 5-79) ou isolées (b.-c.). La pièce b. est de type « Kombewa »

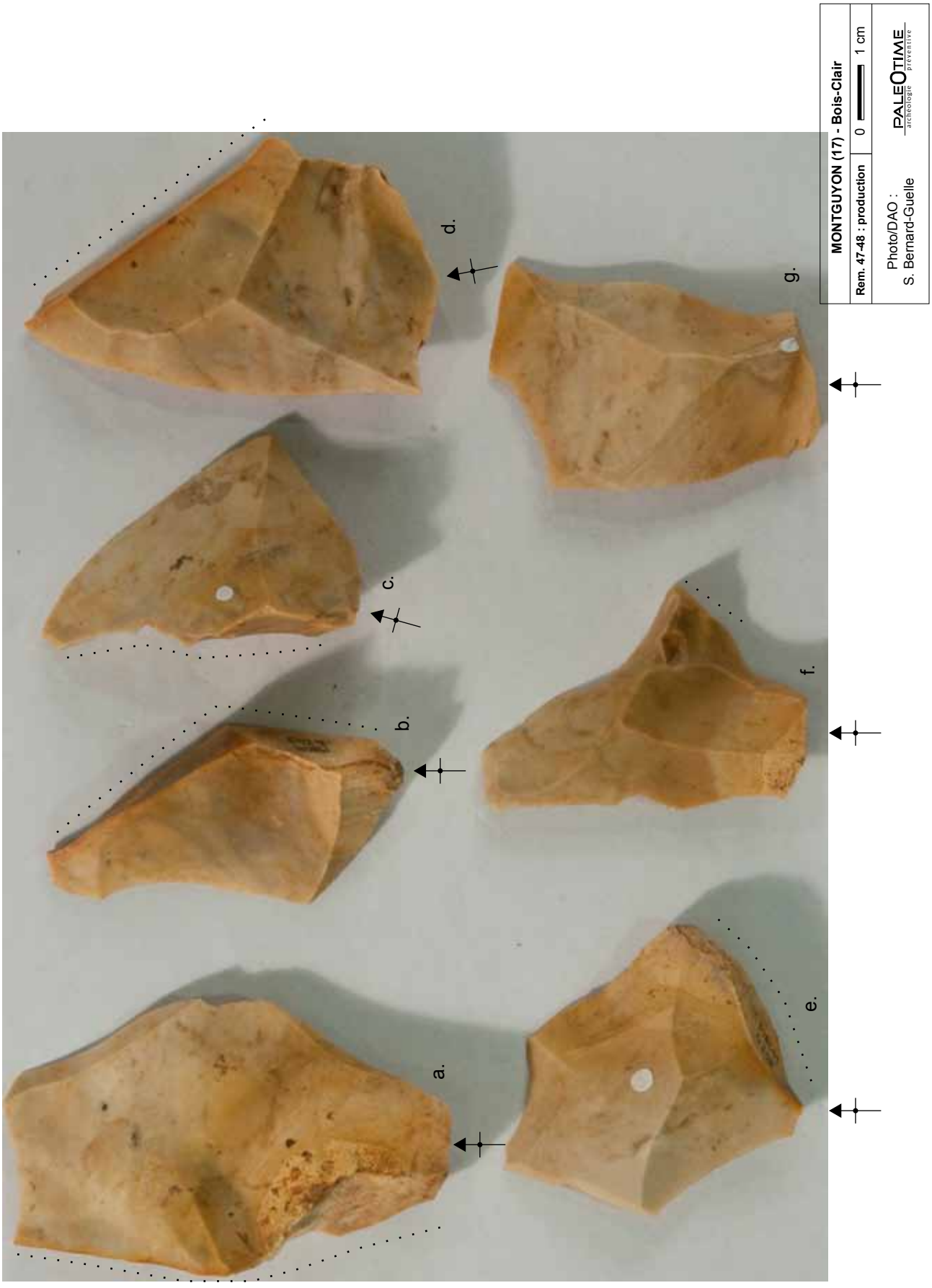


Figure 5-68 – Montguyon (17), « Bois Clair », R51 - produits à dos continu (a., b.) et limité (pointes pseudo-Levallois : c. à f.) et éclat quadrangulaire (g.) composant une partie du remontage 47-48. Les pièces c. et d. sont de type « Kombewa » (R47) - cf. aussi fig. 5-74 à 5-76

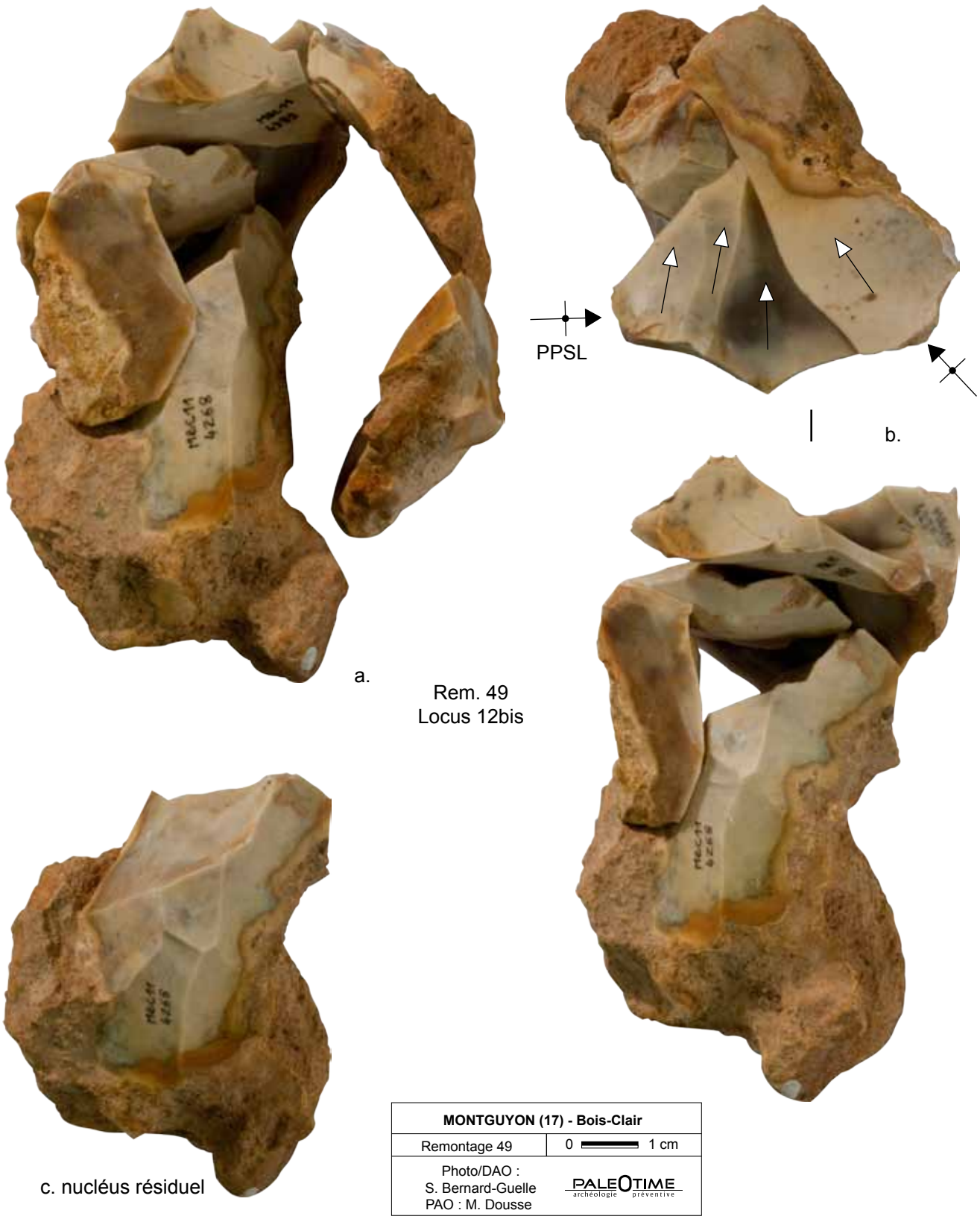


Figure 5-73 – Montguyon (17), « Bois Clair », sélection d'un petit rognon irrégulier d'environ 11 x 8 x 7 cm (a.) exploité par débitage alternant sur surfaces adjacentes dans l'objectif de produire des pointes pseudo-Levallois (b.). Un seul de ces produits a été ici remonté

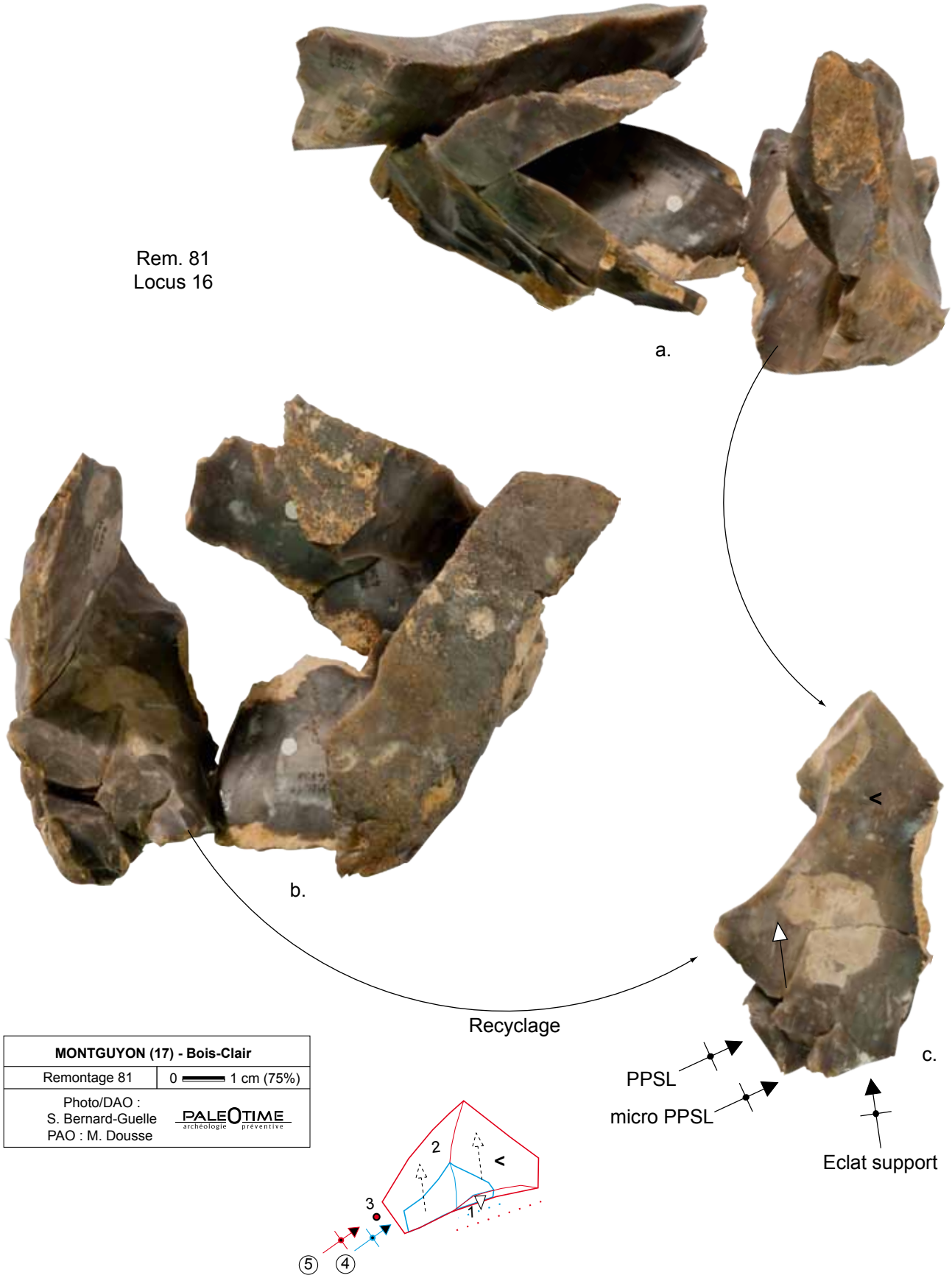


Figure 5-77 – Montguyon (17), « Bois Clair », petit bloc exploité par débitage alternant sur surfaces adjacentes (a. - b. = pointes non remontées). Au moins un éclat issu des premières phases d'exploitation est recyclé en nucléus aux objectifs identiques (c.)

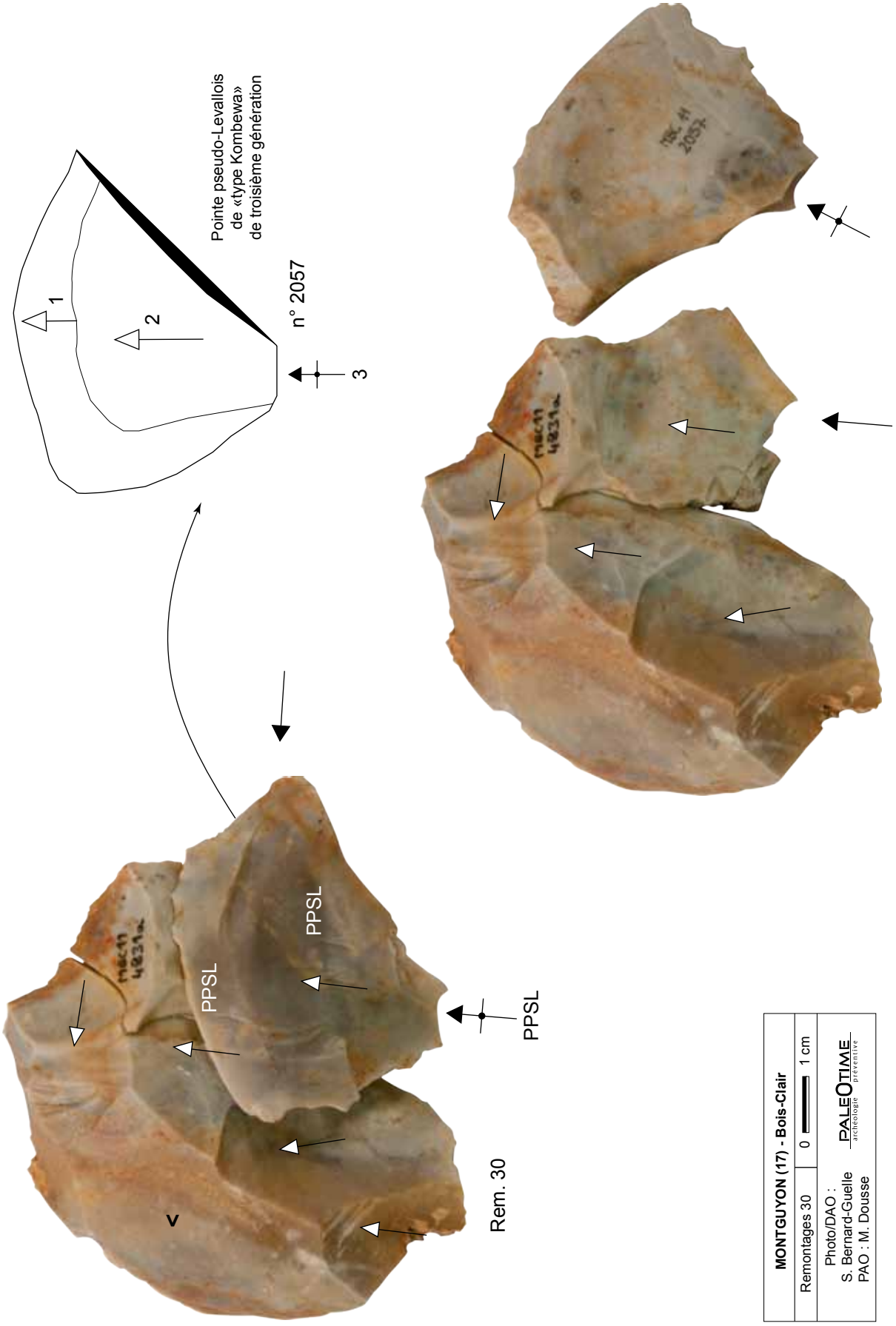


Figure 5-78 – Montguyon (17), « Bois Clair », nucléus sur éclat : production récurrente superposée de pointes pseudo-Levallois (modalité 3b)

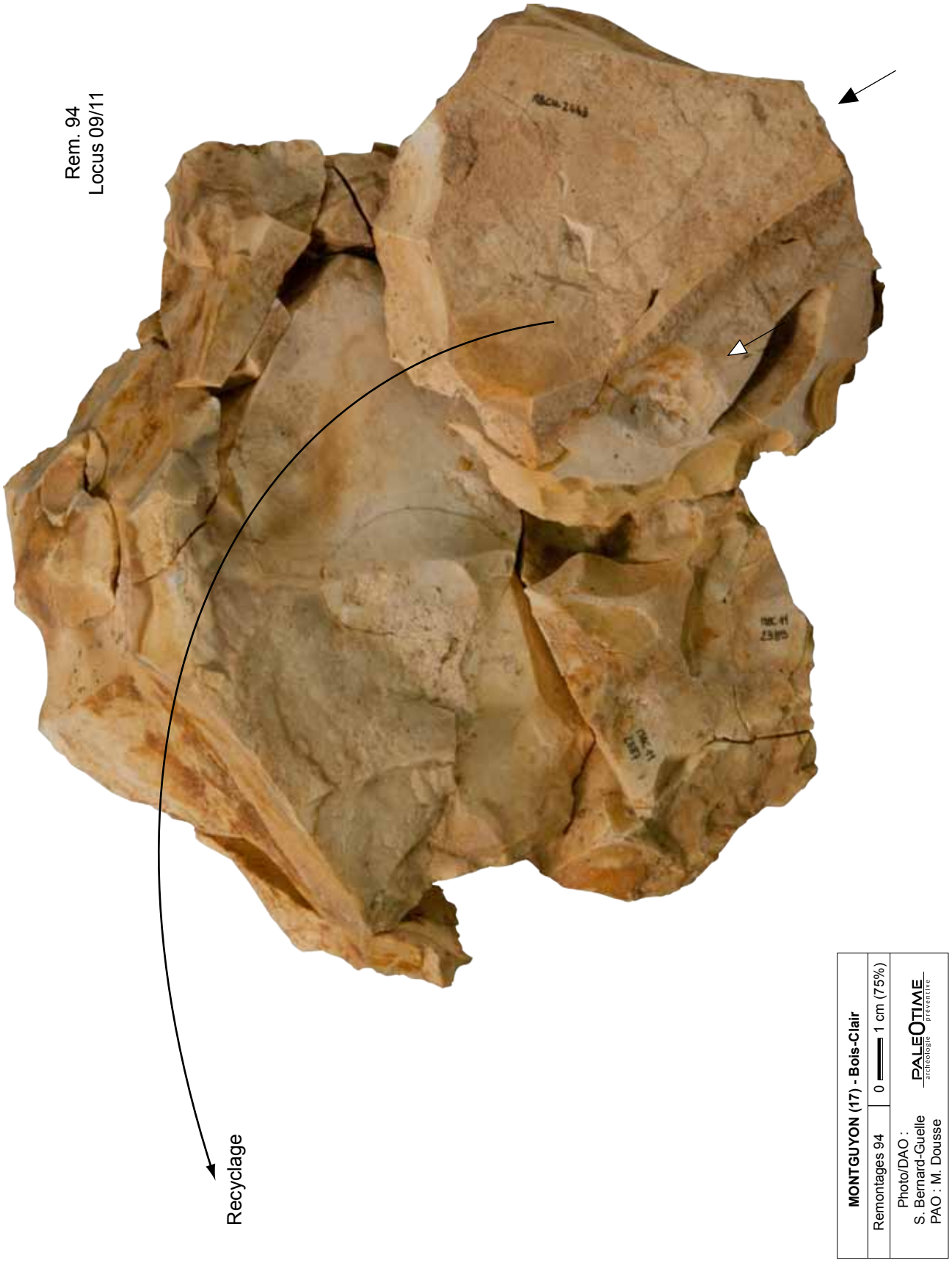


Figure 5-80 – Montguyon (17), « Bois Clair », Bloc-plaquette d'environ 22 x 21 x 7 cm et de qualité moyenne - phase d'exploitation 1 : ouverture d'un plan de frappe dans l'épaisseur du bloc puis débitage unipolaire de gros éclats corticaux dont un au moins est recyclé en nucléus peu exploité

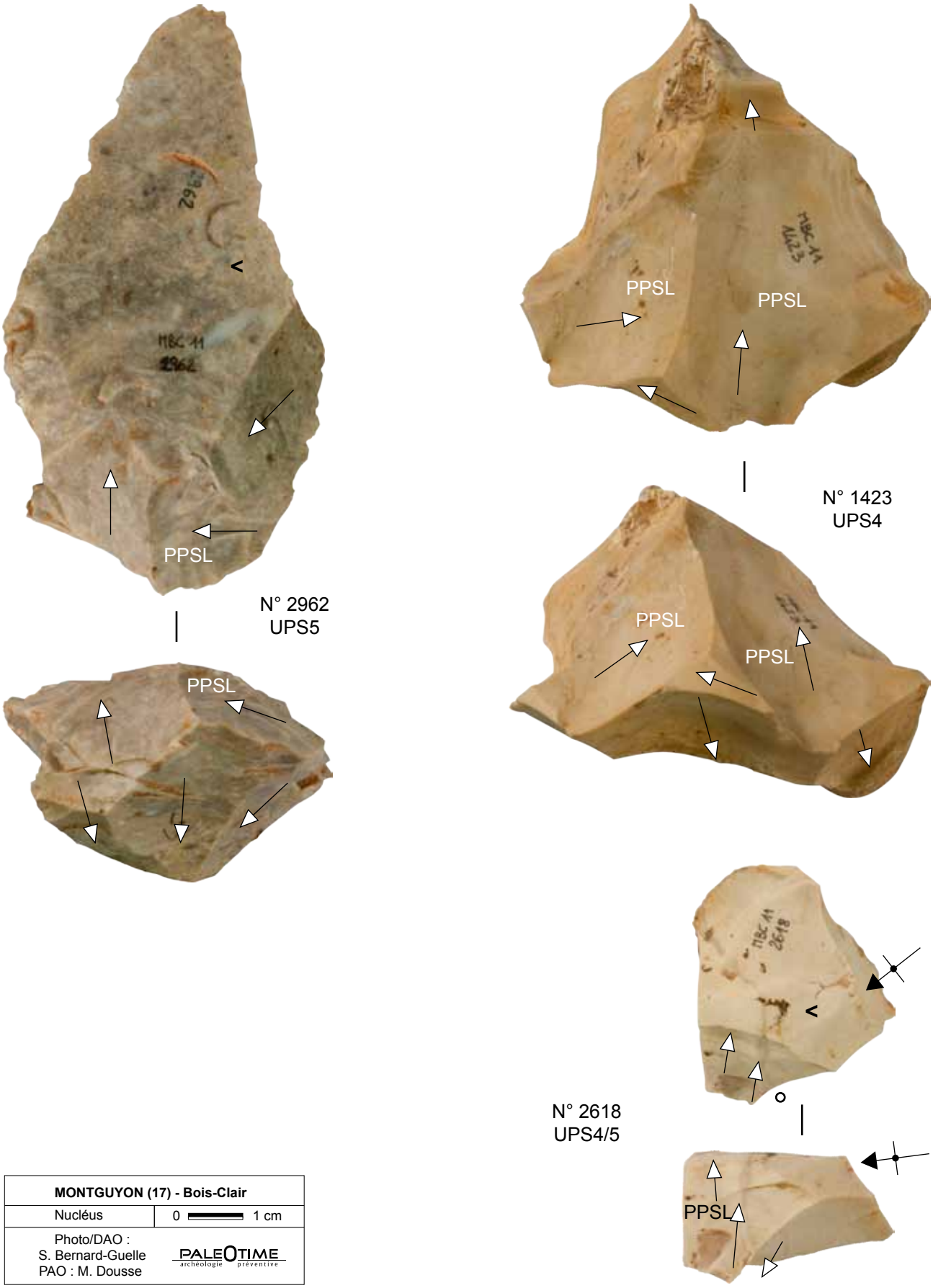


Figure 5-82 – Montguyon (17), « Bois Clair », n° 2962 et 2618 : nucléus à pointes pseudo-Levallois sur face inférieure d'éclat (modalité kombewa) et n° 1423 sur bloc

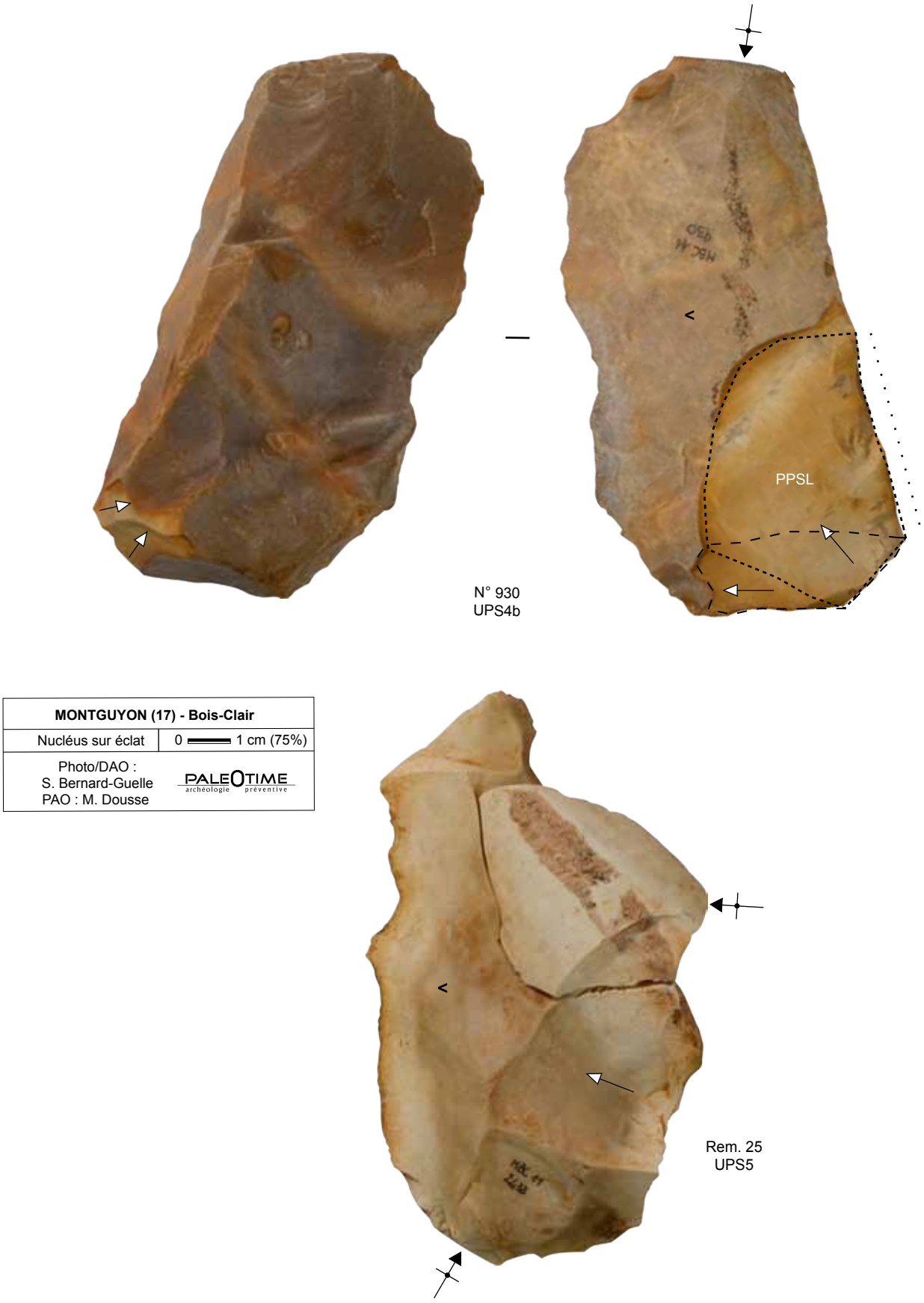


Figure 5-83 – Montguyon (17), « Bois Clair », n° 930 : nucléus à pointes pseudo-Levallois sur face inférieure d'éclat (modalité 3b) ; R25 : débitage de type « Kombewa »

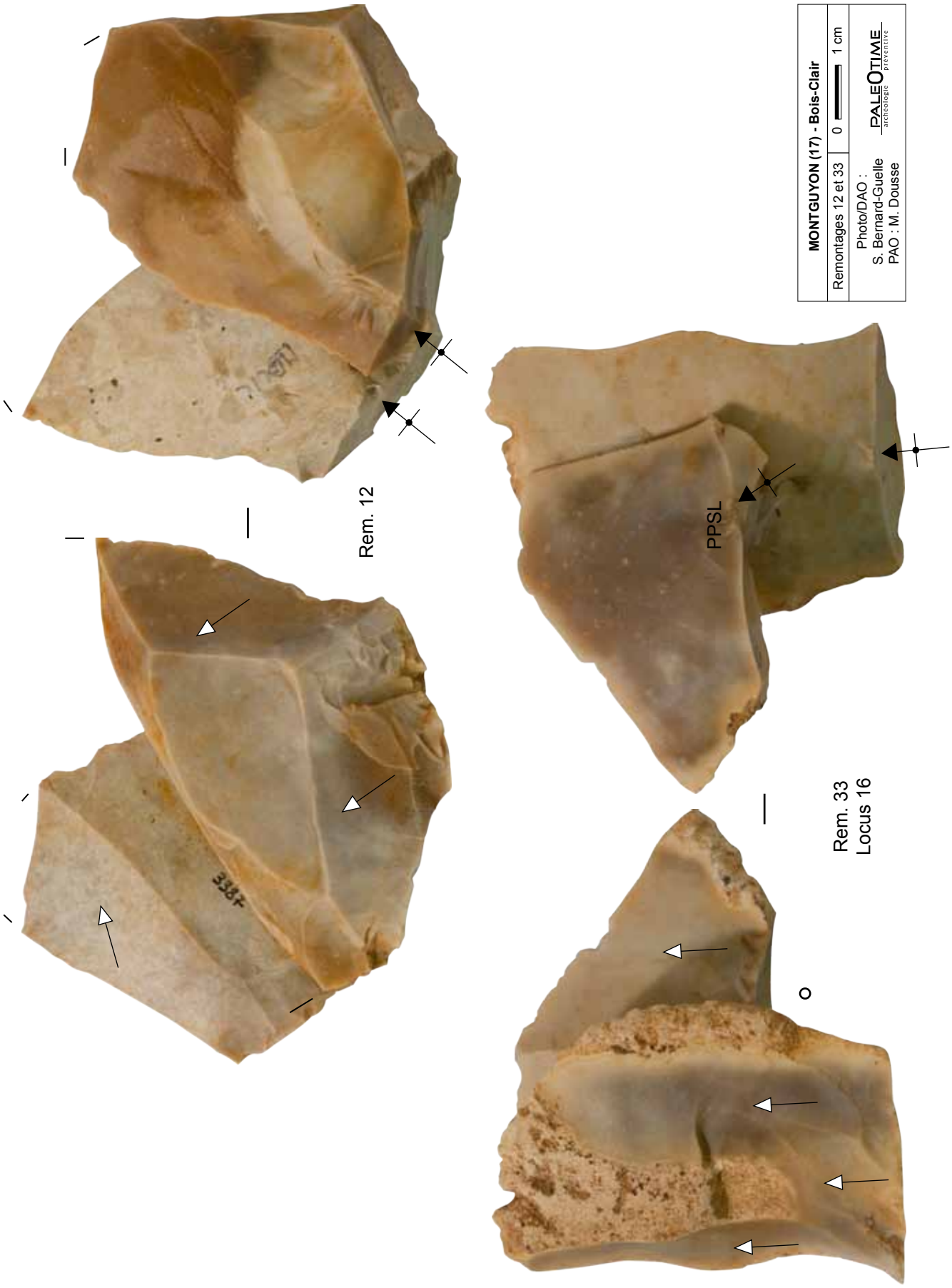


Figure 5-84 – Montguyon (17), « Bois Clair », exemples de débitage de pointes pseudo-Levallois et de patines polarisées

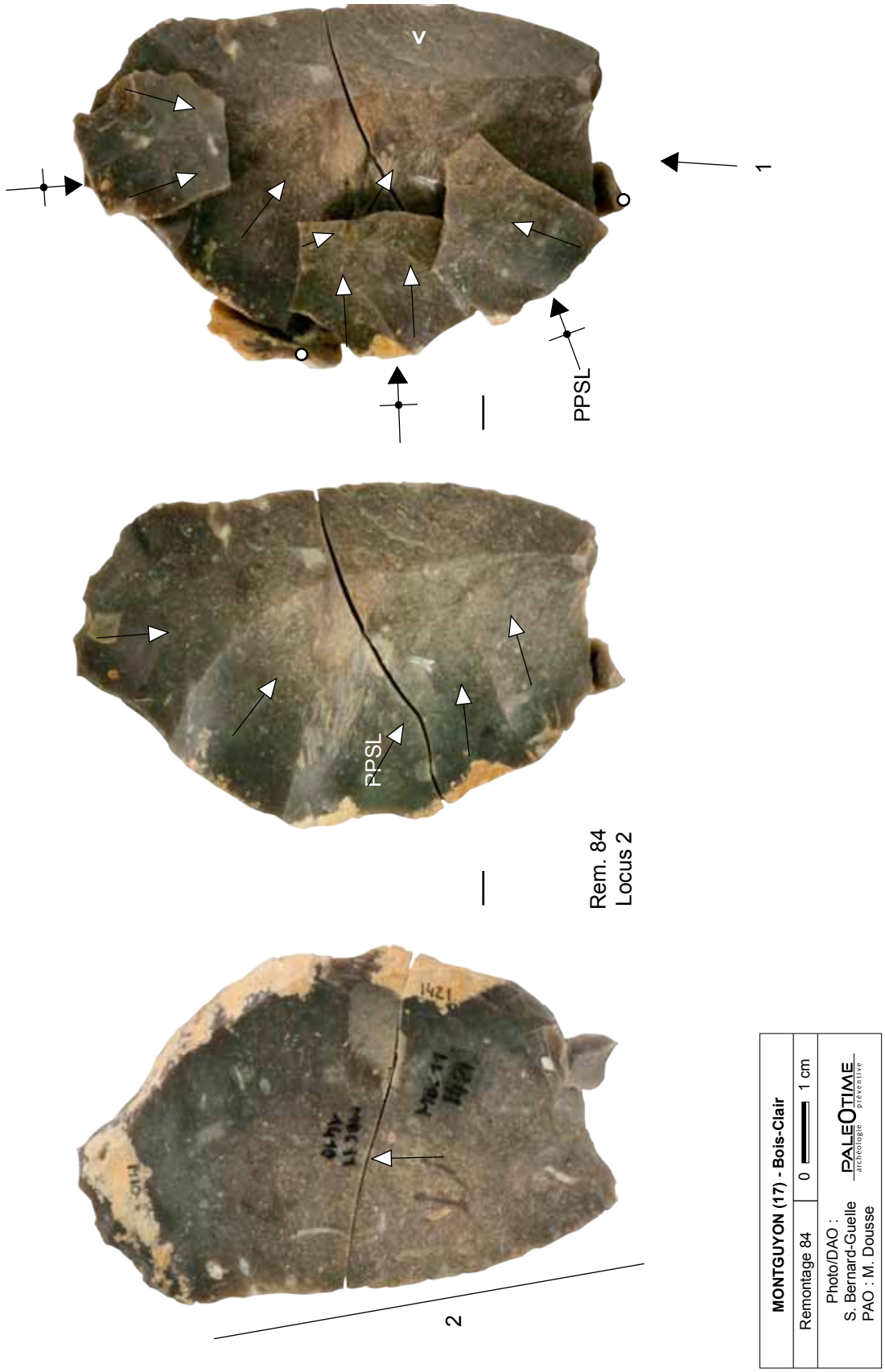


Figure 5-85 – Montguyon (17), « Bois Clair », Éclat à dos cortical outrepassé (1) retouché en racloir (2) puis débité sur sa face inférieure avec production de plusieurs éclats à dos limité

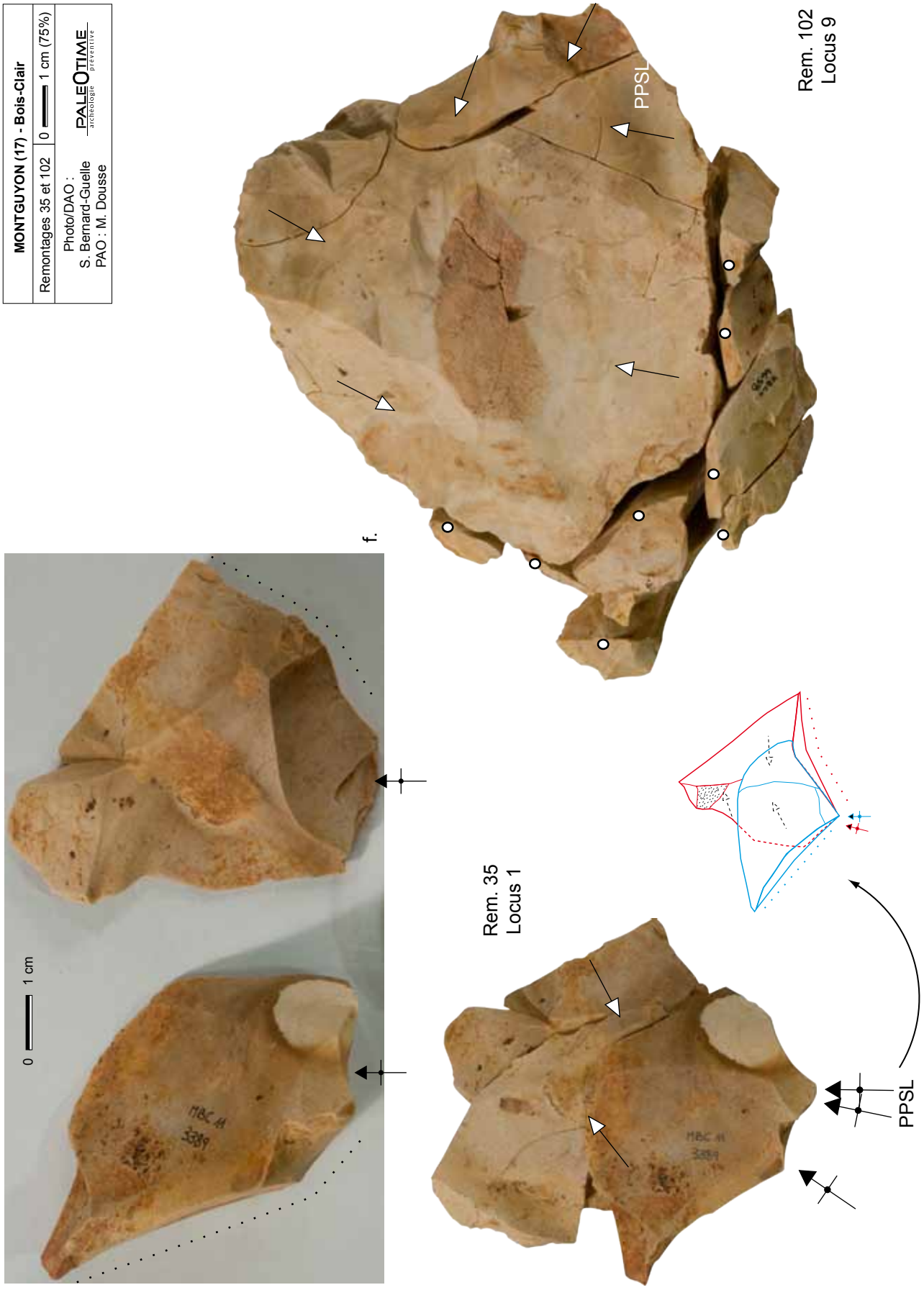


Figure 5-86 – Montguyon (17), « Bois Clair », R35 et 102 : débitage de type discoïde

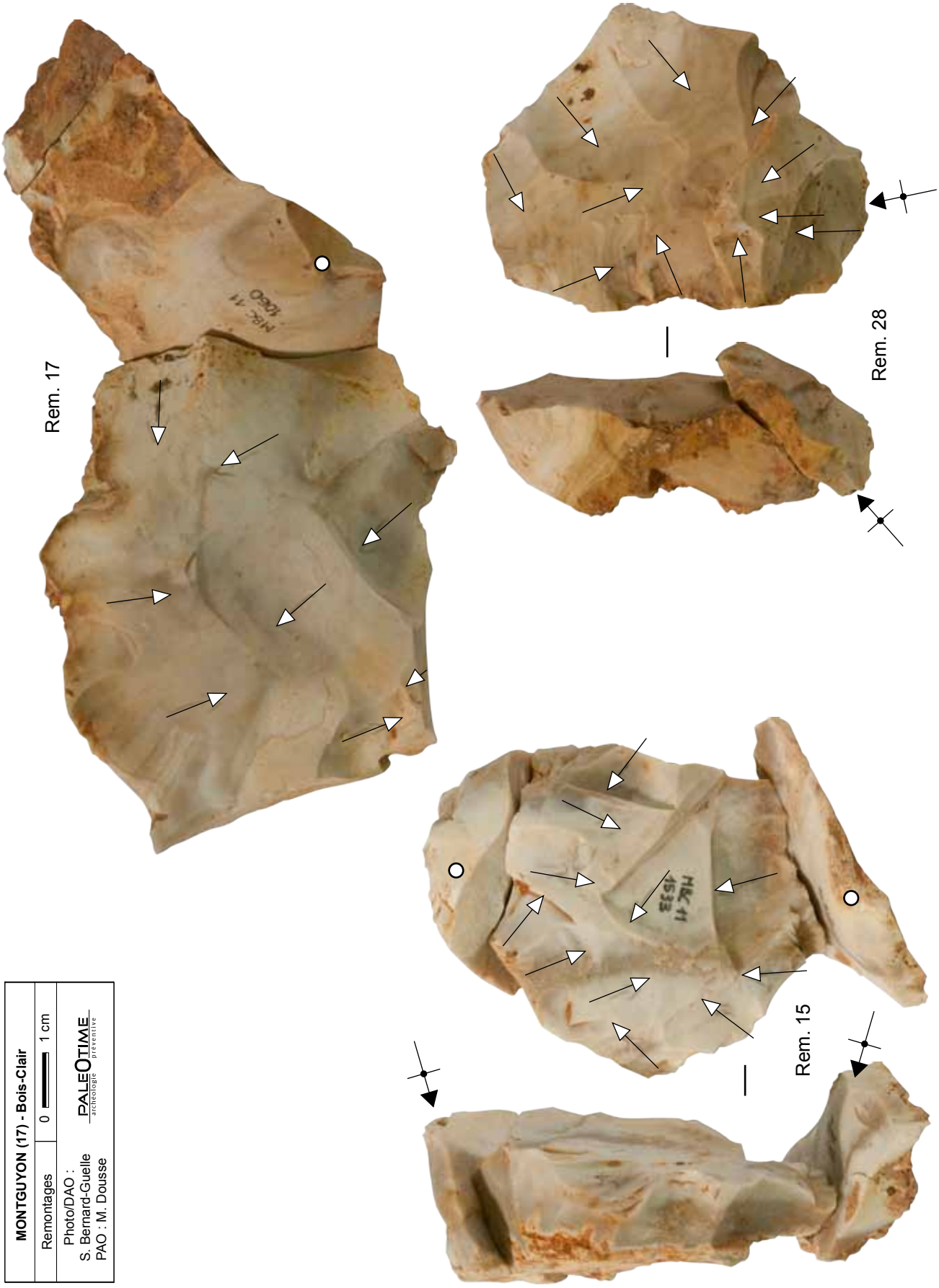
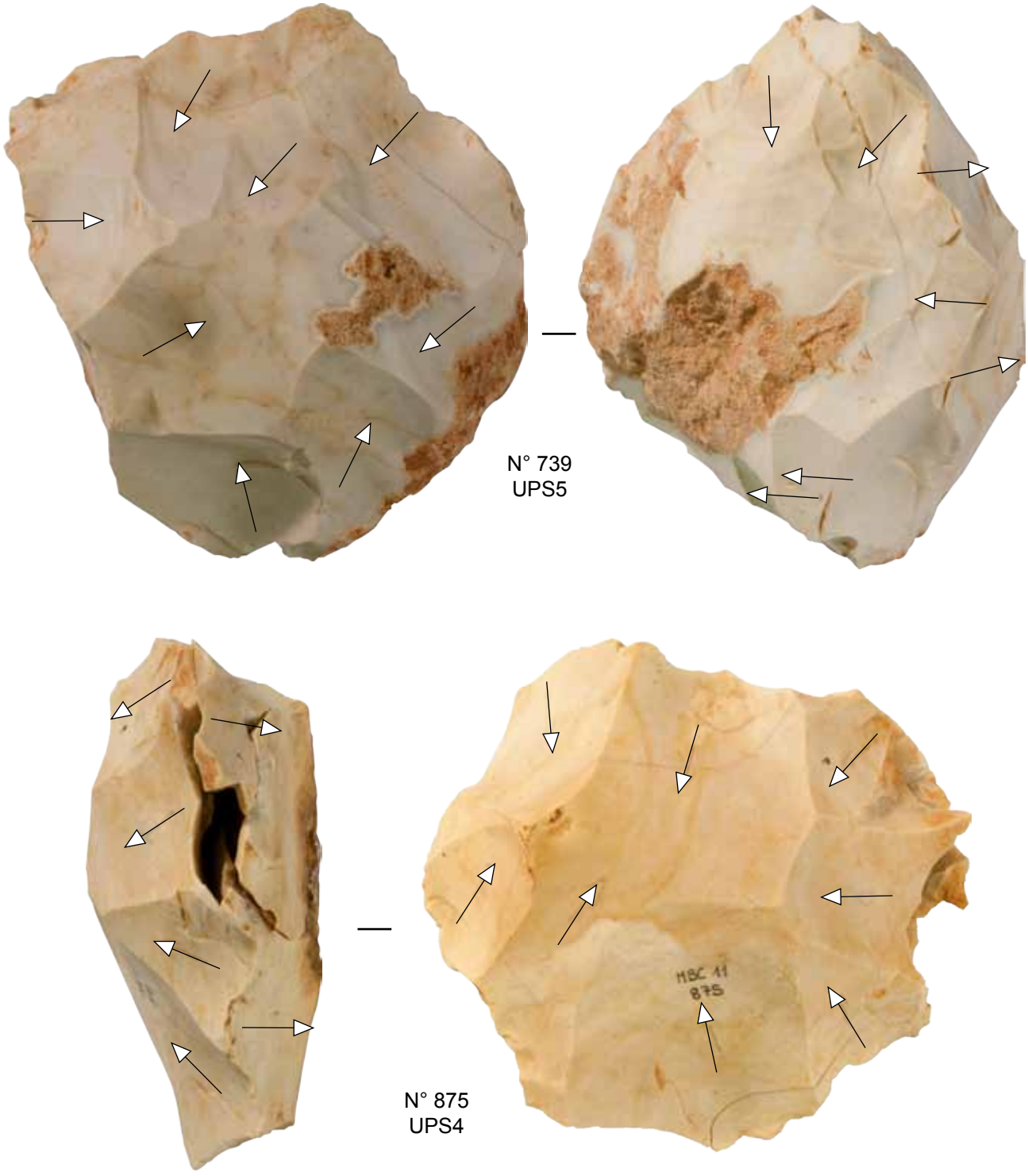


Figure 5-87 – Montguyon (17), « Bois Clair », débitage discoïde unifacial



MONTGUYON (17) - Bois-Clair	
Nucléus discoïdes	0 1 cm
Photo/DAO : S. Bernard-Guelle PAO : M. Dousse	PALEOTIME archéologie préventive

Figure 5-88 – Montguyon (17), « Bois Clair », nucléus discoïdes bifaciaux



Figure 5-89 – Montguyon (17), « Bois Clair », deux nucléus appartenant probablement au même bloc d'origine : le remontage 91 illustre un débitage peu élaboré et opportuniste (adapté à la piètre qualité et aux plans de fractures du bloc) ; le remontage 92 illustre un débitage de type discoïde bifacial

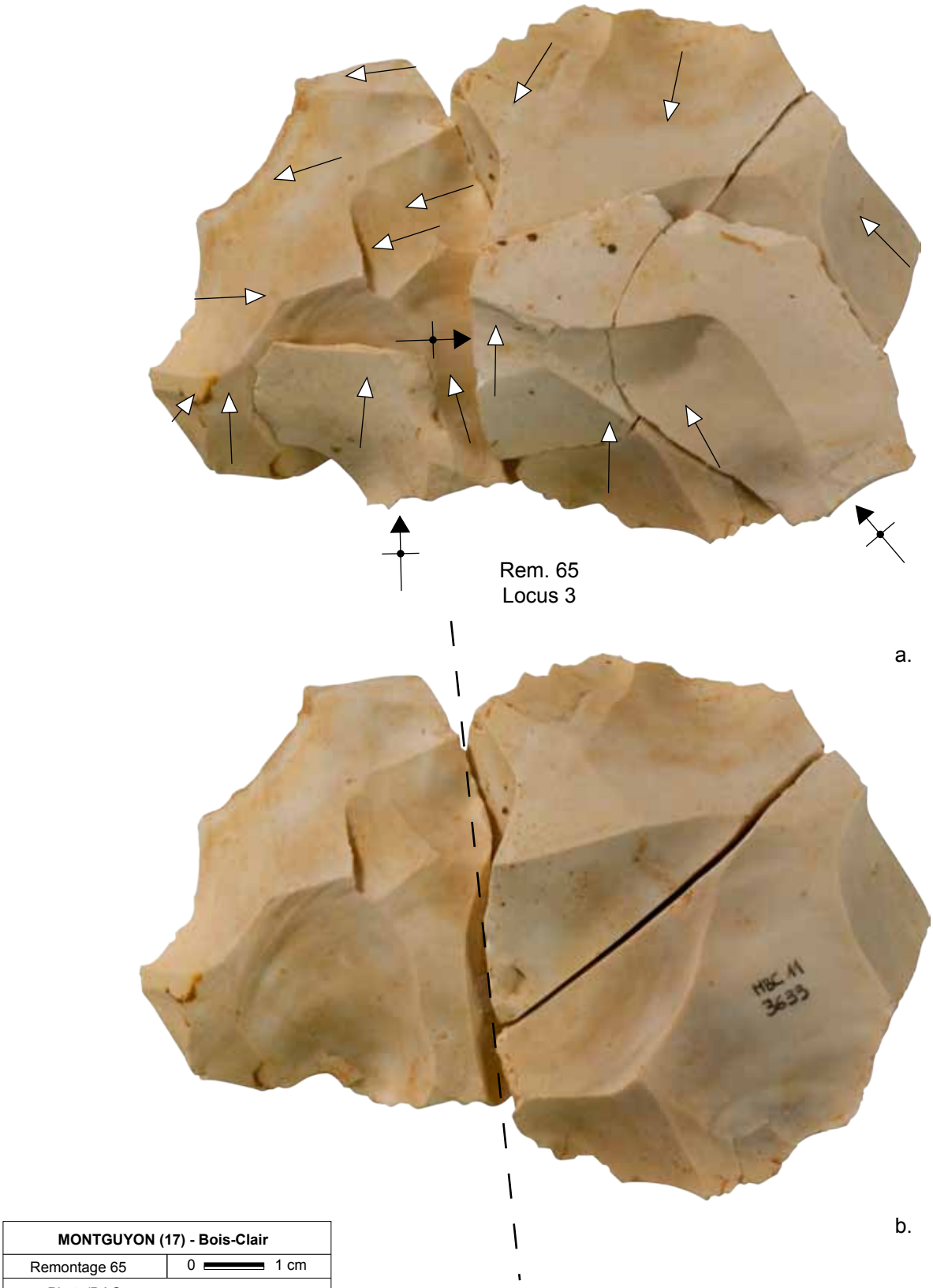


Figure 5-90 – Montguyon (17), « Bois Clair », débitage discoïde unifacial - nucléus exploité puis fracturé, les deux fragments seront de nouveau débités de manière identique (les remontages illustrent cette seconde phase de production)

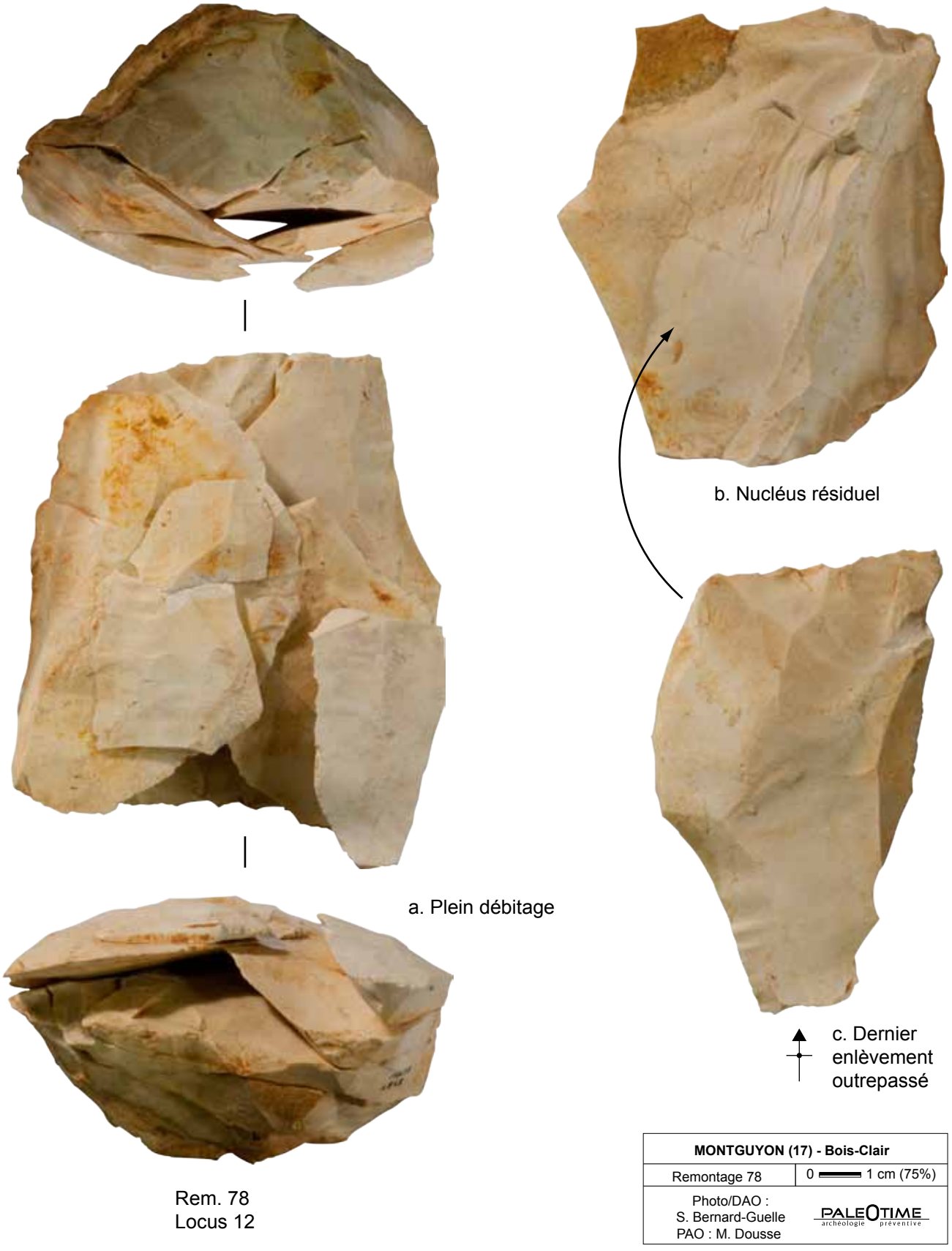


Figure 5-93 – Montguyon (17), « Bois Clair », débitage Levallois récurrent bipolaire



Figure 5-94 – Montguyon (17), « Bois Clair », débitage Levallois récurrent bipolaire

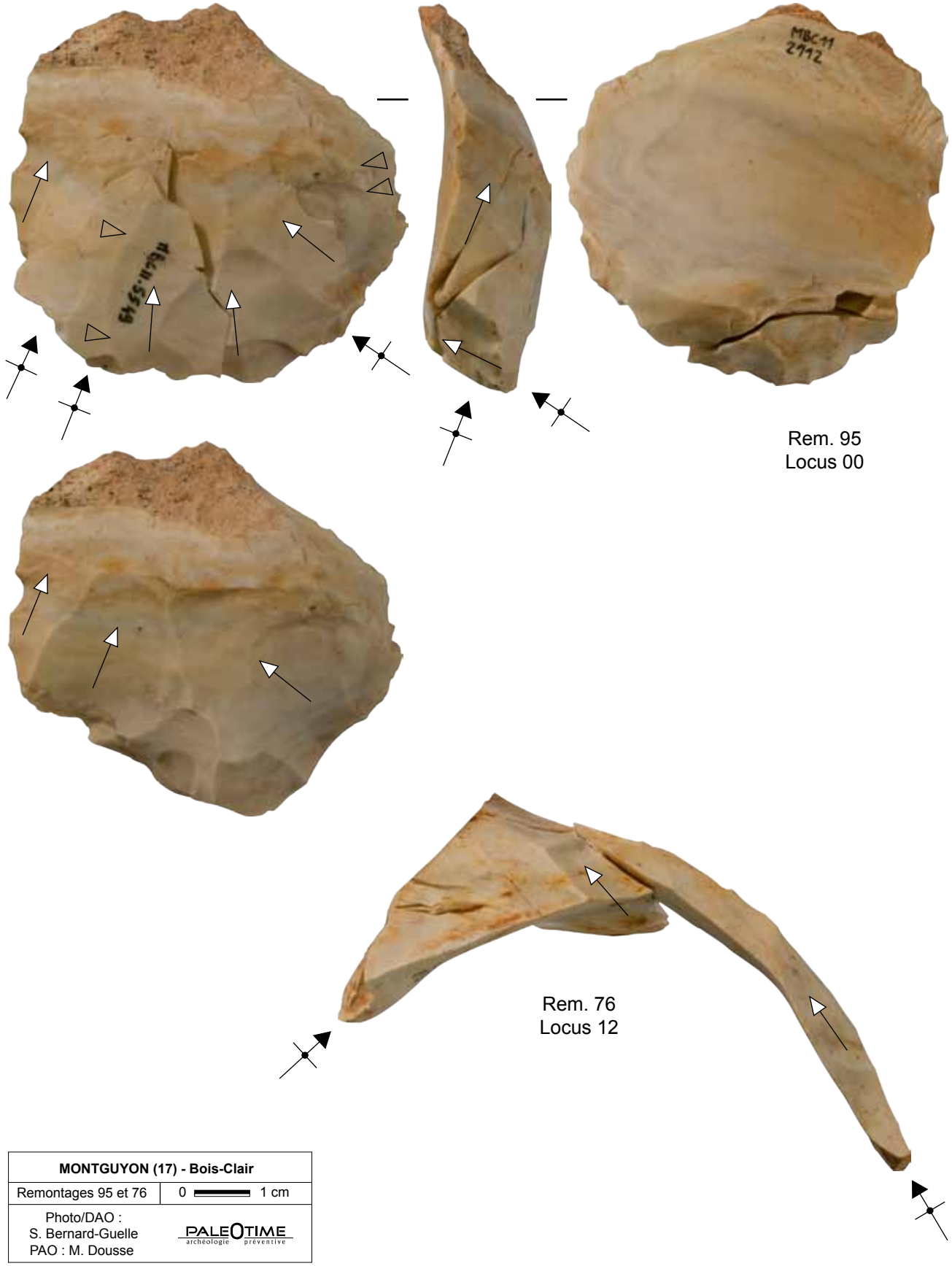


Figure 5-95 – Montguyon (17), « Bois Clair », débitage de lames Levallois avec reconfiguration distale des convexités ; R95 : débitage Levallois sur face supérieure d'éclat cortical

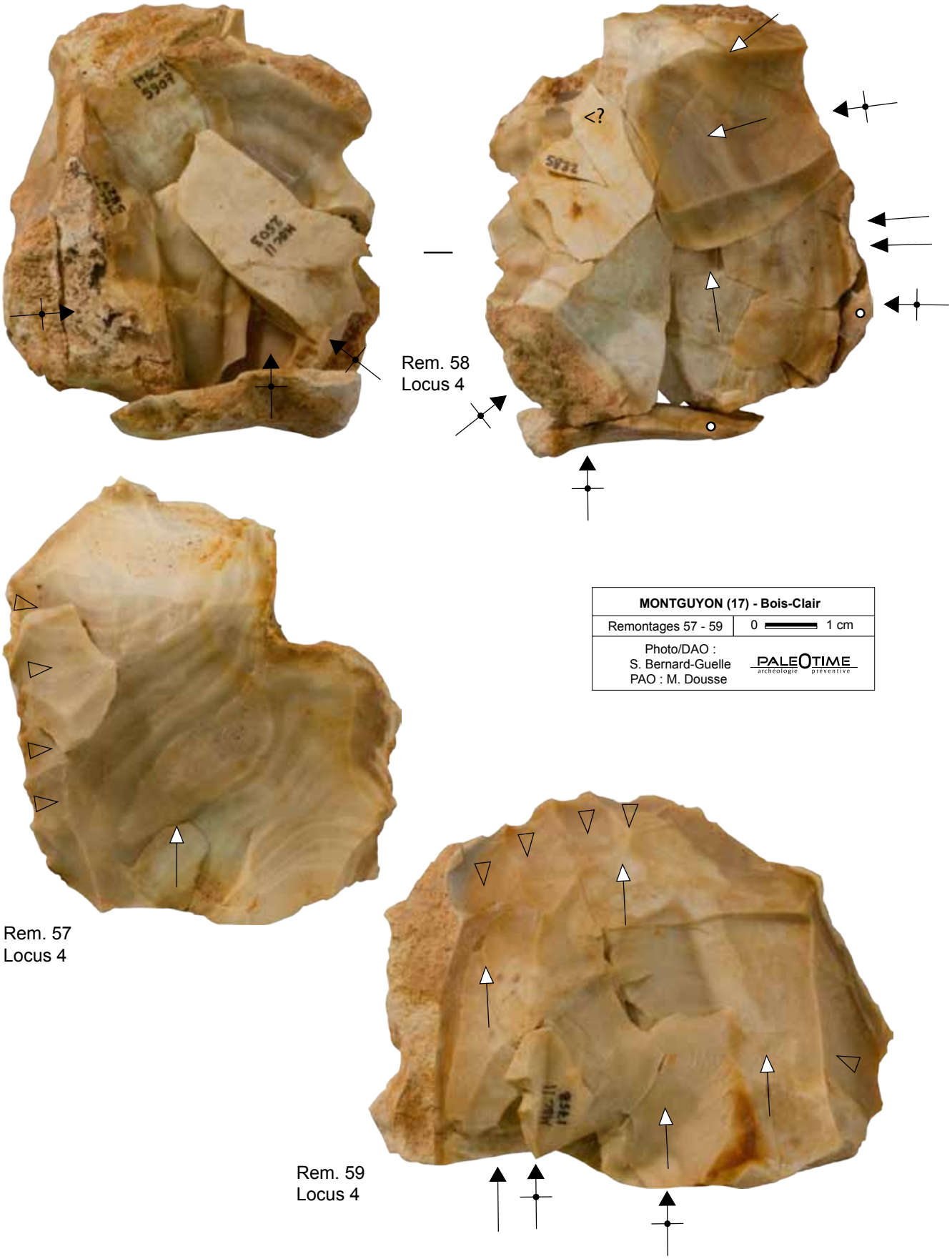


Figure 5-96 – Montguyon (17), « Bois Clair », débitage Levallois à éclat préférentiel ; R58 : débitage récurrent centripète, sur face inférieure d'éclat cortical repris du nucléus Levallois précédent ? R59 : débitage Levallois récurrent unipolaire

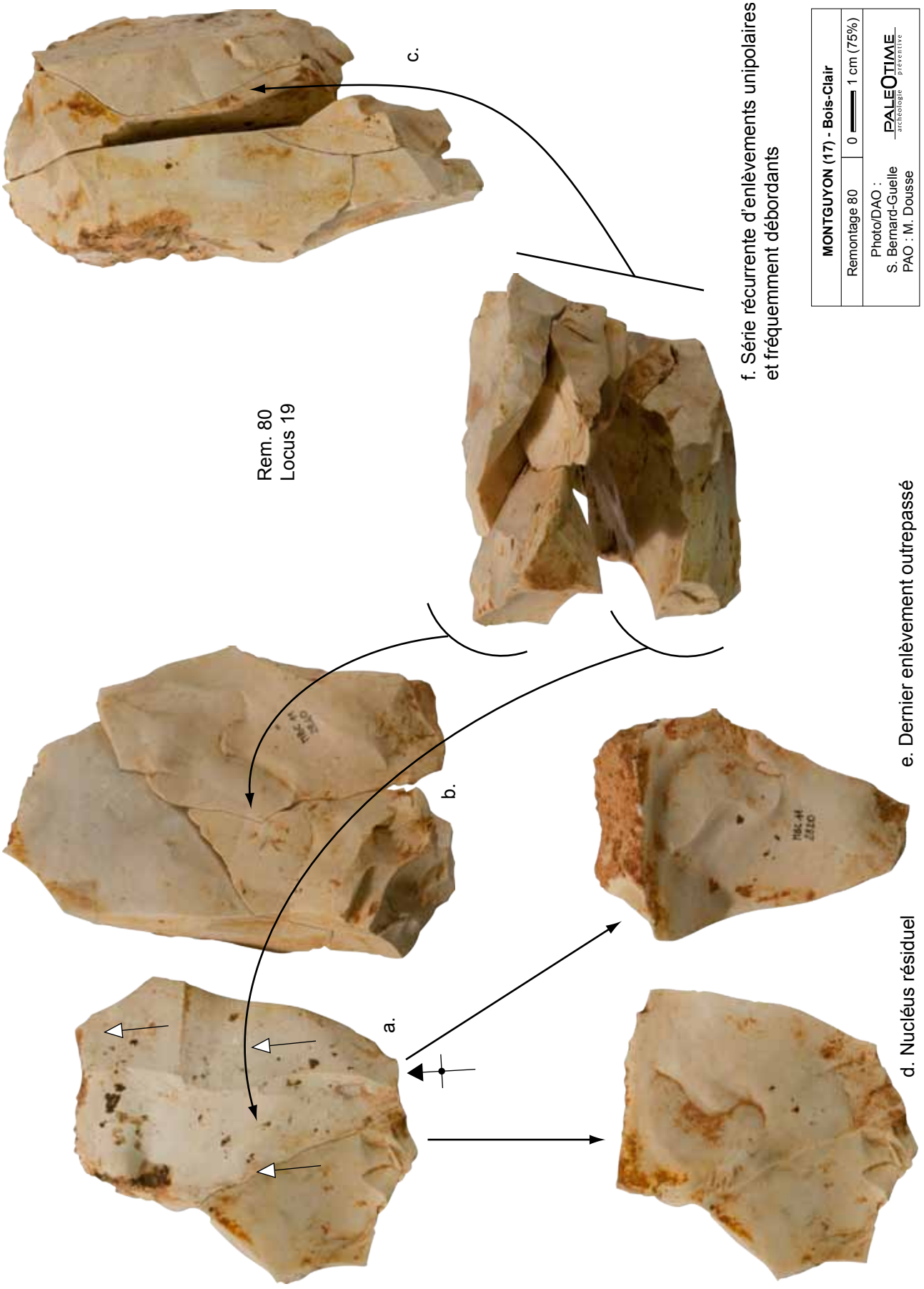


Figure 5-97 – Montguyon (17), « Bois Clair », débitage facial unipolaire

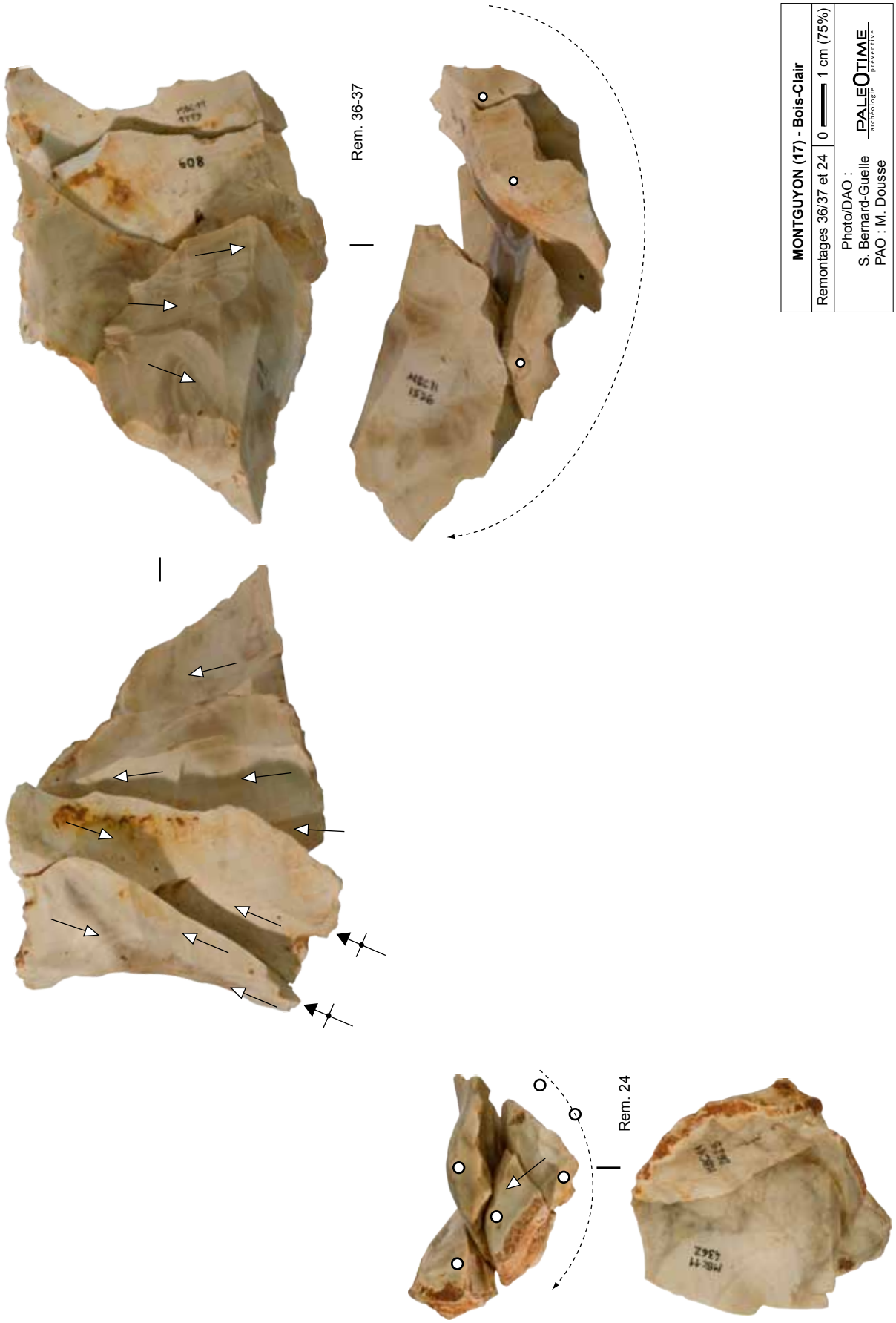


Figure 5-98 – Montguyon (17), « Bois Clair », R24 : débitage unipolaire semi-tournant ; R36-37 : nucléus à débitage unipolaire semi-tournant et gestion bipolaire ; en fin d'exploitation, la table de débitage a été réorientée



Figure 5-99 – Montguyon (17), « Bois Clair », R79 : débitage unipolaire alternant

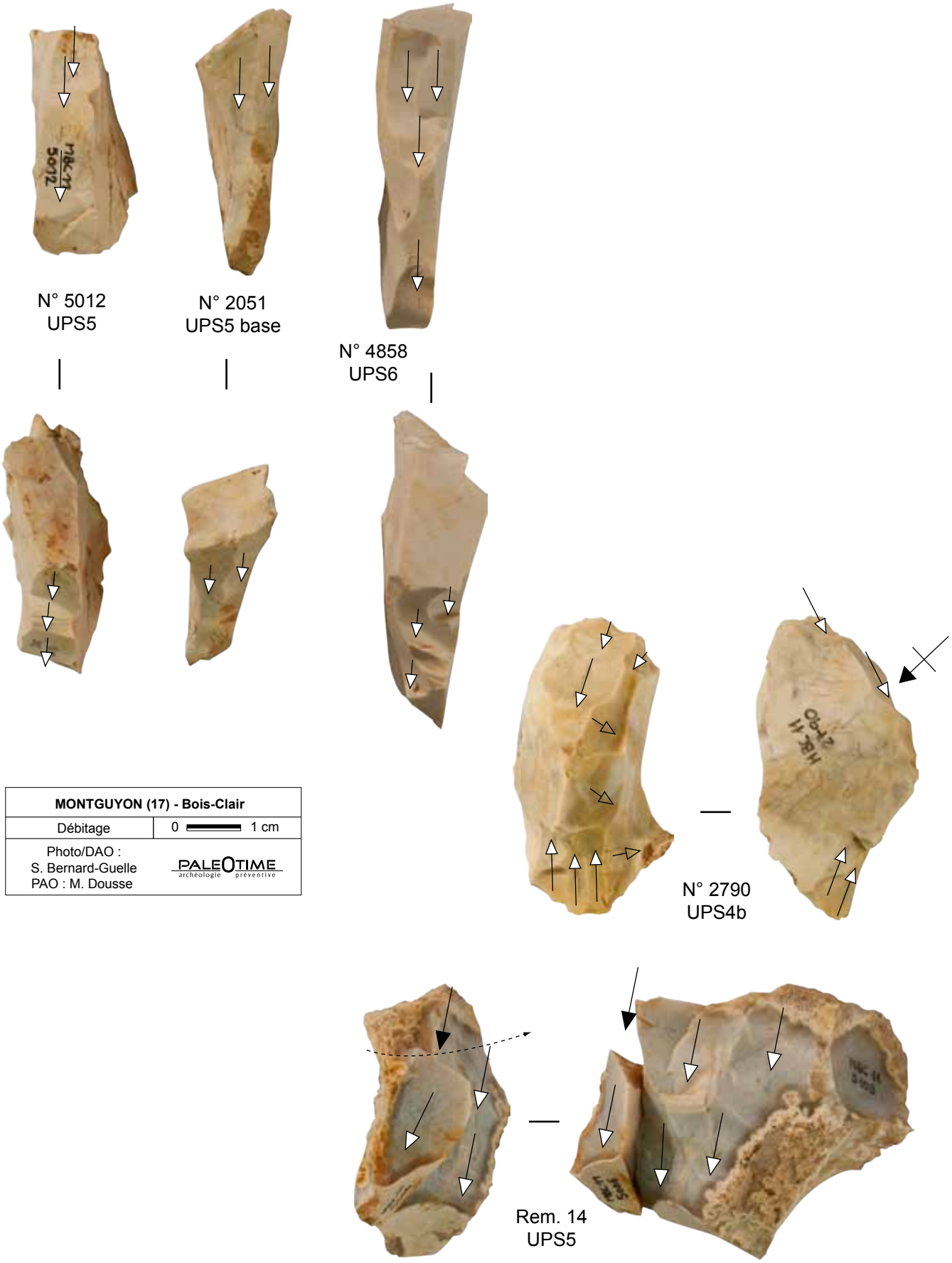


Figure 5-100 – Montguyon (17), « Bois Clair », nucléus sur face étroite (dont tranche d'éclat) ; R14 : débitage unipolaire initialisé sur face étroite et se développant sur face large



N° 5730
Locus 11 - Paléo. sup.
Quartz - UPS4

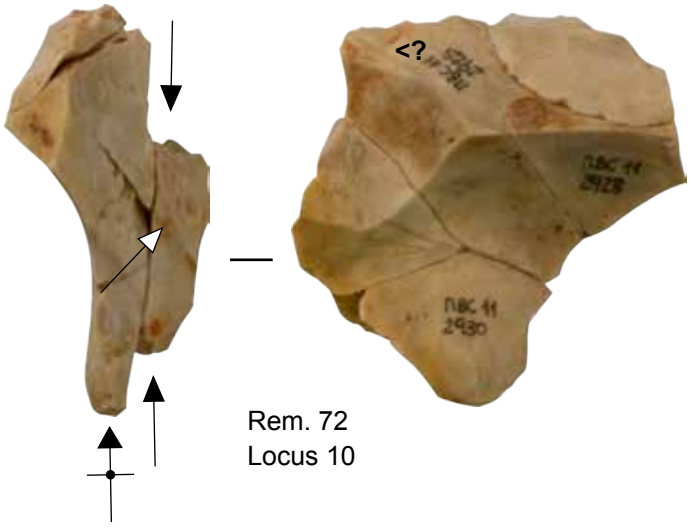


N° 4071
Quartzite - UP5

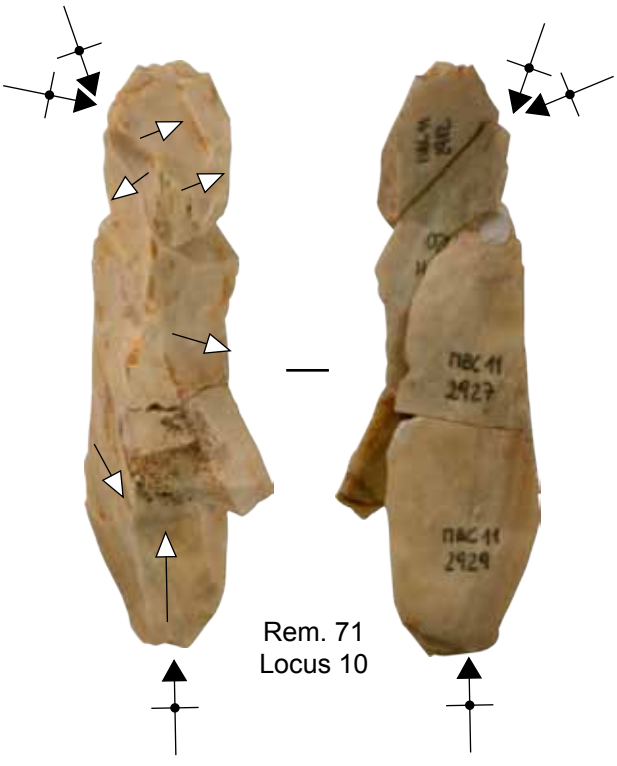


N° 3372
Locus 12bis - Paléo. moy.
Quartz - UPS4

MONTGUYON (17) - Bois-Clair	
Percuteurs/Autres	0 1 cm
Photo/DAO : S. Bernard-Guelle PAO : M. Dousse	PALEOTIME archéologie préventive



Rem. 72
Locus 10



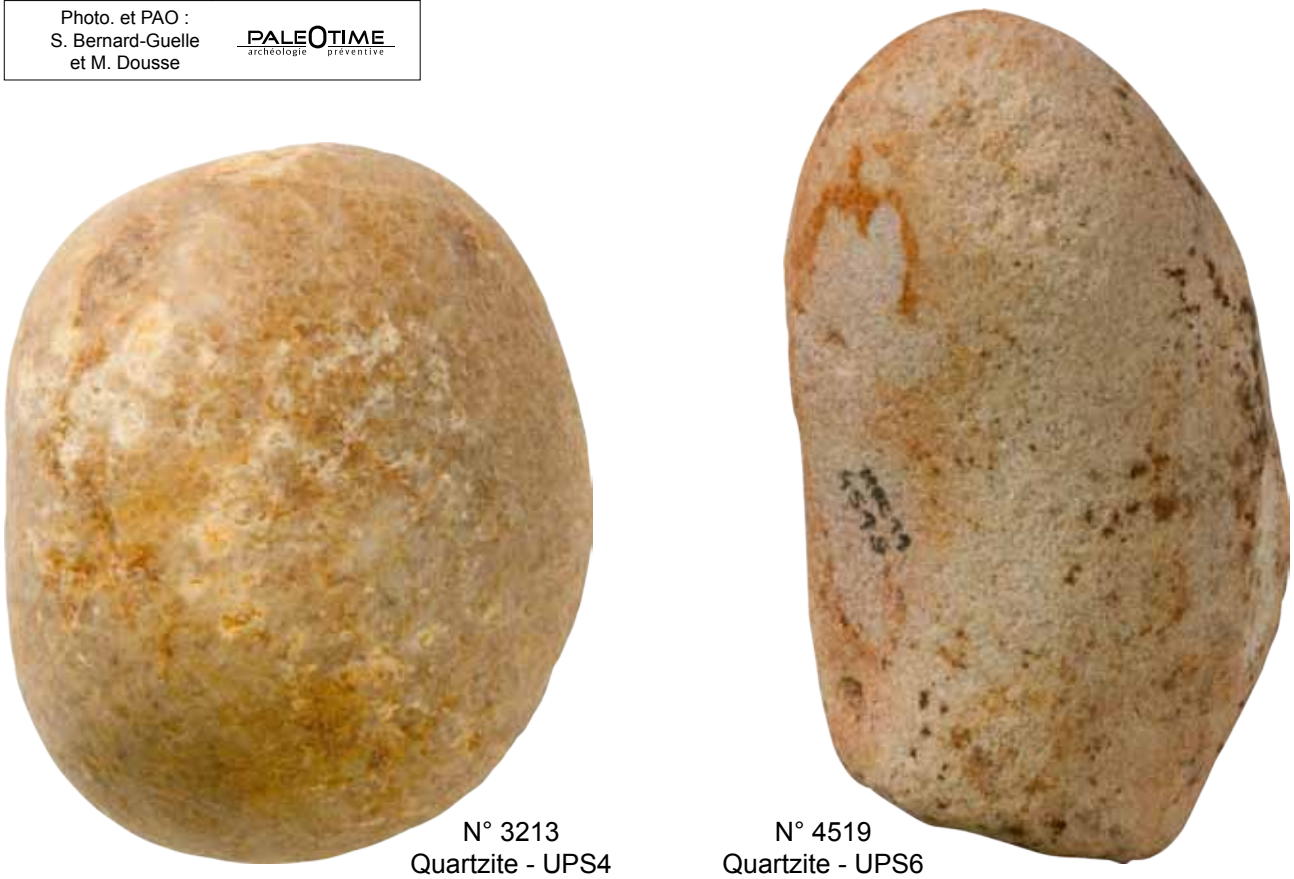
Rem. 71
Locus 10

Figure 5-101 – Montguyon (17), « Bois Clair », n° 5730, 4071, 3372 : percuteurs ; R71 : mise en forme d'une crête et débitage bipolaire de petites lames ; R72 : débitage bipolaire/centripète (sur éclat support ?)



N° 4056
Quartz - UPS4

MONTGUYON (17) - Bois-Clair	
Percuteurs	0 1 cm
Photo. et PAO : S. Bernard-Guelle et M. Dousse	PALEOTIME archéologie préventive



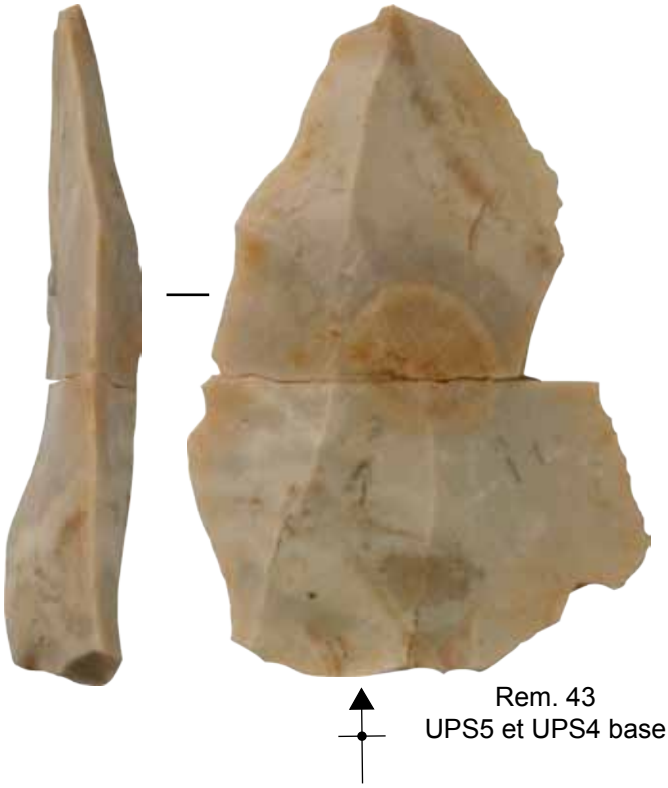
N° 3213
Quartzite - UPS4

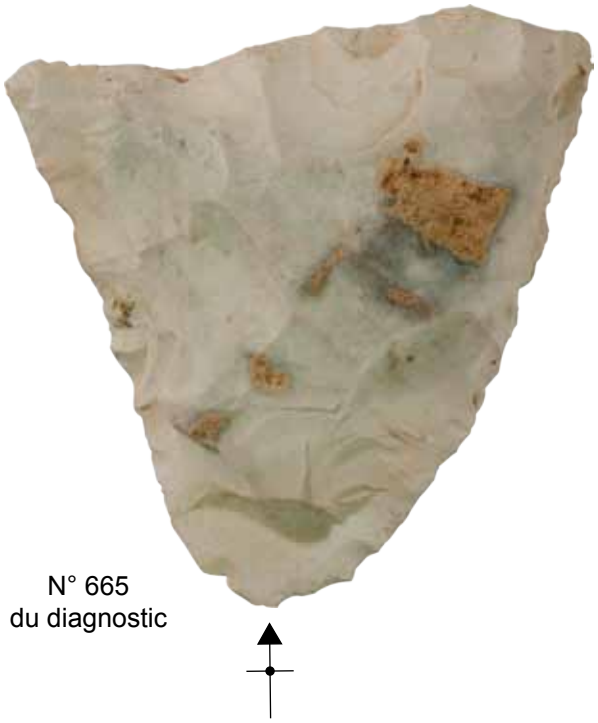
N° 4519
Quartzite - UPS6

Figure 5-102 – Montguyon (17), « Bois Clair », percuteurs



Figure 5-103 – Montguyon (17), « Bois Clair », biface cordiforme à patine polarisée







MONTGUYON (17) - Bois-Clair	
Outillage	0 1 cm
Photo/DAO : S. Bernard-Guelle PAO : M. Dousse	PALEOTIME archéologie préventive

Figure 5-104 – Montguyon (17), « Bois Clair », R43 : pointe Levallois ; n°665 : racloir déjeté double en dent de requin ; n° 2354 : éclat retouché/débité sur ses deux faces, à double patine

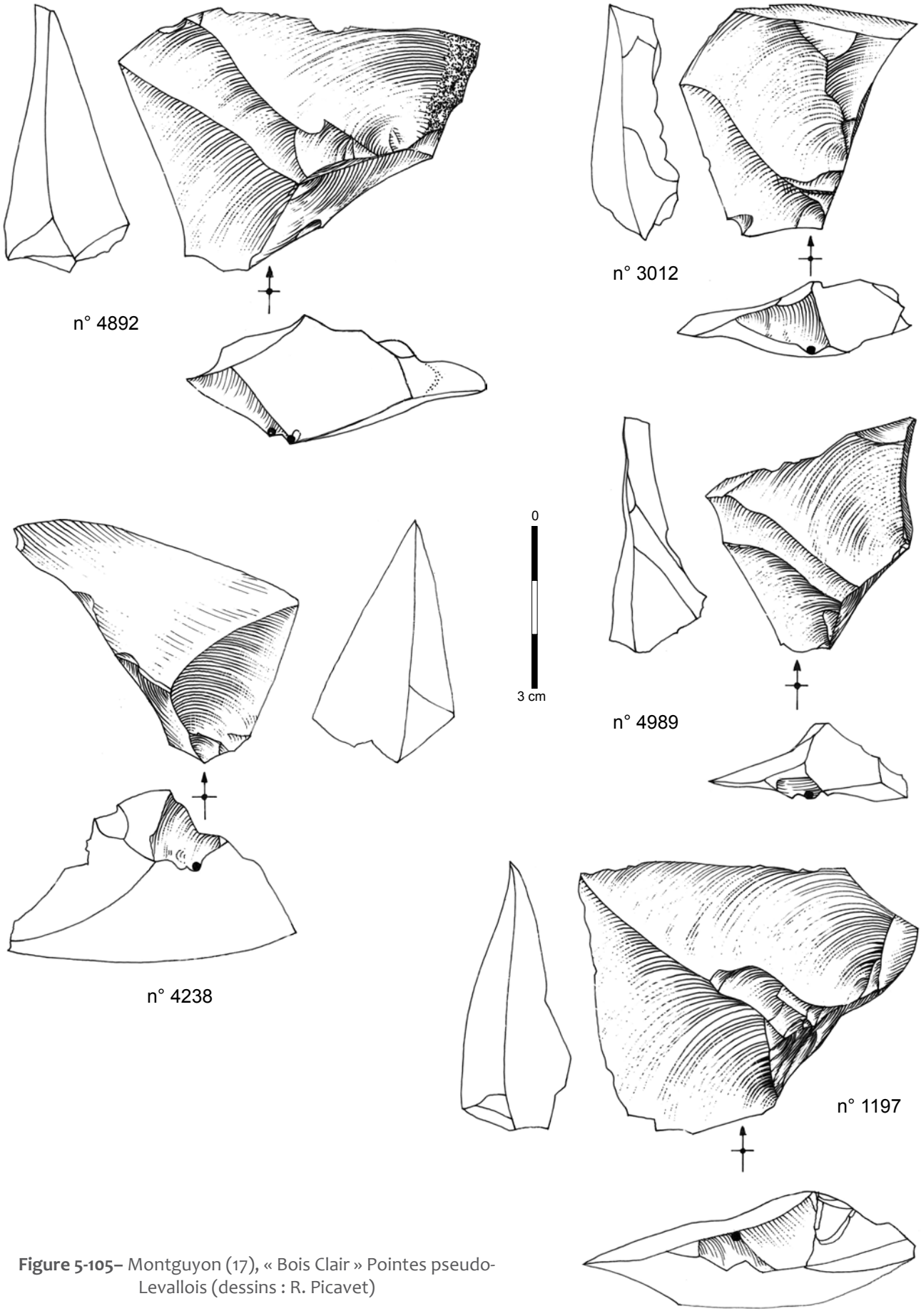
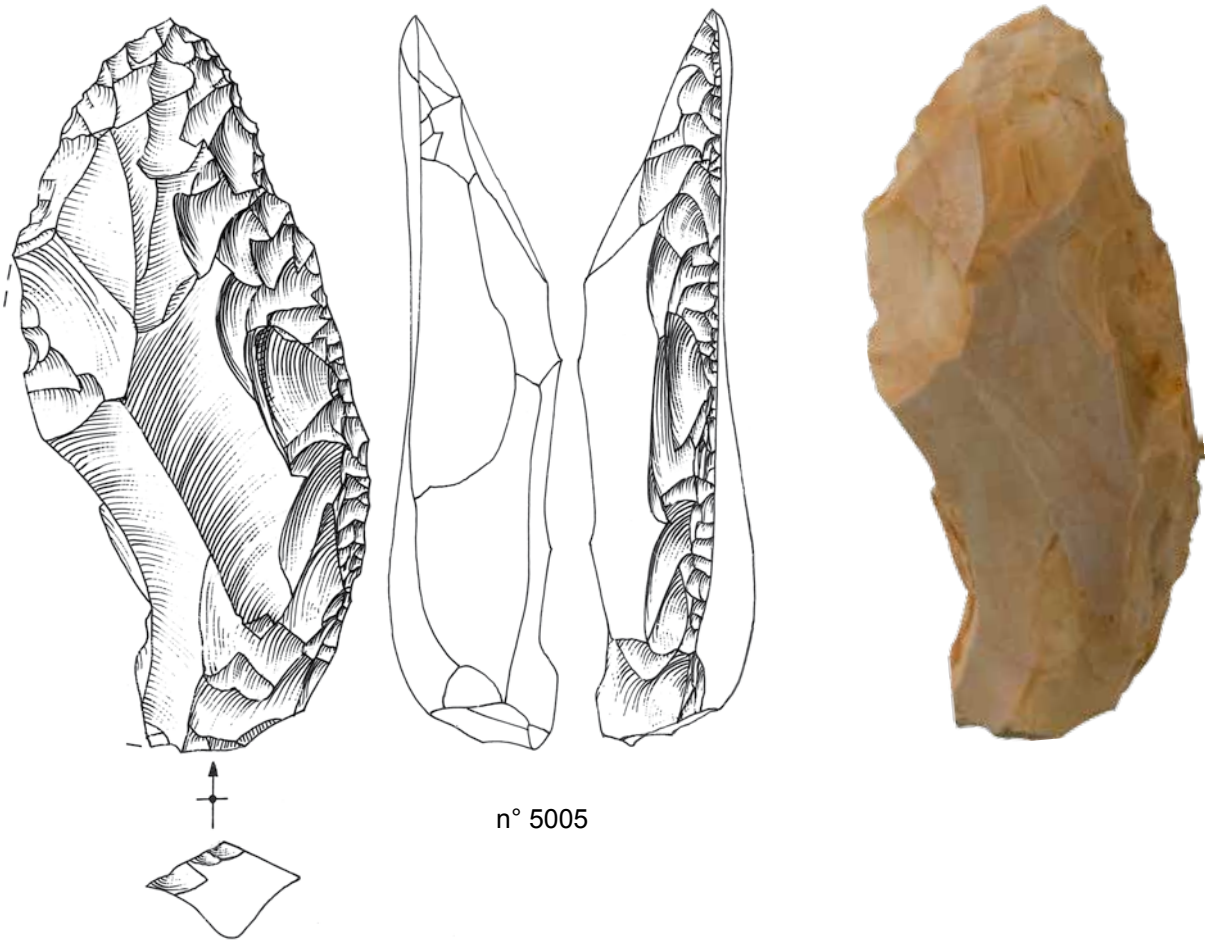


Figure 5-105– Montguyon (17), « Bois Clair » Pointes pseudo-Levallois (dessins : R. Picavet)



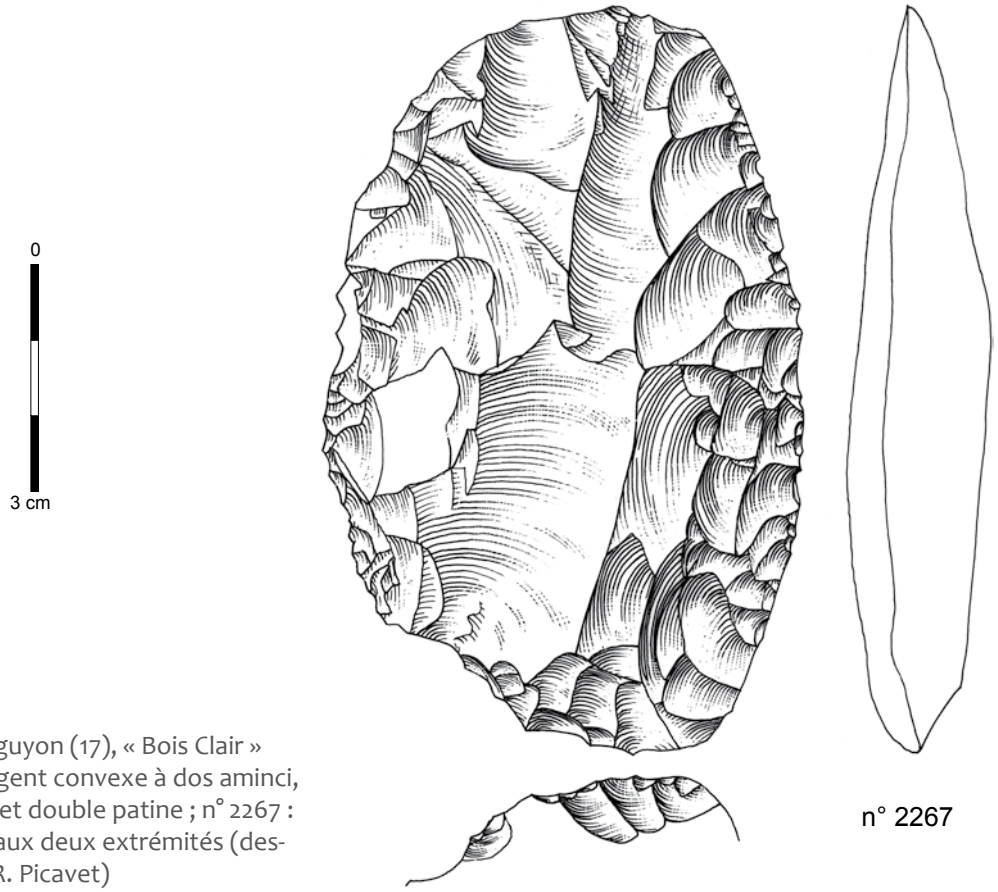


Figure 5-106– Montguyon (17), « Bois Clair » n° 5005 : racloir convergent convexe à dos aminci, retouche scalariforme et double patine ; n° 2267 : racloir double aminci aux deux extrémités (dessins : R. Picavet)

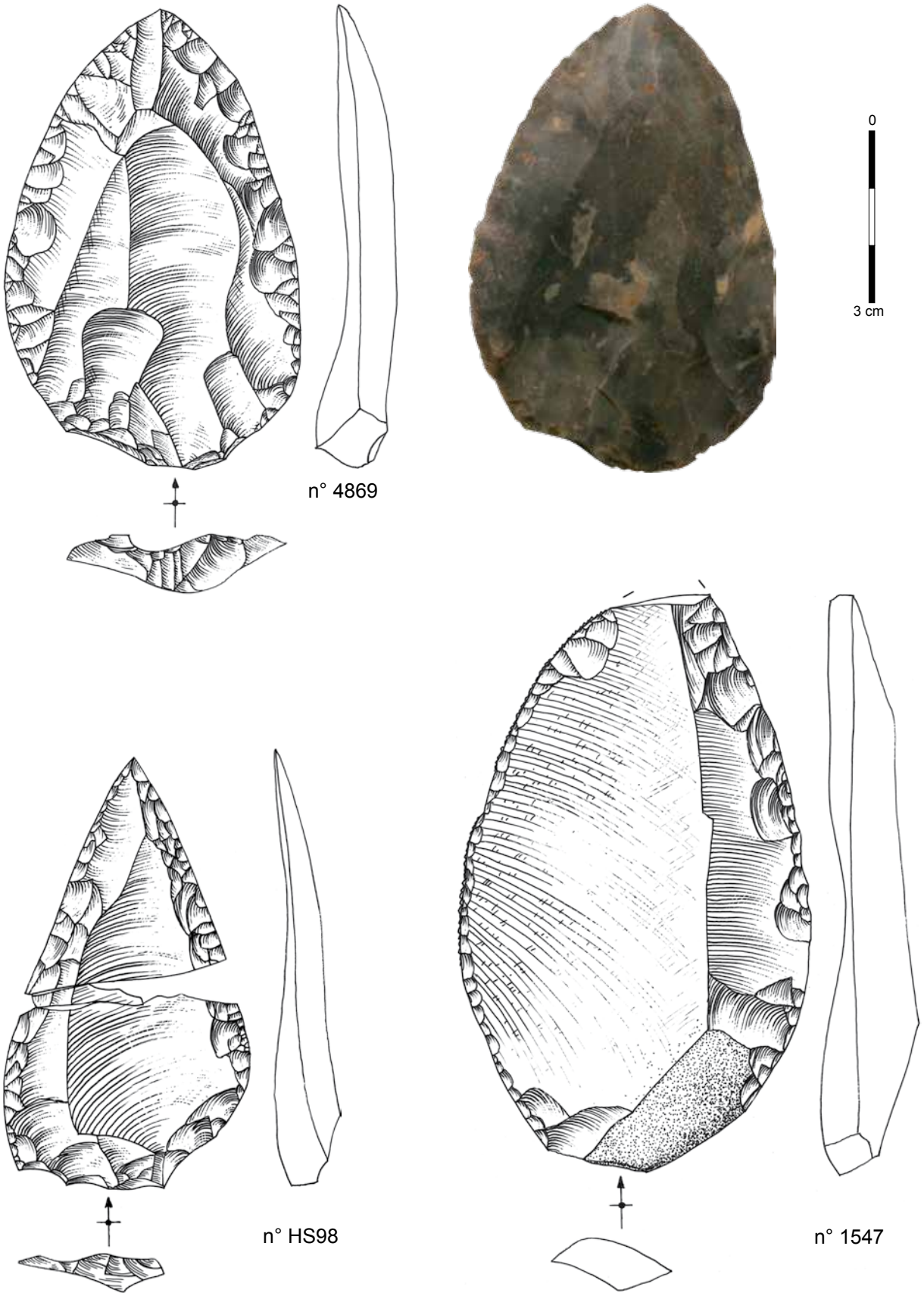


Figure 5-107– Montguyon (17), « Bois Clair » racloirs convergents convexes ; hs98 : pointe moustérienne (dessins : R. Picavet)

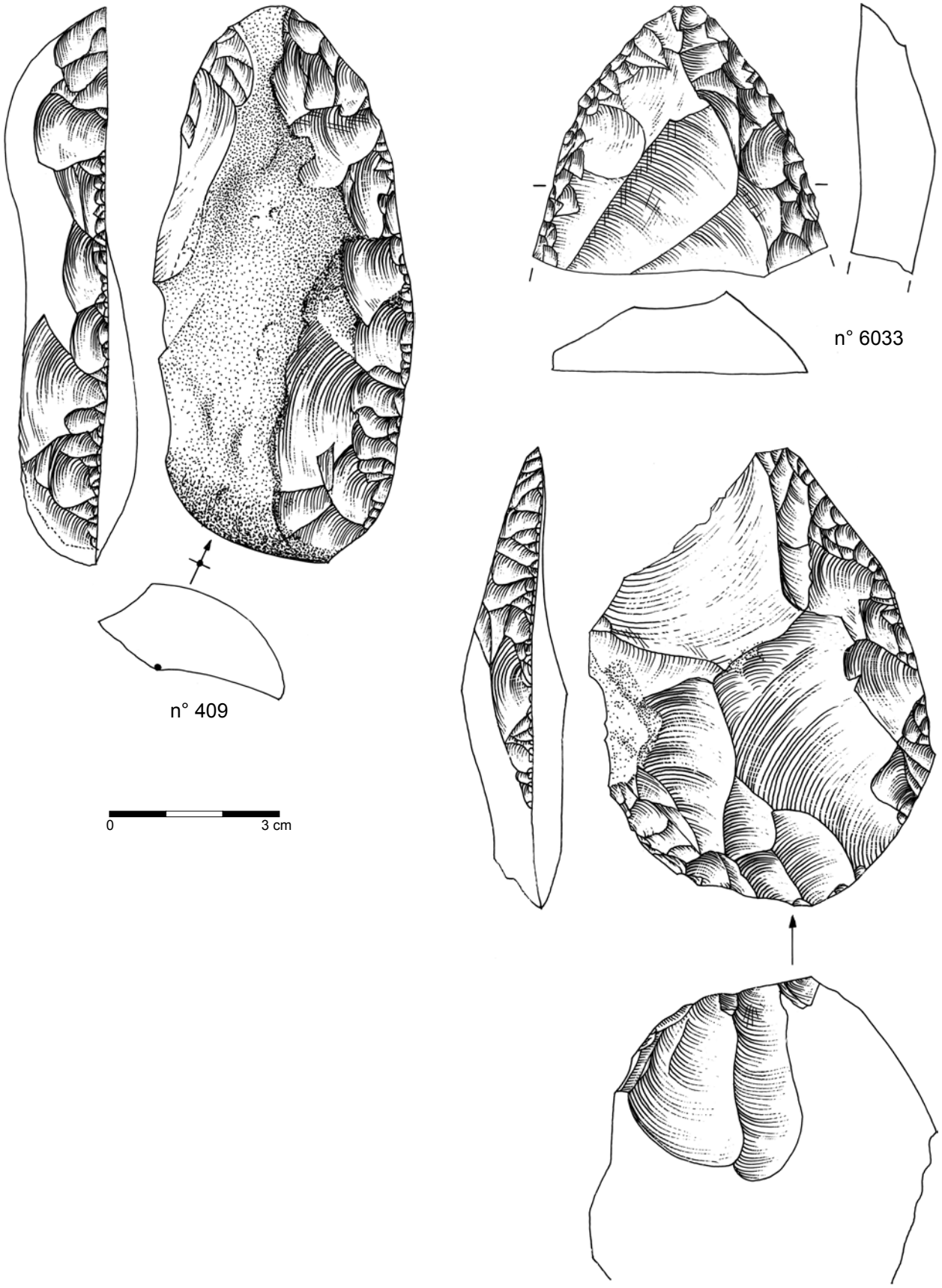


Figure 5-108 – Montguyon (17), « Bois Clair », n° 409 et 3238 : racloirs simples convexes (à base amincie pour le 3238) ; n° 6033 : racloir convergent convexe (dessins : R. Picavet)

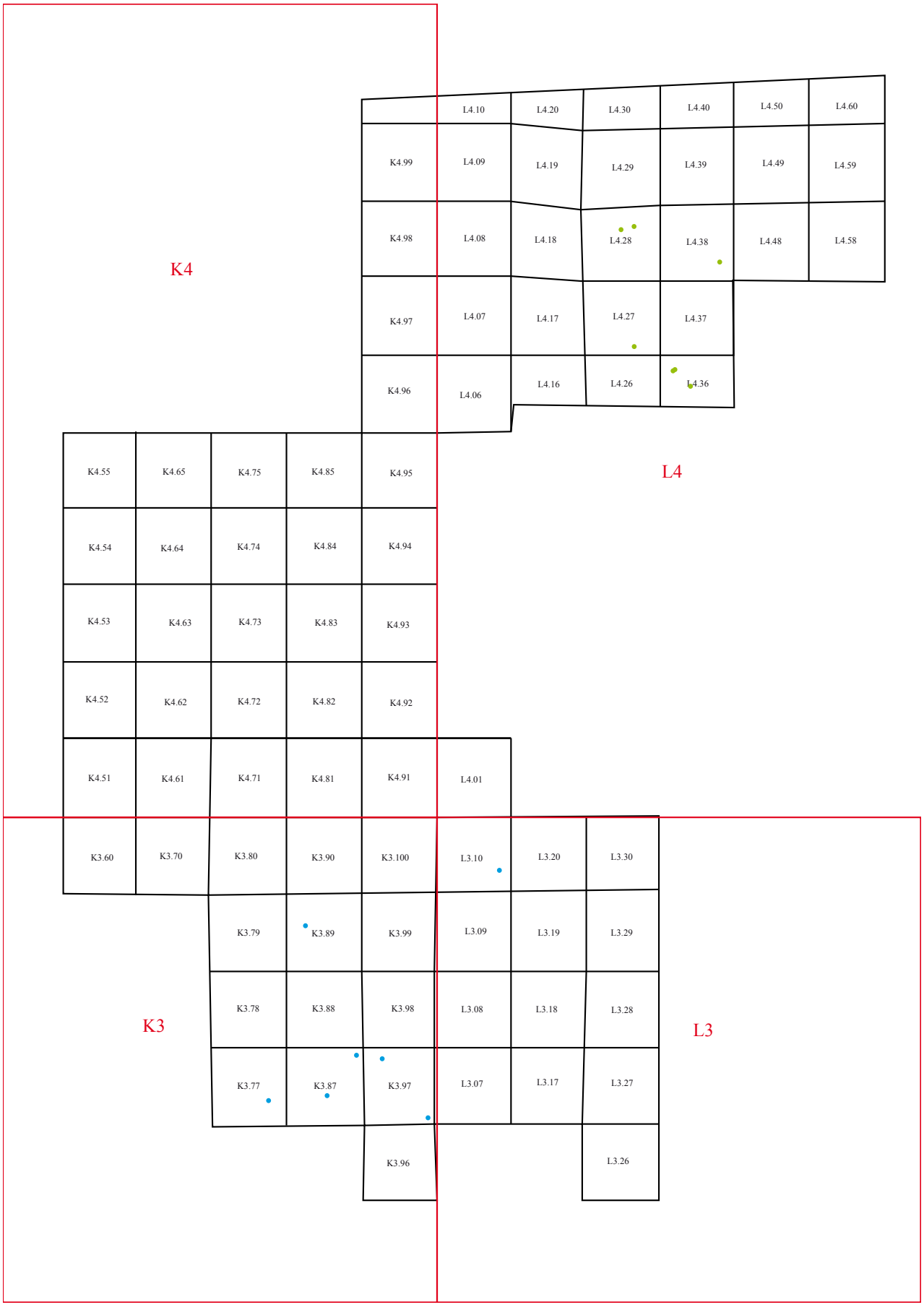


Figure 5-109 – Montguyon (17), « Bois Clair », plan des iso-densités de la fraction grossière, locus 00/09/11, altitude 82,80

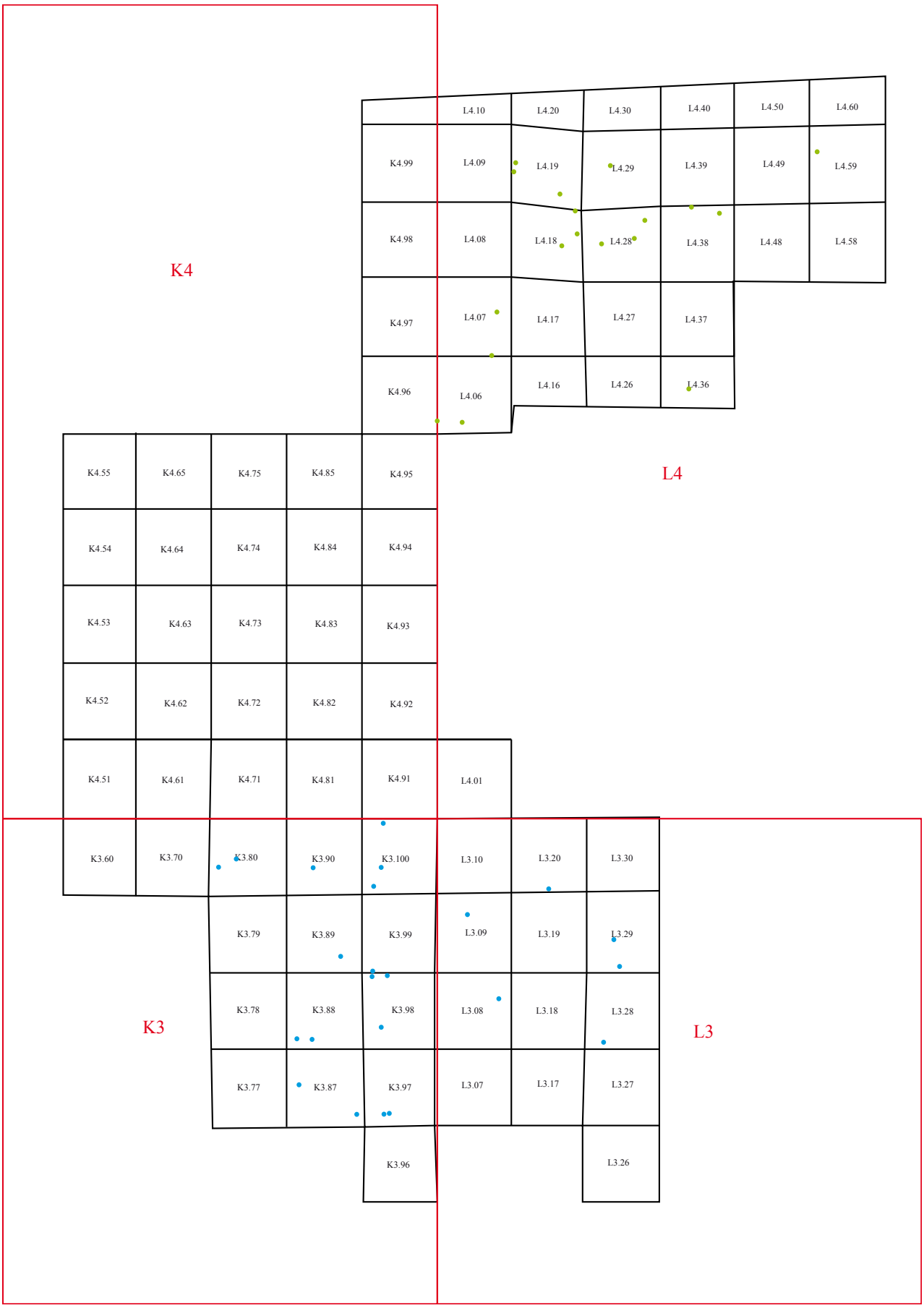


Figure 5-110 – Montguyon (17), « Bois Clair », plan des iso-densités de la fraction grossière, locus 00/09/11, altitude 82,85

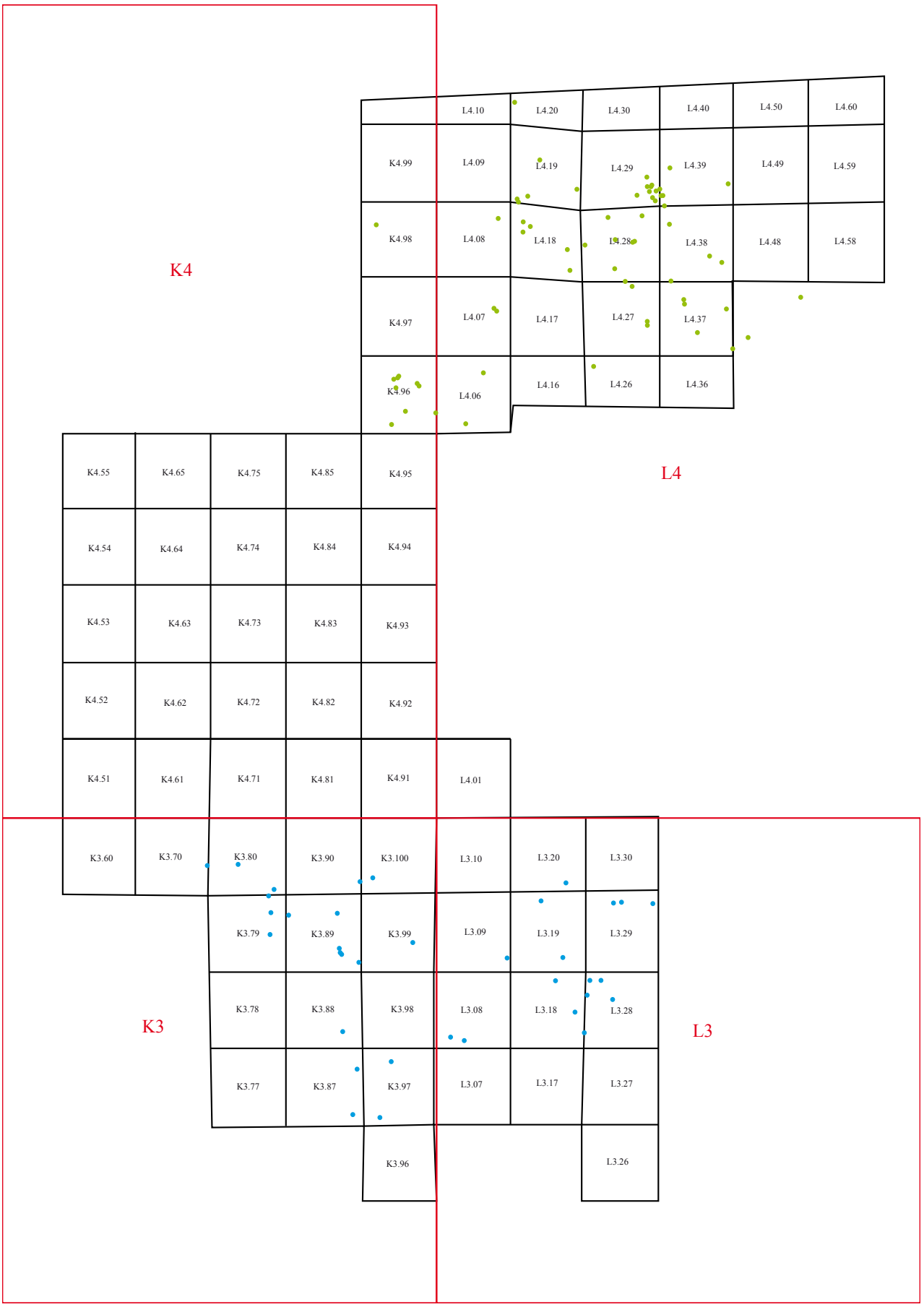


Figure 5-111 – Montguyon (17), « Bois Clair », plan des iso-densités de la fraction grossière, locus 00/09/11, altitude 82,90

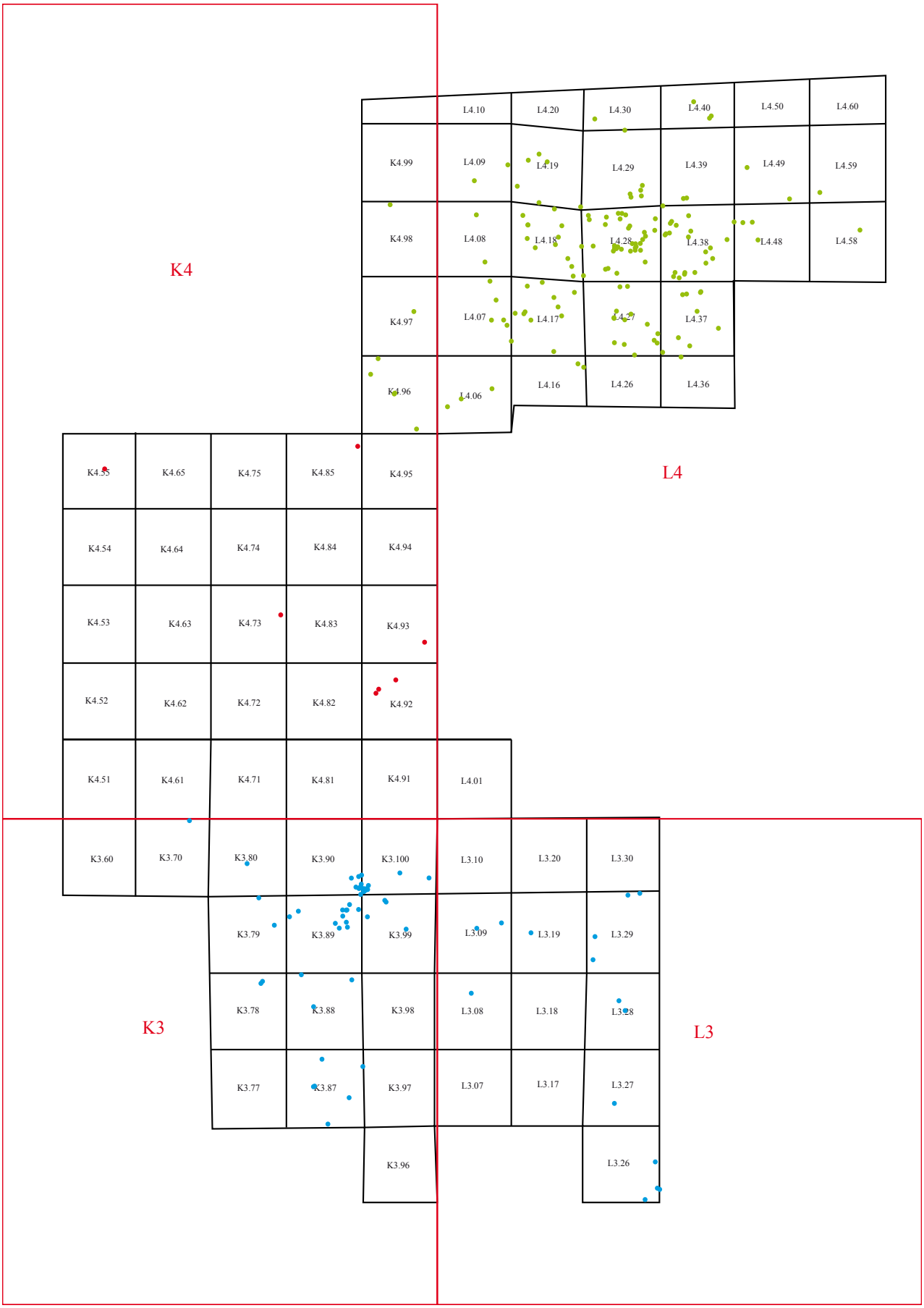


Figure 5-112 – Montguyon (17), « Bois Clair », plan des iso-densités de la fraction grossière, locus 00/09/11, altitude 82,95



Figure 5-113 – Montguyon (17), « Bois Clair », plan des iso-densités de la fraction grossière, locus 00/09/11, altitude 83,00



Figure 5-114 – Montguyon (17), « Bois Clair », plan des iso-densités de la fraction grossière, locus 00/09/11, altitude 83,05

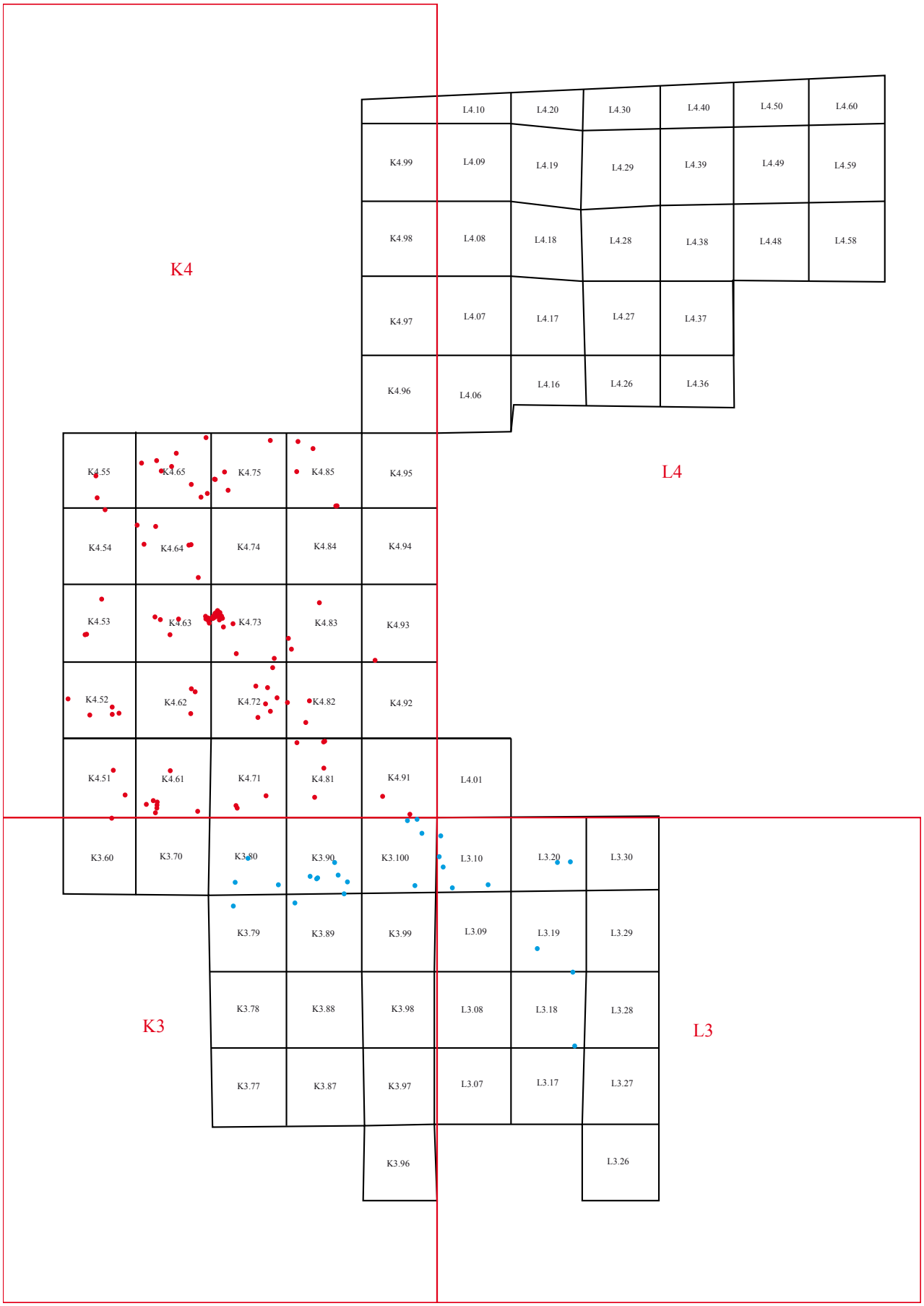


Figure 5-115 – Montguyon (17), « Bois Clair », plan des iso-densités de la fraction grossière, locus 00/09/11, altitude 83,10

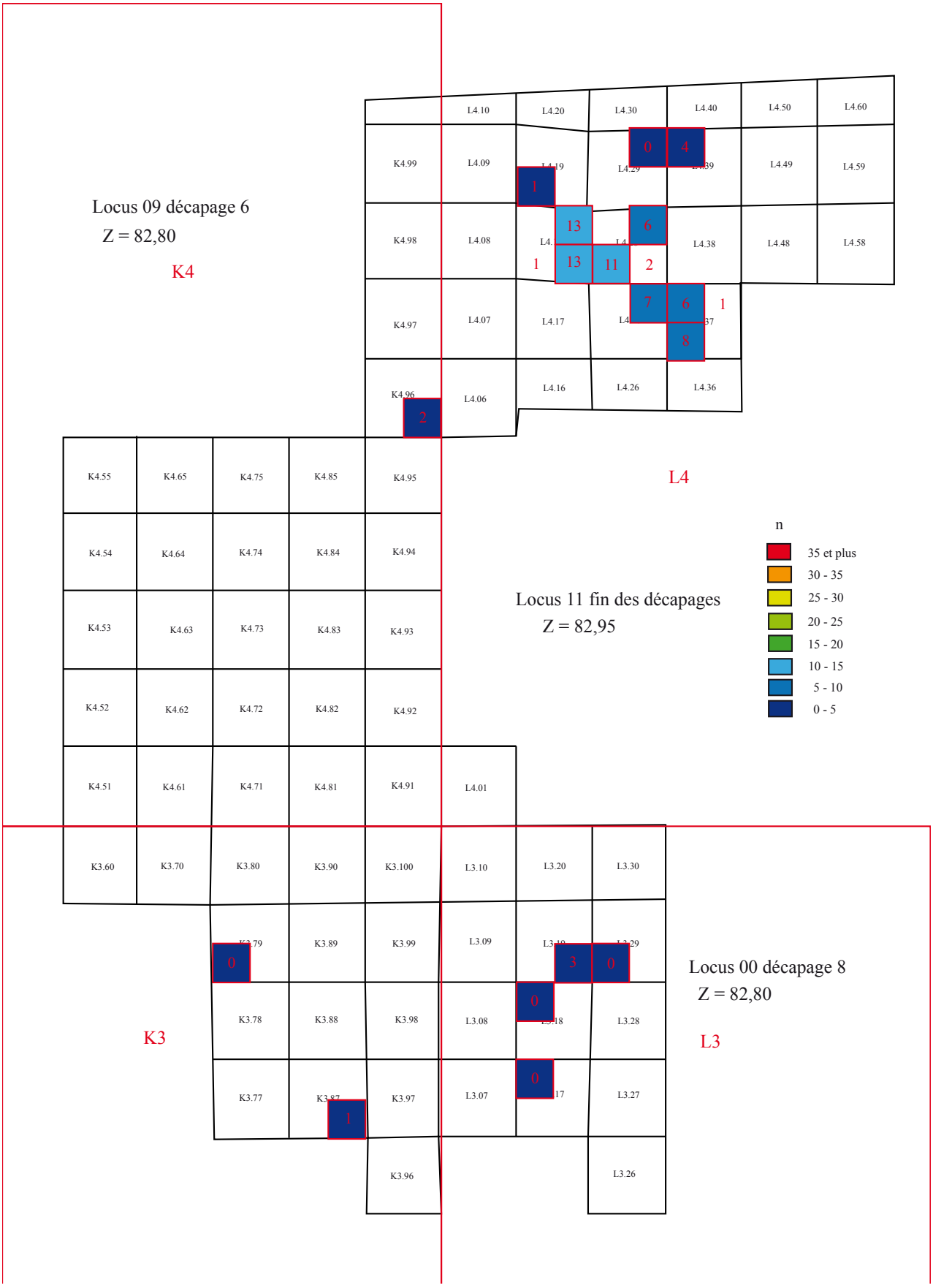


Figure 5-116 – Montguyon (17), « Bois Clair », plan des iso-densités de la fraction fine, locus 00 décapage 8 et locus 09 décapage 6

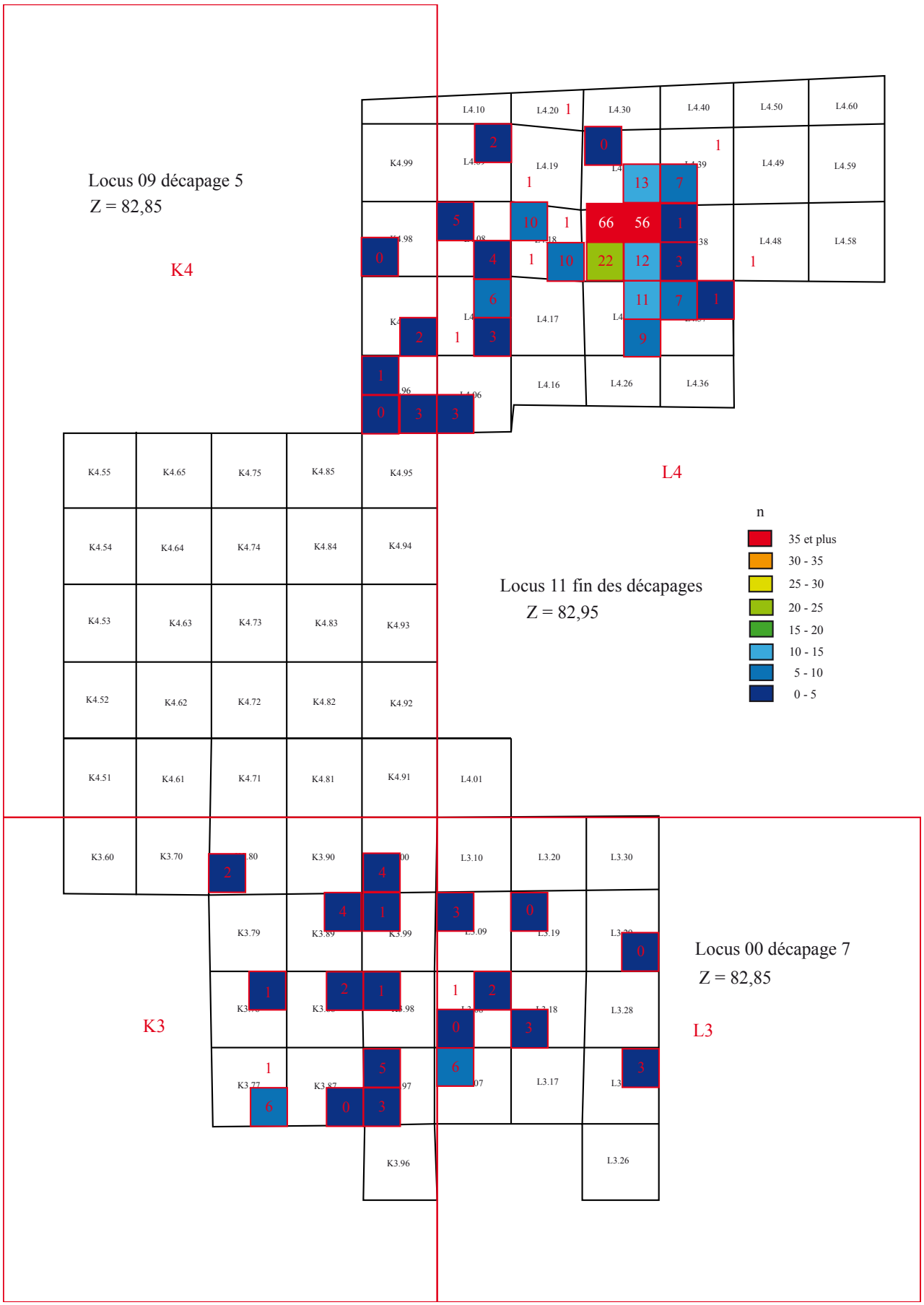


Figure 5-117 – Montguyon (17), « Bois Clair », plan des iso-densités de la fraction fine, locus 00 décapage 7 et locus 09 décapage 5

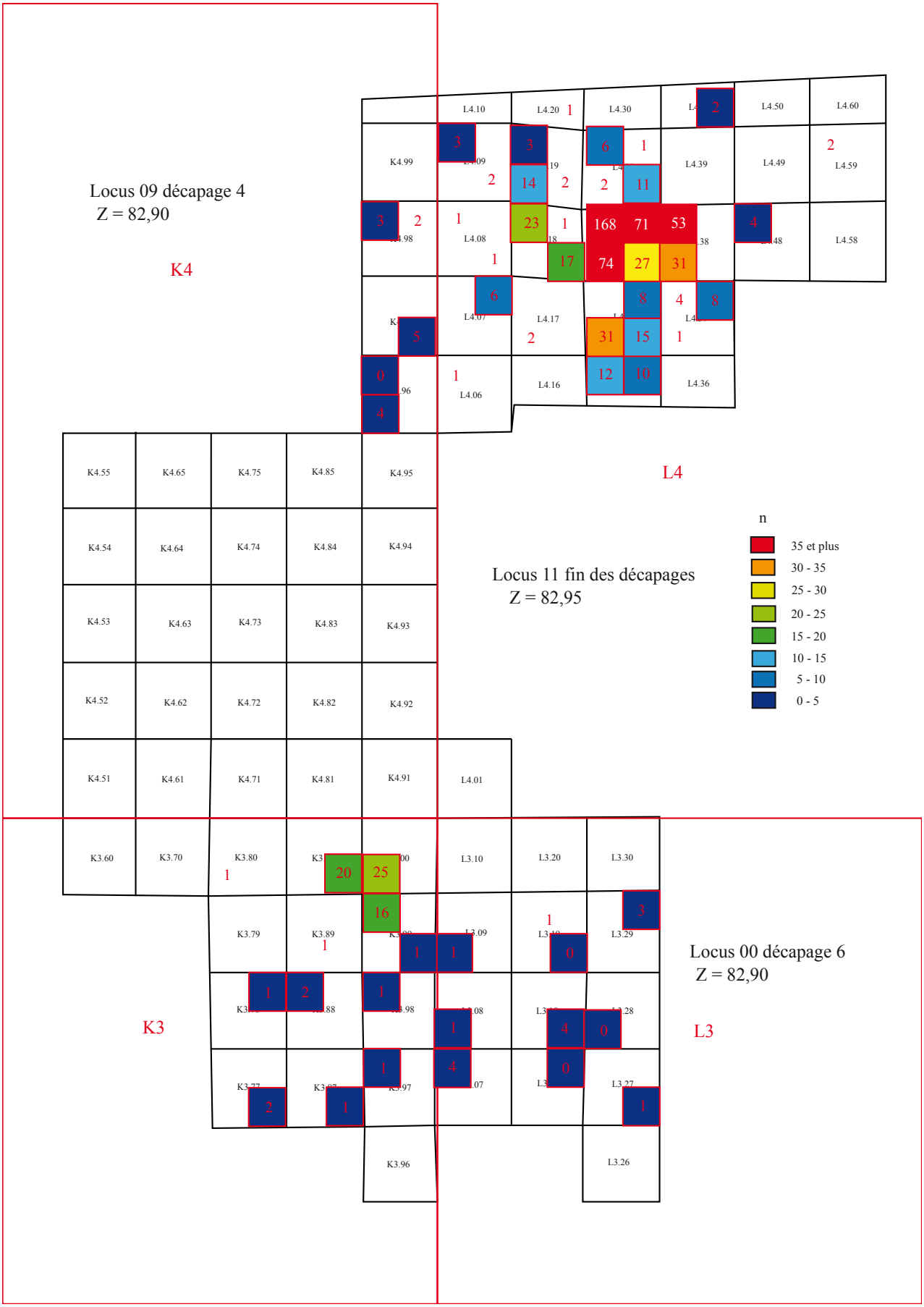


Figure 5-118 – Montguyon (17), « Bois Clair », plan des iso-densités de la fraction fine, locus 00 décapage 6 et locus 09 décapage 4

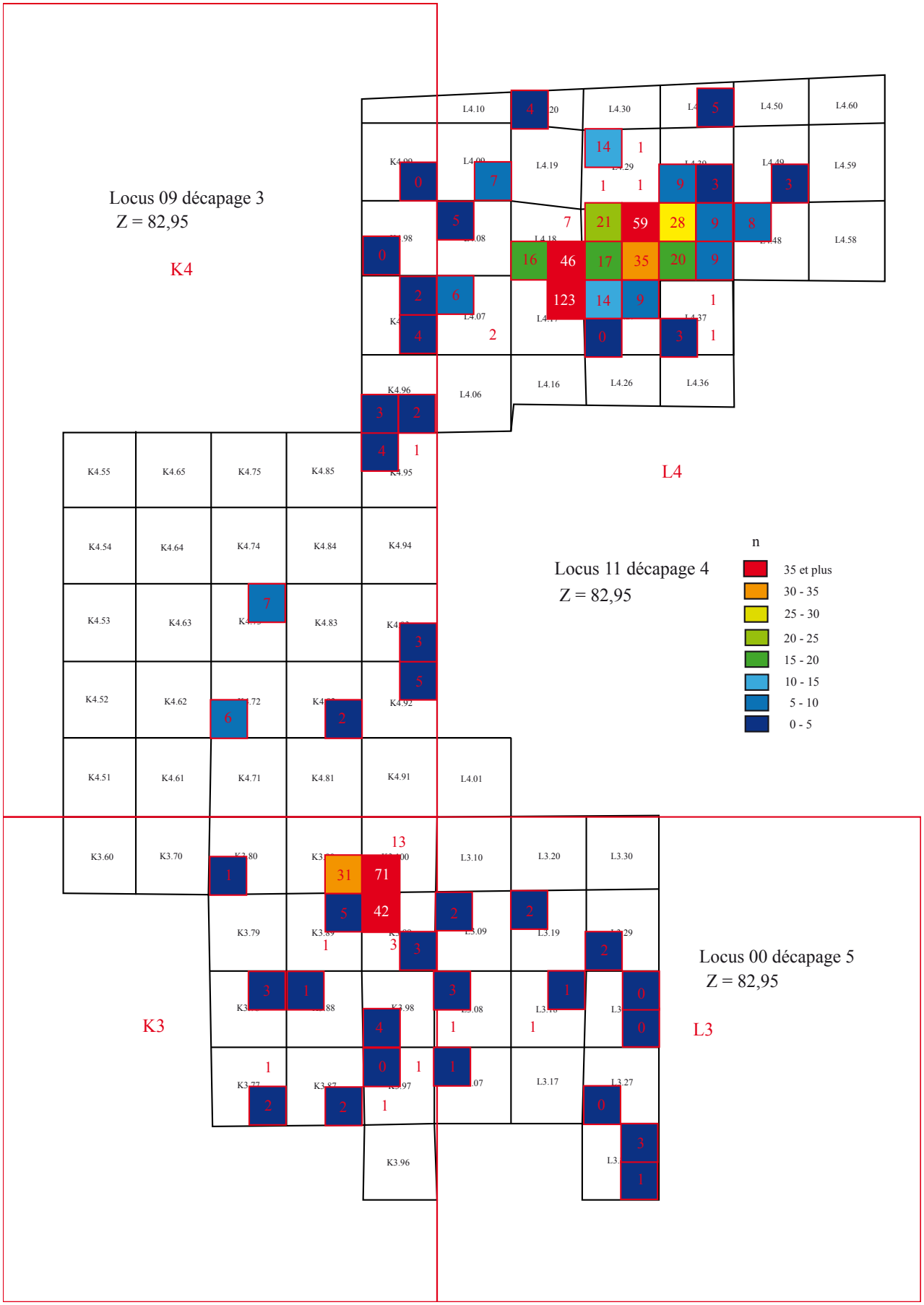


Figure 5-119 – Montguyon (17), « Bois Clair », plan des iso-densités de la fraction fine, locus 00 décapage 5, locus 09 décapage 3 et locus 11 décapage 4

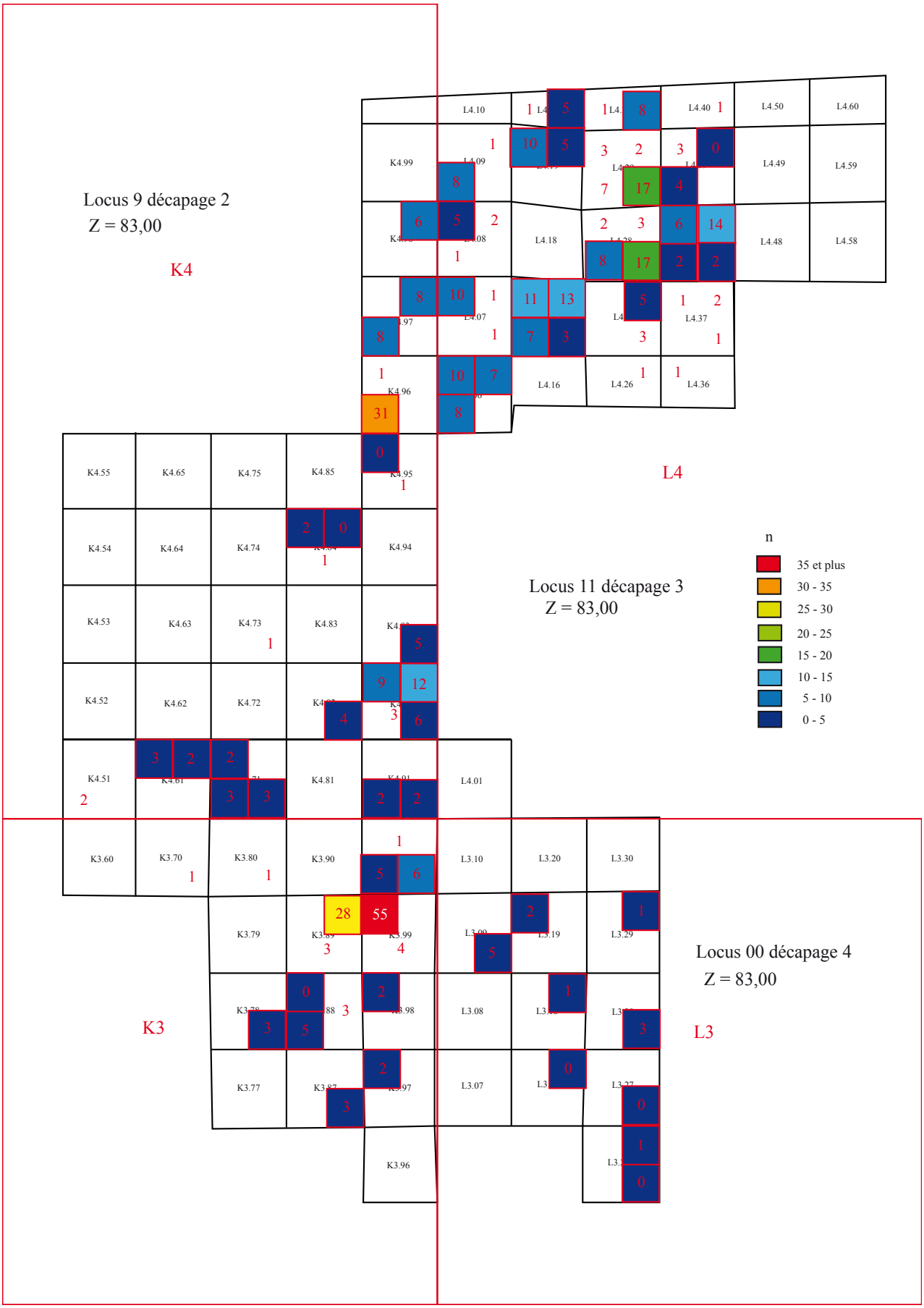


Figure 5-120 – Montguyon (17), « Bois Clair », plan des iso-densités de la fraction fine, locus 00 décapage 4, locus 09 décapage 2 et locus 11 décapage 3

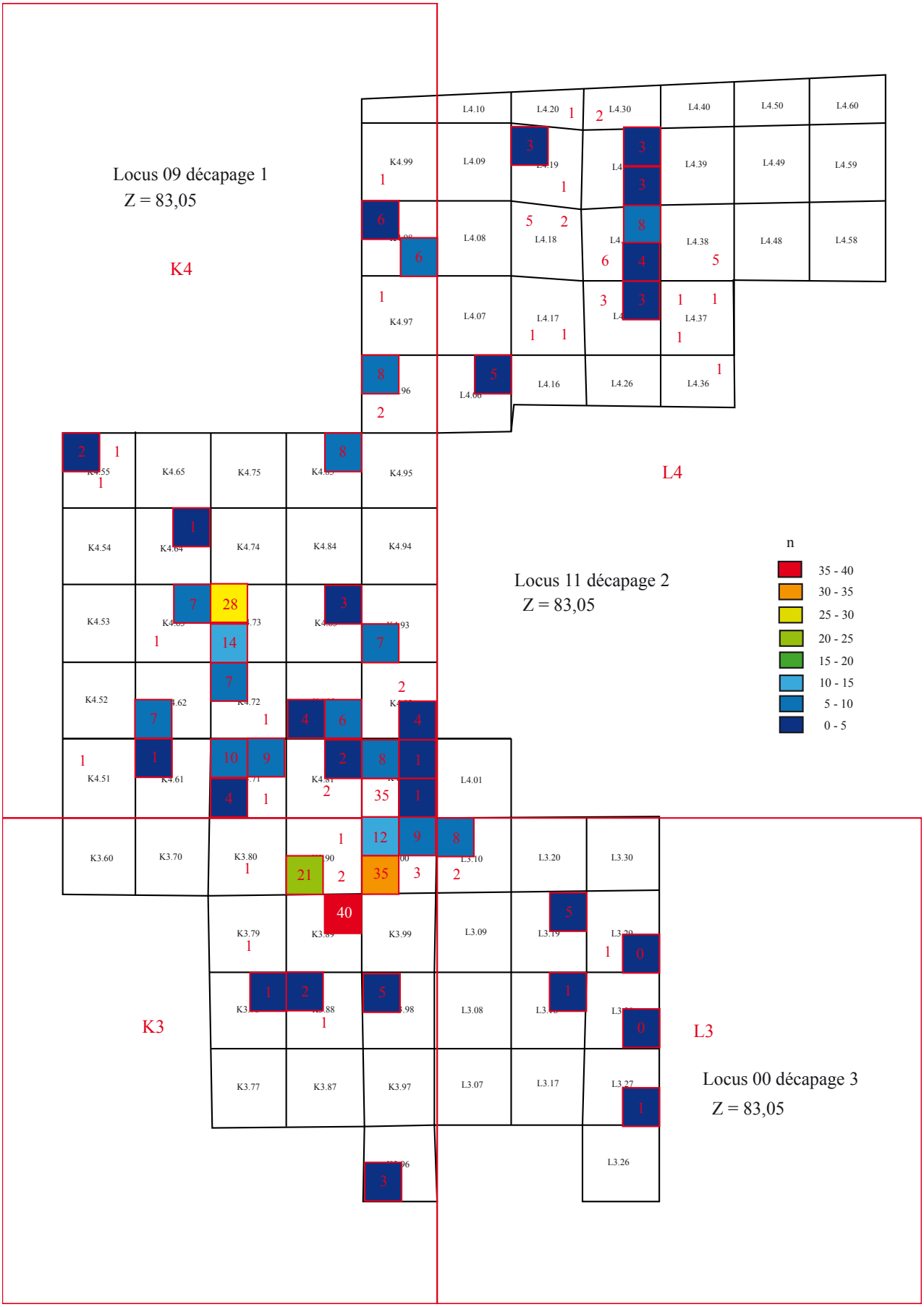


Figure 5-121 – Montguyon (17), « Bois Clair », plan des iso-densités de la fraction fine, locus 00 décapage 3, locus 09 décapage 1 et locus 11 décapage 2

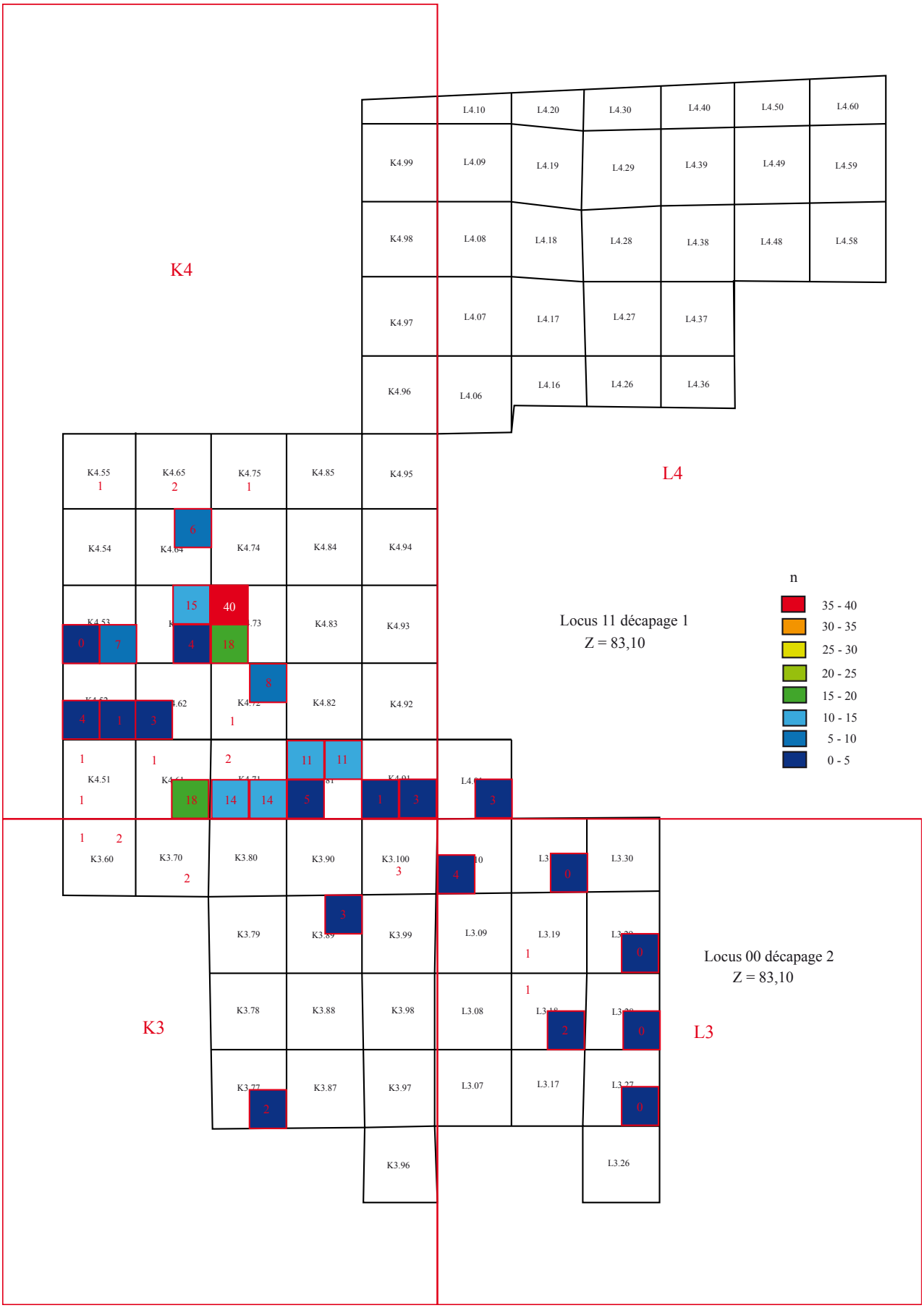


Figure 5-122 – Montguyon (17), « Bois Clair », plan des iso-densités de la fraction fine, locus 00 décapage 2 et locus 11 décapage 1

Z (en m)	n°décapage	éclats et fgt éclats	esq°	µesq°	cassons	total témoins	
83,15	décap 1	1	0	0	0	1	locus 0
83,1	décap 2	1	5	2	2	10	
83,05	décap 3	12	80	45	6	143	
83	décap 4	9	70	38	2	119	
82,95	décap 5	10	83	83	1	177	
82,9	décap 6	9	34	25	9	77	contact PM ?
82,85	décap 7	10	28	1	3	42	
82,8	décap 8	0	2	1	0	3	

Z (en m)	n°décapage	éclats et fgt éclats	esq°	µesq°	cassons	total témoins	
83,05	décap 1	2	22	14	3	41	locus 9
83	décap 2	29	108	68	4	209	
82,95	décap 3	32	192	154	14	392	
82,9	décap 4	60	323	170	5	558	contact PM ?
82,85	décap 5	31	123	83	5	242	
82,8	décap 6	9	40	16	3	68	

Z (en m)	n°décapage	éclats et fgt éclats	esq°	µesq°	cassons	total témoins	
83,1	décap 1	32	117	25	12	186	locus 11
83,05	décap 2	24	85	34	4	147	
83	décap 3	5	36	12	0	53	
82,95	décap 4	4	14	7	1	26	

Figure 5-123 – Montguyon (17), « Bois Clair », locus 00/09/11, tamisage, décompte par décapage

Locus 00	éclats et fgts	esq°	µesq°	cassons	pt triés	total témoins
décap 1	1	1	0	0	0	2
décap 2	5	3	0	1	3	12
décap 3	4	13	2	0	6	25
décap 4	1	2	0	2	10	15
décap 5	2	5	0	1	17	25
décap 6	2	4	0	1	2	9
décap 7	2	3	0	1	0	6
décap 8	1	0	0	0	0	1

Locus 09	éclats et fgts	esq°	µesq°	cassons	pt triés	total témoins
décap 1	16	21	2	5	0	44
décap 2	17	34	1	3	0	55
décap 3	34	66	0	14	0	114
décap 4	26	32	2	12	0	72
décap 5	7	8	0	9	0	24
décap 6	6	3	0	2	0	11

Locus 11	éclats et fgts	esq°	µesq°	cassons	pt triés	total témoins
décap 1	5	1	0	1	9	16
décap 2	5	25	0	3	8	41
décap 3	1	4	0	3	5	13
décap 4	0	1	0	1	0	2

Figure 5-124 – Montguyon (17), « Bois Clair », locus 00/09/11, non côtés à la fouille, décompte par décapage

Z (en m)	n° décapage	total témoins	locus 0
83,15	décap 1	3	
83,1	décap 2	21	
83,05	décap 3	168	
83	décap 4	134	
82,95	décap 5	202	
82,9	décap 6	86	contact PM ?
82,85	décap 7	48	Paléo moyen ?
82,8	décap 8	4	

Z (en m)	n° décapage	total témoins	locus 9
83,05	décap 1	85	
83	décap 2	264	
82,95	décap 3	506	
82,9	décap 4	630	contact PM ?
82,85	décap 5	266	Paléo moyen ?
82,8	décap 6	78	

Z (en m)	n° décapage	total témoins	locus 11
83,1	décap 1	201	
83,05	décap 2	188	
83	décap 3	66	
82,95	décap 4	28	

Figure 5-125 – Montguyon (17), « Bois Clair », locus 00/09/11, totalité du mobilier, décompte par décapage

Locus 00	L3.07	L3.08	L3.09	L3.10	L3.17	L3.18	L3.19	L3.20	L3.26	L3.27	L3.28	L3.29	L3.30
décap L3 1													
décap L3 2				4		1							
décap L3 3				8			5						
décap L3 4			5			1	2		1		3	1	
décap L3 5	1	3	2			1	2		4			2	
décap L3 6	1	1	1			3				1		3	
décap L3 7	4	2	3			3				3			
décap L3 8							3						

Locus 00	K3.60	K3.70	K3.77	K3.78	K3.79	K3.80	K3.87	K3.88	K3.89	K3.90	K3.96	K3.97	K3.98	K3.99	K3.100
décap K3 1															1
décap K3 2			2						3						
décap K3 3				1				2	33	19	3		5		64
décap K3 4				1			3	5	28			2	1	55	11
décap K3 5			2	2		1	2	1	5	31			4	43	71
décap K3 6			2	1				2		20		1	1	16	25
décap K3 7			6	1				2	4			8	1	1	4
décap K3 8															

Figure 5-126 – Montguyon (17), « Bois Clair », tests tamis locus 00 par carrés (en vert tests positifs, en rouge tests négatifs)

Locus 09	L4.06	L4.07	L4.08	L4.09	L4.10	L4.16	L4.17	L4.18	L4.19	L4.20	L4.26	L4.27	L4.28	L4.29	L4.30
décap 1	5								3			3	9	3	
décap 2	25	10	5	8			21		14	4		5	22	10	8
décap 3		6	4	7			113	52		4		20	102	10	
décap 4		6		3				40	14		22	47	304	15	
décap 5	3	9	6	2				20				20	151	13	
décap 6								26	1			7	15	0	

Locus 09	L4.36	L4.37	L4.38	L4.39	L4.40	L4.48	L4.49	L4.50	L4.58	L4.59	L4.60	K4.96	K4.97	K4.98	K4.99	total témoins
décap 1												7		11		41
décap 2			20	4								31	16	6		209
décap 3		3	38	9	3	8	3					4	6	0	0	392
décap 4		5	84		2	4						4	5	3		558
décap 5		2	3	7								4	2	0		242
décap 6		13		4								2				68

Figure 5-127 – Montguyon (17), « Bois Clair », tests tamis locus 09 par carrés

locus 11	K4.51	K4.52	K4.53	K4.54	K4.55	K4.61	K4.62	K4.63	K4.64	K4.65	K4.71	K4.72	K4.73	K4.74	K4.75
décap 1		5	7			18	3	19	6		28	8	58		
décap 2					2	1	7	7	1		18	7	42		
décap 3						5					8				
décap 4												6	7		

locus 11	K4.81	K4.82	K4.83	K4.84	K4.85	K4.91	K4.92	K4.93	K4.94	K4.95	L4.01
décap 1	27					4					3
décap 2	2	10	3		8	28	4	7			
décap 3		4		2		2	27	5		0	
décap 4		1					5	3		4	

Figure 5-128 – Montguyon (17), « Bois Clair », tests tamis locus 11 par carrés

Locus 07	éclats et fgts	esq°	µesq°	cassons	total témoins
nettoyage/décap 1	2	14	0	0	16
décap 2	2	21	12	4	39
décap 3	0	0	1	2	3

Figure 5-129 – Montguyon (17), « Bois Clair », tamisage locus 07

Paléo sup	locus 00/tranchée 108	locus 09	locus 11	locus 07	hors locus (décap méca)
lames	34	73	10	10	16
lamelles	5	8	2	1	4
éclats et fragments d'éclats	126	225	77	3	7
nucléus	0	2	1	0	1
outils	0	10	2	0	0
fragment indét et débris	58	42	12	0	5
cassons	1	3	1	0	1
gel	26	58	53	0	3
fragment bloc	1	2	0	0	2
total	251	423	158	14	39
	1 fgt galet percuteur ?	2 fgt blocs			2 fgts blocs

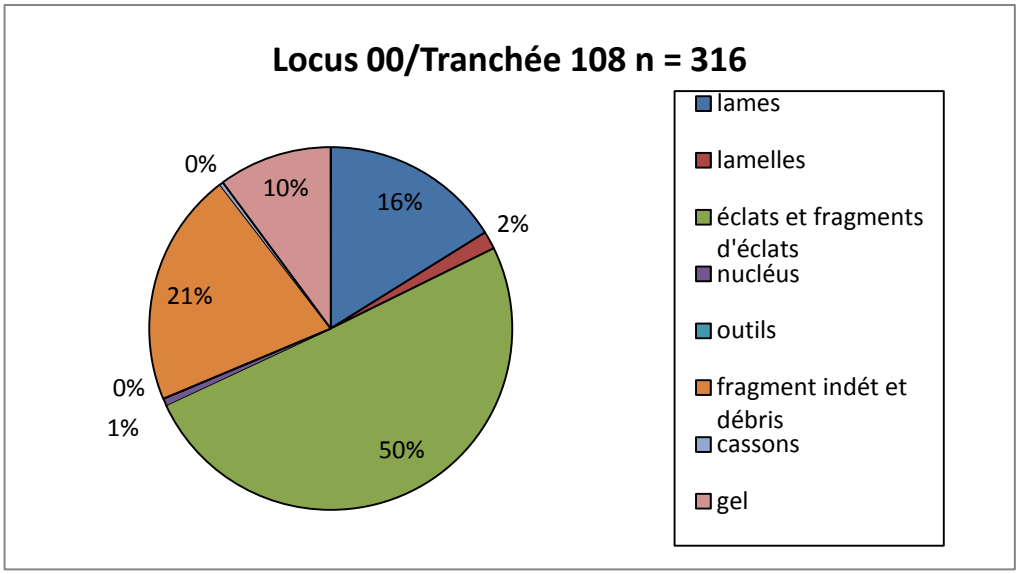
tamisage et non côté	locus 00/tranchée 108	locus 09	locus 11	locus 07
éclats et fragments d'éclats	70	269	76	9
esquilles	333	975	283	49
µesquilles	197	510	78	13
cassons	29	34	25	9
total	629	1788	462	80

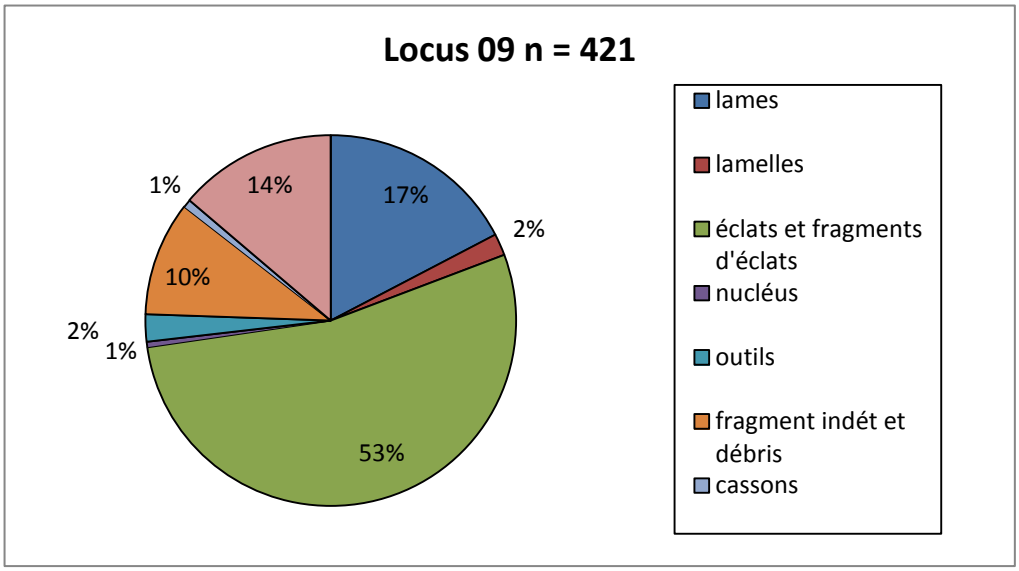
Paléo sup Inrap	tranchée 108
lames	17
lamelles	0
éclats et fragments d'éclats	33
nucléus	2
outils	0
fragment indét et débris	8
cassons	0
gel	6
total	66

Figure 5-130 – Montguyon (17), « Bois Clair », décomptes du mobilier du Paléolithique supérieur

Paléo sup+Inrap	locus 00/tranchée 108	locus 09	locus 11
lames	16,14	17,34	6,33
lamelles	1,58	1,9	1,26
éclats et fragments d'éclats	50,32	53,44	48,73
nucléus	0,63	0,47	0,63
outils	0	2,37	1,26
fragment indét et débris	20,88	9,97	7,59
cassons	0,32	0,71	0,63
gel	10,12	13,77	33,54
total	100%	100%	100%

Figure 5-131 – Montguyon (17), « Bois Clair », locus 00/09/11, décomptes en % du mobilier du Paléolithique supérieur





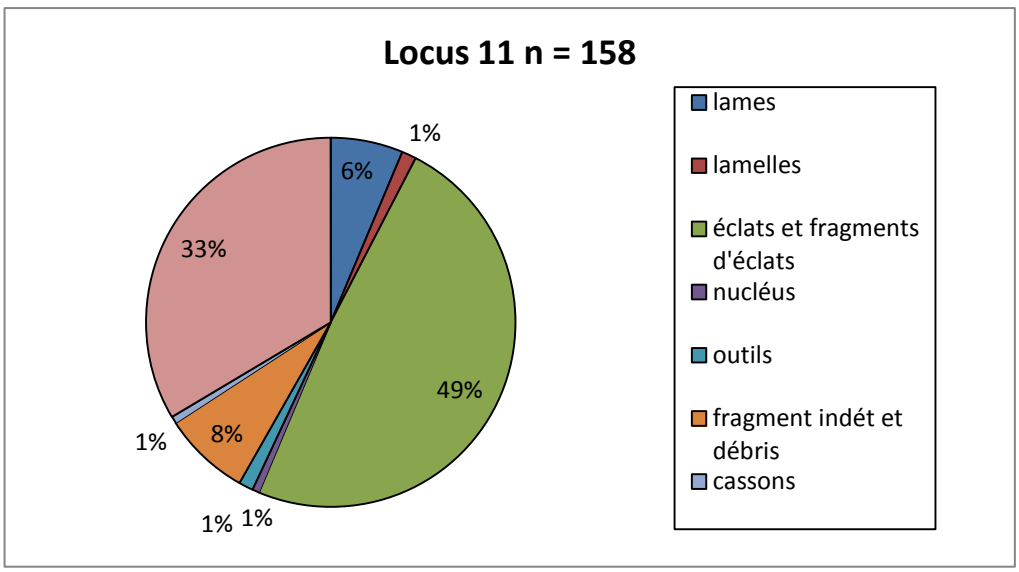


Figure 5-132 – Montguyon (17), « Bois Clair », locus 00/09/11, graphiques circulaires de la répartition du mobilier

Epipaléo	locus 13	locus 14	locus 15	hors locus (décap méca)
lames	1	2	29	3
lamelles	4	2	12	0
éclats et fragments d'éclats	23	8	52	4
nucléus	1	2	1	0
outils	1	0	0	0
fragment indét et débris	1	2	33	1
cassons	0	0	1	0
gel	0	0	0	0
total	31	16	128	8

tamisage et non côté	locus 13	locus 14	locus 15
éclats et fragments d'éclats	3	9	44
esquilles	15	25	293
µesquilles	2	8	191
cassons	0	0	9
total	20	42	537

Figure 5-133 – Montguyon (17), « Bois Clair », décomptes du mobilier de l'Epipaléolithique

inrap	type de support				
talons/percu	éc cort	éc ent non cort	l cr	l ent déb	l plein déb rég
lisse dure	7	7	1		
dièdre dure	3	4			
lisse org		2			
lisse abrasé org		2	1	1	
éperon org		1		3	
indét	2	5	2	3	5
total	12	21	4	7	5

locus 00	type de support						
talons/percu	éc cort	éc ent non cort	l cr	l ent déb	l plein déb rég	ll ent déb	ll plein déb
lisse dure	5	22	1	2			
lisse abrasé dure	1	1					
dièdre dure		14					
facetté dure	1	2					
lisse org		2				1	
lisse abrasé org		4			1		1
éperon org	1	1		2	3		
indét	10	63	8	6	9	1	2
total	18	109	9	10	13	2	3

locus 11	type de support						
talons/percu	éc cort	éc ent non cort	l cr	l ent déb	l plein déb rég	ll ent déb	ll plein déb
lisse dure	2	23					
lisse abrasé dure							
dièdre dure	4	11					
facetté dure		1					
lisse org		10					1
lisse abrasé org	1	3			2		
éperon org		1		1			
indét	5	16		3	4		1
total	12	65	0	4	6	0	2

locus 09	type de support						
talons/percu	éc cort	éc ent non cort	l cr	l ent déb	l plein déb rég	ll ent déb	ll plein déb
lisse dure	28	51		3			
lisse abrasé dure	1	10					
dièdre dure	8	25	1	1	1		
facetté dure							
lisse org	1	12				2	
lisse abrasé org	1	7		2	2	1	1
éperon org		1		3	4		
indét	23	51	12	31	23	2	2
total	62	157	13	40	30	5	3

Figure 5-134 – Montguyon (17), « Bois Clair », locus 00/09/11, talons et types de percussion (cf. tableaux des codifications en annexe 3 du tome 3)

locus	n° remontage	n° objet	chronologie	interprétation
7	111	1937	1	pdl1
bloc 65 pétro		1932	2	pdl1
7	112	2424	1	etl
bloc 65 pétro		1897	2	etl
		1898	3	etl
		1940	4	etl
		2418	5	pdl1
		4152	6	pdl1
7	113	1928	1	dmf
bloc 65 pétro		1900	2	dmf
13	117	4864	1	epdl
Bloc 10 Pétro		3244	raccord cassure	
		4910	2	epdl
13	118	3245	1	dmf
Bloc 10 Pétro		4866	2	dmf
		4865	3	epdl
		4909	raccord cassure	
13	119	3247	1	epdll
		loc 13	2	epdll
Bloc 10b Pétro		3776	3	epdll
		3249	4	rpdf
		loc 13	5	epdll
		loc 13	6	pdll
		3248	7	epdll
		3250	8	epdll
		loc 13	9	rpdf
		3246	10	epdll
		3274	**11**	**nll**
14	120	**3902**	**raccord gel**	**en**
		3903	**raccord gel**	
Bloc 67 pétro		**3904**	**raccord gel**	
		3207	**raccord gel**	
14	121	3205	1	etl
Bloc 9 Pétro		3206	2	etl
		3835	raccord cassure	
15	123	4224	1	dmf
		4818	raccord cassure	
Bloc 16 Pétro		4190	2	dmf
		4807	raccord cassure	
		4219	3	dmf
		4208	4	eci
		4221	raccord cassure	
		4206	5	ec
		4735	6	epdl
		4194	7	rpdf
		4201	raccord cassure	
		4226	7'	dmf
		4214	raccord cassure	
		4225	8	epdl
		4734	9	pdl
		4810	raccord cassure	
		4811		
		4191	10	ec
		4197	11	epdl
		4196	12	epdl
		4199	raccord cassure	
		4534	raccord cassure	
		4713	13	epdl
		4200	14	eci
		4211	15	epdl
		4220	16	eci
		3152	17	epdl
		3153	raccord cassure	
		4195	18	epdl
		4183	19	eci
		4694	20	ec
		4714	raccord cassure	
		3928	21	eci
		4706	22	ec/eci
		4727	22'	epdl
		4813	raccord cassure	
		4710	23	epdl
		4209	24	ec
		4192	25	ec
		4186	26	epdl/dmf
		4734	27	epdl
		4720	28	epdl
		4207	29	epdl/dmf
		4198	30	epdl
		4217	31	ec
		3155	32	epdl
		4817	**33**	**nl**
15	124	4729	1	dmf
bloc 16 pétro		4815	2	dmf
15	125	4697	raccord cassure	
grès ferrugineux		4697	raccord cassure	
9	126	5922	1	dmf
		2446	2	dmf
Bloc 7 Pétro		5821	3	dmf
		5815	raccord cassure	
		5816		
		4415	4	dmf
		3600	raccord cassure	
		5857	5	dmf
		4388	raccord cassure	
		5800		
		3610 ?		
		5893	6	dmf
		4648	raccord cassure	
		5890		
		5868	7	dmf
		5810	raccord cassure	
		3860	8	dmf
		5818	9	dmf
		3598	raccord cassure	
		4529	10	dmf
		5961	11	dmf
		5676	12	dmf
		4536	13	dmf
		3715	16	etl
		5963	raccord de gel	
		5889	17	etl
		5891	18	etl
		3601	14	dmf
		5938	raccord cassure	
		5819	15	dmf
		5811	raccord de gel	
		5812	raccord de gel	
		5880	raccord de gel	
		3625	**19**	**enl**
		3626	**raccord de gel**	
		3624	**raccord de gel**	
		3789	**raccord de gel**	
00 tranchée 108	127	5808	1	dmf
		5805	raccord cassure	
bloc 2 Pétro		5091	2	dmf
	lnrap	22	3	opdf
		1912	4	rpdf
	lnrap	621	5	rpdf
		5025	6	dmf
	lnrap	617	6'	dmf
		6000	7	dmf
		5741	8	dmf
		5738	9	dmf
		5737	10	dmf
		5740	11	dmf
	lnrap	62	12	dmf
		5728	13	dmf
		5726	13'	dmf
	lnrap	619	14	dmf
		5146	raccord cassure	
		3804	15	epdl
	lnrap	12	16	epdl
	lnrap	18	17	epdl
		1552	17'	epdl
	lnrap	8	raccord cassure	
	lnrap	26	raccord cassure	
		5139	18	eci
		5134	19	eci
	lnrap	**64**	**20**	**nl**
00 tranchée 108	128	1692	1	etl
		1687	raccord cassure	
bloc 2 Pétro	lnrap	54	2	etl
	lnrap	55	raccord cassure	
00 tranchée 108	129	1626	1	eci
bloc 2 Pétro		3750	2	etl
00 tranchée 108	130	1688	1	epdl
		1467	raccord cassure	
bloc 2 Pétro	lnrap	620	2	epdl
		1911	3	epdl
00 tranchée 108	131	5646	1	epdl
bloc 2 Pétro		1136	2	epdl
00 tranchée 108	132	49	raccord cassure	epdl
bloc 2 Pétro		5744	raccord cassure	
00 tranchée 108	133	5731	1	rpdf
bloc 2 Pétro		5998	2	rpdf
00 tranchée 108	134	13	1	dmf
	lnrap	24	raccord cassure	
	lnrap	14	2	dmf
bloc 5 Pétro	lnrap	28.2	raccord gel et cassure	
	lnrap	29	raccord gel et cassure	
	lnrap	637	raccord gel et cassure	
		1135	raccord gel et cassure	
	lnrap	2	3	dmf
	lnrap	639	raccord cassure	
		1740	raccord cassure	
	lnrap	632	4	dmf
		3752	5	dmf
	lnrap	25	6	dmf
		1474	7	dmf
		1473	raccord cassure	
	lnrap	633	8	dmf
	lnrap	58	9	dmf
		720	10	dmf
	lnrap	27	raccord cassure	
		1551	raccord cassure	
	lnrap	625	11	dmf
		3940	12	dmf
	lnrap	11	raccord cassure	
	lnrap	630	13	dmf
		5746	14	dmf
	lnrap	32	15	dmf
	lnrap	1	16	opdf
	lnrap	7	17	opdf
	lnrap	626	raccord cassure	
	lnrap	9	18	etl
	lnrap	10	raccord cassure	
		3826	19	etl
	lnrap	631	19'	etl
		3887	raccord cassure	
		2034	20	epdl
	lnrap	30	raccord cassure	
	lnrap	629	raccord cassure	
	lnrap	628	raccord cassure	
		3754	21	epdl
	lnrap	5	raccord cassure	
		3936	22	epdl
	lnrap	624	23	epdl
	lnrap	627	raccord cassure	
	lnrap	21	24	rpdf
	lnrap	16	25	epdl
	lnrap	57	25'	epdl
	lnrap	47	26	epdl
	lnrap	619	raccord cassure	cg
	lnrap	**63**	**27**	**nl**
		3951		dmf
00 tranchée 108	136	4402	1	eci
bloc indét Pétro		5949	2	eci
11 et 9	137	4436	1	dmf
Bloc 3a Pétro		3699	2	dmf
		3619	3	dmf
		3705	4	dmf
		3772	5	epdl
		3564	raccord cassure	
		3608	6	dmf
		3964	7	dmf
		4321	raccord de gel	
		3966	8	dmf
		5962	9	eci/ec
		2280	raccord de gel	

		4310	10	eci/ec
		3591	11	eci
		3684	raccord de gel	
		3616	raccord de gel	
		3703	raccord de gel	
		3585	raccord de gel	
		3700	12	rpdf
		4327	raccord de gel	
		2862	raccord de gel	
		3717	13	rpdf
		3963	14	rpdf
		3588	raccord de gel	
		5997	raccord de gel	
		3586	raccord de gel	
		4649	15	epdl
		4634	raccord cassure	
		4331	raccord cassure	
		4319	raccord cassure	
		3572	16	pdl
		3797	raccord cassure	
		5687	17	epdl
		5793	raccord de gel	
		5666	raccord de gel	
		3032	raccord de gel	
		3520	raccord de gel	
		3603	18	epdl
		3027	**19**	**nl**
		3517	**raccord de gel**	
		3518	**raccord de gel**	
		3029	**raccord de gel**	
		3028	**raccord de gel**	
9	138	3971	1	dmf
Bloc 3b Pétro		4115	1'	dmf
		4437	2	dmf
		4420	3	dmf
		4619	4	dmf
		5928	raccord de gel	
		5929	raccord de gel	
		4655	raccord de gel	
		4647	raccord de gel	
		4449	raccord de gel	
		4646	raccord de gel	
		4650	5	dmf
		3583	raccord de gel	
		3975	raccord de gel	
9	139	4617	1	epdl
Bloc 3b Pétro		3612	2	epdl
		4298	raccord de gel	
9	140	4308	1	etl
Bloc 15 Pétro		5999	2	etl
		3965	raccord cassure	
9	141	4414	1	pdl
Bloc 3b Pétro		4306	raccord cassure	
		4328	2	epdl
9	142	5964	1	epdl
Bloc 3b Pétro		5921	2	epdl
		4427	3	epdl
9	143	3063	1	rpdf ?
Bloc 3b Pétro		4411	raccord cassure	
		4410	2	rpdf ?
		2452	raccord de gel	
		3590	raccord de gel	
9	144	2468	1	rpdf
bloc 3b Pétro		3582	2	rpdf
9	145	4418	1	rpdf
Bloc 3a/3b Pétro ?		4565	2	rpdf
		3614	raccord cassure	
		3711	3	rpdf
		4300	4	rpdf
		4412	raccord de gel	
		3570	raccord de gel	
		3713	raccord de gel	
		5817	raccord de gel	
		5669	raccord de gel	
8	149	1455	1	rpdf
Bloc 11 Pétro		2198	1'/2	Lcr/Lncr
		1461	2 ou 3	Nll éb
9 nord	150	3706	1	epdl
	bloc 2	5671	2	epdl
		2883	3	epdl
9 nord	151	5931	1	dmf
	bloc 2	3694	2	dmf
		3681	raccord de gel	
9 nord	152	4569	1	epdl
	bloc 2	5795	2	epdl/dmf
		4440	raccord cassure	

Figure 5-135 – Montguyon (17), « Bois Clair », remontages (cf. tableaux des codifications en annexe 3 du tome 3)

types	support		
	lame	lamelle	éclat
pe	0	0	1
ret	0	0	1
ret2	0	0	2
ret/esq2	1	0	0
bd	2	0	2
bc	2	0	1
bp	0	0	1
bpc	0	0	1
bdret2	2	0	0
bdret2+t	1	0	0
bd+bc	1	0	0
g/r	0	0	3
g/pret2	1	0	0
total	10	0	12

Figure 5-136 – Montguyon (17), « Bois Clair », outils du Paléolithique supérieur (cf. tableaux des codifications en annexe 3 du tome 3)

	EC	EENC	LED	LPD
Locus 00/108	30	130	17	18
Locus 09	62	157	40	30
Locus 11	12	65	4	6

Figure 5-137 – Montguyon (17), « Bois Clair », locus 00/09/11, décomptes pour AFC (cf. tableaux des codifications en annexe 3 du tome 3)

	EC	EENC	LC	LED	LPD	LL
Locus 00/108	30	130	13	17	18	5
Locus 09	62	157	13	40	30	8
Locus 11	12	65	0	4	6	2

Figure 5-138 – Montguyon (17), « Bois Clair », locus 00/09/11, décomptes pour graphique circulaire sur les composantes technologiques (cf. tableaux des codifications en annexe 3 du tome 3)

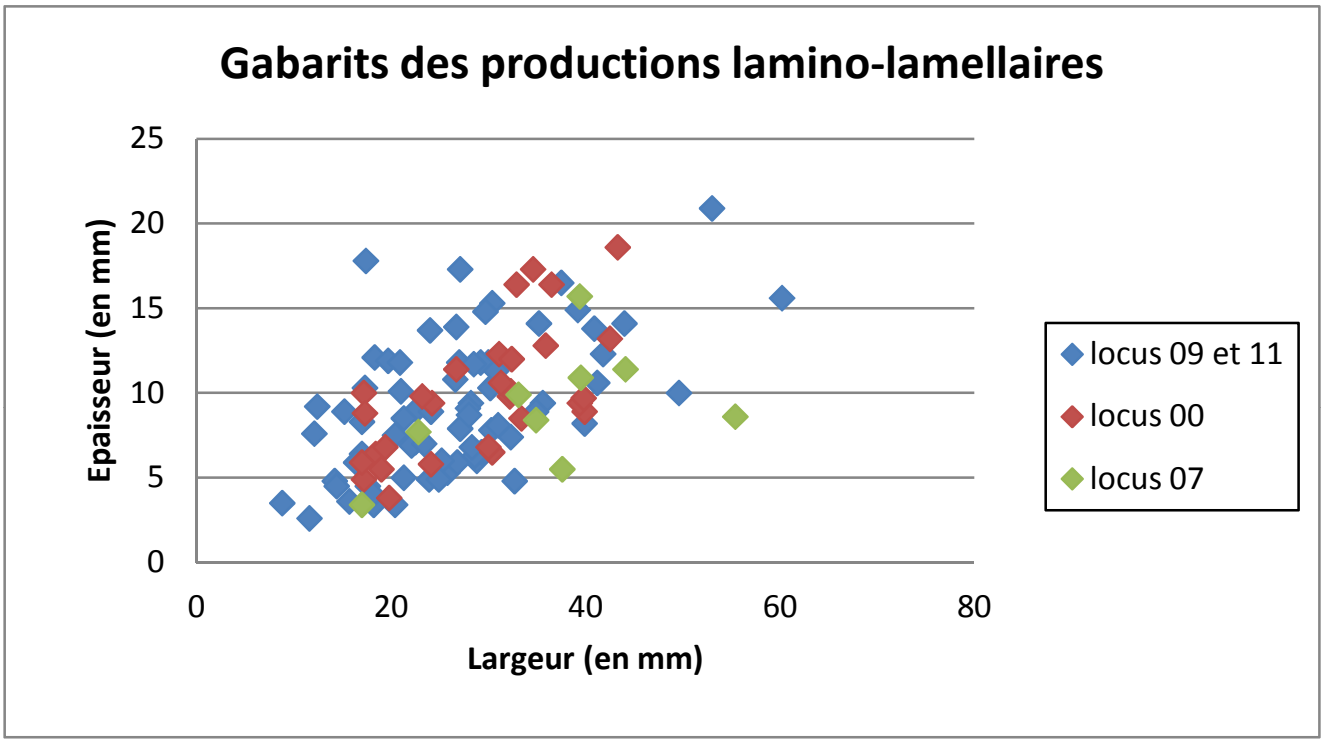


Figure 5-139 – Montguyon (17), « Bois Clair », gabarits des productions lamino-lamellaires du Paléolithique supérieur

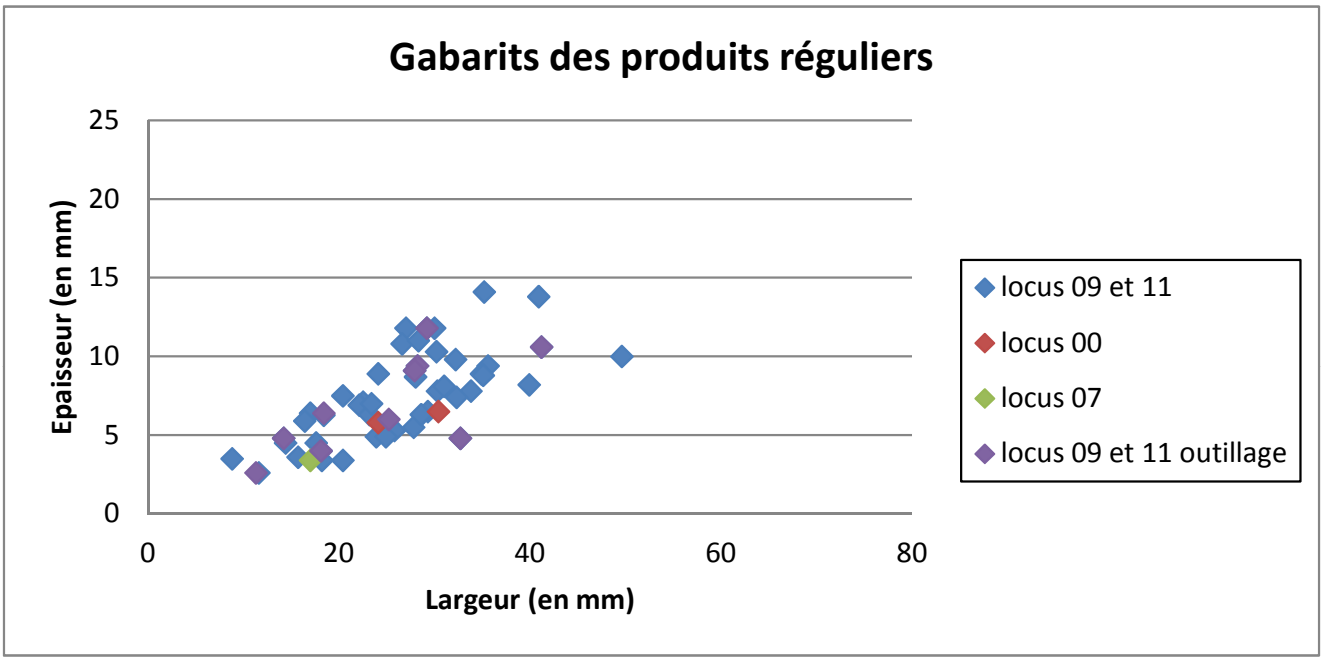


Figure 5-140 – Montguyon (17), « Bois Clair », gabarits des productions lamino-lamellaires régulières et outillages du Paléolithique supérieur

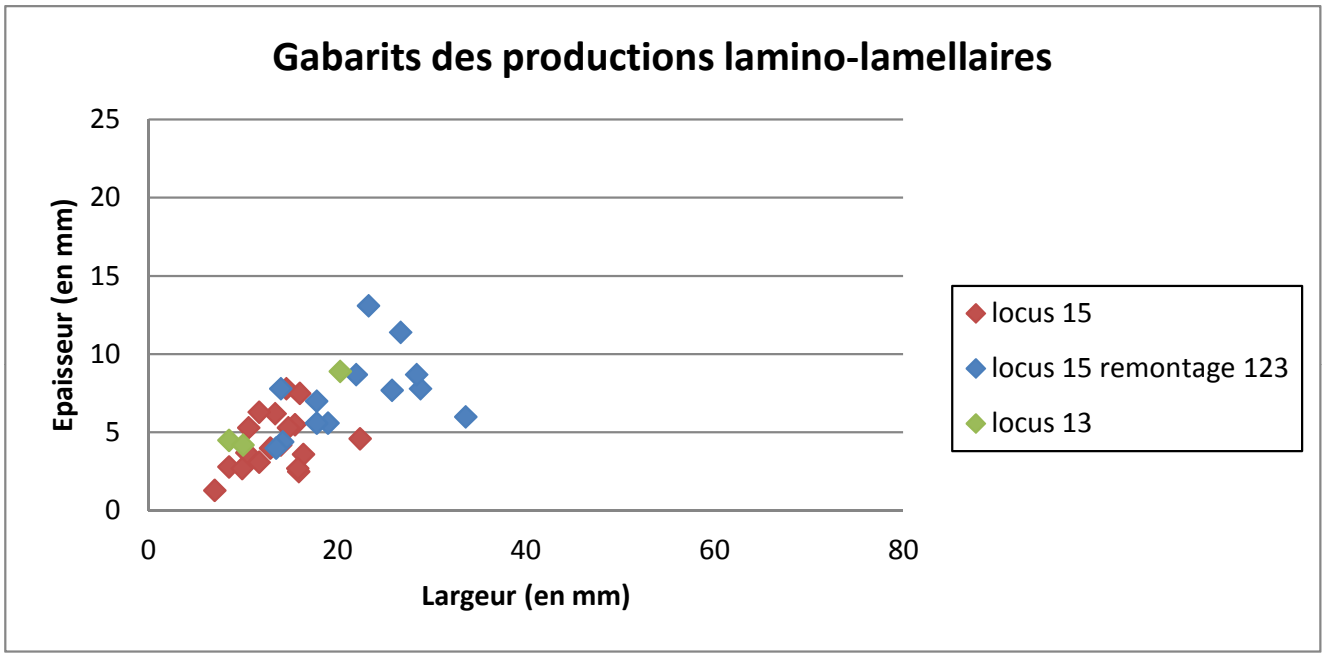
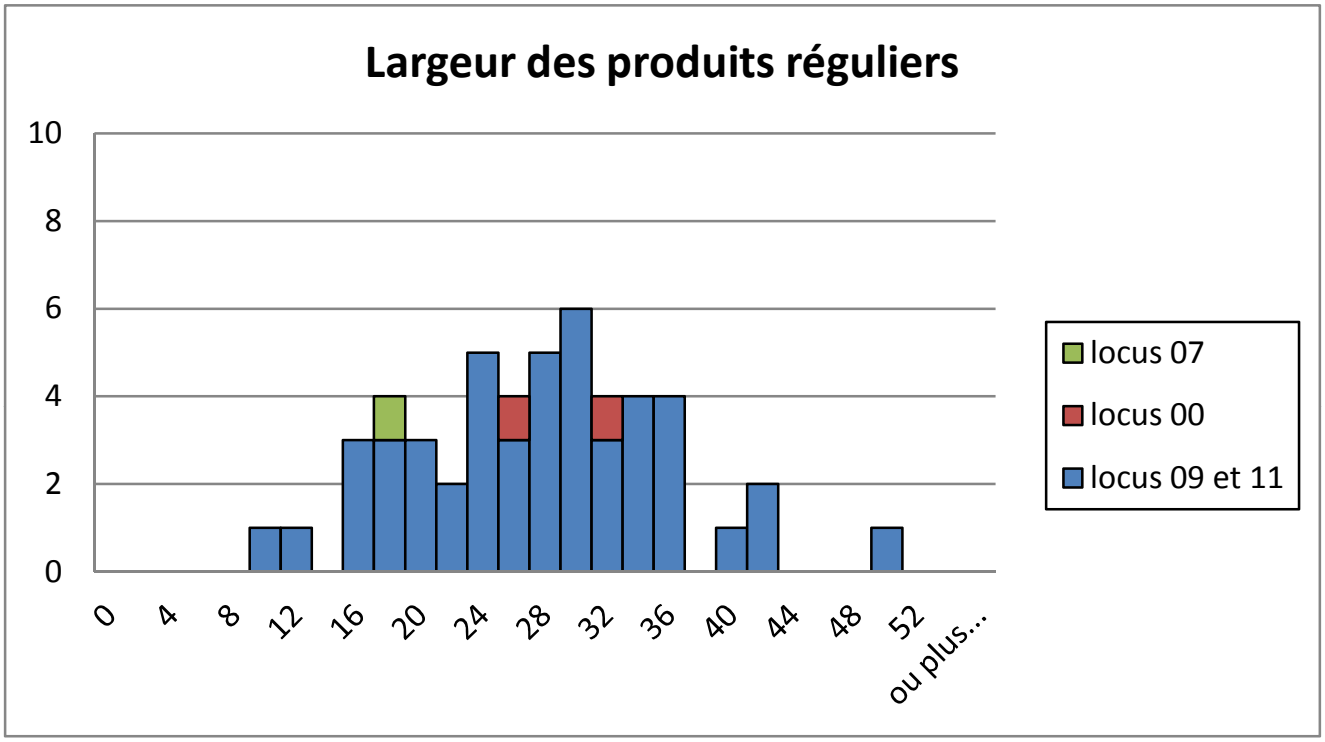


Figure 5-141 – Montguyon (17), « Bois Clair », gabarits des productions lamino-lamellaires régulières de l'Epipaléolithique



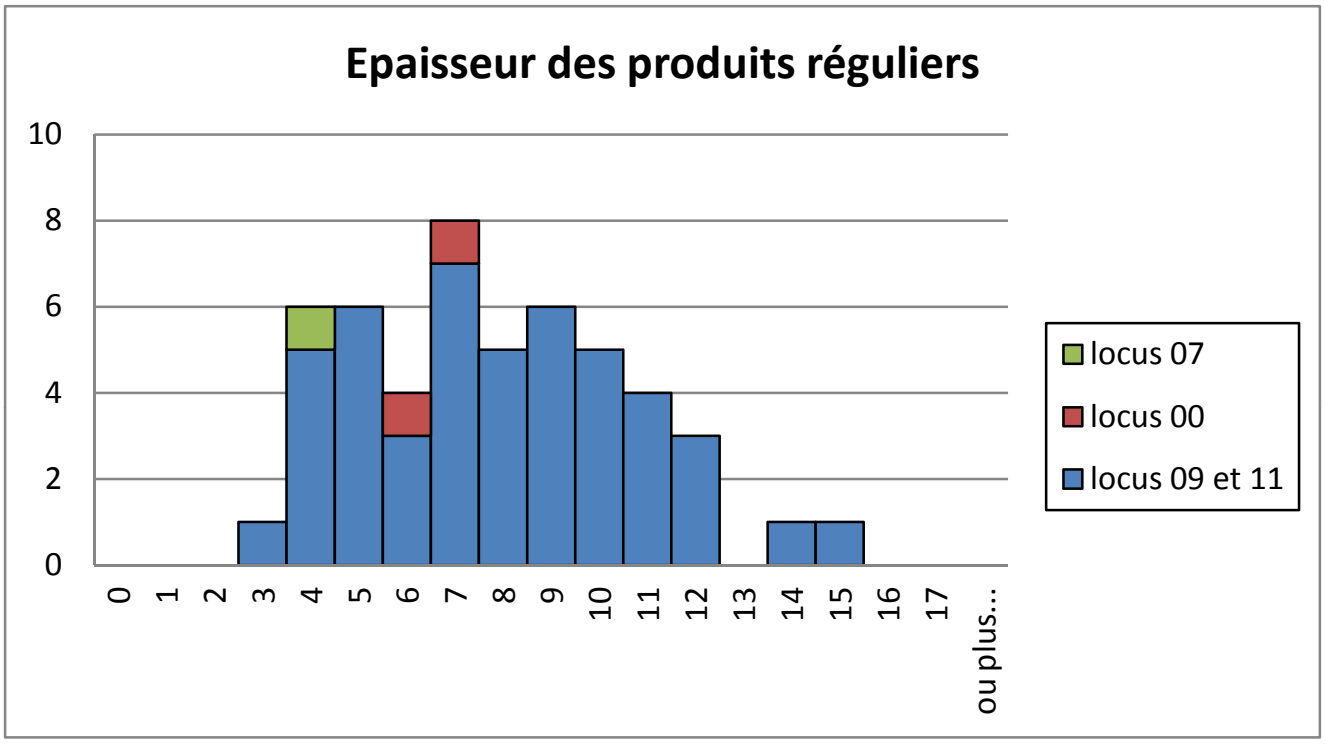
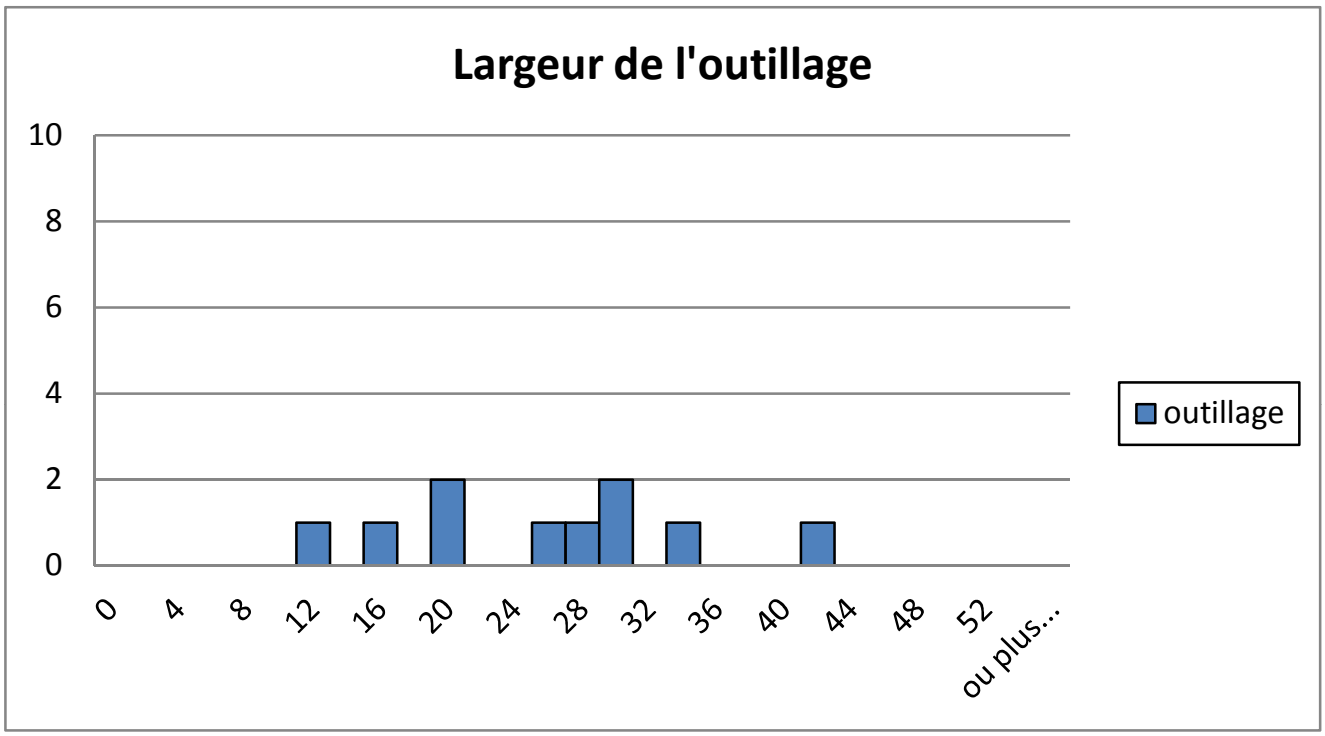


Figure 5-142 – Montguyon (17), « Bois Clair », mensurations des produits lamino-lamellaires réguliers



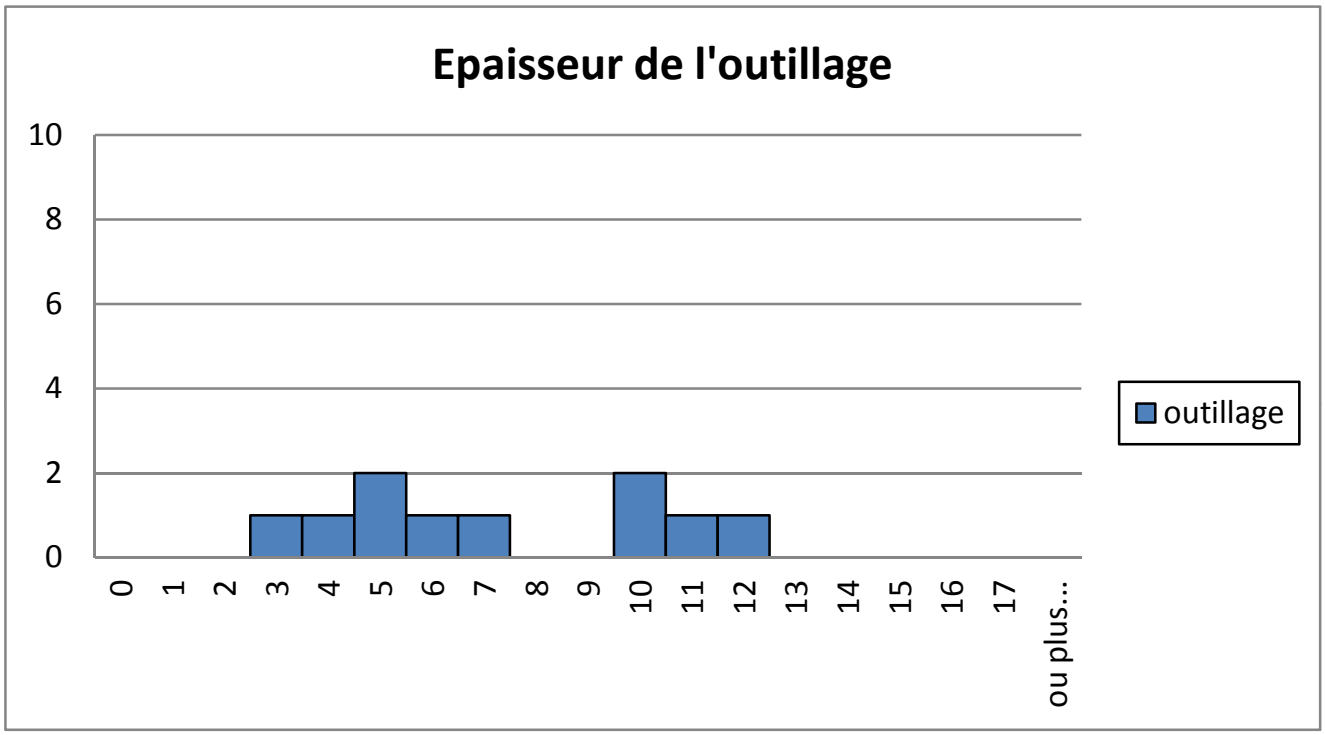


Figure 5-143 – Montguyon (17), « Bois Clair », mensurations des supports retouchés

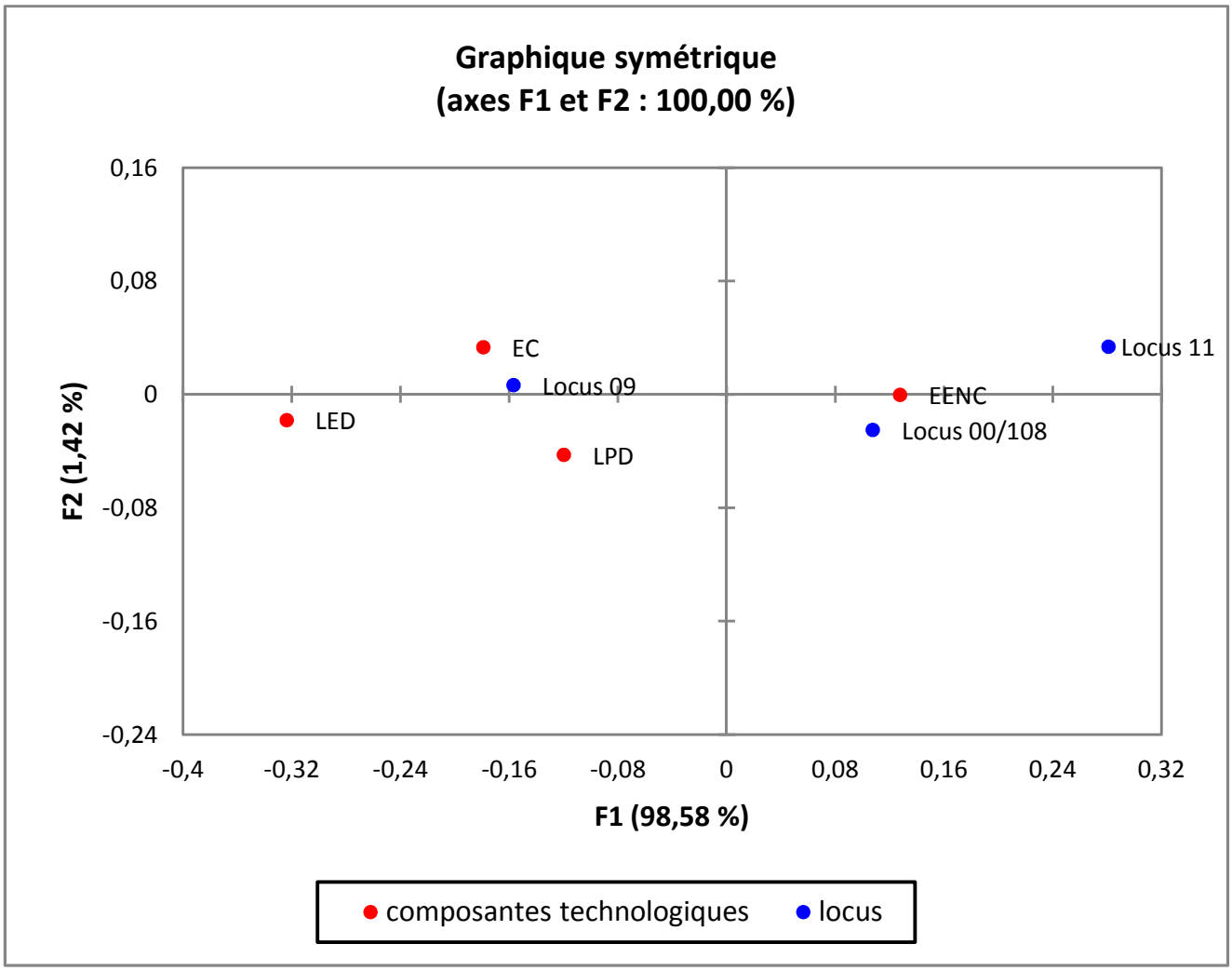


Figure 5-144 – Montguyon (17), « Bois Clair », AFC

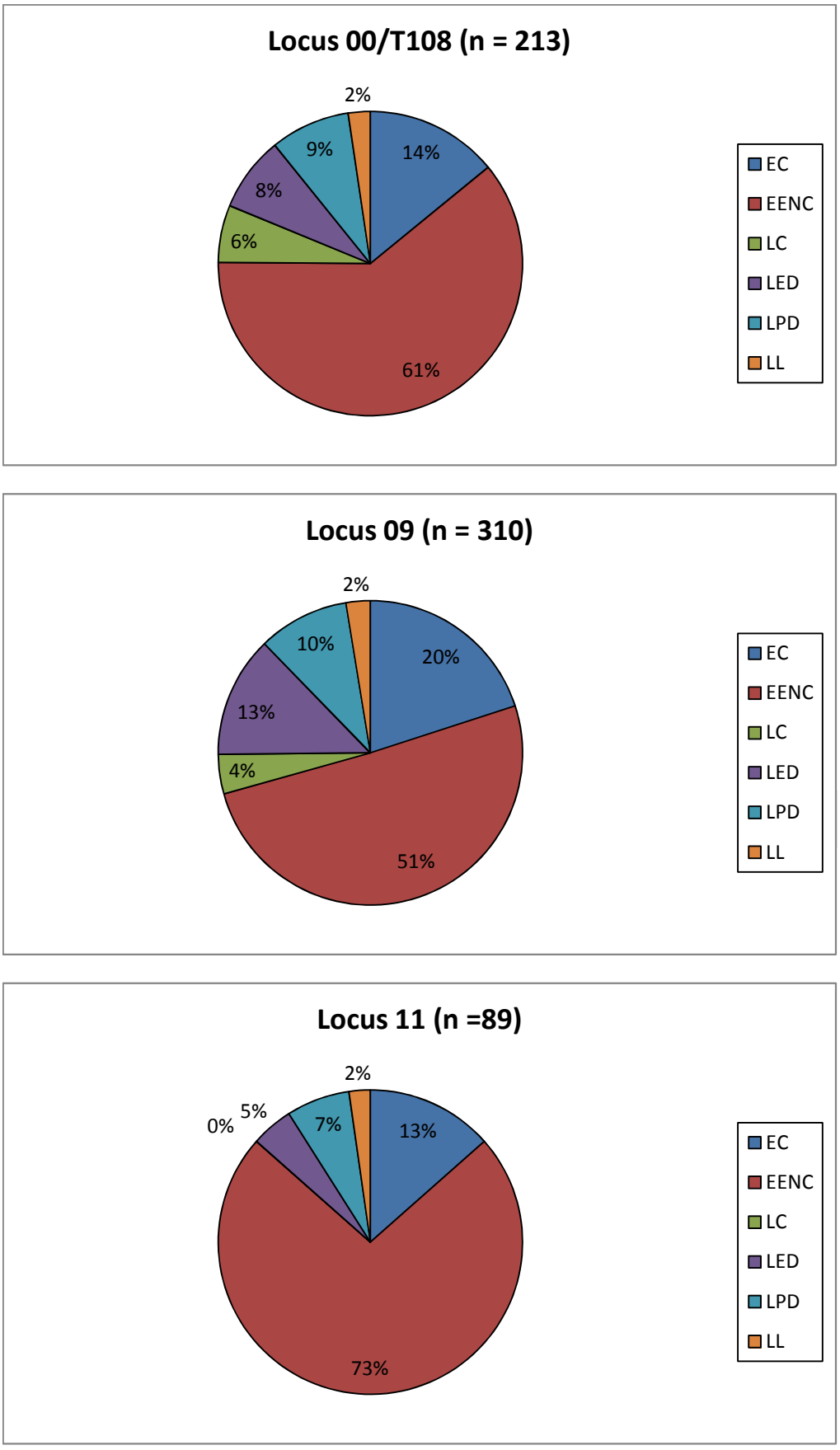


Figure 5-145 – Montguyon (17), « Bois Clair », locus 00/09/11, graphiques circulaires des composantes technologiques (EC éclat cortical, EENC éclat d'entretien non cortical, LC lame corticale, LED lame d'entretien du débitage, LPD lame de plein débitage, LL lamelle)

lames	3
lamelles	2
éclats et fragments d'éclats	8
nucléus	1
outils	22
fragment indét et débris	1
cassons	0
gel	2
bloc brut	3
total	42

Figure 5-146 – Montguyon (17), « Bois Clair », décomptes du mobilier en locus 08

types	support			localisation
	lame	lamelle	éclat	
glret2	2	0	0	locus 09
g/lret2	1	0	0	locus 09
lret	2	0	0	locus 09/09(N)
lret2	1	0	0	locus 09
bclret	1	0	0	locus 09
bdl	1	0	0	locus 11
btl	1	0	0	locus 09
becc	0	0	1	locus 11
làd marg	0	1	0	locus 09
pdc	1	0	0	locus 09
total	10	1	1	

Figure 5-147 – Montguyon (17), « Bois Clair », outils du locus 08 (cf. tableaux des codifications en annexe 3 du tome 3)



Figure 5-148 – Montguyon (17), « Bois Clair », bloc de grès du locus 9

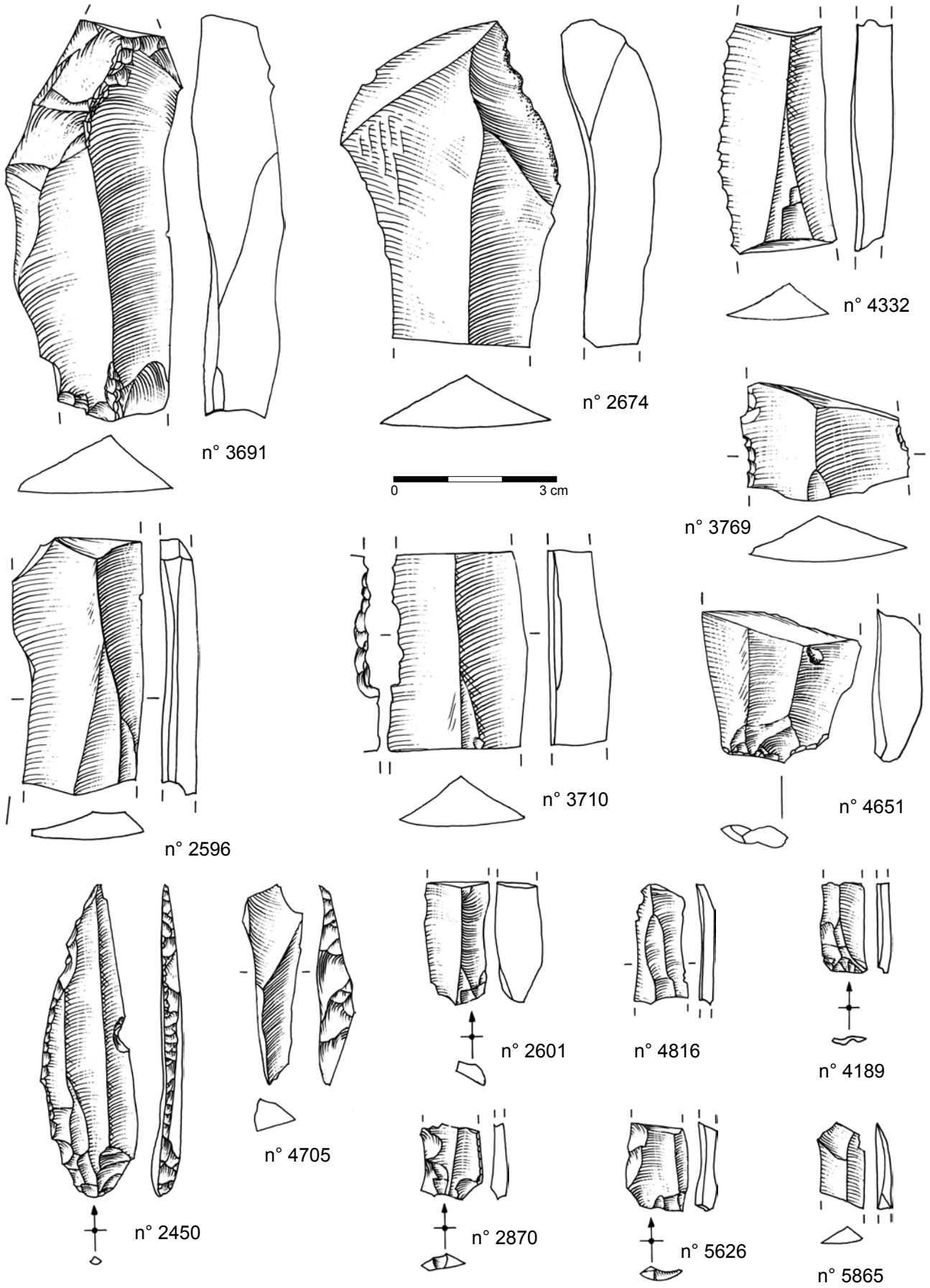


Figure 5-149 – Montguyon (17), « Bois Clair », locus 9, sauf n° 4705, 4816 et 41 89 : locus 15 et n° 5626 : locus 11 (dessins : R. Picavet)

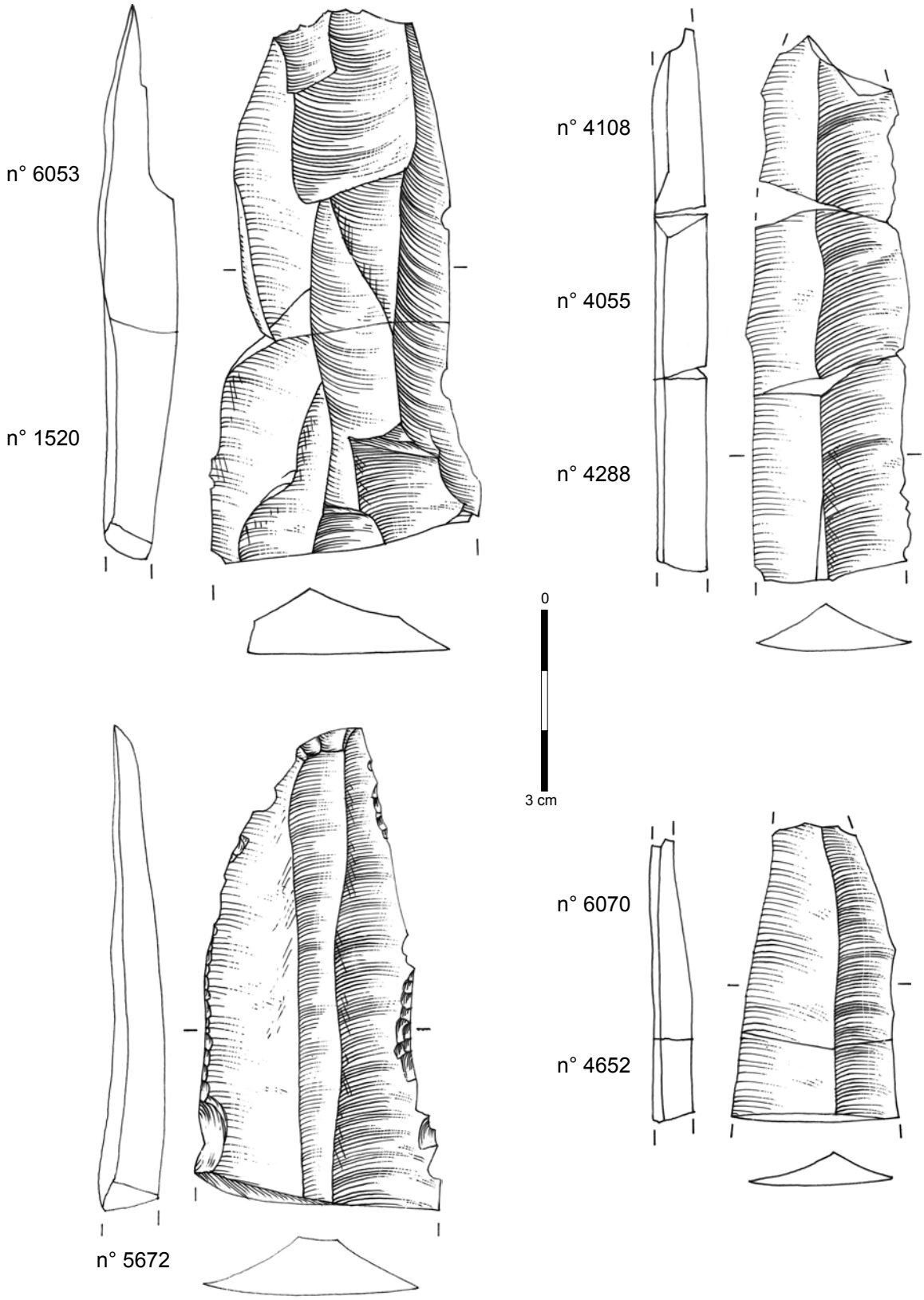


Figure 5-150 – Montguyon (17), « Bois Clair », locus 9, lames (dessins : R. Picavet)

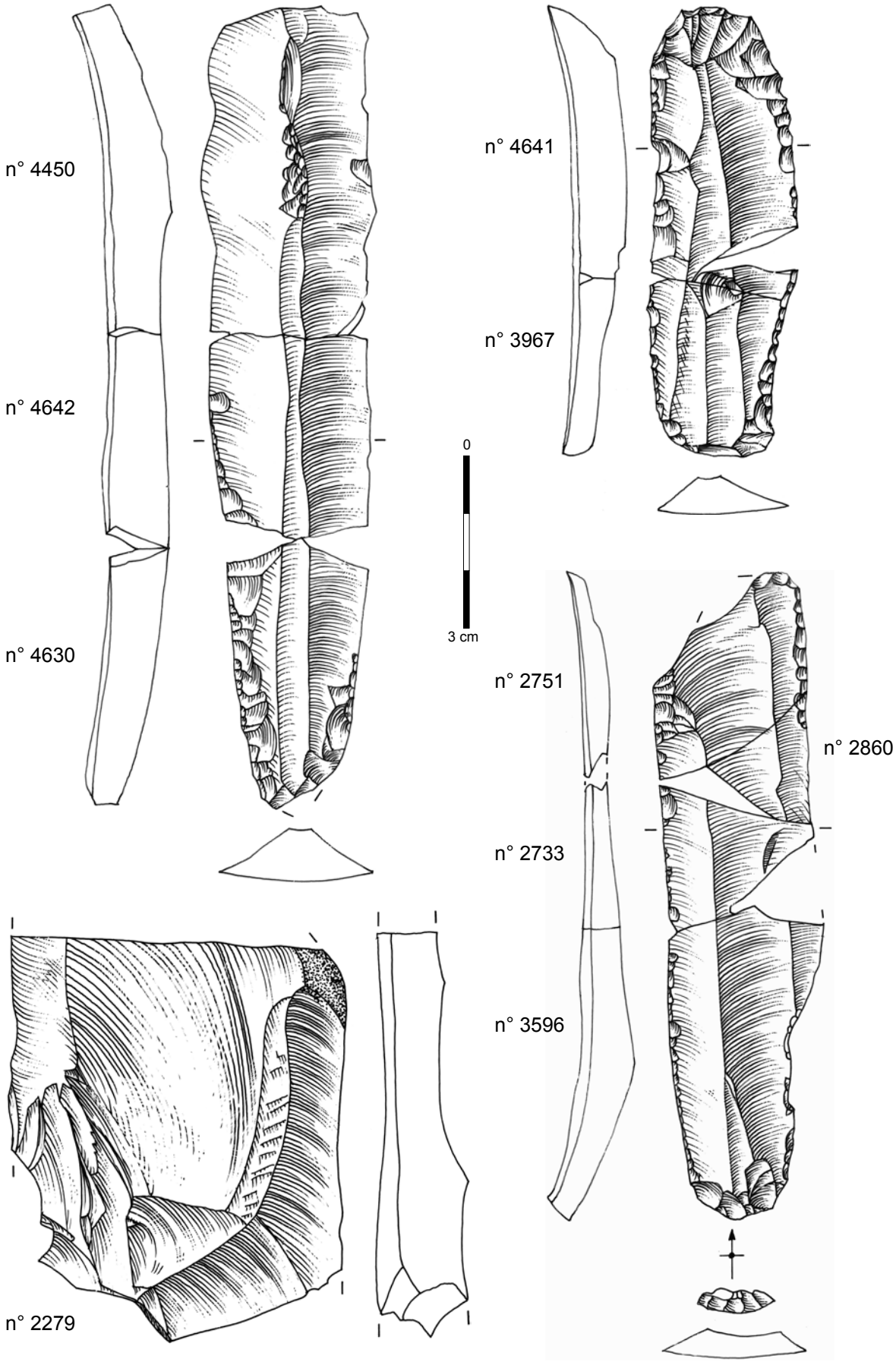


Figure 5-151 – Montguyon (17), « Bois Clair », locus 9 (dessins : R. Picavet)

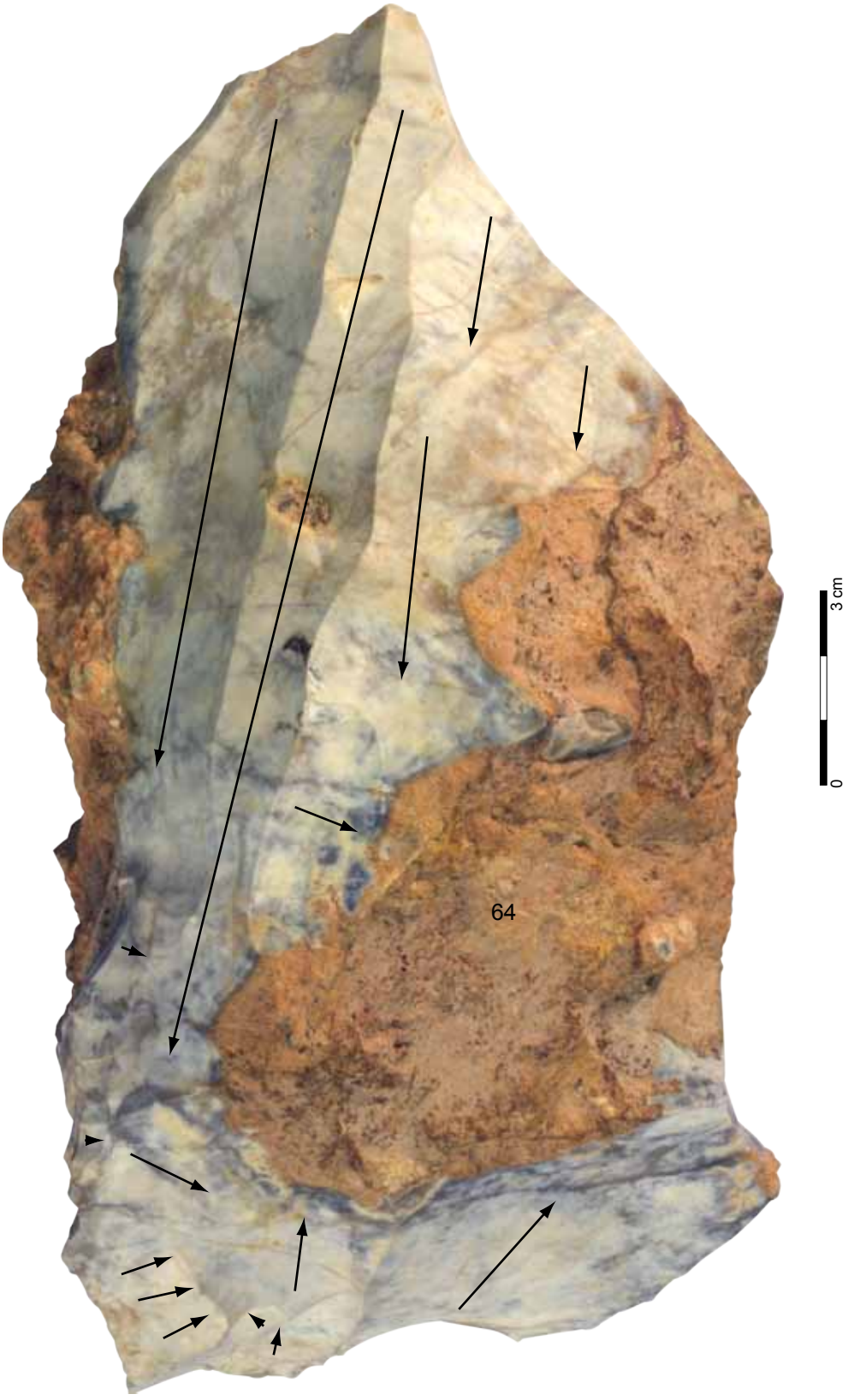


Figure 5-152 – Montguyon (17), « Bois Clair », remontage 127 (locus 00/tranchée 108)

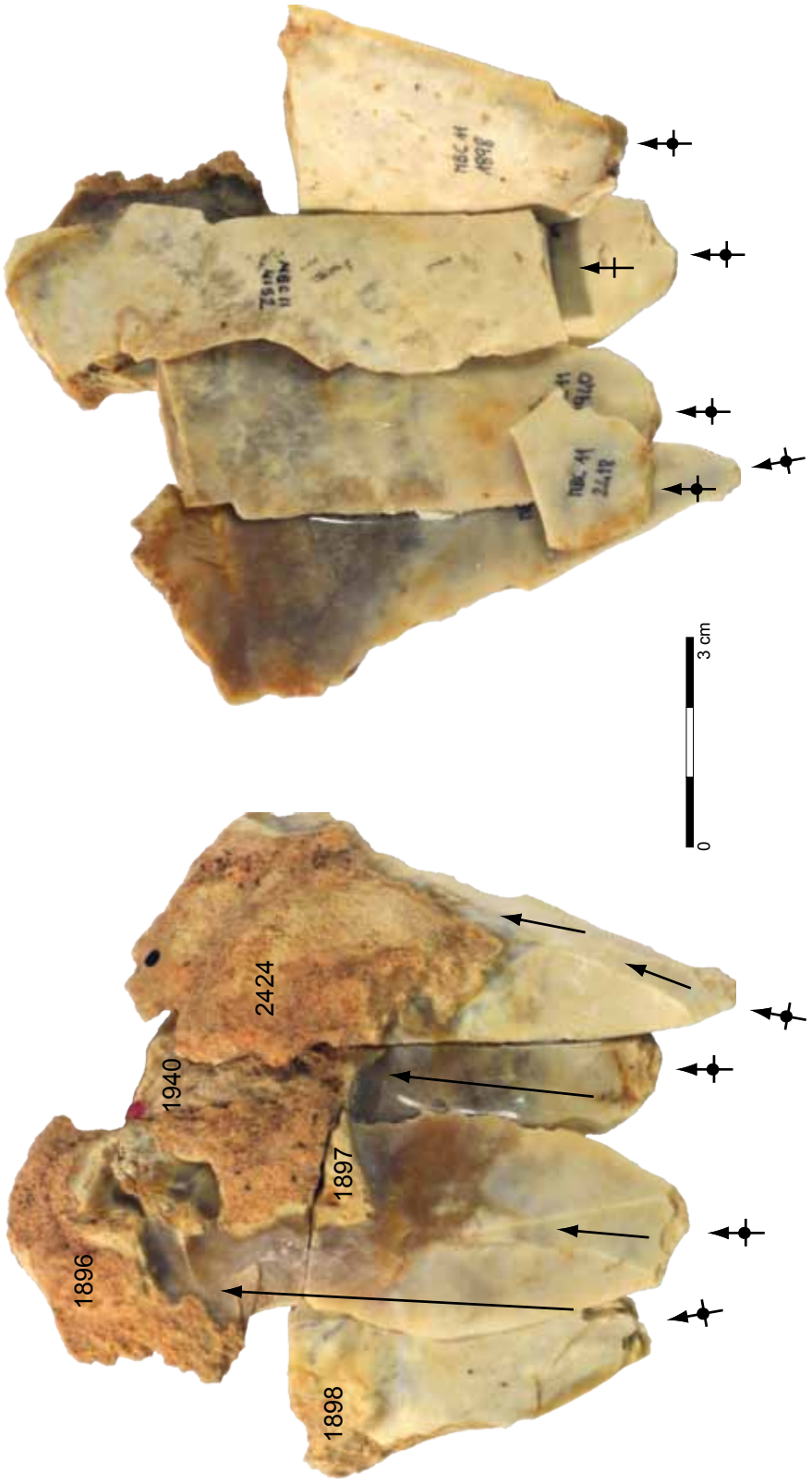


Figure 5-184 – Montguyon (17), « Bois Clair », remontage 112, locus 7

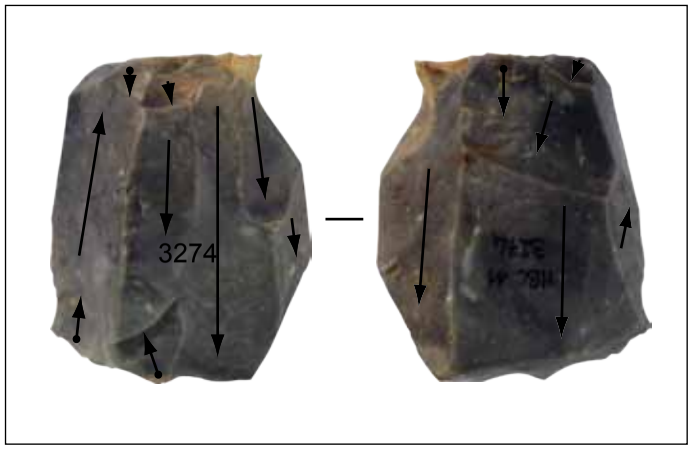


Figure 5-185 – Montguyon (17), « Bois Clair », remontage 119 (locus 13)

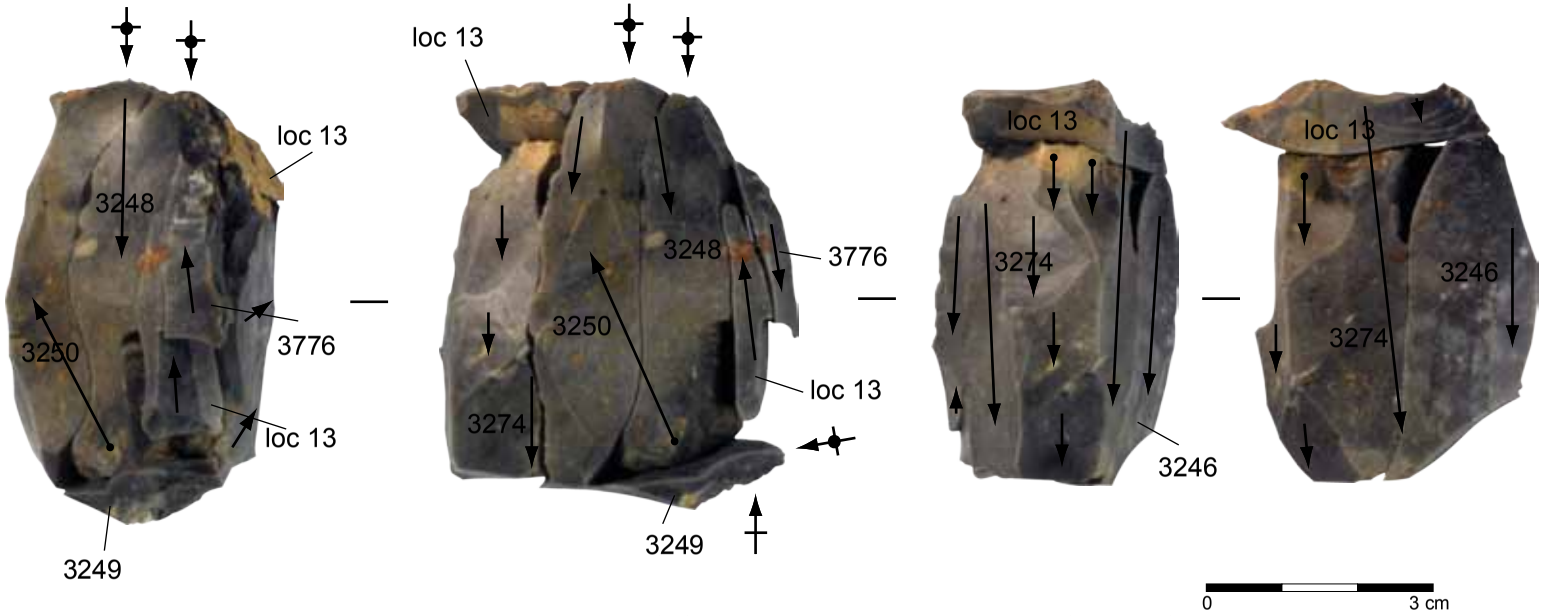


Figure 5-186 – Montguyon (17), « Bois Clair », remontage 119 (locus 13)

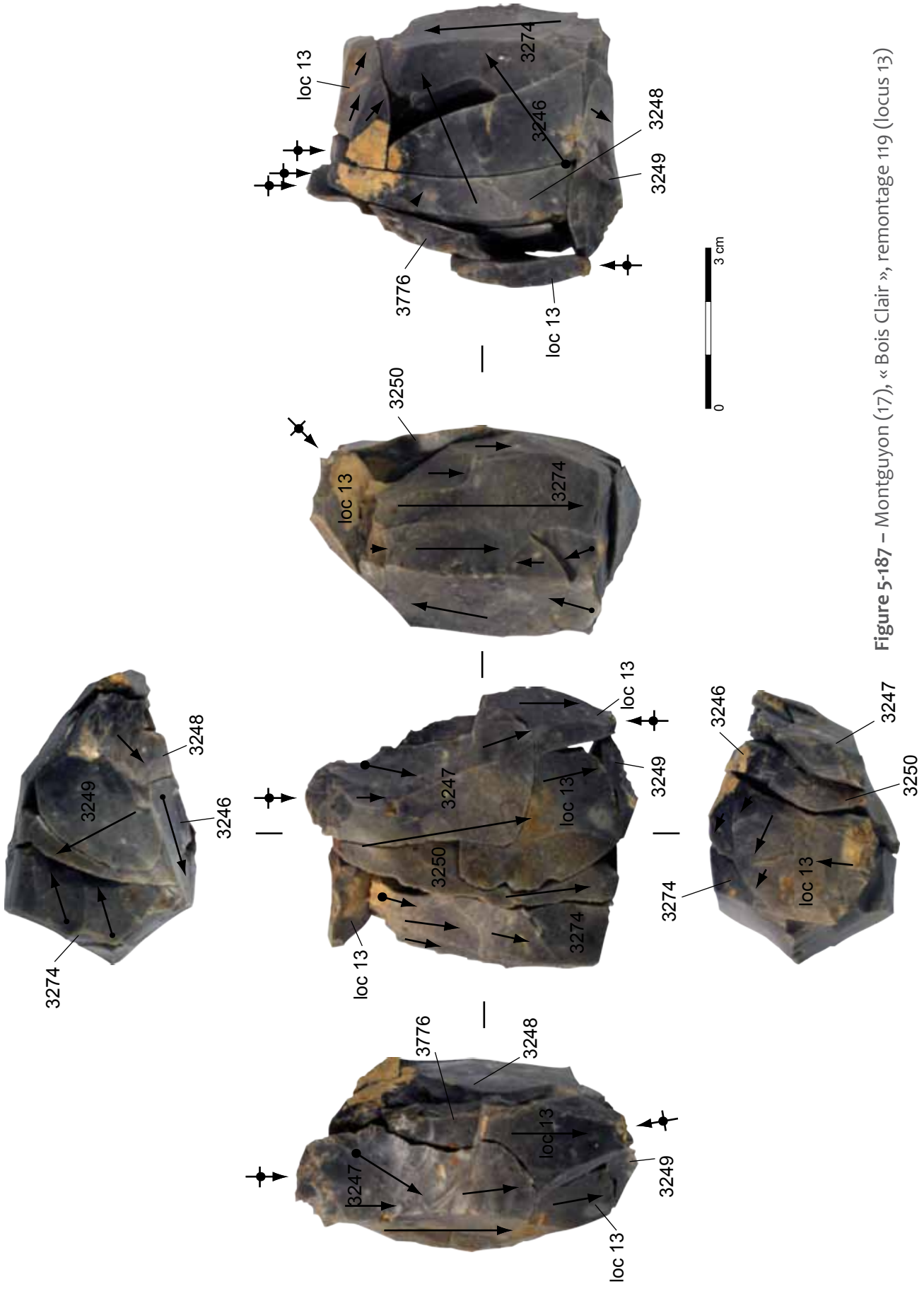


Figure 5-187 – Montguyon (17), « Bois Clair », remontage 119 (locus 13)

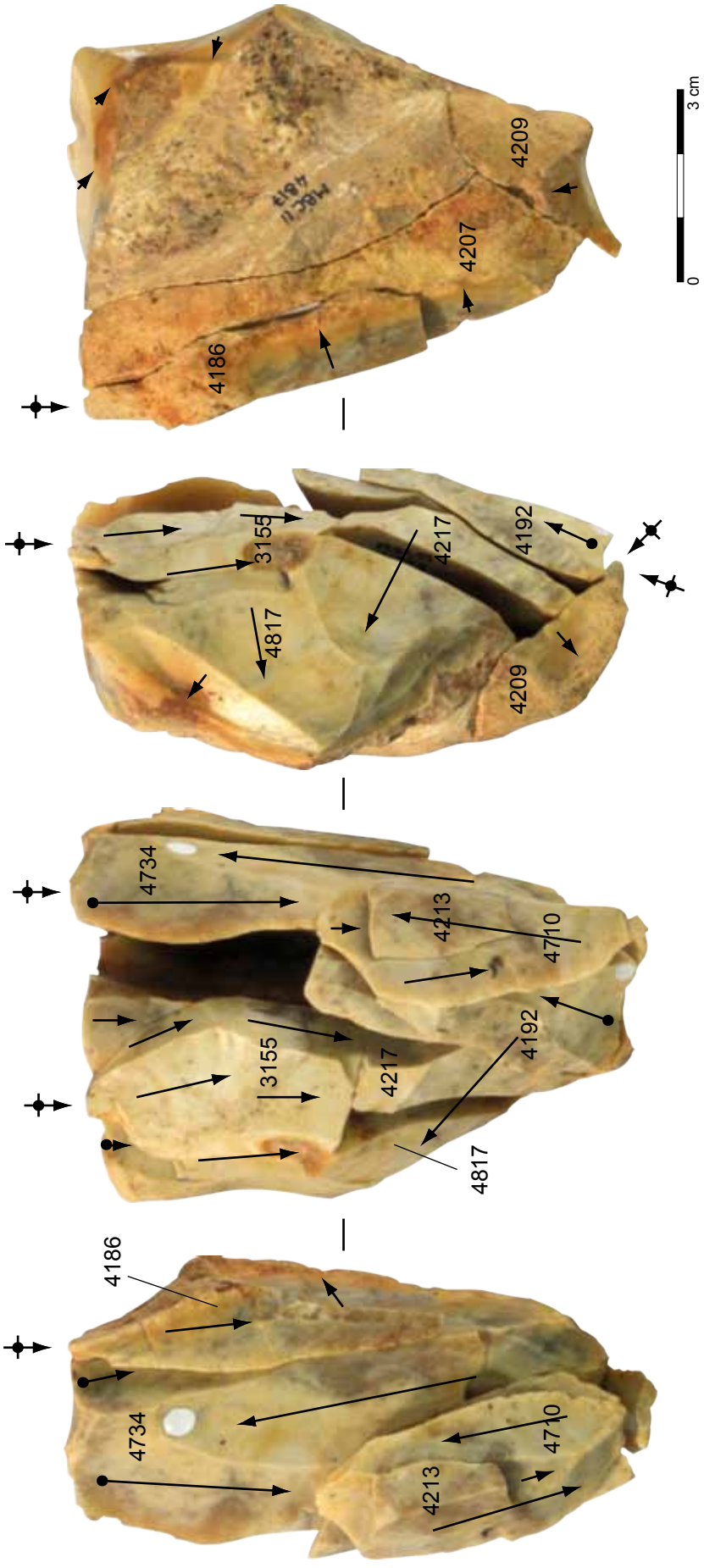


Figure 5-188 – Montguyon (17), « Bois Clair », remontage 123 (locus 15)

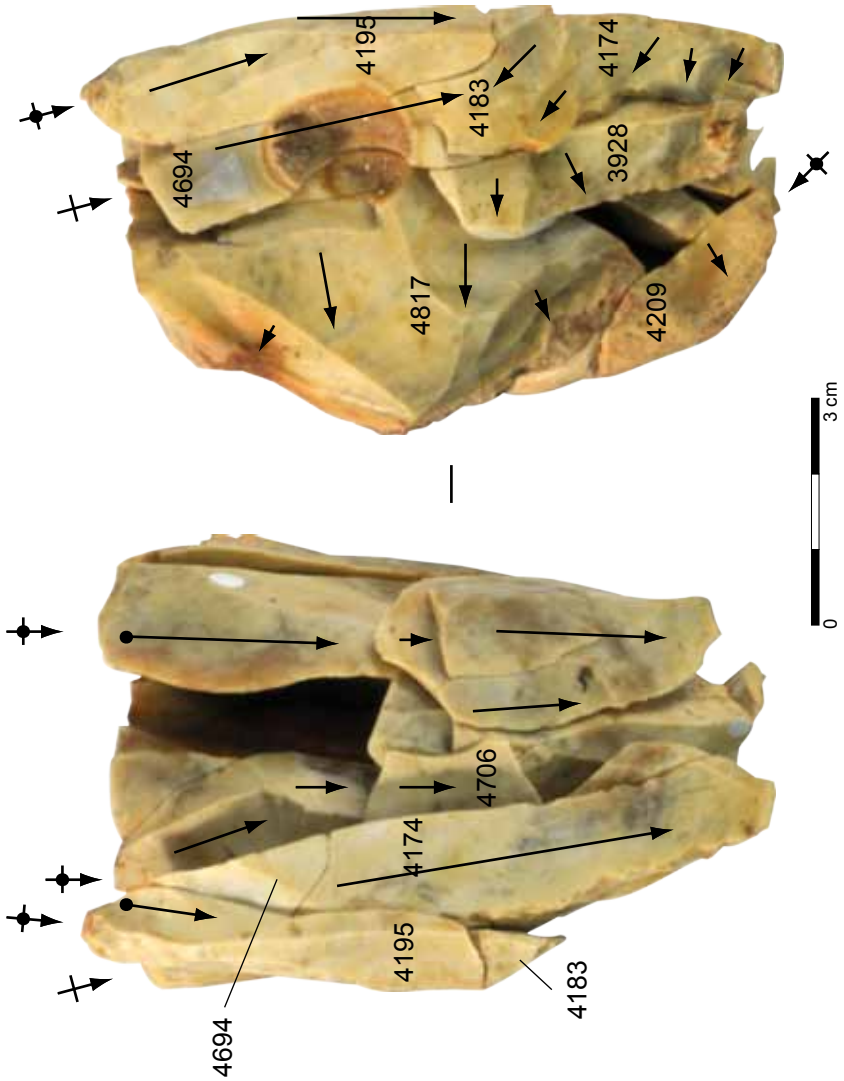


Figure 5-189 – Montguyon (17), « Bois Clair », remontage 123 (locus 15)

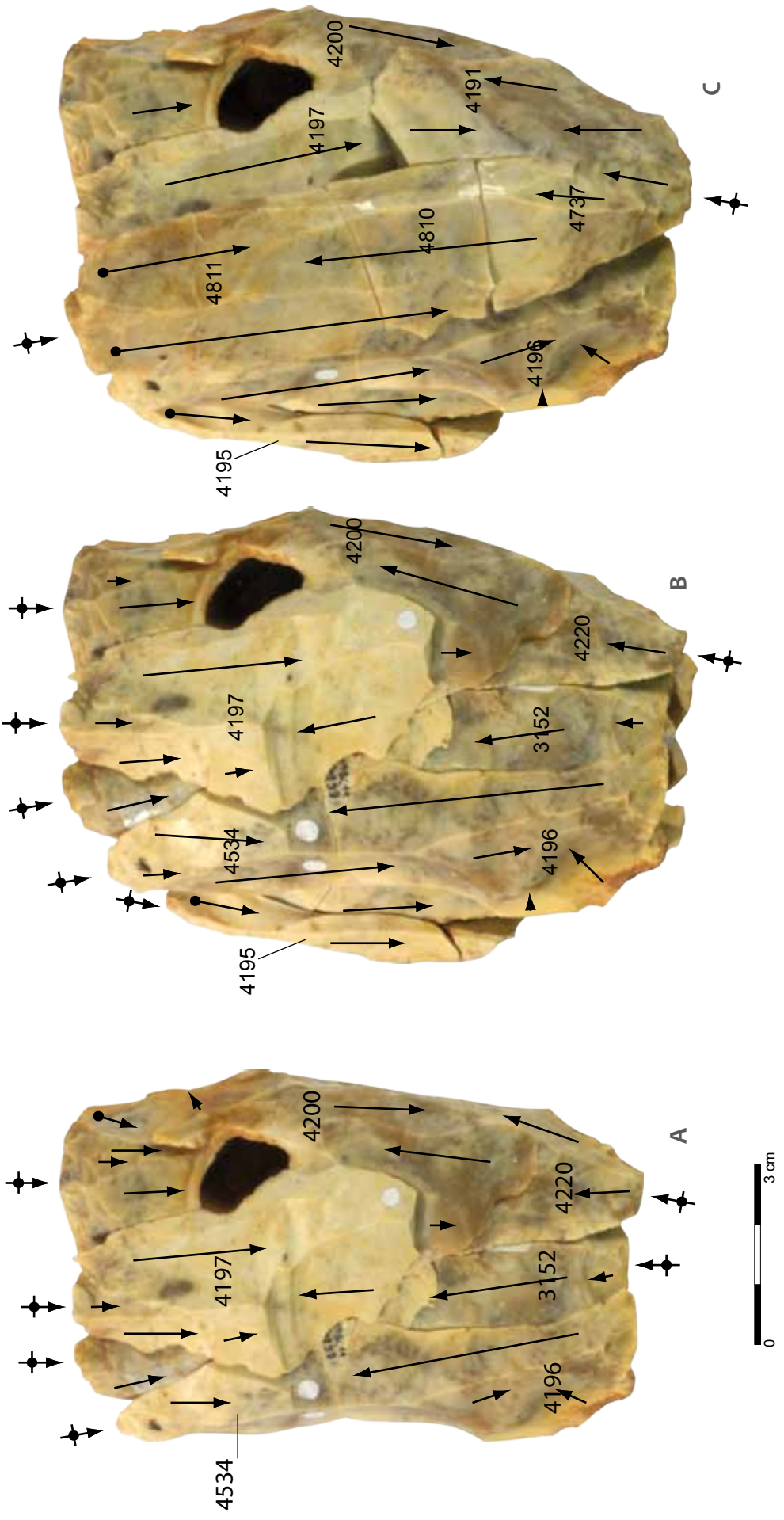


Figure 5-190 – Montguyon (17), « Bois Clair », remontage 123 (locus 15)

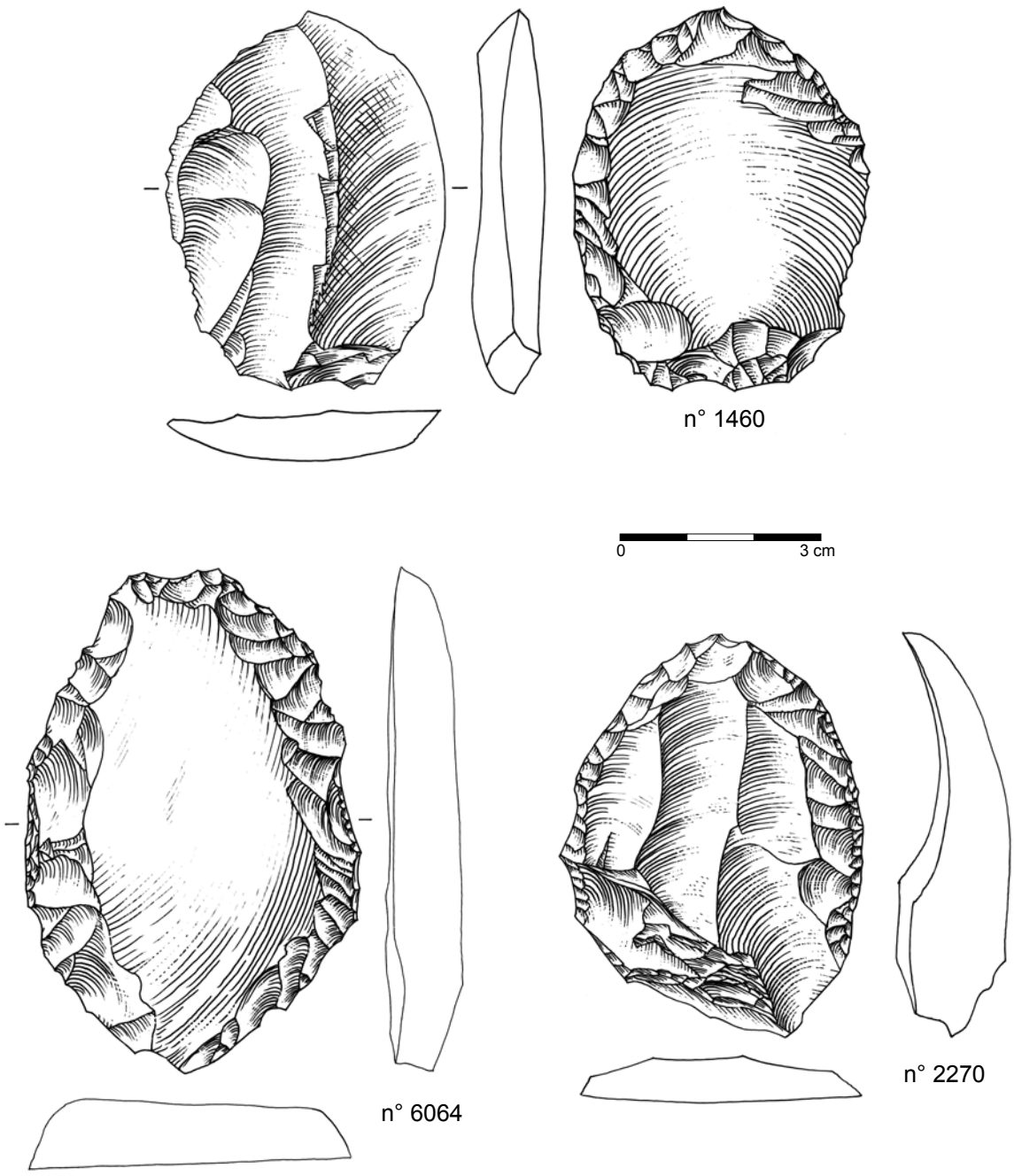


Figure 5-191 – Montguyon (17), « Bois Clair », outils du locus 8 (dessins : R. Picavet)

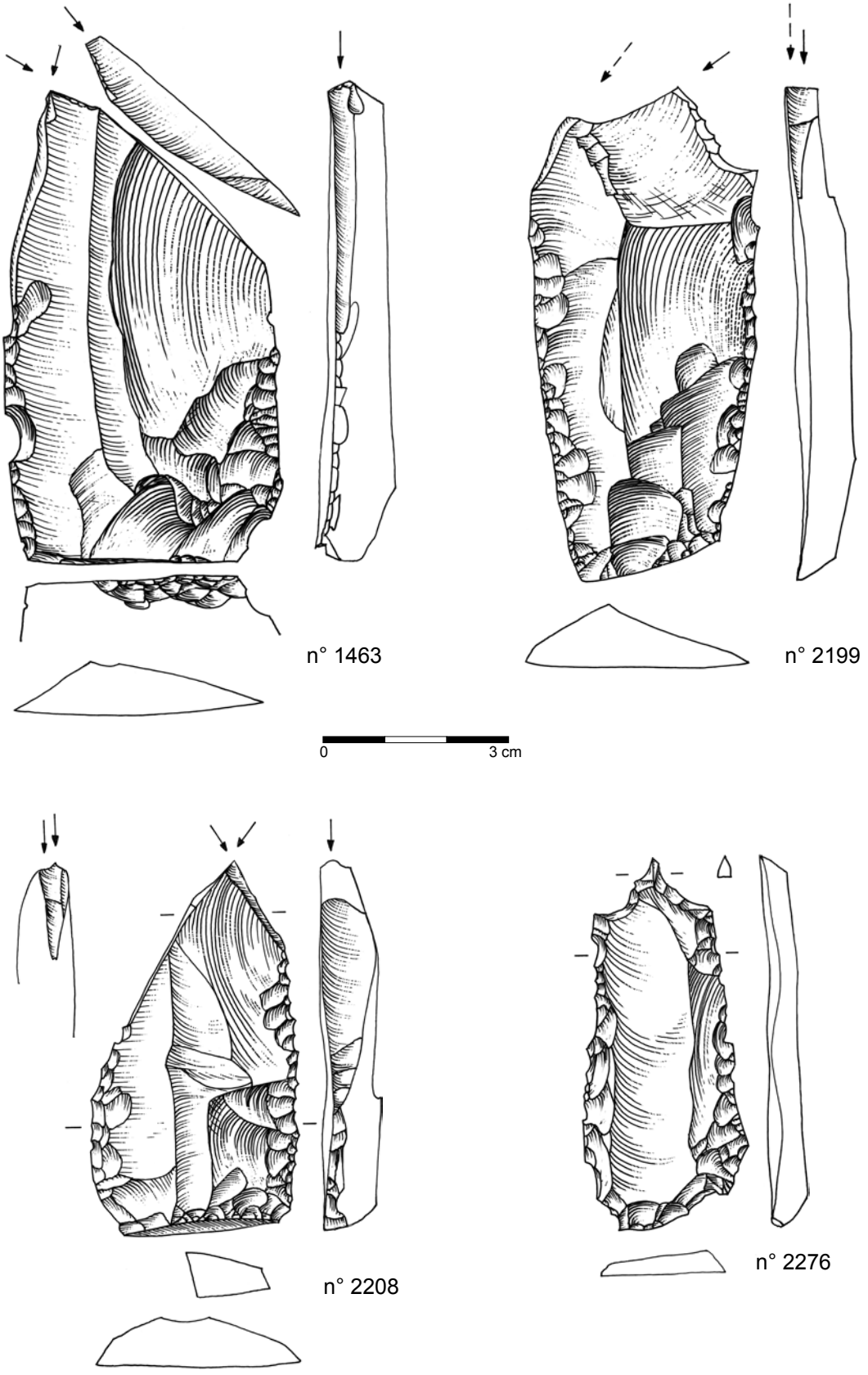


Figure 5-192 – Montguyon (17), « Bois Clair », outils du locus 8 (dessins : R. Picavet)

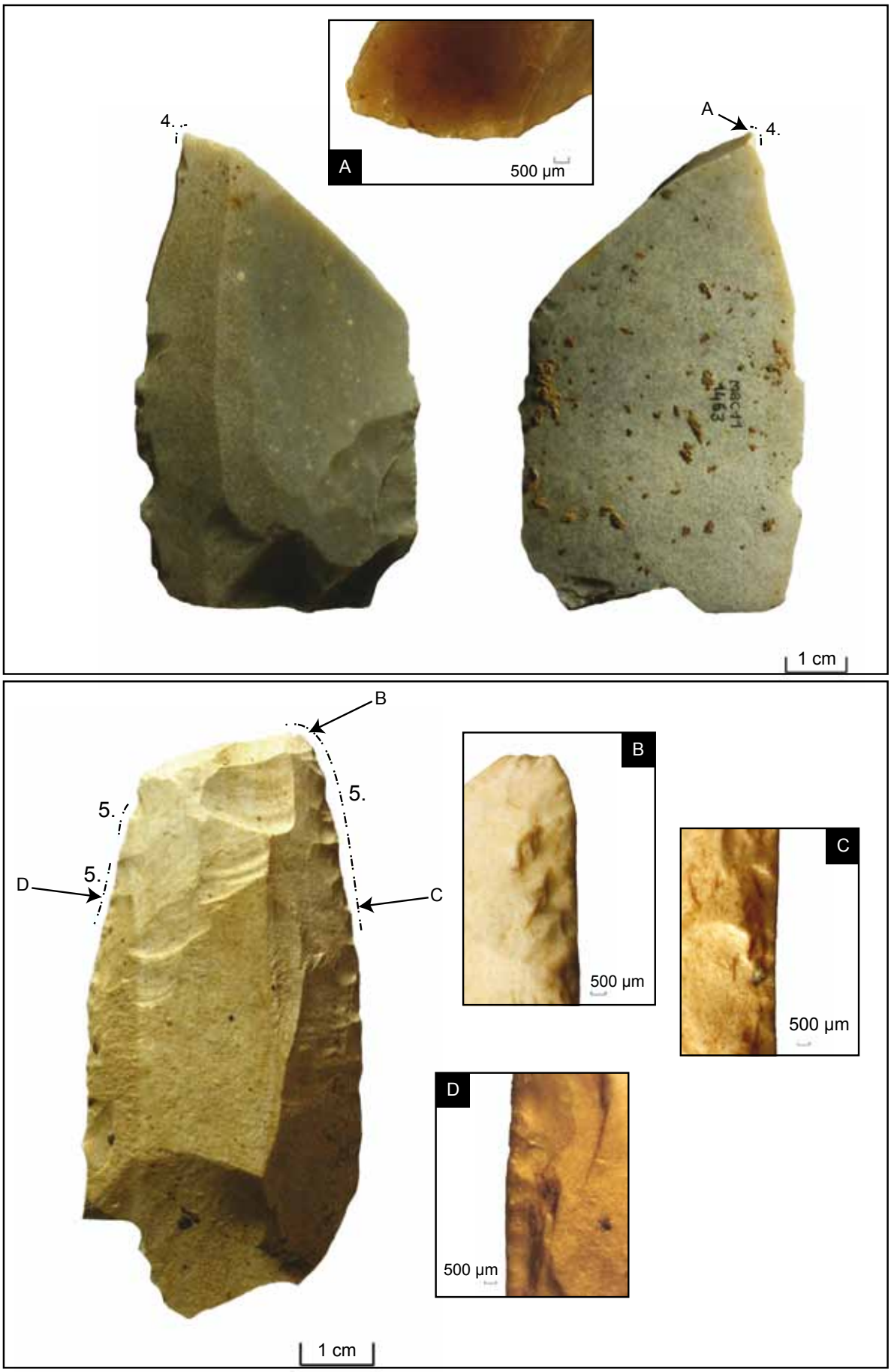


Figure 5-193 – Montguyon (17), « Bois Clair », locus 8, burin n° 1463, lame tronquée retouchée n° 2199 et détails des traces d'utilisation

A : Détail des esquillements d'utilisation type raclage de matière dure ;

B, C et D : Détails des traces d'utilisation caractéristiques d'une action transversale sur matière semi-dure.

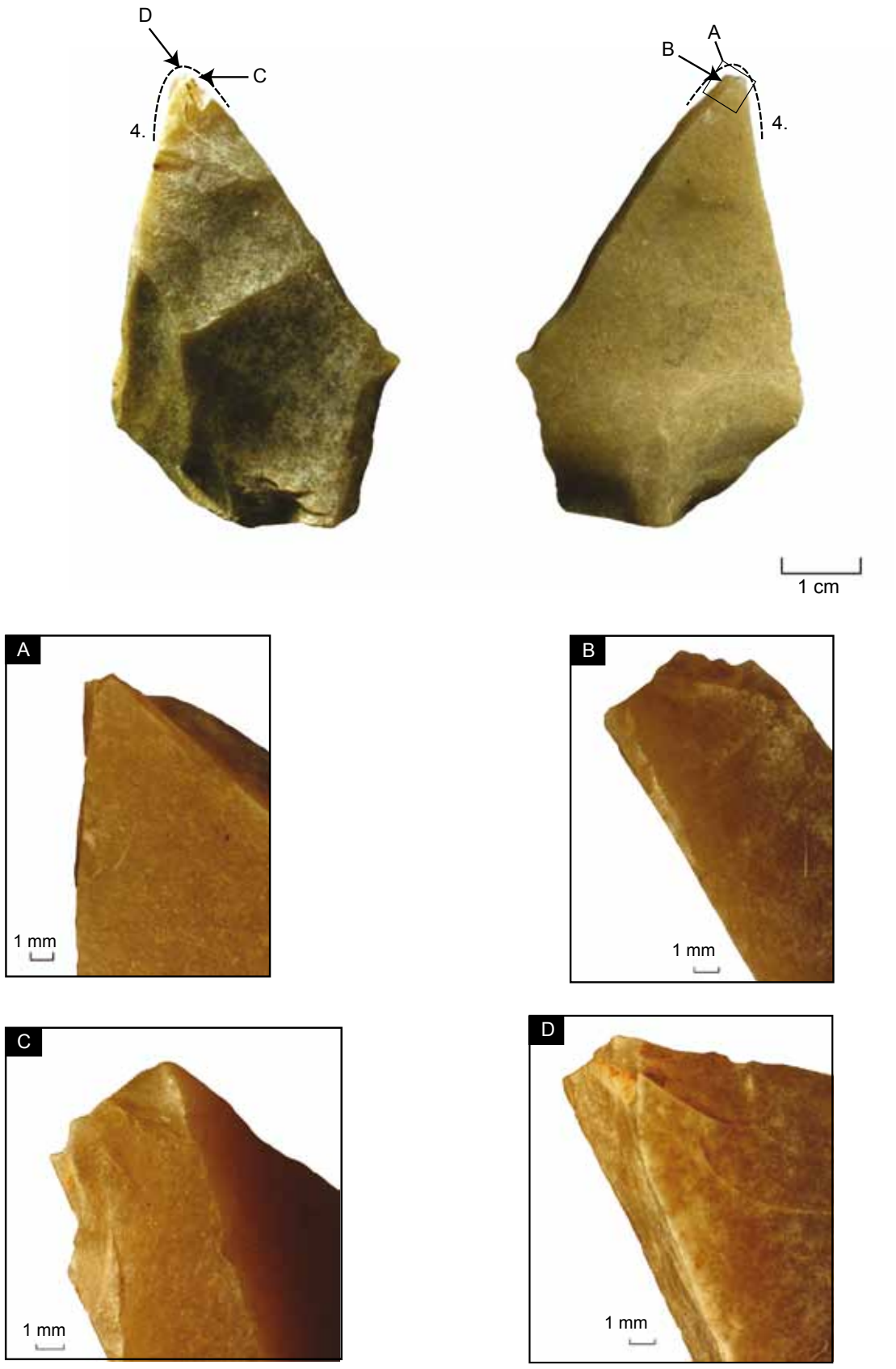


Figure 5-194 – Montguyon (17), « Bois Clair », locus 8, burin n° 2191 et détails des traces d'utilisation observées

A, B C et D : Détails des esquillements caractéristiques d'une action de perçage sur un matériau semi-dur à dur (grossissement x5,7)

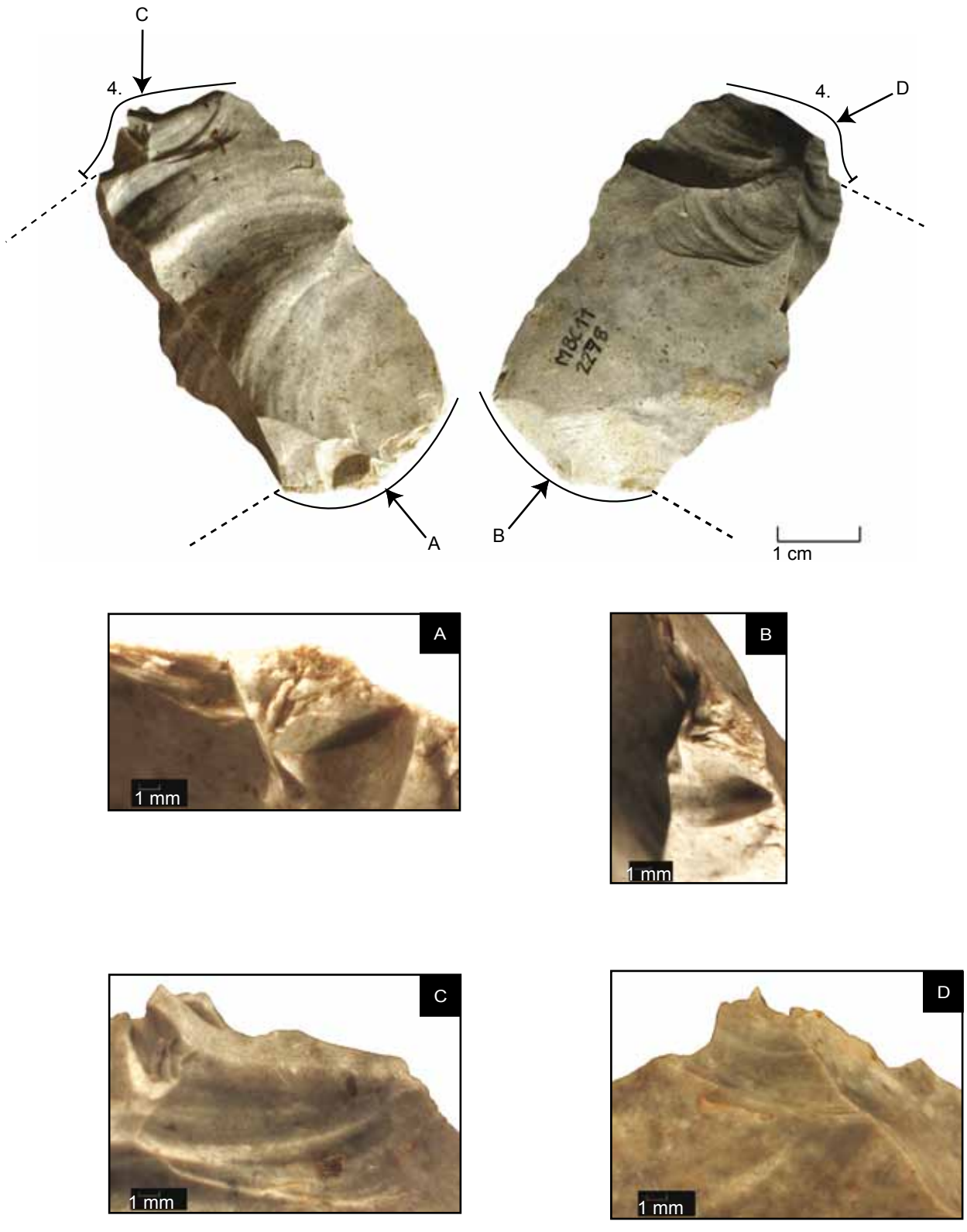


Figure 5-195 – Montguyon (17), « Bois Clair », locus 8, pièce esquillée n° 2278 et détail des traces d'utilisation observées

A et B : Esquillements liés à la percussion (grossissement x5,7) ;

C et D : Esquillements de contact sur une matière dure en percussion indirecte (grossissement x5,7).

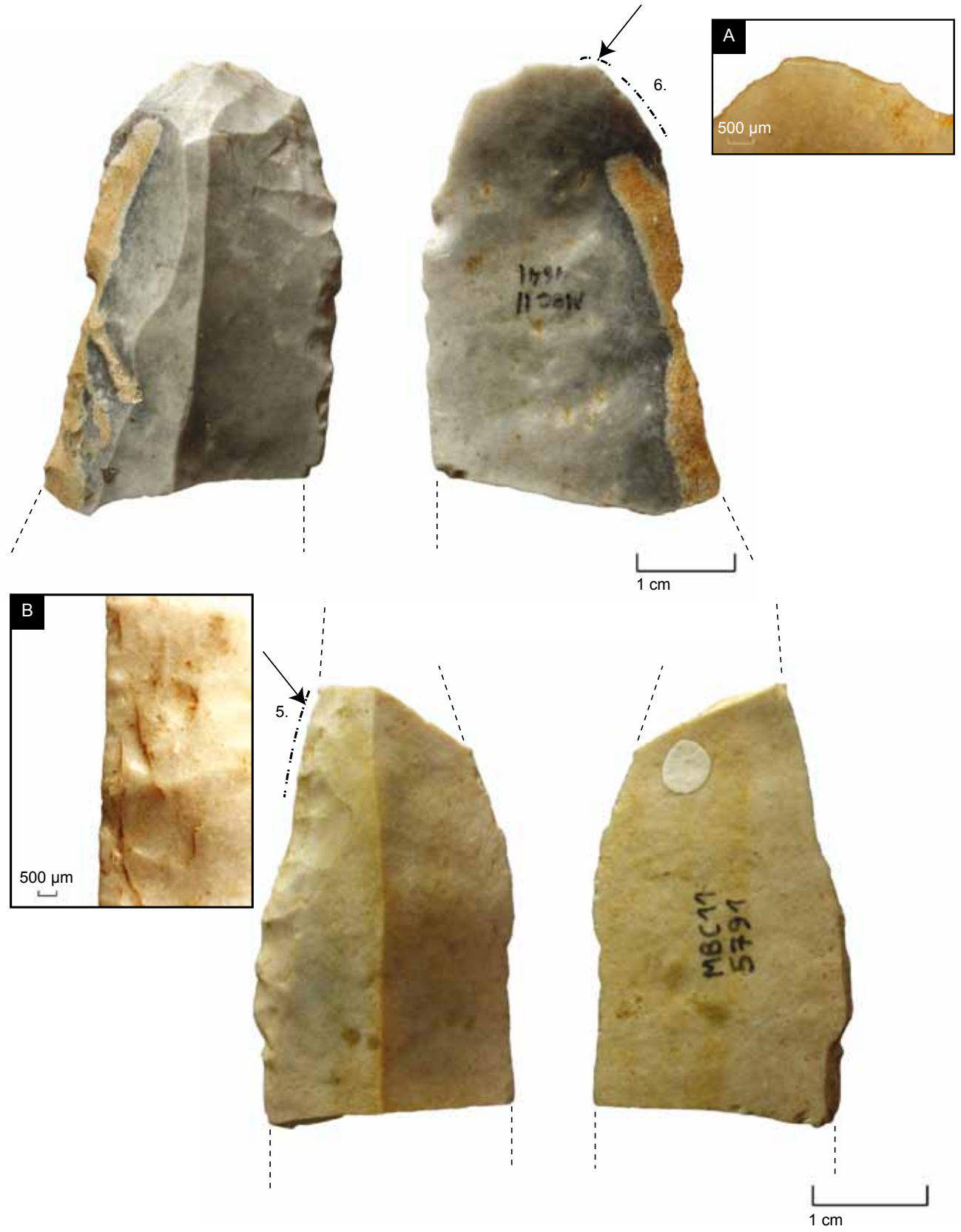


Figure 5-196 – Montguyon (17), « Bois Clair », locus 9, outils avec des traces d'utilisation
A : Grattoir en bout de lame n° 4641 et détail de l'émoussé type raclage peau (grossissement x20) ;
B : Fragment mésial de lame retouchée n° 5791 avec un burin sur troncature et détail des esquillements type raclage de matière semi-dure (grossissement x10).

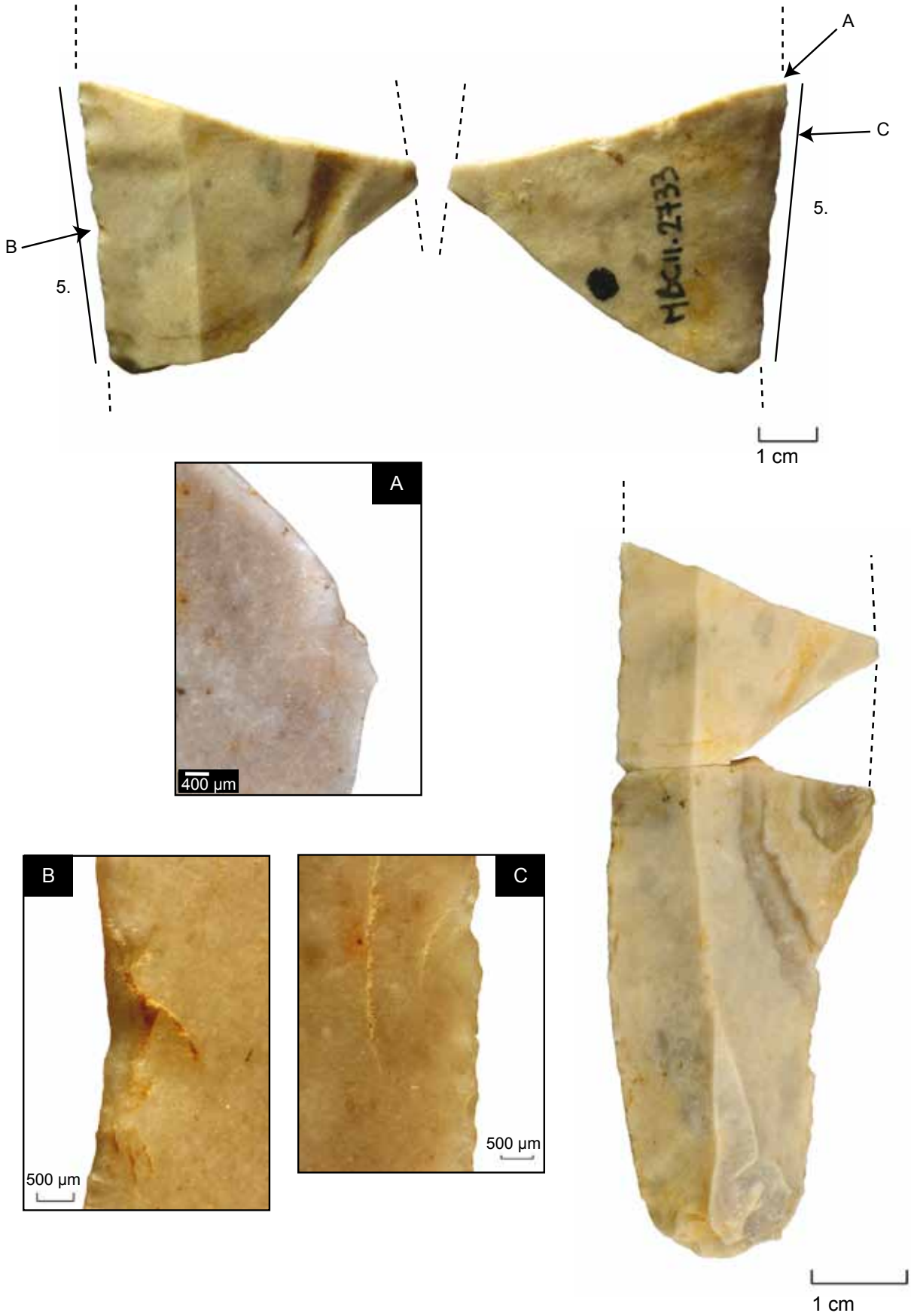


Figure 5-197 – Montguyon (17), « Bois Clair », locus 9, outils avec des traces d'utilisation
A : Grattoir en bout de lame n° 4641 et détail de l'émoussé type raclage peau (grossissement x20) ;
B : Fragment mésial de lame retouchée n° 5791 avec un burin sur troncature et détail des esquillements type raclage de matière semi-dure (grossissement x10).

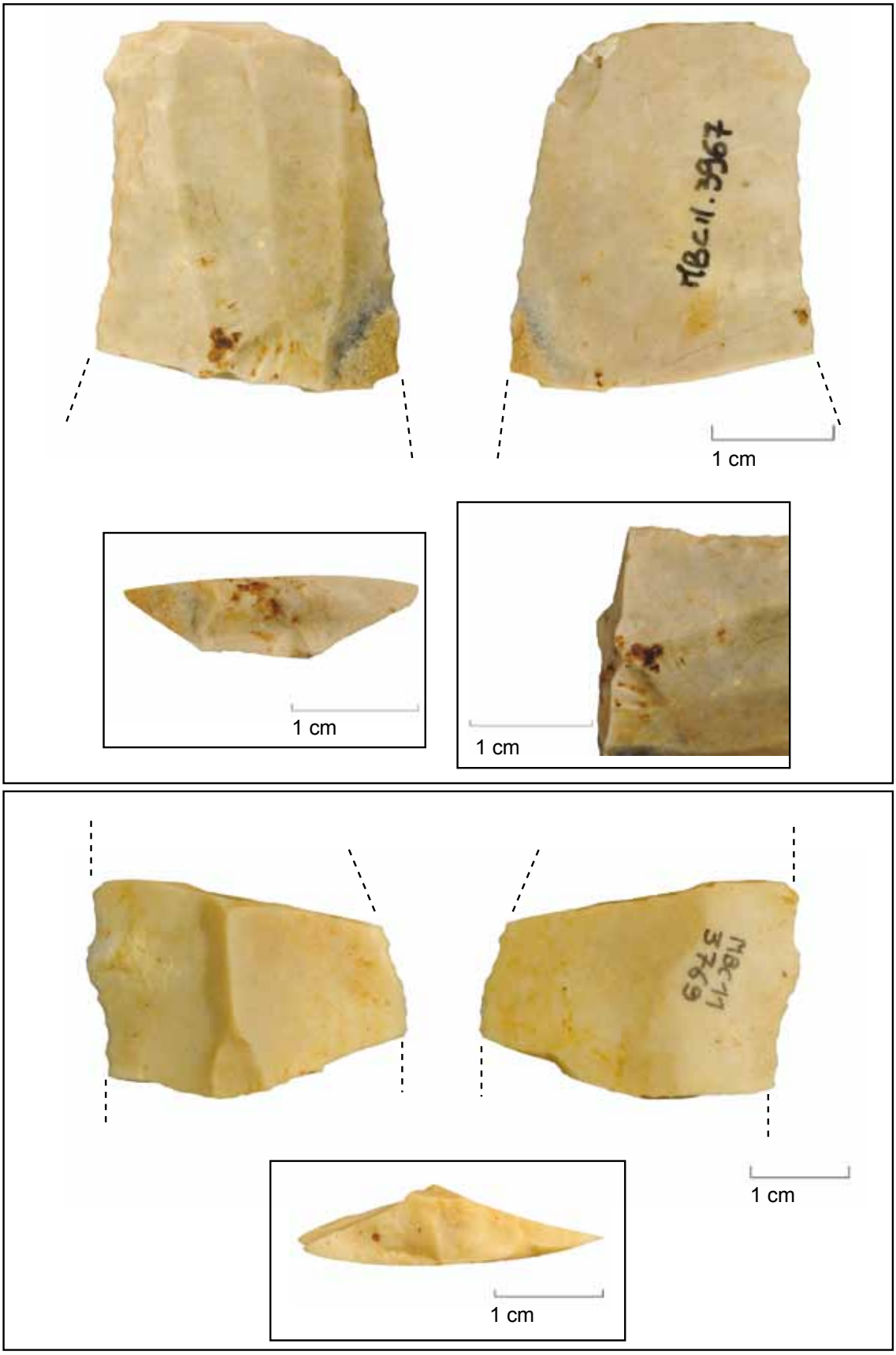


Figure 5-198 – Montguyon (17), « Bois Clair », locus 9, détails des points d'impact visibles sur certaines fractures qui montrent qu'il s'agit de fractures volontaires

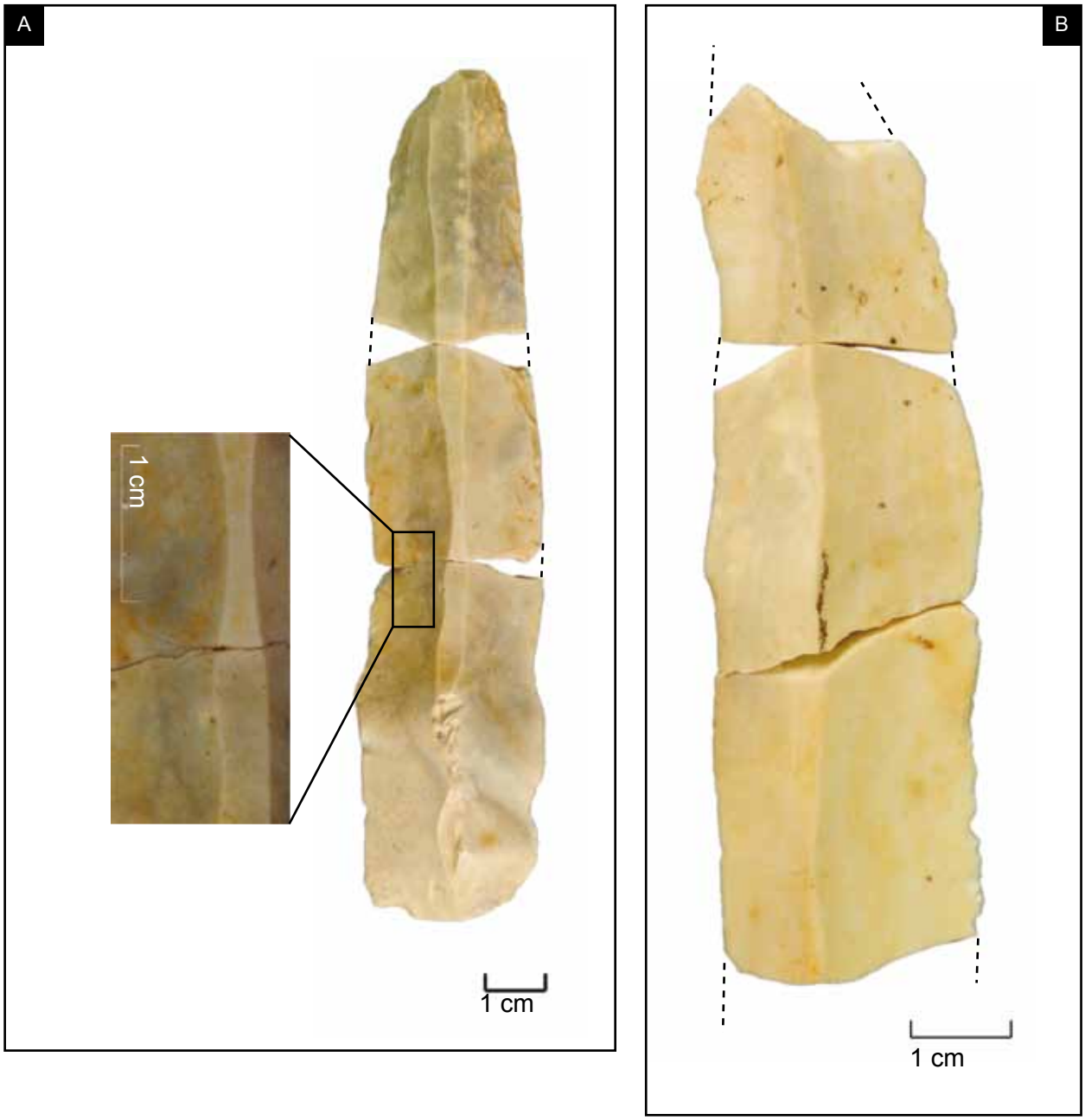


Figure 5-199 – Montguyon (17), « Bois Clair », locus 9, remontage de lames fracturées
A : Fracture en double triangle et détail d'un point d'impact qui montre le caractère volontaire de la fracture ;
B : fracture en double triangle.

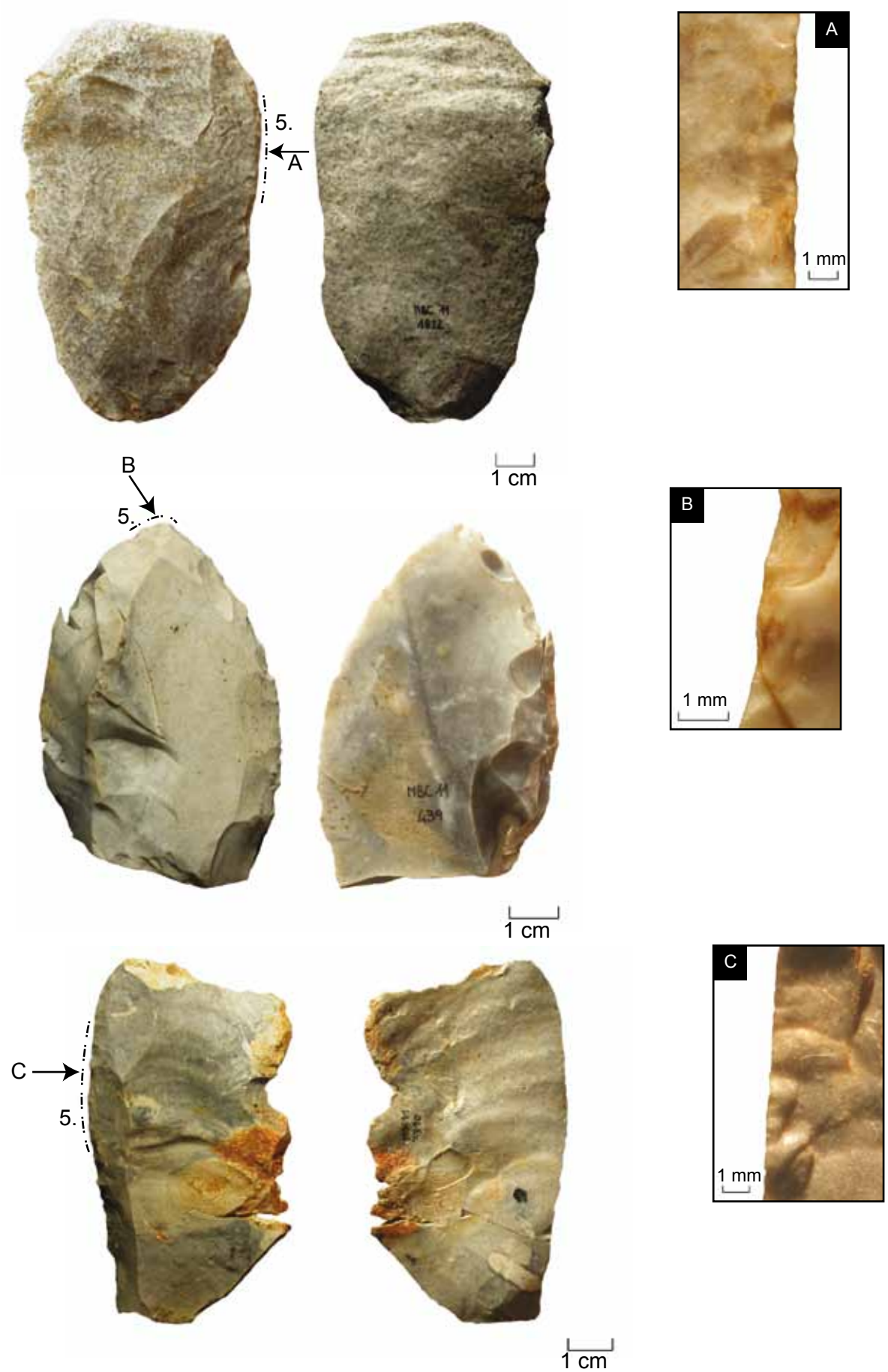


Figure 5-200 – Montguyon (17), « Bois Clair », Paléolithique moyen, outils ayant servi à racler une matière semi-dure type bois et détails des traces observées (de haut en bas : F563, F567, F566)

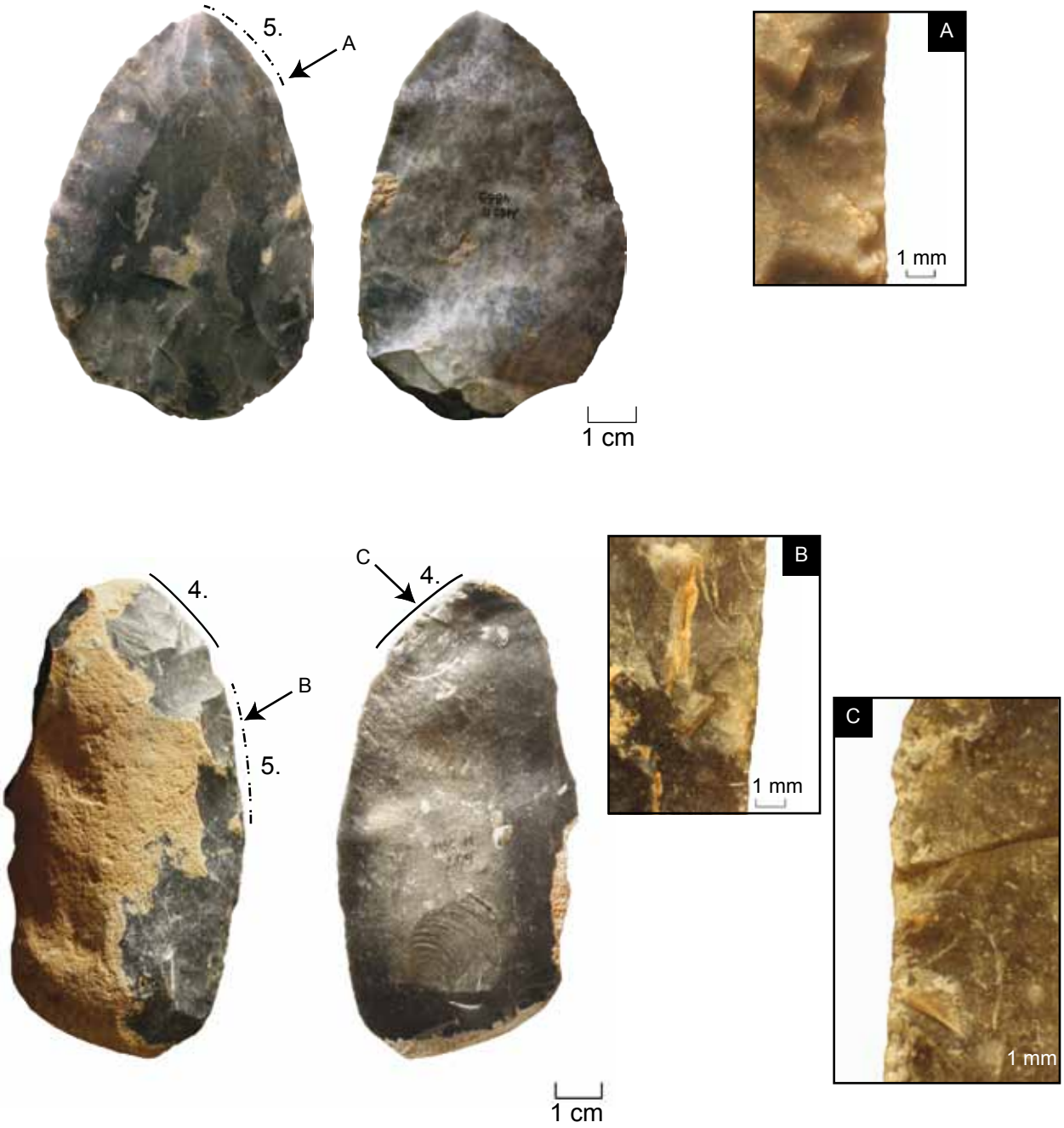


Figure 5-201 – Montguyon (17), « Bois Clair », Paléolithique moyen, outils ayant servi à racler une matière semi-dure type bois et détails des traces observées (de haut en bas : F562, F555)

A et B : Détail des traces caractéristiques d'une action transversale sur une matière semi-dure type bois ;

C : Détail des traces caractéristiques d'une action en percussion lancée sur une matière dure.

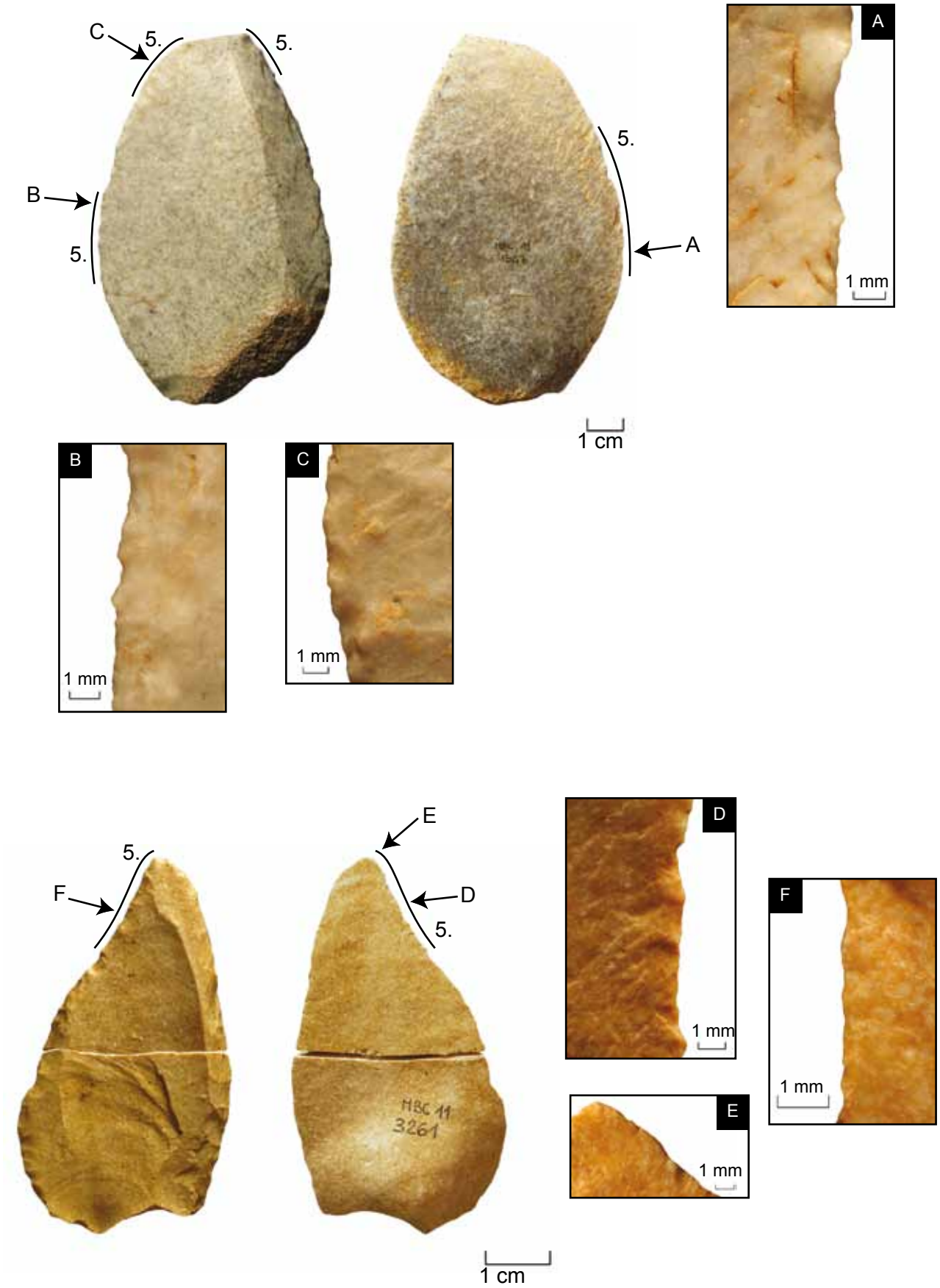


Figure 5-202 – Montguyon (17), « Bois Clair », Paléolithique moyen, outils ayant servi en action longitudinale sur une matière semi-dure et détails des traces observées : esquillements types boucherie légère (de haut en bas : F563, type indéterminé - faciès évolué)

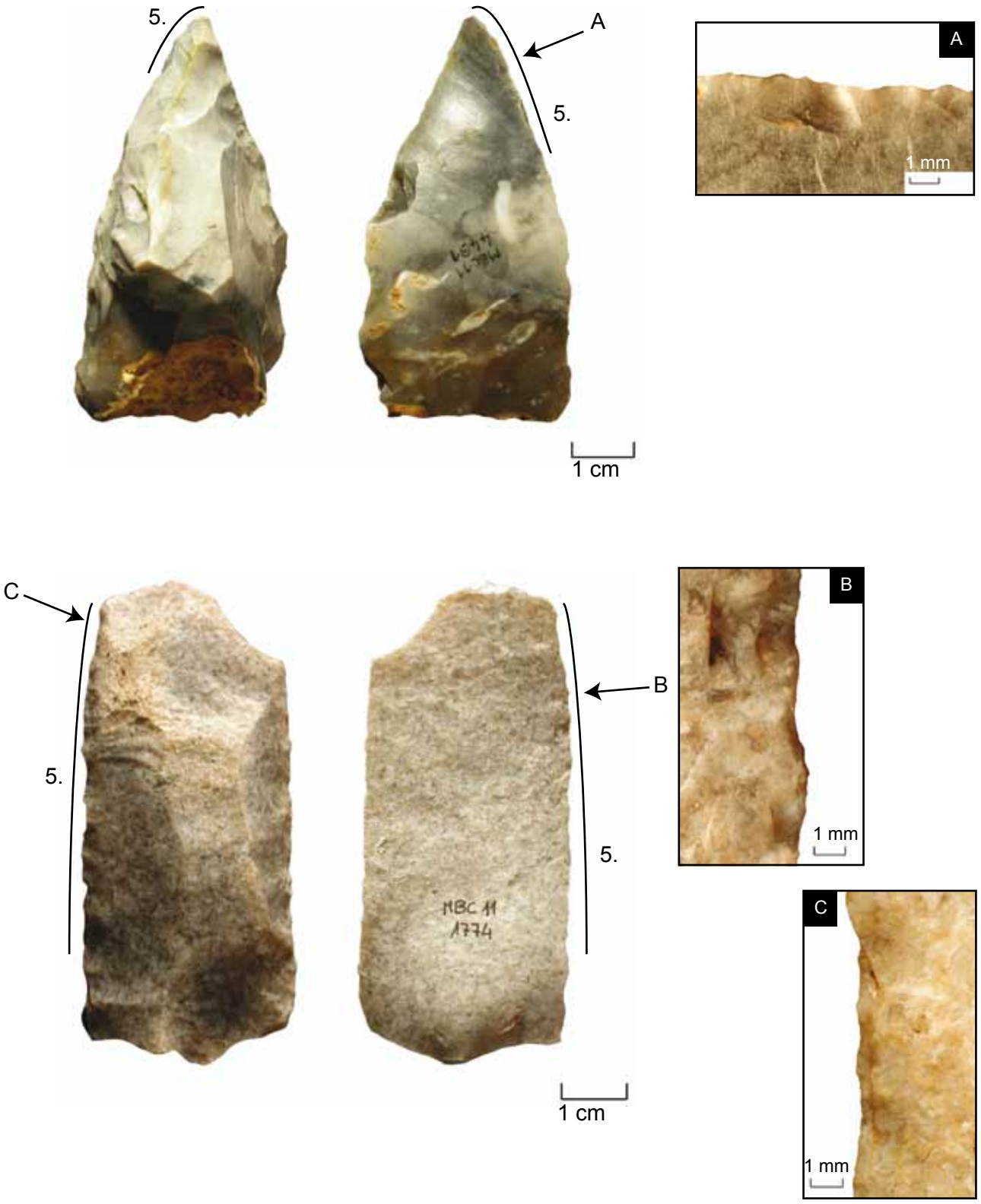


Figure 5-203 – Montguyon (17), « Bois Clair », Paléolithique moyen, outils ayant servi en action longitudinale sur une matière semi-dure et détails des traces observées : esquillements types boucherie (de haut en bas : F566, F563)

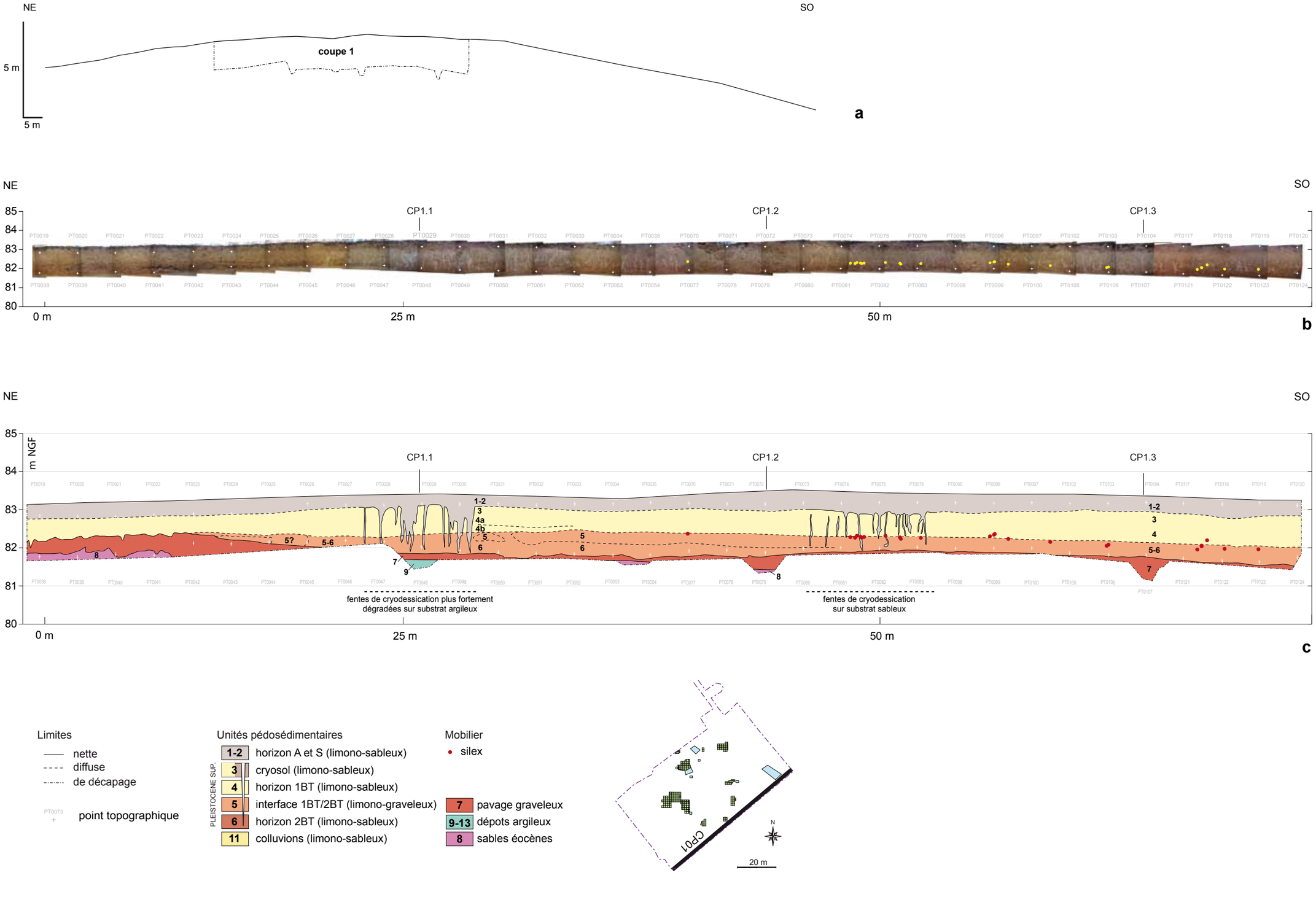


Figure 2-12 – Montguyon (17), « Bois Clair », coupe stratigraphique 1 (A. Ajas, S. Bernard-Guelle, J.-B. Caverne, M. Rué)
a. Profil topographique dans le prolongement de la coupe (hauteur x 5)
b. Photomontage. Echelle 1/200
c. Dessin. Echelle verticale 1/100, horizontale 1/200

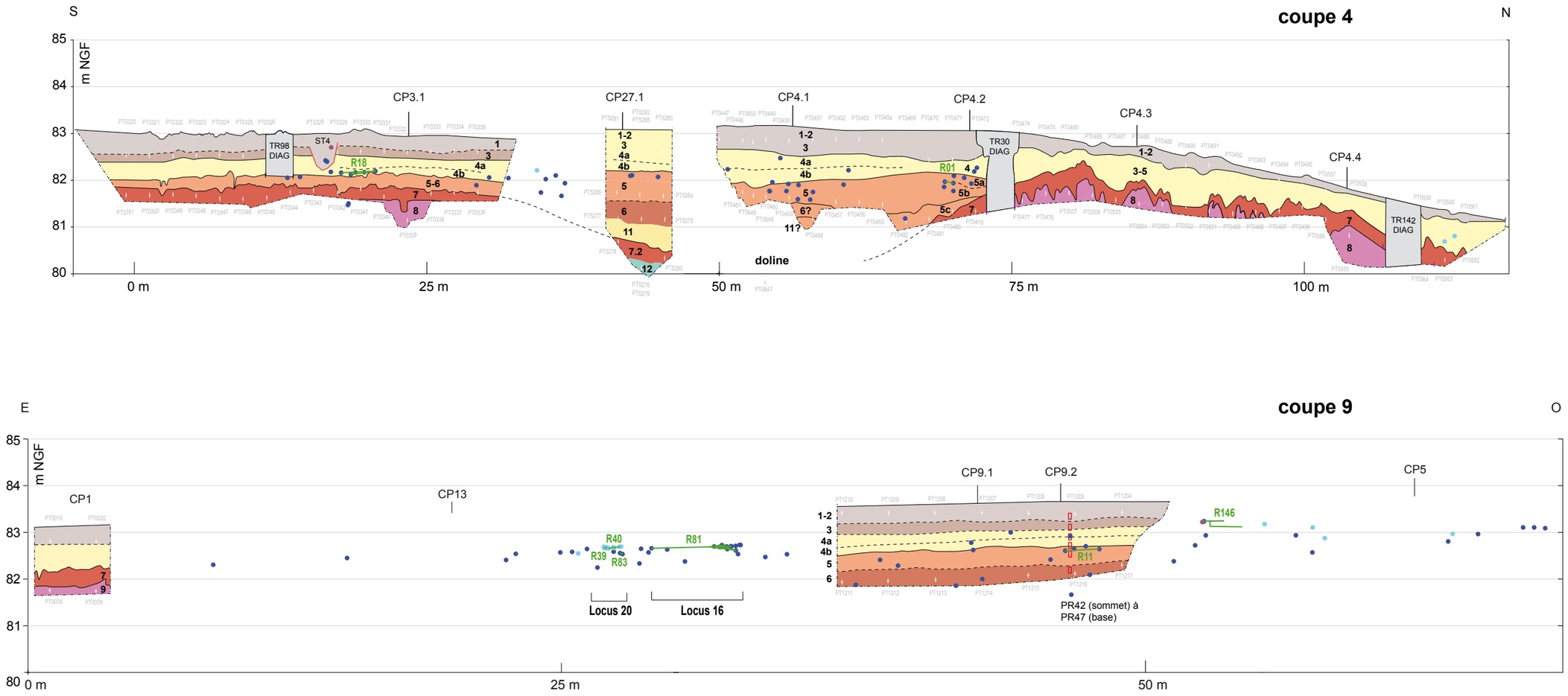


Figure 2-13 – Montguyon (17), « Bois Clair », coupes stratigraphiques 4 et 9 (A. Ajas, S. Bernard-Guelle, J.-B. Caverne, M. Rué)
Coupe 4 : échelle verticale 1/100, horizontale 1/400
Coupe 9 : échelle verticale 1/100, horizontale 1/200

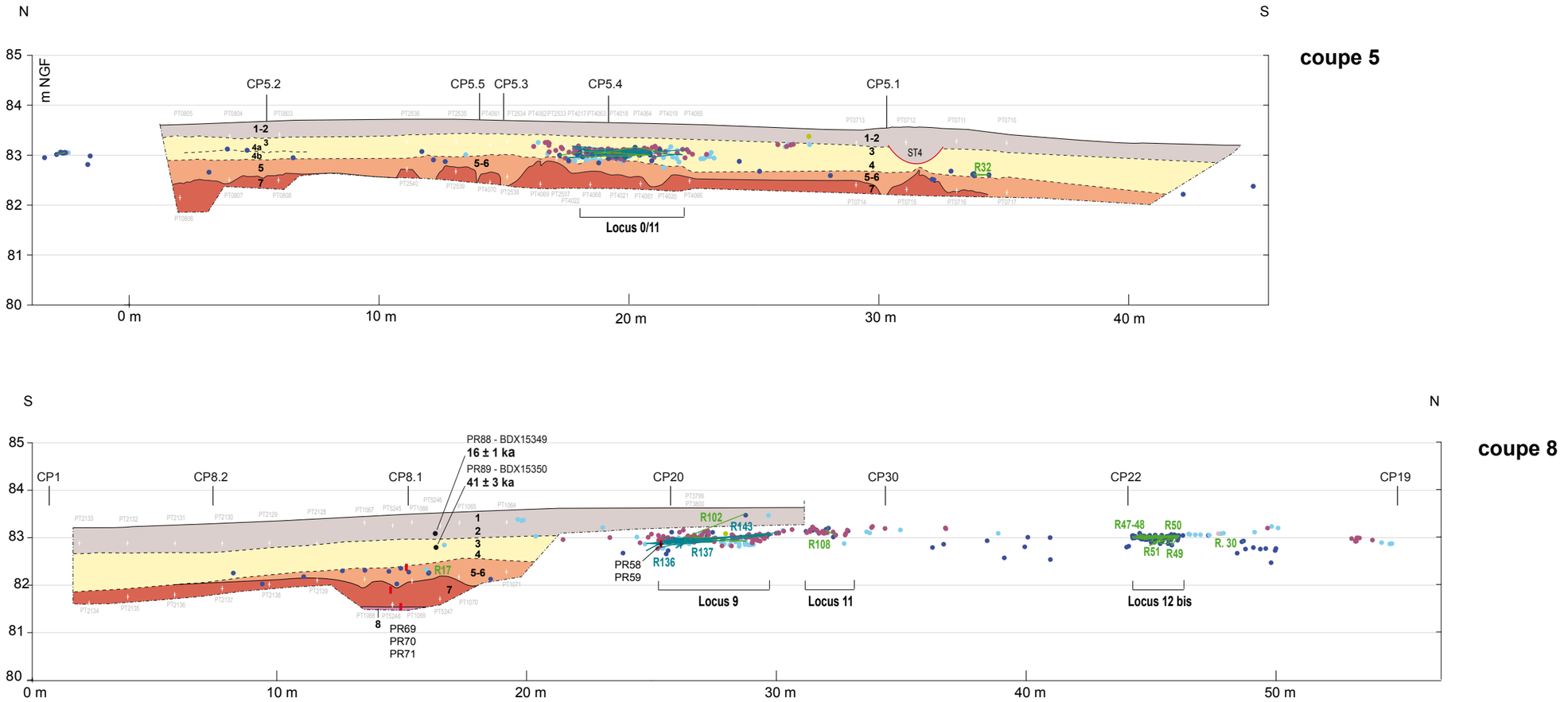


Figure 2-14 – Montguyon (17), « Bois Clair », coupes stratigraphiques 5 et 8 (A. Ajas, S. Bernard-Guelle, J.-B. Caverne, M. Rué)
Echelle verticale 1/100, horizontale 1/200

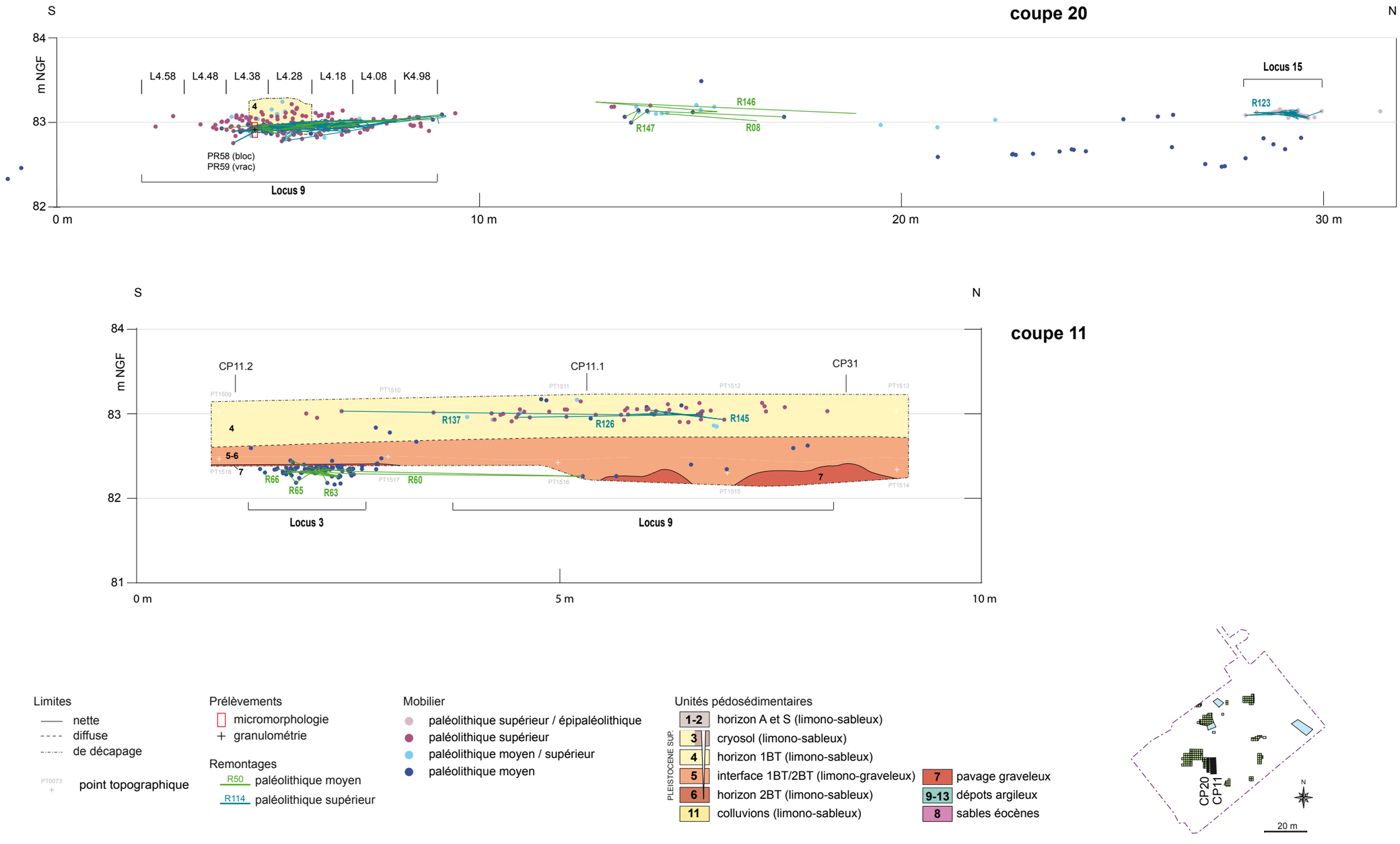


Figure 2-15 – Montguyon (17), « Bois Clair », coupes stratigraphiques 11 et 20 (A. Ajas, S. Bernard-Guelle, J.-B. Caverne, M. Rué)
Coupe 11 : échelle 1/50

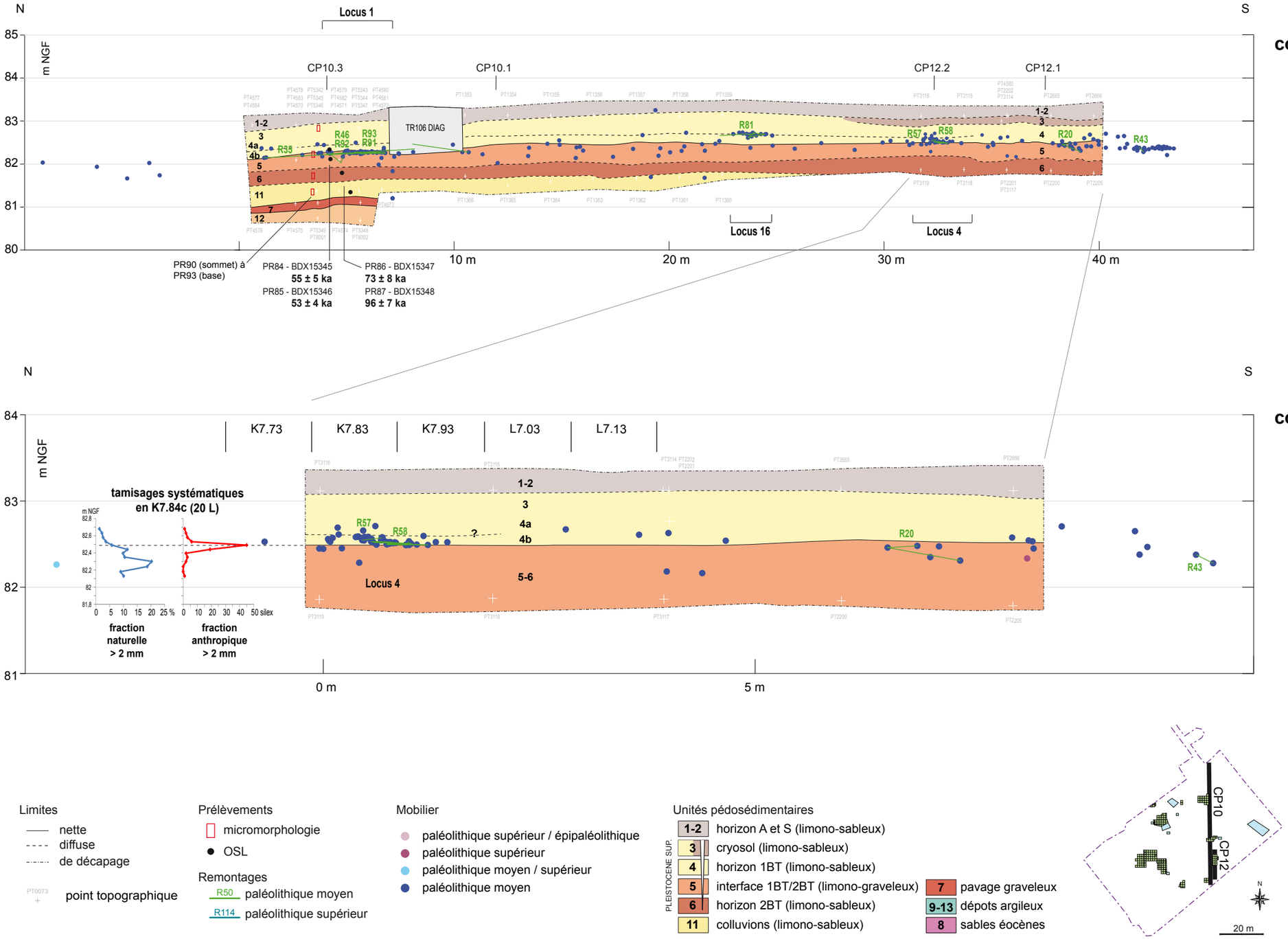


Figure 2-16 – Montguyon (17), « Bois Clair », coupes stratigraphiques 10 et 12 (A. Ajas, S. Bernard-Guelle, J.-B. Caverne, M. Rué)
Coupe 10 : échelle verticale 1/100, horizontale 1/200
Coupe 12 : échelle 1/50

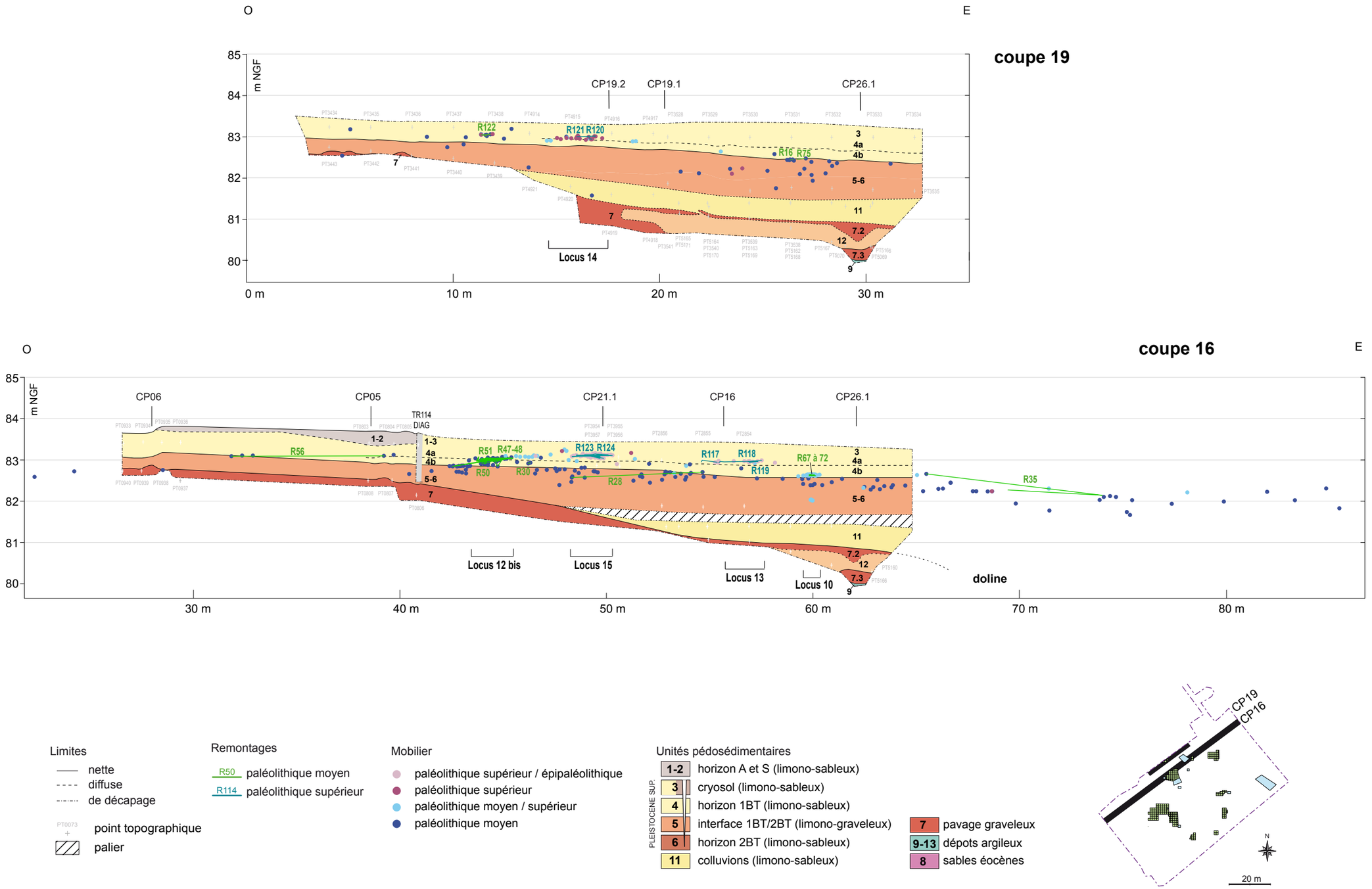


Figure 2-17 – Montguyon (17), « Bois Clair », coupes stratigraphiques 16 et 19 (A. Ajas, S. Bernard-Guelle, J.-B. Caverne, M. Rué)
Echelle verticale 1/100, horizontale 1/200

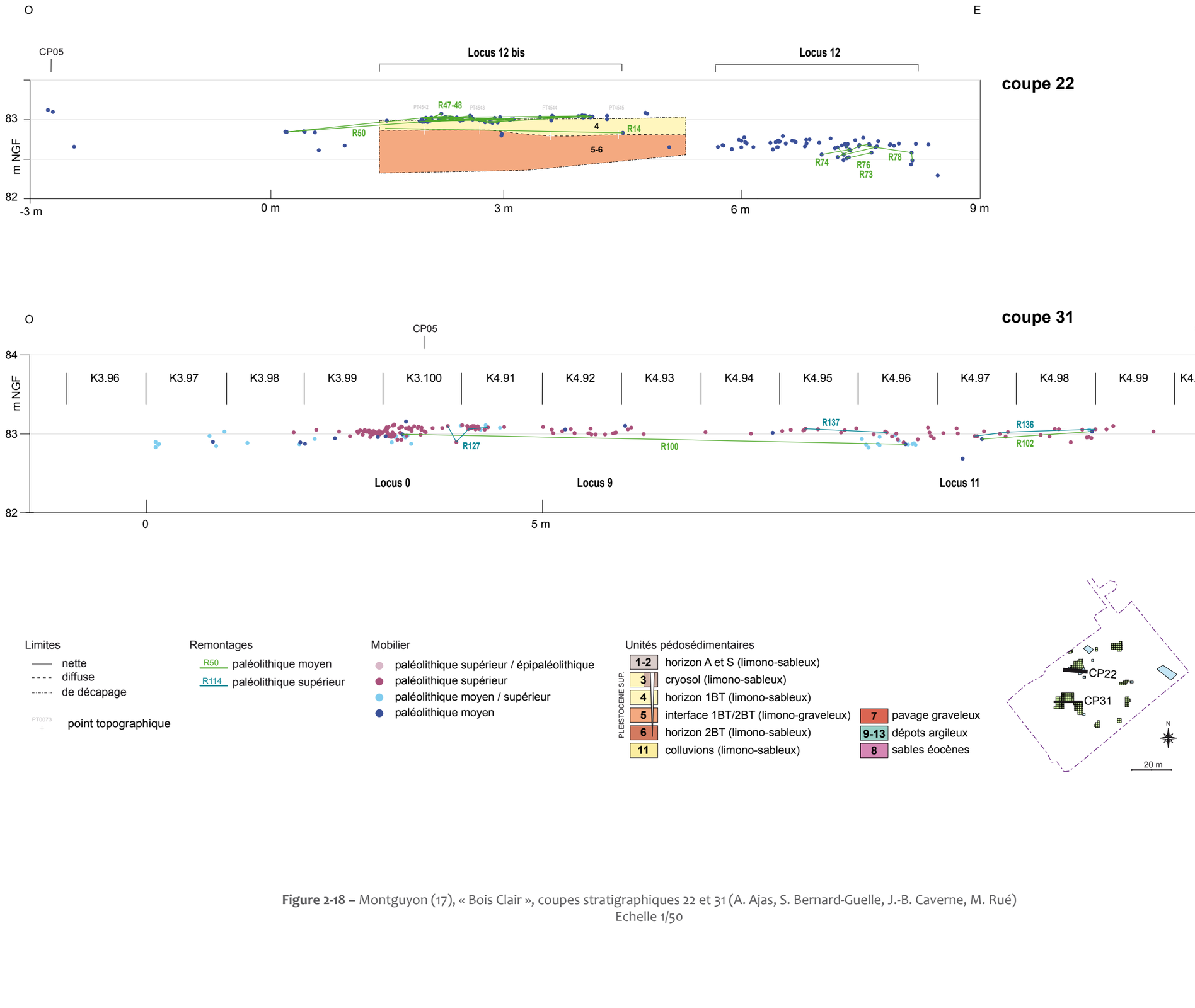


Figure 2-18 – Montguyon (17), « Bois Clair », coupes stratigraphiques 22 et 31 (A. Ajas, S. Bernard-Guelle, J.-B. Caverne, M. Rué)
Echelle 1/50

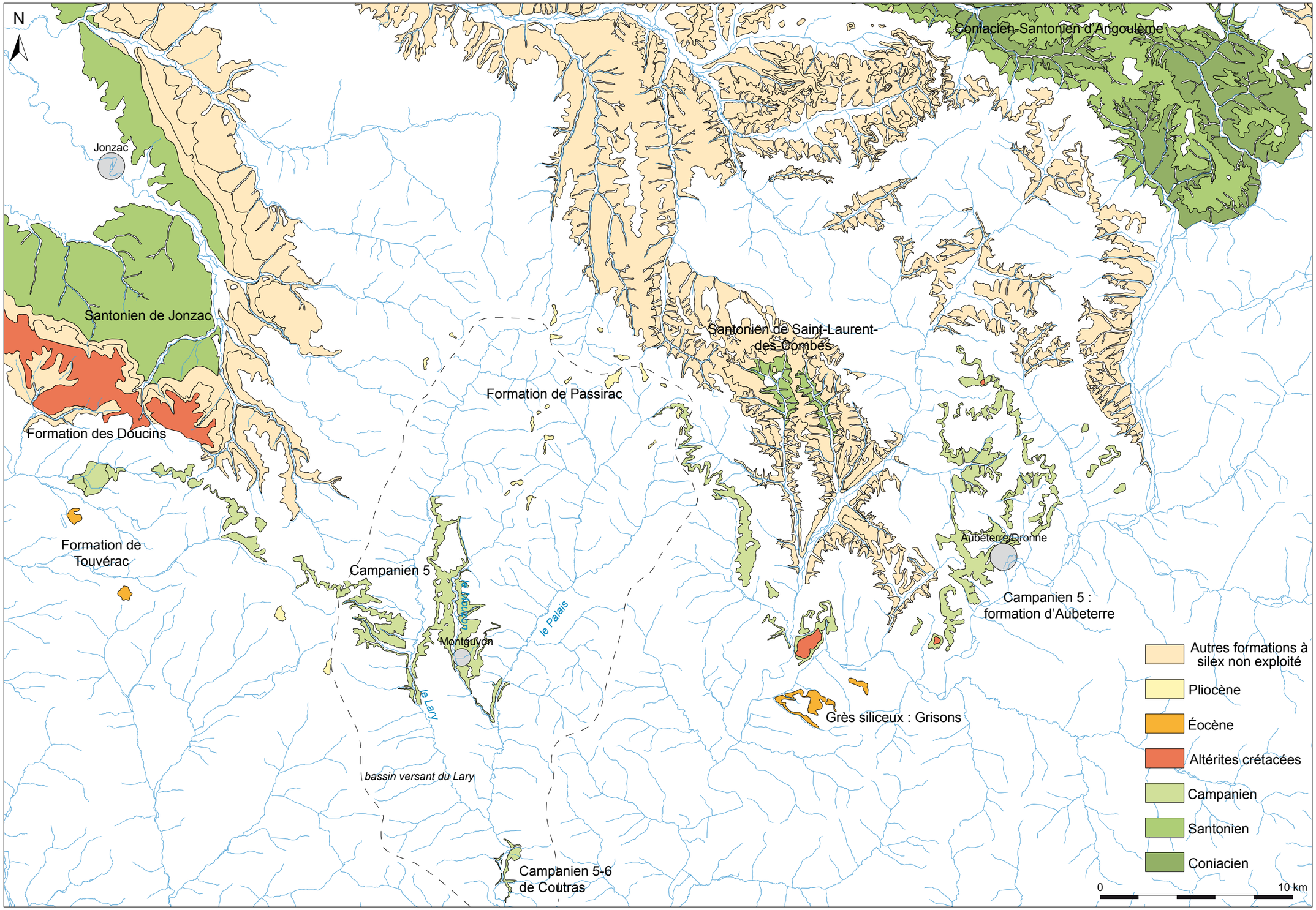


Figure 5-09 – Montguyon (17), « Bois Clair », carte des formations à silex autour de Montguyon

série-étage	nom de la formation	localisation	milieu	type de silex	habitus	caractères macroscopiques	genèse	caractéres minéralogiques	caractères micropaléontologiques
Sinémurien	Calcaires jaunes Nankin	Roumazière-Loubert (Chantrezac)	plate-forme externe	jaspéroïde	dalle, banc	forte coloration jaune aspect moucheté	épigenèse des niveaux anté-liasiques	dolomitique	mudstone à bioclastes roulés à pellets, spicules et filaments
Sinémurien	Calcaires jaunes Nankin	Roumazière-Loubert (Chantrezac)	barrière	jaspéroïde	dalle, banc	brun à taches noires	épigenèse des niveaux sinémuriens	dolomitique	grainstone oolithique
Sinémurien	Calcaires jaunes Nankin	secteur NE de la Charente Confolens, vallée de la Bonnieure (Mazières) et de Montbron	barrière	jaspéroïde	dalle, banc	forte coloration	épigenèse des niveaux sinémuriens	dolomitique	packstone à wackestone oolithique et débris de bivalves
Sinémurien	Calcaires jaunes Nankin	Ambernac	barrière	jaspes	dalle, banc	jaune	épigenèse des niveaux sinémuriens	dolomitique	grainstone à packstone à oolites, oncolithes, cyanophicées
Domérien	Pierre rousse	Alloue, Benest en rive gauche de la Charente, Nanteuil-en-Vallée et Suaux entre Charente et Tardoire et Montbron en rive droite de la Tardoire.	plate-forme externe	silex	rognons thalassinoides ou bancs	indéterminés	diagenèse dans calcaires	indéterminés	wackestone à mudstone à pellets et gros spicules triaxones
Domérien	Pierre rousse	Ambernac	plate-forme externe proche de la barrière	silex	rognons thalassinoides ou bancs	noir à plages brunes	diagenèse dans calcaires	macroquartz	wackestone à entroques, spicules et bivalves
Bajocien	St-Maixent	entre Charente et Tardoire et notamment vers Chassiecq, Nontron, Nanteuil-en-vallée	silex marin zone infralittorale, plusieurs faciès du milieu externe à la barrière	silex	rognons thalassinoides ou bancs	gris ou beiges à zonation sous corticale foncée et ponctuation ferrugineuse	diagenèse dans calcaires	macroquartz, glauconie	wackestone à mudstone à pellets, suivant les faciés , microfilaments courts ou spicules abondants, lagénidés, valvulinidés, Trocholina rares,
Bathonien	Ruffec	de Saint-Maixent-Niort jusqu'à la côte atlantique, Champagne-Mouton	silex de la plate-forme externe	silex	rognons thalassinoïdes allongés	gris à beiges avec taches et fissures orangées	diagenèse dans calcaires	macroquartz, sphérolithes	wackestone à mudstone à pellets, microfilaments et spicules, formes oolithiques à Trocholina vers la barrière
Callovien inf	Pamproux	les vallées de la Bonnieure et la vallée de la Charente (de Cellefrouin à Turgon et Chassiecq), Barro	plate-forme externe proche de la barrière	silex	rognons thalassinoides de grande dim	noir ou gris à brun zonés	diagenèse dans calcaires	macroquartz, rhomboèdres et quartz détritiques	packstone à mudstone à spicules, bivalves, algues, foraminifères benthiques (lagénidés) et microfilaments,
Callovien sup	formations à vérifier : Pamproux ou Pierre chauffante	zone de la Tâche, Champ Rigaud Turgon (16)	plate-forme externe	silex	rognons globuleux ou dsicoïdes	gris à blanc zonés	diagenèse dans calcaires	macroquartz, sphérolithes	wackestone riche en pellets et spicules, microfilaments et algues
Oxfordien moyen et supérieur	La Braconne	rives de La Tardoire au nord de La Rochefoucauld de Rivières à Villemalet	plate-forme externe	silex	rognons globuleux	gris à beige	diagenèse dans calcaires	macroquartz	wackestone à pellets, gros intraclastes riche en spongiaires branchus, disparition des filaments
Cénomanien inférieur	Archingeay	en Charente-Maritime près de Grandjean, Saint-Hilaire-de-Villefranche et Saint-Savinien	plate-forme interne	silex	rognons branchus de grande taille et dalles	noir résineux à gris opaque et homogène ou zoné	diagenèse dans calcaires	quartz détritiques et glauconie	packstone à mudstone à clastes roulés de 250 µm, Orbitolines coniques, bivalves, bryozoaires, spicules et incertae sedis
Cénomanien moyen	Sireuil (16)	Sireuil à l'ouest d'Angoulême	plate-forme interne	silex	rognons branchus de grande taille	noir résineux à gris opaque et homogène	diagenèse dans calcaires	quartz détritiques	packstone à mudstone à clastes roulés de 250 µm, Préalvéolines, bivalves, bryozoaires et *incertae sedis*
Turonien inférieur	Domme (24)	Vallées de la Thèze, de la Lémance, de la Briolance et du Lot	plate-forme externe	silex du Fumélois	rognons thalassinoides	noirs bleutés à gris + blonds	diagenèse dans calcaires	quartz détritiques	mudstone à wackestone à bryozoaires, débris coraliens, spicules, dent de sélacien, lamellibranches rares.
Turonien moyen basal	Domme (24)	Duravel (46), vallées du Lot, de la Thèze et de la Lémance	plate-forme externe	silex du Fumélois	rognons thalassinoides	noirs à gris	diagenèse dans calcaires	quartz détritiques et glauconie	mudstone à bryozoaires, annélides, débris coralliens, spicules
Turonien moyen	Saint-Vaize	région de Saintes et de St-Porchaire, Crazannes, Saint-Vaize (zone au sud d'Angoulême, depuis Claix jusqu'à Sers à l'est)	plate-forme externe	silex	rognons réguliers plus ou moins ovoïdes intra-banc disposés parallèlement à la stratification	gris à brun zoné	diagenèse dans calcaires	microcalcédoine à macroquartz en puzzle	packstone à mudstone à *incertae sedis* , bivalves, spicules, serpula, benthiques abondants miliolidés textularidés
Turonien moyen	Les Mauds	entre Belluire et Jonzac, secteur de Pons et Les Mauds	plate-forme externe	silex		noirs à blonds et blancs	diagenèse dans calcaires	indéterminés	packstone à wackestone faune benthique à bryozoaires et échinodermes et planctoniques rares
Turonien	Châteauneuf	zone au sud d'Angoulême, depuis Claix jusqu'à Sers à l'est, et la région de Saintes et de Pons	plate-forme externe	silex	nodules plats ou grandes lentilles anastomosées	gris à brun lité	diagenèse dans calcaires	microcalcédoine à macroquartz en mozaique	packstone à mudstone à incertae sedis, bivalves, spicules, *serpula* , benthiques abondants miliolidés textularidés
Turonien supérieur	Châteauneuf	Mouthiers, Claix, Torsac, Dirac	plate-forme interne	silex	rognons et nodules	gris-bleu à brun zoné	diagenèse dans calcaires	microcalcédoine à macroquartz	similaire avec ou sans *incertae sedis*
Coniacien inférieur	La Rouquette (24)	Les Eyzies, Saint-Cyprien, Montignac	plate-forme externe proximale	silex	petit rognons thalassinoides	gris-noir	diagenèse dans calcaires	glauconie	packstone à wackestone, à débris de bryozaires, d'échinides, rhynchonelles, serpulidés, algues et foraminifères
Coniacien inférieur	La Rouquette (24)	vallée de la Lède	plate-forme externe proche de la barrière	silex de Gavaudun	rognons thalassinoides	beiges-orangés	diagenèse dans calcaires	indéterminés	packstone à wackestone, à débris de bryozaires, d'échinides, rhynchonelles, serpulidés, algues et foraminifères
Coniacien inférieur	La Rouquette (24)	vallées de la Lémance, de la Briolance et de la Thèze	plate-forme externe proche de la barrière	silex	rognons thalassinoides	gris à brun	diagenèse dans calcaires	indéterminés	packstone à wackestone, à débris de bryozaires, d'échinides, rhynchonnelles, serpulidés, algues et foraminifères
Coniacien	Cognac-Bourdeilles	secteur de Cognac, Saintes, d'Angoulême (Soyaux, Gardes-le-Pontaroux, Claix, Dirac, Puymoyen, Chadurie, Voulgézac, Mouthiers sur-Boëme), Périgueux	plate-forme externe proximale	silex	rognons thalassinoides <60 cm	structure bioturbée, noirs ou brune à blonde	diagenèse dans calcaires	glauconie, pyrite et quartz détritiques	packstone à mudstone clastes roulés dont la taille est sup à celle des silex turoniens, faune riche est diversifiée, bivalves, échinodermes, grands bryozoaires-annélides et spicules rares

série-étage	nom de la formation	localisation	milieu	type de silex	habitus	caractères macroscopiques	genèse	caractéres minéralogiques	caractères micropaléontologiques
Coniacien supérieur	Périgueux (24)	Périgueux, vallée de l'Isle, La Tour-Blanche	indéterminé	silex	petit rognons thalassinoides	gris-noir	diagenèse dans calcaires	glauconie et muscovite	packstone à wackestone, à débris de bryozaires, d'échinides, rhynchonnelles, serpulidés, algues et foraminifères
Santonien	dans les Charentes : Saintes en Périgord : Boulazac - Boussitran - St-Laurent sur Manoire - St-Félix de Reilhac	autour de Saintes (Bois de Diconche, Lucérat) au nord-ouest de Pons (Avy, Les Chauveaux) et au sud de Cognac (Merpins), jusqu'à la vallée de la Vézère	plate-forme épicontinentale ouverte	silex	rognons thalassinoides	noirs à bruns	diagenèse dans calcaires	glauconie, quartz détritiques et muscovite	packstone à clastes roulés de grande taille, bryozoaires, échinodermes, algues et spongiaires, benthiques dont Rotalidés, Textularidés, Lenticulina, Nummofallotia, Goupillaudina, Cibicides. .
Santonien	dans les Charentes : Saintes en Périgord : Boulazac - Boussitran - St-Laurent sur Manoire - St-Félix de Reilhac	autour de Saintes (Bois de Diconche, Lucérat) au nord-ouest de Pons (Avy, Les Chauveaux) et au sud de Cognac (Merpins), jusqu'à la vallée de la Vézère	plate-forme épicontinentale ouverte	silex	rognons thalassinoides	noirs à bruns	diagenèse dans calcaires	indéterminés	wackestone à mudstone à clastes anguleux, débris non roulés de bryozoaires, d'échinodermes et de spongiaires
Santonien	Coutures	les vallées de l'Auzance, du Neuillac et de la Sauvanie	plate-forme épicontinentale ouverte	silex	rognons thalassinoides	noirs à blonds	diagenèse dans calcaires	à sphérolites fibroradiées	packstone à wacketone bivalves, échinodermes et par niveaux des bryozoaires (cyclostomes) benthiques Goupillaudina, Rotalia, Sirtina, Nummofallotia et rares planctoniques.
Santonien inférieur	Saintes	Jonzac-Ozillac	plate-forme épicontinentale ouverte	silex Grain de Mil	blocs fragmentés	blonds	diagenèse dans calcaires	à sphérolites fibroradiées	packstone à clastes roulés, bryozoaires, échinodermes, algues, Nummofallotia
santonien supérieur	Saint-Laurent-des-Combes (16)	Saint-Laurent-des-combes	plate-forme épicontinentale ouverte	silex	blocs fragmentés	gris à noirs	diagenèse dans calcaires	glauconie	wackestone à bryozoaires (Cyclostomes), bivalves, et petits foraminifères benthiques,proche du coniacien (Goupillaudina)
Santonien	Boussitran - St-Félix de Reilhac (24)	Vallée de la Lède : Lacapelle-Biron, Saint-Chaliès (47)	indéterminé	silex	rognons	blonds	diagenèse dans calcaires	indéterminés	wackestone à bivalves, bryozoaires et petits foraminifères benthiques, Goupillaudina,
Santonien	Boussitran (24)	Lacapelle-Biron (47)	indéterminé	silex	rognons ou banc	blonds	diagenèse dans calcaires	indéterminés	packstone à bryozoaires et grands foraminifères benthiques
Santonien	Boussitran (24)	Blanquefort : Labiden (47)	indéterminé	silex de la Séguine	rognons	zonés brun à rouge foncé	diagenèse dans calcaires, évolution dans altérites	indéterminés	wackestone à bryozoaires, dasycladacées,échinides et grands foraminfères benthiques
Campanien 1	Gimeux - c5Gi	secteurs sud de Saintes et de Cognac, nord de Chalais et de Ribérac le long des rives de l'Auzance, le Neillac, la Tude la Lizonne et la Sauvanie	plate-forme ouverte distale	silicifications	rognons	noirs à gris opaques	diagenèse dans calcaires	indéterminés	wackestone à bivalves, gastropodes, échinodermes et biozones CI et CII, Goupillaudina, Nummofallotia, Cibicides, Rosalina et Gavelinella, Globotruncana .
Campanien 1	Trémolat - c5 Tr (24)	vallée de la Couze, de la Dordogne , secteur de Rouffignac	plate-forme ouverte distale	silex	rognons thalassinoides	gris à noirs	diagenèse dans calcaires	indéterminés	wackestone à bivalves, gastropodes, échinodermes et biozones CI et CII, à Subalveolina, Orbitoides tissoti, Goupillaudina, Nummofallotia
Campanien 1-2	Trémolat - c5 Tr (24)	vallées de la Nauze et du Dropt, Badefols, le Bugue, Rouffignac	plate-forme ouverte distale	silex type Belvès	rognons et dalles		diagenèse dans calcaires	glauconie	wackestone à grands foraminifères benthiques dont Subalvéolines et Orbitoides (Monolepidorbis)
Campanien 2	Segonzac - c5 Sg	nord de Chalais et de Ribérac le long des rives de l'Auzance, le Neillac, la Tude la Lizonne et la Sauvanie	plate-forme ouverte distale	silicifications grises	rognons	noirs à gris ferrugineux	diagenèse dans calcaires	indéterminés	wackestone à spicules, bryozoaires et Biozone CIII à Gavelinopsis , Mississipina, Parrella, et Rotalia
Campanien 3	Biron - c5 Bi (16)	interfluves entre Chalais et Ribérac, elle constitue la bordure du synclinal d'Aubeterre	plate-forme ouverte distale	silicifications grises	rognons		diagenèse dans calcaires	glauconie	wackestone à débris grossiers de spongiaires, bryozoaires, d'échinides; biozones CIVa, CIVb et CV, Pseudosidérolites et Arnaudiella
Campanien 4	Barbezieux - c5 Ba	Sainte-Lheurine et Barbezieux, Sourzac-Couyette (24)	plate-forme ouverte moyenne	silex	rognons		diagenèse dans calcaires	indéterminés	wackestone à à bivalves, Trigonies, gastropodes, bryozoaires, échinides et polypiers et biozone CVI, apparition des Orbitoïdes
Campanien 5	Aubeterre - c5 Au	secteur de Saint-Aulaye à la confluence de la Tude avec la Dronne	plate-forme ouverte proximale	silex	rognons	blonds ou jaspés	diagenèse dans calcaires	indéterminés	wackestone biozone CVIII, apparition de Lepidorbitoides campaniense et des Sidérolites à bords ondulés
Campanien 5	Mussidan (24)	Frais Vallon , Issac (24)	plate-forme ouverte proximale	silex	bancs	bruns	diagenèse dans calcaires	macroquartz, sphérolithes	packestone à rudistes, bryozoaires, polypiers, et grands benthiques dont miliolidés
Campanien 5	Lalinde (24)	Bergerac, Saint-Georges-de-Monclard, Saint-Julien-de-Crempse, Campsegret	plate-forme ouverte proximale	silex Bergeracois	grands nodules	gris à bruns zonés	diagenèse dans calcaires, évolution dans altérites	indéterminés	wackestone à Biozones CVII CVIII Lenticulina et rares Orbitoïdes, échinides, gastropodes, bivalves
Campanien 5	Lalinde (24)	Bergerac, Saint-Georges-de-Monclard, Saint-Julien-de-Crempse, Campsegret	plate-forme ouverte proximale	silex Bergeracois	grands nodules tabulaires	gris à bruns zonés	diagenèse dans calcaires, évolution dans altérites	indéterminés	packstone à wackestone à pellets biozones CVII et CVIII, à Orbitoïdes et Fallotia
Campanien 6	Maurens	secteur d'Aubeterre : deux rives du ruisseau de Ladoux au nord de Bellon et au sud de Saint-Privat, de La Clotte et dans la vallée du Lary	plate-forme proximale	silex	indéterminé	indéterminés	diagenèse dans calcaires	indéterminés	packstone - biozone CIX, On note l'apparition de grands Orbitoides et de Sidérolites évolués.

Figure 5-10 – Montguyon (17), « Bois Clair », tableau des formations à silex

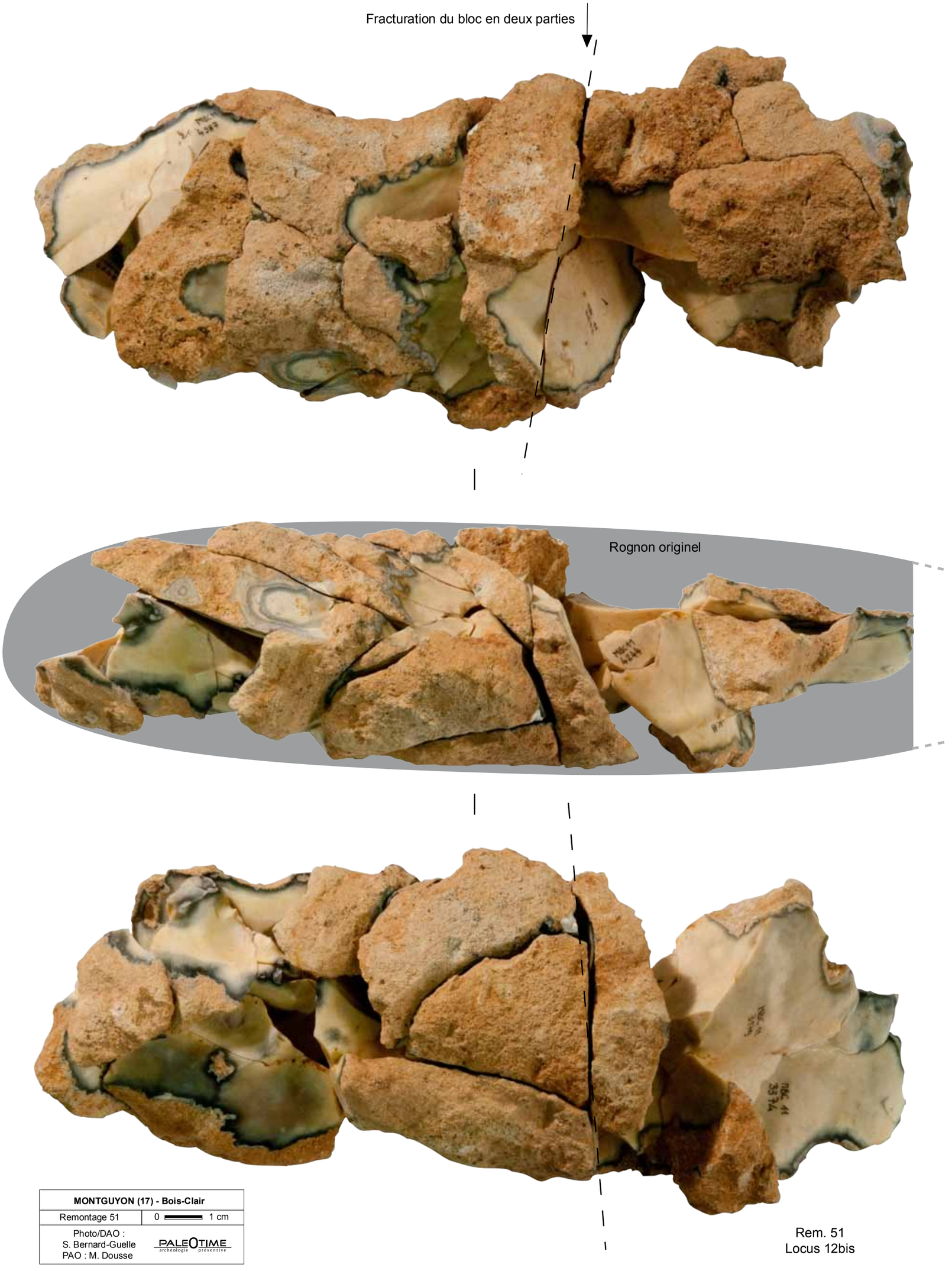


Figure 5-69 – Montguyon (17), « Bois Clair », sélection d'un rognon oblong régulier d'environ 30 x 9 x 7 cm, fracturation volontaire puis exploitation des deux parties par débitage alternant sur surfaces adjacentes dans l'objectif de produire des pointes pseudo-Levallois en série

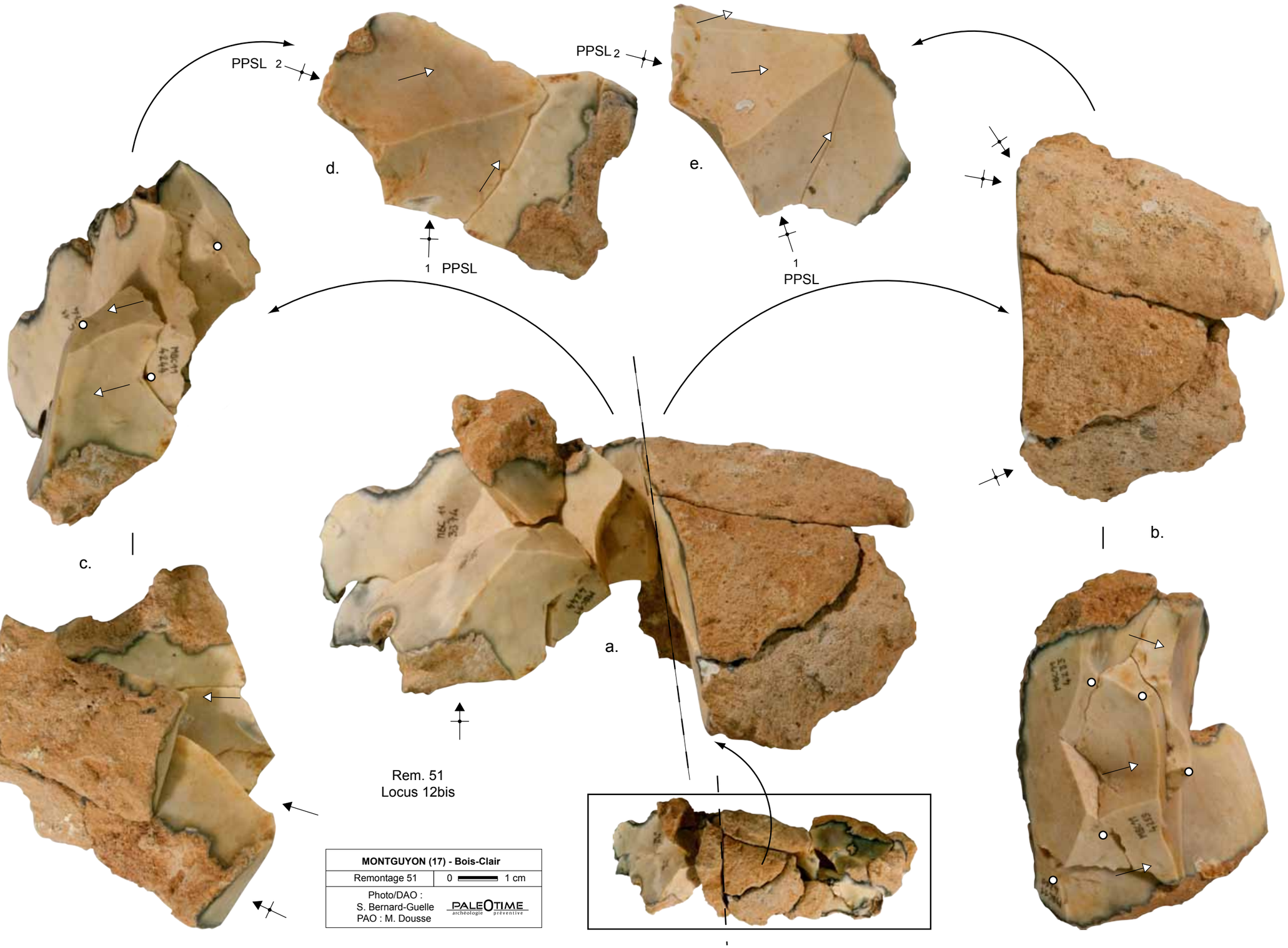


Figure 5-70 – Montguyon (17), « Bois Clair », les deux parties du bloc sont exploitées de la même façon, par débitage alternant sur surfaces adjacentes non hiérarchisées. Vues des deux préparations identiques par enlèvements unidirectionnels alternants (b. et c.) qui permettront le détachement successif des deux premières pointes pseudo-Levallois (d. et e.) sur chacune des deux parties du bloc

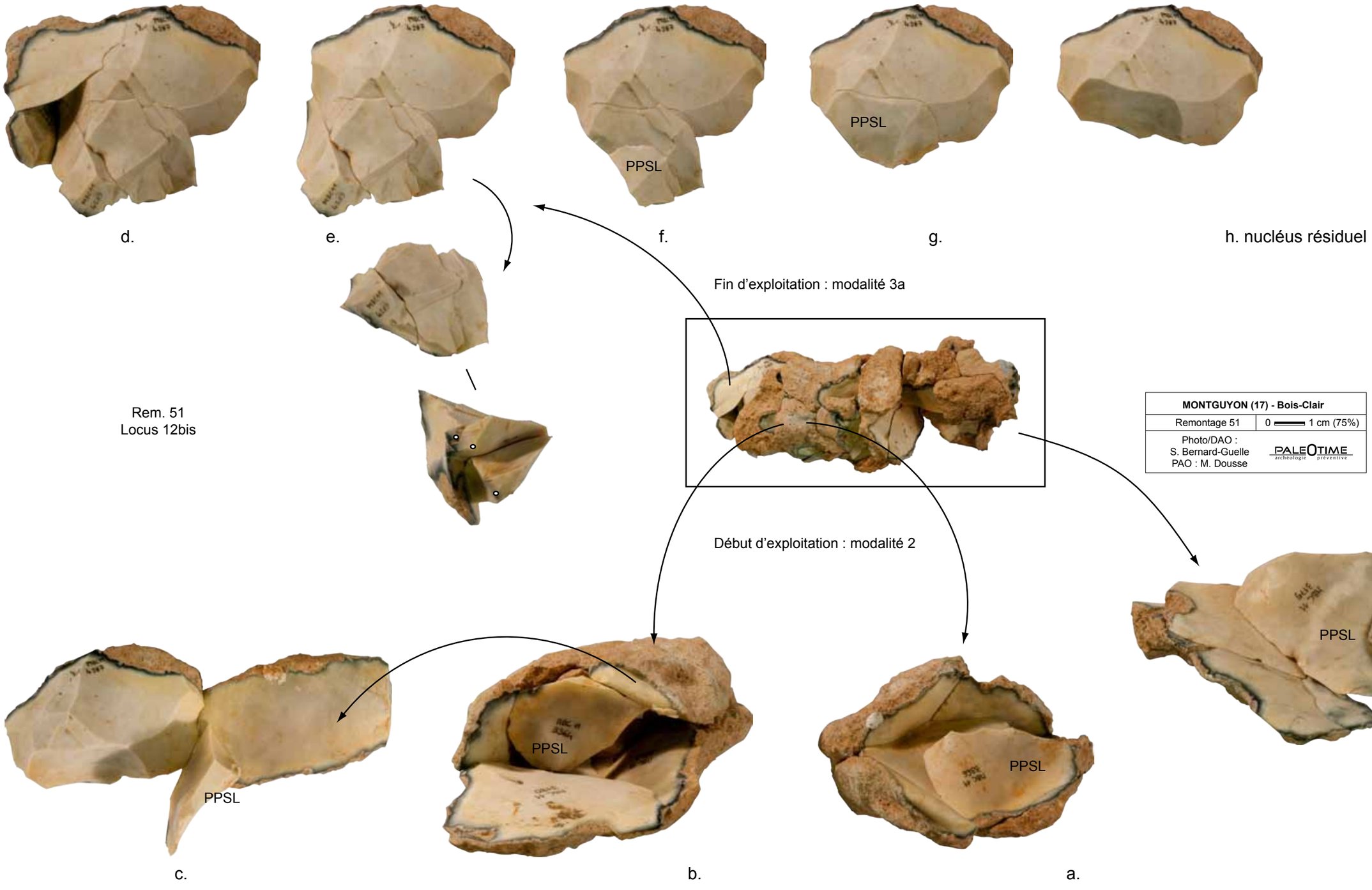


Figure 5-71 – Montguyon (17), « Bois Clair », le débitage alternant sur surfaces adjacentes non hiérarchisées se poursuit en s'inscrivant dans l'épaisseur du bloc (a. - c.) et se restreint à une surface préférentielle en fin d'exploitation (d. - h.)

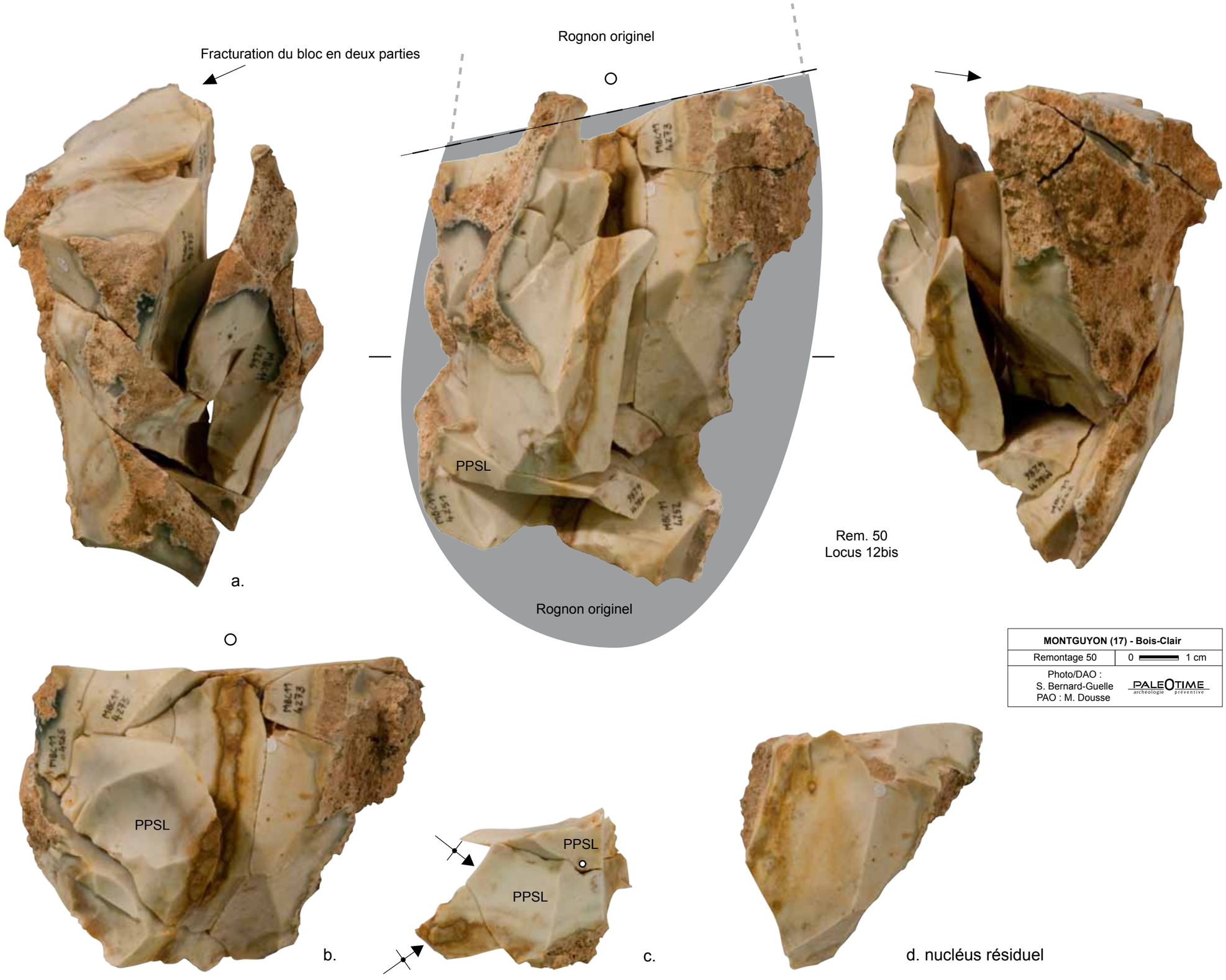
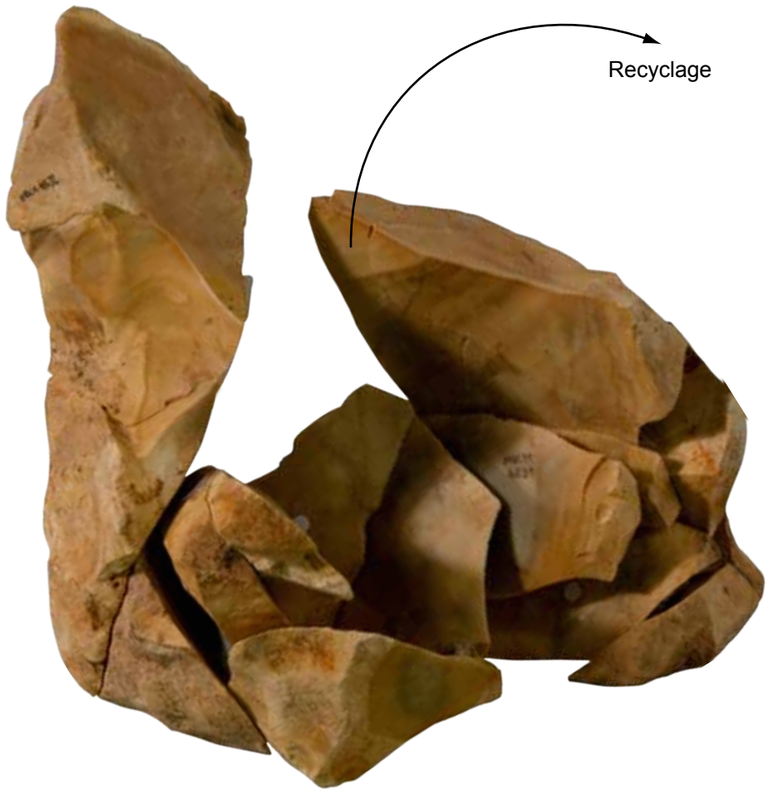


Figure 5-72 – Montguyon (17), « Bois Clair », sélection d'un rognon oblong régulier d'environ 25 x 9 x 8 cm et fracturation volontaire (a.) puis exploitation attestée sur site d'une des deux parties par débitage alternant sur surfaces adjacentes dans l'objectif de produire des pointes pseudo-Levallois en série



a.



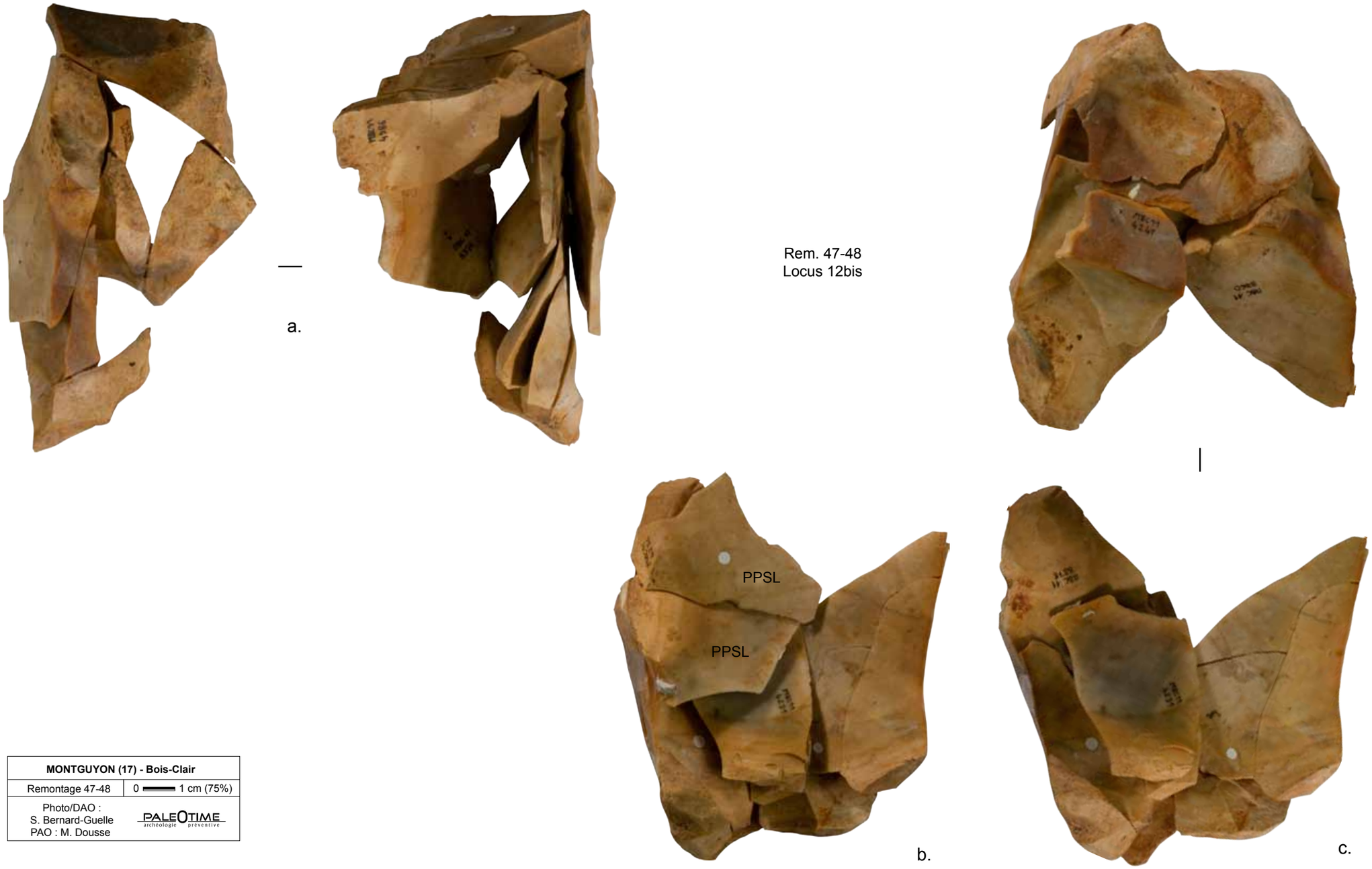
b.



Rem. 47-48
Locus 12bis

MONTGUYON (17) - Bois-Clair	
Remontage 47-48	0 1 cm (75%)
Photo/DAO : S. Bernard-Guelle PAO : M. Dousse	PALEOTIME archéologie préventive

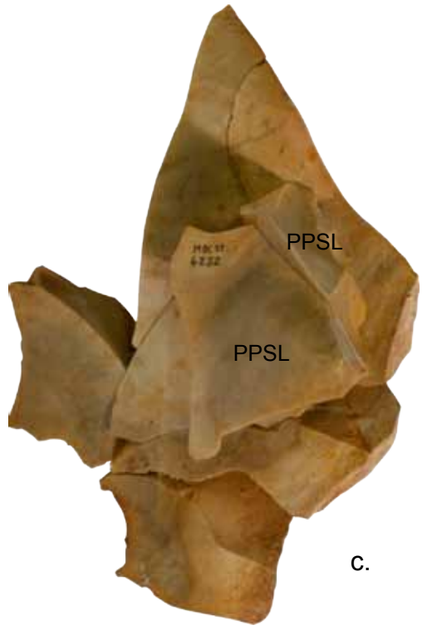
Figure 5-74 – Montguyon (17), « Bois Clair », sélection d'un bloc d'environ 15x14x11 cm exploité par débitage alternant sur surfaces adjacentes dans l'objectif de produire prioritairement des pointes pseudo-Levallois. Au moins un éclat issu des premières phases d'exploitation est recyclé en nucléus aux objectifs identiques (cf. fig. 5-76)



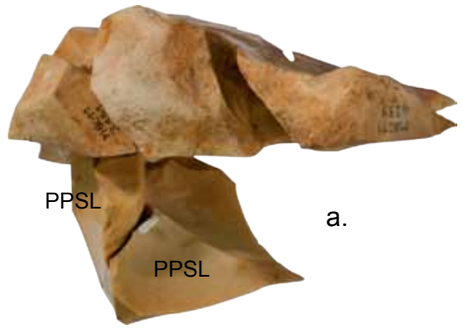
MONTGUYON (17) - Bois-Clair	
Remontage 47-48	0 1 cm (75%)
Photo/DAO : S. Bernard-Guelle PAO : M. Dousse	PALEOTIME archéologie préventive

Figure 5-75 – Montguyon (17), « Bois Clair », autre vue montrant une préparation bipolaire opposée (a.) et le détachement d'éclats débordants précédant celui des éclats à dos limités (b.)

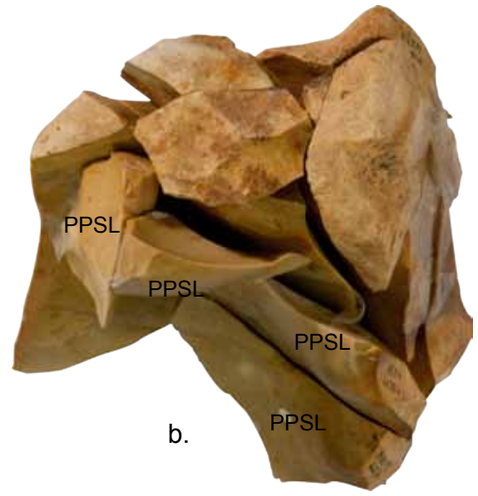
MONTGUYON (17) - Bois-Clair	
Remontage 47-48	0 ═══ 1 cm (75%)
Photo/DAO : S. Bernard-Guelle PAO : M. Dousse	PALEOTIME archéologie préventive



c.



a.



b.

Rem. 48
Locus 12bis



d.



Recyclage

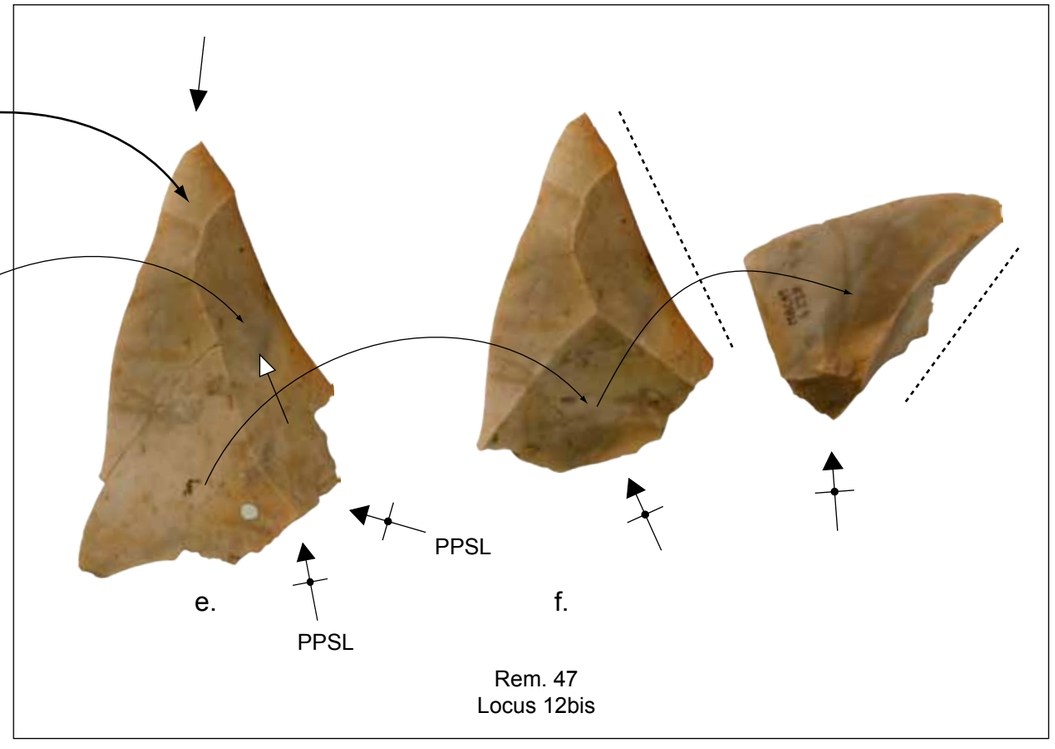
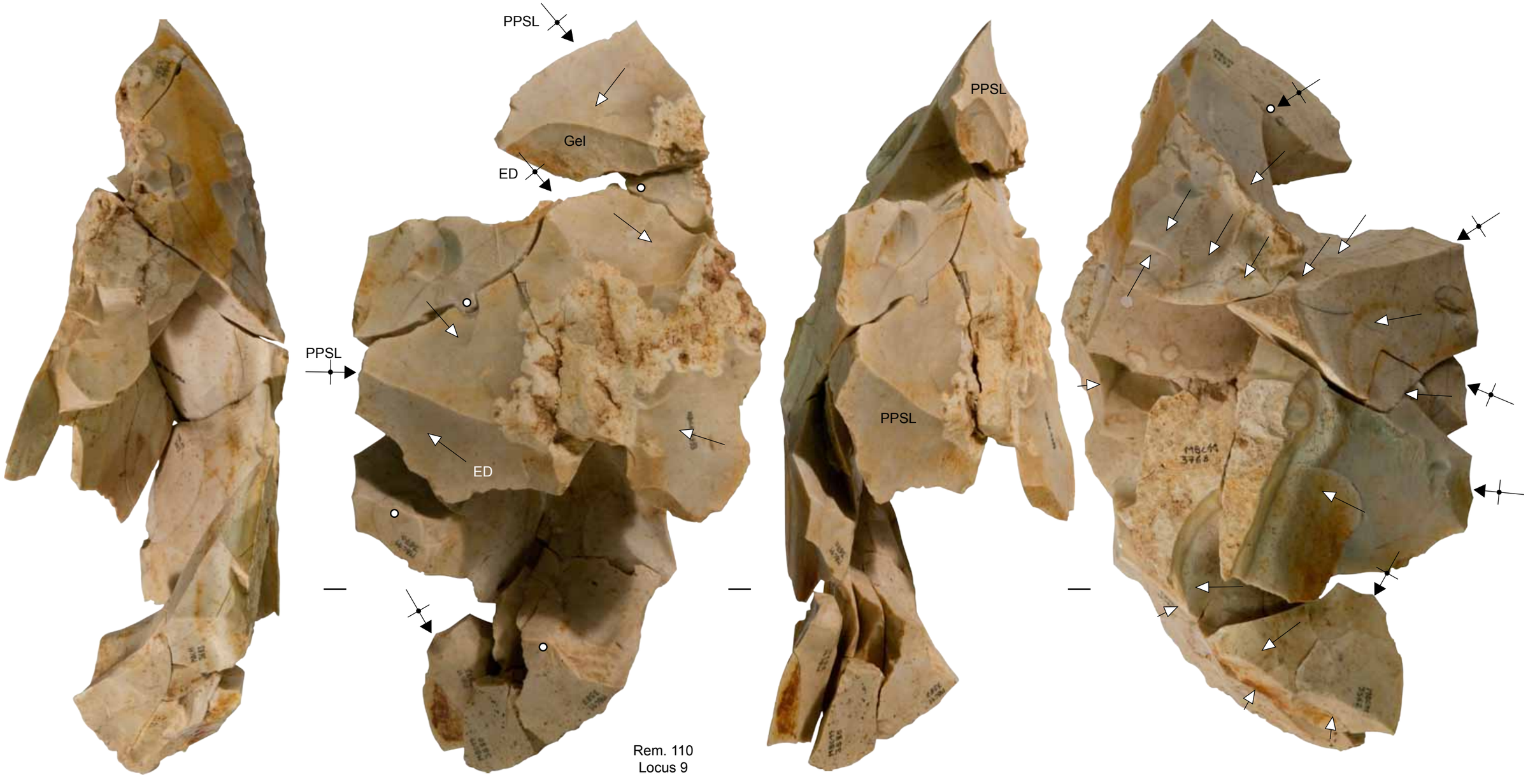


Figure 5-76 – Montguyon (17), « Bois Clair », poursuite du débitage alternant sur surfaces adjacentes (a. - c.) et utilisation d'un éclat cortical pour une production de type « Kombewa » (d. - f.).



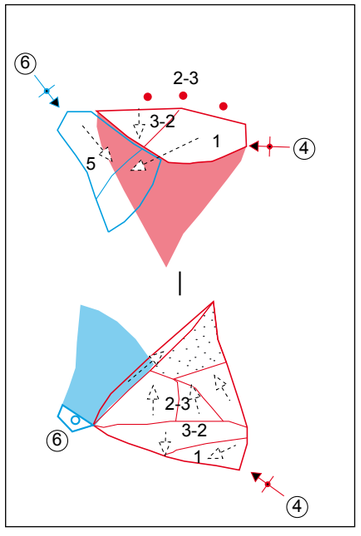
MONTGUYON (17) - Bois-Clair	
Débitage	0 1 cm (75%)
Photo. et PAO : S. Bernard-Guelle et M. Dousse	PALEOTIME archéologie préventive

Figure 5-79 – Montguyon (17), « Bois Clair », débitage discoïde : seule la surface A est pourvoyeuse en éclats à dos (pointes pseudo-Levallois et éclats débordants) ; dernière phase et nucléus absents





Rem. 94
Locus 09/11



Modalité 2 - débitage alternant sur surfaces adjacentes : détachement de 2 PPSL à partir de 2 surfaces adjacentes instalées dans l'épaisseur du bloc



MONTGUYON (17) - Bois-Clair	
Remontages 94	0 1 cm (75%)
Photo/DAO : S. Bernard-Guelle PAO : M. Dousse	PALEOTIME archéologie préventive

Figure 5-81 – Montguyon (17), « Bois Clair », le bloc est exploité dans son épaisseur et de façon quasi-périphérique par une alternance d'enlèvements partant des deux faces

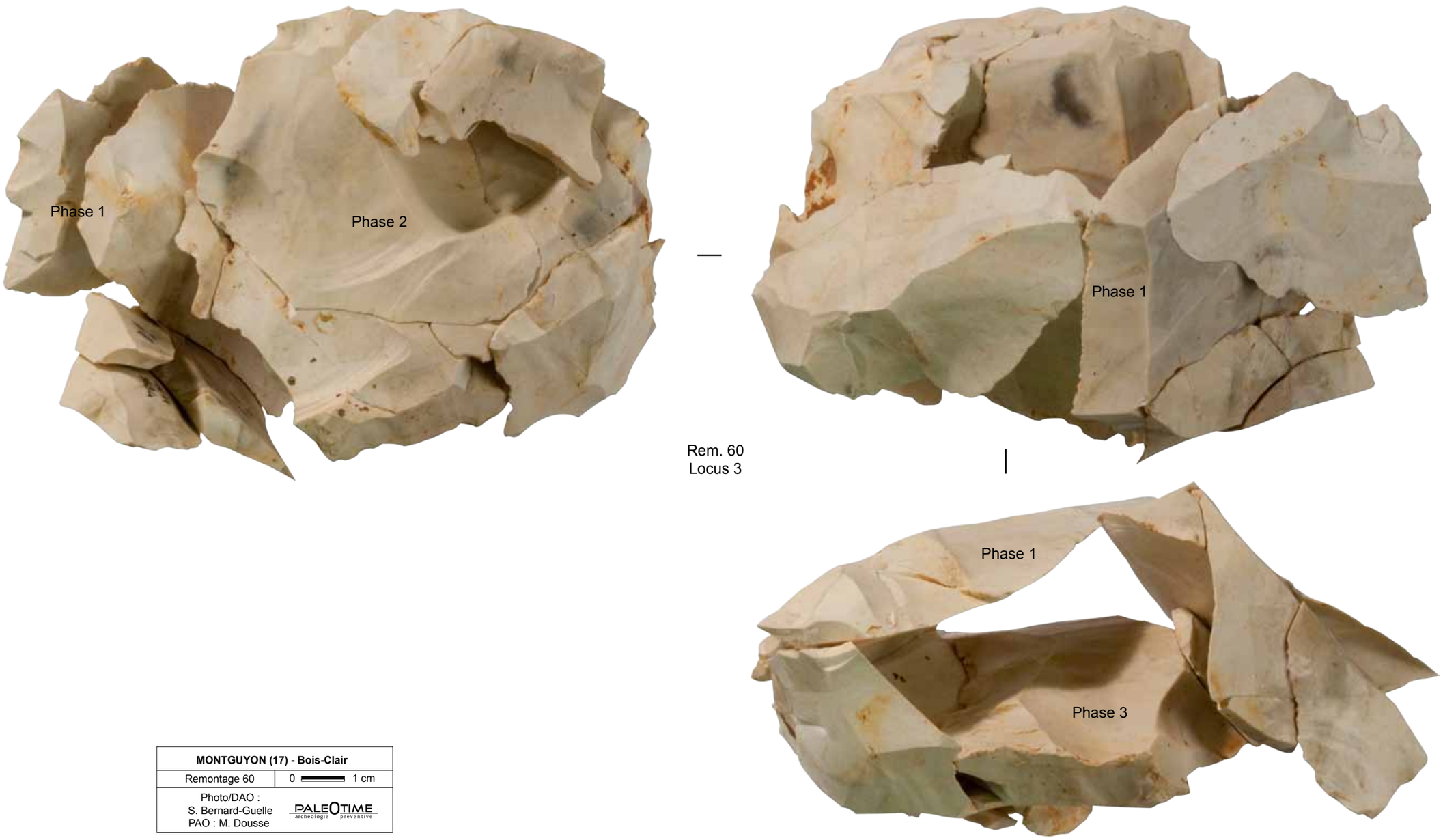


Figure 5-91 – Montguyon (17), « Bois Clair », débitage discoïde stricto sensu par exploitation périphérique et enlèvements de direction centripète et cordale (et plans de détachement sécants) - phase 1

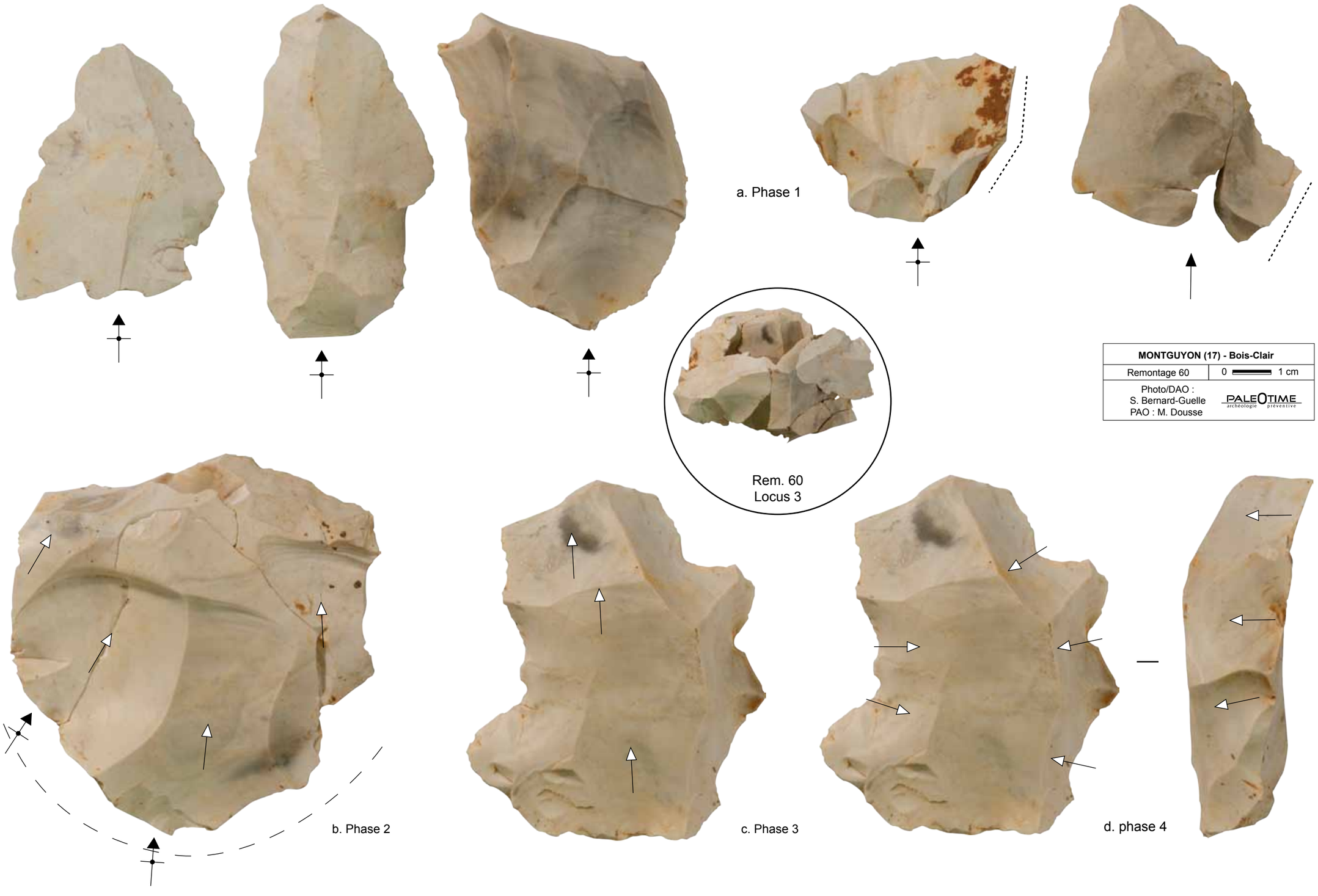


Figure 5-92 – Montguyon (17), « Bois Clair », produits centrés et débordants issus de la phase 1 d'exploitation du nucléus (a.) suivis d'une seconde phase de production sur la surface opposée depuis un pôle plus limité et des plans de fracturation sub-parrallèles (b.). Le nucléus est ensuite retourné une nouvelle fois pour détacher une série unidirectionnelle de 3 enlèvements (c.) puis le nucléus fait l'objet d'un aménagement par retouches (outil encoché-denticulé) (d.)

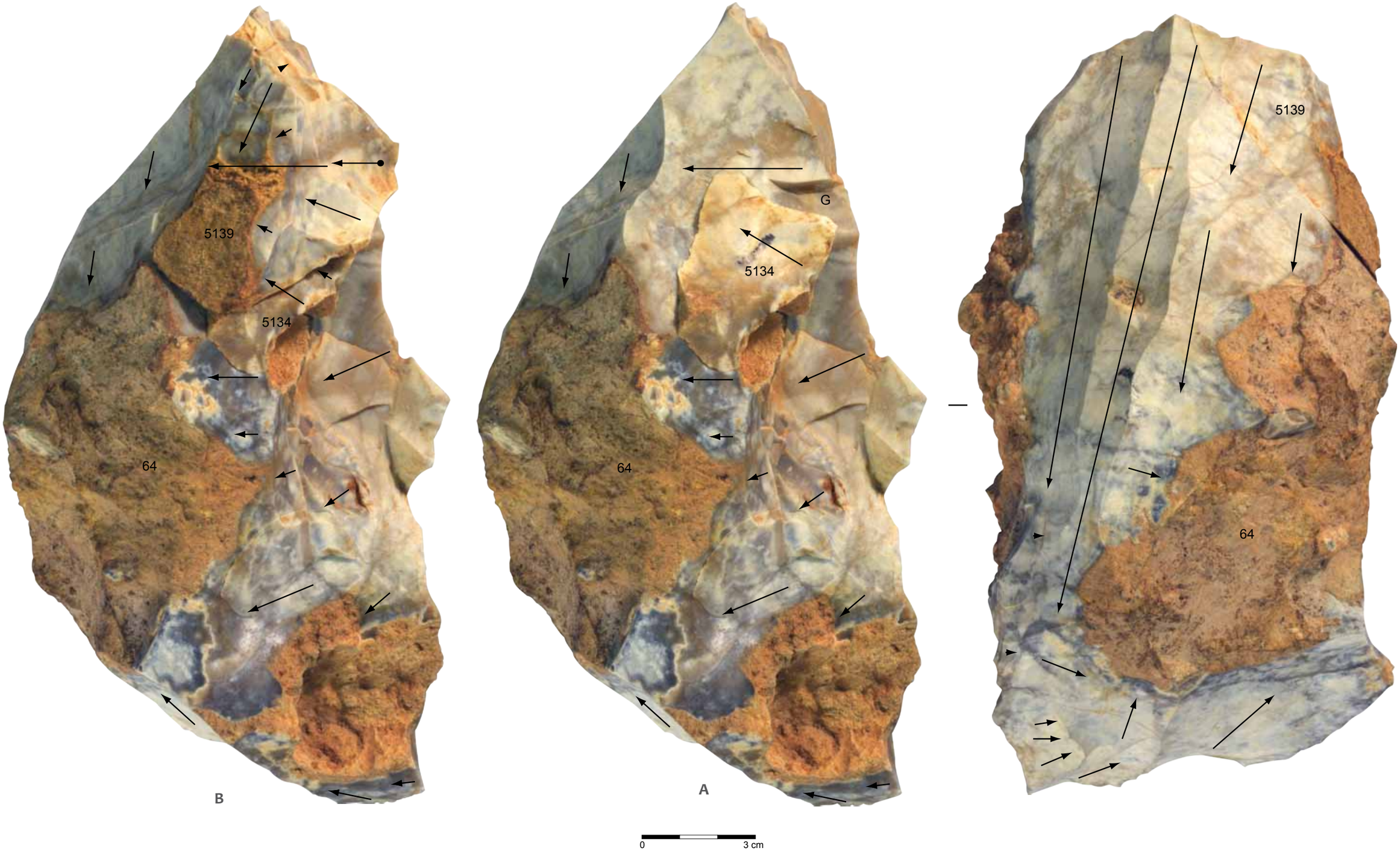


Figure 5-153 – Montguyon (17), « Bois Clair », remontage 127 (locus 00/tranchée 108)

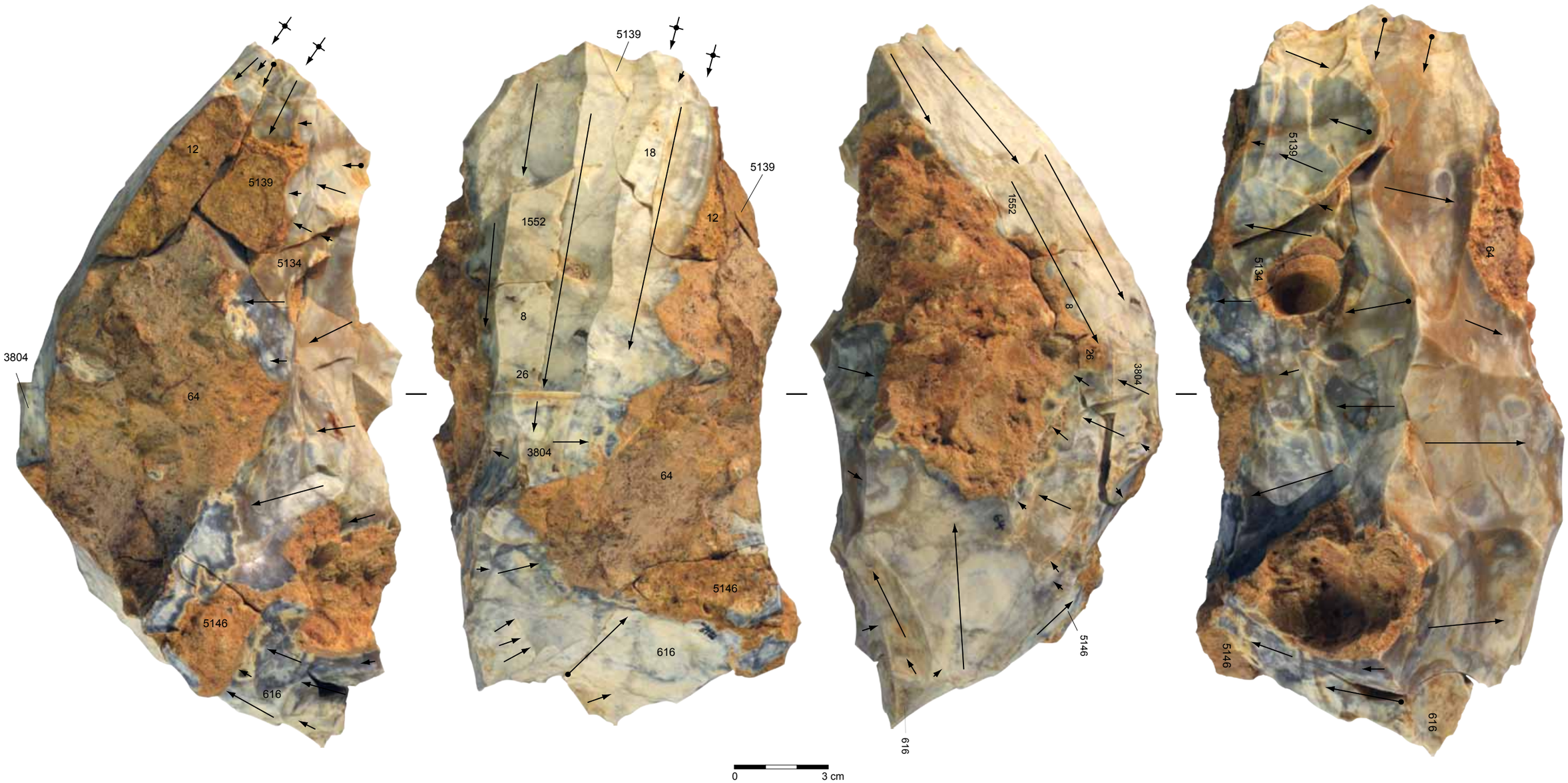


Figure 5-154 – Montguyon (17), « Bois Clair », remontage 127 (locus 00/tranchée 108) (échelle 75 %)



Figure 5-155 – Montguyon (17), « Bois Clair », remontage 127 (locus 00/tranchée 108)

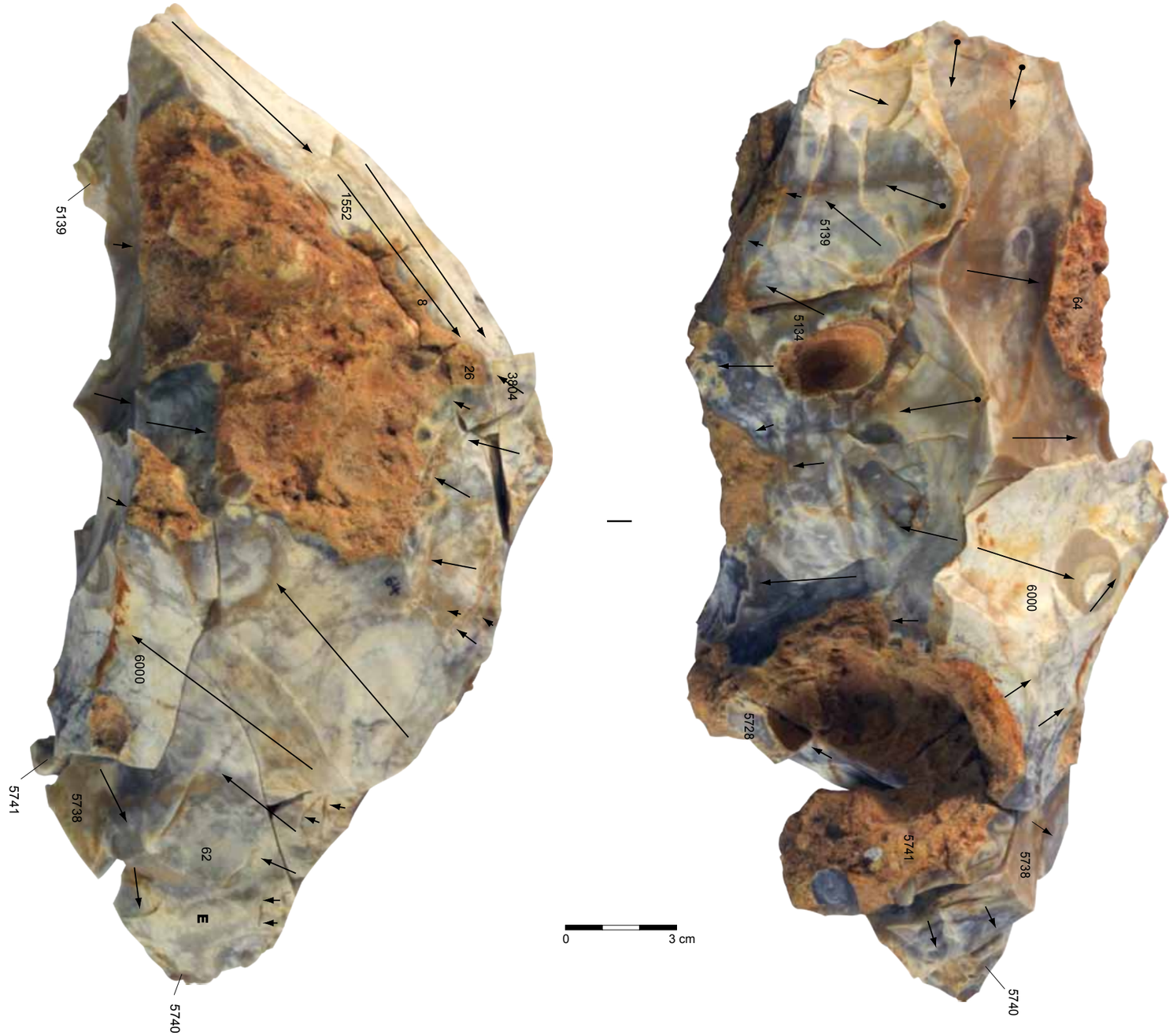


Figure 5-156 – Montguyon (17), « Bois Clair », remontage 127 (locus 00/tranchée 108) (échelle 75 %)

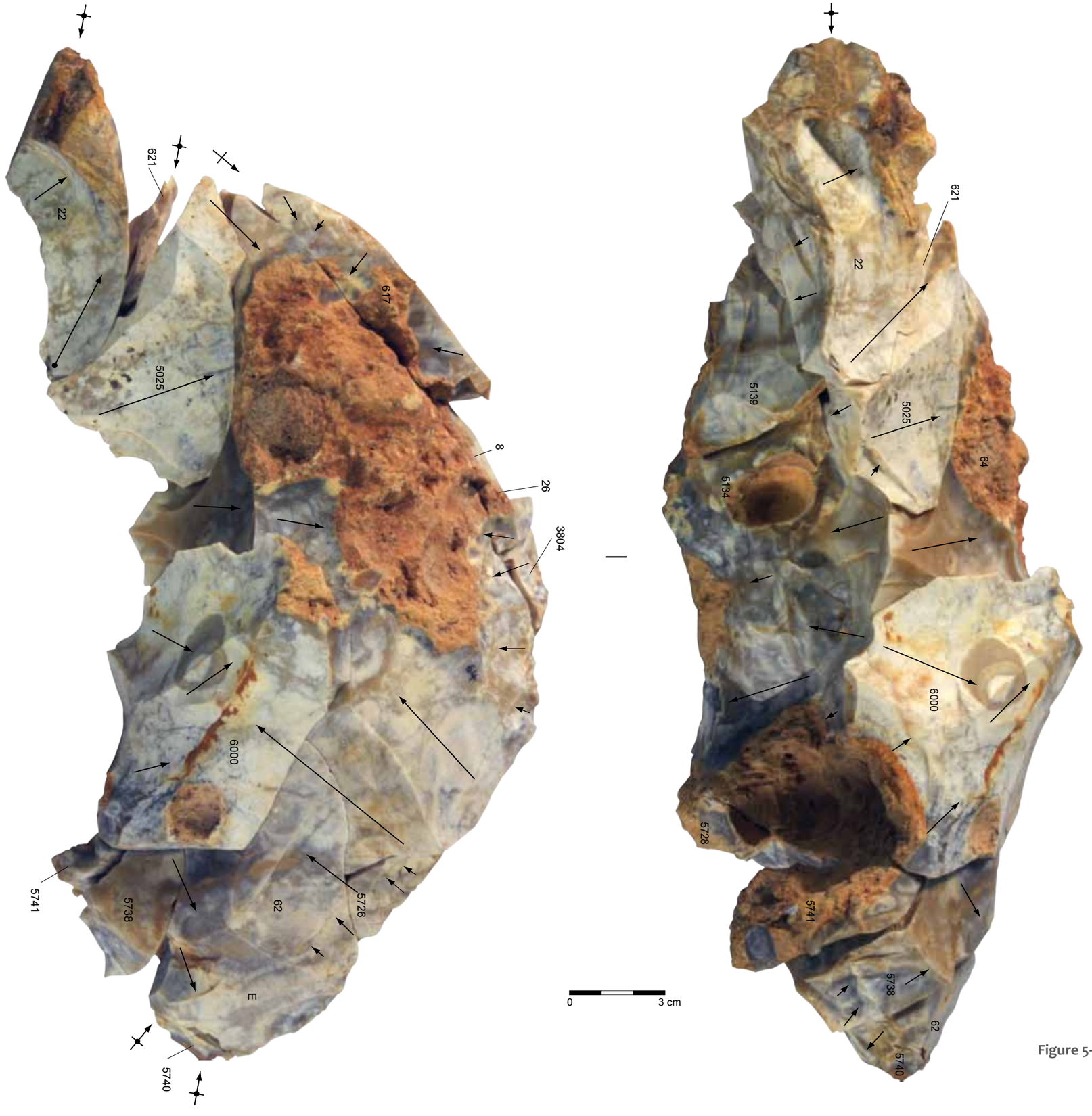


Figure 5-157 – Montguyon (17), « Bois Clair », remontage 127 (locus 00/tranchée 108) (échelle 75 %)

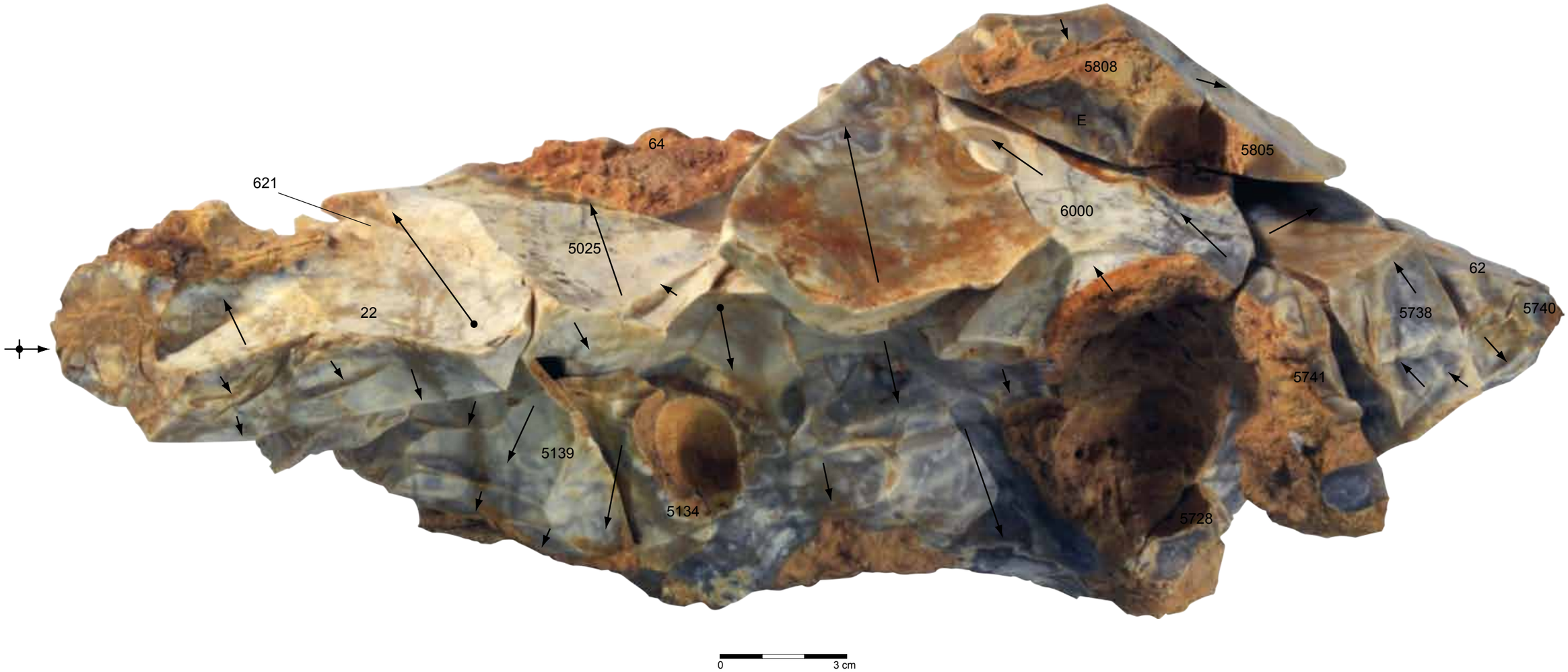


Figure 5-158 – Montguyon (17), « Bois Clair », remontage 127 (locus 00/tranchée 108)



Figure 5-159 – Montguyon (17), « Bois Clair », remontage 126 (locus 9)



Figure 5-160 – Montguyon (17), « Bois Clair », remontage 126 (locus 9)

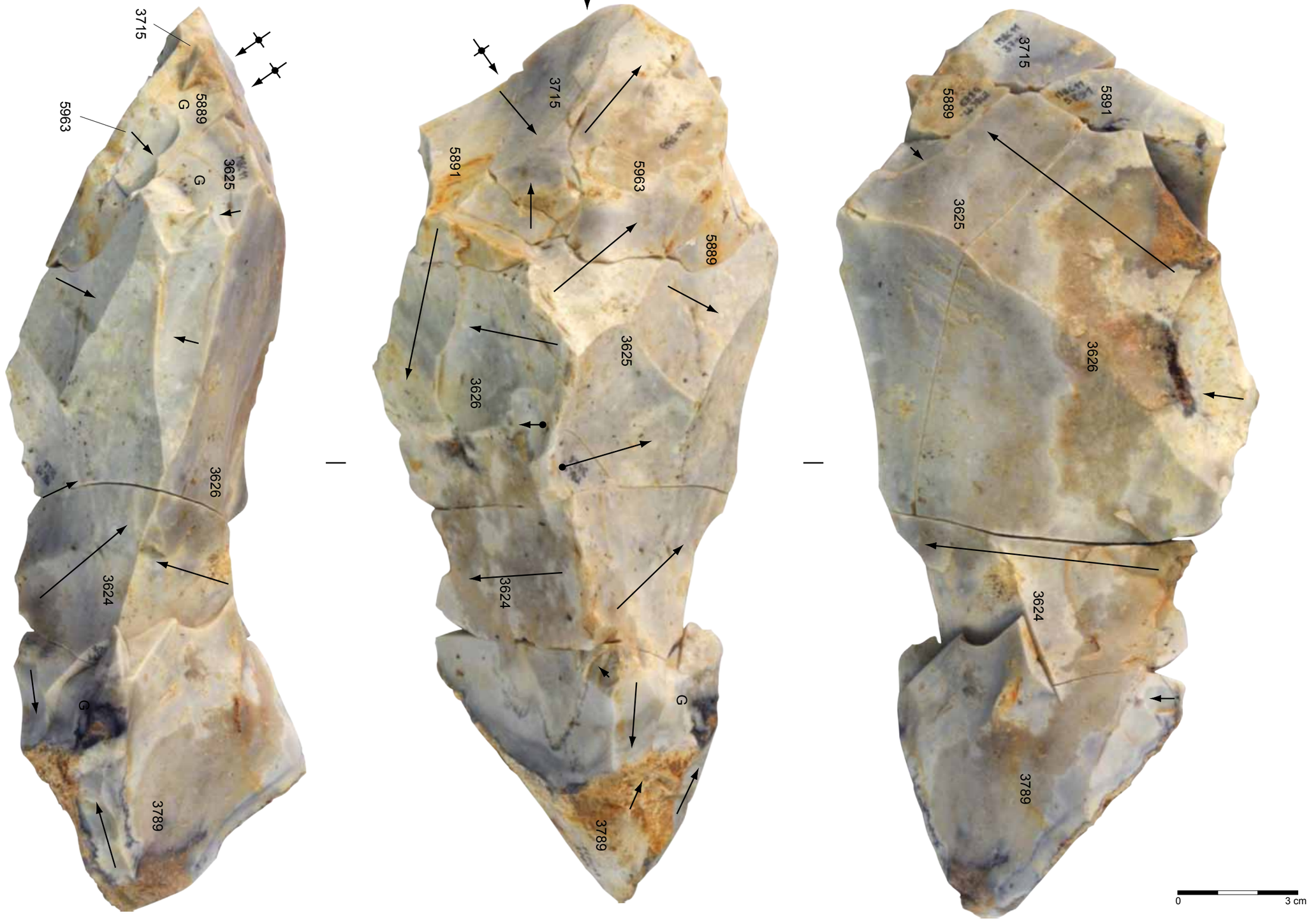


Figure 5-161 – Montguyon (17), « Bois Clair », remontage 126 (locus 9)

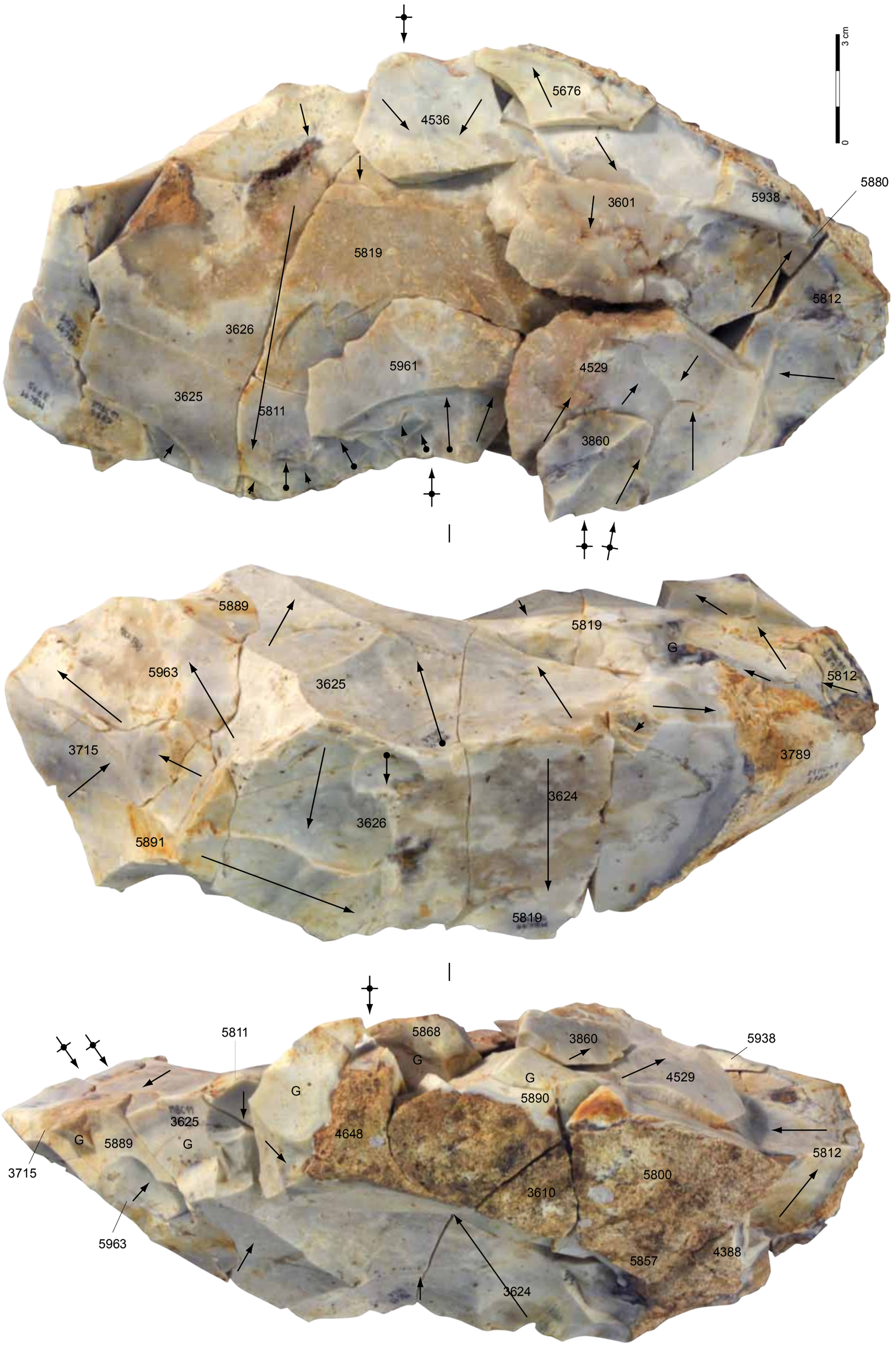


Figure 5-162 – Montguyon (17), « Bois Clair », remontage 126 (locus 9)

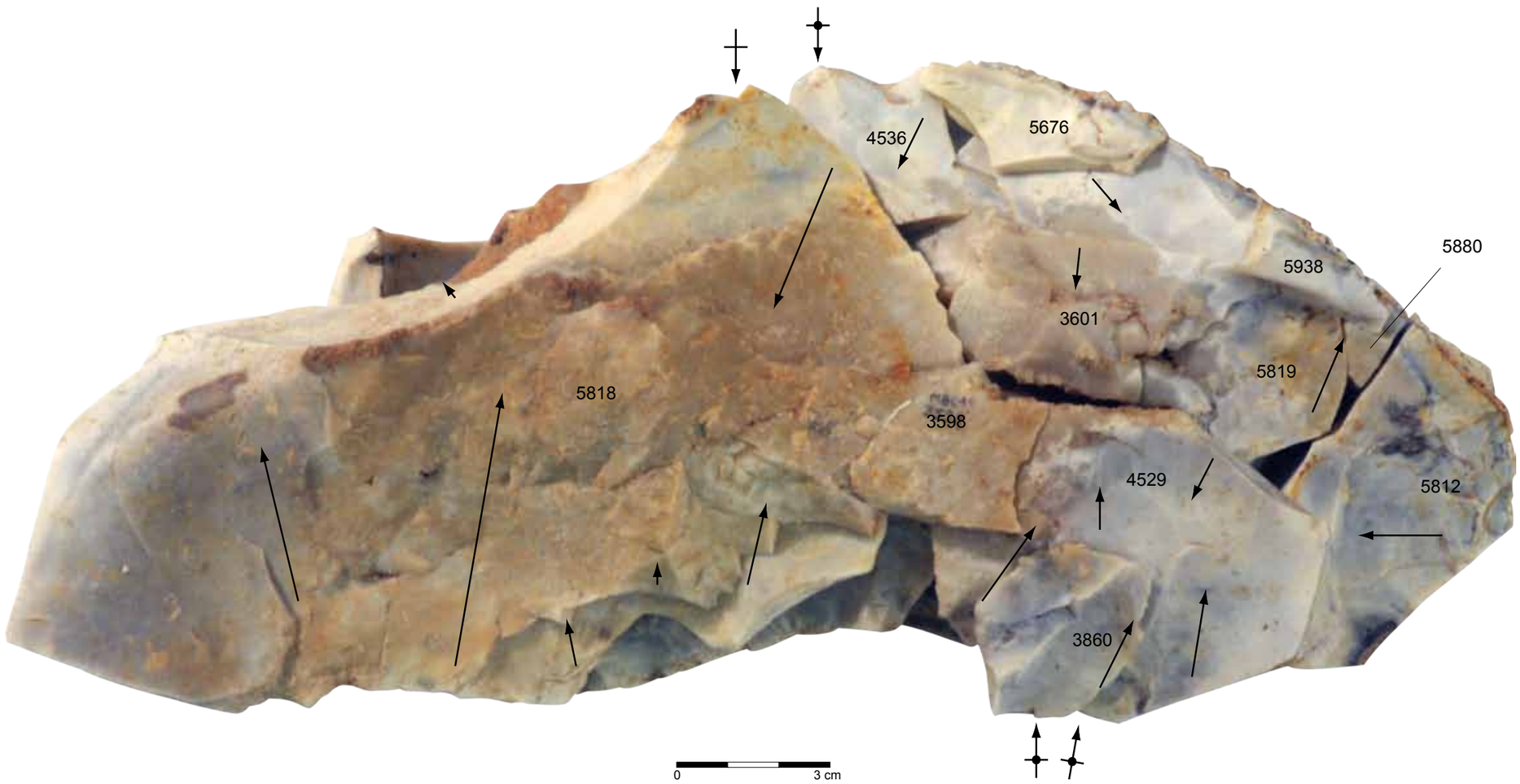


Figure 5-163 – Montguyon (17), « Bois Clair », remontage 126 (locus 9)

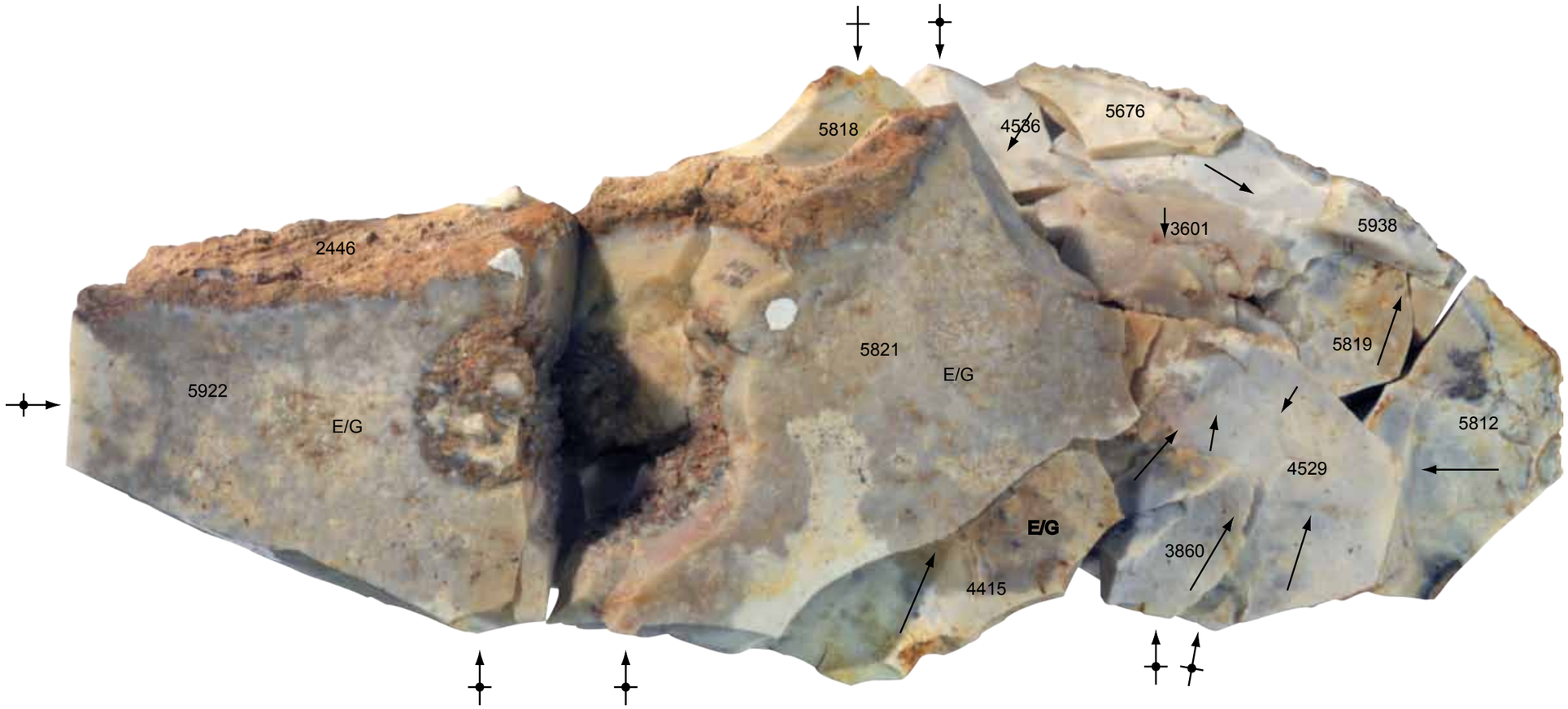


Figure 5-164 – Montguyon (17), « Bois Clair », remontage 126 (locus 9)

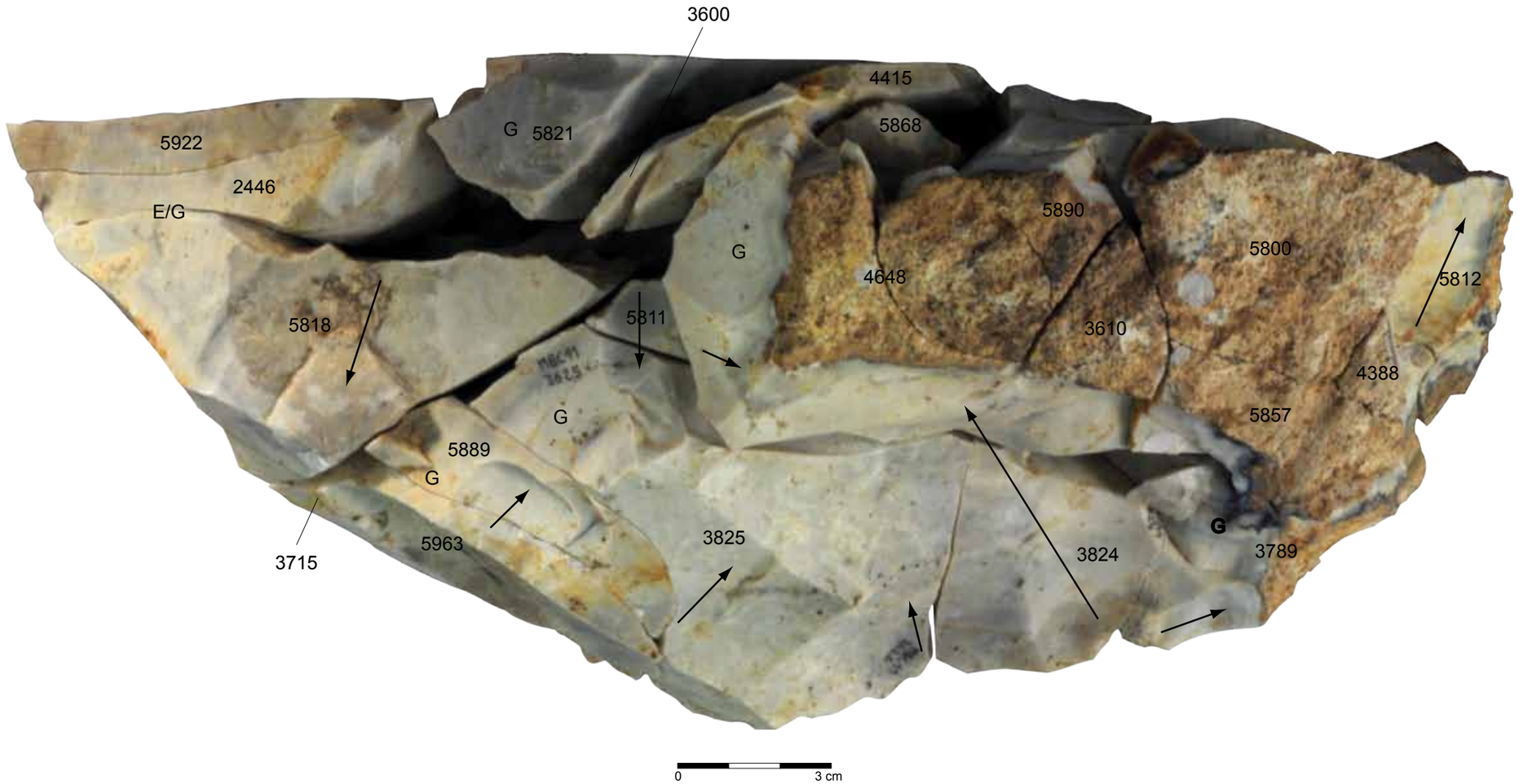


Figure 5-165 – Montguyon (17), « Bois Clair », remontage 126 (locus 9)

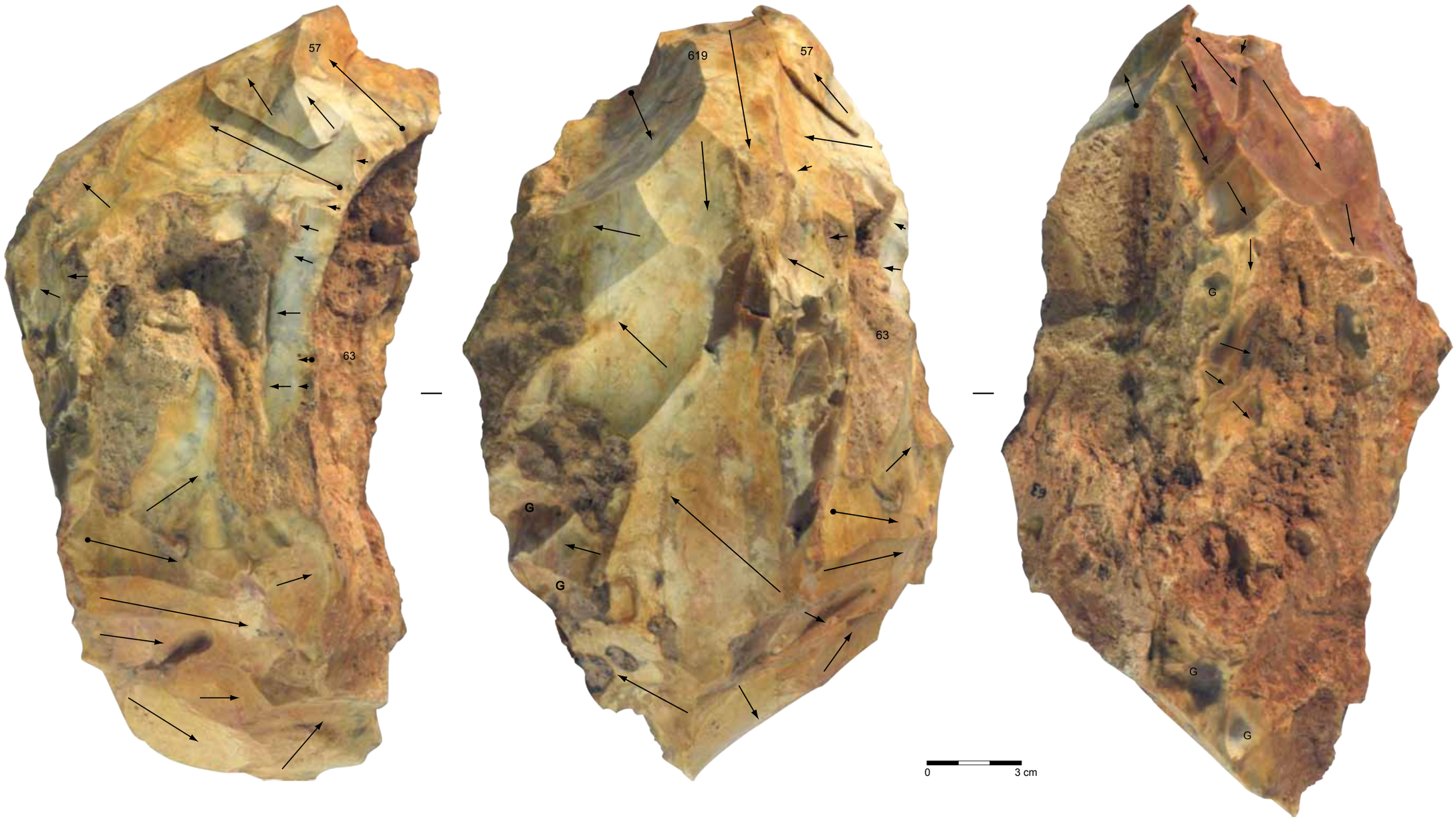


Figure 5-166 – Montguyon (17), « Bois Clair », remontage 134 (locus 00/tranchée 108) (échelle 75 %)



Figure 5-167 – Montguyon (17), « Bois Clair », remontage 134 (locus 00/tranchée 108) (échelle 75 %)



Figure 5-168 – Montguyon (17), « Bois Clair », remontage 134 (locus 00/tranchée 108) (échelle50 %)



Figure 5-169 – Montguyon (17), « Bois Clair », remontage 134 (locus 00/tranchée 108) (échelle 75 %)

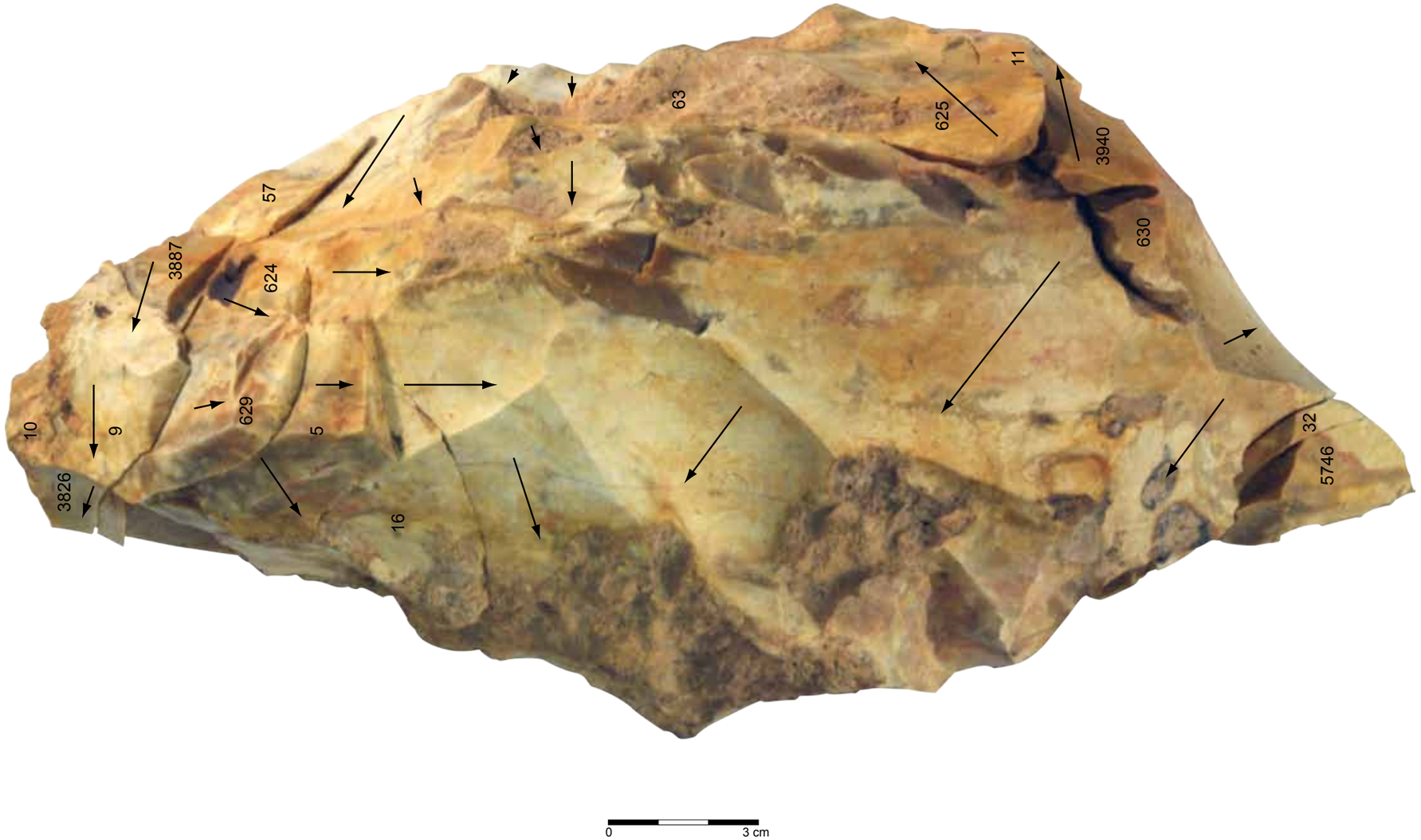


Figure 5-170 – Montguyon (17), « Bois Clair », remontage 134 (locus 00/tranchée 108)

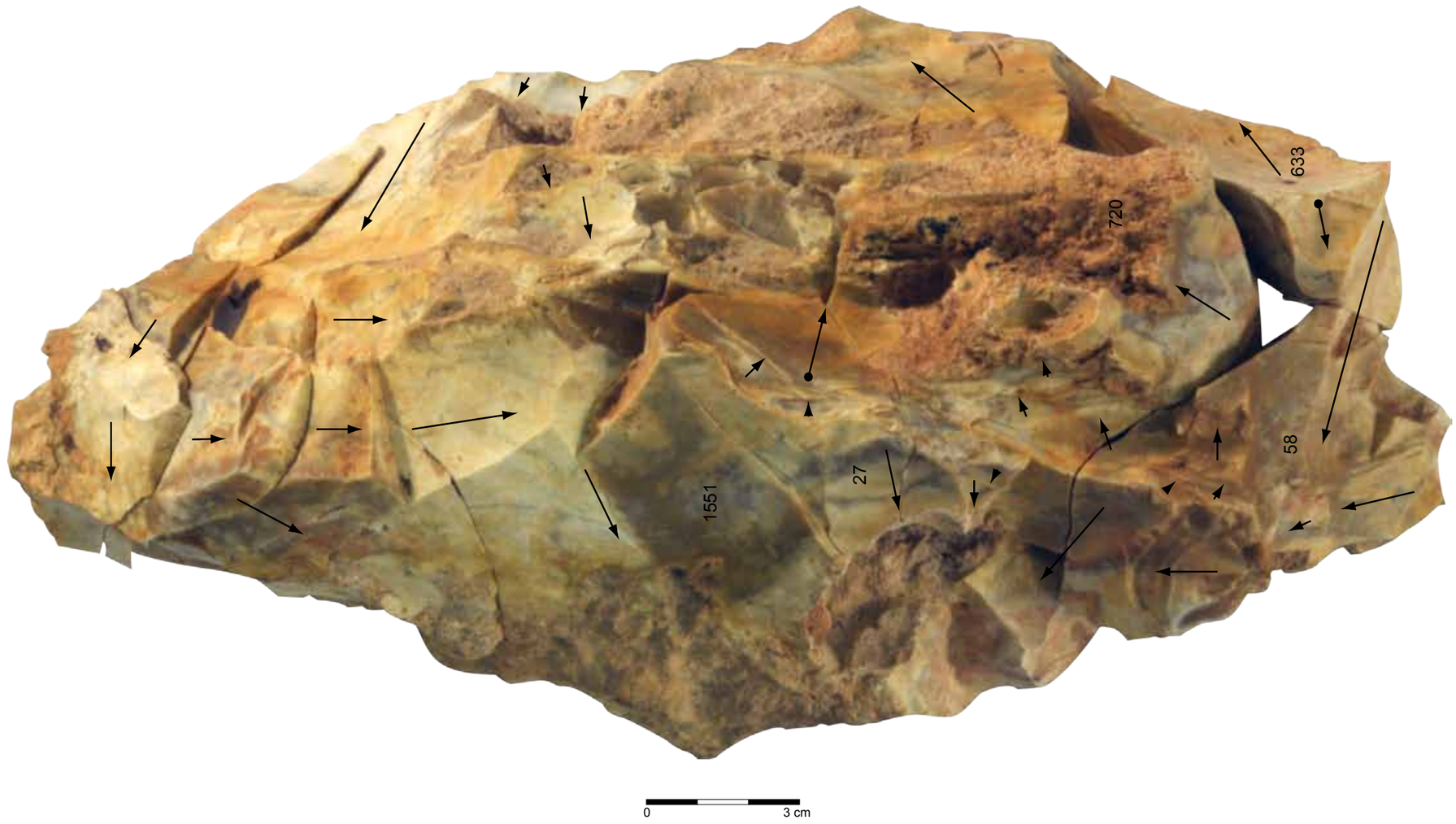


Figure 5-171 – Montguyon (17), « Bois Clair », remontage 134 (locus 00/tranchée 108)

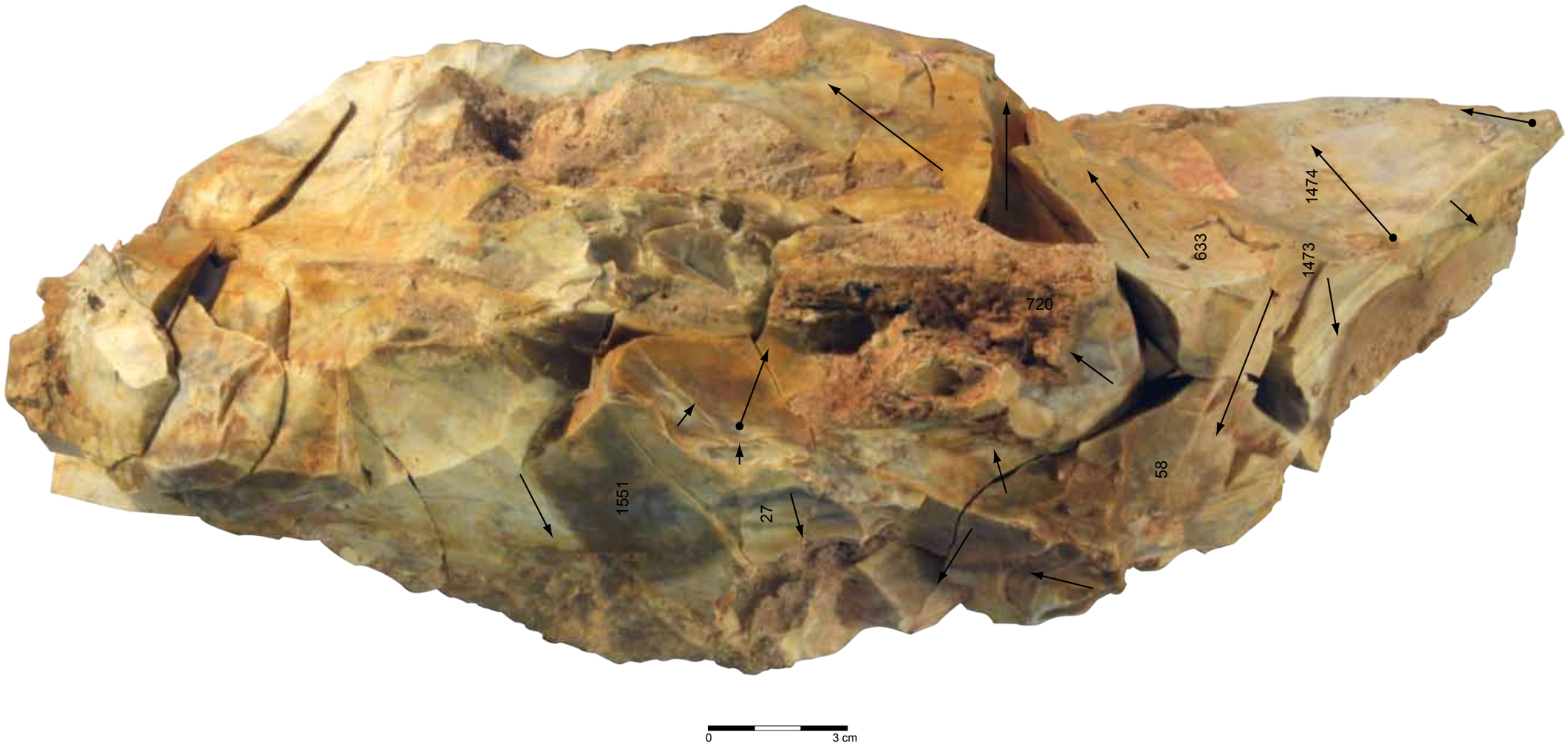


Figure 5-172 – Montguyon (17), « Bois Clair », remontage 134 (locus 00/tranchée 108)



Figure 5-173 – Montguyon (17), « Bois Clair », remontage 134 (locus 00/tranchée 108)



Figure 5-174 – Montguyon (17), « Bois Clair », remontage 134 (locus 00/tranchée 108)

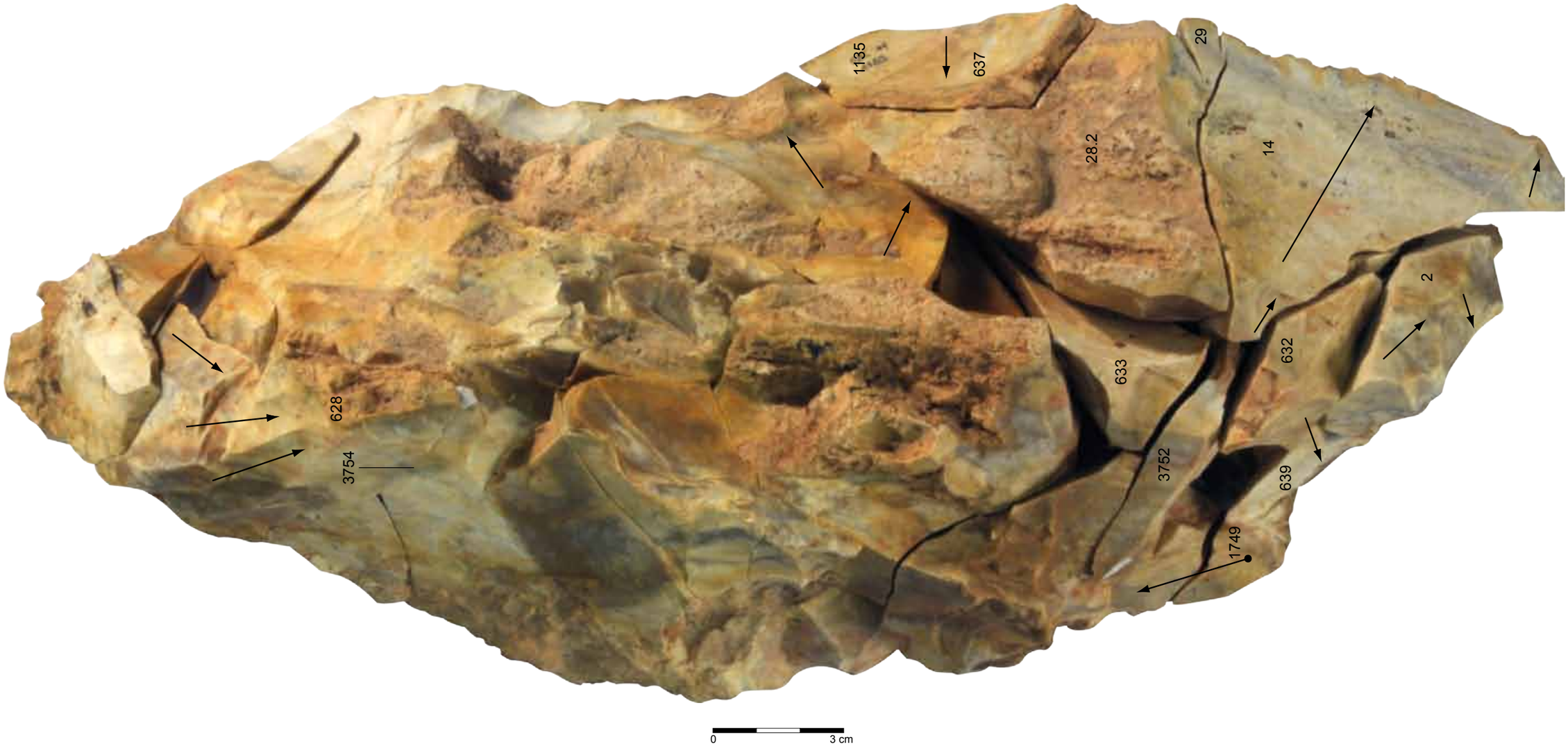


Figure 5-175 – Montguyon (17), « Bois Clair », remontage 134 (locus 00/tranchée 108)

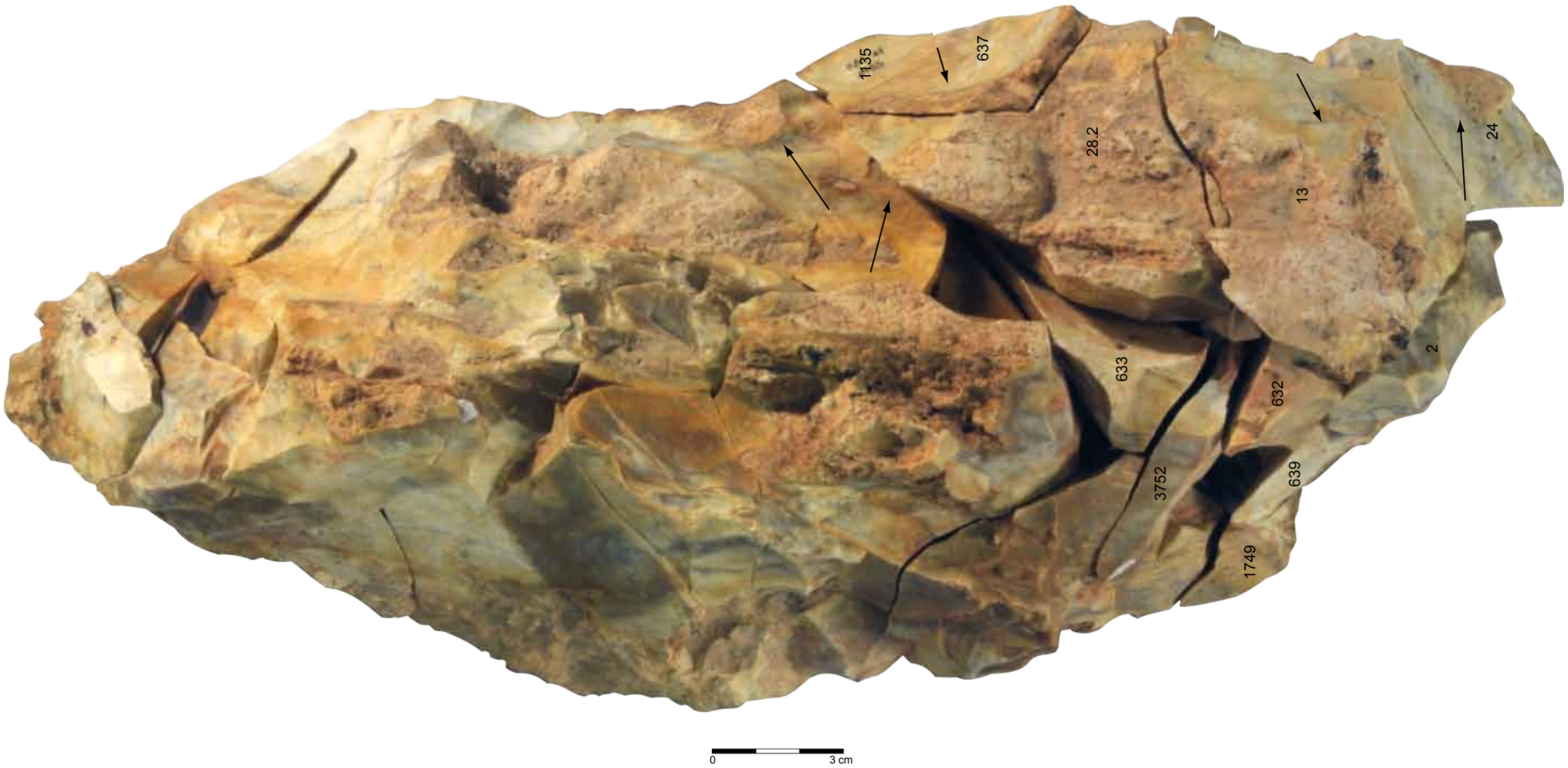


Figure 5-176 – Montguyon (17), « Bois Clair », remontage 134 (locus 00/tranchée 108)

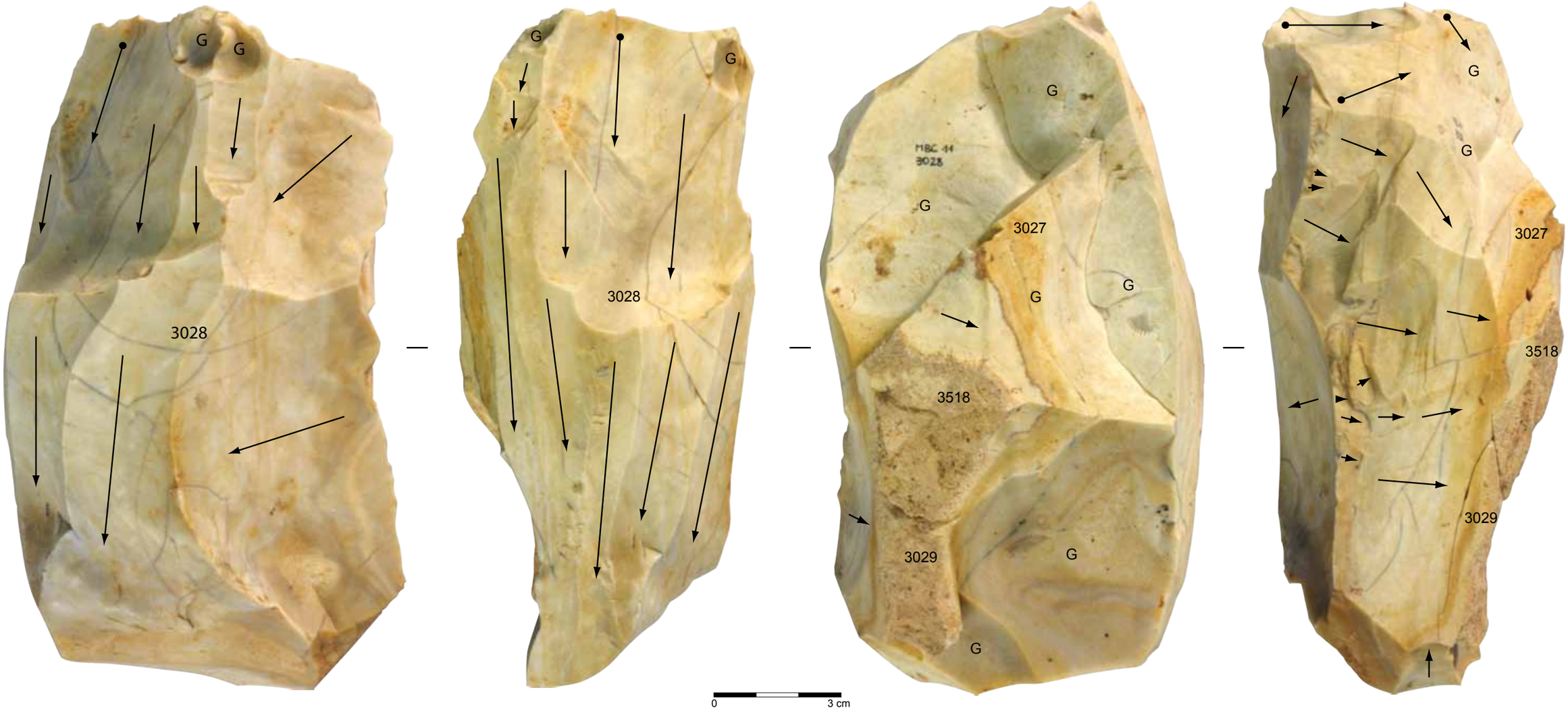


Figure 5-177 – Montguyon (17), « Bois Clair », remontage 137 (locus 09 et 11)



Figure 5-178 – Montguyon (17), « Bois Clair », remontage 137 (locus 09 et 11)

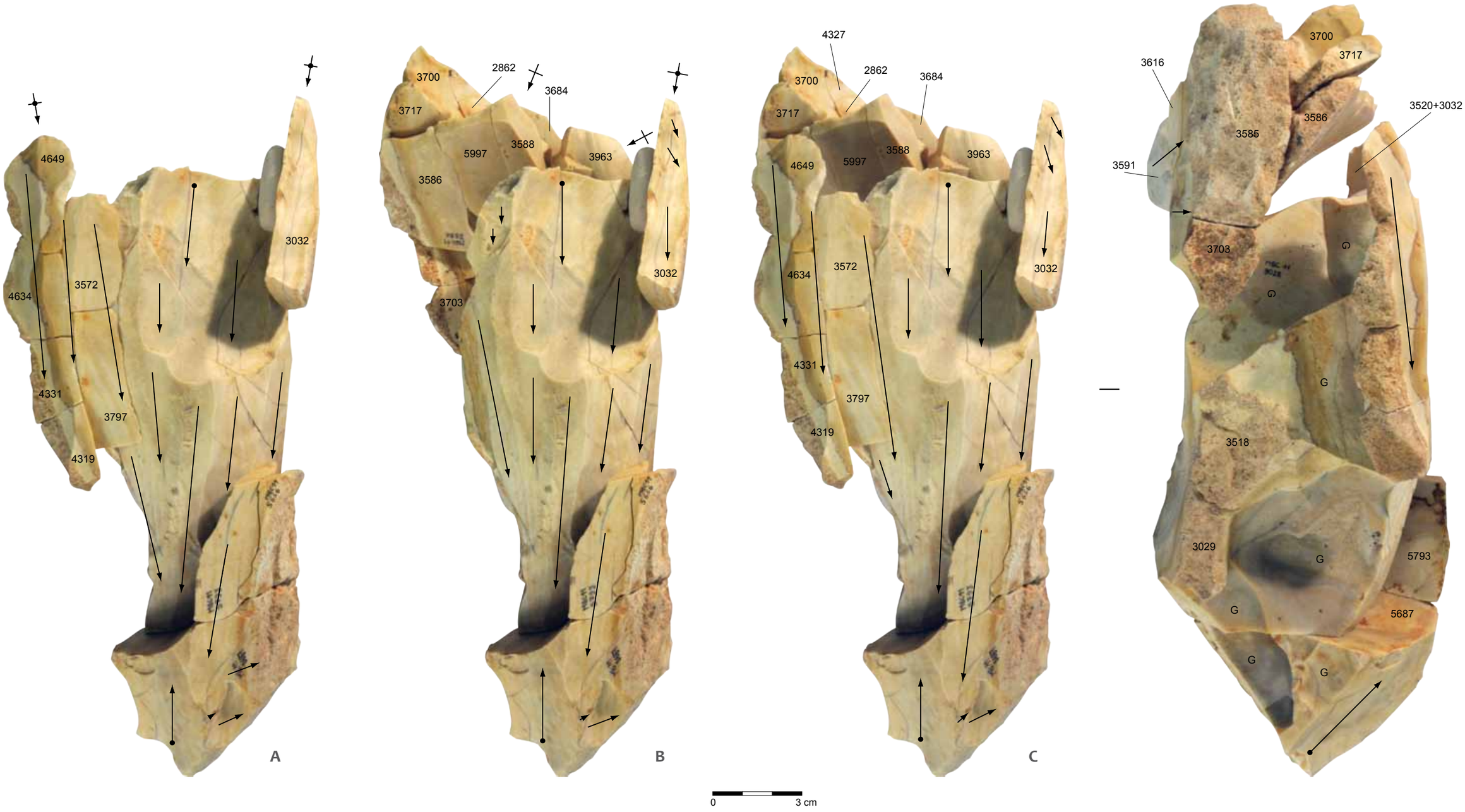


Figure 5-179 – Montguyon (17), « Bois Clair », remontage 137 (locus 09 et 11) (échelle 75 %)

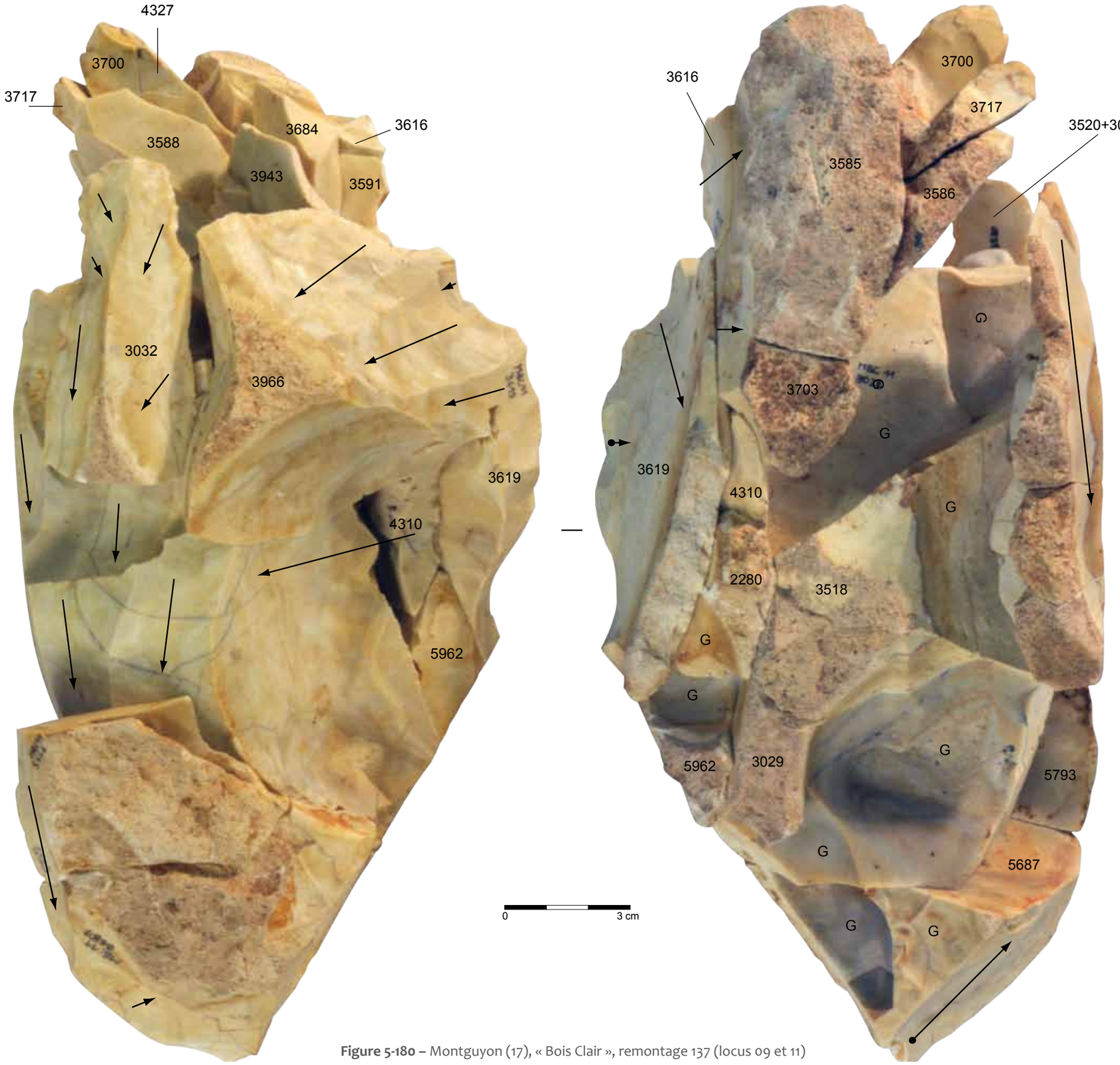


Figure 5-180 – Montguyon (17), « Bois Clair », remontage 137 (locus 09 et 11)

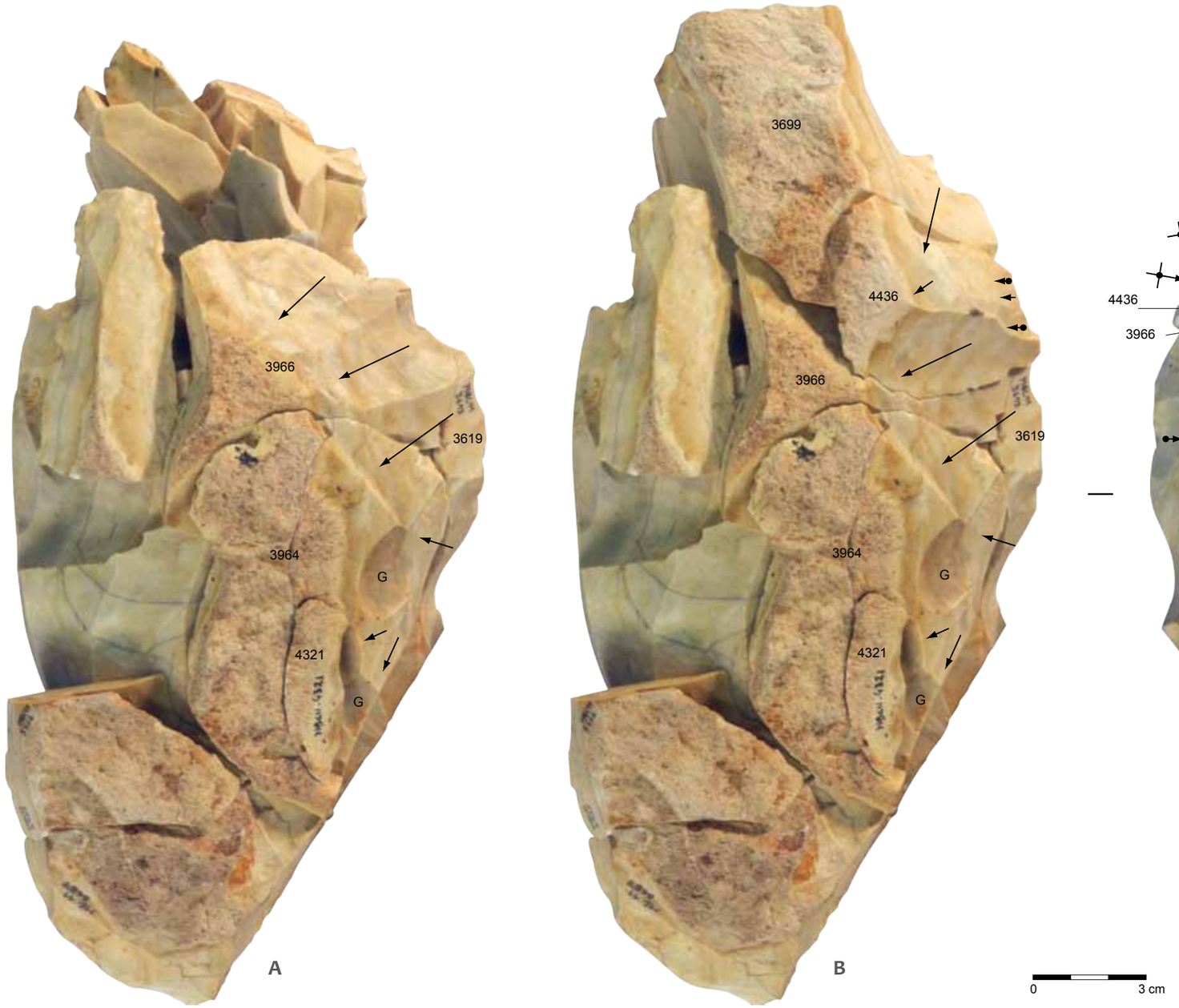


Figure 5-181 – Montguyon (17), « Bois Clair », remontage 137 (locus 09 et 11) (échelle 75 %)

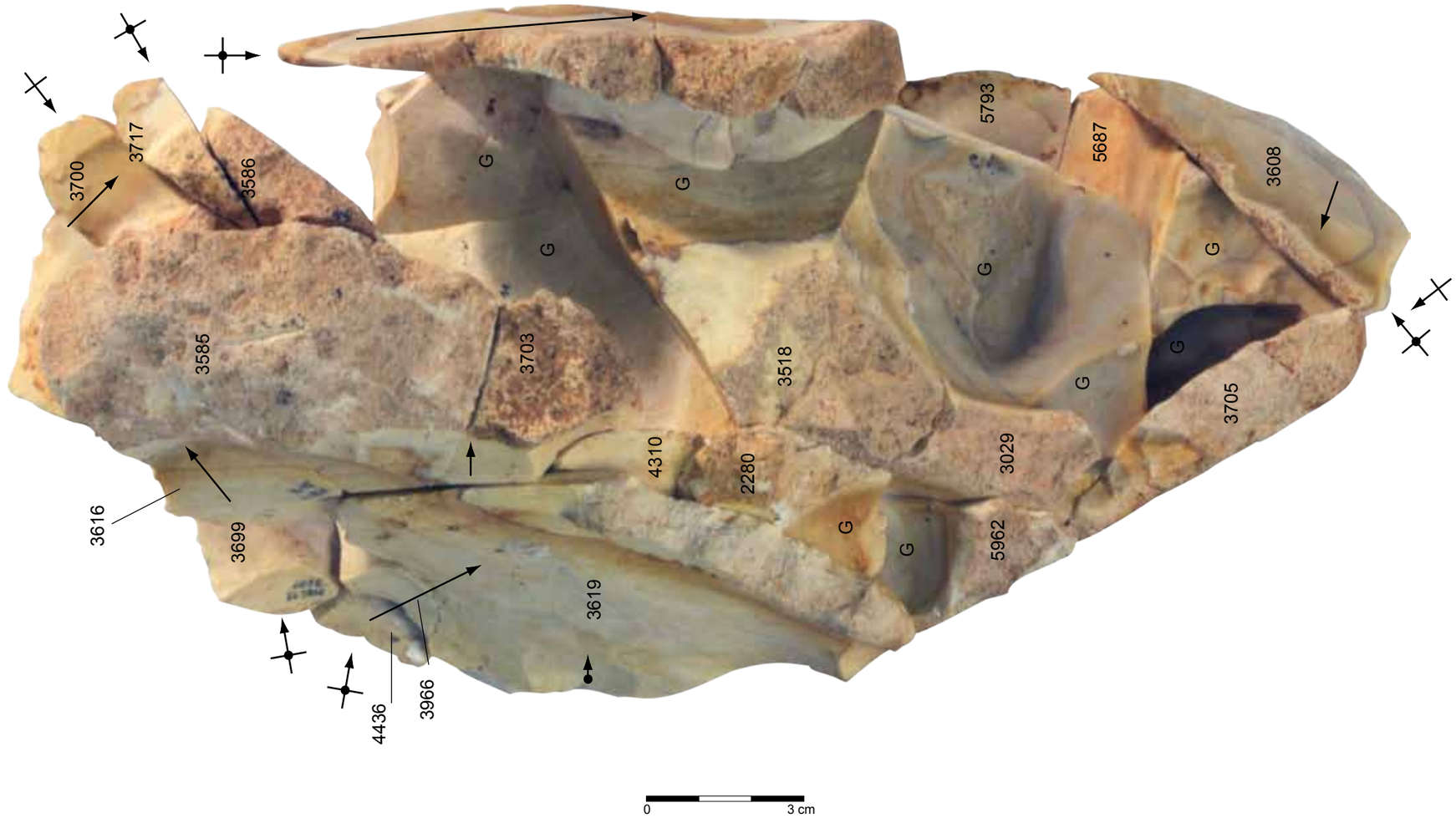


Figure 5-182 – Montguyon (17), « Bois Clair », remontage 137 (locus 09 et 11)

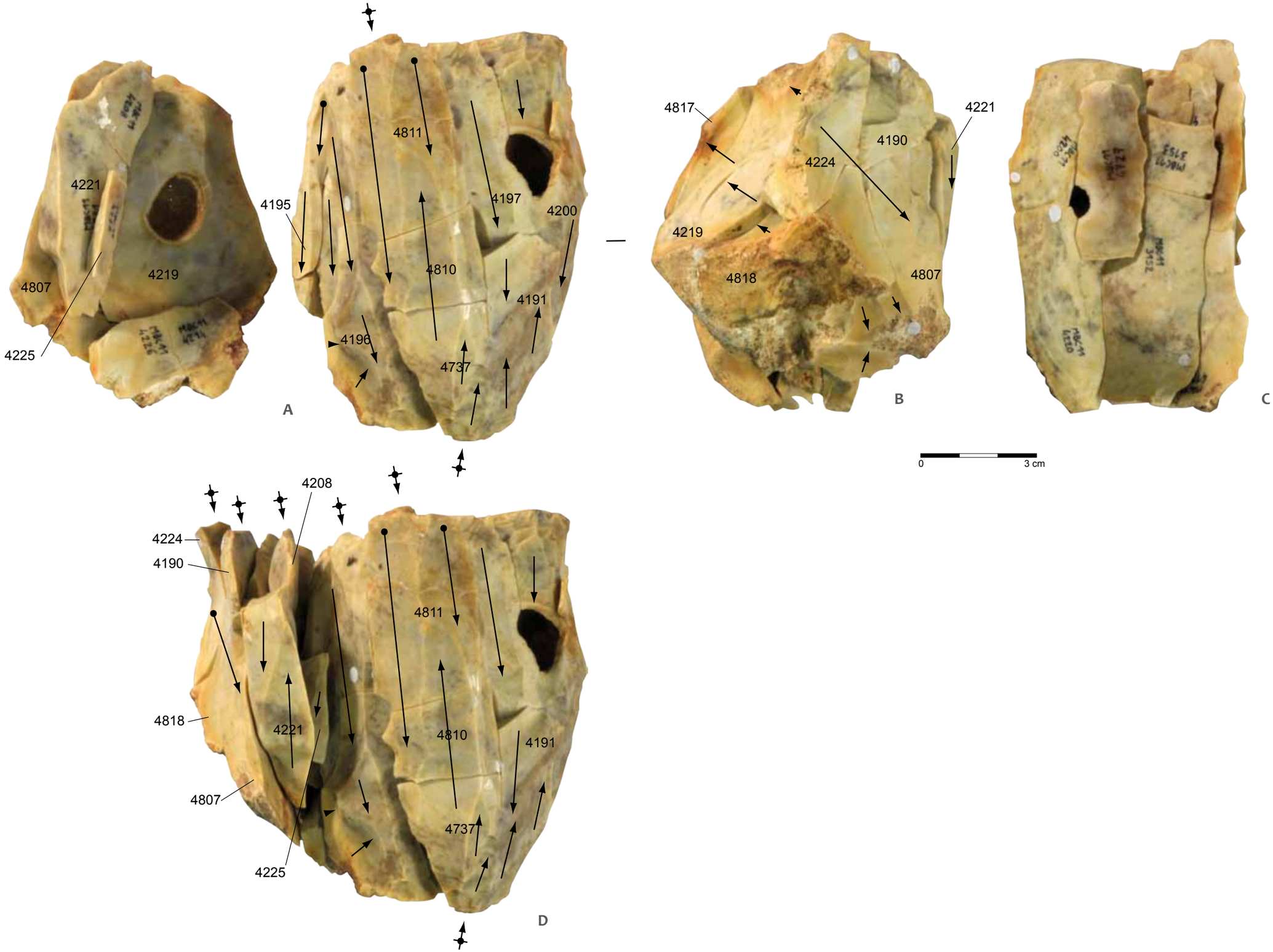


Figure 5-183 – Montguyon (17), « Bois Clair », remontage 123 (locus 15)

PALEOTIME
archéologie préventive

Les occupations paléolithiques du site de « Bois-clair » à Montguyon (Charente-Maritime)

Poitou-Charentes, Charente Maritime (17)
Opération d'archéologie préventive du 14 novembre 2011 au 27 avril 2012
Opération archéologique n° : 5919
N° de site archéologique : 17 241 0502
Arrêté de prescription : AF/11/221





Rapport Final d'Opération

Volume 3 / 3 : inventaires et annexes

Responsable d'Opération : Sébastien BERNARD-GUELLE
Avec la collaboration de :
A. Taylor, M. Rué, A. Ajas, P. Fernandes, A. Coudenneau, P. Tallet, M. Hernandez

Villard-de-Lans, avril 2014

Avertissement

Les rapports de fouille constituent des documents administratifs communicables au public dès leur remise au Service régional de l'archéologie, suivant les prescriptions de la loi n° 78-753 du 17 juillet 1978 modifiée, relative à l'amélioration des relations entre l'administration et le public. Aux termes de la circulaire du 26 mars 1993, ils pourront être consultés ; les agents des Services régionaux de l'archéologie rappelleront à tout demandeur les droits de propriété littéraire et artistique possédés par les auteurs et les contraintes qui en résultent pour tout consultant. Les prises de notes et les photocopies sont utilisées pour un usage exclusivement privé et non destiné à une utilisation collective (article L122-5 du code de la propriété intellectuelle). Toute reproduction du texte accompagnée ou non de photographies, cartes ou schémas, n'est possible que dans le cadre du droit de courte utilisation, avec les références exactes et complètes de l'auteur et de l'ouvrage. Par ailleurs, l'exercice du droit à la communication exclut, pour ses bénéficiaires ou pour les tiers, la possibilité de reproduire, de diffuser ou d'utiliser à des fins commerciales les documents communiqués (Loi n° 78-753 du 17 juillet 1978, art. 10).

Le non respect de ces règles constitue un délit de contrefaçon puni par l'article 425 du code pénal.

SECTION 3

Inventaires techniques et annexes

Inventaires

UPS	Sous-unités	Coupe de référence	Lithostratigraphie	Code couleur Munsell	Pédostratigraphie	Limite inférieure	Epaisseur moyenne (cm)	Variations latérales	Relation strati	Remarque
1	1a	1.1	Sédiment limono-sableux de teinte brune. Structure massive, présence de petits galets et de graviers (<5%).	7,5 YR 4/3	Présence de racines, sédiment meuble : Humus.	diffuse	20	Présente sur l'ensemble de l'emprise.	Sommet de la séquence	
	10	6.1	Sédiment limono-sableux de teinte gris/brun, présence de graviers à hauteur de 5%.	7,5 YR 5/4	Présence de racines et de tache diffuse de teinte brun/orangé.	diffuse	10	Unité localisée dans la zone B ouest du site (ouest de la conduite d'eau).	Sous UPS 1a et au dessus de l'UPS 1b.	
	1b	1.1	Sédiment limono-sableux, de teinte brun/gris. Présence de petits galets et de rares graviers. Structure massive.	10YR 5/2	Présence de racines, sédiment meuble mais absence de taches.	diffuse	20	Présente sur l'ensemble de l'emprise.	Sous UPS 10 et au dessus de l'UPS 2.	
2		1.1	Sédiment limono-sableux de teinte rouge/jaune. Présence de rare galets et gravier.	7,5 YR 6/6	Absence de taches	diffuse	20	Non observé dans certaines zones du site.	Sous l'UPS 1b et au dessus de l'UPS 3.	
3		1.1	Sédiment limono-sableux de teinte brun/gris clair. Présence de gravier (10%). Structure massive à polyédrique, localement lenticulaire.	10 YR 6/6	Présence de quelques racines, apparition de taches décolorées : niveau d'ouverture des glosses : couleur gris clair (2,5 YR 7/2).	diffuse	30	Observée sur l'ensemble du site.	Sous l'UPS 2 et au dessus de l'UPS 4.	
4	4	1.1	Sédiment limono-sableux de teinte brun/jaune. Structure massive, compact.	10 YR 5/4	Présence de glosses plus ou moins développées selon le secteur. Glosses verticales et horizontales, parfois sous forme de taches.	nette	30	Présente sur l'ensemble de l'emprise.	Sous l'UPS 3 et au dessus de l'UPS 5.	
	4a/4b	3.1	Passée graveleuse au sein de l'UPS 4.	10 YR 5/4	Souvent les glosses suivent cette limite, elles y sont horizontales ou sous forme de taches.	nette	10	Présente de manière discontinu sur l'ensemble du site.		
5	5	1.1	Sédiment limono-sableux de teinte brun/jaune, légèrement rouge. Structure massive, compacte. Fraction grossière importante composé de graviers et de petits galets (25%).	10 YR 5/6	Présence de glosses plus ou moins développées selon le secteur. Glosses verticales et horizontales, parfois sous forme de taches.	nette	30	Présente sur l'ensemble de l'emprise de manière plus ou moins développé.	Sous l'UPS 4 et au dessus de l'UPS 6.	
	5a	4.1	Sédiment limono-graveleux de teinte jaune/rouge.	5 YR 5/8	Apparition de taches rouges, glosses peu nombreuses et généralement sous forme de taches grises.	nette	40	Observée uniquement au nord du site (CP. 4 et CP. 27).	Sous l'UPS 4 et au dessus de l'UPS 5b.	semble comparable à l'UPS 5 sur le reste du site.
	5b	4.1/4A	Sédiment limono-graveleux de teinte jaune/rouge. Fraction grossière nettement plus importante qu'en 5a (25%). Structure massive à compacte.	5 YR 5/8	Glosses sous forme de taches gris clair à liseré orangé, peu développées verticalement.	nette	30	Observée uniquement au nord du site (CP. 4 et CP. 27).	Sous l'UPS 5a et au dessus de l'UPS 5c.	semble comparable à l'UPS 6 sur le reste du site.
	5c	4.1	Sédiment limono-sableux à gravier moins nombreux . Couleur brun/rouge.		Glosses bien développées.	diffuse	10 (base coupe)	Observée uniquement en CP. 4	Sous l'UPS 5b et au dessus de l'UPS 6.	semble comparable à l'UPS 11 sur le reste du site.
6		1.1	Sédiment argilo-sableux de teinte brun/rouge, unité plus argileuse (rouge gras). Fraction grossière importante (10%), structure massive à compacte.	5 YR 5/8	Présence de taches de décolorations plus brune (7.5 YR 5/6). En revanche les glosses grises sont absentes et ne réaparaissent qu'a la base de l'unité.	diffuse	40	Présente sur la quasi-totalité de l'emprise.	Sous l'UPS 5 et au dessus de l'UPS 11.	
11		10.2	Sédiment limono/sableux de teinte brun/jaune. Présence d'un lit gravilloneux au sein de cette unité. Bien que celui-ci soit observable sur la majorité des coupes où cette unité est présente, il est difficile de dire s'il s'agit du même niveau ni s'il est plutôt au sommet ou à la base de l'unité.	10 YR 6/6	Glosses nombreuses et bien développées.	nette	30	Présente sur l'ensemble de l'emprise, sous forme plus ou moins condensée, hormis dans la zone nord ouest.	Sous l'UPS 6 et au dessus de l'UPS7.	
7	7.1	1.1	Diamicton à structure clastique. Clastes arrondies (diamètre moyen : 3-4 cm) et composé pour l'essentiel de galets de quartz. Matrice sablo-argileuse de teinte brun/rouge et compacte.	2,5 YR 4/6		nette	30	Présente sur toute la zone hormis au niveau de la dépression (CP. 1.1, 27 et 4).	Sous l'UPS 11 et au dessus de l'UPS 7.2.	
	7.2	24.1	Diamicton à structure massive. Fraction grossière importante composé pour l'essentiel de galets de quartz. Matrice sablo-argileuse de teinte rouge/jaune et compacte.	5 YR 5/8	Taches brunes.	diffuse	10	Observée uniquement en CP. 24, 27 et probablement 28.	Sous l'UPS 7.1 et au dessus de l'UPS 12.	
	12	24.1	Sédiment limono/sableux de teinte brun clair. La fraction grossière est relativement importante et est constituée de gravillons de quartz de taille millimétrique. On note également la présence de nodules d'argiles brune, compacte, au sein de la matrice.	7,5 YR 5/8	Absence de glosse.	diffuse	40	Observée uniquement lors de sondage, présente localement sur le site (CP. 8, 24, 26, 27 et 28).	Sous l'UPS 7.2 et au dessus de l'UPS 7.3.	
	7.3	24.1	Sédiment se distinguant de 7.2 par une fraction argileuse plus importante et présentant une teinte jaune/rouge. Fraction grossière nettement moins importante que précédemment.	7,5 YR 6/8	Quantité croissante de glosses d'aspect globulaire, leur pourtour est de couleur rouge/jaune.	nette	20	Observée uniquement en CP. 24 et 26.	Sous l'UPS 12 et au dessus de l'UPS 9.	
	7a	1.2	Diamicton à structure clastique. Clastes arrondies (diamètre moyen : 3-4 cm) et composé pour l'essentiel de galets de quartz. Matrice sablo-argileuse de teinte brun/rouge et compacte. La fraction grossière est ici plus importante, on note entre autre la présence de nombreux galets.			nette	15			
	7b	1.2	Semblable à l'UPS 7a mais nettement plus sableux et plus compacte.				20			
9		1.1	Sédiment argileux de teinte brun/jaune. La fraction grossière se compose de rare gravillons de taille millimétrique. Très compacte	10 YR 6/6	Glosses de teinte grise (10 YR 6/1) qui s'élargissent en profondeur.	nette	20	Observée sur l'ensemble de l'emprise hormis en TR. 4.	Sous l'UPS 7.3 et au dessus de l'UPS 13.	
13		28.2	Niveau argileux de teinte gris clair contenant des taches de couleur brun/jaune (10 YR 5/6) ainsi qu'une grande tache plus sombre sur les bords (2,5 Y 6/1).	2,5 Y 7/1		nette	40	Présente uniquement en CP. 28.	Sous l'UPS 9 et au dessus de l'UPS 8.	
8		1.1	sables à matrice rouge, tachetée, très compacte et riche en gravier. Présence de poches sableuses brun/jaune. Niveau attribué à l'Eocène.	2,5 YR 4/8		nette	?	Présente sur l'ensemble de l'emprise.	Sous les UPS 7.3 et 13	

Inventaire officiel 1 – Montguyon (17), « Bois Clair ». Inventaire des unités pédo-sédimentaires (les UPS sont décrites de haut en bas en fonction de la stratigraphie et non de l'ordre de numérotation)

N°	Type relevé	Echelle	Format	Localisation	Description	Auteur	Date
OA_5919_G001	photo	sans	A4	TR. 1	Log 1.1	M. Rué	16/11/2011
OA_5919_G002	photo	sans	A4	TR. 1	Log 1.2	M. Rué	16/11/2011
OA_5919_G003	photo	sans	A4	TR. 1	Log 1.3	M. Rué	16/11/2011
OA_5919_G004	photo	sans	A4	TR. 2	Log 2.1	M. Rué	17/11/2011
OA_5919_G005	photo	sans	A4	TR. 3	Log 3.1	M. Rué	17/11/2011
OA_5919_G006	photo	sans	A4	TR. 4	Log 4.1	M. Rué	22/11/2011
OA_5919_G007	photo	sans	A4	TR. 4	Log 4.2	M. Rué	22/11/2011
OA_5919_G008	photo	sans	A4	TR. 4	Log 4.3	M. Rué	22/11/2011
OA_5919_G009	photo	sans	A4	TR. 4	Log 4.4	M. Rué	22/11/2011
OA_5919_G010	photo	sans	A4	TR. 4A	Log 4A	M. Rué	23/11/2011
OA_5919_G011	photo	sans	A4	zone A	Log 5.1	M. Rué	24/11/2011
OA_5919_G012	photo	sans	A4	zone A ouest	Log 6.1	M. Rué	24/11/2011
OA_5919_G013	photo	sans	A4	zone A ouest	Log 6.2	M. Rué	24/11/2011
OA_5919_G014	photo	sans	A4	zone A	Log 5.2	A. Ajas	28/11/2011
OA_5919_G015	photo	sans	A4	zone A ouest	Log 6.3	A. Ajas	29/11/2011
OA_5919_G016	photo	sans	A4	TR. 7	Log 7.1	A. Ajas	29/11/2011
OA_5919_G017	photo	sans	A4	TR. 8	Log 8.1	A. Ajas	30/11/2011
OA_5919_G018	photo	sans	A4	TR. 9	Log 9.1	A. Ajas	01/12/2011
OA_5919_G019	photo	sans	A4	TR. 10	Log 10.1	A. Ajas	06/12/2011
OA_5919_G020	photo	sans	A4	zone B Cp. 11	Log 11.1	A. Ajas	09/12/2011
OA_5919_G021	photo	sans	A4	zone A est (K3 99b)	Tirage photo dec 2 tête de tranchée INRAP équivalent dec 5	B. Huet	15/12/2011
OA_5919_G022	photo	sans	A4	berme centrale locus 6 sommet UPS 4	Bloc de silex en place	B. Huet	22/12/2011
OA_5919_G023	photo	sans	A4	zone B sud	Photo relevé locus 7 dec 1	S. Muratori et T. Morala	22/12/2011
OA_5919_G024	photo	sans	A4	zone B sud est	Photo relevé locus 5 dec 1	S. Muratori et G. Gazagnol	22/12/2011
OA_5919_G025	photo	sans	A4	zone B sud est	Photo relevé locus 5 dec 1 (vue large)	S. Muratori et G. Gazagnol	22/12/2011
OA_5919_G026	photo	sans	A4	zone B ouest	Log 11.2	A. Ajas	05/01/2012
OA_5919_G027	photo	sans	A4	zone B ouest	Log 8.2	A. Ajas	09/01/2012
OA_5919_G028	photo	sans	A4	TR. 11	Log 12.1	A. Ajas	09/01/2012
OA_5919_G029	photo	sans	A4	zone D TR. 12	Log13.1	A. Ajas	11/01/2012
OA_5919_G030	photo	sans	A4	zone A est Cp. 5	Log 5.3	A. Ajas	17/01/2012
OA_5919_G031	photo	sans	A4	zone C locus 10	Photo relevé locus 10 dec. 1	G. Gazagnol et T. Morala	26/01/2012
OA_5919_G032	photo	sans	A4	zone C locus 10	Photo relevé locus 10 dec. 1	G. Gazagnol et T. Morala	26/01/2012
OA_5919_G033	photo	sans	A4	zone C Cp. 16	Log 16.1	A. Ajas	26/01/2012
OA_5919_G034	photo	sans	A4	zone C Cp. 17	Log 17.1 Cp. Dans sondage INRAP	A. Ajas	26/01/2012
OA_5919_G035	photo	sans	A4	zone B est	Log 12.2	A. Ajas	30/01/2012
OA_5919_G036	photo	sans	A4	zone B	Log 18.1	A. Ajas	31/01/2012
OA_5919_G037	croquis	sans	A4	zone B	Log 12.2	M. Rué	13/02/2012
OA_5919_G038	croquis	sans	A4	zone B	Log 8.1	M. Rué	14/02/2012
OA_5919_G039	croquis	sans	A4	zone C	Log 9.2	M. Rué	15/02/2012
OA_5919_G040	photo	sans	A4	zone C	Log 19.1	A. Ajas	15/02/2012
OA_5919_G041	photo	sans	A4	zone C	Log 9.2	M. Rué	16/02/2012
OA_5919_G042	photo	sans	A4	locus 9	Log 20.1	A. Ajas	21/02/2012
OA_5919_G043	photo	sans	A4	locus 15	Log 21.1	A. Ajas	23/02/2012
OA_5919_G044	photo	sans	A4	locus 00	Log 5.4	A. Ajas	27/02/2012
OA_5919_G045	photo	sans	A4	locus 01	Log 5.5 (complément de la Cp. 5.4)	A. Ajas	29/02/2012
OA_5919_G046	photo	sans	A4	locus 15	Locus 15, dec 1, UPS 4a (détail)	T. Morala et A. Ajas	02/03/2012
OA_5919_G047	photo	sans	A4	locus 12 bis	Locus 12 bis, dec 1, UPS 4 (partie sud 1/2)	T. Morala	02/03/2012
OA_5919_G048	photo	sans	A4	Cp. 22	Log 22.1	A. Ajas	06/03/2012
OA_5919_G049	photo	sans	A4	locus 15	Locus 15, dec 1, UPS 4a	T. Morala et A. Ajas	02/03/2012
OA_5919_G050	photo	sans	A4	locus 12 bis	Locus 12 bis, dec 1, UPS 4 (partie nord 2/2)	T. Morala et A. Ajas	02/03/2012
OA_5919_G051	photo	sans	A4	locus 9	Locus 9, dec 4 equivalent 3 (L4 18, 17 et 16)	A. Taylor	06/03/2012
OA_5919_G052	photo	sans	A4	locus 1	Log 10.2	A. Ajas	08/03/2012
OA_5919_G053	photo	sans	A4	locus 9	Locus 9, L4 17, 07 dec 5 équivalent 4	A. Taylor	09/03/2012
OA_5919_G054	photo	sans	A4	locus 9	Locus 9, L4 17, 07 dec 5 équivalent 4	A. Taylor	09/03/2012
OA_5919_G055	photo	sans	A4	locus 15	Locus 15, dec 2, UPS 4a, démontage	MC. Dawson	12/03/2012

Inventaire officiel 2 – Montguyon (17), « Bois Clair ». Inventaire de la documentation graphique 1/2

N°	Type relevé	Echelle	Format	Localisation	Description	Auteur	Date
OA_5919_G056	photo	sans	A4	Cp. 23	Log. 23.1	A. Ajas	12/03/2012
OA_5919_G057	photo	sans	A4	locus 15	Locus 15, dec 3, UPS 4, démontage	B. Huet	13/03/2012
OA_5919_G058	photo	sans	A4	Cp. 19	Log 19.2	A. Ajas	14/03/2012
OA_5919_G059	photo	sans	A4	Cp. 2	Log 2.2	A. Ajas	19/03/2012
OA_5919_G060	photo	sans	A4	Cp. 24	Log 24.1	A. Ajas	19/03/2012
OA_5919_G061	photo	sans	A4	Cp. 25	Log 25.1	A. Ajas	20/03/2012
OA_5919_G062	photo	sans	A4	Cp. 8	Log 8.1 + base	A. Ajas	21/03/2012
OA_5919_G063	photo	sans	A4	Cp. 27	Log 27.1	A. Ajas	22/03/2012
OA_5919_G064	photo	sans	A4	Cp. 10	Log 10.3	A. Ajas	23/03/2012
OA_5919_G065	photo	sans	A4	Cp. 28	Log 28.1	A. Ajas	23/03/2012
OA_5919_G066	photo	sans	A4	Cp. 28	Log 28.2	A. Ajas	23/03/2012
OA_5919_G067	tableau	sans	A4	Log 10.3	Mesure de susceptibilité magnétique	M. Rué et A. Ajas	29/03/2012
OA_5919_G068	tableau	sans	A4	Log 9.2	Mesure de susceptibilité magnétique	M. Rué et A. Ajas	29/03/2012
OA_5919_G069	tableau	sans	A4	Log 8.1	Mesure de susceptibilité magnétique	M. Rué et A. Ajas	29/03/2012
OA_5919_G070	photo	sans	A4	locus 11	"amas de silex" en K4 91 et percuteur (dec 2)	L. Brevet	30/03/2012
OA_5919_G071	photo	sans	A4	Cp. 10.3	Prélévements micro-granulo et granulo (Pr. 101 à 126)	A. Ajas	02/04/2012
OA_5919_G072	photo	sans	A4	Cp. 26	Prélévements micro-granulométrie (Pr. 127 à 130)	A. Ajas	04/04/2012
OA_5919_G073	Dessin	1/1	A4	sans	planche mobilier lithique	R. Picavet	12/2013
OA_5919_G074	Dessin	1/1	A4	sans	planche mobilier lithique	R. Picavet	12/2013
OA_5919_G075	Dessin	1/1	A4	sans	planche mobilier lithique	R. Picavet	12/2013
OA_5919_G076	Dessin	1/1	A4	sans	planche mobilier lithique	R. Picavet	03/2013
OA_5919_G077	Dessin	1/1	A4	sans	planche mobilier lithique	R. Picavet	11/2013
OA_5919_G078	Dessin	1/1	A4	sans	planche mobilier lithique	R. Picavet	11/2013
OA_5919_G079	Dessin	1/1	A4	sans	planche mobilier lithique	R. Picavet	04/2013
OA_5919_G080	Dessin	1/1	A4	sans	planche mobilier lithique	R. Picavet	04/2013
OA_5919_G081	Dessin	1/1	A4	sans	planche mobilier lithique	R. Picavet	04/2013
OA_5919_G082	Dessin	1/1	A4	sans	planche mobilier lithique	R. Picavet	03/2013

Inventaire officiel 2 – Montguyon (17), « Bois Clair ». Inventaire de la documentation graphique 2/2

n°	Localisation	Type	UPS scellement	Point topo central	Datation	Photo	Fouilleur	Fouille	NB
1	TR 1	fossé	2	Pt. 86, 87	indéterminée	O	B. Huet	mécanique	
2	TR 1	zone rubéfiée	2	Pt. 85	indéterminée	O	B. Huet	mécanique	
3	TR 1	fosse?		Pt. 55, 56	indéterminée	N	B. Huet	mécanique	
4	zone A (Cp. 5 et 6)	fossé	2	Pt. 718, 719 et 727 à 768	indéterminée	O	B. Huet	mécanique	
5	zone 4 (Cp. 5.2)	indéterminé	3	Pt. 743 à 768	indéterminée	O	B. Huet	mécanique	
6	Cp. 3	fossé	2	Pt. 793 à 798	indéterminée	O	B. Huet	mécanique	
7	Cp. 06	fossé	10		indéterminée	O	B. Huet	mécanique	
8	Cp. 06	indéterminé	4		indéterminée	O	B. Huet	mécanique	
9	Tr 10 bis	zone rubéfiée et charbonneuse	4	Pt. 1253	indéterminée	O	B. Huet	mécanique	

Inventaire officiel 3 – Montguyon (17), « Bois Clair ». Inventaire des structures

Inventaire officiel 4 – Montguyon (17), « Bois Clair ». Inventaire des prélèvements 1/2

n°PR	Localisation	Pt topo	UPS	Materiau	Quantité	Analyse envisagée	Remarque	Z (Cm)	Auteur	Date	Analyse effectuée en laboratoire	Prélèvement conservé	Lieu de conservation
1	TR 4	équiv. 409	4b	sédiment vrac		granulométrie	Tamisage maille 14 - Pt. de mobilier au niveau du PR		SBG	17/11/2011		oui	Paléotime, Villard-de-L.
2	TR 5	équiv 414	5	sédiment vrac		granulométrie	Tamisage maille 15 - Pt. mobilier au niveau du PR		SBG	17/11/2011		oui	Paléotime, Villard-de-L.
3	CP. 1.1		1	sédiment vrac		observation bino			MR	25/11/2011		oui	Paléotime, Villard-de-L.
4	CP. 1.1		2	sédiment vrac		observation bino			MR	25/11/2011		oui	Paléotime, Villard-de-L.
5	CP. 1.1		3	sédiment vrac		observation bino			MR	25/11/2011		oui	Paléotime, Villard-de-L.
6	CP. 1.1		4	sédiment vrac		observation bino			MR	25/11/2011		oui	Paléotime, Villard-de-L.
7	CP. 1.1		5	sédiment vrac		observation bino			MR	25/11/2011		oui	Paléotime, Villard-de-L.
8	CP. 1.1		6	sédiment vrac		observation bino			MR	25/11/2011		oui	Paléotime, Villard-de-L.
9	CP. 1.1		7	sédiment vrac		observation bino			MR	25/11/2011		oui	Paléotime, Villard-de-L.
10	CP. 1.1		9	sédiment vrac		observation bino			MR	25/11/2011		oui	Paléotime, Villard-de-L.
11	CP.1	proche pt.41	8	sédiment vrac		observation bino			MR	25/11/2011		oui	Paléotime, Villard-de-L.
12	CP. 4A		1b	sédiment vrac		observation bino			MR	25/11/2011		oui	Paléotime, Villard-de-L.
13	CP. 4A		4a	sédiment vrac		observation bino			MR	25/11/2011		oui	Paléotime, Villard-de-L.
14	CP. 4A		4b	sédiment vrac		observation bino			MR	25/11/2011		oui	Paléotime, Villard-de-L.
15	CP. 4A		5a	sédiment vrac		observation bino			MR	25/11/2011		oui	Paléotime, Villard-de-L.
16	CP. 4A		5a	sédiment vrac		observation bino			MR	25/11/2011		oui	Paléotime, Villard-de-L.
17	CP. 4A		5b	sédiment vrac		observation bino			MR	25/11/2011		oui	Paléotime, Villard-de-L.
18	CP. 4A		5c	sédiment vrac		observation bino			MR	25/11/2011		oui	Paléotime, Villard-de-L.
19	CP. 4A		7?	sédiment vrac		observation bino			MR	25/11/2011		oui	Paléotime, Villard-de-L.
20	locus 9	2532	4	charbon		datation			BH	17/01/2012		oui	Paléotime, Villard-de-L.
21	TR 10 bis St.9		sommet 4	charbon		datation			BH	01/12/2011		oui	Paléotime, Villard-de-L.
22	Locus 1 I6-30C	3278	Sommet 5	charbon		datation			SM	09/02/2012		oui	Paléotime, Villard-de-L.
23	zone C		Sommet 5	sediment noir		TL silex 3282			SBG	01/02/2012		oui	Paléotime, Villard-de-L.
24	CP. 9.2		7	sédiment vrac		observation bino			MR	15/02/2012		oui	Paléotime, Villard-de-L.
25	CP. 9.2		6 jaune	sédiment vrac	2 Kg	granulométrie	PT 1205 à z=-27 cm	-170	MR	15/02/2012		oui	Paléotime, Villard-de-L.
26	CP. 9.2		6 rouge	sédiment vrac	2 Kg	granulométrie		-160	MR	15/02/2012		oui	Paléotime, Villard-de-L.
27	CP. 9.2		6	sédiment vrac	2 Kg	granulométrie		-150	MR	15/02/2012		oui	Paléotime, Villard-de-L.
28	CP. 9.2		6	sédiment vrac	2 Kg	granulométrie		-140	MR	15/02/2012		oui	Paléotime, Villard-de-L.
29	CP. 9.2		6	sédiment vrac	2 Kg	granulométrie		-130	MR	15/02/2012		oui	Paléotime, Villard-de-L.
30	CP. 9.2		5/6	sédiment vrac	2 Kg	granulométrie		-120	MR	15/02/2012		oui	Paléotime, Villard-de-L.
31	CP. 9.2		5	sédiment vrac	2 Kg	granulométrie		-110	MR	15/02/2012		oui	Paléotime, Villard-de-L.
32	CP. 9.2		5	sédiment vrac	2 Kg	granulométrie		-100	MR	15/02/2012		oui	Paléotime, Villard-de-L.
33	CP. 9.2		4b	sédiment vrac	2 Kg	granulométrie		-90	MR	15/02/2012		oui	Paléotime, Villard-de-L.
34	CP. 9.2		4a/4b	sédiment vrac	2 Kg	granulométrie		-80	MR	15/02/2012		oui	Paléotime, Villard-de-L.
35	CP. 9.2		4a	sédiment vrac	2 Kg	granulométrie		-70	MR	15/02/2012		oui	Paléotime, Villard-de-L.
36	CP. 9.2		4a/3	sédiment vrac	2 Kg	granulométrie		-60	MR	15/02/2012		oui	Paléotime, Villard-de-L.
37	CP. 9.2		2	sédiment vrac	2 Kg	granulométrie		-50	MR	15/02/2012		oui	Paléotime, Villard-de-L.
38	CP. 9.2		2	sédiment vrac	2 Kg	granulométrie		-40	MR	15/02/2012		oui	Paléotime, Villard-de-L.
39	CP. 9.2		2	sédiment vrac	2 Kg	granulométrie		-30	MR	15/02/2012		oui	Paléotime, Villard-de-L.
40	CP. 9.2		1/2	sédiment vrac	2 Kg	granulométrie		-20	MR	15/02/2012		oui	Paléotime, Villard-de-L.
41	CP. 9.2		1	sédiment vrac	2 Kg	granulométrie		-10	MR	15/02/2012		oui	Paléotime, Villard-de-L.
42	CP. 9.2	3671	2/3	sédiment bloc	6*3*14 Cm	micromorphologie	base Pr.		MR	16/02/2012	fabrication lame mince	oui	Paléotime, Villard-de-L.
43	CP. 9.2	3672	4a	sédiment bloc	6*3*14 Cm	micromorphologie	niveau supposé paléo-sup. base Pr.		MR	16/02/2012	fabrication lame mince	oui	Paléotime, Villard-de-L.
44	CP. 9.2	3673	4a/4b	sédiment bloc	6*3*14 Cm	micromorphologie	base Pr.		MR	16/02/2012	fabrication lame mince	oui	Paléotime, Villard-de-L.
45	CP. 9.2	3674	4b	sédiment bloc	6*3*14 Cm	micromorphologie	base Pr.		MR	16/02/2012	fabrication lame mince	oui	Paléotime, Villard-de-L.
46	CP. 9.2	3675	5	sédiment bloc	6*3*14 Cm	micromorphologie	sommet Pr		MR	16/02/2012	fabrication lame mince	oui	Paléotime, Villard-de-L.
47	CP. 9.2	3676	6	sédiment bloc	6*3*14 Cm	micromorphologie	rouge/jaune		MR	16/02/2012	fabrication lame mince	oui	Paléotime, Villard-de-L.
48	CP. 9.2		2	sédiment vrac	100 g	observation bino	derrière bloc Pr. 42		MR	16/02/2012		oui	Paléotime, Villard-de-L.
49	CP. 9.2		3 jaune	sédiment vrac	100 g	observation bino	derrière bloc Pr. 42		MR	17/02/2012		oui	Paléotime, Villard-de-L.
50	CP. 9.2		4a	sédiment vrac	100 g	observation bino	derrière bloc Pr. 43		MR	17/02/2012		oui	Paléotime, Villard-de-L.
51	CP. 9.2		4a/4b	sédiment vrac	100 g	observation bino	derrière bloc Pr. 44		MR	17/02/2012		oui	Paléotime, Villard-de-L.
52	CP. 9.2		4b	sédiment vrac	100 g	observation bino	derrière bloc Pr. 45		MR	17/02/2012		oui	Paléotime, Villard-de-L.
53	CP. 9.2		5	sédiment vrac	100 g	observation bino	derrière bloc Pr. 46		MR	17/02/2012		oui	Paléotime, Villard-de-L.
54	CP. 9.2		6 rouge	sédiment vrac	100 g	observation bino	derrière bloc Pr. 47		MR	17/02/2012		oui	Paléotime, Villard-de-L.
55	CP. 9.2		6 jaune	sédiment vrac	100 g	observation bino	derrière bloc Pr. 47		MR	17/02/2012		oui	Paléotime, Villard-de-L.
56	CP. 9.2		7 top	sédiment vrac	100 g	observation bino			MR	17/02/2012		oui	Paléotime, Villard-de-L.
57	locus 9	3794	4	sédiment vrac	250 g	granulométrie	sous bloc pt. 3788		BH	20/02/2012		oui	Paléotime, Villard-de-L.
58	CP. 20	3847	3/4	sédiment bloc		micromorphologie	base Pr. / locus 9		AA	21/02/2012	fabrication lame mince	oui	Paléotime, Villard-de-L.
59	CP. 20	3848	3/4	sédiment vrac	100g	observation bino	derrière bloc Pr. 58 / locus 9		AA	21/02/2012	microgranulométrie	oui	Paléotime, Villard-de-L.
60	locus 00 (K3 80C dec. 5)	3945	5 sup	charbon	petit	datation			GG	22/02/2012		oui	Paléotime, Villard-de-L.
61	locus 00 (K3 70C)	3958	5	charbon	petit	datation			GG	23/02/2012		oui	Paléotime, Villard-de-L.
62	locus 15 (I4 98C)	4032	4a	charbon		datation			AT	27/02/2012		oui	Paléotime, Villard-de-L.
63	locus 15 (I4 88D dec.1)	4033	4a	charbon	1,5 Cm	datation	présence importante de racine à proximité		MCD	27/02/2012		oui	Paléotime, Villard-de-L.
64	locus 12 bis	4393	4a	charbon	petit	datation						oui	Paléotime, Villard-de-L.
65	Berme C/D	4563	5	sédiment vrac		TL silex 4563			SBG	08/03/2012		oui	Paléotime, Villard-de-L.
66	locus 16		5	sédiment vrac		TL silex 4981			SBG	15/03/2012		oui	Paléotime, Villard-de-L.
67	Berme C/D nord		base 4	sédiment vrac		TL silex 5084			SBG	19/03/2012		oui	Paléotime, Villard-de-L.

n°PR	Localisation	Pt topo	UPS	Materiau	Quantité	Analyse envisagée	Remarque	Z (Cm)	Auteur	Date	Analyse effectuée en laboratoire	Prélèvement conservé	Lieu de conservation
68	locus 11 (K4 91b dec 2)	5314	4	charbon	1 (plusieurs fgts)	datation			TM	22/03/2012		oui	Paléotime, Villard-de-L.
69	CP. 8.1	5620	4/5	sédiment bloc	1	micromorphologie	base Pr.		MR	27/03/2012	fabrication lame mince	oui	Paléotime, Villard-de-L.
70	CP. 8.1	5621	7.2	sédiment bloc	1	micromorphologie	base Pr.		MR	27/03/2012	fabrication lame mince	oui	Paléotime, Villard-de-L.
71	CP. 8.1	5622	7.3	sédiment bloc	1	micromorphologie	base Pr.		MR	27/03/2012	fabrication lame mince	oui	Paléotime, Villard-de-L.
72	CP. 8.1		8	sédiment vrac	200 g	microgranulométrie			MR	28/03/2012		oui	Paléotime, Villard-de-L.
73	CP. 8.1		7.3	sédiment vrac	200 g	microgranulométrie			MR	28/03/2012		oui	Paléotime, Villard-de-L.
74	CP. 8.1		7.2	sédiment vrac	200 g	microgranulométrie			MR	28/03/2012		oui	Paléotime, Villard-de-L.
75	CP. 8.1		7.1	sédiment vrac	200 g	microgranulométrie			MR	28/03/2012		oui	Paléotime, Villard-de-L.
76	CP. 8.1		12	sédiment vrac	200 g	microgranulométrie			MR	28/03/2012		oui	Paléotime, Villard-de-L.
77	CP. 8.1		5	sédiment vrac	200 g	microgranulométrie			MR	28/03/2012	microgranulométrie	oui	Paléotime, Villard-de-L.
78	CP. 8.1		5	sédiment vrac	200 g	microgranulométrie			MR	28/03/2012	microgranulométrie	oui	Paléotime, Villard-de-L.
79	CP. 8.1		4	sédiment vrac	200 g	microgranulométrie			MR	28/03/2012	microgranulométrie	oui	Paléotime, Villard-de-L.
80	CP. 8.1		4	sédiment vrac	200 g	microgranulométrie			MR	28/03/2012	microgranulométrie	oui	Paléotime, Villard-de-L.
81	CP. 8.1		3	sédiment vrac	200 g	microgranulométrie			MR	28/03/2012	microgranulométrie	oui	Paléotime, Villard-de-L.
82	CP. 8.1		2	sédiment vrac	200 g	microgranulométrie			MR	28/03/2012	microgranulométrie	oui	Paléotime, Villard-de-L.
83	CP. 8.1		1	sédiment vrac	200 g	microgranulométrie			MR	28/03/2012		oui	Paléotime, Villard-de-L.
84	CP. 10.3	5634	4b	sédiment tube	1	OSL	pt. Au centre du tube.		MH	28/03/2012	datation OSL	oui	CRP2A Bordeaux
85	CP. 10.3	5635	5	sédiment tube	1	OSL	Pr. Au dessus des volumes rouges "B12".		MH	28/03/2012	datation OSL	oui	CRP2A Bordeaux
86	CP. 10.3	5636	6	sédiment tube	1	OSL			MH	28/03/2012	datation OSL	oui	CRP2A Bordeaux
87	CP. 10.3	5637	11	sédiment tube	1	OSL	sous la lentille de graviers.		MH	28/03/2012	datation OSL	oui	CRP2A Bordeaux
88	CP. 8.1	5638	2	sédiment tube	1	OSL			MH	28/03/2012	datation OSL	oui	CRP2A Bordeaux
89	CP. 8.1	5639	3/4	sédiment tube	1	OSL			MH	28/03/2012	datation OSL	oui	CRP2A Bordeaux
90	CP. 10.3	5640	3	sédiment bloc	1	micromorphologie	base Pr.		MR	28/03/2012	fabrication lame mince	oui	Paléotime, Villard-de-L.
91	CP. 10.3	5641	4b/5	sédiment bloc	1	micromorphologie	base Pr.		MR	28/03/2012	fabrication lame mince	oui	Paléotime, Villard-de-L.
92	CP. 10.3	5642	6	sédiment bloc	1	micromorphologie	base Pr.		MR	28/03/2012	fabrication lame mince	oui	Paléotime, Villard-de-L.
93	CP. 10.3	5643	11	sédiment bloc	1	micromorphologie	base Pr.		MR	28/03/2012	fabrication lame mince	oui	Paléotime, Villard-de-L.
94	CP. 12.2	5659	6	sédiment vrac		microgranulométrie	dans une glosse		AA	29/03/2012		oui	Paléotime, Villard-de-L.
95	CP. 12.2	5660	6	sédiment vrac		microgranulométrie	à coté d'une glosse		AA	29/03/2012		oui	Paléotime, Villard-de-L.
96	CP. 12.2	5661	5	sédiment vrac		microgranulométrie	dans une glosse		AA	29/03/2012		oui	Paléotime, Villard-de-L.
97	CP. 12.2	5662	5	sédiment vrac		microgranulométrie	à coté d'une glosse		AA	29/03/2012	microgranulométrie	oui	Paléotime, Villard-de-L.
98	CP. 12.2	5663	4b	sédiment vrac		microgranulométrie	dans une glosse		AA	29/03/2012		oui	Paléotime, Villard-de-L.
99	CP. 12.2	5664	4b	sédiment vrac		microgranulométrie	à coté d'une glosse		AA	29/03/2012		oui	Paléotime, Villard-de-L.
100	CP. 4	5723	7	sédiment vrac		pétrographie	geode		AA	29/03/2012		oui	Paléotime, Villard-de-L.
101	CP. 10.3	5766	11	sédiment vrac		granulométrie		-190	AA	02/04/2012		oui	Paléotime, Villard-de-L.
102	CP. 10.3	5767	11	sédiment vrac		granulométrie	niveau graveleux	-180	AA	02/04/2012	microgranulométrie	oui	Paléotime, Villard-de-L.
103	CP. 10.3	5768	11	sédiment vrac		granulométrie		-170	AA	02/04/2012		oui	Paléotime, Villard-de-L.
104	CP. 10.3	5769	6/11	sédiment vrac		granulométrie		-160	AA	02/04/2012	microgranulométrie	oui	Paléotime, Villard-de-L.
105	CP. 10.3	5770	6	sédiment vrac		granulométrie	5 rouge	-150	AA	02/04/2012		oui	Paléotime, Villard-de-L.
106	CP. 10.3	5771	6	sédiment vrac		granulométrie	5 rouge	-140	AA	02/04/2012	microgranulométrie	oui	Paléotime, Villard-de-L.
107	CP. 10.3	5772	5/6	sédiment vrac		granulométrie	5 rouge	-130	AA	02/04/2012		oui	Paléotime, Villard-de-L.
108	CP. 10.3	5773	5	sédiment vrac		granulométrie	5 rouge	-120	AA	02/04/2012	microgranulométrie	oui	Paléotime, Villard-de-L.
109	CP. 10.3	5774	5	sédiment vrac		granulométrie	5 rouge	-110	AA	02/04/2012		oui	Paléotime, Villard-de-L.
110	CP. 10.3	5775	5	sédiment vrac		granulométrie		-100	AA	02/04/2012	microgranulométrie	oui	Paléotime, Villard-de-L.
111	CP. 10.3	5776	4/5	sédiment vrac		granulométrie		-90	AA	02/04/2012		oui	Paléotime, Villard-de-L.
112	CP. 10.3	5777	4b	sédiment vrac		granulométrie		-80	AA	02/04/2012	microgranulométrie	oui	Paléotime, Villard-de-L.
113	CP. 10.3	5778	4a/4b	sédiment vrac		granulométrie	limite graveleuse 4a/4b	-70	AA	02/04/2012		oui	Paléotime, Villard-de-L.
114	CP. 10.3	5779	4a	sédiment vrac		granulométrie		-60	AA	02/04/2012	microgranulométrie	oui	Paléotime, Villard-de-L.
115	CP. 10.3	5780	4a	sédiment vrac		granulométrie		-50	AA	02/04/2012		oui	Paléotime, Villard-de-L.
116	CP. 10.3	5781	4/3	sédiment vrac		granulométrie		-40	AA	02/04/2012	microgranulométrie	oui	Paléotime, Villard-de-L.
117	CP. 10.3	5782	3	sédiment vrac		granulométrie		-30	AA	02/04/2012		oui	Paléotime, Villard-de-L.
118	CP. 10.3	5783	2	sédiment vrac		granulométrie		-20	AA	02/04/2012	microgranulométrie	oui	Paléotime, Villard-de-L.
119	CP. 10.3	5784	1/2	sédiment vrac		granulométrie		-10	AA	02/04/2012		oui	Paléotime, Villard-de-L.
120	CP. 10.3	5835	2	sédiment vrac	4L (5.1 Kg)	granulométrie	tamisage terrain 1,8 mm		AA	02/04/2012	tamisage 2-10-20 mm	oui	Paléotime, Villard-de-L.
121	CP. 10.3	5836	3/4	sédiment vrac	4L (5.8 Kg)	granulométrie	tamisage terrain 1,8 mm		AA	02/04/2012	tamisage 2-10-20 mm	oui	Paléotime, Villard-de-L.
122	CP. 10.3	5837	4a	sédiment vrac	4L (4.5 Kg)	granulométrie	tamisage terrain 1,8 mm		AA	02/04/2012	tamisage 2-10-20 mm	oui	Paléotime, Villard-de-L.
123	CP. 10.3	5838	5	sédiment vrac	4L (5.1 Kg)	granulométrie	tamisage terrain 1,8 mm		AA	02/04/2012	tamisage 2-10-20 mm	oui	Paléotime, Villard-de-L.
124	CP. 10.3	5839	6	sédiment vrac	4L (5.3 Kg)	granulométrie	tamisage terrain 1,8 mm		AA	02/04/2012	tamisage 2-10-20 mm	oui	Paléotime, Villard-de-L.
125	CP. 10.3	5840	6/11	sédiment vrac	4L (4.5 Kg)	granulométrie	tamisage terrain 1,8 mm		AA	02/04/2012	tamisage 2-10-20 mm	oui	Paléotime, Villard-de-L.
126	CP. 10.3	5841	11	sédiment vrac	4L (4.8 Kg)	granulométrie	tamisage terrain 1,8 mm		AA	03/04/2012	tamisage 2-10-20 mm	oui	Paléotime, Villard-de-L.
127	CP. 26	5842	12	sédiment vrac		granulométrie			AA	03/04/2012		oui	Paléotime, Villard-de-L.
128	CP. 26	5843	7.3	sédiment vrac		granulométrie			AA	03/04/2012		oui	Paléotime, Villard-de-L.
129	CP. 26	5844	9	sédiment vrac		granulométrie			AA	03/04/2012		oui	Paléotime, Villard-de-L.
130	CP. 26	5846	7.2	sédiment vrac		granulométrie			AA	03/04/2012		oui	Paléotime, Villard-de-L.
131	CP. 28	5845	13	sédiment vrac		granulométrie			AA	03/04/2012		oui	Paléotime, Villard-de-L.
132	CP. 2.2	5847	7.1	vrac		granulométrie			AA	03/04/2012		oui	Paléotime, Villard-de-L.

Inventaire officiel 4 – Montguyon (17), « Bois Clair ». Inventaire des prélèvements 2/2

	Localisation				Description								
Nom photo	Zone	TR	Type de vue	Vue vers	CP	LOG / Locus/ST	UPS	carré / mobilier lithique en place / z=	décapage	Auteur	Date	Extension fichier	Remarques
OA_5919_PN0001		TR01	vue générale	sud-ouest						Paleotime	14/11/2011	JPG	
OA_5919_PN0002		TR01	vue générale	sud-ouest						Paleotime	14/11/2011	JPG	
OA_5919_PN0003		TR01	vue générale	ouest						Paleotime	14/11/2011	JPG	
OA_5919_PN0004		TR01	vue générale	nord-ouest						Paleotime	14/11/2011	JPG	
OA_5919_PN0005		TR01	vue oblique	sud-ouest	CP01					Paleotime	14/11/2011	JPG	
OA_5919_PN0006		TR01	vue en coupe	sud-est	CP01					Paleotime	14/11/2011	JPG	
OA_5919_PN0007		TR01	vue en coupe	sud-est	CP01					Paleotime	14/11/2011	JPG	
OA_5919_PN0008		TR01	vue en coupe	sud-est	CP01					Paleotime	14/11/2011	JPG	
OA_5919_PN0009		TR01	vue en coupe	sud-est	CP01					Paleotime	14/11/2011	JPG	
OA_5919_PN0010		TR01	vue en coupe	sud-est	CP01					Paleotime	14/11/2011	JPG	
OA_5919_PN0011		TR01	vue en coupe	sud-est	CP01					Paleotime	14/11/2011	JPG	
OA_5919_PN0012		TR01	vue en coupe	sud-est	CP01					Paleotime	14/11/2011	JPG	
OA_5919_PN0013		TR01	vue en coupe	sud-est	CP01					Paleotime	14/11/2011	JPG	
OA_5919_PN0014		TR01	vue en coupe	sud-est	CP01					Paleotime	14/11/2011	JPG	
OA_5919_PN0015		TR01	vue en coupe	sud-est	CP01					Paleotime	14/11/2011	JPG	
OA_5919_PN0016		TR01	vue en coupe	sud-est	CP01					Paleotime	14/11/2011	JPG	
OA_5919_PN0017		TR01	vue en coupe	sud-est	CP01					Paleotime	14/11/2011	JPG	
OA_5919_PN0018		TR01	vue en coupe	sud-est	CP01					Paleotime	14/11/2011	JPG	
OA_5919_PN0019		TR01	vue en coupe	sud-est	CP01					Paleotime	14/11/2011	JPG	
OA_5919_PN0020		TR01	vue en coupe	sud-est	CP01					Paleotime	14/11/2011	JPG	
OA_5919_PN0021		TR01	vue en coupe	sud-est	CP01					Paleotime	14/11/2011	JPG	
OA_5919_PN0022		TR01	vue en coupe	sud-est	CP01					Paleotime	14/11/2011	JPG	
OA_5919_PN0023		TR01	vue en coupe	sud-est	CP01					Paleotime	14/11/2011	JPG	
OA_5919_PN0024		TR01	vue en coupe	sud-est	CP01					Paleotime	14/11/2011	JPG	
OA_5919_PN0025		TR01	vue oblique	sud-est	CP01					Paleotime	15/11/2011	JPG	
OA_5919_PN0026		TR01	vue oblique	sud-est	CP01					Paleotime	15/11/2011	JPG	
OA_5919_PN0027		TR01	vue oblique	nord-est	CP01					Paleotime	15/11/2011	JPG	
OA_5919_PN0028		TR01	vue oblique	sud-est	CP01					Paleotime	15/11/2011	JPG	
OA_5919_PN0029		TR01	vue oblique	nord-est	CP01					Paleotime	15/11/2011	JPG	
OA_5919_PN0030		TR01	vue en coupe	sud-est	CP01					Paleotime	15/11/2011	JPG	
OA_5919_PN0031		TR01	vue oblique	sud-est	CP01					Paleotime	15/11/2011	JPG	
OA_5919_PN0032		TR01	vue oblique	nord-est	CP01					Paleotime	15/11/2011	JPG	
OA_5919_PN0033		TR01	vue en plan	sud-est		ST03				Paleotime	15/11/2011	JPG	
OA_5919_PN0034		TR01	vue en plan	nord-est		ST03				Paleotime	15/11/2011	JPG	
OA_5919_PN0035		TR01	vue en plan	nord-nord-est		ST03				Paleotime	15/11/2011	JPG	
OA_5919_PN0036		TR01	vue en coupe	sud-est	CP01	ST03				Paleotime	15/11/2011	JPG	
OA_5919_PN0037		TR01	vue en coupe	nord-ouest	Coupe nord	ST01				Paleotime	15/11/2011	JPG	
OA_5919_PN0038		TR01	vue en coupe	nord-ouest	Coupe nord	ST01				Paleotime	15/11/2011	JPG	
OA_5919_PN0039		TR01	vue en coupe	nord-ouest	Coupe nord	ST01				Paleotime	15/11/2011	JPG	
OA_5919_PN0040		TR01	vue en coupe	nord-ouest	Coupe nord	ST01				Paleotime	15/11/2011	JPG	
OA_5919_PN0041		TR01	vue en coupe (avec tracé)	nord-ouest	Coupe nord	ST01				Paleotime	15/11/2011	JPG	
OA_5919_PN0042		TR01	vue en coupe (avec tracé)	nord-ouest	Coupe nord	ST01				Paleotime	15/11/2011	JPG	
OA_5919_PN0043		TR01	vue en coupe	sud-est	CP01			mobilier lithique en place (PT92)		Paleotime	15/11/2011	JPG	
OA_5919_PN0044		TR01	vue en coupe	sud-est	CP01			mobilier lithique en place (PT92)		Paleotime	15/11/2011	JPG	

	Localisation				Description								
Nom photo	Zone	TR	Type de vue	Vue vers	CP	LOG / Locus/ST	UPS	carré / mobilier lithique en place / z=	décapage	Auteur	Date	Extension fichier	Remarques
OA_5919_PN0001		TR01	vue générale	sud-ouest						Paleotime	14/11/2011	JPG	
OA_5919_PN0002		TR01	vue générale	sud-ouest						Paleotime	14/11/2011	JPG	
OA_5919_PN0003		TR01	vue générale	ouest						Paleotime	14/11/2011	JPG	
OA_5919_PN0004		TR01	vue générale	nord-ouest						Paleotime	14/11/2011	JPG	
OA_5919_PN0005		TR01	vue oblique	sud-ouest	CP01					Paleotime	14/11/2011	JPG	
OA_5919_PN0006		TR01	vue en coupe	sud-est	CP01					Paleotime	14/11/2011	JPG	
OA_5919_PN0007		TR01	vue en coupe	sud-est	CP01					Paleotime	14/11/2011	JPG	
OA_5919_PN0008		TR01	vue en coupe	sud-est	CP01					Paleotime	14/11/2011	JPG	
OA_5919_PN0009		TR01	vue en coupe	sud-est	CP01					Paleotime	14/11/2011	JPG	
OA_5919_PN0010		TR01	vue en coupe	sud-est	CP01					Paleotime	14/11/2011	JPG	
OA_5919_PN0011		TR01	vue en coupe	sud-est	CP01					Paleotime	14/11/2011	JPG	
OA_5919_PN0012		TR01	vue en coupe	sud-est	CP01					Paleotime	14/11/2011	JPG	
OA_5919_PN0013		TR01	vue en coupe	sud-est	CP01					Paleotime	14/11/2011	JPG	
OA_5919_PN0014		TR01	vue en coupe	sud-est	CP01					Paleotime	14/11/2011	JPG	
OA_5919_PN0015		TR01	vue en coupe	sud-est	CP01					Paleotime	14/11/2011	JPG	
OA_5919_PN0016		TR01	vue en coupe	sud-est	CP01					Paleotime	14/11/2011	JPG	
OA_5919_PN0017		TR01	vue en coupe	sud-est	CP01					Paleotime	14/11/2011	JPG	
OA_5919_PN0018		TR01	vue en coupe	sud-est	CP01					Paleotime	14/11/2011	JPG	
OA_5919_PN0019		TR01	vue en coupe	sud-est	CP01					Paleotime	14/11/2011	JPG	
OA_5919_PN0020		TR01	vue en coupe	sud-est	CP01					Paleotime	14/11/2011	JPG	
OA_5919_PN0021		TR01	vue en coupe	sud-est	CP01					Paleotime	14/11/2011	JPG	
OA_5919_PN0022		TR01	vue en coupe	sud-est	CP01					Paleotime	14/11/2011	JPG	
OA_5919_PN0023		TR01	vue en coupe	sud-est	CP01					Paleotime	14/11/2011	JPG	
OA_5919_PN0024		TR01	vue en coupe	sud-est	CP01					Paleotime	14/11/2011	JPG	
OA_5919_PN0025		TR01	vue oblique	sud-est	CP01					Paleotime	15/11/2011	JPG	
OA_5919_PN0026		TR01	vue oblique	sud-est	CP01					Paleotime	15/11/2011	JPG	
OA_5919_PN0027		TR01	vue oblique	nord-est	CP01					Paleotime	15/11/2011	JPG	
OA_5919_PN0028		TR01	vue oblique	sud-est	CP01					Paleotime	15/11/2011	JPG	
OA_5919_PN0029		TR01	vue oblique	nord-est	CP01					Paleotime	15/11/2011	JPG	
OA_5919_PN0030		TR01	vue en coupe	sud-est	CP01					Paleotime	15/11/2011	JPG	
OA_5919_PN0031		TR01	vue oblique	sud-est	CP01					Paleotime	15/11/2011	JPG	
OA_5919_PN0032		TR01	vue oblique	nord-est	CP01					Paleotime	15/11/2011	JPG	
OA_5919_PN0033		TR01	vue en plan	sud-est		ST03				Paleotime	15/11/2011	JPG	
OA_5919_PN0034		TR01	vue en plan	nord-est		ST03				Paleotime	15/11/2011	JPG	
OA_5919_PN0035		TR01	vue en plan	nord-nord-est		ST03				Paleotime	15/11/2011	JPG	
OA_5919_PN0036		TR01	vue en coupe	sud-est	CP01	ST03				Paleotime	15/11/2011	JPG	
OA_5919_PN0037		TR01	vue en coupe	nord-ouest	Coupe nord	ST01				Paleotime	15/11/2011	JPG	
OA_5919_PN0038		TR01	vue en coupe	nord-ouest	Coupe nord	ST01				Paleotime	15/11/2011	JPG	
OA_5919_PN0039		TR01	vue en coupe	nord-ouest	Coupe nord	ST01				Paleotime	15/11/2011	JPG	
OA_5919_PN0040		TR01	vue en coupe	nord-ouest	Coupe nord	ST01				Paleotime	15/11/2011	JPG	
OA_5919_PN0041		TR01	vue en coupe (avec tracé)	nord-ouest	Coupe nord	ST01				Paleotime	15/11/2011	JPG	
OA_5919_PN0042		TR01	vue en coupe (avec tracé)	nord-ouest	Coupe nord	ST01				Paleotime	15/11/2011	JPG	
OA_5919_PN0043		TR01	vue en coupe	sud-est	CP01			mobilier lithique en place (PT92)		Paleotime	15/11/2011	JPG	
OA_5919_PN0044		TR01	vue en coupe	sud-est	CP01			mobilier lithique en place (PT92)		Paleotime	15/11/2011	JPG	

	Localisation				Description								
Nom photo	Zone	TR	Type de vue	Vue vers	CP	LOG / Locus/ST	UPS	carré / mobilier lithique en place / z=	décapage	Auteur	Date	Extension fichier	Remarques
OA_5919_PN0045		TR01	vue en coupe	sud-est	CP01			mobilier lithique en place (PT92)		Paleotime	15/11/2011	JPG	
OA_5919_PN0046		TR01	vue oblique	sud-ouest	CP01					Paleotime	15/11/2011	JPG	
OA_5919_PN0047		TR01	vue en coupe	sud-est	CP01					Paleotime	15/11/2011	JPG	
OA_5919_PN0048		TR01	vue en coupe	sud-est	CP01					Paleotime	15/11/2011	JPG	
OA_5919_PN0049		TR01	vue en coupe	sud-est	CP01					Paleotime	15/11/2011	JPG	
OA_5919_PN0050		TR01	vue en coupe	sud-est	CP01					Paleotime	15/11/2011	JPG	
OA_5919_PN0051		TR01	vue en coupe	sud-est	CP01					Paleotime	15/11/2011	JPG	
OA_5919_PN0052		TR01	vue en coupe	sud-est	CP01					Paleotime	15/11/2011	JPG	
OA_5919_PN0053		TR01	vue en coupe	sud-est	CP01					Paleotime	15/11/2011	JPG	
OA_5919_PN0054		TR01	vue en coupe	sud-est	CP01					Paleotime	15/11/2011	JPG	
OA_5919_PN0055		TR01	vue en coupe	sud-est	CP01					Paleotime	15/11/2011	JPG	
OA_5919_PN0056		TR01	vue en coupe	sud-est	CP01					Paleotime	15/11/2011	JPG	
OA_5919_PN0057		TR01	vue en coupe	sud-est	CP01					Paleotime	15/11/2011	JPG	
OA_5919_PN0058		TR01	vue en coupe	sud-est	CP01					Paleotime	15/11/2011	JPG	
OA_5919_PN0059		TR01	vue en coupe	sud-est	CP01					Paleotime	15/11/2011	JPG	
OA_5919_PN0060		TR01	vue en coupe	sud-est	CP01					Paleotime	15/11/2011	JPG	
OA_5919_PN0061		TR01	vue en coupe	sud-est	CP01					Paleotime	15/11/2011	JPG	
OA_5919_PN0062		TR01	vue en coupe	sud-est	CP01					Paleotime	15/11/2011	JPG	
OA_5919_PN0063		TR01	vue en coupe	sud-est	CP01					Paleotime	15/11/2011	JPG	
OA_5919_PN0064		TR01	vue en coupe	sud-est	CP01					Paleotime	15/11/2011	JPG	
OA_5919_PN0065		TR01	vue en coupe	sud-est	CP01					Paleotime	15/11/2011	JPG	
OA_5919_PN0066		TR01	vue en coupe	sud-est	CP01					Paleotime	15/11/2011	JPG	
OA_5919_PN0067		TR01	vue en coupe	sud-est	CP01					Paleotime	15/11/2011	JPG	
OA_5919_PN0068		TR01	vue en coupe	sud-est	CP01					Paleotime	15/11/2011	JPG	
OA_5919_PN0069		TR01	vue en coupe	sud-est	CP01					Paleotime	15/11/2011	JPG	
OA_5919_PN0070		TR01	vue en coupe	sud-est	CP01					Paleotime	15/11/2011	JPG	
OA_5919_PN0071		TR01	vue en coupe	sud-est	CP01					Paleotime	15/11/2011	JPG	
OA_5919_PN0072		TR01	vue en coupe	sud-est	CP01					Paleotime	15/11/2011	JPG	
OA_5919_PN0073		TR01	vue en coupe	sud-est	CP01					Paleotime	15/11/2011	JPG	
OA_5919_PN0074		TR01	vue en coupe	sud-est	CP01					Paleotime	15/11/2011	JPG	
OA_5919_PN0075		TR01	vue en coupe	sud-est	CP01					Paleotime	15/11/2011	JPG	
OA_5919_PN0076		TR01	vue en coupe	sud-est	CP01					Paleotime	15/11/2011	JPG	
OA_5919_PN0077		TR01	vue en coupe	sud-est	CP01					Paleotime	15/11/2011	JPG	
OA_5919_PN0078		TR01	vue en coupe	sud-est	CP01					Paleotime	15/11/2011	JPG	
OA_5919_PN0079		TR01	vue en coupe	sud-est	CP01					Paleotime	15/11/2011	JPG	
OA_5919_PN0080		TR01	vue en coupe	sud-est	CP01					Paleotime	15/11/2011	JPG	
OA_5919_PN0081		TR01	vue en coupe	sud-est	CP01					Paleotime	15/11/2011	JPG	
OA_5919_PN0082		TR01	vue en coupe	sud-est	CP01					Paleotime	16/11/2011	JPG	
OA_5919_PN0083		TR01	vue en coupe	sud-est	CP01					Paleotime	16/11/2011	JPG	
OA_5919_PN0084		TR01	vue en coupe	sud-est	CP01					Paleotime	16/11/2011	JPG	
OA_5919_PN0085		TR01	vue en coupe	sud-est	CP01					Paleotime	16/11/2011	JPG	
OA_5919_PN0086		TR01	vue générale	nord-est						Paleotime	16/11/2011	JPG	
OA_5919_PN0087	Tranche conditionnelle	TR04	vue générale	nord						Paleotime	16/11/2011	JPG	
OA_5919_PN0088		TR01	vue en coupe	sud-est	CP01	Log 01-1				Paleotime	16/11/2011	JPG	
OA_5919_PN0089		TR01	vue en coupe	sud-est	CP01	Log 01-1				Paleotime	16/11/2011	JPG	
OA_5919_PN0090		TR01	vue en coupe (détail)	sud-est	CP01	Log 01-1				Paleotime	16/11/2011	JPG	
OA_5919_PN0091		TR01	vue en coupe (détail)	sud-est	CP01	Log 01-1				Paleotime	16/11/2011	JPG	

	Localisation				Description								
Nom photo	Zone	TR	Type de vue	Vue vers	CP	LOG / Locus/ST	UPS	carré / mobilier lithique en place / z=	décapage	Auteur	Date	Extension fichier	Remarques
OA_5919_PN0092		TR01	vue en coupe (détail)	sud-est	CP01	Log 01-1				Paleotime	16/11/2011	JPG	
OA_5919_PN0093		TR01	vue oblique	nord-est	CP01					Paleotime	16/11/2011	JPG	
OA_5919_PN0094		TR01	vue oblique	sud-ouest	CP01					Paleotime	16/11/2011	JPG	
OA_5919_PN0095		TR01	vue en coupe	sud-est	CP01	Log 01-2				Paleotime	16/11/2011	JPG	
OA_5919_PN0096		TR01	vue en coupe	sud-est	CP01	Log 01-2				Paleotime	16/11/2011	JPG	
OA_5919_PN0097		TR01	vue en coupe (détail)	sud-est	CP01	Log 01-2				Paleotime	16/11/2011	JPG	
OA_5919_PN0098		TR01	vue en coupe (détail)	sud-est	CP01	Log 01-2				Paleotime	16/11/2011	JPG	
OA_5919_PN0099		TR01	vue en coupe (détail)	sud-est	CP01	Log 01-2				Paleotime	16/11/2011	JPG	
OA_5919_PN0100		TR01	vue en coupe (détail)	sud-est	CP01	Log 01-2				Paleotime	16/11/2011	JPG	
OA_5919_PN0101		TR01	vue oblique	nord-est	CP01	Log 01-2				Paleotime	16/11/2011	JPG	
OA_5919_PN0102		TR01	vue oblique	sud-ouest	CP01	Log 01-2				Paleotime	16/11/2011	JPG	
OA_5919_PN0103		TR01	vue en coupe	sud-est	CP01	Log 01-3				Paleotime	16/11/2011	JPG	
OA_5919_PN0104		TR01	vue en coupe	sud-est	CP01	Log 01-3				Paleotime	16/11/2011	JPG	
OA_5919_PN0105		TR01	vue en coupe (détail)	sud-est	CP01	Log 01-3				Paleotime	16/11/2011	JPG	
OA_5919_PN0106		TR01	vue en coupe (détail)	sud-est	CP01	Log 01-3				Paleotime	16/11/2011	JPG	
OA_5919_PN0107		TR01	vue en coupe (détail)	sud-est	CP01	Log 01-3				Paleotime	16/11/2011	JPG	
OA_5919_PN0108		TR01	vue en coupe (détail)	sud-est	CP01	Log 01-3				Paleotime	16/11/2011	JPG	
OA_5919_PN0109		TR01	vue oblique	nord-est	CP01	Log 01-3				Paleotime	16/11/2011	JPG	
OA_5919_PN0110		TR01	vue oblique	sud-ouest	CP01	Log 01-3				Paleotime	16/11/2011	JPG	
OA_5919_PN0111	Zone A ouest	TR02	vue générale	nord-ouest	CP02					Paleotime	16/11/2011	JPG	
OA_5919_PN0112	Zone A ouest	TR02	vue générale	ouest	CP02					Paleotime	16/11/2011	JPG	
OA_5919_PN0113	Zone A ouest	TR02	vue en coupe	sud-ouest	CP02					Paleotime	16/11/2011	JPG	
OA_5919_PN0114	Zone A ouest	TR02	vue en coupe	sud-ouest	CP02					Paleotime	16/11/2011	JPG	
OA_5919_PN0115	Zone A ouest	TR02	vue en coupe	sud-ouest	CP02					Paleotime	16/11/2011	JPG	
OA_5919_PN0116	Zone A ouest	TR02	vue en coupe	sud-ouest	CP02					Paleotime	16/11/2011	JPG	
OA_5919_PN0117	Zone A ouest	TR02	vue en coupe	sud-ouest	CP02					Paleotime	16/11/2011	JPG	
OA_5919_PN0118	Zone A ouest	TR02	vue en coupe	sud-ouest	CP02					Paleotime	16/11/2011	JPG	
OA_5919_PN0119	Zone A ouest	TR02	vue en coupe	sud-ouest	CP02					Paleotime	16/11/2011	JPG	
OA_5919_PN0120	Zone A ouest	TR02	vue en coupe	sud-ouest	CP02					Paleotime	16/11/2011	JPG	
OA_5919_PN0121	Zone A ouest	TR02	vue en coupe	sud-ouest	CP02					Paleotime	16/11/2011	JPG	
OA_5919_PN0122	Zone A ouest	TR02	vue en coupe	sud-ouest	CP02					Paleotime	16/11/2011	JPG	
OA_5919_PN0123	Zone A ouest	TR02	vue en coupe	sud	CP02					Paleotime	16/11/2011	JPG	
OA_5919_PN0124	Zone A ouest	TR02	vue en coupe	sud-ouest	CP02	Log 02-1				Paleotime	16/11/2011	JPG	
OA_5919_PN0125	Zone A ouest	TR02	vue en coupe (détail)	sud-ouest	CP02	Log 02-1				Paleotime	16/11/2011	JPG	
OA_5919_PN0126	Zone A ouest	TR02	vue en coupe (détail)	sud-ouest	CP02	Log 02-1				Paleotime	16/11/2011	JPG	
OA_5919_PN0127	Zone A ouest	TR02	vue en coupe (détail)	sud-ouest	CP02	Log 02-1				Paleotime	16/11/2011	JPG	
OA_5919_PN0128	Zone A ouest	TR02	vue oblique	sud	CP02	Log 02-1				Paleotime	16/11/2011	JPG	
OA_5919_PN0129	Zone A ouest	TR02	vue oblique	nord	CP02	Log 02-1				Paleotime	16/11/2011	JPG	
OA_5919_PN0130	Zone A ouest	TR02	vue en coupe	sud-ouest	CP02	Log 02-1				Paleotime	16/11/2011	JPG	
OA_5919_PN0131	Zone A ouest	TR02	vue en coupe	sud-ouest	CP02					Paleotime	16/11/2011	JPG	

	Localisation				Description								
Nom photo	Zone	TR	Type de vue	Vue vers	CP	LOG / Locus/ST	UPS	carré / mobilier lithique en place / z=	décapage	Auteur	Date	Extension fichier	Remarques
OA_5919_PN0132	Zone A ouest	TR02	vue oblique	sud	CP02					Paleotime	16/11/2011	JPG	
OA_5919_PN0133	Zone D	TR03	vue en plan	nord-ouest			éocène			Paleotime	16/11/2011	JPG	
OA_5919_PN0134	Zone D	TR03	vue d'ambiance	sud						Paleotime	16/11/2011	JPG	
OA_5919_PN0135	Zone D	TR03	vue générale	est	CP03					Paleotime	17/11/2011	JPG	
OA_5919_PN0136	Zone D	TR03	vue en coupe	nord-est	CP03					Paleotime	17/11/2011	JPG	
OA_5919_PN0137	Zone D	TR03	vue en coupe	nord-est	CP03					Paleotime	17/11/2011	JPG	
OA_5919_PN0138	Zone D	TR03	vue en coupe	nord-est	CP03					Paleotime	17/11/2011	JPG	
OA_5919_PN0139	Zone D	TR03	vue en coupe	nord-est	CP03					Paleotime	17/11/2011	JPG	
OA_5919_PN0140	Zone D	TR03	vue en coupe	nord-est	CP03					Paleotime	17/11/2011	JPG	
OA_5919_PN0141	Zone D	TR03	vue en coupe	nord-est	CP03					Paleotime	17/11/2011	JPG	
OA_5919_PN0142	Zone D	TR03	vue en coupe	nord-est	CP03					Paleotime	17/11/2011	JPG	
OA_5919_PN0143	Zone D	TR03	vue en coupe	nord-est	CP03					Paleotime	17/11/2011	JPG	
OA_5919_PN0144	Zone D	TR03	vue en coupe	nord-est	CP03					Paleotime	17/11/2011	JPG	
OA_5919_PN0145	Zone D	TR03	vue en coupe	nord-est	CP03					Paleotime	17/11/2011	JPG	
OA_5919_PN0146	Zone D	TR03	vue en coupe	nord-est	CP03					Paleotime	17/11/2011	JPG	
OA_5919_PN0147	Zone D	TR03	vue en coupe	nord-est	CP03					Paleotime	17/11/2011	JPG	
OA_5919_PN0148	Zone D	TR03	vue en coupe	nord-est	CP03					Paleotime	17/11/2011	JPG	
OA_5919_PN0149	Zone D	TR03	vue en coupe	nord-est	CP03					Paleotime	17/11/2011	JPG	
OA_5919_PN0150	Zone D	TR03	vue en coupe	nord-est	CP03					Paleotime	17/11/2011	JPG	
OA_5919_PN0151	Zone D	TR03	vue générale	nord-ouest	CP03					Paleotime	17/11/2011	JPG	
OA_5919_PN0152	Zone D	TR03	vue en coupe	nord-est	CP03	Log 03-1				Paleotime	17/11/2011	JPG	
OA_5919_PN0153	Zone D	TR03	vue oblique	nord	CP03	Log 03-1				Paleotime	17/11/2011	JPG	
OA_5919_PN0154	Zone D	TR03	vue oblique	sud-est	CP03	Log 03-1				Paleotime	17/11/2011	JPG	
OA_5919_PN0155	Zone D	TR03	vue en coupe (détail)	nord-est	CP03	Log 03-1				Paleotime	17/11/2011	JPG	
OA_5919_PN0156	Zone D	TR03	vue en coupe (détail)	nord-est	CP03	Log 03-1				Paleotime	17/11/2011	JPG	
OA_5919_PN0157	Zone D	TR03	vue en coupe (détail)	nord-est	CP03	Log 03-1				Paleotime	17/11/2011	JPG	
OA_5919_PN0158	Zone D	TR03	vue en coupe (détail)	nord-est	CP03	Log 03-1				Paleotime	17/11/2011	JPG	
OA_5919_PN0159			vue générale	nord-ouest	station de tamisage					Paleotime	18/11/2011	JPG	
OA_5919_PN0160			vue générale	est	station de tamisage					Paleotime	18/11/2011	JPG	
OA_5919_PN0161			vue générale	#NOM?	station de tamisage					Paleotime	18/11/2011	JPG	
OA_5919_PN0162	Zone D	TR03	vue d'ambiance	nord-ouest						Paleotime	18/11/2011	JPG	
OA_5919_PN0163	Zone D	TR03	vue d'ambiance	nord-ouest	décapage mécanique					Paleotime	18/11/2011	JPG	
OA_5919_PN0164	Zone D	TR03	vue en plan	sud-ouest	CP03-1		UPS 8			Paleotime	18/11/2011	JPG	
OA_5919_PN0165	Zone D	TR03	vue en plan	sud-ouest	CP03-1		UPS 8			Paleotime	18/11/2011	JPG	
OA_5919_PN0166		TR01	vue en coupe (détail)	sud-est	CP01-1		UPS 6			Paleotime	18/11/2011	JPG	
OA_5919_PN0167		TR01	vue en coupe (détail)	sud-est	CP01-1		UPS 6			Paleotime	18/11/2011	JPG	
OA_5919_PN0168		TR01	vue oblique	sud-ouest	CP01					Paleotime	18/11/2011	JPG	
OA_5919_PN0169		TR01	vue en coupe	sud-est	CP01			mobilier lithique en place (PT31 et 32)		Paleotime	18/11/2011	JPG	

	Localisation				Description								
Nom photo	Zone	TR	Type de vue	Vue vers	CP	LOG / Locus/ST	UPS	carré / mobilier lithique en place / z=	décapage	Auteur	Date	Extension fichier	Remarques
OA_5919_PN0170		TR01	vue en coupe	sud-est	CP01			mobilier lithique en place (PT31 et 32)		Paleotime	18/11/2011	JPG	
OA_5919_PN0171		TR01	vue en coupe	sud-est	CP01			mobilier lithique en place (PT31 et 32)		Paleotime	18/11/2011	JPG	
OA_5919_PN0172	Tranche conditionnelle	TR04	vue générale	nord-ouest	CP04					Paleotime	18/11/2011	JPG	
OA_5919_PN0173	Tranche conditionnelle	TR04	vue en coupe	sud-ouest	CP04					Paleotime	18/11/2011	JPG	
OA_5919_PN0174	Tranche conditionnelle	TR04	vue en coupe	sud-ouest	CP04					Paleotime	18/11/2011	JPG	
OA_5919_PN0175	Tranche conditionnelle	TR04	vue en coupe	sud-ouest	CP04					Paleotime	18/11/2011	JPG	
OA_5919_PN0176	Tranche conditionnelle	TR04	vue en coupe	sud-ouest	CP04					Paleotime	18/11/2011	JPG	
OA_5919_PN0177	Tranche conditionnelle	TR04	vue en coupe	sud-ouest	CP04					Paleotime	18/11/2011	JPG	
OA_5919_PN0178	Tranche conditionnelle	TR04	vue en coupe	sud-ouest	CP04					Paleotime	18/11/2011	JPG	
OA_5919_PN0179	Tranche conditionnelle	TR04	vue en coupe	sud-ouest	CP04					Paleotime	18/11/2011	JPG	
OA_5919_PN0180	Tranche conditionnelle	TR04	vue en coupe	sud-ouest	CP04	Log 04-1				Paleotime	18/11/2011	JPG	
OA_5919_PN0181	Tranche conditionnelle	TR04	vue en coupe (détail)	sud-ouest	CP04	Log 04-1				Paleotime	18/11/2011	JPG	
OA_5919_PN0182	Tranche conditionnelle	TR04	vue en coupe (détail)	sud-ouest	CP04	Log 04-1				Paleotime	18/11/2011	JPG	
OA_5919_PN0183	Tranche conditionnelle	TR04	vue en coupe (détail)	sud-ouest	CP04	Log 04-1				Paleotime	18/11/2011	JPG	
OA_5919_PN0184	Tranche conditionnelle	TR04	vue en coupe (détail)	sud-ouest	CP04	Log 04-1				Paleotime	18/11/2011	JPG	
OA_5919_PN0185	Tranche conditionnelle	TR04	vue générale	sud						Paleotime	21/11/2011	JPG	
OA_5919_PN0186	Tranche conditionnelle	TR04	vue en coupe	sud-ouest	CP04					Paleotime	21/11/2011	JPG	
OA_5919_PN0187	Tranche conditionnelle	TR04	vue en coupe	sud-ouest	CP04					Paleotime	21/11/2011	JPG	
OA_5919_PN0188	Tranche conditionnelle	TR04	vue en coupe	sud-ouest	CP04					Paleotime	21/11/2011	JPG	
OA_5919_PN0189	Tranche conditionnelle	TR04	vue en coupe	sud-ouest	CP04					Paleotime	21/11/2011	JPG	
OA_5919_PN0190	Tranche conditionnelle	TR04	vue en coupe	sud-ouest	CP04					Paleotime	21/11/2011	JPG	
OA_5919_PN0191	Tranche conditionnelle	TR04	vue en coupe	sud-ouest	CP04					Paleotime	21/11/2011	JPG	
OA_5919_PN0192	Tranche conditionnelle	TR04	vue en coupe	sud-ouest	CP04					Paleotime	21/11/2011	JPG	
OA_5919_PN0193	Tranche conditionnelle	TR04	vue en coupe	sud-ouest	CP04					Paleotime	21/11/2011	JPG	

	Localisation				Description								
Nom photo	Zone	TR	Type de vue	Vue vers	CP	LOG / Locus/ST	UPS	carré / mobilier lithique en place / z=	décapage	Auteur	Date	Extension fichier	Remarques
OA_5919_PN0194	Tranche conditionnelle	TR04	vue en coupe	sud-ouest	CP04					Paleotime	21/11/2011	JPG	
OA_5919_PN0195	Tranche conditionnelle	TR04	vue en coupe	sud-ouest	CP04					Paleotime	21/11/2011	JPG	
OA_5919_PN0196	Tranche conditionnelle	TR04	vue en coupe	sud-ouest	CP04					Paleotime	21/11/2011	JPG	
OA_5919_PN0197	Tranche conditionnelle	TR04	vue en coupe	sud-ouest	CP04					Paleotime	21/11/2011	JPG	
OA_5919_PN0198	Tranche conditionnelle	TR04	vue en coupe	sud-ouest	CP04					Paleotime	21/11/2011	JPG	
OA_5919_PN0199	Tranche conditionnelle	TR04	vue en coupe	sud-ouest	CP04					Paleotime	21/11/2011	JPG	
OA_5919_PN0200	Tranche conditionnelle	TR04	vue en coupe	sud-ouest	CP04					Paleotime	21/11/2011	JPG	
OA_5919_PN0201	Tranche conditionnelle	TR04	vue en coupe	sud-ouest	CP04					Paleotime	21/11/2011	JPG	
OA_5919_PN0202	Tranche conditionnelle	TR04	vue en coupe	sud-ouest	CP04					Paleotime	21/11/2011	JPG	
OA_5919_PN0203	Tranche conditionnelle	TR04	vue en coupe	sud-ouest	CP04					Paleotime	21/11/2011	JPG	
OA_5919_PN0204	Tranche conditionnelle	TR04	vue en coupe	sud-ouest	CP04					Paleotime	21/11/2011	JPG	
OA_5919_PN0205	Tranche conditionnelle	TR04	vue en coupe	sud-ouest	CP04					Paleotime	21/11/2011	JPG	
OA_5919_PN0206	Tranche conditionnelle	TR04	vue en coupe	sud-ouest	CP04					Paleotime	21/11/2011	JPG	
OA_5919_PN0207	Tranche conditionnelle	TR04	vue en coupe	sud-ouest	CP04					Paleotime	21/11/2011	JPG	
OA_5919_PN0208	Tranche conditionnelle	TR04	vue en coupe	sud-ouest	CP04					Paleotime	21/11/2011	JPG	
OA_5919_PN0209	Tranche conditionnelle	TR04	vue en coupe	sud-ouest	CP04					Paleotime	21/11/2011	JPG	
OA_5919_PN0210	Tranche conditionnelle	TR04	vue en coupe	sud-ouest	CP04					Paleotime	21/11/2011	JPG	
OA_5919_PN0211	Tranche conditionnelle	TR04	vue en coupe	sud-ouest	CP04					Paleotime	21/11/2011	JPG	
OA_5919_PN0212	Tranche conditionnelle	TR04	vue en coupe	sud-ouest	CP04					Paleotime	21/11/2011	JPG	
OA_5919_PN0213	Tranche conditionnelle	TR04	vue générale	sud						Paleotime	21/11/2011	JPG	
OA_5919_PN0214	Tranche conditionnelle	TR04	vue générale	sud						Paleotime	21/11/2011	JPG	
OA_5919_PN0215	Tranche conditionnelle	TR04	vue générale	sud-ouest	CP04	Log 04-2				Paleotime	21/11/2011	JPG	
OA_5919_PN0216	Tranche conditionnelle	TR04	vue générale	sud-ouest	CP04	Log 04-2				Paleotime	21/11/2011	JPG	
OA_5919_PN0217	Tranche conditionnelle	TR04	vue oblique	sud	CP04	Log 04-2				Paleotime	21/11/2011	JPG	
OA_5919_PN0218	Tranche conditionnelle	TR04	vue oblique	nord-ouest	CP04	Log 04-2				Paleotime	21/11/2011	JPG	
OA_5919_PN0219	Tranche conditionnelle	TR04	vue en coupe (détail)	sud-ouest	CP04	Log 04-2				Paleotime	21/11/2011	JPG	

	Localisation				Description								
Nom photo	Zone	TR	Type de vue	Vue vers	CP	LOG / Locus/ST	UPS	carré / mobilier lithique en place / z=	décapage	Auteur	Date	Extension fichier	Remarques
OA_5919_PN0220	Tranche conditionnelle	TR04	vue en coupe (détail)	sud-ouest	CP04	Log 04-2				Paleotime	21/11/2011	JPG	
OA_5919_PN0221	Tranche conditionnelle	TR04	vue en coupe (détail)	sud-ouest	CP04	Log 04-2				Paleotime	21/11/2011	JPG	
OA_5919_PN0222	Tranche conditionnelle	TR04	vue en coupe	sud-ouest	CP04	Log 04-3				Paleotime	21/11/2011	JPG	
OA_5919_PN0223	Tranche conditionnelle	TR04	vue en coupe	sud-ouest	CP04	Log 04-3				Paleotime	21/11/2011	JPG	
OA_5919_PN0224	Tranche conditionnelle	TR04	vue en coupe	sud-ouest	CP04	Log 04-3				Paleotime	21/11/2011	JPG	
OA_5919_PN0225	Tranche conditionnelle	TR04	vue oblique	sud	CP04	Log 04-3				Paleotime	21/11/2011	JPG	
OA_5919_PN0226	Tranche conditionnelle	TR04	vue oblique	nord-ouest	CP04	Log 04-3				Paleotime	21/11/2011	JPG	
OA_5919_PN0227	Tranche conditionnelle	TR04	vue en coupe (détail)	sud-ouest	CP04	Log 04-3				Paleotime	21/11/2011	JPG	
OA_5919_PN0228	Tranche conditionnelle	TR04	vue en coupe (détail)	sud-ouest	CP04	Log 04-3				Paleotime	21/11/2011	JPG	
OA_5919_PN0229	Tranche conditionnelle	TR04	vue en coupe	sud-ouest	CP04	Log 04-4				Paleotime	21/11/2011	JPG	
OA_5919_PN0230	Tranche conditionnelle	TR04	vue en coupe	sud-ouest	CP04	Log 04-4				Paleotime	21/11/2011	JPG	
OA_5919_PN0231	Tranche conditionnelle	TR04	vue en coupe (détail)	sud-ouest	CP04	Log 04-4				Paleotime	21/11/2011	JPG	
OA_5919_PN0232	Tranche conditionnelle	TR04	vue oblique	sud	CP04	Log 04-4				Paleotime	21/11/2011	JPG	
OA_5919_PN0233	Tranche conditionnelle	TR04	vue oblique	nord-ouest	CP04	Log 04-4				Paleotime	21/11/2011	JPG	
OA_5919_PN0234	Tranche conditionnelle	TR04	vue en plan	sud-ouest	CP04	Log 04-4				Paleotime	21/11/2011	JPG	
OA_5919_PN0235	Tranche conditionnelle	TR04A	vue d'ambiance	sud-est						Paleotime	21/11/2011	JPG	
OA_5919_PN0236	Tranche conditionnelle	TR04	vue en plan	sud-ouest	CP04-4					Paleotime	21/11/2011	JPG	
OA_5919_PN0237	Tranche conditionnelle	TR04	vue en plan	sud-ouest	CP04-4					Paleotime	21/11/2011	JPG	
OA_5919_PN0238	Tranche conditionnelle	TR04	vue en plan	sud-ouest	CP04-4					Paleotime	21/11/2011	JPG	
OA_5919_PN0239	Tranche conditionnelle	TR04	vue en plan	sud	CP04-4					Paleotime	21/11/2011	JPG	
OA_5919_PN0240	Tranche conditionnelle	TR04	vue en plan	sud	CP04-4					Paleotime	21/11/2011	JPG	
OA_5919_PN0241	Tranche conditionnelle	TR04	vue en plan	sud	CP04-4					Paleotime	21/11/2011	JPG	
OA_5919_PN0242	Tranche conditionnelle	TR04	vue générale	ouest	CP04					Paleotime	22/11/2011	JPG	
OA_5919_PN0243	Tranche conditionnelle	TR04	vue générale	sud	CP04					Paleotime	22/11/2011	JPG	
OA_5919_PN0244	Tranche conditionnelle	TR04	vue oblique	ouest	CP04					Paleotime	22/11/2011	JPG	
OA_5919_PN0245	Tranche conditionnelle	TR04	vue oblique	ouest	CP04					Paleotime	22/11/2011	JPG	

	Localisation				Description								
Nom photo	Zone	TR	Type de vue	Vue vers	CP	LOG / Locus/ST	UPS	carré / mobilier lithique en place / z=	décapage	Auteur	Date	Extension fichier	Remarques
OA_5919_PN0246	Tranche conditionnelle	TR04	vue oblique	ouest	CP04					Paleotime	22/11/2011	JPG	
OA_5919_PN0247	Tranche conditionnelle	TR04	vue oblique	sud	CP04					Paleotime	22/11/2011	JPG	
OA_5919_PN0248	Zone D	TR01/TR03	vue générale	sud-ouest						Paleotime	22/11/2011	JPG	
OA_5919_PN0249	Zone D	TR03	vue générale	ouest						Paleotime	22/11/2011	JPG	
OA_5919_PN0250	Zone D	TR03	vue générale	nord-ouest						Paleotime	22/11/2011	JPG	
OA_5919_PN0251		TR01	vue générale	est						Paleotime	22/11/2011	JPG	
OA_5919_PN0252	Zone A ouest	TR02	vue générale	nord-ouest	CP02					Paleotime	22/11/2011	JPG	
OA_5919_PN0253	Zone A ouest	TR02	vue générale	sud	CP02					Paleotime	22/11/2011	JPG	
OA_5919_PN0254	Zone A ouest	TR02	vue générale	nord-ouest	CP02					Paleotime	22/11/2011	JPG	
OA_5919_PN0255	Zone D	TR03	vue générale	nord						Paleotime	22/11/2011	JPG	
OA_5919_PN0256	Zone A ouest		vue d'ambiance	ouest	décapage mécanique					Paleotime	22/11/2011	JPG	
OA_5919_PN0257	Zone A		vue d'ambiance	nord	décapage mécanique					Paleotime	22/11/2011	JPG	
OA_5919_PN0258	Tranche conditionnelle	TR04A	vue générale	sud	CP04A					Paleotime	22/11/2011	JPG	
OA_5919_PN0259	Tranche conditionnelle	TR04A	vue en coupe	sud	CP04A					Paleotime	22/11/2011	JPG	
OA_5919_PN0260	Tranche conditionnelle	TR04A	vue en coupe	sud-est	CP04A					Paleotime	22/11/2011	JPG	
OA_5919_PN0261	Tranche conditionnelle	TR04A	vue en coupe	sud-est	CP04A					Paleotime	22/11/2011	JPG	
OA_5919_PN0262	Tranche conditionnelle	TR04A	vue en coupe	sud-est	CP04A					Paleotime	22/11/2011	JPG	
OA_5919_PN0263	Tranche conditionnelle	TR04A	vue en coupe	sud-est	CP04A					Paleotime	22/11/2011	JPG	
OA_5919_PN0264	Tranche conditionnelle	TR04A	vue en coupe	sud-est	CP04A					Paleotime	22/11/2011	JPG	
OA_5919_PN0265	Tranche conditionnelle	TR04A	vue en coupe (détail)	sud-est	CP04A					Paleotime	22/11/2011	JPG	
OA_5919_PN0266	Tranche conditionnelle	TR04A	vue en coupe (détail)	sud-est	CP04A					Paleotime	22/11/2011	JPG	
OA_5919_PN0267	Tranche conditionnelle	TR04A	vue en coupe (détail)	sud-est	CP04A					Paleotime	22/11/2011	JPG	
OA_5919_PN0268	Tranche conditionnelle	TR04A	vue en coupe (détail)	sud-est	CP04A					Paleotime	22/11/2011	JPG	
OA_5919_PN0269	Tranche conditionnelle	TR04A	vue oblique	sud	CP04A					Paleotime	22/11/2011	JPG	
OA_5919_PN0270	Zone A ouest		vue d'ambiance	sud-est			UPS 7	mobilier lithique en place (PT725)		Paleotime	23/11/2011	JPG	
OA_5919_PN0271	Zone A ouest		vue en plan	nord			UPS 7	mobilier lithique en place (PT725)		Paleotime	23/11/2011	JPG	
OA_5919_PN0272	Zone A ouest		vue générale	est			UPS 7	mobilier lithique en place (PT725)		Paleotime	23/11/2011	JPG	

	Localisation				Description								
Nom photo	Zone	TR	Type de vue	Vue vers	CP	LOG / Locus/ST	UPS	carré / mobilier lithique en place / z=	décapage	Auteur	Date	Extension fichier	Remarques
OA_5919_PN0273	Zone A ouest		vue en coupe	est	CP06	ST04				Paleotime	23/11/2011	JPG	Mention CP07 sur la pancarte photo fausse: il s'agit de la CP06
OA_5919_PN0274	Zone A ouest		vue en coupe	est	CP06	ST04				Paleotime	23/11/2011	JPG	Mention CP07 sur la pancarte photo fausse: il s'agit de la CP06
OA_5919_PN0275	Zone A ouest		vue en coupe	est	CP06	ST04				Paleotime	23/11/2011	JPG	Mention CP07 sur la pancarte photo fausse: il s'agit de la CP06
OA_5919_PN0276	Zone A est		vue en coupe	ouest	bord opposé à CP06	ST04				Paleotime	23/11/2011	JPG	Mention CP06 sur la pancarte photo fausse: il s'agit d'une coupe sans nom, sur le bord opposé de la CP06
OA_5919_PN0277	Zone A est		vue en coupe	sud	bord opposé à CP06	ST04				Paleotime	23/11/2011	JPG	Mention CP06 sur la pancarte photo fausse: il s'agit d'une coupe sans nom, sur le bord opposé de la CP06
OA_5919_PN0278	Zone A est		vue en coupe	nord-ouest	bord opposé à CP06	ST04				Paleotime	23/11/2011	JPG	Mention CP06 sur la pancarte photo fausse: il s'agit d'une coupe sans nom, sur le bord opposé de la CP06
OA_5919_PN0279	Zone A est		vue oblique	nord-est	CP05-1					Paleotime	23/11/2011	JPG	
OA_5919_PN0280	Zone A est		vue oblique	sud-est	CP05-1					Paleotime	23/11/2011	JPG	
OA_5919_PN0281	Zone A est		vue générale	est	CP05-1					Paleotime	23/11/2011	JPG	
OA_5919_PN0282	Zone A est		vue générale	est	CP05-1					Paleotime	23/11/2011	JPG	
OA_5919_PN0283	Zone A est		vue en coupe	est	CP05-1					Paleotime	23/11/2011	JPG	
OA_5919_PN0284	Zone A est		vue en coupe	est	CP05-1					Paleotime	23/11/2011	JPG	
OA_5919_PN0285	Zone A est		vue en coupe	est	CP05-1					Paleotime	23/11/2011	JPG	
OA_5919_PN0286	Zone A est		vue en coupe	est	CP05-1					Paleotime	23/11/2011	JPG	
OA_5919_PN0287	Zone A		vue générale	nord-ouest						Paleotime	24/11/2011	JPG	
OA_5919_PN0288	Zone A ouest		vue en coupe	est	CP06	Log 06-1				Paleotime	24/11/2011	JPG	
OA_5919_PN0289	Zone A ouest		vue oblique	nord	CP06	Log 06-1				Paleotime	24/11/2011	JPG	
OA_5919_PN0290	Zone A ouest		vue en coupe	est	CP06	Log 06-1				Paleotime	24/11/2011	JPG	
OA_5919_PN0291	Zone A ouest		vue en coupe	est	CP06	Log 06-1				Paleotime	24/11/2011	JPG	
OA_5919_PN0292	Zone A ouest		vue en coupe (détail)	est	CP06	Log 06-1				Paleotime	24/11/2011	JPG	

	Localisation				Description								
Nom photo	Zone	TR	Type de vue	Vue vers	CP	LOG / Locus/ST	UPS	carré / mobilier lithique en place / z=	décapage	Auteur	Date	Extension fichier	Remarques
OA_5919_PN0293	Zone A ouest		vue en coupe (détail)	est	CP06	Log 06-1				Paleotime	24/11/2011	JPG	
OA_5919_PN0294	Zone A ouest		vue en coupe	est	CP06	Log 06-2				Paleotime	24/11/2011	JPG	
OA_5919_PN0295	Zone A ouest		vue oblique	nord	CP06	Log 06-2				Paleotime	24/11/2011	JPG	
OA_5919_PN0296	Zone A ouest		vue en coupe (détail)	est	CP06	Log 06-2				Paleotime	24/11/2011	JPG	
OA_5919_PN0297	Zone A ouest		vue en coupe (détail)	est	CP06	Log 06-2				Paleotime	24/11/2011	JPG	
OA_5919_PN0298	Zone A est		vue en plan	sud-est		ST05				Paleotime	24/11/2011	JPG	
OA_5919_PN0299	Zone A est		vue en plan	sud-est		ST05				Paleotime	24/11/2011	JPG	
OA_5919_PN0300	Zone A ouest		vue en coupe	nord-ouest			UPS 4/5/7	mobilier lithique en place (PT740)		Paleotime	24/11/2011	JPG	
OA_5919_PN0301	Zone A ouest		vue en coupe	nord-ouest			UPS 4/5/7	mobilier lithique en place (PT740)		Paleotime	24/11/2011	JPG	
OA_5919_PN0302	Zone A ouest		vue en coupe	nord-ouest			UPS 4/5/7	mobilier lithique en place (PT740)		Paleotime	24/11/2011	JPG	
OA_5919_PN0303	Zone A ouest		vue en plan	nord-ouest			UPS 5/7 poche UPS 5	mobilier lithique en place (PT739)		Paleotime	24/11/2011	JPG	
OA_5919_PN0304	Zone A ouest		vue en plan	sud-ouest			UPS 5/7 poche UPS 5	mobilier lithique en place (PT739)		Paleotime	24/11/2011	JPG	
OA_5919_PN0305	Zone A ouest		vue en plan	sud-ouest			UPS 5/7 poche UPS 5	mobilier lithique en place (PT739)		Paleotime	24/11/2011	JPG	
OA_5919_PN0306	Zone A ouest		vue en plan	sud-ouest			UPS 5/7 poche UPS 5	mobilier lithique en place (PT739)		Paleotime	24/11/2011	JPG	
OA_5919_PN0307	Zone A ouest		vue en coupe	nord-est	CP05	ST06				Paleotime	25/11/2011	JPG	Erreur de marquage sur la plaque photo: il s'agit de la ST06 et non de la ST04
OA_5919_PN0308	Zone A ouest		vue en coupe	nord-est	CP05	ST06				Paleotime	25/11/2011	JPG	Erreur de marquage sur la plaque photo: il s'agit de la ST06 et non de la ST04
OA_5919_PN0309	Zone A ouest		vue en coupe	nord-est	CP05	ST06				Paleotime	25/11/2011	JPG	Erreur de marquage sur la plaque photo: il s'agit de la ST06 et non de la ST04

	Localisation				Description								
Nom photo	Zone	TR	Type de vue	Vue vers	CP	LOG / Locus/ST	UPS	carré / mobilier lithique en place / z=	décapage	Auteur	Date	Extension fichier	Remarques
OA_5919_PN0310	Zone A ouest		vue en coupe	nord-est	CP05	ST06				Paleotime	25/11/2011	JPG	Erreur de marquage sur la plaque photo: il s'agit de la ST06 et non de la ST04
OA_5919_PN0311	Zone A ouest		vue générale	sud						Paleotime	25/11/2011	JPG	
OA_5919_PN0312	Zone A ouest		vue générale	ouest						Paleotime	25/11/2011	JPG	
OA_5919_PN0313	Zone A		vue générale	nord-nord-ouest						Paleotime	25/11/2011	JPG	
OA_5919_PN0314	Zone A est		vue générale	nord						Paleotime	25/11/2011	JPG	
OA_5919_PN0315	Zone A est		vue en coupe	est	CP05-2					Paleotime	25/11/2011	JPG	
OA_5919_PN0316	Zone A est		vue en coupe	est	CP05-2					Paleotime	25/11/2011	JPG	
OA_5919_PN0317	Zone A est		vue oblique	sud-est	CP05-2					Paleotime	25/11/2011	JPG	
OA_5919_PN0318	Zone A est		vue oblique	nord-est	CP05-2					Paleotime	25/11/2011	JPG	
OA_5919_PN0319	Zone A est		vue en coupe	est	CP05-2					Paleotime	25/11/2011	JPG	
OA_5919_PN0320	Zone A est		vue en coupe	est	CP05-2					Paleotime	25/11/2011	JPG	
OA_5919_PN0321	Zone A est		vue en coupe	est	CP05-2					Paleotime	25/11/2011	JPG	
OA_5919_PN0322	Zone A est		vue en coupe	est	CP05-2					Paleotime	25/11/2011	JPG	
OA_5919_PN0323	Zone A est		vue en coupe	est	CP05-2	Log 05-2				Paleotime	25/11/2011	JPG	
OA_5919_PN0324	Zone A est		vue en coupe	est	CP05-2	Log 05-2				Paleotime	25/11/2011	JPG	
OA_5919_PN0325	Zone A est		vue en coupe	est	CP05-2	Log 05-2				Paleotime	25/11/2011	JPG	
OA_5919_PN0326	Zone A est		vue en coupe (détail)	est	CP05-2	Log 05-2				Paleotime	25/11/2011	JPG	
OA_5919_PN0327	Zone A est		vue en coupe (détail)	est	CP05-2	Log 05-2				Paleotime	25/11/2011	JPG	
OA_5919_PN0328	Zone A est		vue en coupe (détail)	est	CP05-2	Log 05-2				Paleotime	25/11/2011	JPG	
OA_5919_PN0329	Zone A est		vue en coupe (détail)	est	CP05-2	Log 05-2				Paleotime	25/11/2011	JPG	
OA_5919_PN0330	Zone A est		vue en coupe (détail)	est	CP05-2	Log 05-2				Paleotime	25/11/2011	JPG	
OA_5919_PN0331	Zone A est		vue en coupe (détail)	est	CP05-2	Log 05-2				Paleotime	25/11/2011	JPG	
OA_5919_PN0332	Zone A est		vue en coupe (détail)	est	CP05-2	Log 05-2				Paleotime	25/11/2011	JPG	
OA_5919_PN0333	Zone A est		vue en coupe (détail)	est	CP05-2	Log 05-2				Paleotime	25/11/2011	JPG	
OA_5919_PN0334	Zone A est		vue en coupe	est	CP05-2			mobilier lithique en place (PT785)		Paleotime	25/11/2011	JPG	
OA_5919_PN0335	Zone A est		vue en coupe	est	CP05-2			mobilier lithique en place (PT785)		Paleotime	25/11/2011	JPG	
OA_5919_PN0336	Zone B	TR07	vue en plan	nord			UPS 4	mobilier lithique en place (PT930)		Paleotime	28/11/2011	JPG	
OA_5919_PN0337	Zone B	TR07	vue en plan	nord			UPS 4	mobilier lithique en place (PT930)		Paleotime	28/11/2011	JPG	
OA_5919_PN0338	Zone A ouest		vue en coupe	est	CP06					Paleotime	28/11/2011	JPG	
OA_5919_PN0339	Zone A ouest		vue en coupe	est	CP06					Paleotime	28/11/2011	JPG	

	Localisation				Description								
Nom photo	Zone	TR	Type de vue	Vue vers	CP	LOG / Locus/ST	UPS	carré / mobilier lithique en place / z=	décapage	Auteur	Date	Extension fichier	Remarques
OA_5919_PN0340	Zone A ouest		vue en coupe	est	CP06					Paleotime	28/11/2011	JPG	
OA_5919_PN0341	Zone A ouest		vue en coupe	est	CP06					Paleotime	28/11/2011	JPG	
OA_5919_PN0342	Zone A ouest		vue générale	sud-est	CP06					Paleotime	28/11/2011	JPG	
OA_5919_PN0343	Zone A ouest		vue générale	sud-est	CP06					Paleotime	28/11/2011	JPG	
OA_5919_PN0344	Zone A ouest		vue générale	nord-est	CP06					Paleotime	28/11/2011	JPG	
OA_5919_PN0345	Zone A ouest		vue en coupe	est	CP06-3					Paleotime	28/11/2011	JPG	
OA_5919_PN0346	Zone A ouest		vue en coupe	est	CP06-3					Paleotime	28/11/2011	JPG	
OA_5919_PN0347	Zone A ouest		vue en coupe	est	CP06	ST07				Paleotime	28/11/2011	JPG	
OA_5919_PN0348	Zone A ouest		vue en coupe	est	CP06	ST07				Paleotime	28/11/2011	JPG	
OA_5919_PN0349	Zone A ouest		vue en coupe	est	CP06	ST07				Paleotime	28/11/2011	JPG	
OA_5919_PN0350	Zone A ouest		vue en coupe	est	CP06	ST08				Paleotime	28/11/2011	JPG	
OA_5919_PN0351	Zone A ouest		vue en coupe	est	CP06	ST08				Paleotime	28/11/2011	JPG	
OA_5919_PN0352	Zone B	TR07	vue en coupe	nord	CP07					Paleotime	28/11/2011	JPG	
OA_5919_PN0353	Zone B	TR07	vue en coupe	nord	CP07					Paleotime	28/11/2011	JPG	
OA_5919_PN0354	Zone B	TR07	vue en coupe	nord	CP07					Paleotime	28/11/2011	JPG	
OA_5919_PN0355	Zone B	TR07	vue en coupe	nord	CP07					Paleotime	28/11/2011	JPG	
OA_5919_PN0356	Zone B	TR07	vue en coupe	nord	CP07					Paleotime	28/11/2011	JPG	
OA_5919_PN0357	Zone B	TR07	vue en coupe	nord	CP07					Paleotime	28/11/2011	JPG	
OA_5919_PN0358	Zone B	TR07	vue en coupe	nord	CP07					Paleotime	28/11/2011	JPG	
OA_5919_PN0359	Zone B	TR07	vue en coupe	nord	CP07					Paleotime	28/11/2011	JPG	
OA_5919_PN0360	Zone B	TR07	vue en coupe	nord	CP07					Paleotime	28/11/2011	JPG	
OA_5919_PN0361	Zone B	TR07	vue en coupe	nord	CP07					Paleotime	28/11/2011	JPG	
OA_5919_PN0362	Zone B	TR07	vue en coupe	nord	CP07					Paleotime	28/11/2011	JPG	
OA_5919_PN0363	Zone B	TR07	vue en coupe	nord	CP07					Paleotime	28/11/2011	JPG	
OA_5919_PN0364	Zone B	TR07	vue en coupe	nord	CP07	Log 07-1				Paleotime	28/11/2011	JPG	
OA_5919_PN0365	Zone B	TR07	vue en coupe	nord	CP07	Log 07-1				Paleotime	28/11/2011	JPG	
OA_5919_PN0366	Zone B	TR07	vue en coupe	nord	CP07	Log 07-1				Paleotime	28/11/2011	JPG	
OA_5919_PN0367	Zone B	TR07	vue en coupe	nord	CP07	Log 07-1				Paleotime	28/11/2011	JPG	
OA_5919_PN0368	Zone B	TR07	vue générale	est						Paleotime	28/11/2011	JPG	
OA_5919_PN0369	Zone A est		vue générale	nord						Paleotime	28/11/2011	JPG	
OA_5919_PN0370	Zone B	TR08	vue en plan	est			UPS 4			Paleotime	29/11/2011	JPG	
OA_5919_PN0371	Zone B	TR08	vue en plan	ouest			UPS 4			Paleotime	29/11/2011	JPG	
OA_5919_PN0372	Zone B	TR08	vue en plan	ouest			UPS 4			Paleotime	29/11/2011	JPG	
OA_5919_PN0373	Zone B	TR08	vue en plan	ouest			UPS 5-6/7			Paleotime	29/11/2011	JPG	
OA_5919_PN0374	Zone B	TR08	vue en plan	ouest			UPS 5-6/7			Paleotime	29/11/2011	JPG	
OA_5919_PN0375	Zone A est		vue en plan	ouest				L3-10	nettoyage	Paleotime	29/11/2011	JPG	
OA_5919_PN0376	Zone A est		vue en plan	ouest				L3-20	nettoyage	Paleotime	29/11/2011	JPG	
OA_5919_PN0377	Zone B	TR08	vue en plan	est			UPS 5/7	mobilier lithique en place (PT1061)		Paleotime	29/11/2011	JPG	
OA_5919_PN0378	Zone B	TR08	vue en plan	est			UPS 5/7	mobilier lithique en place (PT1061)		Paleotime	29/11/2011	JPG	
OA_5919_PN0379	Zone B	TR08	vue oblique	sud-ouest	CP08-1					Paleotime	30/11/2011	JPG	
OA_5919_PN0380	Zone B	TR08	vue oblique	nord-ouest	CP08-1					Paleotime	30/11/2011	JPG	
OA_5919_PN0381	Zone B	TR08	vue en coupe	ouest	CP08-1					Paleotime	30/11/2011	JPG	
OA_5919_PN0382	Zone B	TR08	vue en coupe	ouest	CP08-1					Paleotime	30/11/2011	JPG	
OA_5919_PN0383	Zone B	TR08	vue en coupe	ouest	CP08-1					Paleotime	30/11/2011	JPG	
OA_5919_PN0384	Zone B	TR08	vue en coupe	ouest	CP08-1					Paleotime	30/11/2011	JPG	
OA_5919_PN0385	Zone B	TR08	vue en coupe	ouest	CP08-1					Paleotime	30/11/2011	JPG	
OA_5919_PN0386	Zone B	TR08	vue en coupe	ouest	CP08-1					Paleotime	30/11/2011	JPG	
OA_5919_PN0387	Zone B	TR08	vue en coupe	ouest	CP08-1					Paleotime	30/11/2011	JPG	

	Localisation				Description								
Nom photo	Zone	TR	Type de vue	Vue vers	CP	LOG / Locus/ST	UPS	carré / mobilier lithique en place / z=	décapage	Auteur	Date	Extension fichier	Remarques
OA_5919_PN0388	Zone B	TR08	vue en coupe	ouest	CP08-1					Paleotime	30/11/2011	JPG	
OA_5919_PN0389	Zone B	TR08	vue en coupe	ouest	CP08-1					Paleotime	30/11/2011	JPG	
OA_5919_PN0390	Zone B	TR08	vue en coupe (détail)	ouest	CP08-1	Log 08-1				Paleotime	30/11/2011	JPG	
OA_5919_PN0391	Zone B	TR08	vue en coupe (détail)	ouest	CP08-1	Log 08-1				Paleotime	30/11/2011	JPG	
OA_5919_PN0392	Zone B	TR08	vue en coupe (détail)	ouest	CP08-1	Log 08-1				Paleotime	30/11/2011	JPG	
OA_5919_PN0393	Zone B	TR08	vue en coupe (détail)	ouest	CP08-1	Log 08-1				Paleotime	30/11/2011	JPG	
OA_5919_PN0394	Zone B	TR08	vue en coupe (détail)	ouest	CP08-1	Log 08-1				Paleotime	30/11/2011	JPG	
OA_5919_PN0395	Zone B	TR08	vue en coupe (détail)	ouest	CP08-1	Log 08-1				Paleotime	30/11/2011	JPG	
OA_5919_PN0396	Zone C	TR09	vue en coupe	nord				mobilier lithique en place (PT1080)		Paleotime	30/11/2011	JPG	
OA_5919_PN0397	Zone C	TR09	vue en coupe	nord				mobilier lithique en place (PT1080)		Paleotime	30/11/2011	JPG	
OA_5919_PN0398	Zone A est		vue en plan	est				L3-20a	décapage 1	Paleotime	30/11/2011	JPG	
OA_5919_PN0399	Zone A est		vue en plan	est				L3-20a	décapage 1	Paleotime	30/11/2011	JPG	
OA_5919_PN0400	Zone A est		vue en plan	est				L3-20c	décapage 2	Paleotime	30/11/2011	JPG	
OA_5919_PN0401	Zone A est		vue en plan	est				L3-20c	décapage 2	Paleotime	30/11/2011	JPG	
OA_5919_PN0402	Zone A est		vue en plan	est				L3-20c	décapage 2	Paleotime	30/11/2011	JPG	
OA_5919_PN0403	Zone A est		vue en plan	ouest				L3-30	nettoyage	Paleotime	30/11/2011	JPG	
OA_5919_PN0404	Zone A est		vue en plan	ouest				L3-30	nettoyage	Paleotime	30/11/2011	JPG	
OA_5919_PN0405	Zone A est		vue en plan	est				L3-10c	décapage 1	Paleotime	30/11/2011	JPG	
OA_5919_PN0406	Zone A est		vue en plan	est				L3-10c	décapage 1	Paleotime	30/11/2011	JPG	
OA_5919_PN0407	Zone A est		vue en plan	est				L3-10c	décapage 1	Paleotime	30/11/2011	JPG	
OA_5919_PN0408	Zone C	TR10	vue en plan	nord			UPS 6			Paleotime	01/12/2011	JPG	
OA_5919_PN0409	Zone C	TR10	vue en plan	nord			UPS 6			Paleotime	01/12/2011	JPG	
OA_5919_PN0410	Zone C	TR10	vue en plan	nord			UPS 6			Paleotime	01/12/2011	JPG	
OA_5919_PN0411	Zone C	TR10	vue en plan	nord			UPS 6			Paleotime	01/12/2011	JPG	
OA_5919_PN0412	Zone C	TR10	vue en plan	nord			UPS 6			Paleotime	01/12/2011	JPG	
OA_5919_PN0413	Zone C	TR10	vue en plan	nord			UPS 6			Paleotime	01/12/2011	JPG	
OA_5919_PN0414	Zone C	TR09	vue en coupe	sud	CP09					Paleotime	01/12/2011	JPG	
OA_5919_PN0415	Zone C	TR09	vue en coupe	sud	CP09					Paleotime	01/12/2011	JPG	
OA_5919_PN0416	Zone C	TR09	vue en coupe	sud	CP09					Paleotime	01/12/2011	JPG	
OA_5919_PN0417	Zone C	TR09	vue en coupe	sud	CP09					Paleotime	01/12/2011	JPG	
OA_5919_PN0418	Zone C	TR09	vue en coupe	sud	CP09					Paleotime	01/12/2011	JPG	
OA_5919_PN0419	Zone C	TR09	vue en coupe	sud	CP09					Paleotime	01/12/2011	JPG	
OA_5919_PN0420	Zone C	TR09	vue en coupe	sud	CP09					Paleotime	01/12/2011	JPG	
OA_5919_PN0421	Zone C	TR09	vue en coupe	sud	CP09					Paleotime	01/12/2011	JPG	
OA_5919_PN0422	Zone C	TR09	vue en coupe	sud	CP09					Paleotime	01/12/2011	JPG	
OA_5919_PN0423	Zone C	TR09	vue en coupe	sud	CP09					Paleotime	01/12/2011	JPG	
OA_5919_PN0424	Zone C	TR09	vue en coupe	sud	CP09					Paleotime	01/12/2011	JPG	
OA_5919_PN0425	Zone C	TR09	vue en coupe	sud	CP09					Paleotime	01/12/2011	JPG	
OA_5919_PN0426	Zone C	TR09	vue oblique	sud-est	CP09					Paleotime	01/12/2011	JPG	
OA_5919_PN0427	Zone C	TR09	vue oblique	sud-ouest	CP09					Paleotime	01/12/2011	JPG	
OA_5919_PN0428	Zone C	TR09	vue en coupe	sud	CP09	Log 09-1				Paleotime	01/12/2011	JPG	
OA_5919_PN0429	Zone C	TR09	vue en coupe	sud	CP09	Log 09-1				Paleotime	01/12/2011	JPG	

	Localisation				Description								
Nom photo	Zone	TR	Type de vue	Vue vers	CP	LOG / Locus/ST	UPS	carré / mobilier lithique en place / z=	décapage	Auteur	Date	Extension fichier	Remarques
OA_5919_PN0430	Zone C	TR09	vue en coupe	sud	CP09	Log 09-1				Paleotime	01/12/2011	JPG	
OA_5919_PN0431	Zone C	TR10bis	vue en plan	est		ST09				Paleotime	01/12/2011	JPG	
OA_5919_PN0432	Zone C	TR10bis	vue en plan	est		ST09				Paleotime	01/12/2011	JPG	
OA_5919_PN0433	Zone C	TR10bis	vue en plan (détail)	est		ST09				Paleotime	01/12/2011	JPG	
OA_5919_PN0434	Zone C	TR10bis	vue en plan (détail)	est		ST09				Paleotime	01/12/2011	JPG	
OA_5919_PN0435	Zone C	TR09	vue oblique	sud-est	CP09					Paleotime	02/12/2011	JPG	
OA_5919_PN0436	Zone C	TR09	vue oblique	sud-ouest	CP09					Paleotime	02/12/2011	JPG	
OA_5919_PN0437	Zone C	TR09	vue oblique	sud-ouest	CP09					Paleotime	02/12/2011	JPG	
OA_5919_PN0438	Zone C	TR09	vue oblique	sud-est	CP09					Paleotime	02/12/2011	JPG	
OA_5919_PN0439	Zone C	TR10	vue en coupe	est	CP10					Paleotime	05/12/2011	JPG	
OA_5919_PN0440	Zone C	TR10	vue en coupe	est	CP10					Paleotime	05/12/2011	JPG	
OA_5919_PN0441	Zone C	TR10	vue en coupe	est	CP10					Paleotime	05/12/2011	JPG	
OA_5919_PN0442	Zone C	TR10	vue en coupe	est	CP10					Paleotime	05/12/2011	JPG	
OA_5919_PN0443	Zone C	TR10	vue en coupe	est	CP10					Paleotime	05/12/2011	JPG	
OA_5919_PN0444	Zone C	TR10	vue en coupe	est	CP10					Paleotime	05/12/2011	JPG	
OA_5919_PN0445	Zone C	TR10	vue en coupe	est	CP10					Paleotime	05/12/2011	JPG	
OA_5919_PN0446	Zone C	TR10	vue en coupe	est	CP10					Paleotime	05/12/2011	JPG	
OA_5919_PN0447	Zone C	TR10	vue en coupe	est	CP10					Paleotime	05/12/2011	JPG	
OA_5919_PN0448	Zone C	TR10	vue en coupe	est	CP10					Paleotime	05/12/2011	JPG	
OA_5919_PN0449	Zone C	TR10	vue en coupe	est	CP10					Paleotime	05/12/2011	JPG	
OA_5919_PN0450	Zone C	TR10	vue en coupe	est	CP10					Paleotime	05/12/2011	JPG	
OA_5919_PN0451	Zone C	TR10	vue en coupe	est	CP10					Paleotime	05/12/2011	JPG	
OA_5919_PN0452	Zone C	TR10	vue en coupe	est	CP10					Paleotime	05/12/2011	JPG	
OA_5919_PN0453	Zone C	TR10	vue en coupe	est	CP10	Log 10-1				Paleotime	05/12/2011	JPG	
OA_5919_PN0454	Zone C	TR10	vue en coupe	est	CP10	Log 10-1				Paleotime	05/12/2011	JPG	
OA_5919_PN0455	Zone C	TR10	vue en coupe (détail)	est	CP10	Log 10-1				Paleotime	05/12/2011	JPG	
OA_5919_PN0456	Zone C	TR10	vue en coupe (détail)	est	CP10	Log 10-1				Paleotime	05/12/2011	JPG	
OA_5919_PN0457	Zone C	TR10	vue en coupe (détail)	est	CP10	Log 10-1				Paleotime	05/12/2011	JPG	
OA_5919_PN0458	Zone C	TR10	vue en coupe (détail)	est	CP10	Log 10-1				Paleotime	05/12/2011	JPG	
OA_5919_PN0459	Zone C	TR10	vue en coupe (détail)	est	CP10	Log 10-1				Paleotime	05/12/2011	JPG	
OA_5919_PN0460	Zone C	TR10	vue en coupe (détail)	est	CP10	Log 10-1				Paleotime	05/12/2011	JPG	
OA_5919_PN0461	Zone C	TR10	vue en coupe (détail)	est	CP10	Log 10-1				Paleotime	05/12/2011	JPG	
OA_5919_PN0462	Zone C	TR10 et 10bis	vue générale	nord						Paleotime	05/12/2011	JPG	
OA_5919_PN0463	Zone C	TR10 et 10bis	vue en plan	nord		Locus 1 et 2		mobilier lithique en place	découverte	Paleotime	05/12/2011	JPG	
OA_5919_PN0464	Zone C	TR10 et 10bis	vue en plan	nord		Locus 1 et 2		mobilier lithique en place	découverte	Paleotime	05/12/2011	JPG	
OA_5919_PN0465	Zone C	TR10	vue en plan	nord		Locus 1	UPS 4 base-UPS 5 sommet	mobilier lithique en place	découverte	Paleotime	05/12/2011	JPG	

	Localisation				Description								
Nom photo	Zone	TR	Type de vue	Vue vers	CP	LOG / Locus/ST	UPS	carré / mobilier lithique en place / z=	décapage	Auteur	Date	Extension fichier	Remarques
OA_5919_PN0466	Zone C	TR10	vue en plan	nord		Locus 1	UPS 4 base-UPS 5 sommet	mobilier lithique en place	découverte	Paleotime	05/12/2011	JPG	
OA_5919_PN0467	Zone C	TR10	vue en plan	nord		Locus 1	UPS 4 base-UPS 5 sommet	mobilier lithique en place	découverte	Paleotime	05/12/2011	JPG	
OA_5919_PN0468	Zone C	TR10bis	vue en plan	nord		Locus 2	UPS 4	mobilier lithique en place	découverte	Paleotime	05/12/2011	JPG	
OA_5919_PN0469	Zone C	TR10bis	vue en plan	nord		Locus 2	UPS 4	mobilier lithique en place	découverte	Paleotime	05/12/2011	JPG	
OA_5919_PN0470	Zone C	TR10bis	vue en plan	nord		Locus 2	UPS 4	mobilier lithique en place	découverte	Paleotime	05/12/2011	JPG	
OA_5919_PN0471	Zone C	TR10 et 10bis	vue en plan	nord		Locus 1 et 2	UPS 4	mobilier lithique en place	découverte	Paleotime	05/12/2011	JPG	
OA_5919_PN0472	Zone C	TR10 et 10bis	vue en plan	nord		Locus 1 et 2	UPS 4	mobilier lithique en place	découverte	Paleotime	05/12/2011	JPG	
OA_5919_PN0473	Zone C	TR10bis	vue en plan	nord		Locus 2	UPS 4	mobilier lithique en place	découverte	Paleotime	05/12/2011	JPG	
OA_5919_PN0474	Zone D		vue en plan	sud			UPS 2/4	mobilier lithique en place	découverte	Paleotime	07/12/2011	JPG	
OA_5919_PN0475	Zone D		vue en plan	sud			UPS 2/4	mobilier lithique en place	découverte	Paleotime	07/12/2011	JPG	
OA_5919_PN0476	Zone D		vue en plan	sud			UPS 2/4	mobilier lithique en place	découverte	Paleotime	07/12/2011	JPG	
OA_5919_PN0477	Zone D		vue en plan	sud			UPS 2/4	mobilier lithique en place	découverte	Paleotime	07/12/2011	JPG	
OA_5919_PN0478	Zone D		vue en plan	sud			UPS 2/4	mobilier lithique en place	découverte	Paleotime	07/12/2011	JPG	
OA_5919_PN0479	Zone D		vue en plan	sud			UPS 2/4	mobilier lithique en place	découverte	Paleotime	07/12/2011	JPG	
OA_5919_PN0480	Zone D		vue en plan	sud			UPS 2/4	mobilier lithique en place	découverte	Paleotime	07/12/2011	JPG	
OA_5919_PN0481	Zone D		vue en plan	sud			UPS 2/4	mobilier lithique en place	découverte	Paleotime	07/12/2011	JPG	
OA_5919_PN0482	Zone D		vue en plan (détail)	sud			UPS 2/4	mobilier lithique en place	découverte	Paleotime	07/12/2011	JPG	

	Localisation				Description								
Nom photo	Zone	TR	Type de vue	Vue vers	CP	LOG / Locus/ST	UPS	carré / mobilier lithique en place / z=	décapage	Auteur	Date	Extension fichier	Remarques
OA_5919_PN0483	Zone D		vue en plan	nord			UPS 2/4	mobilier lithique en place	découverte	Paleotime	07/12/2011	JPG	
OA_5919_PN0484	Zone A est		vue en plan (détail)	sud				L3-29/28/19/18	décapage 4	Paleotime	08/12/2011	JPG	
OA_5919_PN0485	Zone A est		vue en plan	nord				L3-27	décapage 4	Paleotime	08/12/2011	JPG	
OA_5919_PN0486	Zone A est		vue en plan	nord				L3-27	décapage 4	Paleotime	08/12/2011	JPG	
OA_5919_PN0487	Zone A est		vue en plan	nord				L3-27	décapage 4	Paleotime	08/12/2011	JPG	
OA_5919_PN0488	Zone A est		vue en plan	nord				L3-27	décapage 4	Paleotime	08/12/2011	JPG	
OA_5919_PN0489	Zone A est		vue en plan	nord				L3-28	décapage 4	Paleotime	08/12/2011	JPG	
OA_5919_PN0490	Zone A est		vue en plan	nord				L3-28	décapage 4	Paleotime	08/12/2011	JPG	
OA_5919_PN0491	Zone A est		vue en plan	nord				L3-28	décapage 4	Paleotime	08/12/2011	JPG	
OA_5919_PN0492	Zone A est		vue en plan	nord				L3-29	décapage 4	Paleotime	08/12/2011	JPG	
OA_5919_PN0493	Zone A est		vue en plan	sud				L3-19	décapage 4	Paleotime	08/12/2011	JPG	
OA_5919_PN0494	Zone A est		vue en plan	sud				L3-19	décapage 4	Paleotime	08/12/2011	JPG	
OA_5919_PN0495	Zone A est		vue en plan	sud				L3-18	décapage 4	Paleotime	08/12/2011	JPG	
OA_5919_PN0496	Zone A est		vue en plan	sud				L3-18	décapage 4	Paleotime	08/12/2011	JPG	
OA_5919_PN0497	Zone A est		vue en plan	sud				L3-18	décapage 4	Paleotime	08/12/2011	JPG	
OA_5919_PN0498	Zone A est		vue en plan	sud				L3-17	décapage 4	Paleotime	08/12/2011	JPG	
OA_5919_PN0499	Zone A est		vue en plan	sud				L3-17	décapage 4	Paleotime	08/12/2011	JPG	
OA_5919_PN0500	Zone A est		vue en plan	sud				L3-18/19/28/29	décapage 4	Paleotime	08/12/2011	JPG	
OA_5919_PN0501	Zone A est		vue en plan	sud				L3-18/19/28/29	décapage 4	Paleotime	08/12/2011	JPG	
OA_5919_PN0502	Zone A est		vue en plan	sud				L3-18/19/28/29	décapage 4	Paleotime	08/12/2011	JPG	
OA_5919_PN0503	Zone A est		vue en plan	sud				L3-18/19/28/29	décapage 4	Paleotime	08/12/2011	JPG	
OA_5919_PN0504	Zone B		vue en plan	sud		Locus 3		mobilier lithique en place	découverte	Paleotime	08/12/2011	JPG	
OA_5919_PN0505	Zone B		vue en plan	est		Locus 3		mobilier lithique en place	découverte	Paleotime	08/12/2011	JPG	
OA_5919_PN0506	Zone B		vue en plan	sud		Locus 3		mobilier lithique en place	découverte	Paleotime	08/12/2011	JPG	
OA_5919_PN0507	Zone B		vue en plan	sud		Locus 3		mobilier lithique en place	découverte	Paleotime	08/12/2011	JPG	
OA_5919_PN0508	Zone B		vue en plan	sud		Locus 3		mobilier lithique en place	découverte	Paleotime	08/12/2011	JPG	
OA_5919_PN0509	Zone B		vue en plan	sud		Locus 3		mobilier lithique en place	découverte	Paleotime	08/12/2011	JPG	
OA_5919_PN0510	Zone B		vue en coupe	ouest	CP11-1					Paleotime	09/12/2011	JPG	
OA_5919_PN0511	Zone B		vue en coupe	ouest	CP11-1					Paleotime	09/12/2011	JPG	
OA_5919_PN0512	Zone B		vue en coupe	ouest	CP11-1					Paleotime	09/12/2011	JPG	
OA_5919_PN0513	Zone B		vue en coupe	ouest	CP11-1					Paleotime	09/12/2011	JPG	
OA_5919_PN0514	Zone B		vue en coupe	ouest	CP11-1					Paleotime	09/12/2011	JPG	
OA_5919_PN0515	Zone B		vue en coupe	ouest	CP11-1					Paleotime	09/12/2011	JPG	
OA_5919_PN0516	Zone B		vue en coupe	ouest	CP11-1					Paleotime	09/12/2011	JPG	
OA_5919_PN0517	Zone B		vue en coupe	ouest	CP11-1					Paleotime	09/12/2011	JPG	
OA_5919_PN0518	Zone B		vue en coupe	ouest	CP11-1	Log 11-1				Paleotime	09/12/2011	JPG	
OA_5919_PN0519	Zone B		vue en coupe	ouest	CP11-1	Log 11-1				Paleotime	09/12/2011	JPG	

	Localisation				Description								
Nom photo	Zone	TR	Type de vue	Vue vers	CP	LOG / Locus/ST	UPS	carré / mobilier lithique en place / z=	décapage	Auteur	Date	Extension fichier	Remarques
OA_5919_PN0520	Zone B		vue en coupe (détail)	ouest	CP11-1	Log 11-1				Paleotime	09/12/2011	JPG	
OA_5919_PN0521	Zone B		vue en coupe (détail)	ouest	CP11-1	Log 11-1				Paleotime	09/12/2011	JPG	
OA_5919_PN0522	Zone B		vue en coupe (détail)	ouest	CP11-1	Log 11-1				Paleotime	09/12/2011	JPG	
OA_5919_PN0523	Zone A est		vue en plan	sud				L3-26c-d	décapage 5	Paleotime	12/12/2011	JPG	
OA_5919_PN0524	Zone A est		vue en plan	sud				L3-26c-d	décapage 5	Paleotime	12/12/2011	JPG	
OA_5919_PN0525	Zone A est		vue en plan (détail)	sud				L3-26c-d	décapage 5	Paleotime	12/12/2011	JPG	
OA_5919_PN0526	Zone A est		vue en plan (détail)	sud				L3-26c-d	décapage 5	Paleotime	12/12/2011	JPG	
OA_5919_PN0527	Zone A est		vue en plan (détail)	sud				L3-26c-d	décapage 5	Paleotime	12/12/2011	JPG	
OA_5919_PN0528	Zone A est		vue en plan	nord				L3-26c-d	décapage 5	Paleotime	12/12/2011	JPG	
OA_5919_PN0529	Zone A est		vue en plan	nord				L3-19	décapage 5	Paleotime	12/12/2011	JPG	
OA_5919_PN0530	Zone A est		vue en plan	nord				L3-29	décapage 5	Paleotime	12/12/2011	JPG	
OA_5919_PN0531	Zone A est		vue en plan	nord				L3-29	décapage 5	Paleotime	12/12/2011	JPG	
OA_5919_PN0532	Zone A est		vue en plan	nord				L3-28	décapage 5	Paleotime	12/12/2011	JPG	
OA_5919_PN0533	Zone A est		vue en plan (détail)	nord				L3-19/28/29	décapage 5	Paleotime	12/12/2011	JPG	
OA_5919_PN0534	Zone A est		vue en plan (détail)	nord				L3-19/28/29	décapage 5	Paleotime	12/12/2011	JPG	
OA_5919_PN0535	Zone A est		vue en plan	est				L3-18	décapage 6	Paleotime	13/12/2011	JPG	
OA_5919_PN0536	Zone A est		vue en plan	est				L3-28	décapage 6	Paleotime	13/12/2011	JPG	
OA_5919_PN0537	Zone A est		vue en plan	est				L3-29	décapage 6	Paleotime	13/12/2011	JPG	
OA_5919_PN0538	Zone A est		vue en plan	est				L3-19	décapage 6	Paleotime	13/12/2011	JPG	
OA_5919_PN0539	Zone A est		vue en plan (détail)	est				L3-19	décapage 6	Paleotime	13/12/2011	JPG	
OA_5919_PN0540	Zone A est		vue en plan (détail)	sud				L3-18c	décapage 6	Paleotime	13/12/2011	JPG	
OA_5919_PN0541	Zone A est		vue en plan (détail)	ouest				L3-09	décapage 7	Paleotime	14/12/2011	JPG	
OA_5919_PN0542	Zone A est		vue en plan	ouest				L3-09	décapage 7	Paleotime	14/12/2011	JPG	
OA_5919_PN0543	Zone A est		vue en plan	est				L3-09	décapage 7	Paleotime	14/12/2011	JPG	
OA_5919_PN0544	Zone A est		vue en plan	ouest				L3-09	décapage 7	Paleotime	14/12/2011	JPG	
OA_5919_PN0545	Zone A est		vue en plan	est				K3-99b	décapage 2 éq. 5	Paleotime	14/12/2011	JPG	
OA_5919_PN0546	Zone A est		vue en plan	est				K3-99	décapage 2 éq. 5	Paleotime	14/12/2011	JPG	
OA_5919_PN0547	Zone A est		vue en plan	est				K3-99b	décapage 2 éq. 5	Paleotime	14/12/2011	JPG	
OA_5919_PN0548	Zone A est		vue en plan	est				K3-99b	décapage 2 éq. 5	Paleotime	14/12/2011	JPG	
OA_5919_PN0549	Zone A est		vue oblique	est				K3-99b	décapage 2 éq. 5	Paleotime	14/12/2011	JPG	
OA_5919_PN0550	Zone A est		vue oblique	nord-est				K3-99b	décapage 2 éq. 5	Paleotime	14/12/2011	JPG	
OA_5919_PN0551	Zone A est		vue en plan (détail)	est				K3-99b	décapage 2 éq. 5	Paleotime	14/12/2011	JPG	
OA_5919_PN0552	Zone A est		vue en plan (détail)	est				K3-99b	décapage 2 éq. 5	Paleotime	14/12/2011	JPG	

	Localisation				Description								
Nom photo	Zone	TR	Type de vue	Vue vers	CP	LOG / Locus/ST	UPS	carré / mobilier lithique en place / z=	décapage	Auteur	Date	Extension fichier	Remarques
OA_5919_PN0553	Zone A est		vue en plan (détail)	nord				K3-99b	décapage 2 éq. 5	Paleotime	14/12/2011	JPG	
OA_5919_PN0554	Zone A est		vue générale	sud				K3-99	décapage 2 éq. 5	Paleotime	14/12/2011	JPG	
OA_5919_PN0555	Zone A est		vue générale	sud				K3-99	décapage 2 éq. 5	Paleotime	14/12/2011	JPG	
OA_5919_PN0556	Zone B		vue en plan	est		Locus 3	UPS 7	mobilier lithique en place	décapage 1	Paleotime	15/12/2011	JPG	
OA_5919_PN0557	Zone B		vue en plan	est		Locus 3	UPS 7	mobilier lithique en place	décapage 1	Paleotime	15/12/2011	JPG	
OA_5919_PN0558	Zone B		vue en plan	est		Locus 3	UPS 7	mobilier lithique en place	décapage 1	Paleotime	15/12/2011	JPG	
OA_5919_PN0559	Zone B		vue en plan	est		Locus 3	UPS 7	mobilier lithique en place	décapage 1	Paleotime	15/12/2011	JPG	
OA_5919_PN0560	Zone B		vue oblique	est		Locus 3	UPS 7	mobilier lithique en place	décapage 1	Paleotime	15/12/2011	JPG	
OA_5919_PN0561	Zone B		vue oblique	est		Locus 3	UPS 7	mobilier lithique en place	décapage 1	Paleotime	15/12/2011	JPG	
OA_5919_PN0562	Zone B		vue en plan	est		Locus 3	UPS 7	mobilier lithique en place	décapage 2	Paleotime	15/12/2011	JPG	
OA_5919_PN0563	Zone B		vue en plan	est		Locus 3	UPS 7	mobilier lithique en place	décapage 2	Paleotime	15/12/2011	JPG	
OA_5919_PN0564	Zone B		vue en plan	est		Locus 3	UPS 7	mobilier lithique en place	décapage 2	Paleotime	15/12/2011	JPG	
OA_5919_PN0565	Zone B		vue en plan	est		Locus 3	UPS 7	mobilier lithique en place	décapage 2	Paleotime	15/12/2011	JPG	
OA_5919_PN0566	Zone B		vue oblique	est		Locus 3	UPS 7	mobilier lithique en place	décapage 2	Paleotime	15/12/2011	JPG	
OA_5919_PN0567	Zone B		vue oblique	est		Locus 3	UPS 7	mobilier lithique en place	décapage 2	Paleotime	15/12/2011	JPG	
OA_5919_PN0568	Zone B	TR11	vue en plan	est		Locus 4	UPS 4	mobilier lithique en place	décapage 1	Paleotime	15/12/2011	JPG	
OA_5919_PN0569	Zone B	TR11	vue en plan	est		Locus 4	UPS 4	mobilier lithique en place	décapage 1	Paleotime	15/12/2011	JPG	
OA_5919_PN0570	Zone B	TR11	vue en plan	ouest		Locus 4	UPS 4	mobilier lithique en place	décapage 1	Paleotime	15/12/2011	JPG	

	Localisation				Description									
Nom photo	Zone	TR	Type de vue	Vue vers	CP	LOG / Locus/ST	UPS	carré / mobilier lithique en place / z=	décapage	Auteur	Date	Extension fichier	Remarques
OA_5919_PN0571	Zone B	TR11	vue en plan	nord		Locus 4	UPS 4	mobilier lithique en place	décapage 1	Paleotime	15/12/2011	JPG	
OA_5919_PN0572	Zone B	TR11	vue oblique	nord		Locus 4	UPS 4	mobilier lithique en place	décapage 1	Paleotime	15/12/2011	JPG	
OA_5919_PN0573	Zone B	TR11	vue oblique	est		Locus 4	UPS 4	mobilier lithique en place	décapage 1	Paleotime	15/12/2011	JPG	
OA_5919_PN0574	Zone B	TR11	vue en plan	ouest		Locus 4	UPS 4	mobilier lithique en place	décapage 1	Paleotime	15/12/2011	JPG	
OA_5919_PN0575	Zone B	TR11	vue oblique	sud		Locus 4	UPS 4	mobilier lithique en place	décapage 1	Paleotime	15/12/2011	JPG	
OA_5919_PN0576	Zone B		vue en plan	est		Locus 3	UPS 7	mobilier lithique en place	décapage 3	Paleotime	15/12/2011	JPG	
OA_5919_PN0577	Zone B		vue en plan	est		Locus 3	UPS 7	mobilier lithique en place	décapage 3	Paleotime	15/12/2011	JPG	
OA_5919_PN0578	Zone B		vue oblique	est		Locus 3	UPS 7	mobilier lithique en place	décapage 3	Paleotime	15/12/2011	JPG	
OA_5919_PN0579	Zone B		vue oblique	est		Locus 3	UPS 7	mobilier lithique en place	décapage 3	Paleotime	15/12/2011	JPG	
OA_5919_PN0580	Zone B		vue en plan	sud-ouest		Locus 5	UPS 4	mobilier lithique en place	découverte	Paleotime	15/12/2011	JPG	
OA_5919_PN0581	Zone B		vue en plan	sud-ouest		Locus 5	UPS 4	mobilier lithique en place	découverte	Paleotime	15/12/2011	JPG	
OA_5919_PN0582	Zone A est		vue en plan	sud			interface1b/4	mobilier lithique en place		Paleotime	19/12/2011	JPG	
OA_5919_PN0583	Zone A est		vue en plan	sud			interface1b/4	mobilier lithique en place		Paleotime	19/12/2011	JPG	
OA_5919_PN0584	Zone A est		vue en plan	est				K3-99b	décapage 3 éq. 6	Paleotime	19/12/2011	JPG	Erreur sur la plaque photo : il s'agit de la Zone A est et non de la Zone A ouest.
OA_5919_PN0585	Zone A est		vue en plan	est				K3-99	décapage 3 éq. 6	Paleotime	19/12/2011	JPG	Erreur sur la plaque photo : il s'agit de la Zone A est et non de la Zone A ouest.

	Localisation				Description								
Nom photo	Zone	TR	Type de vue	Vue vers	CP	LOG / Locus/ST	UPS	carré / mobilier lithique en place / z=	décapage	Auteur	Date	Extension fichier	Remarques
OA_5919_PN0586	Zone A est		vue en plan	est				K3-99	décapage 3 éq. 6	Paleotime	19/12/2011	JPG	Erreur sur la plaque photo : il s'agit de la Zone A est et non de la Zone A ouest.
OA_5919_PN0587	Zone A est		vue en plan	est				K3-99b	décapage 3 éq. 6	Paleotime	19/12/2011	JPG	Erreur sur la plaque photo : il s'agit de la Zone A est et non de la Zone A ouest.
OA_5919_PN0588	Zone A est		vue en plan (détail)	est				K3-99b	décapage 3 éq. 6	Paleotime	19/12/2011	JPG	
OA_5919_PN0589	Zone A est		vue oblique (détail)	est				K3-99b	décapage 3 éq. 6	Paleotime	19/12/2011	JPG	
OA_5919_PN0590	Zone A est		vue en plan	est				K3-89d	décapage 2 éq. 5	Paleotime	19/12/2011	JPG	Erreur sur la plaque photo : il s'agit de la Zone A est et non de la Zone A ouest.
OA_5919_PN0591	Zone A est		vue en plan	sud				K3-89	décapage 2 éq. 5	Paleotime	20/12/2011	JPG	
OA_5919_PN0592	Zone A est		vue en plan	sud				K3-88	décapage 2 éq. 5	Paleotime	20/12/2011	JPG	
OA_5919_PN0593	Zone A est		vue en plan	sud				K3-88/89	décapage 2 éq. 5	Paleotime	20/12/2011	JPG	
OA_5919_PN0594	Zone A est		vue en plan	nord				K3-99	décapage 4 éq. 7	Paleotime	21/12/2011	JPG	
OA_5919_PN0595	Zone A est		vue en plan	sud				K3-89	décapage 3 éq. 6	Paleotime	21/12/2011	JPG	
OA_5919_PN0596	Zone A est		vue en plan	sud				K3-88	décapage 3 éq. 6	Paleotime	21/12/2011	JPG	
OA_5919_PN0597	Zone A est		vue en plan	sud				K3-88	décapage 3 éq. 6	Paleotime	21/12/2011	JPG	
OA_5919_PN0598	Zone A est		vue en plan	sud				K3-88/89	décapage 3 éq. 6	Paleotime	21/12/2011	JPG	
OA_5919_PN0599	Zone B		vue oblique	nord-ouest		Locus 7	UPS 4	mobilier lithique en place	décapage 1	Paleotime	22/12/2011	JPG	
OA_5919_PN0600	Zone B		vue oblique	nord-ouest		Locus 7	UPS 4	mobilier lithique en place	décapage 1	Paleotime	22/12/2011	JPG	
OA_5919_PN0601	Zone B		vue oblique	nord-ouest		Locus 7	UPS 4	mobilier lithique en place	décapage 1	Paleotime	22/12/2011	JPG	
OA_5919_PN0602	Zone B		vue oblique	nord-ouest		Locus 7	UPS 4	mobilier lithique en place	décapage 1	Paleotime	22/12/2011	JPG	

	Localisation				Description								
Nom photo	Zone	TR	Type de vue	Vue vers	CP	LOG / Locus/ST	UPS	carré / mobilier lithique en place / z=	décapage	Auteur	Date	Extension fichier	Remarques
OA_5919_PN0603	Zone B		vue en plan	ouest		Locus 7	UPS 4	mobilier lithique en place	décapage 1	Paleotime	22/12/2011	JPG	
OA_5919_PN0604	Zone B		vue oblique	nord		Locus 7	UPS 4	mobilier lithique en place	décapage 1	Paleotime	22/12/2011	JPG	
OA_5919_PN0605	Zone B		vue en plan	est		Locus 7	UPS 4	mobilier lithique en place	décapage 1	Paleotime	22/12/2011	JPG	
OA_5919_PN0606	Zone B		vue en plan	est		Locus 7	UPS 4	mobilier lithique en place	décapage 1	Paleotime	22/12/2011	JPG	
OA_5919_PN0607	Zone A est et Berme A/C		vue générale	nord-ouest						Paleotime	22/12/2011	JPG	
OA_5919_PN0608	Zone B		vue générale	nord-est						Paleotime	22/12/2011	JPG	
OA_5919_PN0609	Zone B		vue générale	est						Paleotime	22/12/2011	JPG	
OA_5919_PN0610	Zone B		vue en plan	est		Locus 7	UPS 4	mobilier lithique en place	décapage 1	Paleotime	22/12/2011	JPG	
OA_5919_PN0611	Zone B		vue en plan	est		Locus 7	UPS 4	mobilier lithique en place	décapage 1	Paleotime	22/12/2011	JPG	
OA_5919_PN0612	Zone B		vue en plan (détail)	est		Locus 7	UPS 4	mobilier lithique en place	décapage 1	Paleotime	22/12/2011	JPG	
OA_5919_PN0613	Zone B		vue en plan (détail)	nord-est		Locus 7	UPS 4	mobilier lithique en place	décapage 1	Paleotime	22/12/2011	JPG	
OA_5919_PN0614	Zone B		vue oblique (détail)	nord-ouest		Locus 7	UPS 4	mobilier lithique en place	décapage 1	Paleotime	22/12/2011	JPG	
OA_5919_PN0615	Berme A/B		vue en plan	sud		Locus 6	UPS 4 sommet	mobilier lithique en place	décapage 1	Paleotime	22/12/2011	JPG	
OA_5919_PN0616	Berme A/B		vue en plan	nord-est		Locus 6	UPS 4 sommet	mobilier lithique en place	décapage 1	Paleotime	22/12/2011	JPG	
OA_5919_PN0617	Berme A/B		vue en plan	sud		Locus 6	UPS 4 sommet	mobilier lithique en place	décapage 1	Paleotime	22/12/2011	JPG	
OA_5919_PN0618	Berme A/B		vue en plan	nord-est		Locus 6	UPS 4 sommet	mobilier lithique en place	décapage 1	Paleotime	22/12/2011	JPG	
OA_5919_PN0619	Zone B		vue en plan	sud-est		Locus 5	UPS 4	mobilier lithique en place	décapage 1	Paleotime	22/12/2011	JPG	
OA_5919_PN0620	Zone B		vue en plan	sud-ouest		Locus 5	UPS 4	mobilier lithique en place	décapage 1	Paleotime	22/12/2011	JPG	
OA_5919_PN0621	Zone B		vue en plan	sud-ouest		Locus 5	UPS 4	mobilier lithique en place	décapage 1	Paleotime	22/12/2011	JPG	

	Localisation				Description								
Nom photo	Zone	TR	Type de vue	Vue vers	CP	LOG / Locus/ST	UPS	carré / mobilier lithique en place / z=	décapage	Auteur	Date	Extension fichier	Remarques
OA_5919_PN0622	Zone B		vue en plan (détail)	sud-ouest		Locus 5	UPS 4	mobilier lithique en place	décapage 1	Paleotime	22/12/2011	JPG	
OA_5919_PN0623	Zone B		vue en plan	sud-est		Locus 5	UPS 4	mobilier lithique en place	décapage 1	Paleotime	22/12/2011	JPG	
OA_5919_PN0624	Zone B		vue en plan	sud-est		Locus 5	UPS 4	mobilier lithique en place	décapage 1	Paleotime	22/12/2011	JPG	
OA_5919_PN0625	Zone B		vue oblique	sud-est		Locus 5	UPS 4	mobilier lithique en place	décapage 1	Paleotime	22/12/2011	JPG	
OA_5919_PN0626	Zone B		vue oblique	sud-est		Locus 5	UPS 4	mobilier lithique en place	décapage 1	Paleotime	22/12/2011	JPG	
OA_5919_PN0627	Zone B		vue en plan	nord		Locus 5	UPS 4	mobilier lithique en place	décapage 1	Paleotime	22/12/2011	JPG	
OA_5919_PN0628	Berme A/B		vue générale	nord						Paleotime	04/01/2012	JPG	
OA_5919_PN0629	Zone B		vue générale	nord-est						Paleotime	04/01/2012	JPG	
OA_5919_PN0630	Zone B		vue générale	nord-est						Paleotime	04/01/2012	JPG	
OA_5919_PN0631	Zone B		vue oblique	ouest		Locus 3	UPS 7	mobilier lithique en place	décapage 3	Paleotime	04/01/2012	JPG	
OA_5919_PN0632	Zone B		vue oblique	ouest		Locus 3	UPS 7	mobilier lithique en place	décapage 3	Paleotime	04/01/2012	JPG	
OA_5919_PN0633	Zone B		vue en plan	est		Locus 3	UPS 7	mobilier lithique en place	décapage 3	Paleotime	04/01/2012	JPG	
OA_5919_PN0634	Zone B		vue en plan	est		Locus 3	UPS 7	mobilier lithique en place	décapage 3	Paleotime	04/01/2012	JPG	
OA_5919_PN0635	Zone B		vue en coupe	ouest		Locus 3	UPS 7	mobilier lithique en place	décapage 3	Paleotime	04/01/2012	JPG	
OA_5919_PN0636	Zone B		vue en coupe	ouest		Locus 3	UPS 7	mobilier lithique en place	décapage 3	Paleotime	04/01/2012	JPG	
OA_5919_PN0637	Zone B		vue oblique	ouest		Locus 3	UPS 7	mobilier lithique en place	décapage 3	Paleotime	04/01/2012	JPG	
OA_5919_PN0638	Zone B		vue oblique	ouest		Locus 3	UPS 7	mobilier lithique en place	décapage 3	Paleotime	04/01/2012	JPG	
OA_5919_PN0639	Zone B		vue oblique	ouest		Locus 3	UPS 7	mobilier lithique en place	décapage 4	Paleotime	04/01/2012	JPG	
OA_5919_PN0640	Zone B		vue oblique	ouest		Locus 3	UPS 7	mobilier lithique en place	décapage 4	Paleotime	04/01/2012	JPG	

	Localisation				Description								
Nom photo	Zone	TR	Type de vue	Vue vers	CP	LOG / Locus/ST	UPS	carré / mobilier lithique en place / z=	décapage	Auteur	Date	Extension fichier	Remarques
OA_5919_PN0641	Zone B		vue en plan	est		Locus 3	UPS 7	mobilier lithique en place	décapage 4	Paleotime	04/01/2012	JPG	
OA_5919_PN0642	Zone B		vue en plan	est		Locus 3	UPS 7	mobilier lithique en place	décapage 4	Paleotime	04/01/2012	JPG	
OA_5919_PN0643	Zone B		vue en coupe	ouest	CP11	Log 11-1(bis)	UPS 7			Paleotime	05/01/2012	JPG	
OA_5919_PN0644	Zone B		vue en coupe	ouest	CP11	Log 11-1(bis)	UPS 7			Paleotime	05/01/2012	JPG	
OA_5919_PN0645	Zone B		vue oblique	sud-ouest	CP11	Log 11-1(bis)	UPS 7			Paleotime	05/01/2012	JPG	
OA_5919_PN0646	Zone B		vue en coupe	ouest	CP08					Paleotime	06/01/2012	JPG	
OA_5919_PN0647	Zone B		vue en coupe	ouest	CP08					Paleotime	06/01/2012	JPG	
OA_5919_PN0648	Zone B		vue en coupe	ouest	CP08					Paleotime	06/01/2012	JPG	
OA_5919_PN0649	Zone B		vue en coupe	ouest	CP08					Paleotime	06/01/2012	JPG	
OA_5919_PN0650	Zone B		vue en coupe	ouest	CP08					Paleotime	06/01/2012	JPG	
OA_5919_PN0651	Zone B		vue en coupe	ouest	CP08					Paleotime	06/01/2012	JPG	
OA_5919_PN0652	Zone B		vue en coupe	ouest	CP08					Paleotime	06/01/2012	JPG	
OA_5919_PN0653	Zone B		vue en coupe	ouest	CP08					Paleotime	06/01/2012	JPG	
OA_5919_PN0654	Zone B		vue en coupe	ouest	CP08					Paleotime	06/01/2012	JPG	
OA_5919_PN0655	Zone B		vue en coupe	ouest	CP08					Paleotime	06/01/2012	JPG	
OA_5919_PN0656	Zone B		vue en coupe	ouest	CP08					Paleotime	06/01/2012	JPG	
OA_5919_PN0657	Zone B		vue en coupe	ouest	CP08					Paleotime	06/01/2012	JPG	
OA_5919_PN0658	Zone B		vue en coupe	ouest	CP08	Log 08-2				Paleotime	06/01/2012	JPG	
OA_5919_PN0659	Zone B		vue en coupe	ouest	CP08	Log 08-2				Paleotime	06/01/2012	JPG	
OA_5919_PN0660	Zone B		vue en coupe	ouest	CP08	Log 08-2				Paleotime	06/01/2012	JPG	
OA_5919_PN0661	Zone B		vue oblique	nord-ouest	CP08					Paleotime	06/01/2012	JPG	
OA_5919_PN0662	Zone B		vue oblique	nord-ouest	CP08					Paleotime	06/01/2012	JPG	
OA_5919_PN0663	Zone B		vue en coupe (détail)	nord-ouest	CP08	Log 08-2				Paleotime	09/01/2012	JPG	
OA_5919_PN0664	Zone B		vue en coupe (détail)	nord-ouest	CP08	Log 08-2				Paleotime	09/01/2012	JPG	
OA_5919_PN0665	Zone B		vue en coupe (détail)	nord-ouest	CP08	Log 08-2				Paleotime	09/01/2012	JPG	
OA_5919_PN0666	Zone A est		vue en coupe	nord	CP14					Paleotime	09/01/2012	JPG	
OA_5919_PN0667	Zone A est		vue en coupe	ouest	CP15					Paleotime	09/01/2012	JPG	
OA_5919_PN0668	Zone A est		vue en coupe	ouest	CP15					Paleotime	09/01/2012	JPG	
OA_5919_PN0669	Zone A est		vue en coupe	est	CP05					Paleotime	09/01/2012	JPG	
OA_5919_PN0670	Zone A est		vue en coupe	est	CP05					Paleotime	09/01/2012	JPG	
OA_5919_PN0671	Zone B	TR11	vue en coupe	est	CP12					Paleotime	09/01/2012	JPG	
OA_5919_PN0672	Zone B	TR11	vue en coupe	est	CP12					Paleotime	09/01/2012	JPG	
OA_5919_PN0673	Zone B	TR11	vue en coupe	est	CP12					Paleotime	09/01/2012	JPG	
OA_5919_PN0674	Zone B	TR11	vue en coupe	est	CP12					Paleotime	09/01/2012	JPG	
OA_5919_PN0675	Zone B	TR11	vue en coupe	est	CP12	Log 12-1				Paleotime	09/01/2012	JPG	
OA_5919_PN0676	Zone B	TR11	vue en coupe	est	CP12	Log 12-1				Paleotime	09/01/2012	JPG	
OA_5919_PN0677	Zone B	TR11	vue en coupe (détail)	est	CP12	Log 12-1				Paleotime	09/01/2012	JPG	
OA_5919_PN0678	Zone B	TR11	vue en coupe (détail)	est	CP12	Log 12-1				Paleotime	09/01/2012	JPG	
OA_5919_PN0679	Zone B	TR11	vue en coupe (détail)	est	CP12	Log 12-1				Paleotime	09/01/2012	JPG	
OA_5919_PN0680	Zone B	TR11	vue en coupe (détail)	est	CP12	Log 12-1				Paleotime	09/01/2012	JPG	
OA_5919_PN0681	Zone B		vue d'ambiance	sud-est		Locus 4				Paleotime	10/01/2012	JPG	

	Localisation				Description								
Nom photo	Zone	TR	Type de vue	Vue vers	CP	LOG / Locus/ST	UPS	carré / mobilier lithique en place / z=	décapage	Auteur	Date	Extension fichier	Remarques
OA_5919_PN0682	Zone B		vue d'ambiance	sud		Locus 4				Paleotime	10/01/2012	JPG	
OA_5919_PN0683	Zone B		vue en plan	ouest		Locus 4			décapage 1	Paleotime	10/01/2012	JPG	
OA_5919_PN0684	Zone B		vue en plan	ouest		Locus 4		mobilier lithique en place	décapage 1	Paleotime	10/01/2012	JPG	
OA_5919_PN0685	Zone B		vue en plan	sud		Locus 4		mobilier lithique en place	décapage 1	Paleotime	10/01/2012	JPG	
OA_5919_PN0686	Zone B	TR11	vue oblique	est		Locus 4	UPS 4	z=82,65	décapage 1	Paleotime	10/01/2012	JPG	
OA_5919_PN0687	Zone B	TR11	vue oblique	est		Locus 4	UPS 4	z=82,65	décapage 1	Paleotime	10/01/2012	JPG	
OA_5919_PN0688	Zone B	TR11	vue en plan	ouest		Locus 4	UPS 4	z=82,65	décapage 1	Paleotime	10/01/2012	JPG	
OA_5919_PN0689	Zone B	TR11	vue en plan	ouest		Locus 4	UPS 4	z=82,65	décapage 1	Paleotime	10/01/2012	JPG	
OA_5919_PN0690	Zone D		vue en plan	sud		Locus 8	UPS 4	mobilier lithique en place	décapage manuel	Paleotime	10/01/2012	JPG	
OA_5919_PN0691	Zone D		vue en plan	sud		Locus 8	UPS 4	mobilier lithique en place	décapage manuel	Paleotime	10/01/2012	JPG	
OA_5919_PN0692	Zone D		vue en plan	sud		Locus 8	UPS 4	mobilier lithique en place	décapage manuel	Paleotime	10/01/2012	JPG	
OA_5919_PN0693	Zone D		vue générale	sud		Locus 8	UPS 4	mobilier lithique en place	décapage manuel	Paleotime	10/01/2012	JPG	
OA_5919_PN0694	Zone D		vue générale	sud		Locus 8	UPS 4	mobilier lithique en place	décapage manuel	Paleotime	10/01/2012	JPG	
OA_5919_PN0695	Zone D		vue générale	est		Locus 8	UPS 4	mobilier lithique en place	décapage manuel	Paleotime	10/01/2012	JPG	
OA_5919_PN0696	Zone A		vue générale	sud-ouest						Paleotime	11/01/2012	JPG	
OA_5919_PN0697	Berme A/B		vue générale	ouest						Paleotime	11/01/2012	JPG	
OA_5919_PN0698	Berme A/B		vue générale	nord-ouest						Paleotime	11/01/2012	JPG	
OA_5919_PN0699	Zone D	TR12	vue oblique	nord-ouest	CP13					Paleotime	11/01/2012	JPG	
OA_5919_PN0700	Zone B		vue en plan	ouest		Locus 4		K7-83	décapage 2	Paleotime	11/01/2012	JPG	
OA_5919_PN0701	Zone B		vue en plan	ouest		Locus 4		K7-83	décapage 2	Paleotime	11/01/2012	JPG	
OA_5919_PN0702	Zone B		vue en plan (détail)	est		Locus 4		K7-83	décapage 2	Paleotime	11/01/2012	JPG	
OA_5919_PN0703	Zone B		vue en plan (détail)	est		Locus 4		K7-83	décapage 2	Paleotime	11/01/2012	JPG	
OA_5919_PN0704	Zone B		vue en plan	sud		Locus 4		mobilier lithique en place	décapage 2	Paleotime	11/01/2012	JPG	
OA_5919_PN0705	Zone B		vue en plan	est		Locus 4		mobilier lithique en place	décapage 2	Paleotime	11/01/2012	JPG	
OA_5919_PN0706	Zone B		vue en plan	sud		Locus 4		mobilier lithique en place	décapage 2	Paleotime	11/01/2012	JPG	
OA_5919_PN0707	Zone D	TR12	vue en coupe	ouest	CP13					Paleotime	11/01/2012	JPG	
OA_5919_PN0708	Zone D	TR12	vue en coupe	ouest	CP13					Paleotime	11/01/2012	JPG	
OA_5919_PN0709	Zone D	TR12	vue en coupe	ouest	CP13					Paleotime	11/01/2012	JPG	

	Localisation				Description								
Nom photo	Zone	TR	Type de vue	Vue vers	CP	LOG / Locus/ST	UPS	carré / mobilier lithique en place / z=	décapage	Auteur	Date	Extension fichier	Remarques
OA_5919_PN0710	Zone D	TR12	vue en coupe	ouest	CP13					Paleotime	11/01/2012	JPG	
OA_5919_PN0711	Zone D	TR12	vue en coupe	ouest	CP13					Paleotime	11/01/2012	JPG	
OA_5919_PN0712	Zone D	TR12	vue en coupe	ouest	CP13					Paleotime	11/01/2012	JPG	
OA_5919_PN0713	Zone D	TR12	vue en coupe	ouest	CP13					Paleotime	11/01/2012	JPG	
OA_5919_PN0714	Zone D	TR12	vue en coupe	ouest	CP13					Paleotime	11/01/2012	JPG	
OA_5919_PN0715	Zone D	TR12	vue en coupe	ouest	CP13					Paleotime	11/01/2012	JPG	
OA_5919_PN0716	Zone D	TR12	vue en coupe	ouest	CP13					Paleotime	11/01/2012	JPG	
OA_5919_PN0717	Zone D	TR12	vue en coupe	ouest	CP13					Paleotime	11/01/2012	JPG	
OA_5919_PN0718	Zone D	TR12	vue en coupe	ouest	CP13					Paleotime	11/01/2012	JPG	
OA_5919_PN0719	Zone D	TR12	vue en coupe	ouest	CP13					Paleotime	11/01/2012	JPG	
OA_5919_PN0720	Zone D	TR12	vue en coupe	ouest	CP13					Paleotime	11/01/2012	JPG	
OA_5919_PN0721	Zone D	TR12	vue en coupe	ouest	CP13					Paleotime	11/01/2012	JPG	
OA_5919_PN0722	Zone D	TR12	vue en coupe	ouest	CP13					Paleotime	11/01/2012	JPG	
OA_5919_PN0723	Zone D	TR12	vue oblique	sud-ouest	CP13					Paleotime	11/01/2012	JPG	
OA_5919_PN0724	Zone D	TR12	vue oblique	sud-ouest	CP13					Paleotime	11/01/2012	JPG	
OA_5919_PN0725	Zone D	TR12	vue en coupe	ouest	CP13	Log 13-1				Paleotime	11/01/2012	JPG	
OA_5919_PN0726	Zone D	TR12	vue en coupe	ouest	CP13	Log 13-1				Paleotime	11/01/2012	JPG	
OA_5919_PN0727	Zone D	TR12	vue en coupe	ouest	CP13					Paleotime	12/01/2012	JPG	
OA_5919_PN0728	Zone D	TR12	vue en coupe	ouest	CP13					Paleotime	12/01/2012	JPG	
OA_5919_PN0729	Zone D	TR12	vue en coupe	ouest	CP13					Paleotime	12/01/2012	JPG	
OA_5919_PN0730	Zone D	TR12	vue en coupe	ouest	CP13					Paleotime	12/01/2012	JPG	
OA_5919_PN0731	Zone D	TR12	vue en coupe	ouest	CP13					Paleotime	12/01/2012	JPG	
OA_5919_PN0732	Zone D	TR12	vue en coupe	ouest	CP13					Paleotime	12/01/2012	JPG	
OA_5919_PN0733	Zone D	TR12	vue en coupe	ouest	CP13					Paleotime	12/01/2012	JPG	
OA_5919_PN0734	Zone D	TR12	vue en coupe	ouest	CP13					Paleotime	12/01/2012	JPG	
OA_5919_PN0735	Zone D	TR12	vue en coupe	ouest	CP13					Paleotime	12/01/2012	JPG	
OA_5919_PN0736	Zone D	TR12	vue en coupe	ouest	CP13					Paleotime	12/01/2012	JPG	
OA_5919_PN0737	Zone D	TR12	vue en coupe	ouest	CP13					Paleotime	12/01/2012	JPG	
OA_5919_PN0738	Zone D	TR12	vue en coupe	ouest	CP13					Paleotime	12/01/2012	JPG	
OA_5919_PN0739	Zone D	TR12	vue en coupe	ouest	CP13					Paleotime	12/01/2012	JPG	
OA_5919_PN0740	Zone D	TR12	vue en coupe	ouest	CP13					Paleotime	12/01/2012	JPG	
OA_5919_PN0741	Zone D	TR12	vue en coupe	ouest	CP13					Paleotime	12/01/2012	JPG	
OA_5919_PN0742	Zone D	TR12	vue en coupe	ouest	CP13					Paleotime	12/01/2012	JPG	
OA_5919_PN0743	Zone D	TR12	vue en coupe	ouest	CP13					Paleotime	12/01/2012	JPG	
OA_5919_PN0744	Zone D	TR12	vue en coupe	ouest	CP13					Paleotime	12/01/2012	JPG	
OA_5919_PN0745	Zone D	TR12	vue en coupe	ouest	CP13					Paleotime	12/01/2012	JPG	
OA_5919_PN0746	Zone D	TR12	vue en coupe	ouest	CP13					Paleotime	12/01/2012	JPG	
OA_5919_PN0747	Zone D	TR12	vue en coupe	ouest	CP13					Paleotime	12/01/2012	JPG	
OA_5919_PN0748	Zone D	TR12	vue oblique	nord-ouest	CP13					Paleotime	12/01/2012	JPG	
OA_5919_PN0749	Zone D	TR12	vue oblique	nord-ouest	CP13					Paleotime	12/01/2012	JPG	
OA_5919_PN0750	Zone D	TR12	vue oblique	sud-ouest	CP13					Paleotime	12/01/2012	JPG	
OA_5919_PN0751	Zone D	TR12	vue oblique	sud-ouest	CP13					Paleotime	12/01/2012	JPG	
OA_5919_PN0752	Zone B		vue en plan	est			UPS 4	mobilier lithique en place		Paleotime	12/01/2012	JPG	
OA_5919_PN0753	Zone B		vue en plan	est			UPS 4	mobilier lithique en place		Paleotime	12/01/2012	JPG	
OA_5919_PN0754	Zone B		vue en plan	est			UPS 4	mobilier lithique en place		Paleotime	12/01/2012	JPG	

	Localisation				Description									
Nom photo	Zone	TR	Type de vue	Vue vers	CP	LOG / Locus/ST	UPS	carré / mobilier lithique en place / z=	décapage	Auteur	Date	Extension fichier	Remarques
OA_5919_PN0755	Zone B		vue en plan	est			UPS 4	mobilier lithique en place		Paleotime	12/01/2012	JPG	
OA_5919_PN0756	Zone B		vue en plan	est			UPS 4	mobilier lithique en place		Paleotime	12/01/2012	JPG	
OA_5919_PN0757	Zone B		vue en plan	est			UPS 4	mobilier lithique en place		Paleotime	12/01/2012	JPG	
OA_5919_PN0758	Zone B		vue en plan	est			UPS 4	mobilier lithique en place		Paleotime	12/01/2012	JPG	
OA_5919_PN0759	Zone B		vue en plan	est			UPS 4	mobilier lithique en place		Paleotime	12/01/2012	JPG	
OA_5919_PN0760	Zone B		vue en plan	est			UPS 4	mobilier lithique en place		Paleotime	12/01/2012	JPG	
OA_5919_PN0761	Zone B		vue en plan	est			UPS 4	mobilier lithique en place		Paleotime	12/01/2012	JPG	
OA_5919_PN0762	Zone B		vue en plan	est			UPS 4	mobilier lithique en place		Paleotime	12/01/2012	JPG	
OA_5919_PN0763	Zone B		vue en plan	est			UPS 4	mobilier lithique en place		Paleotime	12/01/2012	JPG	
OA_5919_PN0764	Zone B		vue en plan	est			UPS 4	mobilier lithique en place		Paleotime	12/01/2012	JPG	
OA_5919_PN0765	Zone B		vue en plan	est		Locus 9	UPS 4	mobilier lithique en place	décapage manuel	Paleotime	12/01/2012	JPG	
OA_5919_PN0766	Zone B		vue en plan	sud		Locus 9	UPS 4	mobilier lithique en place	décapage manuel	Paleotime	12/01/2012	JPG	
OA_5919_PN0767	Zone B		vue en plan	sud		Locus 9	UPS 4	mobilier lithique en place	décapage manuel	Paleotime	12/01/2012	JPG	
OA_5919_PN0768	Zone B		vue en plan	sud		Locus 9	UPS 4	mobilier lithique en place	décapage manuel	Paleotime	12/01/2012	JPG	
OA_5919_PN0769	Berme A/B		vue en plan	nord		Locus 9	UPS 4	mobilier lithique en place (PT2383)	décapage manuel	Paleotime	13/01/2012	JPG	
OA_5919_PN0770	Zone B		vue en plan	est		Locus 7	UPS 4	mobilier lithique en place	décapage 2	Paleotime	13/01/2012	JPG	
OA_5919_PN0771	Zone B		vue en plan	est		Locus 7	UPS 4	mobilier lithique en place	décapage 2	Paleotime	13/01/2012	JPG	

	Localisation				Description								
Nom photo	Zone	TR	Type de vue	Vue vers	CP	LOG / Locus/ST	UPS	carré / mobilier lithique en place / z=	décapage	Auteur	Date	Extension fichier	Remarques
OA_5919_PN0772	Zone B		vue en plan	est		Locus 7	UPS 4	mobilier lithique en place	décapage 2	Paleotime	13/01/2012	JPG	
OA_5919_PN0773	Zone B		vue en plan	est		Locus 7	UPS 4	mobilier lithique en place	décapage 2	Paleotime	13/01/2012	JPG	
OA_5919_PN0774	Zone B		vue en plan	est		Locus 7	UPS 4	mobilier lithique en place	décapage 2	Paleotime	13/01/2012	JPG	
OA_5919_PN0775	Zone B		vue en plan	ouest		Locus 7	UPS 4	M5-18	décapage 2	Paleotime	13/01/2012	JPG	
OA_5919_PN0776	Zone B		vue en plan	ouest		Locus 7	UPS 4	M5-18	décapage 2	Paleotime	13/01/2012	JPG	
OA_5919_PN0777	Zone B		vue en plan	ouest		Locus 7	UPS 4	M5-18	décapage 2	Paleotime	13/01/2012	JPG	
OA_5919_PN0778	Zone B		vue en plan	ouest		Locus 7	UPS 4	M5-08	décapage 2	Paleotime	13/01/2012	JPG	
OA_5919_PN0779	Zone B		vue en plan	ouest		Locus 7	UPS 4	M5-06d	décapage 2	Paleotime	13/01/2012	JPG	
OA_5919_PN0780	Zone B		vue oblique	ouest		Locus 7	UPS 4	M5-06d	décapage 2	Paleotime	13/01/2012	JPG	
OA_5919_PN0781	Zone B		vue oblique	sud-ouest		Locus 7	UPS 4	mobilier lithique en place	décapage 2	Paleotime	13/01/2012	JPG	
OA_5919_PN0782	Zone B		vue oblique	nord-ouest		Locus 7	UPS 4	mobilier lithique en place	décapage 2	Paleotime	13/01/2012	JPG	
OA_5919_PN0783	Zone A est		vue en coupe	est	CP05					Paleotime	17/01/2012	JPG	
OA_5919_PN0784	Zone A est		vue en coupe	est	CP05					Paleotime	17/01/2012	JPG	
OA_5919_PN0785	Zone A est		vue en coupe	est	CP05					Paleotime	17/01/2012	JPG	
OA_5919_PN0786	Zone A est		vue en coupe	est	CP05					Paleotime	17/01/2012	JPG	
OA_5919_PN0787	Zone A est		vue en coupe	est	CP05					Paleotime	17/01/2012	JPG	
OA_5919_PN0788	Zone A est		vue en coupe	est	CP05					Paleotime	17/01/2012	JPG	
OA_5919_PN0789	Zone A est		vue en coupe	est	CP05					Paleotime	17/01/2012	JPG	
OA_5919_PN0790	Zone A est		vue oblique	sud-est	CP05					Paleotime	17/01/2012	JPG	
OA_5919_PN0791	Zone A est		vue oblique	sud-est	CP05					Paleotime	17/01/2012	JPG	
OA_5919_PN0792	Zone A est		vue oblique	nord-est	CP05					Paleotime	17/01/2012	JPG	
OA_5919_PN0793	Zone A est		vue oblique	nord-est	CP05					Paleotime	17/01/2012	JPG	
OA_5919_PN0794	Zone A est		vue en coupe	est	CP05	Log 05-3				Paleotime	17/01/2012	JPG	
OA_5919_PN0795	Zone A est		vue en coupe	est	CP05	Log 05-3				Paleotime	17/01/2012	JPG	
OA_5919_PN0796	Zone A est		vue en coupe (détail)	est	CP05	Log 05-3				Paleotime	17/01/2012	JPG	
OA_5919_PN0797	Zone A est		vue en coupe (détail)	est	CP05	Log 05-3				Paleotime	17/01/2012	JPG	
OA_5919_PN0798	Zone A est		vue en coupe (détail)	est	CP05	Log 05-3				Paleotime	17/01/2012	JPG	
OA_5919_PN0799	Zone A est		vue en coupe (détail)	est	CP05	Log 05-3				Paleotime	17/01/2012	JPG	
OA_5919_PN0800	Zone A est		vue en coupe (détail)	est	CP05	Log 05-3				Paleotime	17/01/2012	JPG	
OA_5919_PN0801	Zone A est		vue en coupe (détail)	est	CP05	Log 05-3				Paleotime	17/01/2012	JPG	
OA_5919_PN0802	Zone C	TR10 et 10bis	vue générale	nord						Paleotime	17/01/2012	JPG	
OA_5919_PN0803	Zone C	TR10 et 10bis	vue générale	nord-nord-ouest						Paleotime	17/01/2012	JPG	
OA_5919_PN0804	Zone A ouest		vue générale	nord-ouest						Paleotime	17/01/2012	JPG	
OA_5919_PN0805	Zone B		vue d'ambiance	nord		Locus 9				Paleotime	17/01/2012	JPG	
OA_5919_PN0806	Zone B		vue oblique	ouest		Locus 7	UPS 4	M5-07	décapage 2	Paleotime	17/01/2012	JPG	

	Localisation				Description								
Nom photo	Zone	TR	Type de vue	Vue vers	CP	LOG / Locus/ST	UPS	carré / mobilier lithique en place / z=	décapage	Auteur	Date	Extension fichier	Remarques
OA_5919_PN0807	Zone B		vue oblique	ouest		Locus 7	UPS 4	M5-07	décapage 2	Paleotime	17/01/2012	JPG	
OA_5919_PN0808	Zone B		vue oblique	ouest		Locus 7	UPS 4	M5-07	décapage 2	Paleotime	17/01/2012	JPG	
OA_5919_PN0809	Zone B		vue oblique	ouest		Locus 7	UPS 4	M5-07	décapage 2	Paleotime	17/01/2012	JPG	
OA_5919_PN0810	Zone B		vue en coupe	est	CP12	Locus 4	UPS 4/5	K7-83	décapage 4	Paleotime	18/01/2012	JPG	
OA_5919_PN0811	Zone B		vue en coupe	est	CP12	Locus 4	UPS 4/5	K7-83	décapage 4	Paleotime	18/01/2012	JPG	
OA_5919_PN0812	Berme A/B		vue en plan	sud			UPS 4	mobilier lithique en place		Paleotime	18/01/2012	JPG	
OA_5919_PN0813	Berme A/B		vue en plan	sud			UPS 4	mobilier lithique en place		Paleotime	18/01/2012	JPG	
OA_5919_PN0814	Berme A/B		vue en plan	sud			UPS 4	mobilier lithique en place		Paleotime	18/01/2012	JPG	
OA_5919_PN0815	Berme A/B		vue générale	sud			UPS 4	mobilier lithique en place		Paleotime	18/01/2012	JPG	
OA_5919_PN0816	Berme A/B		vue générale	sud			UPS 4	mobilier lithique en place		Paleotime	18/01/2012	JPG	
OA_5919_PN0817	Berme A/B		vue en plan	sud			UPS 4	mobilier lithique en place		Paleotime	18/01/2012	JPG	
OA_5919_PN0818	Berme A/B		vue en plan (détail)	sud			UPS 4	mobilier lithique en place		Paleotime	18/01/2012	JPG	
OA_5919_PN0819	Berme A/B		vue en plan (détail)	sud			UPS 4	mobilier lithique en place		Paleotime	18/01/2012	JPG	
OA_5919_PN0820	Zone C		vue générale	est		Locus 1 et 2				Paleotime	18/01/2012	JPG	
OA_5919_PN0821	Zone C		vue générale	est		Locus 1 et 2				Paleotime	18/01/2012	JPG	
OA_5919_PN0822	Zone B		vue générale	sud						Paleotime	18/01/2012	JPG	
OA_5919_PN0823	Zone B		vue en plan	sud		Locus 9	UPS 4	L4-38/39/48/49/58/59	décapage 1	Paleotime	18/01/2012	JPG	
OA_5919_PN0824	Zone B		vue en plan	sud		Locus 9	UPS 4	L4-38/39/48/49/58/59	décapage 1	Paleotime	18/01/2012	JPG	
OA_5919_PN0825	Zone B		vue en plan	est		Locus 9	UPS 4	L4-38/39/48	décapage 1	Paleotime	18/01/2012	JPG	
OA_5919_PN0826	Zone B		vue en plan	est		Locus 9	UPS 4	L4-38	décapage 1	Paleotime	18/01/2012	JPG	
OA_5919_PN0827	Zone B		vue en plan	est		Locus 9	UPS 4	L4-48	décapage 1	Paleotime	18/01/2012	JPG	
OA_5919_PN0828	Zone B		vue en plan	est		Locus 9	UPS 4	L4-48	décapage 1	Paleotime	18/01/2012	JPG	
OA_5919_PN0829	Zone B		vue en plan	est		Locus 9	UPS 4	L4-39a-c	décapage 1	Paleotime	18/01/2012	JPG	
OA_5919_PN0830	Zone B		vue en plan	sud		Locus 5	UPS 5	L6-88/89/98/99	décapage 1	Paleotime	18/01/2012	JPG	Erreur sur la plaque photo: ce ne sont pas les carrés L6-78 et 79 mais les carrés L6-98 et 99 (pas d'erreur pour L6-88 et 89)

	Localisation				Description								
Nom photo	Zone	TR	Type de vue	Vue vers	CP	LOG / Locus/ST	UPS	carré / mobilier lithique en place / z=	décapage	Auteur	Date	Extension fichier	Remarques
OA_5919_PN0831	Zone B		vue en plan	sud-ouest		Locus 5	UPS 5	L6-88/89/98/99	décapage 1	Paleotime	18/01/2012	JPG	Erreur sur la plaque photo: ce ne sont pas les carrés L6-78 et 79 mais les carrés L6-98 et 99 (pas d'erreur pour L6-88 et 89)
OA_5919_PN0832	Zone B		vue en plan	nord		Locus 5	UPS 5	L6-88/89/98/99	décapage 1	Paleotime	18/01/2012	JPG	Erreur sur la plaque photo: ce ne sont pas les carrés L6-78 et 79 mais les carrés L6-98 et 99 (pas d'erreur pour L6-88 et 89)
OA_5919_PN0833	Zone B		vue en plan	nord		Locus 5	UPS 5	L6-88/89/98/99	décapage 1	Paleotime	18/01/2012	JPG	Erreur sur la plaque photo: ce ne sont pas les carrés L6-78 et 79 mais les carrés L6-98 et 99 (pas d'erreur pour L6-88 et 89)
OA_5919_PN0834	Zone B		vue en plan	ouest		Locus 5	UPS 5	L6-89	décapage 1	Paleotime	18/01/2012	JPG	
OA_5919_PN0835	Zone B		vue en plan	ouest		Locus 5	UPS 5	L6-99	décapage 1	Paleotime	18/01/2012	JPG	Erreur sur la plaque photo: il s'agit du carré L6-99 et non du L6-79.
OA_5919_PN0836	Zone B		vue en plan	ouest		Locus 5	UPS 5	L6-98	décapage 1	Paleotime	18/01/2012	JPG	Erreur sur la plaque photo: il s'agit du carré L6-98 et non du L6-78.
OA_5919_PN0837	Zone B		vue en plan	ouest		Locus 5	UPS 5	L6-88	décapage 1	Paleotime	18/01/2012	JPG	
OA_5919_PN0838	Zone B		vue générale	nord		Locus 5	UPS 5	mobilier lithique en place	décapage 1	Paleotime	18/01/2012	JPG	
OA_5919_PN0839	Zone B		vue en plan	nord		Locus 5	UPS 5	z=82,41	décapage 1	Paleotime	18/01/2012	JPG	
OA_5919_PN0840	Zone B		vue en plan	nord		Locus 5	UPS 5	z=82,41	décapage 1	Paleotime	18/01/2012	JPG	
OA_5919_PN0841	Zone B		vue en plan	nord		Locus 5	UPS 5	z=82,41	décapage 1	Paleotime	18/01/2012	JPG	
OA_5919_PN0842	Zone B		vue en plan	nord		Locus 5	UPS 5	z=82,41	décapage 1	Paleotime	18/01/2012	JPG	
OA_5919_PN0843	Zone B		vue en plan	nord		Locus 5	UPS 5	z=82,32	décapage 1	Paleotime	18/01/2012	JPG	
OA_5919_PN0844	Zone B		vue en plan	nord		Locus 5	UPS 5	z=82,32	décapage 1	Paleotime	18/01/2012	JPG	
OA_5919_PN0845	Zone B		vue en plan	nord		Locus 5	UPS 5	z=82,32	décapage 1	Paleotime	18/01/2012	JPG	
OA_5919_PN0846	Zone B		vue en plan	nord		Locus 5	UPS 5	z=82,32	décapage 1	Paleotime	18/01/2012	JPG	
OA_5919_PN0847	Zone C		vue en plan	sud			UPS 4	z=83,12		Paleotime	18/01/2012	JPG	
OA_5919_PN0848	Zone C		vue en plan	sud			UPS 4	z=83,12		Paleotime	18/01/2012	JPG	

	Localisation				Description								
Nom photo	Zone	TR	Type de vue	Vue vers	CP	LOG / Locus/ST	UPS	carré / mobilier lithique en place / z=	décapage	Auteur	Date	Extension fichier	Remarques
OA_5919_PN0849	Zone C		vue en plan	sud			UPS 4	z=83,12		Paleotime	18/01/2012	JPG	
OA_5919_PN0850	Zone C		vue en plan	sud			UPS 4	z=83,12		Paleotime	18/01/2012	JPG	
OA_5919_PN0851	Zone C		vue en plan	sud			UPS 4	z=83,12		Paleotime	18/01/2012	JPG	
OA_5919_PN0852	Zone C		vue en plan (détail)	nord			UPS 4	z=83,12		Paleotime	18/01/2012	JPG	
OA_5919_PN0853	Zone C		vue en plan (détail)	nord			UPS 4	z=83,12		Paleotime	18/01/2012	JPG	
OA_5919_PN0854	Zone C		vue en plan (détail)	nord-est			UPS 4	z=83,12		Paleotime	18/01/2012	JPG	
OA_5919_PN0855	Zone C		vue en plan	sud			UPS 4	mobilier lithique en place (galets)		Paleotime	18/01/2012	JPG	
OA_5919_PN0856	Zone C		vue oblique	sud-ouest			UPS 4	mobilier lithique en place (galets)		Paleotime	18/01/2012	JPG	
OA_5919_PN0857	Zone C		vue oblique	ouest			UPS 4	mobilier lithique en place (galets)		Paleotime	18/01/2012	JPG	
OA_5919_PN0858	Zone C		vue oblique	ouest			UPS 4	mobilier lithique en place (galets)		Paleotime	18/01/2012	JPG	
OA_5919_PN0859	Zone A est		vue en plan	ouest			UPS 7 remontée	L3-09		Paleotime	25/01/2012	JPG	
OA_5919_PN0860	Zone A est		vue en plan	ouest			UPS 7 remontée	L3-09		Paleotime	25/01/2012	JPG	
OA_5919_PN0861	Zone A est		vue en plan	ouest			UPS 7 remontée	L3-09		Paleotime	25/01/2012	JPG	
OA_5919_PN0862	Zone A est		vue oblique	est			UPS 7 remontée	L3-09		Paleotime	25/01/2012	JPG	
OA_5919_PN0863	Zone B		vue en plan	nord		Locus 9	UPS 4	L4-28/29/38/39/48/49	décapage 2	Paleotime	25/01/2012	JPG	
OA_5919_PN0864	Zone B		vue en plan	nord		Locus 9	UPS 4	L4-28/29/38/39/48/49	décapage 2	Paleotime	25/01/2012	JPG	
OA_5919_PN0865	Zone B		vue en plan	sud		Locus 9	UPS 4	L4-29	décapage 2	Paleotime	25/01/2012	JPG	
OA_5919_PN0866	Zone B		vue en plan	sud		Locus 9	UPS 4	L4-28	décapage 2	Paleotime	25/01/2012	JPG	
OA_5919_PN0867	Zone B		vue en plan	sud		Locus 9	UPS 4	L4-38	décapage 2	Paleotime	25/01/2012	JPG	
OA_5919_PN0868	Zone B		vue en plan	sud		Locus 9	UPS 4	L4-39	décapage 2	Paleotime	25/01/2012	JPG	
OA_5919_PN0869	Zone B		vue en plan	sud		Locus 9	UPS 4	L4-49	décapage 2	Paleotime	25/01/2012	JPG	
OA_5919_PN0870	Zone B		vue en plan	sud		Locus 9	UPS 4	L4-48	décapage 2	Paleotime	25/01/2012	JPG	
OA_5919_PN0871	Zone B		vue en plan	sud		Locus 9	UPS 4	L4-28/29/38/39/48/49	décapage 2	Paleotime	25/01/2012	JPG	
OA_5919_PN0872	Zone B		vue en plan (détail)	est		Locus 9	UPS 4	L4-28/29/38/39/48/49	décapage 2	Paleotime	25/01/2012	JPG	
OA_5919_PN0873	Zone B		vue en plan (détail)	est		Locus 9	UPS 4	L4-28/29/38/39/48/49	décapage 2	Paleotime	25/01/2012	JPG	
OA_5919_PN0874	Zone C		vue d'ambiance	est		Locus 10			décapage 1	Paleotime	25/01/2012	JPG	
OA_5919_PN0875	Zone C		vue d'ambiance	est		Locus 10			décapage 1	Paleotime	25/01/2012	JPG	

	Localisation				Description								
Nom photo	Zone	TR	Type de vue	Vue vers	CP	LOG / Locus/ST	UPS	carré / mobilier lithique en place / z=	décapage	Auteur	Date	Extension fichier	Remarques
OA_5919_PN0876	Zone C		vue en plan (détail)	ouest		Locus 10		I5-27d	décapage 1	Paleotime	25/01/2012	JPG	
OA_5919_PN0877	Zone C		vue en plan (détail)	ouest		Locus 10		I5-27d	décapage 1	Paleotime	25/01/2012	JPG	
OA_5919_PN0878	Zone C		vue en plan	est		Locus 10		I5-27d	décapage 1	Paleotime	25/01/2012	JPG	
OA_5919_PN0879	Zone C		vue en plan	sud-est		Locus 10		I5-27d	décapage 1	Paleotime	25/01/2012	JPG	
OA_5919_PN0880	Zone C		vue oblique	nord		Locus 10		mobilier lithique en place	décapage 1	Paleotime	25/01/2012	JPG	
OA_5919_PN0881	Zone C		vue oblique	nord		Locus 10		mobilier lithique en place	décapage 1	Paleotime	25/01/2012	JPG	
OA_5919_PN0882	Zone C		vue oblique	nord		Locus 10		mobilier lithique en place	décapage 1	Paleotime	25/01/2012	JPG	
OA_5919_PN0883	Zone C		vue oblique	nord		Locus 10		I5-27d	décapage 1	Paleotime	25/01/2012	JPG	
OA_5919_PN0884	Zone C		vue oblique	nord		Locus 10		I5-27d	décapage 1	Paleotime	25/01/2012	JPG	
OA_5919_PN0885	Zone C		vue en coupe	nord	CP16					Paleotime	26/01/2012	JPG	
OA_5919_PN0886	Zone C		vue en coupe	nord	CP16					Paleotime	26/01/2012	JPG	
OA_5919_PN0887	Zone C		vue en coupe	nord	CP16					Paleotime	26/01/2012	JPG	
OA_5919_PN0888	Zone C		vue en coupe	nord	CP16					Paleotime	26/01/2012	JPG	
OA_5919_PN0889	Zone C		vue en coupe	nord	CP16	Log 16-1				Paleotime	26/01/2012	JPG	
OA_5919_PN0890	Zone C		vue en coupe	nord	CP16	Log 16-1				Paleotime	26/01/2012	JPG	
OA_5919_PN0891	Zone C		vue en coupe	sud	CP17					Paleotime	26/01/2012	JPG	
OA_5919_PN0892	Zone C		vue en coupe	sud	CP17					Paleotime	26/01/2012	JPG	
OA_5919_PN0893	Zone C		vue en coupe	ouest	CP17					Paleotime	26/01/2012	JPG	
OA_5919_PN0894	Zone C		vue en coupe	sud-est	CP17					Paleotime	26/01/2012	JPG	
OA_5919_PN0895	Berme A/C		vue en plan	est			UPS 4	mobilier lithique en place (galets)		Paleotime	26/01/2012	JPG	
OA_5919_PN0896	Berme A/C		vue en plan	est			UPS 4	mobilier lithique en place (galets)		Paleotime	26/01/2012	JPG	
OA_5919_PN0897	Berme A/C		vue en plan	ouest			UPS 4	mobilier lithique en place (galets)		Paleotime	26/01/2012	JPG	
OA_5919_PN0898	Berme A/C		vue en plan	ouest			UPS 4	mobilier lithique en place (galets)		Paleotime	26/01/2012	JPG	
OA_5919_PN0899	Berme A/C		vue en plan	sud			UPS 5 sommet	mobilier lithique en place		Paleotime	26/01/2012	JPG	
OA_5919_PN0900	Berme A/C		vue oblique	est			UPS 5 sommet	mobilier lithique en place		Paleotime	26/01/2012	JPG	
OA_5919_PN0901	Berme A/C		vue oblique	est			UPS 5 sommet	mobilier lithique en place		Paleotime	26/01/2012	JPG	
OA_5919_PN0902	Berme A/B		vue en plan	ouest		Locus 11	UPS 4 sommet	mobilier lithique en place	décapage manuel	Paleotime	26/01/2012	JPG	

	Localisation				Description								
Nom photo	Zone	TR	Type de vue	Vue vers	CP	LOG / Locus/ST	UPS	carré / mobilier lithique en place / z=	décapage	Auteur	Date	Extension fichier	Remarques
OA_5919_PN0903	Berme A/B		vue en plan	ouest		Locus 11	UPS 4 sommet	mobilier lithique en place	décapage manuel	Paleotime	26/01/2012	JPG	
OA_5919_PN0904	Berme A/B		vue en plan (détail)	ouest		Locus 11	UPS 4 sommet	mobilier lithique en place	décapage manuel	Paleotime	26/01/2012	JPG	
OA_5919_PN0905	Berme A/B		vue en plan	ouest		Locus 11	UPS 4 sommet	mobilier lithique en place	décapage manuel	Paleotime	26/01/2012	JPG	
OA_5919_PN0906	Berme A/B		vue en plan	ouest		Locus 11	UPS 4 sommet	mobilier lithique en place	décapage manuel	Paleotime	26/01/2012	JPG	
OA_5919_PN0907	Berme A/B		vue en plan	ouest		Locus 11	UPS 4 sommet	mobilier lithique en place	décapage manuel	Paleotime	26/01/2012	JPG	
OA_5919_PN0908	Berme A/B		vue en plan	ouest		Locus 11	UPS 4 sommet	mobilier lithique en place	décapage manuel	Paleotime	26/01/2012	JPG	
OA_5919_PN0909	Zone B		vue en plan	nord			UPS 4 sommet	mobilier lithique en place		Paleotime	26/01/2012	JPG	
OA_5919_PN0910	Zone B		vue en plan	nord			UPS 4 sommet	mobilier lithique en place		Paleotime	26/01/2012	JPG	
OA_5919_PN0911	Zone B et Berme A/B		vue oblique	sud-ouest		Locus 11	UPS 4 sommet	mobilier lithique en place	décapage manuel	Paleotime	26/01/2012	JPG	
OA_5919_PN0912	Zone C		vue en coupe	ouest			UPS 4/5	mobilier lithique en place		Paleotime	23/01/2012	JPG	
OA_5919_PN0913	Zone C		vue en coupe	ouest			UPS 4/5	mobilier lithique en place		Paleotime	23/01/2012	JPG	
OA_5919_PN0914	Zone C		vue en coupe (détail)	ouest			UPS 4/5	mobilier lithique en place		Paleotime	23/01/2012	JPG	
OA_5919_PN0915	Zone B		vue en plan	est		Locus 9		mobilier lithique en place	décapage 1 et 2	Paleotime	24/01/2012	JPG	
OA_5919_PN0916	Zone B		vue en plan	sud		Locus 9		mobilier lithique en place	décapage 1 et 2	Paleotime	24/01/2012	JPG	
OA_5919_PN0917	Zone B		vue en plan	est		Locus 9		L4-38	décapage 2	Paleotime	24/01/2012	JPG	
OA_5919_PN0918	Zone C		vue générale	est		Locus 2		I6-5 à 7/15 à 17/25 à 27	décapage 1	Paleotime	24/01/2012	JPG	
OA_5919_PN0919	Zone C		vue générale	est		Locus 2		I6-5 à 7/15 à 17/25 à 27	décapage 1	Paleotime	24/01/2012	JPG	

	Localisation				Description									
Nom photo	Zone	TR	Type de vue	Vue vers	CP	LOG / Locus/ST	UPS	carré / mobilier lithique en place / z=	décapage	Auteur	Date	Extension fichier	Remarques
OA_5919_PN0920	Zone C		vue oblique	ouest		Locus 2		I6-5 à 7/15 à 17/25 à 27 et coupe entre Locus 1 et 2 au niveau de I6-17 et 18	décapage 1	Paleotime	24/01/2012	JPG	
OA_5919_PN0921	Zone C		vue oblique	ouest		Locus 2		I6-5 à 7/15 à 17/25 à 27 et coupe entre Locus 1 et 2 au niveau de I6-17 et 18	décapage 1	Paleotime	24/01/2012	JPG	
OA_5919_PN0922	Zone C		vue oblique	ouest		Locus 2		I6-5 à 7/15 à 17/25 à 27 et coupe entre Locus 1 et 2 au niveau de I6-17 et 18	décapage 1	Paleotime	24/01/2012	JPG	
OA_5919_PN0923	Zone C		vue en plan	nord			UPS 5	mobilier lithique en place		Paleotime	24/01/2012	JPG	
OA_5919_PN0924	Zone C		vue en plan	sud			UPS 5	mobilier lithique en place		Paleotime	24/01/2012	JPG	
OA_5919_PN0925	Zone C		vue en plan	sud			UPS 5	mobilier lithique en place		Paleotime	24/01/2012	JPG	
OA_5919_PN0926	Zone B	TR11	vue en coupe	est	CP12					Paleotime	30/01/2012	JPG	
OA_5919_PN0927	Zone B	TR11	vue en coupe	est	CP12					Paleotime	30/01/2012	JPG	
OA_5919_PN0928	Zone B	TR11	vue en coupe	est	CP12					Paleotime	30/01/2012	JPG	
OA_5919_PN0929	Zone B	TR11	vue en coupe	est	CP12					Paleotime	30/01/2012	JPG	
OA_5919_PN0930	Zone B	TR11	vue en coupe	est	CP12					Paleotime	30/01/2012	JPG	
OA_5919_PN0931	Zone B	TR11	vue en coupe	est	CP12					Paleotime	30/01/2012	JPG	
OA_5919_PN0932	Zone B	TR11	vue en coupe	est	CP12					Paleotime	30/01/2012	JPG	
OA_5919_PN0933	Zone B	TR11	vue en coupe	est	CP12					Paleotime	30/01/2012	JPG	
OA_5919_PN0934	Zone B	TR11	vue en coupe	est	CP12	Log 12-2				Paleotime	30/01/2012	JPG	
OA_5919_PN0935	Zone B	TR11	vue en coupe	est	CP12	Log 12-2				Paleotime	30/01/2012	JPG	
OA_5919_PN0936	Zone B	TR11	vue en coupe (détail)	est	CP12	Log 12-2				Paleotime	30/01/2012	JPG	
OA_5919_PN0937	Zone B	TR11	vue en coupe (détail)	est	CP12	Log 12-2				Paleotime	30/01/2012	JPG	
OA_5919_PN0938	Zone B	TR11	vue en coupe (détail)	est	CP12	Log 12-2				Paleotime	30/01/2012	JPG	
OA_5919_PN0939	Zone B	TR11	vue en coupe (détail)	est	CP12	Log 12-2				Paleotime	30/01/2012	JPG	
OA_5919_PN0940	Zone B	TR11	vue en coupe (détail)	est	CP12	Log 12-2				Paleotime	30/01/2012	JPG	
OA_5919_PN0941	Zone B	TR11	vue en coupe (détail)	est	CP12	Log 12-2				Paleotime	30/01/2012	JPG	
OA_5919_PN0942	Zone B	TR11	vue en coupe (détail)	est	CP12	Log 12-2				Paleotime	30/01/2012	JPG	

	Localisation				Description								
Nom photo	Zone	TR	Type de vue	Vue vers	CP	LOG / Locus/ST	UPS	carré / mobilier lithique en place / z=	décapage	Auteur	Date	Extension fichier	Remarques
OA_5919_PN0943	Zone B	TR11	vue en coupe (détail)	est	CP12	Log 12-2				Paleotime	30/01/2012	JPG	
OA_5919_PN0944	Zone C		vue en plan	est		Locus 1	UPS 5	I6-18/19/28/29	décapage 1	Paleotime	31/01/2012	JPG	
OA_5919_PN0945	Zone C		vue en plan	est		Locus 1	UPS 5	I6-18/19/28/29	décapage 1	Paleotime	31/01/2012	JPG	
OA_5919_PN0946	Zone C		vue en plan	ouest		Locus 1	UPS 5	I6-18/19/28/29	décapage 1	Paleotime	31/01/2012	JPG	
OA_5919_PN0947	Zone C		vue en plan (détail)	est		Locus 1	UPS 5	I6-18/19/28/29	décapage 1	Paleotime	31/01/2012	JPG	
OA_5919_PN0948	Zone C		vue en plan (détail)	est		Locus 1	UPS 5	I6-18/19/28/29	décapage 1	Paleotime	31/01/2012	JPG	
OA_5919_PN0949	Zone C		vue en plan	est		Locus 1	UPS 5	I6-19	décapage 1	Paleotime	31/01/2012	JPG	
OA_5919_PN0950	Zone C		vue en plan	est		Locus 1	UPS 5	I6-29	décapage 1	Paleotime	31/01/2012	JPG	
OA_5919_PN0951	Zone C		vue en plan	est		Locus 1	UPS 5	I6-28	décapage 1	Paleotime	31/01/2012	JPG	
OA_5919_PN0952	Zone C		vue en plan	est		Locus 1	UPS 5	I6-18	décapage 1	Paleotime	31/01/2012	JPG	
OA_5919_PN0953	Zone C		vue en plan (détail)	est		Locus 1	UPS 5	I6-18/19/28/29	décapage 1	Paleotime	31/01/2012	JPG	
OA_5919_PN0954	Zone C		vue en plan (détail)	est		Locus 1	UPS 5	I6-18/19/28/29	décapage 1	Paleotime	31/01/2012	JPG	
OA_5919_PN0955	Berme A/C		vue en plan	sud		Locus 12 bis	UPS 4 sommet	mobilier lithique en place	décapage 1	Paleotime	31/01/2012	JPG	
OA_5919_PN0956	Berme A/C		vue en plan	sud		Locus 12 bis	UPS 4 sommet	mobilier lithique en place	décapage 1	Paleotime	31/01/2012	JPG	
OA_5919_PN0957	Berme A/C		vue en plan	sud		Locus 12 bis	UPS 4 sommet	mobilier lithique en place	décapage 1	Paleotime	31/01/2012	JPG	
OA_5919_PN0958	Berme A/C		vue en plan	sud		Locus 12 bis	UPS 4 sommet	mobilier lithique en place	décapage 1	Paleotime	31/01/2012	JPG	
OA_5919_PN0959	Berme A/C		vue oblique (avec Locus 12bis/déc1/sommetUPS4 dans le fond)	nord-ouest		Locus 12	UPS 4/5	mobilier lithique en place	décapage 1 en cours	Paleotime	31/01/2012	JPG	
OA_5919_PN0960	Berme A/C		vue en plan	nord-ouest		Locus 12	UPS 4/5	mobilier lithique en place	décapage 1 en cours	Paleotime	31/01/2012	JPG	
OA_5919_PN0961	Berme A/C		vue en plan	nord-ouest		Locus 12	UPS 4/5	mobilier lithique en place	décapage 1 en cours	Paleotime	31/01/2012	JPG	
OA_5919_PN0962	Berme A/C		vue oblique (avec Locus 12bis/déc1/sommetUPS4 dans le fond)	nord-ouest		Locus 12	UPS 4/5	mobilier lithique en place	décapage 1 en cours	Paleotime	31/01/2012	JPG	
OA_5919_PN0963	Berme A/C		vue oblique (avec Locus 12bis/déc1/sommetUPS4 dans le fond)	nord-ouest		Locus 12	UPS 4/5	mobilier lithique en place	décapage 1 en cours	Paleotime	31/01/2012	JPG	

	Localisation				Description								
Nom photo	Zone	TR	Type de vue	Vue vers	CP	LOG / Locus/ST	UPS	carré / mobilier lithique en place / z=	décapage	Auteur	Date	Extension fichier	Remarques
OA_5919_PN0964	Berme A/C		vue générale	nord		Locus 12 et 12 bis		mobilier lithique en place	décapage 1 en cours	Paleotime	31/01/2012	JPG	
OA_5919_PN0965	Zone C		vue en plan	nord-est		Locus 13	UPS 4	mobilier lithique en place	décapage manuel	Paleotime	31/01/2012	JPG	
OA_5919_PN0966	Zone C		vue en plan	est		Locus 13	UPS 4	mobilier lithique en place	décapage manuel	Paleotime	31/01/2012	JPG	
OA_5919_PN0967	Zone C		vue en plan	est		Locus 13	UPS 4	mobilier lithique en place	décapage manuel	Paleotime	31/01/2012	JPG	
OA_5919_PN0968	Zone C		vue en plan	est		Locus 13	UPS 4	mobilier lithique en place	décapage manuel	Paleotime	31/01/2012	JPG	
OA_5919_PN0969	Zone C		vue en plan (détail)	sud		Locus 13	UPS 4	mobilier lithique en place	décapage manuel	Paleotime	31/01/2012	JPG	
OA_5919_PN0970	Zone C		vue en plan (détail)	sud		Locus 13	UPS 4	mobilier lithique en place	décapage manuel	Paleotime	31/01/2012	JPG	
OA_5919_PN0971	Zone B		vue en coupe	nord	CP18					Paleotime	31/01/2012	JPG	
OA_5919_PN0972	Zone B		vue en coupe	nord	CP18					Paleotime	31/01/2012	JPG	
OA_5919_PN0973	Zone B		vue en coupe	nord	CP18	Log 18-1				Paleotime	31/01/2012	JPG	
OA_5919_PN0974	Zone B		vue en coupe	nord	CP18	Log 18-1				Paleotime	31/01/2012	JPG	
OA_5919_PN0975	Zone B		vue en coupe (détail)	nord	CP18	Log 18-1				Paleotime	31/01/2012	JPG	
OA_5919_PN0976	Zone B		vue en coupe (détail)	nord	CP18	Log 18-1				Paleotime	31/01/2012	JPG	
OA_5919_PN0977	Zone B		vue en coupe (détail)	nord	CP18	Log 18-1				Paleotime	31/01/2012	JPG	
OA_5919_PN0978	Zone B		vue en coupe (détail)	nord	CP18	Log 18-1				Paleotime	31/01/2012	JPG	
OA_5919_PN0979	Zone B		vue en coupe (détail)	nord	CP18	Log 18-1				Paleotime	31/01/2012	JPG	
OA_5919_PN0980	Zone B		vue en coupe (détail)	nord	CP18	Log 18-1				Paleotime	31/01/2012	JPG	
OA_5919_PN0981	Zone C		vue en plan	sud-est		Locus 12	UPS 5	mobilier lithique en place	décapage 1	Paleotime	01/02/2012	JPG	Erreur de date sur la plaque photo: il s'agit du 01
OA_5919_PN0982	Zone C		vue en plan	sud		Locus 12	UPS 5	mobilier lithique en place	décapage 1	Paleotime	01/02/2012	JPG	Erreur de date sur la plaque photo: il s'agit du 01
OA_5919_PN0983	Zone C		vue en plan	sud-est		Locus 12	UPS 5	mobilier lithique en place	décapage 1	Paleotime	01/02/2012	JPG	Erreur de date sur la plaque photo: il s'agit du 01

Nom photo	Localisation				Description					Auteur	Date	Extension fichier	Remarques
	Zone	TR	Type de vue	Vue vers	CP	LOG / Locus/ST	UPS	carré / mobilier lithique en place / z=	décapage				
OA_5919_PN0984	Zone C		vue en plan	nord-ouest		Locus 12	UPS 5	mobilier lithique en place	décapage 1	Paleotime	01/02/2012	JPG	Erreur de date sur la plaque photo: il s'agit du 01
OA_5919_PN0985	Zone C		vue en plan	nord-ouest		Locus 12	UPS 5	mobilier lithique en place	décapage 1	Paleotime	01/02/2012	JPG	Erreur de date sur la plaque photo: il s'agit du 01
OA_5919_PN0986	Zone C		vue en plan	nord-ouest		Locus 12	UPS 5	mobilier lithique en place	décapage 1	Paleotime	01/02/2012	JPG	Erreur de date sur la plaque photo: il s'agit du 01
OA_5919_PN0987	Zone C		vue oblique	nord-ouest		Locus 12	UPS 5	mobilier lithique en place	décapage 1	Paleotime	01/02/2012	JPG	Erreur de date sur la plaque photo: il s'agit du 01
OA_5919_PN0988	Zone C		vue oblique	nord-ouest		Locus 12	UPS 5	mobilier lithique en place	décapage 1	Paleotime	01/02/2012	JPG	Erreur de date sur la plaque photo: il s'agit du 01
OA_5919_PN0989	Zone C		vue oblique	nord		Locus 12	UPS 5	mobilier lithique en place	décapage 1	Paleotime	01/02/2012	JPG	Erreur de date sur la plaque photo: il s'agit du 01
OA_5919_PN0990	Zone C		vue en plan (détail)	est		Locus 12	UPS 5	mobilier lithique en place	décapage 1	Paleotime	01/02/2012	JPG	Erreur de date sur la plaque photo: il s'agit du 01
OA_5919_PN0991	Zone C		vue en plan (détail)	nord		Locus 12	UPS 5	mobilier lithique en place	décapage 1	Paleotime	01/02/2012	JPG	Erreur de date sur la plaque photo: il s'agit du 01
OA_5919_PN0992	Zone C	TR Nord	vue en plan	sud-est			UPS 5	mobilier lithique en place		Paleotime	01/02/2012	JPG	
OA_5919_PN0993	Zone C	TR Nord	vue en plan	sud-est			UPS 5	mobilier lithique en place		Paleotime	01/02/2012	JPG	
OA_5919_PN0994	Zone C	TR Nord	vue en plan	sud-ouest			UPS 5	mobilier lithique en place		Paleotime	01/02/2012	JPG	
OA_5919_PN0995	Zone C	TR Nord	vue en plan	nord-ouest			UPS 5	mobilier lithique en place		Paleotime	01/02/2012	JPG	
OA_5919_PN0996	Zone C	TR Nord	vue oblique	nord-ouest			UPS 5	mobilier lithique en place		Paleotime	01/02/2012	JPG	
OA_5919_PN0997	Zone C		vue en plan	est		Locus 1	UPS 5	I6-18/19/28/29/38/39	décapage 1	Paleotime	02/02/2012	JPG	

Inventaire officiel 5 – Montguyon (17), « Bois Clair ». Inventaire de la documentation photographique

	Localisation				Description								
Nom photo	Zone	TR	Type de vue	Vue vers	CP	LOG / Locus/ST	UPS	carré / mobilier lithique en place / z=	décapage	Auteur	Date	Extension fichier	Remarques
OA_5919_PN0998	Zone C		vue oblique	est		Locus 1	UPS 5	I6-18/19/28/29/38/39	décapage 1	Paleotime	02/02/2012	JPG	
OA_5919_PN0999	Zone C		vue oblique (détail)	est		Locus 1	UPS 5	I6-18/19/28/29/38/39	décapage 1	Paleotime	02/02/2012	JPG	
OA_5919_PN1000	Zone C		vue oblique (détail)	est		Locus 1	UPS 5	I6-18/19/28/29/38/39	décapage 1	Paleotime	02/02/2012	JPG	
OA_5919_PN1001	Zone C		vue en plan	est		Locus 1	UPS 5	I6-19	décapage 1	Paleotime	02/02/2012	JPG	
OA_5919_PN1002	Zone C		vue en plan	est		Locus 1	UPS 5	I6-29/30	décapage 1	Paleotime	02/02/2012	JPG	
OA_5919_PN1003	Zone C		vue en plan	ouest		Locus 1	UPS 5	I6-29/30	décapage 1	Paleotime	02/02/2012	JPG	
OA_5919_PN1004	Zone C		vue en plan	ouest		Locus 1	UPS 5	I6-39/40	décapage 1	Paleotime	02/02/2012	JPG	
OA_5919_PN1005	Zone C		vue en plan	ouest		Locus 1	UPS 5	I6-18/19/28/29/38/39	décapage 1	Paleotime	02/02/2012	JPG	
OA_5919_PN1006	Zone C		vue en plan	ouest		Locus 1	UPS 5	I6-18/19/28/29/38/39	décapage 1	Paleotime	02/02/2012	JPG	
OA_5919_PN1007	Berme A/C		vue en coupe	nord-ouest	CP19					Paleotime	03/02/2012	JPG	
OA_5919_PN1008	Berme A/C		vue en coupe	nord-ouest	CP19					Paleotime	03/02/2012	JPG	
OA_5919_PN1009	Berme A/C		vue en coupe	nord-ouest	CP19					Paleotime	03/02/2012	JPG	
OA_5919_PN1010	Berme A/C		vue en coupe	nord-ouest	CP19					Paleotime	03/02/2012	JPG	
OA_5919_PN1011	Berme A/C		vue en coupe	nord-ouest	CP19					Paleotime	03/02/2012	JPG	
OA_5919_PN1012	Berme A/C		vue en coupe	nord-ouest	CP19					Paleotime	03/02/2012	JPG	
OA_5919_PN1013	Berme A/C		vue en coupe	nord-ouest	CP19					Paleotime	03/02/2012	JPG	
OA_5919_PN1014	Berme A/C		vue en coupe	nord-ouest	CP19					Paleotime	03/02/2012	JPG	
OA_5919_PN1015	Berme A/C		vue en coupe	nord-ouest	CP19	Log 19-1				Paleotime	03/02/2012	JPG	
OA_5919_PN1016	Berme A/C		vue en coupe	nord-ouest	CP19	Log 19-1				Paleotime	03/02/2012	JPG	
OA_5919_PN1017	Berme A/C		vue en coupe (détail)	nord-ouest	CP19	Log 19-1				Paleotime	03/02/2012	JPG	
OA_5919_PN1018	Berme A/C		vue en coupe (détail)	nord-ouest	CP19	Log 19-1				Paleotime	03/02/2012	JPG	
OA_5919_PN1019	Berme A/C		vue en coupe (détail)	nord-ouest	CP19	Log 19-1				Paleotime	03/02/2012	JPG	
OA_5919_PN1020	Berme A/C		vue en coupe (détail)	nord-ouest	CP19	Log 19-1				Paleotime	03/02/2012	JPG	
OA_5919_PN1021	Berme A/C		vue en coupe (détail)	nord-ouest	CP19	Log 19-1				Paleotime	03/02/2012	JPG	
OA_5919_PN1022	Berme A/C		vue en coupe (détail)	nord-ouest	CP19	Log 19-1				Paleotime	03/02/2012	JPG	
OA_5919_PN1023			vue d'ambiance	sud		Locus 11	dégel			Paleotime	13/02/2012	JPG	
OA_5919_PN1024			vue d'ambiance	sud		Locus 11	dégel			Paleotime	13/02/2012	JPG	
OA_5919_PN1025			vue d'ambiance	sud		Locus 11	dégel			Paleotime	13/02/2012	JPG	
OA_5919_PN1026			vue d'ambiance	ouest		Locus 11	dégel			Paleotime	13/02/2012	JPG	
OA_5919_PN1027	Zone B		vue oblique	sud-est	CP12-2					Paleotime	13/02/2012	JPG	
OA_5919_PN1028	Zone B		vue en coupe	est	CP12-2					Paleotime	13/02/2012	JPG	
OA_5919_PN1029	Zone B		vue en coupe	est	CP12-2					Paleotime	13/02/2012	JPG	
OA_5919_PN1030	Zone B		vue en coupe	est	CP12-2	Log 12-2				Paleotime	13/02/2012	JPG	
OA_5919_PN1031	Zone B		vue en coupe (détail)	est	CP12-2	Log 12-2				Paleotime	13/02/2012	JPG	

	Localisation				Description								
Nom photo	Zone	TR	Type de vue	Vue vers	CP	LOG / Locus/ST	UPS	carré / mobilier lithique en place / z=	décapage	Auteur	Date	Extension fichier	Remarques
OA_5919_PN1032	Zone B		vue en coupe (détail)	est	CP12-2	Log 12-2				Paleotime	13/02/2012	JPG	
OA_5919_PN1033	Zone B		vue en coupe (détail)	est	CP12-2	Log 12-2				Paleotime	13/02/2012	JPG	
OA_5919_PN1034	Zone B		vue en coupe (détail)	est	CP12-2	Log 12-2				Paleotime	13/02/2012	JPG	
OA_5919_PN1035	Zone B		vue en coupe	est	CP12-2					Paleotime	13/02/2012	JPG	
OA_5919_PN1036	Zone B		vue en coupe (détail)	est	CP12-2					Paleotime	13/02/2012	JPG	
OA_5919_PN1037	Zone B		vue oblique	sud-ouest	CP08-2					Paleotime	14/02/2012	JPG	
OA_5919_PN1038	Zone B		vue en coupe	ouest	CP08-2					Paleotime	14/02/2012	JPG	
OA_5919_PN1039	Zone B		vue en coupe	ouest	CP08-2					Paleotime	14/02/2012	JPG	
OA_5919_PN1040	Zone B		vue en coupe	ouest	CP08-2					Paleotime	14/02/2012	JPG	
OA_5919_PN1041	Zone B		vue oblique	sud-ouest	CP08-2					Paleotime	14/02/2012	JPG	
OA_5919_PN1042	Zone C		vue en coupe	nord-ouest	CP19-est					Paleotime	14/02/2012	JPG	
OA_5919_PN1043	Zone C		vue en coupe	nord-ouest	CP19-est					Paleotime	14/02/2012	JPG	
OA_5919_PN1044	Zone C		vue en coupe	nord-ouest	CP19-est					Paleotime	14/02/2012	JPG	
OA_5919_PN1045	Zone C		vue en coupe	nord-ouest	CP19-est					Paleotime	14/02/2012	JPG	
OA_5919_PN1046	Zone C		vue en coupe	nord-ouest	CP19-est					Paleotime	14/02/2012	JPG	
OA_5919_PN1047	Zone C		vue en coupe	nord-ouest	CP19-est					Paleotime	14/02/2012	JPG	
OA_5919_PN1048	Zone C		vue en coupe	nord-ouest	CP19-est					Paleotime	14/02/2012	JPG	
OA_5919_PN1049	Zone C		vue en coupe	nord-ouest	CP19-est					Paleotime	14/02/2012	JPG	
OA_5919_PN1050	Zone C		vue en coupe	nord-ouest	CP19-est					Paleotime	14/02/2012	JPG	
OA_5919_PN1051	Zone C		vue en coupe	nord-ouest	CP19-est					Paleotime	14/02/2012	JPG	
OA_5919_PN1052	Zone C		vue en coupe	nord-ouest	CP19-est					Paleotime	14/02/2012	JPG	
OA_5919_PN1053	Zone C		vue en coupe	nord-ouest	CP19-est					Paleotime	14/02/2012	JPG	
OA_5919_PN1054	Zone C		vue en coupe	nord-ouest	CP19-est					Paleotime	14/02/2012	JPG	
OA_5919_PN1055	Zone C		vue en coupe	nord-ouest	CP19-est					Paleotime	14/02/2012	JPG	
OA_5919_PN1056	Zone C		vue en coupe	nord-ouest	CP19-est					Paleotime	14/02/2012	JPG	
OA_5919_PN1057	Zone C		vue en coupe	nord-ouest	CP19-est					Paleotime	14/02/2012	JPG	
OA_5919_PN1058	Zone C		vue en coupe	nord-ouest	CP19-est					Paleotime	14/02/2012	JPG	
OA_5919_PN1059	Zone C		vue oblique	nord-ouest	CP19-est					Paleotime	14/02/2012	JPG	
OA_5919_PN1060	Zone C		vue oblique	nord-ouest	CP19-est					Paleotime	14/02/2012	JPG	
OA_5919_PN1061	Zone C		vue en coupe (détail)	nord-ouest	CP19-est					Paleotime	14/02/2012	JPG	
OA_5919_PN1062	Zone C		vue en coupe (détail)	nord-ouest	CP19-est					Paleotime	14/02/2012	JPG	
OA_5919_PN1063	Zone C		vue en coupe (détail)	nord-ouest	CP19-est					Paleotime	14/02/2012	JPG	
OA_5919_PN1064	Zone C		vue oblique	sud-est	CP10					Paleotime	14/02/2012	JPG	
OA_5919_PN1065	Zone C		vue en coupe	est	CP10					Paleotime	14/02/2012	JPG	
OA_5919_PN1066	Zone C		vue oblique	nord-est	CP10					Paleotime	14/02/2012	JPG	
OA_5919_PN1067	Zone C		vue en coupe	est	CP10					Paleotime	14/02/2012	JPG	
OA_5919_PN1068	Zone C		vue en coupe	est	CP10					Paleotime	14/02/2012	JPG	
OA_5919_PN1069	Zone C		vue en coupe	est	CP10					Paleotime	14/02/2012	JPG	
OA_5919_PN1070	Zone C		vue en coupe	est	CP10					Paleotime	14/02/2012	JPG	
OA_5919_PN1071	Zone C		vue en coupe (détail)	est	CP10					Paleotime	14/02/2012	JPG	
OA_5919_PN1072	Zone C		vue en coupe (détail)	est	CP10					Paleotime	14/02/2012	JPG	
OA_5919_PN1073	Zone C		vue en coupe (détail)	est	CP10		épaisseur gel			Paleotime	14/02/2012	JPG	

	Localisation				Description								
Nom photo	Zone	TR	Type de vue	Vue vers	CP	LOG / Locus/ST	UPS	carré / mobilier lithique en place / z=	décapage	Auteur	Date	Extension fichier	Remarques
OA_5919_PN1074	Zone C		vue en coupe	est	CP10		UPS 3 peu visible si sol humide			Paleotime	14/02/2012	JPG	
OA_5919_PN1075	Berme A/B		vue en plan	nord		Locus 11 sud			décapage 1	Paleotime	14/02/2012	JPG	
OA_5919_PN1076	Berme A/B		vue en plan	nord		Locus 11 sud			décapage 1	Paleotime	14/02/2012	JPG	
OA_5919_PN1077	Berme A/B		vue en plan	nord		Locus 11 sud			décapage 1	Paleotime	14/02/2012	JPG	
OA_5919_PN1078	Berme A/B		vue oblique	nord		Locus 11 sud			décapage 1	Paleotime	14/02/2012	JPG	
OA_5919_PN1079	Berme A/B		vue en plan	ouest		Locus 11 sud			décapage 1	Paleotime	14/02/2012	JPG	
OA_5919_PN1080	Berme A/B		vue oblique	sud-est		Locus 11 sud			décapage 1	Paleotime	14/02/2012	JPG	
OA_5919_PN1081	Zone B		vue générale	sud-ouest			UPS 7 sommet (réseau graviers ?)			Paleotime	14/02/2012	JPG	
OA_5919_PN1082	Zone B		vue générale	sud-est			UPS 7 sommet (réseau graviers ?)			Paleotime	14/02/2012	JPG	
OA_5919_PN1083	Zone B		vue générale	ouest			UPS 4 (glosses)			Paleotime	14/02/2012	JPG	
OA_5919_PN1084	Zone A ouest		vue en plan (détail)				UPS 7 sommet (réseau graviers ?)			Paleotime	14/02/2012	JPG	
OA_5919_PN1085	Zone A ouest		vue en plan (détail)				UPS 7 sommet (réseau graviers ?)			Paleotime	14/02/2012	JPG	
OA_5919_PN1086	Zone A ouest		vue générale	est			UPS 7 sommet (réseau graviers ?)			Paleotime	14/02/2012	JPG	
OA_5919_PN1087	Zone A est et C		vue générale	est			UPS 7 sommet			Paleotime	14/02/2012	JPG	
OA_5919_PN1088	Zone A est et B		vue générale	sud-est						Paleotime	14/02/2012	JPG	
OA_5919_PN1089	Zone C		vue générale	sud-est	CP09					Paleotime	14/02/2012	JPG	
OA_5919_PN1090	Berme A/B		vue en plan	ouest		Locus 11 nord		K4-64/54c-d/65/55	décapage 1	Paleotime	15/02/2012	JPG	
OA_5919_PN1091	Berme A/B		vue en plan	ouest		Locus 11 nord		K4-64/54c-d/65/55	décapage 1	Paleotime	15/02/2012	JPG	
OA_5919_PN1092	Berme A/B		vue en plan	ouest		Locus 11 nord		K4-64/54c-d/65/55	décapage 1	Paleotime	15/02/2012	JPG	
OA_5919_PN1093	Berme A/B		vue en plan	est		Locus 11 nord		K4-54c-d/K4-64	décapage 1	Paleotime	15/02/2012	JPG	
OA_5919_PN1094	Berme A/B		vue en plan	est		Locus 11 nord		K4-54c/d/K4-64	décapage 1	Paleotime	15/02/2012	JPG	
OA_5919_PN1095	Berme A/B		vue en plan	sud		Locus 11 sud		K4-85	décapage 1	Paleotime	15/02/2012	JPG	
OA_5919_PN1096	Berme A/B		vue en plan	sud		Locus 11 sud		K4-85	décapage 1	Paleotime	15/02/2012	JPG	
OA_5919_PN1097	Berme A/B		vue en plan	sud		Locus 11 sud		K4-84	décapage 1	Paleotime	15/02/2012	JPG	
OA_5919_PN1098	Berme A/B		vue en plan	sud		Locus 11 sud		K4-84	décapage 1	Paleotime	15/02/2012	JPG	
OA_5919_PN1099	Berme A/B		vue en plan	est		Locus 11 sud		K4-95	décapage 1	Paleotime	15/02/2012	JPG	
OA_5919_PN1100	Berme A/B		vue en plan	est		Locus 11 sud		K4-95	décapage 1	Paleotime	15/02/2012	JPG	
OA_5919_PN1101	Berme A/B		vue en plan	est		Locus 11 sud		K4-95	décapage 1	Paleotime	15/02/2012	JPG	
OA_5919_PN1102	Zone B		vue d'ambiance	nord-ouest		Locus 9			décapage 3	Paleotime	15/02/2012	JPG	
OA_5919_PN1103	Zone B		vue générale	nord		Locus 9		L4-28/29/38/39/48/49	décapage 3	Paleotime	15/02/2012	JPG	
OA_5919_PN1104	Zone B		vue générale	nord		Locus 9		L4-28/29/38/39/48/49	décapage 3	Paleotime	15/02/2012	JPG	

	Localisation				Description								
Nom photo	Zone	TR	Type de vue	Vue vers	CP	LOG / Locus/ST	UPS	carré / mobilier lithique en place / z=	décapage	Auteur	Date	Extension fichier	Remarques
OA_5919_PN1105	Zone B		vue générale	nord		Locus 9		L4-28/29/38/39/48/49	décapage 3	Paleotime	15/02/2012	JPG	
OA_5919_PN1106	Zone B		vue générale	nord		Locus 9		L4-28/29/38/39/48/49	décapage 3	Paleotime	15/02/2012	JPG	
OA_5919_PN1107	Zone B		vue en plan	est		Locus 9		L4-28	décapage 3	Paleotime	15/02/2012	JPG	
OA_5919_PN1108	Zone B		vue en plan	est		Locus 9		L4-29	décapage 3	Paleotime	15/02/2012	JPG	
OA_5919_PN1109	Zone B		vue en plan	est		Locus 9		L4-29	décapage 3	Paleotime	15/02/2012	JPG	
OA_5919_PN1110	Zone B		vue en plan	est		Locus 9		L4-39	décapage 3	Paleotime	15/02/2012	JPG	
OA_5919_PN1111	Zone B		vue en plan	est		Locus 9		L4-39	décapage 3	Paleotime	15/02/2012	JPG	
OA_5919_PN1112	Zone B		vue en plan	est		Locus 9		L4-38	décapage 3	Paleotime	15/02/2012	JPG	
OA_5919_PN1113	Zone B		vue en plan	est		Locus 9		L4-48	décapage 3	Paleotime	15/02/2012	JPG	
OA_5919_PN1114	Zone B		vue en plan	est		Locus 9		L4-28	décapage 3	Paleotime	15/02/2012	JPG	
OA_5919_PN1115	Zone C		vue en coupe	nord	CP19-est					Paleotime	15/02/2012	JPG	
OA_5919_PN1116	Zone C		vue en coupe	nord	CP19-est					Paleotime	15/02/2012	JPG	
OA_5919_PN1117	Zone C		vue en coupe	nord	CP19-est					Paleotime	15/02/2012	JPG	
OA_5919_PN1118	Zone C		vue en coupe	nord	CP19-est					Paleotime	15/02/2012	JPG	
OA_5919_PN1119	Zone C		vue en coupe	nord	CP19-est					Paleotime	15/02/2012	JPG	
OA_5919_PN1120	Zone C		vue en coupe	nord	CP19-est					Paleotime	15/02/2012	JPG	
OA_5919_PN1121	Zone C		vue en coupe	nord	CP19-est					Paleotime	15/02/2012	JPG	
OA_5919_PN1122	Zone C		vue en coupe	nord	CP19-est					Paleotime	15/02/2012	JPG	
OA_5919_PN1123	Zone C		vue en coupe	nord	CP19-est					Paleotime	15/02/2012	JPG	
OA_5919_PN1124	Zone C		vue en coupe	nord	CP19-est	Log 19-1				Paleotime	15/02/2012	JPG	
OA_5919_PN1125	Zone C		vue en coupe (détail)	nord	CP19-est	Log 19-1				Paleotime	15/02/2012	JPG	
OA_5919_PN1126	Zone C		vue en coupe (détail)	nord	CP19-est	Log 19-1				Paleotime	15/02/2012	JPG	
OA_5919_PN1127	Zone C		vue en coupe	sud	CP09-2		dégel			Paleotime	15/02/2012	JPG	
OA_5919_PN1128	Zone C		vue oblique	sud	CP09-2		dégel			Paleotime	15/02/2012	JPG	
OA_5919_PN1129	Zone C		vue en coupe	sud-est	CP09-2		dégel			Paleotime	15/02/2012	JPG	
OA_5919_PN1130	Zone C		vue en coupe	sud	CP09-2					Paleotime	15/02/2012	JPG	
OA_5919_PN1131	Zone C		vue en coupe	sud	CP09-2	Log 09-2				Paleotime	15/02/2012	JPG	
OA_5919_PN1132	Zone C		vue en coupe	sud	CP09-2	Log 09-2				Paleotime	15/02/2012	JPG	
OA_5919_PN1133	Zone C		vue en coupe (détail)	sud	CP09-2	Log 09-2				Paleotime	15/02/2012	JPG	
OA_5919_PN1134	Zone C		vue en coupe (détail)	sud	CP09-2	Log 09-2				Paleotime	15/02/2012	JPG	
OA_5919_PN1135	Zone C		vue en coupe (détail)	sud	CP09-2	Log 09-2				Paleotime	15/02/2012	JPG	
OA_5919_PN1136	Zone C		vue en coupe (détail)	sud	CP09-2	Log 09-2				Paleotime	15/02/2012	JPG	
OA_5919_PN1137	Zone C		vue en coupe	est	CP10		dégel			Paleotime	15/02/2012	JPG	
OA_5919_PN1138	Zone C		vue en coupe	est	CP10		dégel			Paleotime	15/02/2012	JPG	
OA_5919_PN1139	Zone C		vue en coupe (détail)	est	CP10		dégel			Paleotime	15/02/2012	JPG	
OA_5919_PN1140	Zone B		vue en plan (détail)	est		Locus 9	sable sous la pièce	L4-38 (PT3582)	décapage 3	Paleotime	15/02/2012	JPG	
OA_5919_PN1141	Zone B		vue en plan (détail)	est		Locus 9	sable sous la pièce	L4-38 (PT3582)	décapage 3	Paleotime	15/02/2012	JPG	
OA_5919_PN1142	Zone B		vue en plan (détail)	nord		Locus 9	sable sous la pièce	L4-38 (PT3582)	décapage 3	Paleotime	15/02/2012	JPG	

	Localisation				Description								
Nom photo	Zone	TR	Type de vue	Vue vers	CP	LOG / Locus/ST	UPS	carré / mobilier lithique en place / z=	décapage	Auteur	Date	Extension fichier	Remarques
OA_5919_PN1143	Zone B		vue en plan (détail)	nord		Locus 9	sable sous la pièce	L4-38 (PT3582)	décapage 3	Paleotime	15/02/2012	JPG	
OA_5919_PN1144	Zone B		vue en plan (détail)	est		Locus 9	sable sous la pièce	L4-38 (PT3582)	décapage 3	Paleotime	15/02/2012	JPG	
OA_5919_PN1145	Zone A est		vue en coupe	nord	CP19-ouest					Paleotime	15/02/2012	JPG	
OA_5919_PN1146	Zone A est		vue en coupe	nord	CP19-ouest					Paleotime	15/02/2012	JPG	
OA_5919_PN1147	Zone A est		vue en coupe	nord	CP19-ouest					Paleotime	15/02/2012	JPG	
OA_5919_PN1148	Zone A est		vue en coupe	nord	CP19-ouest					Paleotime	15/02/2012	JPG	
OA_5919_PN1149	Zone A est		vue oblique	nord-est	CP19-ouest					Paleotime	15/02/2012	JPG	
OA_5919_PN1150	Zone A est		vue oblique	nord-ouest	CP19-ouest					Paleotime	15/02/2012	JPG	
OA_5919_PN1151	Zone A est		vue oblique	nord-ouest	CP19-ouest					Paleotime	15/02/2012	JPG	
OA_5919_PN1152	Zone C		vue générale	sud						Paleotime	15/02/2012	JPG	
OA_5919_PN1153	Zone D		vue générale	sud-est						Paleotime	15/02/2012	JPG	
OA_5919_PN1154	Zone C		vue d'ambiance	sud-est	CP09-2		prélèvements micromorphologie (PR42 à PR47)			Paleotime	15/02/2012	JPG	
OA_5919_PN1155	Zone C		vue en coupe	sud	CP09-2					Paleotime	16/02/2012	JPG	
OA_5919_PN1156	Zone C		vue en coupe (détail)	sud	CP09-2					Paleotime	16/02/2012	JPG	
OA_5919_PN1157	Zone C		vue en coupe (détail)	sud	CP09-2					Paleotime	16/02/2012	JPG	
OA_5919_PN1158	Zone B		vue en coupe	nord-nord-est	CP18					Paleotime	16/02/2012	JPG	
OA_5919_PN1159	Zone B		vue en coupe (détail)	nord-nord-est	CP18					Paleotime	16/02/2012	JPG	
OA_5919_PN1160	Zone B		vue en coupe (détail)	nord-nord-est	CP18					Paleotime	16/02/2012	JPG	
OA_5919_PN1161	Zone B		vue oblique	nord-ouest	CP18-est	Locus 7				Paleotime	16/02/2012	JPG	
OA_5919_PN1162	Zone B		vue en coupe	nord-ouest	CP18-est	Locus 7				Paleotime	16/02/2012	JPG	
OA_5919_PN1163	Zone B		vue en coupe	sud-est	CP01-3		dégel			Paleotime	16/02/2012	JPG	
OA_5919_PN1164	Zone B		vue en coupe (détail)	sud-est	CP01-3		dégel			Paleotime	16/02/2012	JPG	
OA_5919_PN1165	Zone B		vue en coupe	sud-est	CP01		dégel			Paleotime	16/02/2012	JPG	
OA_5919_PN1166	Zone C		vue en coupe	sud	CP09-2		prélèvements micromorphologie (PR42 à PR47)			Paleotime	16/02/2012	JPG	
OA_5919_PN1167	Zone C		vue en coupe (détail)	sud	CP09-2		prélèvements micromorphologie (PR42 à PR47)			Paleotime	16/02/2012	JPG	
OA_5919_PN1168	Zone C		vue en coupe (détail)	sud	CP09-2		prélèvements micromorphologie (PR42 à PR47)			Paleotime	16/02/2012	JPG	
OA_5919_PN1169	Zone C		vue en coupe (détail)	sud	CP09-2		prélèvements micromorphologie (PR42 à PR47)			Paleotime	16/02/2012	JPG	
OA_5919_PN1170	Zone C		vue oblique	nord-ouest		Locus 12			décapage 2	Paleotime	16/02/2012	JPG	
OA_5919_PN1171	Zone C		vue oblique	nord-ouest		Locus 12			décapage 2	Paleotime	16/02/2012	JPG	
OA_5919_PN1172	Zone C		vue en plan	nord-ouest		Locus 12			décapage 2	Paleotime	16/02/2012	JPG	

	Localisation				Description								
Nom photo	Zone	TR	Type de vue	Vue vers	CP	LOG / Locus/ST	UPS	carré / mobilier lithique en place / z=	décapage	Auteur	Date	Extension fichier	Remarques
OA_5919_PN1173	Zone C		vue oblique	sud-est		Locus 12			décapage 2	Paleotime	16/02/2012	JPG	
OA_5919_PN1174	Zone C		vue en coupe	sud	CP09-2		prélèvements micromorphologie (PR42 à PR47)			Paleotime	16/02/2012	JPG	
OA_5919_PN1175	Zone C		vue générale	sud	CP09-2		prélèvements micromorphologie (PR42 à PR47)			Paleotime	16/02/2012	JPG	
OA_5919_PN1176	Zone B		vue générale	nord		Locus 9		L4-28/29/38/39	décapage 4	Paleotime	17/02/2012	JPG	
OA_5919_PN1177	Zone B		vue oblique	nord		Locus 9		L4-28/29/38/39	décapage 4	Paleotime	17/02/2012	JPG	
OA_5919_PN1178	Zone B		vue générale	nord		Locus 9		L4-28/29/38/39	décapage 4	Paleotime	17/02/2012	JPG	
OA_5919_PN1179	Zone B		vue en plan	est		Locus 9		L4-28	décapage 4	Paleotime	17/02/2012	JPG	
OA_5919_PN1180	Zone B		vue en plan	est		Locus 9		L4-28/29	décapage 4	Paleotime	17/02/2012	JPG	
OA_5919_PN1181	Zone B		vue en plan	est		Locus 9		L4-28	décapage 4	Paleotime	17/02/2012	JPG	
OA_5919_PN1182	Zone B		vue en plan	est		Locus 9		L4-29	décapage 4	Paleotime	17/02/2012	JPG	
OA_5919_PN1183	Zone B		vue en plan	est		Locus 9		L4-38	décapage 4	Paleotime	17/02/2012	JPG	
OA_5919_PN1184	Zone B		vue en plan	est		Locus 9		L4-39	décapage 4	Paleotime	17/02/2012	JPG	
OA_5919_PN1185			vue des prélèvements		CP09-2		prélèvements micromorphologie (PR42 à PR47)			Paleotime	17/02/2012	JPG	
OA_5919_PN1186			vue des prélèvements		CP09-2		prélèvements micromorphologie (PR42 à PR47)			Paleotime	17/02/2012	JPG	
OA_5919_PN1187			vue des prélèvements		CP09-2		prélèvements micromorphologie (PR42 à PR47)			Paleotime	17/02/2012	JPG	
OA_5919_PN1188	Tranche conditionnelle		vue générale	nord	CP04		dégel			Paleotime	17/02/2012	JPG	
OA_5919_PN1189	Zone C		vue en coupe (détail)	est	CP10		structure lamellaire			Paleotime	17/02/2012	JPG	
OA_5919_PN1190	Zone C		vue en coupe (détail)	est	CP10		structure lamellaire			Paleotime	17/02/2012	JPG	
OA_5919_PN1191	Zone A est		vue en plan	est		Locus 0	UPS 4 sommet	K3-100a	décapage 1	Paleotime	20/02/2012	JPG	
OA_5919_PN1192	Zone A est		vue oblique	est		Locus 0	UPS 4 sommet	K3-100a	décapage 1	Paleotime	20/02/2012	JPG	
OA_5919_PN1193	Zone A est		vue en plan	ouest		Locus 0	UPS 4 sommet	K3-100a	décapage 1	Paleotime	20/02/2012	JPG	
OA_5919_PN1194	Zone B		vue générale	nord		Locus 9		L4-28/29/38/39	décapage 5	Paleotime	20/02/2012	JPG	
OA_5919_PN1195	Zone B		vue générale	nord		Locus 9		L4-28/29/38/39	décapage 5	Paleotime	20/02/2012	JPG	
OA_5919_PN1196	Zone B		vue oblique	nord		Locus 9		L4-28/29/38/39	décapage 5	Paleotime	20/02/2012	JPG	
OA_5919_PN1197	Zone B		vue générale	nord		Locus 9		L4-28/29/38/39	décapage 5	Paleotime	20/02/2012	JPG	
OA_5919_PN1198	Zone B		vue en plan	est		Locus 9		L4-28	décapage 5	Paleotime	20/02/2012	JPG	
OA_5919_PN1199	Zone B		vue en plan	est		Locus 9		L4-38	décapage 5	Paleotime	20/02/2012	JPG	
OA_5919_PN1200	Zone B		vue en plan	est		Locus 9		L4-39	décapage 5	Paleotime	20/02/2012	JPG	
OA_5919_PN1201	Zone B		vue en plan	est		Locus 9		L4-28	décapage 5	Paleotime	20/02/2012	JPG	
OA_5919_PN1202	Zone B		vue en plan	est		Locus 9		L4-28	décapage 5	Paleotime	20/02/2012	JPG	
OA_5919_PN1203	Zone C		vue générale	sud-est		Locus 13			décapage 2	Paleotime	20/02/2012	JPG	
OA_5919_PN1204	Zone C		vue générale	sud-est		Locus 13			décapage 2	Paleotime	20/02/2012	JPG	
OA_5919_PN1205	Zone C		vue générale	sud		Locus 13			décapage 2	Paleotime	20/02/2012	JPG	
OA_5919_PN1206	Zone C		vue générale	sud		Locus 13			décapage 2	Paleotime	20/02/2012	JPG	

	Localisation				Description								
Nom photo	Zone	TR	Type de vue	Vue vers	CP	LOG / Locus/ST	UPS	carré / mobilier lithique en place / z=	décapage	Auteur	Date	Extension fichier	Remarques
OA_5919_PN1207	Zone B		vue en coupe	ouest	CP20	Locus 9				Paleotime	20/02/2012	JPG	
OA_5919_PN1208	Zone B		vue en coupe	ouest	CP20	Locus 9				Paleotime	20/02/2012	JPG	
OA_5919_PN1209	Zone B		vue en coupe	ouest	CP20	Log 20-2				Paleotime	21/02/2012	JPG	
OA_5919_PN1210	Zone B		vue en coupe	ouest	CP20	Log 20-2				Paleotime	21/02/2012	JPG	
OA_5919_PN1211	Zone B		vue en coupe	ouest	CP20	Log 20-2				Paleotime	21/02/2012	JPG	
OA_5919_PN1212	Zone B		vue en coupe	ouest	CP20	Log 20-2				Paleotime	21/02/2012	JPG	
OA_5919_PN1213	Zone B		vue en coupe (détail)	ouest	CP20	Log 20-2				Paleotime	21/02/2012	JPG	
OA_5919_PN1214	Zone B		vue en coupe (détail)	ouest	CP20	Log 20-2				Paleotime	21/02/2012	JPG	
OA_5919_PN1215	Zone A est		vue en plan	est		Locus 0	UPS 4	K3-100a	décapage 2	Paleotime	21/02/2012	JPG	Erreur sur la plaque photo : il s'agit du décapage 2 et non du 1.
OA_5919_PN1216	Zone B		vue en coupe (détail)	ouest	CP20	Log 20-2	prélèvements micromorphologie (PR58)			Paleotime	21/02/2012	JPG	
OA_5919_PN1217	Zone B		vue en coupe (détail)	ouest	CP20	Log 20-2	prélèvements micromorphologie (PR58)			Paleotime	21/02/2012	JPG	
OA_5919_PN1218	Zone B		vue des prélèvements		CP20	Log 20-2	prélèvements micromorphologie (PR58)			Paleotime	21/02/2012	JPG	
OA_5919_PN1219	Zone B		vue des prélèvements		CP20	Log 20-2	prélèvements micromorphologie (PR58)			Paleotime	21/02/2012	JPG	
OA_5919_PN1220	Zone C		vue oblique	nord-ouest		Locus 14	UPS 4a		décapage 2	Paleotime	21/02/2012	JPG	
OA_5919_PN1221	Zone C		vue oblique	nord-ouest		Locus 14	UPS 4a		décapage 2	Paleotime	21/02/2012	JPG	
OA_5919_PN1222	Zone C		vue oblique	nord-ouest		Locus 14	UPS 4a		décapage 2	Paleotime	21/02/2012	JPG	
OA_5919_PN1223	Zone C		vue en plan	sud-est		Locus 14	UPS 4a		décapage 2	Paleotime	21/02/2012	JPG	
OA_5919_PN1224	Zone C		vue en plan	sud-est		Locus 14	UPS 4a		décapage 2	Paleotime	21/02/2012	JPG	
OA_5919_PN1225	Zone C		vue en plan	sud-est		Locus 14	UPS 4a		décapage 2	Paleotime	21/02/2012	JPG	
OA_5919_PN1226	Zone A est		vue en plan	est		Locus 0		K3-90c	décapage 4	Paleotime	22/02/2012	JPG	
OA_5919_PN1227	Zone A est		vue en plan	est		Locus 0		K3-90c	décapage 4	Paleotime	22/02/2012	JPG	
OA_5919_PN1228	Zone A est		vue en plan	est		Locus 0		K3-90c	décapage 4	Paleotime	22/02/2012	JPG	
OA_5919_PN1229	Zone A est		vue en plan	est		Locus 0		K3-90c	décapage 4	Paleotime	22/02/2012	JPG	
OA_5919_PN1230	Zone A est		vue en plan (détail)	est		Locus 0		K3-90c	décapage 4	Paleotime	22/02/2012	JPG	
OA_5919_PN1231	Zone B		vue oblique	ouest		Locus 9		L4-37b	décapage 4	Paleotime	23/02/2012	JPG	
OA_5919_PN1232	Zone B		vue oblique	ouest		Locus 9		L4-37b	décapage 4	Paleotime	23/02/2012	JPG	
OA_5919_PN1233	Zone B		vue en plan	est		Locus 9		L4-37b	décapage 4	Paleotime	23/02/2012	JPG	
OA_5919_PN1234	Zone B		vue en plan	est		Locus 9		L4-37b	décapage 4	Paleotime	23/02/2012	JPG	
OA_5919_PN1235	Zone C		vue en coupe	ouest	CP21	Locus 15				Paleotime	23/02/2012	JPG	
OA_5919_PN1236	Zone C		vue en coupe	ouest	CP21	Locus 15				Paleotime	23/02/2012	JPG	
OA_5919_PN1237	Zone C		vue en coupe (détail)	ouest	CP21	Locus 15				Paleotime	23/02/2012	JPG	
OA_5919_PN1238	Zone C		vue oblique	nord-ouest	CP21	Locus 15				Paleotime	23/02/2012	JPG	
OA_5919_PN1239		TR108 sud			relevé de terrain INRAP					Paleotime	23/02/2012	JPG	
OA_5919_PN1240		TR108 sud			relevé de terrain INRAP					Paleotime	23/02/2012	JPG	

	Localisation				Description								
Nom photo	Zone	TR	Type de vue	Vue vers	CP	LOG / Locus/ST	UPS	carré / mobilier lithique en place / z=	décapage	Auteur	Date	Extension fichier	Remarques
OA_5919_PN1241	Zone B		vue en plan	sud		Locus 9	UPS 4	L4-27	décapage 3 éq. 2 en 27a et décapage 4 éq. 3 en 27b	Paleotime	23/02/2012	JPG	
OA_5919_PN1242	Zone B		vue en plan	sud		Locus 9	UPS 4	L4-27	décapage 3 éq. 2 en 27a et décapage 4 éq. 3 en 27b	Paleotime	23/02/2012	JPG	
OA_5919_PN1243	Zone B		vue en plan (détail)	ouest		Locus 9	UPS 4	L4-27	décapage 3 éq. 2 en 27a et décapage 4 éq. 3 en 27b	Paleotime	23/02/2012	JPG	
OA_5919_PN1244	Zone B		vue en plan (détail)	ouest		Locus 9	UPS 4	L4-27	décapage 3 éq. 2 en 27a et décapage 4 éq. 3 en 27b	Paleotime	23/02/2012	JPG	
OA_5919_PN1245	Zone B		vue oblique (détail)	nord-ouest		Locus 9	UPS 4	L4-27	décapage 3 éq. 2 en 27a et décapage 4 éq. 3 en 27b	Paleotime	23/02/2012	JPG	
OA_5919_PN1246	Zone B		vue oblique (détail)	nord-ouest		Locus 9	UPS 4	L4-27	décapage 3 éq. 2 en 27a et décapage 4 éq. 3 en 27b	Paleotime	23/02/2012	JPG	
OA_5919_PN1247	Zone B		vue en plan (détail)	est		Locus 9	UPS 4	L4-27	décapage 3 éq. 2 en 27a et décapage 4 éq. 3 en 27b	Paleotime	23/02/2012	JPG	
OA_5919_PN1248	Zone C		vue en plan	sud-ouest		Locus 12 bis			décapage 2/rasettage	Paleotime	24/02/2012	JPG	Le nom des carrés marqués sur stirons sont faux.
OA_5919_PN1249	Zone C		vue en plan	sud-ouest		Locus 12 bis			décapage 2/rasettage	Paleotime	24/02/2012	JPG	Le nom des carrés marqués sur stirons sont faux.
OA_5919_PN1250	Zone C		vue en plan	sud		Locus 12 bis			décapage 2/rasettage	Paleotime	24/02/2012	JPG	Le nom des carrés marqués sur stirons sont faux.
OA_5919_PN1251	Zone C		vue en plan	sud		Locus 12 bis			décapage 2/rasettage	Paleotime	24/02/2012	JPG	Le nom des carrés marqués sur stirons sont faux.
OA_5919_PN1252	Zone C		vue en plan	sud		Locus 12 bis			décapage 2/rasettage	Paleotime	24/02/2012	JPG	Le nom des carrés marqués sur stirons sont faux.
OA_5919_PN1253	Zone C		vue en plan	sud		Locus 12 bis			décapage 2/rasettage	Paleotime	24/02/2012	JPG	Le nom des carrés marqués sur stirons sont faux.

	Localisation				Description								
Nom photo	Zone	TR	Type de vue	Vue vers	CP	LOG / Locus/ST	UPS	carré / mobilier lithique en place / z=	décapage	Auteur	Date	Extension fichier	Remarques
OA_5919_PN1254	Zone C		vue en plan	sud		Locus 12 bis			décapage 2/rasettage	Paleotime	24/02/2012	JPG	Le nom des carrés marqués sur stirons sont faux.
OA_5919_PN1255	Zone C		vue en plan	sud		Locus 12 bis			décapage 2/rasettage	Paleotime	24/02/2012	JPG	Le nom des carrés marqués sur stirons sont faux.
OA_5919_PN1256	Zone C		vue en plan	ouest		Locus 15	UPS 4a	I4-89/99	décapage 1	Paleotime	24/02/2012	JPG	
OA_5919_PN1257	Zone C		vue en plan	ouest		Locus 15	UPS 4a	I4-89/99	décapage 1	Paleotime	24/02/2012	JPG	
OA_5919_PN1258	Zone C		vue en plan (détail)	sud		Locus 15	UPS 4a	I4-89/99	décapage 1	Paleotime	24/02/2012	JPG	
OA_5919_PN1259	Zone C		vue en plan (détail)	est		Locus 15	UPS 4a	I4-89/99	décapage 1	Paleotime	24/02/2012	JPG	
OA_5919_PN1260	Zone A est		vue en coupe	est	CP05	Locus 0				Paleotime	27/02/2012	JPG	
OA_5919_PN1261	Zone A est		vue en coupe	est	CP05	Locus 0				Paleotime	27/02/2012	JPG	
OA_5919_PN1262	Zone A est		vue en coupe	est	CP05	Log 05-4				Paleotime	27/02/2012	JPG	
OA_5919_PN1263	Zone A est		vue en coupe (détail)	est	CP05	Log 05-4				Paleotime	27/02/2012	JPG	
OA_5919_PN1264	Zone A est		vue en coupe (détail)	est	CP05	Log 05-4				Paleotime	27/02/2012	JPG	
OA_5919_PN1265	Zone A est		vue en coupe (détail)	est	CP05	Log 05-4				Paleotime	27/02/2012	JPG	
OA_5919_PN1266	Zone B		vue générale	sud		Locus 9		L4-17c-d	décapage 2 éq. 1	Paleotime	28/02/2012	JPG	
OA_5919_PN1267	Zone B		vue générale	sud		Locus 9		L4-17c-d	décapage 2 éq. 1	Paleotime	28/02/2012	JPG	
OA_5919_PN1268	Zone B		vue générale	ouest		Locus 9		L4-27b	décapage 4	Paleotime	28/02/2012	JPG	
OA_5919_PN1269	Zone B		vue en plan (détail)	est		Locus 9		L4-17c/27a	décapage 2/3	Paleotime	28/02/2012	JPG	
OA_5919_PN1270	Zone B		vue oblique (détail)	sud-ouest		Locus 9		L4-17c/27a	décapage 2/3	Paleotime	28/02/2012	JPG	
OA_5919_PN1271	Zone A est		vue oblique	sud-est	CP05					Paleotime	28/02/2012	JPG	
OA_5919_PN1272	Zone A est		vue oblique	nord-est	CP05					Paleotime	28/02/2012	JPG	
OA_5919_PN1273	Zone A est		vue en coupe	est	CP05					Paleotime	29/02/2012	JPG	
OA_5919_PN1274	Zone A est		vue en coupe	est	CP05					Paleotime	29/02/2012	JPG	
OA_5919_PN1275	Zone A est		vue en coupe	est	CP05					Paleotime	29/02/2012	JPG	
OA_5919_PN1276	Zone A est		vue en coupe (détail)	est	CP05					Paleotime	29/02/2012	JPG	
OA_5919_PN1277	Zone A est		vue en coupe (détail)	est	CP05					Paleotime	29/02/2012	JPG	
OA_5919_PN1278	Zone A est		vue en coupe (détail)	est	CP05					Paleotime	29/02/2012	JPG	
OA_5919_PN1279	Zone A est		vue en coupe (détail)	est	CP05					Paleotime	29/02/2012	JPG	
OA_5919_PN1280	Zone A est		vue en coupe	est	CP05					Paleotime	29/02/2012	JPG	
OA_5919_PN1281	Zone A est		vue en coupe	est	CP05	Log 05-5				Paleotime	29/02/2012	JPG	
OA_5919_PN1282	Zone A est		vue en coupe	est	CP05	Log 05-5				Paleotime	29/02/2012	JPG	

Inventaire officiel 5 – Montguyon (17), « Bois Clair ». Inventaire de la documentation photographique

	Localisation				Description								
Nom photo	Zone	TR	Type de vue	Vue vers	CP	LOG / Locus/ST	UPS	carré / mobilier lithique en place / z=	décapage	Auteur	Date	Extension fichier	Remarques
OA_5919_PN1283	Zone B		vue générale	ouest		Locus 9	UPS 4	L4-16/17/26/27/36/37		Paleotime	29/02/2012	JPG	Erreur de n° de décapage sur le stiron du L4-27 (ce n'est pas le décapage 4) : L4-27a = décapage 4 éq. 3 et L4-27b = décapage 5 éq. 4
OA_5919_PN1284	Zone B		vue générale	ouest		Locus 9	UPS 4	L4-16/17/26/27/36/37		Paleotime	29/02/2012	JPG	Erreur de n° de décapage sur le stiron du L4-27 (ce n'est pas le décapage 4) : L4-27a = décapage 4 éq. 3 et L4-27b = décapage 5 éq. 4
OA_5919_PN1285	Zone B		vue générale	nord		Locus 9	UPS 4	L4-16/17/26/27/36/37		Paleotime	29/02/2012	JPG	Erreur de n° de décapage sur le stiron du L4-27 (ce n'est pas le décapage 4) : L4-27a = décapage 4 éq. 3 et L4-27b = décapage 5 éq. 4
OA_5919_PN1286	Zone B		vue générale	nord		Locus 9	UPS 4	L4-16/17/26/27/36/37		Paleotime	29/02/2012	JPG	Erreur de n° de décapage sur le stiron du L4-27 (ce n'est pas le décapage 4) : L4-27a = décapage 4 éq. 3 et L4-27b = décapage 5 éq. 4
OA_5919_PN1287	Zone B		vue générale	ouest		Locus 9	UPS 4	L4-16/17/26/27/36/37		Paleotime	29/02/2012	JPG	Erreur de n° de décapage sur le stiron du L4-27 (ce n'est pas le décapage 4) : L4-27a = décapage 4 éq. 3 et L4-27b = décapage 5 éq. 4

Nom photo	Localisation				Description					Auteur	Date	Extension fichier	Remarques
	Zone	TR	Type de vue	Vue vers	CP	LOG / Locus/ST	UPS	carré / mobilier lithique en place / z=	décapage				
OA_5919_PN1288	Zone B		vue générale	nord		Locus 9	UPS 4	L4-16/17/26/27/36/37		Paleotime	29/02/2012	JPG	Erreur de n° de décapage sur le stiron du L4-27 (ce n'est pas le décapage 4) : L4-27a = décapage 4 éq. 3 et L4-27b = décapage 5 éq. 4
OA_5919_PN1289	Zone B		vue générale	nord		Locus 9	UPS 4	L4-16/17/26/27/36/37		Paleotime	29/02/2012	JPG	Erreur de n° de décapage sur le stiron du L4-27 (ce n'est pas le décapage 4) : L4-27a = décapage 4 éq. 3 et L4-27b = décapage 5 éq. 4
OA_5919_PN1290	Zone B		vue en plan	ouest		Locus 9	UPS 4	L4-17	décapage 2 éq. 1 et 3 éq. 2	Paleotime	29/02/2012	JPG	Erreur de n° de décapage sur le stiron du L4-27 (ce n'est pas le décapage 4) : L4-27a = décapage 4 éq. 3 et L4-27b = décapage 5 éq. 4
OA_5919_PN1291	Zone B		vue en plan	ouest		Locus 9	UPS 4	L4-17	décapage 2 éq. 1 et 3 éq. 2	Paleotime	29/02/2012	JPG	Erreur de n° de décapage sur le stiron du L4-27 (ce n'est pas le décapage 4) : L4-27a = décapage 4 éq. 3 et L4-27b = décapage 5 éq. 4
OA_5919_PN1292	Zone B		vue en plan	ouest		Locus 9	UPS 4	L4-17	décapage 2 éq. 1 et 3 éq. 2	Paleotime	29/02/2012	JPG	Erreur de n° de décapage sur le stiron du L4-27 (ce n'est pas le décapage 4) : L4-27a = décapage 4 éq. 3 et L4-27b = décapage 5 éq. 4

Inventaire officiel 5 – Montguyon (17), « Bois Clair ». Inventaire de la documentation photographique

Inventaire officiel 5 – Montguyon (17), « Bois Clair ». Inventaire de la documentation photographique

	Localisation				Description								
Nom photo	Zone	TR	Type de vue	Vue vers	CP	LOG / Locus/ST	UPS	carré / mobilier lithique en place / z=	décapage	Auteur	Date	Extension fichier	Remarques
OA_5919_PN1293	Zone B		vue en plan	ouest		Locus 9	UPS 4	L4-27	décapage 3 éq. 2 en 27c, décapage 4 éq. 3 en 27a et décapage 5 éq. 4 en 27b;	Paleotime	29/02/2012	JPG	Erreur de n° de décapage sur le stiron du L4-27 (ce n'est pas le décapage 4) : L4-27a = décapage 4 éq. 3 et L4-27b = décapage 5 éq. 4
OA_5919_PN1294	Zone B		vue en plan	ouest		Locus 9	UPS 4	L4-26b-d	décapage 3 éq. 2	Paleotime	29/02/2012	JPG	
OA_5919_PN1295	Zone B		vue en plan	ouest		Locus 9	UPS 4	L4-27	décapage 3 éq. 2 en 27c, décapage 4 éq. 3 en 27a et décapage 5 éq. 4 en 27b;	Paleotime	29/02/2012	JPG	Erreur de n° de décapage sur le stiron du L4-27 (ce n'est pas le décapage 4) : L4-27a = décapage 4 éq. 3 et L4-27b = décapage 5 éq. 4
OA_5919_PN1296	Zone B		vue en plan	ouest		Locus 9	UPS 4	L4-27	décapage 3 éq. 2 en 27c, décapage 4 éq. 3 en 27a et décapage 5 éq. 4 en 27b;	Paleotime	29/02/2012	JPG	Erreur de n° de décapage sur le stiron du L4-27 (ce n'est pas le décapage 4) : L4-27a = décapage 4 éq. 3 et L4-27b = décapage 5 éq. 4
OA_5919_PN1297	Zone B		vue en plan	ouest		Locus 9	UPS 4	L4-37	décapage 3 éq. 2 et 7	Paleotime	29/02/2012	JPG	Erreur de n° de décapage sur le stiron posé en L4-37b : ce n'est pas le décapage 5 mais le 7.
OA_5919_PN1298	Zone B		vue en plan	ouest		Locus 9	UPS 4	L4-37	décapage 3 éq. 2 et 7	Paleotime	29/02/2012	JPG	Erreur de n° de décapage sur le stiron posé en L4-37b : ce n'est pas le décapage 5 mais le 7.
OA_5919_PN1299	Zone B		vue en plan	ouest		Locus 9	UPS 4	L4-17	décapage 2 éq. 1 et 3 éq. 2	Paleotime	29/02/2012	JPG	Erreur de n° de décapage sur le stiron du L4-27 (ce n'est pas le décapage 4) : L4-27a = décapage 4 éq. 3 et L4-27b = décapage 5 éq. 4

	Localisation				Description								
Nom photo	Zone	TR	Type de vue	Vue vers	CP	LOG / Locus/ST	UPS	carré / mobilier lithique en place / z=	décapage	Auteur	Date	Extension fichier	Remarques
OA_5919_PN1300	Zone B		vue en plan	ouest		Locus 9	UPS 4	L4-17	décapage 2 éq. 1 et 3 éq. 2	Paleotime	29/02/2012	JPG	Erreur de n° de décapage sur le stiron du L4-27 (ce n'est pas le décapage 4) : L4-27a = décapage 4 éq. 3 et L4-27b = décapage 5 éq. 4
OA_5919_PN1301	Zone B		vue en plan	ouest		Locus 9	UPS 4	L4-17	décapage 2 éq. 1 et 3 éq. 2	Paleotime	29/02/2012	JPG	Erreur de n° de décapage sur le stiron du L4-27 (ce n'est pas le décapage 4) : L4-27a = décapage 4 éq. 3 et L4-27b = décapage 5 éq. 4
OA_5919_PN1302	Zone B		vue en plan	ouest		Locus 9	UPS 4	L4-17	décapage 2 éq. 1 et 3 éq. 2	Paleotime	29/02/2012	JPG	Erreur de n° de décapage sur le stiron du L4-27 (ce n'est pas le décapage 4) : L4-27a = décapage 4 éq. 3 et L4-27b = décapage 5 éq. 4
OA_5919_PN1303	Zone B		vue en plan	sud		Locus 9	UPS 4	L4-16	décapage 2 éq. 1	Paleotime	29/02/2012	JPG	
OA_5919_PN1304	Zone B		vue en plan	ouest		Locus 9	UPS 4	L4-16	décapage 2 éq. 1	Paleotime	29/02/2012	JPG	
OA_5919_PN1305	Zone B		vue en plan	ouest		Locus 9	UPS 4	L4-16	décapage 2 éq. 1	Paleotime	29/02/2012	JPG	
OA_5919_PN1306	Zone B		vue en plan	ouest		Locus 9	UPS 4	L4-26	décapage 2 éq. 1 et 3 éq. 2	Paleotime	29/02/2012	JPG	
OA_5919_PN1307	Zone B		vue en plan	ouest		Locus 9	UPS 4	L4-26	décapage 2 éq. 1 et 3 éq. 2	Paleotime	29/02/2012	JPG	
OA_5919_PN1308	Zone B		vue en plan	ouest		Locus 9	UPS 4	L4-17	décapage 3 éq. 2	Paleotime	29/02/2012	JPG	
OA_5919_PN1309	Zone B		vue en plan	ouest		Locus 9	UPS 4	L4-17	décapage 3 éq. 2	Paleotime	29/02/2012	JPG	
OA_5919_PN1310	Zone B		vue en plan	ouest		Locus 9	UPS 4	L4-17	décapage 3 éq. 2	Paleotime	29/02/2012	JPG	
OA_5919_PN1311	Zone B		vue en plan	ouest		Locus 9	UPS 4	L4-17	décapage 3 éq. 2	Paleotime	29/02/2012	JPG	
OA_5919_PN1312	Zone B		vue en plan (détail)	nord-ouest		Locus 9	UPS 4	L4-17	décapage 3 éq. 2	Paleotime	29/02/2012	JPG	
OA_5919_PN1313	Zone C et B		vue générale	sud						Paleotime	01/03/2012	JPG	
OA_5919_PN1314	Zone C et B		vue générale	sud						Paleotime	01/03/2012	JPG	
OA_5919_PN1315	Berme A/C		vue générale	sud		Locus 15	UPS 4a		décapage 1	Paleotime	01/03/2012	JPG	
OA_5919_PN1316	Berme A/C		vue générale	sud		Locus 15	UPS 4a		décapage 1	Paleotime	01/03/2012	JPG	
OA_5919_PN1317	Berme A/C		vue en plan	sud		Locus 15	UPS 4a	I4-89	décapage 1	Paleotime	01/03/2012	JPG	

	Localisation				Description									
Nom photo	Zone	TR	Type de vue	Vue vers	CP	LOG / Locus/ST	UPS	carré / mobilier lithique en place / z=	décapage	Auteur	Date	Extension fichier	Remarques
OA_5919_PN1318	Berme A/C		vue en plan	sud		Locus 15	UPS 4a	I4-89	décapage 1	Paleotime	01/03/2012	JPG	
OA_5919_PN1319	Berme A/C		vue en plan	sud		Locus 15	UPS 4a	I4-88	décapage 1	Paleotime	01/03/2012	JPG	
OA_5919_PN1320	Berme A/C		vue en plan	sud		Locus 15	UPS 4a	I4-99	décapage 1	Paleotime	01/03/2012	JPG	
OA_5919_PN1321	Berme A/C		vue en plan	sud		Locus 15	UPS 4a	I4-98	décapage 1	Paleotime	01/03/2012	JPG	
OA_5919_PN1322	Berme A/C		vue générale	est		Locus 12 bis	UPS 4		décapage 1	Paleotime	01/03/2012	JPG	
OA_5919_PN1323	Berme A/C		vue oblique	est		Locus 12 bis	UPS 4		décapage 1	Paleotime	01/03/2012	JPG	
OA_5919_PN1324	Berme A/C		vue oblique	est		Locus 12 bis	UPS 4		décapage 1	Paleotime	01/03/2012	JPG	
OA_5919_PN1325	Berme A/C		vue générale	nord-est		Locus 12 bis	UPS 4		décapage 1	Paleotime	01/03/2012	JPG	
OA_5919_PN1326	Berme A/C		vue générale	nord-nord-est		Locus 12 bis	UPS 4		décapage 1	Paleotime	01/03/2012	JPG	
OA_5919_PN1327	Berme A/C		vue générale	nord-ouest		Locus 12 bis	UPS 4		décapage 1	Paleotime	01/03/2012	JPG	
OA_5919_PN1328	Berme A/C		vue générale	nord-ouest		Locus 12 bis	UPS 4		décapage 1	Paleotime	01/03/2012	JPG	
OA_5919_PN1329	Berme A/C		vue générale	nord-ouest		Locus 12 bis	UPS 4		décapage 1	Paleotime	01/03/2012	JPG	
OA_5919_PN1330	Berme A/C		vue oblique	ouest		Locus 15	UPS 4a		décapage 1	Paleotime	01/03/2012	JPG	
OA_5919_PN1331	Berme A/C		vue oblique	sud-ouest		Locus 15	UPS 4a		décapage 1	Paleotime	01/03/2012	JPG	
OA_5919_PN1332	Berme A/C		vue oblique	sud-ouest		Locus 15	UPS 4a		décapage 1	Paleotime	01/03/2012	JPG	
OA_5919_PN1333	Berme A/C		vue oblique	sud-ouest		Locus 15	UPS 4a		décapage 1	Paleotime	01/03/2012	JPG	
OA_5919_PN1334	Berme A/C		vue oblique	sud-ouest		Locus 15	UPS 4a		décapage 1	Paleotime	01/03/2012	JPG	
OA_5919_PN1335	Berme A/C		vue oblique	sud-ouest		Locus 15	UPS 4a		décapage 1	Paleotime	01/03/2012	JPG	
OA_5919_PN1336	Berme A/C		vue en plan	sud		Locus 12 bis	UPS 4	J4-14	décapage 1	Paleotime	01/03/2012	JPG	
OA_5919_PN1337	Berme A/C		vue en plan	sud		Locus 12 bis	UPS 4	J4-15	décapage 1	Paleotime	01/03/2012	JPG	
OA_5919_PN1338	Berme A/C		vue en plan	sud		Locus 12 bis	UPS 4	J4-25	décapage 1	Paleotime	01/03/2012	JPG	
OA_5919_PN1339	Berme A/C		vue en plan	sud		Locus 12 bis	UPS 4	J4-24	décapage 1	Paleotime	01/03/2012	JPG	
OA_5919_PN1340	Berme A/C		vue en plan	sud		Locus 12 bis	UPS 4	J4-24	décapage 1	Paleotime	01/03/2012	JPG	
OA_5919_PN1341	Berme A/C		vue en plan	sud		Locus 12 bis	UPS 4	J4-23b-d	décapage 1	Paleotime	01/03/2012	JPG	
OA_5919_PN1342	Berme A/C		vue en plan	ouest		Locus 12 bis	UPS 4	J4-23b-d	décapage 1	Paleotime	01/03/2012	JPG	
OA_5919_PN1343	Berme A/C		vue en plan	ouest		Locus 12 bis	UPS 4	J4-23b-d	décapage 1	Paleotime	01/03/2012	JPG	
OA_5919_PN1344	Berme A/C		vue en plan	ouest		Locus 12 bis	UPS 4	J4-23b-d	décapage 1	Paleotime	01/03/2012	JPG	
OA_5919_PN1345	Berme A/C		vue en plan	ouest		Locus 12 bis	UPS 4	J4-33b-d	décapage 1	Paleotime	01/03/2012	JPG	
OA_5919_PN1346	Berme A/C		vue en plan	ouest		Locus 12 bis	UPS 4	J4-33b-d	décapage 1	Paleotime	01/03/2012	JPG	
OA_5919_PN1347	Berme A/C		vue en plan	ouest		Locus 12 bis	UPS 4	J4-43	décapage 1	Paleotime	01/03/2012	JPG	
OA_5919_PN1348	Berme A/C		vue en plan	sud		Locus 12 bis	UPS 4	J4-26a-b	décapage 1	Paleotime	01/03/2012	JPG	
OA_5919_PN1349	Berme A/C		vue en plan	sud		Locus 12 bis	UPS 4	J4-26	décapage 1	Paleotime	01/03/2012	JPG	
OA_5919_PN1350	Berme A/C		vue générale	sud		Locus 15	UPS 4a		décapage 1	Paleotime	01/03/2012	JPG	
OA_5919_PN1351	Berme A/C		vue générale	nord		Locus 15	UPS 4a		décapage 1	Paleotime	01/03/2012	JPG	
OA_5919_PN1352	Berme A/C		vue en plan (détail)	est		Locus 15	UPS 4a		décapage 1	Paleotime	01/03/2012	JPG	
OA_5919_PN1353	Berme A/C		vue en plan (détail)	est		Locus 15	UPS 4a		décapage 1	Paleotime	01/03/2012	JPG	
OA_5919_PN1354	Berme A/C		vue en plan (détail)	sud		Locus 15	UPS 4a		décapage 1	Paleotime	01/03/2012	JPG	
OA_5919_PN1355	Berme A/C		vue en plan (détail)	sud		Locus 15	UPS 4a		décapage 1	Paleotime	01/03/2012	JPG	
OA_5919_PN1356	Berme A/C		vue en plan (détail)	sud		Locus 15	UPS 4a		décapage 1	Paleotime	01/03/2012	JPG	
OA_5919_PN1357	Berme A/C		vue en plan (détail)	est		Locus 15	UPS 4a		décapage 1	Paleotime	01/03/2012	JPG	
OA_5919_PN1358	Berme A/C		vue en plan (détail)	est		Locus 15	UPS 4a		décapage 1	Paleotime	01/03/2012	JPG	
OA_5919_PN1359	Berme A/C		vue oblique (détail)	nord		Locus 15	UPS 4a		décapage 1	Paleotime	01/03/2012	JPG	
OA_5919_PN1360	Berme A/C		vue oblique (détail)	nord		Locus 15	UPS 4a		décapage 1	Paleotime	01/03/2012	JPG	

	Localisation				Description								
Nom photo	Zone	TR	Type de vue	Vue vers	CP	LOG / Locus/ST	UPS	carré / mobilier lithique en place / z=	décapage	Auteur	Date	Extension fichier	Remarques
OA_5919_PN1361	Berme A/C		vue en plan (détail)	est		Locus 15	UPS 4a		décapage 1	Paleotime	01/03/2012	JPG	
OA_5919_PN1362	Berme A/C		vue en plan (détail)	sud		Locus 15	UPS 4a		décapage 1	Paleotime	01/03/2012	JPG	
OA_5919_PN1363	Berme A/C		vue en plan (détail)	sud		Locus 15	UPS 4a		décapage 1	Paleotime	01/03/2012	JPG	
OA_5919_PN1364	Berme A/C		vue en plan (détail)	sud		Locus 15	UPS 4a		décapage 1	Paleotime	01/03/2012	JPG	
OA_5919_PN1365	Berme A/C		vue en plan (détail)	est		Locus 15	UPS 4a		décapage 1	Paleotime	01/03/2012	JPG	
OA_5919_PN1366	Berme A/C		vue en plan (détail)	sud		Locus 15	UPS 4a		décapage 1	Paleotime	01/03/2012	JPG	
OA_5919_PN1367	Zone B		vue générale	nord		Locus 9 et 11				Paleotime	01/03/2012	JPG	
OA_5919_PN1368	Zone B		vue générale	ouest						Paleotime	01/03/2012	JPG	
OA_5919_PN1369	Zone B		vue générale	nord		Locus 9	UPS 4	L4-16/17/18a-c/26/27	décapage 4 éq. 3 et 5 éq. 4	Paleotime	06/03/2012	JPG	
OA_5919_PN1370	Zone B		vue générale	nord		Locus 9	UPS 4	L4-16/17/18a-c/26/27	décapage 4 éq. 3 et 5 éq. 4	Paleotime	06/03/2012	JPG	
OA_5919_PN1371	Zone B		vue générale	nord		Locus 9	UPS 4	L4-16/17/18a-c/26/27	décapage 4 éq. 3 et 5 éq. 4	Paleotime	06/03/2012	JPG	
OA_5919_PN1372	Zone B		vue générale	nord		Locus 9	UPS 4	L4-16/17/18a-c/26/27	décapage 4 éq. 3 et 5 éq. 4	Paleotime	06/03/2012	JPG	
OA_5919_PN1373	Zone B		vue générale	nord		Locus 9	UPS 4	L4-16/17/18a-c/26/27	décapage 4 éq. 3 et 5 éq. 4	Paleotime	06/03/2012	JPG	
OA_5919_PN1374	Zone B		vue générale	nord		Locus 9	UPS 4	L4-16/17/18a-c/26/27	décapage 4 éq. 3 et 5 éq. 4	Paleotime	06/03/2012	JPG	
OA_5919_PN1375	Zone B		vue générale	nord		Locus 9	UPS 4	L4-16/17/18a-c/26/27	décapage 4 éq. 3 et 5 éq. 4	Paleotime	06/03/2012	JPG	
OA_5919_PN1376	Zone B		vue générale	ouest		Locus 9	UPS 4	L4-27	décapage 5 éq. 4	Paleotime	06/03/2012	JPG	
OA_5919_PN1377	Zone B		vue générale	ouest		Locus 9	UPS 4	L4-27	décapage 5 éq. 4	Paleotime	06/03/2012	JPG	
OA_5919_PN1378	Zone B		vue générale	nord		Locus 9	UPS 4	L4-17	décapage 4 éq. 3	Paleotime	06/03/2012	JPG	
OA_5919_PN1379	Zone B		vue générale	nord		Locus 9	UPS 4	L4-17	décapage 4 éq. 3	Paleotime	06/03/2012	JPG	
OA_5919_PN1380	Zone B		vue générale	nord		Locus 9	UPS 4	L4-18a-c	décapage 4 éq. 3	Paleotime	06/03/2012	JPG	
OA_5919_PN1381	Zone B		vue générale	nord		Locus 9	UPS 4	L4-18a-c	décapage 4 éq. 3	Paleotime	06/03/2012	JPG	
OA_5919_PN1382	Berme A/C		vue en coupe	nord	CP22	Locus 12 bis				Paleotime	06/03/2012	JPG	
OA_5919_PN1383	Berme A/C		vue en coupe	nord	CP22	Locus 12 bis				Paleotime	06/03/2012	JPG	
OA_5919_PN1384	Berme A/C		vue en coupe	nord	CP22	Locus 12 bis				Paleotime	06/03/2012	JPG	
OA_5919_PN1385	Berme A/C		vue en coupe	nord	CP22	Locus 12 bis				Paleotime	06/03/2012	JPG	
OA_5919_PN1386	Berme A/C		vue en coupe	nord	CP22	Locus 12 bis				Paleotime	06/03/2012	JPG	
OA_5919_PN1387	Berme A/C		vue en coupe	nord	CP22	Log 22-1				Paleotime	06/03/2012	JPG	
OA_5919_PN1388	Berme A/C		vue en coupe	nord	CP22	Log 22-1				Paleotime	06/03/2012	JPG	
OA_5919_PN1389	Berme A/C		vue en coupe (détail)	nord	CP22	Log 22-1				Paleotime	06/03/2012	JPG	
OA_5919_PN1390	Berme A/C		vue en coupe (détail)	nord	CP22	Log 22-1				Paleotime	06/03/2012	JPG	

	Localisation				Description								
Nom photo	Zone	TR	Type de vue	Vue vers	CP	LOG / Locus/ST	UPS	carré / mobilier lithique en place / z=	décapage	Auteur	Date	Extension fichier	Remarques
OA_5919_PN1391	Berme A/C		vue en coupe (détail)	nord	CP22	Log 22-1				Paleotime	06/03/2012	JPG	
OA_5919_PN1392	Berme A/C		vue oblique	nord-est	CP22	Log 22-1				Paleotime	06/03/2012	JPG	
OA_5919_PN1393	Berme A/C		vue oblique	nord-ouest	CP22	Log 22-1				Paleotime	06/03/2012	JPG	
OA_5919_PN1394	Zone B		vue en plan	nord		Locus 3	UPS 7 sommet		mobilier lithique en place	Paleotime	06/03/2012	JPG	
OA_5919_PN1395	Zone B		vue oblique	nord		Locus 3	UPS 7 sommet		mobilier lithique en place	Paleotime	06/03/2012	JPG	
OA_5919_PN1396	Zone B		vue oblique	nord		Locus 3	UPS 7 sommet		mobilier lithique en place	Paleotime	06/03/2012	JPG	
OA_5919_PN1397	Berme C/D sud		vue oblique	est			UPS 4		mobilier lithique en place	Paleotime	07/03/2012	JPG	
OA_5919_PN1398	Berme C/D sud		vue oblique	est			UPS 4		mobilier lithique en place	Paleotime	07/03/2012	JPG	
OA_5919_PN1399	Berme C/D sud		vue générale	est			UPS 4		mobilier lithique en place	Paleotime	07/03/2012	JPG	
OA_5919_PN1400	Berme C/D sud		vue générale	nord-est			UPS 4		mobilier lithique en place	Paleotime	07/03/2012	JPG	
OA_5919_PN1401	Berme C/D sud		vue en plan	ouest			UPS 4		mobilier lithique en place	Paleotime	07/03/2012	JPG	
OA_5919_PN1402	Berme C/D sud		vue en plan	ouest			UPS 4		mobilier lithique en place	Paleotime	07/03/2012	JPG	
OA_5919_PN1403	Berme C/D sud		vue oblique	est			UPS 4		mobilier lithique en place	Paleotime	07/03/2012	JPG	
OA_5919_PN1404	Berme C/D sud		vue oblique	est			UPS 4		mobilier lithique en place	Paleotime	07/03/2012	JPG	
OA_5919_PN1405	Berme A/C		vue en plan (détail)	est		Locus 15	UPS 4a	I4-99a	décapage 1	Paleotime	07/03/2012	JPG	
OA_5919_PN1406	Berme A/C		vue en plan (détail)	est		Locus 15	UPS 4a	I4-99a	décapage 1	Paleotime	07/03/2012	JPG	
OA_5919_PN1407	Berme A/C		vue en plan	ouest		Locus 12 bis	UPS 4	J4-18b	décapage 1	Paleotime	07/03/2012	JPG	
OA_5919_PN1408	Berme A/C		vue générale	sud-ouest		Locus 12 bis	UPS 4	J4-18b	décapage 1	Paleotime	07/03/2012	JPG	
OA_5919_PN1409	Berme A/C		vue générale	sud-ouest		Locus 12 bis	UPS 4	J4-18b	décapage 1	Paleotime	07/03/2012	JPG	
OA_5919_PN1410	Berme A/C		vue générale	sud-ouest		Locus 12 bis	UPS 4	J4-18b	décapage 1	Paleotime	07/03/2012	JPG	
OA_5919_PN1411	Berme A/C		vue oblique	ouest		Locus 12 bis	UPS 4	J4-18b	décapage 1	Paleotime	07/03/2012	JPG	
OA_5919_PN1412	Zone B		vue générale	sud-ouest						Paleotime	07/03/2012	JPG	
OA_5919_PN1413	Zone D		vue générale	sud-est						Paleotime	07/03/2012	JPG	
OA_5919_PN1414	Berme B/C		vue générale	ouest						Paleotime	07/03/2012	JPG	
OA_5919_PN1415	Zone D et B		vue générale	ouest						Paleotime	07/03/2012	JPG	
OA_5919_PN1416	Zone B et C		vue générale	nord						Paleotime	07/03/2012	JPG	
OA_5919_PN1417	Zone B et C		vue générale	nord						Paleotime	07/03/2012	JPG	

	Localisation				Description								
Nom photo	Zone	TR	Type de vue	Vue vers	CP	LOG / Locus/ST	UPS	carré / mobilier lithique en place / z=	décapage	Auteur	Date	Extension fichier	Remarques
OA_5919_PN1418	Zone B et C		vue générale	nord						Paleotime	07/03/2012	JPG	
OA_5919_PN1419	Zone B		vue générale	nord-ouest						Paleotime	07/03/2012	JPG	
OA_5919_PN1420	Berme B/C		vue générale	nord-ouest		Locus 12 bis et 15				Paleotime	07/03/2012	JPG	
OA_5919_PN1421	Zone C		vue générale	nord						Paleotime	07/03/2012	JPG	
OA_5919_PN1422	Zone B		vue générale	sud						Paleotime	07/03/2012	JPG	
OA_5919_PN1423	Zone B		vue générale	sud						Paleotime	07/03/2012	JPG	
OA_5919_PN1424	Zone C		vue générale	nord						Paleotime	07/03/2012	JPG	
OA_5919_PN1425	Zone A est		vue générale	nord-ouest						Paleotime	07/03/2012	JPG	
OA_5919_PN1426	Zone B et D		vue générale	sud-est						Paleotime	07/03/2012	JPG	
OA_5919_PN1427	Zone B		vue en coupe	nord		Locus 3	UPS 7			Paleotime	07/03/2012	JPG	
OA_5919_PN1428	Zone B		vue en coupe	nord		Locus 3	UPS 7			Paleotime	07/03/2012	JPG	
OA_5919_PN1429	Zone C		vue en coupe	est	CP10 palier 1					Paleotime	08/03/2012	JPG	
OA_5919_PN1430	Zone C		vue en coupe	est	CP10 palier 1					Paleotime	08/03/2012	JPG	
OA_5919_PN1431	Zone C		vue en coupe	est	CP10 palier 1					Paleotime	08/03/2012	JPG	
OA_5919_PN1432	Zone C		vue en coupe	est	CP10 palier 2					Paleotime	08/03/2012	JPG	
OA_5919_PN1433	Zone C		vue en coupe	est	CP10 palier 2					Paleotime	08/03/2012	JPG	
OA_5919_PN1434	Zone C		vue en coupe	est	CP10 palier 2					Paleotime	08/03/2012	JPG	
OA_5919_PN1435	Zone C		vue en coupe	est	CP10	Log 10-2				Paleotime	08/03/2012	JPG	
OA_5919_PN1436	Zone C		vue en coupe	est	CP10	Log 10-2				Paleotime	08/03/2012	JPG	
OA_5919_PN1437	Zone C		vue en coupe	est	CP10	Log 10-2				Paleotime	08/03/2012	JPG	
OA_5919_PN1438	Zone C		vue en coupe	est	CP10	Log 10-2				Paleotime	08/03/2012	JPG	
OA_5919_PN1439	Zone C		vue en coupe	est	CP10	Log 10-2				Paleotime	08/03/2012	JPG	
OA_5919_PN1440	Zone C		vue générale	est	CP10	Log 10-2				Paleotime	08/03/2012	JPG	
OA_5919_PN1441	Zone C		vue générale	est	CP10	Log 10-2				Paleotime	08/03/2012	JPG	
OA_5919_PN1442	Zone C		vue générale	est	CP10	Log 10-2				Paleotime	08/03/2012	JPG	
OA_5919_PN1443	Zone C		vue générale	est	CP10	Log 10-2				Paleotime	08/03/2012	JPG	
OA_5919_PN1444	Zone C		vue oblique	sud-est	CP10	Log 10-2				Paleotime	08/03/2012	JPG	
OA_5919_PN1445	Zone C		vue oblique	nord-est	CP10	Log 10-2				Paleotime	08/03/2012	JPG	
OA_5919_PN1446	Zone C		vue oblique	nord-est	CP10	Log 10-2				Paleotime	08/03/2012	JPG	
OA_5919_PN1447	Zone C		vue en coupe (détail)	est	CP10	Log 10-2				Paleotime	08/03/2012	JPG	
OA_5919_PN1448	Zone C		vue en coupe (détail)	est	CP10	Log 10-2				Paleotime	08/03/2012	JPG	
OA_5919_PN1449	Zone C		vue en coupe (détail)	est	CP10	Log 10-2				Paleotime	08/03/2012	JPG	
OA_5919_PN1450	Zone C		vue en coupe (détail)	est	CP10	Log 10-2				Paleotime	08/03/2012	JPG	
OA_5919_PN1451	Zone C		vue en coupe (détail)	est	CP10	Log 10-2				Paleotime	08/03/2012	JPG	
OA_5919_PN1452	Zone C		vue en coupe (détail)	est	CP10	Log 10-2				Paleotime	08/03/2012	JPG	
OA_5919_PN1453	Zone C		vue en coupe (détail)	est	CP10	Log 10-2				Paleotime	08/03/2012	JPG	
OA_5919_PN1454	Zone C		vue en coupe (détail)	est	CP10	Log 10-2				Paleotime	08/03/2012	JPG	
OA_5919_PN1455	Zone C		vue en coupe (détail)	est	CP10	Log 10-2				Paleotime	08/03/2012	JPG	
OA_5919_PN1456	Zone C		vue en coupe (détail)	est	CP10	Log 10-2				Paleotime	08/03/2012	JPG	
OA_5919_PN1457	Zone C		vue en coupe	est	CP10	Log 10-2				Paleotime	08/03/2012	JPG	
OA_5919_PN1458	Zone C		vue en coupe	est	CP10	Log 10-2				Paleotime	08/03/2012	JPG	

	Localisation				Description								
Nom photo	Zone	TR	Type de vue	Vue vers	CP	LOG / Locus/ST	UPS	carré / mobilier lithique en place / z=	décapage	Auteur	Date	Extension fichier	Remarques
OA_5919_PN1459	Zone C		vue en coupe	est	CP10	Log 10-2				Paleotime	08/03/2012	JPG	
OA_5919_PN1460	Zone C		vue en coupe (détail palier 1)	est	CP10	Log 10-2				Paleotime	08/03/2012	JPG	
OA_5919_PN1461	Zone C		vue en coupe (détail palier 1)	est	CP10	Log 10-2				Paleotime	08/03/2012	JPG	
OA_5919_PN1462	Zone B		vue générale	nord		Locus 9		L4-07c-d/08c-d/16b-d/17/18/26b-d/27	décapage 5 éq. 4	Paleotime	08/03/2012	JPG	
OA_5919_PN1463	Zone B		vue générale	nord		Locus 9		L4-07c-d/08c-d/16b-d/17/18/26b-d/27	décapage 5 éq. 4	Paleotime	08/03/2012	JPG	
OA_5919_PN1464	Zone B		vue générale	nord		Locus 9		L4-07c-d/08c-d/16b-d/17/18/26b-d/27	décapage 5 éq. 4	Paleotime	08/03/2012	JPG	
OA_5919_PN1465	Zone B		vue générale	nord		Locus 9		L4-07c-d/08c-d/16b-d/17/18/26b-d/27	décapage 5 éq. 4	Paleotime	08/03/2012	JPG	
OA_5919_PN1466	Zone B		vue oblique	nord		Locus 9		L4-18 et 08c-d	décapage 5 éq. 4	Paleotime	08/03/2012	JPG	
OA_5919_PN1467	Zone B		vue en plan	nord		Locus 9		L4-18 et 08c-d	décapage 5 éq. 4	Paleotime	08/03/2012	JPG	
OA_5919_PN1468	Zone B		vue oblique	ouest		Locus 9		L4-18 et 08c-d	décapage 5 éq. 4	Paleotime	08/03/2012	JPG	
OA_5919_PN1469	Zone B		vue en plan	ouest		Locus 9		L4-18 et 08c-d	décapage 5 éq. 4	Paleotime	08/03/2012	JPG	
OA_5919_PN1470	Zone B		vue oblique	nord		Locus 9		L4-17 et 07c-d	décapage 5 éq. 4	Paleotime	08/03/2012	JPG	
OA_5919_PN1471	Zone B		vue oblique	nord		Locus 9		L4-17 et 07c-d	décapage 5 éq. 4	Paleotime	08/03/2012	JPG	
OA_5919_PN1472	Zone B		vue en plan	nord		Locus 9		L4-17	décapage 5 éq. 4	Paleotime	08/03/2012	JPG	
OA_5919_PN1473	Zone B		vue oblique	ouest		Locus 9		L4-17 et 07c-d	décapage 5 éq. 4	Paleotime	08/03/2012	JPG	
OA_5919_PN1474	Zone B		vue en plan	ouest		Locus 9		L4-17 et 07c-d	décapage 5 éq. 4	Paleotime	08/03/2012	JPG	
OA_5919_PN1475	Zone B		vue en plan (détail)	nord		Locus 9		L4-17	décapage 5 éq. 4	Paleotime	08/03/2012	JPG	
OA_5919_PN1476	Zone B		vue en plan (détail)	nord		Locus 9		L4-08	décapage 5 éq. 4	Paleotime	08/03/2012	JPG	
OA_5919_PN1477	Zone B		vue en plan (détail)	nord		Locus 9		L4-08	décapage 5 éq. 4	Paleotime	08/03/2012	JPG	
OA_5919_PN1478	Zone C		vue en plan	sud	CP10 palier 1		UPS 4b		mobilier lithique en place (PT4660)	Paleotime	08/03/2012	JPG	
OA_5919_PN1479	Zone C		vue oblique	est	CP10 palier 1		UPS 4b		mobilier lithique en place (PT4660)	Paleotime	08/03/2012	JPG	

	Localisation				Description								
Nom photo	Zone	TR	Type de vue	Vue vers	CP	LOG / Locus/ST	UPS	carré / mobilier lithique en place / z=	décapage	Auteur	Date	Extension fichier	Remarques
OA_5919_PN1480	Zone C		vue oblique	est	CP10 palier 1		UPS 4b		mobilier lithique en place (PT4660)	Paleotime	08/03/2012	JPG	
OA_5919_PN1481	Berme A/C		vue en plan	sud		Locus 15		I4-88/89/98/99	décapage 2	Paleotime	12/03/2012	JPG	
OA_5919_PN1482	Berme A/C		vue en plan	sud		Locus 15		I4-89	décapage 2	Paleotime	12/03/2012	JPG	
OA_5919_PN1483	Berme A/C		vue en plan	sud		Locus 15		I4-88	décapage 2	Paleotime	12/03/2012	JPG	
OA_5919_PN1484	Berme A/C		vue en plan	sud		Locus 15		I4-98	décapage 2	Paleotime	12/03/2012	JPG	
OA_5919_PN1485	Berme A/C		vue en plan	sud		Locus 15		I4-99	décapage 2	Paleotime	12/03/2012	JPG	
OA_5919_PN1486	Berme A/C		vue générale	sud		Locus 15		I4-88/89/98/99	décapage 2	Paleotime	12/03/2012	JPG	
OA_5919_PN1487	Berme A/C		vue générale	sud		Locus 15		I4-88/89/98/99	décapage 2	Paleotime	12/03/2012	JPG	
OA_5919_PN1488	Berme A/C		vue en plan	sud		Locus 15		I4-89	décapage 2	Paleotime	12/03/2012	JPG	
OA_5919_PN1489	Berme A/C		vue en plan	sud		Locus 15		I4-88	décapage 2	Paleotime	12/03/2012	JPG	
OA_5919_PN1490	Berme A/C		vue en plan	sud		Locus 15		I4-88	décapage 2	Paleotime	12/03/2012	JPG	
OA_5919_PN1491	Berme A/C		vue en plan	sud		Locus 15		I4-98	décapage 2	Paleotime	12/03/2012	JPG	
OA_5919_PN1492	Berme A/C		vue en plan	sud		Locus 15		I4-99	décapage 2	Paleotime	12/03/2012	JPG	
OA_5919_PN1493	Berme A/C		vue en coupe	ouest	CP23		UPS 5 sommet		mobilier lithique en place (PT4740)	Paleotime	12/03/2012	JPG	
OA_5919_PN1494	Berme A/C		vue en coupe (détail)	ouest	CP23		UPS 5 sommet		mobilier lithique en place (PT4740)	Paleotime	12/03/2012	JPG	
OA_5919_PN1495	Berme A/C		vue en coupe	ouest	CP23	Log 23-1				Paleotime	12/03/2012	JPG	
OA_5919_PN1496	Berme A/C		vue en coupe	ouest	CP23	Log 23-1				Paleotime	12/03/2012	JPG	
OA_5919_PN1497	Berme A/C		vue en coupe (détail)	ouest	CP23	Log 23-1				Paleotime	12/03/2012	JPG	
OA_5919_PN1498	Berme A/C		vue en coupe (détail)	ouest	CP23	Log 23-1				Paleotime	12/03/2012	JPG	
OA_5919_PN1499	Berme A/C		vue en coupe (détail)	ouest	CP23	Log 23-1				Paleotime	12/03/2012	JPG	
OA_5919_PN1500	Berme A/C		vue en coupe (détail)	ouest	CP23	Log 23-1				Paleotime	12/03/2012	JPG	
OA_5919_PN1501	Berme A/C		vue en coupe (détail)	ouest	CP23	Log 23-1				Paleotime	12/03/2012	JPG	
OA_5919_PN1502	Berme A/C		vue en coupe (détail)	ouest	CP23	Log 23-1				Paleotime	12/03/2012	JPG	
OA_5919_PN1503	Berme A/C		vue en coupe	ouest	CP23	Log 23-1				Paleotime	12/03/2012	JPG	
OA_5919_PN1504	Berme A/C		vue en plan	sud		Locus 15	UPS 4	I4-88b-d/89/98b/99a	décapage 3	Paleotime	13/03/2012	JPG	
OA_5919_PN1505	Berme A/C		vue en plan	sud		Locus 15	UPS 4	I4-88b-d/89/98b/99a	décapage 3	Paleotime	13/03/2012	JPG	
OA_5919_PN1506	Berme A/C		vue en plan	sud		Locus 15	UPS 4	I4-88b-d/89/98b/99a	décapage 3	Paleotime	13/03/2012	JPG	
OA_5919_PN1507	Berme A/C		vue en plan	sud		Locus 15	UPS 4	I4-88b-d/89/98b/99a	décapage 3	Paleotime	13/03/2012	JPG	
OA_5919_PN1508	Berme A/C		vue oblique	sud-ouest		Locus 15	UPS 4	I4-88b-d/89/98b/99a	décapage 3	Paleotime	13/03/2012	JPG	
OA_5919_PN1509	Berme A/C		vue générale	ouest		Locus 15	UPS 4	I4-88b-d/89/98b/99a	décapage 3	Paleotime	13/03/2012	JPG	
OA_5919_PN1510	Berme A/C		vue générale	ouest		Locus 15	UPS 4	I4-88b-d/89/98b/99a	décapage 3	Paleotime	13/03/2012	JPG	
OA_5919_PN1511	Berme A/C		vue en plan	ouest		Locus 15	UPS 4	I4-89	décapage 3	Paleotime	13/03/2012	JPG	
OA_5919_PN1512	Berme A/C		vue en plan	sud		Locus 15	UPS 4	I4-89/88b-d	décapage 3	Paleotime	13/03/2012	JPG	

	Localisation				Description								
Nom photo	Zone	TR	Type de vue	Vue vers	CP	LOG / Locus/ST	UPS	carré / mobilier lithique en place / z=	décapage	Auteur	Date	Extension fichier	Remarques
OA_5919_PN1513	Berme A/C		vue en plan (détail)	sud		Locus 15	UPS 4	I4-89/88b-d	décapage 3	Paleotime	13/03/2012	JPG	
OA_5919_PN1514	Berme A/C		vue générale	ouest						Paleotime	13/03/2012	JPG	
OA_5919_PN1515	Berme A/C		vue générale	sud-ouest						Paleotime	13/03/2012	JPG	
OA_5919_PN1516	Berme A/C		vue générale	est						Paleotime	13/03/2012	JPG	
OA_5919_PN1517	Berme A/C		vue générale	ouest						Paleotime	13/03/2012	JPG	
OA_5919_PN1518	Berme A/C		vue générale	est						Paleotime	13/03/2012	JPG	
OA_5919_PN1519	Berme A/C		vue générale	sud		Locus 11 et 9				Paleotime	13/03/2012	JPG	
OA_5919_PN1520	Zone A/C		vue générale	sud						Paleotime	13/03/2012	JPG	
OA_5919_PN1521	Berme B/C		vue en plan	est		Locus 16	UPS 4	K6-10	décapage 1	Paleotime	14/03/2012	JPG	
OA_5919_PN1522	Berme B/C		vue en plan	est		Locus 16	UPS 4	K6-10	décapage 1	Paleotime	14/03/2012	JPG	
OA_5919_PN1523	Berme B/C		vue en plan (détail)	sud		Locus 16	UPS 4	K6-10	décapage 1	Paleotime	14/03/2012	JPG	
OA_5919_PN1524	Berme B/C		vue générale	nord-est		Locus 16	UPS 4		décapage 1	Paleotime	14/03/2012	JPG	
OA_5919_PN1525	Berme B/C		vue générale	sud-ouest		Locus 16	UPS 4		décapage 1	Paleotime	14/03/2012	JPG	
OA_5919_PN1526	Berme B/C		vue générale	sud-ouest		Locus 16	UPS 4		décapage 1	Paleotime	14/03/2012	JPG	
OA_5919_PN1527	Zone C		vue en plan	sud-est		Locus 13	UPS 4a		décapage 1	Paleotime	14/03/2012	JPG	
OA_5919_PN1528	Zone C		vue en plan	sud-est		Locus 13	UPS 4a		décapage 1	Paleotime	14/03/2012	JPG	
OA_5919_PN1529	Zone C		vue en plan	sud-est		Locus 13	UPS 4a		décapage 1	Paleotime	14/03/2012	JPG	
OA_5919_PN1530	Zone C		vue en coupe	nord	CP19					Paleotime	14/03/2012	JPG	
OA_5919_PN1531	Zone C		vue en coupe	nord	CP19					Paleotime	14/03/2012	JPG	
OA_5919_PN1532	Zone C		vue en coupe	nord	CP19					Paleotime	14/03/2012	JPG	
OA_5919_PN1533	Zone C		vue en coupe	nord	CP19	Log 19-2				Paleotime	14/03/2012	JPG	Erreur sur la plaque photo : il s'agit du LOG 19.2 et non du 19.3
OA_5919_PN1534	Zone C		vue en coupe	nord	CP19	Log 19-2				Paleotime	14/03/2012	JPG	Erreur sur la plaque photo : il s'agit du LOG 19.2 et non du 19.3
OA_5919_PN1535	Zone C		vue en coupe (détail)	nord	CP19	Log 19-3				Paleotime	14/03/2012	JPG	
OA_5919_PN1536	Zone C		vue en coupe (détail)	nord	CP19	Log 19-3				Paleotime	14/03/2012	JPG	
OA_5919_PN1537	Zone C		vue en coupe (détail)	nord	CP19	Log 19-3				Paleotime	14/03/2012	JPG	
OA_5919_PN1538	Zone C		vue en coupe (détail)	nord	CP19	Log 19-3				Paleotime	14/03/2012	JPG	
OA_5919_PN1539	Zone C		vue en coupe (détail)	nord	CP19	Log 19-3				Paleotime	14/03/2012	JPG	
OA_5919_PN1540	Zone C		vue en coupe (détail)	nord	CP19	Log 19-3				Paleotime	14/03/2012	JPG	
OA_5919_PN1541	Zone C		vue en coupe (détail)	nord	CP19	Log 19-3				Paleotime	14/03/2012	JPG	
OA_5919_PN1542	Zone C		vue en coupe	nord	CP19	Log 19-3				Paleotime	14/03/2012	JPG	
OA_5919_PN1543	Zone C		vue en coupe	nord	CP19	Log 19-3				Paleotime	14/03/2012	JPG	
OA_5919_PN1544	Zone C		vue oblique	nord-est	CP19					Paleotime	14/03/2012	JPG	
OA_5919_PN1545	Zone C		vue oblique	nord-est	CP19					Paleotime	14/03/2012	JPG	
OA_5919_PN1546	Zone C		vue générale	est						Paleotime	14/03/2012	JPG	
OA_5919_PN1547	Zone C		vue d'ambiance	nord-ouest	CP19					Paleotime	14/03/2012	JPG	

	Localisation				Description								
Nom photo	Zone	TR	Type de vue	Vue vers	CP	LOG / Locus/ST	UPS	carré / mobilier lithique en place / z=	décapage	Auteur	Date	Extension fichier	Remarques
OA_5919_PN1548	Zone B		vue d'ambiance	est	décapage mécanique					Paleotime	14/03/2012	JPG	
OA_5919_PN1549	Zone B		vue d'ambiance	est	décapage mécanique					Paleotime	14/03/2012	JPG	
OA_5919_PN1550	Zone A ouest		vue en coupe	ouest	CP02					Paleotime	19/03/2012	JPG	
OA_5919_PN1551	Zone A ouest		vue en coupe	ouest	CP02					Paleotime	19/03/2012	JPG	
OA_5919_PN1552	Zone A ouest		vue en coupe	ouest	CP02		éocène			Paleotime	19/03/2012	JPG	
OA_5919_PN1553	Zone A ouest		vue en coupe	ouest	CP02		éocène			Paleotime	19/03/2012	JPG	
OA_5919_PN1554	Zone A ouest		vue en coupe	ouest	CP02		éocène			Paleotime	19/03/2012	JPG	
OA_5919_PN1555	Zone A ouest		vue en coupe	ouest	CP02		éocène			Paleotime	19/03/2012	JPG	
OA_5919_PN1556	Zone A ouest		vue en coupe	ouest	CP02	Log 02-2				Paleotime	19/03/2012	JPG	
OA_5919_PN1557	Zone A ouest		vue en coupe	ouest	CP02	Log 02-2				Paleotime	19/03/2012	JPG	
OA_5919_PN1558	Zone A ouest		vue en coupe (détail)	ouest	CP02	Log 02-2				Paleotime	19/03/2012	JPG	
OA_5919_PN1559	Zone A ouest		vue en coupe (détail)	ouest	CP02	Log 02-2				Paleotime	19/03/2012	JPG	
OA_5919_PN1560	Zone A ouest		vue en coupe (détail)	ouest	CP02	Log 02-2				Paleotime	19/03/2012	JPG	
OA_5919_PN1561	Zone A ouest		vue en coupe (détail)	ouest	CP02	Log 02-2				Paleotime	19/03/2012	JPG	
OA_5919_PN1562	Zone A ouest		vue en coupe (détail)	ouest	CP02	Log 02-2				Paleotime	19/03/2012	JPG	
OA_5919_PN1563	Zone A ouest		vue en coupe (détail)	ouest	CP02	Log 02-2				Paleotime	19/03/2012	JPG	
OA_5919_PN1564	Zone A ouest		vue en coupe (détail)	ouest	CP02	Log 02-2				Paleotime	19/03/2012	JPG	
OA_5919_PN1565	Zone A ouest		vue en coupe (détail)	ouest	CP02	Log 02-2				Paleotime	19/03/2012	JPG	
OA_5919_PN1566	Zone A ouest		vue oblique	nord-ouest	CP02					Paleotime	19/03/2012	JPG	
OA_5919_PN1567	Zone A ouest		vue oblique	sud-ouest	CP02					Paleotime	19/03/2012	JPG	
OA_5919_PN1568	Zone C		vue générale	est						Paleotime	19/03/2012	JPG	
OA_5919_PN1569	Zone C		vue en coupe	nord	CP24	Log 24-1				Paleotime	19/03/2012	JPG	
OA_5919_PN1570	Zone C		vue en coupe	nord	CP24	Log 24-1				Paleotime	19/03/2012	JPG	
OA_5919_PN1571	Zone C		vue en coupe	nord	CP24	Log 24-1				Paleotime	19/03/2012	JPG	
OA_5919_PN1572	Zone C		vue en coupe	nord	CP24	Log 24-1				Paleotime	19/03/2012	JPG	
OA_5919_PN1573	Zone C		vue en coupe (détail)	nord	CP24	Log 24-1				Paleotime	19/03/2012	JPG	
OA_5919_PN1574	Zone C		vue en coupe (détail)	nord	CP24	Log 24-1				Paleotime	19/03/2012	JPG	
OA_5919_PN1575	Zone C		vue en coupe (détail)	nord	CP24	Log 24-1				Paleotime	19/03/2012	JPG	
OA_5919_PN1576	Zone C		vue en coupe (détail)	nord	CP24	Log 24-1				Paleotime	19/03/2012	JPG	
OA_5919_PN1577	Zone C		vue en coupe (détail)	nord	CP24	Log 24-1				Paleotime	19/03/2012	JPG	
OA_5919_PN1578	Zone C		vue en coupe (détail)	nord	CP24	Log 24-1				Paleotime	19/03/2012	JPG	
OA_5919_PN1579	Zone C		vue en coupe (détail)	nord	CP24	Log 24-1				Paleotime	19/03/2012	JPG	
OA_5919_PN1580	Zone C		vue en coupe (détail)	nord	CP24	Log 24-1				Paleotime	19/03/2012	JPG	
OA_5919_PN1581	Zone C		vue en coupe	nord	CP24 et 19					Paleotime	19/03/2012	JPG	

Inventaire officiel 5 – Montguyon (17), « Bois Clair ». Inventaire de la documentation photographique

	Localisation				Description								
Nom photo	Zone	TR	Type de vue	Vue vers	CP	LOG / Locus/ST	UPS	carré / mobilier lithique en place / z=	décapage	Auteur	Date	Extension fichier	Remarques
OA_5919_PN1582	Zone C		vue en coupe	nord	CP24 et 19					Paleotime	19/03/2012	JPG	
OA_5919_PN1583	Zone D et B		vue générale	sud-ouest						Paleotime	20/03/2012	JPG	
OA_5919_PN1584	Zone D et C		vue générale	ouest						Paleotime	20/03/2012	JPG	
OA_5919_PN1585	Zone D et C		vue générale	ouest						Paleotime	20/03/2012	JPG	
OA_5919_PN1586	Zone D et C		vue générale	ouest						Paleotime	20/03/2012	JPG	
OA_5919_PN1587	Zone D		vue générale	est						Paleotime	20/03/2012	JPG	
OA_5919_PN1588	Zone D		vue générale	nord						Paleotime	20/03/2012	JPG	
OA_5919_PN1589	Zone C		vue générale	ouest						Paleotime	20/03/2012	JPG	
OA_5919_PN1590	Zone C		vue générale	nord-ouest						Paleotime	20/03/2012	JPG	
OA_5919_PN1591	Zone D		vue générale	nord						Paleotime	20/03/2012	JPG	
OA_5919_PN1592	Berme B/D		vue en coupe	ouest	CP25	Log 25-1				Paleotime	20/03/2012	JPG	
OA_5919_PN1593	Berme B/D		vue en coupe	ouest	CP25	Log 25-1				Paleotime	20/03/2012	JPG	
OA_5919_PN1594	Berme B/D		vue en coupe (détail)	ouest	CP25	Log 25-1				Paleotime	20/03/2012	JPG	
OA_5919_PN1595	Berme B/D		vue en coupe (détail)	ouest	CP25	Log 25-1				Paleotime	20/03/2012	JPG	
OA_5919_PN1596	Berme B/D		vue en coupe (détail)	ouest	CP25	Log 25-1				Paleotime	20/03/2012	JPG	
OA_5919_PN1597	Berme B/D		vue en coupe (détail)	ouest	CP25	Log 25-1				Paleotime	20/03/2012	JPG	
OA_5919_PN1598	Berme B/D		vue en coupe (détail)	ouest	CP25	Log 25-1				Paleotime	20/03/2012	JPG	
OA_5919_PN1599	Berme B/D		vue en coupe (détail)	ouest	CP25	Log 25-1				Paleotime	20/03/2012	JPG	
OA_5919_PN1600	Berme B/D		vue en coupe (détail)	ouest	CP25	Log 25-1				Paleotime	20/03/2012	JPG	
OA_5919_PN1601	Berme B/D		vue en coupe (détail)	ouest	CP25	Log 25-1				Paleotime	20/03/2012	JPG	
OA_5919_PN1602	Berme A/C		vue en plan	ouest		Locus 11 et 0	UPS 4		décapage 1	Paleotime	21/03/2012	JPG	
OA_5919_PN1603	Berme A/C		vue générale	nord		Locus 11 et 0	UPS 4	L3-10b-d/L4-01/K3-100b-d/K4-91/K3-90b-d/K4-81/K3-80b-d/K4-71/K3-70b-d/K4-61	décapage 1	Paleotime	21/03/2012	JPG	
OA_5919_PN1604	Berme A/C		vue générale	nord		Locus 11 et 0	UPS 4	L3-10b-d/L4-01/K3-100b-d/K4-91/K3-90b-d/K4-81/K3-80b-d/K4-71/K3-70b-d/K4-61	décapage 1	Paleotime	21/03/2012	JPG	
OA_5919_PN1605	Berme A/C		vue générale	nord		Locus 11 et 0	UPS 4	L3-10b-d/L4-01/K3-100b-d/K4-91/K3-90b-d/K4-81/K3-80b-d/K4-71/K3-70b-d/K4-61	décapage 1	Paleotime	21/03/2012	JPG	

	Localisation				Description								
Nom photo	Zone	TR	Type de vue	Vue vers	CP	LOG / Locus/ST	UPS	carré / mobilier lithique en place / z=	décapage	Auteur	Date	Extension fichier	Remarques
OA_5919_PN1606	Berme A/C		vue générale	sud-ouest		Locus 11 et 0	UPS 4	L3-10b-d/L4-01/K3-100b-d/K4-91/K3-90b-d/K4-81/K3-80b-d/K4-71/K3-70b-d/K4-61	décapage 1	Paleotime	21/03/2012	JPG	
OA_5919_PN1607	Berme A/C		vue générale	sud		Locus 11 et 0	UPS 4	L3-10b-d/L4-01/K3-100b-d/K4-91/K3-90b-d/K4-81/K3-80b-d/K4-71/K3-70b-d/K4-61	décapage 1	Paleotime	21/03/2012	JPG	
OA_5919_PN1608	Berme A/C		vue générale	sud		Locus 11 et 0	UPS 4	L3-10b-d/L4-01/K3-100b-d/K4-91/K3-90b-d/K4-81/K3-80b-d/K4-71/K3-70b-d/K4-61	décapage 1	Paleotime	21/03/2012	JPG	
OA_5919_PN1609	Berme A/C		vue en plan	ouest		Locus 11 et 0	UPS 4	K3-100b-d/K4-91a-c	décapage 1	Paleotime	21/03/2012	JPG	
OA_5919_PN1610	Zone C		vue en coupe	sud-est	CP26					Paleotime	21/03/2012	JPG	
OA_5919_PN1611	Zone C		vue en coupe	sud-est	CP26					Paleotime	21/03/2012	JPG	
OA_5919_PN1612	Zone C		vue en coupe	sud-est	CP26					Paleotime	21/03/2012	JPG	
OA_5919_PN1613	Zone C		vue en coupe	sud-est	CP26					Paleotime	21/03/2012	JPG	
OA_5919_PN1614	Zone C		vue en coupe	sud-est	CP26					Paleotime	21/03/2012	JPG	
OA_5919_PN1615	Zone C		vue en coupe	sud-est	CP26					Paleotime	21/03/2012	JPG	
OA_5919_PN1616	Zone C		vue en coupe	sud-est	CP26					Paleotime	21/03/2012	JPG	
OA_5919_PN1617	Zone C		vue en coupe	sud-est	CP26					Paleotime	21/03/2012	JPG	
OA_5919_PN1618	Zone C		vue en coupe	sud-est	CP26					Paleotime	21/03/2012	JPG	
OA_5919_PN1619	Zone C		vue en coupe	sud-est	CP26					Paleotime	21/03/2012	JPG	
OA_5919_PN1620	Zone C		vue oblique	sud-est	CP26					Paleotime	21/03/2012	JPG	
OA_5919_PN1621	Zone C		vue générale	sud-est	CP26					Paleotime	21/03/2012	JPG	
OA_5919_PN1622	Zone C		vue générale (détail)	sud-est	CP26					Paleotime	21/03/2012	JPG	
OA_5919_PN1623	Zone C		vue oblique	sud-ouest	CP26					Paleotime	21/03/2012	JPG	
OA_5919_PN1624	Zone C		vue oblique	ouest	CP26					Paleotime	21/03/2012	JPG	
OA_5919_PN1625	Berme A/C		vue en coupe	ouest	CP08	Log 08-1+base				Paleotime	21/03/2012	JPG	
OA_5919_PN1626	Berme A/C		vue en coupe	ouest	CP08	Log 08-1+base				Paleotime	21/03/2012	JPG	
OA_5919_PN1627	Berme A/C		vue en coupe	ouest	CP08	Log 08-1+base				Paleotime	21/03/2012	JPG	
OA_5919_PN1628	Berme A/C		vue en coupe	ouest	CP08	Log 08-1+base				Paleotime	21/03/2012	JPG	
OA_5919_PN1629	Berme A/C		vue oblique	nord-ouest	CP08	Log 08-1+base				Paleotime	21/03/2012	JPG	
OA_5919_PN1630	Berme A/C		vue oblique	nord-ouest	CP08	Log 08-1+base				Paleotime	21/03/2012	JPG	
OA_5919_PN1631	Berme A/C		vue oblique	nord-ouest	CP08	Log 08-1+base				Paleotime	21/03/2012	JPG	
OA_5919_PN1632	Berme A/C		vue oblique	nord-ouest	CP08	Log 08-1+base				Paleotime	21/03/2012	JPG	
OA_5919_PN1633	Berme A/C		vue en coupe (détail)	ouest	CP08	Log 08-1+base				Paleotime	21/03/2012	JPG	
OA_5919_PN1634	Berme A/C		vue en coupe (détail)	ouest	CP08	Log 08-1+base				Paleotime	21/03/2012	JPG	
OA_5919_PN1635	Berme A/C		vue en coupe (détail)	ouest	CP08	Log 08-1+base				Paleotime	21/03/2012	JPG	
OA_5919_PN1636	Berme A/C		vue en coupe (détail)	ouest	CP08	Log 08-1+base				Paleotime	21/03/2012	JPG	

	Localisation				Description								
Nom photo	Zone	TR	Type de vue	Vue vers	CP	LOG / Locus/ST	UPS	carré / mobilier lithique en place / z=	décapage	Auteur	Date	Extension fichier	Remarques
OA_5919_PN1637	Berme A/C		vue en coupe (détail)	ouest	CP08	Log 08-1+base				Paleotime	21/03/2012	JPG	
OA_5919_PN1638	Berme A/C		vue en coupe (détail)	ouest	CP08	Log 08-1+base				Paleotime	21/03/2012	JPG	
OA_5919_PN1639	Berme A/C		vue en coupe (détail)	ouest	CP08	Log 08-1+base				Paleotime	21/03/2012	JPG	
OA_5919_PN1640	Berme A/C		vue en coupe (détail)	ouest	CP08	Log 08-1+base				Paleotime	21/03/2012	JPG	
OA_5919_PN1641	Berme A/C		vue en coupe (détail)	ouest	CP08	Log 08-1+base				Paleotime	21/03/2012	JPG	
OA_5919_PN1642	Berme A/C		vue en coupe (détail)	ouest	CP08	Log 08-1+base				Paleotime	21/03/2012	JPG	
OA_5919_PN1643	Berme A/C		vue en coupe (détail)	ouest	CP08	Log 08-1+base				Paleotime	21/03/2012	JPG	
OA_5919_PN1644	Berme A/C		vue en coupe (détail)	ouest	CP08	Log 08-1+base				Paleotime	21/03/2012	JPG	
OA_5919_PN1645	Berme A/C		vue en coupe (détail)	ouest	CP08	Log 08-1+base				Paleotime	21/03/2012	JPG	
OA_5919_PN1646	Berme A/C		vue en coupe (détail)	ouest	CP08	Log 08-1+base				Paleotime	21/03/2012	JPG	
OA_5919_PN1647	Berme A/C		vue en coupe (détail)	ouest	CP08	Log 08-1+base				Paleotime	21/03/2012	JPG	
OA_5919_PN1648	Berme A/C		vue en coupe (détail)	ouest	CP08	Log 08-1+base				Paleotime	21/03/2012	JPG	
OA_5919_PN1649	Tranche conditionnelle		vue en coupe	ouest	CP27 palier 1					Paleotime	21/03/2012	JPG	
OA_5919_PN1650	Tranche conditionnelle		vue en coupe	ouest	CP27 palier 1					Paleotime	21/03/2012	JPG	
OA_5919_PN1651	Tranche conditionnelle		vue en coupe	ouest	CP27 palier 1					Paleotime	21/03/2012	JPG	
OA_5919_PN1652	Tranche conditionnelle		vue en coupe	ouest	CP27 palier 1					Paleotime	21/03/2012	JPG	
OA_5919_PN1653	Tranche conditionnelle		vue en coupe	ouest	CP27 palier 2					Paleotime	21/03/2012	JPG	
OA_5919_PN1654	Tranche conditionnelle		vue en coupe	ouest	CP27 palier 2					Paleotime	21/03/2012	JPG	
OA_5919_PN1655	Tranche conditionnelle		vue en coupe	ouest	CP27 palier 2					Paleotime	21/03/2012	JPG	
OA_5919_PN1656	Tranche conditionnelle		vue en coupe	ouest	CP27 palier 2					Paleotime	21/03/2012	JPG	
OA_5919_PN1657	Tranche conditionnelle		vue en coupe	ouest	CP27	Log 27-1				Paleotime	21/03/2012	JPG	
OA_5919_PN1658	Tranche conditionnelle		vue en coupe	ouest	CP27	Log 27-1				Paleotime	21/03/2012	JPG	
OA_5919_PN1659	Tranche conditionnelle		vue en coupe	ouest	CP27	Log 27-1				Paleotime	21/03/2012	JPG	
OA_5919_PN1660	Tranche conditionnelle		vue en coupe	ouest	CP27	Log 27-1				Paleotime	21/03/2012	JPG	
OA_5919_PN1661	Tranche conditionnelle		vue en coupe (détail)	ouest	CP27	Log 27-1				Paleotime	21/03/2012	JPG	
OA_5919_PN1662	Tranche conditionnelle		vue en coupe (détail)	ouest	CP27	Log 27-1				Paleotime	21/03/2012	JPG	

	Localisation				Description								
Nom photo	Zone	TR	Type de vue	Vue vers	CP	LOG / Locus/ST	UPS	carré / mobilier lithique en place / z=	décapage	Auteur	Date	Extension fichier	Remarques
OA_5919_PN1663	Tranche conditionnelle		vue en coupe (détail)	ouest	CP27	Log 27-1				Paleotime	21/03/2012	JPG	
OA_5919_PN1664	Tranche conditionnelle		vue en coupe (détail)	ouest	CP27	Log 27-1				Paleotime	21/03/2012	JPG	
OA_5919_PN1665	Tranche conditionnelle		vue en coupe (détail)	ouest	CP27	Log 27-1				Paleotime	21/03/2012	JPG	
OA_5919_PN1666	Tranche conditionnelle		vue en coupe (détail)	ouest	CP27	Log 27-1				Paleotime	21/03/2012	JPG	
OA_5919_PN1667	Tranche conditionnelle		vue en coupe (détail)	ouest	CP27	Log 27-1				Paleotime	21/03/2012	JPG	
OA_5919_PN1668	Tranche conditionnelle		vue en coupe (détail)	ouest	CP27	Log 27-1				Paleotime	21/03/2012	JPG	
OA_5919_PN1669	Tranche conditionnelle		vue en coupe (détail)	ouest	CP27	Log 27-1				Paleotime	21/03/2012	JPG	
OA_5919_PN1670	Tranche conditionnelle		vue en coupe (détail)	ouest	CP27	Log 27-1				Paleotime	21/03/2012	JPG	
OA_5919_PN1671	Tranche conditionnelle		vue en coupe (détail)	ouest	CP27	Log 27-1				Paleotime	21/03/2012	JPG	
OA_5919_PN1672	Tranche conditionnelle		vue en coupe (détail)	ouest	CP27	Log 27-1				Paleotime	21/03/2012	JPG	
OA_5919_PN1673	Tranche conditionnelle		vue oblique	nord-ouest	CP27					Paleotime	21/03/2012	JPG	
OA_5919_PN1674	Tranche conditionnelle		vue oblique	nord-ouest	CP27					Paleotime	21/03/2012	JPG	
OA_5919_PN1675	Berme A/C		vue générale	nord		Locus 11 et 0	UPS 4	L3-10b-d/L4-01/K3-100b-d/K4-91/K3-90b-d/K4-81/K3-80b-d/K4-71/K3-70b-d/K4-61	décapage 2	Paleotime	22/03/2012	JPG	
OA_5919_PN1676	Berme A/C		vue générale	sud		Locus 11 et 0	UPS 4	L3-10b-d/L4-01/K3-100b-d/K4-91/K3-90b-d/K4-81/K3-80b-d/K4-71/K3-70b-d/K4-61	décapage 2	Paleotime	22/03/2012	JPG	
OA_5919_PN1677	Berme A/C		vue en plan	ouest		Locus 11 et 0	UPS 4	K4-61	décapage 2	Paleotime	22/03/2012	JPG	
OA_5919_PN1678	Berme A/C		vue en plan	ouest		Locus 11 et 0	UPS 4	K4-61	décapage 2	Paleotime	22/03/2012	JPG	
OA_5919_PN1679	Berme A/C		vue en plan	ouest		Locus 11 et 0	UPS 4	K3-80b-d	décapage 2	Paleotime	22/03/2012	JPG	
OA_5919_PN1680	Berme A/C		vue en plan	ouest		Locus 11 et 0	UPS 4	K4-71	décapage 2	Paleotime	22/03/2012	JPG	
OA_5919_PN1681	Berme A/C		vue en plan	ouest		Locus 11 et 0	UPS 4	K4-81	décapage 2	Paleotime	22/03/2012	JPG	
OA_5919_PN1682	Berme A/C		vue en plan	ouest		Locus 11 et 0	UPS 4	K3-90b-d	décapage 2	Paleotime	22/03/2012	JPG	
OA_5919_PN1683	Berme A/C		vue en plan	ouest		Locus 11 et 0	UPS 4	K4-91	décapage 2	Paleotime	22/03/2012	JPG	
OA_5919_PN1684	Berme A/C		vue en plan	ouest		Locus 11 et 0	UPS 4	K3-100b-d	décapage 2	Paleotime	22/03/2012	JPG	
OA_5919_PN1685	Berme A/C		vue en plan	ouest		Locus 11 et 0	UPS 4	L4-01/L3-10b-d	décapage 2	Paleotime	22/03/2012	JPG	
OA_5919_PN1686	Berme A/C		vue en plan	nord		Locus 11	UPS 4	K4-91	décapage 2	Paleotime	22/03/2012	JPG	
OA_5919_PN1687	Berme A/C		vue en plan	nord		Locus 11	UPS 4	K4-91	décapage 2	Paleotime	22/03/2012	JPG	
OA_5919_PN1688	Berme A/C		vue en plan	nord		Locus 11	UPS 4	K4-91	décapage 2	Paleotime	22/03/2012	JPG	
OA_5919_PN1689	Berme A/C		vue en plan (détail)	nord		Locus 11	UPS 4	K4-91	décapage 2	Paleotime	22/03/2012	JPG	
OA_5919_PN1690	Berme A/C		vue en plan (détail)	nord		Locus 11	UPS 4	K4-91	décapage 2	Paleotime	22/03/2012	JPG	

	Localisation				Description								
Nom photo	Zone	TR	Type de vue	Vue vers	CP	LOG / Locus/ST	UPS	carré / mobilier lithique en place / z=	décapage	Auteur	Date	Extension fichier	Remarques
OA_5919_PN1691	Berme A/C		vue en plan (détail)	nord		Locus 11	UPS 4	K4-91	décapage 2	Paleotime	22/03/2012	JPG	
OA_5919_PN1692	Berme A/C		vue en plan (détail)	nord		Locus 11	UPS 4	K4-91	décapage 2	Paleotime	22/03/2012	JPG	
OA_5919_PN1693	Berme A/C		vue en plan (détail)	nord		Locus 11	UPS 4	K4-91	décapage 2	Paleotime	22/03/2012	JPG	
OA_5919_PN1694	Berme A/C		vue oblique (détail)	nord-ouest		Locus 11	UPS 4	K4-91	décapage 2	Paleotime	22/03/2012	JPG	
OA_5919_PN1695	Berme A/C		vue en plan (détail)	ouest		Locus 11	UPS 4	K4-91	décapage 2	Paleotime	22/03/2012	JPG	
OA_5919_PN1696	Berme A/C		vue en plan (détail)	nord		Locus 11	UPS 4	K4-71	décapage 2	Paleotime	22/03/2012	JPG	
OA_5919_PN1697	Berme A/C		vue en plan (détail)	nord		Locus 11	UPS 4	K4-71	décapage 2	Paleotime	22/03/2012	JPG	
OA_5919_PN1698	Berme A/C		vue oblique	ouest		Locus 11 et 0	UPS 4	K4-91/81	décapage 2	Paleotime	22/03/2012	JPG	
OA_5919_PN1699	Berme A/C		vue oblique	ouest		Locus 11 et 0	UPS 4	K4-91/81	décapage 2	Paleotime	22/03/2012	JPG	
OA_5919_PN1700	Berme C/D		vue en coupe	est	CP10	Log 10-3				Paleotime	22/03/2012	JPG	
OA_5919_PN1701	Berme C/D		vue en coupe	est	CP10	Log 10-3				Paleotime	22/03/2012	JPG	
OA_5919_PN1702	Berme C/D		vue en coupe	est	CP10	Log 10-3				Paleotime	22/03/2012	JPG	
OA_5919_PN1703	Berme C/D		vue en coupe	est	CP10	Log 10-3				Paleotime	22/03/2012	JPG	
OA_5919_PN1704	Berme C/D		vue en coupe	est	CP10	Log 10-3 base				Paleotime	22/03/2012	JPG	
OA_5919_PN1705	Berme C/D		vue en coupe	est	CP10	Log 10-3 base				Paleotime	22/03/2012	JPG	
OA_5919_PN1706	Berme C/D		vue en coupe	est	CP10	Log 10-3				Paleotime	22/03/2012	JPG	
OA_5919_PN1707	Berme C/D		vue en coupe	est	CP10	Log 10-3				Paleotime	22/03/2012	JPG	
OA_5919_PN1708	Berme C/D		vue en coupe	est	CP10	Log 10-3				Paleotime	22/03/2012	JPG	
OA_5919_PN1709	Berme C/D		vue en coupe	est	CP10	Log 10-3				Paleotime	22/03/2012	JPG	
OA_5919_PN1710	Berme C/D		vue en coupe (détail)	est	CP10	Log 10-3				Paleotime	22/03/2012	JPG	
OA_5919_PN1711	Berme C/D		vue en coupe (détail)	est	CP10	Log 10-3				Paleotime	22/03/2012	JPG	
OA_5919_PN1712	Berme C/D		vue en coupe (détail)	est	CP10	Log 10-3				Paleotime	22/03/2012	JPG	
OA_5919_PN1713	Berme C/D		vue en coupe (détail)	est	CP10	Log 10-3				Paleotime	22/03/2012	JPG	
OA_5919_PN1714	Berme C/D		vue en coupe (détail)	est	CP10	Log 10-3				Paleotime	22/03/2012	JPG	
OA_5919_PN1715	Berme C/D		vue en coupe (détail)	est	CP10	Log 10-3				Paleotime	22/03/2012	JPG	
OA_5919_PN1716	Berme C/D		vue en coupe (détail)	est	CP10	Log 10-3				Paleotime	22/03/2012	JPG	
OA_5919_PN1717	Berme C/D		vue en coupe (détail)	est	CP10	Log 10-3				Paleotime	22/03/2012	JPG	
OA_5919_PN1718	Berme C/D		vue en coupe (détail)	est	CP10	Log 10-3				Paleotime	22/03/2012	JPG	
OA_5919_PN1719	Berme C/D		vue en coupe (détail)	est	CP10	Log 10-3				Paleotime	22/03/2012	JPG	
OA_5919_PN1720	Berme C/D		vue en coupe (détail)	est	CP10	Log 10-3				Paleotime	22/03/2012	JPG	
OA_5919_PN1721	Berme C/D		vue en coupe (détail)	est	CP10	Log 10-3				Paleotime	22/03/2012	JPG	
OA_5919_PN1722	Berme C/D		vue en coupe (détail)	est	CP10	Log 10-3				Paleotime	22/03/2012	JPG	

	Localisation				Description								
Nom photo	Zone	TR	Type de vue	Vue vers	CP	LOG / Locus/ST	UPS	carré / mobilier lithique en place / z=	décapage	Auteur	Date	Extension fichier	Remarques
OA_5919_PN1723	Berme C/D		vue en coupe (détail)	est	CP10	Log 10-3				Paleotime	22/03/2012	JPG	
OA_5919_PN1724	Berme C/D		vue oblique	sud-est	CP10	Log 10-3				Paleotime	22/03/2012	JPG	
OA_5919_PN1725	Berme C/D		vue oblique	sud-est	CP10	Log 10-3				Paleotime	22/03/2012	JPG	
OA_5919_PN1726	Zone B		vue en coupe	nord	CP28					Paleotime	23/03/2012	JPG	
OA_5919_PN1727	Zone B		vue en coupe	nord	CP28					Paleotime	23/03/2012	JPG	
OA_5919_PN1728	Zone B		vue en coupe	nord	CP28					Paleotime	23/03/2012	JPG	
OA_5919_PN1729	Zone B		vue en coupe	nord	CP28					Paleotime	23/03/2012	JPG	
OA_5919_PN1730	Zone B		vue en coupe	nord	CP28					Paleotime	23/03/2012	JPG	
OA_5919_PN1731	Zone B		vue en coupe	nord	CP28					Paleotime	23/03/2012	JPG	
OA_5919_PN1732	Zone B		vue en coupe	nord	CP28					Paleotime	23/03/2012	JPG	
OA_5919_PN1733	Zone B		vue en coupe	nord	CP28					Paleotime	23/03/2012	JPG	
OA_5919_PN1734	Zone B		vue en coupe	nord	CP28					Paleotime	23/03/2012	JPG	
OA_5919_PN1735	Zone B		vue en coupe	nord	CP28					Paleotime	23/03/2012	JPG	
OA_5919_PN1736	Zone B		vue en coupe	nord	CP28					Paleotime	23/03/2012	JPG	
OA_5919_PN1737	Zone B		vue en coupe	nord	CP28					Paleotime	23/03/2012	JPG	
OA_5919_PN1738	Zone B		vue en coupe	nord	CP28					Paleotime	23/03/2012	JPG	
OA_5919_PN1739	Zone B		vue en coupe	nord	CP28					Paleotime	23/03/2012	JPG	
OA_5919_PN1740	Zone B		vue en coupe	nord	CP28					Paleotime	23/03/2012	JPG	
OA_5919_PN1741	Zone B		vue en coupe	nord	CP28					Paleotime	23/03/2012	JPG	
OA_5919_PN1742	Zone B		vue en coupe	nord	CP28					Paleotime	23/03/2012	JPG	
OA_5919_PN1743	Zone B		vue en coupe	nord	CP28					Paleotime	23/03/2012	JPG	
OA_5919_PN1744	Zone B		vue en coupe	nord	CP28					Paleotime	23/03/2012	JPG	
OA_5919_PN1745	Zone B		vue en coupe	nord	CP28					Paleotime	23/03/2012	JPG	
OA_5919_PN1746	Zone B		vue générale	nord	CP28					Paleotime	23/03/2012	JPG	
OA_5919_PN1747	Zone B		vue générale	nord	CP28					Paleotime	23/03/2012	JPG	
OA_5919_PN1748	Zone B		vue générale	nord	CP28					Paleotime	23/03/2012	JPG	
OA_5919_PN1749	Zone B		vue générale	nord	CP28					Paleotime	23/03/2012	JPG	
OA_5919_PN1750	Zone B		vue en coupe	nord	CP28	Log 28-1				Paleotime	23/03/2012	JPG	
OA_5919_PN1751	Zone B		vue en coupe	nord	CP28	Log 28-1				Paleotime	23/03/2012	JPG	
OA_5919_PN1752	Zone B		vue en coupe (détail)	nord	CP28	Log 28-1				Paleotime	23/03/2012	JPG	
OA_5919_PN1753	Zone B		vue en coupe (détail)	nord	CP28	Log 28-1				Paleotime	23/03/2012	JPG	
OA_5919_PN1754	Zone B		vue en coupe (détail)	nord	CP28	Log 28-1				Paleotime	23/03/2012	JPG	
OA_5919_PN1755	Zone B		vue en coupe (détail)	nord	CP28	Log 28-1				Paleotime	23/03/2012	JPG	
OA_5919_PN1756	Zone B		vue en coupe (détail)	nord	CP28	Log 28-1				Paleotime	23/03/2012	JPG	
OA_5919_PN1757	Zone B		vue en coupe (détail)	nord	CP28	Log 28-1				Paleotime	23/03/2012	JPG	
OA_5919_PN1758	Zone B		vue en coupe	nord	CP28	Log 28-2				Paleotime	23/03/2012	JPG	
OA_5919_PN1759	Zone B		vue en coupe	nord	CP28	Log 28-2				Paleotime	23/03/2012	JPG	
OA_5919_PN1760	Zone B		vue en coupe (détail)	nord	CP28	Log 28-2				Paleotime	23/03/2012	JPG	
OA_5919_PN1761	Zone B		vue en coupe (détail)	nord	CP28	Log 28-2				Paleotime	23/03/2012	JPG	
OA_5919_PN1762	Zone B		vue en coupe (détail)	nord	CP28	Log 28-2				Paleotime	23/03/2012	JPG	
OA_5919_PN1763	Zone B		vue en coupe (détail)	nord	CP28	Log 28-2				Paleotime	23/03/2012	JPG	

	Localisation				Description								
Nom photo	Zone	TR	Type de vue	Vue vers	CP	LOG / Locus/ST	UPS	carré / mobilier lithique en place / z=	décapage	Auteur	Date	Extension fichier	Remarques
OA_5919_PN1764	Berme A/C		vue générale	ouest	CP08-1					Paleotime	26/03/2012	JPG	
OA_5919_PN1765	Berme A/C		vue en coupe	ouest	CP08-1					Paleotime	26/03/2012	JPG	
OA_5919_PN1766	Berme A/C		vue en coupe	ouest	CP08-1	Log 08-1				Paleotime	26/03/2012	JPG	
OA_5919_PN1767	Berme A/C		vue oblique	nord-ouest	CP08-1	Log 08-1				Paleotime	26/03/2012	JPG	
OA_5919_PN1768	Berme A/C		vue en coupe (détail)	ouest	CP08-1	Log 08-1				Paleotime	26/03/2012	JPG	
OA_5919_PN1769	Berme A/C		vue oblique	sud-ouest	CP08-1	Log 08-1				Paleotime	26/03/2012	JPG	
OA_5919_PN1770	Berme A/C		vue en coupe (détail)	ouest	CP08-1	Log 08-1				Paleotime	26/03/2012	JPG	
OA_5919_PN1771	Berme A/C		vue en coupe (détail)	ouest	CP08-1	Log 08-1				Paleotime	26/03/2012	JPG	
OA_5919_PN1772	Berme A/C		vue en coupe (détail)	ouest	CP08-1	Log 08-1				Paleotime	26/03/2012	JPG	
OA_5919_PN1773	Berme A/C		vue en coupe (détail)	ouest	CP08-1	Log 08-1				Paleotime	26/03/2012	JPG	
OA_5919_PN1774	Berme A/C		vue en coupe (détail)	ouest	CP08-1	Log 08-1				Paleotime	26/03/2012	JPG	
OA_5919_PN1775	Berme A/C		vue en coupe (détail)	ouest	CP08-1	Log 08-1				Paleotime	26/03/2012	JPG	
OA_5919_PN1776	Berme A/C		vue en coupe	ouest	CP08-1	Log 08-1				Paleotime	26/03/2012	JPG	
OA_5919_PN1777	Berme A/C		vue en coupe (détail)	ouest	CP08-1	Log 08-1	prélèvements micromorphologie			Paleotime	26/03/2012	JPG	
OA_5919_PN1778	Berme A/C		vue en plan	ouest		Locus 11	UPS 4/5	K4-61/71	décapage 3	Paleotime	27/03/2012	JPG	
OA_5919_PN1779	Berme A/C		vue en plan	ouest		Locus 11	UPS 4/5	K4-61/71	décapage 3	Paleotime	27/03/2012	JPG	
OA_5919_PN1780	Berme A/C		vue en plan	ouest		Locus 11	UPS 4/5	K4-61/71	décapage 3	Paleotime	27/03/2012	JPG	
OA_5919_PN1781	Berme A/C		vue en plan	ouest		Locus 11	UPS 4/5	K4-61/71	décapage 3	Paleotime	27/03/2012	JPG	
OA_5919_PN1782	Berme A/C		vue en plan	ouest		Locus 11	UPS 4/5	K4-61/71	décapage 3	Paleotime	27/03/2012	JPG	
OA_5919_PN1783	Berme A/C		vue en coupe (détail)	ouest	CP08-1	Log 08-1	prélèvements micromorphologie (PR69, 70 et 71)			Paleotime	27/03/2012	JPG	
OA_5919_PN1784	Berme A/C		vue en coupe (détail)	ouest	CP08-1	Log 08-1	prélèvements micromorphologie (PR69, 70 et 71)			Paleotime	27/03/2012	JPG	
OA_5919_PN1785	Berme A/C		vue en coupe (détail)	ouest	CP08-1	Log 08-1	prélèvements micromorphologie (PR70)			Paleotime	27/03/2012	JPG	
OA_5919_PN1786	Berme A/C		vue en coupe (détail)	ouest	CP08-1	Log 08-1	prélèvements micromorphologie (PR71)			Paleotime	27/03/2012	JPG	
OA_5919_PN1787	Berme A/C		vue des prélèvements		CP08-1	Log 08-1	prélèvements micromorphologie (PR71)			Paleotime	27/03/2012	JPG	
OA_5919_PN1788	Berme A/C		vue en coupe (détail)	ouest	CP08-1	Log 08-1	prélèvements micromorphologie (PR69, 70 et 71)			Paleotime	27/03/2012	JPG	

Nom photo	Localisation				Description					Auteur	Date	Extension fichier	Remarques
	Zone	TR	Type de vue	Vue vers	CP	LOG / Locus/ST	UPS	carré / mobilier lithique en place / z=	décapage				
OA_5919_PN1789	Berme A/C		vue en coupe (détail)	ouest	CP08-1	Log 08-1	prélèvements micromorphologie (PR69, 70 et 71)			Paleotime	27/03/2012	JPG	
OA_5919_PN1790	Berme A/C		vue en coupe (détail)	ouest	CP08-1	Log 08-1	prélèvements micromorphologie (PR69, 70 et 71)			Paleotime	27/03/2012	JPG	
OA_5919_PN1791	Berme A/C		vue des prélèvements		CP08-1	Log 08-1	prélèvements micromorphologie (PR70)			Paleotime	27/03/2012	JPG	
OA_5919_PN1792	Berme A/C		vue des prélèvements		CP08-1	Log 08-1	prélèvements micromorphologie (PR69)			Paleotime	27/03/2012	JPG	
OA_5919_PN1793	Zone C		vue oblique	sud-est	CP10-3					Paleotime	28/03/2012	JPG	
OA_5919_PN1794	Zone C		vue générale	est	CP10-3					Paleotime	28/03/2012	JPG	
OA_5919_PN1795	Zone C		vue en coupe	est	CP10-3					Paleotime	28/03/2012	JPG	
OA_5919_PN1796	Zone C		vue en coupe	est	CP10-3	Log 10-3				Paleotime	28/03/2012	JPG	
OA_5919_PN1797	Zone C		vue en coupe (détail)	est	CP10-3	Log 10-3				Paleotime	28/03/2012	JPG	
OA_5919_PN1798	Zone C		vue en coupe (détail)	est	CP10-3	Log 10-3				Paleotime	28/03/2012	JPG	
OA_5919_PN1799	Zone C		vue en coupe (détail)	est	CP10-3	Log 10-3				Paleotime	28/03/2012	JPG	
OA_5919_PN1800	Zone C		vue d'ambiance	nord-est	CP10-3		prélèvements OSL			Paleotime	28/03/2012	JPG	
OA_5919_PN1801	Zone B et Berme A/C		vue d'ambiance	sud-ouest		Locus 9 et 11				Paleotime	28/03/2012	JPG	
OA_5919_PN1802	Zone C		vue d'ambiance	nord-est	CP10-3		prélèvements OSL			Paleotime	28/03/2012	JPG	
OA_5919_PN1803	Zone C		vue d'ambiance	sud-est	CP10-3		prélèvements OSL			Paleotime	28/03/2012	JPG	
OA_5919_PN1804	Zone C		vue d'ambiance	nord-est	CP10-3		prélèvements OSL			Paleotime	28/03/2012	JPG	
OA_5919_PN1805	Zone C		vue en coupe	est	CP10-3		prélèvements OSL			Paleotime	28/03/2012	JPG	
OA_5919_PN1806	Berme A/C		vue d'ambiance	sud-ouest	CP08-1		prélèvements OSL (PR88 et 89)			Paleotime	28/03/2012	JPG	
OA_5919_PN1807	Berme A/C		vue d'ambiance	sud-ouest	CP08-1		prélèvements OSL (PR88 et 89)			Paleotime	28/03/2012	JPG	
OA_5919_PN1808	Berme A/C		vue en coupe (détail)	ouest	CP08-1		prélèvements OSL (PR88 et 89)			Paleotime	28/03/2012	JPG	
OA_5919_PN1809	Berme A/C		vue en coupe (détail)	ouest	CP08-1		prélèvements OSL (PR88 et 89)			Paleotime	28/03/2012	JPG	
OA_5919_PN1810	Berme A/C		vue en coupe	ouest	CP08-1		prélèvements OSL (PR88 et 89)			Paleotime	28/03/2012	JPG	

	Localisation				Description								
Nom photo	Zone	TR	Type de vue	Vue vers	CP	LOG / Locus/ST	UPS	carré / mobilier lithique en place / z=	décapage	Auteur	Date	Extension fichier	Remarques
OA_5919_PN1811	Berme A/C		vue en coupe	ouest	CP08-1		prélèvements OSL (PR88 et 89)			Paleotime	28/03/2012	JPG	
OA_5919_PN1812	Berme A/C		vue en coupe	ouest	CP08-1		prélèvements OSL (PR88 et 89)			Paleotime	28/03/2012	JPG	
OA_5919_PN1813	Berme A/C		vue en coupe	ouest	CP08-1		prélèvements OSL (PR88 et 89)			Paleotime	28/03/2012	JPG	
OA_5919_PN1814	Zone C		vue en coupe	est	CP10-3		prélèvements micromorphologie (PR90, 91, 92 et 93)			Paleotime	28/03/2012	JPG	
OA_5919_PN1815	Zone C		vue en coupe	est	CP10-3		prélèvements micromorphologie (PR90, 91, 92 et 93)			Paleotime	28/03/2012	JPG	
OA_5919_PN1816	Zone C		vue en coupe (détail)	est	CP10-3		prélèvements micromorphologie (PR91, 92 et 93)			Paleotime	28/03/2012	JPG	
OA_5919_PN1817	Zone C		vue en coupe (détail)	est	CP10-3		prélèvements micromorphologie (PR90 et 91)			Paleotime	28/03/2012	JPG	
OA_5919_PN1818	Zone C		vue oblique	sud-est	CP10-3		prélèvements micromorphologie (PR90, 91, 92 et 93)			Paleotime	28/03/2012	JPG	
OA_5919_PN1819	Zone C		vue oblique	sud-est	CP10-3		prélèvements micromorphologie (PR90, 91, 92 et 93)			Paleotime	28/03/2012	JPG	
OA_5919_PN1820	Zone C		vue générale	est	CP10-3		prélèvements micromorphologie (PR90, 91, 92 et 93)			Paleotime	28/03/2012	JPG	
OA_5919_PN1821	Zone C		vue des prélèvements		CP10-3		prélèvements micromorphologie (PR90, 91, 92 et 93)			Paleotime	28/03/2012	JPG	
OA_5919_PN1822	Zone C		vue des prélèvements		CP10-3		prélèvements micromorphologie (PR90)			Paleotime	28/03/2012	JPG	
OA_5919_PN1823	Zone C		vue des prélèvements		CP10-3		prélèvements micromorphologie (PR91)			Paleotime	28/03/2012	JPG	
OA_5919_PN1824	Zone C		vue des prélèvements		CP10-3		prélèvements micromorphologie (PR92)			Paleotime	28/03/2012	JPG	
OA_5919_PN1825	Zone C		vue des prélèvements		CP10-3		prélèvements micromorphologie (PR93)			Paleotime	28/03/2012	JPG	

	Localisation				Description								
Nom photo	Zone	TR	Type de vue	Vue vers	CP	LOG / Locus/ST	UPS	carré / mobilier lithique en place / z=	décapage	Auteur	Date	Extension fichier	Remarques
OA_5919_PN1826	Zone B		vue en plan	sud		Locus 9	UPS 4	K4-96	décapage 1	Paleotime	29/03/2012	JPG	
OA_5919_PN1827	Zone B		vue en plan	sud		Locus 9	UPS 4	K4-96	décapage 1	Paleotime	29/03/2012	JPG	
OA_5919_PN1828	Zone B		vue en plan	sud		Locus 9	UPS 4	K4-97	décapage 1	Paleotime	29/03/2012	JPG	
OA_5919_PN1829	Zone B		vue en plan	sud		Locus 9	UPS 4	K4-98	décapage 1	Paleotime	29/03/2012	JPG	
OA_5919_PN1830	Zone B		vue en plan	sud		Locus 9	UPS 4	K4-99	décapage 1	Paleotime	29/03/2012	JPG	
OA_5919_PN1831	Zone B		vue en plan	sud		Locus 9	UPS 4	L4-06	décapage 1	Paleotime	29/03/2012	JPG	
OA_5919_PN1832	Zone B		vue en plan	sud		Locus 9	UPS 4	L4-07	décapage 1	Paleotime	29/03/2012	JPG	
OA_5919_PN1833	Zone B		vue en plan	sud		Locus 9	UPS 4	L4-08	décapage 1	Paleotime	29/03/2012	JPG	
OA_5919_PN1834	Zone B		vue en plan	sud		Locus 9	UPS 4	L4-09	décapage 1	Paleotime	29/03/2012	JPG	
OA_5919_PN1835	Zone B		vue en plan	sud		Locus 9	UPS 4	L4-19	décapage 1	Paleotime	29/03/2012	JPG	
OA_5919_PN1836	Zone B		vue en plan	sud		Locus 9	UPS 4	L4-20a-c	décapage 1	Paleotime	29/03/2012	JPG	
OA_5919_PN1837	Zone B		vue générale	est		Locus 9	UPS 4	K4-96	décapage 1	Paleotime	29/03/2012	JPG	
OA_5919_PN1838	Zone B		vue générale	est		Locus 9	UPS 4	K4-96	décapage 1	Paleotime	29/03/2012	JPG	
OA_5919_PN1839	Zone B		vue générale	nord		Locus 9	UPS 4	K4-96	décapage 1	Paleotime	29/03/2012	JPG	
OA_5919_PN1840	Zone B		vue en coupe	est	CP12-2		prélèvements microgranulométrie (PR94 à 99)			Paleotime	29/03/2012	JPG	
OA_5919_PN1841	Zone B		vue en coupe	est	CP12-2		prélèvements microgranulométrie (PR94 à 99)			Paleotime	29/03/2012	JPG	
OA_5919_PN1842	Zone B		vue en coupe (détail)	est	CP12-2		prélèvements microgranulométrie (PR94 à 99)			Paleotime	29/03/2012	JPG	
OA_5919_PN1843	Zone B		vue oblique	nord-est	CP12-2		prélèvements microgranulométrie (PR94 à 99)			Paleotime	29/03/2012	JPG	
OA_5919_PN1844	MBC		vue alentours	sud-ouest						Paleotime	29/03/2012	JPG	
OA_5919_PN1845	MBC		vue alentours	sud-ouest						Paleotime	29/03/2012	JPG	
OA_5919_PN1846	MBC		vue alentours	sud-ouest						Paleotime	29/03/2012	JPG	
OA_5919_PN1847	MBC		vue alentours	sud-ouest						Paleotime	29/03/2012	JPG	
OA_5919_PN1848	MBC		vue alentours	ouest						Paleotime	29/03/2012	JPG	
OA_5919_PN1849	MBC		vue alentours	ouest						Paleotime	29/03/2012	JPG	
OA_5919_PN1850	Zone A est et B		vue générale	nord-est						Paleotime	29/03/2012	JPG	
OA_5919_PN1851	MBC		vue alentours	est						Paleotime	29/03/2012	JPG	
OA_5919_PN1852	MBC		vue alentours	nord-est						Paleotime	29/03/2012	JPG	
OA_5919_PN1853	MBC		vue alentours	nord						Paleotime	29/03/2012	JPG	
OA_5919_PN1854	MBC		vue alentours	nord-ouest						Paleotime	29/03/2012	JPG	
OA_5919_PN1855	MBC		vue alentours	ouest						Paleotime	29/03/2012	JPG	
OA_5919_PN1856	MBC		vue alentours	sud-ouest						Paleotime	29/03/2012	JPG	
OA_5919_PN1857	Tranche conditionnelle	TR04	vue oblique	nord						Paleotime	29/03/2012	JPG	
OA_5919_PN1858	Berme B/C		vue d'ambiance		CP09-2		mesure susceptibilité magnétique			Paleotime	29/03/2012	JPG	
OA_5919_PN1859	Berme B/C		vue d'ambiance		CP09-2		mesure susceptibilité magnétique			Paleotime	29/03/2012	JPG	

	Localisation				Description								
Nom photo	Zone	TR	Type de vue	Vue vers	CP	LOG / Locus/ST	UPS	carré / mobilier lithique en place / z=	décapage	Auteur	Date	Extension fichier	Remarques
OA_5919_PN1860	Berme B/C		vue d'ambiance	sud-ouest	CP09-2		mesure susceptibilité magnétique			Paleotime	29/03/2012	JPG	
OA_5919_PN1861	Berme B/C		vue d'ambiance	sud-ouest	CP09-2		mesure susceptibilité magnétique			Paleotime	29/03/2012	JPG	
OA_5919_PN1862	Berme B/C		vue d'ambiance	sud-ouest	CP09-2		mesure susceptibilité magnétique			Paleotime	29/03/2012	JPG	
OA_5919_PN1863	Hors emprise		vue en coupe	nord-est			argile			Paleotime	30/03/2012	JPG	
OA_5919_PN1864	Hors emprise		vue générale	nord-est			argile			Paleotime	30/03/2012	JPG	
OA_5919_PN1865	Tranche conditionnelle	TR04	vue en coupe	ouest	CP04					Paleotime	30/03/2012	JPG	
OA_5919_PN1866	Tranche conditionnelle	TR04	vue en coupe	ouest	CP04					Paleotime	30/03/2012	JPG	
OA_5919_PN1867	Tranche conditionnelle	TR04	vue oblique	sud-ouest	CP04					Paleotime	30/03/2012	JPG	
OA_5919_PN1868	Tranche conditionnelle	TR04	vue oblique	sud-ouest	CP04					Paleotime	30/03/2012	JPG	
OA_5919_PN1869	Berme B/C		vue en coupe	sud	CP30	proche Locus 11 et 9				Paleotime	30/03/2012	JPG	
OA_5919_PN1870	Berme B/C		vue en coupe	sud	CP30	proche Locus 11 et 9				Paleotime	30/03/2012	JPG	
OA_5919_PN1871	Berme B/C		vue en coupe	sud	CP30	proche Locus 11 et 9				Paleotime	30/03/2012	JPG	
OA_5919_PN1872	Berme B/C		vue en coupe	sud	CP30	proche Locus 11 et 9				Paleotime	30/03/2012	JPG	
OA_5919_PN1873	Berme B/C		vue en coupe	sud	CP30	proche Locus 11 et 9				Paleotime	30/03/2012	JPG	
OA_5919_PN1874	Berme B/C		vue en coupe	sud	CP30	proche Locus 11 et 9				Paleotime	30/03/2012	JPG	
OA_5919_PN1875	Berme B/C		vue oblique	sud-ouest	CP30	proche Locus 11 et 9				Paleotime	30/03/2012	JPG	
OA_5919_PN1876	Zone B		vue générale	nord-est		Locus 9	UPS 4	K4-96 à 99/L4-06 à 09/L4-19/L4-20	décapage 2	Paleotime	02/04/2012	JPG	
OA_5919_PN1877	Zone B		vue générale	nord-est		Locus 9	UPS 4	K4-96 à 99/L4-06 à 09/L4-19/L4-20	décapage 2	Paleotime	02/04/2012	JPG	
OA_5919_PN1878	Zone B		vue générale	nord-ouest		Locus 9	UPS 4	K4-96 à 99/L4-06 à 09/L4-19/L4-20	décapage 2	Paleotime	02/04/2012	JPG	
OA_5919_PN1879	Zone B		vue générale	nord-ouest		Locus 9	UPS 4	K4-96 à 99/L4-06 à 09/L4-19/L4-20	décapage 2	Paleotime	02/04/2012	JPG	
OA_5919_PN1880	Zone B		vue en plan	sud		Locus 9	UPS 4	K4-96	décapage 2	Paleotime	02/04/2012	JPG	
OA_5919_PN1881	Zone B		vue en plan	sud		Locus 9	UPS 4	K4-97	décapage 2	Paleotime	02/04/2012	JPG	
OA_5919_PN1882	Zone B		vue en plan	sud		Locus 9	UPS 4	K4-98	décapage 2	Paleotime	02/04/2012	JPG	
OA_5919_PN1883	Zone B		vue en plan	sud		Locus 9	UPS 4	K4-99	décapage 2	Paleotime	02/04/2012	JPG	
OA_5919_PN1884	Zone B		vue en plan	sud		Locus 9	UPS 4	L4-06	décapage 2	Paleotime	02/04/2012	JPG	
OA_5919_PN1885	Zone B		vue en plan	sud		Locus 9	UPS 4	L4-07	décapage 2	Paleotime	02/04/2012	JPG	
OA_5919_PN1886	Zone B		vue en plan	sud		Locus 9	UPS 4	L4-08	décapage 2	Paleotime	02/04/2012	JPG	

	Localisation				Description									
Nom photo	Zone	TR	Type de vue	Vue vers	CP	LOG / Locus/ST	UPS	carré / mobilier lithique en place / z=	décapage	Auteur	Date	Extension fichier	Remarques
OA_5919_PN1887	Zone B		vue en plan	sud		Locus 9	UPS 4	L4-09	décapage 2	Paleotime	02/04/2012	JPG	
OA_5919_PN1888	Zone B		vue en plan	sud		Locus 9	UPS 4	L4-09	décapage 2	Paleotime	02/04/2012	JPG	
OA_5919_PN1889	Zone B		vue en plan	sud		Locus 9	UPS 4	L4-19	décapage 2	Paleotime	02/04/2012	JPG	
OA_5919_PN1890	Zone B		vue en plan	sud		Locus 9	UPS 4	L4-20a-c	décapage 2	Paleotime	02/04/2012	JPG	
OA_5919_PN1891	Zone B		vue générale	nord-est		Locus 9	UPS 4	K4-96 à 99/L4-06 à 09/L4-19/L4-20	décapage 2	Paleotime	02/04/2012	JPG	
OA_5919_PN1892	Zone B		vue en plan	nord		Locus 4	UPS 4/5	K7-84c	décapage 5/granulométrie	Paleotime	03/04/2012	JPG	
OA_5919_PN1893	Zone B		vue en coupe	est		Locus 4	UPS 4/5	K7-84c	décapage 5/granulométrie	Paleotime	03/04/2012	JPG	
OA_5919_PN1894	Zone B		vue oblique	est		Locus 4	UPS 4/5	K7-84c	décapage 5/granulométrie	Paleotime	03/04/2012	JPG	
OA_5919_PN1895	Zone B		vue en plan (détail)	est		Locus 4	UPS 4/5	K7-84c	décapage 5/granulométrie	Paleotime	03/04/2012	JPG	
OA_5919_PN1896	Zone B		vue en plan	nord		Locus 4	UPS 5	K7-84c	décapage 7/granulométrie	Paleotime	03/04/2012	JPG	
OA_5919_PN1897	Zone B		vue en coupe	nord		Locus 4	UPS 5	K7-84c	décapage 7/granulométrie	Paleotime	03/04/2012	JPG	
OA_5919_PN1898	Zone B		vue en coupe	nord		Locus 4	UPS 5	K7-84c	décapage 7/granulométrie	Paleotime	03/04/2012	JPG	
OA_5919_PN1899	Zone C		vue en coupe	est	CP10-3		prélèvements granulométrie (PR101 à 126)			Paleotime	04/04/2012	JPG	
OA_5919_PN1900	Zone C		vue en coupe (détail)	est	CP10-3		prélèvements granulométrie (PR101 à 126)			Paleotime	04/04/2012	JPG	
OA_5919_PN1901	Zone C		vue en coupe (détail)	est	CP10-3		prélèvements granulométrie (PR101 à 126)			Paleotime	04/04/2012	JPG	
OA_5919_PN1902	Tranche conditionnelle	TR04	vue en coupe	ouest	CP29					Paleotime	04/04/2012	JPG	
OA_5919_PN1903	Zone C		vue en coupe	sud	CP26		prélèvements granulométrie (PR127 à 130)			Paleotime	04/04/2012	JPG	
OA_5919_PN1904	Zone C		vue en coupe	sud	CP26		prélèvements granulométrie (PR127 à 130)			Paleotime	04/04/2012	JPG	
OA_5919_PN1905	Zone B		vue générale	nord-est		Locus 9	UPS 4	K4-96 à 99/L4-06 à 09/L4-19/L4-20/L4-30	décapage 3	Paleotime	04/04/2012	JPG	
OA_5919_PN1906	Zone B		vue générale	nord-est		Locus 9	UPS 4	K4-96 à 99/L4-06 à 09/L4-19/L4-20/L4-30	décapage 3	Paleotime	04/04/2012	JPG	

	Localisation				Description								
Nom photo	Zone	TR	Type de vue	Vue vers	CP	LOG / Locus/ST	UPS	carré / mobilier lithique en place / z=	décapage	Auteur	Date	Extension fichier	Remarques
OA_5919_PN1907	Zone B		vue générale	nord-ouest		Locus 9	UPS 4	K4-96 à 99/L4-06 à 09/L4-19/L4-20/L4-30	décapage 3	Paleotime	04/04/2012	JPG	
OA_5919_PN1908	Zone B		vue générale	nord-ouest		Locus 9	UPS 4	K4-96 à 99/L4-06 à 09/L4-19/L4-20/L4-30	décapage 3	Paleotime	04/04/2012	JPG	
OA_5919_PN1909	Zone B		vue en plan	sud		Locus 9	UPS 4	K4-96	décapage 3	Paleotime	04/04/2012	JPG	
OA_5919_PN1910	Zone B		vue en plan	sud		Locus 9	UPS 4	K4-97	décapage 3	Paleotime	04/04/2012	JPG	
OA_5919_PN1911	Zone B		vue en plan	sud		Locus 9	UPS 4	K4-98	décapage 3	Paleotime	04/04/2012	JPG	
OA_5919_PN1912	Zone B		vue en plan	sud		Locus 9	UPS 4	K4-99	décapage 3	Paleotime	04/04/2012	JPG	
OA_5919_PN1913	Zone B		vue en plan	sud		Locus 9	UPS 4	L4-09	décapage 3	Paleotime	04/04/2012	JPG	
OA_5919_PN1914	Zone B		vue en plan	sud		Locus 9	UPS 4	L4-08	décapage 3	Paleotime	04/04/2012	JPG	
OA_5919_PN1915	Zone B		vue en plan	sud		Locus 9	UPS 4	L4-07	décapage 3	Paleotime	04/04/2012	JPG	
OA_5919_PN1916	Zone B		vue en plan	sud		Locus 9	UPS 4	L4-06	décapage 3	Paleotime	04/04/2012	JPG	
OA_5919_PN1917	Zone B		vue en plan	sud		Locus 9	UPS 4	L4-19 et 20a-c	décapage 3	Paleotime	04/04/2012	JPG	
OA_5919_PN1918	Zone B		vue en plan	sud		Locus 9	UPS 4	L4-30a-c	décapage 3	Paleotime	04/04/2012	JPG	
OA_5919_PN1919	Zone B		vue en plan	sud		Locus 9	UPS 4	L4-40a-c	décapage 3	Paleotime	04/04/2012	JPG	
OA_5919_PN1920	Zone C/D		vue en coupe	nord	CP28		prélèvements granulométrie (PR131)			Paleotime	05/04/2012	JPG	
OA_5919_PN1921	Zone B		vue en plan	nord		Locus 4	UPS 6 sommet	K7-84c	décapage11/granulométrie	Paleotime	05/04/2012	JPG	
OA_5919_PN1922	Zone B		vue en plan	nord		Locus 4	UPS 6 sommet	K7-84c	décapage11/granulométrie	Paleotime	05/04/2012	JPG	
OA_5919_PN1923	Zone B		vue en coupe	est		Locus 4	UPS 6 sommet	K7-84c	décapage11/granulométrie	Paleotime	05/04/2012	JPG	
OA_5919_PN1924	Zone B		vue en coupe	est		Locus 4	UPS 6 sommet	K7-84c	décapage11/granulométrie	Paleotime	05/04/2012	JPG	
OA_5919_PN1925	Zone A ouest		vue en coupe	ouest	CP02		prélèvements granulométrie (PR132)			Paleotime	06/04/2012	JPG	
OA_5919_PN1926	Zone B		vue générale	nord-est		Locus 9	UPS 4 base	K4-96 à 99/L4-06 à 09/L4-19/L4-20/L4-30/L4-40	décapage 4	Paleotime	06/04/2012	JPG	
OA_5919_PN1927	Zone B		vue générale	nord-est		Locus 9	UPS 4 base	K4-96 à 99/L4-06 à 09/L4-19/L4-20/L4-30/L4-40	décapage 4	Paleotime	06/04/2012	JPG	
OA_5919_PN1928	Zone B		vue générale	nord		Locus 9	UPS 4 base	K4-96 à 99/L4-06 à 09/L4-19/L4-20/L4-30/L4-40	décapage 4	Paleotime	06/04/2012	JPG	
OA_5919_PN1929	Zone B		vue générale	nord		Locus 9	UPS 4 base	K4-96 à 99/L4-06 à 09/L4-19/L4-20/L4-30/L4-40	décapage 4	Paleotime	06/04/2012	JPG	
OA_5919_PN1930	Zone B		vue générale	nord		Locus 9	UPS 4 base	K4-96 à 99/L4-06 à 09/L4-19/L4-20/L4-30/L4-40	décapage 4	Paleotime	06/04/2012	JPG	
OA_5919_PN1931	Zone B		vue générale	sud		Locus 9	UPS 4 base	K4-96 à 99/L4-06 à 09/L4-19/L4-20/L4-30/L4-40	décapage 4	Paleotime	06/04/2012	JPG	
OA_5919_PN1932	Zone B		vue générale	sud		Locus 9	UPS 4 base	K4-96 à 99/L4-06 à 09/L4-19/L4-20/L4-30/L4-40	décapage 4	Paleotime	06/04/2012	JPG	

	Localisation				Description								
Nom photo	Zone	TR	Type de vue	Vue vers	CP	LOG / Locus/ST	UPS	carré / mobilier lithique en place / z=	décapage	Auteur	Date	Extension fichier	Remarques
OA_5919_PN1933	Zone B		vue générale	ouest		Locus 9	UPS 4 base	K4-96 à 99/L4-06 à 09/L4-19/L4-20/L4-30/L4-40	décapage 4	Paleotime	06/04/2012	JPG	
OA_5919_PN1934	Zone B		vue générale	ouest		Locus 9	UPS 4 base	K4-96 à 99/L4-06 à 09/L4-19/L4-20/L4-30/L4-40	décapage 4	Paleotime	06/04/2012	JPG	
OA_5919_PN1935	Zone B		vue générale	ouest		Locus 9	UPS 4 base	K4-96 à 99/L4-06 à 09/L4-19/L4-20/L4-30/L4-40	décapage 4	Paleotime	06/04/2012	JPG	
OA_5919_PN1936	Zone B		vue en plan	sud		Locus 9	UPS 4 base	K4-96	décapage 4	Paleotime	06/04/2012	JPG	
OA_5919_PN1937	Zone B		vue en plan	sud		Locus 9	UPS 4 base	L4-19	décapage 4	Paleotime	06/04/2012	JPG	
OA_5919_PN1938	Zone B		vue en plan	sud		Locus 9	UPS 4 base	L4-40	décapage 4	Paleotime	06/04/2012	JPG	
OA_5919_PN1939	Zone B		vue oblique	est		Locus 4		K7-94	décapage 5	Paleotime	11/04/2012	JPG	
OA_5919_PN1940	Zone B		vue en coupe	est		Locus 4		K7-94	décapage 5	Paleotime	11/04/2012	JPG	
OA_5919_PN1941	Zone B		vue en plan	ouest		Locus 4		K7-94	décapage 5	Paleotime	11/04/2012	JPG	
OA_5919_PN1942	Zone B		vue en plan	ouest		Locus 4		K7-94	décapage 5	Paleotime	11/04/2012	JPG	
OA_5919_PN1943	Zone B		vue oblique	nord-est		Locus 4		K7-94	décapage 5	Paleotime	11/04/2012	JPG	
OA_5919_PN1944	Zone B		vue en plan (détail)	nord-est		Locus 4		K7-94	décapage 5	Paleotime	11/04/2012	JPG	
OA_5919_PN1945	Zone B		vue en plan	sud		Locus 9	UPS 4	K4-96	décapage 5	Paleotime	17/04/2012	JPG	
OA_5919_PN1946	Zone B		vue en plan	sud		Locus 9	UPS 4	K4-97	décapage 5	Paleotime	17/04/2012	JPG	
OA_5919_PN1947	Zone B		vue en plan	sud		Locus 9	UPS 4	K4-98	décapage 5	Paleotime	17/04/2012	JPG	
OA_5919_PN1948	Zone B		vue en plan	sud		Locus 9	UPS 4	K4-99	décapage 5	Paleotime	17/04/2012	JPG	
OA_5919_PN1949	Zone B		vue en plan	sud		Locus 9	UPS 4	L4-09	décapage 5	Paleotime	17/04/2012	JPG	
OA_5919_PN1950	Zone B		vue en plan	sud		Locus 9	UPS 4	L4-08	décapage 5	Paleotime	17/04/2012	JPG	
OA_5919_PN1951	Zone B		vue en plan	sud		Locus 9	UPS 4	L4-07	décapage 5	Paleotime	17/04/2012	JPG	
OA_5919_PN1952	Zone B		vue en plan	sud		Locus 9	UPS 4	L4-06	décapage 5	Paleotime	17/04/2012	JPG	
OA_5919_PN1953	Zone B		vue en plan	sud		Locus 9	UPS 4	L4-17	décapage 5	Paleotime	17/04/2012	JPG	
OA_5919_PN1954	Zone B		vue en plan	sud		Locus 9	UPS 4	L4-18	décapage 5	Paleotime	17/04/2012	JPG	
OA_5919_PN1955	Zone B		vue en plan	sud		Locus 9	UPS 4	L4-19	décapage 5	Paleotime	17/04/2012	JPG	
OA_5919_PN1956	Zone B		vue en plan	sud		Locus 9	UPS 4	L4-29	décapage 5	Paleotime	17/04/2012	JPG	
OA_5919_PN1957	Zone B		vue en plan	sud		Locus 9	UPS 4	L4-39	décapage 5	Paleotime	17/04/2012	JPG	
OA_5919_PN1958	Zone B		vue en plan	sud		Locus 9	UPS 4	L4-38	décapage 5	Paleotime	17/04/2012	JPG	
OA_5919_PN1959	Zone B		vue en plan	sud		Locus 9	UPS 4	L4-37	décapage 5	Paleotime	17/04/2012	JPG	
OA_5919_PN1960	Zone B		vue générale	ouest		Locus 9	UPS 4		décapage 5	Paleotime	17/04/2012	JPG	
OA_5919_PN1961	Zone B		vue générale	ouest		Locus 9	UPS 4		décapage 5	Paleotime	17/04/2012	JPG	
OA_5919_PN1962	Zone B		vue générale	ouest		Locus 9	UPS 4		décapage 5	Paleotime	17/04/2012	JPG	
OA_5919_PN1963	Zone B		vue générale	sud		Locus 9	UPS 4		décapage 5	Paleotime	17/04/2012	JPG	
OA_5919_PN1964	Zone B		vue générale	sud		Locus 9	UPS 4		décapage 5	Paleotime	17/04/2012	JPG	
OA_5919_PN1965	Zone B		vue générale	nord		Locus 9	UPS 4		décapage 5	Paleotime	17/04/2012	JPG	
OA_5919_PN1966	Tranche conditionnelle		vue en coupe	ouest	CP27					Paleotime	23/04/2012	JPG	
OA_5919_PN1967	Tranche conditionnelle		vue en coupe	ouest	CP27					Paleotime	23/04/2012	JPG	
OA_5919_PN1968	Tranche conditionnelle		vue en coupe	ouest	CP27					Paleotime	23/04/2012	JPG	
OA_5919_PN1969	Tranche conditionnelle		vue en coupe	ouest	CP27					Paleotime	23/04/2012	JPG	
OA_5919_PN1970	Tranche conditionnelle		vue en coupe	ouest	CP27					Paleotime	23/04/2012	JPG	
OA_5919_PN1971	Tranche conditionnelle		vue en coupe (détail)	ouest	CP27					Paleotime	23/04/2012	JPG	

Nom photo	Localisation		Description							Auteur	Date	Extension fichier	Remarques
	Zone	TR	Type de vue	Vue vers	CP	LOG / Locus/ST	UPS	carré / mobilier lithique en place / z=	décapage				
OA_5919_PN1972	Tranche conditionnelle		vue en coupe (détail)	ouest	CP27					Paleotime	23/04/2012	JPG	
OA_5919_PN1973	Tranche conditionnelle		vue en coupe (détail)	ouest	CP27					Paleotime	23/04/2012	JPG	
OA_5919_PN1974	Tranche conditionnelle		vue en coupe (détail)	ouest	CP27					Paleotime	23/04/2012	JPG	
OA_5919_PN1975	Tranche conditionnelle		vue en coupe	ouest	CP27					Paleotime	23/04/2012	JPG	
OA_5919_PN1976	Zone C		vue en coupe	sud	CP26					Paleotime	23/04/2012	JPG	
OA_5919_PN1977	Zone C		vue en coupe	sud	CP26					Paleotime	23/04/2012	JPG	
OA_5919_PN1978	Zone C		vue en coupe	sud	CP26					Paleotime	23/04/2012	JPG	
OA_5919_PN1979	Zone C		vue en coupe	sud	CP26					Paleotime	23/04/2012	JPG	
OA_5919_PN1980	Zone C		vue en coupe	sud	CP26					Paleotime	23/04/2012	JPG	
OA_5919_PN1981	Zone C		vue générale	sud	CP26					Paleotime	23/04/2012	JPG	
OA_5919_PN1982	Zone C		vue oblique	sud-est	CP26					Paleotime	23/04/2012	JPG	
OA_5919_PN1983	Zone C		vue d'ambiance	est	CP10-3					Paleotime	23/04/2012	JPG	
OA_5919_PN1984	Zone C		vue en coupe	sud	CP26					Paleotime	23/04/2012	JPG	
OA_5919_PN1985	Zone C		vue en coupe	sud	CP26					Paleotime	23/04/2012	JPG	
OA_5919_PN1986	Zone C		vue en coupe	est	CP10-3					Paleotime	23/04/2012	JPG	
OA_5919_PN1987	Zone C		vue en coupe	est	CP10-3					Paleotime	23/04/2012	JPG	
OA_5919_PN1988	Zone C		vue en coupe	est	CP10-3					Paleotime	23/04/2012	JPG	
OA_5919_PN1989	Zone C		vue en coupe	est	CP10-3					Paleotime	23/04/2012	JPG	
OA_5919_PN1990	Zone C		vue en coupe	est	CP10-3					Paleotime	23/04/2012	JPG	
OA_5919_PN1991	Zone C		vue oblique	sud-est	CP10-3					Paleotime	23/04/2012	JPG	
OA_5919_PN1992	Zone D		vue générale	nord						Paleotime	23/04/2012	JPG	
OA_5919_PN1993	Tranche conditionnelle		vue oblique	nord-ouest	CP27					Paleotime	23/04/2012	JPG	
OA_5919_PN1994	Zone D et C		vue générale	nord-ouest						Paleotime	25/04/2012	JPG	
OA_5919_PN1995	Zone D et B		vue générale	ouest						Paleotime	25/04/2012	JPG	
OA_5919_PN1996	Zone D et C		vue générale	nord-ouest						Paleotime	25/04/2012	JPG	

Inventaire officiel 5 – Montguyon (17), « Bois Clair ». Inventaire de la documentation photographique

Nom photo	Support	Type	Description	Auteur	Date	Extension fichier	Contenant
OA_5919_PN1997	RFO - figure 5-31	PN	photo de mobilier lithique	Paleotime	Post-fouille (2012-2014)	JPG	DVD
OA_5919_PN1998	RFO - figure 5-31	PN	photo de mobilier lithique	Paleotime	Post-fouille (2012-2014)	JPG	DVD
OA_5919_PN1999	RFO - figure 5-31	PN	photo de mobilier lithique	Paleotime	Post-fouille (2012-2014)	JPG	DVD
OA_5919_PN2000	RFO - figure 5-64	PN	photo de mobilier lithique	Paleotime	Post-fouille (2012-2014)	JPG	DVD
OA_5919_PN2001	RFO - figure 5-64	PN	photo de mobilier lithique	Paleotime	Post-fouille (2012-2014)	JPG	DVD
OA_5919_PN2002	RFO - figure 5-64	PN	photo de mobilier lithique	Paleotime	Post-fouille (2012-2014)	JPG	DVD
OA_5919_PN2003	RFO - figure 5-65	PN	photo de mobilier lithique	Paleotime	Post-fouille (2012-2014)	JPG	DVD
OA_5919_PN2004	RFO - figure 5-65	PN	photo de mobilier lithique	Paleotime	Post-fouille (2012-2014)	JPG	DVD
OA_5919_PN2005	RFO - figure 5-65	PN	photo de mobilier lithique	Paleotime	Post-fouille (2012-2014)	JPG	DVD
OA_5919_PN2006	RFO - figure 5-65	PN	photo de mobilier lithique	Paleotime	Post-fouille (2012-2014)	JPG	DVD
OA_5919_PN2007	RFO - figure 5-65	PN	photo de mobilier lithique	Paleotime	Post-fouille (2012-2014)	JPG	DVD
OA_5919_PN2008	RFO - figure 5-66	PN	photo de mobilier lithique	Paleotime	Post-fouille (2012-2014)	JPG	DVD
OA_5919_PN2009	RFO - figure 5-66	PN	photo de mobilier lithique	Paleotime	Post-fouille (2012-2014)	JPG	DVD
OA_5919_PN2010	RFO - figure 5-66	PN	photo de mobilier lithique	Paleotime	Post-fouille (2012-2014)	JPG	DVD
OA_5919_PN2011	RFO - figure 5-66	PN	photo de mobilier lithique	Paleotime	Post-fouille (2012-2014)	JPG	DVD
OA_5919_PN2012	RFO - figure 5-66	PN	photo de mobilier lithique	Paleotime	Post-fouille (2012-2014)	JPG	DVD
OA_5919_PN2013	RFO - figure 5-67	PN	photo de mobilier lithique	Paleotime	Post-fouille (2012-2014)	JPG	DVD
OA_5919_PN2014	RFO - figure 5-67	PN	photo de mobilier lithique	Paleotime	Post-fouille (2012-2014)	JPG	DVD
OA_5919_PN2015	RFO - figure 5-67	PN	photo de mobilier lithique	Paleotime	Post-fouille (2012-2014)	JPG	DVD
OA_5919_PN2016	RFO - figure 5-68	PN	photo de mobilier lithique	Paleotime	Post-fouille (2012-2014)	JPG	DVD
OA_5919_PN2017	RFO - figure 5-73	PN	photo de mobilier lithique - remontage	Paleotime	Post-fouille (2012-2014)	TIF	DVD
OA_5919_PN2018	RFO - figure 5-73	PN	photo de mobilier lithique - remontage	Paleotime	Post-fouille (2012-2014)	TIF	DVD
OA_5919_PN2019	RFO - figure 5-73	PN	photo de mobilier lithique - remontage	Paleotime	Post-fouille (2012-2014)	TIF	DVD
OA_5919_PN2020	RFO - figure 5-73	PN	photo de mobilier lithique - remontage	Paleotime	Post-fouille (2012-2014)	TIF	DVD
OA_5919_PN2021	RFO - figure 5-77	PN	photo de mobilier lithique - remontage	Paleotime	Post-fouille (2012-2014)	TIF	DVD
OA_5919_PN2022	RFO - figure 5-77	PN	photo de mobilier lithique - remontage	Paleotime	Post-fouille (2012-2014)	TIF	DVD
OA_5919_PN2023	RFO - figure 5-77	PN	photo de mobilier lithique - remontage	Paleotime	Post-fouille (2012-2014)	TIF	DVD
OA_5919_PN2024	RFO - figure 5-78	PN	photo de mobilier lithique - remontage	Paleotime	Post-fouille (2012-2014)	TIF	DVD
OA_5919_PN2025	RFO - figure 5-78	PN	photo de mobilier lithique - remontage	Paleotime	Post-fouille (2012-2014)	TIF	DVD
OA_5919_PN2026	RFO - figure 5-80	PN	photo de mobilier lithique - remontage	Paleotime	Post-fouille (2012-2014)	TIF	DVD
OA_5919_PN2027	RFO - figure 5-82	PN	photo de mobilier lithique	Paleotime	Post-fouille (2012-2014)	TIF	DVD
OA_5919_PN2028	RFO - figure 5-82	PN	photo de mobilier lithique	Paleotime	Post-fouille (2012-2014)	TIF	DVD
OA_5919_PN2029	RFO - figure 5-82	PN	photo de mobilier lithique	Paleotime	Post-fouille (2012-2014)	TIF	DVD
OA_5919_PN2030	RFO - figure 5-82	PN	photo de mobilier lithique	Paleotime	Post-fouille (2012-2014)	TIF	DVD
OA_5919_PN2031	RFO - figure 5-82	PN	photo de mobilier lithique	Paleotime	Post-fouille (2012-2014)	TIF	DVD
OA_5919_PN2032	RFO - figure 5-82	PN	photo de mobilier lithique	Paleotime	Post-fouille (2012-2014)	TIF	DVD
OA_5919_PN2033	RFO - figure 5-83	PN	photo de mobilier lithique	Paleotime	Post-fouille (2012-2014)	TIF	DVD
OA_5919_PN2034	RFO - figure 5-83	PN	photo de mobilier lithique	Paleotime	Post-fouille (2012-2014)	TIF	DVD
OA_5919_PN2035	RFO - figure 5-83	PN	photo de mobilier lithique - remontage	Paleotime	Post-fouille (2012-2014)	TIF	DVD
OA_5919_PN2036	RFO - figure 5-84	PN	photo de mobilier lithique - remontage	Paleotime	Post-fouille (2012-2014)	TIF	DVD

Inventaire officiel 5 – Montguyon (17), « Bois Clair ». Inventaire de la documentation photographique (Post-fouille)

Nom photo	Support	Type	Description	Auteur	Date	Extension fichier	Contenant
OA_5919_PN2037	RFO - figure 5-84	PN	photo de mobilier lithique - remontage	Paleotime	Post-fouille (2012-2014)	TIF	DVD
OA_5919_PN2038	RFO - figure 5-84	PN	photo de mobilier lithique - remontage	Paleotime	Post-fouille (2012-2014)	TIF	DVD
OA_5919_PN2039	RFO - figure 5-84	PN	photo de mobilier lithique - remontage	Paleotime	Post-fouille (2012-2014)	TIF	DVD
OA_5919_PN2040	RFO - figure 5-85	PN	photo de mobilier lithique - remontage	Paleotime	Post-fouille (2012-2014)	TIF	DVD
OA_5919_PN2041	RFO - figure 5-85	PN	photo de mobilier lithique - remontage	Paleotime	Post-fouille (2012-2014)	TIF	DVD
OA_5919_PN2042	RFO - figure 5-85	PN	photo de mobilier lithique - remontage	Paleotime	Post-fouille (2012-2014)	TIF	DVD
OA_5919_PN2043	RFO - figure 5-86	PN	photo de mobilier lithique - remontage	Paleotime	Post-fouille (2012-2014)	JPG	DVD
OA_5919_PN2044	RFO - figure 5-86	PN	photo de mobilier lithique - remontage	Paleotime	Post-fouille (2012-2014)	TIF	DVD
OA_5919_PN2045	RFO - figure 5-86	PN	photo de mobilier lithique - remontage	Paleotime	Post-fouille (2012-2014)	TIF	DVD
OA_5919_PN2046	RFO - figure 5-87	PN	photo de mobilier lithique - remontage	Paleotime	Post-fouille (2012-2014)	TIF	DVD
OA_5919_PN2047	RFO - figure 5-87	PN	photo de mobilier lithique - remontage	Paleotime	Post-fouille (2012-2014)	TIF	DVD
OA_5919_PN2048	RFO - figure 5-87	PN	photo de mobilier lithique - remontage	Paleotime	Post-fouille (2012-2014)	TIF	DVD
OA_5919_PN2049	RFO - figure 5-87	PN	photo de mobilier lithique - remontage	Paleotime	Post-fouille (2012-2014)	TIF	DVD
OA_5919_PN2050	RFO - figure 5-87	PN	photo de mobilier lithique - remontage	Paleotime	Post-fouille (2012-2014)	TIF	DVD
OA_5919_PN2051	RFO - figure 5-88	PN	photo de mobilier lithique	Paleotime	Post-fouille (2012-2014)	TIF	DVD
OA_5919_PN2052	RFO - figure 5-88	PN	photo de mobilier lithique	Paleotime	Post-fouille (2012-2014)	TIF	DVD
OA_5919_PN2053	RFO - figure 5-88	PN	photo de mobilier lithique	Paleotime	Post-fouille (2012-2014)	TIF	DVD
OA_5919_PN2054	RFO - figure 5-88	PN	photo de mobilier lithique	Paleotime	Post-fouille (2012-2014)	TIF	DVD
OA_5919_PN2055	RFO - figure 5-89	PN	photo de mobilier lithique - remontage	Paleotime	Post-fouille (2012-2014)	TIF	DVD
OA_5919_PN2056	RFO - figure 5-89	PN	photo de mobilier lithique - remontage	Paleotime	Post-fouille (2012-2014)	TIF	DVD
OA_5919_PN2057	RFO - figure 5-89	PN	photo de mobilier lithique - remontage	Paleotime	Post-fouille (2012-2014)	TIF	DVD
OA_5919_PN2058	RFO - figure 5-90	PN	photo de mobilier lithique - remontage	Paleotime	Post-fouille (2012-2014)	TIF	DVD
OA_5919_PN2059	RFO - figure 5-90	PN	photo de mobilier lithique - remontage	Paleotime	Post-fouille (2012-2014)	TIF	DVD
OA_5919_PN2060	RFO - figure 5-93	PN	photo de mobilier lithique - remontage	Paleotime	Post-fouille (2012-2014)	TIF	DVD
OA_5919_PN2061	RFO - figure 5-93	PN	photo de mobilier lithique - remontage	Paleotime	Post-fouille (2012-2014)	TIF	DVD
OA_5919_PN2062	RFO - figure 5-93	PN	photo de mobilier lithique - remontage	Paleotime	Post-fouille (2012-2014)	TIF	DVD
OA_5919_PN2063	RFO - figure 5-93	PN	photo de mobilier lithique - remontage	Paleotime	Post-fouille (2012-2014)	TIF	DVD
OA_5919_PN2064	RFO - figure 5-93	PN	photo de mobilier lithique - remontage	Paleotime	Post-fouille (2012-2014)	TIF	DVD
OA_5919_PN2065	RFO - figure 5-94	PN	photo de mobilier lithique - remontage	Paleotime	Post-fouille (2012-2014)	TIF	DVD
OA_5919_PN2066	RFO - figure 5-94	PN	photo de mobilier lithique - remontage	Paleotime	Post-fouille (2012-2014)	TIF	DVD
OA_5919_PN2067	RFO - figure 5-94	PN	photo de mobilier lithique - remontage	Paleotime	Post-fouille (2012-2014)	TIF	DVD
OA_5919_PN2068	RFO - figure 5-95	PN	photo de mobilier lithique - remontage	Paleotime	Post-fouille (2012-2014)	TIF	DVD
OA_5919_PN2069	RFO - figure 5-95	PN	photo de mobilier lithique - remontage	Paleotime	Post-fouille (2012-2014)	TIF	DVD
OA_5919_PN2070	RFO - figure 5-95	PN	photo de mobilier lithique - remontage	Paleotime	Post-fouille (2012-2014)	TIF	DVD
OA_5919_PN2071	RFO - figure 5-95	PN	photo de mobilier lithique - remontage	Paleotime	Post-fouille (2012-2014)	TIF	DVD
OA_5919_PN2072	RFO - figure 5-95	PN	photo de mobilier lithique - remontage	Paleotime	Post-fouille (2012-2014)	TIF	DVD
OA_5919_PN2073	RFO - figure 5-96	PN	photo de mobilier lithique - remontage	Paleotime	Post-fouille (2012-2014)	TIF	DVD
OA_5919_PN2074	RFO - figure 5-96	PN	photo de mobilier lithique - remontage	Paleotime	Post-fouille (2012-2014)	TIF	DVD
OA_5919_PN2075	RFO - figure 5-96	PN	photo de mobilier lithique - remontage	Paleotime	Post-fouille (2012-2014)	TIF	DVD
OA_5919_PN2076	RFO - figure 5-96	PN	photo de mobilier lithique - remontage	Paleotime	Post-fouille (2012-2014)	TIF	DVD

Inventaire officiel 5 – Montguyon (17), « Bois Clair ». Inventaire de la documentation photographique (Post-fouille)

Nom photo	Support	Type	Description	Auteur	Date	Extension fichier	Contenant
OA_5919_PN2077	RFO - figure 5-97	PN	photo de mobilier lithique - remontage	Paleotime	Post-fouille (2012-2014)	TIF	DVD
OA_5919_PN2078	RFO - figure 5-97	PN	photo de mobilier lithique - remontage	Paleotime	Post-fouille (2012-2014)	TIF	DVD
OA_5919_PN2079	RFO - figure 5-97	PN	photo de mobilier lithique - remontage	Paleotime	Post-fouille (2012-2014)	TIF	DVD
OA_5919_PN2080	RFO - figure 5-97	PN	photo de mobilier lithique - remontage	Paleotime	Post-fouille (2012-2014)	TIF	DVD
OA_5919_PN2081	RFO - figure 5-98	PN	photo de mobilier lithique - remontage	Paleotime	Post-fouille (2012-2014)	TIF	DVD
OA_5919_PN2082	RFO - figure 5-98	PN	photo de mobilier lithique - remontage	Paleotime	Post-fouille (2012-2014)	TIF	DVD
OA_5919_PN2083	RFO - figure 5-98	PN	photo de mobilier lithique - remontage	Paleotime	Post-fouille (2012-2014)	TIF	DVD
OA_5919_PN2084	RFO - figure 5-98	PN	photo de mobilier lithique - remontage	Paleotime	Post-fouille (2012-2014)	TIF	DVD
OA_5919_PN2085	RFO - figure 5-98	PN	photo de mobilier lithique - remontage	Paleotime	Post-fouille (2012-2014)	TIF	DVD
OA_5919_PN2086	RFO - figure 5-99	PN	photo de mobilier lithique - remontage	Paleotime	Post-fouille (2012-2014)	TIF	DVD
OA_5919_PN2087	RFO - figure 5-99	PN	photo de mobilier lithique - remontage	Paleotime	Post-fouille (2012-2014)	TIF	DVD
OA_5919_PN2088	RFO - figure 5-99	PN	photo de mobilier lithique - remontage	Paleotime	Post-fouille (2012-2014)	TIF	DVD
OA_5919_PN2089	RFO - figure 5-100	PN	photo de mobilier lithique	Paleotime	Post-fouille (2012-2014)	TIF	DVD
OA_5919_PN2090	RFO - figure 5-100	PN	photo de mobilier lithique	Paleotime	Post-fouille (2012-2014)	TIF	DVD
OA_5919_PN2091	RFO - figure 5-100	PN	photo de mobilier lithique - remontage	Paleotime	Post-fouille (2012-2014)	TIF	DVD
OA_5919_PN2092	RFO - figure 5-100	PN	photo de mobilier lithique - remontage	Paleotime	Post-fouille (2012-2014)	TIF	DVD
OA_5919_PN2093	RFO - figure 5-100	PN	photo de mobilier lithique - remontage	Paleotime	Post-fouille (2012-2014)	TIF	DVD
OA_5919_PN2094	RFO - figure 5-100	PN	photo de mobilier lithique - remontage	Paleotime	Post-fouille (2012-2014)	TIF	DVD
OA_5919_PN2095	RFO - figure 5-101	PN	photo de mobilier lithique	Paleotime	Post-fouille (2012-2014)	TIF	DVD
OA_5919_PN2096	RFO - figure 5-101	PN	photo de mobilier lithique	Paleotime	Post-fouille (2012-2014)	TIF	DVD
OA_5919_PN2097	RFO - figure 5-101	PN	photo de mobilier lithique	Paleotime	Post-fouille (2012-2014)	TIF	DVD
OA_5919_PN2098	RFO - figure 5-101	PN	photo de mobilier lithique - remontage	Paleotime	Post-fouille (2012-2014)	TIF	DVD
OA_5919_PN2099	RFO - figure 5-101	PN	photo de mobilier lithique - remontage	Paleotime	Post-fouille (2012-2014)	TIF	DVD
OA_5919_PN2100	RFO - figure 5-101	PN	photo de mobilier lithique - remontage	Paleotime	Post-fouille (2012-2014)	TIF	DVD
OA_5919_PN2101	RFO - figure 5-101	PN	photo de mobilier lithique - remontage	Paleotime	Post-fouille (2012-2014)	TIF	DVD
OA_5919_PN2102	RFO - figure 5-102	PN	photo de mobilier lithique	Paleotime	Post-fouille (2012-2014)	TIF	DVD
OA_5919_PN2103	RFO - figure 5-102	PN	photo de mobilier lithique	Paleotime	Post-fouille (2012-2014)	TIF	DVD
OA_5919_PN2104	RFO - figure 5-102	PN	photo de mobilier lithique	Paleotime	Post-fouille (2012-2014)	TIF	DVD
OA_5919_PN2105	RFO - figure 5-102	PN	photo de mobilier lithique	Paleotime	Post-fouille (2012-2014)	TIF	DVD
OA_5919_PN2106	RFO - figure 5-103	PN	photo de mobilier lithique	Paleotime	Post-fouille (2012-2014)	TIF	DVD
OA_5919_PN2107	RFO - figure 5-103	PN	photo de mobilier lithique	Paleotime	Post-fouille (2012-2014)	TIF	DVD
OA_5919_PN2108	RFO - figure 5-103	PN	photo de mobilier lithique	Paleotime	Post-fouille (2012-2014)	TIF	DVD
OA_5919_PN2109	RFO - figure 5-104	PN	photo de mobilier lithique	Paleotime	Post-fouille (2012-2014)	TIF	DVD
OA_5919_PN2110	RFO - figure 5-104	PN	photo de mobilier lithique	Paleotime	Post-fouille (2012-2014)	TIF	DVD
OA_5919_PN2111	RFO - figure 5-104	PN	photo de mobilier lithique	Paleotime	Post-fouille (2012-2014)	TIF	DVD
OA_5919_PN2112	RFO - figure 5-105	PN	photo de mobilier lithique	Paleotime	Post-fouille (2012-2014)	TIF	DVD
OA_5919_PN2113	RFO - figure 5-107	PN	photo de mobilier lithique	Paleotime	Post-fouille (2012-2014)	TIF	DVD
OA_5919_PN2114	RFO - figure 5-104	PN	photo de mobilier lithique	Paleotime	Post-fouille (2012-2014)	TIF	DVD
OA_5919_PN2115	RFO - figure 5-148	PN	photo de mobilier lithique	Paleotime	Post-fouille (2012-2014)	JPG	DVD
OA_5919_PN2116	RFO - figure 5-152	PN	photo de mobilier lithique	Paleotime	Post-fouille (2012-2014)	TIF	DVD

Inventaire officiel 5 – Montguyon (17), « Bois Clair ». Inventaire de la documentation photographique (Post-fouille)

Nom photo	Support	Type	Description	Auteur	Date	Extension fichier	Contenant
OA_5919_PN2117	RFO - figure 5-184	PN	photo de mobilier lithique - remontage	Paleotime	Post-fouille (2012-2014)	TIF	DVD
OA_5919_PN2118	RFO - figure 5-184	PN	photo de mobilier lithique - remontage	Paleotime	Post-fouille (2012-2014)	TIF	DVD
OA_5919_PN2119	RFO - figure 5-185	PN	photo de mobilier lithique - remontage	Paleotime	Post-fouille (2012-2014)	TIF	DVD
OA_5919_PN2120	RFO - figure 5-185	PN	photo de mobilier lithique - remontage	Paleotime	Post-fouille (2012-2014)	TIF	DVD
OA_5919_PN2121	RFO - figure 5-185	PN	photo de mobilier lithique - remontage	Paleotime	Post-fouille (2012-2014)	TIF	DVD
OA_5919_PN2122	RFO - figure 5-185	PN	photo de mobilier lithique - remontage	Paleotime	Post-fouille (2012-2014)	TIF	DVD
OA_5919_PN2123	RFO - figure 5-185	PN	photo de mobilier lithique - remontage	Paleotime	Post-fouille (2012-2014)	TIF	DVD
OA_5919_PN2124	RFO - figure 5-185	PN	photo de mobilier lithique - remontage	Paleotime	Post-fouille (2012-2014)	TIF	DVD
OA_5919_PN2125	RFO - figure 5-187	PN	photo de mobilier lithique - remontage	Paleotime	Post-fouille (2012-2014)	TIF	DVD
OA_5919_PN2126	RFO - figure 5-187	PN	photo de mobilier lithique - remontage	Paleotime	Post-fouille (2012-2014)	TIF	DVD
OA_5919_PN2127	RFO - figure 5-187	PN	photo de mobilier lithique - remontage	Paleotime	Post-fouille (2012-2014)	TIF	DVD
OA_5919_PN2128	RFO - figure 5-187	PN	photo de mobilier lithique - remontage	Paleotime	Post-fouille (2012-2014)	TIF	DVD
OA_5919_PN2129	RFO - figure 5-187	PN	photo de mobilier lithique - remontage	Paleotime	Post-fouille (2012-2014)	TIF	DVD
OA_5919_PN2130	RFO - figure 5-187	PN	photo de mobilier lithique - remontage	Paleotime	Post-fouille (2012-2014)	TIF	DVD
OA_5919_PN2131	RFO - figure 5-188	PN	photo de mobilier lithique - remontage	Paleotime	Post-fouille (2012-2014)	TIF	DVD
OA_5919_PN2132	RFO - figure 5-188	PN	photo de mobilier lithique - remontage	Paleotime	Post-fouille (2012-2014)	TIF	DVD
OA_5919_PN2133	RFO - figure 5-188	PN	photo de mobilier lithique - remontage	Paleotime	Post-fouille (2012-2014)	TIF	DVD
OA_5919_PN2134	RFO - figure 5-188	PN	photo de mobilier lithique - remontage	Paleotime	Post-fouille (2012-2014)	TIF	DVD
OA_5919_PN2135	RFO - figure 5-189	PN	photo de mobilier lithique - remontage	Paleotime	Post-fouille (2012-2014)	TIF	DVD
OA_5919_PN2136	RFO - figure 5-189	PN	photo de mobilier lithique - remontage	Paleotime	Post-fouille (2012-2014)	TIF	DVD
OA_5919_PN2137	RFO - figure 5-190	PN	photo de mobilier lithique - remontage	Paleotime	Post-fouille (2012-2014)	TIF	DVD
OA_5919_PN2138	RFO - figure 5-190	PN	photo de mobilier lithique - remontage	Paleotime	Post-fouille (2012-2014)	TIF	DVD
OA_5919_PN2139	RFO - figure 5-190	PN	photo de mobilier lithique - remontage	Paleotime	Post-fouille (2012-2014)	TIF	DVD
OA_5919_PN2140	RFO - figure 5-193	PN	photo de mobilier lithique - tracéologie	A. Coudenneau	Post-fouille (2012-2014)	TIF	DVD
OA_5919_PN2141	RFO - figure 5-193	PN	photo de mobilier lithique - tracéologie	A. Coudenneau	Post-fouille (2012-2014)	JPG	DVD
OA_5919_PN2142	RFO - figure 5-193	PN	photo de mobilier lithique - tracéologie	A. Coudenneau	Post-fouille (2012-2014)	JPG	DVD
OA_5919_PN2143	RFO - figure 5-193	PN	photo de mobilier lithique - tracéologie	A. Coudenneau	Post-fouille (2012-2014)	JPG	DVD
OA_5919_PN2144	RFO - figure 5-193	PN	photo de mobilier lithique - tracéologie	A. Coudenneau	Post-fouille (2012-2014)	JPG	DVD
OA_5919_PN2145	RFO - figure 5-193	PN	photo de mobilier lithique - tracéologie	A. Coudenneau	Post-fouille (2012-2014)	JPG	DVD
OA_5919_PN2146	RFO - figure 5-194	PN	photo de mobilier lithique - tracéologie	A. Coudenneau	Post-fouille (2012-2014)	JPG	DVD
OA_5919_PN2147	RFO - figure 5-194	PN	photo de mobilier lithique - tracéologie	A. Coudenneau	Post-fouille (2012-2014)	JPG	DVD
OA_5919_PN2148	RFO - figure 5-194	PN	photo de mobilier lithique - tracéologie	A. Coudenneau	Post-fouille (2012-2014)	JPG	DVD
OA_5919_PN2149	RFO - figure 5-194	PN	photo de mobilier lithique - tracéologie	A. Coudenneau	Post-fouille (2012-2014)	JPG	DVD
OA_5919_PN2150	RFO - figure 5-194	PN	photo de mobilier lithique - tracéologie	A. Coudenneau	Post-fouille (2012-2014)	JPG	DVD
OA_5919_PN2151	RFO - figure 5-195	PN	photo de mobilier lithique - tracéologie	A. Coudenneau	Post-fouille (2012-2014)	JPG	DVD
OA_5919_PN2152	RFO - figure 5-195	PN	photo de mobilier lithique - tracéologie	A. Coudenneau	Post-fouille (2012-2014)	JPG	DVD
OA_5919_PN2153	RFO - figure 5-195	PN	photo de mobilier lithique - tracéologie	A. Coudenneau	Post-fouille (2012-2014)	JPG	DVD
OA_5919_PN2154	RFO - figure 5-195	PN	photo de mobilier lithique - tracéologie	A. Coudenneau	Post-fouille (2012-2014)	JPG	DVD
OA_5919_PN2155	RFO - figure 5-195	PN	photo de mobilier lithique - tracéologie	A. Coudenneau	Post-fouille (2012-2014)	JPG	DVD
OA_5919_PN2156	RFO - figure 5-195	PN	photo de mobilier lithique - tracéologie	A. Coudenneau	Post-fouille (2012-2014)	JPG	DVD

Inventaire officiel 5 – Montguyon (17), « Bois Clair ». Inventaire de la documentation photographique (Post-fouille)

Nom photo	Support	Type	Description	Auteur	Date	Extension fichier	Contenant
OA_5919_PN2157	RFO - figure 5-196	PN	photo de mobilier lithique - tracéologie	A. Coudenneau	Post-fouille (2012-2014)	JPG	DVD
OA_5919_PN2158	RFO - figure 5-196	PN	photo de mobilier lithique - tracéologie	A. Coudenneau	Post-fouille (2012-2014)	JPG	DVD
OA_5919_PN2159	RFO - figure 5-196	PN	photo de mobilier lithique - tracéologie	A. Coudenneau	Post-fouille (2012-2014)	JPG	DVD
OA_5919_PN2160	RFO - figure 5-196	PN	photo de mobilier lithique - tracéologie	A. Coudenneau	Post-fouille (2012-2014)	JPG	DVD
OA_5919_PN2161	RFO - figure 5-196	PN	photo de mobilier lithique - tracéologie	A. Coudenneau	Post-fouille (2012-2014)	JPG	DVD
OA_5919_PN2162	RFO - figure 5-196	PN	photo de mobilier lithique - tracéologie	A. Coudenneau	Post-fouille (2012-2014)	JPG	DVD
OA_5919_PN2163	RFO - figure 5-197	PN	photo de mobilier lithique - tracéologie	A. Coudenneau	Post-fouille (2012-2014)	TIF	DVD
OA_5919_PN2164	RFO - figure 5-197	PN	photo de mobilier lithique - tracéologie	A. Coudenneau	Post-fouille (2012-2014)	JPG	DVD
OA_5919_PN2165	RFO - figure 5-197	PN	photo de mobilier lithique - tracéologie	A. Coudenneau	Post-fouille (2012-2014)	JPG	DVD
OA_5919_PN2166	RFO - figure 5-197	PN	photo de mobilier lithique - tracéologie	A. Coudenneau	Post-fouille (2012-2014)	TIF	DVD
OA_5919_PN2167	RFO - figure 5-197	PN	photo de mobilier lithique - tracéologie	A. Coudenneau	Post-fouille (2012-2014)	JPG	DVD
OA_5919_PN2168	RFO - figure 5-198	PN	photo de mobilier lithique - tracéologie	A. Coudenneau	Post-fouille (2012-2014)	JPG	DVD
OA_5919_PN2169	RFO - figure 5-198	PN	photo de mobilier lithique - tracéologie	A. Coudenneau	Post-fouille (2012-2014)	JPG	DVD
OA_5919_PN2170	RFO - figure 5-198	PN	photo de mobilier lithique - tracéologie	A. Coudenneau	Post-fouille (2012-2014)	JPG	DVD
OA_5919_PN2171	RFO - figure 5-198	PN	photo de mobilier lithique - tracéologie	A. Coudenneau	Post-fouille (2012-2014)	JPG	DVD
OA_5919_PN2172	RFO - figure 5-198	PN	photo de mobilier lithique - tracéologie	A. Coudenneau	Post-fouille (2012-2014)	TIF	DVD
OA_5919_PN2173	RFO - figure 5-198	PN	photo de mobilier lithique - tracéologie	A. Coudenneau	Post-fouille (2012-2014)	TIF	DVD
OA_5919_PN2174	RFO - figure 5-199	PN	photo de mobilier lithique - tracéologie	A. Coudenneau	Post-fouille (2012-2014)	JPG	DVD
OA_5919_PN2175	RFO - figure 5-199	PN	photo de mobilier lithique - tracéologie	A. Coudenneau	Post-fouille (2012-2014)	JPG	DVD
OA_5919_PN2176	RFO - figure 5-199	PN	photo de mobilier lithique - tracéologie	A. Coudenneau	Post-fouille (2012-2014)	JPG	DVD
OA_5919_PN2177	RFO - figure 5-200	PN	photo de mobilier lithique - tracéologie	A. Coudenneau	Post-fouille (2012-2014)	JPG	DVD
OA_5919_PN2178	RFO - figure 5-200	PN	photo de mobilier lithique - tracéologie	A. Coudenneau	Post-fouille (2012-2014)	JPG	DVD
OA_5919_PN2179	RFO - figure 5-200	PN	photo de mobilier lithique - tracéologie	A. Coudenneau	Post-fouille (2012-2014)	TIF	DVD
OA_5919_PN2180	RFO - figure 5-200	PN	photo de mobilier lithique - tracéologie	A. Coudenneau	Post-fouille (2012-2014)	JPG	DVD
OA_5919_PN2181	RFO - figure 5-200	PN	photo de mobilier lithique - tracéologie	A. Coudenneau	Post-fouille (2012-2014)	JPG	DVD
OA_5919_PN2182	RFO - figure 5-200	PN	photo de mobilier lithique - tracéologie	A. Coudenneau	Post-fouille (2012-2014)	TIF	DVD
OA_5919_PN2183	RFO - figure 5-200	PN	photo de mobilier lithique - tracéologie	A. Coudenneau	Post-fouille (2012-2014)	JPG	DVD
OA_5919_PN2184	RFO - figure 5-200	PN	photo de mobilier lithique - tracéologie	A. Coudenneau	Post-fouille (2012-2014)	JPG	DVD
OA_5919_PN2185	RFO - figure 5-200	PN	photo de mobilier lithique - tracéologie	A. Coudenneau	Post-fouille (2012-2014)	TIF	DVD
OA_5919_PN2186	RFO - figure 5-201	PN	photo de mobilier lithique - tracéologie	A. Coudenneau	Post-fouille (2012-2014)	JPG	DVD
OA_5919_PN2187	RFO - figure 5-201	PN	photo de mobilier lithique - tracéologie	A. Coudenneau	Post-fouille (2012-2014)	JPG	DVD
OA_5919_PN2188	RFO - figure 5-201	PN	photo de mobilier lithique - tracéologie	A. Coudenneau	Post-fouille (2012-2014)	TIF	DVD
OA_5919_PN2189	RFO - figure 5-201	PN	photo de mobilier lithique - tracéologie	A. Coudenneau	Post-fouille (2012-2014)	JPG	DVD
OA_5919_PN2190	RFO - figure 5-201	PN	photo de mobilier lithique - tracéologie	A. Coudenneau	Post-fouille (2012-2014)	JPG	DVD
OA_5919_PN2191	RFO - figure 5-201	PN	photo de mobilier lithique - tracéologie	A. Coudenneau	Post-fouille (2012-2014)	JPG	DVD
OA_5919_PN2192	RFO - figure 5-201	PN	photo de mobilier lithique - tracéologie	A. Coudenneau	Post-fouille (2012-2014)	JPG	DVD
OA_5919_PN2193	RFO - figure 5-202	PN	photo de mobilier lithique - tracéologie	A. Coudenneau	Post-fouille (2012-2014)	JPG	DVD
OA_5919_PN2194	RFO - figure 5-202	PN	photo de mobilier lithique - tracéologie	A. Coudenneau	Post-fouille (2012-2014)	JPG	DVD
OA_5919_PN2195	RFO - figure 5-202	PN	photo de mobilier lithique - tracéologie	A. Coudenneau	Post-fouille (2012-2014)	TIF	DVD
OA_5919_PN2196	RFO - figure 5-202	PN	photo de mobilier lithique - tracéologie	A. Coudenneau	Post-fouille (2012-2014)	TIF	DVD

Inventaire officiel 5 – Montguyon (17), « Bois Clair ». Inventaire de la documentation photographique (Post-fouille)

Nom photo	Support	Type	Description	Auteur	Date	Extension fichier	Contenant
OA_5919_PN2197	RFO - figure 5-202	PN	photo de mobilier lithique - tracéologie	A. Coudenneau	Post-fouille (2012-2014)	TIF	DVD
OA_5919_PN2198	RFO - figure 5-202	PN	photo de mobilier lithique - tracéologie	A. Coudenneau	Post-fouille (2012-2014)	JPG	DVD
OA_5919_PN2199	RFO - figure 5-202	PN	photo de mobilier lithique - tracéologie	A. Coudenneau	Post-fouille (2012-2014)	JPG	DVD
OA_5919_PN2200	RFO - figure 5-202	PN	photo de mobilier lithique - tracéologie	A. Coudenneau	Post-fouille (2012-2014)	TIF	DVD
OA_5919_PN2201	RFO - figure 5-202	PN	photo de mobilier lithique - tracéologie	A. Coudenneau	Post-fouille (2012-2014)	TIF	DVD
OA_5919_PN2202	RFO - figure 5-202	PN	photo de mobilier lithique - tracéologie	A. Coudenneau	Post-fouille (2012-2014)	TIF	DVD
OA_5919_PN2203	RFO - figure 5-203	PN	photo de mobilier lithique - tracéologie	A. Coudenneau	Post-fouille (2012-2014)	JPG	DVD
OA_5919_PN2204	RFO - figure 5-203	PN	photo de mobilier lithique - tracéologie	A. Coudenneau	Post-fouille (2012-2014)	JPG	DVD
OA_5919_PN2205	RFO - figure 5-203	PN	photo de mobilier lithique - tracéologie	A. Coudenneau	Post-fouille (2012-2014)	TIF	DVD
OA_5919_PN2206	RFO - figure 5-203	PN	photo de mobilier lithique - tracéologie	A. Coudenneau	Post-fouille (2012-2014)	JPG	DVD
OA_5919_PN2207	RFO - figure 5-203	PN	photo de mobilier lithique - tracéologie	A. Coudenneau	Post-fouille (2012-2014)	JPG	DVD
OA_5919_PN2208	RFO - figure 5-203	PN	photo de mobilier lithique - tracéologie	A. Coudenneau	Post-fouille (2012-2014)	TIF	DVD
OA_5919_PN2209	RFO - figure 5-203	PN	photo de mobilier lithique - tracéologie	A. Coudenneau	Post-fouille (2012-2014)	TIF	DVD
OA_5919_PN2210	RFO - figure 5-69	PN	photo de mobilier lithique - remontage	Paleotime	Post-fouille (2012-2014)	TIF	DVD
OA_5919_PN2211	RFO - figure 5-69	PN	photo de mobilier lithique - remontage	Paleotime	Post-fouille (2012-2014)	TIF	DVD
OA_5919_PN2212	RFO - figure 5-69	PN	photo de mobilier lithique - remontage	Paleotime	Post-fouille (2012-2014)	TIF	DVD
OA_5919_PN2213	RFO - figure 5-70	PN	photo de mobilier lithique - remontage	Paleotime	Post-fouille (2012-2014)	TIF	DVD
OA_5919_PN2214	RFO - figure 5-70	PN	photo de mobilier lithique - remontage	Paleotime	Post-fouille (2012-2014)	TIF	DVD
OA_5919_PN2215	RFO - figure 5-70	PN	photo de mobilier lithique - remontage	Paleotime	Post-fouille (2012-2014)	TIF	DVD
OA_5919_PN2216	RFO - figure 5-70	PN	photo de mobilier lithique - remontage	Paleotime	Post-fouille (2012-2014)	TIF	DVD
OA_5919_PN2217	RFO - figure 5-70	PN	photo de mobilier lithique - remontage	Paleotime	Post-fouille (2012-2014)	TIF	DVD
OA_5919_PN2218	RFO - figure 5-70	PN	photo de mobilier lithique - remontage	Paleotime	Post-fouille (2012-2014)	TIF	DVD
OA_5919_PN2219	RFO - figure 5-71	PN	photo de mobilier lithique - remontage	Paleotime	Post-fouille (2012-2014)	TIF	DVD
OA_5919_PN2220	RFO - figure 5-71	PN	photo de mobilier lithique - remontage	Paleotime	Post-fouille (2012-2014)	TIF	DVD
OA_5919_PN2221	RFO - figure 5-71	PN	photo de mobilier lithique - remontage	Paleotime	Post-fouille (2012-2014)	TIF	DVD
OA_5919_PN2222	RFO - figure 5-71	PN	photo de mobilier lithique - remontage	Paleotime	Post-fouille (2012-2014)	TIF	DVD
OA_5919_PN2223	RFO - figure 5-71	PN	photo de mobilier lithique - remontage	Paleotime	Post-fouille (2012-2014)	TIF	DVD
OA_5919_PN2224	RFO - figure 5-71	PN	photo de mobilier lithique - remontage	Paleotime	Post-fouille (2012-2014)	TIF	DVD
OA_5919_PN2225	RFO - figure 5-71	PN	photo de mobilier lithique - remontage	Paleotime	Post-fouille (2012-2014)	TIF	DVD
OA_5919_PN2226	RFO - figure 5-71	PN	photo de mobilier lithique - remontage	Paleotime	Post-fouille (2012-2014)	TIF	DVD
OA_5919_PN2227	RFO - figure 5-71	PN	photo de mobilier lithique - remontage	Paleotime	Post-fouille (2012-2014)	TIF	DVD
OA_5919_PN2228	RFO - figure 5-71	PN	photo de mobilier lithique - remontage	Paleotime	Post-fouille (2012-2014)	TIF	DVD
OA_5919_PN2229	RFO - figure 5-72	PN	photo de mobilier lithique - remontage	Paleotime	Post-fouille (2012-2014)	TIF	DVD
OA_5919_PN2230	RFO - figure 5-72	PN	photo de mobilier lithique - remontage	Paleotime	Post-fouille (2012-2014)	TIF	DVD
OA_5919_PN2231	RFO - figure 5-72	PN	photo de mobilier lithique - remontage	Paleotime	Post-fouille (2012-2014)	TIF	DVD
OA_5919_PN2232	RFO - figure 5-72	PN	photo de mobilier lithique - remontage	Paleotime	Post-fouille (2012-2014)	TIF	DVD
OA_5919_PN2233	RFO - figure 5-72	PN	photo de mobilier lithique - remontage	Paleotime	Post-fouille (2012-2014)	TIF	DVD
OA_5919_PN2234	RFO - figure 5-72	PN	photo de mobilier lithique - remontage	Paleotime	Post-fouille (2012-2014)	TIF	DVD
OA_5919_PN2235	RFO - figure 5-74	PN	photo de mobilier lithique - remontage	Paleotime	Post-fouille (2012-2014)	TIF	DVD
OA_5919_PN2236	RFO - figure 5-74	PN	photo de mobilier lithique - remontage	Paleotime	Post-fouille (2012-2014)	TIF	DVD

Inventaire officiel 5 – Montguyon (17), « Bois Clair ». Inventaire de la documentation photographique (Post-fouille)

Nom photo	Support	Type	Description	Auteur	Date	Extension fichier	Contenant
OA_5919_PN2237	RFO - figure 5-74	PN	photo de mobilier lithique - remontage	Paleotime	Post-fouille (2012-2014)	TIF	DVD
OA_5919_PN2238	RFO - figure 5-75	PN	photo de mobilier lithique - remontage	Paleotime	Post-fouille (2012-2014)	TIF	DVD
OA_5919_PN2239	RFO - figure 5-75	PN	photo de mobilier lithique - remontage	Paleotime	Post-fouille (2012-2014)	TIF	DVD
OA_5919_PN2240	RFO - figure 5-75	PN	photo de mobilier lithique - remontage	Paleotime	Post-fouille (2012-2014)	TIF	DVD
OA_5919_PN2241	RFO - figure 5-75	PN	photo de mobilier lithique - remontage	Paleotime	Post-fouille (2012-2014)	TIF	DVD
OA_5919_PN2242	RFO - figure 5-75	PN	photo de mobilier lithique - remontage	Paleotime	Post-fouille (2012-2014)	TIF	DVD
OA_5919_PN2243	RFO - figure 5-76	PN	photo de mobilier lithique - remontage	Paleotime	Post-fouille (2012-2014)	TIF	DVD
OA_5919_PN2244	RFO - figure 5-76	PN	photo de mobilier lithique - remontage	Paleotime	Post-fouille (2012-2014)	TIF	DVD
OA_5919_PN2245	RFO - figure 5-76	PN	photo de mobilier lithique - remontage	Paleotime	Post-fouille (2012-2014)	TIF	DVD
OA_5919_PN2246	RFO - figure 5-76	PN	photo de mobilier lithique - remontage	Paleotime	Post-fouille (2012-2014)	TIF	DVD
OA_5919_PN2247	RFO - figure 5-76	PN	photo de mobilier lithique - remontage	Paleotime	Post-fouille (2012-2014)	TIF	DVD
OA_5919_PN2248	RFO - figure 5-76	PN	photo de mobilier lithique - remontage	Paleotime	Post-fouille (2012-2014)	TIF	DVD
OA_5919_PN2249	RFO - figure 5-76	PN	photo de mobilier lithique - remontage	Paleotime	Post-fouille (2012-2014)	TIF	DVD
OA_5919_PN2250	RFO - figure 5-79	PN	photo de mobilier lithique - remontage	Paleotime	Post-fouille (2012-2014)	TIF	DVD
OA_5919_PN2251	RFO - figure 5-79	PN	photo de mobilier lithique - remontage	Paleotime	Post-fouille (2012-2014)	TIF	DVD
OA_5919_PN2252	RFO - figure 5-79	PN	photo de mobilier lithique - remontage	Paleotime	Post-fouille (2012-2014)	TIF	DVD
OA_5919_PN2253	RFO - figure 5-79	PN	photo de mobilier lithique - remontage	Paleotime	Post-fouille (2012-2014)	TIF	DVD
OA_5919_PN2254	RFO - figure 5-81	PN	photo de mobilier lithique - remontage	Paleotime	Post-fouille (2012-2014)	TIF	DVD
OA_5919_PN2255	RFO - figure 5-81	PN	photo de mobilier lithique - remontage	Paleotime	Post-fouille (2012-2014)	TIF	DVD
OA_5919_PN2256	RFO - figure 5-81	PN	photo de mobilier lithique - remontage	Paleotime	Post-fouille (2012-2014)	TIF	DVD
OA_5919_PN2257	RFO - figure 5-91	PN	photo de mobilier lithique - remontage	Paleotime	Post-fouille (2012-2014)	TIF	DVD
OA_5919_PN2258	RFO - figure 5-91	PN	photo de mobilier lithique - remontage	Paleotime	Post-fouille (2012-2014)	TIF	DVD
OA_5919_PN2259	RFO - figure 5-91	PN	photo de mobilier lithique - remontage	Paleotime	Post-fouille (2012-2014)	TIF	DVD
OA_5919_PN2260	RFO - figure 5-92	PN	photo de mobilier lithique - remontage	Paleotime	Post-fouille (2012-2014)	TIF	DVD
OA_5919_PN2261	RFO - figure 5-92	PN	photo de mobilier lithique - remontage	Paleotime	Post-fouille (2012-2014)	TIF	DVD
OA_5919_PN2262	RFO - figure 5-92	PN	photo de mobilier lithique - remontage	Paleotime	Post-fouille (2012-2014)	TIF	DVD
OA_5919_PN2263	RFO - figure 5-92	PN	photo de mobilier lithique - remontage	Paleotime	Post-fouille (2012-2014)	TIF	DVD
OA_5919_PN2264	RFO - figure 5-92	PN	photo de mobilier lithique - remontage	Paleotime	Post-fouille (2012-2014)	TIF	DVD
OA_5919_PN2265	RFO - figure 5-92	PN	photo de mobilier lithique - remontage	Paleotime	Post-fouille (2012-2014)	TIF	DVD
OA_5919_PN2266	RFO - figure 5-153	PN	photo de mobilier lithique - remontage	Paleotime	Post-fouille (2012-2014)	TIF	DVD
OA_5919_PN2267	RFO - figure 5-153	PN	photo de mobilier lithique - remontage	Paleotime	Post-fouille (2012-2014)	TIF	DVD
OA_5919_PN2268	RFO - figure 5-153	PN	photo de mobilier lithique - remontage	Paleotime	Post-fouille (2012-2014)	TIF	DVD
OA_5919_PN2269	RFO - figure 5-154	PN	photo de mobilier lithique - remontage	Paleotime	Post-fouille (2012-2014)	TIF	DVD
OA_5919_PN2270	RFO - figure 5-154	PN	photo de mobilier lithique - remontage	Paleotime	Post-fouille (2012-2014)	TIF	DVD
OA_5919_PN2271	RFO - figure 5-154	PN	photo de mobilier lithique - remontage	Paleotime	Post-fouille (2012-2014)	TIF	DVD
OA_5919_PN2272	RFO - figure 5-154	PN	photo de mobilier lithique - remontage	Paleotime	Post-fouille (2012-2014)	TIF	DVD
OA_5919_PN2273	RFO - figure 5-155	PN	photo de mobilier lithique - remontage	Paleotime	Post-fouille (2012-2014)	TIF	DVD
OA_5919_PN2274	RFO - figure 5-155	PN	photo de mobilier lithique - remontage	Paleotime	Post-fouille (2012-2014)	TIF	DVD
OA_5919_PN2275	RFO - figure 5-155	PN	photo de mobilier lithique - remontage	Paleotime	Post-fouille (2012-2014)	TIF	DVD
OA_5919_PN2276	RFO - figure 5-156	PN	photo de mobilier lithique - remontage	Paleotime	Post-fouille (2012-2014)	TIF	DVD

Inventaire officiel 5 – Montguyon (17), « Bois Clair ». Inventaire de la documentation photographique (Post-fouille)

Nom photo	Support	Type	Description	Auteur	Date	Extension fichier	Contenant
OA_5919_PN2277	RFO - figure 5-156	PN	photo de mobilier lithique - remontage	Paleotime	Post-fouille (2012-2014)	TIF	DVD
OA_5919_PN2278	RFO - figure 5-157	PN	photo de mobilier lithique - remontage	Paleotime	Post-fouille (2012-2014)	TIF	DVD
OA_5919_PN2279	RFO - figure 5-157	PN	photo de mobilier lithique - remontage	Paleotime	Post-fouille (2012-2014)	TIF	DVD
OA_5919_PN2280	RFO - figure 5-158	PN	photo de mobilier lithique - remontage	Paleotime	Post-fouille (2012-2014)	TIF	DVD
OA_5919_PN2281	RFO - figure 5-159	PN	photo de mobilier lithique - remontage	Paleotime	Post-fouille (2012-2014)	TIF	DVD
OA_5919_PN2282	RFO - figure 5-159	PN	photo de mobilier lithique - remontage	Paleotime	Post-fouille (2012-2014)	TIF	DVD
OA_5919_PN2283	RFO - figure 5-159	PN	photo de mobilier lithique - remontage	Paleotime	Post-fouille (2012-2014)	TIF	DVD
OA_5919_PN2284	RFO - figure 5-160	PN	photo de mobilier lithique - remontage	Paleotime	Post-fouille (2012-2014)	TIF	DVD
OA_5919_PN2285	RFO - figure 5-160	PN	photo de mobilier lithique - remontage	Paleotime	Post-fouille (2012-2014)	TIF	DVD
OA_5919_PN2286	RFO - figure 5-160	PN	photo de mobilier lithique - remontage	Paleotime	Post-fouille (2012-2014)	TIF	DVD
OA_5919_PN2287	RFO - figure 5-161	PN	photo de mobilier lithique - remontage	Paleotime	Post-fouille (2012-2014)	TIF	DVD
OA_5919_PN2288	RFO - figure 5-161	PN	photo de mobilier lithique - remontage	Paleotime	Post-fouille (2012-2014)	TIF	DVD
OA_5919_PN2289	RFO - figure 5-161	PN	photo de mobilier lithique - remontage	Paleotime	Post-fouille (2012-2014)	TIF	DVD
OA_5919_PN2290	RFO - figure 5-162	PN	photo de mobilier lithique - remontage	Paleotime	Post-fouille (2012-2014)	TIF	DVD
OA_5919_PN2291	RFO - figure 5-162	PN	photo de mobilier lithique - remontage	Paleotime	Post-fouille (2012-2014)	TIF	DVD
OA_5919_PN2292	RFO - figure 5-162	PN	photo de mobilier lithique - remontage	Paleotime	Post-fouille (2012-2014)	TIF	DVD
OA_5919_PN2293	RFO - figure 5-163	PN	photo de mobilier lithique - remontage	Paleotime	Post-fouille (2012-2014)	TIF	DVD
OA_5919_PN2294	RFO - figure 5-164	PN	photo de mobilier lithique - remontage	Paleotime	Post-fouille (2012-2014)	TIF	DVD
OA_5919_PN2295	RFO - figure 5-165	PN	photo de mobilier lithique - remontage	Paleotime	Post-fouille (2012-2014)	TIF	DVD
OA_5919_PN2296	RFO - figure 5-166	PN	photo de mobilier lithique - remontage	Paleotime	Post-fouille (2012-2014)	TIF	DVD
OA_5919_PN2297	RFO - figure 5-166	PN	photo de mobilier lithique - remontage	Paleotime	Post-fouille (2012-2014)	TIF	DVD
OA_5919_PN2298	RFO - figure 5-166	PN	photo de mobilier lithique - remontage	Paleotime	Post-fouille (2012-2014)	TIF	DVD
OA_5919_PN2299	RFO - figure 5-167	PN	photo de mobilier lithique - remontage	Paleotime	Post-fouille (2012-2014)	TIF	DVD
OA_5919_PN2300	RFO - figure 5-167	PN	photo de mobilier lithique - remontage	Paleotime	Post-fouille (2012-2014)	TIF	DVD
OA_5919_PN2301	RFO - figure 5-167	PN	photo de mobilier lithique - remontage	Paleotime	Post-fouille (2012-2014)	TIF	DVD
OA_5919_PN2302	RFO - figure 5-168	PN	photo de mobilier lithique - remontage	Paleotime	Post-fouille (2012-2014)	TIF	DVD
OA_5919_PN2303	RFO - figure 5-168	PN	photo de mobilier lithique - remontage	Paleotime	Post-fouille (2012-2014)	TIF	DVD
OA_5919_PN2304	RFO - figure 5-168	PN	photo de mobilier lithique - remontage	Paleotime	Post-fouille (2012-2014)	TIF	DVD
OA_5919_PN2305	RFO - figure 5-168	PN	photo de mobilier lithique - remontage	Paleotime	Post-fouille (2012-2014)	TIF	DVD
OA_5919_PN2306	RFO - figure 5-169	PN	photo de mobilier lithique - remontage	Paleotime	Post-fouille (2012-2014)	TIF	DVD
OA_5919_PN2307	RFO - figure 5-169	PN	photo de mobilier lithique - remontage	Paleotime	Post-fouille (2012-2014)	TIF	DVD
OA_5919_PN2308	RFO - figure 5-170	PN	photo de mobilier lithique - remontage	Paleotime	Post-fouille (2012-2014)	TIF	DVD
OA_5919_PN2309	RFO - figure 5-171	PN	photo de mobilier lithique - remontage	Paleotime	Post-fouille (2012-2014)	TIF	DVD
OA_5919_PN2310	RFO - figure 5-172	PN	photo de mobilier lithique - remontage	Paleotime	Post-fouille (2012-2014)	TIF	DVD
OA_5919_PN2311	RFO - figure 5-173	PN	photo de mobilier lithique - remontage	Paleotime	Post-fouille (2012-2014)	TIF	DVD
OA_5919_PN2312	RFO - figure 5-174	PN	photo de mobilier lithique - remontage	Paleotime	Post-fouille (2012-2014)	TIF	DVD
OA_5919_PN2313	RFO - figure 5-175	PN	photo de mobilier lithique - remontage	Paleotime	Post-fouille (2012-2014)	TIF	DVD
OA_5919_PN2314	RFO - figure 5-176	PN	photo de mobilier lithique - remontage	Paleotime	Post-fouille (2012-2014)	TIF	DVD
OA_5919_PN2315	RFO - figure 5-177	PN	photo de mobilier lithique - remontage	Paleotime	Post-fouille (2012-2014)	TIF	DVD
OA_5919_PN2316	RFO - figure 5-177	PN	photo de mobilier lithique - remontage	Paleotime	Post-fouille (2012-2014)	TIF	DVD

Inventaire officiel 5 – Montguyon (17), « Bois Clair ». Inventaire de la documentation photographique (Post-fouille)

Nom photo	Support	Type	Description	Auteur	Date	Extension fichier	Contenant
OA_5919_PN2317	RFO - figure 5-177	PN	photo de mobilier lithique - remontage	Paleotime	Post-fouille (2012-2014)	TIF	DVD
OA_5919_PN2318	RFO - figure 5-177	PN	photo de mobilier lithique - remontage	Paleotime	Post-fouille (2012-2014)	TIF	DVD
OA_5919_PN2319	RFO - figure 5-178	PN	photo de mobilier lithique - remontage	Paleotime	Post-fouille (2012-2014)	TIF	DVD
OA_5919_PN2320	RFO - figure 5-178	PN	photo de mobilier lithique - remontage	Paleotime	Post-fouille (2012-2014)	TIF	DVD
OA_5919_PN2321	RFO - figure 5-179	PN	photo de mobilier lithique - remontage	Paleotime	Post-fouille (2012-2014)	TIF	DVD
OA_5919_PN2322	RFO - figure 5-179	PN	photo de mobilier lithique - remontage	Paleotime	Post-fouille (2012-2014)	TIF	DVD
OA_5919_PN2323	RFO - figure 5-179	PN	photo de mobilier lithique - remontage	Paleotime	Post-fouille (2012-2014)	TIF	DVD
OA_5919_PN2324	RFO - figure 5-179	PN	photo de mobilier lithique - remontage	Paleotime	Post-fouille (2012-2014)	TIF	DVD
OA_5919_PN2325	RFO - figure 5-180	PN	photo de mobilier lithique - remontage	Paleotime	Post-fouille (2012-2014)	TIF	DVD
OA_5919_PN2326	RFO - figure 5-180	PN	photo de mobilier lithique - remontage	Paleotime	Post-fouille (2012-2014)	TIF	DVD
OA_5919_PN2327	RFO - figure 5-181	PN	photo de mobilier lithique - remontage	Paleotime	Post-fouille (2012-2014)	TIF	DVD
OA_5919_PN2328	RFO - figure 5-181	PN	photo de mobilier lithique - remontage	Paleotime	Post-fouille (2012-2014)	TIF	DVD
OA_5919_PN2329	RFO - figure 5-181	PN	photo de mobilier lithique - remontage	Paleotime	Post-fouille (2012-2014)	TIF	DVD
OA_5919_PN2330	RFO - figure 5-182	PN	photo de mobilier lithique - remontage	Paleotime	Post-fouille (2012-2014)	TIF	DVD
OA_5919_PN2331	RFO - figure 5-183	PN	photo de mobilier lithique - remontage	Paleotime	Post-fouille (2012-2014)	TIF	DVD
OA_5919_PN2332	RFO - figure 5-183	PN	photo de mobilier lithique - remontage	Paleotime	Post-fouille (2012-2014)	TIF	DVD
OA_5919_PN2333	RFO - figure 5-183	PN	photo de mobilier lithique - remontage	Paleotime	Post-fouille (2012-2014)	TIF	DVD
OA_5919_PN2334	RFO - annexe 6.1	PN	Petrographie microscope	Paleotime	Post-fouille (2012-2014)	TIF	DVD
OA_5919_PN2335	RFO - annexe 6.1	PN	Petrographie microscope	Paleotime	Post-fouille (2012-2014)	TIF	DVD
OA_5919_PN2336	RFO - annexe 6.1	PN	Petrographie microscope	Paleotime	Post-fouille (2012-2014)	TIF	DVD
OA_5919_PN2337	RFO - annexe 6.1	PN	Petrographie microscope	Paleotime	Post-fouille (2012-2014)	TIF	DVD
OA_5919_PN2338	RFO - annexe 6.1	PN	Petrographie microscope	Paleotime	Post-fouille (2012-2014)	TIF	DVD
OA_5919_PN2339	RFO - annexe 6.1	PN	Petrographie microscope	Paleotime	Post-fouille (2012-2014)	TIF	DVD
OA_5919_PN2340	RFO - annexe 6.2	PN	Petrographie microscope	Paleotime	Post-fouille (2012-2014)	TIF	DVD
OA_5919_PN2341	RFO - annexe 6.2	PN	Petrographie microscope	Paleotime	Post-fouille (2012-2014)	TIF	DVD
OA_5919_PN2342	RFO - annexe 6.2	PN	Petrographie microscope	Paleotime	Post-fouille (2012-2014)	TIF	DVD
OA_5919_PN2343	RFO - annexe 6.2	PN	Petrographie microscope	Paleotime	Post-fouille (2012-2014)	TIF	DVD
OA_5919_PN2344	RFO - annexe 6.2	PN	Petrographie microscope	Paleotime	Post-fouille (2012-2014)	TIF	DVD
OA_5919_PN2345	RFO - annexe 6.2	PN	Petrographie microscope	Paleotime	Post-fouille (2012-2014)	TIF	DVD
OA_5919_PN2346	RFO - annexe 6.3	PN	Petrographie microscope	Paleotime	Post-fouille (2012-2014)	TIF	DVD
OA_5919_PN2347	RFO - annexe 6.3	PN	Petrographie microscope	Paleotime	Post-fouille (2012-2014)	TIF	DVD
OA_5919_PN2348	RFO - annexe 6.3	PN	Petrographie microscope	Paleotime	Post-fouille (2012-2014)	TIF	DVD
OA_5919_PN2349	RFO - annexe 6.4	PN	Petrographie microscope	Paleotime	Post-fouille (2012-2014)	TIF	DVD
OA_5919_PN2350	RFO - annexe 6.4	PN	Petrographie microscope	Paleotime	Post-fouille (2012-2014)	TIF	DVD
OA_5919_PN2351	RFO - annexe 6.4	PN	Petrographie microscope	Paleotime	Post-fouille (2012-2014)	TIF	DVD
OA_5919_PN2352	RFO - annexe 6.4	PN	Petrographie microscope	Paleotime	Post-fouille (2012-2014)	TIF	DVD
OA_5919_PN2353	RFO - annexe 6.4	PN	Petrographie microscope	Paleotime	Post-fouille (2012-2014)	TIF	DVD
OA_5919_PN2354	RFO - annexe 6.4	PN	Petrographie microscope	Paleotime	Post-fouille (2012-2014)	TIF	DVD
OA_5919_PN2355	RFO - annexe 6.5	PN	Petrographie microscope	Paleotime	Post-fouille (2012-2014)	TIF	DVD
OA_5919_PN2356	RFO - annexe 6.5	PN	Petrographie microscope	Paleotime	Post-fouille (2012-2014)	TIF	DVD

Inventaire officiel 5 – Montguyon (17), « Bois Clair ». Inventaire de la documentation photographique (Post-fouille)

Nom photo	Support	Type	Description	Auteur	Date	Extension fichier	Contenant
OA_5919_PN2357	RFO - annexe 6.5	PN	Petrographie microscope	Paleotime	Post-fouille (2012-2014)	TIF	DVD
OA_5919_PN2358	RFO - annexe 6.5	PN	Petrographie microscope	Paleotime	Post-fouille (2012-2014)	TIF	DVD
OA_5919_PN2359	RFO - annexe 6.5	PN	Petrographie microscope	Paleotime	Post-fouille (2012-2014)	TIF	DVD
OA_5919_PN2360	RFO - annexe 6.5	PN	Petrographie microscope	Paleotime	Post-fouille (2012-2014)	TIF	DVD
OA_5919_PN2361	RFO - annexe 6.6	PN	Petrographie microscope	Paleotime	Post-fouille (2012-2014)	TIF	DVD
OA_5919_PN2362	RFO - annexe 6.6	PN	Petrographie microscope	Paleotime	Post-fouille (2012-2014)	TIF	DVD
OA_5919_PN2363	RFO - annexe 6.6	PN	Petrographie microscope	Paleotime	Post-fouille (2012-2014)	TIF	DVD
OA_5919_PN2364	RFO - annexe 6.6	PN	Petrographie microscope	Paleotime	Post-fouille (2012-2014)	TIF	DVD
OA_5919_PN2365	RFO - annexe 6.6	PN	Petrographie microscope	Paleotime	Post-fouille (2012-2014)	TIF	DVD
OA_5919_PN2366	RFO - annexe 6.6	PN	Petrographie microscope	Paleotime	Post-fouille (2012-2014)	TIF	DVD
OA_5919_PN2367	RFO - annexe 6.7	PN	Petrographie microscope	Paleotime	Post-fouille (2012-2014)	TIF	DVD
OA_5919_PN2368	RFO - annexe 6.7	PN	Petrographie microscope	Paleotime	Post-fouille (2012-2014)	TIF	DVD
OA_5919_PN2369	RFO - annexe 6.7	PN	Petrographie microscope	Paleotime	Post-fouille (2012-2014)	TIF	DVD
OA_5919_PN2370	RFO - annexe 6.7	PN	Petrographie microscope	Paleotime	Post-fouille (2012-2014)	TIF	DVD
OA_5919_PN2371	RFO - annexe 6.7	PN	Petrographie microscope	Paleotime	Post-fouille (2012-2014)	TIF	DVD
OA_5919_PN2372	RFO - annexe 6.7	PN	Petrographie microscope	Paleotime	Post-fouille (2012-2014)	TIF	DVD
OA_5919_PN2373	RFO - annexe 6.8	PN	Petrographie microscope	Paleotime	Post-fouille (2012-2014)	TIF	DVD
OA_5919_PN2374	RFO - annexe 6.8	PN	Petrographie microscope	Paleotime	Post-fouille (2012-2014)	TIF	DVD
OA_5919_PN2375	RFO - annexe 6.8	PN	Petrographie microscope	Paleotime	Post-fouille (2012-2014)	TIF	DVD
OA_5919_PN2376	RFO - annexe 6.8	PN	Petrographie microscope	Paleotime	Post-fouille (2012-2014)	TIF	DVD
OA_5919_PN2377	RFO - annexe 6.8	PN	Petrographie microscope	Paleotime	Post-fouille (2012-2014)	TIF	DVD
OA_5919_PN2378	RFO - annexe 6.8	PN	Petrographie microscope	Paleotime	Post-fouille (2012-2014)	TIF	DVD
OA_5919_PN2379	RFO - annexe 6.9	PN	Petrographie microscope	Paleotime	Post-fouille (2012-2014)	TIF	DVD
OA_5919_PN2380	RFO - annexe 6.9	PN	Petrographie microscope	Paleotime	Post-fouille (2012-2014)	TIF	DVD
OA_5919_PN2381	RFO - annexe 6.9	PN	Petrographie microscope	Paleotime	Post-fouille (2012-2014)	TIF	DVD
OA_5919_PN2382	RFO - annexe 6.9	PN	Petrographie microscope	Paleotime	Post-fouille (2012-2014)	TIF	DVD
OA_5919_PN2383	RFO - annexe 6.9	PN	Petrographie microscope	Paleotime	Post-fouille (2012-2014)	TIF	DVD
OA_5919_PN2384	RFO - annexe 6.9	PN	Petrographie microscope	Paleotime	Post-fouille (2012-2014)	TIF	DVD
OA_5919_PN2385	RFO - annexe 6.10	PN	Petrographie microscope	Paleotime	Post-fouille (2012-2014)	TIF	DVD
OA_5919_PN2386	RFO - annexe 6.10	PN	Petrographie microscope	Paleotime	Post-fouille (2012-2014)	TIF	DVD
OA_5919_PN2387	RFO - annexe 6.10	PN	Petrographie microscope	Paleotime	Post-fouille (2012-2014)	TIF	DVD
OA_5919_PN2388	RFO - annexe 6.10	PN	Petrographie microscope	Paleotime	Post-fouille (2012-2014)	TIF	DVD
OA_5919_PN2389	RFO - annexe 6.10	PN	Petrographie microscope	Paleotime	Post-fouille (2012-2014)	TIF	DVD
OA_5919_PN2390	RFO - annexe 6.10	PN	Petrographie microscope	Paleotime	Post-fouille (2012-2014)	TIF	DVD
OA_5919_PN2391	RFO - annexe 6.11	PN	Petrographie microscope	Paleotime	Post-fouille (2012-2014)	TIF	DVD
OA_5919_PN2392	RFO - annexe 6.11	PN	Petrographie microscope	Paleotime	Post-fouille (2012-2014)	TIF	DVD
OA_5919_PN2393	RFO - annexe 6.11	PN	Petrographie microscope	Paleotime	Post-fouille (2012-2014)	TIF	DVD
OA_5919_PN2394	RFO - annexe 6.11	PN	Petrographie microscope	Paleotime	Post-fouille (2012-2014)	TIF	DVD
OA_5919_PN2395	RFO - annexe 6.11	PN	Petrographie microscope	Paleotime	Post-fouille (2012-2014)	TIF	DVD
OA_5919_PN2396	RFO - annexe 6.11	PN	Petrographie microscope	Paleotime	Post-fouille (2012-2014)	TIF	DVD

Inventaire officiel 5 – Montguyon (17), « Bois Clair ». Inventaire de la documentation photographique (Post-fouille)

Nom photo	Support	Type	Description	Auteur	Date	Extension fichier	Contenant
OA_5919_PN2397	RFO - annexe 6.12	PN	Petrographie microscope	Paleotime	Post-fouille (2012-2014)	TIF	DVD
OA_5919_PN2398	RFO - annexe 6.12	PN	Petrographie microscope	Paleotime	Post-fouille (2012-2014)	TIF	DVD
OA_5919_PN2399	RFO - annexe 6.12	PN	Petrographie microscope	Paleotime	Post-fouille (2012-2014)	TIF	DVD
OA_5919_PN2400	RFO - annexe 6.12	PN	Petrographie microscope	Paleotime	Post-fouille (2012-2014)	TIF	DVD
OA_5919_PN2401	RFO - annexe 6.12	PN	Petrographie microscope	Paleotime	Post-fouille (2012-2014)	TIF	DVD
OA_5919_PN2402	RFO - annexe 6.12	PN	Petrographie microscope	Paleotime	Post-fouille (2012-2014)	TIF	DVD
OA_5919_PN2403	RFO - annexe 6.13	PN	Petrographie microscope	Paleotime	Post-fouille (2012-2014)	TIF	DVD
OA_5919_PN2404	RFO - annexe 6.13	PN	Petrographie microscope	Paleotime	Post-fouille (2012-2014)	TIF	DVD
OA_5919_PN2405	RFO - annexe 6.13	PN	Petrographie microscope	Paleotime	Post-fouille (2012-2014)	TIF	DVD
OA_5919_PN2406	RFO - annexe 6.13	PN	Petrographie microscope	Paleotime	Post-fouille (2012-2014)	TIF	DVD
OA_5919_PN2407	RFO - annexe 6.13	PN	Petrographie microscope	Paleotime	Post-fouille (2012-2014)	TIF	DVD
OA_5919_PN2408	RFO - annexe 6.13	PN	Petrographie microscope	Paleotime	Post-fouille (2012-2014)	TIF	DVD
OA_5919_PN2409	RFO - annexe 6.14	PN	Petrographie microscope	Paleotime	Post-fouille (2012-2014)	TIF	DVD
OA_5919_PN2410	RFO - annexe 6.14	PN	Petrographie microscope	Paleotime	Post-fouille (2012-2014)	TIF	DVD
OA_5919_PN2411	RFO - annexe 6.14	PN	Petrographie microscope	Paleotime	Post-fouille (2012-2014)	TIF	DVD
OA_5919_PN2412	RFO - annexe 6.14	PN	Petrographie microscope	Paleotime	Post-fouille (2012-2014)	TIF	DVD
OA_5919_PN2413	RFO - annexe 6.14	PN	Petrographie microscope	Paleotime	Post-fouille (2012-2014)	TIF	DVD
OA_5919_PN2414	RFO - annexe 6.14	PN	Petrographie microscope	Paleotime	Post-fouille (2012-2014)	TIF	DVD
OA_5919_PN2415	RFO - annexe 6.15	PN	Petrographie microscope	Paleotime	Post-fouille (2012-2014)	TIF	DVD
OA_5919_PN2416	RFO - annexe 6.15	PN	Petrographie microscope	Paleotime	Post-fouille (2012-2014)	TIF	DVD
OA_5919_PN2417	RFO - annexe 6.15	PN	Petrographie microscope	Paleotime	Post-fouille (2012-2014)	TIF	DVD
OA_5919_PN2418	RFO - annexe 6.15	PN	Petrographie microscope	Paleotime	Post-fouille (2012-2014)	TIF	DVD
OA_5919_PN2419	RFO - annexe 6.16	PN	Petrographie microscope	Paleotime	Post-fouille (2012-2014)	TIF	DVD
OA_5919_PN2420	RFO - annexe 6.16	PN	Petrographie microscope	Paleotime	Post-fouille (2012-2014)	TIF	DVD
OA_5919_PN2421	RFO - annexe 6.16	PN	Petrographie microscope	Paleotime	Post-fouille (2012-2014)	TIF	DVD
OA_5919_PN2422	RFO - annexe 6.16	PN	Petrographie microscope	Paleotime	Post-fouille (2012-2014)	TIF	DVD
OA_5919_PN2423	RFO - annexe 6.17	PN	Petrographie microscope	Paleotime	Post-fouille (2012-2014)	TIF	DVD
OA_5919_PN2424	RFO - annexe 6.17	PN	Petrographie microscope	Paleotime	Post-fouille (2012-2014)	TIF	DVD
OA_5919_PN2425	RFO - annexe 6.17	PN	Petrographie microscope	Paleotime	Post-fouille (2012-2014)	TIF	DVD
OA_5919_PN2426	RFO - annexe 6.17	PN	Petrographie microscope	Paleotime	Post-fouille (2012-2014)	TIF	DVD
OA_5919_PN2427	RFO - annexe 6.17	PN	Petrographie microscope	Paleotime	Post-fouille (2012-2014)	TIF	DVD
OA_5919_PN2428	RFO - annexe 6.17	PN	Petrographie microscope	Paleotime	Post-fouille (2012-2014)	TIF	DVD
OA_5919_PN2429	RFO - annexe 6.18	PN	Petrographie microscope	Paleotime	Post-fouille (2012-2014)	TIF	DVD
OA_5919_PN2430	RFO - annexe 6.18	PN	Petrographie microscope	Paleotime	Post-fouille (2012-2014)	TIF	DVD
OA_5919_PN2431	RFO - annexe 6.18	PN	Petrographie microscope	Paleotime	Post-fouille (2012-2014)	TIF	DVD
OA_5919_PN2432	RFO - annexe 6.18	PN	Petrographie microscope	Paleotime	Post-fouille (2012-2014)	TIF	DVD
OA_5919_PN2433	RFO - annexe 6.18	PN	Petrographie microscope	Paleotime	Post-fouille (2012-2014)	TIF	DVD
OA_5919_PN2434	RFO - annexe 6.18	PN	Petrographie microscope	Paleotime	Post-fouille (2012-2014)	TIF	DVD
OA_5919_PN2435	RFO - annexe 6.19	PN	Petrographie microscope	Paleotime	Post-fouille (2012-2014)	TIF	DVD
OA_5919_PN2436	RFO - annexe 6.19	PN	Petrographie microscope	Paleotime	Post-fouille (2012-2014)	TIF	DVD

Inventaire officiel 5 – Montguyon (17), « Bois Clair ». Inventaire de la documentation photographique (Post-fouille)

Nom photo	Support	Type	Description	Auteur	Date	Extension fichier	Contenant
OA_5919_PN2437	RFO - annexe 6.19	PN	Petrographie microscope	Paleotime	Post-fouille (2012-2014)	TIF	DVD
OA_5919_PN2438	RFO - annexe 6.19	PN	Petrographie microscope	Paleotime	Post-fouille (2012-2014)	TIF	DVD
OA_5919_PN2439	RFO - annexe 6.19	PN	Petrographie microscope	Paleotime	Post-fouille (2012-2014)	TIF	DVD
OA_5919_PN2440	RFO - annexe 6.20	PN	Petrographie microscope	Paleotime	Post-fouille (2012-2014)	TIF	DVD
OA_5919_PN2441	RFO - annexe 6.20	PN	Petrographie microscope	Paleotime	Post-fouille (2012-2014)	TIF	DVD
OA_5919_PN2442	RFO - annexe 6.20	PN	Petrographie microscope	Paleotime	Post-fouille (2012-2014)	TIF	DVD
OA_5919_PN2443	RFO - annexe 6.20	PN	Petrographie microscope	Paleotime	Post-fouille (2012-2014)	TIF	DVD
OA_5919_PN2444	RFO - annexe 6.21	PN	Petrographie microscope	Paleotime	Post-fouille (2012-2014)	TIF	DVD
OA_5919_PN2445	RFO - annexe 6.21	PN	Petrographie microscope	Paleotime	Post-fouille (2012-2014)	TIF	DVD
OA_5919_PN2446	RFO - annexe 6.21	PN	Petrographie microscope	Paleotime	Post-fouille (2012-2014)	TIF	DVD
OA_5919_PN2447	RFO - annexe 6.22	PN	Petrographie microscope	Paleotime	Post-fouille (2012-2014)	TIF	DVD
OA_5919_PN2448	RFO - annexe 6.22	PN	Petrographie microscope	Paleotime	Post-fouille (2012-2014)	TIF	DVD
OA_5919_PN2449	RFO - annexe 6.22	PN	Petrographie microscope	Paleotime	Post-fouille (2012-2014)	TIF	DVD
OA_5919_PN2450	RFO - annexe 6.22	PN	Petrographie microscope	Paleotime	Post-fouille (2012-2014)	TIF	DVD
OA_5919_PN2451	RFO - annexe 6.22	PN	Petrographie microscope	Paleotime	Post-fouille (2012-2014)	TIF	DVD
OA_5919_PN2452	RFO - annexe 6.22	PN	Petrographie microscope	Paleotime	Post-fouille (2012-2014)	TIF	DVD
OA_5919_PN2453	RFO - annexe 6.23	PN	Petrographie microscope	Paleotime	Post-fouille (2012-2014)	TIF	DVD
OA_5919_PN2454	RFO - annexe 6.23	PN	Petrographie microscope	Paleotime	Post-fouille (2012-2014)	TIF	DVD
OA_5919_PN2455	RFO - annexe 6.23	PN	Petrographie microscope	Paleotime	Post-fouille (2012-2014)	TIF	DVD
OA_5919_PN2456	RFO - annexe 6.23	PN	Petrographie microscope	Paleotime	Post-fouille (2012-2014)	TIF	DVD
OA_5919_PN2457	RFO - annexe 6.23	PN	Petrographie microscope	Paleotime	Post-fouille (2012-2014)	TIF	DVD
OA_5919_PN2458	RFO - annexe 6.23	PN	Petrographie microscope	Paleotime	Post-fouille (2012-2014)	TIF	DVD
OA_5919_PN2459	RFO - annexe 6.24	PN	Petrographie microscope	Paleotime	Post-fouille (2012-2014)	TIF	DVD
OA_5919_PN2460	RFO - annexe 6.24	PN	Petrographie microscope	Paleotime	Post-fouille (2012-2014)	JPG	DVD
OA_5919_PN2461	RFO - annexe 6.24	PN	Petrographie microscope	Paleotime	Post-fouille (2012-2014)	TIF	DVD
OA_5919_PN2462	RFO - annexe 6.24	PN	Petrographie microscope	Paleotime	Post-fouille (2012-2014)	TIF	DVD
OA_5919_PN2463	RFO - annexe 6.24	PN	Petrographie microscope	Paleotime	Post-fouille (2012-2014)	TIF	DVD
OA_5919_PN2464	RFO - annexe 6.24	PN	Petrographie microscope	Paleotime	Post-fouille (2012-2014)	TIF	DVD
OA_5919_PN2465	RFO - annexe 6.25	PN	Petrographie microscope	Paleotime	Post-fouille (2012-2014)	TIF	DVD
OA_5919_PN2466	RFO - annexe 6.25	PN	Petrographie microscope	Paleotime	Post-fouille (2012-2014)	TIF	DVD
OA_5919_PN2467	RFO - annexe 6.25	PN	Petrographie microscope	Paleotime	Post-fouille (2012-2014)	TIF	DVD
OA_5919_PN2468	RFO - annexe 6.26	PN	Petrographie microscope	Paleotime	Post-fouille (2012-2014)	TIF	DVD
OA_5919_PN2469	RFO - annexe 6.26	PN	Petrographie microscope	Paleotime	Post-fouille (2012-2014)	TIF	DVD
OA_5919_PN2470	RFO - annexe 6.26	PN	Petrographie microscope	Paleotime	Post-fouille (2012-2014)	TIF	DVD
OA_5919_PN2471	RFO - annexe 6.26	PN	Petrographie microscope	Paleotime	Post-fouille (2012-2014)	TIF	DVD
OA_5919_PN2472	RFO - annexe 6.27	PN	Petrographie microscope	Paleotime	Post-fouille (2012-2014)	TIF	DVD
OA_5919_PN2473	RFO - annexe 6.27	PN	Petrographie microscope	Paleotime	Post-fouille (2012-2014)	TIF	DVD
OA_5919_PN2474	RFO - annexe 6.27	PN	Petrographie microscope	Paleotime	Post-fouille (2012-2014)	TIF	DVD
OA_5919_PN2475	RFO - annexe 6.27	PN	Petrographie microscope	Paleotime	Post-fouille (2012-2014)	TIF	DVD
OA_5919_PN2476	RFO - annexe 6.27	PN	Petrographie microscope	Paleotime	Post-fouille (2012-2014)	TIF	DVD

Inventaire officiel 5 – Montguyon (17), « Bois Clair ». Inventaire de la documentation photographique (Post-fouille)

Nom photo	Support	Type	Description	Auteur	Date	Extension fichier	Contenant
OA_5919_PN2477	RFO - annexe 6.27	PN	Petrographie microscope	Paleotime	Post-fouille (2012-2014)	TIF	DVD
OA_5919_PN2478	RFO - figure 2-9	image scannée	Microfaciès lame mince	Paleotime	Post-fouille (2012-2014)	JPG	DVD
OA_5919_PN2479	RFO - figure 2-9	image scannée	Microfaciès lame mince	Paleotime	Post-fouille (2012-2014)	JPG	DVD
OA_5919_PN2480	RFO - figure 2-9	image scannée	Microfaciès lame mince	Paleotime	Post-fouille (2012-2014)	JPG	DVD
OA_5919_PN2481	RFO - figure 2-9	image scannée	Microfaciès lame mince	Paleotime	Post-fouille (2012-2014)	JPG	DVD
OA_5919_PN2482	RFO - figure 2-9	image scannée	Microfaciès lame mince	Paleotime	Post-fouille (2012-2014)	JPG	DVD
OA_5919_PN2483	RFO - figure 2-9	image scannée	Microfaciès lame mince	Paleotime	Post-fouille (2012-2014)	JPG	DVD

Inventaire officiel 5 – Montguyon (17), « Bois Clair ». Inventaire de la documentation photographique (Post-fouille)

CODE OPERATION	NUMERO D'ORDRE	DESCRIPTION	SUPPORT	NOMBRE DE PAGES
OA_5919	E1	Inventaire du mobilier terrain	Papier A4 recto	197
OA_5919	E2	Inventaire des points topographiques	Papier A4 recto	55
OA_5919	E3	Inventaire des UPS	Papier A4 recto	3
OA_5919	E4	Inventaire des coupes stratigraphiques	Papier A4 recto	5
OA_5919	E5	Fiches coupes stratigraphiques	Papier A4 recto	30
OA_5919	E6	Inventaire des prélèvements	Papier A4 recto	8
OA_5919	E7	Inventaire des minutes	Papier A4 recto	5
OA_5919	E8	Minutes de terrain	Papier A4 recto	72
OA_5919	E9	Inventaire des structures	Papier A4 recto	1
OA_5919	E10	Fiches structures	Papier A4 recto verso	9
OA_5919	E11	Fiches locus	Papier A4 recto verso	22
OA_5919	E12	Fiches décapage manuel	Papier A4 recto	183

Inventaire officiel 6 – Montguyon (17), « Bois Clair ». Inventaire de la documentation écrite

ANNEE	OA	IDENTIFIANT	N°DE CAISSE	N°DE LOT	X = est	Y = nord	Z = alti NGF	PARCELLE	SECTEUR (CP/TR/ST...)	CARRE	UPS	MATERIAU	SUPPORT (cf. annexe 3)	TYPOLOGIE (cf. annexe 3)	REMONTAGES	CHRONO-CULTURE (cf. annexe 3)	CLICHE	MASSE (g.)	DATE DECOUVERTE
2011	5919	0016	14		1450621.255786	5116561.736905	82.377298	490	TR01		4	SILEX	PL		43	PM	PN2158/2163	40	14-11-2011/17:16:43.0
2011	5919	0057	18		1450612.118586	5116553.611824	82.269632	490	TR01/ST03?		ST03?	SILEX	EC1			PM		92	15-11-2011/10:42:57.0
2011	5919	0058	17		1450615.587187	5116555.219663	82.286547	490	TR01		4	SILEX	L			PM		33,3	15-11-2011/10:53:23.0
2011	5919	0059	12		1450615.297798	5116554.633920	82.273658	490	TR01		4	SILEX	LC2/Lpde			PM/PS		6,3	15-11-2011/10:54:20.0
2011	5919	0060	16		1450614.759499	5116555.091085	82.293471	490	TR01		4	SILEX	EC1			PM		12,7	15-11-2011/10:55:19.0
2011	5919	0061	17		1450615.104377	5116554.969125	82.296310	490	TR01		4	SILEX	E3			PM		4,2	15-11-2011/10:56:07.0
2011	5919	0062	17		1450613.581584	5116554.752634	82.324893	490	TR01		4	SILEX	NK			PM		56,8	15-11-2011/10:57:18.0
2011	5919	0066	17		1450614.685852	5116555.761714	82.324559	490	TR01		4	SILEX	EC1			PM		3,8	15-11-2011/11:05:47.0
2011	5919	0067	13		1450612.602981	5116554.745268	82.280962	490	TR01		4	SILEX	EO		52	PM		57,2	15-11-2011/11:08:19.0
2011	5919	0068	17		1450613.024374	5116554.161122	82.243037	490	TR01		4	SILEX	LL2			PM		36,4	15-11-2011/11:13:48.0
2011	5919	0069	17		1450814.591624	5116556.032705	82.272254	490	TR01		4	SILEX	ND			PM		41,1	15-11-2011/11:45:18.0
2011	5919	0088	18		1450609.652866	5116550.905121	82.310302	490	TR01		4	SILEX	Bt		6	PM		497,7	15-11-2011/12:33:07.0
2011	5919	0089	16		1450608.679098	5116551.681248	82.369815	490	TR01		4	SILEX	NFU			PM		42,9	15-11-2011/12:42:29.0
2011	5919	0090	16		1450609.280410	5116549.856446	82.239841	490	TR01		4	SILEX	D			PM		15,2	15-11-2011/12:42:52.0
2011	5919	0091	17		1450607.445370	5116548.619522	82.160661	490	TR01		4	SILEX	EC2			PM		35,7	15-11-2011/12:49:17.0
2011	5919	0092	15		1450610.893603	5116550.765546	82.218583	490	TR01/CP01		4/5	SILEX	EL1			PM		140,6	15-11-2011/13:00:30.0
2011	5919	0093	16		1450604.542513	5116547.335438	82.088474	490	TR01		4/5	SILEX	Cg	G2	42	PM		49,8	15-11-2011/14:57:35.0
2011	5919	0094	16		1450604.604545	5116547.410126	82.059343	490	TR01		4/5	SILEX	Befgt		42	PM		110,6	15-11-2011/15:17:54.0
2011	5919	0108	15		1450601.120021	5116543.366975	82.204438	490	TR01		4/5	SILEX	E5			PM	PN2056	9,5	15-11-2011/15:18:40.0
2011	5919	0109	17		1450598.864144	5116541.871448	81.968489	490	TR01		4/5	SILEX	NFU			PM		114	15-11-2011/16:46:35.0
2011	5919	0110	17		1450600.452026	5116542.733991	81.980918	490	TR01		4/5	SILEX	Ni			PM		35,6	15-11-2011/16:57:16.0
2011	5919	0111	15		1450601.023656	5116543.928050	82.047853	490	TR01		4/5	SILEX	E1			PM		9,8	15-11-2011/17:03:26.0
2011	5919	0112	15		1450600.991305	5116543.971015	82.065081	490	TR01		4/5	SILEX	Fi			PM		1,5	15-11-2011/17:09:36.0
2011	5919	0113	17		1450600.631093	5116544.753480	81.962766	490	TR01		4/5	SILEX	EC3			PM		27,7	15-11-2011/17:09:56.0
2011	5919	0115	18		1450575.287287	5116554.780534	82.359236	491	TR02		4?	SILEX							15-11-2011/17:16:16.0
2011	5919	0177	13		1450574.259976	5116556.882772	82.587251	491	TR02		4?	SILEX	NLRC			PM		103	16-11-2011/09:30:45.0
2011	5919	0286	15		1450645.592338	5116594.012351	82.218755	490	TR03		4	SILEX	E1			PM		4,7	16-11-2011/09:51:38.0
2011	5919	0287	17		1450646.052650	5116593.310951	82.186823	490	TR03		4	SILEX	NIE			PM		55,5	16-11-2011/14:20:14.0
2011	5919	0319	4		1450641.016076	5116599.142096	81.968797	490	TR03		5	Grès ferrugineux	Bb			PM		500	16-11-2011/14:26:18.0
2011	5919	0406	15		1450610.158218	5116621.120226	82.234590	490	TR04		4	SILEX	E1			PM		17,9	16-11-2011/15:16:27.0
2011	5919	0408	15		1450607.780622	5116624.954759	82.474057	490	TR04		4	SILEX	E5			PM		3,7	17-11-2011/11:54:20.0
2011	5919	0409	12		1450608.502950	5116624.640688	81.959269	490	TR04		4b	SILEX	EC1	G2		PM	PN2239-2241	100,1	17-11-2011/12:28:19.0
2011	5919	0410	17		1450607.094130	5116626.378496	81.898333	490	TR04		4b	SILEX	EL1			PM		16	17-11-2011/14:09:54.0
2011	5919	0412	15		1450606.626445	5116627.564570	81.748457	490	TR04		5a	SILEX	E3			PM		4,5	17-11-2011/14:16:05.0
2011	5919	0413	16		1450607.269059	5116625.434607	81.920716	490	TR04		4b	SILEX	Fi			PM		5,3	17-11-2011/14:23:26.0
2011	5919	0414	17		1450608.691302	5116624.498634	81.766174	490	TR04		5a	SILEX	L			PM		15,3	17-11-2011/14:28:39.0
2011	5919	0415	18		1450608.296897	5116624.187540	81.770939	490	TR04		5a?	SILEX	EC1			PM		5,2	17-11-2011/14:37:17.0
2011	5919	0416	17		1450607.204871	5116625.180398	81.769539	490	TR04		5a?	SILEX	EL1			PM		26,4	17-11-2011/14:46:12.0
2011	5919	0417	17		1450606.278580	5116627.021935	81.585640	490	TR04		5a?	SILEX	EL1			PM		32,3	17-11-2011/14:48:20.0
2011	5919	0418	18		1450607.540057	5116626.636720	81.594182	490	TR04		5a?	SILEX	EC2			PM		17	17-11-2011/14:59:00.0
2011	5919	0439	14		1450604.050215	5116629.448927	82.213978	490	TR04		4b	SILEX	E5	G3		PM	PN2229-2231	75,9	17-11-2011/15:02:16.0
2011	5919	0440	17		1450604.599236	5116629.327297	81.906017	490	TR04		4b/5	SILEX	NEO			PM		33,8	18-11-2011/08:56:08.0
2011	5919	0441	15		1450599.803717	5116637.500233	82.093325	490	TR04		4a	SILEX	E6			PM		4,1	18-11-2011/09:20:51.0
2011	5919	0442	1		1450599.294020	5116638.219436	82.053300	490	TR04		4a	Quartz	Gup			PM		287,5	18-11-2011/09:53:23.0
2011	5919	0443	17		1450599.751327	5116636.511508	81.972544	490	TR04		4b	SILEX	NEO		1			31,1	18-11-2011/09:58:32.0
2011	5919	0444	17		1450598.617657	5116638.483024	81.928870	490	TR04		4b	SILEX	Ni			PM		20,9	18-11-2011/10:31:32.0
2011	5919	0445	17		1450598.858178	5116636.748898	81.939797	490	TR04		4b/5	SILEX	EC5		1	PM		25,1	18-11-2011/10:39:20.0
2011	5919	0446	4		1450600.559618	5116637.009464	81.857381	490	TR04		4b/5	Grès ferrugineux	Bb			PM		2100	18-11-2011/10:43:55.0
2011	5919	0462	15		1450599.140709	5116636.961286	81.770827	490	TR04		5a	SILEX	E5			PM		13	18-11-2011/10:52:20.0
2011	5919	0463	14		1450601.635344	5116633.678245	81.181835	490	TR04		5b	SILEX	EC2	G6		PM		105,8	18-11-2011/11:12:30.0
2011	5919	0464	14		1450597.385008	5116637.886595	82.185627	490	TR04/CP04		4a	SILEX	ENC1			PM		11,1	18-11-2011/11:31:00.0
2011	5919	0465	12		1450597.237409	5116638.058321	82.266677	490	TR04/CP05		4a	SILEX	E5		82	PM		7,8	21-11-2011/10:13:19.0
2011	5919	0552	16		1450573.772099	5116670.423514	80.690154	490	TR04		?	SILEX	E11			PM/PS		0,1	21-11-2011/10:13:34.0
2011	5919	0553	15		1450573.265647	5116671.114820	80.805451	490	TR04		?	SILEX	EC2			PM/PS		6,9	21-11-2011/14:34:57.0
2011	5919	0554	15		1450611.958677	5116628.614537	82.148872	490	TR04a		4a	SILEX	E3			PM/PS		13,5	21-11-2011/14:35:14.0
2011	5919	0555	15		1450608.802042	5116627.646236	82.158323	490	TR04a		4a	SILEX	L			PM/PS		30,9	21-11-2011/14:41:54.0
2011	5919	0556	1		1450609.153030	5116628.114020	82.045518	490	TR04a		4a	Quartz	Gup			PM		992,6	21-11-2011/14:48:02.0
2011	5919	0569	15		1450608.658765	5116626.993851	81.997502	490	TR04a		4b	SILEX	E5	G6		PM		32,7	21-11-2011/14:58:46.0
2011	5919	0570	16		1450609.415209	5116627.127377	81.896998	490	TR04a		4b	SILEX	Fi			PM		1,4	21-11-2011/15:14:36.0

Inventaire officiel 7 – Montguyon (17), « Bois Clair ». Inventaire du mobilier individualisé

ANNEE	OA	IDENTIFIANT	N°DE CAISSE	N°DE LOT	X = est	Y = nord	Z = alti NGF	PARCELLE	SECTEUR (CP/TR/ST...)	CARRE	UPS	MATERIAU	SUPPORT (cf. annexe 3)	TYPOLOGIE (cf. annexe 3)	REMONTAGES	CHRONO-CULTURE (cf. annexe 3)	CLICHE	MASSE (g.)	DATE DECOUVERTE
2011	5919	0571	4		1450610.244632	5116629.092005	81.715600	490	TR04a		4b	Grès ferrugineux	Bb			PM		800	21-11-2011/15:28:57.0
2011	5919	0572	15		1450609.105177	5116627.438673	81.787114	490	TR04a		5a	SILEX	E3			PM		27,6	21-11-2011/15:38:51.0
2011	5919	0579	12		1450609.033169	5116626.626717	81.797608	490	TR04a		5a	SILEX	E/Lpde/Lpd			PM		3,6	21-11-2011/15:43:58.0
2011	5919	0590	2		1450611.194126	5116629.460378	81.659532	490	TR04a		5a	Quartzite	Gb			PM		570,3	21-11-2011/15:48:27.0
2011	5919	0599	15		1450609.022343	5116626.989488	81.683944	490	TR04a		5a	SILEX	E1			PM		5,3	21-11-2011/15:53:54.0
2011	5919	0611	15		1450610.459972	5116626.754850	81.581344	490	TR04a		5b	SILEX	Fi			PM		15,5	21-11-2011/15:58:39.0
2011	5919	0612	16		1450609.770084	5116628.509580	81.579331	490	TR04a		5b	SILEX	E11			PM		0,6	21-11-2011/16:06:06.0
2011	5919	0618	18		1450608.940043	5116627.825007	81.537173	490	TR04a		5b	SILEX	EC3			PM		26,9	21-11-2011/16:06:48.0
2011	5919	0630	17		1450608.285131	5116627.520195	81.534725	490	TR04a		5b	SILEX	NDU			PM		130,8	21-11-2011/16:12:37.0
2011	5919	0635	17		1450609.685687	5116626.796505	81.487870	490	TR04a		5b	SILEX	NTE			PM		122,8	21-11-2011/16:17:02.0
2011	5919	0636	15		1450609.727325	5116625.181726	82.365679	490	TR04a		4a	SILEX	E3			PM		11,5	21-11-2011/16:23:02.0
2011	5919	0642	1		1450612.042121	5116625.698655	81.659850	490	TR04a		5a	Quartzite	Gup			PM		443,5	22-11-2011/08:44:02.0
2011	5919	0644	7		1450612.053756	5116625.918588	81.499396	490	TR04a		5a	Grès	Bb			PM		300	22-11-2011/09:35:56.0
2011	5919	0645	15		1450608.816932	5116626.233047	81.229885	490	TR04a		5b	SILEX	EC3			PM		2,3	22-11-2011/09:46:01.0
2011	5919	0646	18		1450612.116924	5116626.331497	81.197185	490	TR04a		5a	SILEX	EC2			PM		6,4	22-11-2011/10:06:49.0
2011	5919	0667	*		1450584.647351	5116548.578644	82.523894	491			4	SILEX	EC2			PM		244,6	22-11-2011/13:32:21.0
2011	5919	0668	17		1450584.201512	5116551.568159	82.329540	491			5	SILEX	EC1			PM		42,5	22-11-2011/15:06:29.0
2011	5919	0669	15		1450584.744631	5116550.176564	82.237038	491			5	SILEX	Fi			PM		25,9	22-11-2011/15:22:54.0
2011	5919	0670	16		1450584.710259	5116549.904031	82.238434	491			5	SILEX	Fi			PM		26,5	22-11-2011/15:23:32.0
2011	5919	0671	18		1450584.616397	5116551.417694	82.279509	491			5	SILEX	EL1			PM		22,3	22-11-2011/15:23:58.0
2011	5919	0672	20		1450584.154392	5116550.239236	82.150918	491			5	SILEX	D			PM		1052,2	22-11-2011/15:27:58.0
2011	5919	0673	12		1450588.550507	5116554.774032	82.893330	490			2?	SILEX	Fi			PM/PS		1,7	22-11-2011/15:33:45.0
2011	5919	0674	18		1450581.603146	5116551.214078	82.306141	491			5	SILEX							22-11-2011/15:51:33.0
2011	5919	0675	18		1450582.260822	5116551.247445	82.226340	491			5	SILEX	D			PM		144,5	22-11-2011/15:54:34.0
2011	5919	0676	18		1450582.643803	5116551.746403	82.292165	491			5	SILEX	Cg			PM		154,6	22-11-2011/15:57:45.0
2011	5919	0677	18		1450581.901441	5116551.868083	82.273261	491			5	SILEX	EC2			PM		145,5	22-11-2011/15:58:01.0
2011	5919	0678	15		1450588.146021	5116555.481148	82.601995	490			4	SILEX	EC3			PM/PS		22	22-11-2011/16:02:12.0
2011	5919	0679	16		1450588.153417	5116555.473825	82.607935	490			4	SILEX	Fi			PM/PS		0,1	22-11-2011/16:09:07.0
2011	5919	0680	16		1450587.449070	5116551.683947	82.587323	490			4	SILEX	D			PM/PS		39,7	22-11-2011/16:09:51.0
2011	5919	0681	16		1450578.627918	5116549.359107	82.478277	491			4	SILEX	E0			PM/PS		31,6	22-11-2011/16:17:59.0
2011	5919	0683	18		1450589.251960	5116557.619778	82.679947	490			4/5?	SILEX	EC2			PM		202,8	22-11-2011/16:36:32.0
2011	5919	0684	16		1450589.093400	5116556.102262	82.607617	490			4/5?	SILEX	EL1			PM		28,7	23-11-2011/08:34:47.0
2011	5919	0685	16		1450589.174505	5116556.686635	82.588171	490			4	SILEX	NLRC	26		PM		223,3	23-11-2011/08:43:25.0
2011	5919	0686	16		1450589.574819	5116556.711602	82.615632	490			4	SILEX	EC0	32		PM		23	23-11-2011/08:56:13.0
2011	5919	0687	16		1450589.581009	5116556.752331	82.613533	490			4	SILEX	EC0			PM		21,4	23-11-2011/08:56:33.0
2011	5919	0688	15		1450582.614995	5116554.224343	82.689499	491			4	SILEX	E0			PM		6,3	23-11-2011/09:07:42.0
2011	5919	0689	17		1450579.113851	5116554.590159	82.575504	491			4?	SILEX	NDB			PM		79,7	23-11-2011/09:09:02.0
2011	5919	0690	17		1450586.467313	5116556.165063	82.673140	490			4	SILEX	Ni			PM		22,6	23-11-2011/09:18:29.0
2011	5919	0691	15		1450583.938137	5116554.667332	82.588232	491			5	SILEX	EL6			PM		3,8	23-11-2011/09:21:52.0
2011	5919	0692	15		1450584.298481	5116554.606425	82.591553	491			5	SILEX	EL5			PM		12,6	23-11-2011/09:30:15.0
2011	5919	0693	16		1450589.590235	5116556.709216	82.630066	490			4	SILEX	E0			PM		6	23-11-2011/09:30:31.0
2011	5919	0694	16		1450589.598623	5116556.738312	82.622291	490			4	SILEX	E0	32		PM		11,5	23-11-2011/09:35:36.0
2011	5919	0695	16		1450589.138251	5116558.309784	82.508152	490			4	SILEX	Befgt	41		PM		156,5	23-11-2011/09:35:55.0
2011	5919	0696	16		1450589.128565	5116558.374859	82.516549	490			4	SILEX	/	41		PM		32,7	23-11-2011/09:40:40.0
2011	5919	0698	18		1450581.598029	5116556.777176	82.375599	491			5	SILEX	ND			PM		349,5	23-11-2011/09:41:19.0
2011	5919	0699	18		1450578.214015	5116555.602920	82.318249	491			5	SILEX	E0			PM		118,5	23-11-2011/09:49:44.0
2011	5919	0700	16		1450589.630993	5116563.279766	83.211817	490			3/4?	SILEX	D			PM/PS		106,7	23-11-2011/10:25:48.0
2011	5919	0701	12		1450587.045430	5116563.955614	83.042819	490			4	SILEX	EC2?	G9	44	PM/PS-PM		235,2	23-11-2011/10:47:44.0
2011	5919	0702	16		1450584.550680	5116573.403627	83.480817	490			2/3	SILEX	EC7			PM/PS		105,5	23-11-2011/11:23:24.0
2011	5919	0720	11		1450587.744985	5116569.524970	82.963283	490			?	SILEX	EC2/Eci		134	PS	PN2346-2364	206,8	23-11-2011/13:51:19.0
2011	5919	0721	15		1450583.194656	5116558.837385	82.734723	491			4/5	SILEX	ENC2			PM		40	23-11-2011/15:11:26.0
2011	5919	0722	15		1450582.902601	5116559.934894	82.782058	491			4/5	SILEX	E6			PM		4,3	23-11-2011/15:19:05.0
2011	5919	0724	17		1450583.726494	5116559.778229	82.714978	491			4/5	SILEX	E4pdf			PM		9	23-11-2011/15:19:23.0
2011	5919	0726	16		1450585.788993	5116556.872998	83.053589	490	CP06		?	SILEX	Fi			PM		0,1	23-11-2011/15:29:18.0
2011	5919	0730	15		1450598.500936	5116574.566308	83.434070	490	TR07		2/3	SILEX	EC2			PM/PS		24,3	23-11-2011/15:56:49.0
2011	5919	0735	16		1450598.744803	5116574.743510	83.239311	490	TR07		4	SILEX	EC2		146	PM/PS		110,8	23-11-2011/16:23:07.0
2011	5919	0736	12		1450605.342609	5116574.515528	82.996763	490	TR07		4	SILEX	Ni			PS		494,4	24-11-2011/09:42:39.0
2011	5919	0737	15		1450577.012177	5116567.374969	82.824626	491			4/5	SILEX	EC3			PM		18,6	24-11-2011/11:00:41.0

Inventaire officiel 7 – Montguyon (17), « Bois Clair ». Inventaire du mobilier individualisé

ANNEE	OA	IDENTIFIANT	N°DE CAISSE	N°DE LOT	X = est	Y = nord	Z = alti NGF	PARCELLE	SECTEUR (CP/TR/ST...)	CARRE	UPS	MATERIAU	SUPPORT (cf. annexe 3)	TYPOLOGIE (cf. annexe 3)	REMONTAGES	CHRONO-CULTURE (cf. annexe 3)	CLICHE	MASSE (g.)	DATE DECOUVERTE
2011	5919	0738	4		1450605.553998	5116574.237517	82.504521	490	TR07		5/6	Grès ferrugineux	Bb			PM		900	24-11-2011/11:47:02.0
2011	5919	0739	13		1450576.851937	5116566.172018	82.519879	491			5	SILEX	NDB			PM	PN2100-2101	475	24-11-2011/12:00:16.0
2011	5919	0740	16		1450579.218793	5116567.034245	82.881288	491			4	SILEX	EC1			PM		33,1	24-11-2011/14:03:29.0
2011	5919	0742	18		1450588.281667	5116580.931617	82.969782	490	ST005		ST04	SILEX	E4			PM/PS		17	24-11-2011/14:08:21.0
2011	5919	0769	15		1450605.655144	5116573.841776	82.354384	490	TR07		5	SILEX	EC0			PM		32,6	24-11-2011/14:08:38.0
2011	5919	0770	16		1450605.918046	5116573.309557	82.339392	490	TR07		5	SILEX	Cg			PM		4,5	24-11-2011/14:17:39.0
2011	5919	0771	16		1450606.842119	5116574.670123	82.323868	490	TR07		5	SILEX	Fi			PM		0,9	24-11-2011/14:37:41.0
2011	5919	0772	15		1450607.412077	5116574.285066	82.283724	490	TR07		5	SILEX	EC2			PM		14,7	24-11-2011/14:37:58.0
2011	5919	0785	15		1450589.406828	5116585.788780	83.098383	490	CP05.2		4a	SILEX	E5		56	PM		18,7	24-11-2011/14:38:23.0
2011	5919	0786	15		1450606.137338	5116574.035075	82.327693	490	TR07		5	SILEX	EC3			PM		10,5	24-11-2011/14:38:51.0
2011	5919	0787	15		1450606.564297	5116572.975471	82.289768	490	TR07		5	SILEX	EC2			PM		1,9	24-11-2011/14:51:27.0
2011	5919	0799	15		1450573.048111	5116566.988390	82.754625	491			4	SILEX	E5			PM		16,3	24-11-2011/14:53:09.0
2011	5919	0800	16		1450606.651784	5116574.814451	82.296353	490	TR07/CP07		5	SILEX	E1			PM		22,5	24-11-2011/14:53:31.0
2011	5919	0801	18		1450589.642049	5116563.311632	83.376351	490	CP05.2		2	Céramique	Tesson			H		/	24-11-2011/15:03:15.0
2011	5919	0818	15		1450577.357461	5116570.935572	82.696249	491			5	SILEX	NK			PM		32,3	24-11-2011/15:08:16.0
2011	5919	0823	15		1450577.063721	5116571.057863	82.664820	491			5	SILEX	ENC2pdf			PM		38,9	24-11-2011/15:15:02.0
2011	5919	0840	14		1450610.249394	5116573.897979	82.612429	490	TR07		4	SILEX	E0	G8		PM		71,2	24-11-2011/15:23:40.0
2011	5919	0842	15		1450609.948719	5116574.146187	82.586306	490	TR07		4/5	SILEX	E0			PM		16,6	24-11-2011/15:52:46.0
2011	5919	0843	18		1450577.915078	5116576.114969	82.722789	491			4	SILEX	EC1			PM		47,7	24-11-2011/15:55:23.0
2011	5919	0853	18		1450610.069028	5116574.701402	82.580529	490	TR07/CP07		4/5	SILEX	EC2		19	PM		22,6	24-11-2011/16:09:21.0
2011	5919	0855	15		1450589.407318	5116586.580063	83.122801	490	CP05		4a/4b	SILEX	E0			PM		7,4	24-11-2011/16:25:01.0
2011	5919	0856	18		1450610.022633	5116574.733653	82.578719	490	TR07		4/5	SILEX	/		19	PM		8	24-11-2011/16:25:58.0
2011	5919	0857	3		1450610.123029	5116574.644038	82.543223	490	TR07		4/5	Quartz	Gb			PM		511,4	24-11-2011/16:32:18.0
2011	5919	0858	16		1450613.015700	5116573.703425	82.508290	490	TR07		4/5	SILEX	E11			PM		0,6	24-11-2011/16:35:05.0
2011	5919	0859	16		1450609.940303	5116574.282880	82.560793	490	TR07		4/5	SILEX	E11			PM		0,9	24-11-2011/16:41:34.0
2011	5919	0860	15		1450609.809583	5116573.473676	82.545447	490	TR07		4/5	SILEX	E3pdf			PM		11	24-11-2011/16:43:22.0
2011	5919	0861	16		1450612.957225	5116573.497867	82.512872	490	TR07		4/5	SILEX	E0			PM		3	25-11-2011/08:24:44.0
2011	5919	0862	16		1450574.630524	5116573.039737	82.973080	491			4?	SILEX	E11			PM		1,2	25-11-2011/08:31:54.0
2011	5919	0863	3		1450612.373954	5116574.531198	82.507708	490	TR07		4/5	Quartzite	Gb			PM		230,6	25-11-2011/08:32:14.0
2011	5919	0864	16		1450610.561507	5116573.229007	82.571435	490	TR07		4/5	SILEX	Fi			PM		0,1	25-11-2011/08:39:43.0
2011	5919	0865	17		1450610.924473	5116573.245589	82.569607	490	TR07		4/5	SILEX	NFC			PM		34,9	25-11-2011/08:40:29.0
2011	5919	0866	17		1450574.359759	5116572.906961	82.526208	491			5	SILEX	NIE			PM		83,4	25-11-2011/08:47:33.0
2011	5919	0867	16		1450611.505474	5116573.857519	82.543748	490	TR07		4/5	SILEX	EC7			PM		3,1	25-11-2011/08:58:27.0
2011	5919	0868	17		1450612.363919	5116573.857680	82.537028	490	TR07		4/5	SILEX	E3			PM		4,6	25-11-2011/08:58:53.0
2011	5919	0869	15		1450612.399698	5116573.410434	82.533522	490	TR07		4/5	SILEX	E0			PM		4,7	25-11-2011/09:05:57.0
2011	5919	0870	17		1450575.961995	5116575.518195	82.588373	491			5	SILEX	NIE			PM		37	25-11-2011/09:07:55.0
2011	5919	0871	17		1450610.415235	5116572.745966	82.564375	490	TR07		4/5	SILEX	E1			PM		11	25-11-2011/09:08:14.0
2011	5919	0872	15		1450611.382467	5116573.703909	82.519736	490	TR07		4/5?	SILEX	Fi			PM		27	25-11-2011/09:08:31.0
2011	5919	0873	17		1450611.471347	5116573.229965	82.522949	490	TR07		4/5?	SILEX	EC3			PM		27,4	25-11-2011/09:14:53.0
2011	5919	0874	15		1450611.657697	5116573.971967	82.529800	490	TR07		4/5?	SILEX	ENC2			PM		10,5	25-11-2011/09:16:06.0
2011	5919	0875	17		1450566.078827	5116574.400057	82.730985	491			4?	SILEX	NDU			PM	PN2102-2103	259,3	25-11-2011/09:30:48.0
2011	5919	0876	15		1450612.030117	5116574.207789	82.518810	490	TR07		4/5?	SILEX	E4pdf			PM		14	25-11-2011/09:31:07.0
2011	5919	0877	16		1450611.547086	5116573.084764	82.493020	490	TR07		5	SILEX	E11			PM		0,1	25-11-2011/09:31:32.0
2011	5919	0878	16		1450610.951727	5116573.097855	82.503831	490	TR07		5	SILEX	E11			PM		0,1	25-11-2011/09:35:37.0
2011	5919	0879	15		1450612.205483	5116572.671085	82.483010	490	TR07 (TR100 INRAP)		5	SILEX	EC0			PM		19,5	25-11-2011/09:39:32.0
2011	5919	0881	12		1450610.756704	5116573.164558	82.487511	490	TR07 (TR100 INRAP)		5	SILEX	Lpd/lpde			PM/PS		9,1	25-11-2011/09:54:52.0
2011	5919	0882	16		1450633.435003	5116569.628217	81.835894	490	CP01		7	SILEX	E11			PM		0,1	25-11-2011/10:00:34.0
2011	5919	0883	16		1450610.698915	5116572.672076	82.282191	490	TR07		5/6	SILEX	Ef			PM		10,9	25-11-2011/10:50:28.0
2011	5919	0884	20		1450580.462213	5116579.880152	82.755383	491	CP06		6/7?	SILEX	EC7			PM		301,6	25-11-2011/10:52:25.0
2011	5919	0885	16		1450612.468199	5116573.709548	82.108706	490	TR07		6	SILEX	Fi			PM		3,1	25-11-2011/10:53:43.0
2011	5919	0902	16		1450612.461245	5116574.727770	82.074654	490	TR07		6	SILEX	D			PM		13,1	25-11-2011/11:27:04.0
2011	5919	0928	17		1450618.262913	5116573.275083	82.540949	490	TR07		4a/4b	SILEX	Fi			PM		8,8	25-11-2011/11:31:19.0
2011	5919	0929	17		1450618.362983	5116573.643411	82.499784	490	TR07		4b	SILEX	Ni			PM		81	25-11-2011/11:31:50.0
2011	5919	0930	15		1450615.674923	5116574.383684	82.481611	490	TR07		4b	SILEX	NDU			PM	PN2082-2083	357,5	28-11-2011/10:00:54.0
2011	5919	0931	15		1450615.422563	5116574.234575	82.458800	490	TR07		4b	SILEX	E1			PM		4,5	28-11-2011/10:12:19.0
2011	5919	0932	15		1450615.904579	5116573.615459	82.455310	490	TR07		4b	SILEX	E0			PM		30,8	28-11-2011/11:33:14.0
2011	5919	0941	12		1450615.026671	5116572.727073	81.951152	490	TR07		5	SILEX	Lpd			PM		14,2	28-11-2011/11:43:00.0
2011	5919	0948	14		1450595.723837	5116570.243225	83.482597	490	TR08		2?	SILEX	EC2		102	PM	PN2094	7	28-11-2011/12:05:27.0

Inventaire officiel 7 – Montguyon (17), « Bois Clair ». Inventaire du mobilier individualisé

ANNEE	OA	IDENTIFIANT	N°DE CAISSE	N°DE LOT	X = est	Y = nord	Z = alti NGF	PARCELLE	SECTEUR (CP/TR/ST...)	CARRE	UPS	MATERIAU	SUPPORT (cf. annexe 3)	TYPOLOGIE (cf. annexe 3)	REMONTAGES	CHRONO-CULTURE (cf. annexe 3)	CLICHE	MASSE (g.)	DATE DECOUVERTE
2011	5919	0949	7		1450595.643189	5116571.236684	83.486994	490	TR08		2?	Grès	NT			PM/PS		30,2	28-11-2011/12:05:58.0
2011	5919	0961	12		1450596.734070	5116572.311264	83.395112	490	TR08		2?	SILEX	Fi/Cg			PS		14,6	28-11-2011/12:12:40.0
2011	5919	0993	16		1450596.991050	5116567.335243	83.242319	490	TR08		3/4?	SILEX	Fi			PM/PS		16,4	28-11-2011/13:44:30.0
2011	5919	0994	11		1450596.739148	5116566.305933	83.314450	490	TR08		3/4?	SILEX	Fi			PS		2,2	28-11-2011/14:27:10.0
2011	5919	0995	16		1450595.845887	5116564.247645	83.228103	490	TR08		3/4?	SILEX	Fi			PM/PS		2,6	28-11-2011/14:28:08.0
2011	5919	0996	16		1450595.617328	5116560.661473	83.401803	490	TR08		1/2	SILEX	E4pdf			PM/PS		15,8	28-11-2011/14:41:58.0
2011	5919	0997	16		1450595.996163	5116560.815699	83.376398	490	TR08		1/2	SILEX	EC1			PM/PS		9	28-11-2011/15:08:55.0
2011	5919	0998	15		1450596.045505	5116560.900324	83.385230	490	TR08		1/2	SILEX	Fi			PM/PS		7,2	28-11-2011/15:23:33.0
2011	5919	0999	15		1450597.378892	5116559.589967	83.284786	490	TR08		3/4?	SILEX	E11			PM/PS		1,2	28-11-2011/15:29:51.0
2011	5919	1000	16		1450596.061806	5116561.423829	83.042301	490	TR08		4	SILEX	Fi			PM/PS		0,4	28-11-2011/15:51:48.0
2011	5919	1032	16		1450596.667367	5116559.874860	82.740959	490	TR08		4	SILEX	/		22	PM		27,3	28-11-2011/15:59:11.0
2011	5919	1044	16		1450597.131846	5116559.658716	82.591824	490	TR08		4/5?	SILEX	NDU		22	PM		72,3	28-11-2011/15:59:36.0
2011	5919	1045	15		1450596.322023	5116558.996969	82.478858	490	TR08		4/5	SILEX	EC3			PM		17	28-11-2011/16:11:34.0
2011	5919	1046	16		1450597.109292	5116561.159217	82.458364	490	TR08		5	SILEX	D			PM		37	28-11-2011/16:30:36.0
2011	5919	1051	17		1450597.234636	5116560.839274	82.328768	490	TR08		7	SILEX	E0			PM		41,6	29-11-2011/08:39:13.0
2011	5919	1052	15		1450596.683340	5116556.269488	82.557731	490	TR08		4	SILEX	NLP			PM		92,9	29-11-2011/09:08:08.0
2011	5919	1053	16		1450596.974751	5116556.311524	82.569477	490	TR08		4	SILEX	Fi			PM		1,3	29-11-2011/09:27:35.0
2011	5919	1054	18		1450596.218485	5116555.727035	82.354581	490	TR08		5	SILEX	EC2			PM		22,4	29-11-2011/09:51:11.0
2011	5919	1055	14		1450595.458582	5116553.270951	82.301004	490	TR08		5	SILEX	EL6	C5		PM		19,3	29-11-2011/10:42:12.0
2011	5919	1056	15		1450596.045426	5116555.226721	82.289481	490	TR08		5	SILEX	E10			PM		19,1	29-11-2011/14:31:15.0
2011	5919	1057	13		1450595.776368	5116556.909526	82.262931	490	TR08		5	SILEX	NDU		17	PM	PN2095	172,1	29-11-2011/14:31:30.0
2011	5919	1058	16		1450595.484355	5116556.057900	82.274672	490	TR08		5	SILEX	D			PM		22,7	29-11-2011/14:49:27.0
2011	5919	1059	16		1450596.687675	5116556.861318	82.249333	490	TR08		5	SILEX	D			PM		5,5	29-11-2011/14:52:24.0
2011	5919	1060	13		1450595.565713	5116556.887891	82.247412	490	TR08		5	SILEX	EC1pdf		17	PM	PN2095	88	29-11-2011/15:09:13.0
2011	5919	1061	17		1450595.950325	5116555.559434	82.021682	490	TR08		5/7	SILEX	NLRC			PM		147,7	29-11-2011/15:21:41.0
2011	5919	1062	15		1450603.011484	5116581.467829	83.061913	490	TR09		4	SILEX	EL6			PM		9,7	29-11-2011/15:21:58.0
2011	5919	1063	15		1450604.644604	5116581.419498	82.918528	490	TR09		4	SILEX	E5			PM	PN2056	14,6	29-11-2011/15:31:35.0
2011	5919	1072	18		1450604.190242	5116580.843125	82.594831	490	TR09		5	SILEX							29-11-2011/15:35:43.0
2011	5919	1073	13		1450604.868592	5116580.535769	82.606207	490	TR09		5	SILEX	/		11	PM		45,8	29-11-2011/16:25:03.0
2011	5919	1074	15		1450607.194173	5116581.406193	82.999947	490	TR09		4	SILEX	E3			PM		4,4	30-11-2011/09:09:31.0
2011	5919	1075	16		1450608.888935	5116580.917435	82.779563	490	TR09		4	SILEX	D			PM		17,1	30-11-2011/09:30:12.0
2011	5919	1076	17		1450607.497477	5116581.944791	82.625410	490	TR09		4	SILEX	E6			PM		8,2	30-11-2011/09:55:56.0
2011	5919	1077	17		1450605.399774	5116581.615937	82.637498	490	TR09		5	SILEX	E6		2	PM		5,7	30-11-2011/10:03:38.0
2011	5919	1078	17		1450609.439293	5116581.980923	82.614166	490	TR09		5	SILEX	E6		2	PM		4,5	30-11-2011/11:02:10.0
2011	5919	1079	16		1450608.802925	5116581.113055	82.622766	490	TR09		5	SILEX	EO			PM		7,3	30-11-2011/11:26:29.0
2011	5919	1080	16		1450608.380616	5116582.670537	82.507813	490	TR09		4/5	SILEX	ND			PM		675,7	30-11-2011/11:40:15.0
2011	5919	1081	18		1450605.361936	5116581.960264	82.510175	490	TR09		5	SILEX	EC1			PM		23,5	30-11-2011/11:43:23.0
2011	5919	1082	15		1450609.511318	5116582.615105	82.454151	490	TR09		5	SILEX	E6			PM		16,3	30-11-2011/11:43:44.0
2011	5919	1092	17		1450605.490306	5116581.437515	82.417864	490	TR09		5	SILEX	Ni			PM		11,9	30-11-2011/11:46:57.0
2011	5919	1121	15		1450608.416798	5116580.899327	81.998434	490	TR09		6	SILEX	E0			PM		10,1	30-11-2011/12:04:03.0
2011	5919	1122	15		1450607.594552	5116582.222516	81.991745	490	TR09		6	SILEX	E5			PM		7,3	30-11-2011/12:11:58.0
2011	5919	1123	15		1450611.116759	5116582.081917	82.551401	490	TR09		4/5	SILEX	E4			PM		6,8	30-11-2011/12:14:46.0
2011	5919	1124	17		1450612.310481	5116582.623981	82.497835	490	TR09		4/5	SILEX	NFB			PM		26,4	30-11-2011/13:36:53.0
2011	5919	1125	15		1450611.749281	5116582.582513	82.507991	490	TR09		4/5	SILEX	ENC2			PM		41,7	30-11-2011/13:51:59.0
2011	5919	1126	15		1450613.624062	5116582.339655	82.512432	490	TR09		4/5	SILEX	E6			PM		13,9	30-11-2011/14:00:59.0
2011	5919	1127	18		1450612.787185	5116581.146863	82.411906	490	TR09		4/5	SILEX	LC1			PM		28,4	30-11-2011/15:00:21.0
2011	5919	1128	14		1450615.579619	5116582.671998	82.417351	490	TR09		5	SILEX	EL1			PM		20,7	30-11-2011/15:06:04.0
2011	5919	1129	13		1450612.026277	5116580.796897	82.288741	490	TR09		5	SILEX	EC1		24	PM	PN2133-2134	23,9	30-11-2011/15:11:58.0
2011	5919	1130	15		1450616.388382	5116582.144246	82.464773	490	TR09		4/5	SILEX	EC2			PM		35,4	30-11-2011/15:18:50.0
2011	5919	1131	11		1450589.533923	5116569.465892	83.175408	490	Locus 00	L3 10	4	SILEX	Fi			PS		0,1	30-11-2011/15:24:10.0
2011	5919	1132	11		1450589.432881	5116569.468750	83.174516	490	Locus 00	L3 10	4	SILEX	Fi/Cg			PS		1,4	30-11-2011/15:33:09.0
2011	5919	1133	16		1450589.320680	5116568.834074	83.167774	490	Locus 00	L3 20	4	SILEX	EC2			PM/PS		1,1	30-11-2011/15:41:29.0
2011	5919	1134	11		1450589.432176	5116568.363798	83.115674	490	Locus 00	L3 20	4	SILEX	Lpd			PS		0,7	30-11-2011/15:45:41.0
2011	5919	1135	11		1450589.440061	5116568.190541	83.111370	490	Locus 00	L3 20	4	SILEX	/		134	PS	PN2346-2364	/	30-11-2011/15:54:36.0
2011	5919	1136	11		1450589.199352	5116572.529609	83.184083	490	Locus 00	K3 79	4	SILEX	Lpd		131	PS		2,6	30-11-2011/15:54:57.0
2011	5919	1137	11		1450613.824209	5116581.063114	81.876833	490	TR09		6	SILEX	Cg			PM		1,7	30-11-2011/15:55:28.0
2011	5919	1138	16		1450618.844115	5116584.221268	83.252223	490	TR10		3/4?	SILEX	EC1			PM/PS		9	30-11-2011/15:55:45.0
2011	5919	1195	16		1450619.501875	5116582.801551	82.726678	490	TR10/CP10		4	SILEX	ENC2			PM		31,9	30-11-2011/15:56:05.0

Inventaire officiel 7 – Montguyon (17), « Bois Clair ». Inventaire du mobilier individualisé

ANNEE	OA	IDENTIFIANT	N°DE CAISSE	N°DE LOT	X = est	Y = nord	Z = alti NGF	PARCELLE	SECTEUR (CP/TR/ST...)	CARRE	UPS	MATERIAU	SUPPORT (cf. annexe 3)	TYPOLOGIE (cf. annexe 3)	REMONTAGES	CHRONO-CULTURE (cf. annexe 3)	CLICHE	MASSE (g.)	DATE DECOUVERTE
2011	5919	1196	15		1450618.670568	5116584.818946	82.672497	490	TR10		4	SILEX	E5			PM	PN2057	18	30-11-2011/15:58:38.0
2011	5919	1197	12		1450618.868131	5116581.249448	82.534991	490	TR10		4/5?	SILEX	E5			PM	PN2053	41,8	30-11-2011/16:20:11.0
2011	5919	1198	15		1450617.853304	5116582.037391	82.461690	490	TR10		4/5?	SILEX	E1			PM		9,2	01-12-2011/08:37:38.0
2011	5919	1199	16		1450617.698296	5116581.416965	82.472023	490	TR10		5?	SILEX	E0			PM		18,4	01-12-2011/09:13:18.0
2011	5919	1200	18		1450619.040877	5116583.996616	82.366993	490	TR10		5	SILEX	EC3			PM		39	01-12-2011/09:23:21.0
2011	5919	1201	16		1450618.588609	5116585.257372	82.351301	490	TR10		5	SILEX	EC3			PM		8	01-12-2011/09:44:52.0
2011	5919	1202	16		1450619.135951	5116581.923246	82.309899	490	TR10		5	SILEX	EC1			PM		6,3	01-12-2011/10:29:42.0
2011	5919	1203	17		1450617.814016	5116583.524722	82.272348	490	TR10		5	SILEX	NK			PM		43,4	01-12-2011/10:36:34.0
2011	5919	1246	16		1450616.115830	5116582.168558	81.852187	490	TR09		6	SILEX	D			PM		21,5	01-12-2011/10:44:39.0
2011	5919	1247	16		1450618.779003	5116581.930712	81.679623	490	TR10		6	SILEX	Fi			PM		23,8	01-12-2011/10:50:19.0
2011	5919	1248	16		1450618.587975	5116584.430958	81.697671	490	TR10		6	SILEX	Cg			PM		5	01-12-2011/10:55:43.0
2011	5919	1249	18		1450616.680746	5116585.382093	83.091916	490	TR10bis		2?	SILEX							01-12-2011/11:04:37.0
2011	5919	1250	16		1450617.923508	5116588.686770	82.550460	490	TR10		4b?	SILEX	Fi			PM		3	01-12-2011/12:16:41.0
2011	5919	1251	16		1450617.937951	5116588.663711	82.448315	490	TR10		5?	SILEX	D			PM		13,2	01-12-2011/13:39:57.0
2011	5919	1252	16		1450618.641781	5116587.725444	82.402118	490	TR10		5?	SILEX	E10			PM		4,6	01-12-2011/13:40:21.0
2011	5919	1256	17		1450617.760902	5116589.231653	82.471216	490	TR10		5	SILEX	EC1			PM		12,8	01-12-2011/14:26:56.0
2011	5919	1257	17		1450618.605676	5116587.887763	82.387072	490	TR10		5	SILEX	EC2			PM		6,8	01-12-2011/15:12:42.0
2011	5919	1258	15		1450617.689583	5116590.085129	82.377678	490	TR10		5	SILEX	EC2			PM		26,3	01-12-2011/15:27:40.0
2011	5919	1259	14		1450618.283807	5116587.920842	82.140808	490	TR10		5/6 ?	SILEX	Ni			PM		36,4	01-12-2011/15:33:38.0
2011	5919	1260	15		1450616.333099	5116589.539977	81.983061	490	TR10bis		5/6	SILEX	E0			PM		15,1	01-12-2011/15:37:39.0
2011	5919	1262	16		1450616.160189	5116590.083671	81.641642	490	TR10bis		6	SILEX	Cg			PM		1,2	01-12-2011/15:38:50.0
2011	5919	1263	17		1450616.259867	5116590.323909	81.562778	490	TR10bis		6	SILEX	Ni			PM		80,9	01-12-2011/15:49:28.0
2011	5919	1264	16		1450617.046153	5116590.009568	81.585812	490	TR10bis		6	SILEX	Fi			PM		2,1	01-12-2011/16:01:05.0
2011	5919	1265	15		1450619.515276	5116583.011397	82.305802	490	TR10/CP10		5	SILEX	E6			PM		9	02-12-2011/09:59:45.0
2011	5919	1266	1		1450618.867535	5116596.153082	82.342863	490	TR10		4	Quartz	Gup			PM/PS		662,4	02-12-2011/10:55:06.0
2011	5919	1267	16		1450617.888424	5116598.152011	82.496576	490	TR10		4	SILEX	E11			PM		2,4	02-12-2011/11:01:06.0
2011	5919	1268	18		1450617.767991	5116596.841290	82.375474	490	TR10		4	SILEX	EC3			PM		8,8	02-12-2011/11:04:44.0
2011	5919	1269	15		1450619.385361	5116590.149628	82.185959	490	TR10/CP10.1		5	SILEX	E5			PM		3,8	05-12-2011/11:26:33.0
2011	5919	1270	16		1450618.772191	5116596.867092	82.325311	490	TR10		4	SILEX	EK			PM		14,3	05-12-2011/11:44:57.0
2011	5919	1271	15		1450617.916702	5116595.480651	82.279091	490	TR10		5	SILEX							05-12-2011/11:48:47.0
2011	5919	1272	18		1450618.759155	5116597.362718	82.282396	490	TR10		4/5	SILEX	EC3			PM		19,5	05-12-2011/11:54:10.0
2011	5919	1273	14		1450618.932066	5116598.102748	82.268164	490	TR10		4/5	SILEX	NDB		92	PM	PN2104-2106	145,2	05-12-2011/12:07:39.0
2011	5919	1274	13		1450619.184815	5116597.168411	82.270492	490	TR10		4	SILEX	EC1		93	PM		45,1	05-12-2011/12:08:27.0
2011	5919	1409	12		1450646.940530	5116585.240181	82.425398	490	Locus 07		4?	SILEX	E/Lpde	bpcl		NEO?		11	05-12-2011/12:14:04.0
2011	5919	1410	14		1450617.570524	5116599.928491	82.459714	490	TR10		4	SILEX	EC3	G2	84	PM	PN2089-2091	35,4	05-12-2011/12:18:24.0
2011	5919	1411	14		1450618.947027	5116598.188657	82.269153	490	TR10		4/5	SILEX	Ni		91	PM	PN2104-2106	138,5	05-12-2011/12:18:42.0
2011	5919	1412	14		1450618.781944	5116598.274289	82.268368	490	TR10		4/5	SILEX	E6		91	PM	PN2104-2106	57	05-12-2011/13:47:51.0
2011	5919	1413	13		1450618.702222	5116598.220005	82.279453	490	TR10		4/5	SILEX	EC3		93	PM		61,6	05-12-2011/16:19:25.0
2011	5919	1414	13		1450618.535911	5116598.155571	82.259172	490	TR10		4/5	SILEX	NFU	G6	34	PM		101,2	05-12-2011/16:55:23.0
2011	5919	1415	16		1450618.440681	5116598.207027	82.273805	490	TR10		4/5	SILEX	Fi			PM		22,2	05-12-2011/16:56:28.0
2011	5919	1416	14		1450616.539871	5116598.753477	82.626519	490	TR10bis		4	SILEX	E11pdf		84	PM	PN2089-2091	0,1	05-12-2011/16:56:55.0
2011	5919	1417	15		1450616.037104	5116598.857273	82.655654	490	TR10bis		4	SILEX	Fi			PM		0,1	05-12-2011/16:57:57.0
2011	5919	1418	15		1450616.069946	5116598.993509	82.651594	490	TR10bis		4	SILEX	Fi			PM		0,5	05-12-2011/16:58:28.0
2011	5919	1419	14		1450616.205044	5116598.840250	82.644325	490	TR10bis		4	SILEX	EC1	G5		PM		14,2	05-12-2011/17:00:04.0
2011	5919	1420	15		1450616.460937	5116598.841594	82.635780	490	TR10bis		4	SILEX	EC3	G9		PM		18,9	05-12-2011/17:00:46.0
2011	5919	1421	14		1450616.518146	5116598.976641	82.626580	490	TR10bis		4	SILEX	/		84	PM	PN2089-2091	24,8	05-12-2011/17:01:18.0
2011	5919	1422	12		1450646.209558	5116587.366623	82.370094	490			4	SILEX	Lpd			?		1,2	05-12-2011/17:01:43.0
2011	5919	1423	13		1450646.857603	5116585.179837	82.264399	490			4	SILEX	NDU			PM	PN2078-2079	124	05-12-2011/17:02:20.0
2011	5919	1424	16		1450645.357605	5116588.845478	82.318664	490			4	SILEX	E0	G6		PM		15,4	05-12-2011/17:02:57.0
2011	5919	1425	17		1450647.111152	5116585.039495	82.016874	490			5	SILEX							05-12-2011/17:03:24.0
2011	5919	1426	16		1450648.118068	5116587.129246	82.007635	490			5	SILEX	D			PM		167,7	06-12-2011/09:04:40.0
2011	5919	1427	16		1450645.956766	5116588.960074	82.103068	490			4	SILEX	D			PM		4,3	06-12-2011/09:07:17.0
2011	5919	1428	16		1450648.434277	5116585.291383	81.964217	490			5	SILEX	EC7			PM		18,1	06-12-2011/09:24:23.0
2011	5919	1429	15		1450648.846980	5116586.171913	81.879862	490			5	SILEX	E0			PM		4	06-12-2011/09:50:55.0
2011	5919	1430	16		1450587.167019	5116568.733572	83.155923	490		L3 18	4	SILEX	D			PM/PS		0,7	06-12-2011/09:51:26.0
2011	5919	1431	12		1450646.656803	5116585.808528	81.847010	490			5	SILEX	Lpd			?		5,6	06-12-2011/09:51:40.0
2011	5919	1432	15		1450640.216938	5116592.036784	82.637290	490			2/3?	SILEX	Lncr			?		12,5	06-12-2011/10:03:22.0
2011	5919	1433	15		1450642.418494	5116592.263324	82.050681	490			5	SILEX	E5			PM		18,1	06-12-2011/10:55:22.0

Inventaire officiel 7 – Montguyon (17), « Bois Clair ». Inventaire du mobilier individualisé

ANNEE	OA	IDENTIFIANT	N°DE CAISSE	N°DE LOT	X = est	Y = nord	Z = alti NGF	PARCELLE	SECTEUR (CP/TR/ST...)	CARRE	UPS	MATERIAU	SUPPORT (cf. annexe 3)	TYPOLOGIE (cf. annexe 3)	REMONTAGES	CHRONO-CULTURE (cf. annexe 3)	CLICHE	MASSE (g.)	DATE DECOUVERTE
2011	5919	1434	15		1450640.215886	5116592.106944	81.994320	490			4/5	SILEX	Fi			PM		5,4	06-12-2011/11:07:44.0
2011	5919	1435	14		1450643.532332	5116588.578482	81.691684	490			7	SILEX	E3	G7		PM		25,8	06-12-2011/11:13:17.0
2011	5919	1436	11		1450586.071118	5116567.695193	83.179896	490	Locus 00	L3 27	4	SILEX	Lcr			PS		1,6	06-12-2011/11:43:09.0
2011	5919	1437	17		1450636.692952	5116599.722117	82.085978	490			4/5	SILEX	EC6			PM		19,3	06-12-2011/12:23:14.0
2011	5919	1438	18		1450587.141973	5116567.169482	83.088346	490	Locus 00	L3 28	4	SILEX							06-12-2011/13:47:43.0
2011	5919	1439	18		1450588.098796	5116567.202518	83.061132	490	Locus 00	L3 29	4	SILEX							06-12-2011/14:08:57.0
2011	5919	1440	18		1450588.120074	5116567.130132	83.059635	490	Locus 00	L3 29	5	SILEX							06-12-2011/15:00:16.0
2011	5919	1441	18		1450588.316339	5116568.633207	83.125311	490	Locus 00	L3 19	4	SILEX							06-12-2011/15:57:32.0
2011	5919	1442	18		1450588.011089	5116568.157501	83.137140	490	Locus 00	L3 20	4	SILEX							06-12-2011/15:59:13.0
2011	5919	1443	18		1450587.054878	5116568.132623	83.108619	490	Locus 00	L3 18	4	SILEX							06-12-2011/15:59:34.0
2011	5919	1444	17		1450635.939120	5116599.140976	81.985133	490			4/5	SILEX	E2			PM		41,2	06-12-2011/16:00:11.0
2011	5919	1445	13		1450637.943545	5116595.348236	81.931452	490			5	SILEX	NFB			PM		59,2	06-12-2011/16:02:33.0
2011	5919	1446	11		1450586.708286	5116567.639659	83.053474	490	Locus 00	L3 27	4	SILEX	Eci			PS		4,6	06-12-2011/16:03:52.0
2011	5919	1447	16		1450587.095454	5116568.489757	83.061553	490	Locus 00	L3 18	4	SILEX	E11			PM/PS		0,1	06-12-2011/16:05:49.0
2011	5919	1448	18		1450588.773026	5116567.214560	83.052644	490	Locus 00	L3 29	4	SILEX	Fi	G8		PM/PS		2,5	06-12-2011/16:07:59.0
2011	5919	1449	1		1450630.474011	5116603.432284	82.232897	490			4	Quartzite	Gui			PM/PS		473,8	06-12-2011/16:16:35.0
2011	5919	1450	15		1450633.118912	5116601.252699	82.360952	490			4	SILEX	E5			PM		9,4	07-12-2011/10:55:51.0
2011	5919	1451	17		1450633.394144	5116604.409449	81.961907	490			5	SILEX	NFB			PM		102	07-12-2011/10:56:42.0
2011	5919	1452	12		1450643.348138	5116582.307347	82.729581	490	Locus 08		2/4	SILEX	Fi/Cg			NEO?		130,6	07-12-2011/10:58:29.0
2011	5919	1453	15		1450643.332997	5116582.214898	82.766720	490	Locus 08		2/4	SILEX	Lpd/cb			NEO?		0,1	07-12-2011/11:26:45.0
2011	5919	1454	12		1450641.806237	5116583.498411	82.742287	490	Locus 08		2/4	SILEX	E0/E9?			NEO?		69,5	07-12-2011/11:26:59.0
2011	5919	1455	12		1450641.379695	5116585.953329	82.797644	490	Locus 08		2/4	SILEX	E9		149	NEO?		32,9	07-12-2011/12:13:17.0
2011	5919	1456	15		1450641.465780	5116586.257065	82.804313	490	Locus 08		2/4	SILEX	LNC2/Lpde			NEO?		22,5	07-12-2011/15:58:21.0
2011	5919	1457	15		1450641.284206	5116586.300757	82.839126	490	Locus 08		2/4	SILEX	E0			NEO?		7,7	07-12-2011/15:58:46.0
2011	5919	1458	12		1450641.681690	5116586.798590	82.823533	490	Locus 08		2/4	SILEX	EC2	bde		NEO?		14,6	07-12-2011/15:59:48.0
2011	5919	1459	12		1450643.757211	5116586.320289	82.741399	490	Locus 08		2/4	SILEX	E/Lpde	lret?		NEO?		3,1	07-12-2011/16:00:25.0
2011	5919	1460	12		1450644.546749	5116585.689790	82.717074	490	Locus 08		2/4	SILEX	Epde	g/re		NEO?		30,4	07-12-2011/16:00:57.0
2011	5919	1461	12		1450645.183821	5116583.339187	82.703859	490	Locus 08		2/4	SILEX	Nlf éb		149	NEO?		186,3	07-12-2011/16:01:50.0
2011	5919	1462	12		1450646.345906	5116583.612558	82.713928	490	Locus 08		2/4	SILEX	Lpd	lret/esq2		NEO?		7,7	07-12-2011/16:02:26.0
2011	5919	1463	12		1450641.528729	5116588.120893	82.868672	490	Locus 08		2/4	SILEX	Lpd	bdlret2		NEO?	PN2189-2190	48,6	07-12-2011/16:08:03.0
2011	5919	1464	12		1450645.013045	5116582.194045	82.735418	490	Locus 08		2/4	SILEX	E0			NEO?		2,6	07-12-2011/16:08:27.0
2011	5919	1465	7		1450644.411257	5116585.586057	82.671688	490	Locus 08		2/4	Grès siliceux	Bb			NEO?		4700	07-12-2011/16:09:40.0
2011	5919	1466	8		1450639.570923	5116586.037797	82.885871	490	Locus 08		2/4	Grès ferrugineux	Bb			NEO?		13800	07-12-2011/16:10:24.0
2011	5919	1467	11		1450588.792882	5116567.398281	83.016762	490	Locus 00	L3 29	4	SILEX	/		130	PS		/	07-12-2011/16:11:34.0
2011	5919	1468	16		1450588.477268	5116567.872680	82.998585	490	Locus 00	L3 29	4	SILEX	Fi			PM/PS		0,6	07-12-2011/16:14:12.0
2011	5919	1469	11		1450588.727304	5116568.573062	83.042439	490	Locus 00	L3 19	4	SILEX	E0/Epde			PS		2,7	08-12-2011/08:59:13.0
2011	5919	1470	16		1450588.313736	5116568.599875	83.028147	490	Locus 00	L3 19	4	Lithique autre	NT			PM/PS		1,8	08-12-2011/08:59:32.0
2011	5919	1471	3		1450587.778877	5116567.595753	83.012915	490	Locus 00	L3 28	4	Quartzite	Gb			PM/PS		37,7	08-12-2011/09:28:20.0
2011	5919	1472	11		1450586.591262	5116568.214475	83.050106	490	Locus 00	L3 17	4	SILEX	Cg			PS		1,1	08-12-2011/09:29:27.0
2011	5919	1473	11		1450587.835695	5116568.447045	83.024499	490	Locus 00	L3 18	4	SILEX	/		134	PS	PN2346-2364	/	08-12-2011/09:29:45.0
2011	5919	1474	11		1450587.812926	5116568.362502	83.007437	490	Locus 00	L3 18	4	SILEX	Eca		134	PS	PN2346-2364	494	08-12-2011/09:31:05.0
2011	5919	1475	15		1450600.235612	5116570.101683	82.624418	490			5	SILEX	EL1			PM		26,9	08-12-2011/09:32:00.0
2011	5919	1476	16		1450588.278337	5116569.292380	83.186336	490	Locus 00	L3 09	4	SILEX	D			PM/PS		8,1	08-12-2011/09:32:41.0
2011	5919	1477	16		1450588.299707	5116569.501483	83.161665	490	Locus 00	L3 09	4	SILEX	D			PM/PS		4,9	08-12-2011/09:33:48.0
2011	5919	1478	16		1450599.747629	5116569.909953	82.593760	490			5	SILEX	D			PM		11,6	08-12-2011/09:34:55.0
2011	5919	1479	17		1450600.711330	5116569.164784	82.344664	490			5	SILEX	EL0			PM		96,5	08-12-2011/10:55:38.0
2011	5919	1480	15		1450599.888233	5116568.706053	82.398864	490			5	SILEX	E5			PM		14	08-12-2011/11:02:18.0
2011	5919	1481	7		1450588.398695	5116569.410058	83.123496	490	Locus 00	L3 09	4	Grès	NT			PM/PS		41,3	08-12-2011/11:02:29.0
2011	5919	1482	16		1450585.867386	5116567.148849	83.045242	490	Locus 00	L3 26	4	SILEX	D			PM/PS		0,3	08-12-2011/11:18:57.0
2011	5919	1483	12		1450601.045049	5116565.706918	83.015139	490			4	SILEX	Fi			PS		8,2	08-12-2011/11:36:47.0
2011	5919	1484	18		1450600.489842	5116565.165562	82.778260	490			5	SILEX	NFU			PM		161,2	08-12-2011/11:37:10.0
2011	5919	1485	16		1450600.307825	5116563.512802	82.594568	490			5	SILEX	NT			PM		29,9	08-12-2011/11:48:31.0
2011	5919	1486	16		1450601.252097	5116565.513084	82.669574	490			5	SILEX	Fi			PM		1,2	08-12-2011/11:49:16.0
2011	5919	1487	13		1450600.284675	5116563.978898	82.447227	490	Locus 03		5	SILEX	E3		65	PM	PN2107-2108	16,4	08-12-2011/12:06:26.0
2011	5919	1488	16		1450600.286833	5116564.473166	82.443152	490			5	SILEX	L			PM		15,5	08-12-2011/12:20:40.0
2011	5919	1489	16		1450600.237556	5116564.006608	82.425005	490			5	SILEX	EC1			PM		4,5	08-12-2011/13:39:04.0
2011	5919	1490	13		1450600.397635	5116564.335573	82.374316	490	Locus 03		7	SILEX	NDB	G9	60	PM	PN2307-2315	163,7	08-12-2011/13:42:10.0
2011	5919	1491	13		1450600.445281	5116564.311890	82.382156	490			7	SILEX	E3		63	PM		58	08-12-2011/13:51:57.0

Inventaire officiel 7 – Montguyon (17), « Bois Clair ». Inventaire du mobilier individualisé

ANNEE	OA	IDENTIFIANT	N°DE CAISSE	N°DE LOT	X = est	Y = nord	Z = alti NGF	PARCELLE	SECTEUR (CP/TR/ST...)	CARRE	UPS	MATERIAU	SUPPORT (cf. annexe 3)	TYPOLOGIE (cf. annexe 3)	REMONTAGES	CHRONO-CULTURE (cf. annexe 3)	CLICHE	MASSE (g.)	DATE DECOUVERTE
2011	5919	1492	16		1450600.759964	5116564.609514	82.388094	490	Locus 03		7	SILEX	D			PM		2,6	08-12-2011/13:58:47.0
2011	5919	1493	16		1450600.584184	5116564.402371	82.378688	490	Locus 03		7	SILEX	Fi			PM		0,1	08-12-2011/13:58:57.0
2011	5919	1494	16		1450600.613735	5116564.153902	82.397283	490	Locus 03		7	SILEX	D			PM		4,3	08-12-2011/14:09:04.0
2011	5919	1495	16		1450600.113187	5116564.057957	82.366916	490	Locus 03		7	SILEX	E11			PM		0,1	08-12-2011/14:09:21.0
2011	5919	1496	16		1450600.057309	5116564.193545	82.364314	490	Locus 03		7	SILEX	E4			PM		4,4	08-12-2011/15:55:35.0
2011	5919	1497	16		1450600.238978	5116564.408588	82.362816	490	Locus 03		7	SILEX	EC1			PM		4,2	08-12-2011/15:56:50.0
2011	5919	1498	16		1450600.355698	5116564.473997	82.363620	490	Locus 03		7	SILEX	E11			PM		0,1	08-12-2011/15:57:19.0
2011	5919	1499	16		1450599.981269	5116564.273326	82.369547	490	Locus 03		7	SILEX	E11			PM		0,1	08-12-2011/15:57:56.0
2011	5919	1500	16		1450600.032650	5116564.471598	82.361875	490	Locus 03		7	SILEX	NT			PM		4,4	08-12-2011/15:58:28.0
2011	5919	1501	16		1450599.986673	5116564.532247	82.374988	490	Locus 03		7	SILEX	E0			PM		5,5	08-12-2011/15:59:11.0
2011	5919	1502	13		1450600.109231	5116564.366896	82.367490	490	Locus 03		7	SILEX	E1		60	PM	PN2307-2315	84,5	08-12-2011/15:59:41.0
2011	5919	1503	15		1450599.867985	5116564.328206	82.350888	490	Locus 03		7	SILEX	E5		62	PM		105,1	08-12-2011/16:00:09.0
2011	5919	1504	13		1450599.720762	5116564.321335	82.340976	490	Locus 03		7	SILEX	E10		60	PM	PN2307-2315	55,8	08-12-2011/16:01:24.0
2011	5919	1505	12		1450604.971650	5116572.178235	83.434318	490			?	SILEX	E0/Epde			PS		38,2	08-12-2011/16:01:54.0
2011	5919	1506	17		1450604.278850	5116571.520583	82.933836	490			4	SILEX	E3			PM		10	08-12-2011/16:02:38.0
2011	5919	1507	12		1450604.253328	5116569.888057	82.928323	490			4	SILEX	Lnscr			PS		15,5	08-12-2011/16:03:07.0
2011	5919	1508	16		1450602.130513	5116570.518124	82.835561	490			4	SILEX	E3			PM		7,7	08-12-2011/16:03:42.0
2011	5919	1519	14		1450605.265798	5116572.419946	82.590537	490			5	SILEX	NLP	G6		PM		76,3	08-12-2011/16:37:43.0
2011	5919	1520	11		1450603.037155	5116571.506632	82.969316	490			4	SILEX	Lpde			PS/EPIP		40,7	09-12-2011/09:29:44.0
2011	5919	1521	17		1450602.122703	5116569.741427	82.844590	490			4	SILEX	EL6			PM		24	09-12-2011/09:39:55.0
2011	5919	1522	15		1450603.985999	5116568.008336	82.847762	490			4	SILEX	EC2			PM		22,8	09-12-2011/09:52:37.0
2011	5919	1523	17		1450604.363893	5116568.306744	83.708087	490			5	SILEX	EC1			PM		24,1	09-12-2011/11:11:24.0
2011	5919	1524	17		1450605.912852	5116570.692802	83.679414	490			5	SILEX	Ni			PM		28,5	09-12-2011/09:24:19.0
2011	5919	1525	15		1450604.656810	5116571.880219	83.627166	490			5	SILEX	EC2			PM		90,5	12-12-2011/10:04:55.0
2011	5919	1526	15		1450606.722460	5116570.757274	83.648309	490			5	SILEX	EC3			PM		19,5	12-12-2011/10:14:09.0
2011	5919	1527	17		1450606.664830	5116569.674943	83.634860	490			5	SILEX	NDU			PM		96,6	12-12-2011/10:35:21.0
2011	5919	1528	17		1450605.652954	5116569.539891	83.615205	490			5	SILEX	NFU			PM		62	12-12-2011/10:45:10.0
2011	5919	1529	15		1450606.544861	5116569.559310	83.616538	490			5	SILEX	Fi			PM		47,8	12-12-2011/11:16:21.0
2011	5919	1530	18		1450604.905396	5116570.224529	83.613062	490			5	SILEX	EC2			PM		11,6	12-12-2011/11:16:45.0
2011	5919	1531	15		1450605.247342	5116568.606797	82.409847	490			5	SILEX	EC1			PM		54,3	12-12-2011/11:16:56.0
2011	5919	1532	15		1450606.540658	5116569.201008	82.405879	490			5	SILEX	E1			PM		113,3	12-12-2011/11:17:07.0
2011	5919	1533	13		1450603.862336	5116571.688502	82.439531	490			5	SILEX	NDU		15	PM	PN2098-2099	107,4	12-12-2011/11:28:53.0
2011	5919	1534	17		1450604.006560	5116570.220754	82.346719	490			5	SILEX	EL2			PM		30,6	12-12-2011/11:29:04.0
2011	5919	1535	13		1450606.501706	5116570.080516	82.364617	490			6?	SILEX	Fi		36-37	PM	PN2130-2132	43,8	12-12-2011/11:31:53.0
2011	5919	1536	13		1450605.409560	5116569.671745	82.267499	490			6?	SILEX	NPOL1		36-37	PM	PN2130-2132	87,2	12-12-2011/11:48:31.0
2011	5919	1537	15		1450585.564295	5116567.067259	82.979597	490	Locus 00	L3 26	4	SILEX	E1			PM/PS		40,8	12-12-2011/11:48:44.0
2011	5919	1538	12		1450585.208128	5116567.008284	82.982371	490	Locus 00	L3 26	4	SILEX	Fi			PM/PS-PM		8,3	12-12-2011/11:48:55.0
2011	5919	1539	12		1450585.224092	5116567.039915	82.976484	490	Locus 00	L3 26	4	SILEX	Ec2		148	PM		/	12-12-2011/12:03:11.0
2011	5919	1540	12		1450585.076404	5116567.203491	82.960742	490	Locus 00	L3 26	4	SILEX	NPOL1		148	PM		230,5	12-12-2011/12:03:24.0
2011	5919	1541	14		1450585.183797	5116566.981329	82.980164	490	Locus 00	L3 26	4	SILEX	E0			PM		35,2	12-12-2011/12:04:33.0
2011	5919	1542	11		1450586.320384	5116567.613527	82.950332	490	Locus 00	L3 27	4	SILEX	Fi/Cg			PM/PS		2	12-12-2011/12:05:05.0
2011	5919	1543	16		1450587.520620	5116567.470448	82.997447	490	Locus 00	L3 28	4	SILEX	Cg			PM/PS		1,3	12-12-2011/12:05:44.0
2011	5919	1544	11		1450587.647639	5116567.552791	82.963957	490	Locus 00	L3 28	4	SILEX	Fi/Cg			PM/PS-PS		6,8	12-12-2011/12:06:28.0
2011	5919	1545	7		1450587.892719	5116567.794625	82.944321	490	Locus 00	L3 28	4	Grès	Bfgt			PM/PS		232	12-12-2011/12:07:12.0
2011	5919	1546	6		1450588.178006	5116567.899108	82.971813	490	Locus 00	L3 29	4	Grès	Bfgt			PM/PS		500	12-12-2011/12:07:55.0
2011	5919	1547	15		1450588.526435	5116568.727485	82.987452	490	Locus 00	L3 19	4	SILEX	EC2	G5		PM	PN2242-2246	85,3	12-12-2011/12:08:44.0
2011	5919	1548	11		1450588.246800	5116569.354756	83.007171	490	Locus 00	L3 09	4	SILEX	EC2			PS		3,4	12-12-2011/12:09:05.0
2011	5919	1549	17		1450588.034054	5116568.999737	83.041507	490	Locus 00	L3 19	4	SILEX	EC2		135	PM		5,5	12-12-2011/12:10:13.0
2011	5919	1550	11		1450587.769041	5116569.096274	83.036828	490	Locus 00	L3 08	4	SILEX	EC2			PS		10,6	12-12-2011/12:11:02.0
2011	5919	1551	11		1450588.082028	5116569.972075	83.044797	490	Locus 00	L3 09	4	SILEX	/		134	PS	PN2346-2364	/	12-12-2011/12:14:17.0
2011	5919	1552	11		1450588.922973	5116570.008306	83.060327	490	Locus 00	K3 99	4	SILEX	Lpd/Lpde		127	PS	PN2316-2330	21,4	12-12-2011/12:15:09.0
2011	5919	1553	15		1450606.829898	5116572.553528	82.081292	490			6	SILEX	E5			PM		14,7	12-12-2011/12:15:40.0
2011	5919	1554	17		1450607.885700	5116570.948816	82.173211	490			6	SILEX	EC3			PM		65,6	12-12-2011/12:16:05.0
2011	5919	1555	13		1450606.009554	5116570.664128	82.178919	490			6	SILEX	EC2		36-37	PM	PN2130-2132	49,8	12-12-2011/12:17:50.0
2011	5919	1556	16		1450606.294630	5116571.493811	82.075568	490			6	Grès ?	E0			PM		162,5	12-12-2011/12:18:35.0
2011	5919	1573	15		1450606.364062	5116571.056711	82.060424	490			7	SILEX	D			PM		36,6	12-12-2011/12:19:27.0
2011	5919	1582	15		1450605.562601	5116562.823010	82.717526	490			4	SILEX	EC1			PM		33,8	12-12-2011/13:21:38.0
2011	5919	1583	16		1450606.414612	5116562.868648	82.726782	490			4	SILEX	Cg			PM		6	12-12-2011/13:21:50.0

Inventaire officiel 7 – Montguyon (17), « Bois Clair ». Inventaire du mobilier individualisé

ANNEE	OA	IDENTIFIANT	N°DE CAISSE	N°DE LOT	X = est	Y = nord	Z = alti NGF	PARCELLE	SECTEUR (CP/TR/ST...)	CARRE	UPS	MATERIAU	SUPPORT (cf. annexe 3)	TYPOLOGIE (cf. annexe 3)	REMONTAGES	CHRONO-CULTURE (cf. annexe 3)	CLICHE	MASSE (g.)	DATE DECOUVERTE
2011	5919	1584	13		1450607.732135	5116563.095348	82.751461	490			4	SILEX	E4		31	PM		39,3	12-12-2011/13:31:02.0
2011	5919	1585	13		1450607.677148	5116563.263600	82.759686	490			4	SILEX	ND		31	PM		43,2	12-12-2011/13:45:29.0
2011	5919	1586	15		1450606.893436	5116564.114185	82.714487	490			4	SILEX	E3			PM		20,1	12-12-2011/15:28:47.0
2011	5919	1587	14		1450609.326599	5116566.338816	82.695633	490			4	SILEX	ND	G1		PM		445,7	12-12-2011/15:28:55.0
2011	5919	1588	17		1450606.215153	5116562.167271	82.659302	490			4	SILEX	NDU			PM		42,2	12-12-2011/15:29:06.0
2011	5919	1589	17		1450609.283925	5116562.150428	82.452086	490			4	SILEX	EC1			PM		53,7	12-12-2011/15:29:15.0
2011	5919	1590	17		1450607.425041	5116564.361420	82.499279	490			5	SILEX	E0			PM		70,3	12-12-2011/15:29:26.0
2011	5919	1591	15		1450607.803180	5116563.380938	82.465464	490			5	SILEX	D			PM		75,2	12-12-2011/15:29:38.0
2011	5919	1592	16		1450605.825377	5116564.068120	82.519847	490			5	SILEX	Fi			PM		75,2	12-12-2011/15:47:26.0
2011	5919	1593	17		1450606.688258	5116563.227118	82.474765	490			5	SILEX	Ni			PM		81	12-12-2011/15:54:46.0
2011	5919	1594	13		1450608.481087	5116562.173305	82.407427	490			5	SILEX	NTE			PM		128,7	12-12-2011/16:10:02.0
2011	5919	1595	17		1450607.264163	5116562.753054	82.447443	490			5	SILEX	NO			PM		53	12-12-2011/16:17:07.0
2011	5919	1596	17		1450609.639992	5116563.594357	82.376288	490			5	SILEX	EC3			PM		24	12-12-2011/16:26:11.0
2011	5919	1597	16		1450606.507338	5116563.828969	82.464239	490			5	SILEX	Fi			PM		19,8	12-12-2011/16:26:22.0
2011	5919	1598	17		1450607.480369	5116565.757103	82.156090	490			7	SILEX	E1			PM		25,8	12-12-2011/16:26:32.0
2011	5919	1599	15		1450621.242116	5116563.294183	82.705318	490	TR11		4	SILEX	E5			PM		40,5	12-12-2011/16:34:24.0
2011	5919	1600	15		1450621.183518	5116562.444300	82.650012	490	TR11		4	SILEX	E1			PM		4,9	12-12-2011/16:34:35.0
2011	5919	1601	15		1450621.059620	5116563.868308	82.576093	490	TR11		4	SILEX	Fi			PM		3,8	12-12-2011/16:41:54.0
2011	5919	1602	13		1450621.195955	5116564.717193	82.473799	490	TR11		4	SILEX	NLRB			PM		469,4	13-12-2011/09:28:57.0
2011	5919	1603	15		1450621.009240	5116562.299560	82.467099	490	TR11		4	SILEX	EL1			PM		11	13-12-2011/09:52:31.0
2011	5919	1604	17		1450621.813229	5116563.636934	82.532574	490	TR11		4	SILEX	E0			PM		4,5	13-12-2011/09:57:01.0
2011	5919	1605	15		1450621.949069	5116563.681913	82.542683	490	TR11		4	SILEX	E0			PM		6,1	13-12-2011/10:13:45.0
2011	5919	1606	15		1450621.524983	5116564.970731	82.479443	490	TR11		4	SILEX	EC3		20	PM		10,3	13-12-2011/10:20:04.0
2011	5919	1607	15		1450621.562216	5116565.315615	82.459919	490	TR11		4	SILEX	EC3		20	PM		14,7	13-12-2011/10:57:31.0
2011	5919	1608	15		1450620.989358	5116563.618757	82.449131	490	TR11		4	SILEX	EC1			PM		99,7	13-12-2011/10:57:44.0
2011	5919	1609	13		1450620.975248	5116564.817198	82.349275	490	TR11		5	SILEX	E6		29	PM		106,3	13-12-2011/10:57:52.0
2011	5919	1610	12		1450622.164345	5116563.700735	82.334645	490	TR11		4/5	SILEX	Lpd/Lpde			PS		25,7	13-12-2011/10:58:03.0
2011	5919	1611	15		1450621.759159	5116564.474930	82.309410	490	TR11		4/5	SILEX	EC3		20	PM		13,1	13-12-2011/10:58:15.0
2011	5919	1612	15		1450621.103525	5116567.189747	82.539509	490	TR11		4	SILEX	EC1			PM		47,3	13-12-2011/11:09:48.0
2011	5919	1613	15		1450587.214244	5116568.017416	82.935785	490	Locus 00	L3 18	4	SILEX	E1			PM		39	13-12-2011/11:10:01.0
2011	5919	1614	11		1450587.482123	5116568.142036	82.939194	490	Locus 00	L3 18	4	SILEX	Fi/Cg			PM/PS		6,1	13-12-2011/11:24:01.0
2011	5919	1615	16		1450587.701407	5116567.979296	82.924947	490	Locus 00	L3 28	4	SILEX	D			PM/PS		1,6	13-12-2011/11:24:20.0
2011	5919	1616	16		1450587.892505	5116567.942988	82.916155	490	Locus 00	L3 28	4	SILEX	Fi			PM/PS		1,9	13-12-2011/11:29:36.0
2011	5919	1617	4		1450587.645523	5116567.638836	82.933890	490	Locus 00	L3 28	4	Grès ferrugineux	Bfgt			PM/PS		26,4	13-12-2011/11:57:23.0
2011	5919	1618	16		1450588.895280	5116567.627293	82.928812	490	Locus 00	L3 29	4	SILEX	D			PM/PS		0,2	13-12-2011/11:58:02.0
2011	5919	1619	16		1450588.905623	5116567.520294	82.930381	490	Locus 00	L3 29	4	SILEX	Fi			PM/PS		1,7	13-12-2011/11:58:38.0
2011	5919	1620	16		1450589.013671	5116567.432750	82.960750	490	Locus 00	L3 29	4	SILEX	NT			PM/PS		1	13-12-2011/11:59:50.0
2011	5919	1621	16		1450589.037244	5116567.273735	82.972130	490	Locus 00	L3 29	4	SILEX	Fi			PM/PS		0,1	13-12-2011/12:00:42.0
2011	5919	1622	11		1450588.887684	5116567.100805	82.942756	490	Locus 00	L3 29	4	SILEX	E1			PM/PS		4,5	13-12-2011/12:01:50.0
2011	5919	1623	11		1450588.685419	5116568.754766	82.964549	490	Locus 00	L3 19	4	SILEX	E11			PM/PS		0,1	13-12-2011/12:02:14.0
2011	5919	1625	11		1450588.189396	5116568.304533	82.929563	490	Locus 00	L3 19	4	SILEX	Cg			PM/PS-PS		7,9	13-12-2011/12:03:25.0
2011	5919	1626	11		1450588.584478	5116569.451534	82.998811	490	Locus 00	L3 09	4	SILEX	Eci		129	PS		3,9	13-12-2011/12:04:13.0
2011	5919	1627	3		1450588.654145	5116569.121817	82.950095	490	Locus 00	L3 09	4	Quartzite	Gb			PM/PS		77,8	13-12-2011/12:05:11.0
2011	5919	1628	16		1450588.617642	5116569.997224	83.011065	490	Locus 00	L3 09	4	SILEX	D			PM/PS		0,1	13-12-2011/12:05:44.0
2011	5919	1629	6		1450588.329234	5116568.262432	82.927660	490	Locus 00	L3 19	4	Grès	Bb			PM/PS		7200	13-12-2011/12:07:04.0
2011	5919	1630	16		1450622.307540	5116567.862127	82.628740	490	TR11		4	SILEX	Fi			PM		1,6	13-12-2011/12:07:50.0
2011	5919	1631	15		1450621.230061	5116568.195792	82.608831	490	TR11		4	SILEX	E5			PM	PN2059	36,3	13-12-2011/12:09:04.0
2011	5919	1632	11		1450588.147182	5116570.565689	83.053315	490	Locus 00	K3 99	4	SILEX	Fi			PS		0,1	13-12-2011/12:11:36.0
2011	5919	1633	15		1450615.501440	5116568.951826	82.604420	490			5	SILEX	EC2pdf			PM		5,7	13-12-2011/12:16:50.0
2011	5919	1634	18		1450614.419921	5116568.964898	82.588462	490			4	SILEX	EC1			PM		354,6	13-12-2011/14:27:19.0
2011	5919	1635	15		1450616.507932	5116571.466682	82.495807	490			5	SILEX	E0			PM		11,7	13-12-2011/14:27:32.0
2011	5919	1636	15		1450614.083950	5116570.562362	82.497310	490			5	SILEX	E3			PM		9,3	13-12-2011/16:10:57.0
2011	5919	1637	16		1450616.055557	5116570.649874	82.465795	490			5	SILEX	E0			PM		0,5	14-12-2011/09:22:14.0
2011	5919	1638	16		1450616.922533	5116570.278920	82.456977	490			5	SILEX	E11			PM		2	14-12-2011/09:36:56.0
2011	5919	1639	13		1450614.823471	5116569.068835	82.422456	490			5	SILEX	EC2pdf		15	PM	PN2098-2099	30,3	14-12-2011/09:53:40.0
2011	5919	1640	18		1450616.540122	5116570.807914	82.441315	490			5	SILEX	EC2			PM		18,5	14-12-2011/09:59:53.0
2011	5919	1641	14		1450616.264672	5116571.021554	82.448918	490			5	SILEX	E6			PM		39,6	14-12-2011/10:49:16.0

Inventaire officiel 7 – Montguyon (17), « Bois Clair ». Inventaire du mobilier individualisé

ANNEE	OA	IDENTIFIANT	N°DE CAISSE	N°DE LOT	X = est	Y = nord	Z = alti NGF	PARCELLE	SECTEUR (CP/TR/ST...)	CARRE	UPS	MATERIAU	SUPPORT (cf. annexe 3)	TYPOLOGIE (cf. annexe 3)	REMONTAGES	CHRONO-CULTURE (cf. annexe 3)	CLICHE	MASSE (g.)	DATE DECOUVERTE
2011	5919	1642	17		1450614.608780	5116568.744408	82.418961	490			5	SILEX	E3			PM		47,3	14-12-2011/10:53:24.0
2011	5919	1643	18		1450613.169083	5116568.176551	82.699392	490			4	SILEX	Cg		6	PM		44	14-12-2011/10:53:51.0
2011	5919	1644	16		1450612.645995	5116566.868890	82.659497	490			4	SILEX	EC7			PM		7,3	14-12-2011/11:04:10.0
2011	5919	1645	15		1450616.286325	5116567.848832	82.467271	490			5	SILEX	EC2			PM		73,1	14-12-2011/11:04:23.0
2011	5919	1646	15		1450616.797081	5116571.431968	82.363706	490			5	SILEX	E5			PM		13,6	14-12-2011/11:04:36.0
2011	5919	1647	13		1450614.111925	5116569.450397	82.300357	490			5	SILEX	NFB		13	PM		135,1	14-12-2011/11:04:46.0
2011	5919	1648	13		1450616.379784	5116569.251864	82.303012	490			5	SILEX	EC1pdf		15	PM	PN2098-2099	19,4	14-12-2011/11:04:55.0
2011	5919	1649	11		1450616.127884	5116569.029970	82.283378	490			5	SILEX	D			PM		49,8	14-12-2011/11:09:01.0
2011	5919	1650	17		1450613.941601	5116568.847034	82.344099	490			5	SILEX	NISE			PM		388	14-12-2011/11:24:57.0
2011	5919	1651	18		1450613.738996	5116569.984239	82.451211	490			4/5	SILEX	EC1			PM		62,2	14-12-2011/11:25:12.0
2011	5919	1652	16		1450587.157774	5116569.806496	82.931558	490	Locus 00	L3 08	4	SILEX	E0			PM/PS		1,1	14-12-2011/11:36:51.0
2011	5919	1653	16		1450587.112954	5116569.623471	82.932249	490	Locus 00	L3 08	4	SILEX	E11			PM/PS		0,1	14-12-2011/11:37:02.0
2011	5919	1654	13		1450588.182766	5116569.050281	82.919060	490	Locus 00	L3 09	5	SILEX	E0			PM/PS-PM		10,7	14-12-2011/11:37:15.0
2011	5919	1655	16		1450588.411695	5116567.634730	82.891590	490	Locus 00	L3 29	5	SILEX	D			PM/PS		1,6	14-12-2011/11:37:27.0
2011	5919	1656	17		1450588.922552	5116568.596306	82.937218	490	Locus 00	L3 19	5	SILEX	Er			PM/PS		0,1	14-12-2011/13:51:56.0
2011	5919	1657	11		1450587.082757	5116567.771913	82.894170	490	Locus 00	L3 28	5	SILEX	E11			PM/PS		0,7	14-12-2011/13:52:46.0
2011	5919	1658	18		1450615.627935	5116570.195414	81.998853	490			6	SILEX	D			PM		32	14-12-2011/13:53:53.0
2011	5919	1659	11		1450610.632620	5116566.810634	82.531936	490			4	SILEX	LC2/Lpde			PS		13,6	14-12-2011/13:54:45.0
2011	5919	1660	18		1450611.170443	5116569.266328	82.450479	490			5	SILEX	EC2pdf			PM		45,6	14-12-2011/13:56:08.0
2011	5919	1661	17		1450613.073201	5116569.046382	82.441164	490			5	SILEX	L			PM		56,7	14-12-2011/13:57:13.0
2011	5919	1662	15		1450613.242019	5116568.484424	82.450412	490			5	SILEX	E0			PM		64,2	14-12-2011/14:25:30.0
2011	5919	1663	15		1450611.306572	5116566.281949	82.366215	490			5	SILEX	E0			PM		3,2	14-12-2011/15:00:00.0
2011	5919	1664	14		1450613.722774	5116568.916580	82.403913	490			5	SILEX	EK			PM		33,3	14-12-2011/15:13:27.0
2011	5919	1665	18		1450612.240390	5116570.389739	82.414022	490			5	SILEX	E0			PM		3,6	14-12-2011/15:13:39.0
2011	5919	1666	15		1450610.468396	5116568.175073	82.383158	490			5	SILEX							14-12-2011/15:13:49.0
2011	5919	1667	17		1450613.998729	5116569.480295	82.248294	490			5	SILEX	E1			PM		27,5	14-12-2011/15:29:36.0
2011	5919	1668	18		1450614.739523	5116570.642375	82.266309	490			5	SILEX	D			PM		67,3	14-12-2011/15:32:13.0
2011	5919	1669	2		1450617.366852	5116572.209603	82.234146	490			5	Quartzite	Gui			PM		591,4	14-12-2011/15:37:51.0
2011	5919	1670	15		1450614.865269	5116568.995312	82.218057	490			5	SILEX	D			PM		9,8	14-12-2011/15:38:07.0
2011	5919	1671	15		1450616.099453	5116570.939639	82.212975	490			5/6	SILEX	EC2			PM		16	14-12-2011/11:55:27.0
2011	5919	1672	18		1450617.479923	5116572.296748	82.195080	490			6	SILEX	NPOL1			PM		56	14-12-2011/11:55:46.0
2011	5919	1673	16		1450616.024013	5116571.329459	82.187645	490			6	SILEX	D			PM		15,4	14-12-2011/11:56:00.0
2011	5919	1674	18		1450612.186817	5116569.747521	82.346802	490			5	SILEX	EC2			PM		16,5	14-12-2011/11:56:38.0
2011	5919	1675	17		1450613.026752	5116569.539001	82.322876	490			5	SILEX	E4pdf			PM		19,1	14-12-2011/12:02:39.0
2011	5919	1676	15		1450612.557137	5116570.635503	82.286165	490			5	SILEX	EC2			PM		66,7	14-12-2011/13:49:23.0
2011	5919	1677	17		1450612.052439	5116569.787475	82.263555	490			5	SILEX	EC2			PM		27,6	14-12-2011/13:55:23.0
2011	5919	1678	15		1450611.489500	5116568.310251	82.278100	490			5	SILEX	EC3			PM		7,5	14-12-2011/15:49:17.0
2011	5919	1679	15		1450611.654125	5116568.560226	82.184954	490			6	SILEX	EC2			PM		12,3	14-12-2011/15:51:19.0
2011	5919	1680	15		1450609.823358	5116567.230403	82.186262	490			6	SILEX	EC7			PM		9,3	14-12-2011/15:54:47.0
2011	5919	1681	18		1450611.534740	5116569.223001	82.133052	490			6	SILEX	EC1			PM		119,3	14-12-2011/15:59:20.0
2011	5919	1682	15		1450609.823419	5116567.158701	82.153639	490			6	SILEX	EC3			PM		9,9	14-12-2011/16:13:29.0
2011	5919	1683	14		1450611.676616	5116569.912758	82.065674	490			6	SILEX	E0			PM		54,8	14-12-2011/16:27:21.0
2011	5919	1684	15		1450609.899978	5116566.917029	82.136323	490			6	SILEX	E1			PM		11,1	14-12-2011/16:32:34.0
2011	5919	1685	20		1450609.834207	5116566.018881	82.065460	490			6	SILEX	EC1			PM		15,7	14-12-2011/16:32:47.0
2011	5919	1686	12		1450588.666111	5116570.665216	83.031663	490	Locus 00	K3 99b	4	SILEX	Lcr			PS		7,2	14-12-2011/16:38:55.0
2011	5919	1687	11		1450588.810006	5116570.629203	83.034123	490	Locus 00	K3 99b	4	SILEX	LC3/Lpde		128	PS		22,4	14-12-2011/16:39:09.0
2011	5919	1688	11		1450588.845547	5116570.684297	83.014911	490	Locus 00	K3 99b	4	SILEX	Lncr		130	PS		10,4	14-12-2011/16:42:29.0
2011	5919	1689	16		1450588.699358	5116570.466653	83.045215	490	Locus 00	K3 99b	4	SILEX	D			PS		5,9	14-12-2011/16:49:59.0
2011	5919	1690	11		1450588.676456	5116570.734746	83.017679	490	Locus 00	K3 99b	4	SILEX	E0			PS		4,5	15-12-2011/09:35:46.0
2011	5919	1691	11		1450588.674672	5116570.735112	83.018182	490	Locus 00	K3 99b	4	SILEX	E0			PS		5,9	15-12-2011/09:36:03.0
2011	5919	1692	11		1450588.760834	5116570.872282	83.042443	490	Locus 00	K3 99b	4	SILEX	/		128	PS		/	15-12-2011/09:36:34.0
2011	5919	1693	18		1450588.760183	5116570.821693	83.050706	490	Locus 00	K3 99b	4	SILEX	EC2			PS		3,1	15-12-2011/09:37:24.0
2011	5919	1694	11		1450588.798337	5116570.824167	83.038101	490	Locus 00	K3 99b	4	SILEX	Eol/Eca?			PS		12,5	15-12-2011/09:37:48.0
2011	5919	1695	11		1450588.832176	5116570.810257	83.025144	490	Locus 00	K3 99b	4	SILEX	E0			PS		6,2	15-12-2011/09:38:19.0
2011	5919	1696	11		1450588.881414	5116570.796759	83.028080	490	Locus 00	K3 99b	4	SILEX	E0/Eol/Eca			PS		11,3	15-12-2011/09:45:13.0
2011	5919	1697	11		1450588.943695	5116570.899560	83.037117	490	Locus 00	K3 99b	4	SILEX	EC2			PS		13,6	15-12-2011/09:45:23.0
2011	5919	1698	18		1450588.838736	5116570.891430	83.029931	490	Locus 00	K3 99b	4	SILEX	ENC2/Lpde			PS		2,8	15-12-2011/09:45:42.0
2011	5919	1699	18		1450588.868036	5116570.853730	83.036491	490	Locus 00	K3 99b	4	SILEX	LC2/Lpde			PS		3	15-12-2011/09:46:16.0

Inventaire officiel 7 – Montguyon (17), « Bois Clair ». Inventaire du mobilier individualisé

ANNEE	OA	IDENTIFIANT	N°DE CAISSE	N°DE LOT	X = est	Y = nord	Z = alti NGF	PARCELLE	SECTEUR (CP/TR/ST...)	CARRE	UPS	MATERIAU	SUPPORT (cf. annexe 3)	TYPOLOGIE (cf. annexe 3)	REMONTAGES	CHRONO-CULTURE (cf. annexe 3)	CLICHE	MASSE (g.)	DATE DECOUVERTE
2011	5919	1700	11		1450588.873015	5116570.862481	83.036172	490	Locus 00	K3 99b	4	SILEX	E0			PS		2,2	15-12-2011/09:46:39.0
2011	5919	1701	18		1450588.846140	5116570.855052	83.029694	490	Locus 00	K3 99b	4	SILEX	E0/E11x10			PS		2,1	15-12-2011/09:47:19.0
2011	5919	1702	18		1450588.938385	5116570.790147	83.036591	490	Locus 00	K3 99b	4	SILEX	E11/Lpde			PS		0,1	15-12-2011/09:48:05.0
2011	5919	1703	18		1450588.705199	5116570.636061	83.043071	490	Locus 00	K3 99b	4	SILEX	Fi			PS		0,1	15-12-2011/09:49:49.0
2011	5919	1704	18		1450588.848618	5116570.592117	83.021930	490	Locus 00	K3 99b	4	SILEX	Fi/Cg			PS		0,4	15-12-2011/09:51:45.0
2011	5919	1705	18		1450588.839015	5116570.606163	83.022264	490	Locus 00	K3 99b	4	SILEX	E0/Eci			PS		1	15-12-2011/09:52:50.0
2011	5919	1706	18		1450588.816198	5116570.557949	83.042668	490	Locus 00	K3 99b	4	SILEX	LA/IC2			PS		1,2	15-12-2011/09:54:52.0
2011	5919	1707	18		1450588.743988	5116570.562262	83.033206	490	Locus 00	K3 99b	4	SILEX	Fi			PS		0,1	15-12-2011/09:55:30.0
2011	5919	1708	18		1450588.830342	5116570.693103	83.014695	490	Locus 00	K3 99b	4	SILEX	E11			PS		0,1	15-12-2011/09:56:00.0
2011	5919	1709	16		1450600.557077	5116564.412839	82.367218	490	Locus 03		7	SILEX	E11			PM		0,1	15-12-2011/09:56:25.0
2011	5919	1710	16		1450600.422789	5116564.397010	82.363225	490	Locus 03		7	SILEX	Fi			PM		0,1	15-12-2011/09:57:47.0
2011	5919	1711	16		1450600.329341	5116564.257751	82.346581	490	Locus 03		7	SILEX	E11			PM		0,1	15-12-2011/09:58:19.0
2011	5919	1712	16		1450600.220650	5116564.583614	82.351270	490	Locus 03		7	SILEX	NT			PM		1,7	15-12-2011/09:59:24.0
2011	5919	1713	16		1450599.988227	5116564.283426	82.351990	490	Locus 03		7	SILEX	E11			PM		0,2	15-12-2011/10:54:03.0
2011	5919	1714	16		1450600.037506	5116564.224774	82.356524	490	Locus 03		7	SILEX	E11			PM		0,1	15-12-2011/10:55:23.0
2011	5919	1715		57	1450600.099020	5116564.142294	82.348452	490	Locus 03		7	SILEX	E11			PM		0,1	15-12-2011/10:55:48.0
2011	5919	1716	16		1450600.255555	5116563.978908	82.355898	490	Locus 03		7	SILEX	E11			PM		0,7	15-12-2011/10:56:45.0
2011	5919	1717	15		1450600.214688	5116564.041538	82.360261	490	Locus 03		7	SILEX	E5			PM		2,5	15-12-2011/10:57:20.0
2011	5919	1718	16		1450599.932200	5116564.165184	82.343171	490	Locus 03		7	SILEX	E11			PM		0,1	15-12-2011/10:57:57.0
2011	5919	1719	16		1450599.901006	5116564.015114	82.340046	490	Locus 03		7	SILEX	E11			PM		0,1	15-12-2011/10:58:42.0
2011	5919	1720	13		1450599.788728	5116563.790478	82.344731	490	Locus 03		7	SILEX	E3		65	PM	PN2107-2108	5	15-12-2011/10:59:42.0
2011	5919	1721	18		1450599.793165	5116563.769923	82.339749	490	Locus 03		7	SILEX	E0			PM		10,2	15-12-2011/11:00:12.0
2011	5919	1722	16		1450599.670716	5116563.798854	82.353220	490	Locus 03		7	SILEX	E11			PM		0,1	15-12-2011/11:00:59.0
2011	5919	1723	16		1450600.088364	5116564.031843	82.350052	490	Locus 03		7	SILEX	E11			PM		1,3	15-12-2011/11:02:53.0
2011	5919	1724	12		1450618.526230	5116563.999923	82.684334	490			4	SILEX	EC2/Eci			PM/PS		18,4	15-12-2011/11:03:26.0
2011	5919	1725	15		1450619.872677	5116562.713412	82.636296	490			4	SILEX	E5			PM		7,7	15-12-2011/11:03:47.0
2011	5919	1726	17		1450600.171882	5116564.550524	82.350001	490	Locus 03		7	SILEX	Fi			PM		2	15-12-2011/11:04:12.0
2011	5919	1727	16		1450599.976174	5116564.670267	82.353308	490	Locus 03		7	SILEX	E2			PM		4,9	15-12-2011/11:14:27.0
2011	5919	1728	16		1450599.832666	5116564.693134	82.346252	490	Locus 03		7	SILEX	EC3		66	PM		2,8	15-12-2011/12:10:31.0
2011	5919	1729	16		1450599.768539	5116564.700411	82.350187	490	Locus 03		7	SILEX	E11			PM		0,1	15-12-2011/12:10:39.0
2011	5919	1730	13		1450599.688428	5116564.422151	82.342356	490	Locus 03		7	SILEX	E5		60	PM	PN2307-2315	29,8	15-12-2011/12:21:45.0
2011	5919	1731	13		1450599.721904	5116564.393856	82.342363	490	Locus 03		7	SILEX	/		60	PM	PN2307-2315	/	15-12-2011/12:22:33.0
2011	5919	1732	13		1450599.703142	5116564.347421	82.337280	490	Locus 03		7	SILEX	EC1		62	PM		96,3	15-12-2011/12:23:20.0
2011	5919	1733	13		1450599.695124	5116564.140018	82.321847	490	Locus 03		7	SILEX	E3		60	PM	PN2307-2315	30,1	15-12-2011/12:24:13.0
2011	5919	1734	16		1450599.809572	5116563.927970	82.323429	490	Locus 03		7	SILEX	E11			PM		0,6	15-12-2011/12:24:48.0
2011	5919	1735	16		1450600.216662	5116563.927885	82.361719	490	Locus 03		7	SILEX	E11			PM		0,1	15-12-2011/12:26:11.0
2011	5919	1736	16		1450600.012400	5116563.608537	82.346718	490	Locus 03		7	SILEX	D			PM		1,7	15-12-2011/12:26:54.0
2011	5919	1737	16		1450599.745502	5116564.364068	82.332392	490	Locus 03		7	SILEX	E11			PM		0,1	15-12-2011/12:28:11.0
2011	5919	1738	15		1450619.223179	5116565.302250	82.531084	490			4	SILEX	E5			PM		16,1	15-12-2011/12:28:51.0
2011	5919	1739	16		1450619.188577	5116564.273493	82.599793	490			4	SILEX	Fi			PM		11,1	15-12-2011/12:29:45.0
2011	5919	1740	11		1450588.962371	5116570.790864	83.023585	490	Locus 00	K3 99b	4	SILEX	/		134	PS	PN2346-2364	/	15-12-2011/12:30:18.0
2011	5919	1741	18		1450588.780590	5116570.867206	83.030632	490	Locus 00	K3 99b	4	SILEX	E0/Eci			PS		1,3	15-12-2011/12:31:14.0
2011	5919	1742	18		1450588.824306	5116570.872233	83.026915	490	Locus 00	K3 99b	4	SILEX	Fi/Cg			PS		1,7	15-12-2011/12:34:57.0
2011	5919	1743	18		1450588.823392	5116570.884208	83.026457	490	Locus 00	K3 99b	4	SILEX	E11			PS		0,1	15-12-2011/12:35:06.0
2011	5919	1744	1		1450619.524406	5116565.677107	82.464787	490			4	Quartzite	Gup			PM/PS		376,6	15-12-2011/13:39:38.0
2011	5919	1745	14		1450619.886858	5116565.746373	82.482536	490			4	SILEX	ENC2			PM		21,1	15-12-2011/13:40:24.0
2011	5919	1746	17		1450620.079320	5116565.459703	82.430990	490			4	SILEX	NLP			PM		15,9	15-12-2011/13:40:37.0
2011	5919	1747	15		1450620.203959	5116561.843172	82.395861	490			4	SILEX	E2			PM		5,3	15-12-2011/13:41:04.0
2011	5919	1748	3		1450619.996074	5116565.312175	82.388945	490			4	Quartz	Gup?			PM/PS		625,2	15-12-2011/14:09:14.0
2011	5919	1749	13		1450615.813655	5116565.428424	82.404409	490			5	SILEX	E6		13	PM		13,1	15-12-2011/14:09:26.0
2011	5919	1750	13		1450622.087505	5116571.187839	82.571299	490	TR11		4	SILEX	NLP		57	PM	PN2124	173,8	15-12-2011/14:09:36.0
2011	5919	1751	13		1450622.374736	5116571.387136	82.584710	490	TR11		4	SILEX	NLRU		59	PM	PN2125	242,1	15-12-2011/14:09:47.0
2011	5919	1752	6		1450622.396986	5116571.304403	82.560513	490	TR11		4	Lithique autre	Bfgt			PM		226,4	15-12-2011/14:09:59.0
2011	5919	1753	15		1450622.724106	5116571.490311	82.581718	490	TR11		4	SILEX	EL1			PM		44,7	15-12-2011/14:39:13.0
2011	5919	1754	13		1450622.349781	5116571.458784	82.588936	490	TR11		4	SILEX	EL2		59	PM	PN2125	15,6	15-12-2011/14:42:13.0
2011	5919	1755	16		1450622.365985	5116571.479162	82.585519	490	TR11		4	SILEX	D			PM		2,3	15-12-2011/14:43:07.0
2011	5919	1756	13		1450622.378978	5116571.460282	82.585134	490	TR11		4	SILEX	EL2		59	PM	PN2125	5,8	15-12-2011/14:44:31.0
2011	5919	1757	16		1450622.509400	5116571.687631	82.611800	490	TR11		4	SILEX	E11			PM		0,1	15-12-2011/14:46:44.0

Inventaire officiel 7 – Montguyon (17), « Bois Clair ». Inventaire du mobilier individualisé

ANNEE	OA	IDENTIFIANT	N°DE CAISSE	N°DE LOT	X = est	Y = nord	Z = alti NGF	PARCELLE	SECTEUR (CP/TR/ST…)	CARRE	UPS	MATERIAU	SUPPORT (cf. annexe 3)	TYPOLOGIE (cf. annexe 3)	REMONTAGES	CHRONO-CULTURE (cf. annexe 3)	CLICHE	MASSE (g.)	DATE DECOUVERTE
2011	5919	1758	13		1450622.276434	5116571.340199	82.583202	490	TR11		4	SILEX	E0		59	PM	PN2125	1,1	15-12-2011/14:48:41.0
2011	5919	1759	16		1450622.326189	5116571.344942	82.584560	490	TR11		4	SILEX	E11			PM		1,3	15-12-2011/14:50:49.0
2011	5919	1760	15		1450621.901659	5116572.542750	82.527946	490	TR11		4	SILEX	E3			PM		9,2	15-12-2011/14:52:18.0
2011	5919	1761	18		1450614.108311	5116565.706095	82.414210	490			5	SILEX	EC2			PM		15,8	15-12-2011/14:54:34.0
2011	5919	1762	13		1450599.686499	5116564.637953	82.338728	490	Locus 03		7	SILEX	EC1		61	PM		62,9	15-12-2011/14:55:53.0
2011	5919	1763	13		1450599.710194	5116564.248245	82.295763	490	Locus 03		7	SILEX	E5			PM		55,6	15-12-2011/14:56:21.0
2011	5919	1764	13		1450599.648398	5116564.421219	82.338983	490	Locus 03		7	SILEX	E10		60	PM	PN2307-2315	7,9	15-12-2011/14:56:39.0
2011	5919	1765	13		1450599.678571	5116564.567839	82.321605	490	Locus 03		7	SILEX	/		60	PM	PN2307-2315	/	15-12-2011/14:57:21.0
2011	5919	1766	16		1450599.774722	5116564.669620	82.318257	490	Locus 03		7	SILEX	D			PM		2,7	15-12-2011/15:03:53.0
2011	5919	1767	16		1450600.142032	5116564.819969	82.346768	490	Locus 03		7	SILEX	E11			PM		0,2	15-12-2011/15:04:14.0
2011	5919	1768	16		1450599.835669	5116564.091992	82.302994	490	Locus 03		7	SILEX	E11			PM		0,5	15-12-2011/15:04:30.0
2011	5919	1769	16		1450600.507870	5116564.676439	82.325886	490	Locus 03		7	SILEX	Fi			PM		0,1	15-12-2011/15:04:42.0
2011	5919	1770	16		1450600.107935	5116563.996761	82.341139	490	Locus 03		7	SILEX	E11			PM		0,1	15-12-2011/15:04:52.0
2011	5919	1771	16		1450599.826692	5116563.658308	82.304636	490	Locus 03		7	SILEX	ENC7			PM		7	15-12-2011/15:05:09.0
2011	5919	1772	15		1450613.756549	5116565.895285	82.360197	490			5	SILEX	EC3			PM		37,9	15-12-2011/15:05:21.0
2011	5919	1773	16		1450613.456962	5116565.162411	82.400698	490			5	SILEX	D			PM		4,7	15-12-2011/15:05:34.0
2011	5919	1774	15		1450613.957203	5116565.391591	82.408396	490			5	SILEX	LL3	G4		PM	PN2255-2258	27	15-12-2011/15:06:09.0
2011	5919	1775	15		1450620.431944	5116562.386669	82.378845	490			4	SILEX	E1			PM		9,7	15-12-2011/15:06:27.0
2011	5919	1776	15		1450619.641733	5116563.274861	82.379802	490			4	SILEX	ENC0			PM		44,4	15-12-2011/15:10:45.0
2011	5919	1777	12		1450618.054088	5116562.602220	82.362835	490			4	SILEX	LC2			PS		61,3	15-12-2011/15:11:16.0
2011	5919	1778	15		1450608.440119	5116566.175218	82.101729	490			7	SILEX	EC1			PM		55,6	15-12-2011/15:11:36.0
2011	5919	1779	13		1450612.879316	5116565.713862	82.362400	490			6	SILEX	E1		36-37	PM	PN2130-2132	43,5	15-12-2011/15:12:54.0
2011	5919	1780	17		1450612.676708	5116565.460033	82.346318	490			5	SILEX	Ni			PM		192,1	15-12-2011/15:13:09.0
2011	5919	1781	18		1450614.284294	5116564.728160	82.355560	490			5	SILEX	D			PM		73,4	15-12-2011/15:13:19.0
2011	5919	1782	16		1450587.862052	5116570.829947	83.020586	490	Locus 00	K3 98b	4	SILEX	D			PS		0,1	15-12-2011/15:21:15.0
2011	5919	1783	11		1450588.573625	5116570.395041	82.970909	490	Locus 00	K3 99d	4	SILEX	E11			PS		0,2	15-12-2011/15:23:42.0
2011	5919	1784	15		1450588.735551	5116569.591907	82.887394	490	Locus 00	L3 09b	4	SILEX	E1			PM		7,2	15-12-2011/15:26:16.0
2011	5919	1785	18		1450587.646058	5116569.172289	82.882312	490	Locus 00	L3 08d	4	SILEX	EC2			PM		12,5	15-12-2011/15:28:33.0
2011	5919	1786	15		1450588.063982	5116567.558019	82.851566	490	Locus 00	L3 29a	4	SILEX	E6			PM		8,6	15-12-2011/15:37:31.0
2011	5919	1787	11		1450588.907363	5116571.875261	83.104113	490	Locus 00	K3 89b	4	SILEX	E0			PS		0,1	15-12-2011/15:39:21.0
2011	5919	1788	16		1450590.442061	5116564.558158	83.211919	490			1b/4	SILEX	Li			PS		0,1	15-12-2011/15:40:31.0
2011	5919	1789	16		1450590.649034	5116564.259457	83.167118	490			1b/4	SILEX	D		107	PM/PS		345,5	15-12-2011/15:41:51.0
2011	5919	1790	12		1450590.532468	5116564.207519	83.175042	490			1b/4	SILEX	Lipde?			PS		0,2	15-12-2011/15:43:03.0
2011	5919	1791	16		1450590.542503	5116564.136944	83.216111	490			1b/4	SILEX	D		107	PM/PS		190	19-12-2011/14:11:02.0
2011	5919	1792	12		1450590.713793	5116564.066941	83.225289	490			1b/4	SILEX	Fi/Cg			PS		4,2	19-12-2011/15:36:09.0
2011	5919	1793	16		1450590.697138	5116564.044172	83.188527	490			1b/4	SILEX	D		106	PM/PS		50,4	19-12-2011/15:37:15.0
2011	5919	1794	16		1450590.658678	5116564.070548	83.202660	490			1b/4	SILEX	D		106	PM/PS		25	19-12-2011/15:38:30.0
2011	5919	1795	16		1450590.658467	5116564.043351	83.205787	490			1b/4	SILEX	Cg			PS		0,3	19-12-2011/15:39:14.0
2011	5919	1796	16		1450590.581172	5116563.943589	83.216827	490			1b/4	SILEX	D			PS		16,4	19-12-2011/15:40:03.0
2011	5919	1797	6		1450591.113595	5116564.295795	83.116402	490			1b/4	Grès	Bfgt			PS		600	19-12-2011/15:41:02.0
2011	5919	1798	7		1450591.136071	5116564.387052	83.143321	490			1b/4	Grès	NT			PS		32	19-12-2011/15:42:02.0
2011	5919	1799	16		1450590.693975	5116563.632258	83.218364	490			1b/4	SILEX	E11			PS		1,1	19-12-2011/15:42:55.0
2011	5919	1800	13		1450594.196652	5116566.482233	83.088947	490			1b/4	SILEX	Lpde			PS		3,8	19-12-2011/15:44:09.0
2011	5919	1801	11		1450590.972594	5116564.646864	83.131410	490			1b/4	SILEX	Lcb ?			PS		0,1	19-12-2011/15:45:14.0
2011	5919	1802	7		1450591.049636	5116564.460169	83.086638	490			1b/4	Grès ferrugineux	Bfgt			PS		3400	19-12-2011/15:47:00.0
2011	5919	1803	11		1450587.556734	5116571.586065	83.096011	490	Locus 00	K3 88d	4	SILEX	E11			PS		0,1	19-12-2011/15:47:39.0
2011	5919	1804	18		1450588.733213	5116570.911956	82.992214	490	Locus 00	K3 88b	4	SILEX	Fi			PS		0,1	19-12-2011/16:02:43.0
2011	5919	1805	18		1450588.819980	5116570.842829	83.018483	490	Locus 00	K3 99b	4	SILEX	E/Lpde			PS		1	19-12-2011/16:29:01.0
2011	5919	1806	18		1450588.824721	5116570.847895	83.017916	490	Locus 00	K3 99b	4	SILEX	E/Lpde?			PS		0,7	19-12-2011/16:29:23.0
2011	5919	1807	18		1450588.866894	5116570.832071	83.012659	490	Locus 00	K3 99b	4	SILEX	E11			PS		0,1	19-12-2011/16:36:44.0
2011	5919	1808	11		1450588.861455	5116570.704959	83.014889	490	Locus 00	K3 99b	4	SILEX	E0			PS		2	19-12-2011/16:40:41.0
2011	5919	1809	18		1450588.849627	5116570.782815	82.992494	490	Locus 00	K3 99b	4	SILEX	Fi			PS		0,1	19-12-2011/16:41:08.0
2011	5919	1810	18		1450588.866107	5116570.885464	83.002995	490	Locus 00	K3 99b	4	SILEX	E/Lpd?			PS		0,1	19-12-2011/16:46:33.0
2011	5919	1811	18		1450588.903093	5116570.893606	83.019046	490	Locus 00	K3 99b	4	SILEX	E0/Lpde			PS		0,3	19-12-2011/16:46:49.0
2011	5919	1812	18		1450588.867603	5116570.897477	82.999649	490	Locus 00	K3 99b	4	SILEX	Fi			PS		0,1	19-12-2011/16:47:04.0
2011	5919	1813	18		1450588.945825	5116570.680439	82.993897	490	Locus 00	K3 99b	4	SILEX	E0/E9			PS		1,6	19-12-2011/16:47:14.0
2011	5919	1814	18		1450588.983963	5116570.827521	83.018225	490	Locus 00	K3 99b	4	SILEX	Fi			PS		0,3	19-12-2011/16:47:44.0
2011	5919	1815	18		1450588.959068	5116570.567436	83.003364	490	Locus 00	K3 99b	4	SILEX	Lpd			PS		1,2	19-12-2011/16:48:04.0

Inventaire officiel 7 – Montguyon (17), « Bois Clair ». Inventaire du mobilier individualisé

ANNEE	OA	IDENTIFIANT	N°DE CAISSE	N°DE LOT	X = est	Y = nord	Z = alti NGF	PARCELLE	SECTEUR (CP/TR/ST...)	CARRE	UPS	MATERIAU	SUPPORT (cf. annexe 3)	TYPOLOGIE (cf. annexe 3)	REMONTAGES	CHRONO-CULTURE (cf. annexe 3)	CLICHE	MASSE (g.)	DATE DECOUVERTE
2011	5919	1816	18		1450588.917262	5116570.779713	82.999783	490	Locus 00	K3 99b	4	SILEX	E0/E11			PS		0,1	19-12-2011/16:48:31.0
2011	5919	1817	11		1450588.891487	5116571.039637	83.021989	490	Locus 00	K3 99b	4	SILEX	E0			PS		7,3	19-12-2011/16:48:49.0
2011	5919	1818	7		1450591.118530	5116564.317620	83.036372	490			4	Grès	Bfgt			PM/PS		184	19-12-2011/16:49:12.0
2011	5919	1819	7		1450591.064999	5116564.539046	83.027845	490			4	Grès	Bfgt			PM/PS		400	19-12-2011/16:49:34.0
2011	5919	1820	1		1450592.526944	5116564.547603	82.861931	490			4/5	Quartzite	Gup			PM		439,9	19-12-2011/16:50:05.0
2011	5919	1821	16		1450592.647367	5116568.063733	83.004011	490			4/5	SILEX	E6			PM		8,1	19-12-2011/16:50:28.0
2011	5919	1822	15		1450590.216021	5116566.101768	82.875674	490			4	SILEX	Ef	G7		PM	PN2226-2228	62,9	20-12-2011/09:23:21.0
2011	5919	1823	17		1450592.010631	5116563.836828	82.667896	490			5	SILEX	EL1			PM		24,3	20-12-2011/09:33:16.0
2011	5919	1824	14		1450590.646522	5116565.294293	82.677496	490			5	SILEX	EC2			PM		49,9	20-12-2011/09:56:57.0
2011	5919	1825	15		1450592.006231	5116564.515094	82.661802	490			5	SILEX	E5			PM		3,3	20-12-2011/10:05:01.0
2011	5919	1826	20		1450595.260027	5116566.903875	82.654230	490			5	SILEX	/		45	PM		339,7	20-12-2011/10:49:28.0
2011	5919	1827	15		1450593.155555	5116565.053587	82.625778	490			5	SILEX	Fi			PM		12,7	20-12-2011/11:06:37.0
2011	5919	1828	15		1450591.751479	5116564.635825	82.619681	490			5	SILEX	E5			PM		4,3	20-12-2011/11:06:50.0
2011	5919	1829	20		1450593.954732	5116563.960433	82.596717	490			5	SILEX	NT			PM		65,7	20-12-2011/11:07:00.0
2011	5919	1830	15		1450593.721009	5116563.575134	82.596246	490			5	SILEX	E10			PM		7	20-12-2011/11:12:16.0
2011	5919	1831	15		1450592.829655	5116564.541877	82.483726	490			5	SILEX	E5			PM		24,8	20-12-2011/11:24:27.0
2011	5919	1832	14		1450591.966221	5116566.405766	82.442523	490			7	SILEX	E5	G5		PM		54,4	20-12-2011/11:24:39.0
2011	5919	1833	14		1450593.122053	5116573.167920	83.281424	490			1?	SILEX	E5		94	PM	PN2060/2304-2306	48,2	20-12-2011/11:24:57.0
2011	5919	1834	16		1450587.063945	5116571.725883	83.058704	490	Locus 00	K3 88	4	SILEX	Fi			PM/PS		0,1	20-12-2011/11:37:04.0
2011	5919	1835	16		1450587.161291	5116571.737080	83.042361	490	Locus 00	K3 88	4	SILEX	E11			PM/PS		0,1	20-12-2011/11:48:46.0
2011	5919	1836	11		1450587.495834	5116571.686574	83.051034	490	Locus 00	K3 88	4	SILEX	Fi/Cg			PS		0,1	20-12-2011/11:49:03.0
2011	5919	1837	11		1450587.488425	5116571.687555	83.042808	490	Locus 00	K3 88	4	SILEX	E0/Eci			PS		3,6	20-12-2011/13:35:59.0
2011	5919	1838	15		1450587.514975	5116571.764960	83.053296	490	Locus 00	K3 88	4	SILEX	E0			PM/PS		2,9	20-12-2011/14:48:07.0
2011	5919	1839	11		1450587.712344	5116571.825838	83.024437	490	Locus 00	K3 88	4	SILEX	NT					2,5	20-12-2011/14:49:03.0
2011	5919	1840	11		1450587.960503	5116571.628971	83.018684	490	Locus 00	K3 88	4	SILEX	Epde			PS		1,1	20-12-2011/14:50:50.0
2011	5919	1841	15		1450587.866765	5116571.361718	83.042467	490	Locus 00	K3 88	4	SILEX	E2			PM/PS		1,6	20-12-2011/14:51:29.0
2011	5919	1842	12		1450587.908092	5116571.205760	83.027457	490	Locus 00	K3 88	4	SILEX	Lpde			PS		5,9	20-12-2011/14:52:15.0
2011	5919	1843	11		1450587.732140	5116571.068433	83.032105	490	Locus 00	K3 88	4	SILEX	Fi/Cg			PS		0,1	20-12-2011/14:52:53.0
2011	5919	1844	13		1450587.260318	5116571.116651	83.040675	490	Locus 00	K3 88	4	SILEX	Fi			PM/PS-PM		0,1	20-12-2011/14:54:03.0
2011	5919	1845	11		1450588.072349	5116572.019081	83.042045	490	Locus 00	K3 89	4	SILEX	EC2/Lipde?			PS		0,1	20-12-2011/14:54:48.0
2011	5919	1846	15		1450588.815988	5116571.933137	83.068159	490	Locus 00	K3 89	4	SILEX	EC3			PM/PS		4,2	20-12-2011/14:55:19.0
2011	5919	1847	15		1450588.865281	5116571.929889	83.030772	490	Locus 00	K3 89	4	SILEX	E4		97	PM		11,6	20-12-2011/14:56:15.0
2011	5919	1848	11		1450588.783396	5116571.651521	83.075289	490	Locus 00	K3 89	4	SILEX	E0			PS		1,9	20-12-2011/14:56:41.0
2011	5919	1849	11		1450588.805177	5116571.662347	83.068282	490	Locus 00	K3 89	4	SILEX	E0			PS		9	20-12-2011/14:57:18.0
2011	5919	1850	12		1450588.393290	5116571.449583	83.045523	490	Locus 00	K3 89	4	SILEX	EC2			PS		6,8	20-12-2011/14:57:47.0
2011	5919	1851	11		1450588.434227	5116571.035293	83.030151	490	Locus 00	K3 89	4	SILEX	E11			PS		0,1	20-12-2011/14:58:48.0
2011	5919	1852	11		1450588.807308	5116571.221566	83.044750	490	Locus 00	K3 89	4	SILEX	Fi/Cg			PS		0,1	20-12-2011/14:59:19.0
2011	5919	1853	11		1450588.583203	5116571.492542	83.055409	490	Locus 00	K3 89	4	SILEX	E11			PS		0,1	20-12-2011/14:59:58.0
2011	5919	1854	11		1450588.952613	5116571.179619	83.070894	490	Locus 00	K3 89	4	SILEX	L/Lipd			PS		0,4	20-12-2011/15:00:29.0
2011	5919	1855	11		1450588.986472	5116571.146613	83.063814	490	Locus 00	K3 89	4	SILEX	E0			PS		3,5	20-12-2011/15:00:54.0
2011	5919	1856	11		1450588.966509	5116571.155252	83.061081	490	Locus 00	K3 89	4	SILEX	E11			PS		0,1	20-12-2011/15:01:33.0
2011	5919	1857	11		1450588.978618	5116571.157752	83.066035	490	Locus 00	K3 89	4	SILEX	Lpd			PS		0,7	20-12-2011/15:02:06.0
2011	5919	1858	11		1450588.975533	5116571.165042	83.070272	490	Locus 00	K3 89	4	SILEX	Lpd			PS		0,1	20-12-2011/15:02:51.0
2011	5919	1859	11		1450589.007767	5116571.162549	83.055789	490	Locus 00	K3 89	4	SILEX	E11			PS		0,1	20-12-2011/15:03:31.0
2011	5919	1860	13		1450587.212027	5116572.816354	83.095167	490	Locus 00	K3 78	4	SILEX	EL6			PM		7,9	20-12-2011/15:04:04.0
2011	5919	1861	18		1450587.981120	5116572.810799	83.071387	490	Locus 00	K3 79	4	SILEX	E11			PS		0,1	20-12-2011/15:06:27.0
2011	5919	1862	11		1450588.881779	5116570.863244	83.008680	490	Locus 00	K3 99	4	SILEX	EC2			PM/PS		0,1	20-12-2011/15:07:12.0
2011	5919	1863	16		1450616.230676	5116561.031804	82.401378	490			5	SILEX	E0			PM		3,3	20-12-2011/15:07:50.0
2011	5919	1864	14		1450615.613836	5116561.640832	82.561655	490			4	SILEX	E4	G9		PM		35,7	20-12-2011/15:08:55.0
2011	5919	1865	15		1450615.665493	5116563.174313	82.401363	490			5	SILEX	EC0			PM		26,9	20-12-2011/15:09:57.0
2011	5919	1866	18		1450614.176194	5116564.489102	82.374368	490			5	SILEX	EC2			PM		35,1	20-12-2011/15:44:33.0
2011	5919	1867	18		1450614.481575	5116563.936170	82.370264	490			5	SILEX	EC2			PM		36,8	20-12-2011/15:58:28.0
2011	5919	1868	15		1450615.943902	5116561.959700	82.407127	490			5	SILEX	E3			PM		4,2	20-12-2011/15:58:41.0
2011	5919	1869	14		1450616.472372	5116561.035933	82.366728	490			5	SILEX	E2	G2		PM		23,8	20-12-2011/15:58:52.0
2011	5919	1870	16		1450615.702710	5116559.288137	82.308850	490			5	SILEX	EC1			PM		13,2	20-12-2011/15:59:06.0
2011	5919	1871	15		1450614.359344	5116560.347376	82.289448	490			5	SILEX	E0			PM		12,9	20-12-2011/16:24:12.0
2011	5919	1872	18		1450614.094159	5116563.108168	82.236526	490			5	SILEX	EC2			PM		18,5	20-12-2011/16:24:29.0
2011	5919	1873	13		1450588.383235	5116570.312009	82.946511	490	Locus 00	K3 99c	4	SILEX	NLP			PM		93	20-12-2011/16:24:42.0

Inventaire officiel 7 – Montguyon (17), « Bois Clair ». Inventaire du mobilier individualisé

ANNEE	OA	IDENTIFIANT	N°DE CAISSE	N°DE LOT	X = est	Y = nord	Z = alti NGF	PARCELLE	SECTEUR (CP/TR/ST...)	CARRE	UPS	MATERIAU	SUPPORT (cf. annexe 3)	TYPOLOGIE (cf. annexe 3)	REMONTAGES	CHRONO-CULTURE (cf. annexe 3)	CLICHE	MASSE (g.)	DATE DECOUVERTE
2011	5919	1874	11		1450588.827994	5116571.030338	82.961130	490	Locus 00	K3 99b	4	SILEX	EC2			PS		13,5	21-12-2011/09:40:46.0
2011	5919	1875	15		1450588.924522	5116570.662670	82.960636	490	Locus 00	K3 99b	4	SILEX	E2		96	PM		4,9	21-12-2011/09:41:01.0
2011	5919	1876	18		1450613.790028	5116557.875083	82.022248	490			7	SILEX	Ni			PM		760	21-12-2011/09:41:14.0
2011	5919	1877	16		1450606.944081	5116560.575358	83.268514	490			1?	SILEX	E1			PM/PS		28,1	21-12-2011/09:52:17.0
2011	5919	1878	17		1450614.459361	5116561.231223	81.862934	490			7	SILEX	NFU			PM		216,6	21-12-2011/09:52:37.0
2011	5919	1879	18		1450607.443214	5116558.033042	83.339621	490			1?	SILEX	EC2			PM/PS		11,4	21-12-2011/09:52:57.0
2011	5919	1880	16		1450587.570895	5116571.631180	82.984292	490	Locus 00	K3 88	4	SILEX	E11			PM/PS		0,7	21-12-2011/10:55:15.0
2011	5919	1881	15		1450587.984455	5116571.794666	82.983623	490	Locus 00	K3 88	4	SILEX	EC1pdf			PM/PS		6,7	21-12-2011/11:23:34.0
2011	5919	1882	11		1450587.917693	5116571.120563	82.962449	490	Locus 00	K3 88	4	SILEX	Cg			PS		0,6	21-12-2011/11:29:58.0
2011	5919	1883	16		1450588.149324	5116571.163400	83.020025	490	Locus 00	K3 89	4	SILEX	EC8			PM/PS		0,1	21-12-2011/11:33:22.0
2011	5919	1884	13		1450588.525220	5116571.686315	83.024300	490	Locus 00	K3 89	4	SILEX	Fi			PM/PS-Pm		0,7	21-12-2011/14:23:01.0
2011	5919	1885	16		1450588.586777	5116571.287993	82.992592	490	Locus 00	K3 89	4	SILEX	E11			PM/PS		1,6	21-12-2011/14:24:08.0
2011	5919	1886	15		1450588.733773	5116571.952705	82.974032	490	Locus 00	K3 89	4	SILEX	E2			PM/PS		3,9	21-12-2011/14:24:32.0
2011	5919	1887	11		1450588.683321	5116571.970404	83.003980	490	Locus 00	K3 89	4	SILEX	Epde			PS		1,8	21-12-2011/14:25:24.0
2011	5919	1888	15		1450588.704363	5116571.988100	83.007870	490	Locus 00	K3 89	4	SILEX	EC3			PM/PS		4,7	21-12-2011/14:26:09.0
2011	5919	1889	15		1450588.704066	5116571.972496	83.000622	490	Locus 00	K3 89	4	SILEX	E1		96	PM		2,5	21-12-2011/14:26:40.0
2011	5919	1890	16		1450588.648880	5116571.340765	82.998778	490	Locus 00	K3 89	4	SILEX	E11			PM/PS		1	21-12-2011/14:27:22.0
2011	5919	1891	11		1450588.759094	5116571.275742	83.018823	490	Locus 00	K3 89	4	SILEX	EC2			PS		4,3	21-12-2011/14:27:50.0
2011	5919	1892	11		1450588.742658	5116571.241488	82.982080	490	Locus 00	K3 89	4	SILEX	Fi			PS		0,4	21-12-2011/14:28:59.0
2011	5919	1893	11		1450588.767444	5116571.250838	83.019249	490	Locus 00	K3 89	4	SILEX	Fi/Cg			PS		0,1	21-12-2011/14:29:25.0
2011	5919	1894	12		1450606.852328	5116558.041652	82.824943	490			4	SILEX	E10/Lpde ?			PM/PS		6,9	21-12-2011/14:29:48.0
2011	5919	1895	12		1450606.920176	5116557.884550	82.810318	490			4	SILEX	ENC3		115	PM/PS		58,9	21-12-2011/14:30:19.0
2011	5919	1896	12		1450609.733479	5116559.223695	82.883178	490			4	SILEX	LC2		112	PS	PN2166-2167	33,2	21-12-2011/14:30:56.0
2011	5919	1897	12		1450609.357218	5116557.741907	82.626824	490			4	SILEX	/		112	PS	PN2166-2167	/	21-12-2011/14:31:15.0
2011	5919	1898	12		1450606.136973	5116558.169686	82.857001	490			4	SILEX	Lncr		112	PS	PN2166-2167	28	21-12-2011/14:19:52.0
2011	5919	1899	12		1450605.669582	5116558.770987	82.799727	490			4	SILEX	EC2			PM/PS		24,2	21-12-2011/14:20:09.0
2011	5919	1900	12		1450606.850516	5116558.091143	82.807747	490			4	SILEX	EC2		113	PM/PS-PS		54,3	21-12-2011/14:20:24.0
2011	5919	1901	12		1450609.158288	5116560.023057	82.7143306	490			4	SILEX	Fi			PM/PS		8,5	21-12-2011/14:20:39.0
2011	5919	1903	13		1450609.450139	5116556.133029	82.332559	490			5	SILEX	/		53	PM		32,7	21-12-2011/14:35:14.0
2011	5919	1904	17		1450613.224036	5116556.850351	82.289558	490			5	SILEX	EC3			PM		22,6	21-12-2011/14:45:38.0
2011	5919	1905	13		1450612.636160	5116555.465260	82.264763	490			5	SILEX	ENC0		52	PM		37,8	21-12-2011/14:45:50.0
2011	5919	1906	16		1450586.545532	5116571.342821	83.097866	490	Locus 00	K3 87d	4	SILEX	EC7			PM		2,8	21-12-2011/14:46:19.0
2011	5919	1907	12		1450587.945739	5116570.662842	82.893448	490	Locus 00	K3 98b	4/7	SILEX	E1	G5		PM		18,3	21-12-2011/16:28:51.0
2011	5919	1908	15		1450588.003813	5116570.858146	82.876644	490	Locus 00	K3 98d	4	SILEX	E5			PM		53,4	21-12-2011/16:29:12.0
2011	5919	1909	11		1450588.663129	5116571.193844	82.956694	490	Locus 00	K3 89d	4	SILEX	Lncr			PS		6,7	21-12-2011/16:29:34.0
2011	5919	1910	11		1450588.821653	5116571.243910	82.981581	490	Locus 00	K3 89d	4	SILEX	Lncr			PS		5,5	22-12-2011/08:47:55.0
2011	5919	1911	11		1450588.821653	5116571.185258	82.951730	490	Locus 00	K3 89d	4	SILEX	Epde		130	PS		11,7	22-12-2011/08:49:26.0
2011	5919	1912	11		1450588.891624	5116571.150776	82.969013	490	Locus 00	K3 89d	4	SILEX	E9		127	PS	PN2316-2330	10,6	22-12-2011/08:50:35.0
2011	5919	1913	16		1450588.819635	5116571.195295	82.952840	490	Locus 00	K3 89d	4	SILEX	E0			PM/PS		1,1	22-12-2011/08:52:42.0
2011	5919	1914	13		1450610.607458	5116557.699092	82.307195	490			5	SILEX	/		53	PM		67,9	22-12-2011/08:53:47.0
2011	5919	1915	13		1450612.475351	5116555.944178	82.280548	490			5	SILEX	NDB		52	PM		101	22-12-2011/08:55:06.0
2011	5919	1916	18		1450611.358379	5116555.851561	82.306885	490			5	SILEX	EC2			PM		58,3	22-12-2011/08:56:15.0
2011	5919	1917	17		1450610.893862	5116554.610474	82.225868	490			5	SILEX	Ni			PM		34,6	22-12-2011/08:57:04.0
2011	5919	1918	17		1450612.472052	5116556.190818	82.165772	490			5	SILEX	EC1			PM		92,3	22-12-2011/09:28:14.0
2011	5919	1919	13		1450612.230453	5116555.530365	82.199294	490			5	SILEX	NFU		53	PM		91,2	22-12-2011/09:41:27.0
2011	5919	1920	17		1450612.572966	5116556.443028	82.150595	490			5	SILEX	E0			PM		3,9	22-12-2011/09:47:37.0
2011	5919	1925	17		1450611.257861	5116557.048890	82.197859	490			5/6	SILEX	E1			PM		17,1	22-12-2011/09:54:58.0
2011	5919	1926	12		1450607.096924	5116558.773896	82.719918	490	Locus 07	M5 18	4	SILEX	EC1		114	PM/PS-PM		70,3	22-12-2011/10:02:19.0
2011	5919	1927	12		1450607.138196	5116558.674559	82.736893	490	Locus 07	M5 18	4	SILEX	EC2		114	PM/PS-PM		100,4	22-12-2011/10:02:59.0
2011	5919	1928	12		1450607.141790	5116558.638802	82.728966	490	Locus 07	M5 18	4	SILEX	EC2		113	PM/PS-PM		12,8	22-12-2011/10:21:50.0
2011	5919	1929	12		1450607.226613	5116558.653438	82.722070	490	Locus 07	M5 18	4	SILEX	EC2		114	PM/PS-PM		26,7	22-12-2011/11:20:15.0
2011	5919	1930	12		1450606.826211	5116558.845542	82.710175	490	Locus 07	M5 17	4	SILEX	EC1			PM/PS		33,6	22-12-2011/11:28:55.0
2011	5919	1931	12		1450606.834601	5116558.633380	82.711424	490	Locus 07	M5 17	4	SILEX	Lpd			PS		1,8	22-12-2011/11:29:40.0
2011	5919	1932	12		1450607.196404	5116558.504171	82.716389	490	Locus 07	M5 18	4	SILEX	LC2		111	PS		9,9	22-12-2011/11:30:33.0
2011	5919	1933	12		1450607.194322	5116558.539312	82.707614	490	Locus 07	M5 18	4	SILEX	EC6		114	PM/PS-PM		32,8	22-12-2011/11:35:37.0
2011	5919	1934	12		1450607.129711	5116558.278913	82.675154	490	Locus 07	M5 18	4	SILEX	EC2		115	PM/PS		100,7	22-12-2011/11:43:41.0
2011	5919	1935	12		1450607.253299	5116558.093956	82.741105	490	Locus 07	M5 18	4	SILEX	Lpde			PS		8,5	22-12-2011/11:44:12.0
2011	5919	1936	12		1450607.285415	5116558.224159	82.747538	490	Locus 07	M5 18	4	SILEX	E0			PM/PS		1,7	22-12-2011/11:45:11.0

Inventaire officiel 7 – Montguyon (17), « Bois Clair ». Inventaire du mobilier individualisé

ANNEE	OA	IDENTIFIANT	N°DE CAISSE	N°DE LOT	X = est	Y = nord	Z = alti NGF	PARCELLE	SECTEUR (CP/TR/ST...)	CARRE	UPS	MATERIAU	SUPPORT (cf. annexe 3)	TYPOLOGIE (cf. annexe 3)	REMONTAGES	CHRONO-CULTURE (cf. annexe 3)	CLICHE	MASSE (g.)	DATE DECOUVERTE
2011	5919	1937	12		1450607.064685	5116558.100814	82.685777	490	Locus 07	M5 18	4	SILEX	LC2		111	PS		41,3	22-12-2011/11:45:53.0
2011	5919	1938	12		1450607.361785	5116558.118424	82.706036	490	Locus 07	M5 18	4	SILEX	E10			PM/PS		29,1	22-12-2011/11:47:19.0
2011	5919	1939	12		1450607.166350	5116557.801088	82.728051	490	Locus 07	M5 28	4	SILEX	E10			PS		2,4	22-12-2011/11:48:12.0
2011	5919	1940	12		1450607.211440	5116558.292728	82.681250	490	Locus 07	M5 18	4	SILEX	LC2		112	PS	PN2166-2167	22,9	22-12-2011/11:49:18.0
2011	5919	1941	12		1450607.224561	5116557.987235	82.679584	490	Locus 07	M5 18	4	SILEX	Lcb ?			PS		0,1	22-12-2011/11:54:08.0
2011	5919	1942	12		1450606.927077	5116558.477189	82.757664	490	Locus 07	M5 17	4	SILEX	E10		116	PM/PS		34,1	22-12-2011/12:01:54.0
2011	5919	1943	12		1450607.084308	5116558.462348	82.735994	490	Locus 07	M5 18	4	SILEX	E11			PM/PS		0,7	22-12-2011/12:02:10.0
2011	5919	1944	12		1450605.775281	5116558.699519	82.696585	490	Locus 07	M5 16	4	SILEX	EC7			PM/PS		1,3	22-12-2011/12:02:48.0
2011	5919	1945	12		1450606.013456	5116558.796995	82.727843	490	Locus 07	M5 17	4	SILEX	EC7			PM/PS		0,9	22-12-2011/12:04:53.0
2011	5919	1946	12		1450606.861538	5116559.363781	82.742383	490	Locus 07	M5 07	4	SILEX	/			PS		/	22-12-2011/12:05:05.0
2011	5919	1947	12		1450606.999825	5116559.295587	82.755263	490	Locus 07	M5 08	4	SILEX	Lpde			PS		5,9	22-12-2011/12:05:29.0
2011	5919	1952	12		1450607.290555	5116559.389100	82.762459	490	Locus 07	M5 08	4	SILEX	E0			PM/PS		6,2	22-12-2011/12:07:06.0
2011	5919	1953	17		1450610.107673	5116557.873310	82.292337	490			5	SILEX	EC7			PM		28,5	22-12-2011/12:08:21.0
2011	5919	1954	17		1450611.013185	5116554.824049	82.158227	490			5	SILEX	E0			PM		3,6	22-12-2011/12:10:23.0
2011	5919	1955	13		1450609.932049	5116557.787939	82.281311	490			5	SILEX	NTE		53	PM		51,4	22-12-2011/12:12:33.0
2011	5919	1956	17		1450609.104163	5116556.735310	82.222156	490			5	SILEX	EC0			PM		61,4	22-12-2011/12:12:53.0
2011	5919	1961	17		1450608.477760	5116556.478078	82.237932	490			5	SILEX							22-12-2011/12:13:12.0
2011	5919	1962	10		1450594.392634	5116572.940829	83.155004	490	Locus 06	K4 75	4	SILEX	Bb			PM/PS		7700	22-12-2011/12:13:26.0
2011	5919	1963	10		1450594.934509	5116573.064549	83.228151	490	Locus 06	K4 65	4	SILEX	Lpd			PS		12,9	22-12-2011/12:13:55.0
2011	5919	1964	10		1450594.163322	5116573.131581	83.192759	490	Locus 06	K4 65	4	SILEX	Lpd			PS		0,9	22-12-2011/13:55:17.0
2011	5919	1965	14		1450594.211141	5116573.047020	83.157398	490	Locus 06	K4 65	4	SILEX	E1pdf		88	PM		12,9	22-12-2011/14:22:18.0
2011	5919	1966	16		1450594.252467	5116572.769320	83.138908	490	Locus 06	K4 75	4	SILEX	E1pdf			PM		2,6	22-12-2011/14:46:20.0
2011	5919	1967	17		1450618.524979	5116560.583906	82.380920	490	Locus 05	L6 99	4	SILEX	E0			PM		1,5	22-12-2011/14:46:34.0
2011	5919	1968	17		1450618.334594	5116560.416759	82.391088	490	Locus 05	L6 99	4	SILEX	E11			PM		0,1	22-12-2011/14:47:14.0
2011	5919	1969	16		1450618.421590	5116560.722221	82.391055	490	Locus 05	L6 99	4	SILEX	E6			PM		6,8	22-12-2011/14:47:51.0
2011	5919	1970	17		1450618.418119	5116560.756500	82.389400	490	Locus 05	L6 99	4	SILEX	E0			PM		1,9	22-12-2011/14:48:20.0
2011	5919	1971	17		1450618.430353	5116560.788922	82.392015	490	Locus 05	L6 99	4	SILEX	E11			PM		0,1	22-12-2011/15:27:16.0
2011	5919	1972	17		1450618.379632	5116560.767632	82.389686	490	Locus 05	L6 99	4	SILEX	E11			PM		0,8	22-12-2011/15:28:24.0
2011	5919	1973	17		1450618.363322	5116560.802032	82.390515	490	Locus 05	L6 99	4	SILEX	E11			PM		1	22-12-2011/15:29:24.0
2011	5919	1974	17		1450618.452144	5116560.854479	82.386111	490	Locus 05	L6 99	4	SILEX	E11			PM		0,1	22-12-2011/15:30:35.0
2011	5919	1975	17		1450618.347894	5116560.814309	82.398347	490	Locus 05	L6 99	4	SILEX	Fi			PM		0,1	22-12-2011/15:31:47.0
2011	5919	1976	17		1450618.292632	5116560.827246	82.393352	490	Locus 05	L6 99	4	SILEX	E11			PM		1,6	22-12-2011/15:33:19.0
2011	5919	1977	17		1450618.342836	5116560.705202	82.390939	490	Locus 05	L6 99	4	SILEX	E11			PM		0,9	22-12-2011/15:34:08.0
2011	5919	1978	17		1450618.277913	5116560.751447	82.393852	490	Locus 05	L6 99	4	SILEX	E1			PM		2,8	22-12-2011/15:34:47.0
2011	5919	1979	17		1450618.156895	5116560.794851	82.408538	490	Locus 05	L6 99	4	SILEX	Fi			PM		0,2	22-12-2011/15:35:28.0
2011	5919	1980	17		1450618.214530	5116560.852852	82.392746	490	Locus 05	L6 99	4	SILEX	E11			PM		0,1	22-12-2011/15:36:23.0
2011	5919	1981	17		1450618.178237	5116560.854079	82.393258	490	Locus 05	L6 99	4	SILEX	E11			PM		0,1	22-12-2011/15:37:19.0
2011	5919	1982	17		1450617.689235	5116560.900547	82.400233	490	Locus 05	L6 98	4	SILEX	EL1			PM		2,9	22-12-2011/15:38:18.0
2011	5919	1983	17		1450618.034414	5116560.559545	82.405189	490	Locus 05	L6 99	4	SILEX	E11			PM		0,2	22-12-2011/15:38:58.0
2011	5919	1984	17		1450619.097818	5116560.492173	82.367782	490	Locus 05	L6 100	4	SILEX	E10			PM		3,9	22-12-2011/15:39:52.0
2011	5919	1985	17		1450618.514177	5116561.469928	82.376229	490	Locus 05	L6 89	4	SILEX	E11			PM		0,1	22-12-2011/15:40:56.0
2011	5919	1986	16		1450601.355852	5116559.553005	82.775134	490			4	SILEX	E3			PM		2,8	22-12-2011/15:42:01.0
2011	5919	1987	2		1450601.099825	5116560.969084	82.938608	490			4	Quartzite	Gup			PM/PS		441	22-12-2011/15:43:04.0
2011	5919	1988	18		1450601.205092	5116560.396848	82.936686	490			4	SILEX	EC1			PM		32,8	22-12-2011/15:44:02.0
2011	5919	1989	11		1450601.758494	5116561.839440	82.802841	490			4	SILEX	Fi/Lpde ?		137	PS	PN2365-2380	4,4	22-12-2011/15:45:09.0
2011	5919	1990	17		1450618.325813	5116560.826732	82.391313	490	Locus 05	L6 99	4	SILEX	E11			PM		0,1	22-12-2011/15:46:11.0
2011	5919	1991	17		1450618.400927	5116560.800112	82.392500	490	Locus 05	L6 99	4	SILEX	E11			PM		0,2	22-12-2011/15:00:28.0
2011	5919	1992	17		1450618.409015	5116560.799076	82.389074	490	Locus 05	L6 99	4	SILEX	E11			PM		0,1	22-12-2011/15:10:31.0
2011	5919	1993	17		1450618.416105	5116560.791297	82.383124	490	Locus 05	L6 99	4	SILEX	E0			PM		1,4	22-12-2011/15:46:24.0
2011	5919	1994	17		1450618.411642	5116560.762230	82.383488	490	Locus 05	L6 99	4	SILEX	E11			PM		0,1	22-12-2011/15:50:05.0
2011	5919	1995	17		1450618.394982	5116560.749500	82.384648	490	Locus 05	L6 99	4	SILEX	E11			PM		0,1	22-12-2011/15:57:00.0
2011	5919	1996	16		1450599.121430	5116558.758488	82.686484	490			4	SILEX	E0		22	PM		6	22-12-2011/15:58:41.0
2011	5919	1997	17		1450618.396338	5116560.759938	82.377728	490	Locus 05	L6 99	4	SILEX	E11			PM		0,1	22-12-2011/16:02:50.0
2011	5919	1998	18		1450600.667963	5116560.659347	82.639857	490			4	SILEX	EC1			PM		20,1	22-12-2011/16:03:09.0
2012	5919	2012	16		1450587.277063	5116570.744147	82.887503	490	Locus 00	K3 98	4/5	SILEX	Fi			PM/PS		0,8	22-12-2011/16:03:25.0
2012	5919	2013	16		1450587.932916	5116570.866921	82.869495	490	Locus 00	K3 98	4/5	SILEX	E11			PM/PS		0,5	22-12-2011/16:03:54.0
2012	5919	2014	16		1450587.229270	5116571.249508	82.909923	490	Locus 00	K3 88	4	SILEX	E11			PM/PS		0,1	22-12-2011/16:05:55.0
2012	5919	2015	15		1450588.252542	5116571.283339	82.924509	490	Locus 00	K3 89	4	SILEX	Fi			PM/PS		1,4	22-12-2011/16:24:38.0

Inventaire officiel 7 – Montguyon (17), « Bois Clair ». Inventaire du mobilier individualisé

ANNEE	OA	IDENTIFIANT	N°DE CAISSE	N°DE LOT	X = est	Y = nord	Z = alti NGF	PARCELLE	SECTEUR (CP/TR/ST...)	CARRE	UPS	MATERIAU	SUPPORT (cf. annexe 3)	TYPOLOGIE (cf. annexe 3)	REMONTAGES	CHRONO-CULTURE (cf. annexe 3)	CLICHE	MASSE (g.)	DATE DECOUVERTE
2012	5919	2016	11		1450588.126387	5116571.033288	82.937747	490	Locus 00	K3 99	4	SILEX	NT			PM/PS		1,3	02-01-2012/15:53:20.0
2012	5919	2017	13		1450588.896602	5116571.854419	82.950498	490	Locus 00	K3 89	4	SILEX	E11			PM/PS-PM		0,1	02-01-2012/15:54:15.0
2012	5919	2019	15		1450588.737848	5116571.973018	82.949628	490	Locus 00	K3 89	4	SILEX	E2			PM/PS		3,8	02-01-2012/15:58:10.0
2012	5919	2020	18		1450600.714218	5116558.590287	82.424718	490			5	SILEX	EC2			PM		47,2	02-01-2012/15:58:40.0
2012	5919	2021	17		1450602.174491	5116561.060679	82.435299	490			5	SILEX	LC1			PM		51,9	02-01-2012/16:51:20.0
2012	5919	2022	16		1450600.466103	5116561.020090	82.370564	490			7	SILEX	EC2pdf			PM		7,4	02-01-2012/16:51:49.0
2012	5919	2023	14		1450601.295093	5116558.219632	82.372671	490			5	SILEX	E10	G6		PM		64,8	02-01-2012/16:52:15.0
2012	5919	2024	17		1450601.454539	5116560.915066	82.386172	490			5	SILEX	EC7			PM		20,7	03-01-2012/09:44:54.0
2012	5919	2025	17		1450600.670075	5116558.848491	82.354674	490			5	SILEX	LC1			PM		9,8	03-01-2012/09:58:41.0
2012	5919	2026	16		1450586.986493	5116570.642917	83.029586	490	Locus 00	K3 97	4	SILEX	E0			PM/PS		8	03-01-2012/10:00:37.0
2012	5919	2027	18		1450599.475989	5116561.356152	82.715819	490			4	SILEX	EC2			PM		217,9	03-01-2012/10:03:24.0
2012	5919	2028	14		1450598.075687	5116560.418189	82.505168	490			4	SILEX	Fi	G8		PM		24,3	03-01-2012/10:06:17.0
2012	5919	2029	16		1450607.391819	5116552.329338	82.869535	490			4	SILEX	Fi			PM		0,5	03-01-2012/10:09:33.0
2012	5919	2030	12		1450605.122355	5116557.178876	82.746605	490			4	SILEX	EC6			PM		65,4	03-01-2012/10:22:30.0
2012	5919	2031	16		1450605.603652	5116555.920264	82.709307	490			4	SILEX	ENC2			PM		5,9	03-01-2012/10:55:09.0
2012	5919	2032	15		1450605.377581	5116554.509849	82.361568	490			5	SILEX	Ni			PM		165,5	03-01-2012/10:55:23.0
2012	5919	2033	15		1450605.255730	5116554.442643	82.337915	490			5	SILEX	ENC2	G7		PM		107,9	03-01-2012/11:40:39.0
2012	5919	2034	11		1450586.678678	5116572.754764	83.181750	490	Locus 00	K3 77	4	SILEX	Lpd/Lpde		134	PS	PN2346-2364	47,4	03-01-2012/14:17:55.0
2012	5919	2035	16		1450586.461904	5116572.060555	83.186832	490	Locus 00	K3 77	4	SILEX	E6			PM		20,9	03-01-2012/14:18:09.0
2012	5919	2036	12		1450587.127693	5116571.871592	82.878260	490	Locus 00	K3 88	4	SILEX	NT					7,5	03-01-2012/14:18:20.0
2012	5919	2037	16		1450586.797060	5116570.973449	82.975425	490	Locus 00	K3 97	4	SILEX	EC1			PM/PS		25,5	03-01-2012/14:18:36.0
2012	5919	2038	17		1450605.826344	5116553.104950	82.366640	490			5	SILEX	EC3			PM		11	03-01-2012/14:26:49.0
2012	5919	2039	15		1450607.487117	5116553.865510	82.326638	490			5	SILEX	E2			PM		12,4	03-01-2012/14:27:32.0
2012	5919	2040	17		1450609.327130	5116552.641998	82.307574	490			5	SILEX	E1			PM		9,1	03-01-2012/14:28:21.0
2012	5919	2041	14		1450605.452710	5116554.678727	82.264707	490			5	SILEX	L			PM		104,4	03-01-2012/14:28:49.0
2012	5919	2042	16		1450607.778720	5116553.176421	82.328960	490			5	SILEX	E0			PM		/	03-01-2012/14:31:22.0
2012	5919	2043	16		1450607.839630	5116552.791024	82.322252	490			5	SILEX	Cg			PM		4,6	03-01-2012/14:31:53.0
2012	5919	2044	18		1450607.890927	5116553.884787	82.341039	490			5	SILEX	ENC2pdf			PM		15,4	03-01-2012/14:32:06.0
2012	5919	2045	13		1450588.194258	5116571.286618	82.896022	490	Locus 00	K3 89c	4/5	SILEX	Fi			PM/PS-PM		0,8	03-01-2012/14:50:42.0
2012	5919	2046	11		1450588.229836	5116571.263361	82.902808	490	Locus 00	K3 89c	4/5	SILEX	E0			PM/PS		1,5	03-01-2012/14:50:59.0
2012	5919	2047	16		1450588.307847	5116571.294977	82.915288	490	Locus 00	K3 89c	4/5	SILEX	NT					4,3	03-01-2012/14:51:11.0
2012	5919	2048	16		1450588.762013	5116571.321876	82.931928	490	Locus 00	K3 89d	4/5	SILEX	EC3			PM		29,7	03-01-2012/14:56:26.0
2012	5919	2049	15		1450605.947103	5116553.960428	82.288728	490			5	SILEX	E1			PM		7,1	03-01-2012/15:02:37.0
2012	5919	2050	15		1450605.913618	5116553.815708	82.283567	490			5	SILEX	E4			PM		11,1	03-01-2012/15:03:26.0
2012	5919	2051	18		1450606.009450	5116550.000929	82.166207	490			5	SILEX	NTE			PM	PN2138-2139	24,3	03-01-2012/15:03:55.0
2012	5919	2052	5		1450604.743138	5116554.276024	82.112006	490			5	Grès siliceux	Bfgt			PM		3300	03-01-2012/15:04:28.0
2012	5919	2053	16		1450606.871315	5116555.709449	82.116403	490			5	SILEX	D			PM		9,3	03-01-2012/15:05:14.0
2012	5919	2054	16		1450605.507497	5116554.392849	82.165577	490			5	SILEX	E1			PM		1,6	03-01-2012/15:11:44.0
2012	5919	2055	13		1450587.119799	5116571.668755	82.867840	490	Locus 00	K3 88a	4/5	SILEX	E0			PM		3,2	03-01-2012/15:27:06.0
2012	5919	2056	16		1450586.840443	5116570.600405	82.901977	490	Locus 00	K3 97a	4	SILEX	D			PM		57,2	03-01-2012/15:27:28.0
2012	5919	2057	13		1450602.171393	5116556.237999	82.471484	490			4	SILEX	E5		30	PM	PN2073-2074	27,5	03-01-2012/15:34:14.0
2012	5919	2058	16		1450603.046822	5116556.843634	82.446024	490			5	SILEX	EC1			PM		1,6	03-01-2012/15:34:26.0
2012	5919	2059	18		1450586.881551	5116570.686984	82.847978	490	Locus 00	K3 97b	4/5	SILEX	E0/Lpde?			PM/PS		0,4	03-01-2012/16:09:41.0
2012	5919	2060	3		1450588.604821	5116571.713544	82.846008	490	Locus 00	K3 89b	4/5	Quartz	NT			PM		1,5	03-01-2012/16:13:35.0
2012	5919	2061	17		1450603.567474	5116557.293996	82.399542	490			5	SILEX	E1			PM		19,7	03-01-2012/16:15:54.0
2012	5919	2062	15		1450602.688965	5116557.808722	82.312545	490			5	SILEX	EL2			PM		27,6	03-01-2012/16:25:31.0
2012	5919	2063	16		1450604.911266	5116555.129354	82.282993	490			5	SILEX	EC3			PM		3,2	04-01-2012/09:16:58.0
2012	5919	2064	17		1450605.817804	5116555.905271	82.174836	490			6	SILEX	EC2			PM		45,1	04-01-2012/09:18:57.0
2012	5919	2065	12		1450587.872108	5116572.334824	82.964504	490	Locus 00	K3 78d	4	SILEX	NT					27,4	04-01-2012/09:38:06.0
2012	5919	2066	18		1450587.898632	5116572.313160	82.959408	490	Locus 00	K3 78d	4	SILEX						0,4	04-01-2012/09:48:25.0
2012	5919	2067	11		1450586.021479	5116571.470705	83.089602	490	Locus 00	K3 87c	4	SILEX	EC2			PM/PS		0,4	04-01-2012/10:00:16.0
2012	5919	2068	16		1450599.711054	5116552.207258	82.422202	490			4/5	SILEX	EC1			PM		18,5	04-01-2012/10:43:15.0
2012	5919	2069	17		1450600.195622	5116556.108969	82.407071	490			5	SILEX	E1			PM		15,7	04-01-2012/11:27:15.0
2012	5919	2070	13		1450600.183108	5116556.130278	82.407732	490			5	SILEX	E6		21	PM		9,1	04-01-2012/11:27:38.0
2012	5919	2071	18		1450586.116144	5116570.751978	82.900170	490	Locus 00	K3 97a	4/5	SILEX	EC2			PM/PS		5,4	04-01-2012/11:33:53.0
2012	5919	2072	13		1450586.161740	5116570.636259	82.872977	490	Locus 00	K3 97a	4/5	SILEX	E0			PM/PS-PM		4,5	04-01-2012/11:52:14.0
2012	5919	2073	11		1450586.116737	5116570.073884	82.833486	490	Locus 00	K3 97c	4/5	SILEX	EC2/E11			PM/PS		0,7	04-01-2012/12:08:14.0
2012	5919	2074	15		1450598.133378	5116554.275248	82.308632	490			5	SILEX	EL6			PM		19,7	04-01-2012/12:08:22.0

Inventaire officiel 7 – Montguyon (17), « Bois Clair ». Inventaire du mobilier individualisé

ANNEE	OA	IDENTIFIANT	N°DE CAISSE	N°DE LOT	X = est	Y = nord	Z = alti NGF	PARCELLE	SECTEUR (CP/TR/ST...)	CARRE	UPS	MATERIAU	SUPPORT (cf. annexe 3)	TYPOLOGIE (cf. annexe 3)	REMONTAGES	CHRONO-CULTURE (cf. annexe 3)	CLICHE	MASSE (g.)	DATE DECOUVERTE
2012	5919	2075	15		1450601.379897	5116550.461307	82.647646	490			4	SILEX	E0			PM		5,4	04-01-2012/12:11:01.0
2012	5919	2076	16		1450586.543784	5116571.617792	82.975332	490	Locus 00	K3 87	4	SILEX	EC2		105	PM/PS		15,7	04-01-2012/12:11:13.0
2012	5919	2077	11		1450586.536060	5116571.633170	82.992940	490	Locus 00	K3 87	4	SILEX	Fl/Cg			PS		1,4	04-01-2012/12:11:43.0
2012	5919	2078	16		1450586.151568	5116570.707706	82.867860	490	Locus 00	K3 97a	4/5	SILEX	Fi			PM/PS		1,6	04-01-2012/12:17:37.0
2012	5919	2079	15		1450602.228280	5116548.827657	82.349522	490			5	SILEX	EC7			PM		4,7	04-01-2012/14:42:06.0
2012	5919	2080	14		1450602.804387	5116548.535860	82.312866	490			5	SILEX	E2			PM		34,3	04-01-2012/15:04:34.0
2012	5919	2081	15		1450601.266338	5116549.748625	82.253984	490			5	SILEX	EC1			PM		5,1	04-01-2012/15:04:46.0
2012	5919	2082	17		1450600.008588	5116550.035094	82.243632	490			5	SILEX	EC1			PM		5,4	04-01-2012/15:05:22.0
2012	5919	2083	15		1450599.949520	5116563.877761	82.296519	490	Locus 03		7	SILEX	E5		66	PM		6,8	04-01-2012/15:11:04.0
2012	5919	2084	13		1450599.931966	5116563.914236	82.283396	490	Locus 03		7	SILEX	E0		64	PM		43,8	04-01-2012/15:16:50.0
2012	5919	2085	13		1450599.716390	5116563.864655	82.315551	490	Locus 03		7	SILEX	EC2		61	PM		45,7	04-01-2012/15:36:06.0
2012	5919	2086	13		1450599.710768	5116563.912858	82.311611	490	Locus 03		7	SILEX	E1		61	PM		7,1	04-01-2012/15:41:42.0
2012	5919	2087	16		1450599.716776	5116563.949682	82.305331	490	Locus 03		7	SILEX	E11			PM		0,1	04-01-2012/15:53:14.0
2012	5919	2088	16		1450599.729868	5116563.969430	82.270984	490	Locus 03		7	SILEX	E10			PM		3	04-01-2012/15:53:29.0
2012	5919	2089	16		1450599.702003	5116564.077725	82.301964	490	Locus 03		7	SILEX	E11			PM		0,1	04-01-2012/15:53:50.0
2012	5919	2090	16		1450599.691272	5116564.196831	82.317344	490	Locus 03		7	SILEX	D			PM		0,2	04-01-2012/15:54:09.0
2012	5919	2091	16		1450599.678008	5116564.362913	82.307074	490	Locus 03		7	SILEX	E10			PM		0,3	04-01-2012/15:54:37.0
2012	5919	2092	16		1450600.558560	5116565.007051	82.343932	490	Locus 03		7	SILEX	EC2pdf			PM		15,8	04-01-2012/15:54:49.0
2012	5919	2093	13		1450599.781062	5116564.061040	82.240298	490	Locus 03		7	SILEX	E5			PM		16,1	04-01-2012/15:55:08.0
2012	5919	2094	17		1450603.857119	5116551.087094	82.210455	490			5	SILEX	EC2	G6		PM		38,8	04-01-2012/15:55:26.0
2012	5919	2095	14		1450600.100787	5116549.705069	82.124290	490			5/6	SILEX	ENC1			PM		63,1	04-01-2012/15:56:40.0
2012	5919	2096	15		1450586.891908	5116571.519246	82.976003	490	Locus 00	K3 87b	4	SILEX	D			PM/PS		2,2	04-01-2012/15:57:02.0
2012	5919	2097	14		1450601.653287	5116548.068904	82.056050	490			5/6	SILEX	ENC1			PM		38,1	04-01-2012/15:58:31.0
2012	5919	2098	13		1450599.821732	5116564.025272	82.185087	490	Locus 03		7	SILEX	E0		60	PM	PN2307-2315	80,3	04-01-2012/16:17:03.0
2012	5919	2099	17		1450603.525708	5116551.229117	81.976413	490			6	SILEX	EL0			PM		93	04-01-2012/16:33:38.0
2012	5919	2100	15		1450597.020327	5116550.735314	82.129367	490			5	SILEX	E5			PM		11,7	04-01-2012/16:36:31.0
2012	5919	2101	17		1450596.286165	5116548.663619	82.249914	490			5	SILEX	EL6			PM		13,9	04-01-2012/16:44:25.0
2012	5919	2102	15		1450595.793975	5116549.907480	82.021318	490			6	SILEX	EC1			PM		97,3	04-01-2012/16:52:09.0
2012	5919	2103	16		1450598.011161	5116548.809810	82.030920	490			6	SILEX	EC7			PM		6,1	04-01-2012/16:54:55.0
2012	5919	2104	14		1450597.370094	5116548.767815	81.998502	490			6	SILEX	EC2	G2		PM		19,9	05-01-2012/09:46:32.0
2012	5919	2105	15		1450600.344756	5116546.733136	81.823841	490			6	SILEX	EC2			PM		68	05-01-2012/09:51:39.0
2012	5919	2106	16		1450586.742824	5116571.056938	82.912760	490	Locus 00	K3 87d	4	SILEX	EC3			PM/PS		23	05-01-2012/10:10:20.0
2012	5919	2107	13		1450588.684407	5116572.176214	83.074340	490	Locus 00	K3 79d	4	SILEX	E3		95	PM	PN2117-2120	3	05-01-2012/10:50:54.0
2012	5919	2108	11		1450588.313803	5116572.465112	83.094905	490	Locus 00	K3 79c	4	SILEX	Fi			PS		2,9	05-01-2012/10:57:02.0
2012	5919	2109	16		1450586.394043	5116571.156520	82.985522	490	Locus 00	K3 87c	4	SILEX	L			PM/PS		26,4	05-01-2012/11:14:45.0
2012	5919	2110	13		1450586.053100	5116571.439674	82.968514	490	Locus 00	K3 87c	4	SILEX	Fi			PM/PS-PM		0,6	05-01-2012/11:41:16.0
2012	5919	2111	12		1450588.624456	5116572.155477	82.992811	490	Locus 00	K3 79d	4	SILEX	Fi			PS		9,1	05-01-2012/11:50:15.0
2012	5919	2112	13		1450588.978337	5116572.362467	82.967010	490	Locus 00	K3 79d	4	SILEX	NSE		95	PM	PN2117-2120	67,3	05-01-2012/12:01:36.0
2012	5919	2113	12		1450586.154268	5116571.114410	82.947679	490	Locus 00	K3 87c	4	SILEX	Fl/Cg			PM/PS		5,4	05-01-2012/13:55:17.0
2012	5919	2114	16		1450588.770641	5116572.209978	82.927196	490	Locus 00	K3 79d	4	SILEX	EC8			PM/PS		0,8	05-01-2012/13:55:34.0
2012	5919	2115	11		1450588.487215	5116572.221519	82.913070	490	Locus 00	K3 79d	4	SILEX	EC2			PM/PS		3,2	05-01-2012/13:56:02.0
2012	5919	2116	17		1450632.114643	5116572.006060	82.303771	490			4/5	SILEX	NDB			PM		615,6	05-01-2012/14:29:10.0
2012	5919	2117	17		1450632.010966	5116573.703731	82.235112	490			5	SILEX	EC2			PM		38,9	05-01-2012/14:29:35.0
2012	5919	2118	11		1450586.532090	5116571.843084	82.862073	490	Locus 00	K3 87b	5	SILEX	E0			PS		1,4	05-01-2012/14:50:58.0
2012	5919	2119	13		1450586.339532	5116572.206921	82.834170	490	Locus 00	K3 77c	5	SILEX	EL6			PM		48,8	05-01-2012/14:57:26.0
2012	5919	2120	11		1450586.149480	5116571.071304	82.870362	490	Locus 00	K3 87c	5	SILEX	E0			PM/PS		1,3	05-01-2012/15:40:37.0
2012	5919	2122	11		1450586.403521	5116571.424020	82.828479	490	Locus 00	K3 87c	5	SILEX	EC2			PM/PS		5,6	05-01-2012/16:03:10.0
2012	5919	2123	18		1450588.339343	5116572.626625	83.011890	490	Locus 00	K3 79a	4	SILEX	EC0			PM/PS		21,2	05-01-2012/16:30:39.0
2012	5919	2124	16		1450588.867330	5116572.699242	83.105135	490	Locus 00	K3 79b	4	SILEX	Fi			PM/PS		0,1	05-01-2012/16:31:05.0
2012	5919	2125	18		1450635.444214	5116575.570997	82.475321	490			4	SILEX	ENC1			PM		91,4	05-01-2012/16:31:26.0
2012	5919	2126	15		1450635.265085	5116575.858035	82.514494	490			4	SILEX	E2			PM		5,1	05-01-2012/16:45:49.0
2012	5919	2127	17		1450636.267885	5116575.979881	82.201093	490			5/6	SILEX	E3			PM		11,8	06-01-2012/09:17:47.0
2012	5919	2140	18		1450635.224687	5116574.818456	82.154830	490			5/6	SILEX	EC0			PM		18,3	06-01-2012/09:19:02.0
2012	5919	2164	15		1450640.795882	5116579.068394	82.468443	490			4	SILEX	E5			PM	PN2059	25	06-01-2012/09:22:53.0
2012	5919	2165	15		1450641.045705	5116578.909661	82.466082	490			4	SILEX	EC1			PM		73,4	06-01-2012/09:23:23.0
2012	5919	2166	16		1450640.879398	5116578.972271	82.490770	490			4	SILEX	E11			PM		1,4	06-01-2012/10:00:49.0
2012	5919	2167	15		1450640.168283	5116579.631303	82.435981	490			4	SILEX	EC3			PM		57,2	06-01-2012/10:38:40.0
2012	5919	2182	16		1450641.345084	5116580.041930	82.306363	490			4	SILEX	D			PM		27,8	09-01-2012/11:14:33.0

Inventaire officiel 7 – Montguyon (17), « Bois Clair ». Inventaire du mobilier individualisé

ANNEE	OA	IDENTIFIANT	N°DE CAISSE	N°DE LOT	X = est	Y = nord	Z = alti NGF	PARCELLE	SECTEUR (CP/TR/ST...)	CARRE	UPS	MATERIAU	SUPPORT (cf. annexe 3)	TYPOLOGIE (cf. annexe 3)	REMONTAGES	CHRONO-CULTURE (cf. annexe 3)	CLICHE	MASSE (g.)	DATE DECOUVERTE
2012	5919	2189	16		1450588.987340	5116572.2400098	82.931044	490	Locus 00	K3 79d	4	SILEX	E11			PM/PS		0,5	09-01-2012/11:14:51.0
2012	5919	2190	7		1450644.952787	5116584.573089	82.689751	490	Locus 08		2/4	Grès ferrugineux	Bfgt			NEO?		1300	09-01-2012/11:15:01.0
2012	5919	2191	12		1450644.063921	5116584.538146	82.700988	490	Locus 08		2/4	SILEX	E/Lpde	bd		NEO?	PN2195-2199	19,3	09-01-2012/11:25:03.0
2012	5919	2193	15		1450643.085317	5116583.862196	82.765466	490	Locus 08		2/4	SILEX	Fi			NEO?		0,1	09-01-2012/12:02:39.0
2012	5919	2194	12		1450642.882252	5116583.346706	82.764946	490	Locus 08		2/4	SILEX	Lpd	bdl		NEO?		9,5	09-01-2012/14:08:48.0
2012	5919	2195	12		1450642.803884	5116583.626687	82.776702	490	Locus 08		2/4	SILEX	Lpde	bcl		NEO?		8,2	09-01-2012/14:09:12.0
2012	5919	2196	12		1450643.011095	5116585.341722	82.764858	490	Locus 08		2/4	SILEX	E0			NEO?		0,7	09-01-2012/14:09:25.0
2012	5919	2197	12		1450642.574012	5116585.215474	82.733247	490	Locus 08		2/4	SILEX	Fi/Cg			NEO?		16,1	09-01-2012/14:09:37.0
2012	5919	2198	12		1450642.301237	5116585.100214	82.724906	490	Locus 08		2/4	SILEX	Lcr/Lncr		149	NEO?		3,9	09-01-2012/14:09:48.0
2012	5919	2199	12		1450641.965329	5116584.401779	82.742704	490	Locus 08		2/4	SILEX	Lpde	bdlret2+lt		NEO?	PN2191-2194	31,5	09-01-2012/14:10:01.0
2012	5919	2206	12		1450642.568340	5116583.536107	82.76	490	Locus 08		2/4	SILEX	Lpd	bd+bcl		NEO?		1,8	09-01-2012/14:10:13.0
2012	5919	2207	15		1450642.203515	5116585.827754	82.73	490	Locus 08		2/4	SILEX	Lpd/Lpde			NEO?		12,7	09-01-2012/14:10:22.0
2012	5919	2208	12		1450643.584621	5116586.003265	82.68	490	Locus 08		2/4	SILEX	Lpd	bdlret2		NEO?		21,1	09-01-2012/14:10:32.0
2012	5919	2209	12		1450643.887553	5116586.209794	82.68	490	Locus 08		2/4	SILEX	E0	bpe/pe?		NEO?		0,6	09-01-2012/14:10:43.0
2012	5919	2234	16		1450645.383455	5116583.761312	82.68	490			5	SILEX	D			PM		40,3	09-01-2012/14:55:30.0
2012	5919	2235	16		1450644.310719	5116584.084611	82.68	490			5	SILEX	D			PM		12,2	09-01-2012/14:55:44.0
2012	5919	2266	12		1450635.602038	5116581.260470	82.450662	490			4	SILEX	NT	G4		PM		6	09-01-2012/14:56:01.0
2012	5919	2267	14		1450630.359582	5116584.679330	82.160911	490			4/5	SILEX	R2	G6		PM		118,9	09-01-2012/14:56:12.0
2012	5919	2268	14		1450632.620232	5116584.509882	82.046641	490			4/5	SILEX	EC3	G6		PM		31	09-01-2012/16:18:40.0
2012	5919	2269	18		1450630.197527	5116586.510961	82.070959	490			5	SILEX	NP			PM		92,1	09-01-2012/16:18:54.0
2012	5919	2270	12		1450639.501090	5116585.990772	82.812670	490	Locus 08		2/4	SILEX	Epde	g/re		NEO?		41,8	10-01-2012/10:46:46.0
2012	5919	2271	15		1450639.092789	5116586.286524	82.817547	490	Locus 08		2/4	SILEX	Lpde	éb bcl		NEO?		34,7	10-01-2012/14:00:04.0
2012	5919	2272	12		1450638.898683	5116586.849866	82.800036	490	Locus 08		2/4	SILEX	Epde	g/re		NEO?		26,2	10-01-2012/14:16:51.0
2012	5919	2273	14		1450640.345314	5116587.174316	82.801954	490	Locus 08		2/4	SILEX	E/LC2/E/Lpde			NEO?		44,8	10-01-2012/14:29:33.0
2012	5919	2274	12		1450640.715596	5116586.597398	82.818325	490	Locus 08		2/4	SILEX	E0	bc		NEO?		4	10-01-2012/15:52:51.0
2012	5919	2275	12		1450640.605383	5116586.441274	82.757191	490	Locus 08		2/4	SILEX	E/Lpde	E/Lret2		NEO?		10,5	10-01-2012/15:53:05.0
2012	5919	2276	12		1450642.105360	5116586.441940	82.740516	490	Locus 08		2/4	SILEX	Lpd	g/piret2		NEO?		10,3	10-01-2012/15:53:16.0
2012	5919	2277	12		1450643.538270	5116586.508158	82.654141	490	Locus 08		2/4	SILEX	Lpd/Lpde	bdl		NEO?		6,8	10-01-2012/15:53:30.0
2012	5919	2278	12		1450643.747480	5116586.256158	82.704175	490	Locus 08		2/4	SILEX	E/Lpde	pe?		NEO?	PN2200-2205	14,4	10-01-2012/15:53:45.0
2012	5919	2279	11		1450596.990479	5116564.752660	83.071766	490	Locus 09	L4 58a	4	SILEX	Lpde			PS		71,1	10-01-2012/15:53:58.0
2012	5919	2280	11		1450599.070426	5116564.532488	83.030701	490			4	SILEX	/		137	PS	PN2365-2380	/	10-01-2012/15:54:13.0
2012	5919	2281	11		1450599.187087	5116564.118667	83.003103	490			4	SILEX	E0			PS		11,7	10-01-2012/15:54:27.0
2012	5919	2282	11		1450598.055492	5116565.546914	83.018098	490	Locus 09	L4 49a	4	SILEX	E0			PS		6,5	10-01-2012/15:54:39.0
2012	5919	2283	11		1450598.131530	5116565.411565	83.025886	490	Locus 09	L4 49c	4	SILEX	E11			PS		0,1	11-01-2012/08:56:14.0
2012	5919	2331	16		1450637.850088	5116586.681756	82.349100	490			4	SILEX	E6			PM		5,2	11-01-2012/09:07:07.0
2012	5919	2332	15		1450637.974485	5116586.751605	82.221213	490			4	SILEX	E2			PM		7,9	11-01-2012/09:17:42.0
2012	5919	2333	16		1450641.033859	5116585.533970	81.967774	490			5	SILEX	Befgt			PM		500,7	11-01-2012/09:17:56.0
2012	5919	2334	17		1450640.063582	5116588.680747	82.008760	490			5	SILEX	EL1			PM		14,6	11-01-2012/09:18:06.0
2012	5919	2335	16		1450622.289249	5116571.181198	82.580371	490	Locus 04	K7 83c	4	SILEX	EC3			PM		2,7	11-01-2012/14:17:55.0
2012	5919	2336	15		1450622.278076	5116571.349953	82.573369	490	Locus 04	K7 83c	4	SILEX	E0			PM		2,3	11-01-2012/15:08:53.0
2012	5919	2337	16		1450622.270496	5116571.390300	82.542480	490	Locus 04	K7 83c	4	SILEX	E0			PM		1,6	11-01-2012/15:09:34.0
2012	5919	2338	13		1450622.215699	5116571.412993	82.545521	490	Locus 04	K7 83c	4	SILEX	E3		57	PM	PN2124	2,1	11-01-2012/15:09:50.0
2012	5919	2339	16		1450622.274076	5116571.755453	82.572286	490	Locus 04	K7 83a	4	SILEX	E11			PM		0,2	11-01-2012/15:44:09.0
2012	5919	2340	16		1450622.890887	5116571.800748	82.537638	490	Locus 04	K7 83b	4	SILEX	Er			PM		0,1	11-01-2012/15:44:26.0
2012	5919	2341	16		1450621.773492	5116571.806289	82.559101	490	Locus 04	K7 83b	4	SILEX	E11			PM		0,1	11-01-2012/15:45:30.0
2012	5919	2342	16		1450621.993497	5116569.050772	82.671017	490	Locus 04	L7 03c	4	SILEX	E11			PM		0,1	11-01-2012/15:45:41.0
2012	5919	2343	16		1450622.645206	5116570.704284	82.594817	490	Locus 04	K7 93b	4	SILEX	E11			PM		0,1	11-01-2012/15:46:01.0
2012	5919	2344	16		1450622.080225	5116571.174931	82.573186	490	Locus 04	K7 83c	4	SILEX	D			PM		0,2	11-01-2012/15:46:21.0
2012	5919	2345	12		1450630.497712	5116594.014287	82.702874	490			4	SILEX	L	G6		PS		35,6	11-01-2012/15:46:41.0
2012	5919	2346	18		1450630.663094	5116593.534385	82.423267	490			4	SILEX	Be		9	PM		1009,8	11-01-2012/15:47:02.0
2012	5919	2347	18		1450630.424437	5116593.514244	82.398029	490			4	SILEX	/		9	PM		287,6	11-01-2012/15:47:20.0
2012	5919	2348	16		1450630.383262	5116593.888801	82.178674	490			4	SILEX	D			PM		90,7	11-01-2012/15:47:38.0
2012	5919	2349	14		1450631.616087	5116594.805028	82.107522	490			4/5	SILEX	EL1	G5		PM		95,3	12-01-2012/09:23:05.0
2012	5919	2350	15		1450633.448169	5116591.535214	82.052162	490			5	SILEX	EL1			PM		6,3	12-01-2012/09:36:44.0
2012	5919	2351	16		1450631.708135	5116591.597808	82.069580	490			5	SILEX	EC2			PM		26,8	12-01-2012/09:44:47.0
2012	5919	2352	15		1450614.823965	5116583.392175	82.731267	490			4	SILEX	E3			PM		4,1	12-01-2012/10:50:25.0
2012	5919	2353	16		1450613.490198	5116585.658881	82.758381	490			4	SILEX	Fi			PM		0,1	12-01-2012/10:55:09.0
2012	5919	2354	14		1450616.170713	5116584.929997	82.743615	490			4	SILEX	NISE			PM	PN2160	69,8	12-01-2012/11:12:28.0

Inventaire officiel 7 – Montguyon (17), « Bois Clair ». Inventaire du mobilier individualisé

ANNEE	OA	IDENTIFIANT	N°DE CAISSE	N°DE LOT	X = est	Y = nord	Z = alti NGF	PARCELLE	SECTEUR (CP/TR/ST...)	CARRE	UPS	MATERIAU	SUPPORT (cf. annexe 3)	TYPOLOGIE (cf. annexe 3)	REMONTAGES	CHRONO-CULTURE (cf. annexe 3)	CLICHE	MASSE (g.)	DATE DECOUVERTE
2012	5919	2355	16		1450615.933732	5116584.510521	82.648576	490			4	SILEX	EC7			PM		2,6	12-01-2012/11:12:47.0
2012	5919	2356	2		1450614.907681	5116583.948162	82.628515	490			4	Quartzite	Gfgt			PM/PS		525,1	12-01-2012/14:39:53.0
2012	5919	2357	16		1450614.058763	5116582.933259	82.600608	490			4	SILEX	E11			PM		2,2	12-01-2012/14:44:28.0
2012	5919	2358	18		1450613.868042	5116584.800330	82.566838	490			5	SILEX	EC1			PM		30,7	12-01-2012/14:51:54.0
2012	5919	2375	17		1450613.462125	5116583.548672	82.516233	490			5	SILEX	E10			PM		7	12-01-2012/15:10:45.0
2012	5919	2376	15		1450614.355934	5116583.303821	82.505270	490			5	SILEX	E0			PM		9,6	12-01-2012/15:11:03.0
2012	5919	2377	16		1450616.956685	5116584.618036	82.422890	490			5	SILEX	D			PM		36,1	12-01-2012/15:25:04.0
2012	5919	2378	18		1450613.753398	5116583.885567	82.401125	490			5	SILEX	EC1			PM		75,5	12-01-2012/15:25:26.0
2012	5919	2379	12		1450587.869535	5116573.031897	83.170527	490			4	SILEX	Lpd/Lpde			PS		5,8	12-01-2012/15:49:45.0
2012	5919	2380	14		1450587.968981	5116573.447099	83.169613	490			4	SILEX	E11			PM/PS		2,7	12-01-2012/15:49:56.0
2012	5919	2381	14		1450588.044921	5116573.967416	83.166033	490			4	SILEX	E0	G4		PM		7,5	12-01-2012/15:50:08.0
2012	5919	2382	16		1450588.330948	5116573.566237	83.052592	490			4/5	SILEX	L			PM		27,1	12-01-2012/16:01:24.0
2012	5919	2383	14		1450592.586221	5116573.066537	83.127890	490	Locus 11	K4 63	4	SILEX	ENC1		94	PM	PN2060/2304-2306	259,8	13-01-2012/08:37:42.0
2012	5919	2384	14		1450592.619607	5116573.070804	83.143942	490	Locus 11	K4 63	4	SILEX	Cg		94	PM	PN2060/2304-2306	2,4	13-01-2012/08:38:00.0
2012	5919	2385	14		1450592.563349	5116573.033462	83.134585	490	Locus 11	K4 63	4	SILEX	Cg		94	PM	PN2060/2304-2306	4,2	13-01-2012/08:38:17.0
2012	5919	2386	14		1450592.597896	5116573.033586	83.127332	490	Locus 11	K4 63	4	SILEX	Cg		94	PM	PN2060/2304-2306	9,8	13-01-2012/08:56:02.0
2012	5919	2387	14		1450592.590850	5116572.979253	83.136066	490	Locus 11	K4 63	4	SILEX	Cg		94	PM	PN2060/2304-2306	10,3	13-01-2012/09:10:29.0
2012	5919	2388	16		1450592.657513	5116572.942828	83.131564	490	Locus 11	K4 73	4	SILEX	Fi			PM/PS		0,1	13-01-2012/09:10:48.0
2012	5919	2389	16		1450592.658226	5116572.941607	83.131247	490	Locus 11	K4 73	4	SILEX	EC8			PM/PS		0,5	13-01-2012/09:11:03.0
2012	5919	2390	16		idem dessus ?	non pris ?		490	Locus 11	K4 73	4	SILEX	ENC2pdf			PM/PS		4,1	13-01-2012/09:11:52.0
2012	5919	2391	16		1450586.044649	5116574.619611	82.952068	490			4/5	SILEX	Ef			PM		17,8	13-01-2012/09:12:32.0
2012	5919	2392	16		1450592.649535	5116572.905977	83.139828	490	Locus 11	K4 73	4	SILEX	E0			PM/PS		0,7	13-01-2012/09:13:30.0
2012	5919	2393	14		1450592.675021	5116572.912350	83.142495	490	Locus 11	K4 73	4	SILEX	EC2		98	PM		12,3	13-01-2012/09:17:21.0
2012	5919	2394	16		1450592.650949	5116572.912018	83.136844	490	Locus 11	K4 73	4	SILEX	EC2pdf			PM/PS		4,6	13-01-2012/09:20:02.0
2012	5919	2395	14		1450592.610433	5116572.944266	83.128209	490	Locus 11	K4 73	4	SILEX	ENC1		94	PM	PN2060/2304-2306	37,7	13-01-2012/09:22:02.0
2012	5919	2396	15		1450592.623243	5116572.857001	83.139045	490	Locus 11	K4 73	4	SILEX	E3		103	PM		5,6	13-01-2012/09:22:52.0
2012	5919	2397	16		1450592.652753	5116572.892233	83.145436	490	Locus 11	K4 73	4	SILEX	ENC2pdf			PM/PS		2,6	13-01-2012/09:23:30.0
2012	5919	2398	16		1450592.640684	5116572.892954	83.148078	490	Locus 11	K4 73	4	SILEX	Fi			PM/PS		0,1	13-01-2012/09:24:25.0
2012	5919	2399	16		1450592.619191	5116572.908090	83.136447	490	Locus 11	K4 73	4	SILEX	Fi			PM/PS		0,1	13-01-2012/09:25:03.0
2012	5919	2400	13		1450586.226627	5116574.938469	82.959724	490			4/5	SILEX	E5			PM		82,9	13-01-2012/09:26:11.0
2012	5919	2401	14		1450592.691247	5116572.907871	83.131484	490	Locus 11	K4 73	4	SILEX	EC2		98	PM		49	13-01-2012/09:26:37.0
2012	5919	2403	16		1450592.594703	5116572.844275	83.134124	490	Locus 11	K4 73	4	SILEX	E1			PM/PS		10,1	13-01-2012/09:07:35.0
2012	5919	2404	16		1450592.620139	5116572.969603	83.133615	490	Locus 11	K4 73	4	SILEX	E11			PM/PS		0,1	13-01-2012/09:28:45.0
2012	5919	2405	16		1450592.597086	5116572.963548	83.121177	490	Locus 11	K4 73	4	SILEX	Fi			PM/PS		0,1	13-01-2012/09:29:06.0
2012	5919	2406	16		1450592.584407	5116573.037692	83.124353	490	Locus 11	K4 63	4	SILEX	LI			PM/PS		0,1	13-01-2012/09:30:09.0
2012	5919	2407	18		1450587.333573	5116574.241030	82.895316	490			5	SILEX	EC1			PM		20,3	13-01-2012/09:31:10.0
2012	5919	2408	16		1450592.573347	5116572.885546	83.136349	490	Locus 11	K4 73	4	SILEX	E1			PM/PS		1,1	13-01-2012/09:31:53.0
2012	5919	2409	16		1450592.615388	5116572.876896	83.127238	490	Locus 11	K4 73	4	SILEX	E11			PM/PS		0,1	13-01-2012/09:32:45.0
2012	5919	2410	16		1450592.667914	5116572.878077	83.137525	490	Locus 11	K4 73	4	SILEX	E11			PM/PS		0,1	13-01-2012/09:35:17.0
2012	5919	2411	16		1450592.692646	5116572.911133	83.129574	490	Locus 11	K4 73	4	SILEX	E11			PM/PS		0,1	13-01-2012/09:36:18.0
2012	5919	2412	16		1450592.532048	5116573.021076	83.126093	490	Locus 11	K4 63	4	SILEX	E11			PM/PS		0,2	13-01-2012/09:36:33.0
2012	5919	2413	12		1450607.914807	5116560.268292	82.781231	490	Locus 07	L5 98d	4	SILEX	EC7			PM/PS		1,9	13-01-2012/09:37:12.0
2012	5919	2414	12		1450607.645874	5116559.399248	82.731462	490	Locus 07	M5 08d	4	SILEX	E0			PM/PS		1,1	13-01-2012/09:38:10.0
2012	5919	2415	12		1450605.598650	5116559.033946	82.755601	490	Locus 07	M5 06d	4	SILEX	E10/Lpde			PS		1,8	13-01-2012/09:38:54.0
2012	5919	2416	12		1450607.235026	5116558.497526	82.714827	490	Locus 07	M5 18	4	SILEX	E10/Lpde			PS		1,7	13-01-2012/10:03:43.0
2012	5919	2417	12		1450607.299241	5116558.405717	82.693800	490	Locus 07	M5 18c	4	SILEX	EC7			PM/PS		2,1	13-01-2012/10:03:58.0
2012	5919	2418	12		1450607.438579	5116558.242560	82.707992	490	Locus 07	M5 18d	4	SILEX	E10		112	PM/PS-PS	PN2166-2167	1,8	13-01-2012/10:04:21.0
2012	5919	2419	12		1450607.450648	5116558.250389	82.708778	490	Locus 07	M5 18d	4	SILEX	EC7			PM/PS		1,7	13-01-2012/10:04:33.0
2012	5919	2420	12		1450607.151044	5116558.082628	82.686099	490	Locus 07	M5 18c	4	SILEX	Lpde			PS		1,5	13-01-2012/10:04:43.0
2012	5919	2421	12		1450607.162971	5116558.272561	82.685739	490	Locus 07	M5 18	4	SILEX	EC1			PM/PS		19,3	13-01-2012/10:04:58.0
2012	5919	2422	12		1450607.457242	5116558.185061	82.695120	490	Locus 07	M5 18d	4	SILEX	ENC3		115	PM/PS		9,4	13-01-2012/10:05:08.0
2012	5919	2423	12		1450607.457157	5116558.197059	82.696288	490	Locus 07	M5 18d	4	SILEX	Lpd			PS		0,6	13-01-2012/10:05:27.0
2012	5919	2424	12		1450607.418229	5116558.180696	82.693514	490	Locus 07	M5 18d	4	SILEX	LC1		112	PS	PN2166-2167	28	13-01-2012/10:05:40.0
2012	5919	2425	16		1450607.197880	5116557.728964	82.702981	490	Locus 07	M5 28a	4	SILEX	E3			PM/PS		5,9	13-01-2012/10:06:04.0
2012	5919	2426	12		1450606.870440	5116557.502270	82.709730	490	Locus 07	M5 27b	4	SILEX	E0		116	PM/PS		2,9	13-01-2012/10:06:15.0
2012	5919	2427	12		1450606.914084	5116557.822148	82.685498	490	Locus 07	M5 27b	4	SILEX	EC2			PM/PS		1,5	13-01-2012/10:06:41.0
2012	5919	2428	12		1450607.191628	5116559.211313	82.700427	490	Locus 07		4	SILEX	EC2			PM/PS		34,3	13-01-2012/10:06:58.0
2012	5919	2429	18		1450586.682293	5116574.620180	82.815796	490		M5 08c	5	SILEX	ENC1			PM		97,1	13-01-2012/10:07:10.0

Inventaire officiel 7 – Montguyon (17), « Bois Clair ». Inventaire du mobilier individualisé

ANNEE	OA	IDENTIFIANT	N°DE CAISSE	N°DE LOT	X = est	Y = nord	Z = alti NGF	PARCELLE	SECTEUR (CP/TR/ST...)	CARRE	UPS	MATERIAU	SUPPORT (cf. annexe 3)	TYPOLOGIE (cf. annexe 3)	REMONTAGES	CHRONO-CULTURE (cf. annexe 3)	CLICHE	MASSE (g.)	DATE DECOUVERTE
2012	5919	2430	14		1450591.244662	5116571.730122	83.167699	490	Locus 11	K4 82	4	SILEX	EC1		94	PM	PN2060/2304-2306	35,7	13-01-2012/10:07:20.0
2012	5919	2431	16		1450591.310026	5116572.370325	83.138975	490	Locus 11	K4 72	4	SILEX	EC7			PM/PS		4,2	13-01-2012/10:07:35.0
2012	5919	2432	16		1450591.389917	5116572.203273	83.151885	490	Locus 11	K4 72	4	SILEX	E11			PM/PS		0,8	13-01-2012/09:51:14.0
2012	5919	2433	15		1450585.908274	5116575.089105	82.786324	490			5	SILEX	NK		25	PM	PN2084	196,9	13-01-2012/10:00:03.0
2012	5919	2434	16		1450591.564423	5116572.114390	83.142354	490	Locus 11	K4 72	4	SILEX	E2			PM/PS		29,9	13-01-2012/10:00:16.0
2012	5919	2435	18		1450587.509949	5116574.495354	82.839167	490			5	SILEX	Ni			PM		10,5	13-01-2012/10:00:26.0
2012	5919	2436	16		1450591.696206	5116572.241271	83.154060	490	Locus 11	K4 72	4	SILEX	E11			PM/PS		1,6	13-01-2012/09:59:29.0
2012	5919	2437	16		1450592.795937	5116571.548136	83.135283	490	Locus 11	K4 83	4	SILEX	D			PM/PS		17,8	13-01-2012/10:00:43.0
2012	5919	2438	15		1450592.049819	5116570.803145	83.103829	490	Locus 11	K4 93	4	SILEX	E5			PM		12,8	13-01-2012/10:09:33.0
2012	5919	2439	16		1450594.050452	5116571.311750	83.112272	490	Locus 11	K4 85	4	SILEX	Cg			PM/PS		9,9	13-01-2012/10:42:12.0
2012	5919	2440	11		1450594.494053	5116571.851398	83.140948	490	Locus 11	K4 85	4	SILEX	Fl/Cg			PS		1,7	13-01-2012/10:42:39.0
2012	5919	2441	16		1450594.883800	5116571.834249	83.168871	490	Locus 11	K4 85	4	SILEX	E11			PM/PS		0,1	13-01-2012/10:43:22.0
2012	5919	2442	12		1450594.897617	5116572.204472	83.174490	490	Locus 11	K4 75	4	SILEX	E/Lncr			PS		13,6	13-01-2012/10:43:47.0
2012	5919	2443	14		1450595.332706	5116573.211751	83.167373	490	Locus 11 (E)		4	SILEX	NISE		94	PM	PN2060/2304-2306	519	13-01-2012/10:44:29.0
2012	5919	2444	16		1450595.312814	5116573.718618	83.206905	490	Locus 11 (E)		4	SILEX	E3pdf			PM		9,4	13-01-2012/10:44:59.0
2012	5919	2445	13		1450596.144818	5116573.623495	83.181372	490	Locus 11 (E)		4	SILEX	/		108	PM		/	13-01-2012/10:45:26.0
2012	5919	2446	11		1450595.633894	5116569.687190	83.066814	490	Locus 09	L4 06	4	SILEX	EC2		126	PS	PN2331-2345	179	13-01-2012/10:47:04.0
2012	5919	2447	18		1450595.865497	5116569.336929	83.084990	490	Locus 09	L4 06	4	Céramique	Tesson			H		/	13-01-2012/10:48:01.0
2012	5919	2448	14		1450596.234564	5116569.444349	83.071727	490	Locus 09	L4 07	4	SILEX	EC2		94	PM	PN2060/2304-2306	16,3	13-01-2012/10:48:55.0
2012	5919	2449	12		1450596.338155	5116568.432943	83.168612	490	Locus 09	L4 17	4	SILEX	E9/Eci			PS		6,6	13-01-2012/10:50:06.0
2012	5919	2450	11		1450596.193537	5116567.645611	83.162454	490	Locus 09	L4 27	4	SILEX	Lpd	pdc		PS		4,8	13-01-2012/10:50:46.0
2012	5919	2451	12		1450596.764060	5116568.158266	83.157522	490	Locus 09	L4 17	4	SILEX	Cg			PS		3,8	13-01-2012/10:51:05.0
2012	5919	2452	11		1450596.991843	5116567.556060	83.213855	490	Locus 09	L4 28	4	SILEX	/		143	PS		/	13-01-2012/10:51:47.0
2012	5919	2453	11		1450598.398061	5116569.510792	83.089358	490		L4 09	4	SILEX	Fl/Cg			PS		4,8	13-01-2012/10:52:35.0
2012	5919	2454	11		1450598.041573	5116568.780822	83.139305	490	Locus 09	L4 19	4	SILEX	E11X4			PM/PS		1,5	13-01-2012/10:53:51.0
2012	5919	2455	15		1450687.336874	5116573.356759	82.797201	490			5	SILEX	E1			PM		25,4	13-01-2012/10:54:44.0
2012	5919	2456	11		1450598.911385	5116568.763010	83.126982	490	Locus 09	L4 20a	4	SILEX	Fi			PS		7,4	13-01-2012/10:55:43.0
2012	5919	2457	16		1450599.008540	5116567.315884	83.164865	490	Locus 09	L4 30c	4	SILEX	Fi			PM/PS		1,5	13-01-2012/10:59:00.0
2012	5919	2458	13		1450598.632930	5116566.938262	83.158960	490	Locus 09	L4 39b	4	SILEX	Cg		110	PM	PN2300-2303	/	13-01-2012/10:59:33.0
2012	5919	2459	15		1450598.658753	5116566.877183	83.172434	490	Locus 09	L4 39b	4	SILEX	E5			PM		7,3	13-01-2012/11:08:07.0
2012	5919	2460	16		1450597.905127	5116566.129718	83.064453	490	Locus 09	L4 39c	4	SILEX	Fi			PM/PS		0,1	13-01-2012/11:08:33.0
2012	5919	2461	12		1450598.164083	5116565.838063	82.991379	490	Locus 09	L4 49c	4	SILEX	E0			PS		6,3	13-01-2012/11:09:01.0
2012	5919	2462	12		1450598.209977	5116565.465448	82.953817	490	Locus 09	L4 49c	4	SILEX	E/Lpde			PS		17	13-01-2012/11:09:14.0
2012	5919	2463	12		1450597.790702	5116565.395596	82.974220	490	Locus 09	L4 48d	4	SILEX	E9?			PS		6	13-01-2012/11:09:40.0
2012	5919	2464	16		1450596.220960	5116565.688475	83.027860	490	Locus 09 (S)		4	SILEX	E11			PM/PS		0,1	13-01-2012/11:10:16.0
2012	5919	2465	11		1450596.216837	5116564.530027	83.004795	490	Locus 09 (S)		4	SILEX	E0			PS		0,5	13-01-2012/11:13:31.0
2012	5919	2466	16		1450596.820664	5116563.539716	82.974766	490	Locus 09 (S)		4	SILEX	Fi			PM/PS		0,1	13-01-2012/11:13:47.0
2012	5919	2467	11		1450595.698984	5116562.559924	82.962643	490	Locus 09 (S)		4	SILEX	E11/Lpde			PS		0,1	13-01-2012/11:14:21.0
2012	5919	2468	11		1450598.659970	5116564.223978	82.952364	490	Locus 09	L4 59d	4	SILEX	E9		144	PS		3,8	13-01-2012/11:14:58.0
2012	5919	2469	16		1450598.116131	5116564.891674	82.958459	490	Locus 09	L4 59a	4	SILEX	D			PM/PS		3,2	13-01-2012/11:15:45.0
2012	5919	2470	12		1450598.100487	5116564.869320	82.948186	490	Locus 09	L4 59a	4	SILEX	LC2/Lpde			PS		15,5	13-01-2012/11:16:26.0
2012	5919	2471	16		1450598.504897	5116565.202335	82.957427	490	Locus 09	L4 49d	4	SILEX	E11			PM/PS		2,1	13-01-2012/11:17:08.0
2012	5919	2481	11		1450622.202121	5116571.194081	82.544262	490	Locus 04	K7 83c	4	SILEX	EC1			PM		0,6	13-01-2012/11:17:42.0
2012	5919	2482	16		1450622.801531	5116571.786406	82.528568	490	Locus 04	K7 82	4	SILEX	Fi			PM		1,1	13-01-2012/11:18:16.0
2012	5919	2483	13		1450585.538337	5116575.149706	82.573902	490			5/7	SILEX	E1			PM		104,8	13-01-2012/11:18:36.0
2012	5919	2484	15		1450583.549090	5116577.229747	83.247904	490			4	SILEX	ENC1			PM		37,7	13-01-2012/11:31:13.0
2012	5919	2485	2		1450586.463646	5116578.335486	83.066003	490			4	Quartzite	Gb			PM/PS		344,99	13-01-2012/11:31:28.0
2012	5919	2486	17		1450584.301507	5116578.904317	83.205136	490			4	SILEX	EC3			PM/PS		9,6	16-01-2012/10:13:29.0
2012	5919	2487	18		1450583.275060	5116577.095646	83.162155	490			4	SILEX	EC1			PM		162,2	16-01-2012/11:06:11.0
2012	5919	2488	15		1450585.268656	5116580.725907	83.105684	490			4	SILEX	Fi			PM		9	16-01-2012/11:20:37.0
2012	5919	2489	12		1450586.667358	5116577.538260	83.092033	490			4	SILEX	E0/Epde			PM/PS		5,5	16-01-2012/11:21:28.0
2012	5919	2490	15		1450583.265773	5116577.164302	83.186162	490			4	SILEX	ENC2			PM		9,7	16-01-2012/11:34:30.0
2012	5919	2491	17		1450585.121953	5116579.190573	83.085231	490			4/5	SILEX	EC3			PM		23,1	16-01-2012/11:34:51.0
2012	5919	2492	16		1450586.389603	5116578.721254	83.067383	490			4/5	SILEX	EC1			PM		14,9	16-01-2012/11:35:04.0
2012	5919	2493	16		1450588.730590	5116578.791836	83.072734	490			4/5	SILEX	ENC2			PM		12,9	16-01-2012/11:44:19.0
2012	5919	2494	15		1450584.788369	5116578.451530	83.069918	490			5	SILEX	LNC1			PM		33,4	16-01-2012/11:44:32.0
2012	5919	2495	15		1450584.329902	5116580.245384	83.089526	490			5	SILEX	E6		56	PM		10,5	16-01-2012/11:44:44.0
2012	5919	2496	15		1450584.181092	5116579.194981	83.091746	490			5	SILEX	EC2			PM		17	16-01-2012/11:44:57.0

ANNEE	OA	IDENTIFIANT	N°DE CAISSE	N°DE LOT	X = est	Y = nord	Z = alti NGF	PARCELLE	SECTEUR (CP/TRST...)	CARRE	UPS	MATERIAU	SUPPORT (cf. annexe 3)	TYPOLOGIE (cf. annexe 3)	REMONTAGES	CHRONO-CULTURE (cf. annexe 3)	CLICHE	MASSE (g.)	DATE DECOUVERTE
2012	5919	2497	14		1450588.122788	5116578.860847	83.008747	490			5	SILEX	EC1	G2		PM		29,9	16-01-2012/12:04:44.0
2012	5919	2498	15		1450587.201633	5116580.319615	82.963573	490			5	SILEX	EC3			PM		13	16-01-2012/12:05:05.0
2012	5919	2499	15		1450585.867317	5116577.338338	82.979561	490			5	SILEX	EL5			PM		29,2	16-01-2012/12:05:21.0
2012	5919	2500	15		1450587.072795	5116577.061629	82.909366	490			5	SILEX	E5			PM		25,3	16-01-2012/12:05:32.0
2012	5919	2501	17		1450585.167128	5116578.282654	82.841879	490			5	SILEX	EC2			PM		17,2	16-01-2012/13:32:27.0
2012	5919	2502	17		1450588.486581	5116579.741035	82.806036	490			5	SILEX	EC2			PM		70,1	16-01-2012/13:32:40.0
2012	5919	2503	14		1450622.599304	5116571.283763	82.519210	490	Locus 04	K7 83d	4	SILEX	E0		58	PM	PN2122-2123	10,1	16-01-2012/13:51:39.0
2012	5919	2504	16		1450622.712664	5116571.099967	82.506029	490	Locus 04	K7 83d	4	SILEX	Fi			PM		5	16-01-2012/13:52:11.0
2012	5919	2505	14		1450622.831678	5116571.131009	82.496527	490	Locus 04	K7 83d	4	SILEX	E11		58	PM	PN2122-2123	1,7	16-01-2012/14:44:41.0
2012	5919	2506	11		1450598.438005	5116564.040879	82.958074	490	Locus 09	L4 59	4	SILEX	E11			PS		0,1	16-01-2012/14:44:41.0
2012	5919	2507	11		1450607.406304	5116558.222892	82.658572	490	Locus 07	M5 18c	4	SILEX	NT			PM/PS		0,4	16-01-2012/14:44:56.0
2012	5919	2508	11		1450607.450871	5116558.298320	82.663778	490	Locus 07	M5 18c	4	SILEX	E11			PM/PS		0,1	16-01-2012/14:45:14.0
2012	5919	2509	11		1450607.488206	5116558.263390	82.646246	490	Locus 07	M5 18c	4	SILEX	Fi			PM/PS		0,1	16-01-2012/15:05:22.0
2012	5919	2510	12		1450606.996743	5116558.286991	82.662382	490	Locus 07	M5 18c	4	SILEX	EC2			PM/PS		9,2	16-01-2012/15:15:04.0
2012	5919	2511	11		1450607.231896	5116557.907714	82.655149	490	Locus 07	M5 28a	4	SILEX	Fi/Cg			PM/PS		1,3	16-01-2012/15:15:38.0
2012	5919	2512	12		1450606.084997	5116560.127365	82.853722	490	Locus 07, CP près du		4	SILEX	EC2			PM/PS		6,8	16-01-2012/15:17:20.0
2012	5919	2513	11		1450606.451586	5116560.991620	82.931462	490	Locus 07, CP près du		4	SILEX	E0			PM/PS-PS		5	16-01-2012/15:17:53.0
2012	5919	2514	11		1450597.614304	5116564.333712	82.948077	490	Locus 09	L4 58d	4	SILEX	E0			PS		0,1	16-01-2012/15:18:27.0
2012	5919	2515	11		1450598.017084	5116565.274207	82.934617	490	Locus 09	L4 49c	4	SILEX	Fi			PM/PS		0,3	16-01-2012/15:24:49.0
2012	5919	2516	12		1450598.423461	5116565.841548	82.934355	490	Locus 09	L4 49a	4	SILEX	Lfgt			PS		7,4	16-01-2012/15:25:20.0
2012	5919	2517	11		1450598.713509	5116566.002777	82.961723	490	Locus 09	L4 49b	4	SILEX	Fi			PM/PS		0,2	16-01-2012/15:40:34.0
2012	5919	2527	16		1450612.776437	5116591.815082	82.751539	490			4	SILEX	EC1			PM		16,6	16-01-2012/15:40:50.0
2012	5919	2528	16		1450622.583906	5116571.866188	82.445445	490	Locus 04	K7 83b	4/5	SILEX	Fi			PM		0,1	16-01-2012/15:41:03.0
2012	5919	2529	11		1450597.235158	5116566.248467	83.080836	490	Locus 09	L4 38c	4	SILEX	E0			PS		0,1	16-01-2012/15:41:21.0
2012	5919	2530	18		1450614.023158	5116585.715835	82.325777	490			5	SILEX	D			PM		52,6	17-01-2012/10:23:55.0
2012	5919	2531	1		1450614.160053	5116588.464045	82.669986	490			4	Quartz	Gup			PM/PS		300,8	17-01-2012/10:37:28.0
2012	5919	2573	12		1450613.635279	5116588.281352	82.420517	490			5	SILEX	EC0		54	PM		45,7	17-01-2012/10:41:08.0
2012	5919	2574	13		1450613.624804	5116587.483914	82.417850	490			5	SILEX	NBU			PM		126,7	17-01-2012/11:33:47.0
2012	5919	2575	18		1450613.190849	5116586.875826	82.405916	490			5	SILEX	EC7			PM		47,8	17-01-2012/11:34:03.0
2012	5919	2576	17		1450613.164259	5116587.790315	82.402112	490			5	SILEX	NDU			PM		19,2	17-01-2012/13:48:58.0
2012	5919	2577	16		1450613.399276	5116587.834394	82.414330	490			5	SILEX	EC7			PM		6,5	17-01-2012/13:52:54.0
2012	5919	2578	16		1450613.927669	5116587.284866	82.427732	490			5	SILEX	Er			PM		0,1	17-01-2012/13:55:45.0
2012	5919	2579	16		1450613.848015	5116587.285583	82.424825	490			5	SILEX	EC2			PM		5,9	17-01-2012/13:59:13.0
2012	5919	2580	2		1450614.586712	5116586.487697	82.434362	490			5	Quartzite	Gb			PM		705,3	17-01-2012/13:59:24.0
2012	5919	2581	15		1450614.754207	5116588.645525	82.412594	490			5	SILEX	E1			PM		6,8	17-01-2012/14:08:35.0
2012	5919	2582	15		1450614.867980	5116588.599846	82.281619	490			5	SILEX	EC2			PM		6,6	17-01-2012/14:08:58.0
2012	5919	2583	11		1450597.143743	5116566.840456	83.119920	490	Locus 09	L4 38c	4	SILEX	Fi/Cg			PS		0,6	17-01-2012/14:11:06.0
2012	5919	2585	17		1450612.039662	5116584.080462	82.132154	490			6	SILEX	NB			PM		103,4	17-01-2012/14:39:52.0
2012	5919	2586	12		1450589.539857	5116573.437382	83.095043	490	CP05		4	SILEX	Fi			PS		38,5	17-01-2012/15:00:38.0
2012	5919	2587	14		1450592.381571	5116573.546371	83.161858	490	Locus 11	K4 63	4	SILEX	E1pdf		88	PM		5,1	17-01-2012/15:00:51.0
2012	5919	2588	11		1450592.842561	5116574.460539	83.169823	490	Locus 11	K4 53	4	SILEX	Fi/Cg			PS		3,6	17-01-2012/15:11:13.0
2012	5919	2589	11		1450593.553241	5116573.893722	83.145537	490	Locus 11	K4 64	4	SILEX	E11			PS		0,6	17-01-2012/15:13:29.0
2012	5919	2590	12		1450593.800454	5116573.985659	83.152188	490	Locus 11	K4 64	4	SILEX	Fi/Cg			PS		1,9	18-01-2012/09:21:29.0
2012	5919	2591	12		1450593.783932	5116573.738140	83.135108	490	Locus 11	K4 64	4	SILEX	Cg			PS		3	18-01-2012/09:23:06.0
2012	5919	2592	18		1450594.076985	5116573.474801	83.124214	490	Locus 11	K4 65	4	Céramique	Tesson			H		/	18-01-2012/09:24:02.0
2012	5919	2593	11		1450594.328160	5116573.261413	83.142176	490	Locus 11	K4 65	4	SILEX	E11			PS		0,1	18-01-2012/09:24:58.0
2012	5919	2594	11		1450594.396173	5116572.951368	83.131021	490	Locus 11	K4 75	4	SILEX	Fi/Cg			PS		0,1	18-01-2012/09:25:50.0
2012	5919	2595	11		1450594.048762	5116571.328596	83.109135	490	Locus 11	K4 95	4	SILEX	Fi/Cg			PS		0,1	18-01-2012/09:27:02.0
2012	5919	2596	11		1450595.434593	5116572.970748	83.169497	490			4	SILEX	Lpd			PS		15,2	18-01-2012/09:28:01.0
2012	5919	2597	11		1450597.221747	5116571.423586	83.106025	490			4	SILEX	E11			PS		0,1	18-01-2012/09:28:58.0
2012	5919	2598	14		1450597.598601	5116571.108066	83.090571	490			4	SILEX	EC2		102	PM	PN2094	28,8	18-01-2012/09:29:39.0
2012	5919	2599	11		1450598.132796	5116570.567138	83.059859	490	Locus 09	K4 99a	4	SILEX	E0			PS		5,3	18-01-2012/09:30:43.0
2012	5919	2600	12		1450598.219368	5116570.114097	83.100710	490	Locus 09	K4 99c	4	SILEX	Fi			PS		1,1	18-01-2012/09:31:33.0
2012	5919	2601	13		1450598.469625	5116569.753901	83.078146	490	Locus 09	L4 09b	4	SILEX	Lpde			PS		1,6	18-01-2012/09:32:28.0
2012	5919	2602	11		1450599.069397	5116569.511418	83.127994	490	Locus 09	L4 10a	4	SILEX	E11			PS		0,1	18-01-2012/09:33:18.0
2012	5919	2603	11		1450597.392925	5116568.760929	83.137561	490	Locus 09	L4 18b	4	SILEX	E11			PS		0,1	18-01-2012/09:34:12.0
2012	5919	2604	11		1450595.948778	5116568.680662	83.140601	490	Locus 09	L4 17a	4	SILEX	E11			PS		0,4	18-01-2012/09:35:08.0
2012	5919	2605	12		1450606.512204	5116587.359730	82.891198	490			4	SILEX	Lpd/lpde			PS		3,1	18-01-2012/09:35:52.0

Inventaire officiel 7 – Montguyon (17), « Bois Clair ». Inventaire du mobilier individualisé

ANNEE	OA	IDENTIFIANT	N°DE CAISSE	N°DE LOT	X = est	Y = nord	Z = alti NGF	PARCELLE	SECTEUR (CP/TR/ST...)	CARRE	UPS	MATERIAU	SUPPORT (cf. annexe 3)	TYPOLOGIE (cf. annexe 3)	REMONTAGES	CHRONO-CULTURE (cf. annexe 3)	CLICHE	MASSE (g.)	DATE DECOUVERTE
2012	5919	2606	11		1450598.459272	5116566.969094	83.146752	490	Locus 09	L4 39a	4	SILEX	E/LC2			PS		2,9	18-01-2012/09:36:46.0
2012	5919	2607	12		1450598.244310	5116566.873185	83.130112	490	Locus 09	L4 39a	4	SILEX	EC2/Eci			PS		17,2	18-01-2012/09:37:29.0
2012	5919	2608	17		1450605.548108	5116584.506181	82.789920	490			4	SILEX	E3			PM		13,2	18-01-2012/09:40:11.0
2012	5919	2609	17		1450605.918166	5116583.526723	82.688137	490			4/5	SILEX	E1			PM		42,1	18-01-2012/09:47:49.0
2012	5919	2610	16		1450605.985306	5116583.853335	82.693785	490			4/5	SILEX	D			PM		23,8	18-01-2012/09:48:02.0
2012	5919	2611	14		1450605.789702	5116587.382649	82.841254	490			4	SILEX	EC3			PM		4	18-01-2012/09:49:14.0
2012	5919	2612	16		1450605.693945	5116584.996587	82.659755	490			4	SILEX	EC7			PM		8,2	18-01-2012/10:00:22.0
2012	5919	2613	13		1450607.930895	5116584.371585	82.633771	490			4/5	SILEX	E6	R1	G1	PM		56,6	18-01-2012/10:00:32.0
2012	5919	2614	14		1450606.462651	5116586.188176	82.583433	490			4	SILEX	EC3			PM		62,4	18-01-2012/10:42:38.0
2012	5919	2615	18		1450606.631895	5116587.314924	82.655480	490			4	SILEX	EC3			PM		11,9	18-01-2012/10:53:13.0
2012	5919	2616	2		1450606.478603	5116587.062803	82.561200	490			4	Quartzite	Gb			PM/PS		856,1	18-01-2012/10:53:43.0
2012	5919	2617	15		1450609.041730	5116583.470781	82.322347	490			5	SILEX	ENC1			PM		24,5	18-01-2012/11:14:20.0
2012	5919	2618	15		1450607.071598	5116585.446001	82.516351	490			4/5	SILEX	NDU			PM	PN2076-2077	26,3	18-01-2012/11:14:35.0
2012	5919	2619	17		1450607.637492	5116584.289635	82.406992	490			5	SILEX	EL6			PM		16,9	18-01-2012/11:30:57.0
2012	5919	2620	4		1450606.869750	5116583.508603	82.370792	490			5	Grès ferrugineux	Bb			PM		1200	18-01-2012/11:31:15.0
2012	5919	2621	16		1450606.927783	5116584.212488	82.293841	490			6	SILEX	ENC1			PM		6,2	18-01-2012/11:36:52.0
2012	5919	2622	15		1450610.651480	5116583.418514	82.154496	490			6	SILEX	E6			PM		52,2	18-01-2012/11:47:58.0
2012	5919	2623	15		1450610.619119	5116583.731309	82.108369	490			6	SILEX	NDB			PM		108,8	18-01-2012/11:48:10.0
2012	5919	2624	15		1450609.369215	5116583.479333	82.134793	490			6	SILEX	EL6			PM		3,4	18-01-2012/12:05:09.0
2012	5919	2625	13		1450607.021169	5116583.025398	82.064045	490			6	SILEX	EC3		24	PM	PN2133-2134	17,2	18-01-2012/12:05:29.0
2012	5919	2626	18		1450606.898156	5116584.055100	82.080706	490			6	SILEX	Ni			PM		15,6	18-01-2012/12:16:35.0
2012	5919	2627	17		1450617.972022	5116560.445738	82.385414	490	Locus 05	L6 98	5	SILEX	E3			PM		5,1	18-01-2012/12:23:47.0
2012	5919	2628	18		1450617.825748	5116560.720078	82.384336	490	Locus 05	L6 98	5	SILEX	E5			PM		5	18-01-2012/13:56:04.0
2012	5919	2629	17		1450618.189817	5116561.085625	82.381355	490	Locus 05	L6 89	5	SILEX	E1			PM		4	18-01-2012/14:03:36.0
2012	5919	2630	15		1450618.490835	5116561.259047	82.344888	490	Locus 05	L6 89	5	SILEX	EL1			PM		6,2	18-01-2012/15:00:56.0
2012	5919	2631	17		1450617.154501	5116561.855754	82.372330	490	Locus 05	L6 88a	5	SILEX	EC1			PM		4,4	18-01-2012/15:01:23.0
2012	5919	2632	16		1450617.998992	5116560.764290	82.359708	490	Locus 05	L6 99	5	SILEX	Ef			PM		1,2	18-01-2012/15:02:09.0
2012	5919	2633	17		1450618.161492	5116560.766617	82.396160	490	Locus 05	L6 99	5	SILEX	E0			PM		0,3	18-01-2012/15:02:30.0
2012	5919	2634	17		1450618.205591	5116560.486070	82.387933	490	Locus 05	L6 99	5	SILEX	E11			PM		0,2	18-01-2012/15:03:02.0
2012	5919	2635	17		1450618.166658	5116560.472467	82.391479	490	Locus 05	L6 99	5	SILEX	Fi			PM		0,1	18-01-2012/15:03:38.0
2012	5919	2636	17		1450618.377799	5116560.689534	82.372135	490	Locus 05	L6 99	5	SILEX	E11			PM		0,1	18-01-2012/15:03:59.0
2012	5919	2637	17		1450618.186014	5116560.398070	82.373361	490	Locus 05	L6 99	5	SILEX	E11			PM		0,1	18-01-2012/15:04:39.0
2012	5919	2638	17		1450618.116141	5116560.276447	82.368392	490	Locus 05	L6 99	5	SILEX	E0			PM		1,1	18-01-2012/15:04:57.0
2012	5919	2639	17		1450618.542869	5116560.097122	82.361038	490	Locus 05	L6 99	5	SILEX	E11			PM		0,1	18-01-2012/15:05:22.0
2012	5919	2640	17		1450617.854918	5116560.619540	82.375834	490	Locus 05	L6 98	5	SILEX	E11			PM		0,1	18-01-2012/15:05:46.0
2012	5919	2641	17		1450617.901073	5116560.966037	82.362316	490	Locus 05	L6 98	5	SILEX	E11			PM		0,2	18-01-2012/15:06:06.0
2012	5919	2642	17		1450618.385084	5116561.494547	82.358473	490	Locus 05	L6 89	5	SILEX	E0			PM		1,3	18-01-2012/15:06:37.0
2012	5919	2643	17		1450618.356618	5116561.945307	82.354232	490	Locus 05	L6 89a	5	SILEX	E11			PM		0,1	18-01-2012/15:07:22.0
2012	5919	2644	17		1450618.189226	5116561.864825	82.378691	490	Locus 05	L6 89a	5	SILEX	E11			PM		0,1	18-01-2012/15:07:47.0
2012	5919	2645	17		1450619.688747	5116563.956354	82.409131	490	Locus 05 (N)		5	SILEX	E11			PM		0,8	18-01-2012/15:08:17.0
2012	5919	2646	17		1450619.701054	5116564.154928	82.415021	490	Locus 05 (N)		5	SILEX	E11			PM		0,2	18-01-2012/15:08:41.0
2012	5919	2647	17		1450619.669526	5116564.183523	82.415181	490	Locus 05 (N)		5	SILEX	E11			PM		0,2	18-01-2012/15:09:09.0
2012	5919	2648	17		1450619.840872	5116565.191353	82.425648	490	Locus 05 (N)		5	SILEX	E2			PM		0,8	18-01-2012/15:10:55.0
2012	5919	2649	17		1450618.302803	5116564.852736	82.401844	490	Locus 05 (N)		5	SILEX	D			PM		3,3	18-01-2012/15:11:29.0
2012	5919	2650	13		1450617.853455	5116564.917114	82.408698	490	Locus 05 (N)		5	SILEX	EC3		24	PM	PN2133-2134	12,7	18-01-2012/15:11:47.0
2012	5919	2651	17		1450616.525664	5116563.694486	82.412686	490	Locus 05 (N)		5	SILEX	E2			PM		1,5	18-01-2012/15:12:38.0
2012	5919	2652	17		1450616.613794	5116565.060725	82.320203	490	Locus 05 (N)		5	SILEX	E6			PM		1,7	18-01-2012/15:13:02.0
2012	5919	2653	15		1450603.185781	5116584.327640	83.126816	490			4	SILEX	EC1			PM/PS		36,8	18-01-2012/15:13:26.0
2012	5919	2654	15		1450600.239015	5116583.122921	83.104564	490			4	SILEX	E11			PM/PS		2,2	18-01-2012/15:14:18.0
2012	5919	2674	11		1450601.361090	5116583.109273	83.059468	490			4	SILEX	Lpd			PS		30,6	18-01-2012/15:15:10.0
2012	5919	2683	3		1450603.131487	5116585.134987	82.925668	490			4	Quartz	Gb			PM/PS		318,2	18-01-2012/15:18:12.0
2012	5919	2684	14		1450612.785640	5116593.361581	82.552780	490			4	SILEX	E0		12	PM	PN2085-2086	93,3	18-01-2012/15:18:37.0
2012	5919	2685	14		1450614.623379	5116594.667292	82.666194	490			4	SILEX	EC2	G8		PM		53,8	18-01-2012/16:04:13.0
2012	5919	2686	16		1450614.131950	5116596.661149	82.659347	490			4	SILEX	Fi			PM		6	18-01-2012/16:21:33.0
2012	5919	2687	15		1450614.624007	5116597.975208	82.692053	490			4	SILEX	E5		84	PM	PN2089-2091	5,2	18-01-2012/16:21:59.0
2012	5919	2688	2		1450603.015493	5116585.272935	82.874559	490			4	Quartzite	Gb			PM/PS		433,5	18-01-2012/16:22:14.0
2012	5919	2689	3		1450603.136034	5116585.249466	82.887995	490			4	Quartz	Gb			PM/PS		284,8	18-01-2012/16:22:30.0
2012	5919	2690	17		1450603.091297	5116585.383578	82.689838	490			4/5	SILEX	EL1			PM		24,6	18-01-2012/16:22:43.0

Inventaire officiel 7 – Montguyon (17), « Bois Clair ». Inventaire du mobilier individualisé

ANNEE	OA	IDENTIFIANT	N°DE CAISSE	N°DE LOT	X = est	Y = nord	Z = alti NGF	PARCELLE	SECTEUR (CP/TR/ST...)	CARRE	UPS	MATERIAU	SUPPORT (cf. annexe 3)	TYPOLOGIE (cf. annexe 3)	REMONTAGES	CHRONO-CULTURE (cf. annexe 3)	CLICHE	MASSE (g.)	DATE DECOUVERTE
2012	5919	2691	18		1450603.425364	5116585.260688	82.658400	490			4/5	SILEX	LC1			PM		47,6	18-01-2012/16:46:40.0
2012	5919	2692	15		1450602.932889	5116585.408059	82.659401	490			4/5	SILEX	E4			PM		36,7	18-01-2012/16:46:52.0
2012	5919	2693	15		1450602.971997	5116585.511921	82.669665	490			4/5	SILEX	E10			PM		5,2	19-01-2012/09:34:00.0
2012	5919	2694	16		1450604.862785	5116585.038535	82.653047	490			4/5	SILEX	E3			PM		2,6	19-01-2012/09:39:18.0
2012	5919	2695	20		1450602.993716	5116585.814352	82.632917	490			4/5	SILEX	NT			PM		93,3	19-01-2012/09:45:43.0
2012	5919	2696	17		1450603.007304	5116585.558230	82.643154	490			4/5	SILEX	E1			PM		10,7	19-01-2012/09:45:55.0
2012	5919	2697	16		1450602.961436	5116585.506983	82.662909	490			4/5	SILEX	E11			PM		0,8	19-01-2012/09:56:32.0
2012	5919	2698	17		1450603.642754	5116586.531707	82.611626	490			4/5	SILEX	NSE			PM		24,2	19-01-2012/09:56:45.0
2012	5919	2699	18		1450602.037230	5116583.847248	82.603226	490			5	SILEX	EC1			PM		9,2	19-01-2012/09:56:56.0
2012	5919	2700	18		1450603.118016	5116583.227564	82.580111	490			5	SILEX	EC2			PM		7,6	19-01-2012/09:57:06.0
2012	5919	2701	17		1450617.853279	5116560.627366	82.346484	490	Locus 05	L6 98b	5	SILEX	E0			PM		1,2	19-01-2012/10:39:08.0
2012	5919	2702	16		1450597.375326	5116567.397989	83.128596	490	Locus 09	L4 28	4	SILEX	E11			PM/PS		0,1	19-01-2012/10:39:22.0
2012	5919	2703	12		1450598.600420	5116567.343146	83.146937	490	Locus 09	L4 29c	4	SILEX	Fi			PS		é,1	19-01-2012/10:39:33.0
2012	5919	2704	2		1450606.765500	5116590.343010	82.832762	490			4	Quartzite	Gb			PM/PS		529,7	19-01-2012/11:51:15.0
2012	5919	2705	14		1450606.398231	5116592.403818	82.946127	490			4	SILEX	EL5	G2		PM		36,5	19-01-2012/13:42:33.0
2012	5919	2706	16		1450597.898418	5116567.079614	83.151508	490	Locus 09	L4 28d	4	SILEX	E11			PM/PS		1,2	19-01-2012/13:42:47.0
2012	5919	2707	14		1450606.633129	5116590.491947	82.723440	490			4	SILEX	NDB			PM		62,2	19-01-2012/14:14:54.0
2012	5919	2708	15		1450605.943864	5116590.073374	82.722271	490			4/5	SILEX	EL6			PM		6,6	19-01-2012/14:15:10.0
2012	5919	2709	18		1450609.505995	5116593.324366	82.555153	490			5	SILEX	EC2			PM		14,9	19-01-2012/15:04:20.0
2012	5919	2710	17		1450607.878017	5116589.839631	82.614439	490			5	SILEX	EC2			PM		3,5	19-01-2012/15:20:14.0
2012	5919	2711	15		1450616.030115	5116598.227447	82.644407	490	Locus 02	I6 17c	4	SILEX	E11			PM		0,1	19-01-2012/15:26:09.0
2012	5919	2712	16		1450616.617527	5116598.933553	82.588236	490	Locus 02	I6 17b	4	SILEX	E11			PM		0,1	19-01-2012/15:45:22.0
2012	5919	2713	15		1450616.878254	5116599.047531	82.587752	490	Locus 02	I6 17b	4	SILEX	E11			PM		0,7	19-01-2012/15:45:45.0
2012	5919	2714	18		1450609.699422	5116589.999159	82.504061	490			5	SILEX	LC2			PM		146,6	19-01-2012/15:56:31.0
2012	5919	2715	2		1450608.401666	5116589.281031	82.548374	490			5	Quartz	Gb			PM		718,6	19-01-2012/15:56:57.0
2012	5919	2716	17		1450609.159879	5116589.942450	82.535380	490			5	SILEX	NFU			PM		325,6	19-01-2012/15:57:21.0
2012	5919	2717	15		1450606.386516	5116590.715857	82.611558	490			5	SILEX	EC7			PM		9,7	19-01-2012/16:11:57.0
2012	5919	2718	15		1450610.510033	5116590.034099	82.528596	490			5	SILEX	EL6			PM		3,6	19-01-2012/16:12:10.0
2012	5919	2719	16		1450609.579712	5116591.480893	82.534809	490			5	SILEX	Fi			PM		2,2	19-01-2012/16:21:30.0
2012	5919	2720	16		1450611.370178	5116592.048874	82.501983	490			5	SILEX	EC0			PM		4,4	19-01-2012/16:42:21.0
2012	5919	2721	17		1450605.923345	5116591.623212	82.594068	490			5	SILEX	EL1		27	PM		1,7	19-01-2012/16:42:40.0
2012	5919	2722	17		1450605.879344	5116591.619144	82.571790	490			5	SILEX	NLRC		27	PM		84,3	19-01-2012/16:42:54.0
2012	5919	2723	14		1450605.925838	5116592.000884	82.601768	490	Locus 19		5	SILEX	E0		80	PM	PN2126-2129	31,9	19-01-2012/16:43:08.0
2012	5919	2724	16		1450606.036906	5116592.069671	82.604930	490			5	SILEX	D			PM		0,7	19-01-2012/16:46:34.0
2012	5919	2725	13		1450611.804428	5116591.275652	82.495707	490			5	SILEX	NDU		54	PM		66,4	19-01-2012/16:46:49.0
2012	5919	2726	15		1450609.813417	5116593.907839	82.437381	490			5	SILEX	EC1			PM		16,7	19-01-2012/16:47:55.0
2012	5919	2727	13		1450611.437060	5116591.967979	82.441046	490			5	SILEX	NLP			PM		84,2	19-01-2012/16:48:04.0
2012	5919	2728	11		1450597.422142	5116567.395455	83.061381	490	Locus 09	L4 28c	4	SILEX	Fi/Cg			PS		0,1	20-01-2012/08:43:56.0
2012	5919	2729	16		1450597.289771	5116567.213816	83.096665	490	Locus 09	L4 28c	4	SILEX	E0			PM/PS		2,4	20-01-2012/08:45:56.0
2012	5919	2730	16		1450597.297768	5116567.203241	83.094513	490	Locus 09	L4 28c	4	SILEX	E0			PM/PS		2,4	20-01-2012/09:13:30.0
2012	5919	2731	18		1450610.775234	5116592.454163	82.400835	490			5	SILEX	EC2			PM		19,7	20-01-2012/09:26:35.0
2012	5919	2732	11		1450597.382061	5116567.215104	83.066151	490	Locus 09	L4 28c	4	SILEX	LC2/Lpde		137	PS	PN2365-2380	3,5	20-01-2012/09:27:22.0
2012	5919	2733	11		1450597.478771	5116567.074209	83.070947	490	Locus 09	L4 28c	4	SILEX	/			PS	PN2212-2216	/	20-01-2012/09:30:31.0
2012	5919	2734	11		1450597.351057	5116566.871304	83.091693	490	Locus 09	L4 28c	4	SILEX	Lpde			PS		1	20-01-2012/09:29:06.0
2012	5919	2735	11		1450597.825824	5116567.411861	83.110393	490	Locus 09	L4 28c	4	SILEX	E11			PS		0,1	20-01-2012/09:30:48.0
2012	5919	2736	11		1450598.025635	5116567.170309	83.050867	490	Locus 09	L4 29c	4	SILEX	Lipd			PS		0,1	20-01-2012/09:31:33.0
2012	5919	2737	16		1450598.313066	5116567.292538	83.053617	490	Locus 09	L4 29c	4	SILEX	E11			PM/PS		0,1	20-01-2012/09:32:19.0
2012	5919	2738	11		1450597.993648	5116566.868017	83.090646	490	Locus 09	L4 39a	4	SILEX	E0			PS		1,4	20-01-2012/09:33:08.0
2012	5919	2739	11		1450598.088490	5116566.908959	83.077007	490	Locus 09	L4 39a	4	SILEX	E11/Lpde			PS		0,6	20-01-2012/09:34:10.0
2012	5919	2740	11		1450598.326249	5116567.115574	83.058309	490	Locus 09	L4 29c	4	SILEX	Fi/Cg			PS		3,3	20-01-2012/09:34:50.0
2012	5919	2741	11		1450598.925100	5116567.194681	83.049482	490	Locus 09	L4 29d	4	SILEX	Fi			PS		3,6	20-01-2012/09:35:31.0
2012	5919	2742	11		1450598.916871	5116566.438852	82.999364	490	Locus 09	L4 39a	4	SILEX	E11			PS		0,1	20-01-2012/09:36:08.0
2012	5919	2743	11		1450598.648430	5116566.972116	83.025458	490	Locus 09	L4 39b	4	SILEX	E11			PS		0,1	20-01-2012/09:37:25.0
2012	5919	2744	15		1450612.578363	5116591.780222	82.303480	490			5	SILEX	EC3			PM		16,2	20-01-2012/09:41:44.0
2012	5919	2745	11		1450598.288831	5116566.709383	83.019218	490	Locus 09	L4 39a	4	SILEX	Fi			PS		0,3	20-01-2012/09:42:06.0
2012	5919	2746	11		1450598.200510	5116566.389823	83.045085	490	Locus 09	L4 39a	4	SILEX	NT			PS		1,4	20-01-2012/09:43:23.0
2012	5919	2747	11		1450598.446402	5116566.587804	83.013719	490	Locus 09	L4 39b	4	SILEX	Fi/Cg			PS		1,4	20-01-2012/09:44:06.0
2012	5919	2748	16		1450598.618015	5116566.631820	83.010635	490	Locus 09	L4 39b	4	SILEX	Fi			PM/PS		0,1	20-01-2012/09:44:33.0

Inventaire officiel 7 – Montguyon (17), « Bois Clair ». Inventaire du mobilier individualisé

ANNEE	OA	IDENTIFIANT	N°DE CAISSE	N°DE LOT	X = est	Y = nord	Z = alti NGF	PARCELLE	SECTEUR (CP/TR/ST...)	CARRE	UPS	MATERIAU	SUPPORT (cf. annexe 3)	TYPOLOGIE (cf. annexe 3)	REMONTAGES	CHRONO-CULTURE (cf. annexe 3)	CLICHE	MASSE (g.)	DATE DECOUVERTE
2012	5919	2749	11		1450598.498689	5116566.388420	83.039647	490	Locus 09	L4 39b	4	SILEX	E11			PS		0,1	20-01-2012/09:46:27.0
2012	5919	2750	11		1450598.141783	5116566.334577	83.041531	490	Locus 09	L4 39c	4	SILEX	/			PS		/	20-01-2012/09:47:01.0
2012	5919	2751	11		1450598.330232	5116566.279473	83.033672	490	Locus 09	L4 39d	4	SILEX	/			PS		/	20-01-2012/09:47:44.0
2012	5919	2752	12		1450598.638648	5116566.289454	83.004602	490	Locus 09	L4 39d	4	SILEX	E0/Eci			PS		4,4	20-01-2012/09:48:31.0
2012	5919	2753	11		1450598.541251	5116566.017605	82.965948	490	Locus 09	L4 39d	4	SILEX	E11			PS		0,1	20-01-2012/09:49:09.0
2012	5919	2754	15		1450597.616795	5116566.752383	83.036940	490	Locus 09	L4 38b	4	SILEX	E1			PM/PS		2,6	20-01-2012/09:50:45.0
2012	5919	2755	11		1450597.613635	5116566.705301	83.042921	490	Locus 09	L4 38b	4	SILEX	E11			PS		0,1	20-01-2012/09:51:22.0
2012	5919	2756	11		1450597.766320	5116566.583954	83.058393	490	Locus 09	L4 38b	4	SILEX	E11k2			PS		0,1	20-01-2012/09:52:32.0
2012	5919	2757	11		1450597.565621	5116566.544126	83.026586	490	Locus 09	L4 38b	4	SILEX	E11			PS		1	20-01-2012/09:53:26.0
2012	5919	2758	11		1450597.292204	5116566.479042	83.058957	490	Locus 09	L4 38c	4	SILEX	E11			PS		0,3	20-01-2012/09:54:11.0
2012	5919	2759	11		1450597.120903	5116566.243036	83.054706	490	Locus 09	L4 38c	4	SILEX	Fi			PS		1,8	20-01-2012/09:54:58.0
2012	5919	2760	11		1450597.403789	5116566.322796	83.037588	490	Locus 09	L4 38d	4	SILEX	Fi/Cg			PS		4,2	20-01-2012/09:55:44.0
2012	5919	2761	11		1450597.455245	5116566.382836	83.076538	490	Locus 09	L4 38d	4	SILEX	E11			PS		0,8	20-01-2012/09:57:54.0
2012	5919	2762	16		1450597.573675	5116566.305828	83.047810	490	Locus 09	L4 38d	4	SILEX	Cg			PM/PS		3,9	20-01-2012/09:58:33.0
2012	5919	2763	16		1450597.682934	5116566.470431	83.046781	490	Locus 09	L4 38d	4	SILEX	Fi			PM/PS		10,2	20-01-2012/09:59:11.0
2012	5919	2764	12		1450597.808395	5116566.387173	83.018873	490	Locus 09	L4 38d	4	SILEX	E0			PS		4,3	20-01-2012/09:59:43.0
2012	5919	2765	11		1450597.768568	5116566.042152	83.019093	490	Locus 09	L4 38d	4	SILEX	Fi/Cg			PS		0,1	20-01-2012/10:00:55.0
2012	5919	2766	11		1450597.659940	5116566.014430	83.006300	490	Locus 09	L4 48b	4	SILEX	Fi			PS		4,5	20-01-2012/10:02:02.0
2012	5919	2767	12		1450597.559951	5116565.893691	83.002544	490	Locus 09	L4 48b	4	SILEX	Fi/Cg			PS		7	20-01-2012/10:02:36.0
2012	5919	2768	12		1450597.540304	5116565.904568	83.006386	490	Locus 09	L4 48b	4	SILEX	LC2/EC2?			PS		8,2	20-01-2012/10:25:48.0
2012	5919	2769	11		1450597.787062	5116565.747492	82.968330	490	Locus 09	L4 48b	4	SILEX	E11			PS		0,4	20-01-2012/10:26:29.0
2012	5919	2770	14		1450605.689226	5116588.363514	82.694324	490			4/5	SILEX	LC3			PM		103,8	20-01-2012/10:27:04.0
2012	5919	2771	16		1450602.395441	5116591.263068	83.370569	490			3?	SILEX	E6			PM		27,3	20-01-2012/10:29:31.0
2012	5919	2772	14		1450615.361485	5116599.5546415	82.666737	490	Locus 02	I6 06a	4	SILEX	E0		84	PM	PN2089-2091	6	20-01-2012/10:30:20.0
2012	5919	2773	15		1450615.218589	5116599.422373	82.670549	490	Locus 02	I6 06c	4	SILEX	E11pdf		84	PM	PN2089-2091	1,6	20-01-2012/10:56:39.0
2012	5919	2774	15		1450616.190639	5116598.650668	82.652739	490	Locus 02	I6 17a	4	SILEX	E11			PM		0,1	23-01-2012/15:16:14.0
2012	5919	2775	16		1450616.292223	5116598.787588	82.632162	490	Locus 02	I6 17a	4	SILEX	Fi			PM		1,4	23-01-2012/15:50:52.0
2012	5919	2776	16		1450616.349213	5116598.835525	82.629057	490	Locus 02	I6 17a	4	SILEX	D			PM		2	23-01-2012/15:51:04.0
2012	5919	2777	15		1450615.712304	5116597.943983	82.685232	490	Locus 02	I6 26b	4	SILEX	E11			PM		0,1	23-01-2012/15:51:55.0
2012	5919	2778	15		1450607.300308	5116596.716993	82.783325	490			4	SILEX	E3			PM		4,9	23-01-2012/15:52:43.0
2012	5919	2779	16		1450602.256765	5116592.696807	83.242987	490			4?	SILEX	E0			PM		2,4	23-01-2012/15:53:34.0
2012	5919	2780	18		1450601.087331	5116591.916783	82.935538	490			4	SILEX	NPY			PM/PS		37	23-01-2012/15:54:22.0
2012	5919	2781	16		1450604.329156	5116590.646487	82.900990	490			4	SILEX	Fi					1,3	23-01-2012/16:16:54.0
2012	5919	2782	3		1450604.640762	5116591.406478	82.848558	490			4	Quartz	Gb			PM/PS		399,4	24-01-2012/09:12:31.0
2012	5919	2783	15		1450603.495113	5116591.150937	82.892151	490			4	SILEX	E3			PM		3,5	24-01-2012/09:39:56.0
2012	5919	2784	15		1450602.021666	5116593.667161	82.891787	490			4	SILEX	E3			PM		30,2	24-01-2012/10:00:36.0
2012	5919	2785	15		1450602.703561	5116592.856966	82.884277	490			4	SILEX	E5			PM		12	24-01-2012/10:00:49.0
2012	5919	2786	15		1450604.284659	5116594.791935	82.794911	490			4	SILEX	E5			PM	PN2056	41,9	24-01-2012/10:01:26.0
2012	5919	2787	16		1450605.516251	5116588.389284	82.761532	490			4	SILEX	E2			PM		2,4	24-01-2012/10:01:38.0
2012	5919	2788	15		1450605.551720	5116588.157496	82.703629	490			4	SILEX	E5			PM		0,4	24-01-2012/10:46:51.0
2012	5919	2789	15		1450605.580825	5116587.807539	82.629520	490			4/5	SILEX	E6			PM		11,7	24-01-2012/11:02:05.0
2012	5919	2790	17		1450605.278476	5116589.026315	82.735416	490			4	SILEX	NTE			PM	PN2140-2141	41,4	24-01-2012/11:18:42.0
2012	5919	2791	15		1450604.829751	5116588.000745	82.696331	490			5	SILEX	EC3			PM		6,7	24-01-2012/11:18:54.0
2012	5919	2792	15		1450602.544284	5116593.992786	82.704870	490			4	SILEX	E5		28	PM	PN2096-2097	9,9	24-01-2012/11:19:09.0
2012	5919	2793	15		1450602.083695	5116593.671100	82.683364	490			4	SILEX	E6			PM		6,9	24-01-2012/11:43:43.0
2012	5919	2794	3		1450601.582631	5116592.977135	82.676273	490			4	Quartzite	Gfr			PM/PS		185,5	24-01-2012/11:55:24.0
2012	5919	2795	12		1450603.137171	5116590.563029	82.688335	490			4	SILEX	E/Lpde?			PM/PS		6,9	24-01-2012/12:00:41.0
2012	5919	2796	16		1450603.584652	5116588.113218	82.698062	490			4	SILEX	EC2			PM		5,2	24-01-2012/13:31:46.0
2012	5919	2797	18		1450601.855552	5116593.911897	82.661590	490			4	SILEX	EC2			PM		34,1	24-01-2012/13:32:03.0
2012	5919	2798	15		1450601.178142	5116591.645551	82.729986	490			4	SILEX	EC3			PM		43,3	24-01-2012/13:32:22.0
2012	5919	2799	3		1450602.776119	5116590.332424	82.631287	490			4/5	Quartz	Gup			PM		334,4	24-01-2012/13:32:36.0
2012	5919	2800	15		1450604.553696	5116588.301321	82.670640	490			5	SILEX	EC3			PM		35,7	24-01-2012/13:40:30.0
2012	5919	2801	14		1450602.422030	5116592.437367	82.629520	490			4/5	SILEX	R1	G4		PM		209,4	24-01-2012/13:40:41.0
2012	5919	2802	13		1450603.434260	5116587.634249	82.683514	490			4/5	SILEX	EL4		78	PM	PN2109-2113	17,1	24-01-2012/13:40:53.0
2012	5919	2803	15		1450602.437520	5116587.285585	82.646029	490			5	SILEX	EC1			PM		118,3	24-01-2012/13:41:04.0
2012	5919	2804	15		1450602.494103	5116591.164854	82.609012	490			5	SILEX	Fi			PM		13,6	24-01-2012/13:55:22.0
2012	5919	2805	15		1450604.435819	5116589.537771	82.602646	490			5	SILEX	E2			PM		12,5	24-01-2012/13:55:44.0
2012	5919	2806	16		1450603.264251	5116592.129762	82.654773	490			5	SILEX	EL6			PM		3,9	24-01-2012/14:18:19.0

Inventaire officiel 7 – Montguyon (17), « Bois Clair ». Inventaire du mobilier individualisé

ANNEE	OA	IDENTIFIANT	N°DE CAISSE	N°DE LOT	X = est	Y = nord	Z = alti NGF	PARCELLE	SECTEUR (CP/TR/ST...)	CARRE	UPS	MATERIAU	SUPPORT (cf. annexe 3)	TYPOLOGIE (cf. annexe 3)	REMONTAGES	CHRONO-CULTURE (cf. annexe 3)	CLICHE	MASSE (g.)	DATE DECOUVERTE
2012	5919	2807	11		1450597.045158	5116567.666517	83.154765	490	Locus 09	L4 28a	4	SILEX	Fi			PS		0,7	24-01-2012/14:18:35.0
2012	5919	2808	11		1450597.291632	5116567.622374	83.103972	490	Locus 09	L4 28a	4	SILEX	Fi/Cg			PS		0,6	24-01-2012/14:29:06.0
2012	5919	2809	11		1450597.328719	5116567.571706	83.124325	490	Locus 09	L4 28a	4	SILEX	E11			PS		0,1	24-01-2012/14:29:22.0
2012	5919	2810	11		1450597.906668	5116567.678197	83.168411	490	Locus 09	L4 29a	4	SILEX	Cg			PS		0,1	24-01-2012/14:35:38.0
2012	5919	2811	12		1450598.265743	5116567.631075	83.069926	490	Locus 09	L4 29a	4	SILEX	E0			PS		7,8	24-01-2012/14:36:29.0
2012	5919	2812	11		1450598.310921	5116567.549402	83.076933	490	Locus 09	L4 29a	4	SILEX	Fi/Cg			PS		0,4	24-01-2012/14:37:20.0
2012	5919	2813	14		1450604.605964	5116591.777095	82.606354	490	Locus 19		5	SILEX	EC1		80	PM	PN2126-2129	134,1	24-01-2012/14:39:09.0
2012	5919	2814	13		1450604.635521	5116591.729103	82.575384	490	Locus 19		5	SILEX	E6		79	PM	PN2135-2137	30	24-01-2012/14:40:09.0
2012	5919	2815	16		1450603.189393	5116591.909835	82.644984	490			5	SILEX	EC1			PM		9,7	24-01-2012/14:41:14.0
2012	5919	2816	13		1450604.665988	5116591.702261	82.592178	490	Locus 19		5	SILEX	E6		79	PM	PN2135-2137	19	24-01-2012/15:16:02.0
2012	5919	2817	16		1450604.672807	5116591.769283	82.598872	490			5	SILEX	E11			PM		0,1	24-01-2012/15:31:04.0
2012	5919	2818	13		1450604.776783	5116591.759557	82.571097	490	Locus 19		5	SILEX	E4		79	PM	PN2135-2137	71,6	24-01-2012/15:31:16.0
2012	5919	2819	15		1450604.849332	5116591.701162	82.554088	490			5	SILEX	E0			PM		68,6	24-01-2012/15:31:43.0
2012	5919	2820	14		1450604.330931	5116591.292841	82.611111	490	Locus 19		5	SILEX	E1		80	PM	PN2126-2129	67,7	24-01-2012/15:53:39.0
2012	5919	2821	17		1450601.778055	5116593.614130	82.522456	490			5	SILEX	EC1			PM		9,8	24-01-2012/15:54:40.0
2012	5919	2822	18		1450601.674282	5116592.403243	82.551490	490			5	SILEX	Ni			PM		24,8	24-01-2012/15:55:02.0
2012	5919	2823	16		1450604.631008	5116591.657767	82.563983	490			5	SILEX	Fi			PM		1,7	24-01-2012/15:55:27.0
2012	5919	2824	16		1450614.161730	5116599.177808	82.656561	490	Locus 02	I6 05c	4	SILEX	Fi			PM		0,1	24-01-2012/15:55:40.0
2012	5919	2825	14		1450614.738341	5116599.219197	82.652523	490	Locus 02	I6 05d	4	SILEX	E2		84	PM	PN2089-2091	3,4	24-01-2012/16:08:50.0
2012	5919	2837	14		1450604.449552	5116591.469676	82.517953	490	Locus 19		5	SILEX	NO		80	PM	PN2126-2129	119,1	24-01-2012/16:09:03.0
2012	5919	2838	18		1450602.439104	5116591.232637	82.518118	490			5	SILEX	EC2			PM		10	24-01-2012/16:19:39.0
2012	5919	2839	15		1450600.781962	5116593.076496	82.518352	490			5	SILEX	EC3			PM		15,5	24-01-2012/16:20:24.0
2012	5919	2840	14		1450604.219993	5116591.418008	82.318825	490	Locus 19		5	SILEX	E6		80	PM	PN2126-2129	71,9	25-01-2012/10:47:00.0
2012	5919	2841	16		1450617.641816	5116599.629192	82.442340	490	Locus 02	I6 08b	4	SILEX	ENC7			PM		4,8	25-01-2012/10:53:39.0
2012	5919	2853	15		1450597.975911	5116577.239980	83.485547	490			1b	SILEX	E6			PM		7,3	25-01-2012/11:11:05.0
2012	5919	2860	11		1450597.278140	5116567.808418	83.076893	490	Locus 09	L4 28a	4	SILEX	/			PS		/	25-01-2012/11:22:49.0
2012	5919	2861	11		1450597.403934	5116567.893375	83.070176	490	Locus 09	L4 28a	4	SILEX	E0			PS		0,5	25-01-2012/11:27:11.0
2012	5919	2862	11		1450597.468208	5116567.807707	83.003855	490	Locus 09	L4 28a	4	SILEX	/		137	PS	PN2365-2380	/	25-01-2012/15:45:16.0
2012	5919	2863	11		1450597.492888	5116567.578882	83.042757	490	Locus 09	L4 28a	4	SILEX	E0			PS		0,5	26-01-2012/08:40:45.0
2012	5919	2864	11		1450597.230400	5116567.220746	83.034460	490	Locus 09	L4 28c	4	SILEX	Fi/Cg			PS		0,8	26-01-2012/08:41:17.0
2012	5919	2865	12		1450598.506276	5116567.889872	83.066850	490	Locus 09	L4 29b	4	SILEX	EC2/Epde			PS		4,1	26-01-2012/08:42:11.0
2012	5919	2866	11		1450598.792222	5116567.876262	83.041263	490	Locus 09	L4 29b	4	SILEX	E11			PS		0,2	26-01-2012/08:42:36.0
2012	5919	2867	12		1450598.306942	5116567.444294	83.040745	490	Locus 09	L4 29c	4	SILEX	/			PS		/	26-01-2012/08:43:19.0
2012	5919	2868	16		1450598.466594	5116567.219424	83.019430	490	Locus 09	L4 29d	4	SILEX	Cg			PM/PS		2	26-01-2012/08:44:18.0
2012	5919	2869	11		1450598.119487	5116567.048762	83.011803	490	Locus 09	L4 29c	4	SILEX	Fi			PS		0,2	26-01-2012/08:44:51.0
2012	5919	2870	11		1450598.162771	5116566.952786	82.965627	490	Locus 09	L4 39a	4	SILEX	Lpd	lad marg		PS		0,3	26-01-2012/08:45:34.0
2012	5919	2871	11		1450598.365937	5116566.833410	82.955392	490	Locus 09	L4 39a	4	SILEX	Lpde/Lincr			PS		1	26-01-2012/08:46:24.0
2012	5919	2872	12		1450598.010654	5116566.517128	82.953861	490	Locus 09	L4 39a	4	SILEX	EC2/Epde			PS		0,7	26-01-2012/08:46:59.0
2012	5919	2873	12		1450598.117472	5116566.508762	82.981150	490	Locus 09	L4 39b	4	SILEX	EC2/Eci			PS		105,5	26-01-2012/08:47:43.0
2012	5919	2874	11		1450598.574444	5116566.739281	82.956150	490	Locus 09	L4 39b	4	SILEX	NT			PS		0,6	26-01-2012/08:48:15.0
2012	5919	2875	11		1450598.015853	5116566.393345	82.968139	490	Locus 09	L4 39c	4	SILEX	E11			PS		0,1	26-01-2012/08:48:42.0
2012	5919	2876	12		1450597.160434	5116566.976292	83.010696	490	Locus 09	L4 38a	4	SILEX	Fi			PS		6,9	26-01-2012/08:49:13.0
2012	5919	2877	11		1450597.272827	5116566.881244	83.023333	490	Locus 09	L4 38a	4	SILEX	Fi/Cg			PS		0,1	26-01-2012/08:53:27.0
2012	5919	2878	11		1450597.193108	5116566.532676	82.984379	490	Locus 09	L4 38a	4	SILEX	E0			PS		0,4	26-01-2012/08:54:10.0
2012	5919	2879	12		1450597.474727	5116566.518434	82.971695	490	Locus 09	L4 38a	4	SILEX	EC2/Epde			PS		2,6	26-01-2012/08:54:53.0
2012	5919	2880	16		1450597.561059	5116566.522496	82.966935	490	Locus 09	L4 38b	4	SILEX	Fi			PM		12,6	26-01-2012/08:55:18.0
2012	5919	2881	11		1450597.827555	5116566.564907	82.987255	490	Locus 09	L4 38b	4	SILEX	E11/Eci			PS		0,1	26-01-2012/08:55:59.0
2012	5919	2882	12		1450597.839066	5116566.573772	82.985704	490	Locus 09	L4 38b	4	SILEX	E9/Eci			PS		3,8	26-01-2012/08:57:02.0
2012	5919	2883	11		1450597.246162	5116566.300853	82.949159	490	Locus 09	L4 38c	4	SILEX	LNC2/Lpde		150	PS		15,5	26-01-2012/08:57:43.0
2012	5919	2884	12		1450597.491312	5116566.109397	82.942402	490	Locus 09	L4 38c	4	SILEX	Fi			PS		3,2	26-01-2012/08:58:47.0
2012	5919	2885	12		1450597.821348	5116566.130913	82.952641	490	Locus 09	L4 38d	4	SILEX	E/LC2/E/Lpde			PS		3,2	26-01-2012/08:59:53.0
2012	5919	2886	11		1450597.486323	5116565.696015	82.937833	490	Locus 09	L4 48a	4	SILEX	E11/Lpde			PS		0,3	26-01-2012/09:00:37.0
2012	5919	2887	1		1450592.215570	5116582.438999	83.209896	490			4	Quartzite	Gup			PM/PS		472,3	26-01-2012/09:01:23.0
2012	5919	2888	16		1450617.150862	5116599.534753	82.412289	490	Locus 02	I6 08c	4b	SILEX	D			PM		1,4	26-01-2012/09:02:30.0
2012	5919	2901	14		1450593.191852	5116583.328576	83.128796	490			4	SILEX	EC3		51	PM	PN2259-2277	11,3	26-01-2012/09:16:47.0
2012	5919	2902	16		1450592.665716	5116581.906375	83.099066	490			4/5	SILEX	Fi			PM		13	26-01-2012/09:22:48.0
2012	5919	2903	16		1450592.329940	5116581.393957	83.082613	490			4/5	SILEX	EC1			PM		47,7	26-01-2012/09:23:05.0
2012	5919	2904	12		1450606.972831	5116597.338542	82.626071	490	Locus 10	I5 27d	4b	SILEX	E11			PM/PS		0,4	26-01-2012/09:33:50.0

Inventaire officiel 7 – Montguyon (17), « Bois Clair ». Inventaire du mobilier individualisé

ANNEE	OA	IDENTIFIANT	N°DE CAISSE	N°DE LOT	X = est	Y = nord	Z = alti NGF	PARCELLE	SECTEUR (CP/TR/ST...)	CARRE	UPS	MATERIAU	SUPPORT (cf. annexe 3)	TYPOLOGIE (cf. annexe 3)	REMONTAGES	CHRONO-CULTURE (cf. annexe 3)	CLICHE	MASSE (g.)	DATE DECOUVERTE
2012	5919	2905	12		1450606.957109	5116597.232809	82.619133	490	Locus 10	I5 27d	4b	SILEX	E0			PM/PS		2,6	26-01-2012/09:34:02.0
2012	5919	2906	12		1450606.964361	5116597.224605	82.618602	490	Locus 10	I5 27d	4b	SILEX	E1		72	PM/PS	PN2147-2148	5,9	26-01-2012/09:34:16.0
2012	5919	2907	12		1450606.914238	5116597.268596	82.618883	490	Locus 10	I5 27d	4b	SILEX	E3		68	PM/PS		4,4	26-01-2012/11:38:31.0
2012	5919	2908	12		1450606.909923	5116597.289213	82.619362	490	Locus 10	I5 27d	4b	SILEX	E11			PM/PS		0,3	26-01-2012/11:39:28.0
2012	5919	2909	12		1450606.878654	5116597.353100	82.624806	490	Locus 10	I5 27d	4b	SILEX	D			PM/PS		3,3	26-01-2012/11:40:48.0
2012	5919	2910	12		1450606.868523	5116597.354624	82.634497	490	Locus 10	I5 27d	4b	SILEX	L			PM/PS		1,3	26-01-2012/11:41:27.0
2012	5919	2911	12		1450606.850863	5116597.262912	82.639170	490	Locus 10	I5 27d	4b	SILEX	Fi			PM/PS		1,9	26-01-2012/11:42:06.0
2012	5919	2912	12		1450606.863744	5116597.253971	82.645201	490	Locus 10	I5 27d	4b	SILEX	E3		71	PM/PS	PN2149-2150	2,8	26-01-2012/11:43:16.0
2012	5919	2913	12		1450606.856290	5116597.255588	82.640356	490	Locus 10	I5 27d	4b	SILEX	E10			PM/PS		1,5	26-01-2012/11:44:03.0
2012	5919	2914	12		1450606.896470	5116597.273630	82.628147	490	Locus 10	I5 27d	4b	SILEX	E0			PM/PS		0,8	26-01-2012/11:44:57.0
2012	5919	2915	12		1450606.890098	5116597.226122	82.638882	490	Locus 10	I5 27d	4b	SILEX	E3		70	PM/PS		5,1	26-01-2012/11:45:39.0
2012	5919	2916	12		1450606.878655	5116597.205753	82.640624	490	Locus 10	I5 27d	4b	SILEX	/		71	PM/PS	PN2149-2150	/	26-01-2012/11:46:44.0
2012	5919	2917	12		1450606.894233	5116597.216314	82.635146	490	Locus 10	I5 27d	4b	SILEX	L			PM/PS		1,6	26-01-2012/11:47:32.0
2012	5919	2918	12		1450606.911574	5116597.197851	82.621087	490	Locus 10	I5 27d	4b	SILEX	Fi			PM/PS		0,1	26-01-2012/11:48:33.0
2012	5919	2919	12		1450606.845732	5116597.187622	82.645436	490	Locus 10	I5 27d	4b	SILEX	E11			PM/PS		1,2	26-01-2012/11:49:15.0
2012	5919	2920	12		1450606.856271	5116597.182412	82.642498	490	Locus 10	I5 27d	4b	SILEX	Lcr		71	PM/PS	PN2149-2150	5,3	26-01-2012/11:50:52.0
2012	5919	2921	12		1450606.824228	5116597.132617	82.638708	490	Locus 10	I5 27d	4b	SILEX	E11			PM/PS		0,1	26-01-2012/11:52:59.0
2012	5919	2922	12		1450606.777454	5116597.187302	82.642407	490	Locus 10	I5 27d	4b	SILEX	E0		67	PM/PS		5,8	26-01-2012/11:53:48.0
2012	5919	2923	12		1450606.801237	5116597.415056	82.644370	490	Locus 10	I5 27d	4b	SILEX	E1			PM/PS		4	26-01-2012/11:54:46.0
2012	5919	2924	12		1450606.737879	5116597.455187	82.635035	490	Locus 10	I5 27d	4b	SILEX	E1			PM/PS		0,7	26-01-2012/11:55:17.0
2012	5919	2925	12		1450606.740785	5116597.392520	82.637421	490	Locus 10	I5 27d	4b	SILEX	/		72	PM/PS	PN2147-2148	/	26-01-2012/11:55:59.0
2012	5919	2926	12		1450606.737426	5116597.386272	82.637909	490	Locus 10	I5 27d	4b	SILEX	/		72	PM/PS	PN2147-2148	/	26-01-2012/11:56:31.0
2012	5919	2927	12		1450606.721523	5116597.419891	82.635931	490	Locus 10	I5 27d	4b	SILEX	/		71	PM/PS	PN2149-2150	/	26-01-2012/11:58:23.0
2012	5919	2928	12		1450606.742500	5116597.408110	82.625732	490	Locus 10	I5 27d	4b	SILEX	/		72	PM/PS	PN2147-2148	/	26-01-2012/11:59:22.0
2012	5919	2929	12		1450606.693109	5116597.346115	82.636365	490	Locus 10	I5 27d	4b	SILEX	L		71	PM/PS	PN2149-2150	10,6	26-01-2012/12:01:32.0
2012	5919	2930	12		1450606.666375	5116597.360566	82.631334	490	Locus 10	I5 27d	4b	SILEX	E0		72	PM/PS	PN2147-2148	24	26-01-2012/12:02:21.0
2012	5919	2931	12		1450606.652665	5116597.285829	82.654619	490	Locus 10	I5 27d	4b	SILEX	E11		69	PM/PS		1,5	26-01-2012/12:03:44.0
2012	5919	2932	12		1450606.672894	5116597.174532	82.648161	490	Locus 10	I5 27d	4b	SILEX	E11			PM/PS		0,1	26-01-2012/12:04:12.0
2012	5919	2933	12		1450606.695848	5116597.167775	82.644014	490	Locus 10	I5 27d	4b	SILEX	E3		69	PM/PS		3,4	26-01-2012/12:05:14.0
2012	5919	2934	12		1450606.731268	5116597.197155	82.634811	490	Locus 10	I5 27d	4b	SILEX	E3		72	PM/PS	PN2147-2148	2,6	26-01-2012/12:05:41.0
2012	5919	2935	12		1450606.720510	5116597.180299	82.638815	490	Locus 10	I5 27d	4b	SILEX	E11			PM/PS		0,1	26-01-2012/12:06:08.0
2012	5919	2936	12		1450606.726405	5116597.234966	82.641087	490	Locus 10	I5 27d	4b	SILEX	E11			PM/PS		0,1	26-01-2012/12:06:43.0
2012	5919	2937	12		1450606.748542	5116597.246185	82.625250	490	Locus 10	I5 27	4b	SILEX	/		67	PM/PS		0	26-01-2012/12:07:21.0
2012	5919	2938	12		1450606.732894	5116597.217738	82.621706	490	Locus 10	I5 27	4b	SILEX	E1		68	PM/PS		3,6	26-01-2012/12:07:50.0
2012	5919	2939	12		1450606.742411	5116597.188161	82.622332	490	Locus 10	I5 27	4b	SILEX	/		70	PM/PS		0	26-01-2012/12:09:36.0
2012	5919	2940	12		1450606.745524	5116597.204972	82.619405	490	Locus 10	I5 27	4b	SILEX	E11			PM/PS		0,1	26-01-2012/12:10:43.0
2012	5919	2941	12		1450606.732700	5116597.193965	82.623334	490	Locus 10	I5 27	4b	SILEX	/		70	PM/PS		0	26-01-2012/12:12:58.0
2012	5919	2942	12		1450606.716873	5116597.212539	82.627357	490	Locus 10	I5 27	4b	SILEX	E1		70	PM/PS		7,9	26-01-2012/12:13:35.0
2012	5919	2943	12		1450606.668144	5116597.084192	82.616707	490	Locus 10	I5 27	4b	SILEX	E11		72	PM/PS	PN2147-2148	2,1	26-01-2012/12:14:26.0
2012	5919	2944	12		1450606.598762	5116597.241431	82.642426	490	Locus 10	I5 27	4b	SILEX	E0			PM/PS		0,6	26-01-2012/12:16:25.0
2012	5919	2945	12		1450606.584843	5116597.246712	82.628324	490	Locus 10	I5 27	4b	SILEX	E11			PM/PS		0,1	26-01-2012/12:17:19.0
2012	5919	2946	12		1450606.553963	5116597.243253	82.636870	490	Locus 10	I5 27	4b	SILEX	E1		68	PM/PS		1,3	26-01-2012/12:18:04.0
2012	5919	2947	12		1450606.506377	5116597.308607	82.642046	490	Locus 10	I5 27	4b	SILEX	E6		69	PM/PS		14,2	26-01-2012/12:18:56.0
2012	5919	2948	12		1450606.525584	5116597.181254	82.647987	490	Locus 10	I5 27	4b	SILEX	E11			PM/PS		0,3	26-01-2012/12:19:44.0
2012	5919	2949	12		1450606.606760	5116597.056664	82.623508	490	Locus 10	I5 27	4b	SILEX	E11			PM/PS		0,6	26-01-2012/12:20:20.0
2012	5919	2950	12		1450606.584745	5116597.006619	82.634122	490	Locus 10	I5 27	4b	SILEX	E11			PM/PS		0,7	26-01-2012/12:21:15.0
2012	5919	2951	12		1450606.470317	5116597.070354	82.618619	490	Locus 10	I5 27c	4b	SILEX	E1			PM/PS		1	26-01-2012/12:22:10.0
2012	5919	2952	12		1450606.477846	5116597.143268	82.631470	490	Locus 10	I5 27c	4b	SILEX	E11			PM/PS		0,1	26-01-2012/12:22:39.0
2012	5919	2953	12		1450606.230462	5116597.214037	82.620897	490	Locus 10	I5 27c	4b	SILEX	E11			PM/PS		0,1	26-01-2012/12:23:07.0
2012	5919	2954	12		1450606.431236	5116596.536303	82.603218	490	Locus 10	I5 37a	4b	SILEX	E3			PM/PS		4,3	26-01-2012/12:24:11.0
2012	5919	2955	12		1450606.900577	5116597.236276	82.632109	490	Locus 10	I5 27	4b	SILEX	E0			PM/PS		1	26-01-2012/12:24:53.0
2012	5919	2956	1		1450592.808218	5116585.301007	82.987781	490			4	Quartzite	Ge			PM/PS		215,5	26-01-2012/12:26:07.0
2012	5919	2957	15		1450590.410394	5116583.956375	82.948633	490			4/5	SILEX	NFU			PM		71,8	26-01-2012/12:26:33.0
2012	5919	2958	14		1450591.295036	5116583.135376	82.844908	490			5	SILEX	EC3	G2		PM		32,6	26-01-2012/12:27:18.0
2012	5919	2959	15		1450592.871175	5116585.076954	82.920871	490			4	SILEX	E10			PM		3,1	26-01-2012/09:51:44.0
2012	5919	2960	15		1450593.161994	5116583.890604	82.799523	490			5	SILEX	Fi			PM		16,5	26-01-2012/09:55:08.0
2012	5919	2961	18		1450592.218883	5116584.432527	82.631718	490			5	SILEX	LC1			PM		58,7	26-01-2012/10:04:39.0
2012	5919	2962	15		1450592.337710	5116583.288681	83.604058	490			5	SILEX	NDU	G2		PM	PN2080-2081	163,2	26-01-2012/10:31:21.0

Inventaire officiel 7 – Montguyon (17), « Bois Clair ». Inventaire du mobilier individualisé

ANNEE	OA	IDENTIFIANT	N°DE CAISSE	N°DE LOT	X = est	Y = nord	Z = alti NGF	PARCELLE	SECTEUR (CP/TR/ST....)	CARRE	UPS	MATERIAU	SUPPORT (cf. annexe 3)	TYPOLOGIE (cf. annexe 3)	REMONTAGES	CHRONO-CULTURE (cf. annexe 3)	CLICHE	MASSE (g.)	DATE DECOUVERTE
2012	5919	2963	15		1450592.763427	5116584.701268	83.435561	490			7	SILEX	E2			PM		18,3	26-01-2012/10:36:01.0
2012	5919	2964	16		1450592.888752	5116587.206693	83.964028	490			4	SILEX	NFC			PM		67,4	26-01-2012/10:43:55.0
2012	5919	2965	16		1450592.588820	5116587.857962	83.944417	490			4	SILEX	NFC			PM		40	26-01-2012/10:52:09.0
2012	5919	2982	18		1450619.211389	5116571.226227	82.499689	490			4	SILEX	EC0			PM		42,1	26-01-2012/11:18:57.0
2012	5919	2983	16		1450622.507054	5116570.426952	82.522361	490	Locus 04	K7 93	4	SILEX	E11			PM		1,2	26-01-2012/11:19:21.0
2012	5919	2984	18		1450619.495408	5116571.464162	82.484741	490			5	SILEX	NIE			PM		79,3	26-01-2012/11:19:33.0
2012	5919	2985	16		1450617.960587	5116572.232777	82.482300	490			4	SILEX	EC7			PM		4,7	26-01-2012/13:59:13.0
2012	5919	2986	17		1450618.290618	5116569.978691	82.485806	490			4	SILEX	E6			PM		8,5	26-01-2012/13:59:32.0
2012	5919	2987	18		1450620.228246	5116568.538813	82.480689	490			4	SILEX	EC2			PM		14,2	26-01-2012/14:18:29.0
2012	5919	2988	15		1450619.698611	5116568.510885	82.441790	490			4	SILEX	ENC2			PM		3,8	26-01-2012/14:18:50.0
2012	5919	2989	4		1450620.036613	5116568.762974	82.401313	490			5	Quartz	Gfr			PM		310	26-01-2012/14:19:02.0
2012	5919	2990	17		1450619.514230	5116572.413184	82.442691	490			5	SILEX	NBC			PM		38	26-01-2012/14:19:21.0
2012	5919	2991	17		1450622.111111	5116567.880424	82.182774	490			5	SILEX	EK			PM		11,8	26-01-2012/14:40:46.0
2012	5919	2992	12		1450607.069965	5116597.402930	82.640210	490	Locus 10	I5 37c	4b	SILEX	E0			PM/PS		1,2	26-01-2012/14:41:08.0
2012	5919	2993	15		1450621.850551	5116567.467044	82.164090	490			5	SILEX	E5			PM		4,2	26-01-2012/14:41:25.0
2012	5919	2994	16		1450600.432312	5116583.175781	83.019729	490	Locus 17		4	SILEX	EC2			PM/PS		5,3	26-01-2012/15:06:29.0
2012	5919	2995	15		1450600.539589	5116583.299392	82.986018	490	Locus 17		4	SILEX	E0			PM/PS		5,1	26-01-2012/15:23:51.0
2012	5919	2996	18		1450599.747089	5116582.675674	83.076593	490	Locus 17		4	SILEX	EC2			PM/PS		14,9	26-01-2012/15:24:36.0
2012	5919	2997	16		1450599.690810	5116582.784436	83.066995	490	Locus 17		4	SILEX	Fi			PM/PS		0,1	26-01-2012/15:47:26.0
2012	5919	2998	16		1450599.684913	5116583.178817	83.027666	490	Locus 17		4	SILEX	D			PM/PS		1,6	26-01-2012/15:47:59.0
2012	5919	2999	2		1450599.808699	5116582.935583	82.984131	490	Locus 17		4	Quartzite	Gb			PM/PS		377,9	26-01-2012/15:48:54.0
2012	5919	3000	3		1450599.925463	5116583.373955	82.987363	490	Locus 17		4	Quartz	Gb			PM/PS		364,1	26-01-2012/15:49:16.0
2012	5919	3001	2		1450600.074386	5116583.379776	82.986889	490	Locus 17		4	Quartzite	Gb			PM/PS		317,3	26-01-2012/15:49:39.0
2012	5919	3002	1		1450600.095858	5116583.277216	82.983896	490	Locus 17		4	Quartz	Gup			PM/PS		308,9	26-01-2012/15:50:14.0
2012	5919	3003	16		1450592.728392	5116587.432324	82.848382	490	Locus 18		5	SILEX	EC8			PM		0,5	26-01-2012/15:50:45.0
2012	5919	3004	16		1450592.717592	5116587.419038	82.854618	490	Locus 18		5	SILEX	EL6			PM		4,9	26-01-2012/15:51:53.0
2012	5919	3005	16		1450593.120557	5116587.800533	82.856254	490	Locus 18		5	SILEX	EC2			PM		7,9	26-01-2012/15:52:15.0
2012	5919	3006	16		1450593.236150	5116587.432034	82.840689	490	Locus 18		5	SILEX	D			PM		0,1	26-01-2012/16:10:46.0
2012	5919	3007	16		1450592.765229	5116587.744755	82.857872	490	Locus 18		5	SILEX	E11			PM		0,8	26-01-2012/16:11:05.0
2012	5919	3008	16		1450592.730966	5116587.656217	82.860841	490	Locus 18		5	SILEX	EL6			PM		6,1	26-01-2012/16:11:35.0
2012	5919	3009	16		1450592.801081	5116587.646733	82.860778	490	Locus 18		5	SILEX	E6			PM		2,3	26-01-2012/16:12:04.0
2012	5919	3010	16		1450592.733159	5116587.565324	82.854588	490	Locus 18		5	SILEX	E2			PM		2,1	26-01-2012/16:12:28.0
2012	5919	3011	16		1450592.833135	5116587.127660	82.838665	490	Locus 18		5	SILEX	D			PM		0,1	26-01-2012/16:12:52.0
2012	5919	3012	14		1450592.485453	5116587.238129	82.844434	490	Locus 18		5	SILEX	E5		50	PM		18,5	26-01-2012/16:13:11.0
2012	5919	3013	16		1450592.468688	5116587.251696	82.849041	490	Locus 18		5	SILEX	D			PM		1,5	26-01-2012/16:13:50.0
2012	5919	3014	16		1450591.571988	5116588.213626	82.851058	490	Locus 18, proche du		5	SILEX	D			PM		1,6	26-01-2012/16:14:06.0
2012	5919	3015	16		1450591.838587	5116588.172116	82.860906	490	Locus 18, proche du		5	SILEX	E11			PM		0,3	26-01-2012/16:14:30.0
2012	5919	3016	12		1450606.769074	5116597.236653	82.014616	490	Locus 10	I5 27d	4b	SILEX	Fi			PM/PS		0,7	26-01-2012/16:14:56.0
2012	5919	3017	12		1450606.759485	5116597.251403	82.018883	490	Locus 10	I5 27d	4b	SILEX	E11			PM/PS		0,1	26-01-2012/16:15:25.0
2012	5919	3018	12		1450606.745227	5116597.247360	82.017541	490	Locus 10	I5 27d	4b	SILEX	Fi			PM/PS		1,1	26-01-2012/16:15:47.0
2012	5919	3019	12		1450606.722444	5116597.227785	82.025569	490	Locus 10	I5 27d	4b	SILEX	E0			PM/PS		0,9	26-01-2012/16:36:46.0
2012	5919	3020	12		1450606.720574	5116597.180610	82.039167	490	Locus 10	I5 27d	4b	SILEX	E11			PM/PS		0,6	26-01-2012/16:37:39.0
2012	5919	3021	12		1450606.655660	5116597.236282	82.030938	490	Locus 10	I5 27d	4b	SILEX	E11			PM/PS		1	26-01-2012/16:38:23.0
2012	5919	3022	16		1450594.275550	5116580.915666	83.104915	490			4	SILEX	/		146	PM/PS		/	26-01-2012/16:38:59.0
2012	5919	3023	11		1450594.770497	5116571.144113	83.035663	490	Locus 11	K4 85	4	SILEX	E0			PS		0,1	26-01-2012/16:39:58.0
2012	5919	3024	11		1450594.764261	5116571.129126	83.037373	490	Locus 11	K4 85	4	SILEX	Fi/Cg			PS		0,3	26-01-2012/16:40:53.0
2012	5919	3025	18		1450594.779232	5116570.977006	83.018802	490	Locus 11	K4 85	4	SILEX	Fi/Cg			PS		0,1	27-01-2012/08:52:07.0
2012	5919	3026	12		1450594.671105	5116571.028229	83.028567	490	Locus 11	K4 85	4	SILEX	Fi/Cg			PS		23	27-01-2012/09:06:04.0
2012	5919	3027	11		1450594.945825	5116571.200722	83.077848	490	Locus 11	K4 85	4	SILEX	/		137	PS	PN2365-2380	/	27-01-2012/09:06:20.0
2012	5919	3028	11		1450594.817759	5116571.041572	82.983521	490	Locus 11	K4 85	4	SILEX	NI		137	PS	PN2365-2380	1019,1	27-01-2012/09:06:46.0
2012	5919	3029	11		1450594.825142	5116571.015109	83.047735	490	Locus 11	K4 85	4	SILEX	/		137	PS	PN2365-2380	/	27-01-2012/09:07:11.0
2012	5919	3030	13		1450594.971584	5116570.395740	83.072331	490	Locus 11	K4 95	4	SILEX	Lpd			PS		9,9	27-01-2012/09:07:42.0
2012	5919	3031	12		1450594.487164	5116570.691624	83.060294	490	Locus 11	K4 95	4	SILEX	Epde			PS		1,2	27-01-2012/09:08:31.0
2012	5919	3032	11		1450594.313451	5116570.876477	83.049030	490	Locus 11	K4 95	4	SILEX	LC2/Lpde		137	PS	PN2365-2380	352,9	27-01-2012/09:08:53.0
2012	5919	3033	11		1450592.127998	5116570.790528	83.081391	490	Locus 11	K4 93	4	SILEX	Fi/Cg			PS		0,1	27-01-2012/09:09:35.0
2012	5919	3034	11		1450591.613796	5116570.443134	83.067696	490	Locus 11	K4 92	4	SILEX	Fi			PS		0,5	27-01-2012/09:10:14.0
2012	5919	3035	12		1450591.640068	5116571.221726	83.093745	490	Locus 11	K4 82	4	SILEX	E/Lpd	becc?		PS		4,8	27-01-2012/09:11:01.0
2012	5919	3036	11		1450591.525050	5116571.681327	83.134317	490	Locus 11	K4 82	4	SILEX	E0			PS		0,6	27-01-2012/09:11:27.0

Inventaire officiel 7 – Montguyon (17), « Bois Clair ». Inventaire du mobilier individualisé

ANNEE	OA	IDENTIFIANT	N°DE CAISSE	N°DE LOT	X = est	Y = nord	Z = alti NGF	PARCELLE	SECTEUR (CP/TR/ST...)	CARRE	UPS	MATERIAU	SUPPORT (cf. annexe 3)	TYPOLOGIE (cf. annexe 3)	REMONTAGES	CHRONO-CULTURE (cf. annexe 3)	CLICHE	MASSE (g.)	DATE DECOUVERTE
2012	5919	3037	11		1450591.503194	5116571.975256	83.119489	490	Locus 11	K4 82	4	SILEX	Epde			PS		4,6	27-01-2012/09:12:06.0
2012	5919	3038	11		1450591.919916	5116571.748075	83.138773	490	Locus 11	K4 82	4	SILEX	E11			PS		0,1	27-01-2012/09:12:50.0
2012	5919	3039	16		1450592.194522	5116571.921887	83.124280	490	Locus 11	K4 82	4	SILEX	EC3		99	PM		21,4	27-01-2012/09:13:24.0
2012	5919	3040	3		1450600.914785	5116583.250285	82.944408	490			4	Quartz	Gb			PM/PS		239	27-01-2012/09:14:26.0
2012	5919	3041	2		1450601.132745	5116583.594702	82.934567	490			4	Quartzite	Gb			PM/PS		518,1	27-01-2012/09:15:11.0
2012	5919	3042	3		1450599.124788	5116583.069489	82.963762	490			4	Quartzite	Gb			PM/PS		179,1	27-01-2012/09:15:44.0
2012	5919	3043	16		1450597.306186	5116581.486561	82.966974	490			4	SILEX	EC0			PM/PS		17,2	27-01-2012/09:04:31.0
2012	5919	3044	18		1450597.889741	5116584.193066	83.028269	490			4	SILEX	Ni			PM/PS		9,5	27-01-2012/09:04:48.0
2012	5919	3045	18		1450595.182843	5116582.092248	83.011468	490			4/5	SILEX	EC2			PM		7,8	27-01-2012/09:16:23.0
2012	5919	3046	11		1450592.334318	5116571.962465	83.114631	490	Locus 11	K4 83	4	SILEX	E0			PM/PS-PS		3,7	27-01-2012/09:16:35.0
2012	5919	3047	11		1450591.954993	5116572.172919	83.122146	490	Locus 11	K4 73	4	SILEX							27-01-2012/09:16:55.0
2012	5919	3048	14		1450592.136358	5116572.659667	83.104914	490	Locus 11	K4 73	4	SILEX	EC2		94	PM	PN2060/2304-2306	5	27-01-2012/09:17:11.0
2012	5919	3049	11		1450591.359816	5116573.268876	83.127581	490	Locus 11	K4 62	4	SILEX	E0/Lpde?			PS		0,4	27-01-2012/09:17:52.0
2012	5919	3050	16		1450592.577072	5116573.675371	83.114875	490	Locus 11	K4 63	4	SILEX	ENC7			PM/PS		16,7	27-01-2012/09:18:20.0
2012	5919	3051	11		1450592.611843	5116573.747373	83.125610	490	Locus 11	K4 63	4	SILEX	LC0			PS		1,3	27-01-2012/09:18:41.0
2012	5919	3052	15		1450592.381754	5116574.682413	83.145084	490	Locus 11	K4 53	4	SILEX	E5			PM		63	27-01-2012/09:20:59.0
2012	5919	3053	15		1450598.851710	5116580.784457	82.935838	490			4	SILEX	E5			PM		18,4	27-01-2012/09:21:40.0
2012	5919	3054	3		1450597.820006	5116582.824216	82.940237	490			4	Quartz	Gb			PM/PS		242,7	27-01-2012/09:22:42.0
2012	5919	3055	12		1450594.312533	5116583.022070	83.003808	490			4	SILEX	E1			PM		75,3	27-01-2012/09:23:37.0
2012	5919	3056	11		1450591.550330	5116574.910209	83.179005	490	Locus 11	K4 52	4	SILEX	EC2			PM/PS		4	27-01-2012/09:25:22.0
2012	5919	3057	12		1450591.618746	5116575.009979	83.188424	490	Locus 11	K4 52	4	SILEX	E9			PS		4,8	27-01-2012/09:25:46.0
2012	5919	3058	11		1450594.112795	5116574.271743	83.157678	490	Locus 11	K4 55	4	SILEX	Fi			PS		0,1	27-01-2012/09:26:18.0
2012	5919	3059	11		1450594.154668	5116574.520816	83.161590	490	Locus 11	K4 55	4	SILEX	Fl/Cg			PS		0,5	27-01-2012/09:27:04.0
2012	5919	3060	11		1450594.604452	5116573.926799	83.124241	490	Locus 11	K4 65	4	SILEX	Fl/Cg			PS		1,8	27-01-2012/09:27:17.0
2012	5919	3061	16		1450594.560368	5116573.524946	83.113858	490	Locus 11	K4 65	4	SILEX	D			PM/PS		9,1	27-01-2012/09:27:57.0
2012	5919	3062	11		1450594.489397	5116572.816848	83.109978	490	Locus 11	K4 75	4	SILEX	Fl/Cg			PS		0,2	27-01-2012/09:28:21.0
2012	5919	3063	11		1450594.097841	5116571.640687	83.088704	490	Locus 11	K4 85	4	SILEX	Lpd/Lpde		143	PS		60,6	27-01-2012/09:29:15.0
2012	5919	3064	12		1450595.124576	5116573.502056	83.138858	490	Locus 11 (E)		4	SILEX	Fl/Cg			PS		4,1	27-01-2012/09:30:52.0
2012	5919	3065	11		1450595.089813	5116573.668033	83.126021	490	Locus 11 (E)		4	SILEX	Fl/Cg			PS		3,2	27-01-2012/09:31:17.0
2012	5919	3066	11		1450592.671720	5116572.931233	83.109761	490	Locus 11	K4 73	4	SILEX	E11			PS		0,1	27-01-2012/09:32:00.0
2012	5919	3067	11		1450592.481977	5116572.831715	83.113010	490	Locus 11	K4 73	4	SILEX	E11			PS		0,8	27-01-2012/09:32:43.0
2012	5919	3068	11		1450592.584316	5116573.432032	83.107356	490	Locus 11	K4 73	4	SILEX	E11			PS		0,1	27-01-2012/09:33:38.0
2012	5919	3069	11		1450591.138512	5116576.848636	83.267150	490	Locus 11 (N)		4	SILEX	EC0			PS		1	27-01-2012/09:34:40.0
2012	5919	3070	16		1450592.085614	5116576.192673	83.237798	490	Locus 11 (N)		4	SILEX	Fi			PM/PS		5	27-01-2012/09:36:20.0
2012	5919	3071	11		1450592.044307	5116576.175562	83.238780	490	Locus 11 (N)		4	SILEX	Fl/Cg			PS		0,8	27-01-2012/09:36:39.0
2012	5919	3072	11		1450592.505279	5116576.385310	83.220893	490	Locus 11 (N)		4	Quartz	NT			PM/PS		0,1	27-01-2012/09:37:40.0
2012	5919	3073	11		1450592.597803	5116576.405595	83.219447	490	Locus 11 (N)		4	SILEX	E11			PS		0,1	27-01-2012/09:38:31.0
2012	5919	3074	11		1450592.592840	5116577.275066	83.189052	490	Locus 11 (N)		4	SILEX	Fl/Cg			PS		1,5	27-01-2012/09:38:55.0
2012	5919	3075	13		1450593.249979	5116576.828090	83.180460	490	Locus 11 (N)		4	SILEX	Fl/Cg			PS		13,3	27-01-2012/09:39:41.0
2012	5919	3076	11		1450593.514967	5116575.874691	83.214170	490	Locus 11 (N)		4	SILEX	E0			PS		2,3	27-01-2012/09:40:00.0
2012	5919	3077	11		1450593.804668	5116575.986748	83.211072	490	Locus 11 (N)		4	SILEX	NT					1,1	27-01-2012/09:40:36.0
2012	5919	3078	12		1450594.045562	5116575.449345	83.239077	490	Locus 11 (N)		4	SILEX	Lpd			PS		1,4	27-01-2012/09:41:13.0
2012	5919	3079	16		1450594.001661	5116575.777447	83.211118	490	Locus 11 (N)		4	SILEX	EC7			PM/PS		8,6	27-01-2012/09:42:04.0
2012	5919	3080	12		1450594.290840	5116576.142660	83.209299	490	Locus 11 (N)		4	SILEX	Fl/Cg			PS		10	27-01-2012/09:42:48.0
2012	5919	3081	12		1450594.545505	5116575.581230	83.237590	490	Locus 11 (N)		4	SILEX	Fl/Cg			PS		3	27-01-2012/09:44:06.0
2012	5919	3082	11		1450594.748717	5116575.543381	83.215123	490	Locus 11 (N)		4	SILEX	Fl/Cg			PS		0,8	27-01-2012/09:45:18.0
2012	5919	3083	11		1450597.354474	5116575.120485	83.181118	490	Locus 11 (E)		4	SILEX	E11			PS		0,2	27-01-2012/09:46:00.0
2012	5919	3084	11		1450597.442227	5116575.179418	83.183933	490	Locus 11 (E)		4	SILEX	E0			PS		3,6	27-01-2012/09:46:35.0
2012	5919	3085	16		1450597.328355	5116575.703699	83.185219	490	Locus 11 (E)		4	SILEX	EC7			PM/PS		1,9	27-01-2012/09:47:22.0
2012	5919	3086	11		1450598.889859	5116576.302966	83.183315	490	Locus 11 (E)		4	SILEX	E11			PS		0,3	27-01-2012/09:48:00.0
2012	5919	3087	16		1450598.124150	5116577.480771	83.246677	490	Locus 11 (E)		4	SILEX	E6		146	PM		16,5	27-01-2012/09:48:44.0
2012	5919	3088	16		1450597.116509	5116577.130105	83.202835	490	Locus 11 (E)		4	SILEX	Cg			PM/PS		4,4	27-01-2012/09:49:19.0
2012	5919	3089	13		1450597.079562	5116577.338541	83.185510	490	Locus 11 (E)		4	SILEX				PM			27-01-2012/09:50:06.0
2012	5919	3090	11		1450596.845143	5116578.001508	83.202148	490	Locus 11 (N/E)		4	SILEX	E0			PS		1,2	27-01-2012/09:50:37.0
2012	5919	3091	11		1450595.629567	5116578.686246	83.220083	490	Locus 11 (N/E)		4	SILEX	Fi			PS		0,1	27-01-2012/09:51:05.0
2012	5919	3092	11		1450595.118429	5116578.703149	83.203721	490	Locus 11 (N/E)		4	SILEX	Fl/Cg			PS		2,6	27-01-2012/09:51:35.0
2012	5919	3093	16		1450599.377473	5116579.279318	83.227611	490	Locus 11 (N/E)		4	SILEX	Cf			PM/PS		0,3	27-01-2012/09:52:34.0
2012	5919	3094	11		1450599.009028	5116579.705457	83.221048	490	Locus 11 (N/E)		4	SILEX	ED/Eci			PS		1,7	27-01-2012/09:53:07.0

Inventaire officiel 7 – Montguyon (17), « Bois Clair ». Inventaire du mobilier individualisé

ANNEE	OA	IDENTIFIANT	N°DE CAISSE	N°DE LOT	X = est	Y = nord	Z = alti NGF	PARCELLE	SECTEUR (CP/TR/ST...)	CARRE	UPS	MATERIAU	SUPPORT (cf. annexe 3)	TYPOLOGIE (cf. annexe 3)	REMONTAGES	CHRONO-CULTURE (cf. annexe 3)	CLICHE	MASSE (g.)	DATE DECOUVERTE
2012	5919	3095	16		1450598.941234	5116579.408990	83.239630	490	Locus 11 (N/E)		4	SILEX	E10		146	PM		33,1	27-01-2012/09:53:31.0
2012	5919	3096	16		1450598.955726	5116579.454726	83.229245	490	Locus 11 (N/E)		4	SILEX	/		146	PM		/	27-01-2012/09:54:31.0
2012	5919	3097	11		1450594.731442	5116573.462312	83.129420	490	Locus 11 (N/E)		4	SILEX	Fi/Cg			PS		2,1	27-01-2012/09:55:31.0
2012	5919	3098	1		1450593.754551	5116581.033741	82.875806	490			4	Quartz	Gup			PM/PS		341,3	27-01-2012/09:55:58.0
2012	5919	3099	16		1450594.999115	5116580.381071	82.936833	490			4	SILEX	E1			PM		4,7	27-01-2012/09:56:31.0
2012	5919	3100	15		1450596.391706	5116581.900152	82.776047	490			5	SILEX	LC2			PM		39,7	27-01-2012/09:59:36.0
2012	5919	3101	14		1450594.935425	5116581.960948	82.806221	490			5	SILEX	E5			PM	PN2057	16,3	27-01-2012/10:01:21.0
2012	5919	3102	18		1450600.701734	5116583.956953	82.697364	490			5	SILEX	EC2			PM		12,8	27-01-2012/10:01:41.0
2012	5919	3103	13		1450593.560018	5116585.046284	82.891545	490			5	SILEX	NTE		14	PM	PN2142-2143	65,6	27-01-2012/10:48:47.0
2012	5919	3104	15		1450596.613790	5116581.646224	82.714938	490			5	SILEX	EC2			PM		48,7	27-01-2012/10:59:59.0
2012	5919	3105	17		1450597.012841	5116582.800691	82.712120	490			5	SILEX	EC2			PM		55,3	27-01-2012/11:00:23.0
2012	5919	3106	16		1450596.255591	5116583.138498	82.676145	490			5	SILEX	Cg			PM		15,5	27-01-2012/11:06:24.0
2012	5919	3107	15		1450597.528691	5116582.835908	82.589092	490			5	SILEX	E3			PM		7,8	27-01-2012/11:20:21.0
2012	5919	3108	16		1450595.397095	5116583.040017	82.534462	490			5/7	SILEX	D			PM		11,7	27-01-2012/11:25:22.0
2012	5919	3109	16		1450594.286528	5116581.097396	82.570177	490			5	SILEX	Cg			PM		7,5	30-01-2012/09:55:17.0
2012	5919	3110	18		1450596.502404	5116581.401207	82.459662	490			5	SILEX	Ni			PM		13	30-01-2012/10:07:48.0
2012	5919	3111	17		1450596.795586	5116582.289241	82.358781	490			5	SILEX	EC1			PM		56,2	30-01-2012/10:16:58.0
2012	5919	3112	14		1450596.366077	5116582.894242	82.351941	490			5	SILEX	LC1			PM		36,5	30-01-2012/10:17:17.0
2012	5919	3113	15		1450596.839214	5116581.731813	82.314427	490			7	SILEX	EO			PM		60,2	30-01-2012/10:19:55.0
2012	5919	3150	16		1450596.965032	5116586.443698	83.087278	490			4	SILEX	Fi			PM		0,2	30-01-2012/10:30:46.0
2012	5919	3151	14		1450594.408254	5116586.783634	83.097296	490			4	SILEX	ENC3/K		47-48	PM	PN2244-2299	26,2	30-01-2012/10:34:40.0
2012	5919	3152	12		1450598.175665	5116590.964540	83.15171	490			4	SILEX	Lpd/Lpde		123	PS/EPIP	PN2180-2188/2381-83	22,6	30-01-2012/10:40:32.0
2012	5919	3153	12		1450598.150745	5116591.193668	83.166697	490			4	SILEX	/		123	PS/EPIP	PN2180-2188/2381-83	/	30-01-2012/11:33:09.0
2012	5919	3154	15		1450596.958571	5116587.712488	83.089529	490			4	SILEX	D			PM/PS		5,3	30-01-2012/11:33:22.0
2012	5919	3155	12		1450596.720810	5116588.597230	83.119888	490			4	SILEX	Epde		123	PS/EPIP	PN2180-2188/2381-83	8,6	30-01-2012/11:33:38.0
2012	5919	3169	15		1450592.762338	5116587.933045	82.759836	490			5	SILEX	E6			PM		84,3	30-01-2012/11:47:30.0
2012	5919	3176	18		1450593.226552	5116587.327679	82.673306	490			5	SILEX	EC3			PM		42,9	30-01-2012/11:47:46.0
2012	5919	3177	15		1450590.862026	5116587.703243	82.729437	490			5	SILEX	EC2			PM		39,3	30-01-2012/11:47:57.0
2012	5919	3178	15		1450589.798284	5116587.317262	82.658982	490			5	SILEX	E3			PM		3,2	30-01-2012/12:10:38.0
2012	5919	3179	14		1450594.788364	5116586.593068	83.001399	490	Locus 12bis		4	SILEX	E5		51	PM	PN2049-2051	61,1	30-01-2012/12:17:08.0
2012	5919	3180	14		1450596.195198	5116586.830209	83.054854	490	Locus 12bis		4	SILEX	EC1		51	PM	PN2259-2277	63,4	30-01-2012/12:17:21.0
2012	5919	3181	14		1450594.258543	5116587.707071	83.054769	490	Locus 12bis		4	SILEX	E5		51	PM	PN2259-2277	2,9	30-01-2012/12:17:38.0
2012	5919	3182	12		1450595.310869	5116590.161521	83.096619	490			4	SILEX	Epde			PS/EPIP		9,8	30-01-2012/14:21:28.0
2012	5919	3183	15		1450595.014554	5116590.422249	83.108337	490			4	SILEX	EC0			PM/PS		2,8	30-01-2012/14:23:26.0
2012	5919	3184	17		1450584.307586	5116589.592193	83.176292	490			4	SILEX	E6			PM		76,7	30-01-2012/14:25:24.0
2012	5919	3185	16		1450598.210635	5116586.366782	82.775603	490	Locus 12		4	SILEX	E11			PM		1,2	30-01-2012/14:29:03.0
2012	5919	3186	17		1450584.044892	5116589.290261	82.538844	490	CP19		7	SILEX	NPOL1			PM		70,8	30-01-2012/14:29:14.0
2012	5919	3187	15		1450691.420748	5116593.196217	83.187347	490			4	SILEX	L			PM		7	30-01-2012/14:55:33.0
2012	5919	3188	13		1450589.602133	5116593.120545	83.046465	490	CP19		4	SILEX	EC2		122	PM		14,4	30-01-2012/15:03:56.0
2012	5919	3189	12		1450589.649721	5116593.047177	83.046462	490	CP19		4	SILEX	ENC2			PS		2,8	30-01-2012/15:07:46.0
2012	5919	3190	12		1450589.763355	5116592.951670	83.052022	490	CP19		4	SILEX	E11			PM/PS		0,1	30-01-2012/15:08:51.0
2012	5919	3191	13		1450589.912190	5116593.141197	83.045156	490	CP19		4	SILEX	EC3		122	PM		30,9	30-01-2012/15:30:26.0
2012	5919	3192	13		1450590.205015	5116593.085009	83.055797	490	CP19		4	SILEX	EC1		122	PM		16,1	30-01-2012/15:30:35.0
2012	5919	3193	12		1450590.210278	5116593.252334	83.060848	490	CP19		4	SILEX	E0			PS		1,3	30-01-2012/15:30:45.0
2012	5919	3194	16		1450598.138401	5116586.305734	82.746602	490			4	SILEX	E11			PM		0,1	30-01-2012/15:30:55.0
2012	5919	3195	13		1450589.840859	5116593.162258	83.040065	490	CP19		4	SILEX	EC2		122	PM		36,6	30-01-2012/15:31:08.0
2012	5919	3196	12		1450589.489642	5116592.068838	82.982909	490	CP19		4/5	SILEX	Fi			PM		18,6	30-01-2012/15:31:16.0
2012	5919	3197	13		1450589.719786	5116593.414684	83.014021	490	CP19		4/5	SILEX	EC2		122	PM		6,9	30-01-2012/15:32:05.0
2012	5919	3198	15		1450587.535173	5116591.498991	82.994110	490	CP19		5	SILEX	E5			PM		5,4	30-01-2012/15:37:18.0
2012	5919	3199	17		1450590.394038	5116593.902483	82.950055	490	CP19		4	SILEX	EL2			PM		45,4	30-01-2012/15:47:11.0
2012	5919	3200	15		1450589.276284	5116592.164233	82.812794	490	CP19		4	SILEX	E0			PM		10	30-01-2012/15:47:58.0
2012	5919	3201	14		1450588.096593	5116592.378277	82.741997	490	CP19		5	SILEX	EC3	G9		PM		19,5	30-01-2012/15:56:29.0
2012	5919	3202	18		1450595.346871	5116592.454729	83.252419	490	CP19		4	SILEX	ENC2			PM/PS		10,8	30-01-2012/15:56:41.0
2012	5919	3203	17		1450593.185526	5116595.317122	82.972687	490	TR114 INRAP		4	SILEX	EC3			PM/PS		49,8	30-01-2012/16:09:41.0
2012	5919	3204	16		1450598.694878	5116586.300485	82.793057	490			4	SILEX	E11			PM		0,6	30-01-2012/16:15:29.0
2012	5919	3205	12		1450593.650600	5116595.471203	82.989027	490	TR114 INRAP		4	SILEX	Lcr		121	PS		56,9	31-01-2012/08:45:25.0
2012	5919	3206	12		1450594.291688	5116596.125648	83.004461	490	TR114 INRAP		4	SILEX	Lncr		121	PS		56,8	31-01-2012/08:45:52.0
2012	5919	3207	12		1450594.139525	5116595.785249	82.991967	490	TR114 INRAP		4	SILEX	/		120	PS		/	31-01-2012/09:00:39.0

Inventaire officiel 7 – Montguyon (17), « Bois Clair ». Inventaire du mobilier individualisé

ANNEE	OA	IDENTIFIANT	N°DE CAISSE	N°DE LOT	X = est	Y = nord	Z = alti NGF	PARCELLE	SECTEUR (CP/TR/ST...)	CARRE	UPS	MATERIAU	SUPPORT (cf. annexe 3)	TYPOLOGIE (cf. annexe 3)	REMONTAGES	CHRONO-CULTURE (cf. annexe 3)	CLICHE	MASSE (g.)	DATE DECOUVERTE
2012	5919	3208	16		1450595.032724	5116588.955373	83.092097	490			4	SILEX	D			PM/PS		0,1	31-01-2012/09:23:06.0
2012	5919	3209	16		1450595.070248	5116589.235001	83.074631	490			4	SILEX	E11			PM/PS		2,9	31-01-2012/09:23:22.0
2012	5919	3210	16		1450595.309095	5116590.307127	83.096615	490			4	SILEX	D			PM/PS		0,8	31-01-2012/09:23:34.0
2012	5919	3211	12		1450595.386982	5116592.206621	83.215043	490			4	SILEX	Lpd/Lpde			PS		3	31-01-2012/09:40:39.0
2012	5919	3212	12		1450598.409753	5116593.755896	83.168857	490			4	SILEX	Lipde			PS		1,5	31-01-2012/09:40:50.0
2012	5919	3213	1		1450599.855116	5116598.876747	82.638332	490			4	Quartzite	Gup			PM/PS	PN2153	597,3	31-01-2012/09:41:05.0
2012	5919	3214	12		1450600.937283	5116597.274036	83.024311	490			4	SILEX	Epde			PS/EPIP		8,7	31-01-2012/09:41:24.0
2012	5919	3215	12		1450601.056098	5116597.547636	83.043769	490			4	SILEX	Fi			PS/EPIP		1,6	31-01-2012/09:41:40.0
2012	5919	3216	4		1450598.387508	5116594.087861	83.022450	490			4	Grès ferrugineux	Bfgt			PM/PS		500	31-01-2012/09:48:29.0
2012	5919	3217	14		1450598.146195	5116597.903834	82.150933	490			5 (c?)	SILEX	EC2	G3		PM		179,7	31-01-2012/10:06:15.0
2012	5919	3218	15		1450598.355324	5116599.059120	82.111420	490			5 (c?)	SILEX	D			PM		21,6	31-01-2012/10:06:25.0
2012	5919	3219	15		1450604.016628	5116599.970008	83.039490	490			4	SILEX	Lpd			PS/EPIP		9,1	31-01-2012/10:06:42.0
2012	5919	3238	12		1450601.730877	5116600.693721	82.576180	490			4	SILEX	EC2	G2		PM		73,6	31-01-2012/12:05:01.0
2012	5919	3239	3		1450605.552886	5116602.183858	82.700061	490			4	Quartz	Gb			PM/PS		447,8	31-01-2012/12:11:26.0
2012	5919	3240	12		1450600.893174	5116597.181871	82.991326	490			4	SILEX	EC2/Epde			PS/EPIP		17,3	31-01-2012/14:41:50.0
2012	5919	3241	12		1450600.927626	5116597.260533	83.010663	490	Locus 13		4	SILEX	Lic2/Lipde			PS/EPIP		0,1	31-01-2012/15:54:53.0
2012	5919	3242	12		1450600.727981	5116597.201447	82.986346	490	Locus 13		4	SILEX	Lic2/Lipde			PS/EPIP		0,1	31-01-2012/15:55:17.0
2012	5919	3243	12		1450600.639833	5116597.158320	82.967253	490	Locus 13		4	SILEX	EC2			PS/EPIP		56,3	31-01-2012/16:44:47.0
2012	5919	3244	12		1450600.254069	5116597.028725	82.992945	490	Locus 13		4	SILEX	/		117	PS/EPIP		/	31-01-2012/16:44:57.0
2012	5919	3245	12		1450602.824424	5116598.064522	82.967805	490	Locus 13		4	SILEX	EC0		118	PS/EPIP		45	31-01-2012/16:45:15.0
2012	5919	3246	12		1450603.450528	5116597.267513	82.964019	490	Locus 13		4	SILEX	Epde		119	PS/EPIP	PN2168-2179	11	31-01-2012/16:45:21.0
2012	5919	3247	12		1450603.815986	5116597.076823	82.988639	490	Locus 13		4	SILEX	E10/Epde		119	PS/EPIP	PN2168-2179	7,2	31-01-2012/16:45:35.0
2012	5919	3248	12		1450603.519699	5116596.486334	82.964296	490	Locus 13		4	SILEX	E10/Epde		119	PS/EPIP	PN2168-2179	13,6	31-01-2012/16:45:49.0
2012	5919	3249	12		1450603.412549	5116596.606687	82.966474	490	Locus 13		4	SILEX	E9		119	PS/EPIP	PN2168-2179	3,5	31-01-2012/16:46:04.0
2012	5919	3250	12		1450603.353302	5116596.587964	82.963063	490	Locus 13		4	SILEX	E10/Epde		119	PS/EPIP	PN2168-2179	12,2	31-01-2012/16:46:15.0
2012	5919	3251	12		1450603.203996	5116596.492856	82.968155	490	Locus 13		4	SILEX	E11			PS/EPIP		1,7	31-01-2012/16:46:38.0
2012	5919	3252	12		1450603.254153	5116595.570037	82.970332	490	Locus 13		4	SILEX	EC1/2			PS/EPIP		3,1	31-01-2012/16:46:51.0
2012	5919	3253	15		1450602.988991	5116601.552321	82.470085	490			5	SILEX	EL1-2		75	PM		25,6	31-01-2012/16:46:59.0
2012	5919	3254	16		1450606.259354	5116595.691969	82.631794	490			5	SILEX	EC3			PM		9,6	31-01-2012/16:47:13.0
2012	5919	3255	15		1450606.940587	5116596.675289	82.548527	490			4/5	SILEX	EC1			PM		11,5	31-01-2012/16:47:27.0
2012	5919	3256	18		1450606.512724	5116596.749043	82.535002	490			4/5	SILEX	EC2			PM		38,8	31-01-2012/16:32:47.0
2012	5919	3257	14		1450606.844285	5116594.934638	82.558624	490			5	SILEX	EC1	G7		PM		92,1	01-02-2012/09:09:58.0
2012	5919	3258	3		1450607.192387	5116596.751107	82.478861	490			5	Quartz	Gb			PM		365,8	01-02-2012/09:26:33.0
2012	5919	3259	17		1450605.678452	5116596.279744	82.541229	490			5	SILEX	NFU			PM		203,5	01-02-2012/09:32:01.0
2012	5919	3260	14		1450608.495741	5116596.139596	82.443846	490			5	SILEX	E2	G2		PM		53,6	01-02-2012/09:38:19.0
2012	5919	3261	14		1450608.149203	5116595.816552	82.426805	490			5	SILEX	EL6	G5		PM	PN2247-2251	10,9	01-02-2012/09:40:43.0
2012	5919	3262	18		1450608.890054	5116596.572357	82.406035	490			5	SILEX	EC0			PM		32,1	01-02-2012/09:46:20.0
2012	5919	3263	3		1450607.194423	5116598.229930	82.459405	490			5	Quartz	Gb			PM		822,5	01-02-2012/09:58:31.0
2012	5919	3264	4		1450606.940879	5116594.474491	82.383904	490			5	Quartz	Gb			PM		782,5	01-02-2012/10:05:50.0
2012	5919	3265	14		1450607.680973	5116595.526777	82.166953	490			5 (c?)	SILEX	EL6	G8		PM		63,7	01-02-2012/10:09:02.0
2012	5919	3266	17		1450606.279536	5116600.290213	82.539103	490			4	SILEX	E1			PM		5	01-02-2012/10:15:08.0
2012	5919	3267	3		1450606.045653	5116598.996607	82.390018	490			5	Quartzite	Gb			PM		397,9	01-02-2012/10:23:55.0
2012	5919	3268	3		1450605.231482	5116598.541434	82.416491	490			5	Quartz	Gb			PM		381,9	01-02-2012/11:07:02.0
2012	5919	3269	15		1450601.882828	5116602.260265	82.450486	490			5	SILEX	EL1-2		75	PM		57,1	01-02-2012/12:01:57.0
2012	5919	3270	17		1450601.500015	5116602.188454	82.445639	490			5	SILEX	E6			PM		112,3	01-02-2012/12:20:03.0
2012	5919	3271	18		1450601.696426	5116601.895912	82.430751	490			5	SILEX	EC0		16	PM		28,5	01-02-2012/12:20:17.0
2012	5919	3272	16		1450601.604007	5116601.846916	82.435631	490			5	SILEX	Fi			PM		1	01-02-2012/12:20:56.0
2012	5919	3273	14		1450603.651242	5116599.842172	82.487851	490			5	SILEX	EK	G2		PM		6,7	01-02-2012/12:21:09.0
2012	5919	3274	12		1450603.988399	5116595.825659	82.938541	490	Locus 13		4	SILEX	NII		119	PS/EPIP	PN2168-2179	46,5	01-02-2012/12:21:19.0
2012	5919	3275	12		1450600.768198	5116597.173003	82.978822	490	Locus 13		4	SILEX	E0			PS/EPIP		1	01-02-2012/12:21:28.0
2012	5919	3276	18		1450601.548396	5116602.335478	82.444677	490			5	SILEX	EC2		16	PM		100,9	01-02-2012/12:21:42.0
2012	5919	3277	17		1450602.576530	5116601.142097	82.418009	490			5	SILEX	EC2			PM		22,6	01-02-2012/12:21:58.0
2012	5919	3279	18		1450609.635522	5116595.527058	82.505693	490			4/5	SILEX	EC1			PM		34,1	01-02-2012/12:22:13.0
2012	5919	3280	14		1450610.127274	5116596.249065	82.498245	490			4/5	SILEX	EC3	G7		PM		27,9	01-02-2012/13:34:26.0
2012	5919	3281	17		1450610.979534	5116595.550368	82.449005	490			4/5	SILEX	NDU			PM		85,2	01-02-2012/13:50:34.0
2012	5919	3282	16		1450611.857094	5116594.091951	82.472737	490			5	SILEX	Fi			PM		3,7	01-02-2012/14:34:55.0
2012	5919	3283	13		1450610.646595	5116595.412857	82.458841	490			4/5	SILEX	E1		4	PM		19,3	01-02-2012/14:47:59.0
2012	5919	3284	2		1450614.597136	5116593.829516	82.318405	490			5	Quartzite	Gup			PM		316,8	01-02-2012/14:48:11.0

Inventaire officiel 7 – Montguyon (17), « Bois Clair ». Inventaire du mobilier individualisé

ANNEE	OA	IDENTIFIANT	N°DE CAISSE	N°DE LOT	X = est	Y = nord	Z = alti NGF	PARCELLE	SECTEUR (CP/TR/ST...)	CARRE	UPS	MATERIAU	SUPPORT (cf. annexe 3)	TYPOLOGIE (cf. annexe 3)	REMONTAGES	CHRONO-CULTURE (cf. annexe 3)	CLICHE	MASSE (g.)	DATE DECOUVERTE
2012	5919	3285	15		1450613.848409	5116595.657550	82.379473	490			5	SILEX	E1			PM		11,1	01-02-2012/14:50:00.0
2012	5919	3286	13		1450611.518083	5116596.123514	82.420077	490			5	SILEX	El.2	G2		PM		33,2	01-02-2012/14:56:37.0
2012	5919	3287	16		1450612.077311	5116595.859938	82.379810	490			5	SILEX	E0			PM		3,7	01-02-2012/15:05:04.0
2012	5919	3288	16		1450610.721452	5116594.441125	82.393567	490			5	SILEX	Cg			PM		6,2	01-02-2012/15:05:28.0
2012	5919	3289	13		1450599.807049	5116585.554281	82.650917	490	Locus 12		5	SILEX	LC2		76	PM	PN2121	140,5	01-02-2012/15:09:57.0
2012	5919	3290	14		1450599.726720	5116585.545428	82.692811	490	Locus 12		5	SILEX	ENC1		77	PM	PN2114-2116	36,3	01-02-2012/15:10:15.0
2012	5919	3291	13		1450599.598028	5116585.474095	82.680991	490	Locus 12		5	SILEX	EL4		78	PM	PN2109-2113	65,2	01-02-2012/15:11:47.0
2012	5919	3292	14		1450599.604178	5116585.648530	82.664206	490	Locus 12		5	SILEX	E6		77	PM	PN2114-2116	117,4	01-02-2012/15:37:29.0
2012	5919	3293	13		1450599.829664	5116585.590372	82.664810	490	Locus 12		5	SILEX	Cg		76	PM	PN2121	0	01-02-2012/15:38:04.0
2012	5919	3294	17		1450599.747220	5116585.722216	82.680167	490	Locus 12		5	SILEX	EL7			PM	PN2064	1,4	01-02-2012/15:38:52.0
2012	5919	3295	13		1450599.399475	5116585.073408	82.662124	490	Locus 12		5	SILEX	EC1		74	PM		37	01-02-2012/15:41:20.0
2012	5919	3296	16		1450599.461255	5116585.617376	82.693904	490	Locus 12		5	SILEX	Fi			PM		1,9	01-02-2012/15:41:36.0
2012	5919	3297	16		1450599.456824	5116585.717279	82.675581	490	Locus 12		5	SILEX	EC8			PM		1,8	01-02-2012/15:42:47.0
2012	5919	3298	15		1450600.523230	5116586.117802	82.686641	490	Locus 12		5	SILEX	E5			PM		1,3	01-02-2012/15:46:07.0
2012	5919	3299	16		1450600.365573	5116586.127461	82.695806	490	Locus 12		5	SILEX	Fi			PM		0,1	01-02-2012/15:46:53.0
2012	5919	3300	16		1450600.081018	5116586.035318	82.670661	490	Locus 12		5	SILEX	D			PM		4,1	01-02-2012/15:47:42.0
2012	5919	3301	16		1450600.060091	5116586.354386	82.689077	490	Locus 12		5	SILEX	Fi			PM		0,1	01-02-2012/15:48:38.0
2012	5919	3302	15		1450600.194639	5116586.685551	82.698663	490	Locus 12		5	SILEX	Fi			PM		5,3	01-02-2012/15:48:52.0
2012	5919	3303	15		1450600.447103	5116587.487763	82.731293	490	Locus 12		5	SILEX	EC3			PM		12	01-02-2012/15:49:10.0
2012	5919	3304	17		1450600.207022	5116587.288898	82.720898	490	Locus 12		5	SILEX	E0			PM		18	01-02-2012/15:49:56.0
2012	5919	3305	15		1450599.857289	5116586.981446	82.705438	490	Locus 12		5	SILEX	E0			PM		5	01-02-2012/15:50:37.0
2012	5919	3306	16		1450599.937627	5116586.736378	82.728127	490	Locus 12		5	SILEX	E5			PM		2,8	01-02-2012/15:51:06.0
2012	5919	3307	16		1450599.733332	5116586.547721	82.772229	490	Locus 12		5	SILEX	Fi			PM		1,1	01-02-2012/15:51:30.0
2012	5919	3308	16		1450599.629935	5116586.528794	82.741410	490	Locus 12		5	SILEX	Fi			PM		0,5	01-02-2012/15:51:56.0
2012	5919	3309	4		1450600.077737	5116586.639153	82.680121	490	Locus 12		5	Grès ferrugineux	Bfgt			PM		600	01-02-2012/15:52:17.0
2012	5919	3310	14		1450598.066430	5116585.029825	82.651083	490	Locus 12		5	SILEX	E1	G2		PM	PN2232-2234	31,1	01-02-2012/15:52:44.0
2012	5919	3311	15		1450599.160422	5116586.364759	82.708517	490	Locus 12		5	SILEX	E6			PM		7,7	01-02-2012/15:53:12.0
2012	5919	3312	15		1450599.287442	5116586.156521	82.762623	490	Locus 12		5	SILEX	E0			PM		16,6	01-02-2012/15:54:03.0
2012	5919	3313	16		1450599.450450	5116585.928562	82.693211	490	Locus 12		5	SILEX	Fi			PM		9,1	01-02-2012/15:54:25.0
2012	5919	3314	17		1450599.409737	5116585.895860	82.675004	490	Locus 12		5	SILEX	EL2			PM		6,2	01-02-2012/15:55:19.0
2012	5919	3315	13		1450599.501715	5116585.849630	82.622290	490	Locus 12		5	SILEX	EC2		74	PM		126,2	01-02-2012/15:56:37.0
2012	5919	3316	17		1450599.031409	5116586.286540	82.750637	490	Locus 12		5	SILEX	EC2			PM		2,7	01-02-2012/15:57:03.0
2012	5919	3317	15		1450598.858214	5116586.318640	82.717424	490	Locus 12		5	SILEX	EC3			PM		20	01-02-2012/15:58:32.0
2012	5919	3318	16		1450598.841161	5116586.263055	82.727204	490	Locus 12		5	SILEX	EC2			PM		5,9	01-02-2012/16:00:52.0
2012	5919	3319	16		1450598.641277	5116586.768788	82.715852	490	Locus 12		5	SILEX	LI			PM		0,3	01-02-2012/16:01:30.0
2012	5919	3320	16		1450598.677021	5116586.573656	82.725009	490	Locus 12		5	SILEX	E11			PM		0,1	01-02-2012/16:01:54.0
2012	5919	3321	16		1450598.664547	5116586.609526	82.735297	490	Locus 12		5	SILEX	E11			PM		0,1	01-02-2012/16:02:15.0
2012	5919	3322	16		1450598.653837	5116586.626943	82.730823	490	Locus 12		5	SILEX	E11			PM		0,1	01-02-2012/16:03:03.0
2012	5919	3323	16		1450598.663331	5116586.593785	82.724175	490	Locus 12		5	SILEX	E0			PM		2,5	01-02-2012/16:03:22.0
2012	5919	3324	18		1450610.966078	5116595.066325	82.343477	490			5	SILEX	EC1pdf			PM		60	01-02-2012/16:03:49.0
2012	5919	3325	18		1450611.560886	5116597.023288	82.378474	490			5	SILEX	Bfgt			PM		158	01-02-2012/16:04:15.0
2012	5919	3326	14		1450614.497872	5116593.789960	82.289684	490			5	SILEX	EL6	G5		PM		48,4	01-02-2012/16:04:33.0
2012	5919	3327	16		1450610.914745	5116594.429276	82.310544	490			5	SILEX	Cg			PM		7,7	01-02-2012/15:22:57.0
2012	5919	3328	15		1450611.229927	5116595.112665	83.361682	490			5	SILEX	EC2			PM		53,1	01-02-2012/15:23:39.0
2012	5919	3329	15		1450612.636116	5116596.944153	83.412645	490			5	SILEX	E4			PM		51	01-02-2012/15:29:50.0
2012	5919	3330	15		1450611.635547	5116595.962301	82.291461	490			5	SILEX	EC0			PM		27,7	01-02-2012/15:35:15.0
2012	5919	3331	15		1450611.304544	5116594.869186	82.258781	490			5	SILEX	E6			PM		58,6	01-02-2012/15:39:49.0
2012	5919	3332	16		1450598.969960	5116586.043212	82.746655	490	Locus 12		5	SILEX	E11			PM		0,1	01-02-2012/15:40:06.0
2012	5919	3333	15		1450598.787282	5116585.983877	82.733958	490	Locus 12		5	SILEX	Fi			PM		0,2	01-02-2012/15:45:04.0
2012	5919	3334	16		1450598.235798	5116586.515430	82.714417	490	Locus 12		5	SILEX	D			PM		1	01-02-2012/16:05:28.0
2012	5919	3335	16		1450598.159268	5116586.173034	82.733133	490	Locus 12		5	SILEX	D			PM		1	01-02-2012/16:17:33.0
2012	5919	3336	16		1450598.192895	5116585.773977	82.702311	490	Locus 12		5	SILEX	E11			PM		0,1	01-02-2012/16:18:30.0
2012	5919	3337	15		1450598.674070	5116585.579673	82.699785	490	Locus 12		5	SILEX	EL1			PM		3,7	01-02-2012/16:18:56.0
2012	5919	3338	16		1450597.697899	5116584.678231	82.613331	490	Locus 12		5	SILEX	E11			PM		0,5	01-02-2012/16:22:47.0
2012	5919	3339	16		1450597.646783	5116584.612041	82.623963	490	Locus 12		5	SILEX	EC8			PM		0,1	01-02-2012/16:22:58.0
2012	5919	3340	16		1450597.632420	5116584.596355	82.618412	490	Locus 12		5	SILEX	EC8			PM		0,1	01-02-2012/16:23:10.0
2012	5919	3341	15		1450597.952118	5116585.086640	82.626901	490	Locus 12		5	SILEX	EC3			PM		65,4	01-02-2012/16:23:31.0
2012	5919	3342	18		1450610.675988	5116595.590757	81.881342	490			5	SILEX	Ni			PM		323	01-02-2012/16:24:02.0

Inventaire officiel 7 – Montguyon (17), « Bois Clair ». Inventaire du mobilier individualisé

ANNEE	OA	IDENTIFIANT	N°DE CAISSE	N°DE LOT	X = est	Y = nord	Z = alti NGF	PARCELLE	SECTEUR (CP/TR/ST...)	CARRE	UPS	MATERIAU	SUPPORT (cf. annexe 3)	TYPOLOGIE (cf. annexe 3)	REMONTAGES	CHRONO-CULTURE (cf. annexe 3)	CLICHE	MASSE (g.)	DATE DECOUVERTE
2012	5919	3343	2		1450605.496198	5116600.809072	82.367594	490			5	Quartzite	Gb			PM		1152,7	01-02-2012/16:24:43.0
2012	5919	3344	6		1450604.377711	5116601.855828	82.288175	490			5	Grès silicieux	Bb			PM		4600	01-02-2012/16:25:31.0
2012	5919	3345	15		1450604.524467	5116602.045844	82.356486	490			5	SILEX	E2			PM		7,9	01-02-2012/16:22:09.0
2012	5919	3346	15		1450604.150641	5116601.915485	82.402691	490			5	SILEX	Fi			PM		3,2	02-02-2012/09:11:04.0
2012	5919	3347	15		1450604.316298	5116601.541791	82.405400	490			5	SILEX	Fi			PM		1,6	02-02-2012/09:11:29.0
2012	5919	3348	3		1450604.834660	5116599.668491	82.386767	490			5	Quartz	Gb			PM		1003.3	02-02-2012/09:11:46.0
2012	5919	3349	18		1450604.209126	5116600.077672	82.385436	490			5	SILEX	EC3			PM		26,2	02-02-2012/09:12:04.0
2012	5919	3350	5		1450605.440033	5116601.458216	82.114353	490			5	Grès silicieux	Bfgt			PM		6800	02-02-2012/09:12:20.0
2012	5919	3351	18		1450601.839832	5116602.532028	82.091550	490	CP19		5	SILEX	EC2			PM		65,5	02-02-2012/09:26:16.0
2012	5919	3352	15		1450602.763957	5116602.284613	82.070414	490	CP19		5	SILEX	E2			PM		3,8	02-02-2012/09:31:40.0
2012	5919	3353	16		1450603.292378	5116602.706519	82.109528	490	CP19		5	SILEX	EC7			PM		4,1	02-02-2012/09:47:38.0
2012	5919	3354	17		1450602.602014	5116602.574192	81.931268	490	CP19		5	SILEX	EL2			PM		23,7	02-02-2012/09:52:09.0
2012	5919	3355	15		1450601.366591	5116601.269114	81.748124	490	CP19		5	SILEX	EL1			PM		8	02-02-2012/09:59:34.0
2012	5919	3356	17		1450614.685014	5116595.517769	82.380532	490			5	SILEX	E10			PM		43	02-02-2012/09:59:53.0
2012	5919	3357	16		1450596.988617	5116588.447715	83.075930	490	Locus 12bis	J4 37	4	SILEX	E11			PM		1,5	02-02-2012/10:33:00.0
2012	5919	3358	16		1450596.475066	5116586.386823	83.048578	490	Locus 12bis	J4 37	4	SILEX	E11			PM		0,1	02-02-2012/10:45:06.0
2012	5919	3359	15		1450596.142148	5116586.752104	83.045392	490	Locus 12bis	J4 37	4	SILEX	E5			PM	PN2061	1,5	02-02-2012/11:46:08.0
2012	5919	3360	14		1450596.240908	5116586.854308	83.048276	490	Locus 12bis	J4 37	4	SILEX	E5		47-48	PM	PN2065	52,1	02-02-2012/14:12:43.0
2012	5919	3361	14		1450596.294721	5116586.898263	83.042186	490	Locus 12bis	J4 37	4	SILEX	EC2		51	PM	PN2259-2277	4,8	02-02-2012/14:13:12.0
2012	5919	3362	14		1450596.305279	5116586.886684	83.036848	490	Locus 12bis	J4 37	4	SILEX	EC1		51	PM	PN2259-2277	15,1	02-02-2012/14:13:28.0
2012	5919	3363	14		1450596.312136	5116586.983280	83.029434	490	Locus 12bis	J4 27/37	4	SILEX	EC1		51	PM	PN2259-2277	38,5	02-02-2012/14:13:45.0
2012	5919	3364	14		1450596.335110	5116586.938746	83.039389	490	Locus 12bis	J4 27/37	4	SILEX	E5		51	PM	PN2259-2277	12,4	02-02-2012/14:14:03.0
2012	5919	3365	14		1450596.305019	5116586.955863	83.036426	490	Locus 12bis	J4 27/37	4	SILEX	EC2		51	PM	PN2259-2277	10,3	02-02-2012/14:14:16.0
2012	5919	3366	14		1450596.233634	5116586.973971	83.050367	490	Locus 12bis	J4 27/37	4	SILEX	E5		51	PM	PN2259-2277	14,3	02-02-2012/14:14:48.0
2012	5919	3367	14		1450595.796382	5116586.486246	83.042920	490	Locus 12bis	J4 36	4	SILEX	E11			PM		2,3	02-02-2012/14:15:05.0
2012	5919	3368	16		1450595.789860	5116586.512768	83.049633	490	Locus 12bis	J4 36	4	SILEX	Cf			PM		0,2	02-02-2012/14:15:31.0
2012	5919	3369	16		1450595.642896	5116586.607323	83.032866	490	Locus 12bis	J4 36	4	SILEX	Fi			PM		0,1	02-02-2012/14:15:43.0
2012	5919	3370	17		1450595.163549	5116586.930546	83.032449	490	Locus 12bis	J4 36	4	SILEX	E1			PM		10,4	02-02-2012/14:16:21.0
2012	5919	3371	14		1450595.097523	5116586.969997	83.023473	490	Locus 12bis	J4 26/36	4	SILEX	ENC1pdf		47-48	PM	PN2244-2299	46,3	02-02-2012/14:16:34.0
2012	5919	3372	1		1450595.318376	5116587.136833	83.002935	490	Locus 12bis	J4 26	4	Quartz	Gup			PM	PN2146	164,9	02-02-2012/14:16:57.0
2012	5919	3373	14		1450594.805779	5116587.208744	83.050732	490	Locus 12bis	J4 25	4	SILEX	EC3		51	PM	PN2259-2277	31,4	02-02-2012/14:17:30.0
2012	5919	3374	14		1450594.807476	5116586.812374	83.010191	490	Locus 12bis	J4 35	4	SILEX	/		51	PM	PN2259-2277	19,9	02-02-2012/14:18:03.0
2012	5919	3375	16	*	1450594.798484	5116586.954674	83.039226	490	Locus 12bis	J4 25/35	4	SILEX	E11			PM		1,8	02-02-2012/14:19:10.0
2012	5919	3376	*		1450594.791155	5116586.994238	83.032125	490	Locus 12bis	J4 25/35	4	SILEX	EC3			PM		4,1	02-02-2012/14:19:42.0
2012	5919	3377	14		1450594.617390	5116586.952038	83.027750	490	Locus 12bis	J4 25/35	4	SILEX	EC1		51	PM	PN2259-2277	41,9	02-02-2012/14:20:10.0
2012	5919	3378	14		1450594.603932	5116586.815899	83.027009	490	Locus 12bis	J4 35	4	SILEX	EC3		47-48	PM	PN2244-2299	45,3	02-02-2012/14:20:26.0
2012	5919	3379	14		1450594.465415	5116586.852028	83.035642	490	Locus 12bis	J4 35	4	SILEX	EC1		47-48	PM	PN2244-2299	6,8	02-02-2012/14:21:07.0
2012	5919	3380	14		1450594.558035	5116586.904613	83.024518	490	Locus 12bis	J4 35	4	SILEX	ENC0pdf		47-48	PM	PN2244-2299	15,8	02-02-2012/14:21:43.0
2012	5919	3381	14		1450594.524765	5116586.892114	83.023531	490	Locus 12bis	J4 35	4	SILEX	EC1		51	PM	PN2259-2277	25,2	02-02-2012/14:22:07.0
2012	5919	3382	14		1450594.451202	5116586.928444	83.015295	490	Locus 12bis	J4 35	4	SILEX	EC1		51	PM	PN2259-2277	23,3	02-02-2012/14:22:25.0
2012	5919	3383	14		1450594.293633	5116586.914987	83.027529	490	Locus 12bis	J4 35	4	SILEX	ENC1pdf		47-48	PM	PN2244-2299	38,2	02-02-2012/14:22:51.0
2012	5919	3384	14		1450594.567705	5116587.397617	83.010815	490	Locus 12bis	J4 25	4	SILEX	E6		50	PM	PN2052	59,8	02-02-2012/14:23:07.0
2012	5919	3385	14		1450598.599418	5116587.364881	83.072492	490	Locus 12bis	J4 29	4	SILEX	E2			PM		3,3	02-02-2012/14:26:35.0
2012	5919	3386	15		1450609.083614	5116599.381970	82.512859	490			5	SILEX	E4			PM		12,8	02-02-2012/14:26:47.0
2012	5919	3387	14		1450612.399023	5116600.877016	82.446214	490			5	SILEX	E5		12	PM	PN2085-2086	97,1	02-02-2012/14:27:13.0
2012	5919	3388	1		1450609.766724	5116601.685773	82.632957	490			4	Quartzite	Gup			PM/PS		399,7	02-02-2012/14:27:47.0
2012	5919	3389	13		1450610.523474	5116601.425372	82.661631	490			4	SILEX	E5		35	PM	PN2092-2093	70,2	02-02-2012/14:56:33.0
2012	5919	3390	16		1450618.458288	5116596.165770	82.248441	490	Locus 01	I6 39	5	SILEX	Fi			PM		3,3	02-02-2012/15:56:15.0
2012	5919	3391	16		1450618.657765	5116596.147437	82.234575	490	Locus 01	I6 39	5	SILEX	Fi			PM		0,1	02-02-2012/14:25:24.0
2012	5919	3392	14		1450618.972760	5116596.792399	82.255740	490	Locus 01	I6 39	5	SILEX	EC1		91	PM	PN2104-2106	3	02-02-2012/14:25:36.0
2012	5919	3393	16		1450618.578776	5116596.939307	82.267715	490	Locus 01	I6 39	5	SILEX	D			PM		1,3	02-02-2012/15:39:56.0
2012	5919	3394	13		1450618.733521	5116597.020313	82.272376	490	Locus 01	I6 29	5	SILEX	E5		35	PM	PN2092-2093	52,6	02-02-2012/15:40:14.0
2012	5919	3395	16		1450618.442282	5116597.179283	82.261990	490	Locus 01	I6 29	5	SILEX	Fi			PM		0,2	02-02-2012/15:41:00.0
2012	5919	3396	16		1450619.217122	5116597.374413	82.267254	490	Locus 01	I6 30	5	SILEX	EC8			PM		0,5	02-02-2012/15:41:22.0
2012	5919	3397	14		1450619.237423	5116597.600773	82.280539	490	Locus 01	I6 30	5	SILEX	EC1		91	PM	PN2104-2106	17,3	02-02-2012/15:42:52.0
2012	5919	3398	16		1450618.887085	5116597.797169	82.258039	490	Locus 01	I6 29	5	SILEX	Fi			PM		4,4	02-02-2012/15:43:48.0
2012	5919	3399	14		1450618.871868	5116597.892953	82.240172	490	Locus 01	I6 29	5	SILEX	NFB		91	PM	PN2104-2106	155	02-02-2012/15:44:24.0
2012	5919	3400	1		1450618.924192	5116597.947831	82.233461	490	Locus 01	I6 29	5	Quartz	Gup			PM		247,2	02-02-2012/15:44:56.0

ANNEE	OA	IDENTIFIANT	N°DE CAISSE	N°DE LOT	X = est	Y = nord	Z = alti NGF	PARCELLE	SECTEUR (CP/TR/ST...)	CARRE	UPS	MATERIAU	SUPPORT (cf. annexe 3)	TYPOLOGIE (cf. annexe 3)	REMONTAGES	CHRONO-CULTURE (cf. annexe 3)	CLICHE	MASSE (g.)	DATE DECOUVERTE
2012	5919	3401	15		1450618.646235	5116597.612828	82.270822	490	Locus 01	I6 29	5	SILEX	E5			PM		6,9	02-02-2012/15:46:22.0
2012	5919	3402	17		1450618.385825	5116597.557360	82.270102	490	Locus 01	I6 29	5	SILEX	EK2			PM		58	02-02-2012/15:46:48.0
2012	5919	3404	16		1450618.276408	5116597.658491	82.279788	490	Locus 01	I6 29	5	SILEX	E11			PM		0,1	02-02-2012/15:47:59.0
2012	5919	3405	16		1450618.123205	5116597.716108	82.287693	490	Locus 01	I6 29	5	SILEX	Fi			PM		0,1	02-02-2012/15:48:49.0
2012	5919	3406	14		1450618.065209	5116596.809205	82.271430	490	Locus 01	I6 39	5	SILEX	D		91	PM	PN2104-2106	1	02-02-2012/15:49:53.0
2012	5919	3407	16		1450618.084757	5116596.896333	82.284894	490	Locus 01	I6 39	5	SILEX	E11			PM		0,1	02-02-2012/15:50:25.0
2012	5919	3408	16		1450617.932132	5116597.155057	82.280575	490	Locus 01	I6 28	5	SILEX	Fi			PM		0,1	02-02-2012/15:50:54.0
2012	5919	3409	16		1450617.850107	5116597.841406	82.288953	490	Locus 01	I6 28	5	SILEX	Fi			PM		2,4	02-02-2012/15:52:34.0
2012	5919	3410	17		1450612.399263	5116600.875824	82.446183	490			5	SILEX	NIE			PM		26,1	02-02-2012/15:53:00.0
2012	5919	3411	15		1450617.336478	5116598.315354	82.294391	490	Locus 01	I6 18	5	SILEX	E10			PM		6,1	02-02-2012/15:53:36.0
2012	5919	3412	16		1450618.168629	5116598.632263	82.302091	490	Locus 01	I6 19	5	SILEX	D			PM		9,4	02-02-2012/15:54:08.0
2012	5919	3413	16		1450618.474229	5116598.349349	82.268837	490	Locus 01	I6 19	5	SILEX	E0			PM		10,8	02-02-2012/15:55:33.0
2012	5919	3414	17		1450618.738937	5116598.266129	82.257754	490	Locus 01	I6 19	5	SILEX	EC1			PM		42,4	02-02-2012/16:02:21.0
2012	5919	3415	14		1450618.906799	5116598.449501	82.241270	490	Locus 01	I6 19	5	SILEX	EC2		91	PM	PN2104-2106	4,2	02-02-2012/16:02:41.0
2012	5919	3416	14		1450618.913014	5116598.133831	82.257808	490	Locus 01	I6 19	5	SILEX	EC3		91	PM	PN2104-2106	73,3	02-02-2012/16:03:11.0
2012	5919	3417	16		1450619.158103	5116598.699985	82.257839	490	Locus 01	I6 20	5	SILEX	D			PM		1,4	02-02-2012/16:03:50.0
2012	5919	3418	16		1450619.284419	5116598.550597	82.314068	490	Locus 01	I6 20	5	SILEX	E11			PM		0,2	02-02-2012/16:04:17.0
2012	5919	3419	16		1450619.266391	5116597.948555	82.300803	490	Locus 01	I6 30	5	SILEX	D			PM		2,4	02-02-2012/16:04:54.0
2012	5919	3420	18		1450606.037108	5116604.313916	82.342361	490			5	SILEX	NP			PM		94,3	02-02-2012/16:05:51.0
2012	5919	3421	15		1450606.990613	5116603.139844	82.344422	490			5	SILEX	E5			PM		17,5	02-02-2012/16:06:37.0
2012	5919	3422	15		1450608.853888	5116600.950800	82.388418	490			5	SILEX	E4			PM		9	02-02-2012/16:07:20.0
2012	5919	3423	16		1450608.706138	5116602.156698	82.378342	490			5	SILEX	E4			PM		2,9	02-02-2012/16:10:12.0
2012	5919	3424	3		1450599.041324	5116586.882132	82.700003	490	Locus 12		5	Quartzite	Gfgt			PM		134,2	02-02-2012/16:21:31.0
2012	5919	3425	2		1450598.966679	5116586.208659	82.662244	490	Locus 12		5	Quartzite	Gb			PM		291,1	02-02-2012/16:21:50.0
2012	5919	3426	15		1450600.124143	5116587.572445	82.712595	490	Locus 12		5	SILEX	EC1			PM		6,3	02-02-2012/16:26:34.0
2012	5919	3427	16		1450598.490083	5116585.714252	82.707045	490	Locus 12		5	SILEX	E0			PM		1,6	03-02-2012/10:49:26.0
2012	5919	3428	16		1450597.209201	5116585.716572	82.653483	490	Locus 12		5	SILEX	Fi			PM		0,1	03-02-2012/10:49:49.0
2012	5919	3429	16		1450597.874842	5116586.335961	82.656235	490	Locus 12		5	SILEX	E11			PM		0,1	03-02-2012/10:50:12.0
2012	5919	3430	16		1450597.906654	5116586.001956	82.678431	490	Locus 12		5	SILEX	E11			PM		1,1	03-02-2012/10:50:38.0
2012	5919	3431	16		1450598.275276	5116585.730020	82.653987	490	Locus 12		5	SILEX	E11			PM		0,8	03-02-2012/10:50:53.0
2012	5919	3432	17		1450598.620907	5116586.297466	82.650337	490	Locus 12		5	SILEX	E1			PM		5	03-02-2012/10:51:10.0
2012	5919	3433	15		1450597.920958	5116586.049840	82.674080	490	Locus 12		5	SILEX	EC2			PM		16,1	03-02-2012/10:51:46.0
2012	5919	3444	13		1450608.911789	5116599.288896	82.340424	490			5	SILEX	Ni		10	PM		157,9	03-02-2012/10:52:13.0
2012	5919	3445	17		1450609.721791	5116599.095215	82.363961	490			5	SILEX	EL6	G7		PM		5,4	03-02-2012/10:52:33.0
2012	5919	3446	17		1450609.435302	5116600.059737	82.336747	490			5	SILEX	EL6			PM		15,6	03-02-2012/10:52:55.0
2012	5919	3447	12		1450608.526292	5116599.006571	82.321346	490			5	SILEX	LC2	G6		PM/PS		18,3	03-02-2012/09:18:27.0
2012	5919	3448	15		1450607.743449	5116600.129078	82.346239	490			5	SILEX	EL6			PM		15,5	03-02-2012/09:41:18.0
2012	5919	3449	15		1450609.941150	5116603.186240	82.298179	490			5	SILEX	E2			PM		11,2	03-02-2012/09:41:34.0
2012	5919	3450	16		1450617.057789	5116599.540843	82.281378	490	Locus 01	I6 08	5	SILEX	Cg			PM		1,3	03-02-2012/09:41:56.0
2012	5919	3451	16		1450617.243938	5116599.841971	82.256321	490	Locus 01	I6 08	5	SILEX	D			PM		5	03-02-2012/09:42:13.0
2012	5919	3452	16		1450617.330055	5116599.542439	82.292448	490	Locus 01	I6 08	5	SILEX	E10			PM		2	03-02-2012/09:42:31.0
2012	5919	3453	13		1450609.157424	5116599.492565	82.290320	490			5	SILEX	/		10	PM		194,4	03-02-2012/09:44:51.0
2012	5919	3454	16		1450618.705251	5116599.307077	82.269128	490	Locus 01	I6 09c	5	SILEX	E11			PM		0,1	03-02-2012/09:45:05.0
2012	5919	3455	16		1450618.740587	5116599.435395	82.274207	490	Locus 01	I6 09c	5	SILEX	ENC2			PM		2,3	03-02-2012/09:45:24.0
2012	5919	3456	16		1450618.789998	5116599.459145	82.294908	490	Locus 01	I6 09c	5	SILEX	EC8			PM		1,2	03-02-2012/09:58:45.0
2012	5919	3486	13		1450609.108894	5116598.814093	82.280842	490			5	SILEX	NLP			PM		97,6	03-02-2012/09:59:38.0
2012	5919	3488	16		1450598.627031	5116586.261002	82.653729	490	Locus 12		5	SILEX	E11			PM		0,2	03-02-2012/10:00:18.0
2012	5919	3489	14		1450617.840798	5116599.344181	82.240089	490	Locus 01	I6 08d	5	SILEX	ENC3pdf		92	PM	PN2104-2106	8,4	03-02-2012/10:14:26.0
2012	5919	3490	15		1450618.111831	5116599.759936	82.261187	490	Locus 01	I6 09a	5	SILEX	ENC3			PM		14	03-02-2012/10:15:04.0
2012	5919	3491	16		1450617.995453	5116599.892346	82.244062	490	Locus 01	I6 08b	5	SILEX	E11			PM		0,1	03-02-2012/10:53:44.0
2012	5919	3492	16		1450617.948644	5116599.864753	82.256457	490	Locus 01	I6 08b	5	SILEX	EC3			PM		8	03-02-2012/10:55:39.0
2012	5919	3493	16		1450618.750461	5116599.342011	82.262212	490	Locus 01	I6 08d	5	SILEX	E11			PM		0,1	13-02-2012/14:19:51.0
2012	5919	3494	11		1450594.792266	5116571.633204	83.109086	490	Locus 11	K4 85b	4	SILEX	Fi/Cg			PS		1,3	13-02-2012/14:20:24.0
2012	5919	3495	11		1450594.686707	5116571.535243	83.096684	490	Locus 11	K4 85b	4	SILEX	Fi/Cg			PS		1,4	13-02-2012/14:20:52.0
2012	5919	3515	12		1450594.788952	5116571.650889	83.097631	490	Locus 11 (S)	K4 85b	4	SILEX	Fi/Cg			PS		10,8	13-02-2012/14:43:41.0
2012	5919	3516	12		1450594.684751	5116571.032755	83.028154	490	Locus 11 (S)	K4 85d	4	SILEX	/			PS		/	13-02-2012/16:32:14.0
2012	5919	3517	11		1450594.969406	5116571.210243	83.077589	490	Locus 11 (S)	K4 85d	4	SILEX	/		137	PS	PN2365-2380	/	13-02-2012/16:32:42.0
2012	5919	3518	11		1450594.958517	5116571.203588	83.063773	490	Locus 11 (S)	K4 85d	4	SILEX	/		137	PS	PN2365-2380	/	15-02-2012/10:30:31.0

Inventaire officiel 7 – Montguyon (17), « Bois Clair ». Inventaire du mobilier individualisé

ANNEE	OA	IDENTIFIANT	N°DE CAISSE	N°DE LOT	X = est	Y = nord	Z = alti NGF	PARCELLE	SECTEUR (CP/TR/ST...)	CARRE	UPS	MATERIAU	SUPPORT (cf. annexe 3)	TYPOLOGIE (cf. annexe 3)	REMONTAGES	CHRONO-CULTURE (cf. annexe 3)	CLICHE	MASSE (g.)	DATE DECOUVERTE
2012	5919	3519	14		1450594.029873	5116671.679850	83.065421	490	Locus 11 (S)	K4 85a	4	SILEX	Fi		90	PM		12,2	15-02-2012/10:30:49.0
2012	5919	3520	11		1450594.330189	5116570.845874	83.067043	490	Locus 11 (S)	K4 95a	4	SILEX	/		137	PS	PN2365-2380	/	15-02-2012/10:31:03.0
2012	5919	3521	12		1450594.143341	5116570.906073	83.053264	490	Locus 11 (S)	K4 95a	4	SILEX	Lpd/Lpde			PS		2,5	15-02-2012/10:31:34.0
2012	5919	3522	12		1450594.035217	5116570.580590	83.037003	490	Locus 11 (S)	K4 95a	4	SILEX	E/Lpde			PS		4,1	15-02-2012/10:31:53.0
2012	5919	3523	11		1450594.302053	5116570.317135	83.044401	490	Locus 11 (S)	K4 95c	4	SILEX	E11			PS		0,4	15-02-2012/10:32:09.0
2012	5919	3524	12		1450593.640397	5116570.825092	83.003950	490	Locus 11 (S)	K4 94b	4	SILEX	EC2/E/Lpde			PS		13,5	15-02-2012/10:32:23.0
2012	5919	3525	12		1450593.065266	5116570.886496	83.022809	490	Locus 11 (S)	K4 94a	4	SILEX	E9			PS		3,1	15-02-2012/10:32:37.0
2012	5919	3526	11		1450593.531830	5116571.215119	83.044926	490	Locus 11 (S)	K4 84d	4	SILEX	E11			PS		0,1	15-02-2012/10:33:11.0
2012	5919	3527	11		1450593.641837	5116571.858609	83.074143	490	Locus 11 (S)	K4 84b	4	SILEX	Fi/Cg			PS		0,8	15-02-2012/10:33:59.0
2012	5919	3542	16		1450593.916116	5116570.154104	83.015395	490	Locus 11 (S)	K4 94d	4	SILEX	EC1			PM		7,3	15-02-2012/10:34:54.0
2012	5919	3543	13		1450594.439151	5116574.537484	83.145235	490	Locus 11 (N)	K4 55a	4	SILEX	E5			PM		4,2	15-02-2012/10:35:54.0
2012	5919	3544	11		1450594.000478	5116574.414625	83.131001	490	Locus 11 (N)	K4 55c	4	SILEX	E0			PS		1,2	15-02-2012/10:36:50.0
2012	5919	3545	11		1450594.053609	5116574.004371	83.119915	490	Locus 11 (N)	K4 65a	4	SILEX	Fi/Cg			PS		0,5	15-02-2012/10:41:57.0
2012	5919	3546	11		1450594.502320	5116573.663211	83.109247	490	Locus 11 (N)	K4 65b	4	SILEX	Fi/Cg			PS		0,5	15-02-2012/10:55:40.0
2012	5919	3547	16		1450594.636600	5116573.725089	83.114345	490	Locus 11 (N)	K4 65b	4	SILEX	Fi			PM/PS		4	15-02-2012/10:56:23.0
2012	5919	3548	13		1450594.697126	5116573.540048	83.096477	490	Locus 11 (N)	K4 65b	4	SILEX	Ni		108	PM		282,6	15-02-2012/11:00:04.0
2012	5919	3549	12		1450594.719324	5116573.532589	83.097336	490	Locus 11 (N)	K4 65b	4	SILEX	Fi/Cg			PS		14,7	15-02-2012/11:00:36.0
2012	5919	3550	11		1450594.522481	5116573.332702	83.094657	490	Locus 11 (N)	K4 65d	4	SILEX	Fi/Cg			PS		0,1	15-02-2012/11:01:42.0
2012	5919	3551	11		1450593.548354	5116573.263890	83.110143	490	Locus 11 (N)	K4 64d	4	SILEX	Fi			PS		0,6	15-02-2012/11:03:12.0
2012	5919	3552	11		1450593.541984	5116573.293826	83.108516	490	Locus 11 (N)	K4 64d	4	SILEX	EC0			PS		0,7	15-02-2012/11:03:23.0
2012	5919	3553	17		1450593.643184	5116573.600991	83.096631	490	Locus 11 (N)	K4 64b	4	SILEX	EC2pdf			PM/PS		6,7	15-02-2012/11:03:38.0
2012	5919	3554	11		1450593.860832	5116573.953554	83.126221	490	Locus 11 (N)	K4 64b	4	SILEX	Fi			PS		0,1	15-02-2012/11:04:52.0
2012	5919	3555	11		1450593.301848	5116573.626134	83.103535	490	Locus 11 (N)	K4 64a	4	SILEX	NT			PM/PS		0,5	15-02-2012/11:05:45.0
2012	5919	3556	13		1450598.213162	5116566.093378	82.859865	490	Locus 09	L4 39c	4	SILEX	ENC1pdf		110	PM	PN2300-2303	173,1	15-02-2012/11:06:23.0
2012	5919	3557	11		1450597.719112	5116566.014563	82.909506	490	Locus 09	L4 38b	4	SILEX	E0			PS		0,6	15-02-2012/11:07:30.0
2012	5919	3558	12		1450597.716043	5116565.771903	82.918759	490	Locus 09	L4 48b	4	SILEX	/			PS		/	15-02-2012/11:08:12.0
2012	5919	3559	13		1450597.710800	5116565.897652	82.926385	490	Locus 09	L4 48b	4	SILEX	E5		110	PM	PN2063	61,2	15-02-2012/14:39:51.0
2012	5919	3560	11		1450598.029226	5116566.648077	82.920163	490	Locus 09	L4 29a	4	SILEX	Lpd			PS		8,3	15-02-2012/14:40:06.0
2012	5919	3561	11		1450597.799821	5116566.622266	82.910850	490	Locus 09	L4 38b	4	SILEX	Lpde			PS		1,1	15-02-2012/14:40:23.0
2012	5919	3562	13		1450597.600647	5116566.593194	82.930698	490	Locus 09	L4 38	4	SILEX	Cg		110	PM	PN2300-2303	/	15-02-2012/14:40:33.0
2012	5919	3563	11		1450597.383177	5116566.330774	82.907560	490	Locus 09	L4 38c	4	SILEX	Epde			PS		5,6	15-02-2012/14:42:02.0
2012	5919	3564	11		1450597.332134	5116566.394477	82.900451	490	Locus 09	L4 38c	4	SILEX	LC2/Lpde		137	PS	PN2365-2380	33,3	15-02-2012/14:42:53.0
2012	5919	3565	11		1450597.186756	5116566.391284	82.905065	490	Locus 09	L4 38c	4	SILEX	Fi			PS		0,4	15-02-2012/14:43:28.0
2012	5919	3566	16		1450597.696665	5116566.773801	82.952448	490	Locus 09	L4 38a	4	SILEX	Fi			PM		1,1	15-02-2012/14:43:58.0
2012	5919	3567	16		1450597.676079	5116566.787464	82.941369	490	Locus 09	L4 38a	4	SILEX	E11			PM		0,5	15-02-2012/14:44:34.0
2012	5919	3568	11		1450597.659325	5116566.820685	82.954152	490	Locus 09	L4 38a	4	SILEX	Fi			PS		2,2	15-02-2012/14:45:01.0
2012	5919	3569	13		1450597.670736	5116566.831814	82.954758	490	Locus 09	L4 38a	4	SILEX	E0		110	PM	PN2300-2303	5,1	15-02-2012/14:45:29.0
2012	5919	3570	11		1450597.725352	5116566.848716	82.949351	490	Locus 09	L4 38a	4	SILEX	Fi			PM		1	15-02-2012/14:45:47.0
2012	5919	3571	12		1450598.022469	5116566.691910	82.914502	490	Locus 09	L4 39a	4	SILEX	EC2/Eci			PS		21,9	15-02-2012/14:46:04.0
2012	5919	3572	11		1450597.195120	5116566.178288	82.895517	490	Locus 09	L4 38c	4	SILEX	Lpd		137	PS	PN2365-2380	14	15-02-2012/14:46:28.0
2012	5919	3573	13		1450597.525124	5116566.624839	82.924694	490	Locus 09	L4 38	4	SILEX	E4		110	PM	PN2300-2303	38,4	15-02-2012/14:46:57.0
2012	5919	3574	11		1450597.065735	5116566.538902	82.908628	490	Locus 09	L4 38	4	SILEX	E/Lpd			PS		1,8	15-02-2012/14:49:58.0
2012	5919	3575	11		1450597.064264	5116566.672430	82.931574	490	Locus 09	L4 38a	4	SILEX	Fi			PS		1,3	15-02-2012/14:51:19.0
2012	5919	3576	12		1450597.043233	5116566.677130	82.924519	490	Locus 09	L4 38a	4	SILEX	LC2/Lpde			PS		5,5	15-02-2012/14:52:49.0
2012	5919	3577	13		1450597.538070	5116566.894442	82.974103	490	Locus 09	L4 38	4	SILEX	Cg		110	PM	PN2300-2303	/	15-02-2012/14:53:25.0
2012	5919	3578	16		1450597.576318	5116566.877847	82.943608	490	Locus 09	L4 38b	4	SILEX	Fi			PM/PS		0,5	15-02-2012/14:53:45.0
2012	5919	3579	13		1450597.565680	5116566.925714	82.949151	490	Locus 09	L4 38	4	SILEX	/		110	PM	PN2300-2303	/	15-02-2012/14:54:31.0
2012	5919	3580	13		1450597.551510	5116566.936835	82.945284	490	Locus 09	L4 38	4	SILEX	EC2pdf		110	PM	PN2300-2303	121,7	15-02-2012/14:55:13.0
2012	5919	3581	13		1450597.701191	5116566.866529	82.931215	490	Locus 09	L4 38	4	SILEX	/		110	PM	PN2300-2303	/	15-02-2012/14:55:30.0
2012	5919	3582	11		1450597.065503	5116566.803357	82.943227	490	Locus 09	L4 38a	4	SILEX	E9		144	PS		51,3	15-02-2012/14:55:48.0
2012	5919	3583	11		1450597.012577	5116566.823304	82.940767	490	Locus 09	L4 38a	4	SILEX	/		138	PS		/	15-02-2012/14:57:42.0
2012	5919	3584	11		1450597.197483	5116566.889449	82.968389	490	Locus 09	L4 38a	4	SILEX	LC2/Lpde			PS		9,9	15-02-2012/14:58:18.0
2012	5919	3585	11		1450597.142431	5116566.942212	82.957383	490	Locus 09	L4 38a	4	SILEX	/		137	PS	PN2365-2380	/	15-02-2012/14:59:00.0
2012	5919	3586	11		1450597.193132	5116566.914490	82.956931	490	Locus 09	L4 38a	4	SILEX	/		137	PS	PN2365-2380	/	15-02-2012/14:59:24.0
2012	5919	3587	13		1450597.520393	5116567.008140	82.958676	490	Locus 09	L4 38a	4	SILEX	E0pdf		110	PM	PN2300-2303	42,6	15-02-2012/15:00:11.0
2012	5919	3588	11		1450597.214427	5116566.976508	82.958149	490	Locus 09	L4 38a	4	SILEX	/		137	PS	PN2365-2380	/	15-02-2012/15:00:36.0
2012	5919	3589	12		1450597.352454	5116567.069593	82.972695	490	Locus 09	L4 38a	4	SILEX	E/Lpde			PS		8,3	15-02-2012/15:01:05.0
2012	5919	3590	11		1450597.171149	5116567.045074	82.984670	490	Locus 09	L4 28	4	SILEX	/		143	PS		/	15-02-2012/15:01:35.0

Inventaire officiel 7 – Montguyon (17), « Bois Clair ». Inventaire du mobilier individualisé

ANNEE	OA	IDENTIFIANT	N°DE CAISSE	N°DE LOT	X = est	Y = nord	Z = alti NGF	PARCELLE	SECTEUR (CP/TR/ST...)	CARRE	UPS	MATERIAU	SUPPORT (cf. annexe 3)	TYPOLOGIE (cf. annexe 3)	REMONTAGES	CHRONO-CULTURE (cf. annexe 3)	CLICHE	MASSE (g.)	DATE DECOUVERTE
2012	5919	3591	11		1450597.213380	5116567.047879	82.970456	490	Locus 09	L4 28c	4	SILEX	/		137	PS	PN2365-2380	/	15-02-2012/15:03:13.0
2012	5919	3592	11		1450597.208520	5116567.151678	82.955719	490	Locus 09	L4 28c	4	SILEX	E0			PS		20,4	15-02-2012/15:03:34.0
2012	5919	3593	16		1450597.610842	5116567.074478	82.939323	490	Locus 09	L4 28d	4	SILEX	E10			PM		8,1	15-02-2012/15:04:04.0
2012	5919	3594	11		1450597.602819	5116567.210601	82.952320	490	Locus 09	L4 28d	4	SILEX	Epde			PS		5,9	15-02-2012/15:05:20.0
2012	5919	3595	13		1450597.760651	5116567.066872	82.922319	490	Locus 09	L4 28d	4	SILEX	E5		110	PM	PN2063	108,9	15-02-2012/15:06:21.0
2012	5919	3596	11		1450598.451421	5116567.186619	82.959418	490	Locus 09	L4 29c	4	SILEX	Lpd	g/Iret2		PS		21,8	15-02-2012/15:08:52.0
2012	5919	3597	12		1450598.547192	5116567.518589	82.988224	490	Locus 09	L4 29d	4	SILEX	Lcr			PS		12,8	15-02-2012/15:10:08.0
2012	5919	3598	11		1450598.617005	5116567.903478	82.991732	490	Locus 09	L4 29b	4	Quartzite	/		126	PS	PN2331-2345	/	15-02-2012/15:10:52.0
2012	5919	3599	12		1450598.209113	5116567.976526	82.981360	490	Locus 09	L4 29a	4	SILEX	Fi			PS		2,7	15-02-2012/15:12:11.0
2012	5919	3600	11		1450597.948563	5116567.545506	82.997548	490	Locus 09	L4 28b/c	4	SILEX	/		126	PS	PN2331-2345	/	15-02-2012/15:14:34.0
2012	5919	3601	11		1450598.080982	5116567.403603	82.928009	490	Locus 09	L4 29c	4	SILEX	EC3/Eci		126	PS	PN2331-2345	58,6	15-02-2012/15:16:05.0
2012	5919	3602	16		1450597.871010	5116567.974123	82.986970	490	Locus 09	L4 28b	4	SILEX	E2			PM/PS		11,1	15-02-2012/15:16:38.0
2012	5919	3603	11		1450597.829123	5116567.512847	82.941523	490	Locus 09	L4 28b	4	SILEX	Lpde		137	PS	PN2365-2380	1,4	15-02-2012/15:17:25.0
2012	5919	3604	12		1450597.805064	5116567.536730	82.954129	490	Locus 09	L4 28b	4	SILEX	LC2/Lpde			PS		2,3	15-02-2012/15:18:02.0
2012	5919	3605	12		1450597.758482	5116567.537206	82.935222	490	Locus 09	L4 28b	4	SILEX	Eci			PS		7,6	15-02-2012/15:18:22.0
2012	5919	3606	12		1450597.560612	5116567.590524	82.997263	490	Locus 09	L4 28b	4	SILEX	E11			PS		0,4	15-02-2012/15:18:52.0
2012	5919	3607	11		1450597.667267	5116567.407708	82.938888	490	Locus 09	L4 28d?	4	SILEX	Lpd/Lpde			PS		4,2	15-02-2012/15:19:10.0
2012	5919	3608	11		1450597.639055	5116567.425437	82.935938	490	Locus 09	L4 28d?	4	SILEX	EC2/Eca		137	PS	PN2365-2380	54,5	15-02-2012/15:19:42.0
2012	5919	3609	11		1450597.514820	5116567.634768	82.958697	490	Locus 09	L4 28b	4	SILEX	Lncr			PS		6,4	15-02-2012/15:20:16.0
2012	5919	3610	11		1450597.499255	5116567.668338	82.962768	490	Locus 09	L4 28b	4	SILEX	/		126	PS	PN2331-2345	/	15-02-2012/15:20:45.0
2012	5919	3611	13		1450597.471594	5116567.664790	82.972737	490	Locus 09	L4 28b	4	SILEX	E5		104	PM		26,3	15-02-2012/15:21:30.0
2012	5919	3612	11		1450597.089996	5116567.752277	82.984839	490	Locus 09	L4 28a	4	SILEX	/		139	PS		/	15-02-2012/15:21:58.0
2012	5919	3613	11		1450597.069601	5116567.754258	82.960408	490	Locus 09	L4 28a	4	SILEX	E0			PS		7,1	15-02-2012/15:22:25.0
2012	5919	3614	11		1450597.070773	5116567.756536	82.962367	490	Locus 09	L4 28a	4	SILEX	E9		145	PS		31,7	15-02-2012/15:22:46.0
2012	5919	3615	16		1450597.062499	5116567.651977	82.955494	490	Locus 09	L4 28a	4	SILEX	D			PM/PS		9,8	15-02-2012/15:23:17.0
2012	5919	3616	11		1450597.089238	5116567.546016	82.961860	490	Locus 09	L4 28a	4	SILEX	/		137	PS	PN2365-2380	/	15-02-2012/15:24:37.0
2012	5919	3617	17		1450597.585131	5116567.213023	82.937289	490	Locus 09	L4 28c	4	SILEX	EC7			PM/PS		2,7	15-02-2012/15:29:14.0
2012	5919	3618	11		1450597.535330	5116567.197885	82.944172	490	Locus 09	L4 28c	4	SILEX	Fi			PS		1,3	15-02-2012/15:29:23.0
2012	5919	3619	11		1450597.458627	5116567.234984	82.958964	490	Locus 09	L4 28c	4	SILEX	EC2/Eci		137	PS	PN2365-2380	140,5	15-02-2012/15:29:32.0
2012	5919	3620	11		1450597.255611	5116567.230940	82.965474	490	Locus 09	L4 28c	4	SILEX	E/Lpde			PS		18,4	15-02-2012/15:29:55.0
2012	5919	3621	12		1450597.247803	5116567.241179	82.959711	490	Locus 09	L4 28c	4	SILEX	E/LC2/E/Lpde			PS		1,2	15-02-2012/15:30:04.0
2012	5919	3622	12		1450597.333872	5116567.322779	82.952668	490	Locus 09	L4 28c	4	SILEX	E9 ?			PS		16,6	15-02-2012/15:30:24.0
2012	5919	3623	16		1450597.373405	5116567.341688	82.965418	490	Locus 09	L4 28c	4	SILEX	E11			PM		1,3	15-02-2012/15:31:18.0
2012	5919	3624	11		1450597.353149	5116567.264270	82.933151	490	Locus 09	L4 28c	4	SILEX	/		126	PS	PN2331-2345	/	15-02-2012/15:31:35.0
2012	5919	3625	11		1450597.441329	5116567.267507	82.924505	490	Locus 09	L4 28c	4	SILEX	Néb		126	PS	PN2331-2345	1086,6	15-02-2012/15:32:01.0
2012	5919	3626	11		1450597.436725	5116567.331679	82.916828	490	Locus 09	L4 28c	4	SILEX	/		126	PS	PN2331-2345	/	15-02-2012/15:32:25.0
2012	5919	3627	15		1450597.200970	5116567.202587	82.938998	490	Locus 09	L4 28c	4	SILEX	E1			PM/PS		3,7	15-02-2012/15:33:05.0
2012	5919	3628	16		1450589.467347	5116593.285996	83.057514	490	CP19		3	SILEX	D			PM/PS		4	15-02-2012/15:34:16.0
2012	5919	3629	16		1450600.559582	5116601.622860	82.171305	490	CP19		5	SILEX	Fi			PM		1,7	15-02-2012/15:34:38.0
2012	5919	3630	16		1450602.015218	5116602.661479	82.221410	490	CP19		5	SILEX	EC1			PM		34,6	15-02-2012/15:54:02.0
2012	5919	3631	15		1450619.520253	5116582.886781	82.410282	490	CP10		5	SILEX	E0			PM		6,5	15-02-2012/16:07:38.0
2012	5919	3632	14		1450622.863967	5116570.655395	82.490591	490	CP12	K7 93	4	SILEX	E3		58	PM	PN2122-2123	20,3	15-02-2012/16:10:31.0
2012	5919	3633	13		1450599.709435	5116564.126662	82.333014	490	CP11		7	SILEX	NDU		65	PM	PN2107-2108	101,1	15-02-2012/16:11:59.0
2012	5919	3634	13		1450599.712302	5116564.091332	82.303055	490	CP11		7	SILEX	E2		60	PM	PN2307-2315	13,8	15-02-2012/16:14:22.0
2012	5919	3635	14		1450616.413801	5116555.353496	82.368938	490	CP01		4/5	SILEX	EL0			PM		10,3	15-02-2012/16:17:50.0
2012	5919	3636	16		1450616.373581	5116555.330617	82.369473	490	CP01		4/5	SILEX	E11			PM		1	15-02-2012/16:22:02.0
2012	5919	3637	16		1450616.348927	5116555.301107	82.358335	490	CP01		4/5	SILEX	E2			PM		1,2	15-02-2012/16:22:17.0
2012	5919	3648	15		1450615.929490	5116554.966308	82.297505	490	CP01		4/5	SILEX	E0			PM		4,3	15-02-2012/16:43:25.0
2012	5919	3649	16		1450595.243733	5116557.564282	82.856802	490	CP08		3	SILEX	E0			PM/PS		5,2	15-02-2012/16:43:49.0
2012	5919	3650	16		1450603.741730	5116557.961678	82.493801	490	CP18		5	SILEX	E2			PM		4,2	15-02-2012/16:44:09.0
2012	5919	3651	15		1450603.394251	5116556.207083	82.078101	490			7	SILEX	E5			PM		13,3	16-02-2012/11:06:18.0
2012	5919	3652	15		1450604.490512	5116580.326538	82.645004	490	CP09.2		4/5	SILEX	E3			PM		11	16-02-2012/11:28:05.0
2012	5919	3653	13		1450603.414122	5116580.323007	82.642098	490	CP09.2		4/5	SILEX	NDU		11	PM		74,8	16-02-2012/11:28:35.0
2012	5919	3654	16		1450603.820231	5116580.301182	82.091714	490	CP09.2		6	SILEX	D			PM		6,5	16-02-2012/11:28:50.0
2012	5919	3655	16		1450604.611633	5116580.320041	81.665828	490	CP09.2		5	SILEX	E11			PM		0,1	16-02-2012/14:27:54.0
2012	5919	3656	12		1450593.800117	5116595.396122	83.012291	490	Locus 14	I4 44d	4a	SILEX	EC1			PS		5,4	16-02-2012/14:28:07.0
2012	5919	3657	12		1450593.777467	5116595.388112	83.019773	490	Locus 14	I4 44d	4a	SILEX	/			PS		/	16-02-2012/14:28:26.0
2012	5919	3658	12		1450593.774886	5116595.382374	82.996779	490	Locus 14	I4 44d	4a	SILEX	EC2			PS		7,6	16-02-2012/16:23:15.0

Inventaire officiel 7 – Montguyon (17), « Bois Clair ». Inventaire du mobilier individualisé

ANNEE	OA	IDENTIFIANT	N°DE CAISSE	N°DE LOT	X = est	Y = nord	Z = alti NGF	PARCELLE	SECTEUR (CP/TR/ST...)	CARRE	UPS	MATERIAU	SUPPORT (cf. annexe 3)	TYPOLOGIE (cf. annexe 3)	REMONTAGES	CHRONO-CULTURE (cf. annexe 3)	CLICHE	MASSE (g.)	DATE DECOUVERTE
2012	5919	3659	12		1450593.796244	5116595.426649	82.990450	490	Locus 14	I4 44d	4a	SILEX	EC2			PS		1,6	16-02-2012/16:52:34.0
2012	5919	3660	12		1450593.777011	5116595.427311	82.988143	490	Locus 14	I4 44d	4a	SILEX	ENC2			PS		2,9	16-02-2012/16:52:54.0
2012	5919	3661	12		1450593.738073	5116595.487084	82.974066	490	Locus 14	I4 44d	4a	SILEX	Lpd			PS		3,5	16-02-2012/16:53:31.0
2012	5919	3662	12		1450593.707334	5116595.518087	82.979674	490	Locus 14	I4 44d	4a	SILEX	Fi			PS		1,6	16-02-2012/16:53:52.0
2012	5919	3663	12		1450592.909537	5116595.602846	82.967464	490	Locus 14	I4 43b	4a	SILEX	Lpde			PS		0,5	16-02-2012/16:54:06.0
2012	5919	3664	12		1450592.698167	5116595.421969	82.938661	490	Locus 14	I4 43b	4a	SILEX	EC0			PS		1,3	16-02-2012/16:54:27.0
2012	5919	3665	12		1450592.322714	5116595.113839	82.903632	490	Locus 14	I4 43c	4a	SILEX	Fi			PM/PS		5	16-02-2012/16:54:52.0
2012	5919	3666	12		1450592.116943	5116595.076601	82.900804	490	Locus 14	I4 43c	4a	SILEX	Fi			PM/PS		1,2	16-02-2012/16:55:21.0
2012	5919	3667	14		1450592.740171	5116595.807920	82.997493	490	Locus 14	I4 43b	4a	SILEX	E5		47-48	PM	PN2065	18,6	16-02-2012/16:55:42.0
2012	5919	3668	12		1450592.379480	5116595.533135	82.966042	490	Locus 14	I4 43c	4a	SILEX	Lpde			PS		2,1	16-02-2012/16:56:02.0
2012	5919	3669	13		1450597.689352	5116566.878796	82.890561	490	Locus 09	L4 38b	4	SILEX	Cg		110	PM	PN2300-2303	/	16-02-2012/16:56:14.0
2012	5919	3670	13		1450597.927230	5116566.966737	82.901644	490	Locus 09	L4 38b	4	SILEX	EC2pdf		110	PM	PN2300-2303	125,9	16-02-2012/16:56:39.0
2012	5919	3677	16		1450599.307737	5116585.711015	82.640166	490	Locus 12		5	SILEX	EC8			PM		0,2	16-02-2012/16:57:07.0
2012	5919	3678	13		1450599.363730	5116585.988754	82.650454	490	Locus 12		5	SILEX	E0		76	PM	PN2121	2,4	17-02-2012/09:18:27.0
2012	5919	3679	17		1450600.627010	5116586.846811	82.683892	490	Locus 12		5	SILEX	E0			PM		1,3	17-02-2012/09:19:06.0
2012	5919	3680	16		1450599.210389	5116587.138841	82.757853	490	Locus 12		5	SILEX	E11			PM		0,2	16-02-2012/17:00:02.0
2012	5919	3681	11		1450598.191460	5116567.240181	82.916854	490	Locus 09	L4 29c	4	SILEX	EC0		151	PS		44	16-02-2012/17:00:12.0
2012	5919	3682	13		1450598.034422	5116567.104786	82.897987	490	Locus 09	L4 29c	4	SILEX	/		110	PM	PN2300-2303	/	16-02-2012/17:00:24.0
2012	5919	3683	13		1450598.120524	5116567.057630	82.877828	490	Locus 09	L4 29c	4	SILEX	/		110	PM	PN2300-2303	/	16-02-2012/17:00:41.0
2012	5919	3684	11		1450598.145046	5116567.007375	82.880045	490	Locus 09	L4 29c	4	SILEX	EC2/Eci		137	PS	PN2365-2380	159,3	17-02-2012/09:21:39.0
2012	5919	3685	11		1450598.113005	5116567.146736	82.880140	490	Locus 09	L4 29c	4	SILEX	EC2/Epde			PS		8,1	17-02-2012/09:22:31.0
2012	5919	3686	12		1450598.061282	5116566.965945	82.896130	490	Locus 09	L4 39a	4	SILEX	E0			PS		4,3	17-02-2012/09:22:49.0
2012	5919	3687	16		1450598.177212	5116567.175068	82.885834	490	Locus 09	L4 29c	4	SILEX	E4pdf			PM		2	17-02-2012/09:24:33.0
2012	5919	3688	16		1450598.419410	5116566.872337	82.866438	490	Locus 09	L4 29c	4	SILEX	Fi			PM		0,3	17-02-2012/09:24:55.0
2012	5919	3689	16		1450598.300307	5116567.180730	82.878736	490	Locus 09	L4 29c	4	SILEX	E1			PM		4,8	17-02-2012/09:25:30.0
2012	5919	3690	14		1450598.129374	5116567.262243	82.908275	490	Locus 09	L4 29c	4	SILEX	EC1		102	PM	PN2094	18,9	17-02-2012/09:26:00.0
2012	5919	3691	11		1450598.059882	5116566.991609	82.877821	490	Locus 09	L4 39a	4	SILEX	Lscr/ncr			PS		33,6	17-02-2012/09:26:25.0
2012	5919	3692	12		1450598.055700	5116567.253198	82.902907	490	Locus 09	L4 29c	4	SILEX	E0			PS		2,3	17-02-2012/09:26:42.0
2012	5919	3693	11		1450598.065230	5116567.312835	82.893509	490	Locus 09	L4 29c	4	SILEX	E0			PS		1	17-02-2012/09:26:58.0
2012	5919	3694	11		1450598.040109	5116567.391418	82.900620	490	Locus 09	L4 29c	4	SILEX	/		151	PS		/	17-02-2012/09:27:53.0
2012	5919	3695	12		1450597.798749	5116567.245446	82.896504	490	Locus 09	L4 28d	4	SILEX	E9/Eci			PS		4,3	17-02-2012/09:28:20.0
2012	5919	3696	12		1450597.810350	5116567.462781	82.917626	490	Locus 09	L4 28d	4	SILEX	Fi			PS		6,4	17-02-2012/09:28:38.0
2012	5919	3697	18		1450597.399274	5116567.322648	82.921640	490	Locus 09	L4 28c	4	SILEX	E0			PM		8,6	17-02-2012/09:28:52.0
2012	5919	3698	16		1450597.383045	5116567.335619	82.921450	490	Locus 09	L4 28	4	SILEX	Fi			PM		0,5	17-02-2012/09:29:20.0
2012	5919	3699	11		1450597.438934	5116567.374669	82.903715	490	Locus 09	L4 28	4	SILEX	EC2/Eci		137	PS	PN2365-2380	92,1	17-02-2012/09:29:32.0
2012	5919	3700	11		1450597.491797	5116567.236103	82.923678	490	Locus 09	L4 28	4	SILEX	E9		137	PS	PN2365-2380	41,1	17-02-2012/09:30:16.0
2012	5919	3701	11		1450597.830331	5116567.561845	82.908941	490	Locus 09	L4 28	4	SILEX	Lpd			PS		3,5	17-02-2012/09:30:36.0
2012	5919	3702	12		1450597.366523	5116567.520183	82.930807	490	Locus 09	L4 28	4	SILEX	E0			PS		1,6	17-02-2012/09:31:09.0
2012	5919	3703	11		1450597.397886	5116567.568110	82.937934	490	Locus 09	L4 28	4	SILEX	/		137	PS	PN2365-2380	/	17-02-2012/09:31:36.0
2012	5919	3704	11		1450597.411650	5116567.612912	82.926036	490	Locus 09	L4 28	4	SILEX	EC1			PS		2	17-02-2012/09:32:03.0
2012	5919	3705	11		1450597.342829	5116567.627305	82.938329	490	Locus 09	L4 28	4	SILEX	ENC/C0		137	PS	PN2365-2380	23,4	17-02-2012/09:32:26.0
2012	5919	3706	11		1450597.284509	5116567.625058	82.955448	490	Locus 09	L4 28	4	SILEX	E/Lpde		150	PS		34,7	17-02-2012/09:33:34.0
2012	5919	3707	16		1450597.055591	5116567.580620	82.908863	490	Locus 09	L4 28	4	SILEX	Fi			PM/PS		4	17-02-2012/09:34:11.0
2012	5919	3708	3		1450597.113498	5116567.610758	82.899540	490	Locus 09	L4 28	4	Quartz	NT			PS		39,5	17-02-2012/09:35:15.0
2012	5919	3709	12		1450597.117441	5116567.697903	82.917752	490	Locus 09	L4 28	4	SILEX	LC2/Lpde			PS		14	17-02-2012/09:35:37.0
2012	5919	3710	11		1450597.107587	5116567.732584	82.935593	490	Locus 09	L4 28	4	SILEX	Lpd			PS		12,4	17-02-2012/09:37:11.0
2012	5919	3711	11		1450597.030093	5116567.947225	82.974640	490	Locus 09	L4 28	4	SILEX	E9		145	PS		3,2	17-02-2012/09:37:27.0
2012	5919	3712	12		1450597.407294	5116567.897145	82.936530	490	Locus 09	L4 28	4	SILEX	L/Lpd/pde?			PS		1,1	17-02-2012/09:37:48.0
2012	5919	3713	11		1450597.686154	5116567.734584	82.923888	490	Locus 09	L4 28	4	SILEX	/		145	PS		/	17-02-2012/09:38:01.0
2012	5919	3714	11		1450597.781792	5116567.720127	82.903661	490	Locus 09	L4 28	4	SILEX	EC2			PM/PS		2,9	17-02-2012/09:38:18.0
2012	5919	3715	11		1450597.778025	5116567.700612	82.884271	490	Locus 09	L4 28	4	SILEX	E9/Epde?		126	PS	PN2331-2345	80,3	17-02-2012/09:38:42.0
2012	5919	3716	11		1450597.749086	5116567.948710	82.945474	490	Locus 09	L4 28	4	SILEX	E0			PS		5,4	17-02-2012/09:39:38.0
2012	5919	3717	11		1450597.803322	5116567.961225	82.938687	490	Locus 09	L4 28	4	SILEX	E9		137	PS	PN2365-2380	6,4	17-02-2012/09:39:54.0
2012	5919	3722	11		1450593.422233	5116573.443817	83.056976	490	Locus 11	K4 64c	3/4	SILEX	Fi/Cg			PS		1,2	17-02-2012/09:40:34.0
2012	5919	3723	11		1450593.693344	5116574.828157	83.084872	490	Locus 11	K4 54b	4	SILEX	Fi/Cg			PS		1	17-02-2012/09:41:08.0
2012	5919	3724	11		1450593.883829	5116574.717120	83.072744	490	Locus 11	K4 54b	4	SILEX	Fi			PS		1,4	17-02-2012/09:41:43.0
2012	5919	3725	11		1450594.476594	5116574.455922	83.092366	490	Locus 11	K4 55c	4	SILEX	E0			PS		0,6	17-02-2012/10:42:24.0
2012	5919	3726	11		1450594.730753	5116574.434184	83.061273	490	Locus 11	K4 55c	4	SILEX	E11			PS		0,1	17-02-2012/10:42:47.0

Inventaire officiel 7 – Montguyon (17), « Bois Clair ». Inventaire du mobilier individualisé

ANNEE	OA	IDENTIFIANT	N°DE CAISSE	N°DE LOT	X = est	Y = nord	Z = alti NGF	PARCELLE	SECTEUR (CP/TR/ST...)	CARRE	UPS	MATERIAU	SUPPORT (cf. annexe 3)	TYPOLOGIE (cf. annexe 3)	REMONTAGES	CHRONO-CULTURE (cf. annexe 3)	CLICHE	MASSE (g.)	DATE DECOUVERTE
2012	5919	3727	11		1450594.521441	5116574.037348	83.059035	490	Locus 11	K4 55c	4	SILEX	Fl/Cg			PS		1	17-02-2012/10:43:01.0
2012	5919	3728	13		1450594.821474	5116573.918666	83.016752	490	Locus 11	K4 55b	4	SILEX	/		108	PM		/	17-02-2012/10:43:28.0
2012	5919	3748	12		1450589.259772	5116569.577908	83.152780	490	Locus 00	L3 10	4	SILEX	EC2			PS		2,6	17-02-2012/10:44:22.0
2012	5919	3749	11		1450589.429459	5116570.558063	83.078781	490	Locus 00	K3 100a	4	SILEX	E0			PS		2	17-02-2012/10:44:32.0
2012	5919	3750	11		1450589.477964	5116570.793064	83.081104	490	Locus 00	K3 100a	4	SILEX	Lncr		129	PS		35,8	17-02-2012/10:49:43.0
2012	5919	3751	18		1450589.194335	5116570.959449	83.075191	490	Locus 00	K3 100a	4	SILEX	E0			PS		1,3	20-02-2012/13:37:38.0
2012	5919	3752	11		1450589.040373	5116570.935746	83.065399	490	Locus 00	K3 100a	4	SILEX	E0		134	PS	PN2346-2364	10,7	20-02-2012/14:21:26.0
2012	5919	3753	18		1450589.035835	5116570.763031	83.084976	490	Locus 00	K3 100a	4	SILEX	E/Lpde	/		PS		0,7	20-02-2012/14:21:42.0
2012	5919	3754	11		1450589.063378	5116570.605669	83.088923	490	Locus 00	K3 100a	4	SILEX	Lncr		134	PS	PN2346-2364	3,1	20-02-2012/14:22:02.0
2012	5919	3755	11		1450589.220207	5116570.747081	83.095891	490	Locus 00	K3 100a	4	SILEX	Lncr			PS		3,1	20-02-2012/14:22:17.0
2012	5919	3756	18		1450589.231745	5116570.737601	83.089032	490	Locus 00	K3 100a	4	SILEX	E11			PS		0,1	20-02-2012/14:22:46.0
2012	5919	3757	18		1450589.115458	5116570.751242	83.106488	490	Locus 00	K3 100a	4	SILEX	E11			PS		0,1	20-02-2012/14:23:02.0
2012	5919	3758	18		1450589.132455	5116570.714615	83.114316	490	Locus 00	K3 100a	4	SILEX	Fl/E11x3			PS		0,1	20-02-2012/14:23:18.0
2012	5919	3759	18		1450589.353525	5116570.733763	83.071513	490	Locus 00	K3 100a	4	SILEX	Fl			PS		0,1	20-02-2012/14:24:13.0
2012	5919	3760	18		1450589.475569	5116570.733366	83.051658	490	Locus 00	K3 100a	4	SILEX	E11			PS		0,2	20-02-2012/14:24:49.0
2012	5919	3762	18		1450589.437202	5116571.007570	83.093069	490	Locus 00	K3 100a	4	SILEX	Cg			PS		0,8	20-02-2012/14:25:30.0
2012	5919	3763	18		1450589.280517	5116570.998449	83.073134	490	Locus 09	L4 38b	4a/4b?	SILEX	E11			PM/PS		0,1	20-02-2012/14:26:14.0
2012	5919	3764	12		1450597.894749	5116566.597686	82.838014	490	Locus 09	L4 38b	4a/4b?	SILEX	NT			PS		4,6	20-02-2012/14:27:23.0
2012	5919	3765	11		1450597.927382	5116566.945754	82.869154	490	Locus 09	L4 38b	4a/4b?	SILEX	E/Lpd/Lpde			PS		1,6	20-02-2012/14:28:07.0
2012	5919	3766	16		1450597.993160	5116567.068152	82.862001	490	Locus 09	L4 29c	4	SILEX	Fi			PM		0,8	20-02-2012/14:28:51.0
2012	5919	3767	12		1450598.176526	5116567.125583	82.870438	490	Locus 09	L4 29c	4	SILEX	/			PS		/	20-02-2012/14:29:41.0
2012	5919	3768	13		1450598.196508	5116567.113755	82.852628	490	Locus 09	L4 29c	4	SILEX	/		110	PM	PN2300-2303	/	20-02-2012/15:15:54.0
2012	5919	3769	11		1450597.723228	5116567.220799	82.843608	490	Locus 09	L4 29c	4	SILEX	Lpd			PS	PN2221-2222	1,3	20-02-2012/15:17:22.0
2012	5919	3770	12		1450597.374151	5116567.587393	82.905075	490	Locus 09	L4 28a	4	SILEX	/			PS		/	20-02-2012/15:17:37.0
2012	5919	3771	16		1450597.354081	5116567.335385	82.907329	490	Locus 09	L4 28c	4	SILEX	E11			PM		1	20-02-2012/15:18:07.0
2012	5919	3772	11		1450597.341817	5116567.398212	82.899884	490	Locus 09	L4 28c	4	SILEX	/		137	PS	PN2365-2380	/	20-02-2012/15:18:39.0
2012	5919	3773	12		1450601.106583	5116597.224320	82.973446	490	Locus 13		4a	SILEX	EC2/Epde			PS/EPIP		2,9	20-02-2012/15:19:28.0
2012	5919	3774	12		1450601.442144	5116596.488945	82.941427	490	Locus 13		4a	SILEX	E0/Eci			PS/EPIP		4,5	20-02-2012/15:21:17.0
2012	5919	3775	15		1450601.911061	5116598.009787	82.976982	490	Locus 13		4a	SILEX	Epde			PS/EPIP		0,1	20-02-2012/15:22:19.0
2012	5919	3776	12		1450602.077498	5116598.678408	82.959485	490	Locus 13		4a	SILEX	Lpde			PS/EPIP		0,1	20-02-2012/15:22:48.0
2012	5919	3777	12		1450602.436990	5116597.971214	82.964747	490	Locus 13		4a	SILEX	E11			PS/EPIP		0,1	20-02-2012/15:27:55.0
2012	5919	3778	12		1450603.748491	5116596.465137	82.955173	490	Locus 13		4a	SILEX	E10/Epde			PS/EPIP		4	20-02-2012/15:28:10.0
2012	5919	3779	12		1450604.505645	5116597.232215	82.931400	490	Locus 13		4a	SILEX	lncr		119	PS/EPIP	PN2168-2179	0,7	20-02-2012/15:28:24.0
2012	5919	3784	18		1450589.515258	5116570.787320	83.033305	490	Locus 00	K3 100a	4	SILEX	Fl/Cg			PS		0,4	20-02-2012/15:28:39.0
2012	5919	3786	9		1450597.482732	5116567.336999	82.889664	490	Locus 09	L4 28	4	Grès	Bfgt		85	PS		2200	20-02-2012/15:28:51.0
2012	5919	3788	9		1450597.508509	5116567.765800	82.863888	490	Locus 09	L4 28	4	Grès	Bfgt		85	PS	PN2164	8500	20-02-2012/15:29:05.0
2012	5919	3789	11		1450597.490201	5116567.604293	82.850429	490	Locus 09	L4 28	4	SILEX	N		126	PS	PN2331-2345	/	20-02-2012/15:29:17.0
2012	5919	3790	16		1450589.181789	5116568.942992	83.089673	490	Locus 00	L3 20a	4	SILEX	E2			PM/PS		2,6	20-02-2012/15:33:45.0
2012	5919	3791	16		1450589.249632	5116568.567398	83.092424	490	Locus 00	L3 20a	4	SILEX	E0			PM/PS		12,8	20-02-2012/15:36:02.0
2012	5919	3792	11		1450589.201106	5116568.114172	83.064788	490	Locus 00	L3 20c	4	SILEX	E/LC2			PS		1,7	20-02-2012/15:37:26.0
2012	5919	3793	11		1450589.143411	5116569.291139	83.130495	490	Locus 09	L3 20c	4	SILEX	Lpde ?			PS		1,9	20-02-2012/15:37:53.0
2012	5919	3795	9		1450597.379583	5116567.612030	82.911725	490	Locus 09	L4 28a	4	Grès	Fl		85	PS		7,7	20-02-2012/15:38:16.0
2012	5919	3796	12		1450597.456499	5116567.370865	82.864053	490	Locus 09	L4 28d	4	SILEX	E/LC2/E/Lpde			PS		42,7	20-02-2012/15:40:07.0
2012	5919	3797	11		1450597.468532	5116567.344650	82.869269	490	Locus 09	L4 28d	4	SILEX	/		137	PS	PN2365-2380	/	20-02-2012/15:55:21.0
2012	5919	3802	13		1450614.556034	5116595.377099	82.349699	490			5	SILEX	EC2/pdf		34	PM		14,9	20-02-2012/15:55:37.0
2012	5919	3803	18		1450614.453133	5116595.960007	82.370860	490			5	SILEX	Ni			PM		13,8	20-02-2012/15:55:50.0
2012	5919	3804	11		1450589.103549	5116569.769392	83.120223	490	Locus 00	L3 10a	4	SILEX	Lncr		127	PS	PN2316-2330	12,1	20-02-2012/15:56:09.0
2012	5919	3805	11		1450589.372854	5116569.892008	83.142542	490	Locus 00	L3 10a	4	SILEX	Fl/Cg			PS		1,6	20-02-2012/15:58:08.0
2012	5919	3806	11		1450589.506424	5116569.945079	83.108287	490	Locus 00	L3 10a	4	SILEX	EC2/Epde			PS		1,8	20-02-2012/15:58:20.0
2012	5919	3807	12		1450589.434016	5116569.055220	83.071085	490	Locus 00	K3 90	4	SILEX	Fl/cCg			PS		4,4	20-02-2012/15:58:29.0
2012	5919	3808	11		1450589.397967	5116571.681023	83.084812	490	Locus 00	K3 90	4	SILEX	E0			PS		1,1	20-02-2012/16:30:40.0
2012	5919	3809	11		1450589.251953	5116571.671977	83.106798	490	Locus 00	K3 90	4	SILEX	E/Lpde?			PS		0,7	20-02-2012/16:30:53.0
2012	5919	3810	12		1450589.250812	5116571.683407	83.087335	490	Locus 00	K3 90	4	SILEX	Fl/Cg			PS		9,5	20-02-2012/16:32:07.0
2012	5919	3811	11		1450589.220234	5116571.584737	83.105949	490	Locus 00	K3 90	4	SILEX	Fi			PS		2,3	20-02-2012/16:32:34.0
2012	5919	3812	16		1450589.232151	5116571.571209	83.103873	490	Locus 00	K3 90	4	SILEX	D			PM/PS		3	20-02-2012/16:32:54.0
2012	5919	3813	12		1450589.431253	5116571.343877	83.128385	490	Locus 00	K3 90	4	SILEX	Fl/Cg			PS		6,8	20-02-2012/16:33:11.0
2012	5919	3814	11		1450589.268097	5116571.296932	83.109036	490	Locus 00	K3 90	4	SILEX	E11			PS		0,9	21-02-2012/08:55:56.0
2012	5919	3815	11		1450589.179903	5116571.172952	83.101558	490	Locus 00	K3 90	4	SILEX	Fl/Cg			PS		1,3	21-02-2012/08:56:11.0

Inventaire officiel 7 – Montguyon (17), « Bois Clair ». Inventaire du mobilier individualisé

ANNEE	OA	IDENTIFIANT	N°DE CAISSE	N°DE LOT	X = est	Y = nord	Z = alti NGF	PARCELLE	SECTEUR (CP/TR/ST...)	CARRE	UPS	MATERIAU	SUPPORT (cf. annexe 3)	TYPOLOGIE (cf. annexe 3)	REMONTAGES	CHRONO-CULTURE (cf. annexe 3)	CLICHE	MASSE (g.)	DATE DECOUVERTE
2012	5919	3816	11		1450589.316967	5116571.048061	83.082801	490	Locus 00	K3 90	4	SILEX	Fi			PS		0,7	21-02-2012/08:56:33.0
2012	5919	3817	1		1450589.465287	5116570.958095	82.991473	490	Locus 00	K3 100a	4	Quartzite	Gup?			PS		430	21-02-2012/08:56:53.0
2012	5919	3818	18		1450589.528738	5116570.884768	83.022826	490	Locus 00	K3 100	4	SILEX	E11			PS		0,1	21-02-2012/08:57:09.0
2012	5919	3819	11		1450589.208010	5116570.853936	83.015890	490	Locus 00	K3 100	4	SILEX	LC2/Lpde			PS		3,4	21-02-2012/08:57:28.0
2012	5919	3820	11		1450589.038653	5116570.895809	83.031566	490	Locus 00	K3 100	4	SILEX	EC2/Eci/Eca			PS		18,2	21-02-2012/08:58:03.0
2012	5919	3821	18		1450589.007942	5116570.888902	83.039230	490	Locus 00	K3 100	4	SILEX	E11			PS		0,1	21-02-2012/08:58:24.0
2012	5919	3822	11		1450589.023813	5116570.776595	83.058734	490	Locus 00	K3 100	4	SILEX	E0			PS		3	21-02-2012/08:58:41.0
2012	5919	3823	18		1450589.033258	5116570.747456	83.051206	490	Locus 00	K3 100	4	SILEX	Fi			PS		0,1	21-02-2012/10:04:03.0
2012	5919	3824	11		1450589.142727	5116572.096538	83.130201	490	Locus 00	K3 80	4	SILEX	E0/Epde			PS		0,9	21-02-2012/10:04:34.0
2012	5919	3825	11		1450589.246195	5116572.584989	83.094775	490	Locus 00	K3 80	4	SILEX	Fi/Cg			PS		2,5	21-02-2012/10:05:45.0
2012	5919	3826	11		1450589.174466	5116572.674520	83.137754	490	Locus 00	K3 80	4	SILEX	Lpde		134	PS	PN2346-2364	2,4	21-02-2012/10:06:15.0
2012	5919	3827	11		1450589.485678	5116572.503088	83.141290	490	Locus 00	K3 80	4	SILEX	EC2			PS		7,3	21-02-2012/10:06:39.0
2012	5919	3828	11		1450589.156244	5116568.263106	82.947031	490	Locus 00	L3 20c	4	SILEX	E/Lpde?			PS		0,1	21-02-2012/10:07:03.0
2012	5919	3829	11		1450589.025550	5116571.217132	83.102732	490	Locus 00	K3 90c	4	SILEX	Fi			PS		2	21-02-2012/10:07:27.0
2012	5919	3830	11		1450596.967058	5116566.921121	82.980446	490	Locus 09	L4 38a	4	SILEX	Fi/Cg			PM/PS		0,7	21-02-2012/10:08:07.0
2012	5919	3831	11		1450596.956272	5116567.696232	82.956383	490	Locus 09	L4 28a/27b	4	SILEX	Lpd		137	PS	PN2365-2380	23,2	21-02-2012/10:08:38.0
2012	5919	3832	18		1450589.032089	5116570.755627	83.040876	490	Locus 00	K3 100a	4	SILEX	Fi			PS		0,1	21-02-2012/10:08:56.0
2012	5919	3833	18		1450589.111157	5116570.838282	83.019634	490	Locus 00	K3 100a	4	SILEX	E11/EC0			PS		0,1	21-02-2012/10:09:15.0
2012	5919	3834	11		1450596.996197	5116566.747915	82.947006	490	Locus 09	L4 37b	4	SILEX	LC2/Lpde			PS		34	21-02-2012/11:00:26.0
2012	5919	3835	12		1450594.287517	5116596.040113	83.008311	490	Locus 14	I4 35c	4	SILEX	/		121	PS		/	21-02-2012/11:07:11.0
2012	5919	3836	12		1450594.323750	5116596.008736	83.004302	490	Locus 14	I4 35c	4	SILEX	E11			PS		0,6	21-02-2012/11:14:14.0
2012	5919	3837	15		1450589.253931	5116571.733126	83.029314	490	Locus 00	K3 90	4a?	SILEX	D		103	PM		31,3	21-02-2012/11:41:41.0
2012	5919	3838	11		1450589.240936	5116571.688326	83.078748	490	Locus 00	K3 90	4a?	SILEX	Fi/Cg			PS		0,3	21-02-2012/11:50:04.0
2012	5919	3839	11		1450589.025730	5116571.324947	83.066848	490	Locus 00	K3 90	4a?	SILEX	Cg			PS		2,7	21-02-2012/11:50:18.0
2012	5919	3840	12		1450589.013853	5116571.292738	83.065004	490	Locus 00	K3 90	4a?	SILEX	Fi/Cg			PS		2,8	21-02-2012/11:56:06.0
2012	5919	3841	11		1450589.010640	5116571.177468	83.063177	490	Locus 00	K3 90	4a?	SILEX	Fi			PS		0,2	21-02-2012/11:59:44.0
2012	5919	3842	11		1450589.086844	5116571.179454	83.069316	490	Locus 00	K3 90	4a?	SILEX	Fi			PS		0,1	21-02-2012/11:59:56.0
2012	5919	3843	11		1450589.311604	5116571.044365	83.064439	490	Locus 00	K3 90	4a?	SILEX	E0			PS		0,4	21-02-2012/14:00:17.0
2012	5919	3844	11		1450589.332737	5116571.036626	83.064828	490	Locus 00	K3 90	4a?	SILEX	Fi/Cg			PS		0,1	21-02-2012/14:00:37.0
2012	5919	3845	16		1450589.339226	5116571.032701	83.064405	490	Locus 00	K3 90	4a?	SILEX	E11			PM/PS		0,1	21-02-2012/14:00:52.0
2012	5919	3849	18		1450589.138200	5116570.898653	82.990140	490	Locus 00	K3 100a	4	SILEX	Encr/E9?			PS		2,2	21-02-2012/14:01:04.0
2012	5919	3851	18		1450589.129708	5116570.909411	82.987853	490	Locus 00	K3 100a	4	SILEX	E11			PS		0,1	21-02-2012/14:01:48.0
2012	5919	3852	16		1450589.081071	5116570.929878	82.988712	490	Locus 00	K3 100a	4	SILEX	Lpde			PS		0,3	21-02-2012/14:02:12.0
2012	5919	3853	16		1450589.068351	5116568.505247	82.864527	490	Locus 00	L3 20c	4/5	SILEX	Cg			PM/PS		3,5	21-02-2012/14:02:25.0
2012	5919	3854	18		1450589.090089	5116570.921398	82.985759	490	Locus 00	K3 100a	4	SILEX	E0			PS		0,1	21-02-2012/14:02:40.0
2012	5919	3855	18		1450589.082398	5116570.936511	82.985816	490	Locus 00	K3 100a	4	SILEX	Fi/Cg			PS		0,6	21-02-2012/14:04:42.0
2012	5919	3858	18		1450589.064258	5116570.934621	82.984237	490	Locus 00	K3 100a	4	SILEX	E11			PS		0,1	21-02-2012/14:20:08.0
2012	5919	3859	11		1450596.704342	5116567.458252	83.004681	490	Locus 09	L4 27d	4	SILEX	ENC2			PS		19,7	21-02-2012/14:28:22.0
2012	5919	3860	11		1450596.839055	5116567.369642	82.978799	490	Locus 09	L4 27d	4	SILEX	E0/Eci		126	PS	PN2331-2345	8	21-02-2012/14:29:44.0
2012	5919	3861	18		1450596.829371	5116567.106086	82.970459	490	Locus 09	L4 27d	4	SILEX	E/Lpde			PS		2,2	21-02-2012/14:30:02.0
2012	5919	3863	18		1450589.060137	5116570.963054	82.997826	490	Locus 00	K3 100a	4	SILEX	Lpd			PS		0,1	21-02-2012/14:59:55.0
2012	5919	3864	18		1450589.062338	5116570.956106	82.984053	490	Locus 00	K3 100a	4	SILEX	Lncr			PS		3,9	21-02-2012/15:00:14.0
2012	5919	3865	18		1450589.084174	5116570.941096	82.980390	490	Locus 00	K3 100a	4	SILEX	E11			PS		0,4	21-02-2012/15:05:09.0
2012	5919	3866	18		1450589.078881	5116570.944061	82.982457	490	Locus 00	K3 100a	4	SILEX	Lpd			PS		0,3	21-02-2012/15:05:21.0
2012	5919	3867	18		1450589.077396	5116570.953344	82.984587	490	Locus 00	K3 100a	4	SILEX	Lpd			PS		0,1	21-02-2012/15:05:41.0
2012	5919	3868	18		1450589.093771	5116570.940736	82.974056	490	Locus 00	K3 100a	4	SILEX	Fi/Cg			PS		0,2	21-02-2012/15:44:15.0
2012	5919	3870	11		1450589.110046	5116572.226509	83.045033	490	Locus 00	K3 80c	4	SILEX	Lpd			PS		8,5	21-02-2012/15:44:47.0
2012	5919	3871	18		1450589.352286	5116569.295253	83.018191	490	Locus 00	L3 10c	4	SILEX	E11			PS		0,3	21-02-2012/15:45:13.0
2012	5919	3872	12		1450593.418233	5116595.334745	82.959453	490	Locus 14	I4 44	4a	SILEX	Epde			PS		2,5	21-02-2012/15:45:30.0
2012	5919	3873	12		1450593.651326	5116595.420091	82.958549	490	Locus 14	I4 44	4a	SILEX	Lpde			PS		1,5	21-02-2012/15:45:47.0
2012	5919	3874	12		1450593.612219	5116595.750325	82.947925	490	Locus 14	I4 44	4a	SILEX	Néb			PS		290,6	21-02-2012/15:46:02.0
2012	5919	3875	12		1450593.572204	5116596.271769	82.921068	490	Locus 14	I4 34	4a	SILEX	Fi			PS		0,2	21-02-2012/15:47:40.0
2012	5919	3876	2		1450593.608660	5116596.395699	82.955057	490	Locus 14	I4 34	4a	Quartzite	Gb			PM/PS		282,3	21-02-2012/15:47:57.0
2012	5919	3877	12		1450594.263669	5116596.678994	82.960408	490	Locus 14	I4 35	4a	SILEX	EC2/Lpde			PS		1,5	21-02-2012/15:48:16.0
2012	5919	3879	18		1450589.086279	5116570.908738	82.976466	490	Locus 00	K3 100a	4	SILEX	E11			PS		0,3	21-02-2012/16:02:11.0
2012	5919	3881	18		1450589.093839	5116570.930998	82.978536	490	Locus 00	K3 100a	4	SILEX	E11			PS		0,1	21-02-2012/16:02:39.0
2012	5919	3882	18		1450589.076717	5116570.948240	82.978985	490	Locus 00	K3 100a	4	SILEX	Lpd			PS		0,1	21-02-2012/16:02:50.0
2012	5919	3883	18		1450589.081339	5116570.949852	82.974734	490	Locus 00	K3 100a	4	SILEX	NT			PS		0,1	21-02-2012/16:03:02.0

Inventaire officiel 7 – Montguyon (17), « Bois Clair ». Inventaire du mobilier individualisé

ANNEE	OA	IDENTIFIANT	N°DE CAISSE	N°DE LOT	X = est	Y = nord	Z = alti NGF	PARCELLE	SECTEUR (CP/TR/ST...)	CARRE	UPS	MATERIAU	SUPPORT (cf. annexe 3)	TYPOLOGIE (cf. annexe 3)	REMONTAGES	CHRONO-CULTURE (cf. annexe 3)	CLICHE	MASSE (g.)	DATE DECOUVERTE
2012	5919	3884	18		1450589.093388	5116570.949317	82.972199	490	Locus 00	K3 100a	4	SILEX	Fl/Cg			PS		2,3	21-02-2012/16:32:12.0
2012	5919	3885	18		1450589.089290	5116570.959721	82.979321	490	Locus 00	K3 100a	4	SILEX	EC2/Epde			PS		1,3	21-02-2012/16:32:25.0
2012	5919	3886	11		1450589.420669	5116571.643070	83.008557	490	Locus 00	K3 90	4a?	SILEX	LC2/Lpde			PS		2,7	21-02-2012/16:32:37.0
2012	5919	3887	11		1450589.173522	5116571.392470	83.021053	490	Locus 00	K3 90	4a?	SILEX	/		134	PS	PN2346-2364	/	21-02-2012/16:32:51.0
2012	5919	3888	16		1450589.373004	5116571.221210	83.010169	490	Locus 00	K3 90	4a?	SILEX	Fi			PM/PS		1,7	21-02-2012/16:33:04.0
2012	5919	3889	11		1450596.885776	5116567.438364	82.923493	490	Locus 09	L4 27d	4	SILEX	E0			PS		6,9	21-02-2012/16:33:23.0
2012	5919	3890	12		1450596.932151	5116567.067721	82.952290	490	Locus 09	L4 27d	4	SILEX	LC3			PS		5,5	21-02-2012/16:33:49.0
2012	5919	3891	16		1450589.289959	5116572.477560	83.022457	490	Locus 00	K3 80	4	SILEX	D			PM/PS		10	21-02-2012/16:34:00.0
2012	5919	3892	11		1450589.065832	5116572.065178	83.025379	490	Locus 00	K3 80c	4a?	SILEX	Lpde?			PS		0,1	21-02-2012/16:35:02.0
2012	5919	3893	18		1450589.286464	5116570.752085	82.977504	490	Locus 00	K3 100a	4	SILEX	E11			PS		0,1	21-02-2012/16:35:22.0
2012	5919	3895	18		1450589.092274	5116570.956653	82.966514	490	Locus 00	K3 100a	4	SILEX	Lpd/Lpde			PS		0,7	21-02-2012/16:38:19.0
2012	5919	3896	13		1450596.884060	5116567.378230	82.897116	490	Locus 09	L4 27d	4	SILEX	E5		109	PM		13,6	21-02-2012/16:38:42.0
2012	5919	3897	11		1450589.004744	5116572.903463	83.060200	490	Locus 00	K3 80a	4	SILEX	E/Lpde			PS		4,1	21-02-2012/16:42:18.0
2012	5919	3898	18		1450596.948675	5116567.470059	82.852524	490	Locus 09	L4 27d	4	SILEX	Cg/Fgt			PM/PS		1,4	22-02-2012/09:01:59.0
2012	5919	3899	18		1450596.778859	5116566.922334	83.121527	490	Locus 09	L4 37b	4	SILEX	Lmcr			PS		0,2	22-02-2012/09:05:47.0
2012	5919	3900	13		1450589.127664	5116569.653770	83.001728	490	Locus 00	L3 10a	4	SILEX	EL2		95	PM	PN2117-2120	3,9	22-02-2012/09:06:56.0
2012	5919	3901	17		1450589.421419	5116572.519372	82.959932	490	Locus 00	K3 80a	4/5	SILEX	Fi			PM/PS		1,7	22-02-2012/09:07:15.0
2012	5919	3902	12		1450594.185765	5116595.991800	82.936999	490	Locus 14	I4 45a	4a/4b	SILEX	/		120	PS		/	22-02-2012/09:33:55.0
2012	5919	3903	12		1450594.204923	5116595.947911	82.943728	490	Locus 14	I4 45a	4a/4b	SILEX	/		120	PS		/	22-02-2012/11:08:13.0
2012	5919	3904	12		1450594.155362	5116595.956384	82.932940	490	Locus 14	I4 45a	4a/4b	SILEX	Néb		120	PS		266,9	22-02-2012/11:11:25.0
2012	5919	3905	11		1450589.234018	5116571.126485	82.967607	490	Locus 00	K3 90c	4/5	SILEX	Lpde			PS		5,1	22-02-2012/11:55:24.0
2012	5919	3915	11		1450589.253941	5116571.029172	82.970561	490	Locus 00	K3 90c	4/5	SILEX	Fi			PM/PS		0,3	22-02-2012/11:59:56.0
2012	5919	3916	11		1450589.272511	5116570.989881	82.956198	490	Locus 00	K3 90c	4/5	SILEX	E0			PM/PS-PS		0,8	22-02-2012/12:11:39.0
2012	5919	3917	11		1450589.117562	5116571.065785	82.984341	490	Locus 00	K3 90c	4/5	SILEX	EC2			PM/PS		3	22-02-2012/15:47:49.0
2012	5919	3918	11		1450589.118318	5116571.007166	82.969369	490	Locus 00	K3 90c	4/5	SILEX	EC1			PS		10,3	22-02-2012/15:47:56.0
2012	5919	3919	11		1450589.139629	5116570.980659	82.962434	490	Locus 00	K3 90c	4/5	SILEX	E11			PM/PS		0,1	22-02-2012/15:48:04.0
2012	5919	3920	11		1450589.103101	5116571.020554	82.975147	490	Locus 00	K3 90c	4/5	SILEX	E0			PM/PS		0,7	22-02-2012/16:07:41.0
2012	5919	3921	11		1450589.100500	5116571.026477	82.965435	490	Locus 00	K3 90c	4/5	SILEX	E0			PM/PS		0,2	22-02-2012/16:08:05.0
2012	5919	3922	11		1450589.090448	5116571.013350	82.968736	490	Locus 00	K3 90c	4/5	SILEX	E11X2			PM/PS		0,1	22-02-2012/16:08:22.0
2012	5919	3923	11		1450589.068755	5116570.990091	82.967068	490	Locus 00	K3 90c	4/5	SILEX	E11X2			PM/PS-PS		0,1	22-02-2012/16:08:51.0
2012	5919	3924	15		1450589.022547	5116571.002143	82.969485	490	Locus 00	K3 90c	4/5	SILEX	E5			PM		44,3	22-02-2012/16:09:09.0
2012	5919	3925	18		1450589.095256	5116570.960603	82.963620	490	Locus 00	K3 100a	5	SILEX	Lpd			PS		2,1	22-02-2012/16:09:32.0
2012	5919	3926	11		1450589.221594	5116570.847047	82.926496	490	Locus 00	K3 100a	5	SILEX	EC1			PS		43,1	22-02-2012/16:09:50.0
2012	5919	3927	3		1450589.061967	5116571.170498	82.951161	490	Locus 00	K3 90c	4/5	Quartz	Gb			PM/PS		409,1	22-02-2012/16:10:16.0
2012	5919	3928	12		1450599.137085	5116591.261658	83.113105	490	Locus 15	I4 90c	4	SILEX	Eci		123	PS/EPIP	PN2180-2188/2381-83	6,3	22-02-2012/16:10:46.0
2012	5919	3929	18		1450596.578752	5116566.576094	82.984009	490	Locus 09	L4 37b	4	SILEX	Fl/Cg			PS		2,5	22-02-2012/16:11:16.0
2012	5919	3930	18		1450589.101402	5116570.845338	82.895587	490	Locus 00	K3 100a	5	SILEX	E0			PM/PS		1,8	22-02-2012/16:11:56.0
2012	5919	3931	18		1450589.346453	5116570.744729	82.876317	490	Locus 00	K3 100a	5	SILEX	NT			PM/PS		1,7	22-02-2012/16:12:15.0
2012	5919	3932	18		1450596.732048	5116567.838421	83.109901	490	Locus 09	L4 27d	4	SILEX	Fl/Cg			PS		4,3	22-02-2012/16:12:36.0
2012	5919	3933	18		1450596.554917	5116566.815876	82.991843	490	Locus 09	L4 37b	4	SILEX	Fl/Cg			PS		3,7	22-02-2012/16:12:54.0
2012	5919	3934	11		1450589.455736	5116572.681843	82.891020	490	Locus 00	K3 80a	4/5	SILEX	Fi			PM/PS		1,1	23-02-2012/09:12:04.0
2012	5919	3935	12		1450589.395786	5116572.648718	82.905829	490	Locus 00	K3 80a	4/5	SILEX	NT					9,1	23-02-2012/09:46:52.0
2012	5919	3936	11		1450589.380190	5116573.060880	82.939783	490	Locus 00	K3 80a	4/5	SILEX	Lpd		134	PS	PN2346-2364	3,3	23-02-2012/10:51:45.0
2012	5919	3937	11		1450589.412549	5116573.008821	82.939402	490	Locus 00	K3 80a	4/5	SILEX	E11			PM/PS		0,1	23-02-2012/10:52:03.0
2012	5919	3938	12		1450589.155737	5116570.994559	82.970741	490	Locus 00	K3 90c	5	SILEX	Llc2			PM/PS		0,8	23-02-2012/10:58:04.0
2012	5919	3939	11		1450589.100602	5116570.983019	82.966773	490	Locus 00	K3 90c	5	SILEX	Llc2/Llpde			PM/PS		0,2	23-02-2012/10:58:35.0
2012	5919	3940	11		1450589.171922	5116571.017908	82.927019	490	Locus 00	K3 90c	5	SILEX	L/Eci		134	PS	PN2346-2364	13,7	23-02-2012/11:33:29.0
2012	5919	3941	11		1450589.071354	5116572.167835	82.902292	490	Locus 00	K3 80c	4/5	SILEX	EC2/L/Lpde?			PM/PS		0,7	23-02-2012/11:33:48.0
2012	5919	3942b	17		1450589.281505	5116570.262233	83.158065	490	Locus 00	K3 100c	4	SILEX	NPOL1		135	PM		28,8	23-02-2012/11:34:05.0
2012	5919	3943	11		1450589.341991	5116571.654453	82.892312	490	CP21	K3 90c	5	SILEX	Fl/Cg			PM/PS		2,2	23-02-2012/11:34:22.0
2012	5919	3944	12		1450599.175879	5116591.586301	82.899338	490			4	SILEX	EC2			PS/EPIP		2,6	23-02-2012/11:34:39.0
2012	5919	3946	18		1450596.779083	5116566.702613	82.939170	490	Locus 09	L4 37b	4	SILEX	Fl/Cg			PS		3,9	23-02-2012/11:34:54.0
2012	5919	3947	14		1450596.787123	5116566.649390	82.944789	490	Locus 09	L4 37b	4	SILEX	EL0		88	PM		40,8	23-02-2012/11:35:16.0
2012	5919	3948	18		1450596.654988	5116566.677329	82.891946	490	Locus 09	L4 37b	4	SILEX	EC2/LC2			PS		2,1	23-02-2012/11:51:42.0
2012	5919	3949	11		1450589.132220	5116570.270148	83.120627	490	Locus 00	K3 100c	4	SILEX	E0			PS		0,4	23-02-2012/11:52:07.0
2012	5919	3950	11		1450589.385647	5116570.050128	83.097388	490	Locus 00	K3 100c	4	SILEX	E0			PS		0,7	23-02-2012/11:52:41.0
2012	5919	3951	11		1450589.351764	5116570.356680	83.037593	490	Locus 00	K3 100c	4	SILEX	EC2		134	PS	PN2346-2364	23,2	23-02-2012/12:13:02.0
2012	5919	3952	12		1450596.953691	5116566.858184	82.881179	490	Locus 09	L4 37b	4	SILEX	EC2/Eci			PS		58,7	23-02-2012/13:56:16.0

Inventaire officiel 7 – Montguyon (17), « Bois Clair ». Inventaire du mobilier individualisé

ANNEE	OA	IDENTIFIANT	N°DE CAISSE	N°DE LOT	X = est	Y = nord	Z = alti NGF	PARCELLE	SECTEUR (CP/TR/ST...)	CARRE	UPS	MATERIAU	SUPPORT (cf. annexe 3)	TYPOLOGIE (cf. annexe 3)	REMONTAGES	CHRONO-CULTURE (cf. annexe 3)	CLICHE	MASSE (g.)	DATE DECOUVERTE
2012	5919	3953	18		1450596.713434	5116566.686926	82.882717	490	Locus 09	L4 37b	4	SILEX	E0			PS		2,4	23-02-2012/13:56:28.0
2012	5919	3959	16		1450589.349374	5116572.918326	82.884125	490	Locus 00	K3 80a	5	SILEX	E0			PM		4,2	23-02-2012/13:56:39.0
2012	5919	3960	16		1450589.235684	5116570.089395	82.996894	490	Locus 00	K3 100c	4	SILEX	Ni		100	PM		76,8	23-02-2012/14:00:13.0
2012	5919	3961	11		1450589.300259	5116570.478575	82.978922	490	Locus 00	K3 100c	4	SILEX	E11/EC1			PM/PS		0,6	23-02-2012/14:00:35.0
2012	5919	3962	12		1450596.361577	5116567.756724	82.990978	490	Locus 09	L4 27b	4	SILEX	EC2			PS		4,1	23-02-2012/14:43:18.0
2012	5919	3963	11		1450596.542450	5116567.727090	82.989446	490	Locus 09	L4 27b	4	SILEX	E9		137	PS	PN2365-2380	87,7	23-02-2012/14:54:53.0
2012	5919	3964	11		1450596.431648	5116567.692280	82.962303	490	Locus 09	L4 27b	4	SILEX	EC2/Eci		137	PS	PN2365-2380	197,7	23-02-2012/14:55:09.0
2012	5919	3965	11		1450596.587616	5116567.748578	82.977515	490	Locus 09	L4 27b	4	SILEX	/		140	PS		/	23-02-2012/15:26:25.0
2012	5919	3966	11		1450596.611128	5116567.622006	82.953751	490	Locus 09	L4 27b	4	SILEX	EC2/Eci		137	PS	PN2365-2380	141,2	23-02-2012/15:27:23.0
2012	5919	3967	12		1450596.701457	5116567.609219	82.969851	490	Locus 09	L4 27b	4	SILEX	/			PS	PN2217-2220	/	23-02-2012/16:34:04.0
2012	5919	3968	11		1450596.744966	5116567.584184	82.967769	490	Locus 09	L4 27b	4	SILEX	Fi			PS		2,3	24-02-2012/08:36:34.0
2012	5919	3969	11		1450596.847137	5116567.600709	82.956157	490	Locus 09	L4 27b	4	SILEX	Epde			PS		44,8	24-02-2012/08:36:47.0
2012	5919	3970	18		1450596.907456	5116567.784379	82.970149	490	Locus 09	L4 27b	4	SILEX	Fi/Cg			PS		4,8	24-02-2012/08:37:05.0
2012	5919	3971	11		1450596.924112	5116567.788019	82.950148	490	Locus 09	L4 27b	4	SILEX	EC0		138	PS		27,4	24-02-2012/08:37:23.0
2012	5919	3972	18		1450596.899279	5116567.829288	82.967708	490	Locus 09	L4 27b	4	SILEX	Fi/Cg			PS		2,6	24-02-2012/08:37:42.0
2012	5919	3973	18		1450596.736485	5116566.059028	83.038670	490	Locus 09	L4 37d	4	SILEX	E11/Eci			PS		0,2	24-02-2012/08:37:56.0
2012	5919	3974	18		1450596.950502	5116566.311392	83.020989	490	Locus 09	L4 37d	4	SILEX	E9/Eci?			PS		7,5	24-02-2012/08:38:11.0
2012	5919	3975	11		1450596.728619	5116567.622247	82.951033	490	Locus 09	L4 27b	4	SILEX	/		138	PS		/	24-02-2012/08:38:33.0
2012	5919	3976	18		1450596.566315	5116567.585465	82.948995	490	Locus 09	L4 27b	4	SILEX	E11			PS		0,1	24-02-2012/08:38:55.0
2012	5919	3977	18		1450596.561470	5116567.694173	82.954179	490	Locus 09	L4 27b	4	SILEX	E11			PS		0,1	24-02-2012/08:39:16.0
2012	5919	3978	18		1450596.546339	5116567.998688	83.071794	490	Locus 09	L4 27b	4	SILEX	Fi			PS		1,2	24-02-2012/08:39:32.0
2012	5919	4004	17		1450597.001479	5116587.845596	83.071665	490	Locus 12bis/15	J4 27/28	4a	SILEX	E1			PM/PS		5,7	24-02-2012/08:40:04.0
2012	5919	4005	16		1450595.544520	5116589.008100	83.080140	490	Locus 12bis/15	J4 06/16	4a	SILEX	Cg			PM/PS		1,5	24-02-2012/09:08:20.0
2012	5919	4006	16		1450595.642893	5116589.457965	83.075465	490	Locus 12bis/15	J4 06	4a	SILEX	Fi			PM/PS		0,2	24-02-2012/09:32:29.0
2012	5919	4007	16		1450595.153787	5116589.824450	83.066777	490	Locus 12bis/15	J4 06	4a	SILEX	EC1			PM/PS		1,9	24-02-2012/09:32:41.0
2012	5919	4008	15		1450693.719118	5116589.873201	83.095642	490	Locus 12bis/15		4a	SILEX	E1			PM/PS		2	24-02-2012/09:32:54.0
2012	5919	4009	16		1450595.267915	5116592.726148	83.218367	490	Locus 12bis/15		4a	SILEX	E11			PM/PS		1,1	24-02-2012/09:33:29.0
2012	5919	4010	18		1450596.897073	5116566.307991	82.987410	490	Locus 09	L4 37d	4	SILEX	E0/Eci			PS		3,8	24-02-2012/09:58:41.0
2012	5919	4011	14		1450596.817479	5116566.458396	82.938610	490	Locus 09	L4 37d	4	SILEX	NLP		88	PM		406,4	24-02-2012/09:59:12.0
2012	5919	4012	12		1450596.563560	5116566.509055	82.917651	490	Locus 09	L4 37d	4	SILEX	/			PS		/	24-02-2012/09:59:45.0
2012	5919	4013	18		1450596.732327	5116566.407139	82.950605	490	Locus 09	L4 37d	4	SILEX	Fi/Cg			PS		4	24-02-2012/10:00:04.0
2012	5919	4014	18		1450596.591884	5116566.116717	82.895982	490	Locus 09	L4 37d	4	SILEX	Fi/Cg			PS		6,5	24-02-2012/10:00:30.0
2012	5919	4023	14		1450596.807590	5116566.464396	82.900705	490	Locus 09	L4 37d	4	SILEX	E3pdf		88	PM		20,7	24-02-2012/10:00:54.0
2012	5919	4024	11		1450596.252242	5116568.194835	83.059578	490	Locus 09	L4 17c	4	SILEX	Llc2/Llpde			PS		1,8	24-02-2012/09:56:37.0
2012	5919	4034	16		1450595.368171	5116568.359451	83.095217	490	Locus 09	L4 16d	4	SILEX	E0			PM/PS		4,3	24-02-2012/11:11:23.0
2012	5919	4035	12		1450595.994659	5116568.107699	83.061851	490	Locus 09	L4 16d	4	SILEX	E0			PS		3,5	24-02-2012/11:11:36.0
2012	5919	4036	15		1450578.886420	5116571.980583	82.823994	491			5	SILEX	E5			PM	PN2064	36,2	24-02-2012/11:11:52.0
2012	5919	4037	13		1450578.855319	5116568.827922	82.566725	491			5/6	SILEX	NLfgt			PM		60,3	24-02-2012/11:12:03.0
2012	5919	4038	12		1450595.938888	5116566.304738	83.079396	490	Locus 09	L4 36d	4	SILEX	LC2/Lpde			PS		2,2	27-02-2012/10:00:09.0
2012	5919	4039	16		1450589.322698	5116569.119307	82.752517	490	Locus 00		5	SILEX	EC1			PM/PS		68,1	27-02-2012/10:26:35.0
2012	5919	4040	16		1450686.926896	5116571.031032	82.563252	490	Locus 00		5	SILEX	D			PM/PS		87,3	27-02-2012/15:58:37.0
2012	5919	4041	16		1450587.972397	5116563.932892	82.994073	490	Locus 00		4	SILEX	Fi			PM/PS		7,2	27-02-2012/15:58:56.0
2012	5919	4042	16		1450585.254956	5116566.131188	82.973097	490	Locus 00		4	SILEX	D			PM/PS		34	28-02-2012/10:12:25.0
2012	5919	4043	15		1450585.501825	5116562.484171	82.889231	490	Locus 00		4	SILEX	E0			PM/PS		7,3	28-02-2012/10:46:19.0
2012	5919	4044	12		1450686.670222	5116564.844167	82.679244	490	Locus 00		5	SILEX	Lpde			PS		18,2	28-02-2012/10:57:36.0
2012	5919	4045	17		1450588.549485	5116564.908303	82.922892	490	Locus 00		4	SILEX	R1	G1		PM		146	28-02-2012/11:34:47.0
2012	5919	4046	16		1450595.873163	5116567.138467	83.120105	490	Locus 09	L4 26d	4	SILEX	E11			PM		0,8	28-02-2012/11:37:45.0
2012	5919	4047	12		1450595.700557	5116567.481788	83.118266	490	Locus 09	L4 26d	4	SILEX	E/Lpde			PS		2,2	28-02-2012/11:51:45.0
2012	5919	4048	16		1450588.028044	5116566.561409	82.674847	490	Locus 00		5	SILEX	E1			PM		29,5	28-02-2012/12:05:30.0
2012	5919	4049	16		1450592.019405	5116562.670599	83.016174	490			4	SILEX	Cg			PM/PS		9,2	28-02-2012/12:07:41.0
2012	5919	4051	17		1450591.960727	5116561.412842	82.907085	490			4	SILEX	Fi			PM/PS		5,4	28-02-2012/13:37:31.0
2012	5919	4052	16		1450592.495367	5116562.539805	82.863696	490			4	SILEX	Fi			PM/PS		16,1	28-02-2012/13:52:58.0
2012	5919	4053	12		1450595.903126	5116566.598387	83.051891	490	Locus 09	L4 36b	4	SILEX	LC2/Lpde			PS		7,2	28-02-2012/13:59:54.0
2012	5919	4054	11		1450595.984938	5116566.804497	83.033109	490	Locus 09	L4 36b	4	SILEX	E0			PS		1,1	28-02-2012/14:00:12.0
2012	5919	4055	11		1450596.016548	5116567.006066	83.006674	490	Locus 09	L4 26b	4	SILEX	/			PS	PN2225	/	28-02-2012/14:02:59.0
2012	5919	4056	1		1450591.297785	5116561.371456	82.739924	490			4	Quartz	Gup			PM/PS	PN2151-2152	644,1	28-02-2012/14:46:19.0
2012	5919	4057	16		1450591.939152	5116562.140326	82.744962	490			4	SILEX	D			PM/PS		11,2	28-02-2012/14:50:52.0
2012	5919	4058	11		1450596.291560	5116568.873982	83.078638	490	Locus 09	L4 17a	4	SILEX	E11/Epde			PS		0,8	28-02-2012/14:57:02.0

Inventaire officiel 7 – Montguyon (17), « Bois Clair ». Inventaire du mobilier individualisé

ANNEE	OA	IDENTIFIANT	N°DE CAISSE	N°DE LOT	X = est	Y = nord	Z = alti NGF	PARCELLE	SECTEUR (CP/TR/ST...)	CARRE	UPS	MATERIAU	SUPPORT (cf. annexe 3)	TYPOLOGIE (cf. annexe 3)	REMONTAGES	CHRONO-CULTURE (cf. annexe 3)	CLICHE	MASSE (g.)	DATE DECOUVERTE
2012	5919	4059	3		1450590.070572	5116562.454335	82.592044	490			5	Lithique autre	Gfgt			PM		140,6	28-02-2012/14:58:27.0
2012	5919	4060	17		1450591.963881	5116562.841181	82.615004	490			5	SILEX	N°C			PM		62	28-02-2012/14:58:55.0
2012	5919	4071	1		1450592.776202	5116559.737564	82.418284	490			5	Quartzite	Gup			PM	PN2145	792	28-02-2012/14:59:10.0
2012	5919	4100	18		1450593.276490	5116552.750159	82.281367	490			4/5	SILEX	EC1			PM		50,7	28-02-2012/15:02:38.0
2012	5919	4101	4		1450593.703946	5116552.963787	82.268387	490			4/5	Grès ferrugineux	Bfgt			PM		700	28-02-2012/15:10:00.0
2012	5919	4102	18		1450594.551540	5116554.211239	82.311387	490			4/5	SILEX	EC7			PM		18,1	28-02-2012/15:12:08.0
2012	5919	4103	2		1450593.429396	5116554.155483	82.217308	490			5	Quartzite	Cb			PM		511,7	28-02-2012/15:19:35.0
2012	5919	4104	17		1450594.638825	5116551.640452	82.178204	490			5	SILEX	NFB			PM		110	28-02-2012/15:24:51.0
2012	5919	4105	11		1450596.400732	5116566.247421	82.984885	490	Locus 09	L4 37c	4	SILEX	Lpde?			PS		1,4	28-02-2012/15:52:37.0
2012	5919	4106	11		1450596.168886	5116566.168278	83.012900	490	Locus 09	L4 37c	4	SILEX	Lncr			PS		3,8	29-02-2012/09:23:57.0
2012	5919	4107	11		1450596.167107	5116566.643046	82.978754	490	Locus 09	L4 37a	4	SILEX	Fi/Lpd ?			PS		/	29-02-2012/09:24:17.0
2012	5919	4108	11		1450596.127092	5116566.789853	82.977432	490	Locus 09	L4 37a	4	SILEX	/			PS	PN2225	/	29-02-2012/09:28:15.0
2012	5919	4109	16		1450596.044095	5116566.874038	82.993544	490	Locus 09	L4 37a	4	SILEX	E11			PM/PS		0,3	29-02-2012/09:31:51.0
2012	5919	4110	11		1450596.196456	5116566.986995	83.004268	490	Locus 09	L4 37a	4	SILEX	Fi/Cg			PS		8,4	29-02-2012/09:35:45.0
2012	5919	4111	12		1450595.999192	5116566.771626	82.997286	490	Locus 09	L4 36b	4	SILEX	E9/Eci			PS		9,3	29-02-2012/09:44:01.0
2012	5919	4112	12		1450596.159143	5116567.040410	82.977403	490	Locus 09	L4 37c	4	SILEX	Eci			PS		5,9	29-02-2012/09:44:51.0
2012	5919	4113	16		1450596.134963	5116567.264405	82.981926	490	Locus 09	L4 27c	4	SILEX	Cg			PM/PS		5,2	29-02-2012/09:45:08.0
2012	5919	4114	12		1450596.198054	5116567.182584	82.982620	490	Locus 09	L4 27c	4	SILEX	EC2			PS		6,3	29-02-2012/09:45:22.0
2012	5919	4115	11		1450595.938410	5116566.996033	82.966834	490	Locus 09	L4 36b	4	SILEX	EC2/Eci		138	PS		12,9	29-02-2012/09:45:40.0
2012	5919	4116	11		1450595.998309	5116567.253303	82.977539	490	Locus 09	L4 26d	4	SILEX	E0			PS		0,5	29-02-2012/09:46:02.0
2012	5919	4117	16		1450595.693170	5116567.442163	83.013400	490	Locus 09	L4 26d	4	SILEX	Cg			PM/PS		2,2	29-02-2012/09:46:22.0
2012	5919	4118	18		1450594.143636	5116550.658709	82.166580	490			5	SILEX	EC2			PM		40,1	29-02-2012/09:46:41.0
2012	5919	4119	11		1450596.383172	5116566.427709	83.004426	490	Locus 09	L4 37c	4	SILEX	E0			PS		0,7	29-02-2012/09:46:55.0
2012	5919	4120	16		1450595.890949	5116567.740313	83.012245	490	Locus 09	L4 26b	4	SILEX	ENC7			PM/PS		2,3	29-02-2012/09:47:23.0
2012	5919	4121	11		1450595.396233	5116567.834127	83.043211	490	Locus 09	L4 26a	4	SILEX	Fi			PS		2,8	29-02-2012/09:47:42.0
2012	5919	4122	11		1450595.745297	5116567.972159	83.012898	490	Locus 09	L4 16b	4	SILEX	Fi/Cg			PS		6,4	29-02-2012/09:48:00.0
2012	5919	4123	17		1450591.199907	5116551.445173	82.671591	490			4	SILEX	L			PM		27,3	29-02-2012/09:48:16.0
2012	5919	4124	11		1450596.042665	5116568.433344	83.068750	490	Locus 09	L4 17c	4	SILEX	E0			PS		0,6	29-02-2012/09:42:36.0
2012	5919	4125	14		1450596.176373	5116568.118899	83.023112	490	Locus 09	L4 17c	4	SILEX	/		102	PM	PN2094	/	29-02-2012/09:48:44.0
2012	5919	4126	11		1450596.145943	5116568.286708	83.007567	490	Locus 09	L4 17c	4	SILEX	LC2/Lpde			PS		12,1	29-02-2012/10:00:11.0
2012	5919	4127	11		1450596.334322	5116568.425464	83.052446	490	Locus 09	L4 17c	4	SILEX	EC2			PM/PS-PS		25	29-02-2012/10:00:28.0
2012	5919	4128	11		1450596.457011	5116568.608555	83.041788	490	Locus 09	L4 17a	4	SILEX	EC7			PS		2,6	29-02-2012/10:00:47.0
2012	5919	4129	14		1450591.619168	5116552.531534	82.415327	490			4	SILEX	EC3	G5		PM		19,8	29-02-2012/09:56:27.0
2012	5919	4130	11		1450588.640310	5116544.177591	82.406352	490			4/5	SILEX	Lpd		137	PM/PS-PS	PN2365-2380	24,5	29-02-2012/10:01:07.0
2012	5919	4131	12		1450588.821560	5116545.522642	82.377582	490			5	SILEX	EC2	G2		PM		31,5	29-02-2012/10:01:24.0
2012	5919	4132	15		1450591.120326	5116547.552580	82.288567	490			5	SILEX	E1			PM		6,6	29-02-2012/10:01:41.0
2012	5919	4133	17		1450590.063291	5116548.337259	82.217048	490			5	SILEX	EL6			PM		5,8	29-02-2012/10:02:04.0
2012	5919	4134	17		1450592.915078	5116549.587078	82.106373	490			5	SILEX	NDB			PM		78	29-02-2012/10:02:18.0
2012	5919	4135	18		1450591.857664	5116549.955168	82.007726	490			7	SILEX	EC0			PM		148,2	29-02-2012/10:44:01.0
2012	5919	4136	16		1450618.889836	5116564.514423	82.366323	490	Locus 09		5	SILEX	D			PM		13,3	29-02-2012/12:06:33.0
2012	5919	4137	18		1450617.394725	5116563.356249	82.352501	490	Locus 09		5	SILEX	Ni			PM		16,7	29-02-2012/12:13:31.0
2012	5919	4138	15		1450619.985082	5116561.446558	82.328075	490	Locus 09		5	SILEX	LL			PM		9,6	29-02-2012/13:50:13.0
2012	5919	4139	2		1450618.344311	5116563.058551	82.299062	490	Locus 09		5	Quartzite	Cb			PM		638,3	29-02-2012/14:02:37.0
2012	5919	4140	15		1450619.430033	5116561.809660	82.312079	490	Locus 05		5	SILEX	E0			PM		18,4	29-02-2012/14:14:51.0
2012	5919	4141	14		1450620.397110	5116561.533203	82.279148	490	Locus 05		5	SILEX	/		43	PM	PN2158/2163	22,3	29-02-2012/14:27:54.0
2012	5919	4142	15		1450617.771011	5116562.554955	82.299346	490	Locus 05		5	SILEX	E0			PM		18,7	29-02-2012/15:00:16.0
2012	5919	4143	15		1450617.039686	5116564.721612	82.160156	490	Locus 05		5	SILEX	EC7			PM		25,3	29-02-2012/15:02:35.0
2012	5919	4144	17		1450617.948695	5116560.403487	82.209420	490	Locus 05		5	SILEX	EL6			PM		10,2	29-02-2012/15:05:15.0
2012	5919	4145	12		1450605.695427	5116559.492646	82.788812	490	Locus 07		4	SILEX	EC2			PM/PS		10,3	29-02-2012/15:08:53.0
2012	5919	4146	13		1450602.502139	5116560.852621	82.618986	490			5	SILEX	Ni			PM		81	29-02-2012/15:11:08.0
2012	5919	4147	13		1450604.088890	5116559.709956	82.549472	490			4	SILEX	Fi			PM		38,3	29-02-2012/15:11:33.0
2012	5919	4148	17		1450604.993262	5116559.879403	82.396211	490			5	SILEX	EC2			PM		26,7	29-02-2012/15:15:19.0
2012	5919	4149	17		1450605.014705	5116560.050080	82.387936	490			5	SILEX	EC3			PM		80,2	29-02-2012/15:34:35.0
2012	5919	4150	13		1450602.915391	5116560.843998	82.360900	490			5	SILEX	NFU		21	PM		132,9	29-02-2012/15:58:00.0
2012	5919	4151	16		1450609.955272	5116560.265808	82.649705	490			4	SILEX	EC3			PM		16,1	29-02-2012/16:31:51.0
2012	5919	4152	12		1450608.025356	5116558.647528	82.592554	490	Locus 07		4/5?	SILEX	Lpd		112	PS	PN2166-2167	16	01-03-2012/08:33:17.0
2012	5919	4153	15		1450608.307000	5116559.470786	82.466192	490			5	SILEX	E10			PM		31,6	01-03-2012/08:33:36.0
2012	5919	4154	16		1450608.533748	5116561.197679	82.451172	490			5	SILEX	E6			PM		20,9	01-03-2012/08:48:34.0

Inventaire officiel 7 – Montguyon (17), « Bois Clair ». Inventaire du mobilier individualisé

ANNEE	OA	IDENTIFIANT	N°DE CAISSE	N°DE LOT	X = est	Y = nord	Z = alti NGF	PARCELLE	SECTEUR (CP/TR/ST...)	CARRE	UPS	MATERIAU	SUPPORT (cf. annexe 3)	TYPOLOGIE (cf. annexe 3)	REMONTAGES	CHRONO-CULTURE (cf. annexe 3)	CLICHE	MASSE (g.)	DATE DECOUVERTE
2012	5919	4155	18		1450609.429096	5116560.689545	82.424033	490			5	SILEX	E10			PM		5,2	01-03-2012/08:53:15.0
2012	5919	4156	13		1450609.074887	5116559.247504	82.393566	490			5	SILEX	NLRC			PM		66	01-03-2012/08:53:43.0
2012	5919	4157	17		1450607.626535	5116558.124513	83.077884	490	Locus 07		5	SILEX	EC3			PM		46,1	01-03-2012/09:13:50.0
2012	5919	4158	18		1450607.955579	5116558.673362	83.008018	490			6	SILEX	Ni			PM		124,5	01-03-2012/09:18:04.0
2012	5919	4159	12		1450607.822943	5116558.088903	83.007289	490	Locus 09		6	SILEX	Fi			PM		12,4	01-03-2012/09:33:33.0
2012	5919	4161	17		1450598.611057	5116564.917299	82.836663	490	Locus 09	L4 59b	4	SILEX	E3			PM		17,9	01-03-2012/09:41:59.0
2012	5919	4162	14		1450598.067693	5116563.498489	82.548537	490	Locus 09		5	SILEX	E0	G9		PM		31	01-03-2012/09:47:56.0
2012	5919	4163	16		1450599.456129	5116563.990891	82.349378	490	Locus 09	L4 60d	6/7	SILEX	E0			PM		5,9	01-03-2012/09:49:01.0
2012	5919	4164	13		1450598.586162	5116563.959083	82.323664	490	Locus 09/02	L4 59d	6/7	SILEX	E3		65	PM	PN2107-2108	17,6	01-03-2012/10:07:54.0
2012	5919	4165	11		1450597.421586	5116568.422673	83.094664	490	Locus 09	L4 18c	4	SILEX	E11			PS		0,4	01-03-2012/10:42:41.0
2012	5919	4166	12		1450597.325798	5116568.258242	83.084088	490	Locus 09	L4 18c	4	SILEX	E0			PS		5,5	01-03-2012/10:43:10.0
2012	5919	4167	11		1450597.160907	5116568.192977	83.076014	490	Locus 09	L4 18c	4	SILEX	EC2			PS		3,9	01-03-2012/11:08:55.0
2012	5919	4168	15		1450599.078611	5116564.775251	82.382834	490	Locus 09	L4 60a	6/7	SILEX	EC3			PM		24,6	01-03-2012/11:25:32.0
2012	5919	4169	13		1450599.619244	5116564.235825	82.299799	490	Locus 03		6/7	SILEX	EC1		64	PM		11,9	01-03-2012/11:38:24.0
2012	5919	4170	13		1450599.579727	5116564.264137	82.307478	490	Locus 03		6/7	SILEX	/		64	PM		17,5	01-03-2012/11:44:33.0
2012	5919	4171	17		1450593.352108	5116559.762423	82.912833	490			4	SILEX	NSE			PM		10	01-03-2012/11:48:03.0
2012	5919	4172	12		1450597.448179	5116568.414323	83.065964	490	Locus 09	L4 18c	4	SILEX	E9			PS		9,5	01-03-2012/11:48:21.0
2012	5919	4173	12		1450597.320449	5116568.517043	83.106491	490	Locus 09	L4 18a	4	SILEX	Fi			PS		4,2	01-03-2012/11:48:35.0
2012	5919	4174	17		1450579.845424	5116548.029480	82.288675	491			5	SILEX	E6			PM		12,7	01-03-2012/11:49:20.0
2012	5919	4175	17		1450585.395514	5116545.037413	82.012858	491			5	SILEX	NLRC			PM		715	01-03-2012/11:52:24.0
2012	5919	4176	18		1450584.206067	5116545.798727	81.981382	491			6/7?	SILEX	NK			PM		21,8	01-03-2012/11:52:57.0
2012	5919	4177	18		1450597.929854	5116590.756969	83.114067	490	Locus 15	I4 98	4	SILEX	Fi/E11x2			PS/EPIP		0,7	01-03-2012/12:15:34.0
2012	5919	4178	18		1450597.931576	5116590.819744	83.124141	490	Locus 15	I4 98	4	SILEX	Fi/E11x2			PS/EPIP		1	01-03-2012/15:50:29.0
2012	5919	4179	18		1450598.046783	5116590.880764	83.125849	490	Locus 15	I4 99	4	SILEX	Fi/E11x4			PS/EPIP		3	01-03-2012/15:44:03.0
2012	5919	4180	18		1450597.988635	5116590.932205	83.129061	490	Locus 15	I4 98	4	SILEX	Fi/E11x2			PS/EPIP		1	01-03-2012/16:02:18.0
2012	5919	4181	18		1450597.861976	5116591.015583	83.115726	490	Locus 15	I4 98/88	4	SILEX	Fi/E11x5			PS/EPIP		1,2	01-03-2012/16:37:08.0
2012	5919	4182	18		1450598.031731	5116591.008539	83.125573	490	Locus 15	I4 88/89/99	4	SILEX	Fi/E11x7			PS/EPIP		3	01-03-2012/16:41:15.0
2012	5919	4183	12		1450598.929809	5116591.187550	83.124933	490	Locus 15	I4 89	4	SILEX	Eci		123	PS/EPIP	PN2180-2188/2381-83	1,9	02-03-2012/09:11:49.0
2012	5919	4184	12		1450598.824631	5116591.236040	83.117971	490	Locus 15	I4 89	4	SILEX	E11			PS/EPIP		0,1	02-03-2012/09:12:18.0
2012	5919	4185	18		1450598.760828	5116591.379120	83.122300	490	Locus 15	I4 89	4	SILEX	E11			PS/EPIP		1	02-03-2012/09:12:35.0
2012	5919	4186	12		1450598.670025	5116591.150893	83.115568	490	Locus 15	I4 89	4	SILEX	LC2/Lpde		123	PS/EPIP	PN2180-2188/2381-83	7,5	02-03-2012/09:12:51.0
2012	5919	4187	12		1450598.615795	5116591.323344	83.119574	490	Locus 15	I4 89	4	SILEX	Fi			PS/EPIP		0,1	02-03-2012/09:13:09.0
2012	5919	4188	12		1450598.667814	5116591.147691	83.115254	490	Locus 15	I4 89	4	SILEX	E11			PS/EPIP		0,1	02-03-2012/09:13:24.0
2012	5919	4189	11		1450598.465096	5116591.194562	83.152791	490	Locus 15	I4 89	4	SILEX	Lipd			PS/EPIP		0,2	02-03-2012/09:35:28.0
2012	5919	4190	12		1450598.386096	5116591.160935	83.139130	490	Locus 15	I4 89	4	SILEX	LC2/Lpde		123	PS/EPIP	PN2180-2188/2381-83	29,3	02-03-2012/09:36:13.0
2012	5919	4191	12		1450598.290655	5116591.187984	83.100625	490	Locus 15	I4 89	4	SILEX	Epde		123	PS/EPIP	PN2180-2188/2381-83	20,6	02-03-2012/09:37:02.0
2012	5919	4192	12		1450598.157596	5116591.379096	83.123386	490	Locus 15	I4 89	4	SILEX	Epde		123	PS/EPIP	PN2180-2188/2381-83	5,7	02-03-2012/09:41:04.0
2012	5919	4193	12		1450598.148171	5116591.267976	83.120490	490	Locus 15	I4 89	4	SILEX	Epde			PS/EPIP		0,4	02-03-2012/09:41:48.0
2012	5919	4194	12		1450598.127045	5116591.291601	83.112006	490	Locus 15	I4 89	4	SILEX	E9		123	PS/EPIP	PN2180-2188/2381-83	30	02-03-2012/09:43:09.0
2012	5919	4195	12		1450598.056972	5116591.351692	83.143093	490	Locus 15	I4 89	4	SILEX	Lpde		123	PS/EPIP	PN2180-2188/2381-83	5,8	02-03-2012/09:44:16.0
2012	5919	4196	12		1450598.206663	5116591.015381	83.113373	490	Locus 15	I4 89	4	SILEX	/		123	PS/EPIP	PN2180-2188/2381-83	/	02-03-2012/09:44:49.0
2012	5919	4197	12		1450598.150083	5116590.885428	83.118540	490	Locus 15	I4 99	4	SILEX	E/Lpde		123	PS/EPIP	PN2180-2188/2381-83	10,6	02-03-2012/09:45:57.0
2012	5919	4198	12		1450598.175613	5116591.199417	83.109395	490	Locus 15	I4 89	4	SILEX	E11			PS/EPIP		0,3	02-03-2012/09:49:06.0
2012	5919	4199	12		1450598.169667	5116591.020102	83.110254	490	Locus 15	I4 89	4	SILEX	/		123	PS/EPIP	PN2180-2188/2381-83	/	02-03-2012/09:49:31.0
2012	5919	4200	12		1450597.947127	5116591.249029	83.118256	490	Locus 15	I4 88	4	SILEX	Epde		123	PS/EPIP	PN2180-2188/2381-83	55,6	02-03-2012/09:50:12.0
2012	5919	4201	12		1450597.999401	5116591.199216	83.117758	490	Locus 15	I4 88	4	SILEX	/		123	PS/EPIP	PN2180-2188/2381-83	/	02-03-2012/09:57:29.0
2012	5919	4202	12		1450597.986676	5116591.182079	83.121421	490	Locus 15	I4 88	4	SILEX	Lipde			PS/EPIP		0,9	02-03-2012/09:57:45.0
2012	5919	4203	12		1450597.972168	5116591.199159	83.120374	490	Locus 15	I4 88	4	SILEX	EC0			PS/EPIP		0,8	02-03-2012/10:01:53.0
2012	5919	4204	12		1450597.991210	5116591.240768	83.116360	490	Locus 15	I4 88	4	SILEX	E0/E11			PS/EPIP		0,1	02-03-2012/10:02:54.0
2012	5919	4205	12		1450598.028549	5116591.152131	83.116419	490	Locus 15	I4 88	4	SILEX	Lipd			PS/EPIP		0,1	02-03-2012/10:03:06.0
2012	5919	4206	12		1450597.933711	5116591.054227	83.126765	490	Locus 15	I4 88	4	SILEX	Eci		123	PS/EPIP	PN2180-2188/2381-83	14,3	02-03-2012/10:06:24.0
2012	5919	4207	12		1450598.094580	5116591.016635	83.116765	490	Locus 15	I4 89	4	SILEX	LC2/Lpde		123	PS/EPIP	PN2180-2188/2381-83	35,6	02-03-2012/10:07:13.0
2012	5919	4208	12		1450598.062600	5116591.015332	83.120243	490	Locus 15	I4 89	4	SILEX	Lpde		123	PS/EPIP	PN2180-2188/2381-83	20,2	02-03-2012/10:07:43.0
2012	5919	4209	12		1450598.074279	5116591.056645	83.108619	490	Locus 15	I4 89	4	SILEX	E9/EC1		123	PS/EPIP	PN2180-2188/2381-83	6,6	02-03-2012/10:08:40.0
2012	5919	4210	12		1450598.069138	5116591.041633	83.120382	490	Locus 15	I4 89	4	SILEX	Fi			PS/EPIP		0,6	02-03-2012/10:09:17.0
2012	5919	4211	12		1450598.064195	5116591.032228	83.122921	490	Locus 15	I4 89	4	SILEX	Lipde		123	PS/EPIP	PN2180-2188/2381-83	2,9	02-03-2012/10:10:26.0
2012	5919	4212	12		1450597.847781	5116590.901366	83.128657	490	Locus 15	I4 98	4	SILEX	LI/Epde			PS/EPIP		0,2	02-03-2012/10:11:06.0
2012	5919	4213	12		1450597.887919	5116590.964676	83.120861	490	Locus 15	I4 98	4	SILEX	LC2/Lpde			PS/EPIP		1,6	02-03-2012/10:12:13.0

Inventaire officiel 7 – Montguyon (17), « Bois Clair ». Inventaire du mobilier individualisé

ANNEE	OA	IDENTIFIANT	N°DE CAISSE	N°DE LOT	X = est	Y = nord	Z = alti NGF	PARCELLE	SECTEUR (CP/TR/ST...)	CARRE	UPS	MATERIAU	SUPPORT (cf. annexe 3)	TYPOLOGIE (cf. annexe 3)	REMONTAGES	CHRONO-CULTURE (cf. annexe 3)	CLICHE	MASSE (g.)	DATE DECOUVERTE
2012	5919	4214	12		1450597.887907	5116590.999053	83.111096	490	Locus 15	I4 88	4	SILEX	/		123	PS/EPIP	PN2180-2188/2381-83	/	02-03-2012/10:15:05.0
2012	5919	4215	12		1450597.827863	5116590.996721	83.114406	490	Locus 15	I4 88	4	SILEX	Epde			PS/EPIP		1,3	02-03-2012/10:15:53.0
2012	5919	4216	17		1450600.950258	5116576.070116	83.228351	490			4	SILEX	EC7	G8		PM		2	02-03-2012/10:44:13.0
2012	5919	4217	12		1450597.830671	5116591.029024	83.108832	490	Locus 15	I4 88	4	SILEX	Lpde		123	PS/EPIP	PN2180-2188/2381-83	6,5	02-03-2012/10:45:38.0
2012	5919	4218	12		1450597.824667	5116590.962463	83.121868	490	Locus 15	I4 88	4	SILEX	E0			PS/EPIP		0,2	02-03-2012/10:49:39.0
2012	5919	4219	12		1450597.789723	5116590.986209	83.115253	490	Locus 15	I4 98	4	SILEX	EC2/Escr		123	PS/EPIP	PN2180-2188/2381-83	70,5	02-03-2012/10:50:25.0
2012	5919	4220	12		1450597.704103	5116590.903915	83.116199	490	Locus 15	I4 98	4	SILEX	Epde		123	PS/EPIP	PN2180-2188/2381-83	16,2	02-03-2012/10:51:42.0
2012	5919	4221	12		1450597.221054	5116590.939743	83.106576	490	Locus 15	I4 98	4	SILEX	/		123	PS/EPIP	PN2180-2188/2381-83	/	02-03-2012/10:52:23.0
2012	5919	4222	12		1450597.606725	5116590.926287	83.152348	490	Locus 15	I4 98	4	SILEX	NT			PS/EPIP		2,9	02-03-2012/09:17:59.0
2012	5919	4223	12		1450597.569051	5116590.919505	83.128242	490	Locus 15	I4 98	4	SILEX	/		123	PS/EPIP	PN2180-2188/2381-83	/	02-03-2012/10:52:37.0
2012	5919	4224	12		1450597.970792	5116591.913161	83.131179	490	Locus 15	I4 88	4	SILEX	/		123	PS/EPIP	PN2180-2188/2381-83	/	02-03-2012/10:58:05.0
2012	5919	4225	12		1450597.603777	5116590.375565	83.117069	490	Locus 15	I4 98	4	SILEX	Lpd		123	PS/EPIP	PN2180-2188/2381-83	1,6	02-03-2012/10:59:10.0
2012	5919	4226	12		1450598.484411	5116590.311135	83.115275	490	Locus 15	I4 99	4	SILEX	EC2		123	PS/EPIP	PN2180-2188/2381-83	9,5	02-03-2012/11:01:54.0
2012	5919	4227	12		1450598.444472	5116590.230566	83.104687	490	Locus 15	I4 99	4	SILEX	Lpde			PS/EPIP		1,5	02-03-2012/11:02:50.0
2012	5919	4228	14		1450593.821012	5116588.445943	83.020460	490	Locus 12bis	J4 14	4	SILEX	E5		51	PM	PN2259-2277	12,6	02-03-2012/11:04:27.0
2012	5919	4229	14		1450593.573307	5116587.621183	83.037870	490	Locus 12bis	J4 24	4	SILEX	ENC1			PM		24,9	02-03-2012/11:04:42.0
2012	5919	4230	16		1450593.725711	5116586.892297	82.987218	490	Locus 12bis	J4 34	4	SILEX	EC3			PM		9,9	02-03-2012/11:12:11.0
2012	5919	4231	14		1450594.651755	5116586.497156	82.992434	490	Locus 12bis	J4 35	4	SILEX	E1		47-48	PM	PN2244-2299	21,7	02-03-2012/11:12:29.0
2012	5919	4232	14		1450595.256676	5116586.563123	82.996113	490	Locus 12bis	J4 36	4	SILEX	E5		47-48	PM	PN2065	19,2	02-03-2012/11:13:15.0
2012	5919	4233	14		1450595.319787	5116586.738868	83.005466	490	Locus 12bis	J4 36	4	SILEX	EC1		51	PM	PN2259-2277	48,2	02-03-2012/11:13:30.0
2012	5919	4234	14		1450596.184494	5116586.517311	83.027013	490	Locus 12bis	J4 37	4	SILEX	EC1		51	PM	PN2259-2277	26,5	02-03-2012/11:19:29.0
2012	5919	4235	13		1450596.072381	5116587.445187	83.058194	490	Locus 12bis	J4 27	4	SILEX	EC1		49	PM	PN2066-2069	41,2	02-03-2012/11:20:27.0
2012	5919	4236	14		1450594.274048	5116586.823139	82.989640	490	Locus 12bis	J4 35	4	SILEX	E5		47-48	PM	PN2065	16,6	02-03-2012/11:21:30.0
2012	5919	4237	14		1450594.291097	5116586.844448	82.994087	490	Locus 12bis	J4 35	4	SILEX	E5			PM	PN2061	1,9	02-03-2012/11:22:38.0
2012	5919	4238	14		1450594.228461	5116586.857819	82.991928	490	Locus 12bis	J4 35	4	SILEX	E5		47-48	PM	PN2065	31,5	02-03-2012/11:25:19.0
2012	5919	4239	14		1450594.238550	5116586.857944	82.970469	490	Locus 12bis	J4 35	4	SILEX	ENC2pdf		47-48	PM	PN2244-2299	16,2	02-03-2012/11:25:44.0
2012	5919	4240	16		1450594.238556	5116586.868999	82.975035	490	Locus 12bis	J4 35	4	SILEX	E11			PM		0,1	02-03-2012/11:26:08.0
2012	5919	4241	14		1450594.196357	5116586.853252	82.973915	490	Locus 12bis	J4 35	4	SILEX	ENC1pdf		47-48	PM	PN2244-2299	13,1	02-03-2012/11:27:40.0
2012	5919	4242	15		1450594.176444	5116586.896401	82.972438	490	Locus 12bis	J4 35	4	SILEX	E5			PM	PN2058	14,6	05-03-2012/11:10:57.0
2012	5919	4243	14		1450594.228847	5116586.908532	82.979690	490	Locus 12bis	J4 35	4	SILEX	E1		51	PM	PN2259-2277	2	05-03-2012/11:11:10.0
2012	5919	4244	14		1450594.252599	5116586.911858	82.982493	490	Locus 12bis	J4 35	4	SILEX	E5		51	PM	PN2259-2277	24,6	05-03-2012/11:11:29.0
2012	5919	4245	16		1450594.227587	5116586.971824	83.025064	490	Locus 12bis	J4 25/35	4	SILEX	D			PM		2,1	05-03-2012/11:11:41.0
2012	5919	4246	14		1450594.152881	5116587.040470	82.979053	490	Locus 12bis	J4 25	4	SILEX	E5		51	PM	PN2259-2277	8,1	05-03-2012/11:11:51.0
2012	5919	4247	14		1450594.184074	5116587.062939	83.005889	490	Locus 12bis	J4 25	4	SILEX	EC3			PM		13,3	05-03-2012/11:12:06.0
2012	5919	4248	14		1450594.241485	5116587.158431	82.987139	490	Locus 12bis	J4 25	4	SILEX	EC1		51	PM	PN2259-2277	7	05-03-2012/11:12:34.0
2012	5919	4249	14		1450594.288348	5116587.184396	83.018185	490	Locus 12bis	J4 25	4	SILEX	E6		47-48	PM	PN2065	19,2	05-03-2012/11:12:53.0
2012	5919	4250	16		1450594.436438	5116587.087112	83.012221	490	Locus 12bis	J4 25	4	SILEX	E11			PM		0,1	05-03-2012/11:13:11.0
2012	5919	4251	14		1450594.415982	5116587.251189	82.998241	490	Locus 12bis	J4 25	4	SILEX	EC2		50	PM	PN2278-83	41,9	05-03-2012/11:13:31.0
2012	5919	4252	14		1450594.379472	5116587.340861	82.979028	490	Locus 12bis	J4 25	4	SILEX	EC2		50	PM	PN2278-83	32,7	05-03-2012/11:14:04.0
2012	5919	4253	14		1450594.461030	5116587.374004	83.008592	490	Locus 12bis	J4 25	4	SILEX	EC2		50	PM	PN2278-83	23,8	05-03-2012/11:14:19.0
2012	5919	4254	3		1450594.539695	5116587.468082	83.013950	490	Locus 12bis	J4 25	4	Quartz	Gb			PM		37,4	05-03-2012/11:14:32.0
2012	5919	4255	14		1450594.641051	5116587.541556	83.008915	490	Locus 12bis	J4 25	4	SILEX	E1		47-48	PM	PN2244-2299	5,8	05-03-2012/11:14:40.0
2012	5919	4256	15		1450594.671539	5116587.087199	82.986296	490	Locus 12bis	J4 25	4	SILEX	ENC2			PM		4,1	05-03-2012/11:14:50.0
2012	5919	4257	14		1450594.917924	5116587.106115	82.991165	490	Locus 12bis	J4 25	4	SILEX	EC1		51	PM	PN2259-2277	52	05-03-2012/11:15:00.0
2012	5919	4258	14		1450594.944483	5116587.091328	82.992143	490	Locus 12bis	J4 25	4	SILEX	E5		47-48	PM	PN2065	26,9	05-03-2012/11:15:33.0
2012	5919	4259	14		1450594.990245	5116587.136780	82.967000	490	Locus 12bis	J4 25/26	4	SILEX	E5		51	PM	PN2259-2277	29,7	05-03-2012/11:15:44.0
2012	5919	4260	14		1450595.044253	5116587.037877	82.970309	490	Locus 12bis	J4 26	4	SILEX	EC1		51	PM	PN2259-2277	48,9	05-03-2012/11:16:00.0
2012	5919	4261	14		1450595.078212	5116587.083474	82.960253	490	Locus 12bis	J4 26	4	SILEX	EC1			PM		30,7	05-03-2012/11:16:19.0
2012	5919	4262	14		1450595.138171	5116586.999683	82.963948	490	Locus 12bis	J4 26/36	4	SILEX	EC1		51	PM	PN2259-2277	43,8	05-03-2012/11:16:37.0
2012	5919	4263	16		1450595.379622	5116587.424358	82.985539	490	Locus 12bis	J4 26	4	SILEX	Cg			PM		1,5	05-03-2012/11:18:35.0
2012	5919	4264	13		1450594.936511	5116587.535546	82.974212	490	Locus 12bis	J4 25	4	SILEX	EC1		49	PM	PN2066-2069	39,8	05-03-2012/11:18:44.0
2012	5919	4265	14		1450594.629707	5116587.837758	83.000738	490	Locus 12bis	J4 25	4	SILEX	EC2		50	PM	PN2278-83	36,2	05-03-2012/11:18:51.0
2012	5919	4266	14		1450594.609377	5116587.868659	82.994496	490	Locus 12bis	J4 25	4	SILEX	EC2		50	PM	PN2278-83	19,5	05-03-2012/11:19:00.0
2012	5919	4267	16		1450594.087406	5116587.914450	83.030191	490	Locus 12bis	J4 25	4	SILEX	E11			PM		0,1	05-03-2012/11:19:11.0
2012	5919	4268	13		1450593.969171	5116588.025336	83.018711	490	Locus 12bis	J4 14	4	SILEX	ND		49	PM	PN2066-2069	142,8	05-03-2012/11:19:19.0
2012	5919	4269	14		1450594.076346	5116588.360219	83.041258	490	Locus 12bis	J4 15	4	SILEX	E5		51	PM	PN2259-2277	16,3	05-03-2012/11:19:35.0
2012	5919	4270	14		1450594.198477	5116588.213893	83.044819	490	Locus 12bis	J4 15	4	SILEX	ND		50	PM	PN2278-83	122,1	05-03-2012/11:20:19.0
2012	5919	4271	14		1450594.228848	5116588.149753	83.033389	490	Locus 12bis	J4 15	4	SILEX	E5		50	PM	PN2278-83	12	05-03-2012/11:20:40.0

Inventaire officiel 7 – Montguyon (17), « Bois Clair ». Inventaire du mobilier individualisé

ANNEE	OA	IDENTIFIANT	N°DE CAISSE	N°DE LOT	X = est	Y = nord	Z = alti NGF	PARCELLE	SECTEUR (CP/TR/ST...)	CARRE	UPS	MATERIAU	SUPPORT (cf. annexe 3)	TYPOLOGIE (cf. annexe 3)	REMONTAGES	CHRONO-CULTURE (cf. annexe 3)	CLICHE	MASSE (g.)	DATE DECOUVERTE
2012	5919	4272	14		1450594.274660	5116588.153585	83.033177	490	Locus 12bis	J4 15	4	SILEX	EC1			PM		71,1	05-03-2012/11:20:49.0
2012	5919	4273	14		1450594.266477	5116588.124727	83.022410	490	Locus 12bis	J4 15	4	SILEX	EC3		50	PM	PN2278-83	10	05-03-2012/11:21:24.0
2012	5919	4274	14		1450594.300838	5116588.162299	83.019205	490	Locus 12bis	J4 15	4	SILEX	E5		50	PM	PN2052	28,8	05-03-2012/11:21:38.0
2012	5919	4275	14		1450594.323290	5116588.262817	83.026698	490	Locus 12bis	J4 15	4	SILEX	E5		50	PM	PN2052	19	05-03-2012/11:21:57.0
2012	5919	4276	14		1450594.333743	5116588.289681	83.029057	490	Locus 12bis	J4 15	4	SILEX	EC2			PM		5,6	05-03-2012/11:22:12.0
2012	5919	4277	15		1450593.986344	5116588.860809	83.038575	490	Locus 12bis	J4 14/15	4	SILEX	E5			PM		2,6	05-03-2012/11:22:24.0
2012	5919	4278	16		1450594.519154	5116588.599900	83.050055	490	Locus 12bis	J4 15	4	SILEX	E11			PM		0,1	05-03-2012/11:22:36.0
2012	5919	4279	14		1450594.657480	5116588.421576	83.049445	490	Locus 12bis	J4 15	4	SILEX	EC1pdf		47-48	PM	PN2244-2299	76,6	05-03-2012/11:22:47.0
2012	5919	4280	14		1450594.747684	5116588.416014	83.025881	490	Locus 12bis	J4 15	4	SILEX	EC2		47-48	PM	PN2244-2299	39,6	05-03-2012/11:22:58.0
2012	5919	4281	17		1450594.787172	5116588.237424	83.064528	490	Locus 12bis	J4 15	4	SILEX	LC3		38	PM		4,7	05-03-2012/11:23:06.0
2012	5919	4282	17		1450594.821743	5116588.115465	83.066886	490	Locus 12bis	J4 15	4	SILEX	/		38	PM		3,8	05-03-2012/11:23:14.0
2012	5919	4283	17		1450594.957189	5116588.299232	83.030926	490	Locus 12bis	J4 15	4	SILEX	E11			PM		2	05-03-2012/11:23:28.0
2012	5919	4284	17		1450595.171739	5116588.022528	83.038677	490	Locus 12bis	J4 16	4	SILEX	Fi			PM		1,1	05-03-2012/11:23:42.0
2012	5919	4285	14		1450595.278492	5116588.246440	83.061969	490	Locus 12bis	J4 16	4	SILEX	Fi			PM		0,9	05-03-2012/11:23:53.0
2012	5919	4286	14		1450594.520238	5116587.482788	83.002789	490	Locus 12bis	J4 25	4	SILEX	E5		50	PM	PN2052	17,8	05-03-2012/11:24:04.0
2012	5919	4287	18		1450594.821965	5116588.114293	83.068200	490	Locus 12bis	J4 25	4	SILEX	F/E11-x2			PM		1	05-03-2012/11:24:18.0
2012	5919	4288	11		1450597.297604	5116668.694300	83.013367	490	Locus 09	L4 18a	4	SILEX	Lpd			PS	PN2225	22,4	05-03-2012/11:24:28.0
2012	5919	4289	12		1450597.237604	5116668.509063	83.032521	490	Locus 09	L4 18a	4	SILEX	Fi			PS		3,8	05-03-2012/11:24:39.0
2012	5919	4290	12		1450597.238449	5116668.356223	83.017366	490	Locus 09	L4 18c	4	SILEX	Epde			PS		2,7	05-03-2012/11:25:06.0
2012	5919	4291	12		1450596.883080	5116668.365249	82.989679	490	Locus 09	L4 17d	4	SILEX	E0/Epde?			PS		8,5	05-03-2012/11:25:20.0
2012	5919	4292	12		1450596.846324	5116668.292284	83.000483	490	Locus 09	L4 17d	4	SILEX	Fi/Cg			PS		11,4	05-03-2012/11:26:35.0
2012	5919	4293	18		1450596.824190	5116668.622020	82.997827	490	Locus 09	L4 17b	4	SILEX	Lpde			PS		1,5	05-03-2012/11:28:45.0
2012	5919	4294	15		1450596.762334	5116668.748613	82.999208	490	Locus 09	L4 17b	4	SILEX	E0			PM/PS		2,8	05-03-2012/10:05:04.0
2012	5919	4295	18		1450596.739098	5116668.609022	82.992044	490	Locus 09	L4 17d	4	SILEX	E0			PS		2,2	05-03-2012/10:05:37.0
2012	5919	4296	1		1450596.814944	5116668.367371	82.986555	490	Locus 09	L4 17d	4	Quartzite	GU?			PM/PS		300,9	05-03-2012/10:05:58.0
2012	5919	4297	18		1450596.825692	5116668.056639	82.994130	490	Locus 09	L4 17d	4	SILEX	E0			PS		0,9	05-03-2012/10:06:56.0
2012	5919	4298	11		1450596.666842	5116668.083289	82.989880	490	Locus 09	L4 17d	4	SILEX	Epde		139	PS		83	05-03-2012/10:07:30.0
2012	5919	4299	18		1450596.506404	5116668.116704	83.015596	490	Locus 09	L4 17d	4	SILEX	Fi/Cg			PS		4,9	05-03-2012/10:08:02.0
2012	5919	4300	11		1450596.660719	5116668.427596	82.967972	490	Locus 09	L4 17d	4	SILEX	E9		145	PS		108,7	05-03-2012/10:10:49.0
2012	5919	4301	11		1450596.409077	5116668.054859	83.014848	490	Locus 09	L4 17c	4	SILEX	Lpde			PS		6,5	05-03-2012/10:11:10.0
2012	5919	4302	12		1450596.514650	5116668.455500	83.012199	490	Locus 09	L4 17c	4	SILEX	/			PS		/	05-03-2012/10:11:40.0
2012	5919	4303	11		1450596.631653	5116668.963451	83.008756	490	Locus 09	L4 17b	4	SILEX	E/LC2			PS		2,3	05-03-2012/10:12:47.0
2012	5919	4304	18		1450596.521047	5116668.930669	83.011225	490	Locus 09	L4 17b	4	SILEX	Fi			PS		3,4	05-03-2012/10:13:21.0
2012	5919	4305	11		1450596.214630	5116668.911259	83.045540	490	Locus 09	L4 17a	4	SILEX	Lpd			PS		0,5	05-03-2012/10:13:52.0
2012	5919	4306	11		1450596.227589	5116668.691803	83.014442	490	Locus 09	L4 17a	4	SILEX	/		141	PS		/	05-03-2012/10:14:36.0
2012	5919	4307	14		1450596.079761	5116668.825441	83.038855	490	Locus 09	L4 17a	4	SILEX	EC3		90	PM		14,8	05-03-2012/10:14:59.0
2012	5919	4308	11		1450596.160705	5116668.341544	83.018383	490	Locus 09	L4 17a	4	SILEX	Lpde		140	PS		16,7	05-03-2012/10:15:23.0
2012	5919	4309	14		1450596.071515	5116668.114049	83.000174	490	Locus 09	L4 17c	4	SILEX	EC1		102	PM	PN2094	19,2	05-03-2012/10:15:57.0
2012	5919	4310	11		1450596.234369	5116668.092407	82.998012	490	Locus 09	L4 17c	4	SILEX	E0/Eci		137	PS	PN2365-2380	32,7	05-03-2012/10:16:36.0
2012	5919	4311	13		1450596.185555	5116668.022932	82.999724	490	Locus 09	L4 17c	4	SILEX	E5		102	PM	PN2094	10,6	05-03-2012/10:18:28.0
2012	5919	4312	11		1450596.032627	5116668.217118	83.003631	490	Locus 09	L4 17c	4	SILEX	E0			PS		1,1	05-03-2012/10:19:09.0
2012	5919	4313	14		1450595.943169	5116668.331142	83.005373	490	Locus 09	L4 17d	4	SILEX	D		102	PM	PN2094	21	05-03-2012/10:19:52.0
2012	5919	4314	16		1450595.618267	5116667.968533	83.009072	490	Locus 09	L4 26b	4	SILEX	E11			PM/PS		0,4	05-03-2012/10:20:52.0
2012	5919	4315	11		1450595.776419	5116667.961974	83.003642	490	Locus 09	L4 26b	4	SILEX	E0			PS		1,1	05-03-2012/10:21:37.0
2012	5919	4316	11		1450595.760966	5116667.815510	83.015625	490	Locus 09	L4 26b	4	SILEX	Lpd			PS		0,8	05-03-2012/10:22:15.0
2012	5919	4317	14		1450596.103597	5116668.002681	82.975745	490	Locus 09	L4 27a/17c	4	SILEX	NDB		102	PM	PN2094	478,1	05-03-2012/10:24:42.0
2012	5919	4318	14		1450596.149395	5116667.923820	82.965591	490	Locus 09	L4 27a	4	SILEX	D		102	PM	PN2094	28,8	05-03-2012/10:25:23.0
2012	5919	4319	11		1450596.173292	5116667.668881	82.971207	490	Locus 09	L4 27a	4	SILEX	/		137	PS	PN2365-2380	/	05-03-2012/10:25:53.0
2012	5919	4320	14		1450596.196816	5116667.658179	82.960084	490	Locus 09	L4 27a	4	SILEX	D		102	PM	PN2094	20,6	05-03-2012/10:26:31.0
2012	5919	4321	11		1450596.458513	5116667.694560	82.971989	490	Locus 09	L4 27a	4	SILEX	/		137	PS	PN2365-2380	/	05-03-2012/10:27:19.0
2012	5919	4322	12		1450596.448739	5116667.678698	82.967703	490	Locus 09	L4 27a	4	SILEX	Fi/Cg			PS		2,5	05-03-2012/10:28:00.0
2012	5919	4323	11		1450596.437901	5116667.676668	82.968012	490	Locus 09	L4 27a	4	SILEX	E/Lpd			PS		1,9	05-03-2012/10:31:01.0
2012	5919	4324	11		1450596.428692	5116667.668481	82.969476	490	Locus 09	L4 27a	4	SILEX	Fi/Cg			PS		0,6	05-03-2012/10:31:29.0
2012	5919	4325	11		1450596.415251	5116667.666103	82.966895	490	Locus 09	L4 27a	4	SILEX	Fi			PS		0,3	05-03-2012/10:31:52.0
2012	5919	4326	18		1450596.318635	5116667.272346	82.971743	490	Locus 09	L4 27b	4	SILEX	Fi/Cg			PS		1,6	05-03-2012/10:32:19.0
2012	5919	4327	11		1450596.222570	5116566.758784	82.945811	490	Locus 09	L4 37a	4	SILEX	/		137	PS	PN2365-2380	/	05-03-2012/10:34:19.0
2012	5919	4328	11		1450596.033188	5116566.968818	82.943226	490	Locus 09	L4 36b/37a	4	SILEX	Lscr		141	PS		83,4	05-03-2012/10:34:46.0
2012	5919	4329	11		1450596.116487	5116566.607238	82.948866	490	Locus 09	L4 37a	4	SILEX	Lncr			PS		4,9	05-03-2012/10:35:24.0

Inventaire officiel 7 – Montguyon (17), « Bois Clair ». Inventaire du mobilier individualisé

ANNEE	OA	IDENTIFIANT	N°DE CAISSE	N°DE LOT	X = est	Y = nord	Z = alti NGF	PARCELLE	SECTEUR (CP/TR/ST...)	CARRE	UPS	MATERIAU	SUPPORT (cf. annexe 3)	TYPOLOGIE (cf. annexe 3)	REMONTAGES	CHRONO-CULTURE (cf. annexe 3)	CLICHE	MASSE (g.)	DATE DECOUVERTE
2012	5919	4330	11		1450595.943635	5116567.375131	82.950204	490	Locus 09	L4 26d	4	SILEX	Fl/Cg			PS		2,3	05-03-2012/10:35:44.0
2012	5919	4331	11		1450595.973164	5116566.723195	82.909941	490	Locus 09	L4 36b	4	SILEX	/		137	PS	PN2365-2380	/	05-03-2012/10:36:03.0
2012	5919	4332	11		1450596.344153	5116566.224110	82.902103	490	Locus 09	L4 37c	4	SILEX	Lpd			PS		7,2	05-03-2012/10:37:01.0
2012	5919	4333	18		1450594.228896	5116588.173016	83.044278	490	Locus 12bis	J4 36	4	SILEX	Fl/E11x3			PM		1,3	05-03-2012/10:37:49.0
2012	5919	4334	14		1450594.267163	5116588.143673	83.025683	490	Locus 12bis	J4 37	4	SILEX	ENC7		47-48	PM	PN2244-2299	7,6	05-03-2012/10:38:14.0
2012	5919	4335	18		1450595.960309	5116587.184331	83.015074	490	Locus 12bis	J4 27	4	SILEX	Fl/E11x2			PM		1,2	05-03-2012/10:38:58.0
2012	5919	4336	*		1450595.809168	5116586.886996	82.989329	490	Locus 12bis	J4 35	4	SILEX	EC8			PM		0,3	05-03-2012/10:40:41.0
2012	5919	4337	15		1450599.167531	5116588.743327	83.076679	490	Locus 12bis	J4 20a	4	SILEX	ENC0			PM		20,2	05-03-2012/10:41:25.0
2012	5919	4338	16		1450595.992721	5116589.679510	83.051971	490	Locus 12bis	J4 06b	4	SILEX	E11			PM		0,1	05-03-2012/10:41:49.0
2012	5919	4339	14		1450595.790367	5116568.857554	83.116500	490	Locus 09	L4 16b	4	SILEX	ENC2		89	PM		1,9	05-03-2012/11:33:12.0
2012	5919	4340	15		1450607.197840	5116575.832940	82.604897	490			5	SILEX	EC1			PM		51,1	05-03-2012/11:33:24.0
2012	5919	4341	17		1450607.672617	5116577.292693	82.625757	490			5	SILEX	NFU			PM		91,4	05-03-2012/11:34:07.0
2012	5919	4342	17		1450607.837341	5116576.456054	82.585020	490			5	SILEX	NIE			PM		32,4	05-03-2012/11:35:01.0
2012	5919	4343	17		1450606.057817	5116577.760744	82.570084	490			5	SILEX	NFC			PM		79,8	05-03-2012/11:36:24.0
2012	5919	4344	13		1450607.532806	5116577.914633	82.589385	490			5	SILEX	NTE			PM		135,8	05-03-2012/11:37:26.0
2012	5919	4345	15		1450606.524035	5116579.140408	82.625325	490			5	SILEX	EC2			PM		44,1	05-03-2012/12:23:27.0
2012	5919	4346	16		1450605.187519	5116577.759383	82.602197	490			5	SILEX	E0			PM		2,7	05-03-2012/09:59:37.0
2012	5919	4347	17		1450607.000769	5116576.145225	82.500941	490			5	SILEX	EC0			PM		40,6	05-03-2012/09:59:57.0
2012	5919	4348	16		1450607.686145	5116578.814693	82.601612	490			5	SILEX	D			PM		49,9	05-03-2012/10:03:52.0
2012	5919	4349	15		1450605.977027	5116578.895336	82.617015	490			5	SILEX	E5	G6		PM		19,7	05-03-2012/10:09:36.0
2012	5919	4350	17		1450606.808219	5116579.440468	82.571591	490			5	SILEX	NFB			PM		96,4	05-03-2012/10:09:50.0
2012	5919	4351	15		1450608.088765	5116578.544453	82.514603	490			5	SILEX	EC1			PM		56,8	05-03-2012/10:22:51.0
2012	5919	4352	16		1450605.939671	5116575.608996	82.458611	490			5	SILEX	EL7			PM		2	05-03-2012/10:23:03.0
2012	5919	4353	15		1450606.410691	5116577.624143	82.471235	490			5	SILEX	EC0			PM		16,9	05-03-2012/10:23:16.0
2012	5919	4354	15		1450607.467288	5116579.105728	82.557238	490			5	SILEX	E6			PM		29,8	05-03-2012/10:30:17.0
2012	5919	4355	15		1450607.766525	5116579.132443	82.540519	490			5	SILEX	E6			PM		4,1	05-03-2012/10:33:23.0
2012	5919	4356	17		1450606.718718	5116575.408384	82.441725	490			5	SILEX	NFU			PM		49,6	05-03-2012/10:39:53.0
2012	5919	4357	14		1450606.841717	5116578.351604	82.480737	490			5	SILEX	EC2			PM		48,3	05-03-2012/11:03:08.0
2012	5919	4358	15		1450606.550794	5116579.131615	82.492726	490			5	SILEX	Fl			PM		3,2	05-03-2012/11:03:33.0
2012	5919	4359	16		1450607.021827	5116575.642902	82.402926	490			5/6	SILEX	EC2			PM		2,7	05-03-2012/11:03:58.0
2012	5919	4360	4		1450606.155094	5116576.764692	82.300679	490			5/6	Quartz	Gb			PM		634,2	05-03-2012/11:06:26.0
2012	5919	4361	17		1450606.880230	5116574.978192	82.259260	490			6	SILEX	NFB			PM		83,5	05-03-2012/11:17:29.0
2012	5919	4362	13		1450605.818228	5116579.072211	82.296370	490			5	SILEX	EC2		24	PM	PN2133-2134	30,4	05-03-2012/11:17:44.0
2012	5919	4363	15		1450606.261865	5116579.208201	82.280116	490			5	SILEX	EC2			PM		16,7	05-03-2012/11:17:55.0
2012	5919	4364	17		1450606.953956	5116575.411493	82.193437	490			6	SILEX	EC2			PM		22,5	05-03-2012/11:29:20.0
2012	5919	4365	11		1450595.670310	5116568.657378	83.138013	490	Locus 09	L4 16b	4	SILEX	E11			PS		0,2	05-03-2012/11:29:36.0
2012	5919	4366	11		1450595.779426	5116568.612204	83.124406	490	Locus 09	L4 16b	4	SILEX	E11			PS		0,5	05-03-2012/11:39:12.0
2012	5919	4367	11		1450595.730499	5116568.517415	83.128978	490	Locus 09	L4 16b	4	SILEX	E0/Epde			PS		0,3	05-03-2012/11:47:43.0
2012	5919	4368	6		1450611.278612	5116577.419204	82.766330	490			4	Grès siliceux	Bb			PM/PS		132,8	05-03-2012/11:59:05.0
2012	5919	4369	17		1450609.087673	5116576.181355	82.649051	490			4/5	SILEX	EL0			PM		25,9	05-03-2012/11:59:27.0
2012	5919	4370	15		1450611.245940	5116576.727959	82.557818	490			4/5	SILEX	ENC1			PM		131,8	05-03-2012/11:59:51.0
2012	5919	4371	16		1450611.059210	5116575.111219	82.544535	490			5	SILEX	D			PM		134,3	05-03-2012/12:23:50.0
2012	5919	4372	13		1450609.739889	5116576.467368	82.606335	490			5	SILEX	NLP			PM		23,5	05-03-2012/12:24:02.0
2012	5919	4373	15		1450611.203606	5116576.068894	82.574072	490			5	SILEX	ENC2			PM		2,5	05-03-2012/12:24:15.0
2012	5919	4374	17		1450611.419110	5116579.023291	82.563311	490			5	SILEX	E6			PM		46,6	05-03-2012/13:58:48.0
2012	5919	4375	16		1450609.106546	5116575.196861	82.597293	490			5	SILEX	D			PM		150	05-03-2012/14:18:20.0
2012	5919	4376	17		1450612.070530	5116575.337635	82.528417	490			5	SILEX	EC2			PM		72,6	05-03-2012/14:18:30.0
2012	5919	4377	18		1450608.891858	5116579.242773	82.572798	490			5	SILEX	D			PM		135	05-03-2012/14:26:17.0
2012	5919	4378	16		1450608.895436	5116576.408235	82.623435	490			5	SILEX	D			PM		2,6	05-03-2012/14:26:57.0
2012	5919	4379	16		1450609.071972	5116576.902314	82.578898	490			5	SILEX	E0			PM		5,1	05-03-2012/14:27:07.0
2012	5919	4380	18		1450611.008545	5116579.099539	82.448003	490			5	SILEX	Ni			PM		365,5	05-03-2012/14:27:21.0
2012	5919	4381	16		1450609.387459	5116577.363619	82.532670	490			5	SILEX	E0			PM		5,5	05-03-2012/14:28:06.0
2012	5919	4382	17		1450610.668919	5116579.153053	82.408708	490			5/6	SILEX	E10			PM		14,4	05-03-2012/14:36:14.0
2012	5919	4383	14		1450611.374951	5116576.733066	82.354686	490			5/6	SILEX	L	G2		PM		39,5	05-03-2012/14:36:32.0
2012	5919	4384	16		1450612.811208	5116579.129748	82.321295	490			5/6	SILEX	D			PM		94,8	05-03-2012/14:46:27.0
2012	5919	4385	18		1450611.566834	5116575.619143	82.308795	490			5/6	SILEX	E10			PM		21,6	05-03-2012/14:46:38.0
2012	5919	4386	13		1450595.819438	5116568.701680	83.066334	490	Locus 09	L4 16b	4	SILEX	Escr/Eci			PS		7,7	05-03-2012/14:46:50.0
2012	5919	4387	15		1450595.138217	5116586.326768	82.819629	490	CP22		4	SILEX	Fl			PM		6,8	05-03-2012/14:58:24.0

Inventaire officiel 7 – Montguyon (17), « Bois Clair ». Inventaire du mobilier individualisé

ANNEE	OA	IDENTIFIANT	N°DE CAISSE	N°DE LOT	X = est	Y = nord	Z = alti NGF	PARCELLE	SECTEUR (CP/TR/ST...)	CARRE	UPS	MATERIAU	SUPPORT (cf. annexe 3)	TYPOLOGIE (cf. annexe 3)	REMONTAGES	CHRONO-CULTURE (cf. annexe 3)	CLICHE	MASSE (g.)	DATE DECOUVERTE
2012	5919	4388	11		1450596.491059	5116568.1230008	83.012162	490	Locus 09	L4 17c	4	SILEX	/		126	PS	PN2331-2345	/	05-03-2012/15:01:25.0
2012	5919	4389	11		1450596.122328	5116568.3529210	83.014861	490	Locus 09	L4 17c	4	SILEX	Fl/Cg			PS		2,1	05-03-2012/15:11:54.0
2012	5919	4390	11		1450596.025415	5116568.1316501	83.002714	490	Locus 09	L4 17c	4	SILEX	Fl/Cg			PS		1	05-03-2012/15:18:47.0
2012	5919	4391	15		1450623.086931	5116563.8840038	82.299540	490			5	SILEX	EC2			PM		10,4	05-03-2012/15:27:29.0
2012	5919	4392	15		1450628.970271	5116570.1010087	82.558647	490			4	SILEX	EC2			PM		5	05-03-2012/15:23:46.0
2012	5919	4394	14		1450596.286106	5116566.504393	82.897376	490	Locus 09	L4 37c	4	SILEX	D		102	PM	PN2094	12,5	05-03-2012/16:11:33.0
2012	5919	4395	11		1450596.274318	5116567.033708	82.934589	490	Locus 09	L4 27c	4	SILEX	E9			PS		0,8	06-03-2012/08:38:48.0
2012	5919	4396	12		1450596.153563	5116567.042421	82.940489	490	Locus 09	L4 27c	4	SILEX	Lpd	Lr		PS		0,7	06-03-2012/08:47:08.0
2012	5919	4397	11		1450596.188557	5116567.082088	82.915146	490	Locus 09	L4 27c	4	SILEX	Lpd			PS		2	06-03-2012/08:47:31.0
2012	5919	4398	11		1450596.396255	5116567.173902	82.916963	490	Locus 09	L4 27a	4	SILEX	EC1			PS		2,5	06-03-2012/09:15:36.0
2012	5919	4399	14		1450595.998616	5116567.344423	82.921612	490	Locus 09	L4 27c	4	SILEX	D		102	PM	PN2094	65	06-03-2012/09:54:52.0
2012	5919	4400	16		1450596.135181	5116567.48151	82.908718	490	Locus 09	L4 27a	4	SILEX	Fl			PM/PS		8,6	06-03-2012/11:15:41.0
2012	5919	4401	16		1450596.453957	5116567.475259	82.930615	490	Locus 09	L4 27c	4	SILEX	D			PM/PS		3,5	06-03-2012/11:16:07.0
2012	5919	4402	12		1450596.157598	5116567.613261	82.903952	490	Locus 09	L4 27a	4	SILEX	Eci		136	PS		6,7	06-03-2012/11:16:30.0
2012	5919	4403	18		1450596.479879	5116567.620038	82.917584	490	Locus 09	L4 27b	4	SILEX	Cg			PS		1	06-03-2012/11:16:52.0
2012	5919	4404	12		1450596.88011	5116567.539308	82.922211	490	Locus 09	L4 27b	4	SILEX	/			PS		/	06-03-2012/11:17:19.0
2012	5919	4405	18		1450596.472459	5116567.617645	82.903162	490	Locus 09	L4 27b	4	SILEX	Lpde			PS		2,7	06-03-2012/11:17:56.0
2012	5919	4406	12		1450595.901123	5116567.973932	82.97218	490	Locus 09	L4 26b	4	SILEX	E0/Eci			PS		5,2	06-03-2012/11:18:30.0
2012	5919	4407	14		1450595.87172	5116567.997857	82.96411	490	Locus 09	L4 26b	4	SILEX	D		102	PM	PN2094	99,9	06-03-2012/11:18:58.0
2012	5919	4408	12		1450595.941804	5116568.447866	82.963294	490	Locus 09	L4 16d	4	SILEX	Cg			PS		8,6	06-03-2012/11:19:30.0
2012	5919	4409	11		1450595.849377	5116568.511971	82.975317	490	Locus 09	L4 16d/b	4	SILEX	EC1/2			PS		10,3	06-03-2012/11:19:55.0
2012	5919	4410	11		1450595.882297	5116568.51694	82.969059	490	Locus 09	L4 16d/b	4	SILEX	Lncr/lpde		143	PS		69,7	06-03-2012/11:20:29.0
2012	5919	4411	11		1450595.616847	5116568.616049	82.966	490	Locus 09	L4 16b	4	SILEX	/		143	PS		/	06-03-2012/11:20:56.0
2012	5919	4412	11		1450595.595504	5116568.684447	82.962065	490	Locus 09	L4 16b	4	SILEX	/		145	PS		/	06-03-2012/11:42:20.0
2012	5919	4413	12		1450595.792881	5116568.965338	82.973767	490	Locus 09	L4 16b	4	SILEX	Fl/Cg			PS		4,9	06-03-2012/11:42:59.0
2012	5919	4414	11		1450596.016765	5116568.501458	82.970399	490	Locus 09	L4 17a	4	SILEX	Lpd		141	PS		35,2	06-03-2012/11:43:49.0
2012	5919	4415	11		1450595.9791	5116568.906653	82.984231	490	Locus 09	L4 17a	4	SILEX	E0/Eci		126	PS	PN2331-2345	66,4	06-03-2012/11:44:29.0
2012	5919	4416	12		1450596.153885	5116568.791246	82.958384	490	Locus 09	L4 17a	4	SILEX	/			PS		/	06-03-2012/11:44:57.0
2012	5919	4417	11		1450596.22439	5116568.578106	82.973038	490	Locus 09	L4 17a	4	SILEX	Lpde			PS		4,6	06-03-2012/11:45:38.0
2012	5919	4418	11		1450596.402223	5116568.770121	82.967521	490	Locus 09	L4 17a	4	SILEX	E9		145	PS		6,4	06-03-2012/11:46:12.0
2012	5919	4419	18		1450596.663322	5116568.983619	82.994559	490	Locus 09	L4 17b	4	SILEX	Lsncr		145	PS		6,7	06-03-2012/11:46:47.0
2012	5919	4420	11		1450596.819255	5116568.71818	82.979731	490	Locus 09	L4 17b	4	SILEX	EC2/Eci		138	PS		23,1	06-03-2012/11:47:22.0
2012	5919	4421	18		1450596.862123	5116568.74846	82.994279	490	Locus 09	L4 17b	4	SILEX	E11			PS		0,5	06-03-2012/11:48:16.0
2012	5919	4422	14		1450596.901499	5116568.62651	82.962871	490	Locus 09	L4 17b	4	SILEX	E0		94	PM	PN2060/2304-2306	13,2	06-03-2012/11:48:56.0
2012	5919	4423	12		1450596.831235	5116568.439564	82.986175	490	Locus 09	L4 17d	4	SILEX	Lpde			PS		3,1	06-03-2012/11:49:49.0
2012	5919	4424	14		1450596.742837	5116568.421251	82.946129	490	Locus 09	L4 17d	4	SILEX	E3		102	PM	PN2094	31	06-03-2012/11:50:31.0
2012	5919	4425	13		1450596.801966	5116568.326183	82.985398	490	Locus 09	L4 17d	4	SILEX	/		104	PM		/	06-03-2012/11:51:12.0
2012	5919	4426	18		1450596.776244	5116568.284603	82.974726	490	Locus 09	L4 17d	4	SILEX	EC2/LC2?			PS		2,6	06-03-2012/11:51:59.0
2012	5919	4427	11		1450596.791027	5116568.251373	82.969134	490	Locus 09	L4 17d	4	SILEX	Lncr		142	PS		5,6	06-03-2012/11:52:20.0
2012	5919	4428	18		1450596.766518	5116568.266704	82.972991	490	Locus 09	L4 17d	4	SILEX	Lpde ?			PS		1	06-03-2012/11:52:51.0
2012	5919	4429	11		1450596.868613	5116568.198763	82.972504	490	Locus 09	L4 17d	4	SILEX	Lpde ?			PS		15,8	06-03-2012/11:53:25.0
2012	5919	4430	16		1450596.653698	5116568.14143	82.973223	490	Locus 09	L4 17d	4	SILEX	EC0			PM/PS		15,2	06-03-2012/11:54:22.0
2012	5919	4431	11		1450596.638496	5116568.265252	82.952553	490	Locus 09	L4 17d	4	SILEX	Lncr		137	PS	PN2365-2380	17,2	06-03-2012/11:54:48.0
2012	5919	4432	16		1450596.607835	5116568.299929	82.965048	490	Locus 09	L4 17d	4	SILEX	E0			PM/PS		15,5	06-03-2012/11:55:16.0
2012	5919	4433	13		1450596.80807	5116568.147549	82.942611	490	Locus 09	L4 17d	4	SILEX	E6		110	PM	PN2300-2303	246,1	06-03-2012/11:55:52.0
2012	5919	4434	14		1450596.668883	5116568.316998	82.95633	490	Locus 09	L4 17d	4	SILEX	NDB		94	PM	PN2060/2304-2306	1149,1	06-03-2012/11:56:39.0
2012	5919	4435	11		1450597.088263	5116568.789224	82.980892	490	Locus 09	L4 18a	4	SILEX	Lpd/lpde			PS		5,5	06-03-2012/11:56:52.0
2012	5919	4436	11		1450597.187672	5116568.829726	82.965828	490	Locus 09	L4 18a	4	SILEX	EC2/Eci		137	PS	PN2365-2380	29,6	06-03-2012/11:57:56.0
2012	5919	4437	11		1450597.100964	5116568.942536	82.964898	490	Locus 09	L4 18a	4	SILEX	EC2/eci		138	PS		28,9	06-03-2012/11:58:22.0
2012	5919	4438	16		1450597.127645	5116568.979638	82.971725	490	Locus 09	L4 18a	4	SILEX	E11			PM/PS		0,6	06-03-2012/11:58:55.0
2012	5919	4439	11		1450597.290633	5116568.096478	82.99303	490	Locus 09	L4 18c	4	SILEX	Lpd/Lpde			PS		11,9	06-03-2012/11:59:38.0
2012	5919	4440	12		1450597.144217	5116568.285599	82.96107	490	Locus 09	L4 18c	4	SILEX	/		152	PS		/	06-03-2012/12:00:19.0
2012	5919	4441	16		1450628.181021	5116570.558628	82.232239	490			5	SILEX	NDB			PM		191	06-03-2012/12:02:32.0
2012	5919	4448	18		1450626.562458	5116574.850946	82.910685	490			3?/4	SILEX	EC1			PM/PS		883,2	06-03-2012/12:02:58.0
2012	5919	4449	11		1450597.084253	5116568.232203	82.974528	490	Locus 09	L4 18c	4	SILEX	/		138	PS		/	06-03-2012/12:03:09.0
2012	5919	4450	11		1450597.102115	5116568.380397	82.983727	490	Locus 09	L4 18c	4	SILEX	/			PS	PN2223-2224	/	06-03-2012/12:03:23.0
2012	5919	4451	17		1450597.090213	5116568.417865	82.963829	490	Locus 09	L4 18c	4	SILEX	EC1			PM/PS		39,4	06-03-2012/12:03:47.0
2012	5919	4452	16		1450615.20097	5116578.148505	82.71218	490			5	SILEX	ENC1			PM		11,1	06-03-2012/12:04:05.0

Inventaire officiel 7 – Montguyon (17), « Bois Clair ». Inventaire du mobilier individualisé

ANNEE	OA	IDENTIFIANT	N°DE CAISSE	N°DE LOT	X = est	Y = nord	Z = alti NGF	PARCELLE	SECTEUR (CP/TR/ST...)	CARRE	UPS	MATERIAU	SUPPORT (cf. annexe 3)	TYPOLOGIE (cf. annexe 3)	REMONTAGES	CHRONO-CULTURE (cf. annexe 3)	CLICHE	MASSE (g.)	DATE DECOUVERTE
2012	5919	4453	2		1450615.472131	5116575.380704	82.618185	490			5	Quartzite	Gb			PM		512,3	06-03-2012/10:57:21.0
2012	5919	4454	2		1450616.119719	5116577.457741	82.461990	490			5	Quartzite	Gup			PM		543,7	06-03-2012/12:01:38.0
2012	5919	4455	17		1450615.988106	5116577.086544	82.517081	490			5	SILEX	EC1			PM		23,9	06-03-2012/13:32:04.0
2012	5919	4456	15		1450617.088810	5116577.009592	82.482383	490			5	SILEX	EC3			PM		13,6	06-03-2012/13:32:24.0
2012	5919	4457	16		1450614.564610	5116576.557062	82.512030	490			5	SILEX	Fi			PM		9,8	06-03-2012/13:32:58.0
2012	5919	4458	15		1450619.271436	5116576.508988	82.486268	490			5	SILEX	Fi			PM		10,5	06-03-2012/13:30:14.0
2012	5919	4459	16		1450617.401170	5116575.446816	82.389384	490			5	SILEX	NK			PM		28,8	06-03-2012/13:30:25.0
2012	5919	4460	16		1450617.286280	5116575.849897	82.369280	490			5	SILEX	E11			PM		2,1	06-03-2012/13:44:49.0
2012	5919	4461	17		1450617.888167	5116574.936580	82.328748	490			5	SILEX	E1			PM		9,4	06-03-2012/13:44:59.0
2012	5919	4462	15		1450628.295193	5116573.727842	82.358465	490			5	SILEX	Bb			PM		708,5	06-03-2012/13:51:05.0
2012	5919	4463	13		1450599.373644	5116564.508175	82.246308	490	Locus 03		7	SILEX	/		65	PM	PN2107-2108	71	06-03-2012/13:51:17.0
2012	5919	4464	16		1450599.337683	5116564.528831	82.260591	490	Locus 03		7	SILEX	Fi			PM		1,1	06-03-2012/14:03:48.0
2012	5919	4465	13		1450599.314639	5116564.650251	82.289552	490	Locus 03		7	SILEX	E1		60	PM	PN2307-2315	56,6	06-03-2012/14:07:56.0
2012	5919	4466	16		1450599.309378	5116564.686843	82.284261	490	Locus 03		7	SILEX	E10			PM		1,2	06-03-2012/14:16:20.0
2012	5919	4467	13		1450599.237315	5116564.512823	82.266686	490	Locus 03		7	SILEX	NDU		65	PM	PN2107-2108	84,3	06-03-2012/14:24:27.0
2012	5919	4468	13		1450599.191250	5116564.422392	82.258809	490	Locus 03		7	SILEX	E2		60	PM	PN2307-2315	30,7	06-03-2012/15:22:02.0
2012	5919	4469	16		1450599.212549	5116564.656475	82.268083	490	Locus 03		7	SILEX	E11			PM		0,4	06-03-2012/15:54:04.0
2012	5919	4470	16		1450599.075830	5116564.519636	82.175349	490	Locus 03		7	SILEX	D			PM		6	06-03-2012/15:54:25.0
2012	5919	4471	13		1450599.000704	5116564.360543	82.182116	490	Locus 03		7	SILEX	E3		63	PM		13,8	06-03-2012/15:54:54.0
2012	5919	4472	16		1450598.901864	5116564.441837	82.163384	490	Locus 03		7	SILEX	Fi			PM		11,6	06-03-2012/15:55:14.0
2012	5919	4473	15		1450598.095976	5116564.307036	82.230733	490	Locus 03		7	SILEX	D			PM		17	06-03-2012/15:56:04.0
2012	5919	4474	1		1450619.762179	5116575.354874	82.506033	490			5	Quartzite	Enc3			PM		83,7	06-03-2012/15:56:18.0
2012	5919	4475	15		1450623.461593	5116577.881874	82.419631	490			4/5	SILEX	E6			PM		90,6	06-03-2012/15:56:31.0
2012	5919	4476	13		1450620.768433	5116577.763923	82.356352	490			5	SILEX	NLRU			PM		78,8	06-03-2012/15:56:54.0
2012	5919	4477	12		1450622.613107	5116574.960120	82.263261	490			5	SILEX	Lpd			PM/PS		6,8	06-03-2012/15:57:11.0
2012	5919	4478	13		1450624.516861	5116580.540387	82.666953	490			4	SILEX	EC1			PM		51,6	06-03-2012/15:57:24.0
2012	5919	4479	13		1450620.727374	5116582.796841	82.782021	490			4	SILEX	E10			PM		15,2	06-03-2012/15:57:39.0
2012	5919	4480	2		1450613.676070	5116597.083245	82.300581	490	Locus 02		5	Quartzite	Gul			PM		486,2	06-03-2012/16:26:12.0
2012	5919	4481	13		1450614.594925	5116596.318770	82.265539	490	Locus 02		5	SILEX	EL4		3	PM		53,6	06-03-2012/16:28:37.0
2012	5919	4482	15		1450614.985629	5116596.846267	82.288810	490	Locus 02		5	SILEX	L	G5		PM		20,7	07-03-2012/08:43:26.0
2012	5919	4483	17		1450616.828827	5116596.294944	82.167348	490	Locus 02		5	SILEX	E5			PM		4,2	07-03-2012/08:50:57.0
2012	5919	4484	4		1450616.215568	5116598.229100	82.178042	490	Locus 02		5	Grès ferrugineux	Bb			PM		500	07-03-2012/09:49:27.0
2012	5919	4485	15		1450613.435362	5116598.398134	82.200694	490	Locus 02		5	SILEX	E5			PM		53,6	07-03-2012/09:50:30.0
2012	5919	4486	15		1450615.468705	5116596.632035	82.104111	490	Locus 02		5	SILEX	E5			PM		13,9	07-03-2012/10:27:58.0
2012	5919	4487	13		1450614.738977	5116595.451925	81.744145	490	Locus 02		6	SILEX	EL1		3	PM		11,2	07-03-2012/10:32:28.0
2012	5919	4488	15		1450614.130038	5116600.878614	82.300145	490			5	SILEX	E10			PM		17,4	07-03-2012/10:36:11.0
2012	5919	4489	15		1450613.671864	5116600.163244	82.254241	490			5	SILEX	E6			PM		158,1	07-03-2012/10:59:52.0
2012	5919	4490	16		1450611.577252	5116601.355872	82.305021	490			5	SILEX	D			PM		16,2	07-03-2012/11:00:03.0
2012	5919	4491	12		1450616.249716	5116601.751280	82.209219	490			5	SILEX	EC3	G5		PM	PN2252-2254	43,2	07-03-2012/11:05:24.0
2012	5919	4492	17		1450614.508788	5116602.163031	82.228369	490			5	SILEX	NDU			PM		81	07-03-2012/11:10:53.0
2012	5919	4493	17		1450615.398145	5116599.652569	82.181775	490			5	SILEX	LL6			PM		14,1	07-03-2012/11:37:04.0
2012	5919	4494	3		1450616.519979	5116600.353481	82.084962	490			5	Quartz	Gb			PM		671,6	07-03-2012/12:05:36.0
2012	5919	4495	17		1450613.738819	5116602.439815	82.239241	490			5	SILEX	L			PM		96,6	07-03-2012/12:12:53.0
2012	5919	4496	15		1450611.212577	5116600.237760	82.241827	490			5	SILEX	EL6			PM		17	07-03-2012/12:13:08.0
2012	5919	4497	15		1450612.975572	5116601.906502	82.240911	490			5	SILEX	E10			PM		9,1	07-03-2012/12:17:57.0
2012	5919	4498	18		1450612.405050	5116602.944443	82.240686	490			5	SILEX	Ni			PM		17,8	07-03-2012/12:18:10.0
2012	5919	4499	17		1450614.481063	5116600.568021	82.133842	490			5	SILEX	NIE			PM		19	07-03-2012/13:40:43.0
2012	5919	4500	18		1450615.337116	5116601.743437	81.988986	490			5	SILEX	Fi			PM		23,7	07-03-2012/13:40:56.0
2012	5919	4501	15		1450584.076849	5116554.113790	82.086345	491			5	SILEX	E2			PM		29	07-03-2012/13:44:37.0
2012	5919	4502	15		1450613.860453	5116600.799516	82.114635	490			5	SILEX	E2			PM		21,3	07-03-2012/13:45:00.0
2012	5919	4503	12		1450596.882837	5116569.181226	83.044159	490	Locus 09	L4 07b	4	SILEX	E0			PS		5,2	07-03-2012/13:50:32.0
2012	5919	4504	12		1450596.958929	5116569.171277	83.021244	490	Locus 09	L4 07b	4	SILEX	Fi			PS		8,5	07-03-2012/13:53:56.0
2012	5919	4505	18		1450615.371714	5116600.487805	81.963088	490			5/6	SILEX	NLRB			PM		91,5	07-03-2012/13:59:45.0
2012	5919	4506	17		1450613.884952	5116598.907395	81.992222	490			5/6	SILEX	EL1			PM		4,1	07-03-2012/14:06:55.0
2012	5919	4507	11		1450597.524629	5116568.119878	83.109618	490	Locus 09	L4 18d	4	SILEX	Lpd			PS		4	07-03-2012/14:07:28.0
2012	5919	4508	13		1450623.875423	5116580.601635	82.693523	490	Locus 20		4a/4b?	SILEX	Fi			PM/PS		3,9	07-03-2012/14:12:17.0
2012	5919	4509	13		1450623.939301	5116580.696897	82.691683	490	Locus 20		4a/4b?	SILEX	EC2		40	PM/PS-PM		4,3	07-03-2012/14:15:13.0
2012	5919	4510	16		1450624.171211	5116580.734224	82.665664	490	Locus 20		4a/4b?	SILEX	D			PM/PS		2	07-03-2012/14:15:28.0

Inventaire officiel 7 – Montguyon (17), « Bois Clair ». Inventaire du mobilier individualisé

ANNEE	OA	IDENTIFIANT	N°DE CAISSE	N°DE LOT	X = est	Y = nord	Z = alti NGF	PARCELLE	SECTEUR (CP/TR/ST...)	CARRE	UPS	MATERIAU	SUPPORT (cf. annexe 3)	TYPOLOGIE (cf. annexe 3)	REMONTAGES	CHRONO-CULTURE (cf. annexe 3)	CLICHE	MASSE (g.)	DATE DECOUVERTE
2012	5919	4511	16		1450624.214724	5116580.568660	82.685416	490	Locus 20		4a/4b?	SILEX	Fi			PM/PS		0,2	07-03-2012/14:26:58.0
2012	5919	4512	13		1450624.483894	5116580.664402	82.678614	490	Locus 20		4a/4b?	SILEX	EC2		39	PM/PS-PM		18	07-03-2012/14:27:18.0
2012	5919	4513	16		1450624.585166	5116580.619886	82.683121	490	Locus 20		4a/4b?	SILEX	Cg			PM/PS		0,7	07-03-2012/14:31:09.0
2012	5919	4514	16		1450624.602058	5116580.484356	82.683823	490	Locus 20		4a/4b?	SILEX	Fi			PM/PS		1,2	07-03-2012/15:00:30.0
2012	5919	4515	16		1450624.623092	5116580.472217	82.690135	490	Locus 20		4a/4b?	SILEX	E11			PM/PS		0,6	07-03-2012/15:00:45.0
2012	5919	4516	13		1450624.611674	5116580.307956	82.666693	490	Locus 20		4a/4b?	SILEX	E0		39	PM/PS-PM		7,8	07-03-2012/15:01:07.0
2012	5919	4517	13		1450624.407184	5116580.339467	82.658262	490	Locus 20		4a/4b?	SILEX	EC2		40	PM/PS-PM		8	07-03-2012/15:01:22.0
2012	5919	4518	15		1450599.340327	5116587.820046	83.037617	490	Locus 12bis	J4 30	4	SILEX	ENC1			PM		6,9	07-03-2012/15:01:35.0
2012	5919	4519	1		1450611.797554	5116599.859688	82.000691	490			6	Quartzite	Gup			PM	PN2154	530,9	07-03-2012/15:01:46.0
2012	5919	4520	18		1450614.992458	5116599.225399	81.791032	490			6	SILEX	EC2			PM		70,1	07-03-2012/15:01:58.0
2012	5919	4521	14		1450596.989648	5116588.535381	83.067025	490	Locus 12bis	J4 17/18	4	SILEX	E2	G3		PM		18,6	07-03-2012/15:02:12.0
2012	5919	4522	14		1450597.468468	5116588.401492	83.086919	490	Locus 12bis	J4 18	4	SILEX	R2			PM		39,8	07-03-2012/15:07:58.0
2012	5919	4523	16		1450597.099506	5116588.042019	83.067271	490	Locus 12bis	J4 18	4	SILEX	E11			PM		0,3	07-03-2012/15:08:13.0
2012	5919	4524	16		1450597.018504	5116588.002770	83.034867	490	Locus 12bis	J4 18/28	4	SILEX	E11			PM		0,1	07-03-2012/15:20:25.0
2012	5919	4525	16		1450596.892456	5116587.696323	83.040324	490	Locus 12bis	J4 27	4	SILEX	Fi			PM		3	07-03-2012/14:41:05.0
2012	5919	4526	15		1450597.234646	5116587.226371	83.034947	490	Locus 12bis	J4 28	4	SILEX	E11			PM		0,7	07-03-2012/14:51:30.0
2012	5919	4527	12		1450596.520246	5116586.956697	83.006293	490	Locus 12bis	J4 27/37	4	SILEX	ENC3			PM		26,3	07-03-2012/15:22:46.0
2012	5919	4528	11		1450596.122441	5116569.289886	82.974623	490	Locus 09	L4 07c	4	SILEX	E0			PS		0,9	07-03-2012/15:23:22.0
2012	5919	4529	11		1450596.272806	5116569.250107	82.951088	490	Locus 09	L4 07c	4	SILEX	E0/Eci		126	PS	PN2331-2345	74,3	07-03-2012/15:24:09.0
2012	5919	4530	16		1450597.686490	5116569.158349	83.043121	490	Locus 09	L4 08d	4	SILEX	Fi			PM/PS		22	07-03-2012/15:24:41.0
2012	5919	4531	12		1450598.016494	5116591.028460	83.115208	490	Locus 15	I4 88/89	4a/4b	SILEX	L/Epde			PS/EPIP		1,1	07-03-2012/15:25:02.0
2012	5919	4532	12		1450598.099794	5116590.845767	83.116191	490	Locus 15	I4 99	4a/4b	SILEX	Li/Epde			PS/EPIP		0,1	07-03-2012/15:26:07.0
2012	5919	4533	12		1450598.145204	5116590.899691	83.118883	490	Locus 15	I4 99	4a/4b	SILEX	E0			PS/EPIP		1,7	07-03-2012/15:26:50.0
2012	5919	4534	12		1450598.187130	5116590.972454	83.120906	490	Locus 15	I4 89/99	4a/4b	SILEX	Lpde		123	PS/EPIP	PN2180-2188/2381-83	20,2	07-03-2012/15:44:55.0
2012	5919	4535	12		1450598.220423	5116591.050007	83.114624	490	Locus 15	I4 89	4a	SILEX	EC2			PS/EPIP		1,1	07-03-2012/15:45:17.0
2012	5919	4536	11		1450596.521200	5116569.383726	82.971237	490	Locus 09	L4 07d	4	SILEX	E0/Eci		126	PS	PN2331-2345	18	07-03-2012/15:46:03.0
2012	5919	4537	12		1450596.940668	5116569.211469	82.974562	490	Locus 09	L4 07d	4	SILEX	E9/Eci			PS		24,8	07-03-2012/16:06:14.0
2012	5919	4538	12		1450625.330898	5116581.511892	82.644900	490			4a	SILEX	Befgt			PM		103	07-03-2012/16:06:37.0
2012	5919	4539	17		1450628.382786	5116581.165528	82.540253	490			4	SILEX	ENC1			PM		346,8	07-03-2012/16:07:04.0
2012	5919	4540	16		1450626.490228	5116579.878391	82.570081	490			4a/4b?	SILEX	EC2			PM		19,8	07-03-2012/16:07:24.0
2012	5919	4541	11		1450597.120867	5116569.072678	83.024602	490	Locus 09	L4 08c	4	SILEX	E0			PS		4,7	07-03-2012/16:07:38.0
2012	5919	4547	16		1450629.059854	5116579.501796	82.490193	490			4a/4b?	SILEX	EC3			PM		10	07-03-2012/16:24:14.0
2012	5919	4554	15		1450626.310305	5116579.413042	82.556029	490			4a/4b?	SILEX	Fi			PM		2,1	07-03-2012/16:24:29.0
2012	5919	4555	4		1450625.705652	5116581.560023	82.548013	490			4	Quartz	Gp			PM/PS		249,5	07-03-2012/16:45:10.0
2012	5919	4556	15		1450625.97026	5116581.116891	82.581766	490			4	SILEX	E4pdf			PM		8,5	08-03-2012/08:28:12.0
2012	5919	4557	15		1450628.088058	5116582.046789	82.552135	490			4	SILEX	E0			PM		2,5	08-03-2012/08:28:27.0
2012	5919	4558	3		1450624.930169	5116582.498976	82.527749	490			4	Quartz	Gb			PM/PS		382,4	08-03-2012/08:30:02.0
2012	5919	4559	15		1450628.807538	5116580.255702	82.408156	490			4	SILEX	E3			PM		8,9	08-03-2012/08:33:07.0
2012	5919	4560	15		1450630.0622	5116582.007953	82.316059	490			4	SILEX	E5			PM		205,6	08-03-2012/08:34:07.0
2012	5919	4561	14		1450625.01642	5116579.504081	82.497548	490			4	SILEX	EC3	G2		PM		71,2	08-03-2012/08:38:40.0
2012	5919	4562	16		1450627.335825	5116578.150688	82.298146	490			5	SILEX	EC1			PM		10,3	08-03-2012/08:43:01.0
2012	5919	4563	16		1450628.667615	5116579.592021	82.248723	490			5	SILEX	NFC			PM		29,9	08-03-2012/08:43:15.0
2012	5919	4564	14		1450624.884324	5116581.314625	82.247212	490			5	SILEX	EL4	G2		PM		53,1	08-03-2012/08:51:33.0
2012	5919	4565	11		1450597.088844	5116569.374635	82.938342	490	Locus 09	L4 08c	4	SILEX	/		145	PS		/	08-03-2012/09:09:22.0
2012	5919	4566	11		1450597.100526	5116569.090777	82.971055	490	Locus 09	L4 08c	4	SILEX	EC2		137	PS	PN2365-2380	10,2	08-03-2012/09:23:05.0
2012	5919	4567	14		1450597.373478	5116569.117807	82.958479	490	Locus 09	L4 08c	4	SILEX	/		102	PM	PN2094	/	08-03-2012/09:27:08.0
2012	5919	4568	12		1450597.451534	5116569.040136	82.984912	490	Locus 09	L4 08c	4	SILEX	Cg			PS		4,9	08-03-2012/09:27:28.0
2012	5919	4569	12		1450597.33322	5116569.46366	82.955351	490	Locus 09	L4 08c	4	SILEX	Lpd/Lpde		152	PS		5,2	08-03-2012/09:59:02.0
2012	5919	4586	11		1450597.904261	5116568.126712	83.000477	490	Locus 09	L4 18d	4	SILEX	EC2			PS		1,3	08-03-2012/10:03:00.0
2012	5919	4617	11		1450597.985623	5116568.972288	83.030312	490	Locus 09	L4 16b	4	SILEX	Epde		139	PS		8,2	08-03-2012/10:44:17.0
2012	5919	4618	12		1450597.824998	5116568.481427	82.963265	490	Locus 09	L4 18d	4	SILEX	Fi			PS		7,1	08-03-2012/10:58:50.0
2012	5919	4619	11		1450597.993277	5116568.511382	82.97441	490	Locus 09	L4 18d	4	SILEX	/		138	PS		/	08-03-2012/10:59:07.0
2012	5919	4620	11		1450597.979801	5116569.193984	83.008498	490	Locus 09	L4 08d	4	SILEX	L/Epde			PS		1,6	08-03-2012/10:59:24.0
2012	5919	4621	15		1450622.43348	5116584.906297	82.590095	490			4	SILEX	E0			PM		6,5	08-03-2012/10:59:36.0
2012	5919	4622	3		1450629.098296	5116586.16726	82.412556	490			4	Quartz	Gui			PM/PS		281,3	08-03-2012/10:59:55.0
2012	5919	4623	14		1450623.293269	5116583.734893	82.546181	490			4	SILEX	R1	G2		PM		27,8	08-03-2012/11:31:51.0
2012	5919	4624	15		1450627.303058	5116587.138994	82.334641	490			4	SILEX	E2			PM		5,7	08-03-2012/13:56:37.0
2012	5919	4625	20		1450623.500893	5116588.629194	82.303702	490			4	SILEX	Bt			PM		3887	08-03-2012/13:56:57.0

Inventaire officiel 7 – Montguyon (17), « Bois Clair ». Inventaire du mobilier individualisé

ANNEE	OA	IDENTIFIANT	N°DE CAISSE	N°DE LOT	X = est	Y = nord	Z = alti NGF	PARCELLE	SECTEUR (CP/TR/ST…)	CARRE	UPS	MATERIAU	SUPPORT (cf. annexe 3)	TYPOLOGIE (cf. annexe 3)	REMONTAGES	CHRONO-CULTURE (cf. annexe 3)	CLICHE	MASSE (g.)	DATE DECOUVERTE
2012	5919	4626	16		1450595.847398	5116567.5888	82.917628	490	Locus 09	L4 26b	4	SILEX	Fi			PM/PS		3,5	08-03-2012/14:25:09.0
2012	5919	4627	16		1450595.88448	5116567.893004	82.881692	490	Locus 09	L4 26b	4	SILEX	Fi			PM/PS		1,5	08-03-2012/14:47:13.0
2012	5919	4628	11		1450595.84021	5116568.100153	82.909054	490	Locus 09	L4 16d	4	SILEX	EC0			PS		1,1	08-03-2012/14:54:37.0
2012	5919	4629	12		1450596.043458	5116568.023269	82.918293	490	Locus 09	L4 17c	4	SILEX	Lpd/Lpde			PS		2,5	08-03-2012/14:59:06.0
2012	5919	4630	11		1450596.50408	5116568.4234	82.926035	490	Locus 09	L4 17c	4	SILEX	Lpd	glret2		PS	PN2223-2224	50,2	08-03-2012/15:11:12.0
2012	5919	4631	12		1450596.620255	5116568.318209	82.917775	490	Locus 09	L4 17d	4	SILEX	Eci			PS		14,8	08-03-2012/15:22:45.0
2012	5919	4632	18		1450596.86347	5116568.365789	82.931728	490	Locus 09	L4 17d	4	SILEX	Fi			PS		0,5	08-03-2012/15:23:00.0
2012	5919	4633	18		1450596.889306	5116568.46533	82.958685	490	Locus 09	L4 17b	4	SILEX	Fi/Cg			PM/PS		1	08-03-2012/16:14:14.0
2012	5919	4634	11		1450596.538062	5116568.77657	82.921432	490	Locus 09	L4 17b	4	SILEX	/		137	PS	PN2365-2380	/	08-03-2012/16:14:38.0
2012	5919	4635	12		1450596.177367	5116568.93901	82.920619	490	Locus 09	L4 17a	4	SILEX	Lpd			PS		0,9	08-03-2012/16:15:01.0
2012	5919	4636	12		1450596.382958	5116568.990139	82.909747	490	Locus 09	L4 17a	4	SILEX	Fi			PS		4,8	08-03-2012/16:15:30.0
2012	5919	4637	11		1450596.449704	5116569.047897	82.919867	490	Locus 09	L4 07c	4	SILEX	E11			PS		0,2	08-03-2012/16:16:01.0
2012	5919	4638	11		1450596.45097	5116569.255271	82.933617	490	Locus 09	L4 07c	4	SILEX	LNC2/Lpde			PS		7,5	08-03-2012/16:17:16.0
2012	5919	4639	18		1450596.70907	5116569.092609	82.909676	490	Locus 09	L4 07d	4	SILEX	Fi/Cg			PS		3	08-03-2012/16:18:17.0
2012	5919	4640	12		1450596.95352	5116569.193751	82.926565	490	Locus 09	L4 07d	4	SILEX	Fi/Cg			PS		15,8	08-03-2012/16:19:04.0
2012	5919	4641	12		1450597.201315	5116569.275268	82.916022	490	Locus 09	L4 08c	4	SILEX	Lpd	glret2		PS	PN2206-2208	20,2	08-03-2012/16:19:23.0
2012	5919	4642	11		1450597.203232	5116569.342269	82.910189	490	Locus 09	L4 08c	4	SILEX	/			PS	PN2223-2224	/	08-03-2012/16:19:55.0
2012	5919	4643	17		1450596.938113	5116568.775666	82.953933	490	Locus 09	L4 18a	4	SILEX	E3			PM/PS		2,8	08-03-2012/16:20:14.0
2012	5919	4644	12		1450597.385981	5116568.577013	82.926959	490	Locus 09	L4 18a/b	4	SILEX	/			PS		/	08-03-2012/16:20:53.0
2012	5919	4645	12		1450597.50549	5116568.670719	82.93789	490	Locus 09	L4 18b	4	SILEX	Cg			PM/PS		8,4	08-03-2012/16:21:13.0
2012	5919	4646	11		1450597.680928	5116568.77769	82.923053	490	Locus 09	L4 18b	4	SILEX	/		138	PS			08-03-2012/16:25:26.0
2012	5919	4647	11		1450597.803709	5116568.767057	82.947611	490	Locus 09	L4 18b	4	SILEX	/		138	PS		/	08-03-2012/16:25:47.0
2012	5919	4648	11		1450597.914145	5116568.836139	82.942174	490	Locus 09	L4 18b	4	SILEX	EC2/Eci		126	PS	PN2331-2345	71,7	08-03-2012/16:26:15.0
2012	5919	4649	11		1450597.024415	5116568.064568	82.937311	490	Locus 09	L4 18c	4	SILEX	LC2/Lpde		137	PS	PN2365-2380	30,3	08-03-2012/16:26:35.0
2012	5919	4650	11		1450597.018889	5116568.026475	82.934456	490	Locus 09	L4 18c	4	SILEX	Eci		138	PS		43,7	08-03-2012/16:28:42.0
2012	5919	4651	11		1450597.143333	5116568.163971	82.948963	490	Locus 09	L4 18c	4	SILEX	Lpd			PS		6,7	08-03-2012/16:39:00.0
2012	5919	4652	11		1450597.245977	5116568.183018	82.9438	490	Locus 09	L4 18c	4	SILEX	Lpd			PS		9,1	08-03-2012/16:41:08.0
2012	5919	4653	15		1450597.426722	5116568.235453	82.939857	490	Locus 09	L4 18c	4	SILEX	EC7			PM/PS		3,2	08-03-2012/16:41:34.0
2012	5919	4654	12		1450597.670022	5116568.401374	82.911212	490	Locus 09	L4 18d	4	SILEX	/		138	PS		/	08-03-2012/16:41:59.0
2012	5919	4655	11		1450597.887043	5116568.315554	82.902903	490	Locus 09	L4 18d	4	SILEX	/			PS		/	08-03-2012/16:42:31.0
2012	5919	4656	11		1450597.96889	5116568.414722	82.911487	490	Locus 09	L4 18d	4	SILEX	EC2			PS		2,9	08-03-2012/16:47:23.0
2012	5919	4657	12		1450597.522812	5116568.620591	82.926595	490	Locus 09	L4 18a	4	SILEX	Fi			PS		4,5	08-03-2012/16:47:37.0
2012	5919	4658	14		1450597.079525	5116568.361356	82.942963	490	Locus 09	L4 18c	4	SILEX	EC2		102	PM	PN2094	24,9	08-03-2012/16:47:56.0
2012	5919	4659	15		1450616.611673	5116603.085396	82.219423	490	Locus 01 (N)		5	SILEX	EL6			PM		5,3	08-03-2012/16:48:11.0
2012	5919	4660	17		1450618.848828	5116601.272507	82.287709	490	Locus 01		4b	SILEX	PL			PM		36,1	08-03-2012/16:48:29.0
2012	5919	4661	4		1450622.049613	5116587.584637	82.313135	490			4/5	Grès ferrugineux	Bfgt			PM		1100	08-03-2012/16:48:49.0
2012	5919	4662	17		1450626.663663	5116586.354847	82.266017	490			4/5	SILEX	EC0			PM		34,8	08-03-2012/16:49:02.0
2012	5919	4663	15		1450626.512529	5116587.038823	82.246778	490			4/5	SILEX	EL6			PM		7	08-03-2012/16:49:13.0
2012	5919	4664	14		1450617.342297	5116599.515677	82.23344	490	TR10		5	SILEX	NDU		46	PM		28,9	08-03-2012/16:49:34.0
2012	5919	4665	17		1450622.601107	5116588.579831	82.297868	490			4/5	SILEX	E10			PM		8,5	08-03-2012/16:49:49.0
2012	5919	4666	4		1450620.4706	5116587.602574	82.34596	490			5	Grès siliceux	Bfgt			PM		1300	08-03-2012/15:30:45.0
2012	5919	4667	15		1450626.257923	5116589.44607	82.178214	490			5	SILEX	EC0			PM		70,8	08-03-2012/15:44:42.0
2012	5919	4668	15		1450627.815283	5116588.119685	82.182685	490			4/5	SILEX	EL4			PM		34,7	08-03-2012/15:48:57.0
2012	5919	4669	15		1450628.954464	5116589.51861	82.091881	490			4/5	SILEX	E10			PM		26,9	08-03-2012/15:49:14.0
2012	5919	4670	3		1450620.994243	5116586.316075	82.300669	490			5	Quartz	Gb			PM		401,9	08-03-2012/15:49:26.0
2012	5919	4671	3		1450625.015505	5116586.221793	82.168058	490			5	Quartz	Gb			PM		397,8	08-03-2012/15:52:41.0
2012	5919	4672	15		1450625.758123	5116585.94139	82.187284	490			5	SILEX	E5	G3		PM		14,7	08-03-2012/15:53:38.0
2012	5919	4673	16		1450620.281896	5116588.187514	82.305635	490			5	SILEX	D			PM		44,3	08-03-2012/16:01:20.0
2012	5919	4674	15		1450624.254378	5116584.095448	82.191721	490			5	SILEX	D			PM		176	08-03-2012/16:01:41.0
2012	5919	4675	17		1450629.194582	5116584.376336	82.143803	490			5	SILEX	EC3			PM		/	08-03-2012/16:01:53.0
2012	5919	4676	11		1450597.05272	5116568.384338	82.944336	490	Locus 09	L4 18c	4	SILEX	E11			PS		0,4	08-03-2012/16:23:28.0
2012	5919	4677	20		1450627.276820	5116588.679676	81.962085	490			6	SILEX	Befgt			PM		744,4	08-03-2012/16:23:56.0
2012	5919	4678	17		1450600.038566	5116587.867607	82.721855	490	CP23		4/5	SILEX	E0			PM		8,5	08-03-2012/16:27:14.0
2012	5919	4679	15		1450599.971230	5116587.621188	82.719392	490	CP23		4/5	SILEX	E0			PM		6,2	08-03-2012/16:27:45.0
2012	5919	4680	16		1450627.962762	5116593.549788	82.663110	490			4	SILEX	Ni		18	PM		114,8	08-03-2012/16:29:30.0
2012	5919	4681	14		1450620.247579	5116593.663208	82.450409	490			4	SILEX	E3	G3		PM		47,4	08-03-2012/16:32:12.0
2012	5919	4682	14		1450626.912321	5116593.586409	82.169658	490			4	SILEX	Re	G10		PM		431	08-03-2012/16:40:08.0
2012	5919	4683	15		1450624.073614	5116592.297704	82.325284	490			4	SILEX	E6			PM		9	08-03-2012/16:50:07.0

Inventaire officiel 7 – Montguyon (17), « Bois Clair ». Inventaire du mobilier individualisé

ANNEE	OA	IDENTIFIANT	N°DE CAISSE	N°DE LOT	X = est	Y = nord	Z = alti NGF	PARCELLE	SECTEUR (CP/TR/ST...)	CARRE	UPS	MATERIAU	SUPPORT (cf. annexe 3)	TYPOLOGIE (cf. annexe 3)	REMONTAGES	CHRONO-CULTURE (cf. annexe 3)	CLICHE	MASSE (g.)	DATE DECOUVERTE
2012	5919	4684	1		1450621.696708	5116591.296982	82.274285	490			5	Quartzite	Gup			PM		962,8	09-03-2012/08:30:31.0
2012	5919	4685	17		1450626.491350	5116592.165530	82.216110	490			4/5	SILEX	NEO			PM		26,7	09-03-2012/09:07:39.0
2012	5919	4686	16		1450628.233256	5116593.416882	82.161685	490			4/5	SILEX	Fi		18	PM		46,8	09-03-2012/09:59:12.0
2012	5919	4687	16		1450624.392778	5116593.377431	82.230206	490			5	SILEX	EC2			PM		24,3	09-03-2012/10:56:16.0
2012	5919	4688	16		1450627.807856	5116594.620538	82.166765	490			5	SILEX	E1			PM		8,8	12-03-2012/10:02:25.0
2012	5919	4689	13		1450626.545145	5116594.630129	82.171649	490			5	SILEX	NLRC			PM		41,6	12-03-2012/10:08:09.0
2012	5919	4690	16		1450621.999243	5116593.789549	82.247812	490			5	SILEX	Cg			PM		62,5	12-03-2012/10:08:25.0
2012	5919	4691	16		1450626.761913	5116593.273118	82.142857	490			5	SILEX	Cg		18	PM		58	12-03-2012/10:21:10.0
2012	5919	4692	16		1450627.494524	5116593.905841	82.121950	490			5	SILEX	D		18	PM		78,4	12-03-2012/10:21:33.0
2012	5919	4693	16		1450626.536413	5116592.916948	82.121270	490			5	SILEX	Cg		18	PM		78,7	12-03-2012/10:21:47.0
2012	5919	4694	12		1450597.546439	5116590.116759	83.083017	490	Locus 15	I4 98	4	SILEX	/		123	PS/EPIP	PN2180-2188/2381-83	/	12-03-2012/10:29:58.0
2012	5919	4695	12		1450597.956166	5116590.649280	83.102090	490	Locus 15	I4 98	4	SILEX	Epde			PS/EPIP		1,4	12-03-2012/10:30:15.0
2012	5919	4696	12		1450598.024688	5116590.729588	83.100351	490	Locus 15	I4 98/99	4	SILEX	EC2			PS/EPIP		1,1	12-03-2012/10:30:41.0
2012	5919	4697	9		1450597.527731	5116590.978294	83.101968	490	Locus 15	I4 88/98	4	Grès ferrugineux	/		125	PS/EPIP		151,1	12-03-2012/10:42:29.0
2012	5919	4698	9		1450597.750238	5116591.139702	83.079636	490	Locus 15	I4 88	4	Grès ferrugineux	/		125	PS/EPIP		/	12-03-2012/10:42:46.0
2012	5919	4699	12		1450597.778912	5116591.111839	83.093225	490	Locus 15	I4 88	4	SILEX	E0			PS/EPIP		1,1	12-03-2012/10:42:59.0
2012	5919	4700	12		1450597.794367	5116591.143537	83.104430	490	Locus 15	I4 88	4	SILEX	E11			PS/EPIP		0,4	12-03-2012/11:01:29.0
2012	5919	4701	12		1450597.779956	5116591.141440	83.098481	490	Locus 15	I4 88	4	SILEX	E11			PS/EPIP		0,1	12-03-2012/11:51:32.0
2012	5919	4702	12		1450597.794169	5116591.119266	83.097489	490	Locus 15	I4 88	4	SILEX	E11			PS/EPIP		0,1	12-03-2012/11:51:52.0
2012	5919	4703	12		1450597.828138	5116591.005270	83.108848	490	Locus 15	I4 88	4	SILEX	E0			PS/EPIP		0,6	12-03-2012/11:52:09.0
2012	5919	4704	12		1450597.960297	5116590.997912	83.106347	490	Locus 15	I4 88/89	4	SILEX	E11			PS/EPIP		0,5	12-03-2012/11:52:47.0
2012	5919	4705	11		1450597.978425	5116591.052201	83.107323	490	Locus 15	I4 88/89	4	SILEX	Lincr			PS/EPIP		1,2	12-03-2012/11:53:18.0
2012	5919	4706	12		1450598.023372	5116591.066276	83.097514	490	Locus 15	I4 88/89	4	SILEX	Lpde		123	PS/EPIP	PN2180-2188/2381-83	3,4	12-03-2012/11:54:01.0
2012	5919	4707	12		1450598.039603	5116591.073140	83.097986	490	Locus 15	I4 88/89	4	SILEX	L/Epde			PS/EPIP		2,1	12-03-2012/11:54:20.0
2012	5919	4708	12		1450597.914495	5116591.126203	83.098505	490	Locus 15	I4 88	4	SILEX	EC2			PS/EPIP		1,4	12-03-2012/11:54:37.0
2012	5919	4709	12		1450597.946818	5116591.162530	83.101841	490	Locus 15	I4 88/89	4	SILEX	Lipde			PS/EPIP		1,1	12-03-2012/11:55:05.0
2012	5919	4710	12		1450598.042620	5116591.226500	83.102006	490	Locus 15	I4 89	4	SILEX	E/Lpde		123	PS/EPIP	PN2180-2188/2381-83	9,3	12-03-2012/11:55:28.0
2012	5919	4711	12		1450598.068563	5116591.308794	83.105858	490	Locus 15	I4 89	4	SILEX	Lpde			PS/EPIP		1,8	12-03-2012/11:56:01.0
2012	5919	4712	12		1450598.099729	5116591.311717	83.095346	490	Locus 15	I4 89	4	SILEX	LC/EC0			PS/EPIP		2,2	12-03-2012/11:56:20.0
2012	5919	4713	12		1450598.112185	5116591.317946	83.100965	490	Locus 15	I4 89	4	SILEX	Lpd		123	PS/EPIP	PN2180-2188/2381-83	3,4	12-03-2012/11:57:02.0
2012	5919	4714	12		1450598.148400	5116591.336869	83.097307	490	Locus 15	I4 89	4	SILEX	Lincr		123	PS/EPIP	PN2180-2188/2381-83	21,5	12-03-2012/11:57:15.0
2012	5919	4715	12		1450598.166985	5116591.267657	83.083423	490	Locus 15	I4 89	4	SILEX	LC2			PS/EPIP		23	12-03-2012/11:57:44.0
2012	5919	4716	12		1450598.171412	5116591.355567	83.094687	490	Locus 15	I4 89	4	SILEX	L/Epde			PS/EPIP		1,5	12-03-2012/11:58:01.0
2012	5919	4717	12		1450598.176620	5116591.359773	83.086879	490	Locus 15	I4 89	4	SILEX	E11			PS/EPIP		0,7	12-03-2012/11:58:39.0
2012	5919	4718	12		1450598.171717	5116591.355087	83.088777	490	Locus 15	I4 89	4	SILEX	LI/Epde			PS/EPIP		0,1	12-03-2012/11:59:09.0
2012	5919	4719	18		1450598.193799	5116591.342921	83.087122	490	Locus 15	I4 89	4	SILEX	F/E11x2			PS/EPIP		0,9	12-03-2012/11:59:29.0
2012	5919	4720	12		1450598.289340	5116591.408277	83.075487	490	Locus 15	I4 89	4	SILEX	Lpde		123	PS/EPIP	PN2180-2188/2381-83	11,1	12-03-2012/11:59:46.0
2012	5919	4721	12		1450598.158808	5116591.456605	83.078305	490	Locus 15	I4 89	4	SILEX	E0			PS/EPIP		0,9	12-03-2012/12:00:16.0
2012	5919	4722	18		1450598.104675	5116591.415204	83.084367	490	Locus 15	I4 89	4	SILEX	F/E11x2			PS/EPIP		1,4	12-03-2012/12:01:00.0
2012	5919	4723	12		1450598.087991	5116591.415739	83.075052	490	Locus 15	I4 89	4	SILEX	LC2/Lpde			PS/EPIP		1,1	12-03-2012/12:02:10.0
2012	5919	4724	12		1450598.068601	5116591.390428	83.085560	490	Locus 15	I4 89	4	SILEX	EC1			PS/EPIP		1,2	12-03-2012/12:02:32.0
2012	5919	4725	18		1450598.038027	5116591.408780	83.081802	490	Locus 15	I4 89	4	SILEX	F/E11x3			PS/EPIP		1	12-03-2012/12:02:51.0
2012	5919	4726	12		1450597.956782	5116591.423352	83.086543	490	Locus 15	I4 88/89	4	SILEX	Lipde			PS/EPIP		0,9	12-03-2012/12:03:55.0
2012	5919	4727	12		1450597.987683	5116591.494329	83.077189	490	Locus 15	I4 88/89	4	SILEX	Lpd		123	PS/EPIP	PN2180-2188/2381-83	5,8	12-03-2012/12:05:17.0
2012	5919	4728	12		1450598.054821	5116591.574071	83.073598	490	Locus 15	I4 89	4	SILEX	Epde			PS/EPIP		0,5	12-03-2012/12:05:58.0
2012	5919	4729	12		1450598.105491	5116591.513888	83.063451	490	Locus 15	I4 89	4	SILEX	EC2		124	PS/EPIP		9,7	12-03-2012/12:07:29.0
2012	5919	4730	12		1450598.255541	5116591.190022	83.085467	490	Locus 15	I4 89	4	SILEX	EC1/E11			PS/EPIP		0,5	12-03-2012/12:07:40.0
2012	5919	4731	12		1450598.250074	5116591.121832	83.074609	490	Locus 15	I4 89	4	SILEX	Fi			PS/EPIP		0,3	12-03-2012/12:08:02.0
2012	5919	4732	12		1450598.191266	5116591.178022	83.080335	490	Locus 15	I4 89	4	SILEX	EC0			PS/EPIP		2	12-03-2012/12:08:52.0
2012	5919	4733	12		1450598.154715	5116591.133642	83.092459	490	Locus 15	I4 89	4	SILEX	E11		123	PS/EPIP	PN2180-2188/2381-83	0,1	12-03-2012/12:09:26.0
2012	5919	4734	12		1450598.187135	5116591.030668	83.083662	490	Locus 15	I4 89	4	SILEX	E/Lpde		123	PS/EPIP	PN2180-2188/2381-83	16,8	12-03-2012/12:09:47.0
2012	5919	4735	12		1450598.204369	5116591.362795	83.075712	490	Locus 15	I4 89	4	SILEX	Lpde		123	PS/EPIP	PN2180-2188/2381-83	18,3	12-03-2012/12:10:49.0
2012	5919	4736	12		1450598.016002	5116591.416530	83.087900	490	Locus 15	I4 89	4	SILEX	Lpd			PS/EPIP		0,4	12-03-2012/12:10:10.0
2012	5919	4737	12		1450597.975170	5116591.485848	83.077076	490	Locus 15	I4 88/89	4	SILEX	/		123	PS/EPIP	PN2180-2188/2381-83	/	12-03-2012/12:12:52.0
2012	5919	4738	12		1450597.952056	5116591.160495	83.081237	490	Locus 15	I4 88/89	4	SILEX	L/Epde			PS/EPIP		1,8	12-03-2012/12:13:15.0
2012	5919	4739	15		1450622.708527	5116591.741075	81.582701	490			6	SILEX	Fi			PM		3,9	12-03-2012/12:13:36.0
2012	5919	4740	18		1450599.780785	5116589.182986	82.669179	490	CP23		5	SILEX	NK			PM		67,8	12-03-2012/12:13:50.0
2012	5919	4741	17		1450621.104770	5116593.233466	82.276498	490			5	SILEX	ENC2			PM		56,2	12-03-2012/12:14:18.0

Inventaire officiel 7 – Montguyon (17), « Bois Clair ». Inventaire du mobilier individualisé

ANNEE	OA	IDENTIFIANT	N°DE CAISSE	N°DE LOT	X = est	Y = nord	Z = alti NGF	PARCELLE	SECTEUR (CP/TR/ST...)	CARRE	UPS	MATERIAU	SUPPORT (cf. annexe 3)	TYPOLOGIE (cf. annexe 3)	REMONTAGES	CHRONO-CULTURE (cf. annexe 3)	CLICHE	MASSE (g.)	DATE DECOUVERTE
2012	5919	4742	16		1450625.887943	5116594.396338	82.184873	490			5	SILEX	Ni			PM		32,7	12-03-2012/13:43:33.0
2012	5919	4743	13		1450624.399899	5116594.804130	82.187136	490			5	SILEX	NFB			PM		396,5	12-03-2012/13:43:45.0
2012	5919	4744	15		1450623.848464	5116594.315779	82.166965	490			5	SILEX	E5			PM		50,9	12-03-2012/13:53:20.0
2012	5919	4745	15		1450625.219734	5116592.444837	82.156170	490			5	SILEX	E0			PM		7,3	12-03-2012/13:53:33.0
2012	5919	4746	15		1450626.320724	5116594.312338	82.156761	490			5	SILEX	ENC1			PM		4,7	12-03-2012/14:00:43.0
2012	5919	4747	17		1450626.256454	5116593.393478	82.107042	490			5	SILEX	E2			PM		8,6	12-03-2012/13:55:46.0
2012	5919	4748	13		1450620.250196	5116592.929456	82.274287	490			5	SILEX	E3		4	PM		11,2	12-03-2012/11:09:36.0
2012	5919	4749	16		1450620.948341	5116592.291677	82.226594	490			5	SILEX	E0			PM		24	12-03-2012/11:09:52.0
2012	5919	4750	15		1450621.962364	5116594.289959	82.188411	490			5	SILEX	EC1	G2		PM		56,5	12-03-2012/11:17:45.0
2012	5919	4751	16		1450623.181733	5116594.070270	82.095019	490			5	SILEX	Bt			PM		549	12-03-2012/11:24:24.0
2012	5919	4752	18		1450621.546028	5116591.696116	81.984883	490			6	SILEX	EC7			PM		35,8	12-03-2012/11:24:41.0
2012	5919	4753	15		1450621.086401	5116591.591861	82.022930	490			6	SILEX	E5			PM		5	12-03-2012/11:25:00.0
2012	5919	4754	15		1450622.679259	5116596.957840	82.401725	490			4	SILEX	EC0			PM		141	12-03-2012/11:30:35.0
2012	5919	4755	17		1450622.161475	5116596.235115	82.326519	490			4	SILEX	NB			PM		210	12-03-2012/11:30:54.0
2012	5919	4756	14		1450619.489812	5116597.428955	82.298330	490	Locus 01		4/5	SILEX	E0		92	PM	PN2104-2106	22,7	12-03-2012/11:39:30.0
2012	5919	4757	15		1450620.238196	5116596.390927	82.169070	490			5	SILEX	E5			PM		21,2	12-03-2012/11:39:43.0
2012	5919	4758	17		1450618.661318	5116596.966007	82.141671	490			5	SILEX	E0			PM		38,6	12-03-2012/11:49:19.0
2012	5919	4759	16		1450599.671223	5116589.252520	82.738184	490	CP23		5	SILEX	E11			PM		1	12-03-2012/13:30:08.0
2012	5919	4760	18		1450622.664384	5116596.567490	82.232593	490			5	SILEX	EC3			PM		27,8	12-03-2012/13:30:21.0
2012	5919	4761	17		1450620.028268	5116597.114671	81.986107	490			5	SILEX	EC3			PM		34,2	12-03-2012/14:33:23.0
2012	5919	4762	17		1450621.736313	5116597.833236	82.027583	490			5	SILEX	EC3			PM		58,2	12-03-2012/14:37:44.0
2012	5919	4763	2		1450621.809887	5116597.769484	82.009728	490			5	Quartzite	Gb			PM		245,3	12-03-2012/14:45:53.0
2012	5919	4764	15		1450599.640626	5116589.392305	82.703375	490	CP23		5	SILEX	E5			PM		16,1	12-03-2012/14:58:09.0
2012	5919	4765	15		1450617.695527	5116596.436870	81.834494	490			6	SILEX	EL6			PM		9,6	12-03-2012/14:59:35.0
2012	5919	4798	16		1450631.885458	5116597.308515	82.369270	490			4	SILEX	E2			PM		2,8	12-03-2012/15:00:37.0
2012	5919	4799	13		1450631.446234	5116598.158450	82.282386	490			4	SILEX	Ni			PM		20,7	12-03-2012/15:02:01.0
2012	5919	4800	15		1450631.209368	5116596.852414	82.242005	490			4	SILEX	ENC1			PM		368,4	12-03-2012/15:17:05.0
2012	5919	4801	16		1450627.419995	5116596.441708	82.194416	490			5	SILEX	D		18	PM		23,4	12-03-2012/15:24:19.0
2012	5919	4802	16		1450628.829012	5116600.028169	82.141928	490			4	SILEX	D			PM		60,9	12-03-2012/15:24:31.0
2012	5919	4803	18		1450631.485561	5116596.013171	82.066905	490			5	SILEX	NLP			PM		86,5	12-03-2012/15:35:26.0
2012	5919	4804	9		1450595.670688	5116597.527663	82.886959	490	Locus 14		4a	Grès ferrugineux	Pfgt			PM/PS		2500	12-03-2012/15:36:04.0
2012	5919	4805	7		1450595.544713	5116597.441082	82.881496	490	Locus 14		4a	Grès ferrugineux	Pfgt			PM/PS		1300	12-03-2012/16:48:50.0
2012	5919	4806	12		1450598.265646	5116591.306103	83.060697	490	Locus 15	I4 89	4	SILEX	EC1			PS/EPIP		5,8	12-03-2012/16:49:02.0
2012	5919	4807	12		1450598.307970	5116591.362919	83.037833	490	Locus 15	I4 89	4	SILEX	/		123	PS/EPIP	PN2180-2188/2381-83	/	12-03-2012/16:49:12.0
2012	5919	4808	12		1450598.342965	5116591.346391	83.038053	490	Locus 15	I4 89	4	SILEX	EC1			PS/EPIP		1	13-03-2012/08:34:14.0
2012	5919	4809	12		1450598.303652	5116591.418383	83.043527	490	Locus 15	I4 89	4	SILEX	Lpde			PS/EPIP		2,9	13-03-2012/08:56:46.0
2012	5919	4810	12		1450598.148008	5116591.549733	83.052837	490	Locus 15	I4 89	4	SILEX	/		123	PS/EPIP	PN2180-2188/2381-83	/	13-03-2012/09:05:21.0
2012	5919	4811	12		1450598.105892	5116591.543501	83.063068	490	Locus 15	I4 89	4	SILEX	Lpd		123	PS/EPIP	PN2180-2188/2381-83	23	13-03-2012/10:26:24.0
2012	5919	4812	12		1450598.049185	5116591.575436	83.052224	490	Locus 15	I4 89	4	SILEX	Lpde			PS/EPIP		0,2	13-03-2012/10:27:55.0
2012	5919	4813	12		1450598.061346	5116591.595049	83.047866	490	Locus 15	I4 89	4	SILEX	Lpde		123	PS/EPIP	PN2180-2188/2381-83	1,5	13-03-2012/10:33:23.0
2012	5919	4814	12		1450598.025207	5116591.568701	83.061014	490	Locus 15	I4 88/89	4	SILEX	Fi			PS/EPIP		0,1	13-03-2012/10:33:49.0
2012	5919	4815	12		1450597.969877	5116591.743037	83.057174	490	Locus 15	I4 88/89	4	SILEX	EC2		124	PS/EPIP		8,1	13-03-2012/10:34:39.0
2012	5919	4816	11		1450597.935950	5116591.142584	83.072357	490	Locus 15	I4 88/89	4	SILEX	Lpd			PS/EPIP		0,7	13-03-2012/10:34:50.0
2012	5919	4817	12		1450598.624995	5116591.236634	83.038653	490	Locus 15	I4 89	4	SILEX	Ni		123	PS/EPIP	PN2180-2188/2381-83	110,5	13-03-2012/10:35:05.0
2012	5919	4818	12		1450597.987651	5116591.516291	83.061401	490	Locus 15	I4 88/89	4	SILEX	EC2/Ecr		123	PS/EPIP	PN2180-2188/2381-83	18,8	13-03-2012/10:35:31.0
2012	5919	4819	12		1450597.990980	5116591.540815	83.070466	490	Locus 15	I4 88/89	4	SILEX	EC2			PS/EPIP		0,8	13-03-2012/10:36:11.0
2012	5919	4820	12		1450597.856654	5116591.571164	83.056949	490	Locus 15	I4 88b	4	SILEX	E0/E11			PS/EPIP		0,1	13-03-2012/10:36:22.0
2012	5919	4821	12		1450597.864517	5116591.587328	83.060801	490	Locus 15	I4 88b	4	SILEX	E11			PS/EPIP		0,1	13-03-2012/10:36:41.0
2012	5919	4822	12		1450595.997113	5116597.096288	82.908434	490			4a	SILEX	ENC1			PM/PS		11,4	13-03-2012/10:37:03.0
2012	5919	4823	12		1450597.927747	5116591.125164	83.052947	490	Locus 15	I4 88/89	4	SILEX	EC1/E11			PS/EPIP		0,2	13-03-2012/10:37:29.0
2012	5919	4824	16		1450593.041462	5116594.670371	82.701922	490	Locus 14		5	SILEX	EC0			PM		8,6	13-03-2012/10:37:51.0
2012	5919	4825	12		1450597.525860	5116593.301712	83.129166	490			4a	SILEX	EC3			PS/EPIP		4,9	13-03-2012/10:38:18.0
2012	5919	4826	15		1450595.048783	5116591.735790	83.130140	490			4a	SILEX	EC2			PM/PS		4,9	13-03-2012/10:38:46.0
2012	5919	4827	16		1450596.799104	5116594.873220	82.440614	490			5	SILEX	Cg			PM		6,4	13-03-2012/10:39:00.0
2012	5919	4828	15		1450596.178197	5116592.640481	83.088046	490	Locus 15		4a	SILEX	EL1			PS/EPIP		9,5	13-03-2012/10:39:23.0
2012	5919	4829	12		1450596.682268	5116591.391000	83.101019	490	Locus 15		4a	SILEX	Lncr			PS/EPIP		2,2	13-03-2012/10:30:56.0
2012	5919	4830	15		1450596.104300	5116592.440377	82.969589	490	Locus 15		4	SILEX	EC3			PM/PS		19,2	13-03-2012/10:48:20.0
2012	5919	4831	13		1450594.269899	5116591.144860	82.932700	490	Locus 15		5	SILEX	/		30	PM	PN2073-2074	27,6	13-03-2012/10:49:37.0

Inventaire officiel 7 – Montguyon (17), « Bois Clair ». Inventaire du mobilier individualisé

ANNEE	OA	IDENTIFIANT	N°DE CAISSE	N°DE LOT	X = est	Y = nord	Z = alti NGF	PARCELLE	SECTEUR (CP/TR/ST...)	CARRE	UPS	MATERIAU	SUPPORT (cf. annexe 3)	TYPOLOGIE (cf. annexe 3)	REMONTAGES	CHRONO-CULTURE (cf. annexe 3)	CLICHE	MASSE (g.)	DATE DECOUVERTE
2012	5919	4832	13		1450594.193471	5116591.074587	82.914081	490	Locus 15		5	SILEX	NDU		30	PM	PN2073-2074	14,8	13-03-2012/11:07:45.0
2012	5919	4836	16		1450595.323534	5116592.512714	82.771365	490	Locus 15		5	SILEX	ENC7			PM		4,3	13-03-2012/11:08:08.0
2012	5919	4837	15		1450595.331314	5116592.085778	82.769837	490	Locus 15		5	SILEX	EC1			PM		67,7	13-03-2012/11:17:07.0
2012	5919	4838	16		1450595.454433	5116591.566286	82.791384	490	Locus 15		5	SILEX	Ef			PM		5,2	13-03-2012/11:17:22.0
2012	5919	4839	17		1450596.600470	5116593.260529	82.721442	490	Locus 15		5	SILEX	EC3			PM		34,3	13-03-2012/11:20:57.0
2012	5919	4840	15		1450594.598144	5116591.229773	82.759076	490	Locus 15		5	SILEX	E0			PM		7,3	13-03-2012/11:27:16.0
2012	5919	4841	12		1450594.863583	5116592.477708	82.727813	490	Locus 15		5	SILEX	E10			PM		7,5	13-03-2012/11:33:32.0
2012	5919	4842	16		1450594.752877	5116590.881906	82.670538	490	Locus 15		5	SILEX	Bb			PM		137,1	13-03-2012/11:33:41.0
2012	5919	4843	17		1450596.189708	5116591.966858	82.598960	490	Locus 15		5	SILEX	EC2			PM		75	13-03-2012/11:44:35.0
2012	5919	4844	15		1450596.719715	5116592.260210	82.571514	490	Locus 15, sous le		5	SILEX	E5			PM		4,5	13-03-2012/11:44:45.0
2012	5919	4845	17		1450595.871290	5116592.313245	82.467262	490	Locus 15, sous le		6	SILEX	E0	G2		PM		22,5	13-03-2012/11:46:50.0
2012	5919	4846	13		1450599.771204	5116585.718596	82.583714	490	Locus 12		5	SILEX	EC2		73	PM		58,3	13-03-2012/11:51:01.0
2012	5919	4847	17		1450599.529291	5116586.066952	82.614457	490	Locus 12		5	SILEX	LL2			PM		9,4	13-03-2012/11:54:17.0
2012	5919	4848	13		1450600.289247	5116585.846746	82.583439	490	Locus 12		5	SILEX	EL4		78	PM	PN2109-2113	125	13-03-2012/11:57:06.0
2012	5919	4849	5		1450601.408960	5116581.474010	82.482939	490			5	Grès siliceux	Bb			PM		2300	13-03-2012/12:06:56.0
2012	5919	4850	17		1450599.537687	5116582.215841	82.483014	490			6	SILEX	NB			PM		60,1	13-03-2012/12:14:45.0
2012	5919	4851	13		1450599.171971	5116586.129186	82.560020	490	Locus 12		5	SILEX	EC2		74	PM		182,8	13-03-2012/12:21:41.0
2012	5919	4852	13		1450599.442959	5116586.014473	82.556742	490	Locus 12		5	SILEX	LL2		76	PM	PN2121	38	13-03-2012/13:40:01.0
2012	5919	4853	14		1450599.343967	5116585.733607	82.528366	490	Locus 12		5	SILEX	E6		77	PM	PN2114-2116	45,5	13-03-2012/14:25:42.0
2012	5919	4854	13		1450598.170507	5116584.088392	82.383445	490			6	SILEX	EL3		78	PM	PN2109-2113	15,3	13-03-2012/14:37:23.0
2012	5919	4855	17		1450599.487883	5116585.768179	82.524093	490	Locus 12		5	SILEX	LL2			PM		18,5	13-03-2012/14:37:35.0
2012	5919	4856	13		1450600.313668	5116586.032296	82.484476	490	Locus 12		5	SILEX	NLRB		78	PM	PN2109-2113	329	13-03-2012/14:37:50.0
2012	5919	4857	17		1450600.369873	5116582.532968	82.313184	490			6	SILEX	NFC			PM		141,1	13-03-2012/14:46:36.0
2012	5919	4858	13		1450599.022557	5116582.974469	82.306937	490			6	SILEX	NTE			PM	PN2138-2139	38	13-03-2012/14:46:49.0
2012	5919	4859	13		1450599.479241	5116585.966615	82.514058	490	Locus 12		5	SILEX	EC2		73	PM		111,9	13-03-2012/14:54:17.0
2012	5919	4860	17		1450599.413496	5116585.683373	82.490264	490	Locus 12		5	SILEX	E1			PM		1,8	13-03-2012/15:03:49.0
2012	5919	4861	17		1450600.220030	5116580.798639	82.380970	490			6	SILEX	EC2			PM		15,2	13-03-2012/15:04:03.0
2012	5919	4862	16		1450600.218975	5116585.062101	82.434837	490			6	SILEX	Fi			PM		4	13-03-2012/15:12:59.0
2012	5919	4863	15		1450600.654709	5116586.276299	82.296003	490			6	SILEX	E1			PM		8,2	13-03-2012/15:13:11.0
2012	5919	4864	12		1450600.207349	5116597.048015	82.950867	490	Locus 13		4	SILEX	E10/Enc		117	PS/EPIP		18,3	13-03-2012/15:13:24.0
2012	5919	4865	12		1450601.102154	5116597.356316	82.960577	490	Locus 13		4	SILEX	Lncr		118	PS/EPIP		13	13-03-2012/15:18:00.0
2012	5919	4866	12		1450600.897755	5116597.950644	82.951847	490	Locus 13		4	SILEX	EC2/Epde		118	PS/EPIP		21,4	13-03-2012/15:18:15.0
2012	5919	4867	16		1450602.641938	5116598.090336	82.921645	490	Locus 13		4	SILEX	Cg			PM/PS		4	13-03-2012/15:24:52.0
2012	5919	4868	16		1450601.354292	5116594.260680	82.856851	490	Locus 13		4	SILEX	E0			PM/PS		2,1	13-03-2012/15:25:11.0
2012	5919	4869	12		1450600.257326	5116594.150869	82.694032	490			5	SILEX	EL	G5		PM	PN2162	50,5	13-03-2012/15:30:05.0
2012	5919	4870	15		1450600.182159	5116594.535463	82.701504	490			5	SILEX	EL6			PM		2,9	13-03-2012/15:37:19.0
2012	5919	4871	17		1450599.640096	5116594.885820	82.716362	490			5	SILEX	Ni			PM		31,3	13-03-2012/16:10:43.0
2012	5919	4872	17		1450602.035137	5116595.663541	82.585557	490			5	SILEX	NK			PM		129,4	13-03-2012/16:11:02.0
2012	5919	4873	14		1450599.560463	5116594.914696	82.650577	490			5	SILEX	EC3	G9		PM		25,9	13-03-2012/16:11:13.0
2012	5919	4874	14		1450598.829857	5116594.021999	82.648237	490			5	SILEX	EC1	G2		PM		20,2	13-03-2012/16:11:28.0
2012	5919	4875	16		1450600.330886	5116595.199112	82.665716	490			5	SILEX	EC3			PM		5,9	13-03-2012/16:22:26.0
2012	5919	4876	16		1450603.217716	5116597.501158	82.550597	490			5	SILEX	E11			PM		1,6	13-03-2012/16:38:51.0
2012	5919	4877	16		1450601.360313	5116595.661404	82.590596	490			5	SILEX	D			PM		4,9	13-03-2012/16:42:02.0
2012	5919	4878	16		1450598.585118	5116594.241310	82.606541	490			5	SILEX	ENC1			PM		2,3	13-03-2012/16:45:55.0
2012	5919	4879	16		1450599.917040	5116595.311749	82.587272	490			5	SILEX	Ni			PM		23,7	13-03-2012/16:46:09.0
2012	5919	4880	18		1450598.828948	5116594.097529	82.584222	490	Locus 13 (N)		5	SILEX	EC1			PM		17,2	13-03-2012/16:49:49.0
2012	5919	4881	15		1450600.824895	5116594.977848	82.583552	490	Locus 13 (N)		5	SILEX	Fi			PM		3,4	14-03-2012/08:25:04.0
2012	5919	4882	2		1450598.468165	5116593.859472	82.496107	490	Locus 13 (N)		5	Quartzite	Gup?			PM		332,4	14-03-2012/08:25:15.0
2012	5919	4891	16		1450618.585622	5116579.064895	82.697997	490	Locus 16	K6 09	4	SILEX	Fi			PM		2,9	14-03-2012/08:25:29.0
2012	5919	4892	13		1450618.807507	5116580.168434	82.732148	490	Locus 16	J6 99d	4	SILEX	E5		33	PM	PN2055	42,2	14-03-2012/08:32:05.0
2012	5919	4893	13		1450618.768476	5116580.321531	82.728612	490	Locus 16	J6 99d	4	SILEX	EC2		33	PM	PN2087-2087	69,6	14-03-2012/08:37:57.0
2012	5919	4894	17		1450618.975155	5116580.150883	82.711078	490	Locus 16	J6 99d/100b	4	SILEX	EC7			PM		5,2	14-03-2012/08:38:16.0
2012	5919	4895	*		1450619.159839	5116579.972297	82.700343	490	Locus 16	J6 100b/K6 10a	4	SILEX	Fi			PM		4,2	14-03-2012/08:40:30.0
2012	5919	4896	15		1450619.168889	5116579.988019	82.700461	490	Locus 16	J6 100b/K6 10a	4	SILEX	E5		81	PM	PN2070-2072	0,4	14-03-2012/08:40:52.0
2012	5919	4897	14		1450619.211312	5116579.697703	82.696891	490	Locus 16	K6 10a	4	SILEX	ENC1		81	PM	PN2070-2072	64,6	14-03-2012/08:50:53.0
2012	5919	4898	14		1450619.375975	5116579.619120	82.697950	490	Locus 16	K6 10a	4	SILEX	EC1		81	PM	PN2070-2072	63,8	14-03-2012/09:23:14.0
2012	5919	4899	14		1450619.574553	5116579.702451	82.727203	490	Locus 16	K6 10	4	SILEX	ENC1		81	PM	PN2070-2072	22,5	14-03-2012/09:23:29.0
2012	5919	4900	14		1450619.536273	5116579.695871	82.701335	490	Locus 16	K6 10	4	SILEX	ENC1		81	PM	PN2070-2072	137,9	14-03-2012/09:23:40.0

Inventaire officiel 7 – Montguyon (17), « Bois Clair ». Inventaire du mobilier individualisé

ANNEE	OA	IDENTIFIANT	N°DE CAISSE	N°DE LOT	X = est	Y = nord	Z = alti NGF	PARCELLE	SECTEUR (CP/TR/ST...)	CARRE	UPS	MATERIAU	SUPPORT (cf. annexe 3)	TYPOLOGIE (cf. annexe 3)	REMONTAGES	CHRONO-CULTURE (cf. annexe 3)	CLICHE	MASSE (g.)	DATE DECOUVERTE
2012	5919	4901	14		1450619.611406	5116579.841850	82.688785	490	Locus 16	K6 10	4	SILEX	NDU		81	PM	PN2070-2072	84,8	14-03-2012/09:23:50.0
2012	5919	4902	14		1450619.680855	5116579.826284	82.687070	490	Locus 16	K6 10	4	SILEX	EC1		81	PM	PN2070-2072	35	14-03-2012/09:24:07.0
2012	5919	4903	14		1450620.108769	5116579.140179	82.688342	490	Locus 16	K7 01c	4	SILEX	EC2		81	PM	PN2070-2072	19	14-03-2012/09:24:16.0
2012	5919	4904	16		1450619.894122	5116580.615988	82.697636	490	Locus 16	J6 100b	4	SILEX	E10			PM		1,9	14-03-2012/09:24:37.0
2012	5919	4905	14		1450622.567351	5116581.262145	82.659885	490	Locus 16	J7 83	4	SILEX	E5		81	PM	PN2070-2072	15,5	14-03-2012/09:24:51.0
2012	5919	4906	16		1450619.288761	5116579.319569	82.696453	490	Locus 16	K6 10	4	SILEX	E11			PM		0,1	14-03-2012/09:25:04.0
2012	5919	4907	12		1450601.278188	5116597.400842	82.963446	490	Locus 13		4a	SILEX	E11/Epde			PS/EPIP		0,1	14-03-2012/09:25:15.0
2012	5919	4908	12		1450601.092981	5116597.323322	82.954451	490	Locus 13		4a	SILEX	E11			PS/EPIP		1,1	14-03-2012/09:25:31.0
2012	5919	4909	12		1450601.059972	5116597.296466	82.931301	490	Locus 13		4a	SILEX	/		118	PS/EPIP		/	14-03-2012/09:25:43.0
2012	5919	4910	12		1450601.043710	5116597.199160	82.942372	490	Locus 13		4a	SILEX	E10/Epde		117	PS/EPIP		7,7	14-03-2012/09:26:10.0
2012	5919	4911	12		1450601.102577	5116597.213884	82.935715	490	Locus 13		4a	SILEX	ENC2			PS/EPIP		25,5	14-03-2012/09:26:27.0
2012	5919	4912	18		1450600.848239	5116597.233806	82.949297	490	Locus 13		4a	SILEX	ENC0			PS/EPIP		7,4	14-03-2012/09:26:44.0
2012	5919	4913	12		1450600.917746	5116597.284362	82.968162	490	Locus 13		4a	SILEX	Fi			PS/EPIP		1	14-03-2012/09:27:07.0
2012	5919	4922	12		1450599.421934	5116597.331040	82.954893	490	Locus 13 (N)		4a	SILEX	EC2	re		PS/EPIP		38,6	14-03-2012/09:58:13.0
2012	5919	4923	18		1450598.033191	5116595.093737	82.605271	490	Locus 13 (N)		4b/5	SILEX	EC2			PM		14,5	14-03-2012/09:58:25.0
2012	5919	4928	16		1450598.701704	5116594.887570	82.447286	490	Locus 13 (N)		5	SILEX	E10			PM		0,9	14-03-2012/09:58:35.0
2012	5919	4940	20		1450597.810518	5116595.879867	82.319966	490	Locus 13 (N)		5/6	SILEX	D			PM		671,4	14-03-2012/09:59:21.0
2012	5919	4941	18		1450597.591286	5116595.455669	82.215570	490	Locus 13 (N)		6	SILEX	ENC1			PM		137,2	14-03-2012/09:59:53.0
2012	5919	4942	14		1450600.982915	5116597.203930	82.545388	490	Locus 13 (N)		4b/5	SILEX	EL1			PM		19,7	14-03-2012/10:00:30.0
2012	5919	4943	15		1450591.323146	5116594.649020	82.252521	490	CP19		6	SILEX	E5			PM		13,9	14-03-2012/10:00:46.0
2012	5919	4944	15		1450593.817083	5116596.438308	81.572433	490	CP19		6	SILEX	E0			PM		112,5	14-03-2012/10:29:22.0
2012	5919	4945	17		1450623.002266	5116598.817159	82.106994	490			5	SILEX	EL0			PM		60,1	14-03-2012/10:46:10.0
2012	5919	4946	16		1450627.043381	5116606.282779	82.260212	490			4/5	SILEX	EC1			PM		30,2	14-03-2012/10:54:44.0
2012	5919	4947	16		1450597.338704	5116591.428925	82.815031	490	Locus 15	I4 88	6	SILEX	Cg			PM		3,6	14-03-2012/11:02:55.0
2012	5919	4948	16		1450592.044794	5116671.139908	83.077894	490	Locus 11	K4 83	4	SILEX	Cg			PM/PS		8,2	14-03-2012/11:09:37.0
2012	5919	4949	16		1450591.485992	5116572.268162	83.130885	490	Locus 11	K4 72	4	SILEX	E1pdf			PM		4,2	14-03-2012/11:32:02.0
2012	5919	4950	16		1450591.716047	5116572.398081	83.120988	490	Locus 11	K4 72	4	SILEX	ENC3			PM/PS		6,4	14-03-2012/14:32:28.0
2012	5919	4951	14		1450619.340742	5116579.748118	82.641500	490	Locus 16	K6 10a	4	SILEX	EC2		81	PM	PN2070-2072	20,5	14-03-2012/14:32:59.0
2012	5919	4952	14		1450619.684398	5116579.539164	82.662931	490	Locus 16	K6 10b	4	SILEX	/		81	PM	PN2070-2072	/	14-03-2012/14:34:22.0
2012	5919	4953	2		1450620.838010	5116608.738804	82.211986	490			4	Quartzite	Gb			PM/PS		666,9	14-03-2012/15:42:18.0
2012	5919	4954	14		1450623.242065	5116605.433267	82.059073	490			4/5	SILEX	EL1			PM		37,5	14-03-2012/15:44:15.0
2012	5919	4955	14		1450622.878252	5116608.959949	81.990055	490			4	SILEX	NLRU	G6		PM		208,3	14-03-2012/16:00:45.0
2012	5919	4956	16		1450621.909997	5116580.264305	82.633106	490	Locus 16		4	SILEX	EC3			PM		14	14-03-2012/16:01:08.0
2012	5919	4957	17		1450623.027155	5116580.315504	82.649708	490	Locus 16		4	SILEX	EC1			PM		11,1	14-03-2012/16:01:21.0
2012	5919	4958	16		1450619.021001	5116578.787450	82.662560	490	Locus 16		4	SILEX	EL1			PM		43,3	14-03-2012/16:08:15.0
2012	5919	4959	16		1450591.231310	5116571.413062	83.084699	490	Locus 11	K4 82d	4	SILEX	EC2		99	PM		126,3	14-03-2012/16:08:31.0
2012	5919	4960	14		1450618.976419	5116579.916779	82.611063	490	Locus 16		4	SILEX	EC2		81	PM	PN2070-2072	40,3	15-03-2012/08:27:15.0
2012	5919	4961	16		1450621.643594	5116582.750763	82.620706	490	Locus 16		4	SILEX	EC3			PM		9,9	15-03-2012/08:40:16.0
2012	5919	4962	11		1450592.074939	5116572.151575	83.128213	490	Locus 11	K4 73c	4	SILEX	E11			PS		0,2	15-03-2012/09:00:35.0
2012	5919	4963	12		1450592.414478	5116572.525791	83.087731	490	Locus 11	K4 73b	4	SILEX	E/Lpde			PS		2,3	15-03-2012/09:49:04.0
2012	5919	4964	14		1450592.463366	5116572.680510	83.075245	490	Locus 11	K4 73b	4	SILEX	ENC2		94	PM	PN2060/2304-2306	57,9	15-03-2012/09:49:21.0
2012	5919	4965	14		1450592.523684	5116572.703475	83.103081	490	Locus 11	K4 73b	4	SILEX	EC2		94	PM	PN2060/2304-2306	13,8	15-03-2012/09:58:22.0
2012	5919	4966	11		1450592.545417	5116572.699307	83.094265	490	Locus 11	K4 73b	4	SILEX	Fi/Cg			PS		0,1	15-03-2012/10:21:18.0
2012	5919	4967	14		1450592.650318	5116572.939741	83.061827	490	Locus 11	K4 73b	4	SILEX	ENC1		94	PM	PN2060/2304-2306	111,7	15-03-2012/10:23:27.0
2012	5919	4968	16		1450591.352136	5116571.975147	83.083154	490	Locus 11	K4 72c	4	SILEX	E10			PM		7,6	15-03-2012/10:23:46.0
2012	5919	4969	16		1450622.709789	5116580.121819	82.569638	490	Locus 16		4	SILEX	E3			PM		19,6	15-03-2012/10:35:01.0
2012	5919	4970	16		1450624.200921	5116580.520954	82.586115	490	Locus 16		4	SILEX	D			PM		23,4	15-03-2012/10:35:18.0
2012	5919	4971	13		1450623.919703	5116580.857470	82.556048	490	Locus 20		4	SILEX	NDU		83	PM		107,4	15-03-2012/10:35:28.0
2012	5919	4972	13		1450623.816922	5116580.955909	82.534956	490	Locus 20		4	SILEX	E4		83	PM		9,3	15-03-2012/10:35:38.0
2012	5919	4973	1		1450619.873211	5116578.781001	82.428924	490	Locus 16		5	Quartzite	Gui			PM		703,5	15-03-2012/10:35:54.0
2012	5919	4974	16		1450621.154794	5116579.831839	82.376759	490	Locus 16		5	SILEX	E1			PM		5	15-03-2012/10:36:08.0
2012	5919	4975	16		1450623.098378	5116580.289087	82.333965	490	Locus 16		5	SILEX	Fi			PM		16,3	15-03-2012/10:36:23.0
2012	5919	4976	14		1450591.881534	5116572.639090	83.025844	490	Locus 11	K4 72b	4	SILEX	EC1		94	PM	PN2060/2304-2306	66,9	15-03-2012/10:34:21.0
2012	5919	4977	11		1450591.633639	5116572.351428	83.044160	490	Locus 11	K4 72d	4	SILEX	EC2			PS		0,8	15-03-2012/10:45:38.0
2012	5919	4978	3		1450617.543829	5116578.810501	82.477074	490	Locus 16		4	Quartz	Gup?			PM		455,9	15-03-2012/10:45:47.0
2012	5919	4979	1		1450614.599779	5116578.883763	82.618244	490	Locus 16		4	Quartzite	Gup			PM		420,3	15-03-2012/10:53:58.0
2012	5919	4980	18		1450616.790643	5116579.846461	82.531295	490	Locus 16		4	SILEX	EC1			PM		18,3	15-03-2012/11:05:25.0
2012	5919	4981	16		1450616.701060	5116578.630998	82.485058	490	Locus 16		4/5	SILEX	Fi			PM		32,4	15-03-2012/11:16:18.0

Inventaire officiel 7 – Montguyon (17), « Bois Clair ». Inventaire du mobilier individualisé

ANNEE	OA	IDENTIFIANT	N°DE CAISSE	N°DE LOT	X = est	Y = nord	Z = alti NGF	PARCELLE	SECTEUR (CP/TR/ST...)	CARRE	UPS	MATERIAU	SUPPORT (cf. annexe 3)	TYPOLOGIE (cf. annexe 3)	REMONTAGES	CHRONO-CULTURE (cf. annexe 3)	CLICHE	MASSE (g.)	DATE DECOUVERTE
2012	5919	4982	12		1450599.010878	5116588.459054	83.001454	490	Locus 12bis/14		4	SILEX	Fi			PM/PS		2,9	15-03-2012/11:24:01.0
2012	5919	4983	14		1450594.443352	5116588.396325	82.994172	490	Locus 12bis		4	SILEX	EC2		50	PM	PN2278-83	20,3	15-03-2012/11:40:27.0
2012	5919	4984	1		1450595.524140	5116588.379302	82.947949	490	Locus 12bis		4	Quartzite	Gup			PM		219,4	15-03-2012/11:44:13.0
2012	5919	4985	12		1450594.516970	5116587.996040	82.955601	490	Locus 12bis		5	SILEX	EC2			PM		24,1	15-03-2012/12:10:02.0
2012	5919	4986	14		1450594.495152	5116588.104094	82.955822	490	Locus 12bis		5	SILEX	EC2		47-48	PM	PN2244-2299	21,5	15-03-2012/12:12:18.0
2012	5919	4987	14		1450594.005754	5116587.571053	82.909049	490	Locus 12bis		5	SILEX	NDU		51	PM	PN2259-2277	81,6	15-03-2012/12:16:03.0
2012	5919	4988	3		1450593.853652	5116587.694763	82.905715	490	Locus 12bis		5	Quartzite	Gb			PM		468,5	15-03-2012/12:20:53.0
2012	5919	4989	12		1450594.254182	5116587.736252	82.928712	490	Locus 12bis		5	SILEX	E5		49	PM	PN2054	12,8	15-03-2012/14:23:08.0
2012	5919	4990	14		1450594.264671	5116587.397733	82.903253	490	Locus 12bis		5	SILEX	EC2		50	PM	PN2278-83	27,7	15-03-2012/14:23:44.0
2012	5919	4991	11		1450592.468922	5116571.172057	83.016901	490	Locus 11	K4 83c	4	SILEX	E0			PS		0,7	15-03-2012/14:27:17.0
2012	5919	4992	15		1450597.001475	5116590.576083	82.997825	490	Locus 15		4a/4b	SILEX	EC1			PM/PS		91,6	15-03-2012/14:30:48.0
2012	5919	4993	15		1450599.520307	5116587.846903	82.988996	490	Locus 12bis		4a/4b	SILEX	ENC1			PM		5,3	15-03-2012/14:31:05.0
2012	5919	4994	11		1450592.054458	5116572.284988	83.093024	490	Locus 11	K4 73c	4	SILEX	E0			PS		0,6	15-03-2012/14:35:32.0
2012	5919	4995	12		1450592.542236	5116572.001831	83.036611	490	Locus 11	K4 73d	4	SILEX	Fi/Cg			PS		3,9	15-03-2012/14:35:53.0
2012	5919	4996	16		1450592.544244	5116572.468144	83.034793	490	Locus 11	K4 73b	4	SILEX	E1pdf			PM/PS		5,8	15-03-2012/14:36:14.0
2012	5919	4997	14		1450592.475762	5116572.687479	83.066387	490	Locus 11	K4 73a	4	SILEX	E0		94	PM	PN2060/2304-2306	9,8	15-03-2012/14:40:55.0
2012	5919	4998	16		1450592.463144	5116572.684134	83.045800	490	Locus 11	K4 73a	4	SILEX	D			PM/PS		3,9	15-03-2012/14:44:19.0
2012	5919	4999	13		1450594.842631	5116587.273190	82.901094	490	Locus 12bis		5	SILEX	EC1		49	PM	PN2066-2069	27,4	15-03-2012/14:51:03.0
2012	5919	5000	13		1450594.308946	5116587.643338	82.873463	490	Locus 12bis		5	SILEX	E4		49	PM	PN2066-2069	11,2	15-03-2012/14:55:55.0
2012	5919	5001	13		1450594.366595	5116587.981013	82.873273	490	Locus 12bis		5	SILEX	EC2		49	PM	PN2066-2069	17,4	15-03-2012/15:10:07.0
2012	5919	5002	14		1450594.536421	5116588.134729	82.841928	490	Locus 12bis		5	SILEX	EC1pdf		47-48	PM	PN2244-2299	89,8	15-03-2012/15:10:22.0
2012	5919	5003	16		non enregistré			490	Locus 12bis		5	SILEX	E0			PM		1,9	15-03-2012/15:10:34.0
2012	5919	5004	15		1450595.124888	5116586.241271	82.799554	490	CP22		6	SILEX	E6			PM		13,7	15-03-2012/15:10:49.0
2012	5919	5005	14		1450596.539695	5116588.471236	82.877914	490	Locus 12bis/15		5	SILEX	R2	G5		PM	PN2161	83,9	15-03-2012/15:11:08.0
2012	5919	5006	13		1450596.720870	5116586.963520	82.834283	490	Locus 12bis/15		5	SILEX	EC3		14	PM	PN2142-2143	5,5	15-03-2012/15:08:47.0
2012	5919	5007	16		1450597.804955	5116590.538379	82.810002	490	Locus 12bis/15		5	SILEX	E0			PM		1,9	15-03-2012/15:14:12.0
2012	5919	5008	17		1450596.938291	5116588.017442	82.823991	490	Locus 12bis/15		5	SILEX	E3			PM		11,6	15-03-2012/15:14:26.0
2012	5919	5009	15		1450597.230092	5116590.774258	82.739068	490	Locus 14		5	SILEX	L	G7		PM		13,5	15-03-2012/15:19:23.0
2012	5919	5010	16		1450597.941361	5116588.371845	82.704731	490	Locus 12bis/14		5	SILEX	Fi			PM		4,2	
2012	5919	5011	16		1450598.508440	5116590.577248	82.724212	490	Locus 15		5	SILEX	EC7			PM		3,5	15-03-2012/15:25:38.0
2012	5919	5012	18		1450598.439436	5116591.004390	82.698096	490	Locus 15		5	SILEX	NTE			PM	PN2138-2139	34,6	15-03-2012/15:25:58.0
2012	5919	5013	16		1450597.254119	5116591.051464	82.681484	490	Locus 15		5	SILEX	E4			PM		2,4	15-03-2012/15:41:09.0
2012	5919	5014	2		1450598.616537	5116586.902099	82.623181	490	Locus 12bis		5	Quartzite	Gb			PM		285,4	15-03-2012/15:43:43.0
2012	5919	5015	13		1450597.536822	5116590.113880	82.573801	490	Locus 15		5/6	SILEX	NDU		28	PM	PN2096-2097	67,1	15-03-2012/15:44:07.0
2012	5919	5016	18		1450600.020864	5116590.389582	82.620036	490	Locus 15		6	SILEX	E1			PM		65,5	15-03-2012/15:55:31.0
2012	5919	5017	15		1450599.564849	5116587.843358	82.556281	490	Locus 12bis		6	SILEX	E6			PM		9,3	15-03-2012/16:02:30.0
2012	5919	5018	15		1450597.447490	5116589.162311	82.504915	490	Locus 12bis/14		6	SILEX	E1			PM		87,8	15-03-2012/16:09:06.0
2012	5919	5019	15		1450597.485163	5116589.552233	82.473503	490	Locus 15		6	SILEX	EC3			PM		28,7	15-03-2012/16:13:06.0
2012	5919	5020	18		1450597.610671	5116589.623111	82.479695	490	Locus 15		6	SILEX	EC1			PM		13,9	15-03-2012/16:14:33.0
2012	5919	5021	15		1450599.691740	5116589.303390	82.417316	490	Locus 12bis		6	SILEX	E3			PM		16,9	15-03-2012/16:23:32.0
2012	5919	5022	16		1450596.993482	5116589.836346	82.391589	490	Locus 15		6	SILEX	EC3			PM		7	15-03-2012/16:30:10.0
2012	5919	5023	15		1450619.957625	5116602.562075	82.367524	490			4/5	SILEX	EC2			PM		33,3	15-03-2012/16:36:37.0
2012	5919	5025	11		1450589.776211	5116569.924215	83.103808	490	Locus 11		3/4?	SILEX	Eci		127	PS	PN2316-2330	67,1	15-03-2012/16:44:46.0
2012	5919	5026	12		1450590.077975	5116569.897813	83.116299	490	Locus 11		3/4?	SILEX	E0			PS		4,3	16-03-2012/08:36:50.0
2012	5919	5027	15		1450620.125300	5116602.349049	82.153220	490			4/5	SILEX	E2	G2		PM		33,5	16-03-2012/08:37:05.0
2012	5919	5028	13		1450620.379463	5116602.445590	82.143928	490			5	SILEX	E4		35	PM	PN2092-2093	30	16-03-2012/08:49:30.0
2012	5919	5029	3		1450619.716991	5116604.897237	82.046798	490			4/5	Quartz	Gb			PM		734,5	16-03-2012/08:55:34.0
2012	5919	5030	13		1450621.678819	5116602.942281	81.893107	490			5	SILEX	NDU			PM		78,5	16-03-2012/10:57:30.0
2012	5919	5055	17		1450611.653047	5116606.179460	82.549328	490			4a	SILEX	NFU			PM		64,9	16-03-2012/10:59:38.0
2012	5919	5056	16		1450611.569505	5116605.925162	82.547660	490			4a	SILEX	Cg			PM		3,9	19-03-2012/09:47:21.0
2012	5919	5057	4		1450613.971868	5116606.724672	82.306046	490			4	Grès ferrugineux	Bb			PM/PS		500	19-03-2012/09:47:50.0
2012	5919	5058	18		1450610.365793	5116605.495347	82.286255	490			4/5	SILEX	EC3			PM		7,7	19-03-2012/10:50:17.0
2012	5919	5059	12		1450612.064938	5116604.668579	82.240597	490			4/5	SILEX	Lpd			PS		6	19-03-2012/10:56:40.0
2012	5919	5060	18		1450611.829686	5116604.647301	82.235844	490			4/5	SILEX	E1			PM		83,5	19-03-2012/10:56:57.0
2012	5919	5061	17		1450614.311118	5116607.630889	82.185603	490			5	SILEX	LNC2			PM		12,5	19-03-2012/11:20:05.0
2012	5919	5062	15		1450610.976469	5116604.977793	81.980854	490			5	SILEX	Fi			PM		17,5	19-03-2012/13:37:37.0
2012	5919	5063	15		1450613.497766	5116604.682037	81.942538	490			5	SILEX	E6			PM		/	19-03-2012/13:41:08.0
2012	5919	5064	16		1450614.056059	5116606.659555	81.772299	490			6	SILEX	D			PM		29,2	19-03-2012/13:50:53.0

Inventaire officiel 7 – Montguyon (17), « Bois Clair ». Inventaire du mobilier individualisé

ANNEE	OA	IDENTIFIANT	N°DE CAISSE	N°DE LOT	X = est	Y = nord	Z = alti NGF	PARCELLE	SECTEUR (CP/TR/ST...)	CARRE	UPS	MATERIAU	SUPPORT (cf. annexe 3)	TYPOLOGIE (cf. annexe 3)	REMONTAGES	CHRONO-CULTURE (cf. annexe 3)	CLICHE	MASSE (g.)	DATE DECOUVERTE
2012	5919	5065	16		1450590.305785	5116574.146826	83.254270	490	Locus 11	K4 51c	4	SILEX	D			PM/PS		44,4	19-03-2012/14:02:11.0
2012	5919	5066	16		1450613.082354	5116608.692440	81.621744	490			6	SILEX	Cg			PM		6,3	19-03-2012/14:05:58.0
2012	5919	5082	17		1450617.087815	5116607.987240	82.102057	490			5	SILEX	EL1			PM		63,7	19-03-2012/14:06:25.0
2012	5919	5083	16		1450616.845084	5116607.832955	82.123382	490			5	SILEX	ENC2pdf		23	PM		18,9	19-03-2012/14:19:00.0
2012	5919	5084	15		1450618.803687	5116610.207695	81.936218	490			4	SILEX	Bb			PM		395,5	19-03-2012/14:31:32.0
2012	5919	5085	18		1450590.625568	5116574.304558	83.277734	490	Locus 11 Nord		5	SILEX							19-03-2012/14:39:04.0
2012	5919	5086	17		1450617.024286	5116607.083648	82.102080	490			5	SILEX	NFC			PM		89,6	19-03-2012/14:39:24.0
2012	5919	5087	20		1450618.230248	5116607.763838	82.024254	490			5	SILEX	D			PM		68,3	19-03-2012/14:42:29.0
2012	5919	5088	15		1450616.975552	5116606.815886	82.029391	490			5	SILEX	EC1			PM		18,4	19-03-2012/14:51:09.0
2012	5919	5089	3		1450617.345919	5116608.780352	81.665497	490			6	Quartz	Gb			PM		357,2	19-03-2012/15:46:37.0
2012	5919	5090	17		1450618.269336	5116607.279993	81.737763	490			6	SILEX	EC2			PM		10,6	19-03-2012/15:46:50.0
2012	5919	5091	11		1450689.682922	5116569.776572	83.089705	490	Locus 00	L3 10b	4	SILEX	Eci		127	PS	PN2316-2330	72,3	19-03-2012/15:51:54.0
2012	5919	5092	17		1450626.665786	5116612.171937	82.308375	490			4	SILEX	E0			PM		4	19-03-2012/15:52:25.0
2012	5919	5093	1		1450622.455247	5116613.465717	82.270132	490			4	Quartzite	Gup			PM/PS		561,2	19-03-2012/15:58:28.0
2012	5919	5094	14		1450623.575599	5116614.303759	82.264559	490			4	SILEX	NFU			PM		98,2	19-03-2012/16:03:16.0
2012	5919	5095	17		1450622.992053	5116612.316625	82.227290	490			4	SILEX	E1			PM		26,5	19-03-2012/16:10:31.0
2012	5919	5096	12		1450590.213986	5116573.717201	83.234464	490	Locus 11	K4 61b	4	SILEX	Epde			PS		1,6	19-03-2012/16:23:31.0
2012	5919	5097	11		1450590.232571	5116573.770128	83.257793	490	Locus 11	K4 61b	4	SILEX	E11/Eci			PS		1	19-03-2012/16:27:33.0
2012	5919	5098	11		1450590.184418	5116573.863004	83.253071	490	Locus 11	K4 61b	4	SILEX	E0			PS		0,6	20-03-2012/08:44:56.0
2012	5919	5099	16		1450624.231918	5116612.902736	82.022457	490			4	SILEX	Fi			PM		20,8	20-03-2012/09:21:03.0
2012	5919	5100	15		1450620.091184	5116612.745378	82.034589	490			5	SILEX	E6			PM		7,7	20-03-2012/09:45:01.0
2012	5919	5101	11		1450590.075280	5116573.741156	83.246702	490	Locus 11	K4 61b	4	SILEX	Fi/Cg			PS		0,8	20-03-2012/09:53:35.0
2012	5919	5102	11		1450590.120248	5116573.714458	83.239821	490	Locus 11	K4 61b	4	SILEX	E11			PS		0,1	20-03-2012/09:59:48.0
2012	5919	5103	11		1450590.136607	5116573.721992	83.235533	490	Locus 11	K4 61b	4	SILEX	Lpd/Lpde			PS		0,2	20-03-2012/10:44:13.0
2012	5919	5104	11		1450590.175929	5116573.719904	83.195580	490	Locus 11	K4 61b	4	SILEX	E11			PS		1	20-03-2012/10:44:27.0
2012	5919	5105	11		1450597.291154	5116576.037865	83.197416	490	Locus 11 (E)		4	SILEX	E0			PS		1,9	20-03-2012/10:44:37.0
2012	5919	5106	12		1450597.289821	5116571.835150	83.099029	490	Locus 11 (E)		4	SILEX	NT					9,3	20-03-2012/10:43:34.0
2012	5919	5107	16		1450598.135122	5116571.979497	83.093768	490	Locus 11 (E)		4	SILEX	E0			PM		3,9	20-03-2012/10:54:53.0
2012	5919	5108	15		1450598.514584	5116573.342964	83.118233	490	Locus 11 (E)		4	SILEX	E5			PM		5,7	20-03-2012/11:19:47.0
2012	5919	5109	11		1450599.315301	5116573.510063	83.149046	490	Locus 11 (E)		4	SILEX	E11			PS		0,1	20-03-2012/11:20:03.0
2012	5919	5110	12		1450601.890735	5116576.887417	83.244115	490	Locus 11 (E)		4	SILEX	Lpde			PS		7	20-03-2012/11:20:17.0
2012	5919	5111	12		1450601.392843	5116577.937464	83.236819	490	Locus 11 (E)		4	SILEX	Fi			PS		42,5	20-03-2012/11:20:30.0
2012	5919	5112	16		1450601.334101	5116577.929445	83.250372	490	Locus 11 (E)		4	SILEX	ENC3			PM/PS		8,2	20-03-2012/11:56:37.0
2012	5919	5113	18		1450609.463176	5116595.741653	81.472575	490			4	SILEX							20-03-2012/11:57:16.0
2012	5919	5114	15		1450619.885061	5116596.464260	81.203935	490			4	SILEX	E5			PM		50	20-03-2012/11:57:44.0
2012	5919	5115	11		1450590.005157	5116574.326814	83.174738	490	Locus 11	K4 51	4	SILEX	E9			PS		1,2	20-03-2012/11:58:15.0
2012	5919	5116	11		1450590.329022	5116573.226785	83.157277	490	Locus 11	K4 61	4	SILEX	E11			PS		0,1	20-03-2012/11:58:41.0
2012	5919	5117	12		1450590.094389	5116573.176086	83.128469	490	Locus 11	K4 61	4	SILEX	Epde			PS		4,5	20-03-2012/11:59:17.0
2012	5919	5118	18		1450627.164423	5116611.584858	81.989007	490			5	SILEX	NLfgt			PM		180,4	20-03-2012/11:59:55.0
2012	5919	5119	14		1450627.250152	5116615.247791	81.873532	490			5	SILEX	E2	G5		PM		22,1	20-03-2012/12:00:22.0
2012	5919	5120	1		1450626.858021	5116612.984761	81.827736	490			5	Quartzite	Enc1			PM		199,2	20-03-2012/12:01:02.0
2012	5919	5121	14		1450628.509685	5116614.488004	81.845346	490			5	SILEX	E1	G2		PM		18,9	20-03-2012/12:02:06.0
2012	5919	5122	15		1450625.561271	5116617.457861	81.796397	490			4/5	SILEX	EC1			PM		96,3	20-03-2012/12:04:33.0
2012	5919	5129	12		1450610.367038	5116615.227430	82.360712	490			4a?	SILEX	Néb ?			PM/PS		191,1	20-03-2012/12:05:07.0
2012	5919	5130	2		1450610.239416	5116615.313064	82.356553	490			4a?	Quartzite	Gb			PM/PS		394,9	20-03-2012/12:05:21.0
2012	5919	5131	13		1450590.355492	5116569.273416	83.105676	490	Locus 11		4	SILEX	E0		109	PM		5,8	20-03-2012/13:59:08.0
2012	5919	5132	11		1450590.156849	5116569.422240	83.083562	490	Locus 11	L4 01	4	SILEX	E0			PS		1,6	20-03-2012/14:04:28.0
2012	5919	5133	11		1450590.557982	5116569.888062	83.118063	490	Locus 11	L4 01	4	SILEX	Fi			PS		1,4	20-03-2012/14:09:21.0
2012	5919	5134	11		1450589.809354	5116570.176444	83.101044	490	Locus 00	K3 100	4	SILEX	Eci		127	PS	PN2316-2330	19,7	20-03-2012/14:12:16.0
2012	5919	5135	11		1450589.990868	5116570.241546	83.111637	490	Locus 00	K3 100/K4 91	4	SILEX	E0			PS		27	20-03-2012/14:45:47.0
2012	5919	5136	16		1450589.973922	5116570.370127	83.104227	490	Locus 00	K3 100/K4 91	4	SILEX	Fi			PM/PS		2,7	20-03-2012/16:40:44.0
2012	5919	5137	11		1450590.055583	5116570.337397	83.101209	490	Locus 09	K4 99	4	SILEX	EC0			PS		1,2	20-03-2012/16:40:54.0
2012	5919	5138	11		1450590.189098	5116570.478846	83.096937	490	Locus 09	K4 99	4	SILEX	Fi/Cg			PS		3,3	21-03-2012/09:07:52.0
2012	5919	5139	11		1450590.318148	5116570.624608	83.084611	490	Locus 09	K4 99	4	SILEX	Eci/Epde		127	PS	PN2316-2330	81,9	21-03-2012/09:08:11.0
2012	5919	5140	16		1450590.288040	5116570.702137	83.112038	490	Locus 09	K4 99	4	SILEX	EC3			PM/PS		3,3	21-03-2012/09:08:27.0
2012	5919	5141	13		1450590.275957	5116571.611489	83.116310	490	Locus 11	K4 81	4	SILEX	Lpd/Lpde			PS		3	21-03-2012/09:08:52.0
2012	5919	5142	11		1450590.653531	5116571.488282	83.129650	490	Locus 11	K4 81	4	SILEX	Cg			PS		0,3	21-03-2012/09:09:09.0
2012	5919	5143	11		1450591.001724	5116571.476712	83.107130	490	Locus 11	K4 81/82	4	SILEX	Fi/Cg			PS		2,6	21-03-2012/09:11:48.0

Inventaire officiel 7 – Montguyon (17), « Bois Clair ». Inventaire du mobilier individualisé

ANNEE	OA	IDENTIFIANT	N°DE CAISSE	N°DE LOT	X = est	Y = nord	Z = alti NGF	PARCELLE	SECTEUR (CP/TR/ST...)	CARRE	UPS	MATERIAU	SUPPORT (cf. annexe 3)	TYPOLOGIE (cf. annexe 3)	REMONTAGES	CHRONO-CULTURE (cf. annexe 3)	CLICHE	MASSE (g.)	DATE DECOUVERTE
2012	5919	5144	16		1450590.993155	5116571.491804	83.103441	490	Locus 11	K4 81/82	4	SILEX	EC3			PM/PS		10,7	21-03-2012/09:12:05.0
2012	5919	5145	11		1450590.983517	5116571.848491	83.121395	490	Locus 11	K4 81	4	SILEX	LC2/Lpde			PS		1,3	21-03-2012/09:12:21.0
2012	5919	5146	11		1450589.874713	5116571.908383	83.090043	490	Locus 00	K3 90	4	SILEX	/		127	PS	PN2316-2330	/	21-03-2012/09:12:46.0
2012	5919	5147	11		1450590.295447	5116572.261667	83.126487	490	Locus 11	K4 71	4	SILEX	E0			PS		5,3	21-03-2012/09:13:43.0
2012	5919	5148	16		1450590.135996	5116572.647264	83.133654	490	Locus 11	K4 71	4	SILEX	Fi			PM/PS		0,5	21-03-2012/09:13:50.0
2012	5919	5149	16		1450590.168070	5116572.663639	83.113134	490	Locus 11	K4 71	4	SILEX	E11			PM/PS		0,6	21-03-2012/09:14:07.0
2012	5919	5150	16		1450590.620295	5116573.542729	83.101634	490	Locus 11	K4 61	4	SILEX	Fi			PM/PS		1,5	21-03-2012/09:14:27.0
2012	5919	5151	17		1450611.088308	5116614.005180	82.049381	490			4/5	SILEX	E6			PM		22	21-03-2012/09:16:00.0
2012	5919	5152	15		1450610.873155	5116609.318114	82.280759	490			4	SILEX	EC2			PM		13,3	21-03-2012/09:16:25.0
2012	5919	5153	16		1450610.078290	5116614.466837	82.245197	490			4/5	SILEX	E11			PM		0,9	21-03-2012/09:16:53.0
2012	5919	5154	15		1450613.376000	5116613.348248	82.105677	490			4/5	SILEX	E5			PM		14,5	21-03-2012/09:17:11.0
2012	5919	5155	15		1450610.812265	5116612.990347	82.159184	490			4/5	SILEX	E1			PM		5,3	21-03-2012/09:17:53.0
2012	5919	5156	14		1450611.953222	5116615.064363	82.070588	490			4/5	SILEX	LC2			PM		35	21-03-2012/09:18:05.0
2012	5919	5157	15		1450610.802882	5116613.492549	82.128083	490			4/5	SILEX	EC2			PM		9,9	21-03-2012/09:18:25.0
2012	5919	5158	16		1450611.200360	5116611.338454	82.083365	490			4/5	SILEX	E2			PM		16,3	21-03-2012/09:22:26.0
2012	5919	5159	16		1450611.281092	5116613.509255	82.090262	490			4/5	SILEX	EC3			PM		17	21-03-2012/08:37:14.0
2012	5919	5172	16		1450611.049260	5116610.568255	81.899202	490			5	SILEX	EC1			PM		27,7	21-03-2012/08:40:50.0
2012	5919	5255	16		1450601.496911	5116576.799384	83.205154	490	Locus 09 Nord		4	SILEX	EC7			PM/PS		8,3	21-03-2012/08:54:21.0
2012	5919	5256	11		1450601.892881	5116576.879142	83.227307	490	Locus 09 Nord		4	SILEX	Epde			PS		0,8	21-03-2012/08:57:42.0
2012	5919	5257	15		1450600.220642	5116572.674924	82.950812	490	Locus 09 Nord		4	SILEX	E2pdf			PM/PS		16,3	21-03-2012/09:00:44.0
2012	5919	5258	16		1450601.611646	5116577.803394	83.167348	490	Locus 09 Nord		4	SILEX	EC7			PM/PS		21,6	21-03-2012/09:04:54.0
2012	5919	5259	20		1450601.504698	5116578.014274	83.143477	490	Locus 09 Nord		4	SILEX	Nétgt			PM/PS		573,4	21-03-2012/09:11:02.0
2012	5919	5260	11		1450600.729713	5116576.937153	83.087826	490	Locus 09 Nord		4	SILEX	Lcr			PS		23,3	21-03-2012/09:15:17.0
2012	5919	5261	1		1450600.989621	5116577.776482	83.071282	490	Locus 09 Nord		4	Quartz	Enc3			PM/PS		24,8	21-03-2012/10:13:52.0
2012	5919	5262	18		1450599.858753	5116577.924491	83.166470	490	Locus 09 Nord		4	SILEX	EC1			PM/PS		4,9	21-03-2012/14:10:00.0
2012	5919	5263	15		1450600.604853	5116577.648797	82.943202	490	Locus 09 Nord		5	SILEX	NIE			PM		60	21-03-2012/14:10:13.0
2012	5919	5264	15		1450599.603374	5116573.150452	82.760454	490	Locus 09 Nord		5	SILEX	L			PM		2	21-03-2012/14:10:34.0
2012	5919	5265	15		1450600.602959	5116574.388881	82.727273	490	Locus 09 Nord		5	SILEX	E6			PM		27,5	21-03-2012/14:15:39.0
2012	5919	5266	16		1450602.631460	5116573.263205	82.695335	490	Locus 09 Nord		5	SILEX	E11			PM		1,2	21-03-2012/14:27:10.0
2012	5919	5267	3		1450603.247066	5116573.965221	82.652547	490			5	Quartz	Gui			PM		389,2	21-03-2012/14:32:21.0
2012	5919	5268	16		1450601.001518	5116576.287326	82.672538	490			5	SILEX	Ni			PM		200,8	21-03-2012/14:36:46.0
2012	5919	5269	17		1450595.817697	5116559.499203	82.124498	490			7	SILEX	E1			PM		26,4	21-03-2012/14:40:53.0
2012	5919	5270	17		1450601.569664	5116576.690747	82.668462	490			5	SILEX	NFB			PM		213,1	21-03-2012/14:50:12.0
2012	5919	5271	15		1450599.290416	5116576.227398	82.719388	490			5	SILEX	E5			PM		24,8	21-03-2012/14:54:43.0
2012	5919	5272	17		1450602.151398	5116576.688156	82.560135	490			5/6	SILEX	NFU			PM		112	21-03-2012/15:00:03.0
2012	5919	5273	17		1450621.654316	5116578.365478	81.628662	490			7	SILEX	NFB			PM		135,5	21-03-2012/15:00:18.0
2012	5919	5274	17		1450602.145981	5116574.787543	82.391276	490			6	SILEX	EC0			PM		36	21-03-2012/15:05:40.0
2012	5919	5287	12		1450596.347217	5116579.458544	83.175737	490	Locus 11 (N)		4	SILEX	EC0			PM/PS-PM		5,2	21-03-2012/15:09:32.0
2012	5919	5288	13		1450592.680144	5116577.417463	83.085899	490	Locus 11 (N)		4	SILEX	Ni		109	PM		183,7	21-03-2012/15:12:37.0
2012	5919	5289	13		1450598.219403	5116577.903640	83.123646	490	Locus 11 (N)		4	SILEX	E4		147	PM		52,4	21-03-2012/15:15:45.0
2012	5919	5290	16		1450597.668670	5116577.545715	83.182564	490	Locus 11 (N)		4	SILEX	E0			PM/PS		6,8	21-03-2012/15:23:42.0
2012	5919	5291	16		1450597.263972	5116577.227867	83.147446	490	Locus 11 (N)		4	SILEX	E0			PM/PS		47,4	21-03-2012/15:27:14.0
2012	5919	5292	15		1450594.842978	5116576.795333	83.177128	490	Locus 11 (N)		4	SILEX	E4			PM/PS		7,6	21-03-2012/15:28:47.0
2012	5919	5293	16		1450592.187107	5116577.173520	83.102131	490	Locus 11 (N)		4	SILEX	Fi			PM/PS		39,1	21-03-2012/15:37:37.0
2012	5919	5294	16		1450592.107855	5116578.270448	83.132538	490	Locus 11 (N)		4	SILEX	Cg			PM/PS		3,9	21-03-2012/16:08:58.0
2012	5919	5295	15		1450592.818913	5116579.230767	83.124396	490	Locus 11 (N)		4	SILEX	EC7			PM/PS		6,8	21-03-2012/16:18:33.0
2012	5919	5296	16		1450591.310981	5116577.079915	83.107264	490	Locus 11 (N)		4	SILEX	E11			PM/PS		0,7	22-03-2012/08:32:23.0
2012	5919	5297	16		1450590.555538	5116577.680946	82.957719	490	Locus 11 (N)		5	SILEX	ENC2			PM		27,3	22-03-2012/08:32:52.0
2012	5919	5298	17		1450590.586665	5116578.932767	82.888027	490	Locus 11 (N)		5	SILEX	NLRB			PM		113,2	22-03-2012/08:33:01.0
2012	5919	5299	3		1450589.911362	5116577.044270	83.008809	490	Locus 11 (N)		4	Quartz	Gb			PM/PS		771,4	22-03-2012/08:33:15.0
2012	5919	5300	18		1450590.678766	5116577.019958	82.975127	490	Locus 11 (N)		4	SILEX	EC0			PM		131,2	22-03-2012/08:33:29.0
2012	5919	5301	15		1450589.816349	5116578.335651	82.905762	490	Locus 11 (N)		5	SILEX	R2	G5		PM		17,7	22-03-2012/08:33:40.0
2012	5919	5302	15		1450590.368237	5116577.869237	82.872016	490	Locus 11 (N)		5	SILEX	E3			PM		7,1	22-03-2012/08:33:53.0
2012	5919	5303	15		1450593.041633	5116578.355249	83.065209	490	Locus 11 (N)		4	SILEX	ENC1			PM		49,3	22-03-2012/08:34:06.0
2012	5919	5304	15		1450592.241631	5116577.759675	83.054486	490	Locus 11 (N)		4	SILEX	EC3			PM		6,9	22-03-2012/08:34:15.0
2012	5919	5305	1		1450593.427504	5116576.944795	83.003647	490	Locus 11 (N)		4	Quartzite	Gup			PM/PS		720,3	22-03-2012/08:34:26.0
2012	5919	5306	13		1450597.651763	5116579.198289	83.062982	490	Locus 11 (N)		4	SILEX	E5		147	PM		182	22-03-2012/08:48:02.0
2012	5919	5307	16		1450597.354008	5116577.042375	83.118403	490	Locus 11 (N)		4	SILEX	E8		146	PM		38,4	22-03-2012/08:53:58.0

Inventaire officiel 7 – Montguyon (17), « Bois Clair ». Inventaire du mobilier individualisé

ANNEE	OA	IDENTIFIANT	N°DE CAISSE	N°DE LOT	X = est	Y = nord	Z = alti NGF	PARCELLE	SECTEUR (CP/TR/ST...)	CARRE	UPS	MATERIAU	SUPPORT (cf. annexe 3)	TYPOLOGIE (cf. annexe 3)	REMONTAGES	CHRONO-CULTURE (cf. annexe 3)	CLICHE	MASSE (g.)	DATE DECOUVERTE
2012	5919	5308	14		1450593.234737	5116577.691332	83.011455	490	Locus 11 (N)		4	SILEX	EL4			PM		25,5	22-03-2012/08:54:16.0
2012	5919	5309	13		1450598.109365	5116578.550096	83.017838	490	Locus 11 (N)		4	SILEX	EC2		8	PM/PS		241	22-03-2012/08:59:45.0
2012	5919	5310	13		1450593.483029	5116577.328903	82.999878	490	Locus 11 (N)		4	SILEX	Fi			PS		22,6	22-03-2012/09:13:25.0
2012	5919	5311	16		1450598.695302	5116577.608294	83.127372	490	Locus 11 (N)		4	SILEX	EC2		146	PM		58,3	22-03-2012/09:13:40.0
2012	5919	5312	16		1450598.861433	5116577.686360	83.116340	490	Locus 11 (N)		4	SILEX	E0			PM/PS		13,6	22-03-2012/09:20:29.0
2012	5919	5313	13		1450599.320077	5116579.419654	82.722185	490	Locus 11 (N)		5	SILEX	E5		55	PM		26,4	22-03-2012/09:23:50.0
2012	5919	5315	15		1450594.169444	5116578.548804	82.862176	490	Locus 11 (N)		4/5	SILEX	EC2			PM		58,1	22-03-2012/09:29:28.0
2012	5919	5316	18		1450595.845313	5116578.092048	82.792631	490	Locus 11 (N)		5	SILEX	EC2pdf			PM		61,2	22-03-2012/09:29:48.0
2012	5919	5317	15		1450609.558505	5116579.836657	81.857662	490			6	SILEX	E5			PM		35,7	22-03-2012/09:37:29.0
2012	5919	5318	18		1450618.042793	5116600.638215	82.210000	490	Locus 01		5	SILEX	ND			PM		96,3	22-03-2012/09:37:48.0
2012	5919	5319	14		1450617.503125	5116599.706036	82.176296	490	Locus 01		5	SILEX	L			PM		13,1	22-03-2012/09:41:12.0
2012	5919	5320	14		1450619.182955	5116598.768397	82.169664	490	Locus 01		5	SILEX	ENC2pdf		92	PM	PN2104-2106	46,9	22-03-2012/09:41:41.0
2012	5919	5321	15		1450590.500623	5116573.732562	83.052275	490	Locus 11	K4 61	4	SILEX	E11			PM/PS		0,7	22-03-2012/10:02:48.0
2012	5919	5322	11		1450590.310454	5116573.705588	83.067416	490	Locus 11	K4 61	4	SILEX	E0/Epde			PS		1,3	22-03-2012/10:08:50.0
2012	5919	5323	11		1450589.844974	5116572.701725	83.046192	490	Locus 00	K3 80	4	SILEX	EC7			PS		1,6	22-03-2012/10:48:24.0
2012	5919	5324	11		1450589.615232	5116572.653323	83.061110	490	Locus 11	K3 80	4	SILEX	E11			PS		0,5	22-03-2012/11:15:48.0
2012	5919	5325	16		1450590.078205	5116572.615016	83.067191	490	Locus 11	K4 71	4	SILEX	E0			PM/PS		5	22-03-2012/13:54:44.0
2012	5919	5326	15		1450590.170163	5116572.468804	83.057213	490	Locus 11	K4 71	4	SILEX	Cg		7	PM		58,5	22-03-2012/14:00:20.0
2012	5919	5327	11		1450590.334387	5116572.466410	83.055760	490	Locus 11	K4 71	4	SILEX	NT			PM/PS		0,3	22-03-2012/14:05:01.0
2012	5919	5328	16		1450590.610923	5116572.406213	83.081976	490	Locus 11	K4 71	4	SILEX	D		101	PM		35,8	22-03-2012/15:30:16.0
2012	5919	5329	16		1450590.806254	5116572.562932	83.077065	490	Locus 11	K4 71	4	SILEX	D		101	PM		11,9	22-03-2012/15:30:42.0
2012	5919	5330	15		1450590.766139	5116572.330153	83.077550	490	Locus 11	K4 71	4	SILEX	D		7	PM		11,1	22-03-2012/15:31:41.0
2012	5919	5331	12		1450591.013502	5116570.809339	83.088966	490	Locus 11	K4 92	4	SILEX	E0			PS		3,1	22-03-2012/15:32:17.0
2012	5919	5332	11		1450589.861918	5116572.706967	83.046553	490	Locus 00	K3 80	4	SILEX	Fi/Cg			PS		2	22-03-2012/15:32:48.0
2012	5919	5333	15		1450590.179990	5116572.484444	83.055141	490	Locus 11	K4 71	4	SILEX	Cg		7	PM		3	22-03-2012/15:33:14.0
2012	5919	5334	16		1450590.502289	5116571.313035	83.068865	490	Locus 11	K4 81	4	SILEX	E11			PM/PS		0,1	22-03-2012/15:34:02.0
2012	5919	5335	11		1450590.738193	5116571.773735	83.054340	490	Locus 11	K4 81	4	SILEX	Fi/Cg			PS		0,1	22-03-2012/15:34:41.0
2012	5919	5336	11		1450590.982285	5116571.216599	83.060864	490	Locus 11	K4 81/82	4	SILEX	Cg			PS		0,2	22-03-2012/15:35:06.0
2012	5919	5337	11		1450590.521440	5116570.963045	83.089340	490	Locus 11	K4 91	4	SILEX	Eci/Lipde			PS		0,6	22-03-2012/15:35:38.0
2012	5919	5338	11		1450590.171207	5116570.964428	83.067037	490	Locus 11	K4 91	4	SILEX	E11/EC1			PS		0,1	22-03-2012/15:36:36.0
2012	5919	5339	11		1450590.586492	5116569.814736	83.091470	490	Locus 11	L4 01	4	SILEX	Fi/Cg			PS		3,5	22-03-2012/15:51:33.0
2012	5919	5340	11		1450590.559785	5116569.709592	83.075032	490	Locus 11	L4 01	4	SILEX	E0			PS		2,3	22-03-2012/15:51:59.0
2012	5919	5341	15		1450590.421055	5116569.691149	83.034260	490	Locus 11	L4 01	4	SILEX	E5			PM		6,8	22-03-2012/15:52:41.0
2012	5919	5542	16		1450591.364585	5116574.228819	83.105111	490	Locus 11	K4 52c	4	SILEX	EC3			PM/PS		11,3	22-03-2012/15:53:43.0
2012	5919	5543	16		1450591.444522	5116574.319478	83.112183	490	Locus 11	K4 52c	4	SILEX	E11			PM/PS		0,9	22-03-2012/15:54:06.0
2012	5919	5544	16		1450591.350056	5116574.318806	83.104861	490	Locus 11	K4 52c	4	SILEX	E11			PM/PS		0,2	22-03-2012/15:55:20.0
2012	5919	5545	16		1450591.341443	5116574.619194	83.104772	490	Locus 11	K4 52a	4	SILEX	E3			PM/PS		3,2	22-03-2012/15:55:55.0
2012	5919	5546	12		1450595.257248	5116556.795615	82.341194	490	CP08.1		5	SILEX	Lpdi/Lpde?			PM/PS		2,8	22-03-2012/15:57:20.0
2012	5919	5547	16		1450614.865259	5116614.256280	82.094818	490			5	SILEX	E10			PM		4,5	22-03-2012/15:57:41.0
2012	5919	5548	16		1450589.760072	5116573.759320	83.027117	490	Locus 00	K3 70b	5	SILEX	E11			PM/PS		0,1	22-03-2012/15:58:05.0
2012	5919	5549	13		1450589.977368	5116573.288820	82.999880	490	Locus 00	K3 70d	5	SILEX	E2		95	PM	PN2117-2120	10	26-03-2012/16:12:35.0
2012	5919	5550	13		1450590.775217	5116573.062422	83.049619	490	Locus 00	K3 61d	5	SILEX	EL6			PM		2,7	26-03-2012/16:12:49.0
2012	5919	5551	11		1450590.633903	5116572.756142	83.051680	490	Locus 00	K3 71b	5	SILEX	E0/E9			PS		2,4	26-03-2012/16:12:58.0
2012	5919	5552	15		1450590.187658	5116572.587692	83.015254	490	Locus 11	K4 71a	4/5	SILEX	Bt		7	PM		766	26-03-2012/16:13:11.0
2012	5919	5553	11		1450590.241777	5116572.555150	83.024477	490	Locus 11	K4 71a	4/5	SILEX	Fi/Cg			PS		3,8	26-03-2012/16:32:58.0
2012	5919	5554	11		1450595.877514	5116570.851702	83.081611	490	Locus 09	K4 96	4	SILEX	Epde			PS		2	26-03-2012/16:34:53.0
2012	5919	5555	13		1450592.387497	5116574.661497	83.129193	490	Locus 11	K4 53a	4	SILEX	Fi/Cg			PS		3	27-03-2012/08:52:12.0
2012	5919	5556	14		1450592.637650	5116572.069928	82.943642	490	Locus 11	K4 73d	4/5	SILEX	E1pdf		88	PM		8,8	27-03-2012/08:52:40.0
2012	5919	5623	11		1450591.362042	5116570.993953	83.062432	490	Locus 11	K4 92a	4	SILEX	Fi/Cg			PS		0,1	27-03-2012/08:53:05.0
2012	5919	5624	15		1450591.293242	5116570.838843	83.057944	490	Locus 11	K4 92a	4	SILEX	E3		97	PM		3,6	27-03-2012/08:53:30.0
2012	5919	5625	11		1450591.255002	5116570.520912	83.035238	490	Locus 11	K4 92c	4	SILEX	NT			PS		2,9	27-03-2012/08:54:03.0
2012	5919	5626	11		1450591.123501	5116570.367362	83.056654	490	Locus 11	K4 92c	4	SILEX	Lipd			PS		0,3	27-03-2012/08:54:19.0
2012	5919	5627	12		1450592.086109	5116570.765799	83.059405	490	Locus 11	K4 93a	4	SILEX	Cg			PS		8,6	27-03-2012/09:03:06.0
2012	5919	5628	11		1450591.681152	5116573.260622	83.127619	490	Locus 11	K4 62d	4	SILEX	NT					1,1	27-03-2012/09:09:24.0
2012	5919	5629	11		1450591.642641	5116573.209719	83.110166	490	Locus 11	K4 62d	4	SILEX	NT					1,6	27-03-2012/09:09:51.0
2012	5919	5630	16		1450592.359889	5116573.365231	83.086311	490	Locus 11	K4 62c	4	SILEX	E6			PM		18,5	27-03-2012/16:14:20.0
2012	5919	5631	11		1450592.705431	5116573.522886	83.093911	490	Locus 11	K4 63d	4	SILEX	Fi/Cg			PS		3,3	27-03-2012/16:14:29.0
2012	5919	5632	14		1450619.199528	5116598.855665	82.031897	490	CP10.3		6	SILEX	E5		92	PM	PN2104-2106	42,6	27-03-2012/16:14:39.0

Inventaire officiel 7 – Montguyon (17), « Bois Clair ». Inventaire du mobilier individualisé

ANNEE	OA	IDENTIFIANT	N°DE CAISSE	N°DE LOT	X = est	Y = nord	Z = alti NGF	PARCELLE	SECTEUR (CP/TR/ST...)	CARRE	UPS	MATERIAU	SUPPORT (cf. annexe 3)	TYPOLOGIE (cf. annexe 3)	REMONTAGES	CHRONO-CULTURE (cf. annexe 3)	CLICHE	MASSE (g.)	DATE DECOUVERTE
2012	5919	5633	17		1450619.130727	5116599.133511	81.249243	490	CP10.3		11	SILEX	EC2			PM		54	27-03-2012/16:14:51.0
2012	5919	5644	12		1450591.624339	5116570.798265	82.994659	490	Locus 11	K4 92b	4	SILEX	Epde?			PS		1,2	27-03-2012/16:15:04.0
2012	5919	5645	11		1450591.676697	5116570.761257	82.995350	490	Locus 11	K4 92b	4	SILEX	Fi			PS		0,7	27-03-2012/16:15:18.0
2012	5919	5646	11		1450591.919435	5116570.794399	83.015253	490	Locus 11	K4 92b	4	SILEX	Lpde ?	bdl	131	PS		4,4	27-03-2012/16:15:30.0
2012	5919	5647	11		1450591.934783	5116570.825363	83.018833	490	Locus 11	K4 92b	4	SILEX	E11			PS		0,1	27-03-2012/16:15:43.0
2012	5919	5648	11		1450591.143102	5116570.168098	83.010350	490	Locus 11	K4 92c	4	SILEX	Fi/Cg			PS		1,9	27-03-2012/16:15:56.0
2012	5919	5649	11		1450591.410744	5116570.328271	83.012765	490	Locus 11	K4 92c	4	SILEX	E/Lpd ?			PS		0,1	28-03-2012/10:47:03.0
2012	5919	5650	11		1450591.412239	5116570.360222	83.008628	490	Locus 11	K4 92c	4	SILEX	Fi			PS		0,3	28-03-2012/10:47:20.0
2012	5919	5651	11		1450591.585629	5116570.389566	83.008707	490	Locus 11	K4 92d	4	SILEX	E/Lpde			PS		1,2	28-03-2012/16:30:40.0
2012	5919	5652	12		1450591.599808	5116570.388146	83.009852	490	Locus 11	K4 92d	4	SILEX	Fi/Cg			PS		1,1	28-03-2012/16:31:31.0
2012	5919	5653	11		1450591.898508	5116570.342991	83.009027	490	Locus 11	K4 92d	4	SILEX	Fi/Cg			PS		0,1	28-03-2012/16:31:38.0
2012	5919	5654	11		1450591.796631	5116570.533338	82.994582	490	Locus 11	K4 92b	4	SILEX	E11			PS		0,1	28-03-2012/16:31:48.0
2012	5919	5655	11		1450592.284453	5116570.148491	82.998926	490	Locus 11	K4 93c	4	SILEX	E0			PS		1,4	28-03-2012/16:32:06.0
2012	5919	5656	11		1450592.742278	5116573.627663	83.052045	490	Locus 11	K4 63b	4	SILEX	Fi/Cg			PS		0,4	28-03-2012/16:32:18.0
2012	5919	5657	12		1450592.706348	5116573.372127	83.056621	490	Locus 11	K4 63d	4	SILEX	Lpd			PS		2,7	28-03-2012/16:32:30.0
2012	5919	5658	16		1450591.948272	5116573.530357	83.062239	490	Locus 11	K4 62b/c	4	SILEX	E6			PM		2	28-03-2012/16:32:41.0
2012	5919	5665	13		1450603.993319	5116580.198595	82.702023	490	CP09.2		5	SILEX	E3			PM		48,7	28-03-2012/16:32:57.0
2012	5919	5666	11		1450595.337322	5116570.416213	83.030639	490	Locus 09 (N)	K4 96c	4	SILEX	/		137	PS	PN2365-2380	/	28-03-2012/16:33:12.0
2012	5919	5667	11		1450595.370554	5116569.736514	83.041186	490	Locus 09 (N)	L4 06a	4	SILEX	E/Lpde			PS		7,1	28-03-2012/16:33:27.0
2012	5919	5668	12		1450595.824215	5116569.727776	83.030832	490	Locus 09 (N)	L4 06b	4	SILEX	Eci			PS		2,9	28-03-2012/16:33:40.0
2012	5919	5669	11		1450596.239766	5116570.425375	83.072013	490	Locus 09 (N)	K4 97a/c	4	SILEX	/		145	PS		/	28-03-2012/16:33:57.0
2012	5919	5670	15		1450596.561007	5116569.988024	83.072376	490	Locus 09 (N)	K4 97c	4	SILEX	Fi			PM/PS		0,5	28-03-2012/16:34:10.0
2012	5919	5671	11		1450596.870498	5116569.936376	83.059104	490	Locus 09 (N)	L4 07b	4	SILEX	Lpde		150	PS		28,2	28-03-2012/16:34:23.0
2012	5919	5672	11		1450597.481193	5116570.002165	83.064452	490	Locus 09 (N)	K4 98c/d	4	SILEX	Lpd	It/fret/esq ?		PS		30,3	29-03-2012/09:06:44.0
2012	5919	5673	11		1450597.532201	5116570.517667	83.061813	490	Locus 09 (N)	K4 98a/b	4	SILEX	E11			PS		0,1	29-03-2012/09:24:44.0
2012	5919	5674	11		1450597.827605	5116570.340513	83.055387	490	Locus 09 (N)	K4 98d	4	SILEX	Fi			PM/PS		0,5	29-03-2012/09:25:05.0
2012	5919	5675	16		1450597.915121	5116570.439780	83.054197	490	Locus 09	K4 98d/b	4	SILEX	Fi			PM/PS		1,3	29-03-2012/09:25:32.0
2012	5919	5676	11		1450597.993310	5116570.559697	83.060063	490	Locus 09	K4 99a	4	SILEX	Ec3		126	PS	PN2331-2345	7,9	29-03-2012/09:25:54.0
2012	5919	5677	11		1450598.742316	5116568.888669	83.037936	490	Locus 09	L4 19b	4	SILEX	Lpde			PS		9,4	29-03-2012/09:26:28.0
2012	5919	5678	16		1450598.863336	5116568.547063	83.099196	490	Locus 09	L4 19b	4	SILEX	E0			PM		2,5	29-03-2012/09:27:06.0
2012	5919	5679	11		1450598.569522	5116568.590274	83.071582	490	Locus 09	L4 19b	4	SILEX	/			PS		/	29-03-2012/09:27:45.0
2012	5919	5680	11		1450599.270516	5116568.405029	83.112933	490	Locus 09	L4 20c	4	SILEX	E0/E9			PS		0,6	29-03-2012/09:28:20.0
2012	5919	5681	11		1450599.210837	5116568.036641	83.053963	490	Locus 09	L4 20c	4	SILEX	Lpde			PS		4,2	29-03-2012/09:28:54.0
2012	5919	5682	15		1450598.505202	5116568.120191	83.079863	490	Locus 09	L4 19d	4	SILEX	ENC0			PM		2,7	29-03-2012/09:29:22.0
2012	5919	5683	11		1450598.233671	5116568.318323	83.086539	490	Locus 09	L4 19c	4	SILEX	Fi			PS		3,6	29-03-2012/09:29:48.0
2012	5919	5684	11		1450598.209369	5116568.608028	83.065155	490	Locus 09	L4 19a	4	SILEX	E0/E9			PS		0,8	29-03-2012/09:30:41.0
2012	5919	5685	12		1450599.236548	5116566.650410	83.052281	490	Locus 09	L4 40a	4	SILEX	Epde			PS		2,4	29-03-2012/09:31:05.0
2012	5919	5686	11		1450599.426913	5116567.191045	83.050865	490	Locus 09 (N)	L4 30c	4	SILEX	E0			PS		0,2	29-03-2012/09:31:52.0
2012	5919	5687	11		1450598.247383	5116575.398738	83.090881	490	Locus 09 (N)		4	SILEX	/		137	PS	PN2365-2380	/	29-03-2012/09:32:38.0
2012	5919	5688	13		1450598.478809	5116573.426127	83.098856	490	Locus 09 (N)		4	SILEX	E0		147	PM		47,5	29-03-2012/09:33:17.0
2012	5919	5689	11		1450599.434553	5116566.710773	83.024380	490	Locus 09	L4 40a	4	SILEX	EC2			PS		1,3	29-03-2012/09:33:51.0
2012	5919	5690	11		1450598.903655	5116568.406343	83.045716	490	Locus 09	L4 19d	4	SILEX	EC2			PS		0,8	29-03-2012/09:34:28.0
2012	5919	5691	11		1450598.809504	5116568.152299	83.061162	490	Locus 09	L4 19d		SILEX	EC1			PS		32,8	29-03-2012/09:35:09.0
2012	5919	5724	11		1450590.221378	5116570.389887	83.060779	490	Locus 11	K4 91c	4	SILEX	Fi			PM/PS-PS		11,7	29-03-2012/11:38:23.0
2012	5919	5725	16		1450590.222829	5116570.412708	83.054493	490	Locus 11	K4 91c	4	SILEX	EC1	G9		PM/PS		15,6	29-03-2012/11:48:48.0
2012	5919	5726	11		1450590.159236	5116570.502890	83.058718	490	Locus 11	K4 91a	4	SILEX	EC2/Eca		127	PS	PN2316-2330	94,1	29-03-2012/14:33:41.0
2012	5919	5727	16		1450590.192286	5116570.510564	83.071131	490	Locus 11	K4 91a	4	SILEX	E1			PM/PS		3,4	29-03-2012/14:33:53.0
2012	5919	5728	11		1450590.199450	5116570.532830	83.071427	490	Locus 11	K4 91a	4	SILEX	EC2/Eca		127	PS	PN2316-2330	6,1	29-03-2012/14:51:34.0
2012	5919	5729	11		1450590.276116	5116570.514810	83.055478	490	Locus 11	K4 91a	4	SILEX	E0			PS		0,2	29-03-2012/15:05:19.0
2012	5919	5730	1		1450590.469314	5116570.491680	83.079396	490	Locus 11	K4 91a	4	Quartz	Qup			PM/PS	PN2144	313,3	29-03-2012/15:29:22.0
2012	5919	5731	11		1450590.096618	5116570.530030	83.081307	490	Locus 11	K4 91a	4	SILEX	E9/Epde?		133	PS		3,3	30-03-2012/08:48:26.0
2012	5919	5732	11		1450590.111300	5116570.526273	83.085221	490	Locus 11	K4 91a	4	SILEX	EC2			PS		0,8	30-03-2012/10:41:38.0
2012	5919	5733	11		1450590.116959	5116570.545916	83.081466	490	Locus 11	K4 91a	4	SILEX	EC2			PS		11,4	30-03-2012/10:41:53.0
2012	5919	5734	11		1450590.096064	5116570.561186	83.080615	490	Locus 11	K4 91a	4	SILEX	E0			PS		1,8	30-03-2012/10:42:07.0
2012	5919	5735	11		1450590.151816	5116570.563913	83.094921	490	Locus 11	K4 91a	4	SILEX	Fi			PS		0,3	30-03-2012/10:42:21.0
2012	5919	5736	11		1450590.152779	5116570.577380	83.094822	490	Locus 11	K4 91a	4	SILEX	EC2			PS		1,5	30-03-2012/10:42:30.0
2012	5919	5737	11		1450590.121163	5116570.576070	83.099889	490	Locus 11	K4 91a	4	SILEX	EC1		127	PS	PN2316-2330	2,3	30-03-2012/10:42:50.0
2012	5919	5738	11		1450590.200585	5116570.608806	83.065025	490	Locus 11	K4 91a	4	SILEX	Eci/Eca		127	PS	PN2316-2330	58,8	30-03-2012/10:43:09.0

Inventaire officiel 7 – Montguyon (17), « Bois Clair ». Inventaire du mobilier individualisé

ANNEE	OA	IDENTIFIANT	N°DE CAISSE	N°DE LOT	X = est	Y = nord	Z = alti NGF	PARCELLE	SECTEUR (CP/TR/ST...)	CARRE	UPS	MATERIAU	SUPPORT (cf. annexe 3)	TYPOLOGIE (cf. annexe 3)	REMONTAGES	CHRONO-CULTURE (cf. annexe 3)	CLICHE	MASSE (g.)	DATE DECOUVERTE
2012	5919	5739	11		1450590.142025	5116570.629762	83.099225	490	Locus 11	K4 91a	4	SILEX	Cg			PS		0,2	30-03-2012/10:43:27.0
2012	5919	5740	11		1450590.069494	5116570.777390	83.062998	490	Locus 11	K4 91a	4	SILEX	EC2		127	PS	PN2316-2330	36,5	30-03-2012/10:43:38.0
2012	5919	5741	11		1450590.131907	5116570.610168	83.092597	490	Locus 11	K4 91a	4	SILEX	EC1		127	PS	PN2316-2330	34,6	30-03-2012/10:43:55.0
2012	5919	5742	11		1450590.106304	5116570.601355	83.088975	490	Locus 11	K4 91a	4	SILEX	E0			PS		1,3	30-03-2012/10:44:13.0
2012	5919	5743	11		1450589.739918	5116570.404047	83.076453	490	Locus 00	K3 100d	4	SILEX	E0			PS		3,9	30-03-2012/10:44:29.0
2012	5919	5744	11		1450589.617840	5116570.192139	83.074791	490	Locus 00	K3 100d	4	SILEX	/		132	PS		/	30-03-2012/10:44:37.0
2012	5919	5745	15		1450590.143928	5116571.181193	83.069242	490	Locus 11	K4 81c	4	SILEX	EL2			PM		22,7	30-03-2012/10:45:08.0
2012	5919	5746	11		1450589.704265	5116571.734929	83.047745	490	Locus 00	K3 90b	4	SILEX	Eci/Eca		134	PS	PN2346-2364	12,6	30-03-2012/10:45:35.0
2012	5919	5747	18		1450619.335636	5116598.877755	82.962090	490	CP10.3		2	Céramique	Tesson			H		/	30-03-2012/10:45:47.0
2012	5919	5748	11		1450590.110332	5116570.546736	83.075194	490	Locus 11	K4 91a	4	SILEX	E9			PS		4,2	30-03-2012/10:46:03.0
2012	5919	5764	11		1450590.133749	5116570.582593	83.095619	490	Locus 11	K4 91a	4	SILEX	E0			PS		0,8	30-03-2012/10:46:16.0
2012	5919	5765	16		1450590.092294	5116570.550586	83.073290	490	Locus 11	K4 91a	4	SILEX	E11			PM/PS		0,2	30-03-2012/10:46:32.0
2012	5919	5785	1		1450623.195188	5116571.266230	82.709448	490	Locus 04	K7 84	4	Quartz	Enc8			PM		4,1	30-03-2012/10:46:48.0
2012	5919	5786	15		1450623.325826	5116571.408257	82.657646	490	Locus 04	K7 84	4	SILEX	E0			PM		8,7	30-03-2012/10:47:16.0
2012	5919	5787	11		1450595.797669	5116568.983892	82.988816	490	Locus 09	K4 96/L4 06	4	SILEX	Cg			PS		1,9	30-03-2012/10:47:52.0
2012	5919	5788	11		1450595.361203	5116569.719055	82.977091	490	Locus 09	L4 06b	4	SILEX	Fi/Cg			PS		1,1	30-03-2012/10:48:10.0
2012	5919	5789	11		1450595.563900	5116569.729010	82.995574	490	Locus 09	L4 06b	4	SILEX	Cg			PS		1,4	30-03-2012/10:07:47.0
2012	5919	5790	11		1450595.773304	5116569.777074	83.020652	490	Locus 09	L4 06b	4	SILEX	Fi			PS		2,5	30-03-2012/10:49:16.0
2012	5919	5791	12		1450596.714007	5116569.911862	82.981149	490	Locus 09	L4 06b	4	SILEX	/	bclret		PS	PN2209-2211	/	30-03-2012/11:14:26.0
2012	5919	5792	11		1450595.477209	5116570.278654	83.004236	490	Locus 09	K4 96d	4	SILEX	EC1/2			PS		3,1	30-03-2012/11:23:42.0
2012	5919	5793	11		1450595.356670	5116570.378901	83.019429	490	Locus 09	K4 96c	4	SILEX	/		137	PS	PN2365-2380	/	02-04-2012/12:20:59.0
2012	5919	5794	12		1450595.190418	5116570.661058	82.997558	490	Locus 09	K4 96a	4	SILEX	Fi/Cg			PS		6,3	02-04-2012/14:30:33.0
2012	5919	5795	12		1450595.898410	5116570.051474	83.019057	490	Locus 09	K4 96a	4	SILEX	LNC2/Lpde		152	PS		6,9	02-04-2012/15:24:28.0
2012	5919	5796	11		1450596.072315	5116570.464280	83.011376	490	Locus 09	K4 97a	4	SILEX	E/Lpde			PS		1,2	02-04-2012/15:25:50.0
2012	5919	5797	11		1450596.254703	5116570.683704	83.007226	490	Locus 09	K4 97a	4	SILEX	E11			PS		0,1	02-04-2012/15:26:13.0
2012	5919	5798	12		1450596.586469	5116570.186648	83.033405	490	Locus 09	K4 97d	4	SILEX	Eci			PS		1,8	02-04-2012/15:26:32.0
2012	5919	5799	11		1450596.786435	5116570.155378	83.001912	490	Locus 09	K4 97d	4	SILEX	Fi			PS		0,1	02-04-2012/15:26:32.0
2012	5919	5800	11		1450596.888649	5116570.049151	83.024821	490	Locus 09	K4 97d	4	SILEX	/		126	PS	PN2331-2345	/	02-04-2012/15:27:47.0
2012	5919	5801	16		1450596.816119	5116569.779462	82.992381	490	Locus 09	L4 07b	4	SILEX	D		101	PM		84,4	02-04-2012/15:28:29.0
2012	5919	5802	11		1450596.689979	5116569.486017	83.026397	490	Locus 09	L4 07b	4	SILEX	E0			PS		1,2	02-04-2012/15:28:58.0
2012	5919	5803	14		1450597.950864	5116570.891049	83.031229	490	Locus 09	K4 96b	4	SILEX	/		102	PM	PN2094	/	02-04-2012/15:29:22.0
2012	5919	5804	11		1450597.675579	5116569.967239	83.034031	490	Locus 09	K4 98/L4 08	4	SILEX	EC3			PS		3,4	02-04-2012/15:29:50.0
2012	5919	5805	11		1450597.705567	5116569.720432	83.031030	490	Locus 09	L4 08b	4	SILEX	EC2/Eci		127	PS	PN2316-2330	152	02-04-2012/15:30:07.0
2012	5919	5806	11		1450597.690293	5116569.491005	83.038625	490	Locus 09	L4 08b	4	SILEX	EC0			PS		5,7	02-04-2012/15:30:41.0
2012	5919	5807	12		1450598.727290	5116570.268790	83.030403	490	Locus 09	K4 99d	4	SILEX	Fi/Cg			PS		3,9	02-04-2012/15:30:56.0
2012	5919	5808	11		1450597.603097	5116569.989566	83.016733	490	Locus 09	K4 98/L4 08	4	SILEX	/		127	PS	PN2316-2330	/	02-04-2012/15:31:11.0
2012	5919	5809	12		1450598.517553	5116569.533003	83.028356	490	Locus 09	L4 09b	4	SILEX	EC2/Eci			PS		32,2	02-04-2012/15:31:40.0
2012	5919	5810	11		1450598.248558	5116569.207748	83.026000	490	Locus 09	L4 09c	4	SILEX	/		126	PS	PN2331-2345	/	02-04-2012/15:32:04.0
2012	5919	5811	11		1450598.692617	5116568.789640	83.029236	490	Locus 09	L4 19b	4	SILEX	/		126	PS	PN2331-2345	/	02-04-2012/15:32:43.0
2012	5919	5812	11		1450598.838974	5116568.780114	82.990495	490	Locus 09	L4 19b	4	SILEX	/		126	PS	PN2331-2345	/	02-04-2012/15:33:31.0
2012	5919	5813	11		1450598.511220	5116568.769472	83.026323	490	Locus 09	L4 19b	4	SILEX	Lpd			PS		1,3	02-04-2012/15:33:58.0
2012	5919	5814	11		1450598.362201	5116568.428930	83.006423	490	Locus 09	L4 19d	4	SILEX	Lpd			PS		5,8	02-04-2012/15:34:38.0
2012	5919	5815	11		1450598.696214	5116568.188260	83.003170	490	Locus 09	L4 19d	4	SILEX	/		126	PS	PN2331-2345	/	02-04-2012/15:35:31.0
2012	5919	5816	11		1450599.074545	5116568.256051	83.032293	490	Locus 09	L4 20c	4	SILEX	/		126	PS	PN2331-2345	/	02-04-2012/15:36:17.0
2012	5919	5817	11		1450599.219183	5116568.149821	83.048828	490	Locus 09	L4 20c	4	SILEX	/		145	PS		/	02-04-2012/15:36:37.0
2012	5919	5818	11		1450598.692166	5116568.355863	83.009363	490	Locus 09	L4 19d	4	SILEX	Eci		126	PS	PN2331-2345	615,7	02-04-2012/15:37:17.0
2012	5919	5819	11		1450598.766263	5116568.734068	82.990270	490	Locus 09	L4 19b	4	SILEX	Eci		126	PS	PN2331-2345	777,5	02-04-2012/15:37:57.0
2012	5919	5820	11		1450598.811188	5116568.765026	83.005813	490	Locus 09	L4 19b	4	SILEX	Fi			PS		5,4	02-04-2012/15:38:27.0
2012	5919	5821	11		1450595.471038	5116569.789201	82.971195	490	Locus 09	L4 06b	4	SILEX	EC2/Eci			PS		287,5	02-04-2012/15:39:06.0
2012	5919	5822	14		1450623.231858	5116571.316476	82.529978	490	Locus 04	K7 87c	4	SILEX	E0		58	PM	PN2122-2123	3,6	02-04-2012/15:39:37.0
2012	5919	5823	14		1450623.318249	5116571.094053	82.524205	490	Locus 04	K7 87c	4	SILEX	Fi		58	PM	PN2122-2123	1,5	02-04-2012/15:40:01.0
2012	5919	5824	14		1450623.357904	5116571.141528	82.526845	490	Locus 04	K7 87c	4	SILEX	EC1			PM		4,2	02-04-2012/15:40:34.0
2012	5919	5825	14		1450623.205469	5116571.126109	82.507603	490	Locus 04	K7 87c	4	SILEX	EC0		58	PM	PN2122-2123	3,2	02-04-2012/15:41:04.0
2012	5919	5827	14		1450623.214020	5116571.253796	82.494037	490	Locus 04	K7 84c	4/5	SILEX	E4		58	PM	PN2122-2123	14,9	02-04-2012/15:41:30.0
2012	5919	5828	16		1450623.216313	5116571.116621	82.505556	490	Locus 04	K7 84c	4/5	SILEX	E11			PM		0,1	02-04-2012/15:42:25.0
2012	5919	5829	16		1450623.135016	5116571.109595	82.521137	490	Locus 04	K7 84c	4/5	SILEX	E11			PM		1,6	02-04-2012/15:43:16.0
2012	5919	5830	16		1450623.189084	5116571.038694	82.519926	490	Locus 04	K7 84c	4/5	SILEX	EC8			PM		1	02-04-2012/15:45:02.0
2012	5919	5831	14		1450623.116603	5116571.062373	82.510452	490	Locus 04	K7 84c	4/5	SILEX	EC3		58	PM	PN2122-2123	18,4	02-04-2012/16:14:44.0

Inventaire officiel 7 – Montguyon (17), « Bois Clair ». Inventaire du mobilier individualisé

ANNEE	OA	IDENTIFIANT	N°DE CAISSE	N°DE LOT	X = est	Y = nord	Z = alti NGF	PARCELLE	SECTEUR (CP/TR/ST...)	CARRE	UPS	MATERIAU	SUPPORT (cf. annexe 3)	TYPOLOGIE (cf. annexe 3)	REMONTAGES	CHRONO-CULTURE (cf. annexe 3)	CLICHE	MASSE (g.)	DATE DECOUVERTE
2012	5919	5832	14		1450623.097158	5116571.040414	82.519487	490	Locus 04	K7 84c	4/5	SILEX	Fi		58	PM	PN2122-2123	0,2	03-04-2012/11:21:06.0
2012	5919	5833	15		1450623.048554	5116571.026658	82.514574	490	Locus 04	K7 84c	4/5	SILEX	E1	G7		PM		43,1	03-04-2012/11:21:16.0
2012	5919	5834	16		1450623.193408	5116571.136585	82.505199	490	Locus 04	K7 84c	4/5	SILEX	E11			PM		0,1	03-04-2012/11:32:14.0
2012	5919	5848	16		1450595.430894	5116569.659287	82.947974	490	Locus 09	L4 06b	4	SILEX	ENC1			PM/PS		6,7	03-04-2012/12:03:10.0
2012	5919	5849	16		1450595.329747	5116569.842653	82.923402	490	Locus 09	L4 06b	4	SILEX	E1			PM/PS		9,9	03-04-2012/13:49:13.0
2012	5919	5850	11		1450595.460389	5116570.136011	82.983111	490	Locus 09	K4 96d	4	SILEX	NT			PM/PS		2,4	03-04-2012/13:49:24.0
2012	5919	5851	16		1450595.041243	5116570.256141	82.936700	490	Locus 09	K4 96c	4	SILEX	D			PM/PS		3	03-04-2012/13:49:47.0
2012	5919	5852	16		1450595.266355	5116570.678339	82.963091	490	Locus 09	K4 96a	4	SILEX	Fi			PM/PS		6,5	03-04-2012/13:50:00.0
2012	5919	5853	12		1450595.423527	5116570.603448	82.967991	490	Locus 09	K4 96a	4	SILEX	Fi/Cg			PS		6,4	03-04-2012/13:50:16.0
2012	5919	5854	12		1450595.494884	5116570.553471	82.931571	490	Locus 09	K4 96c	4	SILEX	Fi/Cg			PS		4,6	03-04-2012/13:50:26.0
2012	5919	5855	18		1450595.914622	5116570.738204	82.972312	490	Locus 09	K4 96b	4	SILEX	E0			PS		3,4	03-04-2012/13:50:40.0
2012	5919	5856	18		1450595.951603	5116570.769311	82.945229	490	Locus 09	K4 96b	4	SILEX	Fi/Cg			PS		1,7	03-04-2012/14:29:25.0
2012	5919	5857	11		1450596.468398	5116570.415861	82.972401	490	Locus 09	K4 97c	4	SILEX	EC1		126	PS	PN2331-2345	78,6	04-04-2012/16:41:53.0
2012	5919	5858	14		1450596.560651	5116570.291858	82.935884	490	Locus 09	K4 97d	4	SILEX	EC1		102	PM	PN2094	6,1	04-04-2012/16:42:01.0
2012	5919	5859	11		1450596.500326	5116570.098140	82.970765	490	Locus 09	K4 97d	4	SILEX	Fi/Cg			PS		1	04-04-2012/16:42:16.0
2012	5919	5860	18		1450596.959212	5116570.533274	82.965187	490	Locus 09	K4 97b	4	SILEX							04-04-2012/16:42:29.0
2012	5919	5861	11		1450596.860249	5116570.101835	82.967296	490	Locus 09	K4 97d	4	SILEX	Fi			PS		1,5	04-04-2012/16:42:42.0
2012	5919	5862	16		1450596.925894	5116569.804650	82.961386	490	Locus 09	L4 07b	4	SILEX	D		101	PM		146,2	04-04-2012/16:43:04.0
2012	5919	5863	18		1450597.014872	5116570.884588	82.962985	490	Locus 09	K4 98b	4	SILEX							04-04-2012/16:43:50.0
2012	5919	5864	18		1450597.148455	5116570.688661	82.967459	490	Locus 09	K4 98a	4	SILEX							04-04-2012/16:44:09.0
2012	5919	5865	13		1450597.301053	5116570.599797	82.986842	490	Locus 09	K4 98a	4	SILEX	Lipd			PS		0,1	04-04-2012/16:44:24.0
2012	5919	5866	11		1450597.413774	5116570.364012	82.968537	490	Locus 09	K4 98c	4	SILEX	EC2			PS		15,7	04-04-2012/16:45:23.0
2012	5919	5867	11		1450597.344676	5116569.800791	82.984901	490	Locus 09	L4 08a	4	SILEX	E0			PS		0,3	04-04-2012/16:45:40.0
2012	5919	5868	11		1450597.810859	5116569.457026	82.943507	490	Locus 09	L4 08d	4	SILEX	Eci		126	PS	PN2331-2345	68,4	04-04-2012/16:45:55.0
2012	5919	5869	12		1450597.885312	5116570.410987	82.956549	490	Locus 09	K4 98b	4	SILEX	Fi/Cg			PS		8,3	04-04-2012/16:46:16.0
2012	5919	5870	12		1450597.909656	5116570.443640	82.960758	490	Locus 09	K4 98d	4	SILEX	Fi/Cg			PS		9,9	04-04-2012/16:46:35.0
2012	5919	5871	11		1450597.942536	5116570.608685	82.949809	490	Locus 09	K4 98d	4	SILEX	Fi			PS		0,&	04-04-2012/16:46:56.0
2012	5919	5872	11		1450598.153639	5116569.921521	82.952162	490	Locus 09	L4 09a	4	SILEX	Fi			PS		0,1	04-04-2012/16:47:23.0
2012	5919	5873	11		1450598.252275	5116569.484100	82.946037	490	Locus 09	L4 09c	4	SILEX	Cg			PS		2,1	04-04-2012/16:47:54.0
2012	5919	5874	11		1450598.158875	5116569.362729	82.956123	490	Locus 09	L4 09c	4	SILEX	E0			PS		1,2	04-04-2012/16:48:13.0
2012	5919	5875	11		1450598.708931	5116568.203582	82.994212	490	Locus 09	L4 19d	4	SILEX	/			PS		/	04-04-2012/16:48:33.0
2012	5919	5876	11		1450598.700624	5116568.219337	82.991796	490	Locus 09	L4 19d	4	SILEX				PS		/	04-04-2012/16:49:01.0
2012	5919	5877	11		1450599.320101	5116567.852111	82.988361	490	Locus 09	L4 30a	4	SILEX	EC2/E11			PS		0,5	04-04-2012/16:49:25.0
2012	5919	5878	14		1450598.905829	5116567.474389	82.944399	490	Locus 09	L4 30c	4	SILEX	ENC2		89	PM		3,4	04-04-2012/16:50:01.0
2012	5919	5879	11		1450599.389109	5116566.638617	82.993296	490	Locus 09	L4 40a	4	SILEX	EC1/EC2			PS		1,8	04-04-2012/16:50:17.0
2012	5919	5880	11		1450599.257883	5116566.609719	82.957637	490	Locus 09	L4 40a	4	SILEX	/		126	PS	PN2331-2345	/	04-04-2012/16:51:18.0
2012	5919	5881	12		1450599.187936	5116566.419479	82.987056	490	Locus 09	L4 40c	4	SILEX	Fi			PS		8,6	04-04-2012/16:51:41.0
2012	5919	5882	11		1450599.399518	5116567.209142	82.965345	490	Locus 09	L4 30c	4	SILEX	Lpdl			PS		0,4	04-04-2012/16:52:10.0
2012	5919	5883	16		1450595.505313	5116570.546235	82.915852	490	Locus 09	K4 96b	4	SILEX	Fi			PM/PS		3,3	04-04-2012/16:52:29.0
2012	5919	5884	18		1450595.749238	5116570.868965	82.932433	490	Locus 09	K4 96b	4	SILEX	Cg			PS		0,1	04-04-2012/16:52:56.0
2012	5919	5885	16		1450595.594270	5116570.228147	82.870397	490	Locus 09	K4 96b	4	SILEX	E4		100	PM		57,9	04-04-2012/16:53:31.0
2012	5919	5886	16		1450595.562246	5116569.248482	82.915422	490	Locus 09	L4 06d	4	SILEX	Fi			PM/PS		1,6	04-04-2012/16:54:52.0
2012	5919	5887	11		1450596.764347	5116569.367811	82.880780	490	Locus 09	L4 06d	4	SILEX	EC2			PM/PS-PS		5,7	04-04-2012/16:55:15.0
2012	5919	5888	11		1450597.682085	5116570.800665	82.896662	490	Locus 09	K4 98d	4	SILEX	Fi/Cg			PS		0,1	04-04-2012/16:55:36.0
2012	5919	5889	11		1450597.976948	5116568.898755	82.893383	490	Locus 09	L4 18/19	4	SILEX	E9/Epde?		126	PS	PN2331-2345	43,6	04-04-2012/16:56:10.0
2012	5919	5890	11		1450598.016477	5116568.916175	82.896650	490	Locus 09	L4 18/19	4	SILEX	/		126	PS	PN2331-2345	/	04-04-2012/16:56:29.0
2012	5919	5891	11		1450598.053183	5116568.774000	82.894126	490	Locus 09	L4 19a	4	SILEX	E9/Epde?		126	PS	PN2331-2345	62,2	04-04-2012/16:56:49.0
2012	5919	5892	11		1450598.181128	5116568.910341	82.914298	490	Locus 09	L4 19a	4	SILEX	E/Lpde			PS		0,1	06-04-2012/11:26:42.0
2012	5919	5893	11		1450598.457603	5116569.036455	82.930535	490	Locus 09	L4 09d	4	SILEX	/		126	PS	PN2331-2345	/	06-04-2012/11:26:59.0
2012	5919	5894	12		1450598.517373	5116568.763572	82.933300	490	Locus 09	L4 19b	4	SILEX	E0			PS		2,4	06-04-2012/11:27:14.0
2012	5919	5895	11		1450598.596674	5116568.619801	82.901981	490	Locus 09	L4 19b	4	SILEX	Fi/Cg			PS		0,5	06-04-2012/11:27:35.0
2012	5919	5896	11		1450598.522783	5116568.612644	82.899364	490	Locus 09	L4 19b	4	SILEX	E0/Lipd?			PS		0,1	06-04-2012/11:28:17.0
2012	5919	5897	16		1450598.496847	5116568.510858	82.904135	490	Locus 09	L4 19b	4	SILEX	Fi			PS		0,1	06-04-2012/11:29:20.0
2012	5919	5898	11		1450599.051061	5116567.875437	82.924758	490	Locus 09	L4 30a	4	SILEX	Fi/Cg			PS		0,7	06-04-2012/11:29:45.0
2012	5919	5899	11		1450599.273602	5116566.555008	82.910714	490	Locus 09	L4 40a	4	SILEX	Fi/Cg			PS		0,9	06-04-2012/11:29:56.0
2012	5919	5900	11		1450599.061134	5116566.343067	82.932152	490	Locus 09	L4 40c	4	SILEX	Fi/Cg			PS		0,7	06-04-2012/11:30:06.0
2012	5919	5901	16		1450599.089738	5116566.319624	82.929469	490	Locus 09	L4 40c	4	SILEX	Cg			PM/PS		5,5	06-04-2012/11:30:24.0
2012	5919	5902	16		1450596.449884	5116568.728772	82.903995	490	Locus 09	L4 07b	4	SILEX	D			PM/PS		6,4	06-04-2012/11:30:40.0

Inventaire officiel 7 – Montguyon (17), « Bois Clair ». Inventaire du mobilier individualisé

ANNEE	OA	IDENTIFIANT	N°DE CAISSE	N°DE LOT	X = est	Y = nord	Z = alti NGF	PARCELLE	SECTEUR (CP/TR/ST...)	CARRE	UPS	MATERIAU	SUPPORT (cf. annexe 3)	TYPOLOGIE (cf. annexe 3)	REMONTAGES	CHRONO-CULTURE (cf. annexe 3)	CLICHE	MASSE (g.)	DATE DECOUVERTE
2012	5919	5903	16		1450623.136667	5116571.702966	82.691521	490	Locus 04	K7 84a	4a	SILEX	Er			PM		0,6	06-04-2012/11:30:56.0
2012	5919	5904	16		1450623.407766	5116570.566842	82.523845	490	Locus 04	K7 94a	4a	SILEX	D			PM		2,2	06-04-2012/11:31:34.0
2012	5919	5905	14		1450623.311251	5116570.876658	82.532781	490	Locus 04	K7 94a	4a	SILEX	EC1		58	PM	PN2122-2123	10,5	06-04-2012/11:31:51.0
2012	5919	5906	16		1450623.131776	5116571.915638	82.448741	490	Locus 04	K7 84a	4/5	SILEX	Cg			PM		0,1	06-04-2012/11:32:23.0
2012	5919	5907	14		1450623.030135	5116570.910760	82.488450	490	Locus 04	K7 94a	4	SILEX	EC3		58	PM	PN2122-2123	29,6	06-04-2012/11:32:41.0
2012	5919	5908	15		1450623.171167	5116570.785620	82.494827	490	Locus 04	K7 94a	4	SILEX	E5		58	PM	PN2122-2123	6,3	06-04-2012/11:32:57.0
2012	5919	5909	14		1450623.209525	5116570.851858	82.506541	490	Locus 04	K7 94a	4	SILEX	/		58	PM	PN2122-2123	18,3	06-04-2012/11:33:18.0
2012	5919	5910	16		1450623.182647	5116570.875020	82.490637	490	Locus 04	K7 94a	4	SILEX	E11			PM		0,1	06-04-2012/11:33:34.0
2012	5919	5911	16		1450623.217675	5116570.909733	82.492804	490	Locus 04	K7 94a	4	SILEX	E11			PM		0,1	06-04-2012/11:34:46.0
2012	5919	5912	16		1450623.240525	5116570.909176	82.493607	490	Locus 04	K7 94a	4	SILEX	E11			PM		1,5	10-04-2012/14:41:32.0
2012	5919	5913	18		1450595.095139	5116570.595950	82.866469	490	Locus 09	K4 96a	4/5	SILEX	D			PM/PS		2,9	11-04-2012/08:44:55.0
2012	5919	5914	11		1450595.266222	5116570.410367	82.858096	490	Locus 09	K4 96c	4/5	SILEX	Eci ?			PM/PS		4,6	11-04-2012/09:01:33.0
2012	5919	5915	16		1450595.245466	5116570.004799	82.874934	490	Locus 09	K4 96/L4 06	4/5	SILEX	D			PM/PS		5	11-04-2012/14:52:40.0
2012	5919	5916	16		1450595.126222	5116569.995663	82.828504	490	Locus 09	K4 96/L4 06	4/5	SILEX	E1			PM/PS		1	11-04-2012/15:27:55.0
2012	5919	5917	11		1450595.626898	5116570.253531	82.866930	490	Locus 09	K4 96d	4/5	SILEX	NT			PM/PS		0,7	11-04-2012/15:28:04.0
2012	5919	5918	18		1450595.681598	5116570.566264	82.872429	490	Locus 09	K4 96b	4/5	SILEX	E0			PM/PS		1	11-04-2012/15:28:16.0
2012	5919	5919	18		1450595.699771	5116570.514522	82.882037	490	Locus 09	K4 96b	4/5	SILEX	E0			PM/PS		2,2	11-04-2012/15:28:24.0
2012	5919	5920	18		1450595.721326	5116570.499158	82.862703	490	Locus 09	K4 96b	4/5	SILEX	E11			PM/PS		0,5	11-04-2012/15:28:33.0
2012	5919	5921	11		1450595.570325	5116570.537241	82.893927	490	Locus 09	K4 96b	4/5	SILEX	Lpd	bif?	142	PS		21,5	11-04-2012/15:28:46.0
2012	5919	5922	11		1450595.108508	5116569.662428	82.832408	490	Locus 09	L4 06a	4/5	SILEX	EC3		126	PS	PN2331-2345	108	17-04-2012/10:46:27.0
2012	5919	5923	11		1450595.104696	5116569.603839	82.858742	490	Locus 09	L4 06a	4/5	SILEX	Fi/Cg			PM/PS		0,1	17-04-2012/10:46:46.0
2012	5919	5924	12		1450599.269435	5116568.949437	82.860906	490	Locus 09	L4 20a	4	SILEX	E11			PM/PS		1,1	17-04-2012/10:47:12.0
2012	5919	5925	17		1450598.469138	5116568.947076	82.848712	490	Locus 09	L4 19a	4	SILEX	E1			PM/PS		10,8	17-04-2012/10:47:31.0
2012	5919	5926	12		1450597.764743	5116569.1694482	82.876326	490	Locus 09	L4 08d	4	SILEX	EC2/Eci			PS		38	17-04-2012/10:48:43.0
2012	5919	5927	12		1450597.720151	5116568.834801	82.888165	490	Locus 09	L4 18b	4	SILEX	/			PS		/	17-04-2012/10:49:00.0
2012	5919	5928	11		1450597.680649	5116568.769968	82.904548	490	Locus 09	L4 18b	4	SILEX	EC2/Eci		138	PS		159,5	17-04-2012/10:49:14.0
2012	5919	5929	11		1450597.588320	5116568.837899	82.895039	490	Locus 09	L4 18b	4	SILEX	/		138	PS		/	17-04-2012/10:49:39.0
2012	5919	5930	12		1450596.556431	5116568.806487	82.902059	490	Locus 09	L4 17b	4	SILEX	E0			PS		11,4	17-04-2012/10:49:56.0
2012	5919	5931	11		1450596.532223	5116568.822613	82.900666	490	Locus 09	L4 17b	4	SILEX	EC1		151	PS		9,1	17-04-2012/10:51:15.0
2012	5919	5932	12		1450596.600202	5116569.225997	82.859249	490	Locus 09	L4 07d	4	Lithique autre	NT			PM/PS		8,8	17-04-2012/10:51:38.0
2012	5919	5933	12		1450596.564383	5116569.189505	82.871098	490	Locus 09	L4 07d	4	SILEX	Fi			PS		28,1	17-04-2012/10:52:17.0
2012	5919	5934	14		1450596.536568	5116569.197533	82.845459	490	Locus 09	L4 07d	4	SILEX	ENC2		94	PM	PN2060/2304-2306	74,9	17-04-2012/10:52:50.0
2012	5919	5935	11		1450595.972971	5116569.267277	82.833359	490	Locus 09	L4 06/07	4	SILEX	E0			PS		0,9	17-04-2012/10:53:11.0
2012	5919	5936	12		1450597.092146	5116568.209763	82.873403	490	Locus 09	L4 18c	4	SILEX	Eci			PS		23,1	17-04-2012/10:53:26.0
2012	5919	5937	16		1450597.402689	5116568.051821	82.918764	490	Locus 09	L4 19c	4	SILEX	E0			PM/PS		1,9	17-04-2012/10:53:42.0
2012	5919	5938	11		1450598.142574	5116568.116848	82.872430	490	Locus 09	L4 19c	4	SILEX	/		126	PS	PN2331-2345	/	17-04-2012/10:54:04.0
2012	5919	5939	11		1450596.527381	5116567.392460	82.899856	490	Locus 09	L4 27d	4	SILEX	E/Lpde			PS		0,3	17-04-2012/10:55:00.0
2012	5919	5940	12		1450596.430604	5116567.175417	82.899566	490	Locus 09	L4 27c	4	SILEX	Eci			PS		9,7	17-04-2012/10:55:22.0
2012	5919	5941	11		1450596.380092	5116567.174010	82.894041	490	Locus 09	L4 27c	4	SILEX	EC0			PS		1,7	17-04-2012/10:55:44.0
2012	5919	5942	12		1450594.891344	5116571.053714	83.001549	490	Locus 11	K4 85d	4	SILEX	Cg			PS		22,1	17-04-2012/10:56:00.0
2012	5919	5943	11		1450597.814671	5116566.223488	82.836910	490	Locus 09	L4 38b	4	SILEX	E/Lpde			PS		1,8	17-04-2012/10:56:17.0
2012	5919	5944	16		1450597.277268	5116566.341521	82.884099	490	Locus 09	L4 38a	4	SILEX	E3			PM		18	17-04-2012/10:56:50.0
2012	5919	5945	12		1450596.076167	5116566.031993	82.876784	490	Locus 09	L4 36a	4	SILEX	Lpd/Lpde			PM/PS		4,6	17-04-2012/10:57:16.0
2012	5919	5946	11		1450595.541098	5116566.632667	82.815591	490	Locus 09	L4 36b	5	SILEX	EC2			PM/PS		1,7	17-04-2012/10:57:32.0
2012	5919	5947	11		1450595.793218	5116566.796530	82.795714	490	Locus 09	L4 36b	5	SILEX	EC1			PM/PS		2,8	17-04-2012/10:58:01.0
2012	5919	5948	12		1450595.809715	5116566.770886	82.788676	490	Locus 09	L4 36b	5	SILEX	E0/Epde			PM/PS		3,3	17-04-2012/10:59:15.0
2012	5919	5949	12		1450595.593848	5116566.562928	82.774943	490	Locus 09	L4 36b	5	SILEX	Ecr		136	PS		5,5	17-04-2012/10:59:31.0
2012	5919	5950	11		1450598.063841	5116568.355153	82.825949	490	Locus 09	L4 19c	5	SILEX	E11			PS		0,1	17-04-2012/10:59:45.0
2012	5919	5951	20		1450595.403223	5116566.984215	82.725539	490	Locus 09	L4 26a	5	SILEX	Nb		45	PM		976,8	17-04-2012/11:02:15.0
2012	5919	5952	12		1450597.418839	5116567.799165	82.802648	490	Locus 09	L4 28a	5	SILEX	LC2/Lpde?			PS		47,3	19-04-2012/09:10:35.0
2012	5919	5953	14		1450597.420129	5116568.008535	82.864678	490	Locus 09	L4 18c	5	SILEX	ENC1		94	PM	PN2060/2304-2306	24,6	19-04-2012/09:10:48.0
2012	5919	5954	20		1450597.361593	5116568.244630	82.852793	490	Locus 09	L4 18c	5	SILEX	E0			PS		0,7	19-04-2012/09:11:27.0
2012	5919	5955	11		1450597.393557	5116568.330703	82.816257	490	Locus 09	L4 18c	5	SILEX	Cg			PM/PS		0,5	19-04-2012/10:47:48.0
2012	5919	5956	12		1450597.547772	5116568.125340	82.844662	490	Locus 09	L4 18d	5	SILEX	Fi/Cg			PS		2,4	19-04-2012/11:02:58.0
2012	5919	5957	11		1450597.845273	5116568.151438	82.819505	490	Locus 09	L4 18d	5	SILEX	E11			PS		0,1	19-04-2012/11:25:22.0
2012	5919	5958	12		1450598.431654	5116567.681511	82.842171	490	Locus 09	L4 29a	5	SILEX	LC2/Lpde?	Lret2		PS		9,4	19-04-2012/14:21:41.0
2012	5919	5959	11		1450597.660297	5116568.739860	82.850983	490	Locus 09	L4 18b	5	SILEX	E11			PS		0,5	19-04-2012/14:51:18.0
2012	5919	5960	16		1450594.869936	5116571.061944	83.002673	490	Locus 11	K4 85d	5	SILEX	Cg			PM/PS		9,7	19-04-2012/16:10:42.0

Inventaire officiel 7 – Montguyon (17), « Bois Clair ». Inventaire du mobilier individualisé

ANNEE	OA	IDENTIFIANT	N°DE CAISSE	N°DE LOT	X = est	Y = nord	Z = alti NGF	PARCELLE	SECTEUR (CP/TR/ST…)	CARRE	UPS	MATERIAU	SUPPORT (cf. annexe 3)	TYPOLOGIE (cf. annexe 3)	REMONTAGES	CHRONO-CULTURE (cf. annexe 3)	CLICHE	MASSE (g.)	DATE DECOUVERTE
2012	5919	5961	11		1450598.352082	5116568.971688	82.807266	490	Locus 09	L4 19a	5	SILEX	E0/Eci		126	PS	PN2331-2345	21,4	19-04-2012/16:17:13.0
2012	5919	5962	11		1450597.489139	5116567.361173	82.806404	490	Locus 09	L4 28d	5	SILEX	EC2/Eci		137	PS	PN2365-2380	43,8	19-04-2012/16:17:56.0
2012	5919	5963	11		1450597.663674	5116567.317772	82.774991	490	Locus 09	L4 28d	5	SILEX	/		126	PS	PN2331-2345	/	19-04-2012/16:18:31.0
2012	5919	5964	11		1450597.622595	5116567.491973	82.793721	490	Locus 09	L4 28d	5	SILEX	LC2/Lncr		142	PS		22,8	19-04-2012/16:19:06.0
2012	5919	5970	13		1450597.473878	5116575.755325	83.140679	490	Locus 09 (N)		4	SILEX	/		147	PM		/	19-04-2012/16:19:35.0
2012	5919	5971	16		1450597.410707	5116575.766569	83.121505	490	Locus 09 (N)		4	SILEX	D			PM/PS		16,8	19-04-2012/16:20:08.0
2012	5919	5972	13		1450597.467979	5116575.962095	83.133405	490	Locus 09 (N)		4	SILEX	E0		146	PM		/	19-04-2012/16:20:39.0
2012	5919	5973	16		1450597.648995	5116575.984815	83.118208	490	Locus 09 (N)		4	SILEX	Cg			PM/PS		3,5	19-04-2012/16:21:19.0
2012	5919	5974	18		1450598.019277	5116576.431084	83.109368	490	Locus 09 (N)		4	SILEX	ENC2/pdf			PM/PS		35	19-04-2012/16:21:55.0
2012	5919	5975	15		1450593.683060	5116575.618180	83.087983	490	Locus 11 (N)		4	SILEX	/		5	PM		/	19-04-2012/16:34:35.0
2012	5919	5976	*		1450595.862196	5116575.505462	83.113567	490	Locus 09 (N)		4	SILEX	EC2			PM/PS		24,9	20-04-2012/09:48:59.0
2012	5919	5977	17		1450595.830858	5116575.376390	83.137623	490	Locus 09 (N)		4	SILEX	EC3			PM/PS		11,5	20-04-2012/09:49:15.0
2012	5919	5978	16		1450596.564655	5116572.008259	83.050084	490	Locus 09 (N)		4	SILEX	Fi			PM/PS		1,2	20-04-2012/09:49:27.0
2012	5919	5979	11		1450596.830199	5116571.418944	83.057577	490	Locus 09 (N)		4	SILEX	LC2/Lpde		137	PS	PN2365-2380	11,9	23-04-2012/10:33:22.0
2012	5919	5980	18		1450597.369148	5116576.168949	83.099083	490	Locus 09 (N)		4	SILEX	EC1			PM/PS		16,5	23-04-2012/10:33:40.0
2012	5919	5981	13		1450597.496122	5116576.305386	83.105478	490	Locus 09 (N)		4	SILEX	EC2		8	PM/PS		73,8	23-04-2012/10:33:51.0
2012	5919	5982	11		1450594.125618	5116576.135449	83.132059	490	Locus 09 (N)		4	SILEX	EC0			PS		19,9	23-04-2012/10:34:01.0
2012	5919	5983	16		1450593.796349	5116575.680692	83.105522	490	Locus 09 (N)		4	SILEX	E0			PM/PS		25,6	23-04-2012/10:37:38.0
2012	5919	5984	15		1450593.640705	5116575.675051	83.078469	490	Locus 11 (N)		4	SILEX	Bt		5	PM		687,8	23-04-2012/11:12:02.0
2012	5919	5985	16		1450594.525304	5116574.421451	82.888013	490	Locus 11 (N)		5	SILEX	D			PM/PS		230,5	23-04-2012/11:12:38.0
2012	5919	5995	11		1450596.743480	5116565.122725	82.893130	490	Locus 09		4	SILEX	LC2/Lpde			PS		22,8	23-04-2012/11:12:48.0
2012	5919	5996	12		1450596.222056	5116565.826617	82.898673	490	Locus 09		4	SILEX	E9?			PS		26,1	23-04-2012/11:13:03.0
2012	5919	5997	11		1450597.203130	5116566.172029	82.752574	490	Locus 09	L4 38c	4/5	SILEX	/		137	PS	PN2365-2380	/	23-04-2012/11:13:14.0
2012	5919	5998	11		1450590.124801	5116569.508694	82.954950	490	Locus 00 (SE)		4	SILEX	EC3/E9		133	PS		51,1	23-04-2012/11:13:31.0
2012	5919	5999	11		1450590.062233	5116567.973049	83.019310	490	Locus 00 (SE)		4	SILEX	LC2/Lpde		140	PS		62,4	23-04-2012/11:13:41.0
2012	5919	6000	11		1450589.917365	5116570.717153	82.898393	490	entre Locus 00 et 10		4/5	SILEX	EC2/Eci		127	PS	PN2316-2330	138,5	23-04-2012/11:18:52.0
2012	5919	6014	15		1450596.972142	5116566.322376	82.726174	490	Locus 09	L4 38c	5	SILEX	E10			PM		7,2	23-04-2012/11:19:04.0
2012	5919	6015	12		1450596.107804	5116567.315751	82.758259	490	Locus 09	L4 27c	5	SILEX							23-04-2012/11:19:14.0
2012	5919	6016	15		1450596.466302	5116568.910061	82.623174	490	Locus 09	L4 27c	5	SILEX	E0	G2		PM		16,4	23-04-2012/11:38:04.0
2012	5919	6017	*		1450596.315932	5116570.458409	82.688989	490	Locus 09	K4 97c	5	SILEX	EC2/pdf			PM		29,6	23-04-2012/14:00:19.0
2012	5919	6021	17		1450596.511872	5116571.765244	82.799269	490	Locus 09		5	SILEX	NDU			PM		62,2	23-04-2012/14:04:04.0
2012	5919	6022	14		1450596.373320	5116569.514006	82.508512	490	Locus 09	L4 07a	5	SILEX	EC2			PM		49,6	23-04-2012/14:16:28.0
2012	5919	6023	15		1450595.808471	5116565.092721	82.672665	490	Locus 09		5	SILEX	EC3			PM		32,6	23-04-2012/11:45:53.0
2012	5919	6024	13		1450599.279403	5116567.397300	82.261237	490	Locus 03		5/6/7	SILEX	E0		60	PM	PN2307-2315	17,1	23-04-2012/11:46:04.0
2012	5919	6025	15		1450599.110233	5116567.786836	82.262745	490	Locus 03		5/6/7	SILEX	E2			PM		3,6	23-04-2012/11:51:39.0
2012	5919	6026	13		1450599.433680	5116565.019199	82.473160	490	Locus 03		5	SILEX	E5			PM		10,3	23-04-2012/14:44:00.0
2012	5919	6027	18		1450599.463493	5116564.964116	82.404472	490	Locus 03		5	SILEX	EC1			PM		100,6	23-04-2012/14:44:15.0
2012	5919	6028	16		1450599.295869	5116564.965997	82.411553	490	Locus 03		5	SILEX	E6			PM		1,5	23-04-2012/14:44:27.0
2012	5919	6029	13		1450597.295585	5116575.431592	83.063810	490	Locus 09 (N)		4	SILEX	EC3		147	PM		173,3	23-04-2012/14:44:39.0
2012	5919	6030	13		1450597.029022	5116575.582596	82.995529	490	Locus 09 (N)		4/5	SILEX	/		147	PM		/	23-04-2012/14:59:46.0
2012	5919	6031	16		1450621.367404	5116598.099431	82.302032	490	Locus 01		5	SILEX	D			PM		11,7	23-04-2012/15:00:14.0
2012	5919	6032	15		1450621.262906	5116598.613059	82.293008	490	Locus 01		5	SILEX	E1			PM		3,5	23-04-2012/15:16:23.0
2012	5919	6033	12		1450622.484158	5116598.385501	82.288170	490	Locus 01		5	SILEX	R2	G5		PM		34,5	23-04-2012/15:16:41.0
2012	5919	6034	16		1450620.358638	5116598.152193	82.265834	490	Locus 01		5	SILEX	EC2			PM		17,3	23-04-2012/15:17:05.0
2012	5919	6035	14		1450619.712839	5116598.763026	82.253178	490	Locus 01		5	SILEX	E5		46	PM		7,6	23-04-2012/15:33:35.0
2012	5919	6036	15		1450620.704179	5116599.115048	82.237563	490	Locus 01		5	SILEX	EC3			PM		14,2	23-04-2012/15:42:11.0
2012	5919	6037	17		1450629.952784	5116595.381745	81.470402	490			6/7	SILEX	NB			PM		614	23-04-2012/15:42:33.0
2012	5919	6038	16		1450629.952584	5116595.448147	81.503722	490			6/7	SILEX	D			PM		6	23-04-2012/15:49:38.0
2012	5919	6039	15		1450622.227817	5116598.577803	82.081599	490	Locus 01		5	SILEX	ENC2			PM		11,8	24-04-2012/08:44:12.0
2012	5919	6040	17		1450620.567635	5116600.737635	81.914441	490	Locus 01		5	SILEX	E6			PM		66,9	24-04-2012/09:31:50.0
2012	5919	6041	16		1450622.100775	5116599.926082	81.979775	490	Locus 01		5	SILEX	D			PM		1,7	24-04-2012/09:32:16.0
2012	5919	6042	11		1450604.519814	5116578.995051	83.114632	490	Locus 09 (N)		4	SILEX	Ecr/EC2			PS		33,2	24-04-2012/09:38:46.0
2012	5919	6043	16		1450600.383231	5116578.791508	82.291327	490	Locus 09 (N)		6	SILEX	E3			PM		16	24-04-2012/09:40:22.0
2012	5919	6044	16		1450600.385014	5116578.744200	82.307923	490	Locus 09 (N)		6	SILEX	Cg			PM		11,9	24-04-2012/09:40:38.0
2012	5919	6045	15		1450593.829172	5116556.081870	82.402683	490	Locus 09 (N)		5	SILEX	E5			PM		15,7	24-04-2012/09:41:03.0
2012	5919	6047	17		1450593.635365	5116557.225006	82.355429	490	Locus 09 (N)		5	SILEX	E10			PM		17,4	24-04-2012/10:15:09.0
2012	5919	6048	15		1450593.525163	5116555.575088	82.241010	490	Locus 09 (N)		5/6	SILEX	E1			PM		2,1	24-04-2012/10:15:44.0
2012	5919	6049	14		1450623.631673	5116571.657223	82.451556	490	Locus 04		4/5	SILEX	EC2	G5		PM		42,1	24-04-2012/10:23:05.0

Inventaire officiel 7 – Montguyon (17), « Bois Clair ». Inventaire du mobilier individualisé

ANNEE	OA	IDENTIFIANT	N°DE CAISSE	N°DE LOT	X = est	Y = nord	Z = alti NGF	PARCELLE	SECTEUR (CP/TR/ST...)	CARRE	UPS	MATERIAU	SUPPORT (cf. annexe 3)	TYPOLOGIE (cf. annexe 3)	REMONTAGES	CHRONO-CULTURE (cf. annexe 3)	CLICHE	MASSE (g.)	DATE DECOUVERTE
2012	5919	6050	15		1450624.194677	5116571.459768	82.284366	490	Locus 04		5/6	SILEX	E5			PM		14,7	24-04-2012/10:23:23.0
2012	5919	6051	18				82.267499	490			6?	SILEX	EC2pdf			PM		11,2	24-04-2012/10:29:02.0
2012	5919	6052	16		1450584.8008	5116545.4181	81.9814	491			5/7?	SILEX	D			PM		71,9	24-04-2012/10:54:27.0
2012	5919	6053	11		1450602.5799	5116570.6235	82.969316	490			4	SILEX	/			PS/EPIP		/	24-04-2012/11:44:02.0
2012	5919	6054	18				83.401803	490	TR08		1/2	Céramique	Tesson			H		/	24/04/2012
2012	5919	6055	16		1450592.7015	5116587.2626	83.964028	490	Locus 18		5	SILEX	EC2			PM		5	24-04-2012/14:02:04.0
2012	5919	6056	16		1450594.7309	5116591.8537	82.759076	490	Locus 15		5	SILEX	Fi			PM		4,2	24-04-2012/14:12:50.0
2012	5919	6057	15		1450594.0539	5116587.7155	82.905715	490	Locus 12bis		4/5	SILEX	ENC1			PM		11,2	24-04-2012/14:22:37.0
2012	5919	6058	15		1450594.0554	5116587.7819	82.905715	490	Locus 12bis		4/5	SILEX	E5			PM	PN2062	14,2	24-04-2012/14:35:55.0
2012	5919	6059	15		1450589.9062	5116593.1864	83.046462	490	CP19		4	SILEX	E3			PM		27,5	24-04-2012/14:43:39.0
2012	5919	6060	15		1450589.9067	5116593.2435	83.052022	490	CP19		4	SILEX	E2			PM		28	24-04-2012/14:43:45.1
2012	5919	6061	16				82.093325	490	TR04		4a	SILEX	Ef			PM		38,3	18/11/2011
2012	5919	6062	15		1450586.0765	5116575.0015	82.959724	490			4/5	SILEX	E5			PM		6	
2012	5919	6063	13		1450586.1478	5116574.7877	82.959724	490			4/5	SILEX	EL1			PM		14,3	
2012	5919	6064	12					490	Locus 08		2/4	SILEX	E0	rex2		NEO?		56	10/01/2012
2012	5919	6065	12					490	Locus 08		2/4	SILEX	EC1			NEO?		42,4	10/01/2012
2012	5919	6066	13		1450600.3963	5116564.5406	82.378688	490	Locus 03		7	SILEX	E5		60	PM	PN2307-2315	30,1	23/04/2012
2012	5919	6067	15		1450605.6375	5116598.7717	82.390018	490			5	SILEX	E4			PM		27,4	
2012	5919	6068	15		1450605.6963	5116598.8436	82.416491	490			5	SILEX	E1			PM		1,4	
2012	5919	6069	17		1450607.7550	5116576.8744	82.585020	490			5	SILEX	E2			PM		16,9	
2012	5919	6070	11					490	Locus 11		?	SILEX	/			PS		/	19/04/2012
2012	5919	6072	14				83.242319	490	TR08		3/4?	SILEX	E1		102	PM	PN2094	16,9	29-11-2011/14:52:14.0
2012	5919	6073	15		1450585.7225	5116575.1168	82.786324	490			5	SILEX	EK		25	PM	PN2084	24,9	
2012	5919	6074	15		1450616.2466	5116589.8118	81.983061	490	TR10bis		5/6	SILEX	EC2			PM		30,8	05-12-2011/17:03:18.0
2012	5919	6075	15		1450596.5808	5116582.5917	82.351941	490			5	SILEX	Fi			PM		4,5	
2012	5919	6076	18		1450599.1437	5116594.2224	82.9057	490	Locus 13 (N)		5	SILEX	EC3			PM		10,4	14-03-2012/10:00:10.0
2012	5919	6077	15		1450588.1879	5116573.7668	83.166033	490			4	SILEX	E3			PM		2,5	
2012	5919	6078	15		1450642.6861	5116583.5814	82.76	490	Locus 08		2/4	SILEX	cb			NEO?		0,1	10-01-2012/15:53:50.0
2012	5919	6080	13					490	Locus 03		7	SILEX	E0		60	PM	PN2307-2315	10,3	23-04-2012/14:44:27.0
2012	5919	6081	16		1450584.7993	5116580.4856	83.105684	490			4	SILEX	E11			PM		1,2	24/04/2012
2012	5919	HS01	16					?				SILEX	R1	G1		PM	PN2155-2157	230,4	17/04/2012
2012	5919	HS98	12					?	Locus 12bis		5	SILEX	EL	G5		PM		26,8	23/04/2012
2012	5919	HS75	14					?	Locus 11			SILEX	E0	G9	102	PM	PN2094	25	19/04/2012
2012	5919	HS58	13					?	Locus 09		5	SILEX	EC2pdf		110	PM	PN2300-2303	183,2	10/01/2012

* non retrouvée

Inventaire officiel 7 – Montguyon (17), « Bois Clair ». Inventaire du mobilier individualisé

OA	n°de lot	n°caisse	localisation locus	localisation carré	décap n°	nombre de test	frgts éclat	esq	µesq	cassons	Totaux
5919	1	19	loc 0	K3.100	1	1	1	0	0	0	1
5919	2	19	loc 0	L3.10	2	1	1	5	2	2	10
				L3.18	2	1					0
				K3.77	2	1					0
				K3.89	2	1					0
5919	3	19	loc 0	L3.10	3	1	12	80	45	6	143
				L3.19	3	1					0
				K3.78	3	1					0
				K3.88	3	1					0
				K3.89	3	1					0
				K3.90	3	1					0
				K3.96	3	1					0
				K3.98	3	1					0
				K3.100	3	3					0
5919	4	19	loc 0	L3.09	4	1	9	70	38	2	119
				L3.18	4	1					0
				L3.19	4	1					0
				L3.26	4	2					0
				L3.28	4	1					0
				L3.29	4	1					0
				K3.78	4	1					0
				K3.87	4	1					0
				K3.88	4	2					0
				K3.89	4	1					0
				K3.97	4	1					0
				K3.98	4	1					0
				K3.99	4	1					0
				K3.100	4	2					0
5919	5	19	loc 0	L3.07	5	1	10	83	83	1	177
				L3.08	5	1					0
				L3.09	5	1					0
				L3.18	5	1					0
				L3.19	5	1					0
				L3.26	5	2					0
				L3.29	5	1					0
				K3.77	5	1					0
				K3.78	5	1					0
				K3.80	5	1					0
				K3.87	5	1					0
				K3.88	5	1					0
				K3.89	5	1					0

Inventaire officiel 8 – Montguyon (17), « Bois Clair ». Inventaire du mobilier issu du tamisage

OA	n° de lot	n° caisse	localisation locus	localisation carré	décap n°	nombre de test	frgts éclat	esq	µesq	cassons	Totaux
				K3.90	5	1					0
				K3.98	5	1					0
				K3.99	5	2					0
				K3.100	5	1					0
5919	**6**	**19**	loc 0	L3.07	6	1	9	34	25	9	77
				L3.08	6	1					0
				L3.09	6	1					0
				L3.18	6	1					0
				L3.27	6	1					0
				L3.29	6	1					0
				K3.77	6	1					0
				K3.78	6	1					0
				K3.88	6	1					0
				K3.90	6	1					0
				K3.97	6	1					0
				K3.98	6	1					0
				K3.99	6	2					0
				K3.100	6	1					0
5919	**7**	**19**	loc 0	L3.07	7	1	10	30	2	3	45
				L3.08	7	2					0
				L3.09	7	1					0
				L3.18	7	1					0
				L3.19	7	1					0
				L3.27	7	1					0
				K3.77	7	1					0
				K3.78	7	1					0
				K3.88	7	1					0
				K3.89	7	1					0
				K3.97	7	2					0
				K3.98	7	1					0
				K3.99	7	1					0
				K3.100	7	1					0
5919	**8**	**19**	loc 1	I6.08	1	2	16	25	16	4	61
				I6.09		3					0
				I6.18		2					0
				I6.19		4					0
				I6.20		2					0
				I6.28		1					0
				I6.29		2					0
				I6.30		2					0
				I6.39		1					0

OA	n° de lot	n° caisse	localisation locus	localisation carré	décap n°	nombre de test	frgts éclat	esq	µesq	cassons	Totaux
5919	**9**	**19**	loc 2		nettoyage		3	2	6	0	11
			loc 2	I6.06	1	3	1	6	2	0	9
				I6.16		2					0
				I6.17		4					0
				I6.26		2					0
				I6.27		1					0
5919	**10**	**19**	loc 4		1		0	0	0	0	0
				K7.82	2	1	2	18	0	6	26
				K7.83		4					0
				K7.84		1					0
5919	**11**	**19**	loc 4	K7.83	3	3	6	7	1	1	15
				K7.84		1					0
5919	**12**	**19**	loc 4	K7.83	4	3	5	10	0	4	19
				K7.84		1					0
				K7.94		1					0
5919	**13**	**19**	loc 4	K7.84	5	2	11	26	0	0	37
				K7.94		2					0
5919	**14**	**19**	loc 4	K7.84	6	2	9	19	4	4	36
				K7.94		1					0
5919	**15**	**19**	loc 4	K7.84	7	2	4	4	0	3	11
				K7.94		1					0
5919	**16**	**19**	loc 4	K7.84	8	1	0	3	0	0	3
5919	**17**	**19**	loc 4	K7.84	9	1	2	1	0	0	3
5919	**18**	**19**	loc 4	K7.84	12	1	0	1	0	0	1
5919	**19**	**19**	loc 5		nettoyage		3	24	31	5	63
5919	**20**	**19**	loc 5	L6.88	1	2	17	81	48	0	146
				L6.89		4					0
				L6.98		1					0
				L6.99		4					0
5919	**21**	**19**	loc 5	L6.98	2	1	1	8	0	0	9
				L6.99		1					0
5919	**22**	**19**	loc 7	M5.18	nettoyage/1	1	2	14	0	0	16
5919	**23**	**19**	loc 7	M5.08	2	1	2	21	12	4	39
				M5.17		2					0
				M5.18		4					0
				M5.27		1					0
				M5.28		2					0
				L5.98		1					0
5919	**24**	**19**	loc 7	M5.18	3	1	0	0	1	2	3
5919	**25**	**19**	loc 9	L4.06	1	1	2	22	14	3	41

OA	n°de lot	n°caisse	localisation locus	localisation carré	décap n°	nombre de test	frgts éclat	esq	µesq	cassons	Totaux
				L4.19		1					0
				L4.27		1					0
				L4.28		2					0
				L4.29		2					0
				K4.96		1					0
				K4.98		2					0
5919	**26**	**19**	loc 9	L4.06	2	3	29	108	68	4	209
				L4.07		1					0
				L4.08		1					0
				L4.09		1					0
				L4.17		3					0
				L4.19		2					0
				L4.20		1					0
				L4.27		1					0
				L4.28		2					0
				L4.29		1					0
				L4.30		1					0
				L4.38		4					0
				L4.39		2					0
				K4.96		3					0
				K4.97		2					0
				K4.98		1					0
5919	**27**	**19**	loc 9	L4.07	3	1	32	192	154	14	392
				L4.08		1					0
				L4.09		1					0
				L4.17		1					0
				L4.18		2					0
				L4.20		1					0
				L4.27		3					0
				L4.28		4					0
				L4.29		1					0
				L4.37		1					0
				L4.38		4					0
				L4.39		2					0
				L4.40		1					0
				L4.48		1					0
				L4.49		1					0
				K4.96		2					0
				K4.97		2					0
5919	**28**	**19**	loc 9	L4.07	4	1	60	323	170	5	558
				L4.09		1					0

Inventaire officiel 8 – Montguyon (17), « Bois Clair ». Inventaire du mobilier issu du tamisage

OA	n°de lot	n°caisse	localisation locus	localisation carré	décap n°	nombre de test	frgts éclat	esq	µesq	cassons	Totaux
				L4.18		2					0
				L4.19		2					0
				L4.26		2					0
				L4.27		3					0
				L4.28		4					0
				L4.29		2					0
				L4.37		1					0
				L4.38		4					0
				L4.40		1					0
				L4.48		1					0
				K4.96		2					0
				K4.97		1					0
				K4.98		1					0
5919	**29**	**19**	loc 9	L4.06	5	1	31	123	83	5	242
				L4.07		2					0
				L4.08		2					0
				L4.09		1					0
				L4.18		2					0
				L4.27		2					0
				L4.28		4					0
				L4.29		2					0
				L4.37		2					0
				L4.38		2					0
				L4.39		1					0
				K4.96		3					0
				K4.97		1					0
5919	**30**	**19**	loc 9	L4.18	6	2	9	40	16	3	68
				L4.19		1					0
				L4.27		1					0
				L4.28		2					0
				L4.37		2					0
				L4.39		1					0
				K4.96		1					0
5919	**31**	**19**	loc 10	I5.27	1	4	4	44	37	0	85
				I5.28		1					0
				I5.37		4					0
			loc 10	I5.27	2	3	6	56	41	0	103
5919	**32**	**19**	loc 11	K4.52	1	2	32	117	25	12	186
				K4.53		2					0
				K4.61		1					0
				K4.62		1					0

OA	n°de lot	n°caisse	localisation locus	localisation carré	décap n°	nombre de test	frgts éclat	esq	µesq	cassons	Totaux
				K4.63		2					0
				K4.64		1					0
				K4.71		2					0
				K4.72		1					0
				K4.73		2					0
				K4.81		3					0
				K4.91		2					0
				L4.01		1					0
5919	**33**	**19**	loc 11	K4.55	2	1	24	85	34	4	147
				K4.61		1					0
				K4.62		1					0
				K4.63		1					0
				K4.64		1					0
				K4.71		3					0
				K4.72		1					0
				K4.73		2					0
				K4.81		1					0
				K4.82		2					0
				K4.83		1					0
				K4.85		1					0
				K4.91		4					0
				K4.92		1					0
				K4.93		1					0
5919	**34**	**19**	loc 11	K4.61	3	2	5	36	12	0	53
				K4.71		3					0
				K4.82		1					0
				K4.84		2					0
				K4.91		2					0
				K4.92		3					0
				K4.93		1					0
5919	**35**	**19**	loc 11	K4.72	4	1	4	14	7	1	26
				K4.73		1					0
				K4.82		1					0
				K4.92		1					0
				K4.93		1					0
				K4.95		1					0
5919	**36**	**19**	loc 12		nettoyage		6	10	4	0	20
5919	**37**	**19**	loc 13		nettoyage		2	11	2	0	15
5919	**38**	**19**	loc 12bis		nettoyage		1	5	1	0	7
			loc 12bis	J4.15	1	4	4	41	6	4	55

OA	n° de lot	n° caisse	localisation locus	localisation carré	décap n°	nombre de test	frgts éclat	esq	µesq	cassons	Totaux
				J4.16		1					0
				J4.18		1					0
				J4.25		4					0
				J4.26		2					0
				J4.35		1					0
5919	39	19	loc 14	I4.34	1	1	2	16	7	0	25
				I4.44		2					0
			loc 14	I4.34	2	1	0	4	1	0	5
			loc 14	I4.34	3	1	3	5	0	0	8
5919	40	19	loc 15	I4.88	1	1	1	61	75	1	138
				I4.89		2					0
				I4.98		2					0
				I4.99		2					0
5919	41	19	loc 15	I4.88	2	1	15	101	75	3	194
				I4.89		3					0
				I4.98		3					0
				I4.99		1					0
5919	42	19	loc 15	I4.88	3	2	17	79	41	0	137
				I4.89		4					0
				I4.98		1					0
				I4.99		1					0
5919	43	19	loc 16	J6.99	1	1	2	4	0	0	6
				K6.10		4					0
			loc 16	J6.100	2	1	1	2	0	0	3
				K6.10		1					0
											3803
5919	44	19	loc 0	K3.88	3	1	esq os				
				K3.89	5	1	esq os				

Inventaire officiel 8 – Montguyon (17), « Bois Clair ». Inventaire du mobilier issu du tamisage

OA	n° Lot	n° caisse	localisation locus	localisation carré	décap n°	frgts é clat	esq	µesq	cassons	Totaux
5919	**45**	**19**	0	L3 19cd	1	1	1	0	0	2
			0	K3 70c K3 60bd L3 18bc L3 19a K3 80b	2	5	3	0	1	9 0 0 0 0
			0	L3 29b L3 27c L3 18d L3 10a K3 100d K3 90acd K3 89d	3	4	13	2	0	19 0 0 0 0 0 0
			0	K3 78c K3 98b K3 80c K3 70c	4	1	2	0	2	5 0 0 0
			0	L3 18a K3 97ad K3 78d K3 87d K3 99b L3 08a	5	2	5	0	1	8 0 0 0 0 0
			0	K3 80a L3 18c L3 07b K3 99c K3 87c	6	2	4	0	1	7 0 0 0 0
			0	L3 07b K3 77d K3 80a L3 08b K3 87c	7 et 8	3	3	0	1	7 0 0 0 0
5919	**46**	**19**	9	L4 19c L4 20c K4 98b K4 99a	1	16	21	2	5	44 0 0 0

OA	n°Lot	n°caisse	localisation locus	localisation carré	décap n°	frgts é clat	esq	µesq	cassons	Totaux
				L4 30a						0
				K4 96ab						0
				L4 18bd						0
				L4 38cd						0
				L4 29c						0
				L4 28acd						0
				K4 97b						0
				L4 27b						0
				L4 17ac						0
				L4 36d						0
				L4 37abd						0
			9	L4 38ab	2	17	34	1	3	55
				L4 40d						0
				L4 28abcd						0
				L4 29abcd						0
				L4 39b						0
				L4 19b						0
				L4 20ac						0
				K4 96b						0
				L4 07cd						0
				L4 08ad						0
				L4 09d						0
				L4 30b						0
				L4 36b						0
				L4 27c						0
				L4 26d						0
				L4 37bcd						0
			9	L4 38abc	3	34	66	0	14	114
				L4 29abcd						0
				L4 28abcd						0
				L4 18acd						0
				L4 16d						0
				L4 19acd						0
				L4 40c						0
				K4 96a						0
				L4 08b						0
				L4 17d						0

Inventaire officiel 9 – Montguyon (17), « Bois Clair ». Inventaire du mobilier non individualisé

OA	n°Lot	n°caisse	localisation locus	localisation carré	décap n°	frgts é clat	esq	µesq	cassons	Totaux
				L4 07c						0
				L4 39a						0
				L4 37cd						0
				L4 27b						0
				L4 18d						0
			9	L4 37a	4	26	32	2	12	72
				L4 27ac						0
				L4 28abd						0
				L4 18d						0
				L4 29acd						0
				K4 98d						0
				L4 19ac						0
				L4 20c						0
				L4 59b						0
				L4 09c						0
				L4 08bc						0
				L4 17a						0
				L4 06b						0
				L4 37bd						0
			9	L4 08b	5	7	8	0	9	24
				L4 07a						0
				L4 28ad						0
				L4 38b						0
				L4 37ad						0
				L4 18ad						0
				L4 19a						0
				L4 20c						0
				L4 39d						0
				L4 48a						0
				L4 37bd						0
				L4 28 sous blocs						0
			9	L4 18a	6 et 7	6	6	0	2	14
				L4 26bd						0
				L4 28cd						0
				L4 37bd						0
				L4 36b						0
				L4 29a						0

Inventaire officiel 9 – Montguyon (17), « Bois Clair ». Inventaire du mobilier non individualisé

OA	n°Lot	n°caisse	localisation locus	localisation carré	décap n°	frgts é clat	esq	µesq	cassons	Totaux
5919	47	19	11	K4 72a	1	5	1	0	1	7
				K4 71b						0
				K4 61b						0
				K4 51ab						0
				K4 63c						0
			11	K4 85d	2	5	25	0	3	33
				K4 55d						0
				K4 71abd						0
				K4 72c						0
				K4 63a						0
				K4 51b						0
				K4 91abc						0
				L4 01b						0
			11	K4 94a	3	1	4	0	3	8
				K4 73c						0
				K4 51a						0
				K4 91ac						0
			11	K4 95d	4	0	1	0	1	2
				K4 82c						0
5919	48	19	7	locus 7 zone B sud	1	5	9	0	1	15
			7	M5 17bcd	2	0	4	0	2	6
				M5 08c						0
				M5 18c						0
			7	M5 18c	3	0	1	0	0	1
5919	49	19	13	loc 13	rasettage 2	1	4	0	0	5
			14	I4 35ac	1	3	0	0	0	3
5919	50	19	14	I4 44b	2	1	0	0	0	1
5919	51	19	15	I4 88bd	1	3	20	0	2	25
				I4 99a						0
				I4 97b						0
				I4 100a						0
				I4 89cd						0
			15	I4 88bd	2	7	27	0	3	37
				I4 99a						0
				I4 89bc						0
				loc 15 déc 2						0

Inventaire officiel 9 – Montguyon (17), « Bois Clair ». Inventaire du mobilier non individualisé

OA	n°Lot	n°caisse	localisation locus	localisation carré	décap n°	frgts é clat	esq	µesq	cassons	Totaux
			15	I4 88d I4 89c	3	1	5	0	0	6 0
5919	52	19	12							3
5919	53	19	5							22
5919	54	19	4							16
5919	55	19	10							22
5919	56	19	2							5
5919	57	19	3							22

Inventaire officiel 9 – Montguyon (17), « Bois Clair ». Inventaire du mobilier non individualisé

ANNEE	CODE OPERATION	NUMERO ARCHIVES	N°LOT	NATURE CONTENANT	NATURE ARCHIVE	DESCRIPTION
2011	OA_5919	AR1		Boite archive	documentation ecrite	E1 à E6
2011	OA_5919	AR2		Boite archive	documentation ecrite	E7 à E12
2011	OA_5919	AR3	DVD1	Boite archive	documentation numérique	Photos
2011	OA_5919	AR4	DVD2	Boite archive	documentation numérique	Photos
2011	OA_5919	AR5	DVD3	Boite archive	documentation numérique	Photos
2011	OA_5919	AR6	DVD4	Boite archive	documentation numérique	Rapport d'opération, figures, plans, tableurs…

Inventaire officiel 10 – Montguyon (17), « Bois Clair ». Inventaire des archives

OA_5919	Fouille 2011	MONTGUYON, Bois Clair	
CAISSE 1			
Mobilier		Matière	Description	Poids
Minéral		Quartz/Quartzite	artefacts numérotés	15,1 kg
OA_5919	**Fouille 2011**	**MONTGUYON, Bois Clair**	
CAISSE 2			
Mobilier		Matière	Description	Poids
Minéral		Quartz/Quartzite	artefacts numérotés	15 kg
OA_5919	**Fouille 2011**	**MONTGUYON, Bois Clair**	
CAISSE 3			
Mobilier		Matière	Description	Poids
Minéral		Quartz/Quartzite	artefacts numérotés	15 kg
OA_5919	**Fouille 2011**	**MONTGUYON, Bois Clair**	
CAISSE 4			
Mobilier		Matière	Description	Poids
Minéral		Quartz/Quartzite	artefacts numérotés	14,5 kg
OA_5919	**Fouille 2011**	**MONTGUYON, Bois Clair**	
CAISSE 5			
Mobilier		Matière	Description	Poids
Minéral		Grès	artefacts numérotés	14 kg
OA_5919	**Fouille 2011**	**MONTGUYON, Bois Clair**	
CAISSE 6			
Mobilier		Matière	Description	Poids
Minéral		Grès	artefacts numérotés	15 kg
OA_5919	**Fouille 2011**	**MONTGUYON, Bois Clair**	
CAISSE 7			
Mobilier		Matière	Description	Poids
Minéral		Grès	artefacts numérotés	13,6 kg
OA_5919	**Fouille 2011**	**MONTGUYON, Bois Clair**	
CAISSE 8			
Mobilier		Matière	Description	Poids
Minéral		Grès	artefacts numérotés	15,4 kg
OA_5919	**Fouille 2011**	**MONTGUYON, Bois Clair**	
CAISSE 9			
Mobilier		Matière	Description	Poids
Minéral		Grès	artefacts numérotés	14,8 kg
OA_5919	**Fouille 2011**	**MONTGUYON, Bois Clair**	
CAISSE 10			
Mobilier		Matière	Description	Poids
Minéral		Silex	artefacts numérotés	11,3 kg
OA_5919	**Fouille 2011**	**MONTGUYON, Bois Clair**	
CAISSE 11			
Mobilier		Matière	Description	Poids
Minéral		Silex	artefacts numérotés	13,3 kg
OA_5919	**Fouille 2011**	**MONTGUYON, Bois Clair**	
CAISSE 12			

Inventaire officiel 11 – Montguyon (17), « Bois Clair ». Inventaire des caisses de mobilier

Mobilier	Matière	Description	Poids
Minéral	Silex	artefacts numérotés	9,9 kg
OA_5919 **Fouille 2011**	**MONTGUYON, Bois Clair**		
CAISSE 13			
Mobilier	Matière	Description	Poids
Minéral	Silex	artefacts numérotés	14,7 kg
OA_5919 **Fouille 2011**	**MONTGUYON, Bois Clair**		
CAISSE 14			
Mobilier	Matière	Description	Poids
Minéral	Silex	artefacts numérotés	15,1 kg
OA_5919 **Fouille 2011**	**MONTGUYON, Bois Clair**		
CAISSE 15			
Mobilier	Matière	Description	Poids
Minéral	Silex	artefacts numérotés	15,8 kg
OA_5919 **Fouille 2011**	**MONTGUYON, Bois Clair**		
CAISSE 16			
Mobilier	Matière	Description	Poids
Minéral	Silex	artefacts numérotés	13,2 kg
OA_5919 **Fouille 2011**	**MONTGUYON, Bois Clair**		
CAISSE 17			
Mobilier	Matière	Description	Poids
Minéral	Silex	artefacts numérotés	14,9 kg
OA_5919 **Fouille 2011**	**MONTGUYON, Bois Clair**		
CAISSE 18			
Mobilier	Matière	Description	Poids
Minéral	Silex	artefacts numérotés	14,1 kg
Céramique	Céramique	artefacts numérotés	
OA_5919 **Fouille 2011**	**MONTGUYON, Bois Clair**		
CAISSE 19			
Mobilier	Matière	Description	Poids
Minéral	Silex	artefacts retrouvés au tamisage - Lot 1 à 44	4 kg
Minéral	Silex	artefacts retrouvés au décapage par 1/4 de m2 - Lot 45 à 57	
OA_5919 **Fouille 2011**	**MONTGUYON, Bois Clair**		
CAISSE 20			
Mobilier	Matière	Description	Poids
Minéral	Silex	artefacts numérotés	10,4 kg

Inventaire officiel 11 – Montguyon (17), « Bois Clair ». Inventaire des caisses de mobilier

SECTION 3

Inventaires techniques et annexes

Annexes

Annexe 1 – Montguyon (17), « Bois Clair ». Inventaire des logs

n° Cp	log	n° minute	n° point topo haut 1	Z (cm)	n° point topo haut 2	Z (cm)	n° point topo bas	Z (cm)	base UPS 1 (cm)			base UPS 2	base UPS 3	base UPS 4 (cm)		base UPS 5 (cm)			base UPS 6	base UPS 11	base UPS 7 (cm)				base UPS 9	base UPS 8 (cm)		base UPS 13	Prélevements
					pallier				1a	10	1b	(cm)	(cm)	4a	4b	5a	5b	5c	(cm)	(cm)	7.1	7.2	UPS 12	7.3	(cm)	8a	8b	(cm)	
1	1.1	1	29	-34			48		-26		-44		-60	-117		-138			-166			-180,00			-204				9 (vrac)
	1.2	2	72	-40			79		-10		-45	-65	-80	-120		-157			-177			-210				-221			
	1.3	3	104	-26			107		-15		-38	-51	-82	-128		-168						-218,00				-228			
2	2.1	4	237	-17			248		-19					-51		-66						-103,00				-148			
	2.2	59	5032	-29			5035	-181	-20					-45		-60						-103,00				-192			1 (vrac)
3	3.1	5	332	-40					-25		-45		-62	-90		-120						-140,00				-200			
4	4.1	6	451	-20					-17		-37	-50		-87	-111	-152	-195	-210											
	4.2	7	472	-50			479		-15			-35	-52	-83		-110	-126	-138			-162,00								1 (geode)
	4.3	8	488	-30			501		-26				-76									-88,00				-115	-132		
	4.4	9	558	-20			565		-16					-46								-78,00				-109			
	4A	10	650	-26	648	-26					-50			-93	-118	-150	-80	-145				-218,00							8 (vrac)
5	5.1	11							-13		-47			-90		-116													
	5.2	14	803						-24		-35			-65	-76	-110													
	5.3	30	2534	-30							-20			-64		-98						-110,00							
	5.4	44	4018	-34,5			4021	-64,5						-55	-65	-70													
	5.5	45	4061	-39			4070	-111						-50	-60	-94						-117,00							
6	6.1	12	731	-63			732	-108,5	-10	-21	-54			-90		-108													
	6.2	13	733	-24,5			734	-109	-7	-20	-32			-70		-102													
	6.3	15	935	-27			938	-97	-10	-29	-37			-62		-92						-105,00							
7	7.1	16	983	-32,5			990	-160	-5		-36			-87	-100	-125			-169										
8	8.1	17	1066	-34			1069	-145	-10		-34	-40		-107		-145						-164,00	-190,00	-201,00					3 (bloc micromorphologie), 12 (vrac), 2 (osl)
	8.2	27	2130	-17			2137	-112,5				-33		-90		-117						présent							
	.1 + bas	62	5245	-23			5248	-189			-30	-47	-80	-114		-146										-202			
9	9.1	18	1207	-18,5			1214	-162,5	-13		-39			-79	-100	-127			-182										
	9.2	41	1205							-18		-34	-60	-79	-98	-161				-167	présent								27 (vrac), 6 (bloc micromorpho)
10	10.1	19	1354	-31			1365	-184	-25					-78	-90	-117			-156	-208	présent								
	10.2	52	4579	-20	4571	-27,5								-66	-86	-42			-88	-124	-137,00								
	10.3	64	5342	-36	5346	-17								-76	-91	-118			-174	-193		-30,00	-56,00	présent					4 (osl), 4 (bloc micromorphologie), 26 (vrac)
11	11.1	20	1512	-18			1515	-91			-7			-35	-46	-76			-97		présent								
	11.2	26	1509	-16			1518	-71,5						-56		-71			-84		-102,00								
12	12.1	28	2200	-30			2203	-163,5			-12	-40	-54	-100		-126			-172										
	12.2	35	3116	-30			3119	-156			-20	-35	-52	-82	-93	-124			-145	-167									6 (vrac)
13	13.1	29	2289	-11,5			2298	-145						-78		-122			-155										
14																													
15																													
16	16.1	33	2854	38,5			2857	-151,5						-56	-77	-170													
17	17.1	34	2972	25																-25		-36	-60			présent			
18	18.1	36	3226	24,6			3229	-109,2						-80		-167													
19	19.1	40	3528	33,5			3541	-147						-47	-68	-90			-170										
	19.2	58	4916	22			4919	-172						-43	-60	-90			-169	-178	présent								
20	20.1	42	3798	9			3800	-27						-37															1 (bloc micromorphologie), 1 vrac
21	21.1	43	3954	5			3957	-26						-21	-31														
22	22.1	48	4443	17,5			4446	-61						-14		-39			-66										
23	23.1	56	4766	11,5			4769	-88						-12	-27	-58			-97	présent									
24	24.1	60	5067	26			5068	-121												-81		-92	présent	présent	présent				
25	25.1	61	5123	29			5126	-123						-24		-110						-114	-130		présent				
26	26.1	72	5160	0			5166																						4 (vrac)
27	27.1	63	5282	30	5276	37								-45	-63	-106	-125		-51	-72		-132	-150						
28	28.1	65	5370	31			5381	-61														-17	-34	-40		-81			
	28.2	66	5373	10			5384	-65														-10	-36			présent		-82	1 (vrac)
29																													
30																													

Annexe 2 – Montguyon (17), « Bois Clair ». Remontages lithiques, tableau synthétique

N	N°	Association	Type	Nbre de pièces	Nbre d'éléments	Lames	Levallois	Dos lim. (PPSL)	Dos deb./corticaux	Corticaux	Nucléus	<20 mm	Outils	Autres	Localisation du nucléus	Locus	UPS	Distance moyenne entre chaque pièce	MP	Attribution chrono-culturelle
1	Rem 1		débitage	2	2					1	1						4-4b/5	50 - 200 cm	S	PM
2	Rem 2		débitage	2	2				2								5	50 - 200 cm	S	PM
3	Rem 3		débitage	2	2		2										5som./6	50 - 200 cm	S	PM
4	Rem 4		débitage	2	2									2			4/5-5	> 400 cm	S	PM
5	Rem 5		fracture gel	2	1												4	0 - 50 cm	S	PM
6	Rem 6		fracture gel	2	1												4	> 400 cm	S	PM
7	Rem 7		fracture gel	4	1											11	4-4/5	0 - 200 cm	S	PM
8	Rem 8		débitage	2	2					2						11	4	50 - 400 cm	S	PM/PS
9	Rem 9		fracture gel	2	1												4	0 - 50 cm	S	PM
10	Rem 10		fracture gel	2	1												5	0 - 50 cm	S	PM
11	Rem 11		fracture débitage	2	1						1						4/5-5	50 - 200 cm	S	PM
12	Rem 12		débitage	2	2			1						1			4base-5som.	> 400 cm	S	PM
13	Rem 13		débitage	2	2				1		1						5	> 400 cm	S	PM
14	Rem 14		débitage	2	2				1		1						5	200 - 400 cm	S	PM
15	Rem 15		débitage	3	3					2	1						5	50 > 400 cm	S	PM
16	Rem 16		débitage	2	2					2							5	0 - 50 cm	S	PM
17	Rem 17		débitage	2	2					1	1						5	0 - 50 cm	S	PM
18	Rem 18		fracture gel	6	1												4-4/5-5	50 - 400 cm	S	PM
19	Rem 19		fracture post-dep	2	1					1							4/5	0 - 50 cm	S	PM
20	Rem 20		débitage	3	3				3								4base-4/5	0 - 200 cm	S	PM
21	Rem 21		débitage	2	2				1		1						5	> 400 cm	S	PM
22	Rem 22		débitage	3	2						1			1			4-4/5	0 > 400 cm	S	PM
23	Rem 23		débitage	2	2				1	1							5	?	S	PM
24	Rem 24		débitage	4	4				2	2							5	> 400 cm	S	PM
25	Rem 25		débitage	2	2						1			1			5	?	S	PM
26	Rem 26		débitage	2	2		1				1						4base-4/5	50 - 200 cm	S	PM
27	Rem 27		débitage	2	2		1				1						5	0 - 50 cm	S	PM
28	Rem 28		débitage	2	2				1		1						4-5/6	> 400 cm	S	PM
29	Rem 29		débitage	2	2				2								4/5-5som.	> 400 cm	S	PM
30	Rem 30		débitage	3	2			1			1						4base-5som.	0 > 400 cm	S	PM
31	Rem 31		débitage	2	2						1			1			4	0 - 50 cm	S	PM
32	Rem 32		débitage	2	2					1				1			4	0 - 50 cm	S	PM
33	Rem 33		débitage	2	2			1		1						16	4	0 - 50 cm	S	PM
34	Rem 34		débitage	2	2					1	1						4/5-5	> 400 cm	S	PM
35	Rem 35		débitage	3	3			1						1		01	4-5som.	> 400 cm	S	PM
36	Rem 36	Rem 37	débitage	4	4					1	1			2			6	50 - 200 cm	S	PM
37	Rem 38		fracture post-dep	2	1				1							12bis	4	0 - 50 cm	S	PM
38	Rem 39		débitage	2	2					1				1		20	4	0 - 50 cm	S	PM/PS
39	Rem 40		débitage	2	2					2						20	4	50 - 200 cm	S	PM/PS
40	Rem 41		fracture gel	2	1												4	0 - 50 cm	S	PM
41	Rem 42		fracture gel	2	1												4/5	0 - 50 cm	S	PM
42	Rem 43		fracture post-dep	2	1		1										4base-5som.	50 - 200 cm	S	PM
43	Rem 44		fracture débitage	2	1								1				4	?	S	PM/PS
44	Rem 45		fracture gel	2	1												5	0 - 50 cm	S	PM
45	Rem 46		débitage	2	2			1			1					01	5	200 - 400 cm	S	PM
46	Rem 47	Rem 48	débitage	23	23			6	3	12				2	Non retrouvés	12bis	4-5som.	0 - 200 cm	S	PM
47	Rem 49		débitage	7	7			1		4	1			1	à proximité	12bis	4-5som.	0 - 200 cm	S	PM
48	Rem 50		débitage	15	15			5	1	8	1				Intrinsèque	12bis	4-5som.	0 - 200 cm	S	PM
49	Rem 51		débitage	29	28			9	2	15	1			1	à proximité et non retrouvé	12bis	4-5som.	0 - 400 cm	S	PM
50	Rem 52		débitage	3	3					1	1			1			4base-5	50 - 200 cm	S	PM
51	Rem 53		débitage	4	2						2						5	0 - 400 cm	S	PM
52	Rem 54		débitage	2	2					1	1						5	> 400 cm	S	PM
53	Rem 55		débitage	2	2			1			1						5	?	S	PM
54	Rem 56		débitage	2	2			1	1								4abase-5som.	> 400 cm	S	PM
55	Rem 57		débitage	2	2						1			1		04	4	0 - 50 cm	S	PM
56	Rem 58		débitage	13	11			1	2	2		1		5	Non retrouvé	04	4-4/5	0 - 200 cm	S	PM

Annexe 2 – Montguyon (17), « Bois Clair ». Remontages lithiques, tableau synthétique

N	N°	Association	Type	Nbre de pièces	Nbre d'éléments	Lames	Levallois	Dos lim. (PPSL)	Dos deb./corticaux	Corticaux	Nucléus	<20 mm	Outils	Autres	Localisation du nucléus	Locus	UPS	Distance moyenne entre chaque pièce	MP	Attribution chrono-culturelle
57	Rem 59		débitage	4	4		2				1			1		04	4	0 - 50 cm	S	PM
58	Rem 60		débitage	16	14			2			1			11	Intrinsèque	03	7	0 - 200 cm	S	PM
59	Rem 61		débitage	2	2					2						03	7	50 - 200 cm	S	PM
60	Rem 62		débitage	2	2			1		1						03	7	0 - 200 cm	S	PM
61	Rem 63		débitage	2	2									2		03	7	50 - 200 cm	S	PM
62	Rem 64		débitage	3	2					1				1		03	6/7	0 - 50 cm	S	PM
63	Rem 65		débitage	6	5						2			3	Intrinsèques	03	6/7-7som.	0 - 200 cm	S	PM
64	Rem 66		débitage	2	2			1	1							03	7	50 - 200 cm	S	PM
65	Rem 67		fracture post-dep	2	1									1		10	4	0 - 50 cm	S	PM/PS
66	Rem 68		débitage	3	3									3		10	4	0 - 50 cm	S	PM/PS
67	Rem 69		débitage	3	3				1			1		1		10	4	0 - 50 cm	S	PM/PS
68	Rem 70		débitage	4	2									2		10	4	0 - 50 cm	S	PM/PS
69	Rem 71		débitage	5	3	2								1		10	4	0 - 50 cm	S	PM/PS
70	Rem 72		débitage	7	4							1		3		10	4	0 - 50 cm	S	PM/PS
71	Rem 73		débitage	2	2					2						12	4	0 - 50 cm	S	PM
72	Rem 74		débitage	3	3					3						12	5	0 - 200 cm	S	PM
73	Rem 75		débitage	2	2		2										5	50 - 200 cm	S	PM
74	Rem 76		débitage	4	3	1	1							1		12	5	0 - 200 cm	S	PM
75	Rem 77		débitage	3	3				2	1						12	5	0 - 50 cm	S	PM
76	Rem 78		débitage	6	6		5				1				à proximité	12	4-4/5-6	0 > 400 cm	S	PM
77	Rem 79		débitage	3	3				2					1		19	5	0 - 50 cm	S	PM
78	Rem 80		débitage	5	5				3	1	1				Intrinsèque	19	4	0 - 200 cm	S	PM
79	Rem 81		débitage	11	11			2		8	1				intrinsèque et non retrouvé	16	4	0 - 200 cm	S	PM
80	Rem 82		débitage	2	2				2								4	?	S	PM
81	Rem 83		débitage	2	2						1			1		16	4	0 - 50 cm	S	PM
82	Rem 84		débitage	7	6			1	1			2	1	1	Intrinsèque	02	4	0 - 200 cm	S	PM
83	Rem 85		fracture	3	1									1		09	4	0 - 50 cm	G	PS
84	Rem 86		débitage	2	2				1	1							?	?	S	PM
85	Rem 87		débitage	2	2									2			?	?	S	PM
86	Rem 88		débitage	6	6		1				1			4		09/11	4-4/5	50 > 400 cm	S	PM
87	Rem 89		débitage	2	2					2						09	4	200 - 400 cm	S	PM
88	Rem 90		débitage	2	2				1					1		09/11	4	> 400 cm	S	PM
89	Rem 91		débitage	9	7				2	3	1			1	à proximité	01	4/5-5som.	0 - 400 cm	S	PM
90	Rem 92		débitage	5	5			1		2	1			1	à proximité	01	4/5-5som.-6som.	0 - 400 cm	S	PM
91	Rem 93		débitage	2	2				1	1							4base-4/5	50 - 200 cm	S	PM
92	Rem 94		débitage	22	17			2		11	2			2	rejeté à n m?	09/11	1?-4	0 > 400 cm	S	PM
93	Rem 95		débitage	4	4		1				1			2		00	4-5som.	0 > 400 cm	S	PM
94	Rem 96		débitage	2	2									2		00	4	0 - 50 cm	S	PM
95	Rem 97		débitage	2	2									2		00/11	4	200 - 400 cm	S	PM
96	Rem 98		débitage	2	2					2						11	4	0 - 50 cm	S	PM
97	Rem 99		débitage	2	2				1	1						11	4	50 - 200 cm	S	PM
98	Rem 100		débitage	2	2						1			1		00/09	4	> 400 cm	S	PM
	Rem 101		fracture gel	4	1											09/11	4	0 > 400 cm	S	PM
100	Rem 102		débitage	21	11			1		6	1			3	à proximité	09	2?-4	0 - 200 cm	S	PM
101	Rem 103		débitage	5	2						1			1		00/11	4	0 > 400 cm	S	PM
102	Rem 104		fracture post-dep	2	1			1								09	4	50 - 200 cm	S	PM
103	Rem 105		débitage	2	2					1	1					00	4	?	S	PM/PS
104	Rem 106		fracture gel	2	1												1b/4	0 - 50 cm	S	PM/PS
105	Rem 107		fracture gel	2	1												1b/4	0 - 50 cm	S	PM/PS
106	Rem 108		fracture gel	3	1											11	4	0 - 200 cm	S	PM
107	Rem 109		débitage	3	3			1			1			1		09/11	4	> 400 cm	S	PM
108	Rem 110		débitage	19	10			2	1	4				3	non retrouvé	09	4-5som.	0 > 400 cm	S	PM
109	Rem 111		débitage	2	2	2									non retrouvé	07	4	0 - 50 cm	S	PS
110	Rem 112		débitage	6	6	6									non retrouvé	07	4-4/5	0 - 50cm	S	PS
111	Rem 113		débitage	2	2					2					non retrouvé	07	4	0 - 50 cm	S	PM/PS
112	Rem 114		débitage	3	3					3					non retrouvé	07	4	0 - 50 cm	S	PM/PS

N	N°	Association	Type	Nbre de pièces	Nbre d'éléments	Lames	Levallois	Dos lim. (PPSL)	Dos deb./corticaux	Corticaux	Nucléus	<20 mm	Outils	Autres	Localisation du nucléus	Locus	UPS	Distance moyenne entre chaque pièce	MP	Attribution chrono-culturelle
113	Rem 115		débitage	3	3					3					non retrouvé	07	4	0 - 50 cm	S	PM/PS
114	Rem 116		débitage	2	2									2	non retrouvé	07	4	50 - 200 cm	S	PM/PS
115	Rem 117	118+119	débitage	2	3					2					à proximité	13	4	?	S	PS/EPI
116	Rem 118	117+119	débitage	4	3	1				2					à proximité	13	4	?	S	PS/EPI
117	Rem 119	117+118	débitage	11	11	2					1			8		13	4	?	S	PS/EPI
118	Rem 120		fracture gel	4	1						1					14	4	0 - 50 cm	S	PS
119	Rem 121		débitage	2	3	2									non retrouvé	14	4	?	S	PS
120	Rem 122		débitage	5	5				1	4						14	4-4/5	0 - 50 cm	S	PM
121	Rem 123		débitage	47	35	18				4	1			12	à proximité	15	4	50 - 200 cm	S	PS/EPI
122	Rem 124	123	débitage	2	2					2					?	15	4	50 - 200 cm	S	PS/EPI
123	Rem 125		fracture post-dep	2	1									1		15	4	50 - 200 cm	GF	
124	Rem 126		débitage	37	19					6	1			12		09	4-4/5-5	50 > 400 cm	S	PS
125	Rem 127	128-133	débitage	27	23	4				8	1			10		00/09	4-4/5	0 > 400 cm	S	PS
126	Rem 128	127-133	débitage	4	2	2									?	00	4	?	S	PS
127	Rem 129	127-133	débitage	2	2									2		00	4	50 - 200 cm	S	PS
128	Rem 130	127-133	débitage	4	3	2								1		00	4	?	S	PS
129	Rem 131	127-133	débitage	2	2	2										00/11	4	200 - 400 cm	S	PS
130	Rem 132	127-133	débitage	2	1	1										00	4	?	S	PS
131	Rem 133	127-132	débitage	2	2									2		00/11	4	?	S	PS
132	Rem 134	136	débitage	50	29	7				9	1			12		00	4-4/5-5	50 - 200 cm	S	PS
133	Rem 135		débitage	2	2					1	1					00	4	50 - 200 cm	S	PM
134	Rem 136	134	débitage	2	2									2	?	09	4	50 - 200 cm	S	PS
135	Rem 137		débitage	43	19	5				9	1			4	à proximité	09/11	4-4/5-5	50 - 200 cm	S	PS
136	Rem 138	139-145	débitage	14	6					5				1	non retrouvé	09	4	50 - 200 cm	S	PS/EPI
137	Rem 139	138-145	débitage	3	2									2	non retrouvé	09	4	50 - 200 cm	S	PS/EPI
138	Rem 140	138-145	débitage	3	2	2									non retrouvé	00/09	4	50 > 400 cm	S	PS/EPI
139	Rem 141	138-145	débitage	3	2	2									non retrouvé	09	4	50 - 200 cm	S	PS/EPI
140	Rem 142	138-145	débitage	3	3	2							1		non retrouvé	09	4-4/5-5	50 - 200 cm	S	PS/EPI
141	Rem 143	138-145	débitage	5	2	2									non retrouvé	09	4	50 - 200 cm	S	PS/EPI
142	Rem 144	138-145	débitage	2	2									2	non retrouvé	09	4	50 - 200 cm	S	PS/EPI
143	Rem 145	138-144	débitage	10	4									4	non retrouvé	09	4	50 - 200 cm	S	PS/EPI
144	Rem 146		débitage	7	5				1	2				1			4	50 > 400 cm	S	PM
145	Rem 147		débitage	7	5			1	1					3			4-4/5	0 > 400 cm	S	PM
146	Rem 148		débitage	2	2					1	1					00	4	0 - 50 cm	S	PM
147	Rem 149		débitage	3	3	1					1			1		08	2/4	50 - 400 cm	S	Néo ?
148	Rem 150	138-145?	débitage	3	3	2								1	non retrouvé	09 nord	4	50 - 200 cm	S	PS
149	Rem 151	38-145?	débitage	3	2					2					non retrouvé	09 nord	4	50 - 200 cm	S	PS
150	Rem 152	137/138-145?	débitage	3	2	2										09 nord	4	50 - 200 cm	S	PS
Nbre =	*Série n =*		*Total*	*795*	*603*	*70*	*17*	*45*	*46*	*180*	*55*	*5*	*3*	*165*						
150	*3597*		*Taux*	*22,10%*	*16,76%*															

ACQUISITION			
	Brut		Gb
Galet	Testé		Gt
Nodule	Entamé		Ge
Bloc	Fendu	fracture en split	Gf
Rognon	Percuté	1 ou plusieurs enlèvements parallèle au grand axe du galet	Gp
Plaquette	Fracturé	1 ou plusieurs enlèvements réalisés dans l'épaisseur du galet	Gfr
	Utilisé	Avec traces d'utilisation (percuteurs, retouchoir, enclume, abraseur, polissoir, meule...)	Gu (Gup, Gur, Gue…)
	Fragment	fragment de percuteur	Gufgt
		fragment de galet sans traces anthropiques évidentes	Gfgt
		fragment de galet avec négatif(s) ou point(s) d'impact(s)	Gefgt

DEBITAGE			
	Corticaux	à face supérieure totalement corticale	EC0 ENC0
ECLATS	**ou**	à rares enlèvements sur la face supérieure	EC1 ENC1
(et fragments)	**Néocorticaux**	à plage corticale résiduelle	EC2 ENC2
ou lamelle (Ll)		à dos cortical (pan abrupt)	EC3 ENC3
ou lame (L)		à dos cortical envahissant	EC4 ENC4
		à dos et bord distal corticaux (quartier d'orange quand talon cortical)	EC5 ENC5
		à bord distal cortical	EC6 ENC6
		fragment d'éclat portant du cortex	EC7 ENC7
	Non Corticaux	indifférencié (divers ou fragments)	E0
		quadrangulaire (2 tranchants parallèles)	E1
		triangulaire (2 tranchants convergents)	E2
		ovalaire (à tranchant périphérique)	E3
		plus large que long plus grand tranchant en position distale)	E4
		débordant à dos limité opposé à 2 tranchants convergents	E5
		débordant (dos continu parallèle à 1 tranchant)	E6
		à crête transversale	E7
		à crête axiale	E8
		ravivage plans de frappe (type tablette)	E9
		allongé	E10
	Levallois	préférentiel	EL0
		récurrent centripète	EL1
		récurrent unipolaire	EL2
		récurrent bipolaire	EL3
		débordant (hors accident)	EL4
		à cortex résiduel (initialisation)	EL5
		récurrent (autre, cassé ou indet)	EL6
		diminutif (<30 mm)	EL7
		pointe	PL
	Non Levallois	de type Kombewa (plan //)	EK
		de type Kombewa (plan sécant)	EK2
		lame	L
		lamelle	Ll
		lame ou lamelle à crête	Lcr
		lame ou lamelle sous-crête	Lscr
		lame ou lamelle à néocrête	Lncr
		lame de plein débitage régulière	Lpd
		lamelle de plein débitage régulière	Llpd
		lame de plein débitage/entretien	Lpde
		lamelle de plein débitage/entretien	Llpde
		chute de burin	Llcb
		ouverture de plan de frappe	opdf
		éclat de cintrage	eci
		éclat de carénage	eca

NUCLEUS		
(et fragments)	discoïde unifacial	NDU
	discoïde bifacial	NDB
	(semi)prismatique (lame-lle et éclat)	NP
	pyramidal (lamelle et éclat)	NPY
	polyédrique 1 (multipolaires, PDF Ortho, globuleux)	NPOL1
	polyédrique 2 (SSDA, surfaces alternées)	NPOL2
	type kombewa	NK
	type kostienki	NKO
	à dernier enlèv. outrepassé (sur éclat ou non)	NEO ou NO
	Levallois à éclat préférentiel	NLP
	Levallois à pointe	NLPte
	Levallois récurrent (centripète, bipolaire, unipolaire)	NLR (c, b, u)
	fgt de nucléus Levallois	NLfgt
	sur face inférieure d'éclat à enlèvements non envahissants	NIE
	sur face supérieure d'éclat à enlèvements non envahissants	NSE
	sur 2 faces d'éclat à enlèvements non envahissants	NISE
	sur tranche d'éclat	NTE
	quina	Q
	facial unipolaire	NFU
	facial bipolaire	NFB
	facial centripète	NFC
	bifacial (uni-bipolaire)	NB
	bifacial (centripète)	NBC
	trifacial	TRI
	bipolaire sur enclume	NE
	divers	ND
	indéterminé (fragmenté, altéré...)	Ni
	nucléus laminaire	Nl
	nucléus lamellaire	Nll
	ébauche de nucléus	Néb
	nucléus à éclat	Néc

TRANSFORMATION		
	Eclat de retouche	Er
	Eclat de façonnage	Ef
	Support indéterminé, façonnage ou retouche intensive	R1
	Eclat indéterminé, retouche intensive	R2
	Galet façonné	Gfa

DIVERS		
	Base négative indéterminée	Bn
	Eclat inférieur à 20 mm	E11
	Eclat cortical de longueur inférieur à 20 mm	EC8
	Fragment indéterminable d'éclat	Fi
	Débris	D
	Cupule de gel	Cg/Cf
	Non taillé (casson)	NT
	Fragment naturel	Fgt
	Autre	A

Annexe 3 – Montguyon (17), « Bois Clair ». Liste des abréviations

CHRONO-CULTURES	
Paléolithique moyen - Moustérien	PM
Paléolithique supérieur - Magdalénien	PS
Paléolithique moyen ou supérieur	PM/PS
Paléolithique supérieur ou Epipaléolithique	PS/EPIP
Néolithique indéterminé	NEO ?
Historique	H
Autres cultures indéterminées	?

MODE DE PRELEVEMENT	
Décapage mécanique	DM
Décapage manuel (fouille classique)	FM1
Décapage manuel (razettage)	FM2
Décapage manuel (piochon)	FM3
Décapage manuel (rectification coupe)	FM4
Tamisage	T
Hors stratigraphie	HS

GROUPE D'OUTILS	
G1	bifaces et apparentés
G2	racloirs latéraux
G3	racloirs transversaux
G4	racloirs doubles
G5	outils à retouche convergente (pointe moustérienne, racloir convergent ou déjeté, limace)
G6	outils divers
G7	pièces à retouche limitée (modif très légère acuité du tranchant ou faible extension de la retouche)
G8	fragments d'outils
G9	encoches/denticulés
G10	outils sur galets
gl	grattoir sur lame
pl	perçoir sur lame
bdl	burin dièdre sur lame
bcl	burin sur cassure sur lame
bpcl	burin plan sur cassure sur lame
ébbcl	ébauche burin sur cassure
lret	lame retouchée (un bord)
lret2	lame retouchée (deux bords)
lt	lame tronquée
lesq	lame esquillée
pdc	pointe à dos courbe
pe	pièce esquillée
re	racloir sur éclat

Annexe 3 – Montguyon (17), « Bois Clair ». Liste des abréviations

Nature du matériau (valeur numérique)

- 1. : minérale
- 2. : végétale
- 21. : plante non-ligneuse
- 22. : bois
- 3. : animale
- 31. : tissu carné indéterminé
- 311. : viande
- 312. : poisson
- 313. : carcasse
- 32. : peau
- 33. : matière osseuse
- 331. : os
- 332. : bois de cervidé
- 333. : ivoire
- 4. : matière dure non identifiée
- 5. : matière semi-dure non identifiée
- 6. : matière tendre non identifiée
- 97. : plusieurs matières travaillées

Etat physique

- 1. : frais/vert
- 2. : sec
- 3. : humide/trempé
- 4. : frais ou humide
- 5. : gras ou légèrement humide
- 6. : brûlé

Incertain : x9 ou xx9 ou xxx9
Indéterminé : 99

Action longitudinale

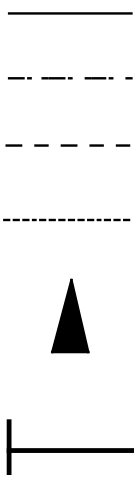
Action transversale

Perçage ou rainurage

Manche ou traces de préhension

Projectile

Limite brutale (retouche, ébréchure, cassure…)



Annexe 4 – Montguyon (17), « Bois Clair ». Code des illustrations en tracéologie

Annexe 5 – Montguyon (17), « Bois Clair ». Inventaire des locus de fouille

N° Locus	Localisation	m2 carroyés	Décapages	m2 rasettés	Rasettages	UPS	Tamisage	Granulo	Chrono	Culture
00	ZONE A-EST	28	6-7			3-4-sommet5	OUI	OUI	PALEO SUP/MOYEN	magdalénien/moustérien
01	ZONE C	10	1		1	4/5-sommet5	OUI	OUI	PALEO MOYEN	moustérien
02	ZONE C	9	1		1	4 (4a ?)	OUI		PALEO MOYEN	moustérien
03	ZONE B			équiv. 1	4	base5-sommet7	OUI		PALEO MOYEN	moustérien
04	ZONE B	11	1-4		1	base4-4/5	OUI	OUI	PALEO MOYEN	moustérien
05	ZONE B	4	1-2		1	4/5-sommet5	OUI		PALEO MOYEN	moustérien
06	BERME A/B	0,25	1			3-sommet4			PALEO SUP	magdalénien
07	ZONE B	7	1-2		1	3-4	OUI		PALEO SUP	magdalénien
08	ZONE D			équiv. 35	1-2	base2-2/4			INDET	
09	ZONE B	26	5		1	3-4	OUI	OUI	PALEO SUP/MOYEN	magdalénien/moustérien
10	ZONE C	2	2			4b	OUI	OUI	PALEO MOYEN ?	
11	BERME A/B	25	3-4		1	3-4	OUI	OUI	PALEO SUP/MOYEN	magdalénien/moustérien
12	ZONE C			équiv. 8	2	sommet5	OUI		PALEO MOYEN	moustérien
12bis	ZONE C	19	1		2	base4	OUI	OUI	PALEO MOYEN	moustérien
13	ZONE C			équiv. 12	2	4a	OUI		PALEO SUP/EPIPALEO	
14	ZONE C	2,5	2-3			4a	OUI	OUI	PALEO SUP	magdalénien
15	ZONE C	6	1-3			4a	OUI	OUI	PALEO SUP/EPIPALEO	
16	BERME B/C	7	1			4b	OUI		PALEO MOYEN	moustérien
17	ZONE C			équiv. 1,25	1	sommet4			PALEO SUP?	
18	BERME A/C			équiv. 1	1	4/5			PALEO MOYEN	moustérien
19	ZONE C			équiv. 1	1	sommet5			PALEO MOYEN	moustérien
20	BERME C/D			équiv. 1,5	1	4a ?			INDET/PALEO MOYEN	



Photo 1 – Échantillon archéologique n° 3245, texture *wackestone*, à débris d'origines variés.



Photo 2 – Échantillon archéologique n° 409, à fragment de bryozoaire.



Photo 3 – Échantillon archéologique n° 4521, à dasycladacée.



Photo 4 – Échantillon archéologique n° 3245, débris d'échinoderme.



Photo 5 – Échantillon archéologique n° 3245, section de bryozoaire.

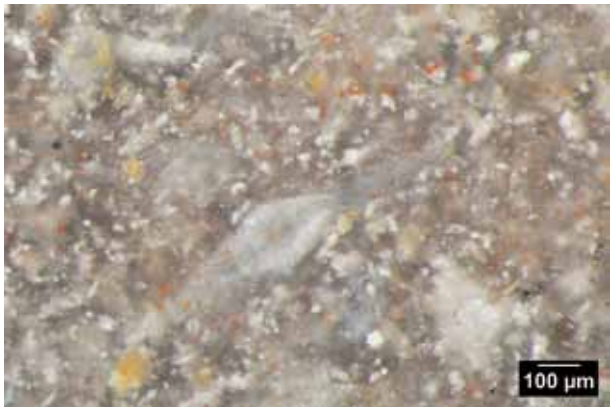


Photo 6 – Échantillon archéologique n° 3245, foraminifère benthique indéterminé.

Annexe 6.1 – Montguyon (17), « Bois Clair »,Type 555, silex du Coniacien-Santonien. Échantillons archéologiques (photos P. Fernandes, DAO P. Tallet).



Photo 1 – Échantillon archéologique n° 3245, bryozoaire.

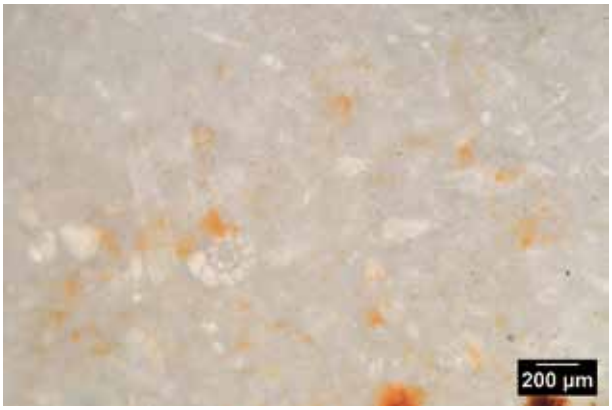


Photo 2 – Échantillon archéologique n° 1587, foraminifères benthiques indéterminés.



Photo 3 – Échantillon archéologique n° 3240, foraminifères benthiques.



Photo 4 – Échantillon archéologique n° 4922, foraminifère benthique.



Photo 5 – Échantillon archéologique n° 4909, débris indéterminé.



Photo 6 – Échantillon archéologique n° 2770, foraminifère benthique.

Annexe 6.2 – Montguyon (17), « Bois Clair »,Type 555, silex du Coniacien-Santonien. Échantillons archéologiques (photos P. Fernandes, DAO P. Tallet).



Photo 1 – Échantillon archéologique n° 1128, bryozoaire et algue.

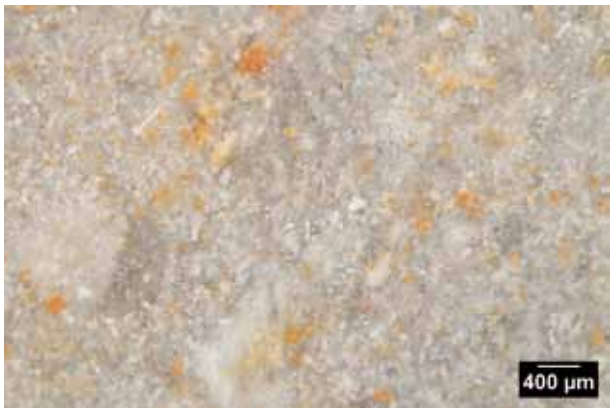


Photo 2 – Échantillon archéologique n°1128, texture *wackestone*.



Photo 3 – Échantillon archéologique n° 1128, foraminifères benthiques et débris indéterminés.

Annexe 6.3 – Montguyon (17), « Bois Clair »,Type 555d, silex du Coniacien-Santonien. Échantillons archéologiques (photos P. Fernandes, DAO P. Tallet).



Photo 1 – Échantillon archéologique n° 98, bryozoaire (Meliceritite ?) connu dans le Coniacien.



Photo 2 – Échantillon archéologique n° 98, section de bryozoaire.



Photo 3 – Échantillon archéologique n° 1410, texture *wackestone*.

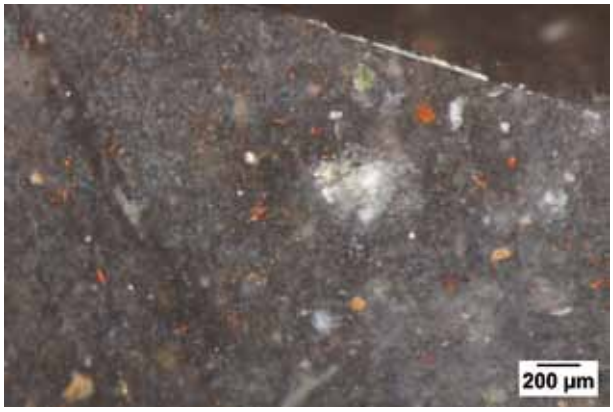


Photo 4 – Échantillon archéologique n° 98, quartz détritique et glauconie.



Photo 5 – Échantillon archéologique n° 98, débris d'algue.

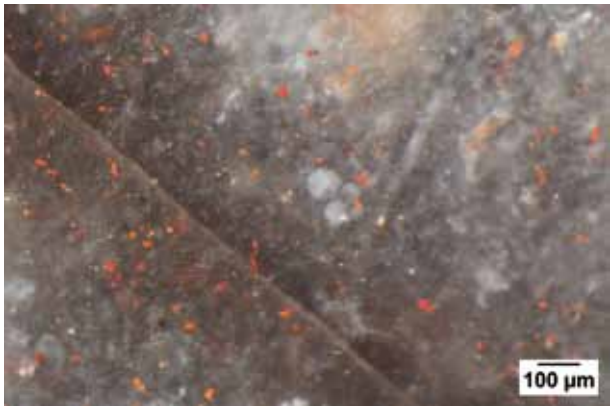


Photo 6 – Échantillon archéologique n° 98, foraminifère planctonique.

Annexe 6.4 – Montguyon (17), « Bois Clair »,Type 564, silex du Coniacien-Santonien. Échantillons archéologiques (photos P. Fernandes, DAO P. Tallet).



Photo 1 – Échantillon archéologique n° 1461, radiole d'oursin.



Photo 2 – Échantillon archéologique n° 1461, bryozoaire.



Photo 3 – Échantillon archéologique n°1461, pithonelle, spicules et débris indéterminés.



Photo 4 – Échantillon archéologique n° 1461, amas de spicules.

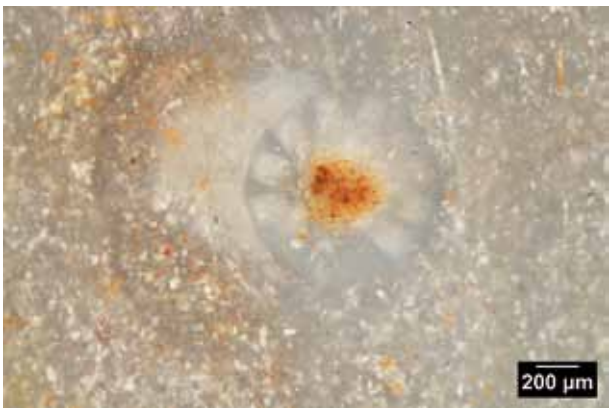


Photo 5 – Échantillon archéologique n° 2573, section d'élément indéterminé.

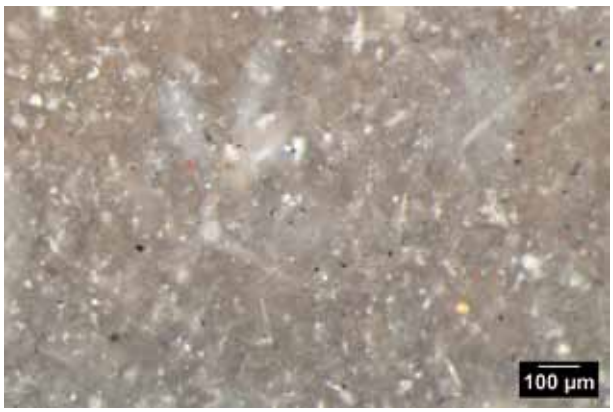


Photo 6 – Échantillon archéologique n° 1461, à grains de pyrite.

Annexe 6.5 – Montguyon (17), « Bois Clair »,Type 556, silex du Coniacien-Santonien. Échantillons archéologiques (photos P. Fernandes, DAO P. Tallet).



Photo 1 – Échantillon archéologique n° 4383, fragments de bryozoaires.



Photo 2 – Échantillon archéologique n° 3310, fragment de bryozoaire branchu.



Photo 3 – Échantillon archéologique n° 3112, tecture *wackestone*.



Photo 4 – Échantillon archéologique n°3112, bryozoaire.



Photo 5 – Échantillon archéologique n° 3310, débris coralien.



Photo 6 – Échantillon archéologique n° 3310, annélides.

Annexe 6.6 – Montguyon (17), « Bois Clair »,Type 566, silex du Coniacien-Santonien. Échantillons archéologiques (photos P. Fernandes, DAO P. Tallet).



Photo 1 – Échantillon archéologique n° 1547, texture *packstone* à débris variés (bivalves, bryozoaires, échinodermes).



Photo 2 – Échantillon archéologique n° 1738, bryozoaire.



Photo 3 – Échantillon archéologique n° 1547, foraminifère benthique.



Photo 4 – Échantillon archéologique n° 92, algue, bryozoaire, foraminifère et débris indéterminés.



Photo 5 – Échantillon archéologique n° 1547, débris d'algue ?



Photo 6 – Échantillon archéologique n° 1738, débris d'échinodermes (radioles).

Annexe 6.7 – Montguyon (17), « Bois Clair »,Type 563, silex du Santonien (dit grain de Mil). Échantillons archéologiques (photos P. Fernandes, DAO P. Tallet).



Photo 1 – Échantillon archéologique n° 4754, foraminifère benthique (*Lenticulina* ?).



Photo 2 – Échantillon archéologique n° 6023, foraminifère benthique (*Lenticulina*).

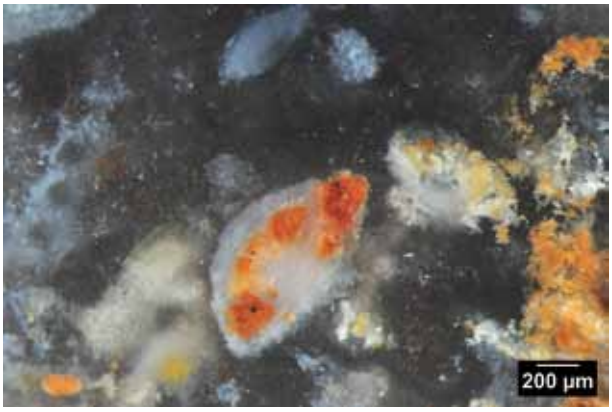


Photo 3 – Échantillon archéologique n° 6023, foraminfère benthique.

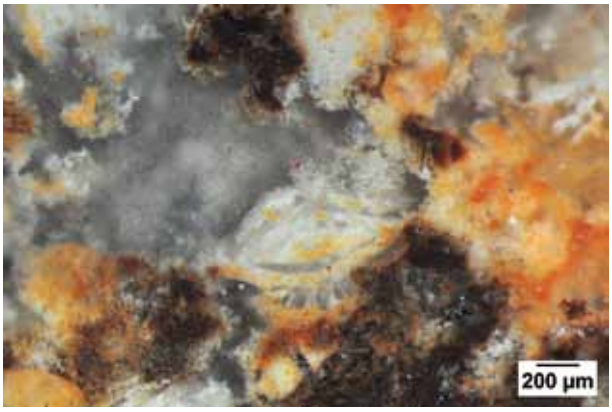


Photo 4 – Échantillon archéologique n° 6023, foraminifère benthique (*Sirtina* ?).



Photo 5 – Échantillon archéologique n° 6023, foraminifère benthique (*Sirtina* ?).

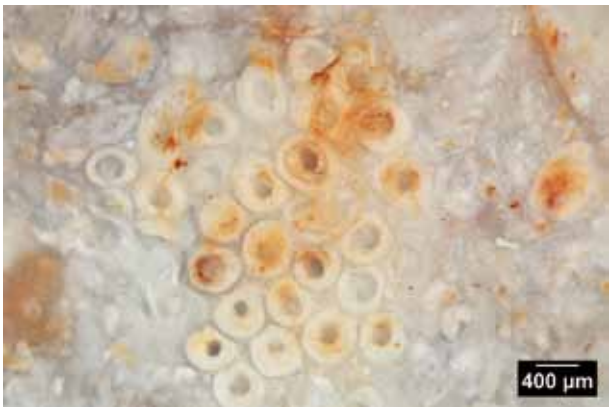


Photo 6 – Échantillon archéologique n° 2654, annélides.

Annexe 6.8 – Montguyon (17), « Bois Clair »,Type 563, silex du Santonien (dit grain de Mil). Échantillons archéologiques (photos P. Fernandes, DAO P. Tallet).



Photo 1 – Échantillon archéologique n° 6033, texture *grainstone* à bryozoaire.



Photo 2 – Échantillon archéologique n° 6033, spongiaire ?



Photo 3 – Échantillon archéologique n° 6033, foraminifère benthique (Miliolidés ?).



Photo 4 – Échantillon archéologique n° 6033, algue.

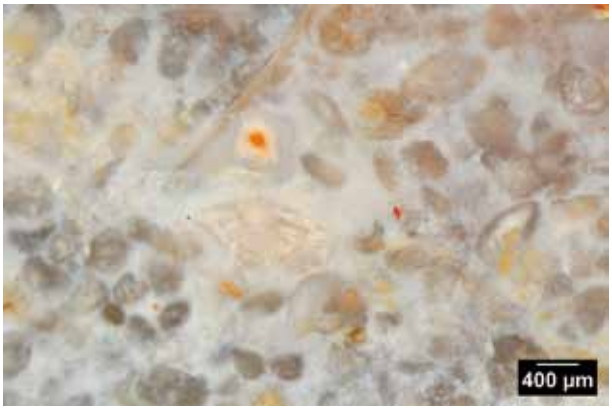


Photo 5 – Échantillon archéologique n° 1613, foraminifère benthique (Rotalidé ?).



Photo 6 – Échantillon archéologique n° 6033, bryozoaire et fragments de bivalve.

Annexe 6.9 – Montguyon (17), « Bois Clair »,Type 563a, silex du Santonien. Échantillons archéologiques (photos P. Fernandes, DAO P. Tallet).



Photo 1 – Échantillon archéologique n° 5159, surface néocorticale, aspect *packstone*.

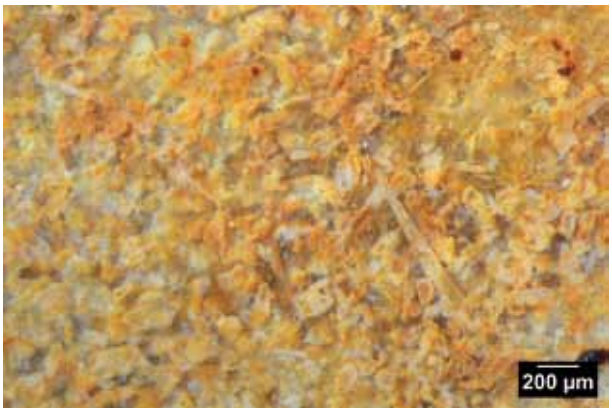


Photo 2 – Échantillon archéologique n° 5129, texture *packstone* à débris indéterminés.



Photo 3 – Échantillon archéologique n° 4146, algue (*Polygonella* ?).



Photo 4 – Échantillon archéologique n° 5921, Orbitoïde.



Photo 5 – Échantillon archéologique n° 4816, foraminifère benthique (pseudosidérolite).



Photo 6 – Échantillon archéologique n° 3834, foraminifère benthique (pseudosidérolite).

Annexe 6.10 – Montguyon (17), « Bois Clair »,Type 550, silex du Campanien 4-5. Échantillons archéologiques (photos P. Fernandes, DAO P. Tallet).

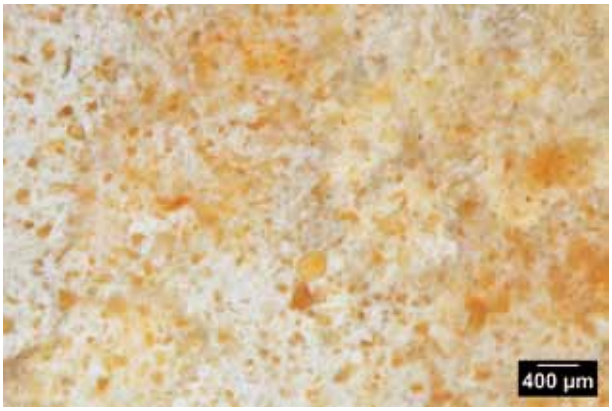


Photo 1 – Échantillon archéologique n° 16, texture *packstone*.



Photo 2 – Échantillon archéologique n° 7, Orbitoïde.



Photo 3 – Échantillon archéologique n° 21, foraminifère benthique, (pseudosidérolite ?).



Photo 4 – Échantillon archéologique n° 16, foraminifère benthique.



Photo 5 – Échantillon archéologique n° 16, foraminifères indéterminés.



Photo 6 – Échantillon archéologique n° 16, foraminifères planctoniques.

Annexe 6.11 – Montguyon (17), « Bois Clair »,Type 550, silex du Campanien 4-5. Échantillons archéologiques (photos P. Fernandes, DAO P. Tallet).



Photo 1 – Échantillon archéologique n° 4892, foraminifère benthique (*Nodosoria*).

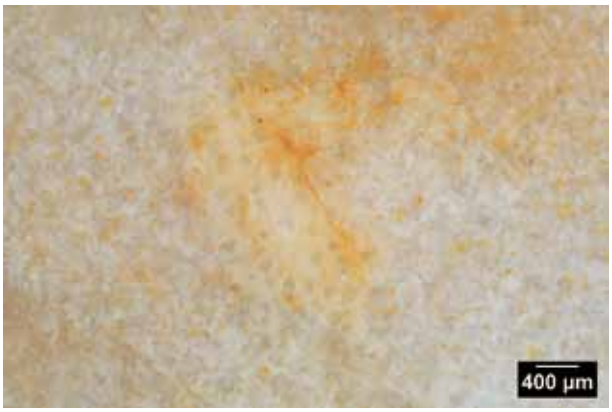


Photo 2 – Échantillon archéologique n° 1197, fragment de bryozoaire.



Photo 3 – Échantillon archéologique n° 1197, spongiaires ?



Photo 4 – Échantillon archéologique n° 4658, texture *mudstone* à rhomboèdres.



Photo 5 – Échantillon archéologique n° 1197, débris indéterminé (coralien ?).

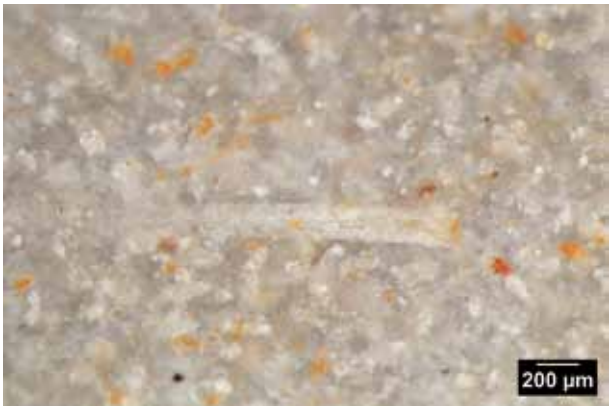


Photo 6 – Échantillon archéologique n° 2095, radiole.

Annexe 6.12 – Montguyon (17), « Bois Clair »,Type 565, silex à texture proche du faciès Campanien. Échantillons archéologiques (photos P. Fernandes, DAO P. Tallet).

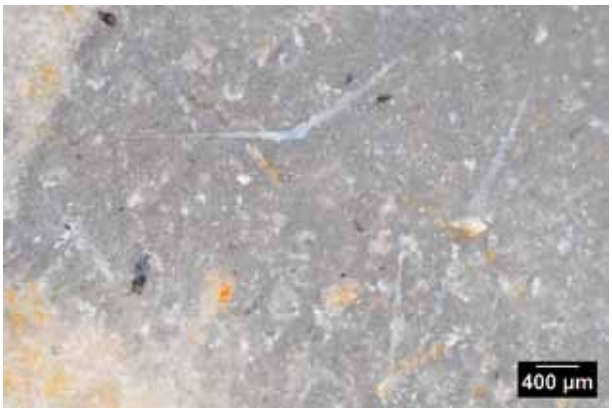


Photo 1 – Échantillon archéologique n° 4869, texture *wackestone* à spicules et *incertae sedis*.



Photo 2 – Échantillon archéologique n° 4869, *incertae sedis*.

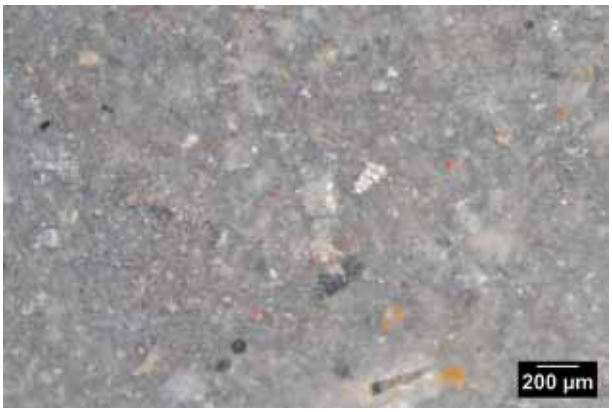


Photo 3 – Échantillon archéologique n° 4869, foraminifère benthique bisérié.



Photo 4 – Échantillon archéologique n° 4869, débris d'échinodermes.



Photo 5 – Échantillon archéologique n° 4869, radiole.

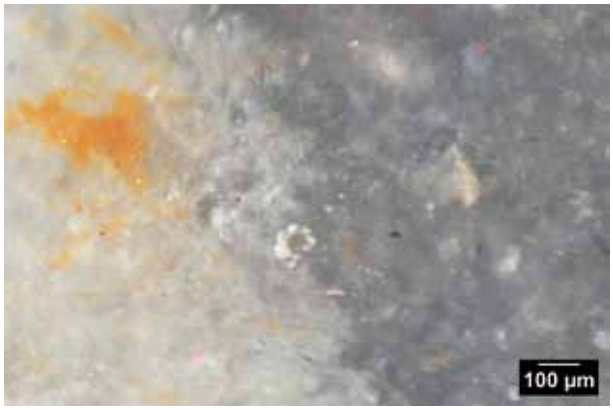


Photo 6 – Échantillon archéologique n° 4869, foraminifère indéterminé.

Annexe 6.13 – Montguyon (17), « Bois Clair »,Type 562, silex proche des faciès du Turonien. Échantillons archéologiques (photos P. Fernandes, DAO P. Tallet).

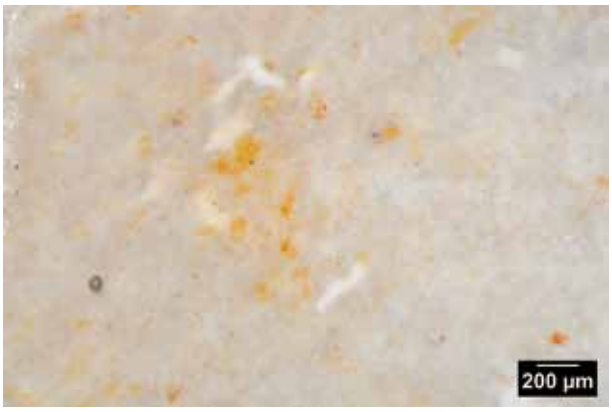


Photo 1 – Échantillon archéologique n° 3596, texture *wackstone* à spicules et *incertae sedis* ?.



Photo 2 – Échantillon archéologique n° 2751, spicules.



Photo 3 – Échantillon archéologique n° 2751, filaments et spicules.



Photo 4 – Échantillon archéologique n° 4450, foraminifère indéterminé.



Photo 5 – Échantillon archéologique n° 4641, foraminifère (Textularidé ?).

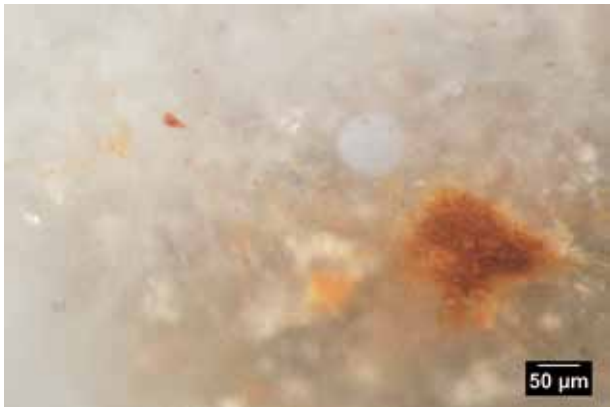


Photo 6 – Échantillon archéologique n° 4450, microsphère indéterminée.

Annexe 6.14 – Montguyon (17), « Bois Clair »,Type 554, silex d'origine indéterminée (Jurassique moyen ?). Échantillons archéologiques (photos P. Fernandes, DAO P. Tallet).

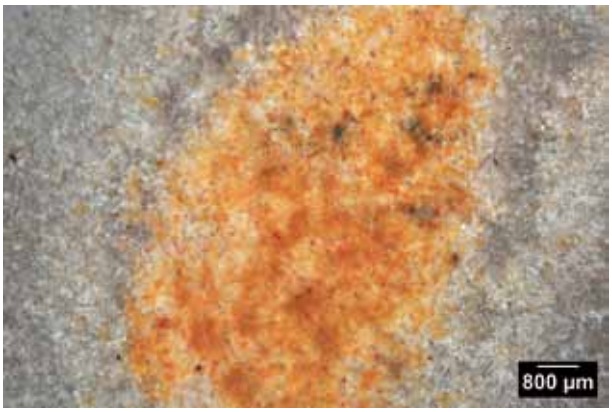


Photo 1 – Échantillon archéologique n° 3055, spongiaire.

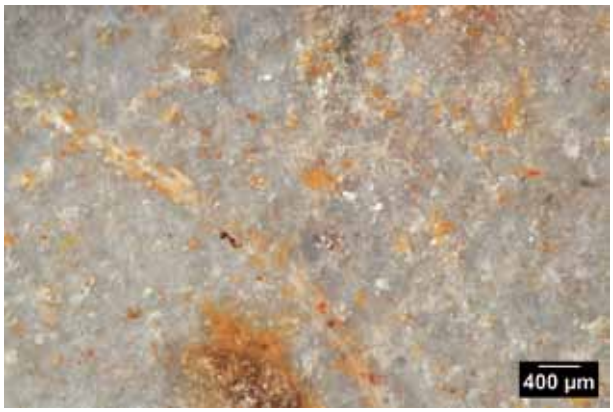


Photo 2 – Échantillon archéologique n° 3055, bryozoaire.



Photo 3 – Échantillon archéologique n° 4527, glauconie et rhomboèdres.



Photo 4 – Échantillon archéologique n° 3055, texture *wackestone* riche en rhomboèdres.

Annexe 6.15 – Montguyon (17), « Bois Clair »,Type 567, silex d'origine indéterminée. Échantillons archéologiques (photos P. Fernandes, DAO P. Tallet).



Photo 1 – Échantillon archéologique n° 2400, microconglomérat à éléments quartzeux et ciment indéterminé.



Photo 2 – Échantillon archéologique n° 2400, microconglomérat à mégaquartz et matrice rare (*grainstone*).

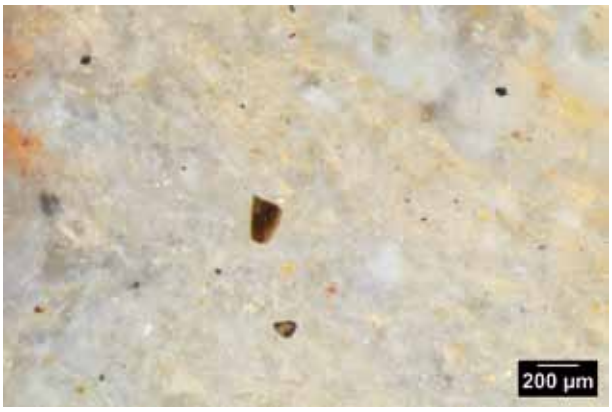


Photo 3 – Échantillon archéologique n° 2400, quartz détritique.



Photo 4 – Échantillon archéologique n° 2400, mégaquartz subanguleux.

Annexe 6.16 – Montguyon (17), « Bois Clair »,Type 568, grès siliceux (Grisons). Échantillons archéologiques (photos P. Fernandes, DAO P. Tallet).



Photo 1 – Échantillon archéologique n° 54, bryozoaire.

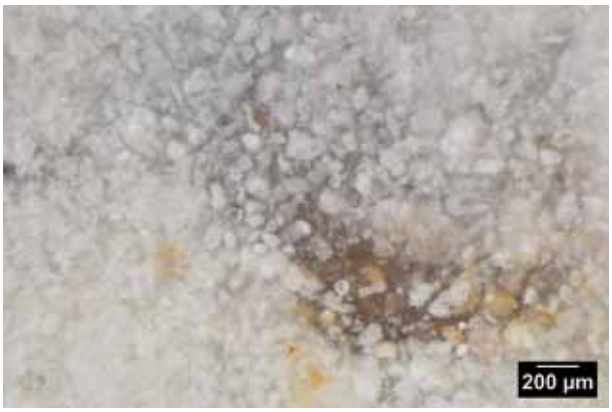


Photo 2 – Échantillon archéologique n° 616, texture *packstone*.

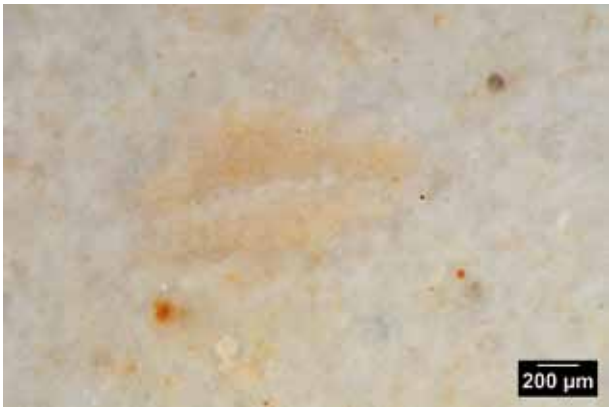


Photo 3 – Échantillon archéologique n° 1911, Orbitoïde.



Photo 4 – Échantillon archéologique n° 1911, fragment indéterminé.



Photo 5 – Échantillon archéologique n° 5866, foraminifère benthique.



Photo 6 – Échantillon archéologique n° 5866, foraminifère planctonique.

Annexe 6.17 – Montguyon (17), « Bois Clair »,Type 550b, silex du Campanien 4-5. Échantillons archéologiques (photos P. Fernandes, DAO P. Tallet).



Photo 1 – Échantillon archéologique n° 3715, foraminifère benthique.



Photo 2 – Échantillon archéologique n° 3715, foraminifère benthique (Lépidorbitoïde ?).

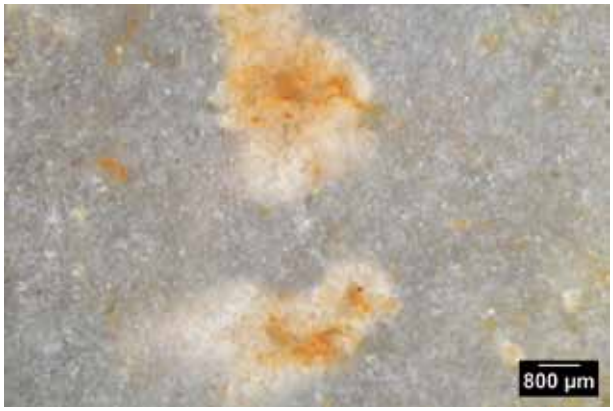


Photo 3 – Échantillon archéologique n° 3715, fragments de spongiaires.

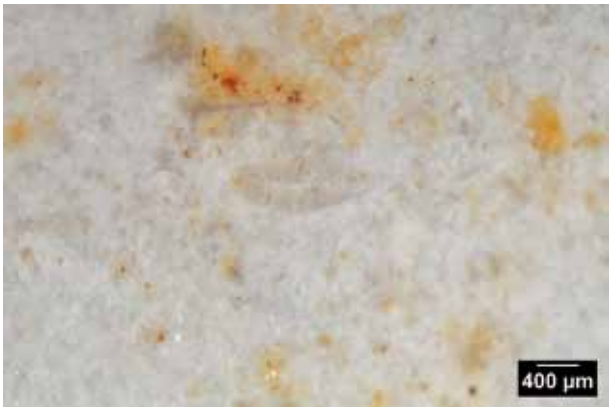


Photo 4 – Échantillon archéologique n° 3715, orbitoïde.



Photo 5 – Échantillon archéologique n° 3715, ostracode.



Photo 6 – Échantillon archéologique n° 3715, algue.

Annexe 6.18 – Montguyon (17), « Bois Clair »,Type 550c, silex du Campanien 4-5. Échantillons archéologiques (photos P. Fernandes, DAO P. Tallet).



Photo 1 – Échantillon archéologique n° 4964, Orbitoïdes.



Photo 2 – Échantillon archéologique n° 4967, Orbitoïde.



Photo 3 – Échantillon archéologique n° 4964, texture *wackestone*.

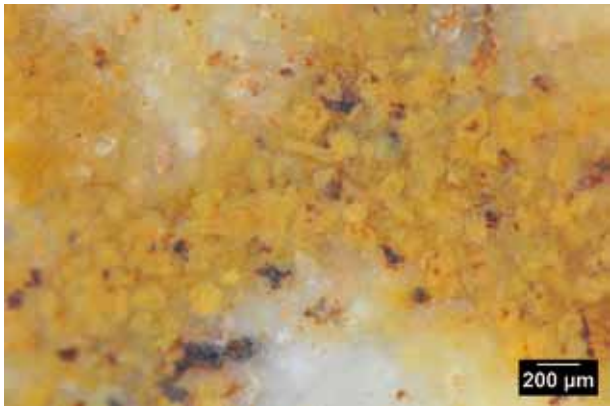


Photo 4 – Échantillon archéologique n° 2401, texture *packstone*.



Photo 5 – Échantillon archéologique n° 2401, algue.

Annexe 6.19 – Montguyon (17), « Bois Clair »,Type 550d, silex du Campanien 4-5. Échantillons archéologiques (photos P. Fernandes, DAO P. Tallet).



Photo 1 – Échantillon archéologique n° 2345, texture *mudstone* à spicules.



Photo 2 – Échantillon archéologique n° 2345, *incertae sedis* et spicules.



Photo 3 – Échantillon archéologique n° 2345, spicules et ostracode.



Photo 4 – Échantillon archéologique n° 2345, spicules.

Annexe 6.20 – Montguyon (17), « Bois Clair »,Type 552b, silex d'origine indéterminée. Échantillons archéologiques (photos P. Fernandes, DAO P. Tallet).

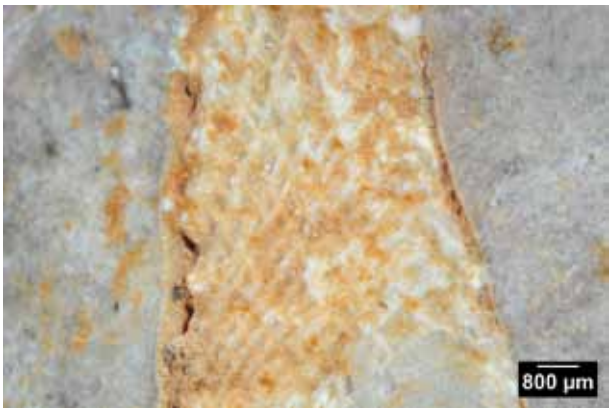


Photo 1 – Échantillon archéologique n° 2272, fragment de bryozoaire (*Fenestrella*).



Photo 2 – Échantillon archéologique n° 2191, fragments de bryozoaire et éléments noirs indéterminés.



Photo 3 – Échantillon archéologique n° 2191, texture *wackestone* à rhomboèdres.

Annexe 6.21 – Montguyon (17), « Bois Clair »,Type 561, silex du Coniacien. Échantillons archéologiques (photos P. Fernandes, DAO P. Tallet).



Photo 1 – Échantillon archéologique n° 2195, foraminifère benthique (Miliolidé ?).



Photo 2 – Échantillon archéologique n° 2274, *incertae sedis* et boxworks.



Photo 3 – Échantillon archéologique n° 2195, foraminifère benthique.



Photo 4 – Échantillon archéologique n°2274, texture *wackestone*, foraminifère benthique (*Lenticulina*).



Photo 5 – Échantillon archéologique n° 2275, foraminifère indéterminé.

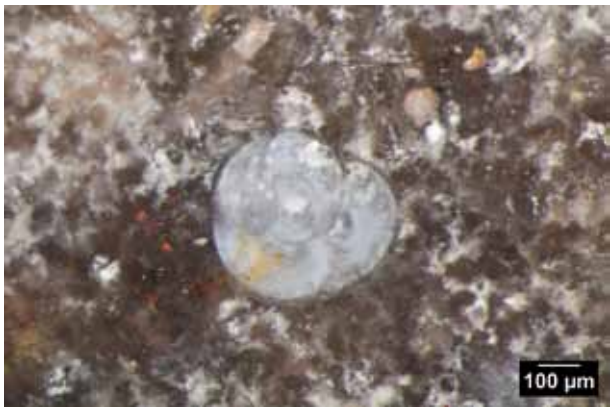


Photo 6 – Échantillon archéologique n° 2274, foraminifère benthique.

Annexe 6.22 – Montguyon (17), « Bois Clair »,Type 557, silex du Coniacien-Santonien. Échantillons archéologiques (photos P. Fernandes, DAO P. Tallet).

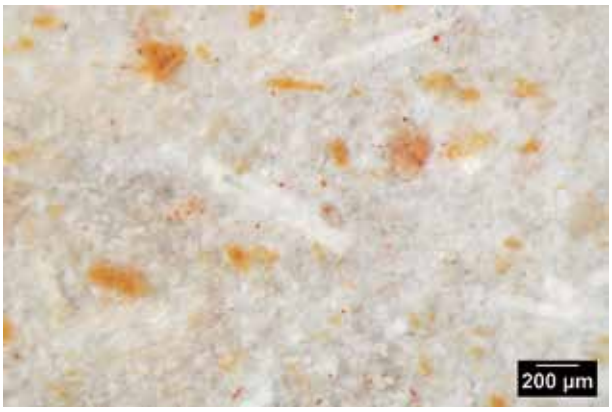


Photo 1 – Échantillon archéologique n° 2278, texture *wackestone*.

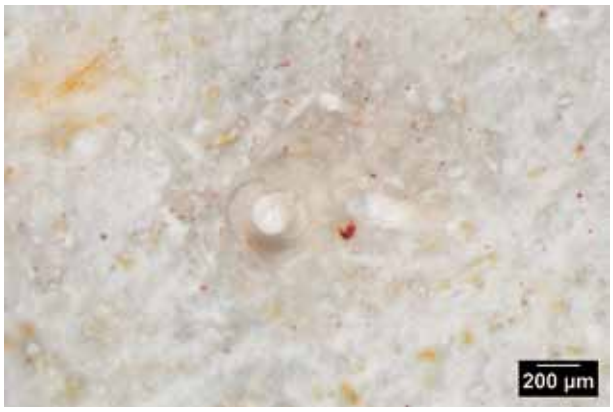


Photo 2 – Échantillon archéologique n° 2278, texture *wackestone* à foraminifère et spicules.

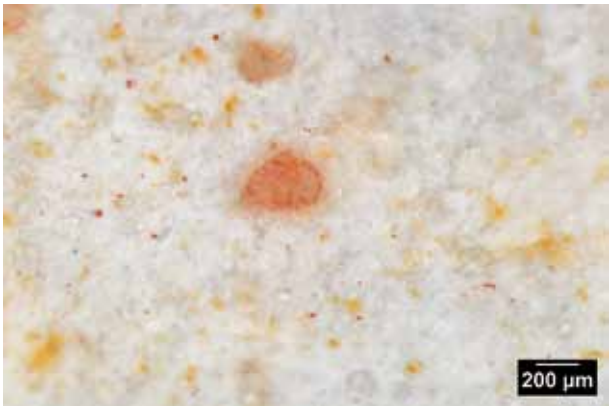


Photo 3 – Échantillon archéologique n°2278, foraminifère indéterminé.



Photo 4 – Échantillon archéologique n° 2278, foraminifère benthique.

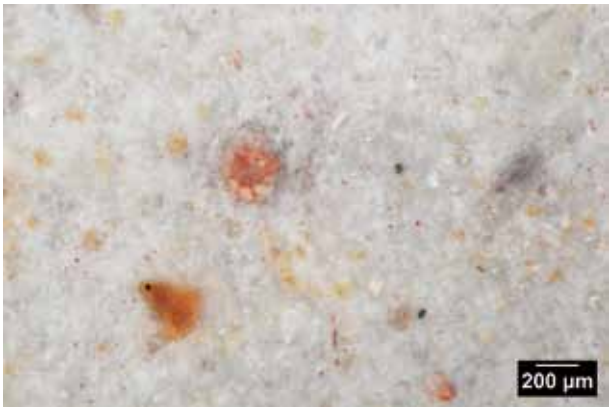


Photo 5 – Échantillon archéologique n° 2278, foraminifère indéterminé.



Photo 6 – Échantillon archéologique n° 2278, foraminifère indéterminé.

Annexe 6.23 – Montguyon (17), « Bois Clair »,Type 557b, silex du Coniacien-Santonien. Échantillons archéologiques (photos P. Fernandes, DAO P. Tallet).

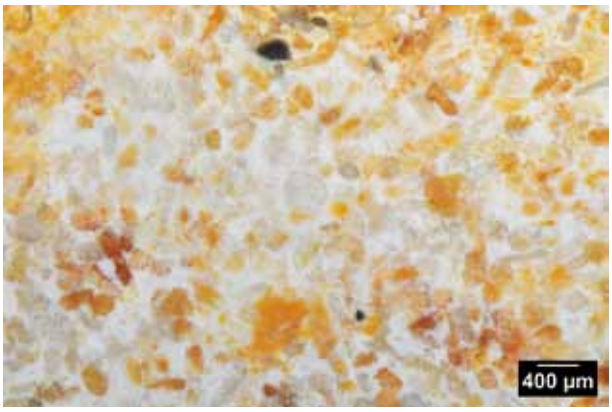


Photo 1 – Échantillon archéologique n° 2208, texture *packstone* à échinoderme.



Photo 2 – Échantillon archéologique n° 2208, algue.

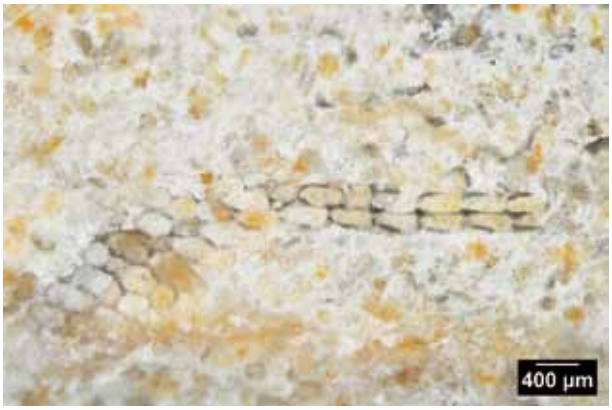


Photo 3 – Échantillon archéologique n° 1460, algue.

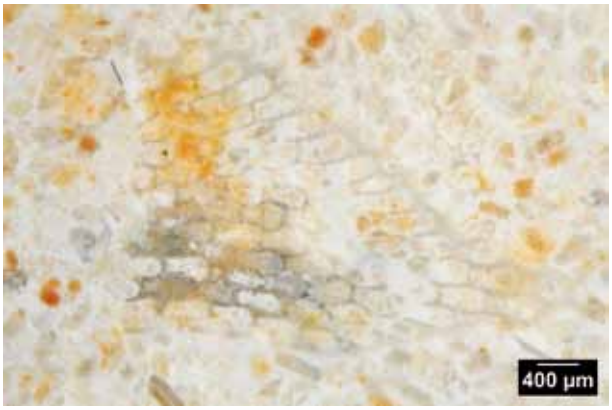


Photo 4 – Échantillon archéologique n° 2208, algue.

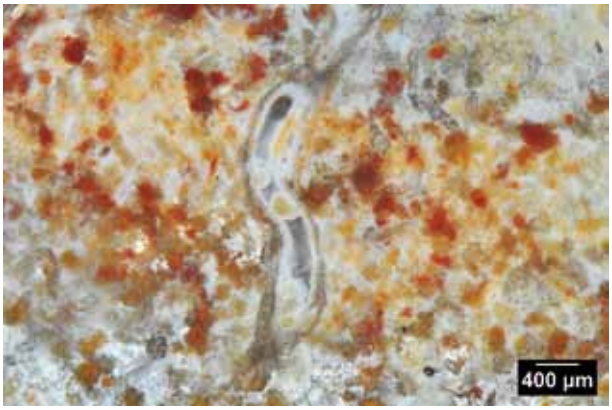


Photo 5 – Échantillon archéologique n° 1460, annélides.

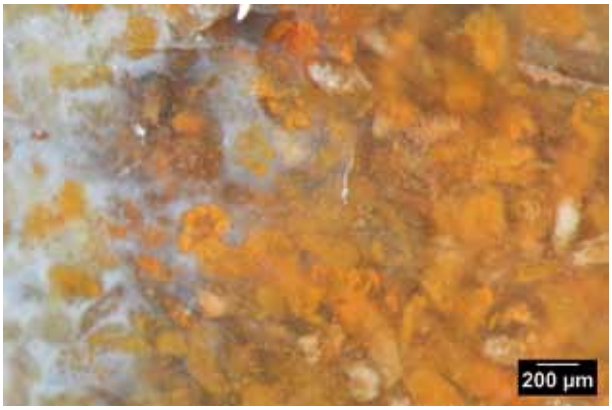


Photo 6 – Échantillon archéologique n° 2208, foraminifère indéterminé.

Annexe 6.24 – Montguyon (17), « Bois Clair »,Type 563b, silex proche des microfaciès du Santonien. Échantillons archéologiques (photos P. Fernandes, DAO P. Tallet).

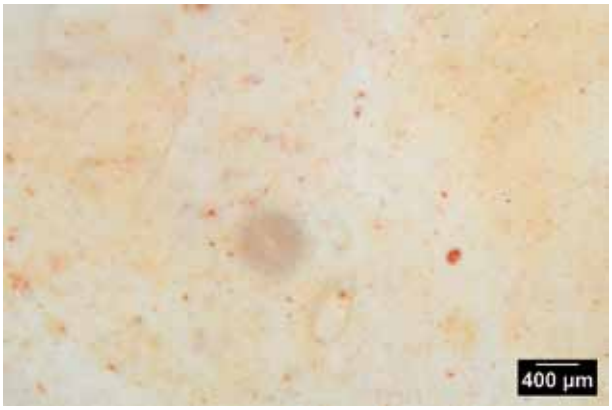


Photo 1 – Échantillon archéologique n° 2276, texture *mudstone* à débris indéterminés.



Photo 2 – Échantillon archéologique n° 2276, texture *mudstone*.

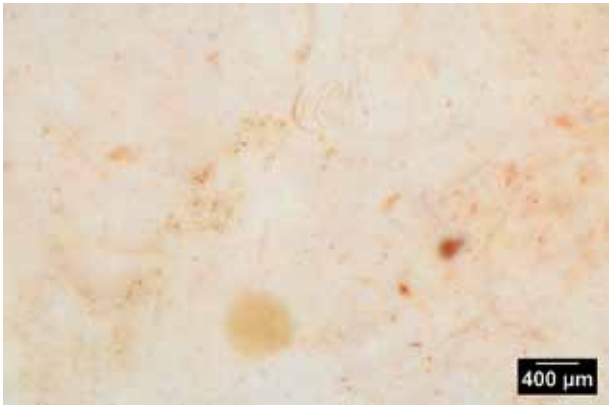


Photo 3 – Échantillon archéologique n° 2276, texture *mudstone*.

Annexe 6.25 – Montguyon (17), « Bois Clair »,Type 560, silex d'origine indéterminée. Échantillons archéologiques (photos P. Fernandes, DAO P. Tallet).



Photo 1 – Échantillon archéologique n° 1431, texture *wackestone* à bryozoaire.



Photo 2 – Échantillon archéologique n° 1431, bryozoaire branchu.



Photo 3 – Échantillon archéologique n° 1431, bryozoaire.



Photo 4 – Échantillon archéologique n° 1431, débris coralien ?

Annexe 6.26 – Montguyon (17), « Bois Clair »,Type 558, silex du Coniacien-Santonien. Échantillons archéologiques (photos P. Fernandes, DAO P. Tallet).

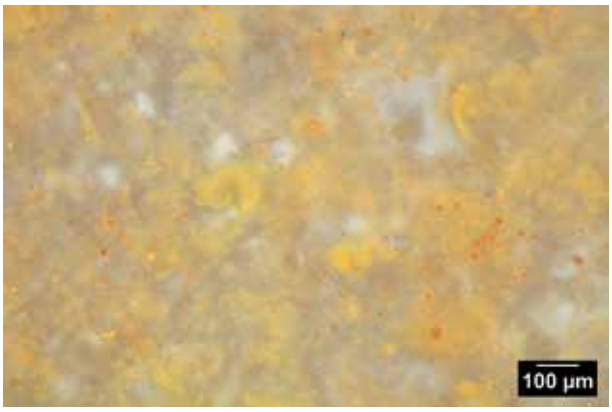


Photo 1 – Échantillon archéologique n° 3447, texture *wackestone* à foraminifères.



Photo 2 – Échantillon archéologique n° 3447, spicules.



Photo 3 – Échantillon archéologique n° 3447, spicules.

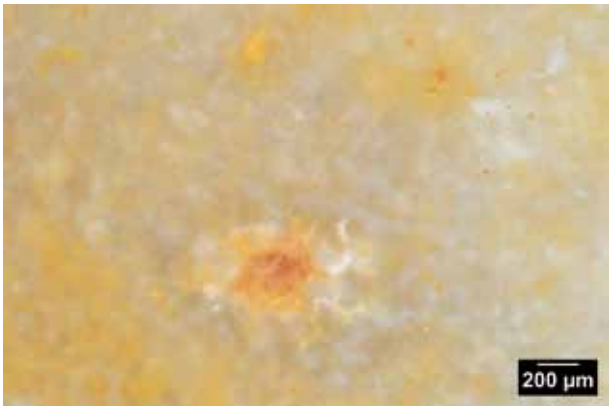


Photo 4 – Échantillon archéologique n° 3447, filaments.



Photo 5 – Échantillon archéologique n° 3447, foraminifères.

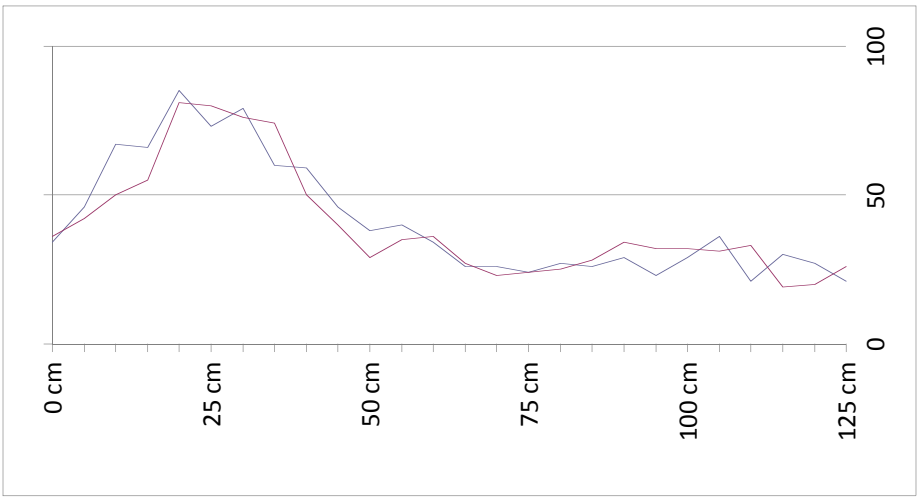


Photo 6 – Échantillon archéologique n° 3447, texture acquise *mudstone* (évolution).

Annexe 6.27 – Montguyon (17), « Bois Clair »,Type 552, silex d'origine indéterminée (Jurassique moyen ?). Échantillons archéologiques (photos P. Fernandes, DAO P. Tallet).

Montguyon (17) Bois Clair : mesures in situ de la susceptibilité magnétique volumique
Appareil Bartington, capteur MS2K
29/03/2012
Opérateur : M. Rué (Paléotime)
Valeurs en unités CGS x 10^{-6}. Témoin calibré à 345 CGS x 10^{-6}.

	SM1	**SM2**	UPS
Coupe stratigraphique	**8.1**	**8.1**	
Température	16 ℃	16 ℃	
Localisation verticale	PT5246 à z=24 cm	PT5246 à z=24 cm	
Valeur du témoin début/fin	343/344	343/344	
0 cm	34	36	1b
5 cm	46	42	1b
10 cm	67	50	1b
15 cm	66	55	2
20 cm	85	81	2
25 cm	73	80	2
30 cm	79	76	2
35 cm	60	74	2
40 cm	59	50	2
45 cm	46	40	2
50 cm	38	29	2/3
55 cm	40	35	3
60 cm	34	36	3
65 cm	26	27	3
70 cm	26	23	4a
75 cm	24	24	au dessus 4a/4b
80 cm	27	25	dans 4a/4b
85 cm	26	28	sous la limite 4a/4b
90 cm	29	34	base 4b
95 cm	23	32	sommet 5
100 cm	29	32	5
105 cm	36	31	sommet 5
110 cm	21	33	5
115 cm	30	19	5
120 cm	27	20	5
125 cm	21	26	base 5
190 cm			
195 cm	6	6	8



Annexe 7 – Montguyon (17), « Bois Clair ». Résultats des mesures de la susceptibilité magnétique

CARRE COLONNE	CARRE LIGNE	sous-carré	décapage	N SILEX 2-4mm	N SILEX 4-5mm	N SILEX 5-10mm	N SILEX 10-20mm	N SILEX >20mm	**TOTAL N SILEX**	
K3	100	a	1	28	6	11	6	1	**52**	
K3	100	a	2	5	4	4	2	1	**16**	
K3	100	a	3	67	14	34	4		**119**	
K3	100	a	4	15	2	4	1	1	**23**	
K3	100	a	5	1		3	2		**6**	
				116	26	56	15	3	216	
					116	82	18			diagramme CD
K4	96	a	1			2			**2**	
K4	96	a	2	3			1		**4**	
K4	96	a	3	1	2		1		**4**	
K4	96	a	4	3	1				**4**	
K4	96	a	5				1		**1**	
				7	3	2	3	0	15	
L4	27	d	1	2		1			**3**	
L4	27	d	2	5		3	2		**10**	
L4	27	d	3	5	1	1			**7**	
L4	27	d	4	4	3	2	1	2	**12**	
L4	27	d	5	5	4	2		2	**13**	
L4	27	d	6	2				1	**3**	
L4	27	d	7				1		**1**	
				23	8	9	4	5	49	
				146	37	67	22	8	280	totaux
					146	104	30			diagramme CD

Annexe 8.1 – Montguyon (17), « Bois Clair ». Données granulométriques des locus 0, 9 et 11

CARRE COLONNE	CARRE LIGNE	sous-carré	décapage	UPS	Z sup (m NGF)	Z inf (m NGF)	VOLUME TAMISE (N seaux)	N SILEX 2-4mm	N SILEX 4-5mm	N SILEX 5-10mm	N SILEX 10-20mm	N SILEX >20mm	TOTAL N SILEX	M(g) SILEX 2-4mm	M(g) SILEX 4-5mm	M(g) SILEX 5-10mm	M(g) SILEX 10-20mm	M(g) SILEX >20mm	TOTAL M(g) SILEX
K7	84	c	1	4a	82,73	82,68	2					1,00	**1,00**					20,95	**20,95**
K7	84	c	2	4a	82,68	82,63	2				1,00	1,00	**2,00**				8,20	43,55	**51,75**
K7	84	c	3	4a/b ?	82,63	82,58	2		1,00	1,00	1,00		**3,00**		0,01	1,40	4,60		**6,01**
K7	84	c	4	4b	82,58	82,53	2	1,00	2,00	2,00		1,00	**6,00**	0,01	0,55	7,90		18,30	**26,76**
K7	84	c	5	base 4/som 5	82,53	82,49	2	17,00	4,00	15,00	4,00	5,00	**45,00**	3,40	1,65	25,20	24,50	423,30	**478,05**
K7	84	c	6	som 5	82,49	82,44	2	13,00	1,00	5,00			**19,00**	2,05	0,01	7,95			**10,01**
K7	84	c	7	5	82,44	82,395	2		1,00	1,00			**2,00**		0,01	1,90			**1,91**
K7	84	c	8	5	82,395	82,35	2	3,00					**3,00**	0,45					**0,45**
K7	84	c	9	5	82,35	82,3	2		1,00			1,00	**2,00**		0,01			29,45	**29,46**
K7	84	c	10	base 5	82,3	82,24	2						**0,00**						**0,00**
K7	84	c	11	som 6	82,24	82,18	2						**0,00**						**0,00**
K7	84	c	12	6	82,18	82,13	2	1,00					**1,00**	0,01					**0,01**
K7	84	a	5	base 4/som 5	82,53	82,49	2	2,00		1,00			**3,00**	0,01		2,35			**2,36**
K7	84	a	6	som 5	82,49	82,44	2	2,00		3,00			**5,00**	0,01		6,90			**6,91**
K7	84	a	7	5	82,44	82,395	2	1,00	2,00	1,00	1,00		**5,00**	0,01	0,01	0,01	6,00		**6,03**
K7	94	a	4	4a/b ?	82,58	82,53	2	2,00		1,00	1,00	1,00	**5,00**	0,01		2	11,35	53,20	**66,55**
K7	94	a	5	4b	82,53	82,49	2	1,00	1,00	2,00	1,00	3,00	**8,00**	0,01	0,01	4,00	6,25	271,75	**282,02**
K7	94	a	6	base 4/som 5	82,49	82,44	2	4,00		7,00	1,00		**12,00**	0,01		18,75	2,75		**21,51**
K7	94	a	7	som 5	82,44	82,39	2	1,00		1,00	2,00		**4,00**	0,01		2,65	30,05		**32,71**
K7	83		1	4b			0			1,00			**1,00**			0,51			**0,51**
K7	83		2	4b	82,59	82,55	8	8,00	2,00	16,00	10,00	7,00	**43,00**	0,04	0,02	5,52	16,27	708,94	**736,37**
K7	83		3	base 4/som 5	82,55	82,51	6	1,00	2,00	5,00	4,00	2,00	**14,00**	0,01	0,02	1,53	9,17	19,35	**30,05**
K7	83		4	som 5	82,51	82,46	6	1,00	5,00	6,00	1,00		**13,00**	0,01	0,11	2,23	3,07		**5,42**
																			197,00

Annexe 8.2 – Montguyon (17), « Bois Clair ». Données granulométriques du locus 4

Liste des inventaires

414 Inventaire 1 – Inventaire des unités pédosédimentaires
415 Inventaire 2 – Inventaire de la documentation graphique
417 Inventaire 3 – Inventaire des structures
418 Inventaire 4 – Inventaire des prélèvements
420 Inventaire 5 – Inventaire de la documentation photographique
506 Inventaire 6 – Inventaire de la documentation écrite
507 Inventaire 7 – Inventaire du mobilier individualisé
569 Inventaire 8 – Inventaire du mobilier issu du tamisage
576 Inventaire 9 – Inventaire du mobilier non individualisé
581 Inventaire 10 – Inventaire des archives
582 Inventaire 11 – Listing des caisses

586 Annexe 1 – Inventaire des logs
587 Annexe 2 – Remontages lithiques, tableau synthétique
590 Annexe 3 – Liste des abréviations
592 Annexe 4 – Code des illustrations en tracéologie
593 Annexe 5 – Inventaire des locus de fouille
594 Annexes 6 – Planches des types pétrographiques
621 Annexe 7 – Mesures de la susceptibilité magnétique
622 Annexes 8 – Données granulométriques